

FRANK H. NETTER, MD



Incluye
**VERSIÓN
DIGITAL**
en inglés

ATLAS DE ANATOMÍA HUMANA

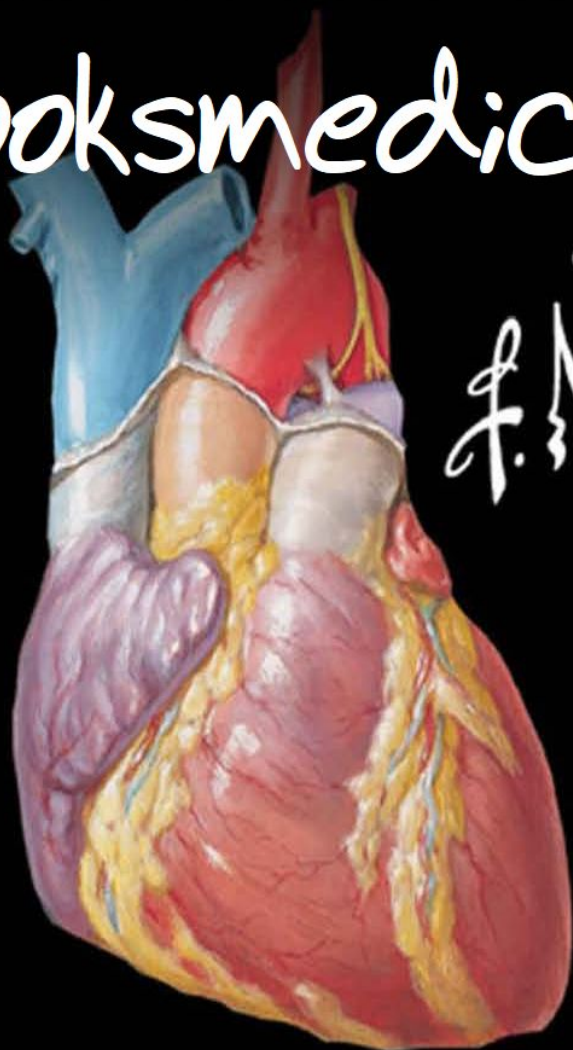
booksmedicos.org



NETTER

7

SÉPTIMA
EDICIÓN



*F. Netter
M.D.*

ATLAS DE ANATOMÍA HUMANA

7.^a ED

FRANK H. NETTER, MD



ELSEVIER

Índice de capítulos

Instrucciones para el acceso en línea

Cubierta

Portada

Página de créditos

DIRECTORES

DIRECTORES DE EDICIONES ANTERIORES

COMITÉ EDITORIAL INTERNACIONAL

NOVEDADES DE ESTA EDICIÓN

PRÓLOGO A LA SÉPTIMA EDICIÓN EN ESPAÑOL

PREFACIO A LA PRIMERA EDICIÓN

Dedicatoria

FRANK H. NETTER, MD

AGRADECIMIENTOS

Capítulo 1: INTRODUCCIÓN

LÁMINAS ELECTRÓNICAS EXTRA

Introducción

Capítulo 2: CABEZA Y CUELLO

LÁMINAS ELECTRÓNICAS EXTRA

Anatomía de superficie

Cabeza y cuello, plano superficial

Huesos y ligamentos

Cuello

Región nasal

Región bucal

Faringe

Glándula tiroides y laringe

Órbita y contenido

Oído

Meninges y encéfalo

Nervios craneales y cervicales

Vasculatura cerebral

Exploraciones regionales

Tablas clínicas

Capítulo 3: DORSO Y MÉDULA ESPINAL

LÁMINAS ELECTRÓNICAS EXTRA

Anatomía de superficie

Huesos y ligamentos

Médula espinal

Músculos y nervios

Anatomía seccional

Tabla clínica

Capítulo 4: TÓRAX

LÁMINAS ELECTRÓNICAS EXTRA

Anatomía de superficie

Glándula mamaria

Pared corporal

Pulmones

Corazón

Mediastino

Exploraciones regionales

Anatomía seccional

Tabla clínica

Capítulo 5: ABDOMEN

LÁMINAS ELECTRÓNICAS EXTRA

Anatomía de superficie

Pared corporal

Cavidad peritoneal

Vísceras (intestino)

Vísceras (órganos accesorios)

Vasculatura visceral

Inervación

Riñones y glándulas suprarrenales

Linfáticos

Exploraciones regionales

Anatomía seccional

Tabla clínica

Capítulo 6: PELVIS Y PERINÉ

LÁMINAS ELECTRÓNICAS EXTRA

Anatomía de superficie

Huesos y ligamentos

Suelo de la pelvis y contenido

Vejiga urinaria

Útero, vagina y estructuras de sostén

Periné y genitales externos: mujer

Periné y genitales externos: varón

Estructuras homólogas de los genitales

Testículo, epidídimo y conducto deferente

Recto

Exploraciones regionales

Vasculatura

Inervación

Anatomía seccional

Tabla clínica

Capítulo 7: MIEMBRO SUPERIOR

LÁMINAS ELECTRÓNICAS EXTRA

Anatomía de superficie

Anatomía de la piel

Hombro y axila

Brazo

Codo y antebrazo

Carpó y mano

Inervación y vasculatura

Exploraciones regionales

Tabla clínica

Capítulo 8: MIEMBRO INFERIOR

LÁMINAS ELECTRÓNICAS EXTRA

Anatomía de superficie

Anatomía de la piel

Cadera y muslo

Rodilla

Pierna

Tarso y pie

Inervación y vasculatura

Exploraciones regionales

Tabla clínica

BIBLIOGRAFÍA

ÍNDICE ALFABÉTICO

Página de créditos



Avda. Josep Tarradellas, 20-30, 1.º, 08029, Barcelona, España

Atlas of Human Anatomy

Copyright © 2019 by Elsevier Inc.

Previous editions copyrighted 2014, 2011, 2006, 2003, 1997, 1989

ISBN: 978-0-323-39322-5

This translation of *Atlas of Human Anatomy*, 7e, by Frank H. Netter, was undertaken by Elsevier España, S.L.U., and is published by arrangement with Elsevier Inc.

Esta traducción de *Atlas of Human Anatomy*, 7.^a ed., de Frank H. Netter, ha sido llevada a cabo por Elsevier

España, S.L.U., y se publica con el permiso de Elsevier Inc.

Atlas de anatomía humana, 7.^a ed., de Frank H. Netter.

© 2019 Elsevier España, S.L.U.

ISBN: 978-84-9113-468-8

eISBN: 978-84-9113-546-3

Todos los derechos reservados.

Reserva de derechos de libros

Cualquier forma de reproducción, distribución, comunicación pública o transformación de esta obra solo puede ser realizada con la autorización de sus titulares, salvo excepción prevista por la ley. Diríjase a CEDRO (Centro Español de Derechos Reprográficos) si necesita fotocopiar o escanear algún fragmento de esta obra (www.conlicencia.com; 91 702 19 70 / 93 272 04 45).

Advertencia

Esta traducción ha sido llevada a cabo por Elsevier España, S.L.U., bajo su única responsabilidad.

Facultativos e investigadores deben siempre contrastar con su propia experiencia y conocimientos el uso de cualquier información, método, compuesto o experimento descrito aquí. Los rápidos avances en medicina requieren que los diagnósticos y las dosis de fármacos recomendadas sean siempre verificados personalmente por el facultativo. Con todo el alcance de la ley, ni Elsevier, ni los autores, los editores o los colaboradores asumen responsabilidad alguna por la traducción ni por los daños que pudieran ocasionarse

a personas o propiedades por el uso de productos defectuosos o negligencia, o como consecuencia de la aplicación de métodos, productos, instrucciones o ideas contenidas en esta obra.

Revisor científico:

Víctor Götzens García

Profesor titular de Anatomía Humana

Profesor honorífico de la Universitat de Barcelona

Servicios editoriales: *Gea* consultoría editorial s.l.

Depósito legal: B.1.113-2019

Impreso en Italia

DIRECTORES

Carlos A.G. Machado, MD, Ilustrador médico

John T. Hansen, PhD, Lead Editor, Professor of Neuroscience, Former Chair of Neurobiology and Anatomy and Associate Dean for Admissions, University of Rochester Medical Center, Rochester, New York

Brion Benninger, MD, MSc

Professor of Medical Innovation, Technology, &, Research; Professor of Clinical Anatomy, Executive Director, Chair, Medical Anatomy Center, Department of Medical Anatomical Sciences, Faculty College of Dentistry, Western University of Health Sciences, Lebanon Oregon Faculty, Sports Medicine Fellows, Orthopaedic and General Surgery Residencies, Samaritan Health Services, Corvallis, Oregon Faculty, Surgery, Orthopedics & Rehabilitation and Oral, Maxillofacial Surgery, Oregon Health & Science University, Portland, Oregon

Jennifer Brueckner-Collins, PhD, Professor and Vice Chair of Educational Programs, Department of Anatomical Sciences and Neurobiology, University of Louisville School of Medicine, Louisville, Kentucky

Todd M. Hoagland, PhD, Professor, Department of Cell Biology, Neurobiology and Anatomy, Medical College of Wisconsin, Milwaukee, Wisconsin

R. Shane Tubbs, MS, PA-C, PhD

Chief Scientific Officer and Vice President, Seattle Science Foundation, Seattle, Washington

Professor of Anatomy, Department of Anatomical Sciences, St. George's University, Grenada, West Indies
Centre of Anatomy and Human Identification, Dundee University, United Kingdom

DIRECTORES DE EDICIONES ANTERIORES

Primera edición

Sharon Colacino, PhD

Segunda edición

Arthur F. Dalley, II, PhD

Tercera edición

John T. Hansen, PhD

Cuarta edición

John T. Hansen, PhD

Jennifer K. Brueckner, PhD

Stephen W. Carmichael, PhD, DSc

Thomas R. Gest, PhD

Noelle A. Granger, PhD

Anil H. Waljii, MD, PhD

Quinta edición

John T. Hansen, PhD

Brion Benninger, MD, MS

Jennifer K. Brueckner, PhD

Stephen W. Carmichael, PhD, DSc

Noelle A. Granger, PhD

R. Shane Tubbs, MS, PA-C, PhD

Sexta edición

John T. Hansen, PhD

Brion Benninger, MD, MS

Jennifer Brueckner-Collins, PhD

Todd M. Hoagland, PhD

R. Shane Tubbs, MS, PA-C, PhD

COMITÉ EDITORIAL INTERNACIONAL

Hassan Amiralli, MBBS, MS (Surg), Professor and Chair, Department of Anatomy, American University of Antigua, College of Medicine, Antigua, West Indies

Nihal Apaydin, MD, PhD, Professor, Department of Anatomy, Faculty of Medicine, Vice Director, Brain Research Center, Ankara University, Ankara, Turkey

Keith E. Baynes, MD, Section Chief, MSK and General, Radiology, Associate Professor of Radiology, Medical College of Wisconsin, Milwaukee, Wisconsin

Francisco J. Caycedo, MD, Specialist in Foot and Ankle Surgery, Sports Medicine and Musculoskeletal Ultrasound, OrthoSports Associates—St., Vincent's Birmingham, Birmingham, Alabama

William E. Cullinan, PhD, Professor, Department of Biomedical Sciences, Director, Integrative Neuroscience, Research Center, Dean, College of Health Sciences, Marquette University, Milwaukee, Wisconsin

Joe Iwanaga, DDS, PhD, Assistant Professor, Division of Gross and Clinical, Anatomy, Department of Anatomy, Kurume University School of Medicine, Kurume, Japan

Christopher R. Kelly, MD, Clinical Fellow, Division of Cardiology, Columbia University Medical Center, New York, New York

Robert Louis, MD, Director, Skull Base and Pituitary, Tumor Program, Minimally Invasive Brain and Spine, Surgery, Hoag Neurosciences Institute, Newport Beach, California

Virginia T. Lyons, PhD, Associate Professor of Medical, Education, Associate Dean of Preclinical, Year 1, Geisel School of

Medicine at Dartmouth, Hanover, New Hampshire

Thazhumpal Chacko Mathew, PhD, Professor and Vice Dean for Research, Training, and Consultation, Faculty of Allied Health Sciences, Health Sciences Centre, Kuwait University, Kuwait City, Kuwait

Paul E. Neumann, MD, Professor, Department of Anatomy and Neurobiology, Faculty of Medicine, Dalhousie University, Halifax, Nova Scotia, Canada

Eduardo Cotecchia Ribeiro, PhD, Associate Professor of Descriptive and Topographic Anatomy, Department of Morphology and Genetics, School of Medicine, Federal University of São Paulo, São Paulo, Brazil

Danielle F. Royer, PhD, Associate Professor, Cell and Developmental Biology, University of Colorado, Anschutz, Medical Campus, Aurora, Colorado

Jonathan Spratt, MB, BChir, Clinical Director of Radiology, Sunderland City Hospitals, Sunderland United Kingdom, Former Examiner in Anatomy, Royal College of Radiologists and Royal College of Surgeons of England Visiting Professor of Anatomy, St. George's University, Grenada, West Indies

Susan Standring, MBE, PhD, DSc, Professor Emeritus of Anatomy, Department of Anatomy, King's College London, London, United Kingdom

Mark E. Sturgill, DO, Pediatric and Neuroradiologist, Radiology Partners, Hopkinsville, Kentucky

William J. Swartz, PhD, Professor of Cell Biology and Anatomy, Louisiana State University, Health Sciences Center, New Orleans, Louisiana

Kimberly Topp, PT, PhD, Professor and Chair, Department of Physical Therapy and Rehabilitation Science, Department of Anatomy, University of California, San Francisco, San Francisco, California

Ivan Varga, PhD, Professor of Anatomy, Histology and Embryology, Faculty of Medicine, Comenius University, Bratislava, Slovak Republic

Peter J. Ward, PhD, Associate Professor of Anatomy, West Virginia School of Osteopathic, Medicine, Lewisburg, West Virginia

Robert J. Ward, MD, Chief, Musculoskeletal Imaging and Intervention, Director, Bone Densitometry, Department of Radiology, Tufts Medical Center, Director, Undergraduate Radiology, Education, Assistant Professor of Radiology and Orthopedics, Tufts University School of Medicine, Boston, Massachusetts

Kristy A. Weir, PhD, School of Biomedical Sciences, The University of Queensland St Lucia, Queensland Australia

NOVEDADES DE ESTA EDICIÓN

Adquirir un ejemplar del *Atlas de anatomía humana* de Frank H. Netter equivale a poseer una colección de algunas de las más celebradas representaciones visuales de la anatomía humana en el contexto de la Medicina y las Ciencias de la Salud. Además de las clásicas ilustraciones del Dr. Netter, esta nueva edición da acceso a casi un centenar de imágenes firmadas por Carlos A. G. Machado, uno de los mejores ilustradores médicos de la actualidad. Las aportaciones del Dr. Machado ponen de relieve importantes visiones anatómicas que han adquirido relevancia clínica en los últimos años, gracias a los avances en las técnicas de disección y en los métodos de diagnóstico por la imagen. Además, se recogen más de cincuenta imágenes radiológicas, cuidadosamente seleccionadas, que ayudan a salvar la distancia entre la idealización que conlleva la ilustración anatómica y la anatomía real que puede verse en la práctica clínica.

Si bien numerosas láminas y tablas han sido actualizadas para facilitar el aprendizaje, los cambios más significativos de la 7.^a edición son los siguientes:

Sección introductoria

A petición de numerosos estudiantes y admiradores de esta obra, hemos añadido una nueva sección introductoria que contiene varias láminas de tipo general. Estas proporcionan una primera visión del cuerpo humano en su integridad.

Tablas de información clínica

El *Atlas de anatomía humana* de Frank Netter es el único ilustrado por médicos. El Dr. Netter era cirujano y el Dr. Machado es cardiólogo. Las visiones anatómicas de esta obra siempre han reflejado una perspectiva clínica. Dado este enfoque práctico, y en consonancia con los actuales currículos académicos integrados en el estudio de la Medicina y las Ciencias de la Salud, se incluyen tablas al final de cada sección que destacan las estructuras más habitualmente lesionadas, así como otras de relevancia clínica y que a menudo se abordan en los cursos de anatomía. Estas tablas proporcionan a los estudiantes resúmenes de consulta rápida, organizados por sistemas corporales, e incluyen referencias a las láminas donde pueden observarse mejor las estructuras mencionadas.

Nuevas láminas del Dr. Machado

Para esta nueva edición, el Dr. Machado ha elaborado más de 25 ilustraciones nuevas. Las sugerencias de nuevas láminas que reflejen otras perspectivas y conceptos de interés provienen de estudiantes, profesores, anatomistas, médicos, etc. En algunas de las principales conferencias de Anatomía se pone un buzón de sugerencias bajo el título: «¿Qué es lo siguiente que debería dibujar Carlos?». La decisión de qué láminas priorizar e incluir en una nueva edición es tomada por el panel de editores consultores. Las láminas nuevas de esta edición son, en su mayor parte, aquellas que representan estructuras anatómicas de relevancia clínica (p. ej., fascias del cuello, drenaje venoso de la pierna, bolsas de la cadera y vasculatura de la próstata) o son difíciles de visualizar (fosa infratemporal) –y, por supuesto, las nuevas ilustraciones creadas para la sección introductoria–.

Actualización terminológica

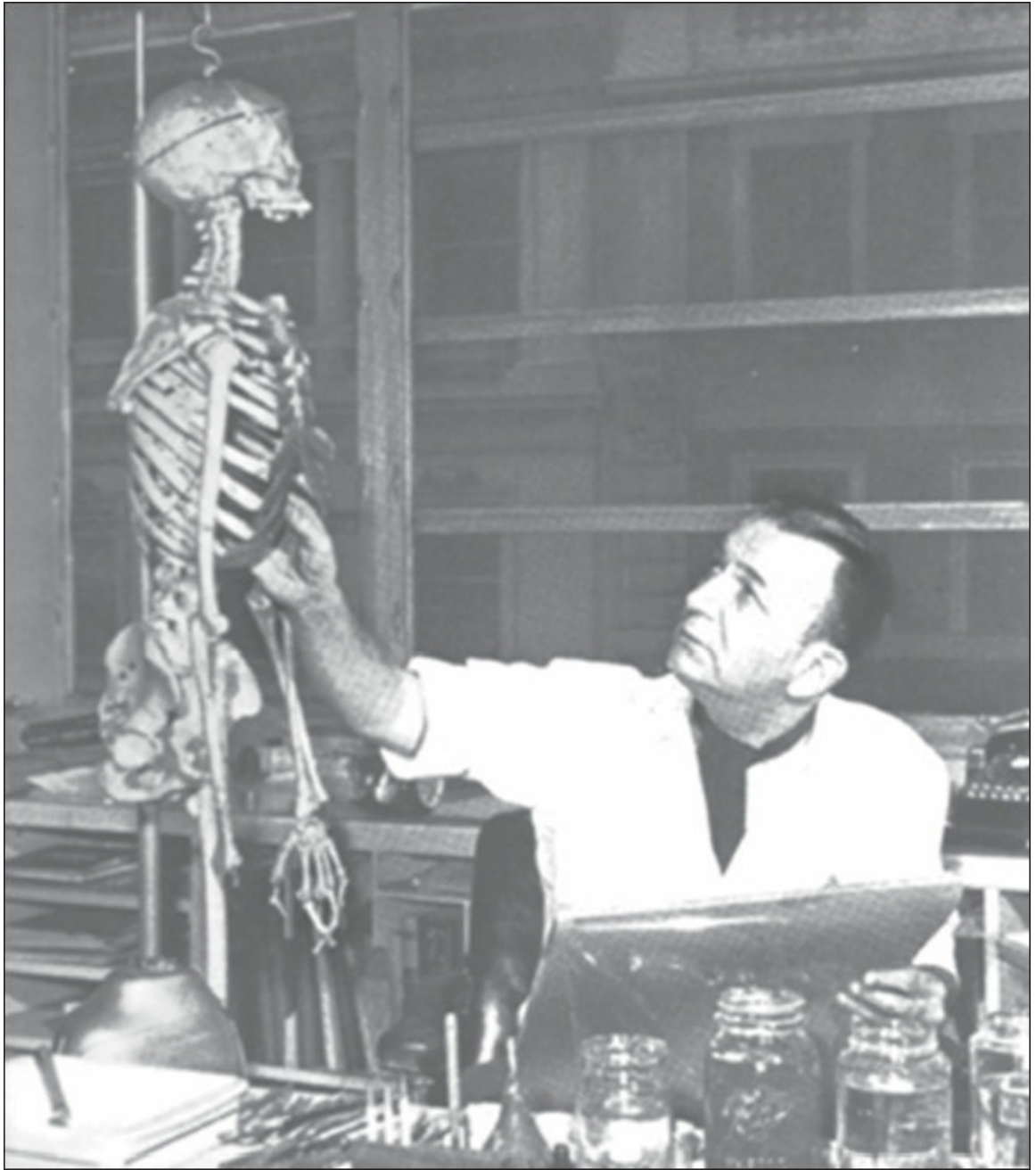
El *Atlas de anatomía humana* emplea la terminología aceptada por el Federative International Programme on Anatomical Terminologies (Göttingen, Alemania, 24 de septiembre de 2016) y publicada en forma de actualizaciones de la Terminologia Anatomica de 1998. Se han actualizado numerosos términos anatómicos; en algunos casos, el término anterior se incluye entre paréntesis para facilitar la transición entre un sistema y otro.

Nuevas imágenes radiológicas

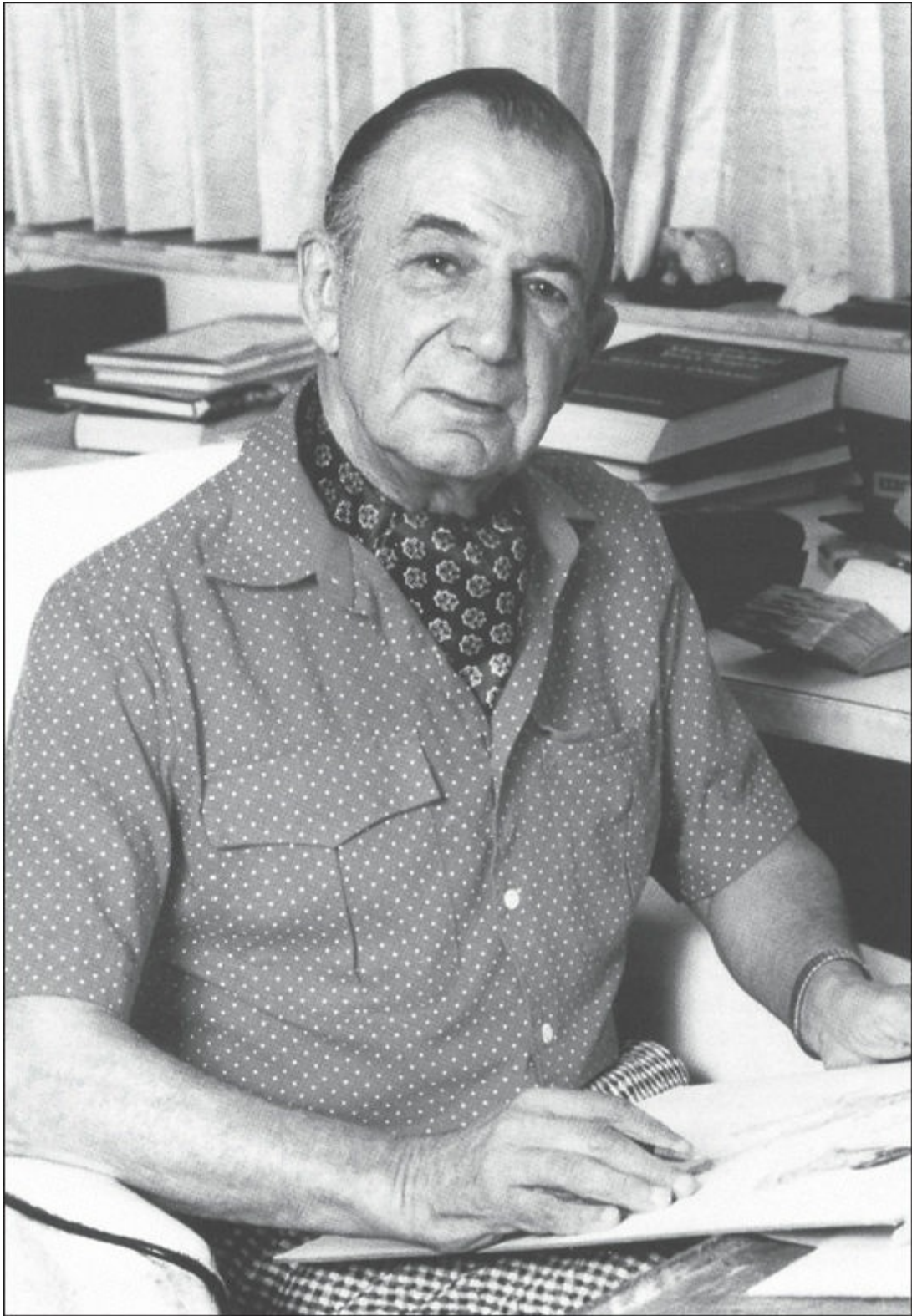
Esta edición incluye más de 50 imágenes radiológicas: algunas son completamente nuevas; otras son nuevas versiones, realizadas con herramientas técnicas más actuales, de imágenes ya existentes. Todas ellas se han seleccionado en función de su utilidad para el estudio de la anatomía macroscópica.

El *Atlas de anatomía humana* ha sido actualizado, creado y supervisado por un dedicado equipo de entusiastas editores, con ayuda de un comité asesor internacional del más alto nivel, y guiado por las sugerencias de numerosos estudiantes, profesores, anatomistas y médicos que aman esta obra. Puedes aportar tus comentarios, sugerencias o preguntas a través de nuestra cuenta de Facebook o Twitter, o enviarnos directamente un correo electrónico a NetterAppFeedback@Elsevier.com.









PRÓLOGO A LA SÉPTIMA EDICIÓN EN ESPAÑOL

Me solicitaron escribir algunas líneas en la presentación de esta nueva edición del *Atlas de anatomía humana* de Frank H. Netter, petición muy honrosa para un servidor, pero a la vez con un altísimo grado de dificultad en una obra del más excelso nivel como es la que nos ocupa y que en realidad no necesita presentación alguna.

Se cumplen 30 años de la primera edición de este Atlas, en la que aparecieron las ilustraciones anatómicas realizadas por el Dr. Netter durante prácticamente toda su vida y que habían sido recopiladas en la Colección Netter de Ilustraciones Médicas (CIBA) desde la década de los años setenta. Quienes estudiamos la Anatomía por aquella época recordamos muy bien que, aunque nos esforzábamos mucho por comprender los detalles anatómicos del cuerpo humano que eran descritos en los textos de las grandes obras anatómicas de aquel entonces, nos faltaba tener una imagen adecuada de muchos de ellos, ya que las ilustraciones que tenían eran insuficientes, no muy precisas y, la mayoría, en blanco y negro. Recuerdo muy bien que cuando tuve en mis manos por primera vez el tomo 5 de la Colección Netter de Ilustraciones Médicas

comprendí, también por primera vez, la morfología del corazón normal y patológico, y pensé que eso era lo que necesitábamos para aprender las disciplinas morfológicas. Las ilustraciones médicas del Dr. Netter las podemos considerar como la piedra angular de las ilustraciones anatómicas de la era moderna y que han dado la pauta de cómo era necesario ilustrar la anatomía en esta época. Es muy satisfactorio ver que la obra del Dr. Netter no concluyó cuando él abandonó esta vida, ya que el Dr. Carlos A. G. Machado tomó la estafeta y continúa la maravillosa producción de esta joya de la Anatomía que seguramente perdurará por siempre y para beneficio de los anatomistas de muchas décadas.

En esta séptima edición del *Atlas de anatomía humana* se ha incorporado una sección de Introducción, que permite desde el inicio entender muy bien la estructura del libro. Además, incorpora una buena cantidad de nuevas ilustraciones realizadas por el Dr. Carlos A. G. Machado, y de imágenes radiológicas que facilitan a los lectores comprender mejor la anatomía de las personas vivas, y que permiten a los estudiantes actuales entender mejor la Anatomía Clínica en beneficio de sus futuros pacientes. Finalmente, hay que resaltar también el especial cuidado que se ha tenido en seguir la Terminología Anatómica en esta nueva edición, aplicando la terminología aceptada por la FIPAT en 2016. Desde cualquier punto de vista, se trata de un libro de excelencia y muy actualizado.

No tengo la menor duda que tendrá una gran aceptación en el mundo de la Anatomía Latinoamericana y mundial y ocupará un lugar preponderante en la biblioteca de todos los médicos y estudiantes de medicina. Enhorabuena a todo el Comité Editorial de la obra y a la editorial Elsevier, responsable de la edición.

Estimado Dr. Netter: gracias por enseñarnos la anatomía y esté seguro que su obra perdurará por siempre.

Dr. S. Manuel Arteaga Martínez, *Presidente de la Asociación Panamericana de Anatomía, 2013-2019, Profesor Titular de Biología del Desarrollo y de Anatomía de la, Facultad de Medicina de la Universidad Nacional Autónoma de, México y Profesor Titular de Biología del Desarrollo de la, Escuela de Medicina de la Universidad Panamericana, Ciudad de México*

PREFACIO A LA PRIMERA EDICIÓN

A mi querida esposa, Vera

A menudo he dicho que mi carrera como artista de la medicina durante casi 50 años ha sido una forma de «cumplimiento de una orden», en el sentido de que se ha desarrollado en respuesta a los deseos y necesidades de la profesión médica. Durante todos estos años he realizado casi 4.000 ilustraciones, mayoritariamente para la *Colección CIBA* (ahora *Netter*) de *Ilustraciones Médicas*, pero también para *Clinical Symposia*. Estos dibujos están relacionados con la variedad de subdivisiones del conocimiento médico, como la anatomía macroscópica, histología, embriología, fisiología, patología, métodos diagnósticos, técnicas quirúrgicas y terapéuticas, y manifestaciones clínicas de una gran variedad de enfermedades. Sin embargo, con el paso de los años ha habido más y más peticiones de médicos y estudiantes para que realizase un atlas puramente de anatomía macroscópica. Así se ha originado este *Atlas*, no gracias a mi inspiración, sino, al igual que la mayoría de mis trabajos anteriores, para cumplir los deseos de la profesión médica.

Ello ha implicado volver atrás y repasar todas las

ilustraciones que durante tantos años había realizado, seleccionar las referentes a anatomía macroscópica, clasificarlas y organizarlas por sistemas o regiones, adaptarlas al tamaño de las páginas y ordenarlas con una secuencia lógica. La anatomía, por supuesto, no cambia, pero nuestra comprensión de la anatomía y su significación clínica sí lo hacen, al igual que la terminología y la nomenclatura anatómicas. Todo ello requiere, por tanto, una gran adaptación de muchos de los dibujos más antiguos e incluso la revisión de gran número de estos, a fin de hacerlos más adecuados a la visión actual siempre en expansión de la práctica médica y quirúrgica. Además, encontré que había vacíos en la representación gráfica del conocimiento médico, tal y como lo había dibujado en las ilustraciones anteriores, lo que precisó que realizase dibujos nuevos que se incluyen en este volumen.

Al crear un atlas como este, es importante conseguir un equilibrio adecuado entre la complejidad y la simplificación. Si los dibujos son demasiado complejos, pueden resultar difíciles y confusos al leerlos; si se simplifican en exceso, es posible que no resulten definidos adecuadamente o sean incluso engañosos. Por tanto, he apostado por un término medio de realismo sin la confusión de las minuciosidades. Espero que los estudiantes y miembros de las profesiones médicas y paramédicas encuentren las ilustraciones fácilmente comprensibles, a la vez que instructivas y útiles.

En un momento determinado, el editor y yo pensamos que sería interesante incluir un prólogo de un anatomista realmente sobresaliente y de prestigio, pero hay tantos en esta categoría, muchos de los cuales han colaborado conmigo en el pasado o se hallan ya citados en algún lugar de este volumen, que no pudimos llegar a elegir a uno. Pensamos en hombres como Vesalio, Leonardo da Vinci, William Hunter y Henry Gray, quienes, por supuesto, son desgraciadamente inaccesibles, aunque realmente me pregunto cuáles hubieran sido sus comentarios sobre este *Atlas*.

Frank H. Netter, MD, (1906-1991)

Dedicatoria

A mi querida esposa, Vera

FRANK H. NETTER, MD

Frank H. Netter nació en la ciudad de Nueva York en 1906. Estudió arte en la Art Student's League y en la National Academy of Design antes de entrar en la Facultad de Medicina de la Universidad de Nueva York, donde se licenció en medicina en 1931. Durante sus años de estudiante, los esquemas de los apuntes del Dr. Netter atrajeron la atención de los profesores de la facultad y de otros médicos, lo cual le permitió aumentar sus ingresos ilustrando artículos y libros de texto. Después de establecer una clínica quirúrgica en 1933, continuó dibujando como actividad paralela, pero finalmente optó por dejar la práctica de la cirugía y dedicarse a la ilustración a tiempo completo. Tras servir en el ejército estadounidense durante la Segunda Guerra Mundial, el Dr. Netter empezó su larga colaboración con la compañía farmacéutica CIBA (actualmente Novartis Pharmaceuticals). Esta asociación duró 45 años y dio como resultado una extraordinaria colección de ilustraciones bien conocidas por los médicos y otros profesionales de la salud del mundo entero.

Icon Learning Systems adquirió la Colección Netter en julio de 2000 y continuó poniendo al día la obra original del Dr. Netter, así como añadiendo nuevos dibujos encargados a artistas entrenados en el mismo

estilo. En 2005, Elsevier Inc. compró la Colección Netter y todas las publicaciones de Icon Learning Systems. Existen actualmente más de 50 publicaciones de Elsevier Inc. en que figuran ilustraciones del Dr. Netter.

Los trabajos del Dr. Netter se encuentran entre los más bellos ejemplos del uso de la ilustración en la enseñanza de los conceptos médicos. Los 13 libros de la Colección Netter de ilustraciones médicas, que incluyen la mayor parte de los más de 20.000 dibujos creados por el Dr. Netter, fueron y siguen siendo uno de los trabajos médicos más famosos hasta ahora publicados. El *Atlas de anatomía humana* de Netter, publicado por primera vez en 1989, muestra los dibujos anatómicos de la Colección Netter. Traducido a 11 idiomas, es el atlas de anatomía de elección entre los estudiantes de medicina y los profesionales sanitarios de todo el mundo.

Estas ilustraciones se aprecian no sólo por sus cualidades estéticas sino, lo que es más importante, por su contenido intelectual. Como escribió el Dr. Netter en 1949, «... la clarificación de un tema constituye el objetivo y finalidad de la ilustración. No importa la belleza de la pintura, ni cuán delicada y sutil sea la representación del tema, ya que tendrá poco valor como ilustración médica si no sirve para esclarecer un determinado concepto». El planteamiento, concepción, punto de vista y enfoque del Dr. Netter son lo que da coherencia a sus dibujos y lo que los hace tan valiosos intelectualmente.

Frank H. Netter, MD, médico y artista, falleció en 1991.

AGRADECIMIENTOS

Carlos A. G. Machado, MD

Fue para mí una enorme suerte unirme a este magnífico equipo de consultores editores, todos ellos grandes expertos en las áreas de la anatomía clínica y la enseñanza de la medicina. Ha sido un gran honor trabajar con ellos y bajo su guía, así como contar con la eficiente labor de coordinación de Elyse O'Grady y Marybeth Thiel, Executive Content Strategist y Senior Content Development Specialist de la editorial Elsevier, respectivamente.

Este libro inigualable no existiría de no ser por el genio de su creador, el Dr. Frank Netter, a quien debo un especial agradecimiento, en mi nombre y en el de generaciones de estudiantes y profesionales de la salud que, como yo, tanto han aprendido de su inconmensurable *corpus* de ilustraciones.

Desearía dedicar mi trabajo y expresar mi más sincero agradecimiento a mis queridos padres, Carlos y Neide, quienes pusieron la base de mi educación; a mi paciente esposa Adriana y a mi talentosa hija Beatriz, por su apoyo y su amor; a los estudiantes, profesores y profesionales de la salud que confían en mi trabajo para aprender y enseñar; a todos los donantes de cuerpos y a todos los amigos que, respectivamente, han sido objeto de estudio anatómico y modelo pictórico para la mayoría de las ilustraciones que he creado para este atlas; y a mis profesores Eugênio Cavalcante, Mário Fortes y Paulo Carneiro por ayudarme a profundizar cada vez más

en mi interés por la anatomía humana y clínica.

John T. Hansen

De Elsevier, me gustaría dar las gracias a Marybeth Thiel, Senior Content Development Specialist; Elyse O'Grady, Executive Content Strategist; John Casey, Senior Project Manager; Patricia Tannian, Publishing Services Manager; Julia Dummitt, Design Manager; Karen Giacomucci, Illustration Buyer; y Madelene Hyde, Publishing Director, por su constante ayuda y su meticulosa atención a los detalles durante la realización de esta nueva edición del *Atlas de anatomía humana*. Ha sido un auténtico placer trabajar con todos ellos y tener la oportunidad de conocerlos, así como al resto de los equipos editorial, de producción, de diseño y de márketing de Elsevier. También querría expresar mi agradecimiento a mis editores consultores, cuyas sugerencias, siempre perspicaces y constructivas, me ayudan a elaborar cada nueva edición de esta obra. Tengo asimismo una deuda con Carlos Machado por prestar su enorme talento como ilustrador a la realización y actualización de algunas de las láminas de esta nueva edición. Su representación de la anatomía humana es el complemento ideal de las clásicas imágenes de Frank Netter. Además de a mis compañeros editores, deseo dar las gracias a mis colegas de facultad de Rochester, así como a todos los estudiantes pasados y presentes que me han proporcionado generosas y constructivas sugerencias y que han enriquecido mi vida. Finalmente, tengo una deuda con mi familia entera

por su constante apoyo, y especialmente a mi esposa Paula. Su amor y su aliento son la fuerza que me sostiene, y la fuente de toda mi felicidad y alegría.

Brion Benninger, MD, MSc

Cada día doy las gracias por mi esposa Alison y por mi hijo Jack, y por lo mucho que nos reímos en familia, normalmente de mis locuras, lo cual es muy refrescante. Doy las gracias a Elsevier, especialmente a Marybeth Thiel, Elyse O'Grady y Madelene Hyde por su profesionalidad y apoyo; gracias a su trabajo, John Hansen, Carlos Machado, mis colegas editores y yo mismo hemos podido trabajar en un entorno único y dinámico. Vaya mi agradecimiento a los clínicos que me enseñaron, especialmente a mis tempranos mentores los talentosos cirujanos/anatomistas/profesores Dres. Gerald Tressidor y Harold Ellis CBE (Cambridge & Guy's Hospital); al Dr. S. Standring, que es la profesionalidad y la fortitud personificadas; a los Dres. P. Crone y J. Heatherington y a la Junta Directiva, por su increíble apoyo; a mis estudiantes y pacientes pasados y futuros; y a mis colegas médicos de todos los países del mundo, que hacen que la anatomía siga siendo una disciplina dinámica, fresca y ávida de renovación. Mi especial agradecimiento para Jim Diegel y Erik Szeto, amigos, mentores y compañeros visionarios que también piensan fuera de lo convencional y cuestionan el *status quo*. Deseo también rendir un sentido homenaje a aquellos que ya no están, mis mentores, amigos y hermana Jim McDaniel, Bill Bryan y Gail Hendricks; todos ellos son un modelo para mí por su capacidad para

enseñar, cuidar y curar, y han hecho de este mundo un lugar un poco mejor. Gracias finalmente a mi madre por su pasión por la educación y la igualdad, y a mi padre por su mente inquisitiva y creativa.

Jennifer Brueckner-Collins, PhD

Muchas gracias al equipo de Elsevier, y en especial a Marybeth Thiel y a Elyse O'Grady, por su experta guía durante la preparación de esta séptima edición. Siempre es un honor trabajar con Carlos Machado, cuya maestría y pasión por la ilustración de la anatomía clínica nunca dejan de admirarme. Tengo una deuda eterna con Brian MacPherson, que ha sido mi profesor, mentor y amigo durante más de 20 años... tú fuiste quien me enseñó lo que significa ser una auténtica educadora, y he tenido la gran suerte de poder construir una carrera profesional sobre la base de esos principios. A Kurt y a Lincoln... sois mi inspiración, mi mundo y mi vida, y os quiero hasta el infinito.

Todd M. Hoagland, PhD

Es un privilegio enseñar anatomía clínica y estoy eternamente agradecido a todos los donantes de cuerpos y a sus familias por permitir que los profesionales de las Ciencias de la Salud adquieran conocimientos y experiencia en el laboratorio de disección. Es un honor para mí trabajar con los excepcionales estudiantes y colegas del Medical College de Wisconsin. Estoy agradecido a John Hansen y al equipo de Elsevier por darme la oportunidad de trabajar como gestor del incomparable *Atlas de anatomía humana*. Marybeth Thiel y Elyse O'Grady fueron especialmente diligentes a la hora de prestar ayuda y ha sido un placer trabajar con ellas. Ha sido un honor colaborar con el brillante Carlos Machado y con el panel de editores consultores. Gracias a Bill Swartz y Mark Moss por su sobresaliente labor como mentores, así como a todos los estudiantes de posgrado con quienes he trabajado, en especial Rebecca Lufler. Mi más profundo reconocimiento a Stan Hillman y a Jack O'Malley por inspirarme mediante sus magistrales enseñanzas y sus rigurosas expectativas. Tengo una deuda con Gary Kolesari y Richard Hoyt Jr. por ayudarme a convertirme en un anatomista clínico competente, y a Rob Bouchie por su camaradería. Vaya mi sincero agradecimiento a mi hermano Bill por su inquebrantable optimismo y su espíritu gregario. Gracias a mi madre Liz por su amor y

dedicación y por imbuirme de una sólida ética de trabajo. Finalmente, me inclino ante mis dos increíbles hijos, Ella y Caleb, por ayudarme a redefinir el amor, la admiración y la alegría.

R. Shane Tubbs, PA-C, PhD

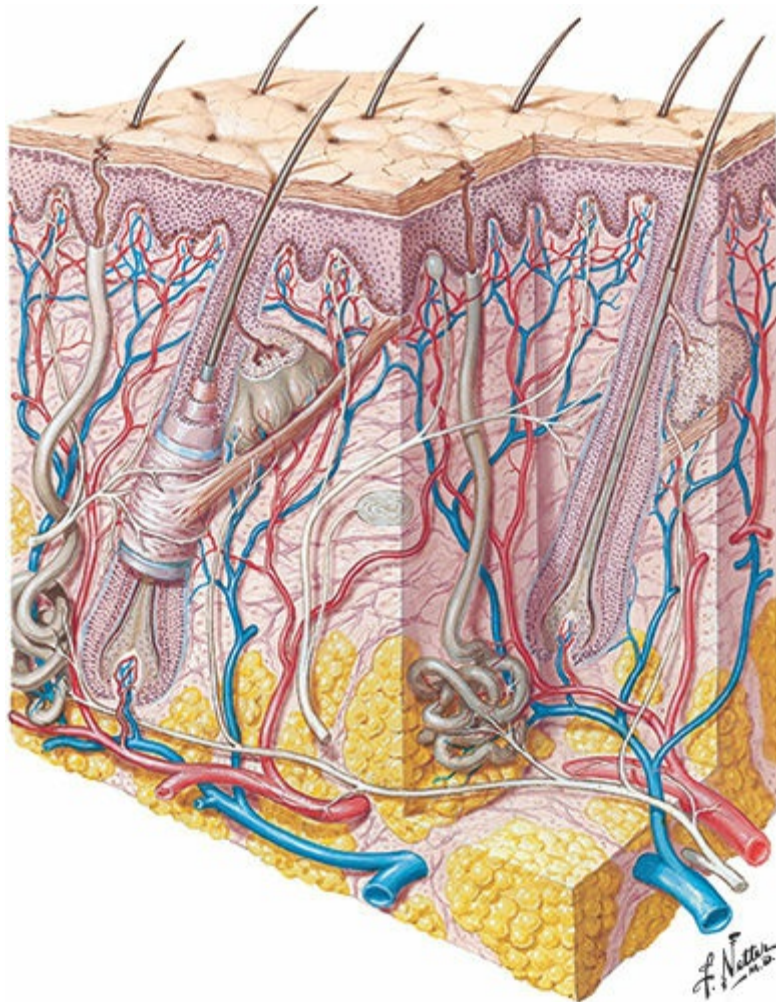
Una vez más, ha sido un placer trabajar con Elsevier y el equipo del Atlas Netter. Mi agradecimiento a Elyse O'Grady, Marybeth Thiel y John Casey por el ingente trabajo que han llevado a cabo en esta edición. Asimismo, una vez más Carlos Machado ha aportado su experiencia para insuflar vida a sus imágenes anatómicas. Como siempre, la inspiración de mi trabajo son mi hermosa esposa Susan y mi hijo Isaiah. Finalmente, gracias a mis padres Richard y Karon Tubbs que me apoyaron durante mi carrera y mi propósito de entender mejor el cuerpo humano.

INTRODUCCIÓN

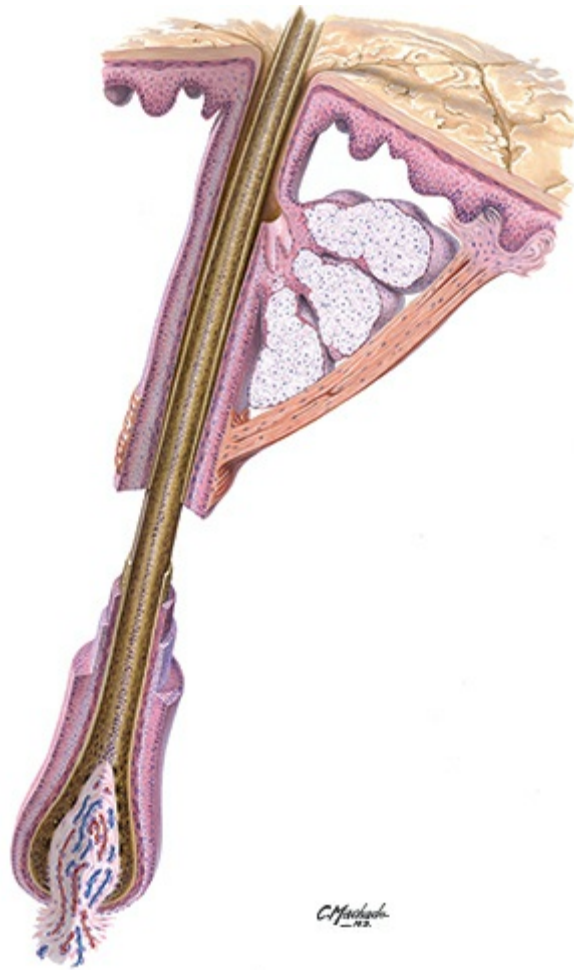
Introducción [1-7](#)

Láminas electrónicas extra [BP1-BP16](#)

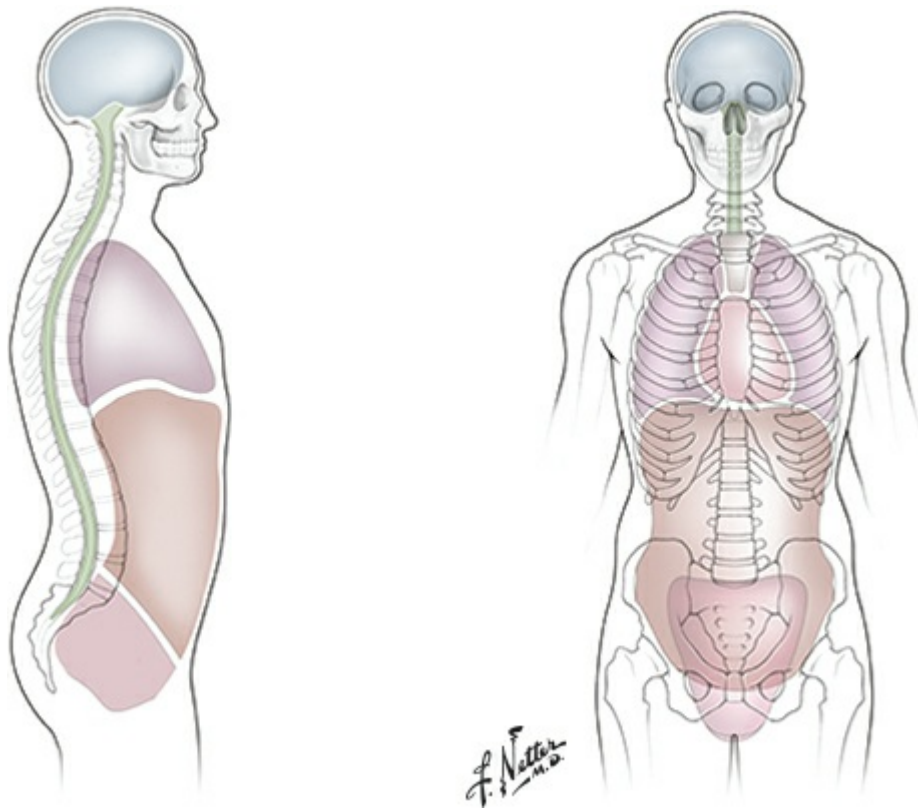
LÁMINAS ELECTRÓNICAS EXTRA



BP1 Sección transversal de la piel



BP2 Unidad pilosebácea



BP3 Cavidades corporales principales



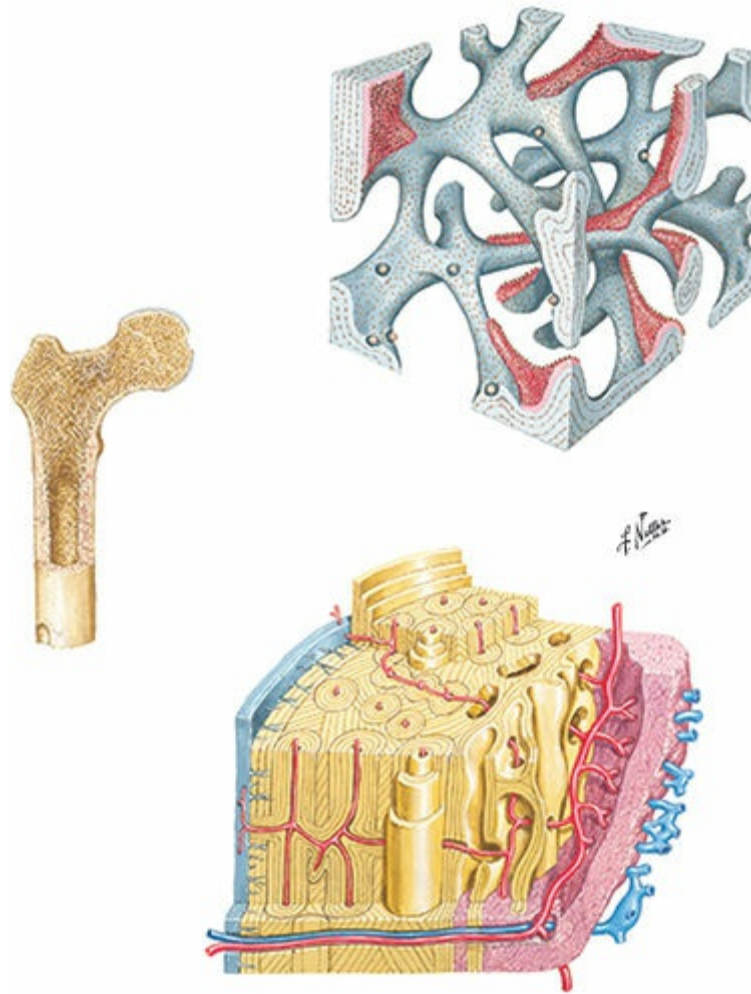
BP4 Sistema esquelético: esqueletos axial y apendicular



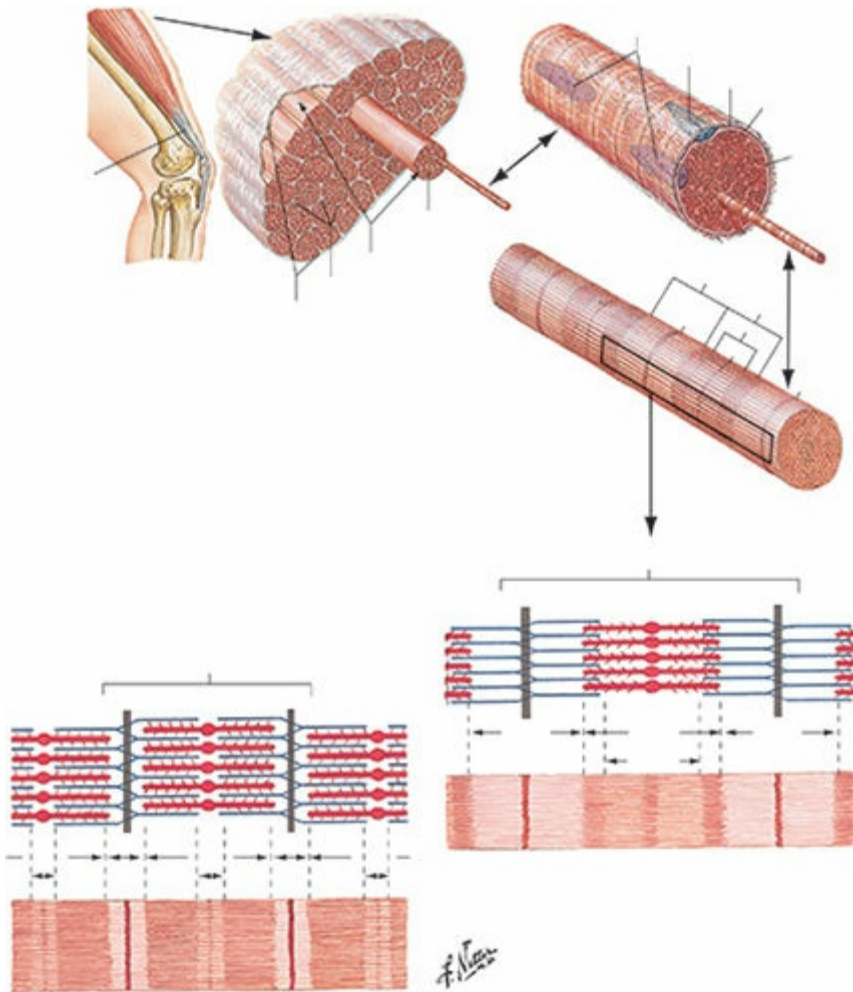
BP5 Tipos de articulaciones sinoviales



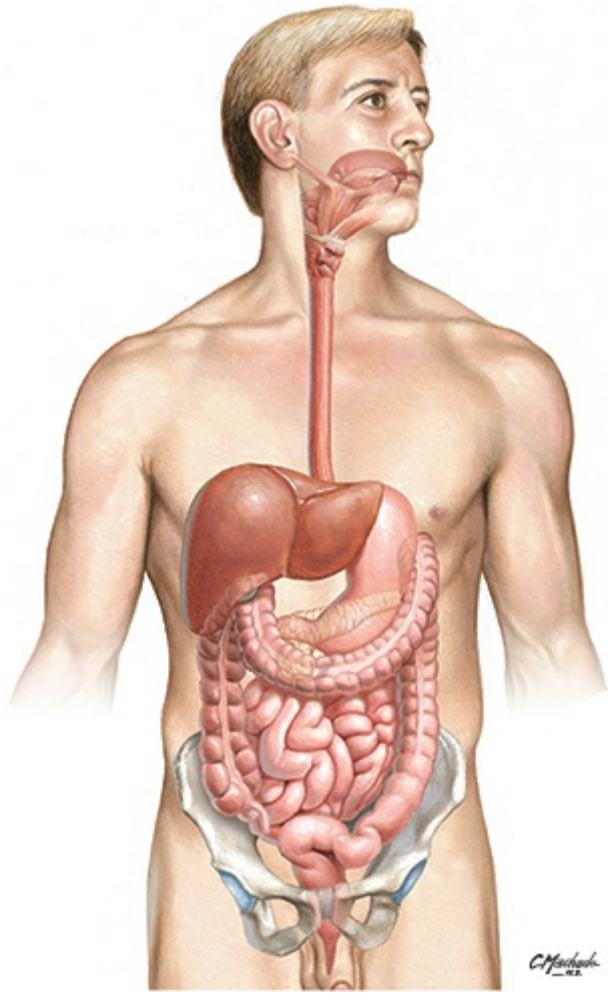
BP6 Articulaciones: tejidos conectivos y cartílago articular



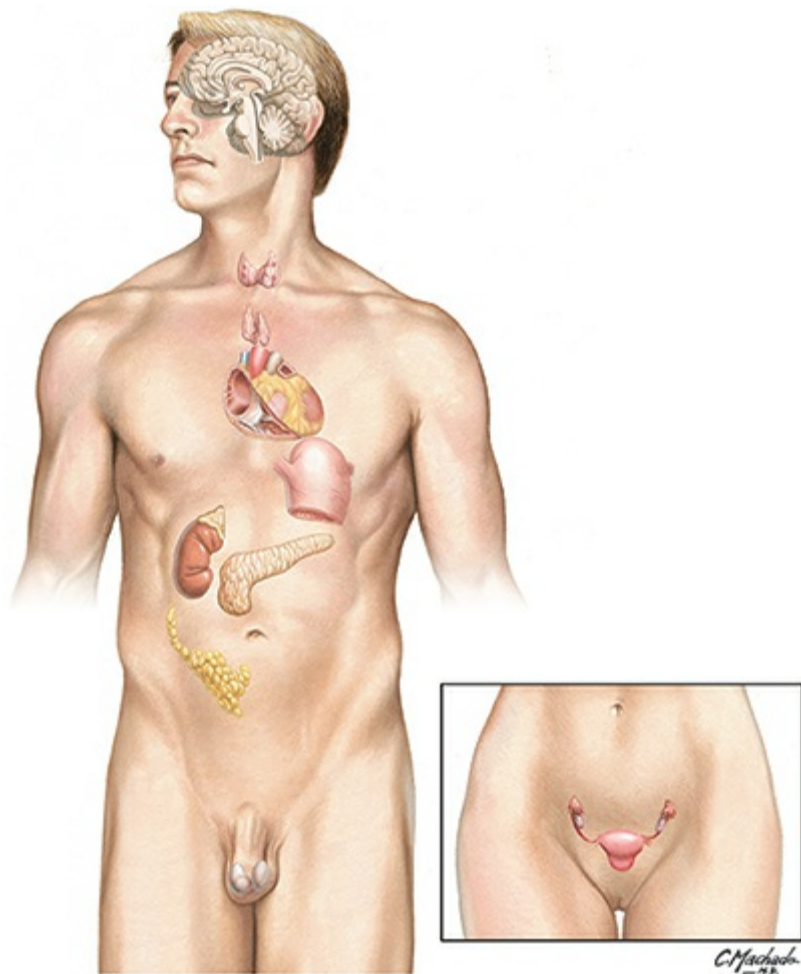
BP7 Arquitectura ósea



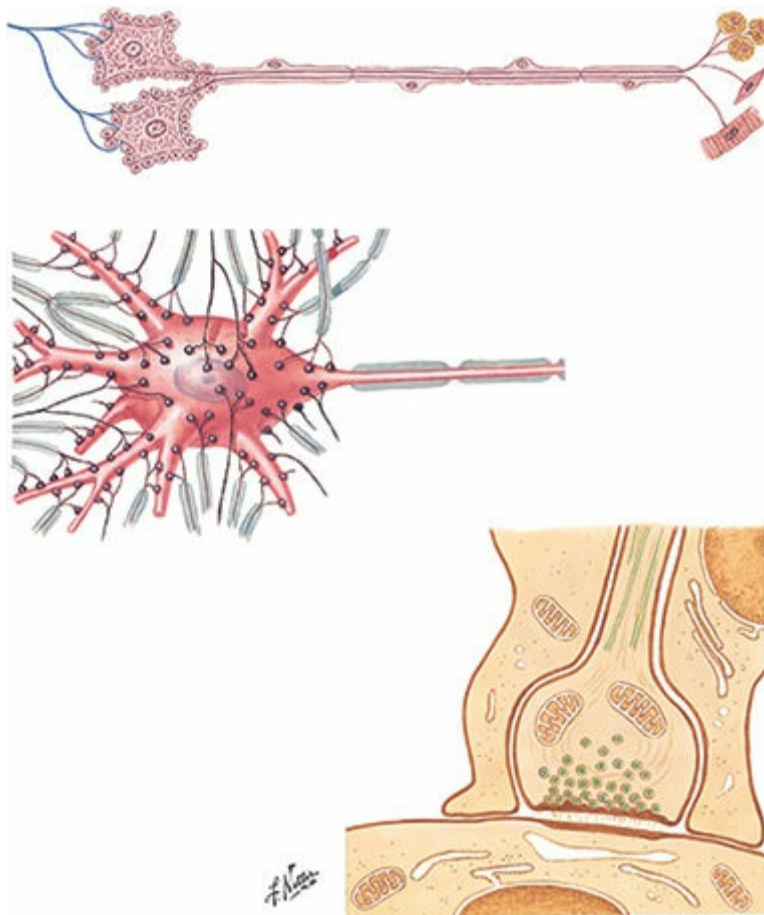
BP8 Sistema muscular



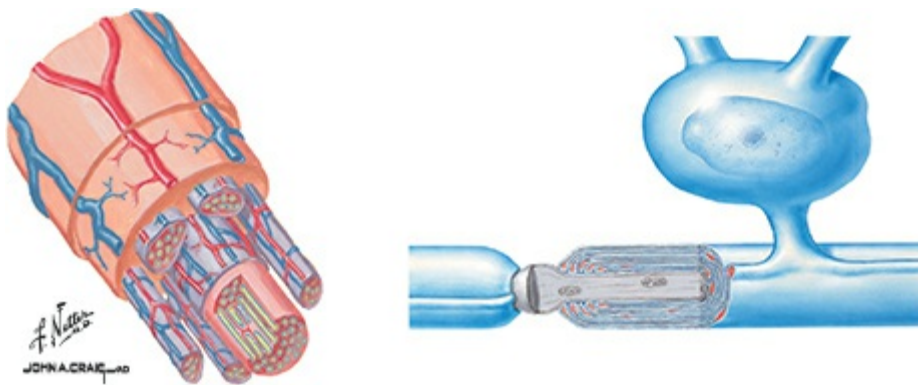
BP9 Visión general del sistema digestivo



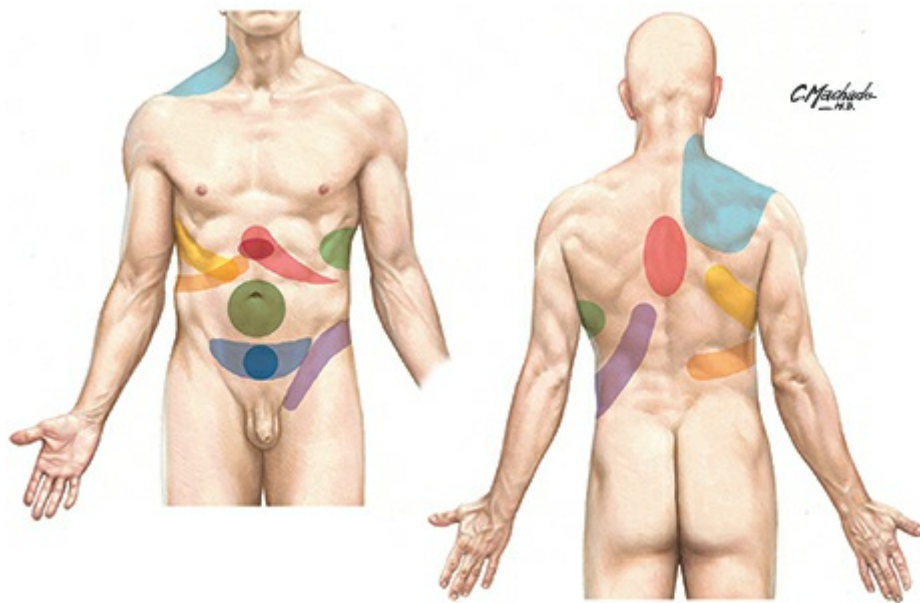
BP10 Visión general del sistema endocrino



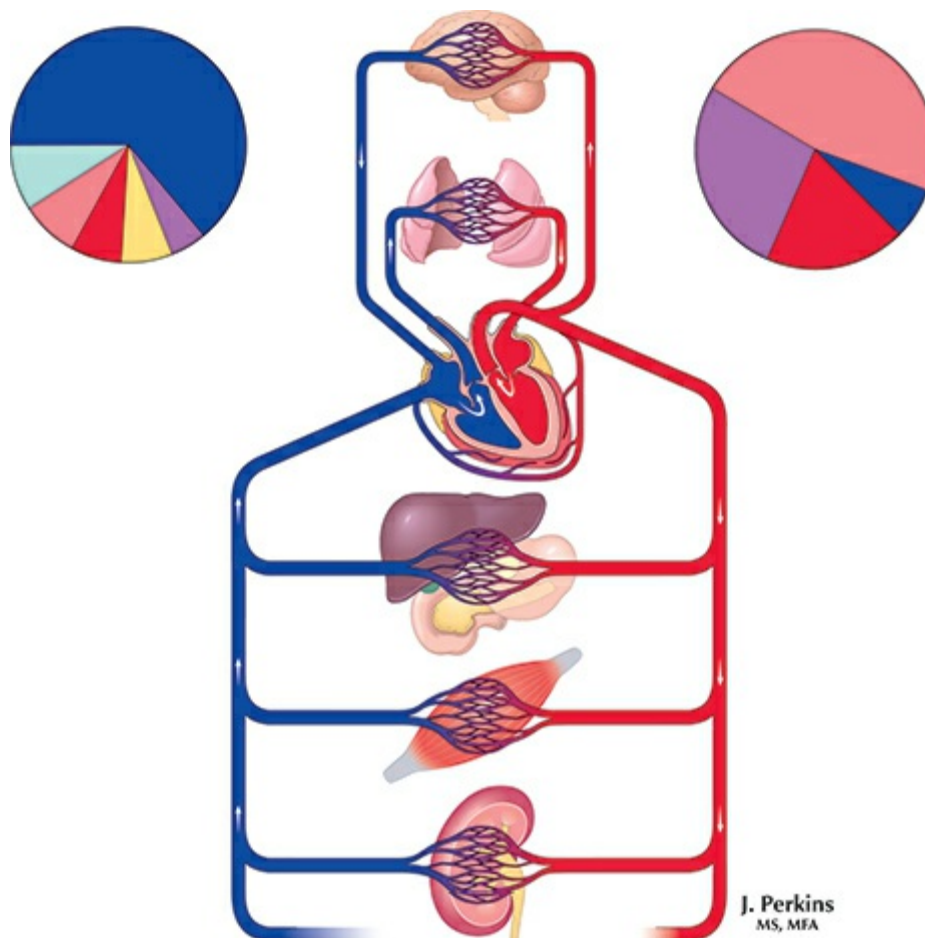
BP11 Neuronas y sinapsis



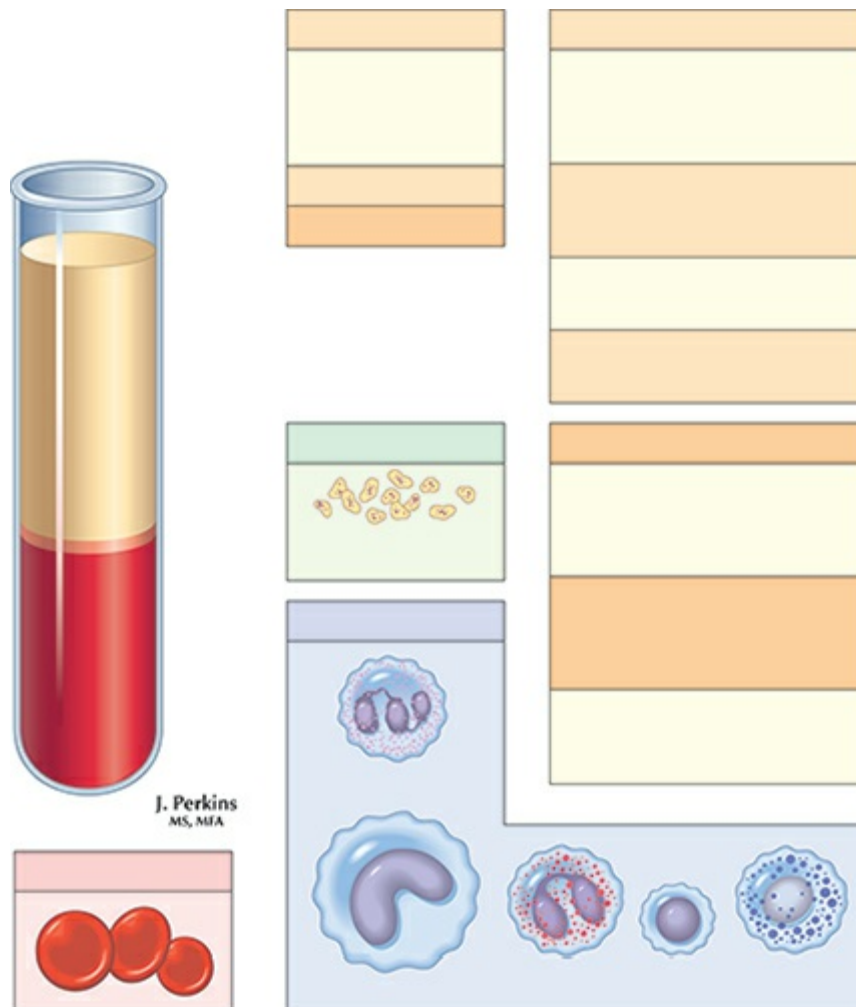
BP12 Características de un nervio periférico típico



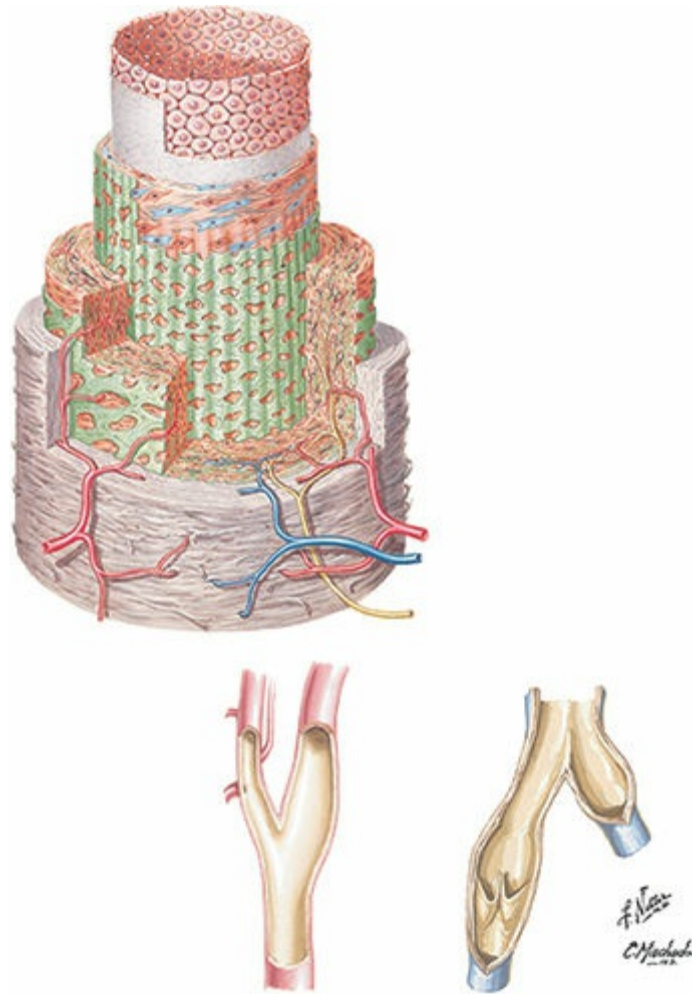
BP13 Localización del dolor referido visceral



BP14 Organización general del sistema cardiovascular



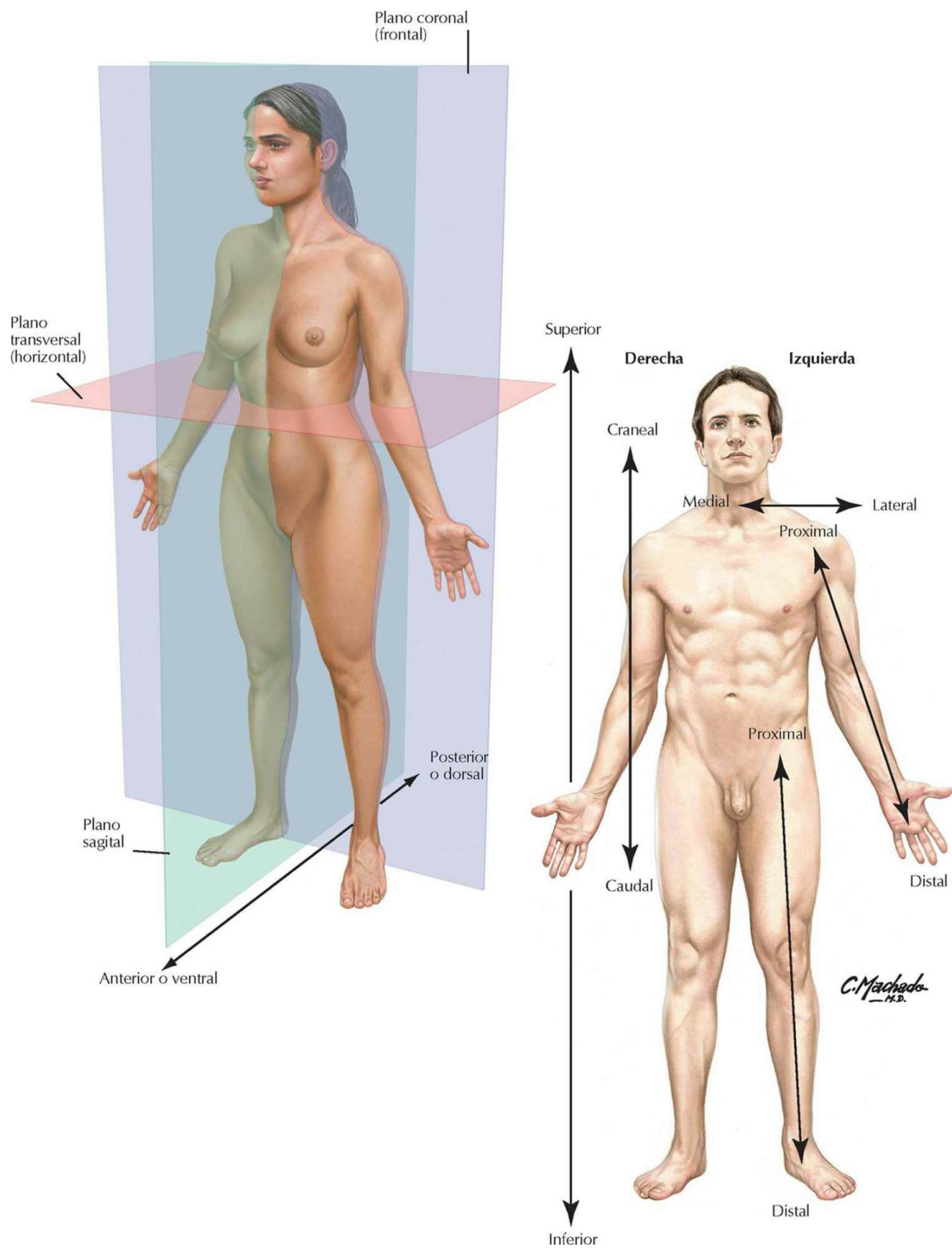
BP15 Sistema cardiovascular: composición de la sangre



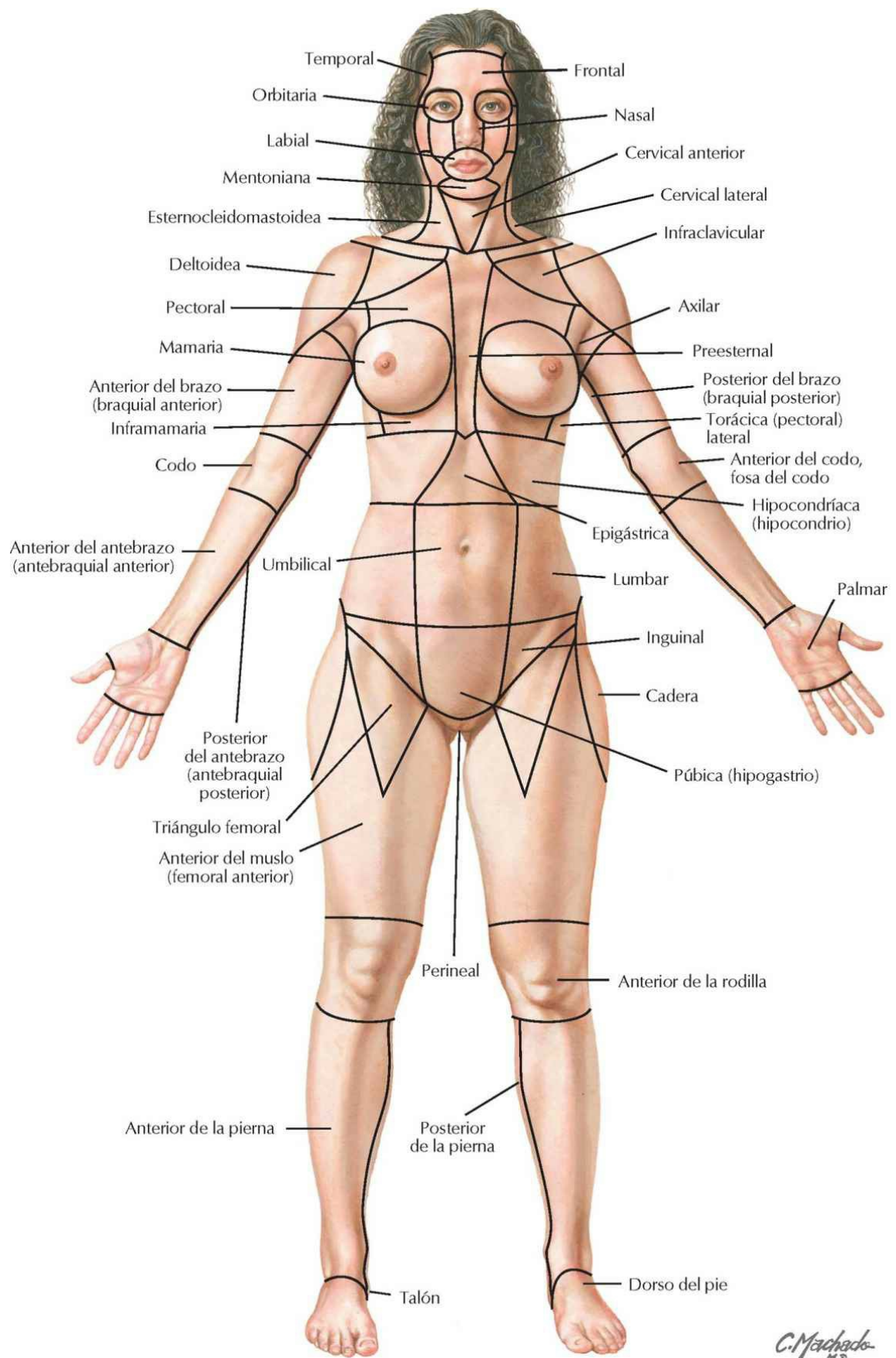
BP16 Pared arterial

Introducción

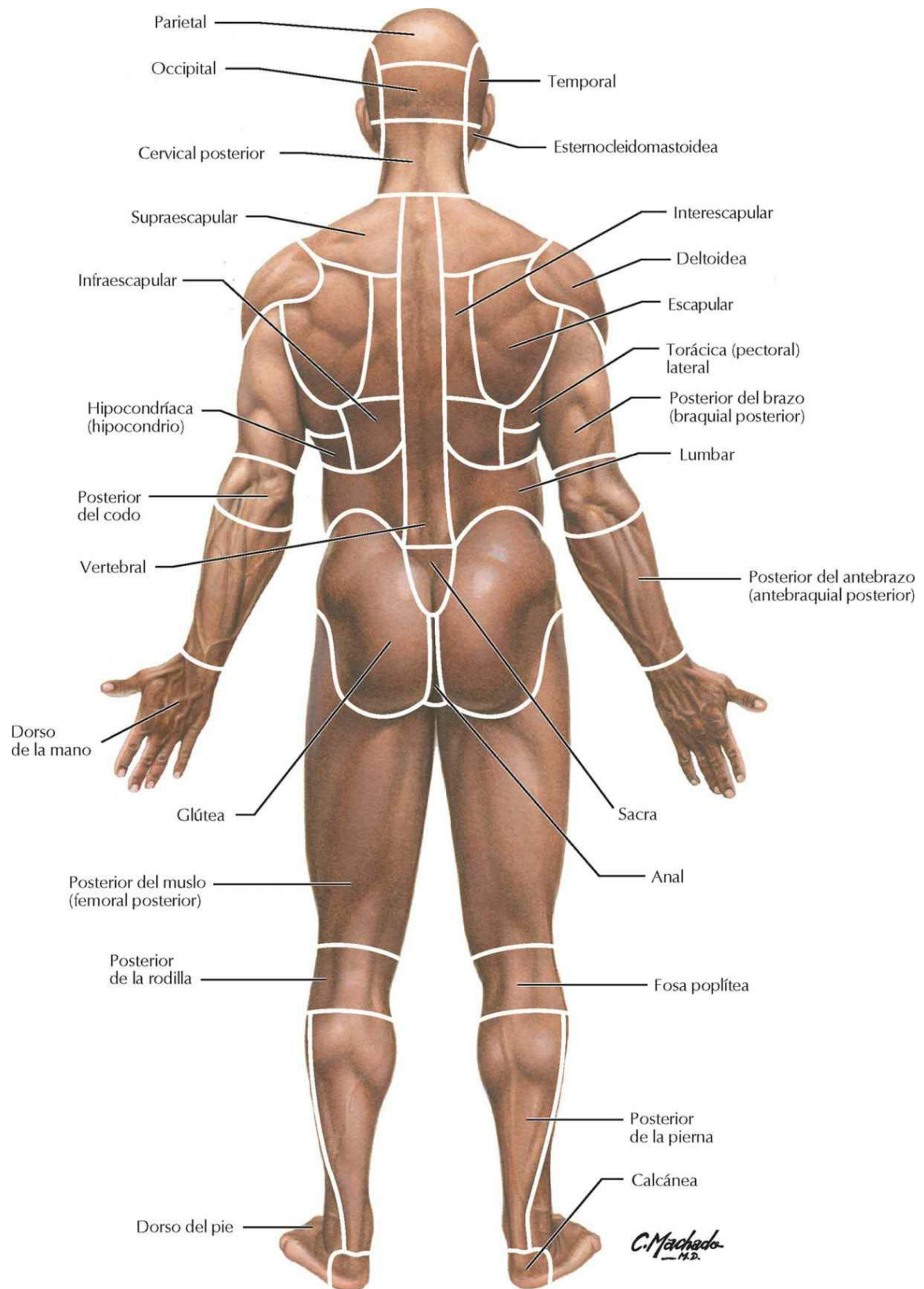
Planos corporales y términos de relación



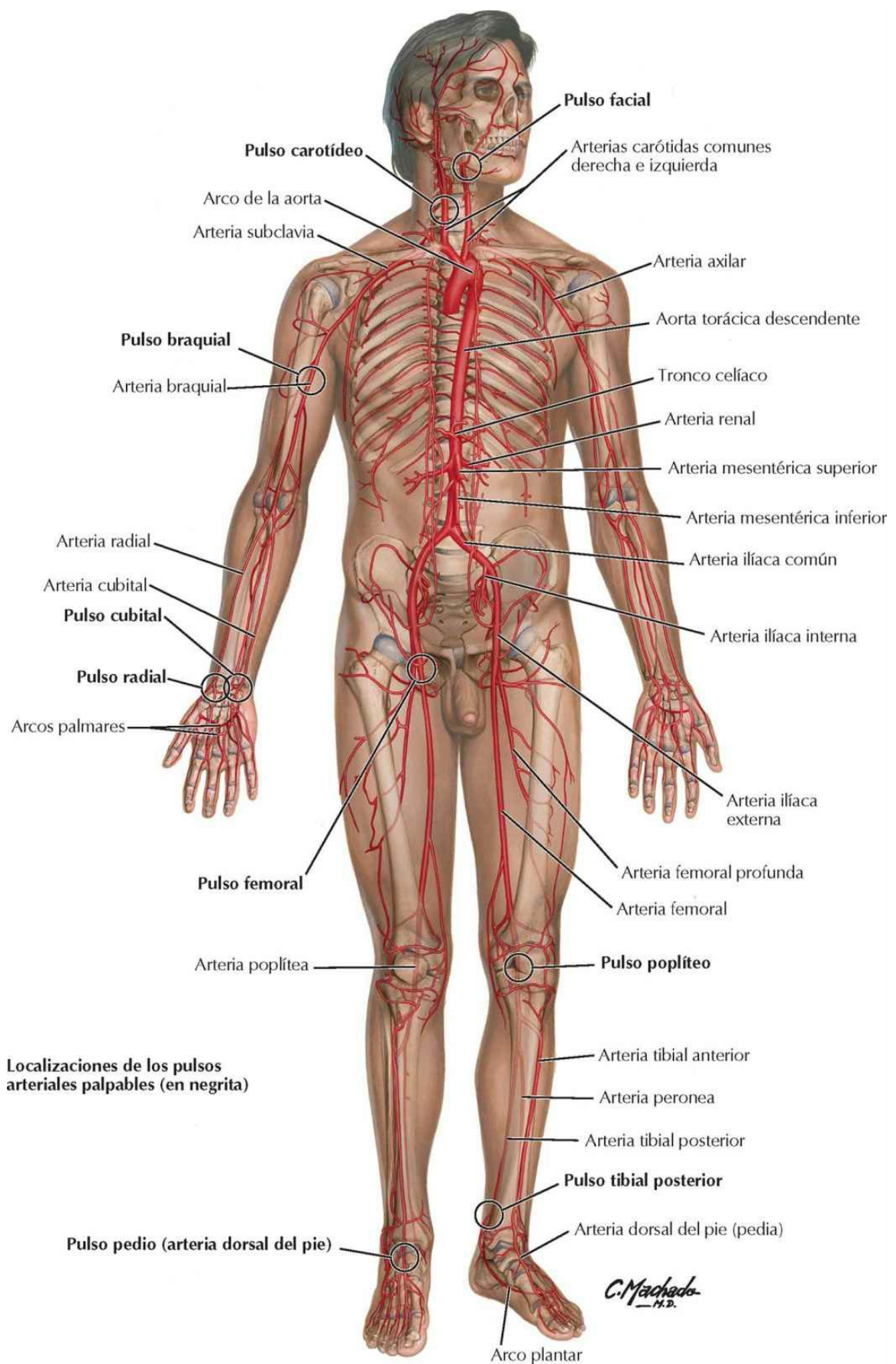
Anatomía de superficie: regiones (visión anterior en la mujer)



Anatomía de superficie: regiones (visión posterior en el varón)



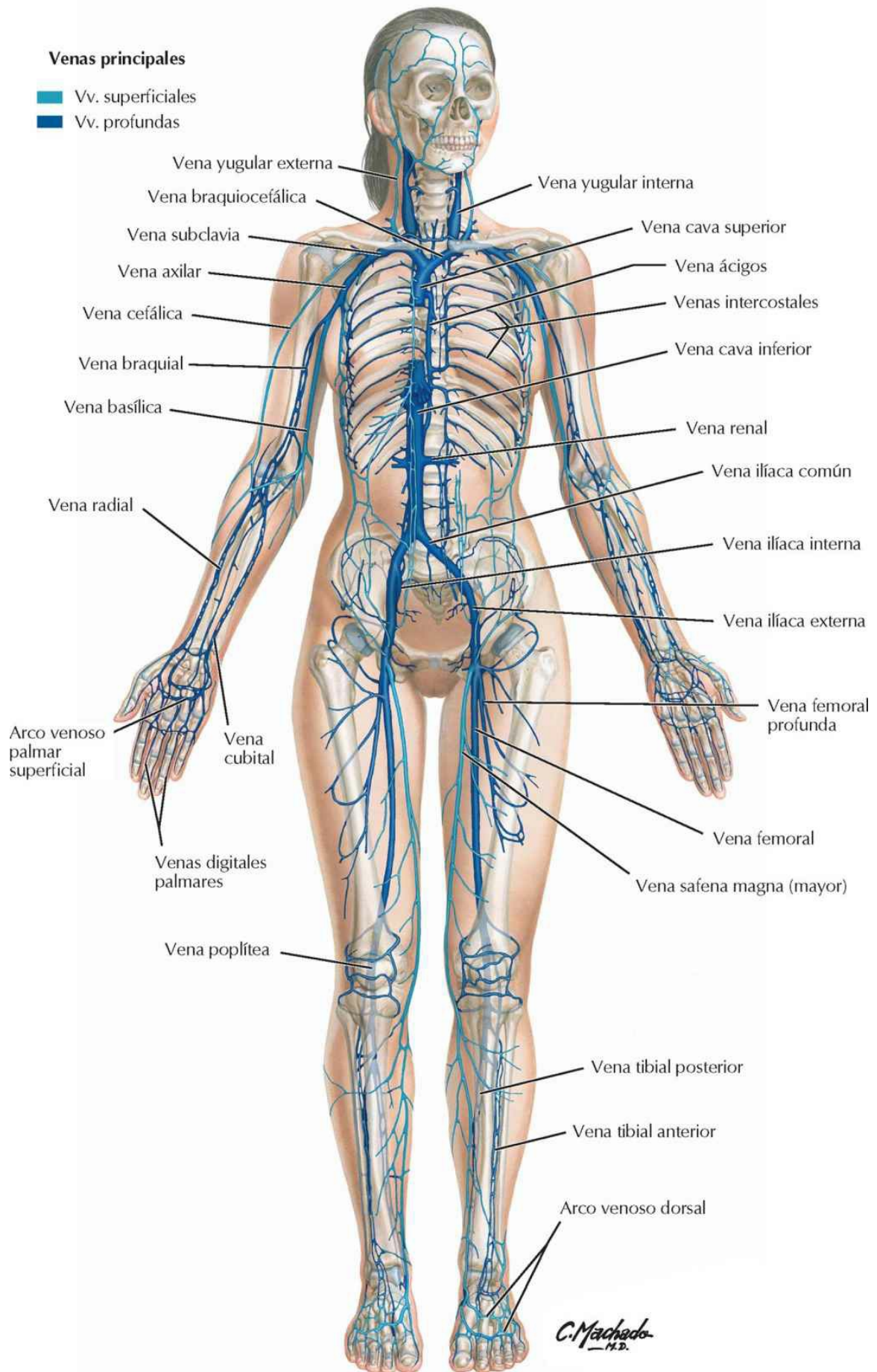
Arterias principales y puntos de localización del pulso



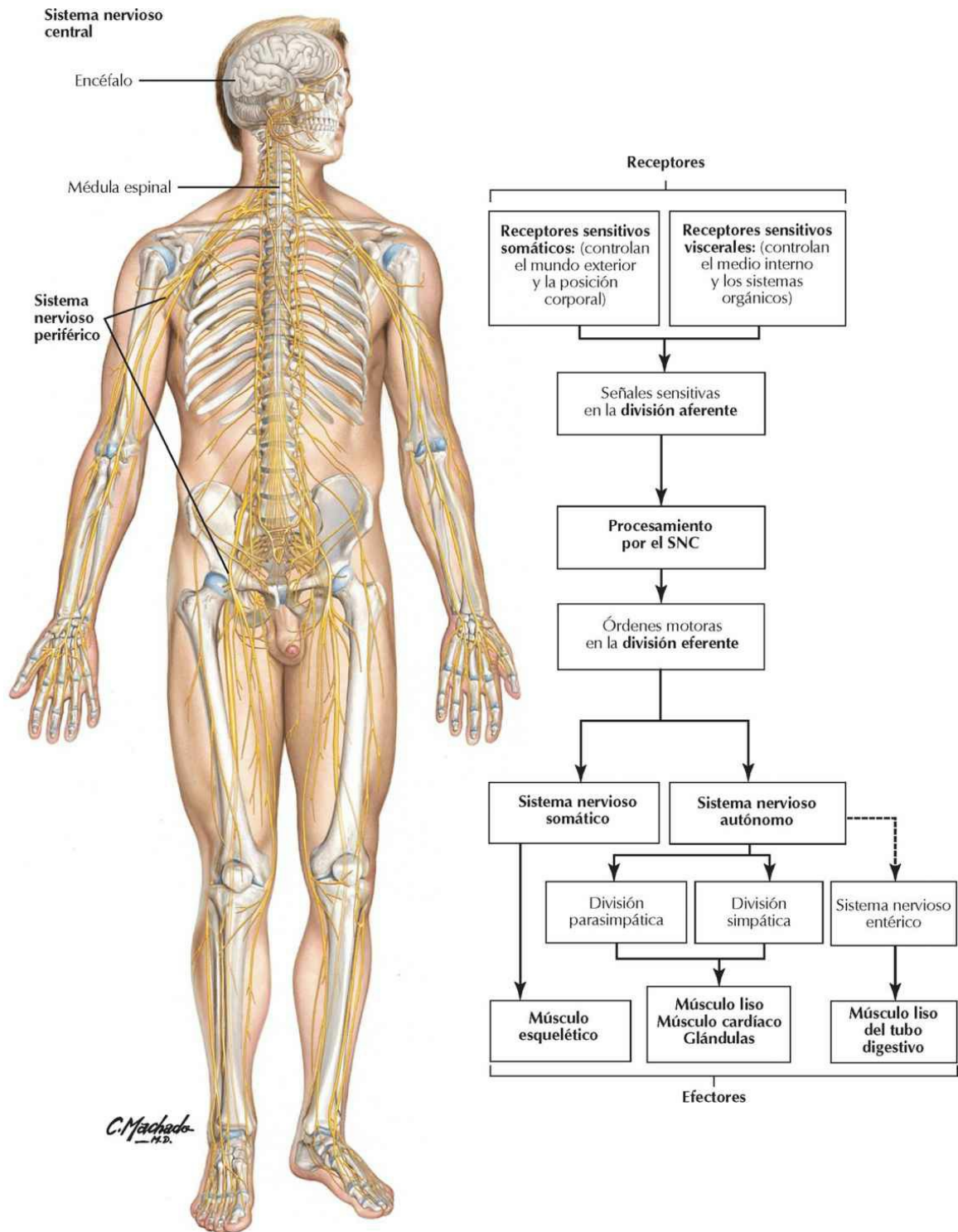
Venas sistémicas principales del sistema cardiovascular

Venas principales

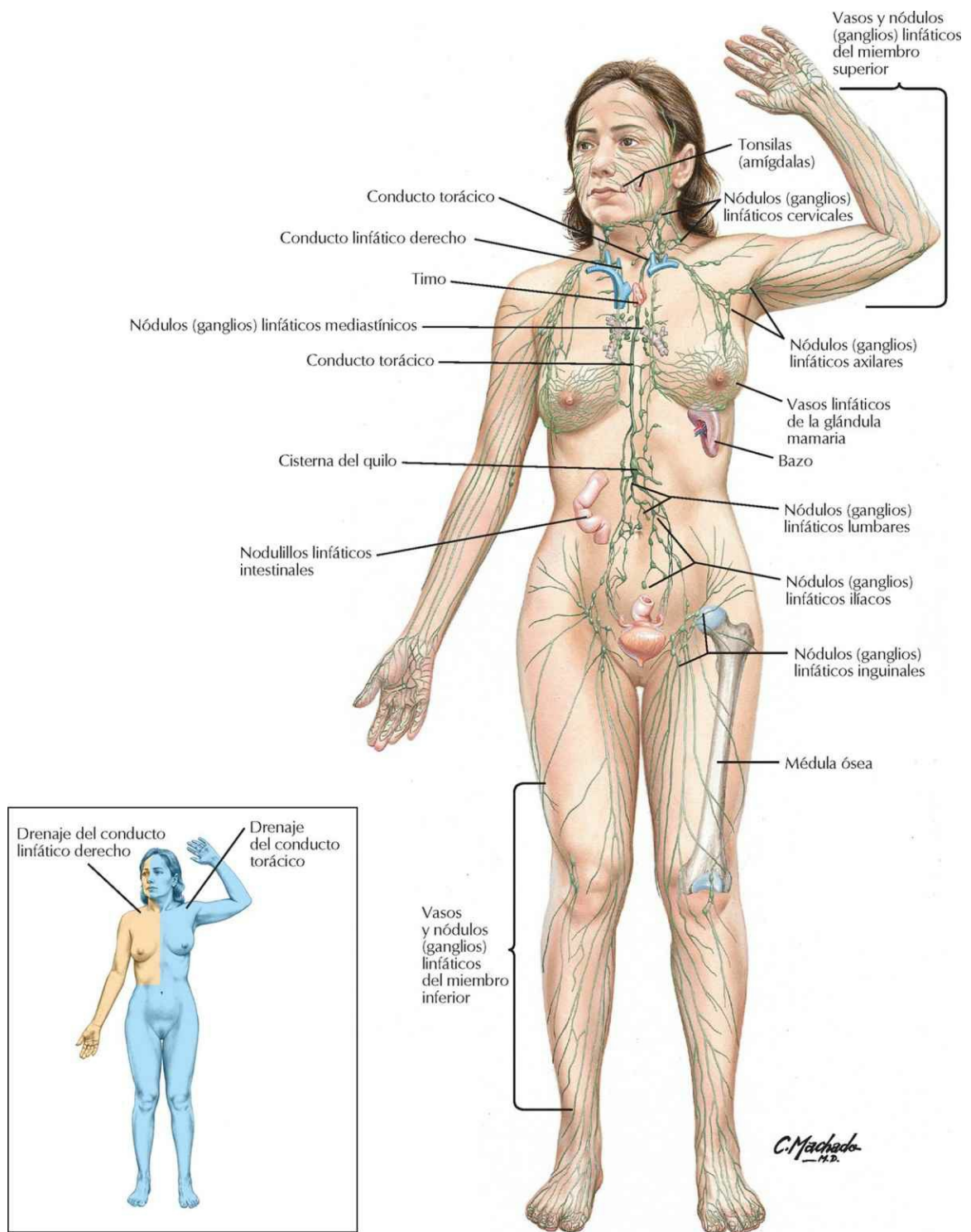
- Vv. superficiales
- Vv. profundas



Organización general del sistema nervioso



Visión general del sistema linfático



CABEZA Y CUELLO

Anatomía de superficie 8

Cabeza y cuello, plano superficial 9-10

Huesos y ligamentos 11-30

Cuello 31-41

Región nasal 42-64

Región bucal 65-74

Faringe 75-86

Glándula tiroides y laringe 87-93

Órbita y contenido 94-104

Oído 105-110

Meninges y encéfalo 111-126

Nervios craneales y cervicales 127-146

Vasculatura cerebral 147-158

Exploraciones regionales 159-160

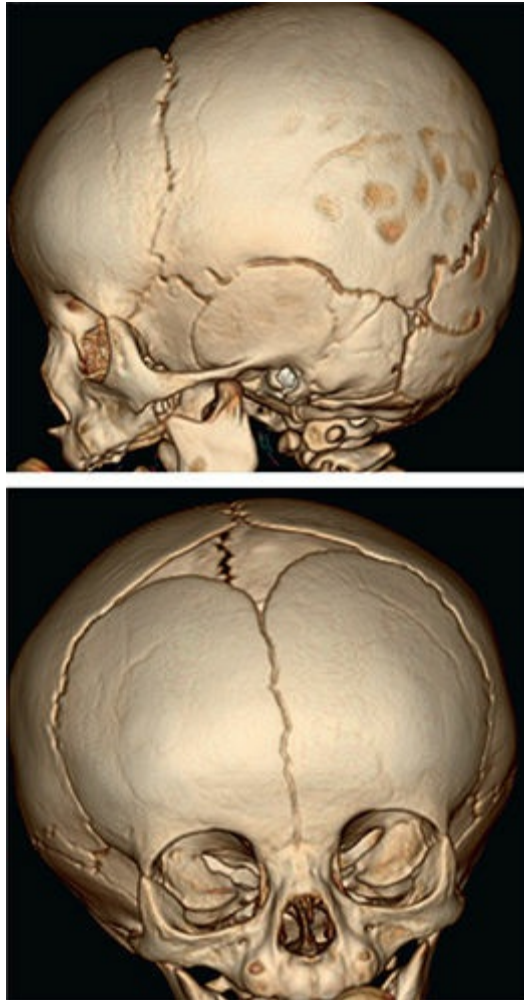
Estructuras con gran significación clínica

Tablas 2.1-2.3

Tablas de músculos Tablas 2.4-2.9

Láminas electrónicas extra BP17-BP32

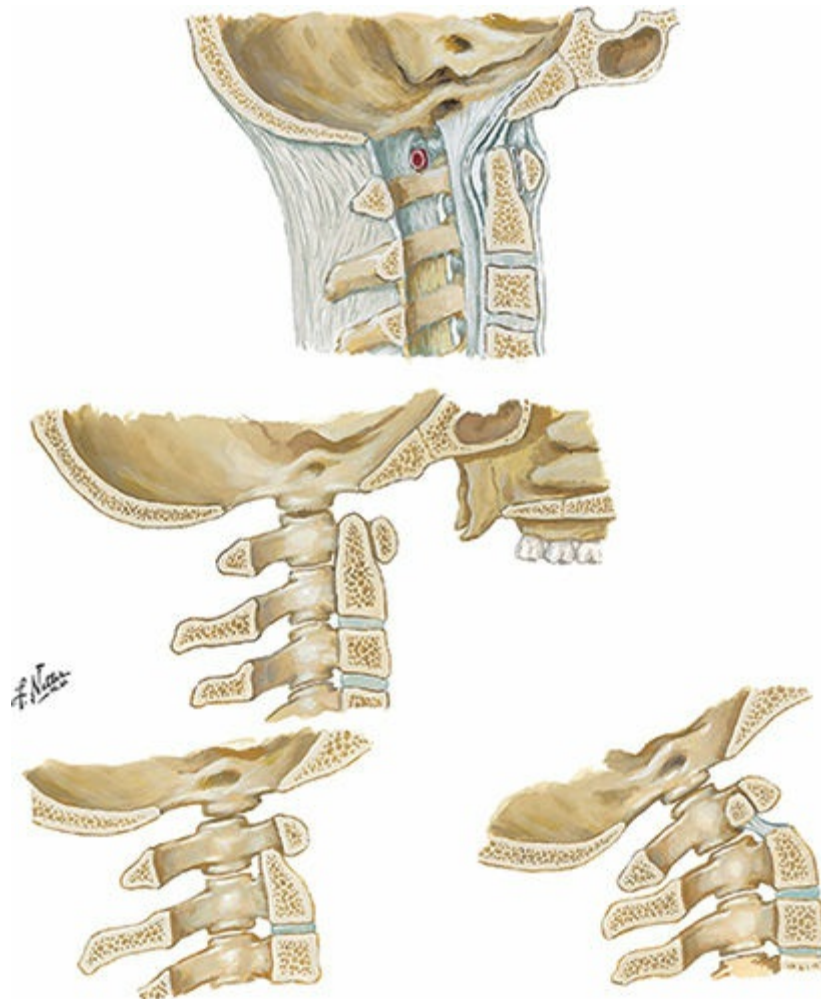
LÁMINAS ELECTRÓNICAS EXTRA



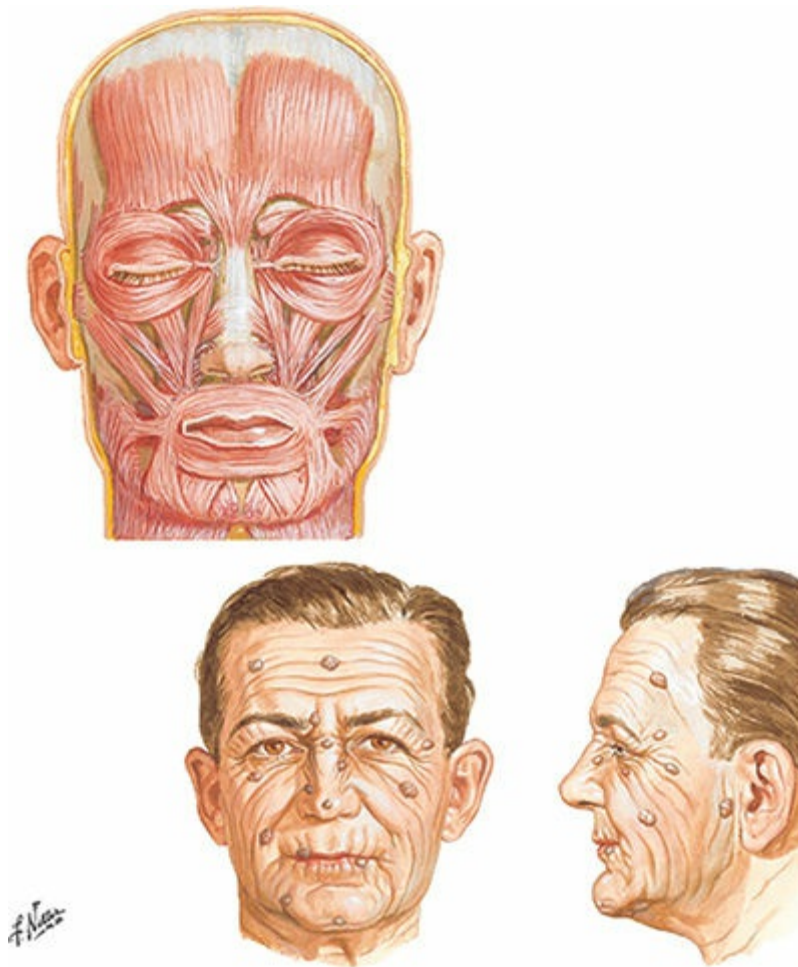
BP17 TC del cráneo; reconstrucción 3D



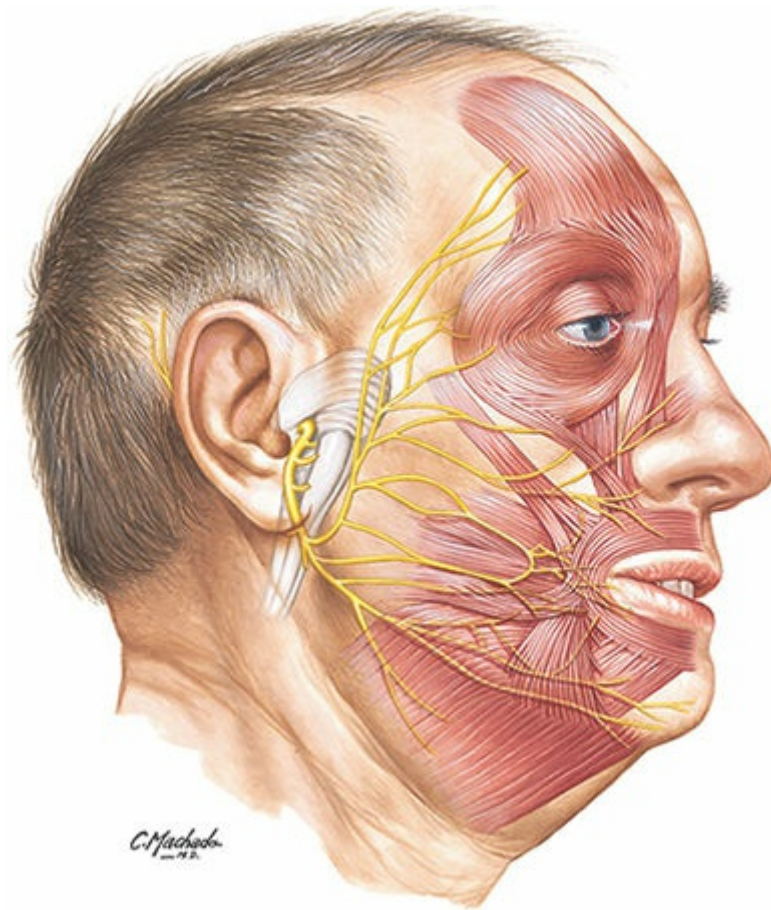
BP18 Cambios degenerativos en vértebras cervicales



BP19 Articulación atlantooccipital



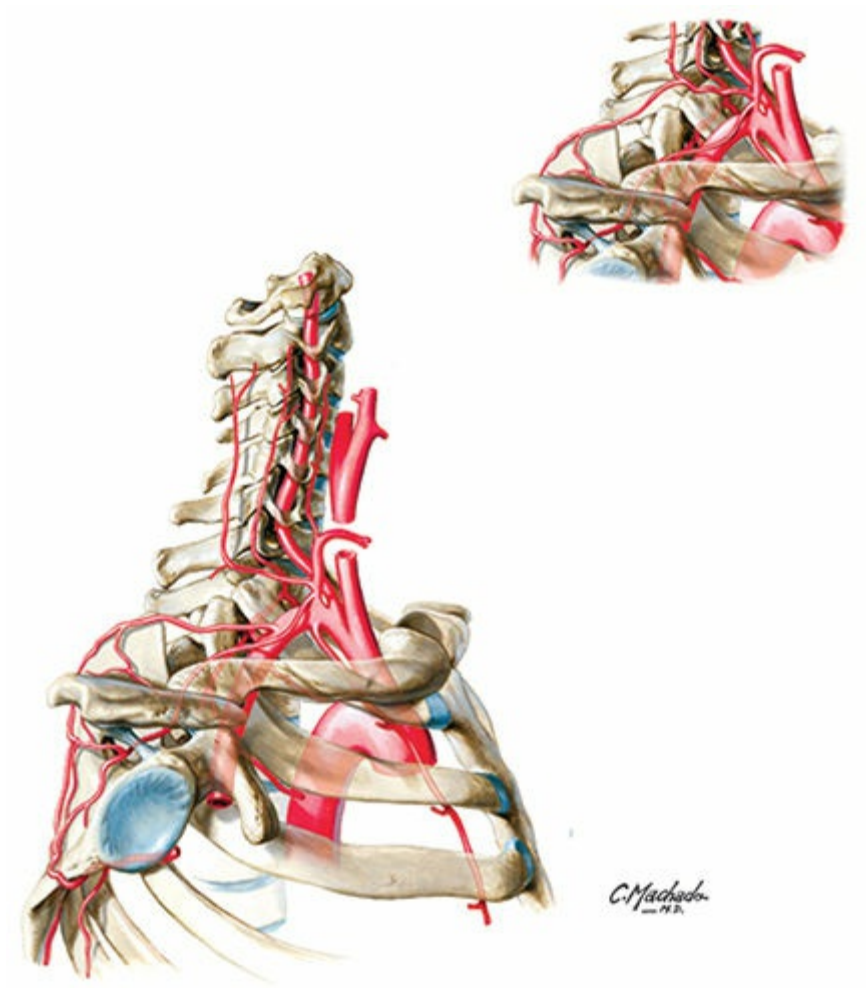
BP20 Músculos faciales (de la mímica): visión anterior



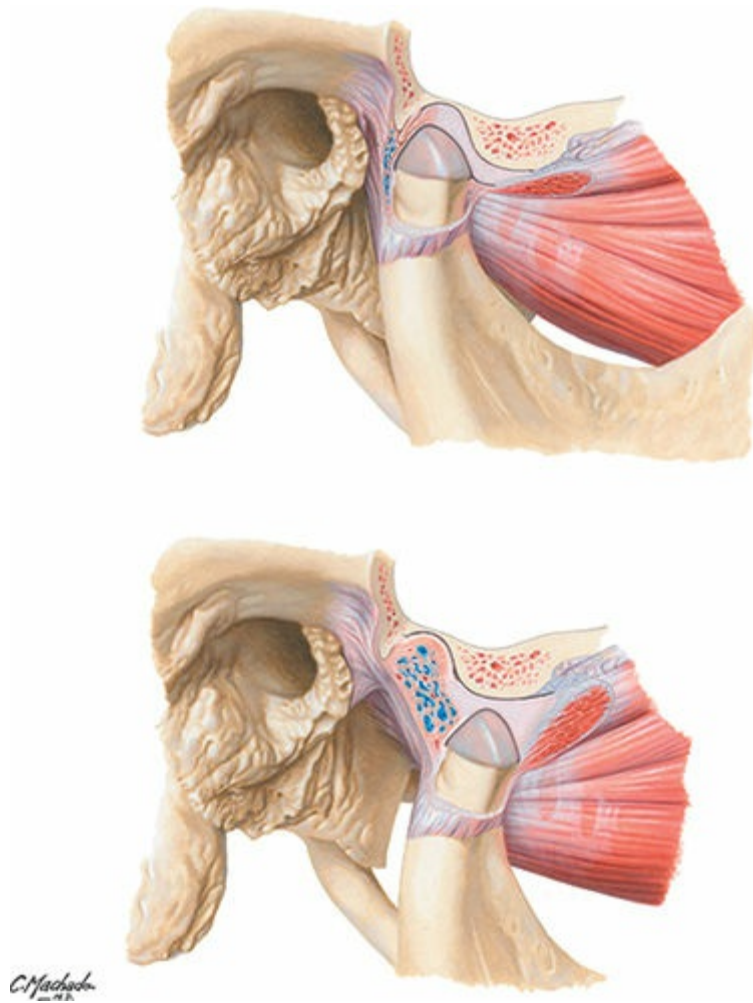
BP23 Arteria subclavia



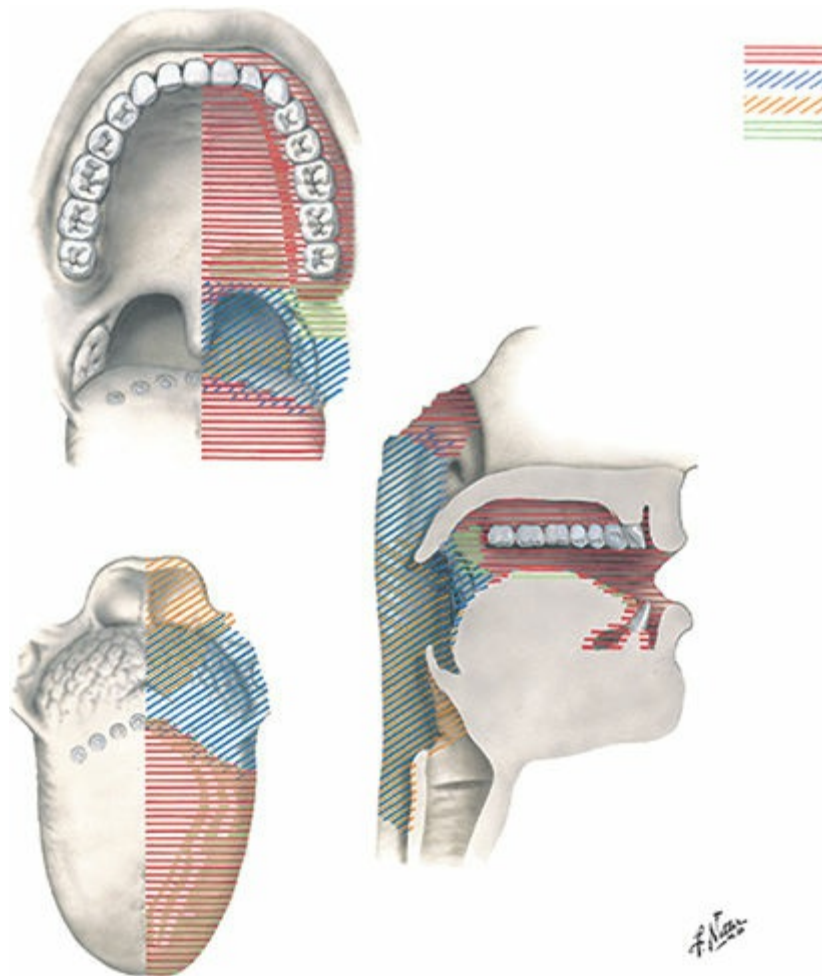
BP22 Senos paranasales



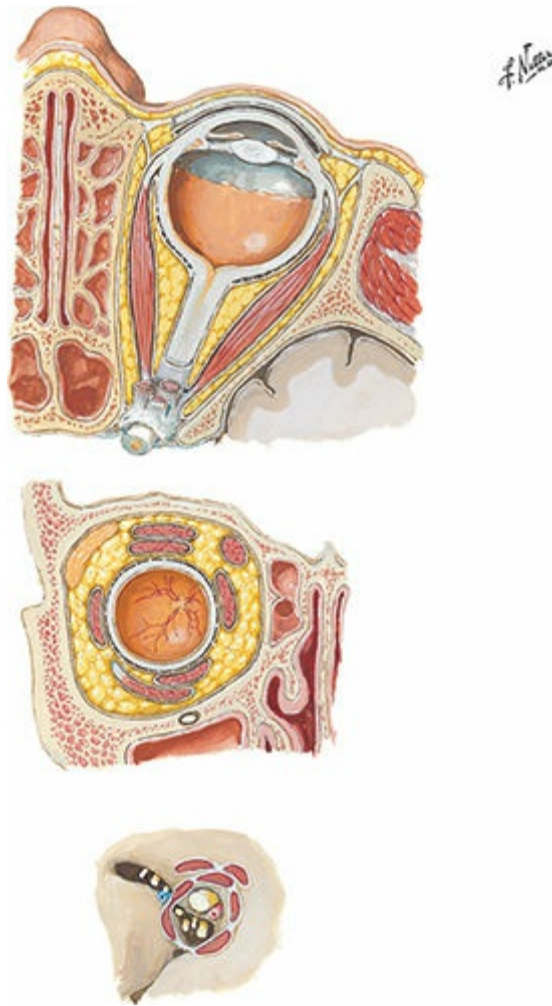
BP21 Músculos faciales (de la mímica)



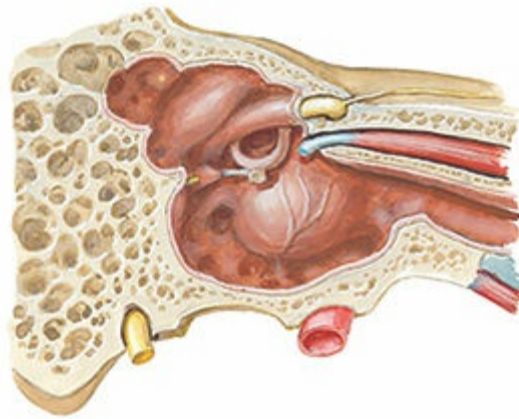
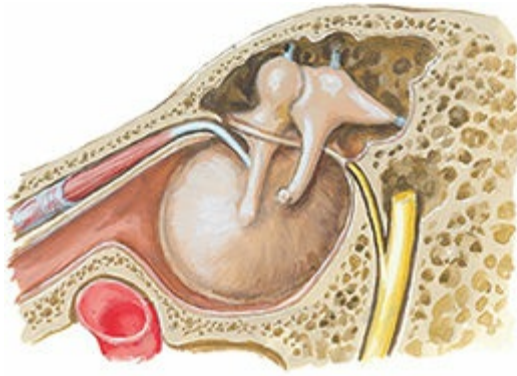
BP24 Apertura de la mandíbula



BP25 Inervación aferente de la cavidad bucal y faringe



BP26 Fascias de la órbita y globo ocular

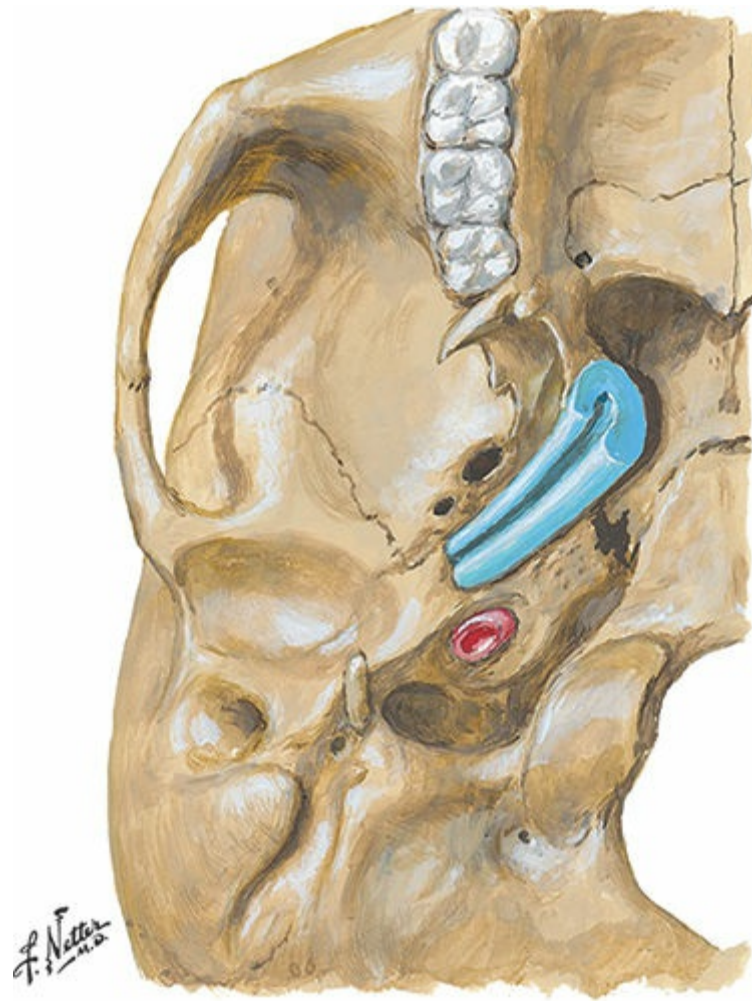


f. Nave

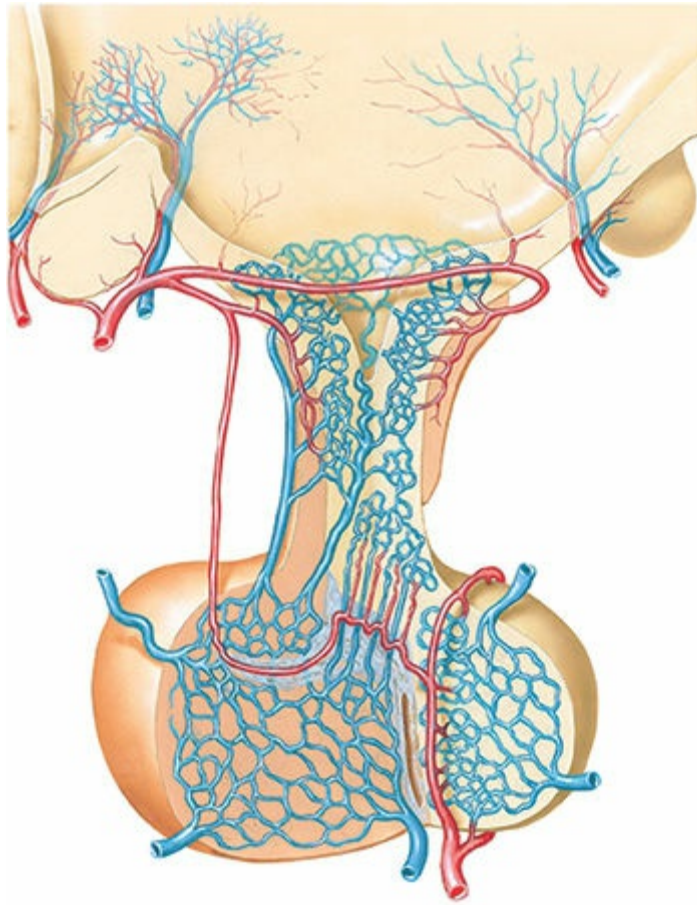
BP27 Cavity timpánica



BP28 Anatomía del oído en el niño



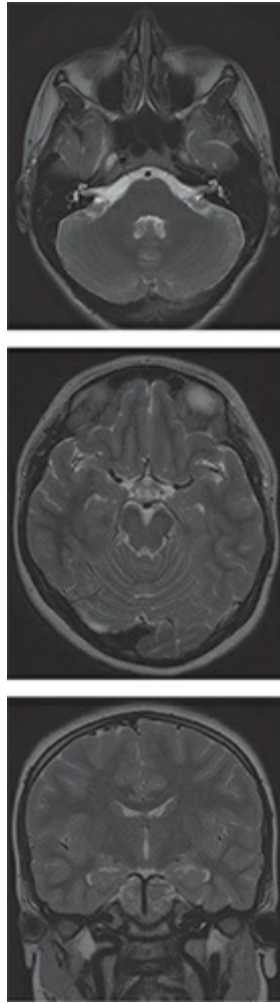
BP29 Trompa auditiva (de Eustaquio)



BP30 Arterias y venas del hipotálamo y la hipófisis *f. Nave*



BP31 Angiografías por RM venosa (VRM) y arterial (ARM) del cráneo

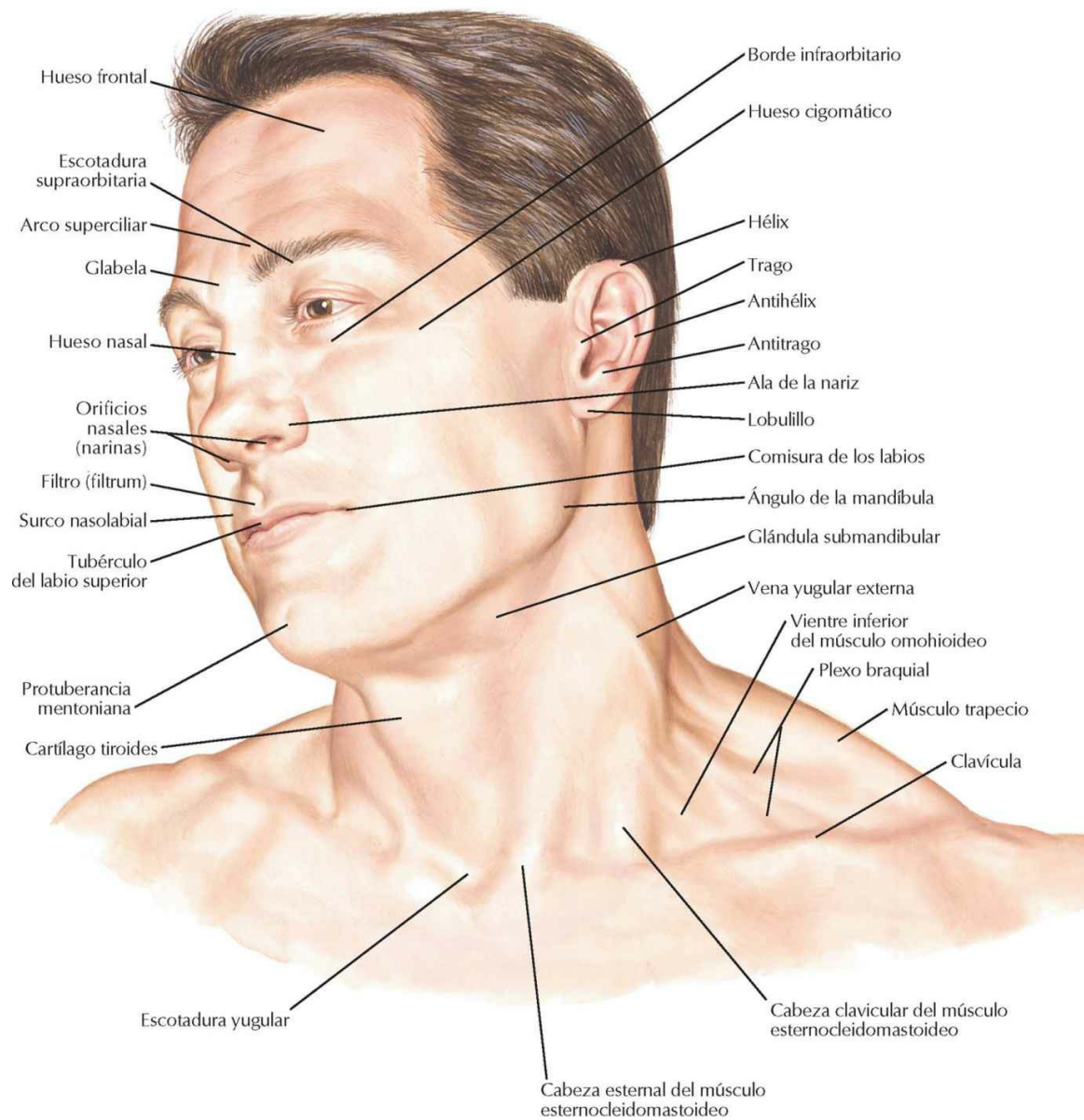


BP32 RM axiales (transversales) y coronal del
encéfalo

Anatomía de superficie

Cabeza y cuello: anatomía de superficie

Véase también lámina 171

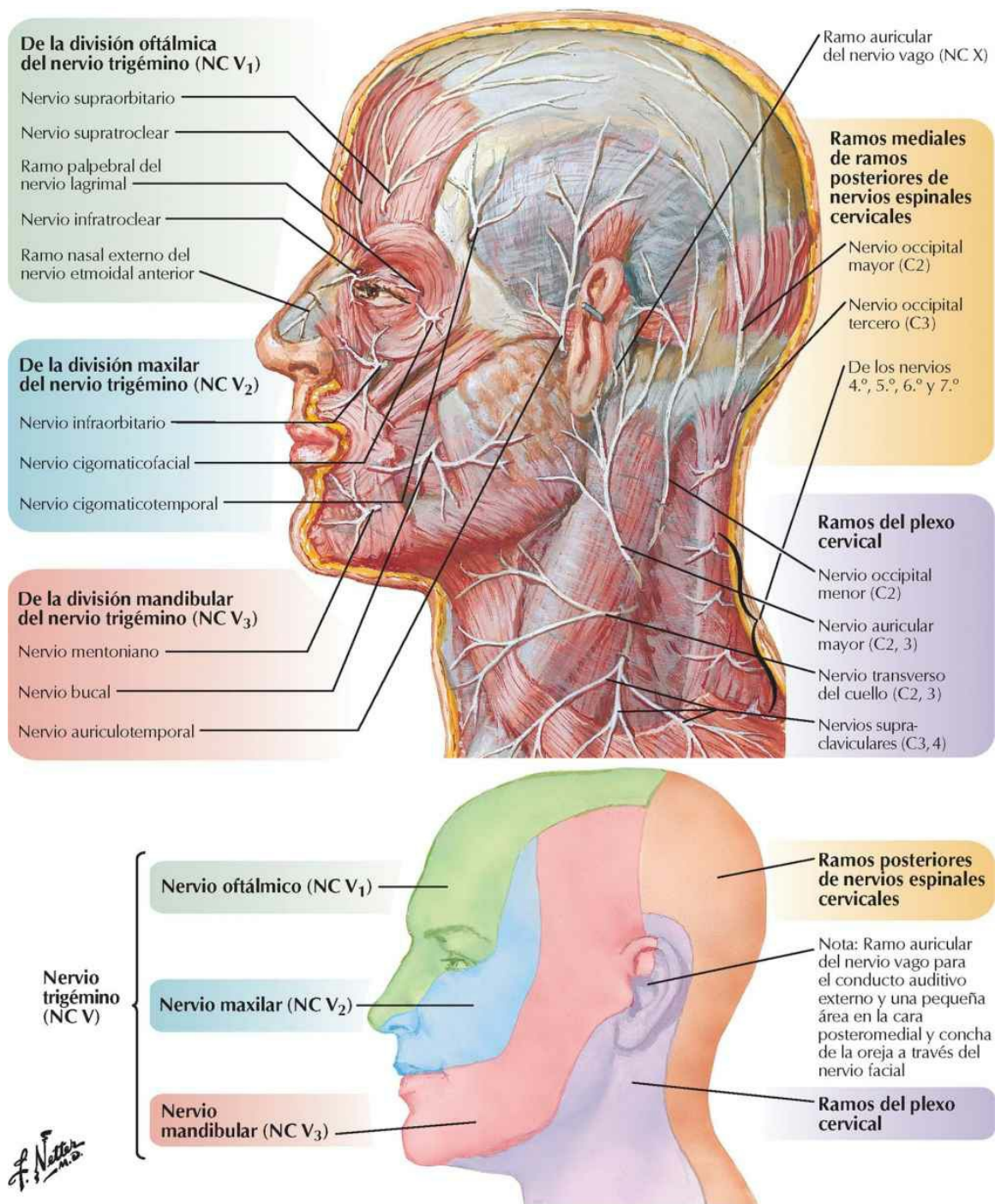


C. Machado
—142—

Cabeza y cuello, plano superficial

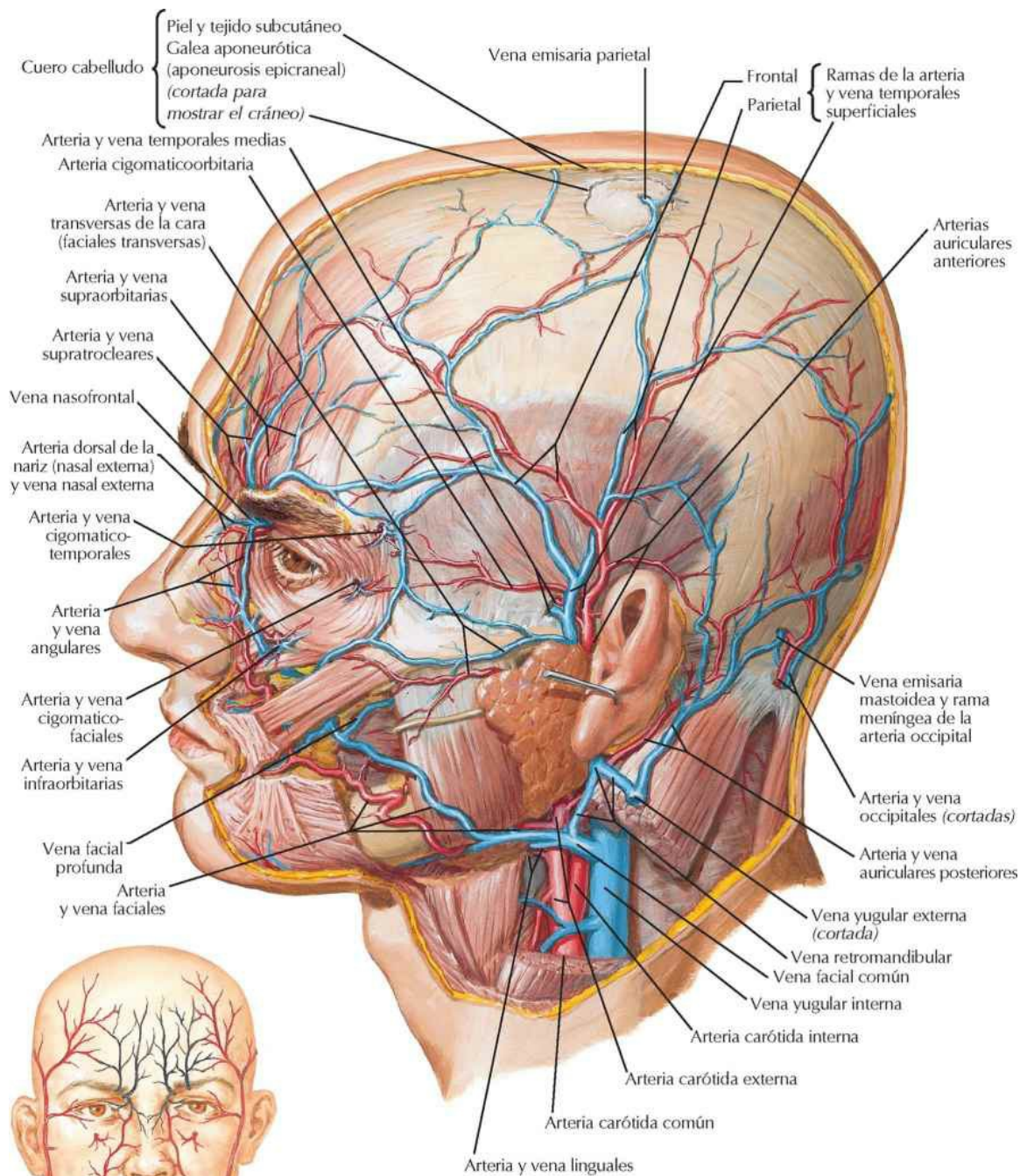
Nervios cutáneos de la cabeza y cuello

Véanse también láminas 39, 42, 61



Arterias y venas superficiales de la cara y cuero cabelludo

Véanse también láminas 57, 83, 84



Vascularización arterial de la cara

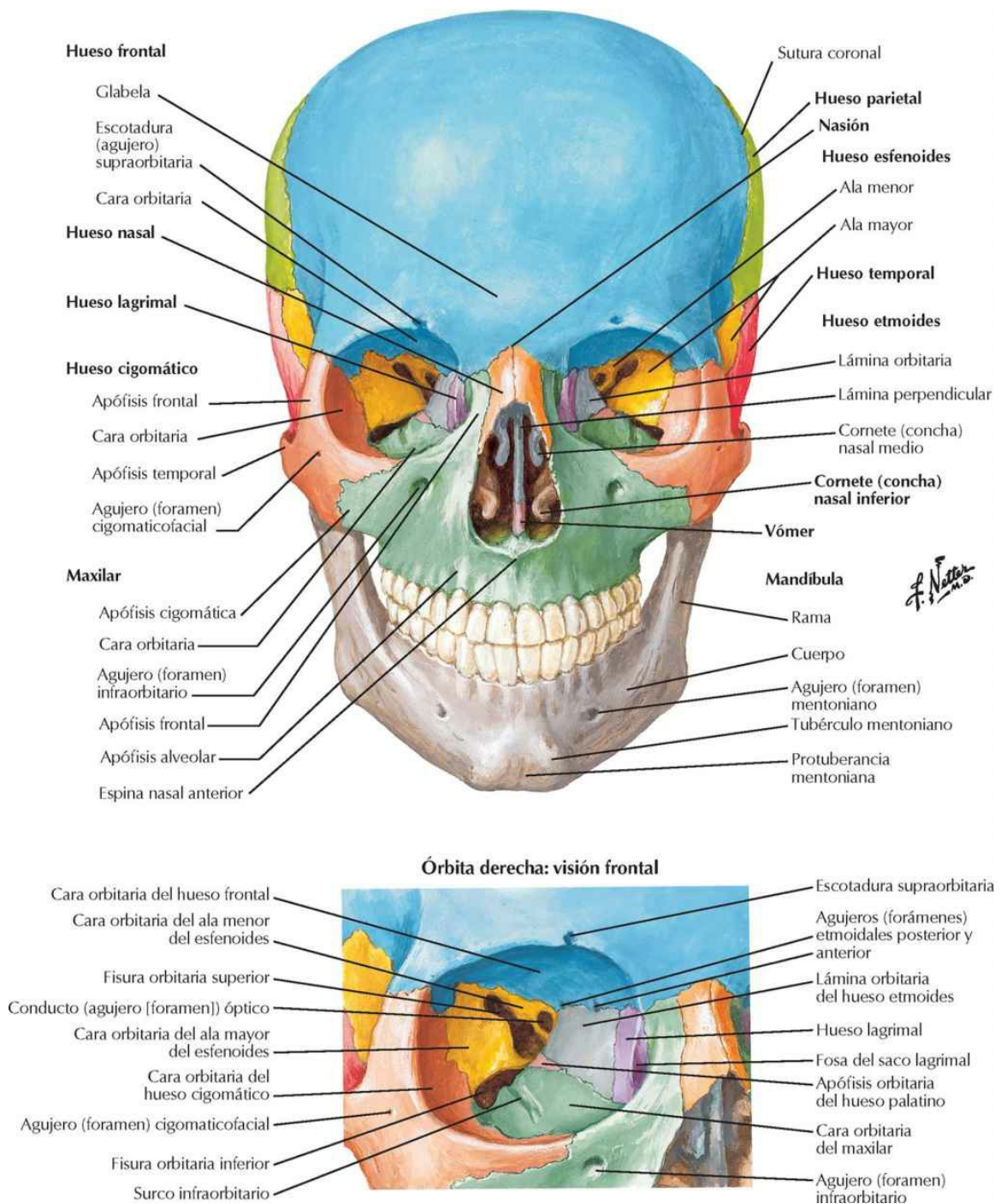
Negro: de la arteria carótida interna (vía arteria oftálmica)
 Rojo: de la arteria carótida externa

F. Netter M.D.

Huesos y ligamentos

Cráneo: visión anterior

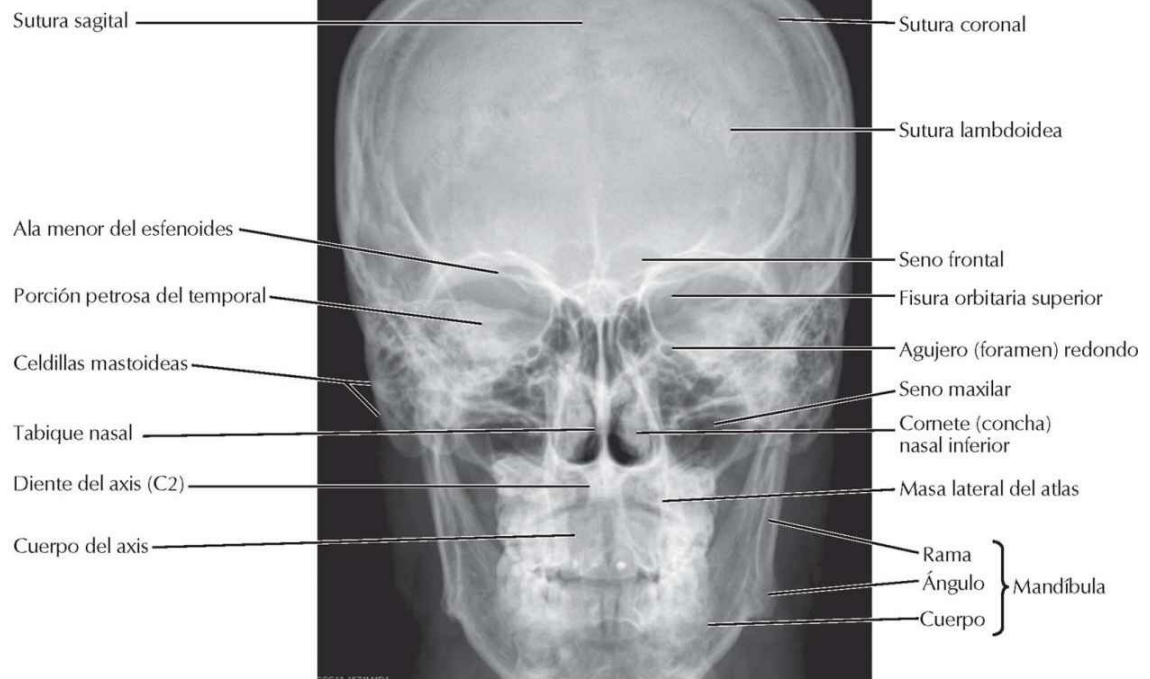
Véase también lámina 13



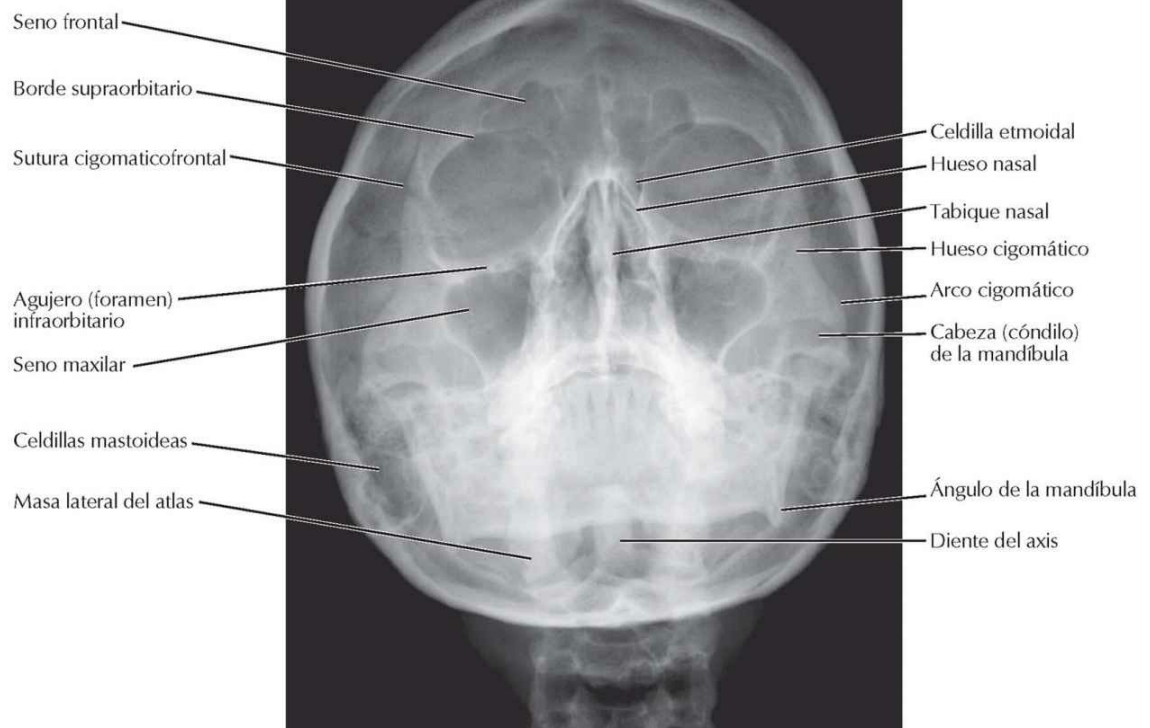
Cráneo: radiografías

Véase también lámina 11

Proyección posteroanterior

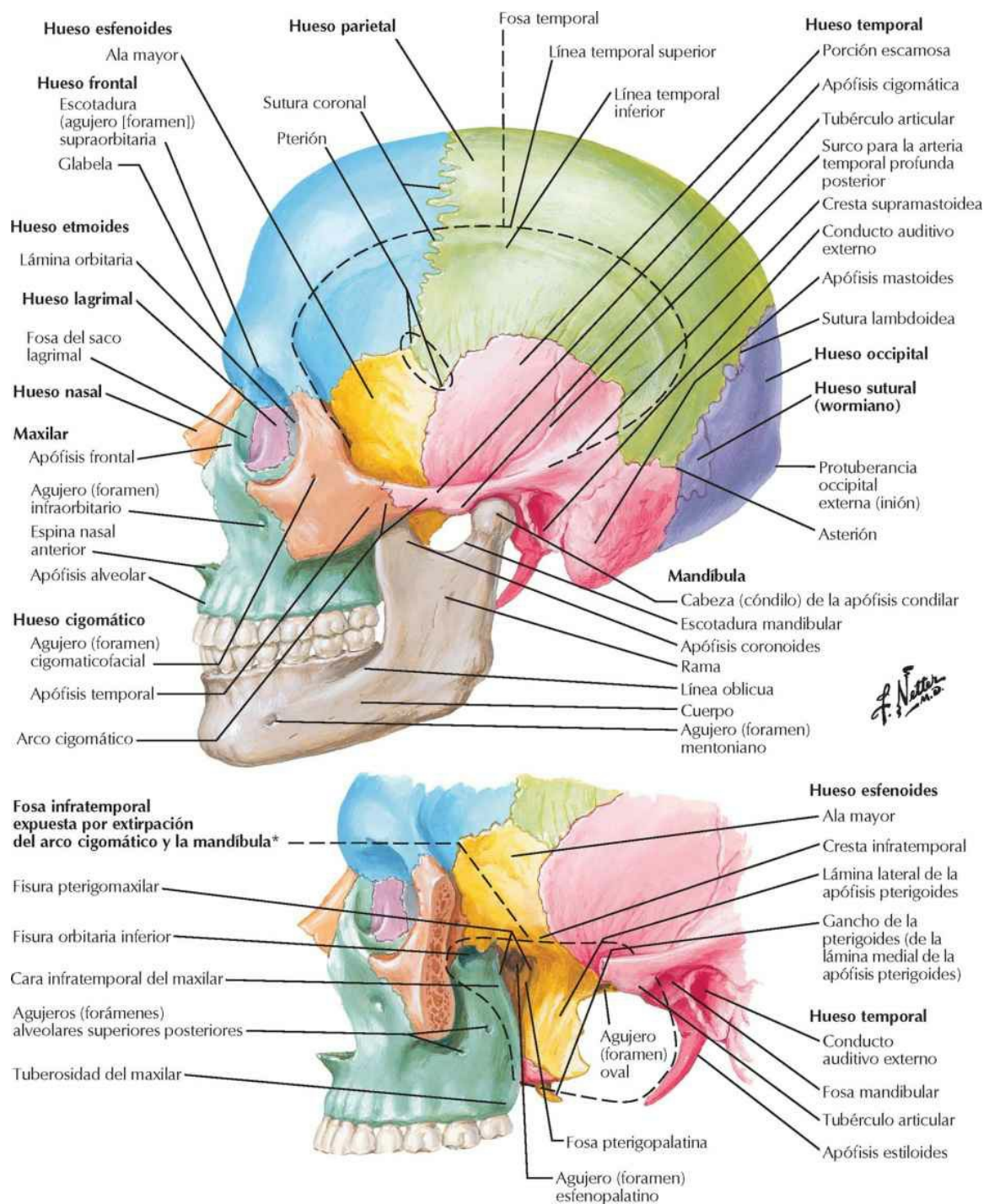


Proyección de Waters



Cráneo: visión lateral

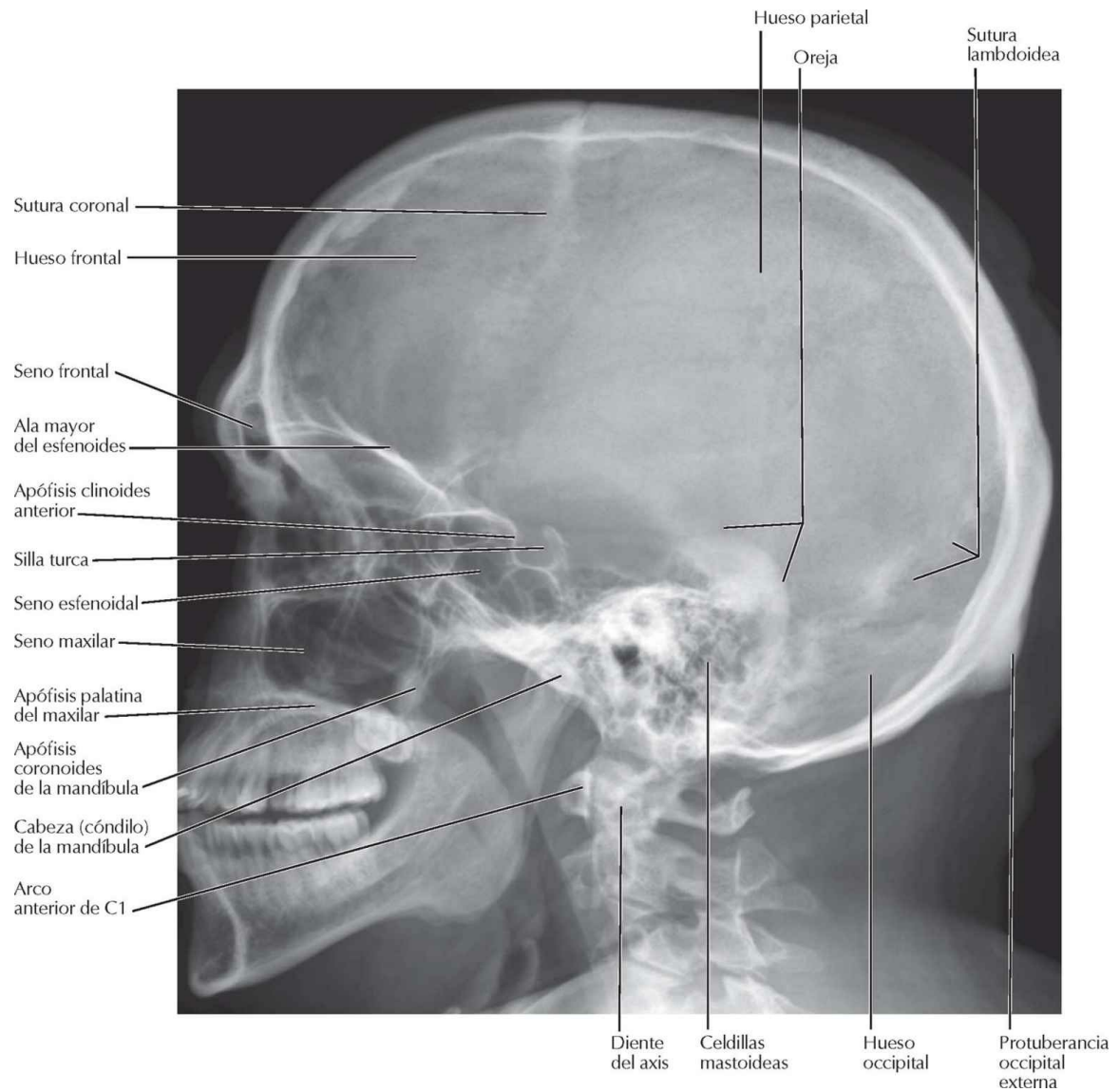
Véanse también láminas 14, 15, 22



*Superficialmente, la apófisis mastoides forma el límite posterior.

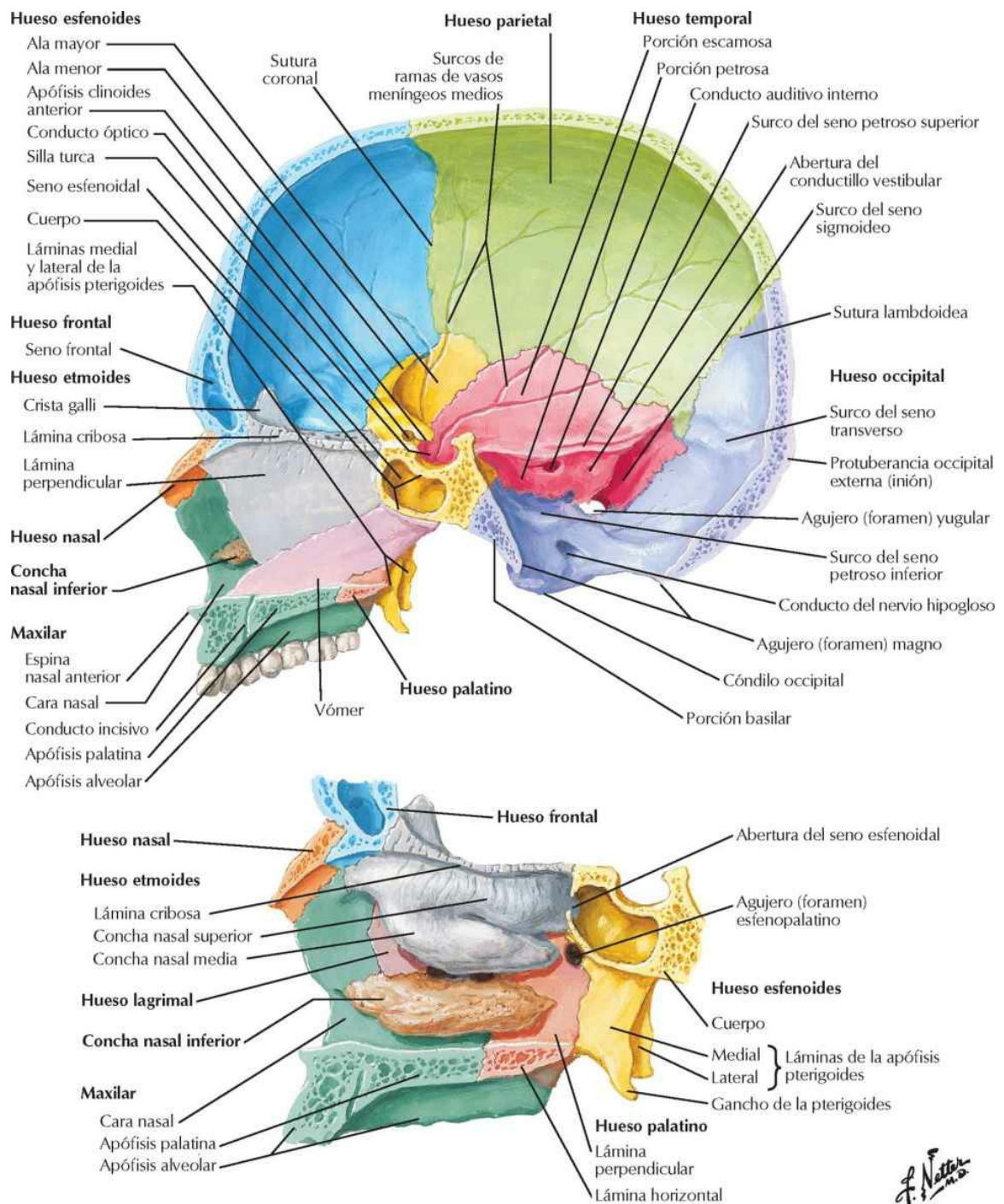
Cráneo: radiografía lateral

Véase también lámina 15



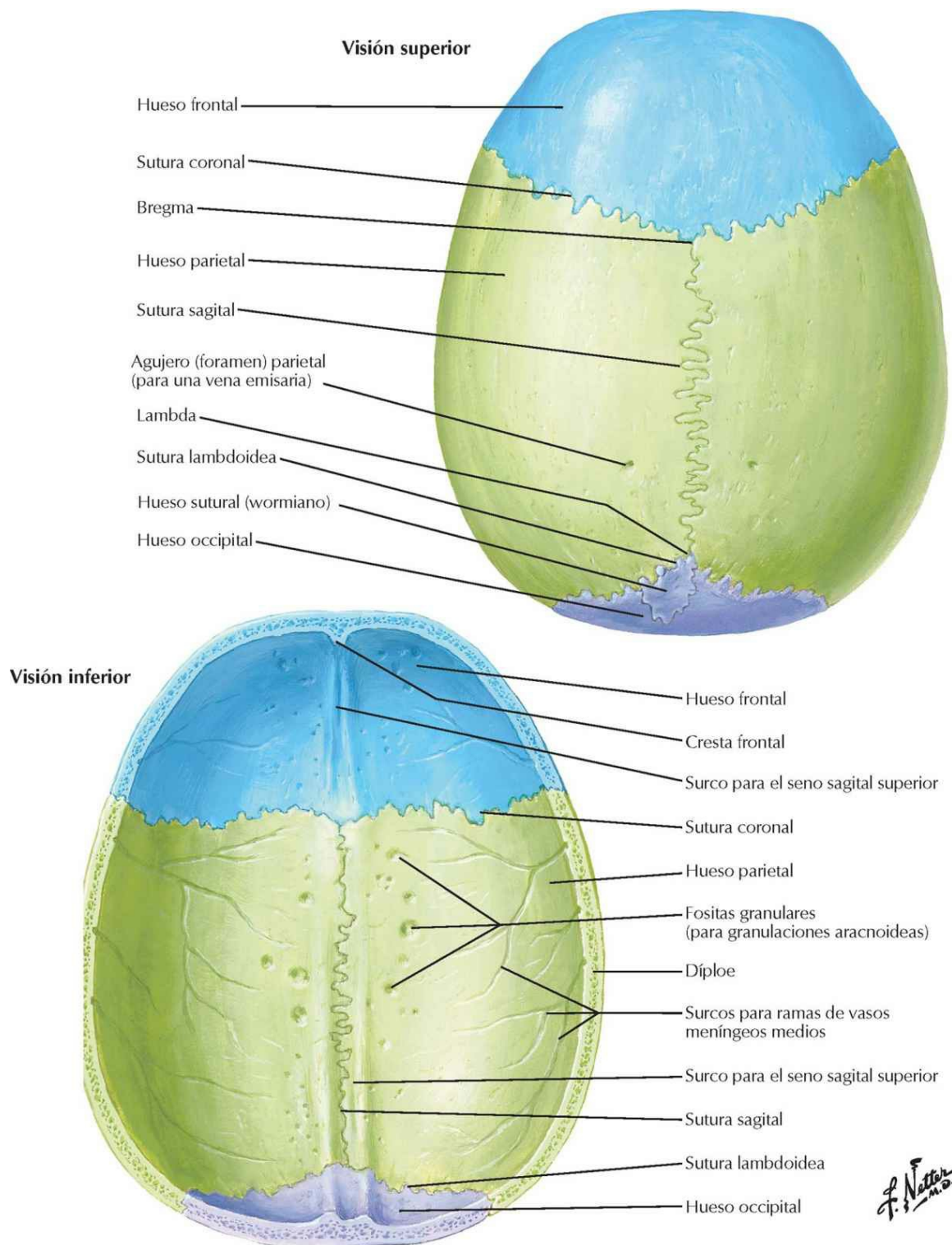
Cráneo: sección sagital media

Véanse también láminas 44, 46



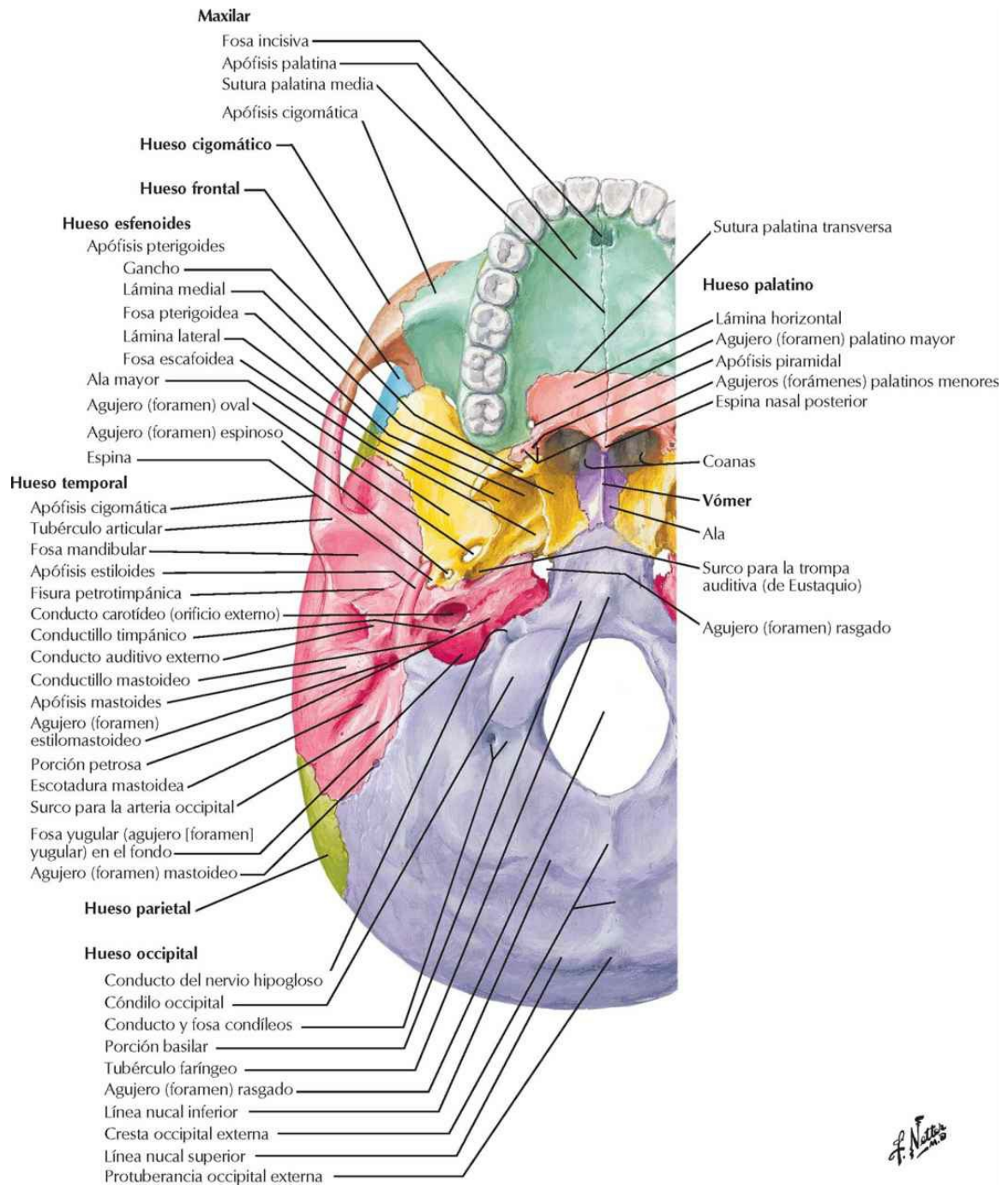
Calvaria

Véanse también láminas 111, 112



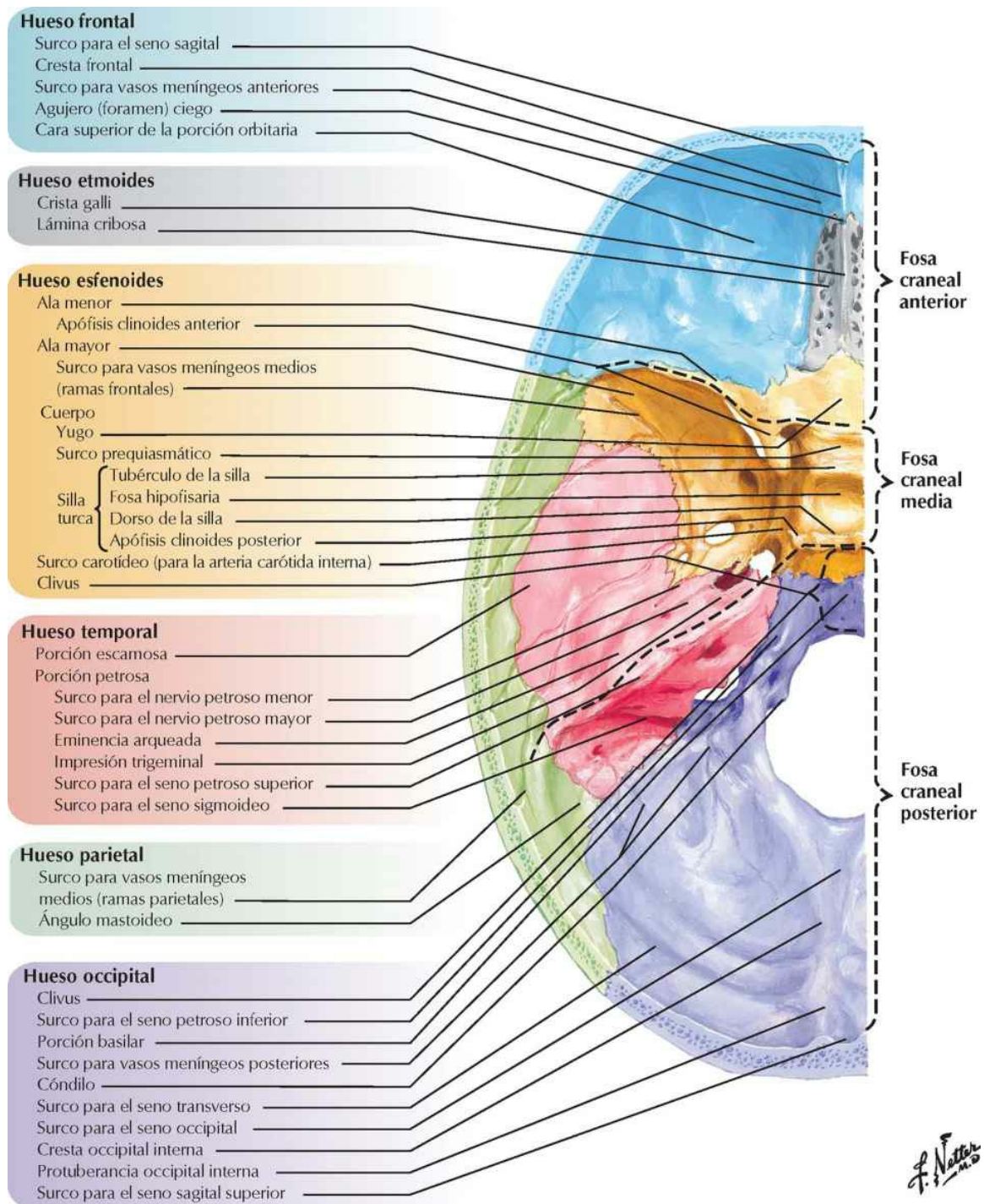
Base del cráneo: visión inferior

Véase también lámina 19



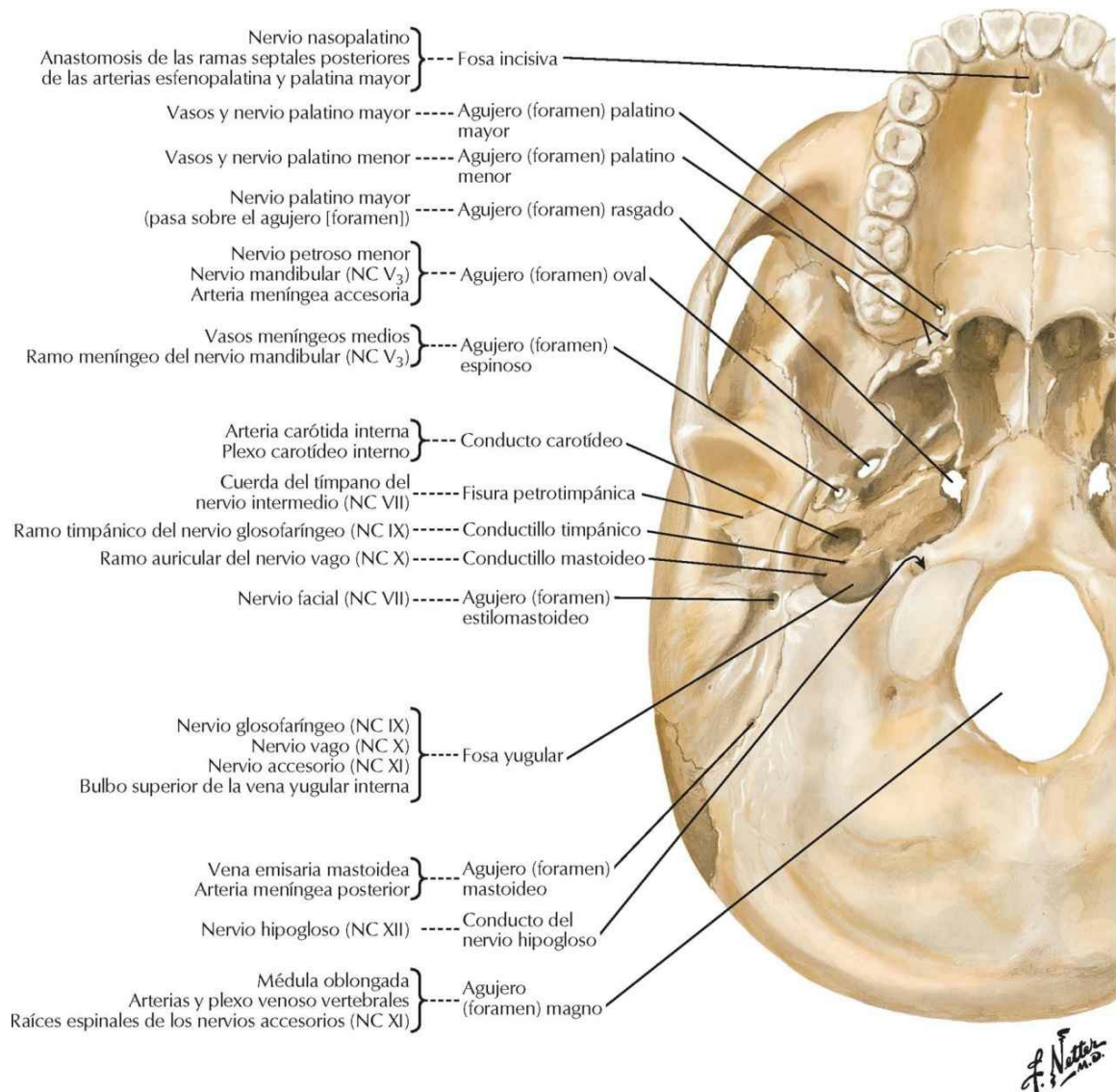
Base del cráneo: visión superior

Véanse también láminas 20, 115



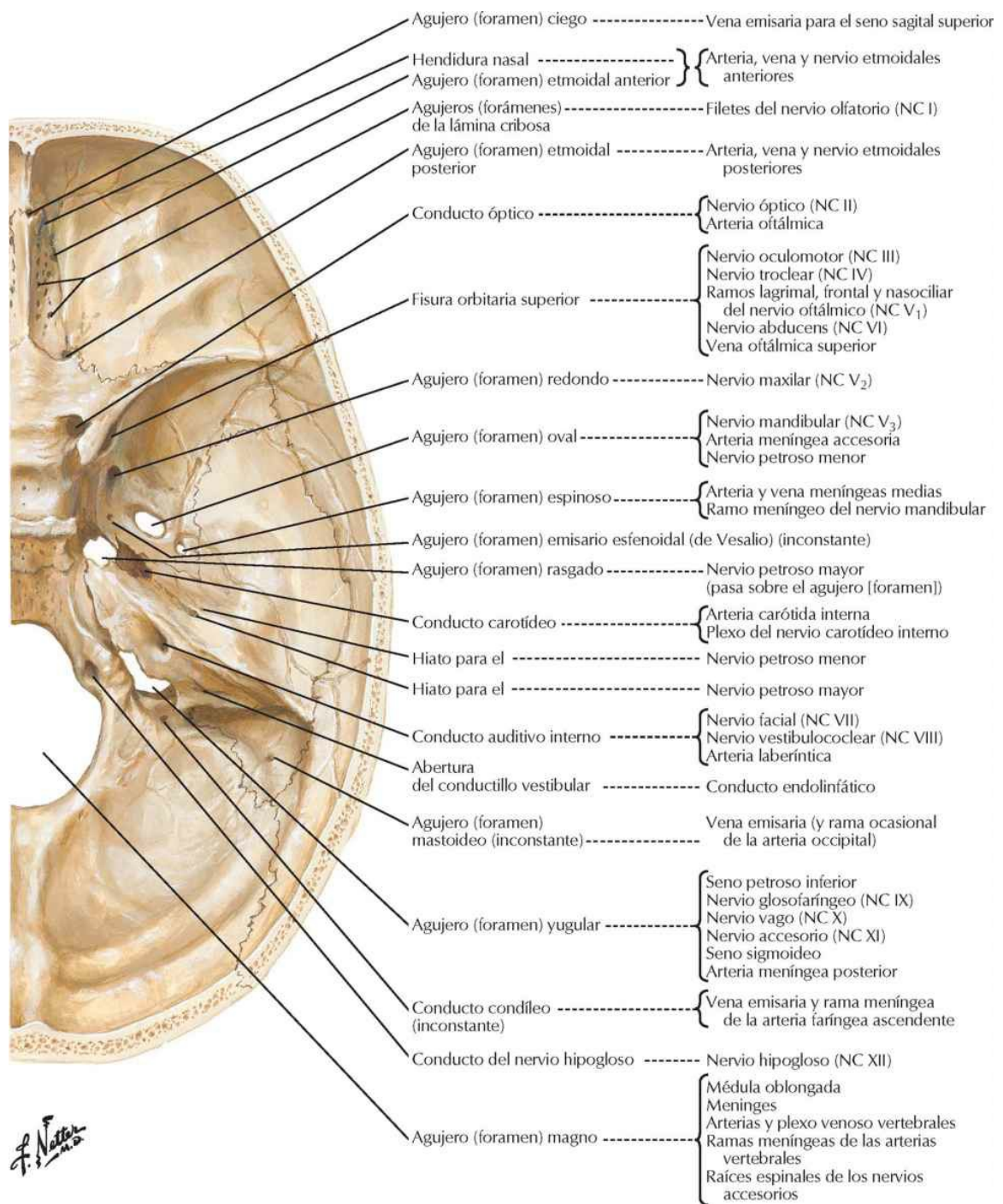
Orificios y conductos de la base del cráneo: visión inferior

Véase también lámina 17



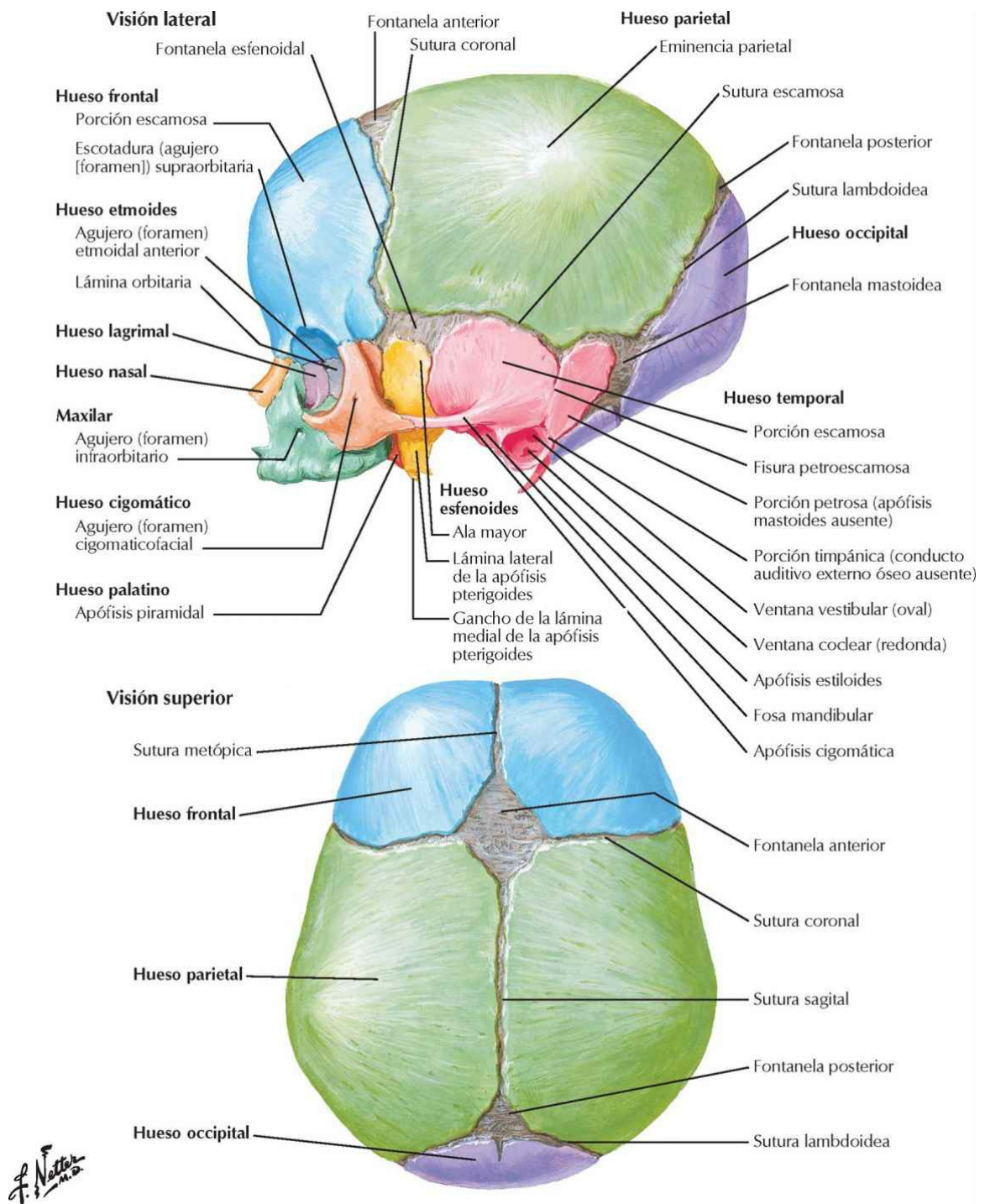
Orificios y conductos de la base del cráneo: visión superior

Véanse también láminas 18, 115



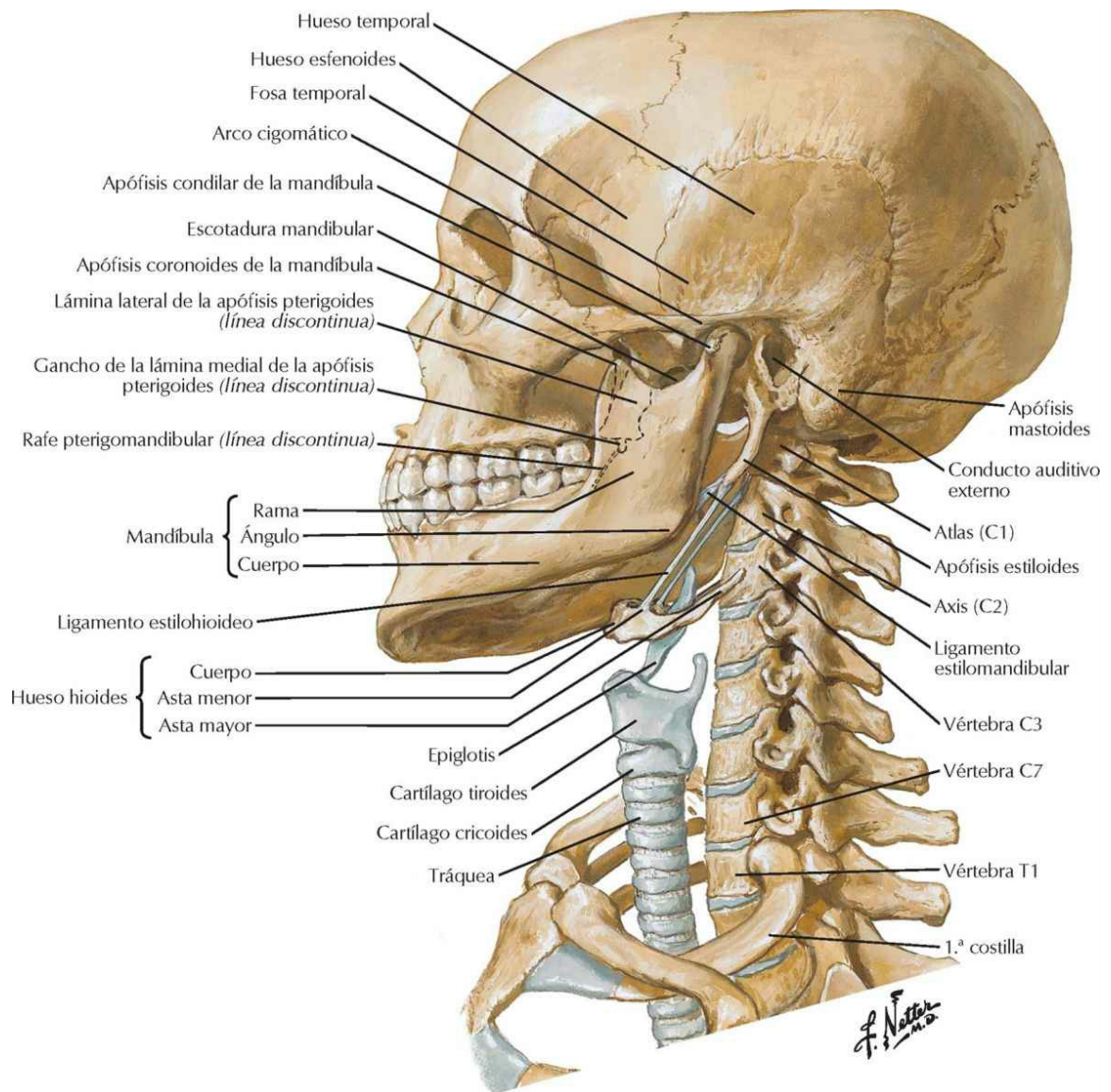
Cráneo de recién nacido

Véanse también láminas 13, 16



Esqueleto óseo de cabeza y cuello

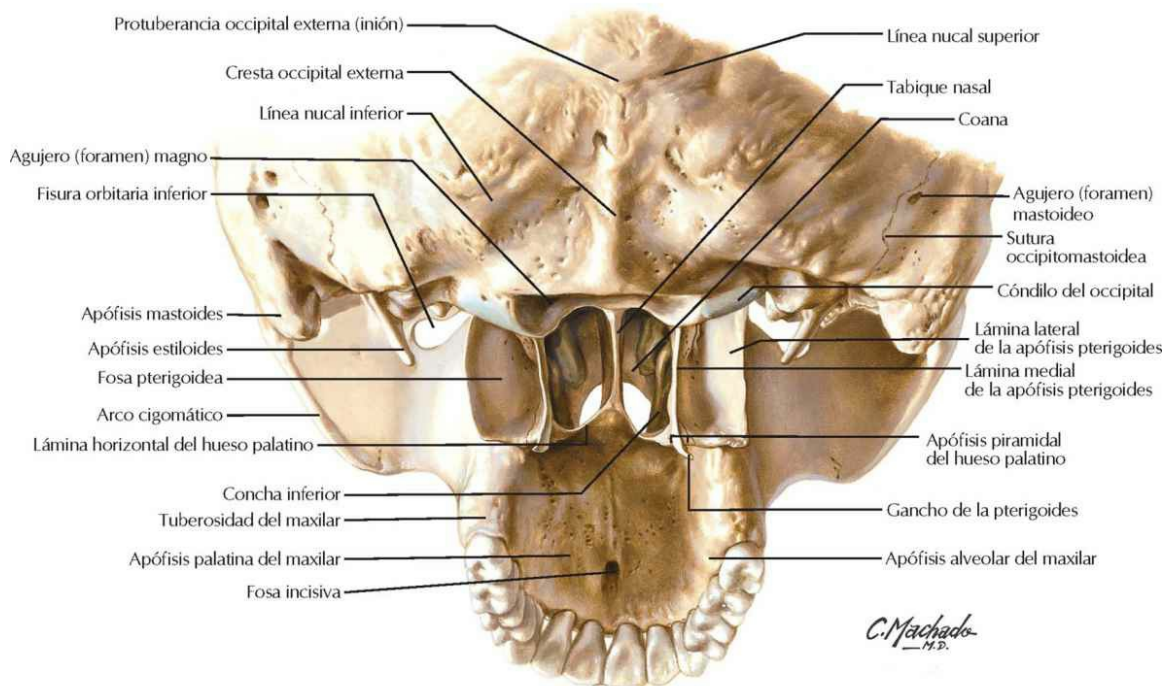
Véanse también láminas 13, 26



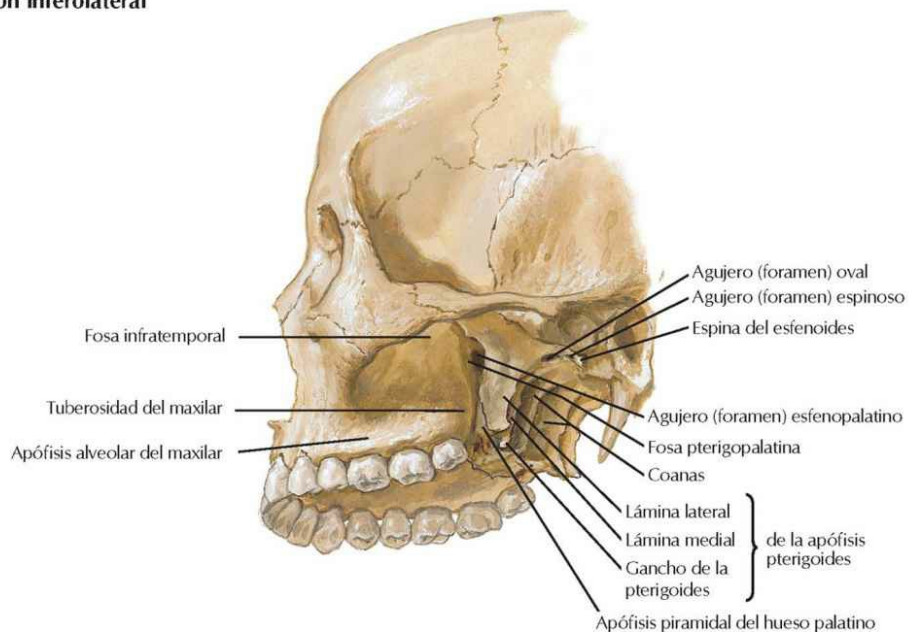
Fosas pterigoideas

Véanse también láminas 46, 47, 48

Visión posterior

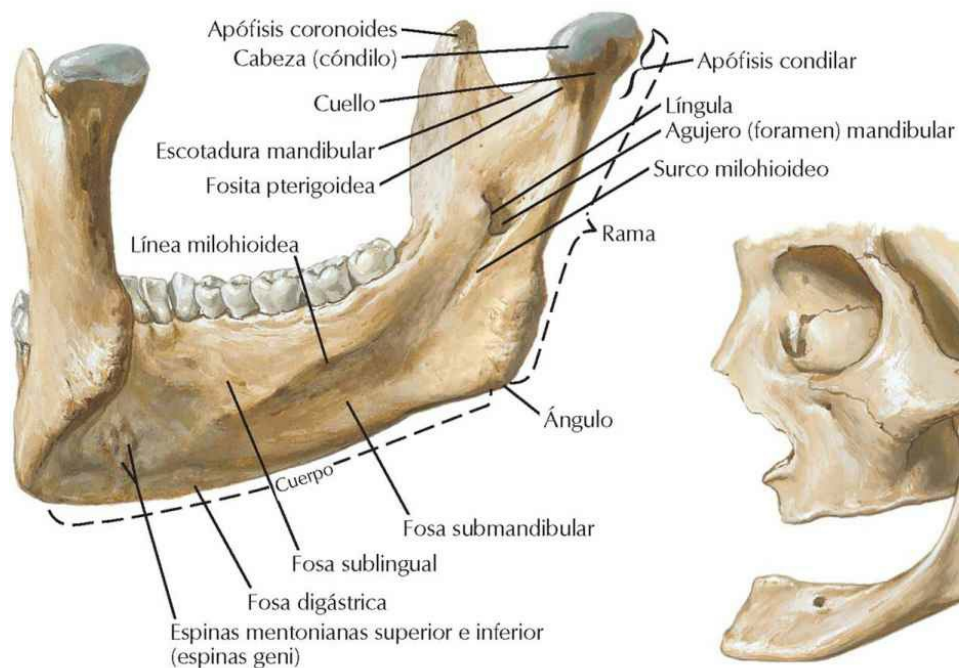
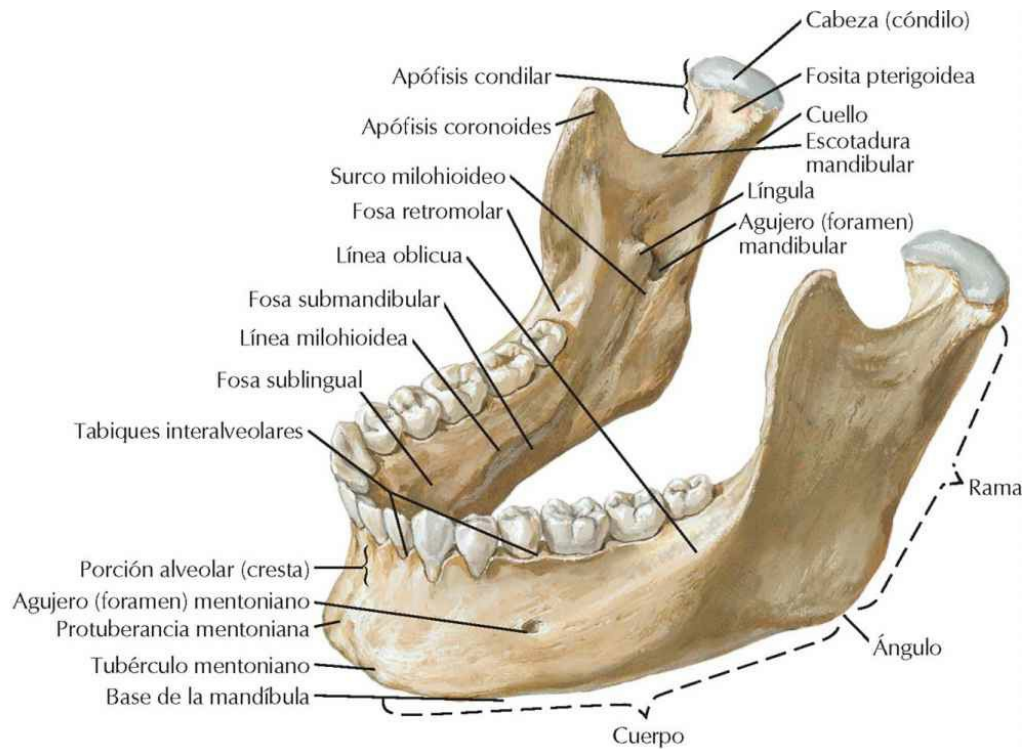


Visión inferolateral



Mandíbula

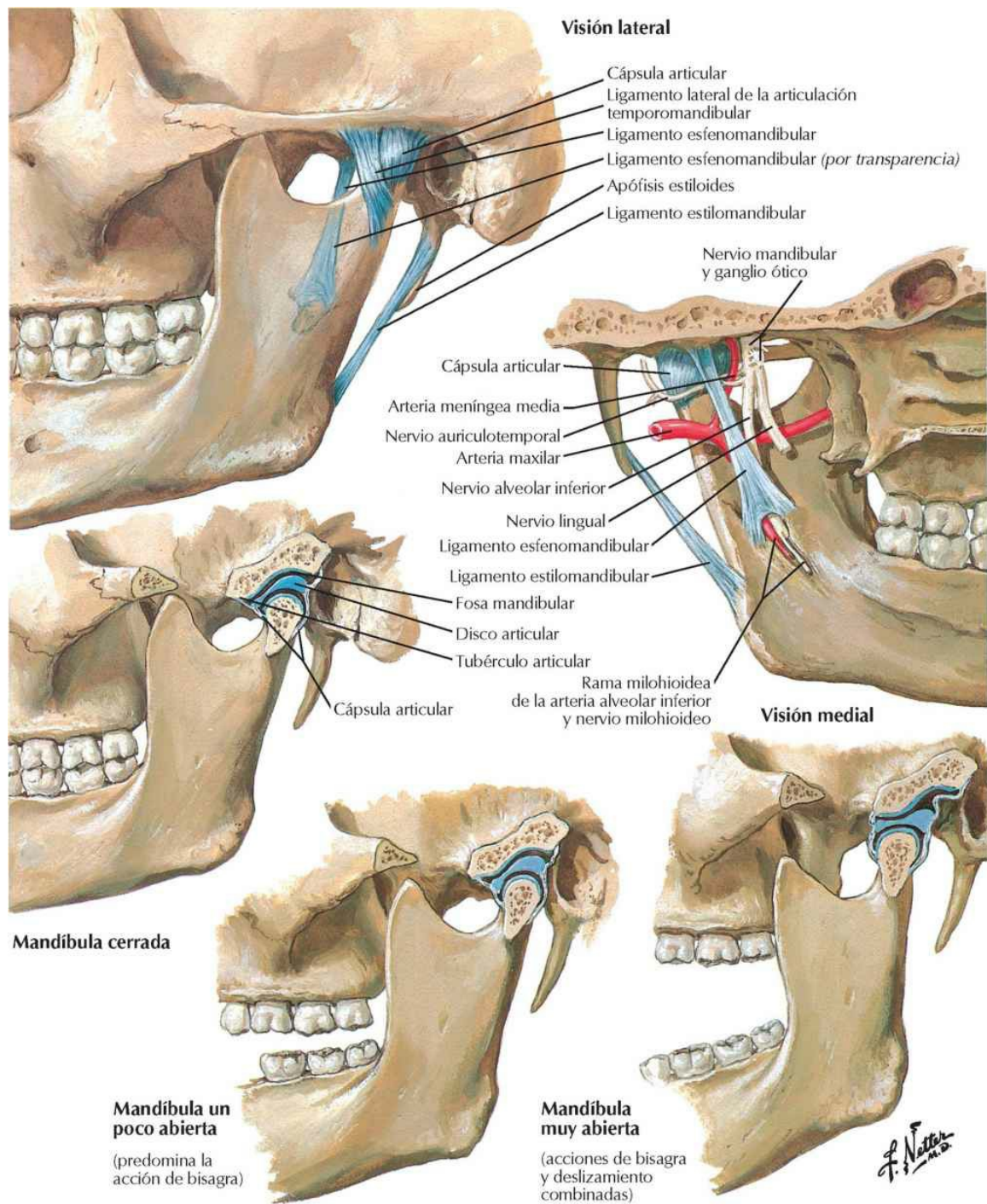
Véanse también láminas 55, 56



Mandíbula de persona anciana (desdentada)

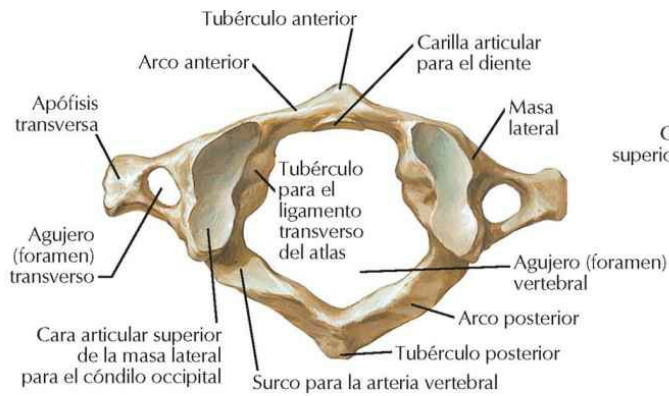
Articulación temporomandibular

Véase también lámina 56

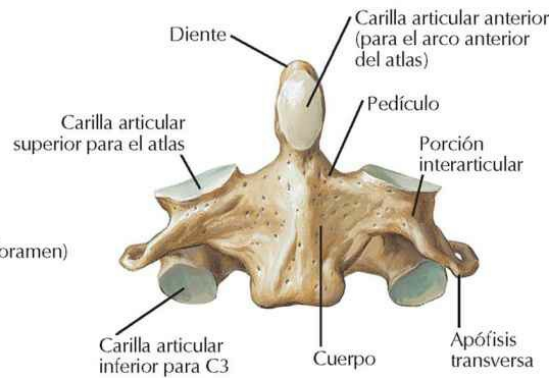


Vértebras cervicales: atlas y axis

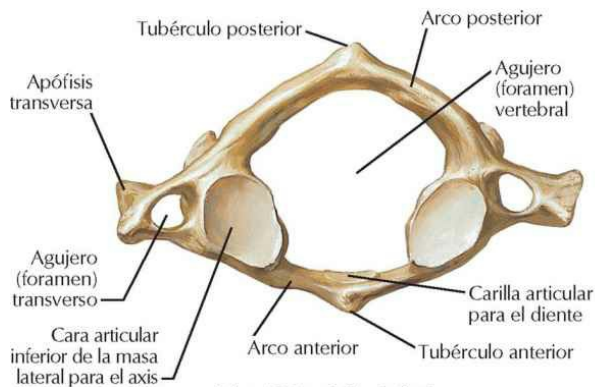
Véanse también láminas 28, 30



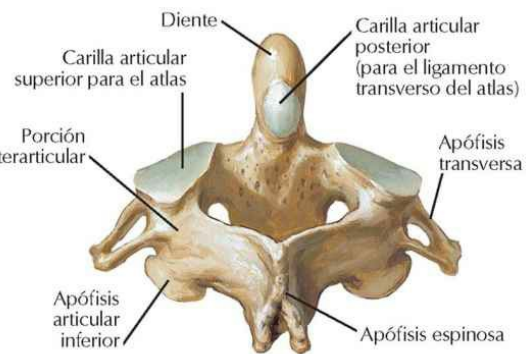
Atlas (C1): visión superior



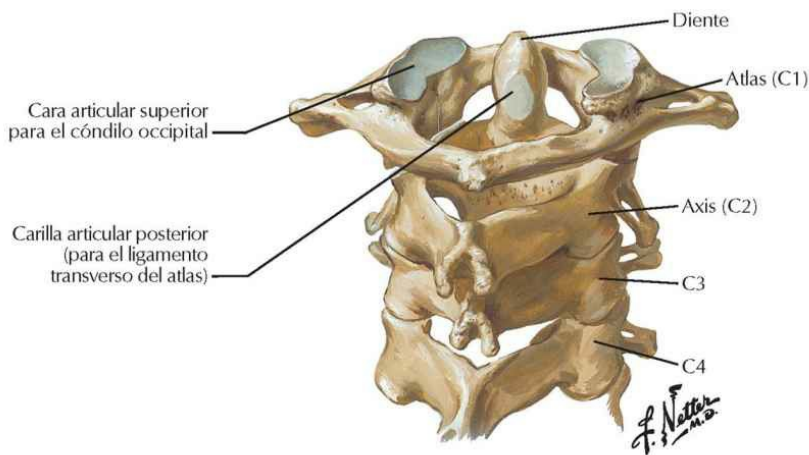
Axis (C2): visión anterior



Atlas (C1): visión inferior



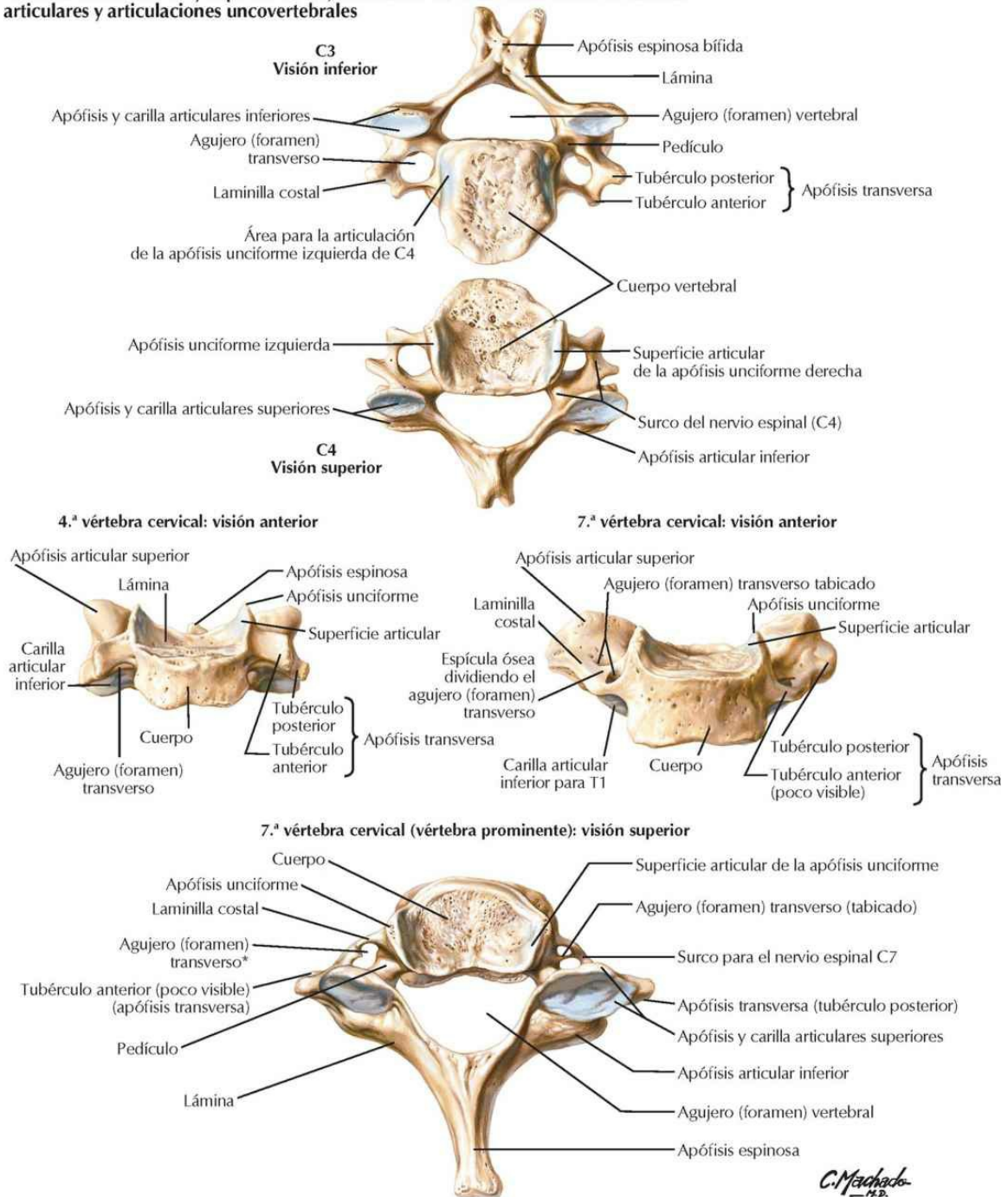
Axis (C2): visión posteroinferior



Vértebras cervicales superiores: visión posteroinferior

Véanse también láminas 28, 29

Visiones inferior de C3 y superior de C4, mostrando las localizaciones de las carillas articulares y articulaciones uncovertebrales

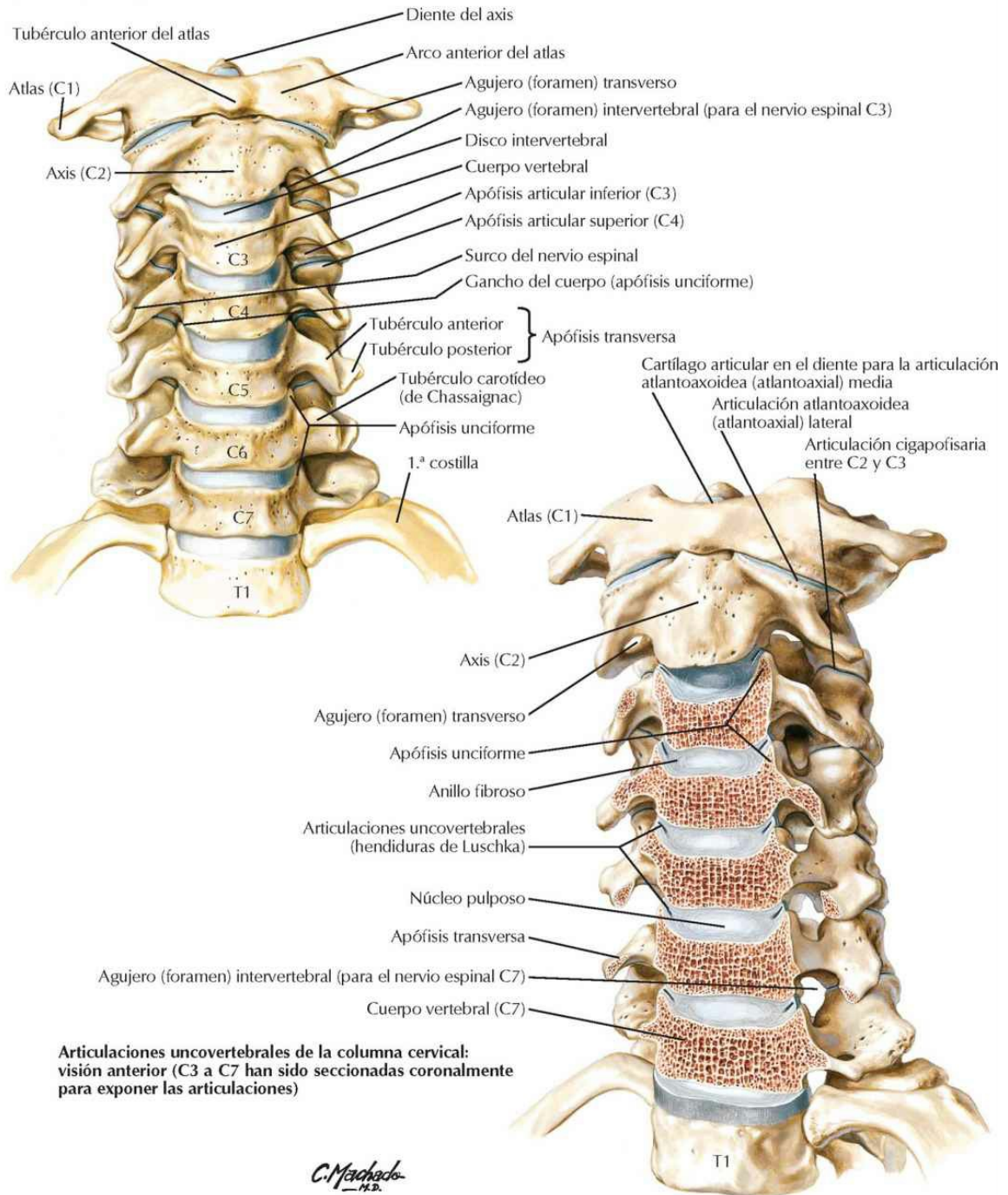


*Los agujeros (forámenes) transversos de C7 dejan paso a venas vertebrales, pero normalmente no a la arteria vertebral; en este espécimen son asimétricos.

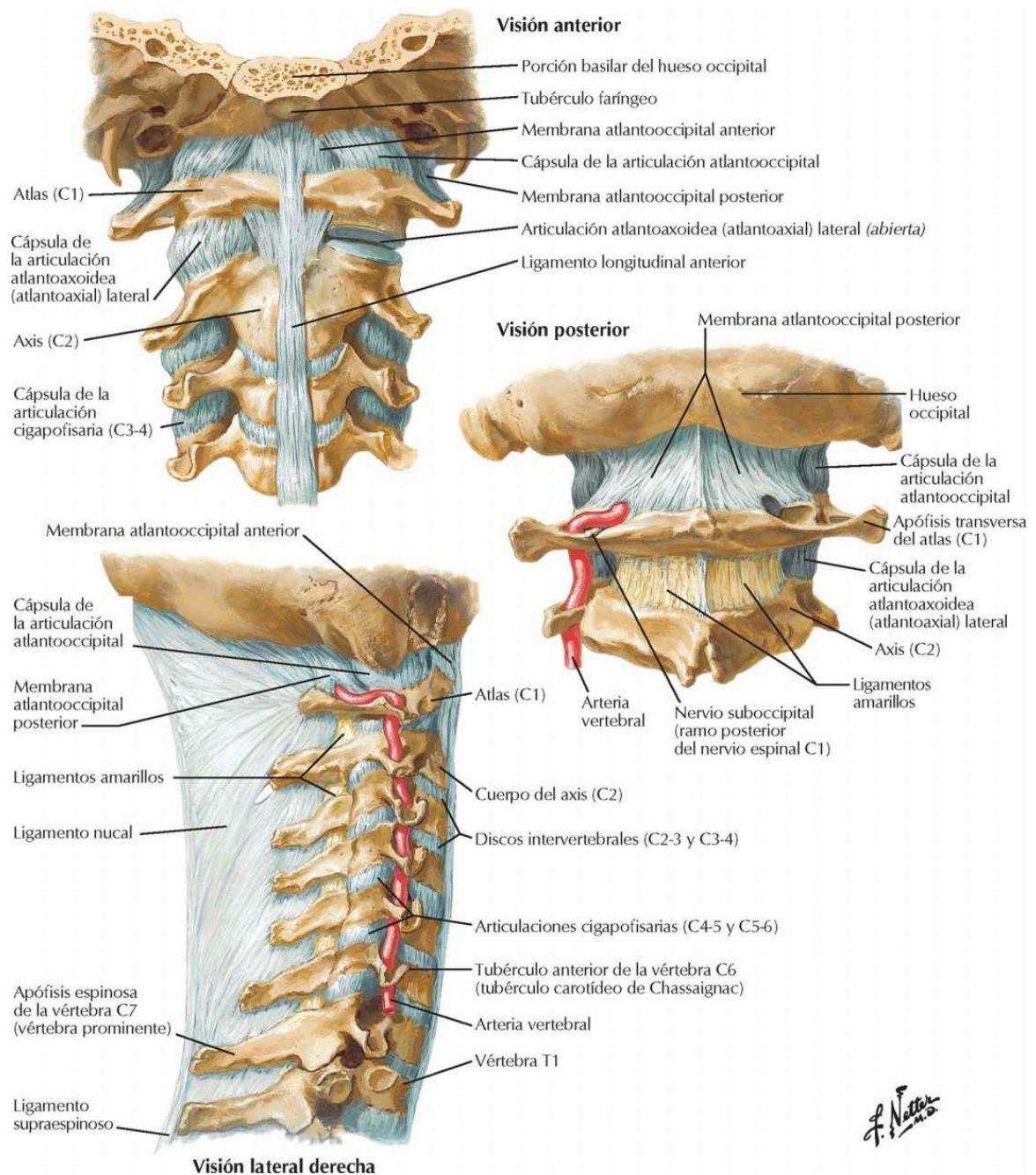
Vértebras cervicales: articulaciones uncovertebrales

Véase también lámina 29

Vértebras cervicales: visión anterior

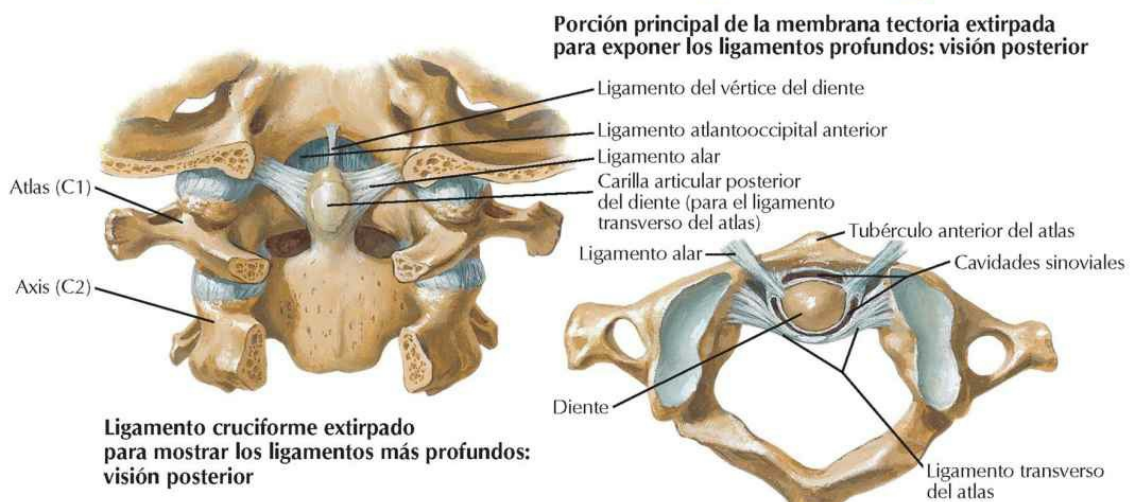
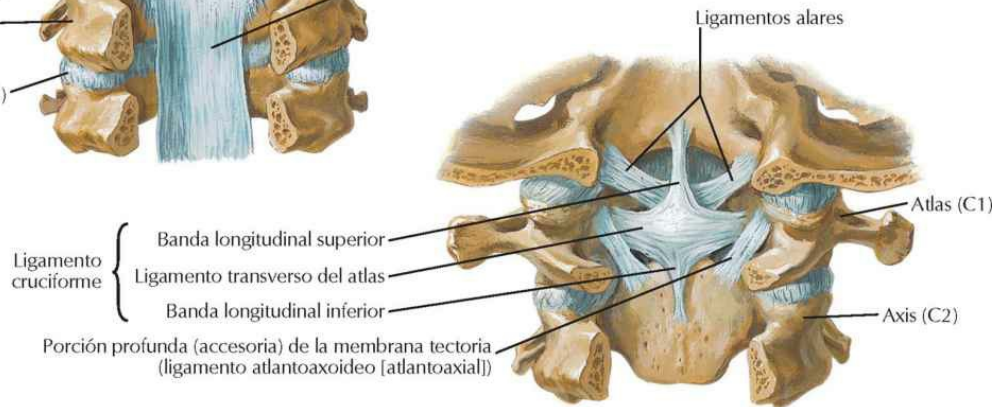
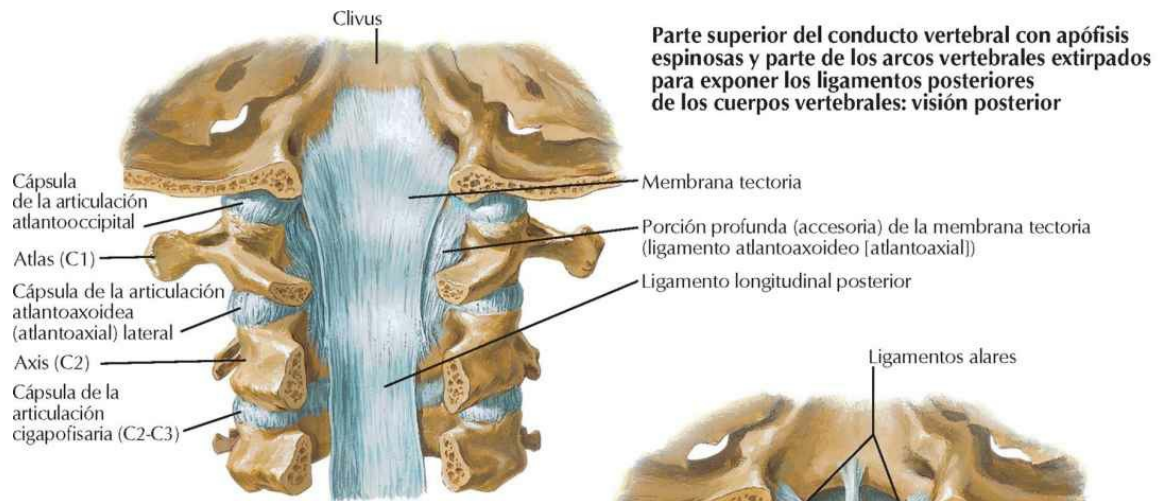


Ligamentos craneocervicales externos



Ligamentos craneocervicales internos

Véase también lámina 26



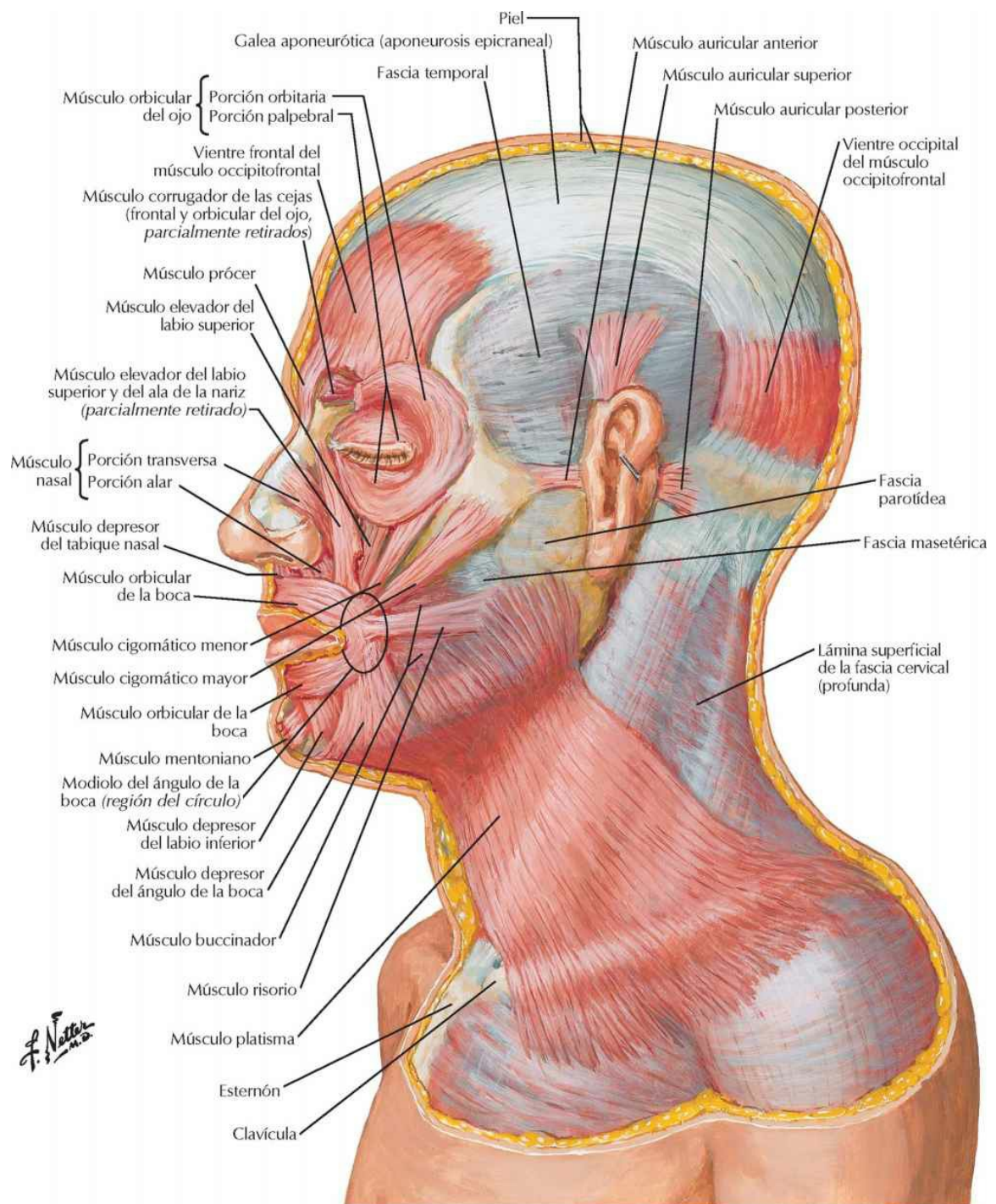
Articulación atlantoaxoidea (atlantoaxial) media: visión superior

F. Netter M.D.

Cuello

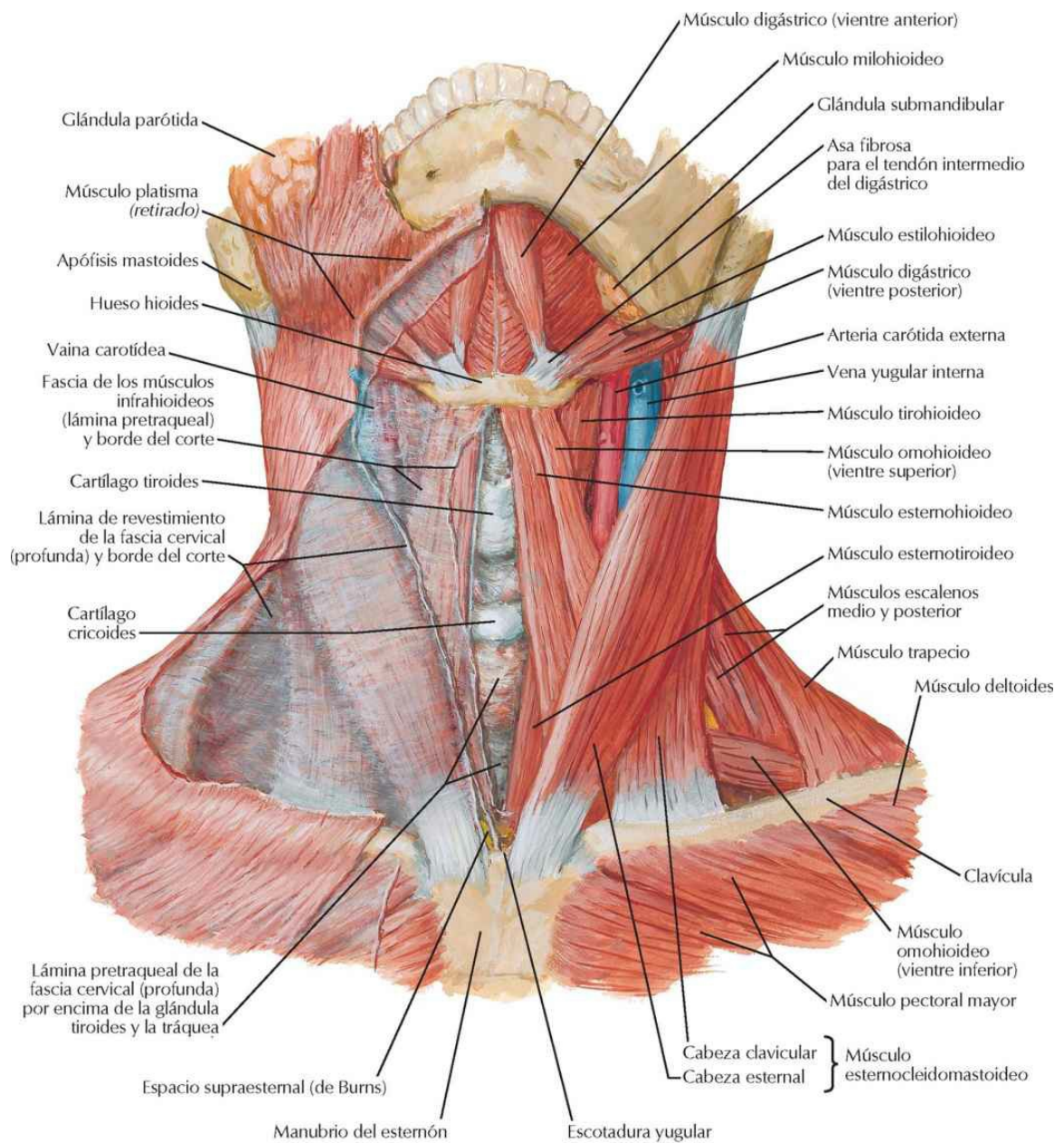
Músculos faciales (de la mímica): visión lateral

Véanse también láminas 34, 55, 56



Músculos del cuello: visión anterior

Véanse también láminas 33, 35, 38

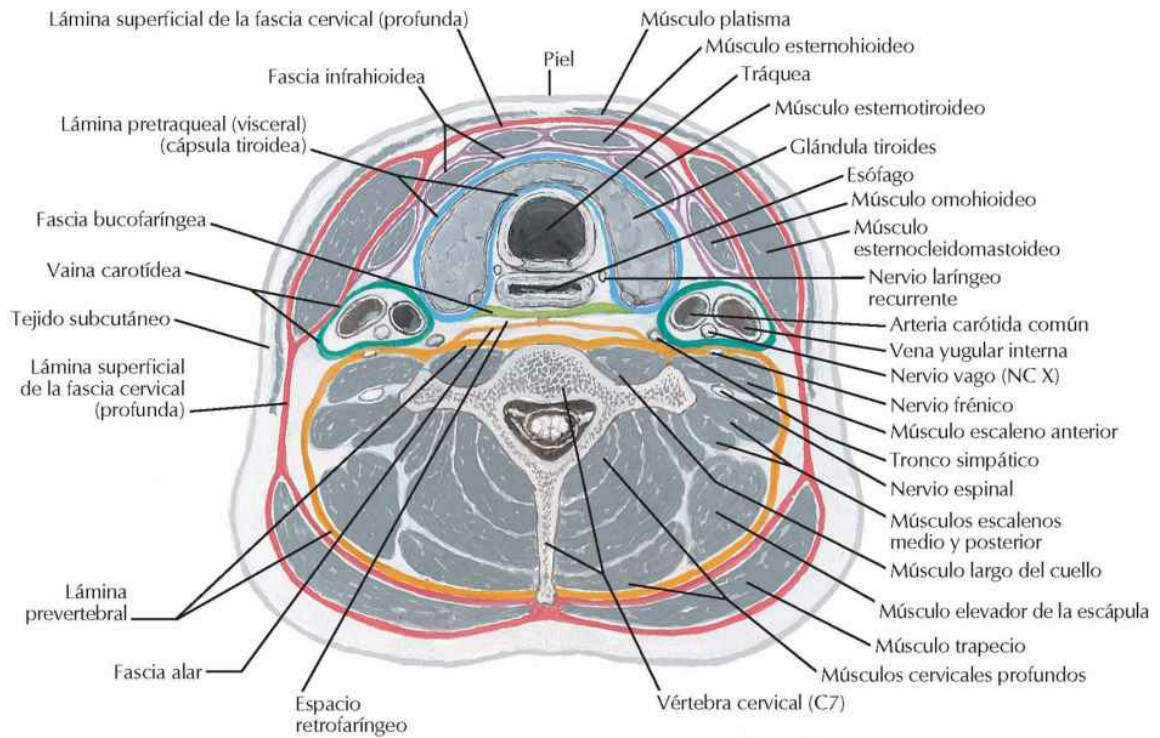


J. Netter M.D.

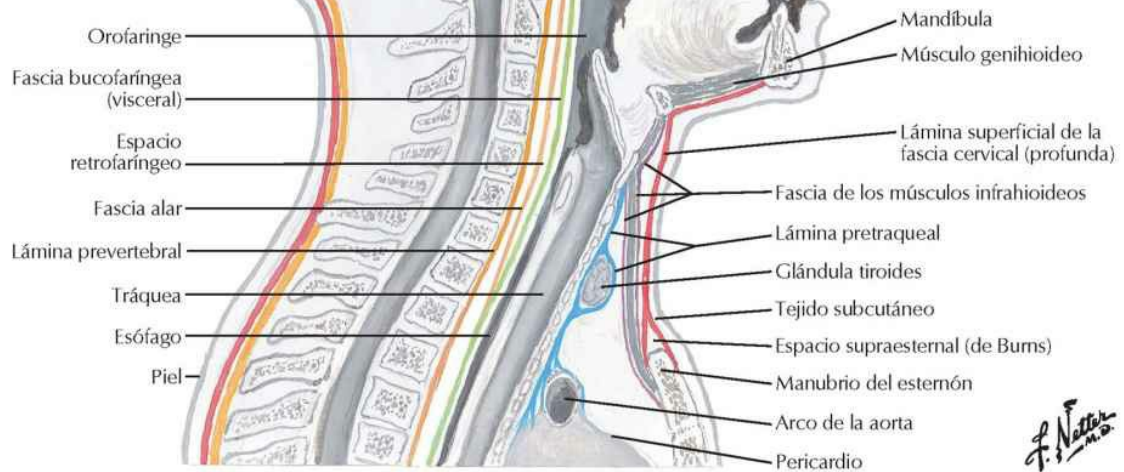
Fascias del cuello

Véase también lámina 32

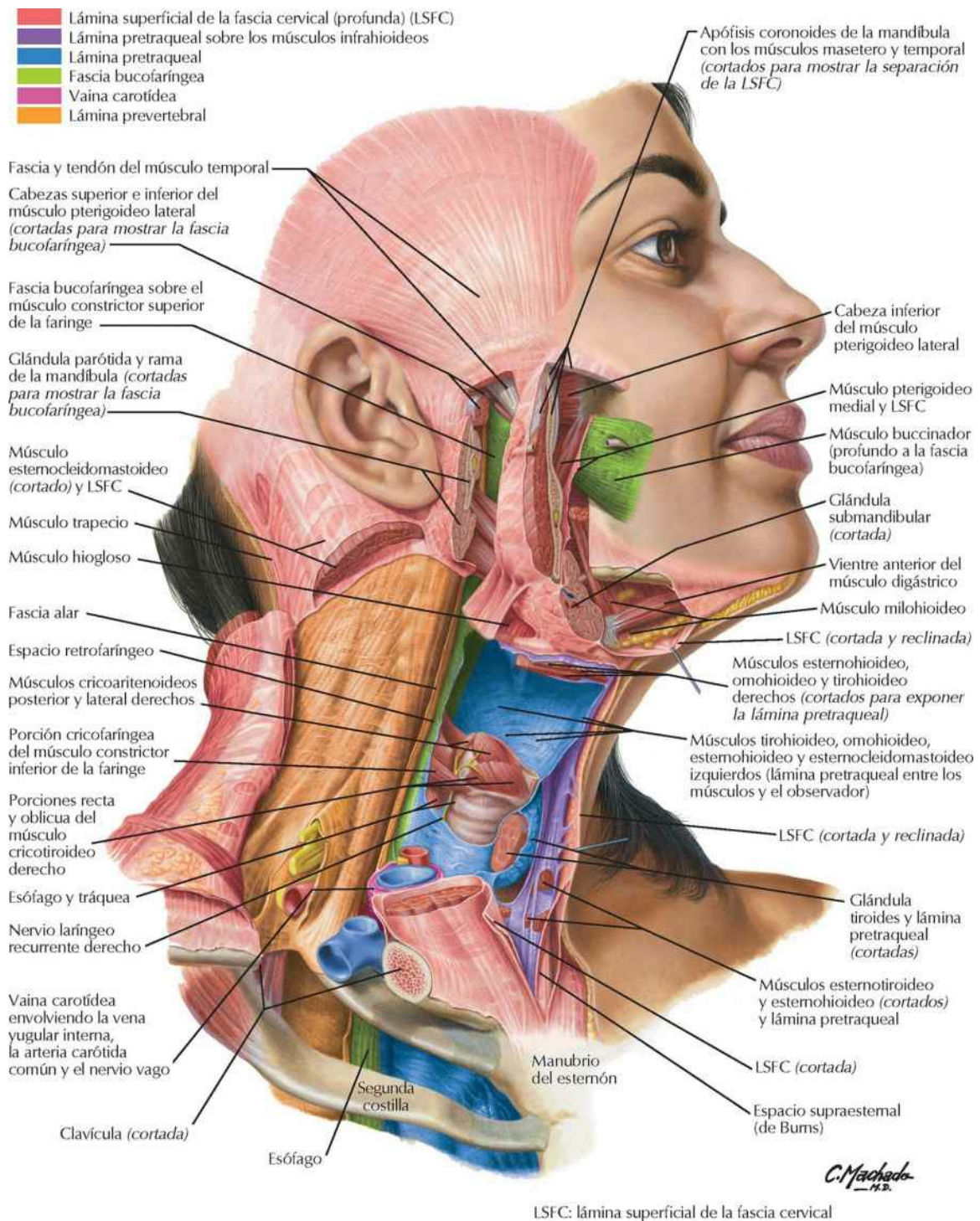
Sección transversal



Sección sagital media

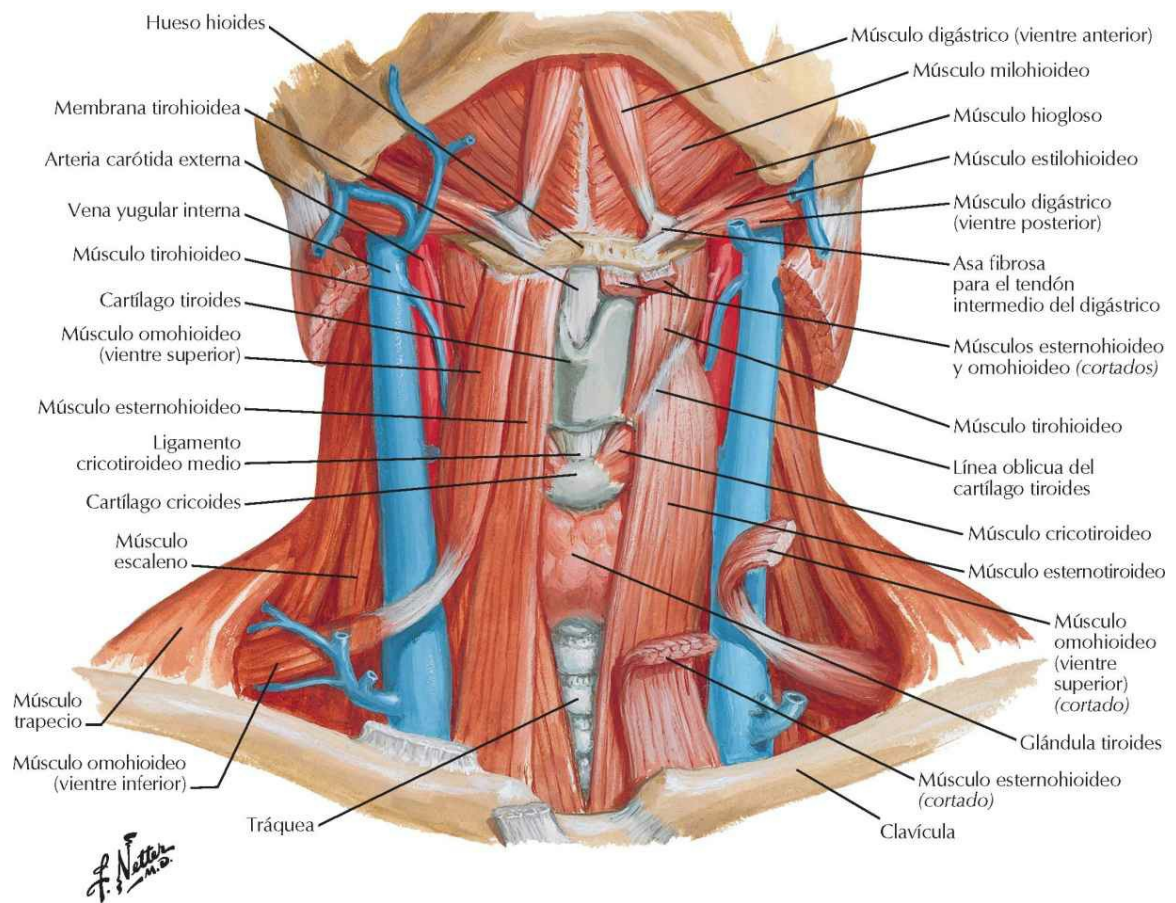


Véanse también láminas 32, 33, 38



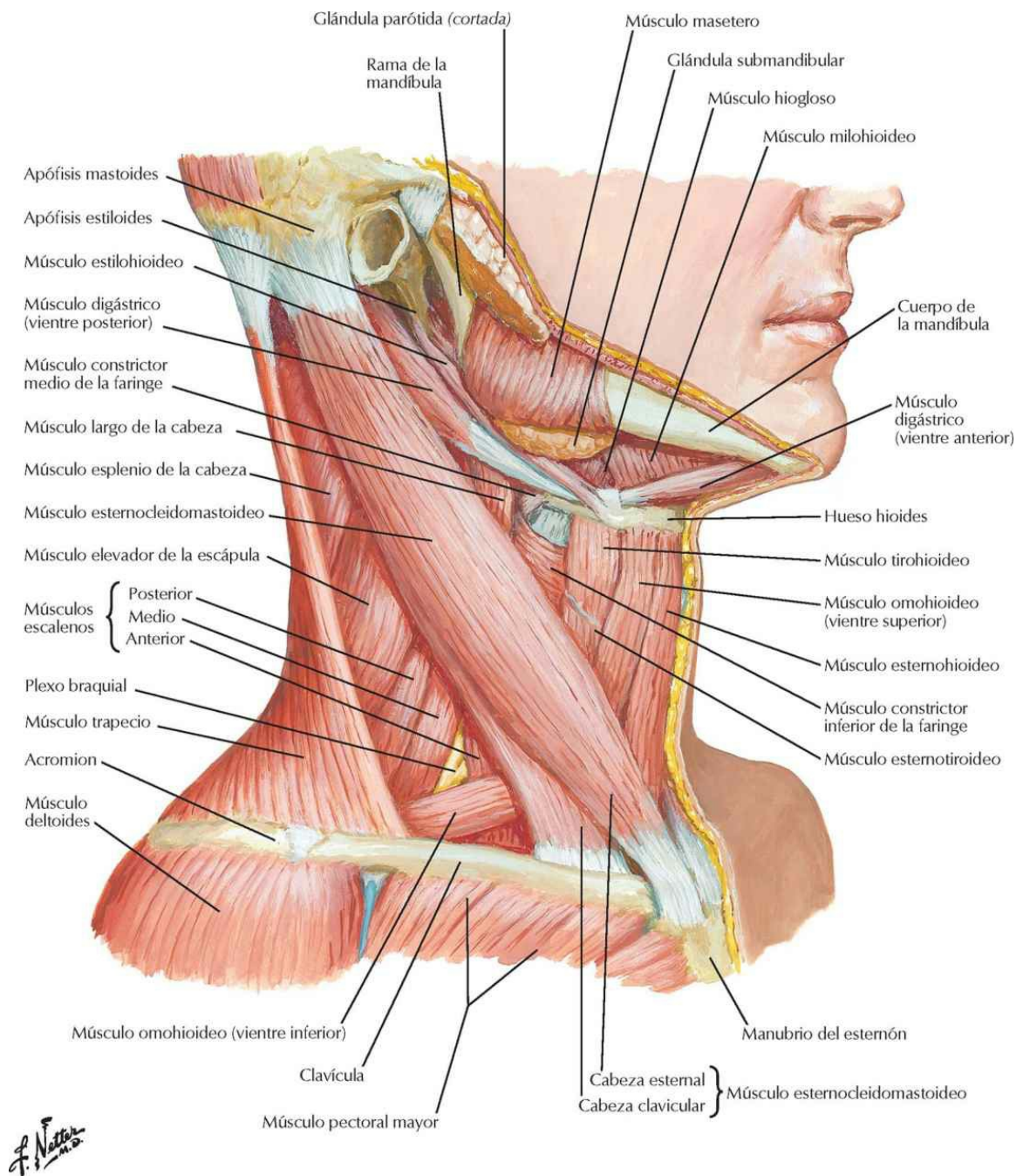
Músculos suprahioides e infrahioides

Véanse también láminas 32, 36, 69

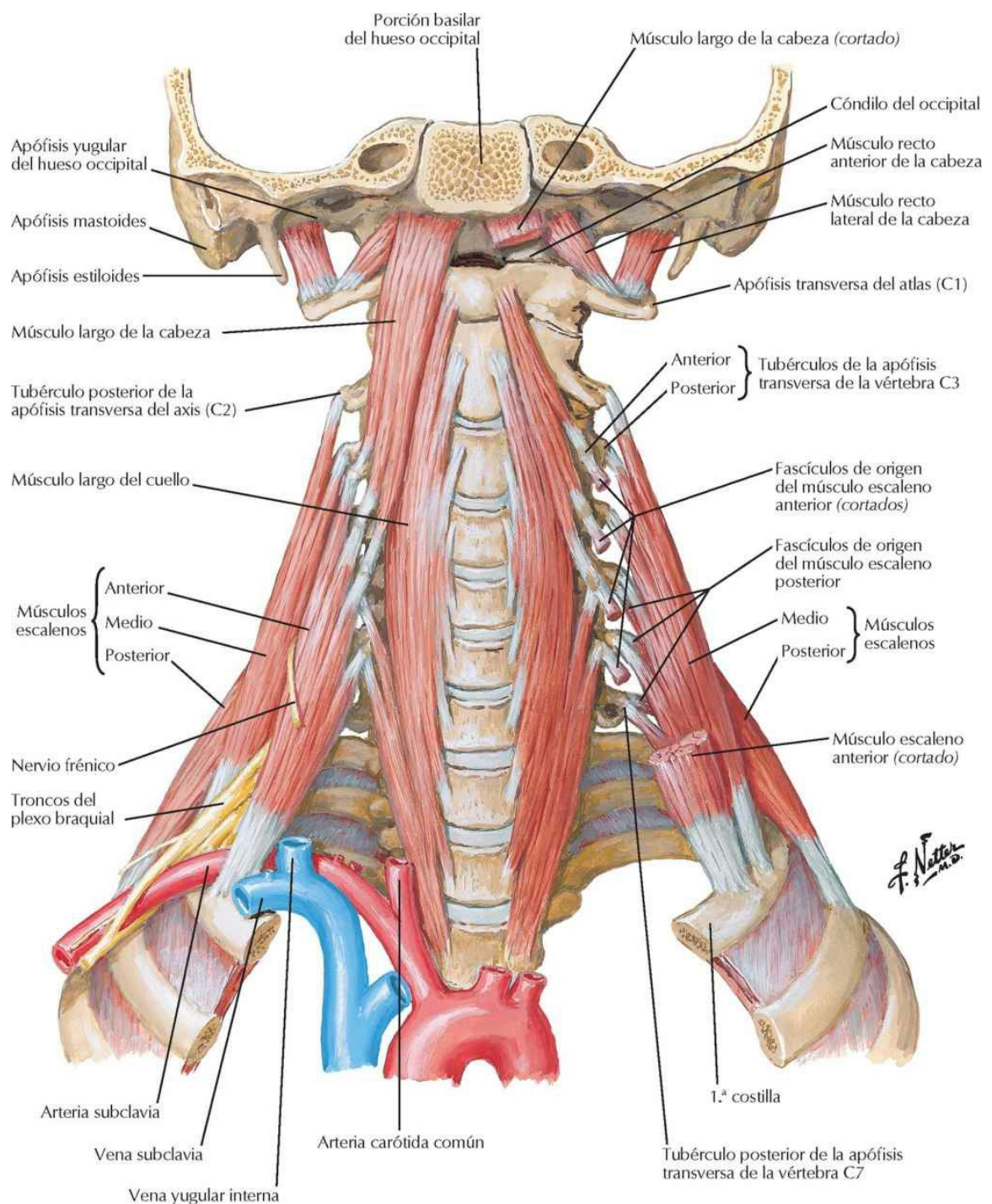


Músculos del cuello: visión lateral

Véanse también láminas 32, 35, 38

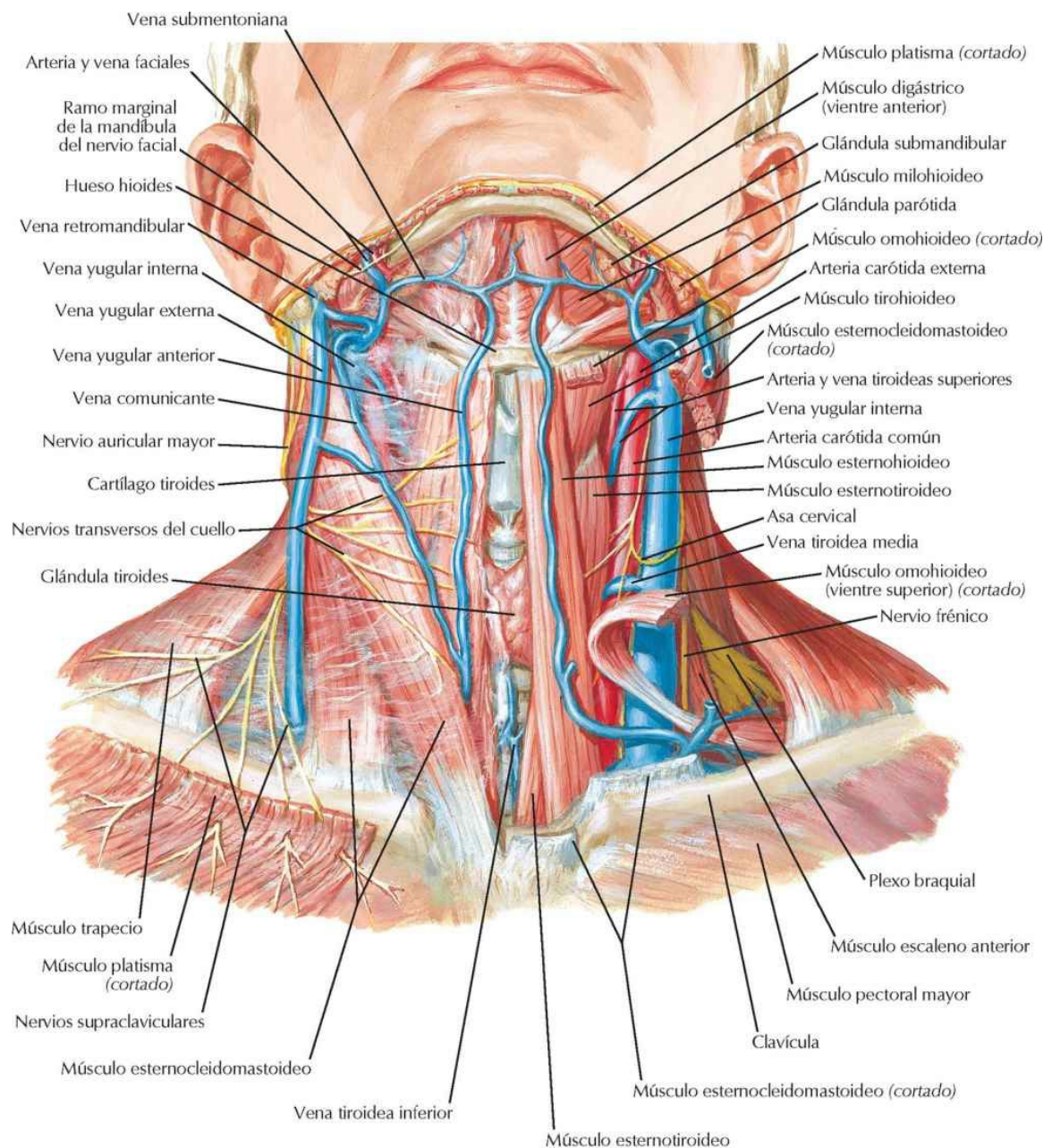


Músculos prevertebrales y laterales del cuello



Venas superficiales y nervios cutáneos del cuello

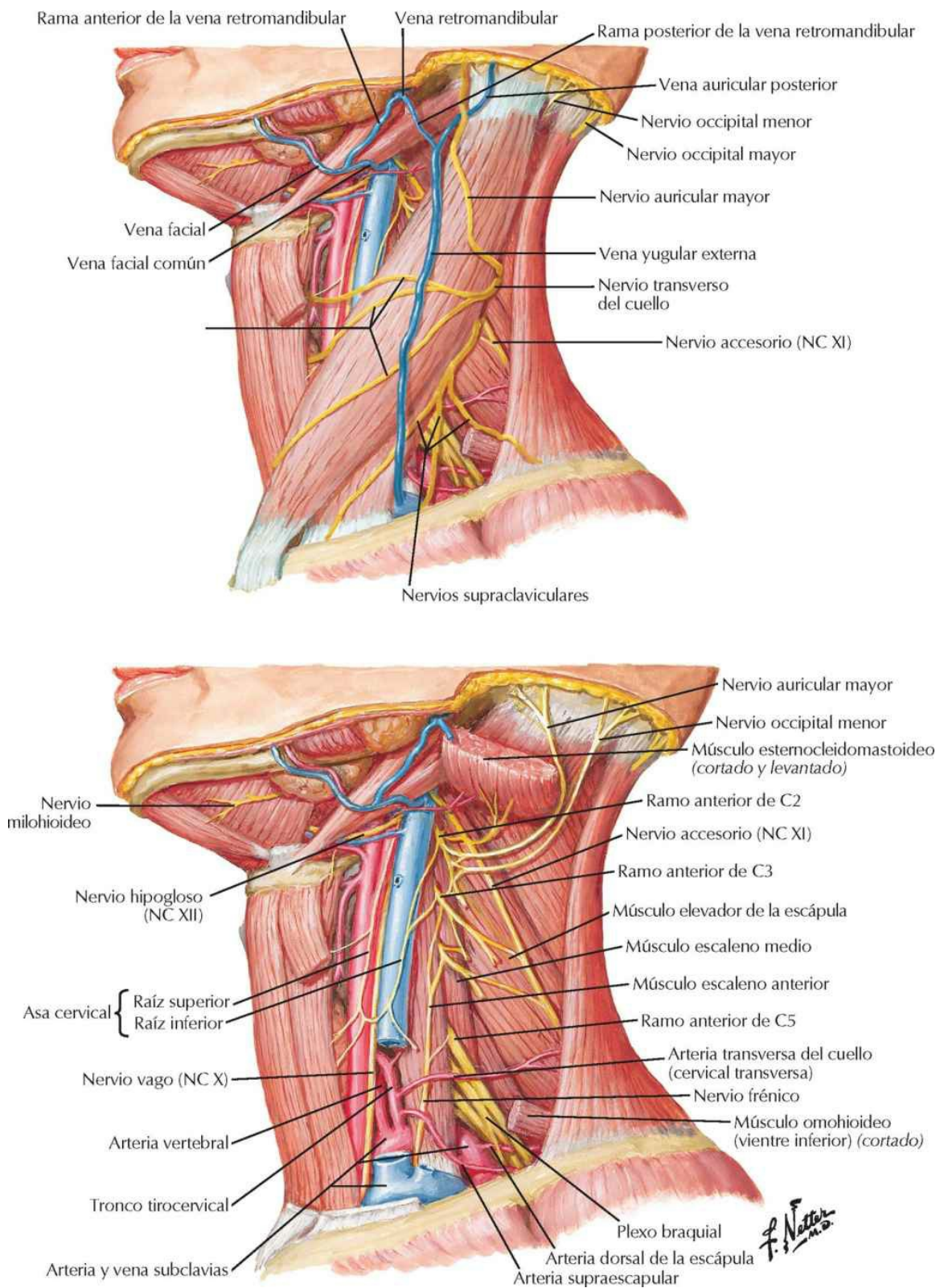
Para las venas profundas del cuello véase lámina 84



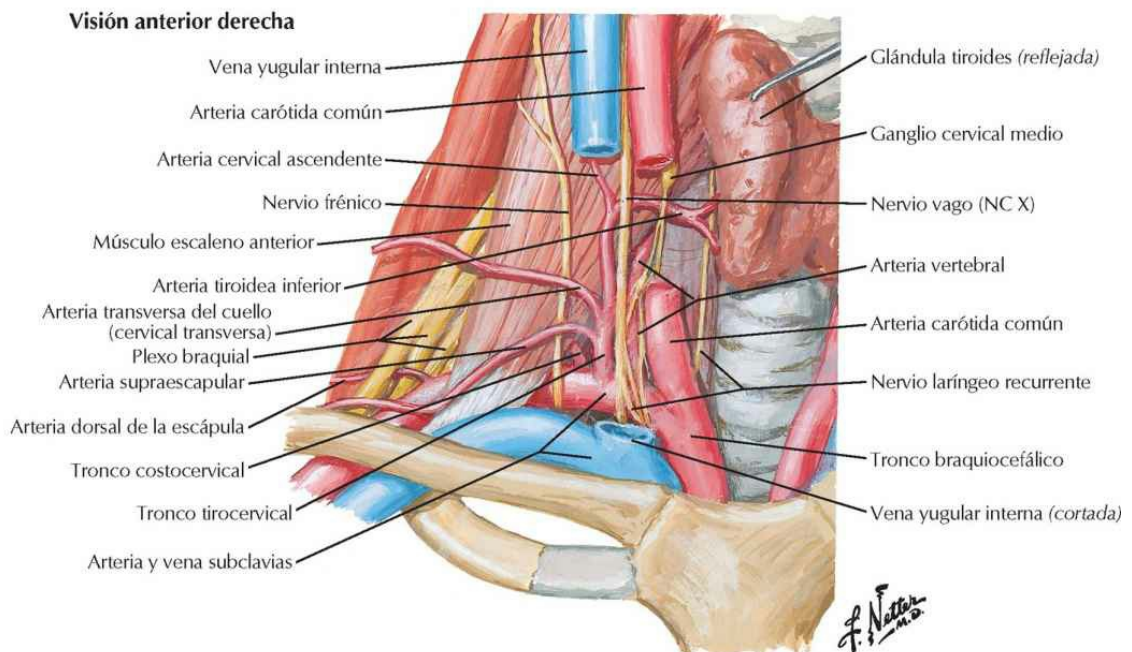
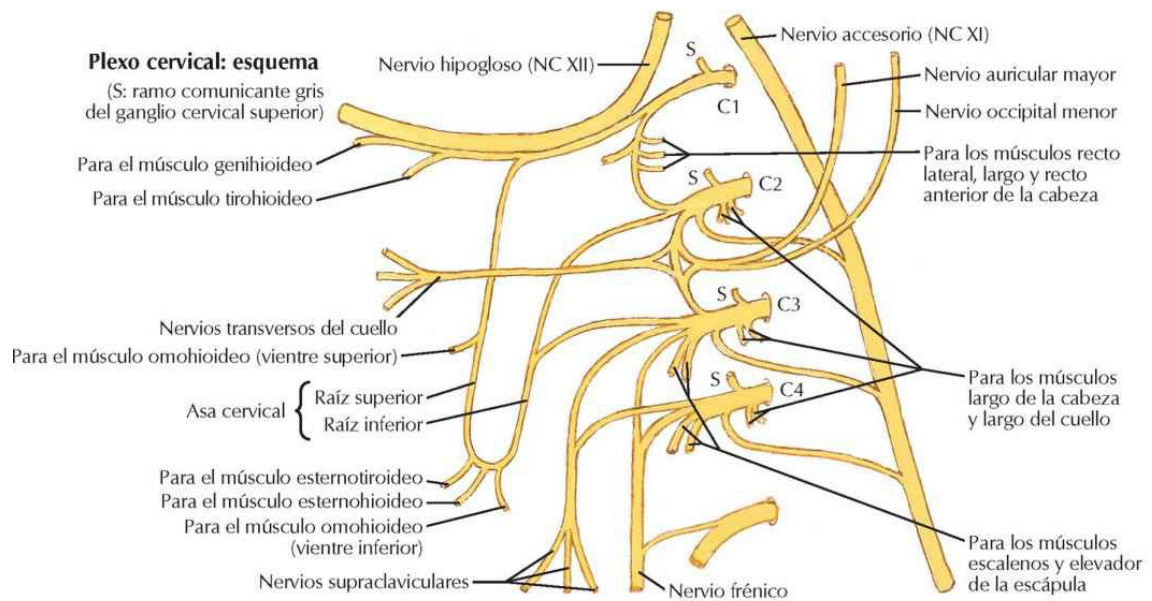
F. Netter M.D.

Nervios y vasos del cuello

Véanse también láminas 138, 139, 140



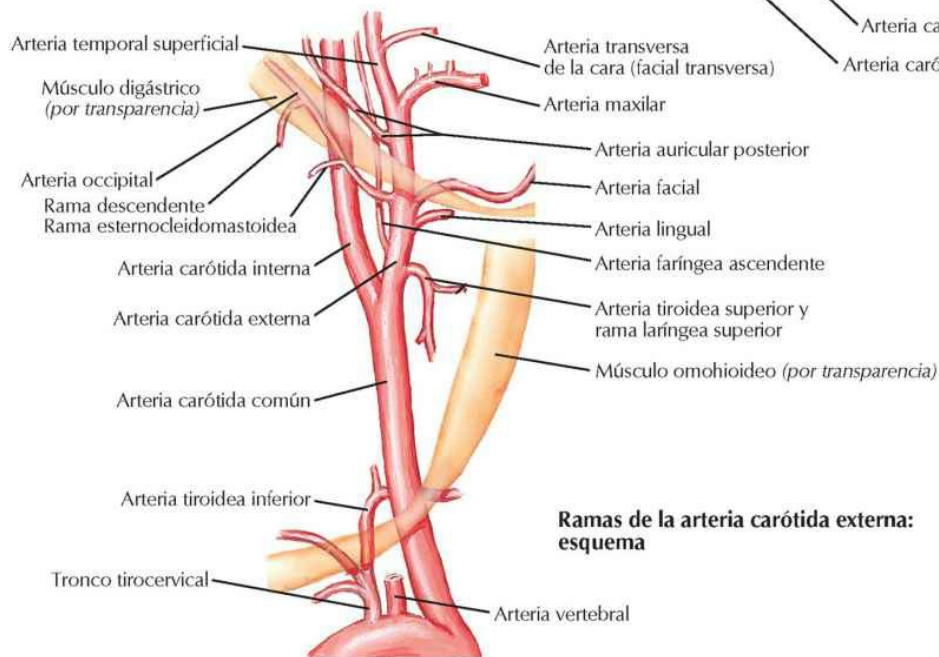
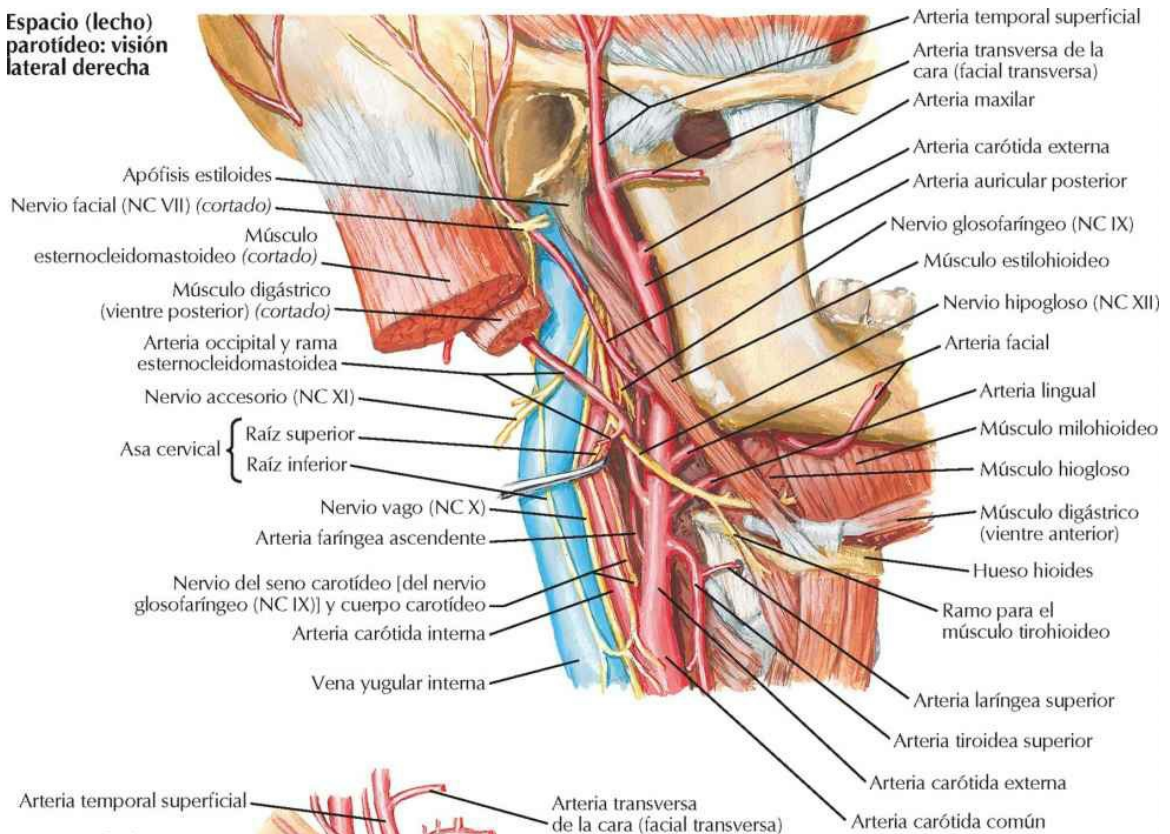
Véase también lámina 140



Arterias carótidas

Véanse también láminas 147, 149

**Espacio (lecho)
parotídeo: visión
lateral derecha**



**Ramas de la arteria carótida externa:
esquema**

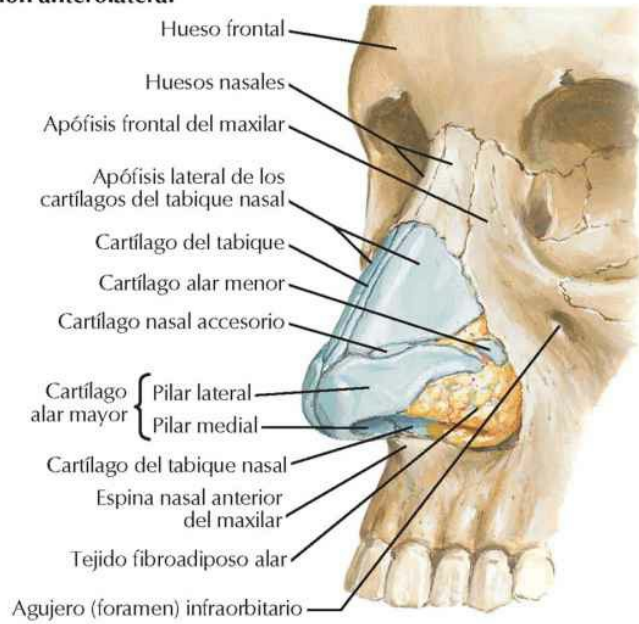
F. Netter M.D.

Región nasal

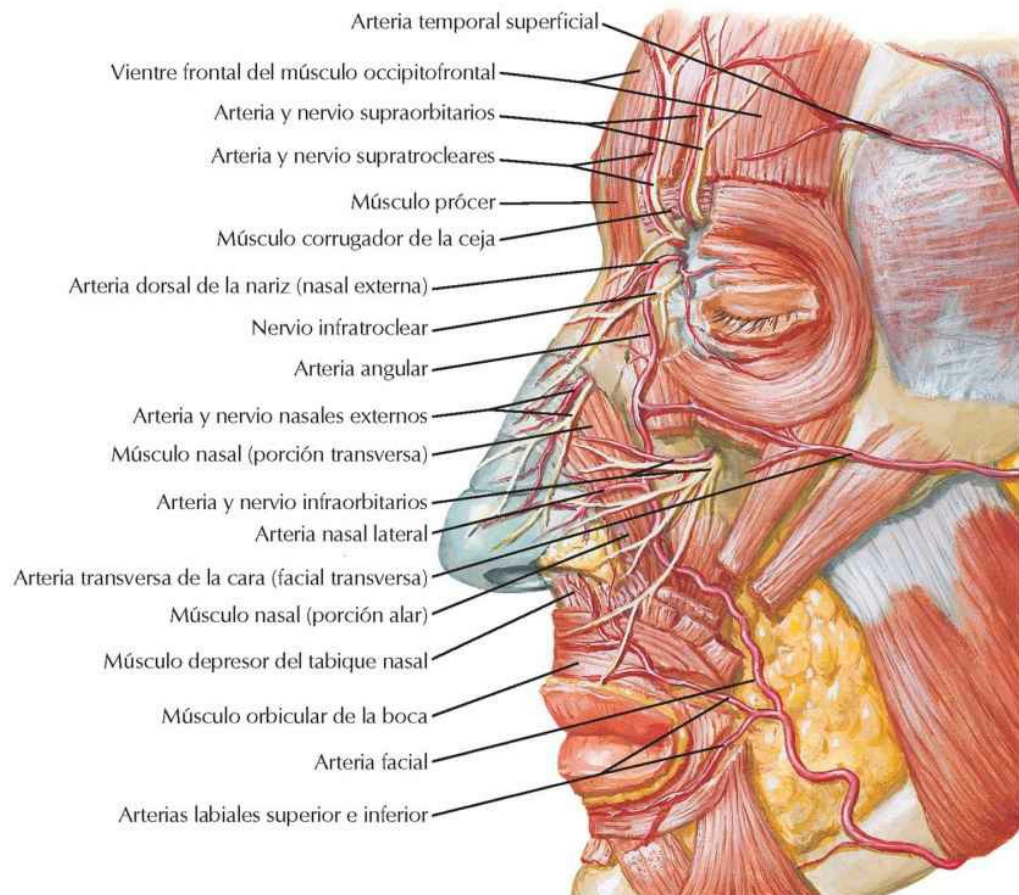
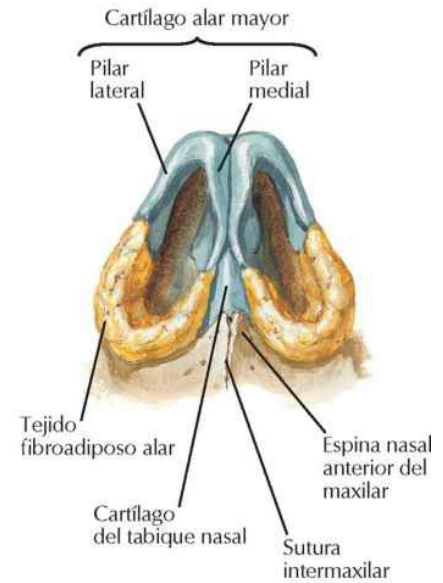
Nariz

Véase también lámina 45

Visión anterolateral

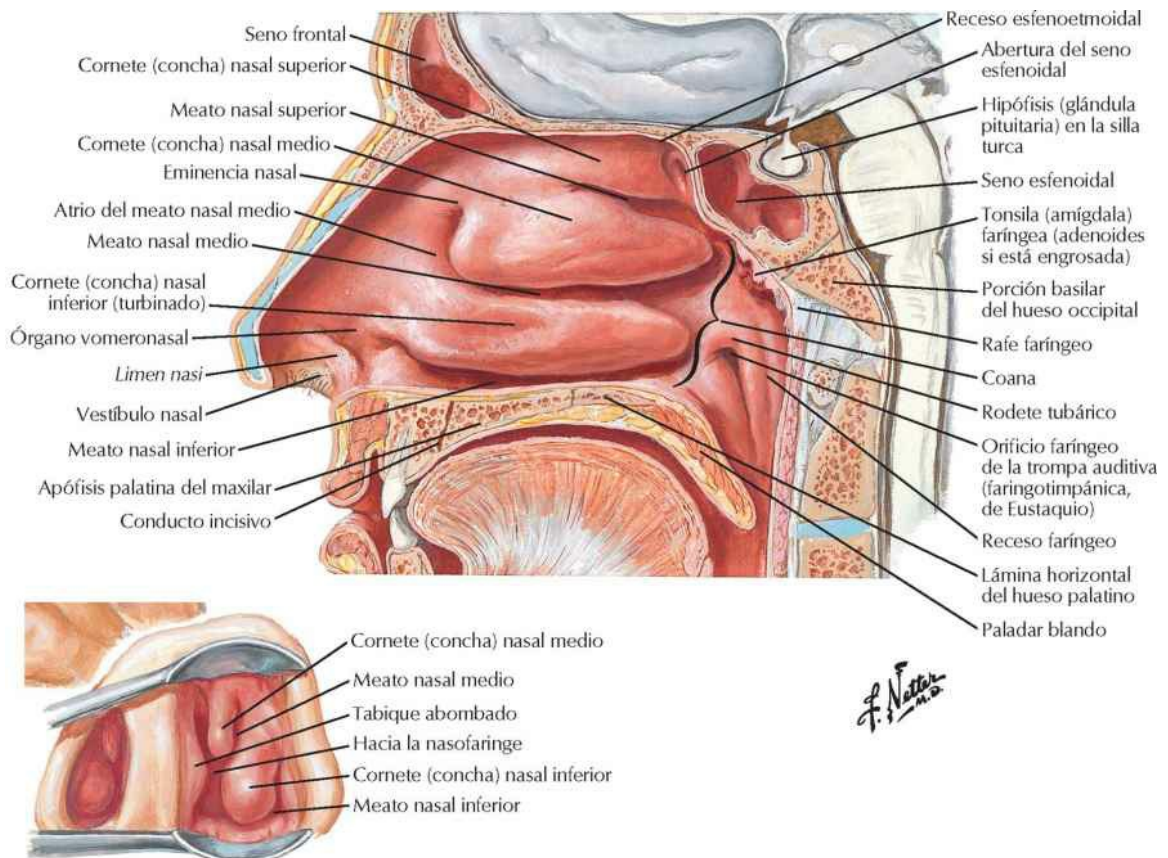


Visión inferior

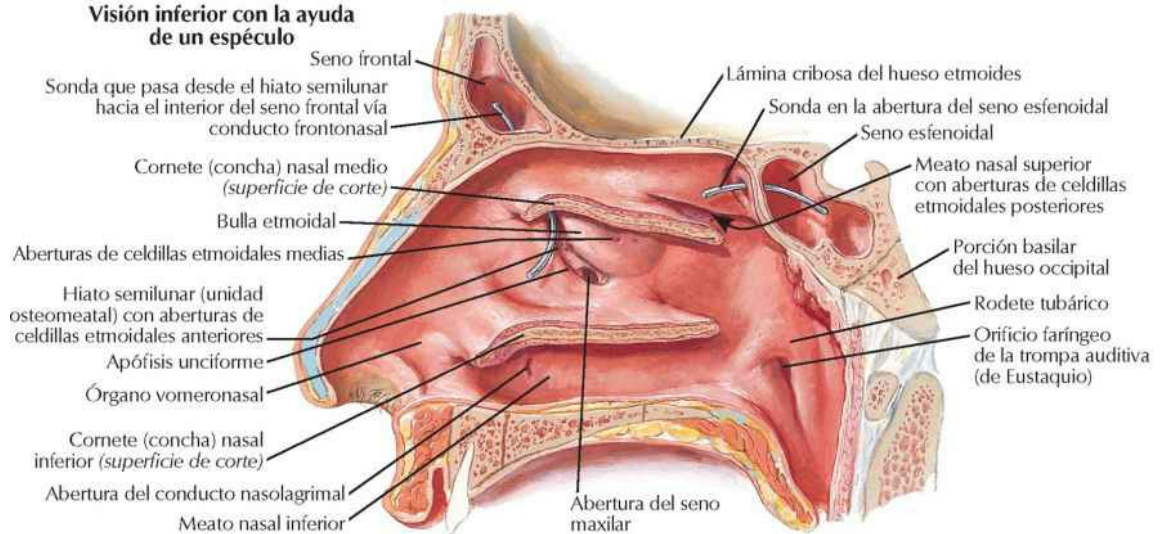


F. Netter M.D.

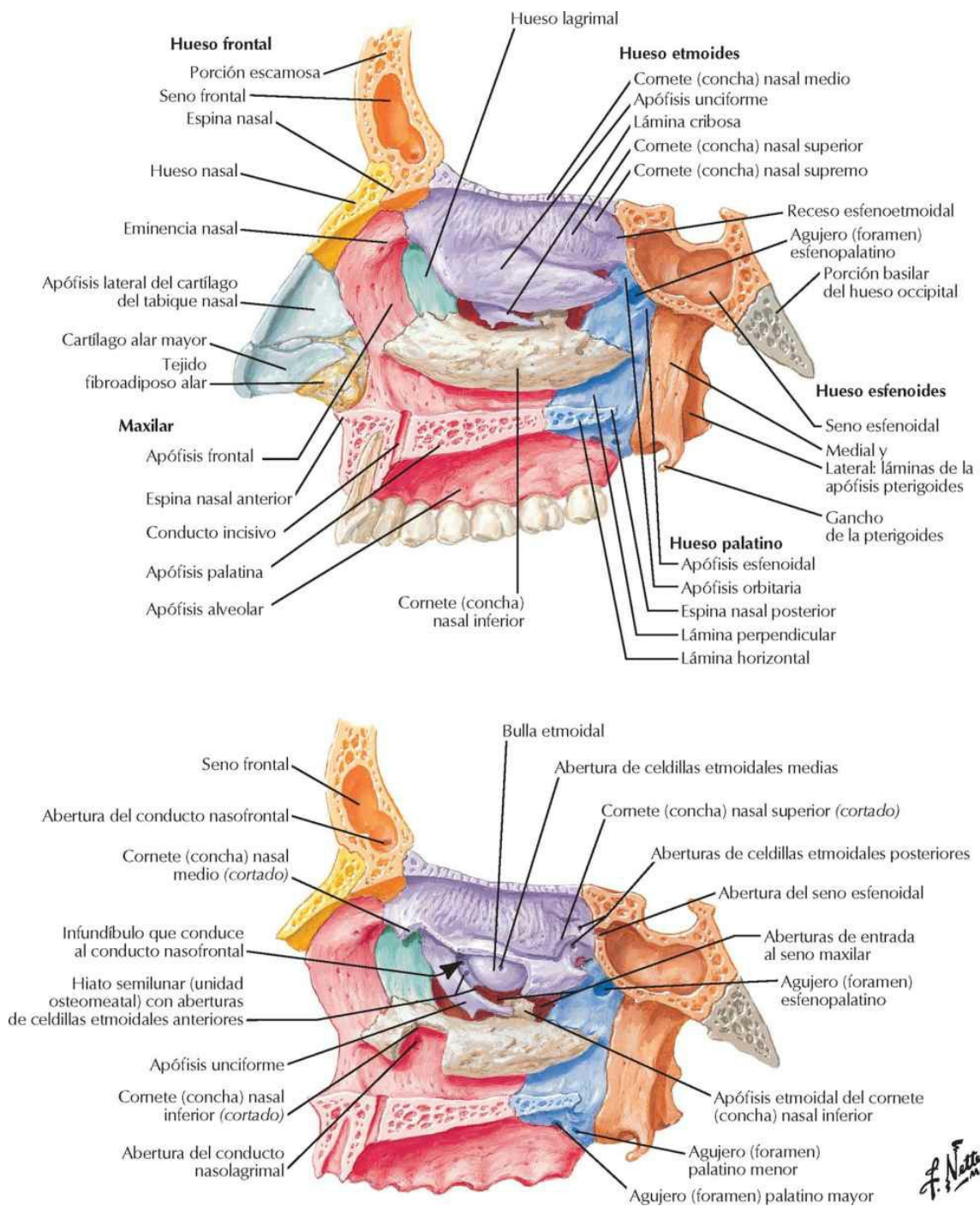
Pared lateral de la cavidad nasal



Visión inferior con la ayuda de un espéculo

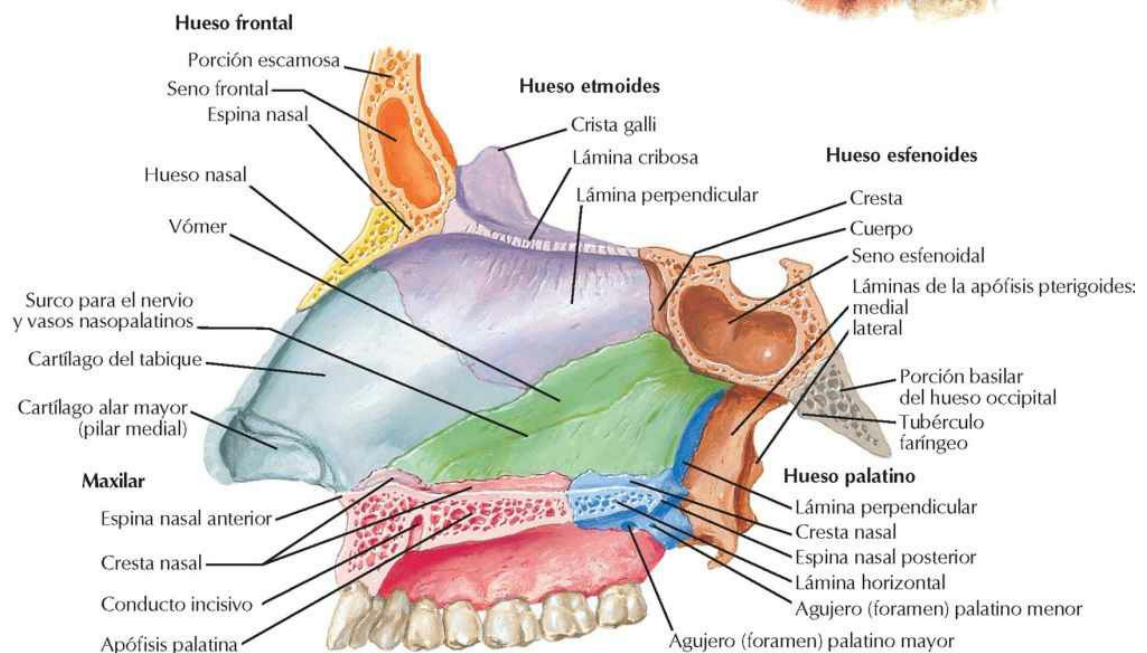
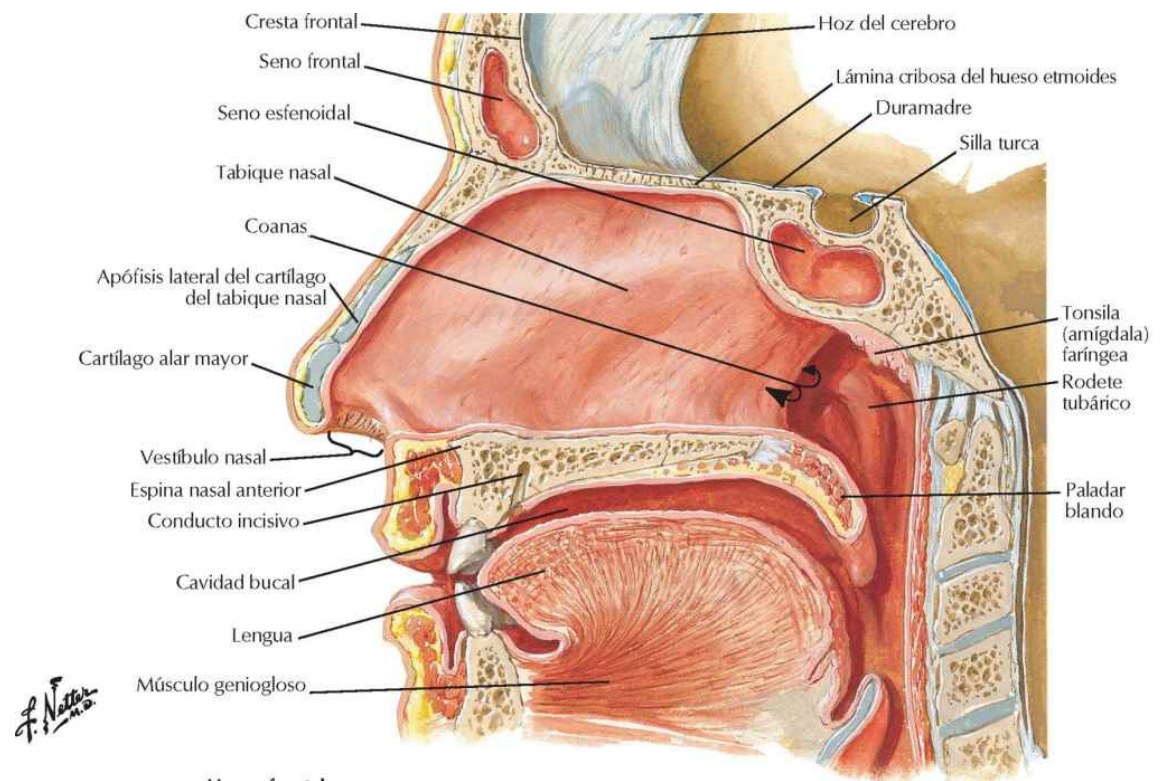


Véanse también láminas 43, 45



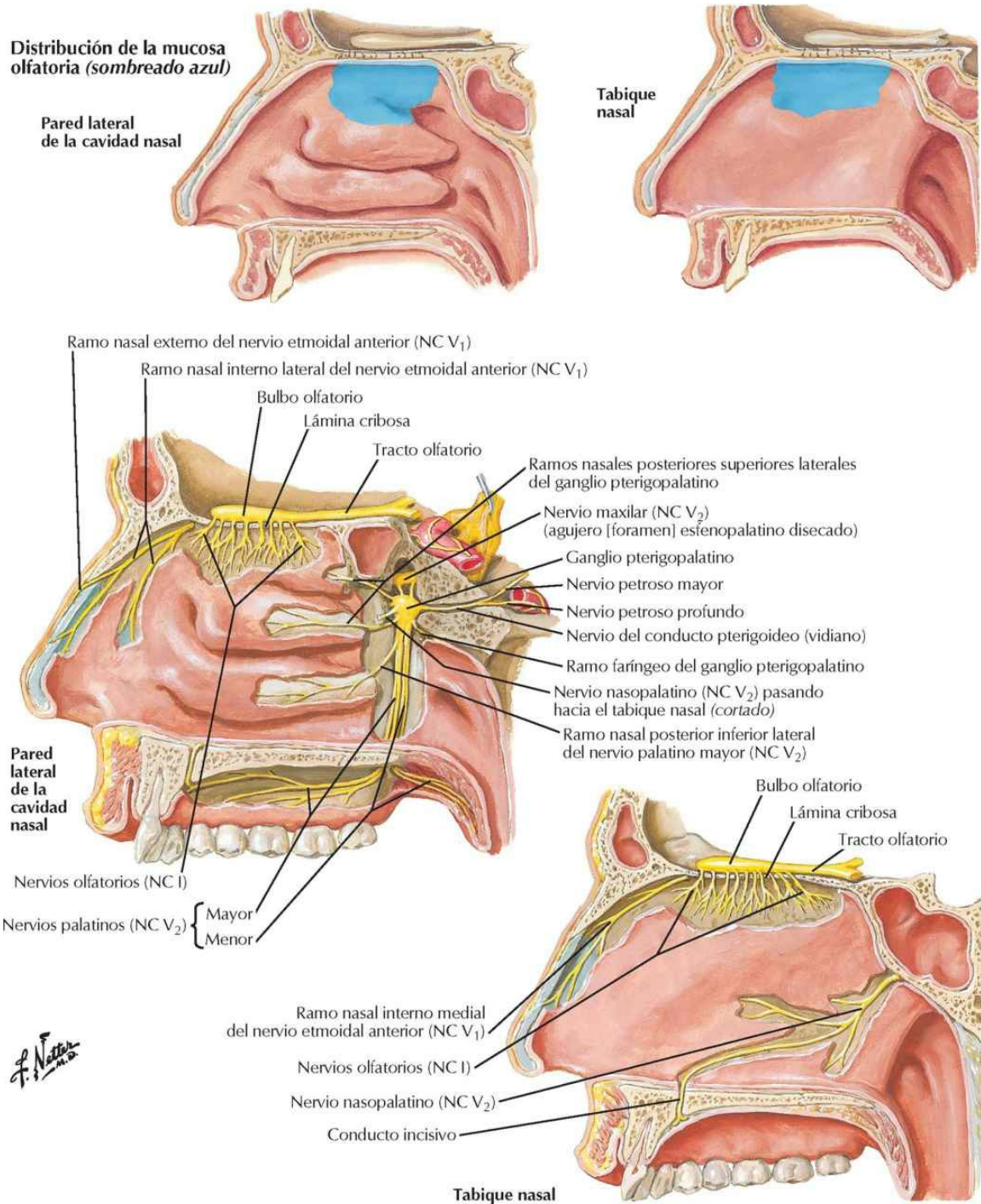
Pared medial de la cavidad nasal (tabique nasal)

Véase también lámina 15



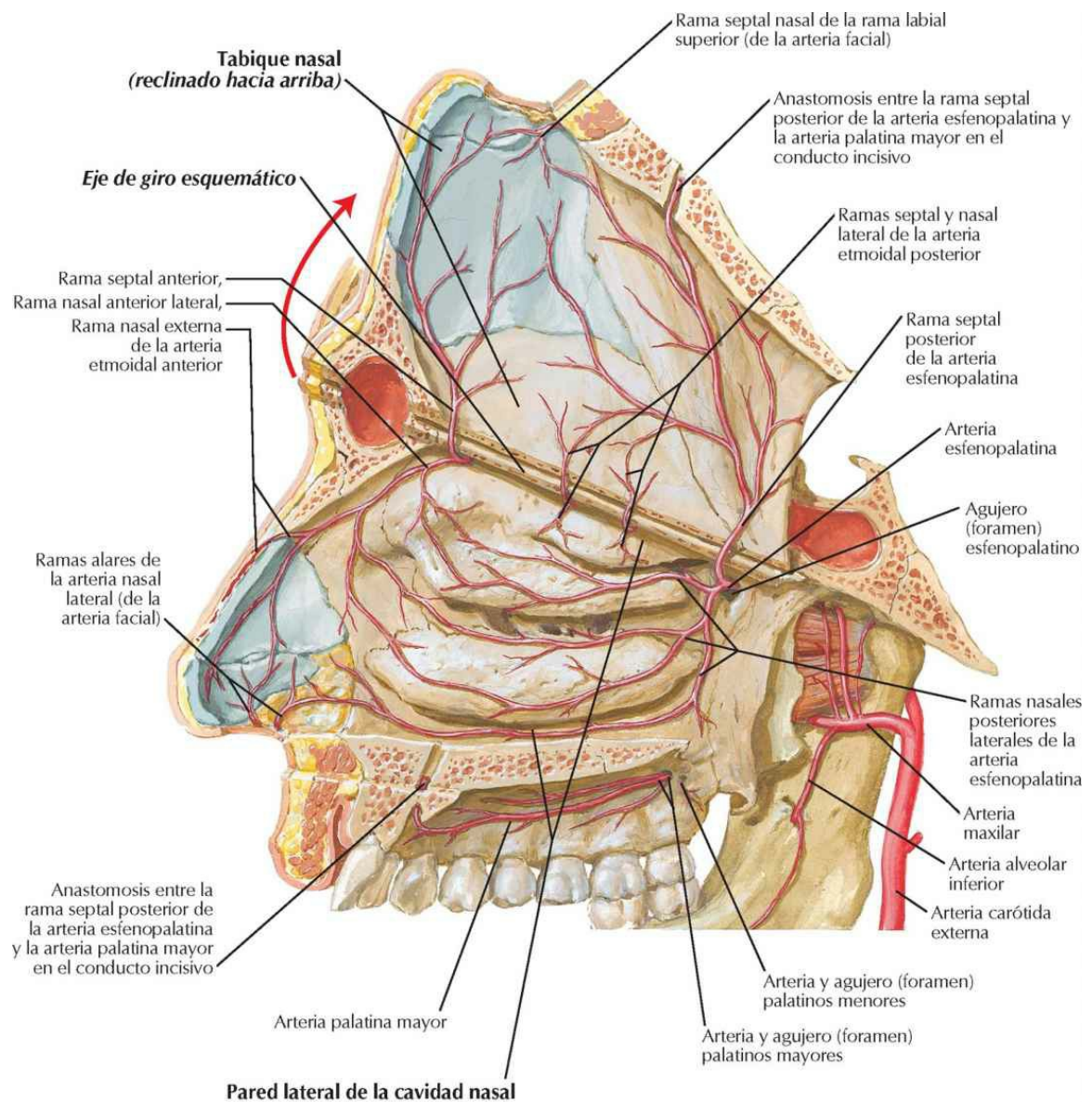
Nervios de la cavidad nasal

Véanse también láminas 63, 73, 130



Arterias de la cavidad nasal: tabique nasal reclinado hacia arriba

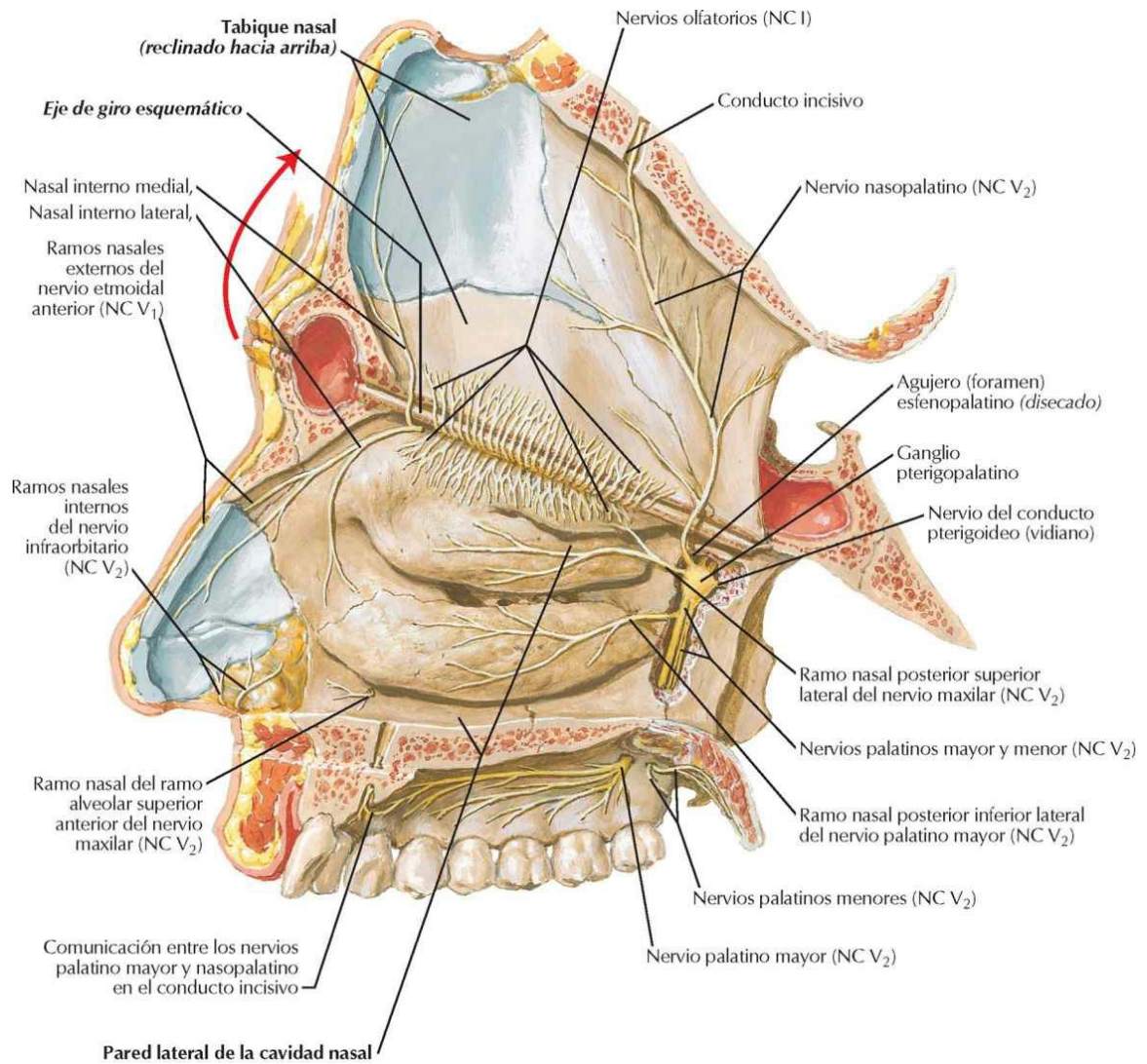
Véanse también láminas 57, 63



F. Netter M.D.

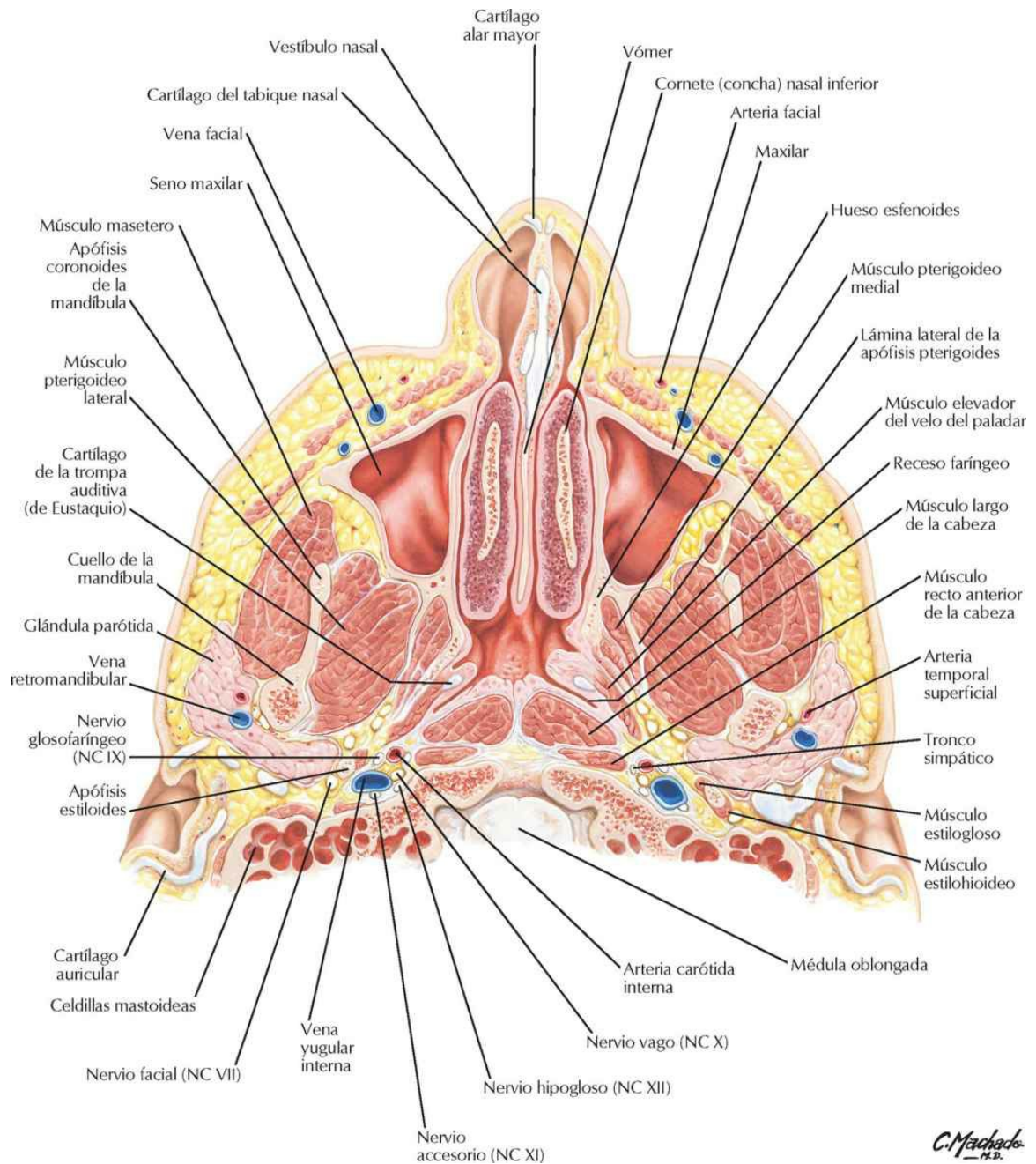
Nervios de la cavidad nasal: tabique nasal reclinado hacia arriba

Véase también lámina 62



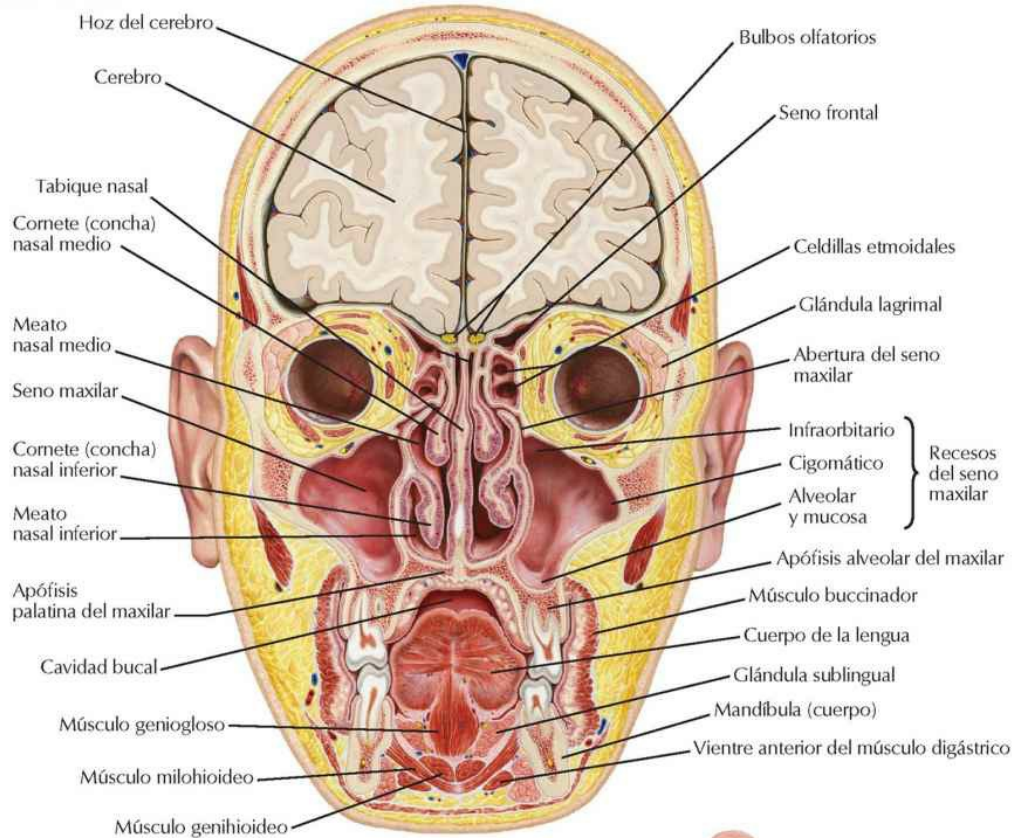
F. Netter M.D.

Cavidad nasal y seno maxilar: sección transversal

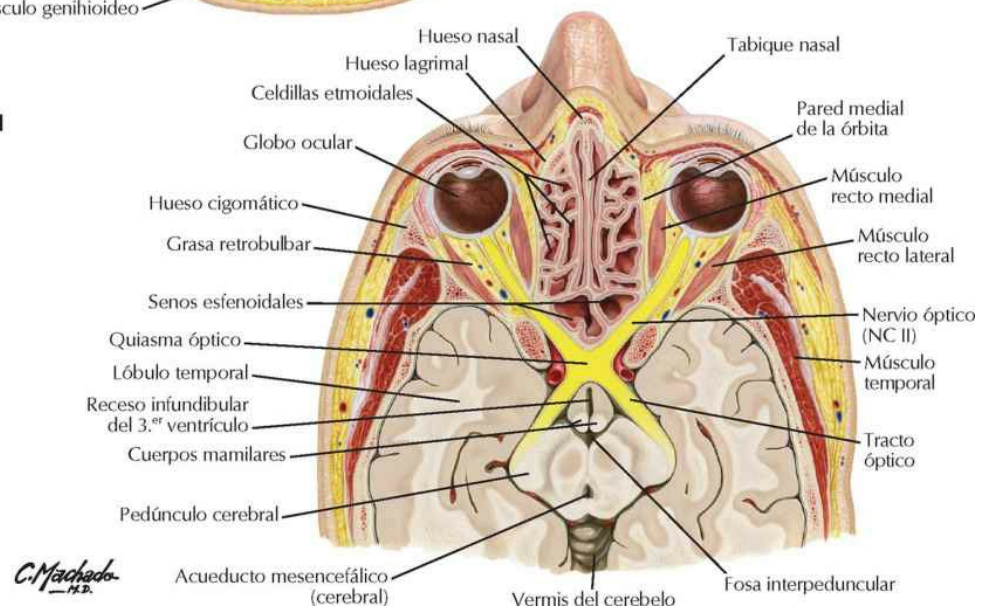


Senos paranasales: secciones coronal y transversal

Sección coronal

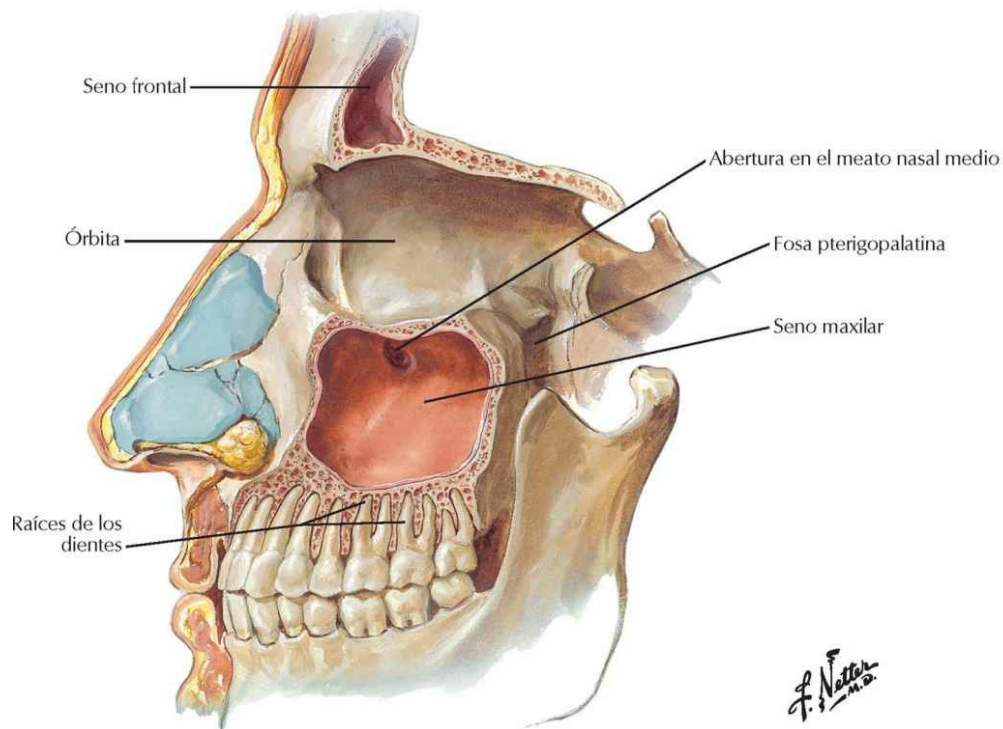
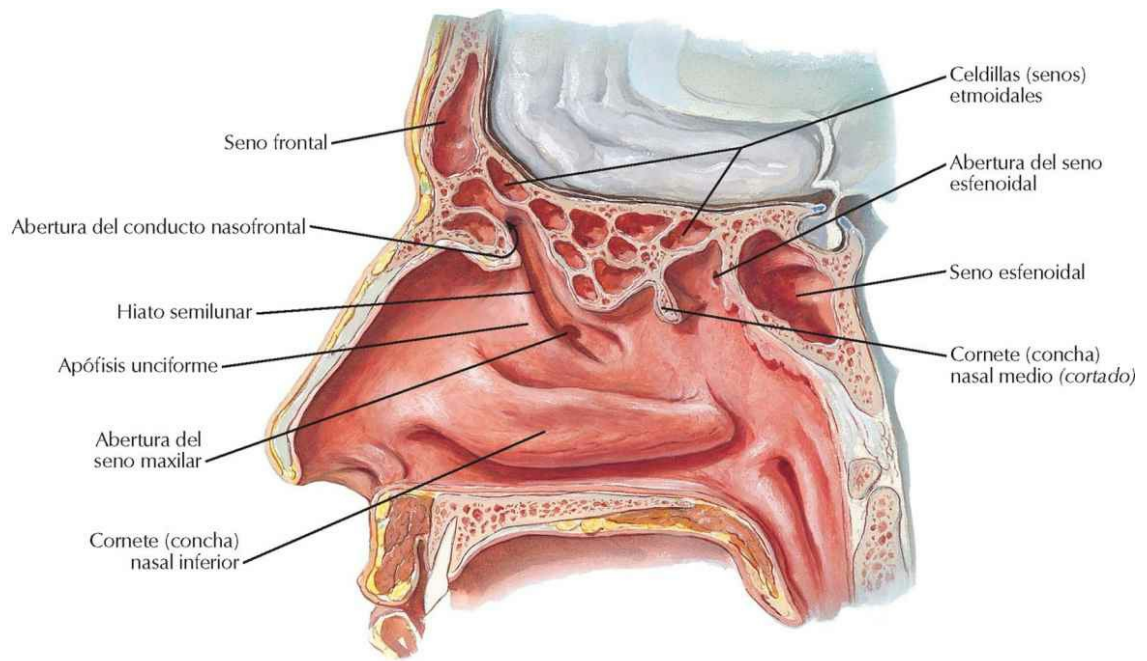


Sección transversal



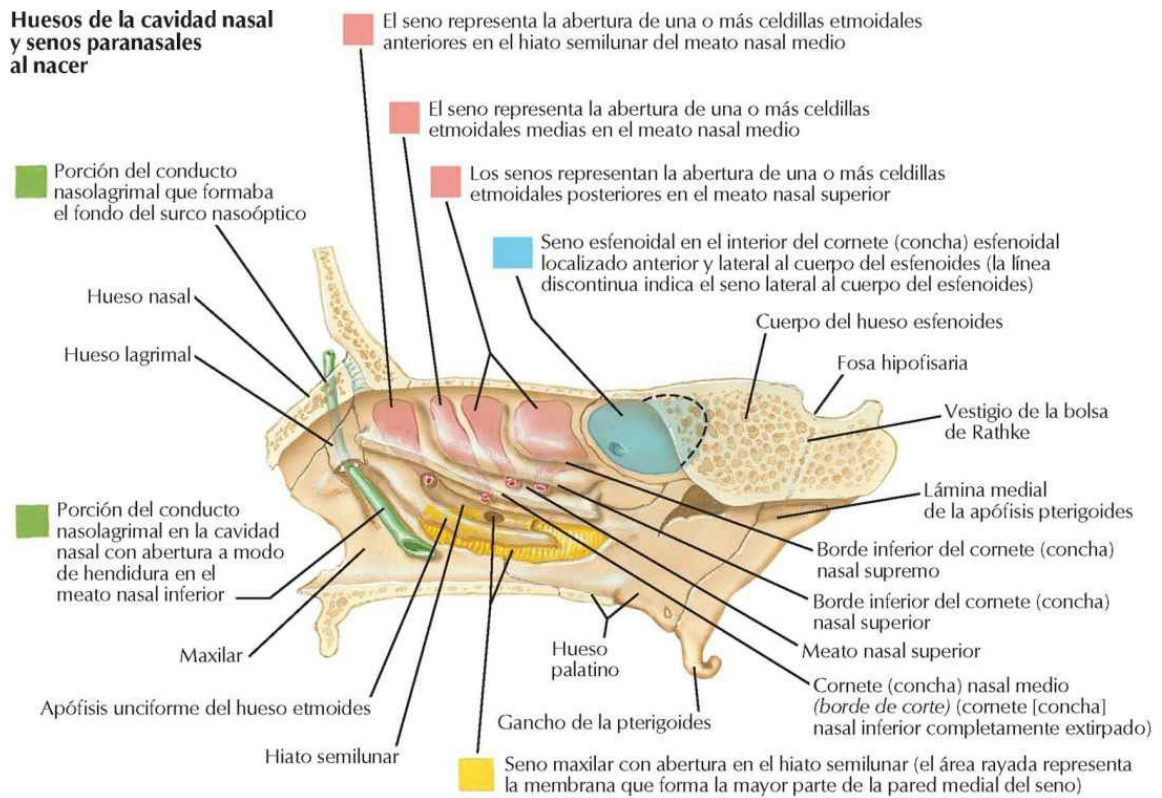
Senos paranasales: visiones parasagitales

Véase también lámina 43

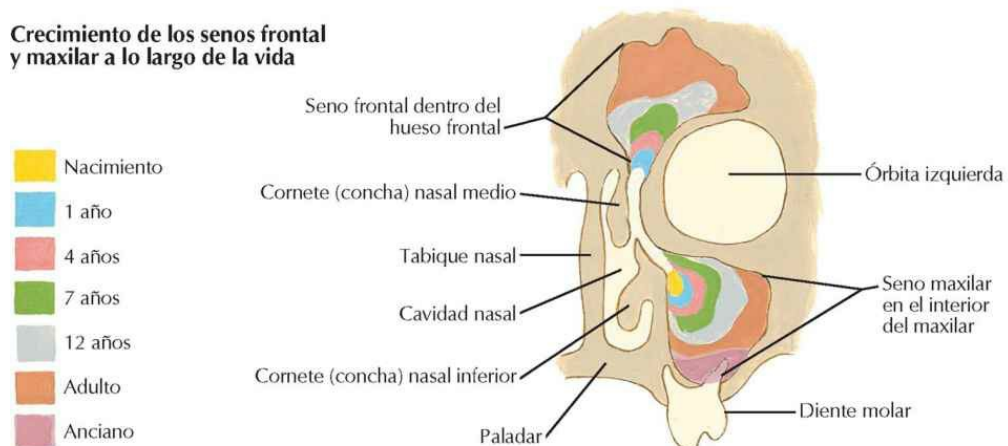


Senos paranasales: cambios con la edad

Huesos de la cavidad nasal y senos paranasales al nacer



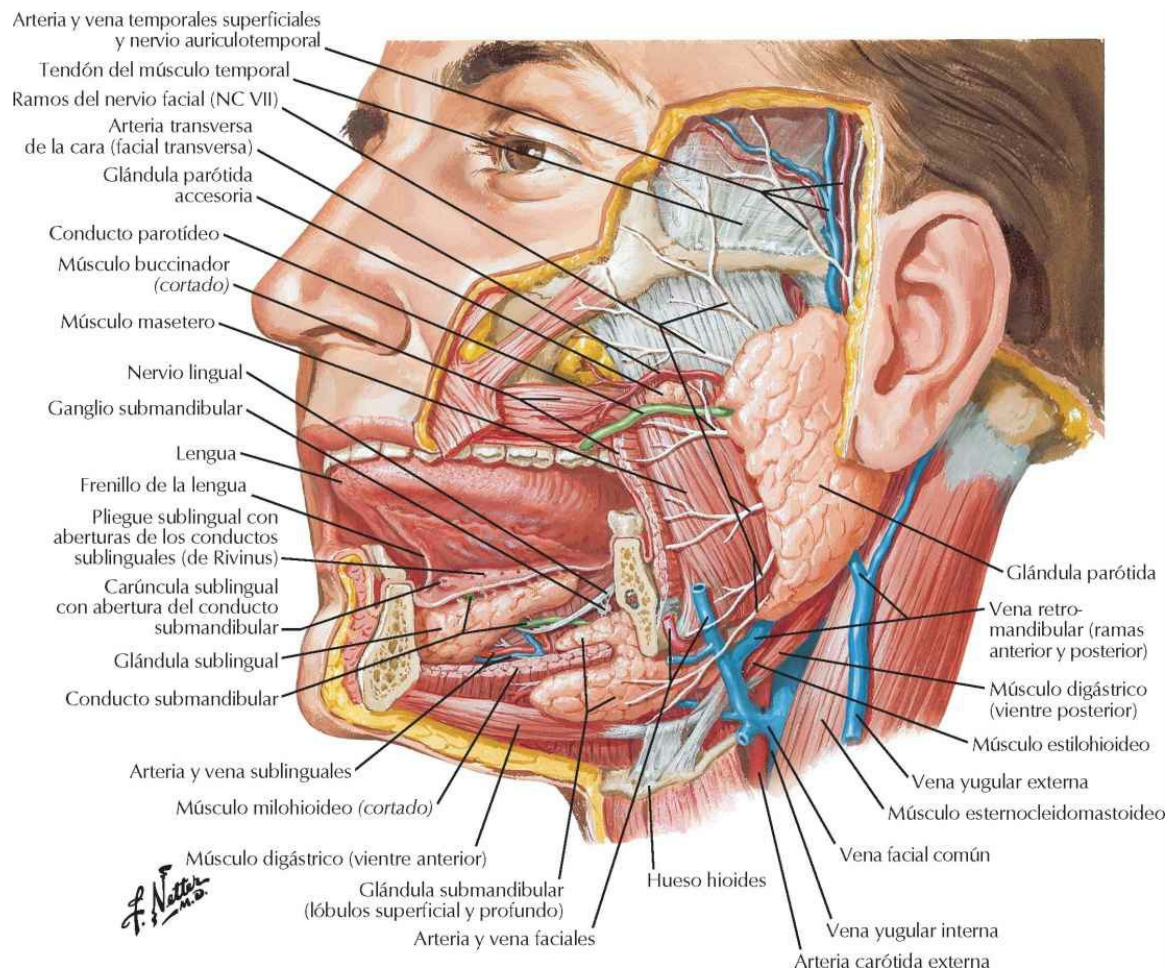
Crecimiento de los senos frontal y maxilar a lo largo de la vida



F. Natter

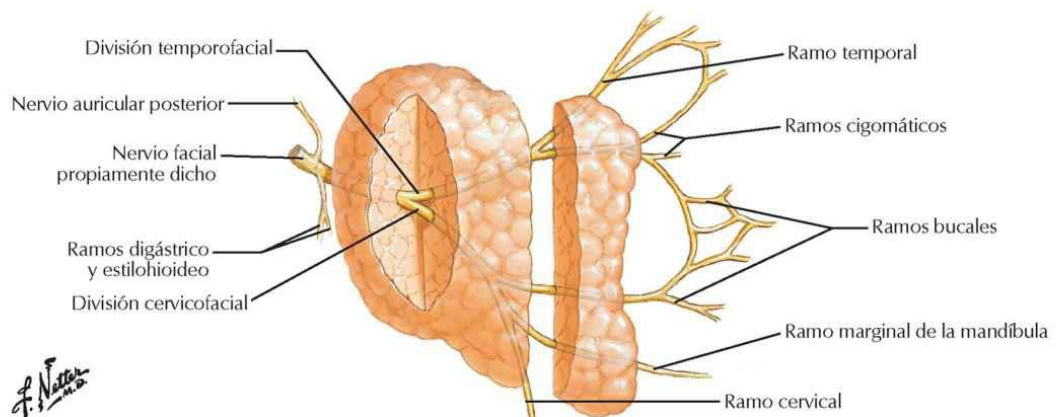
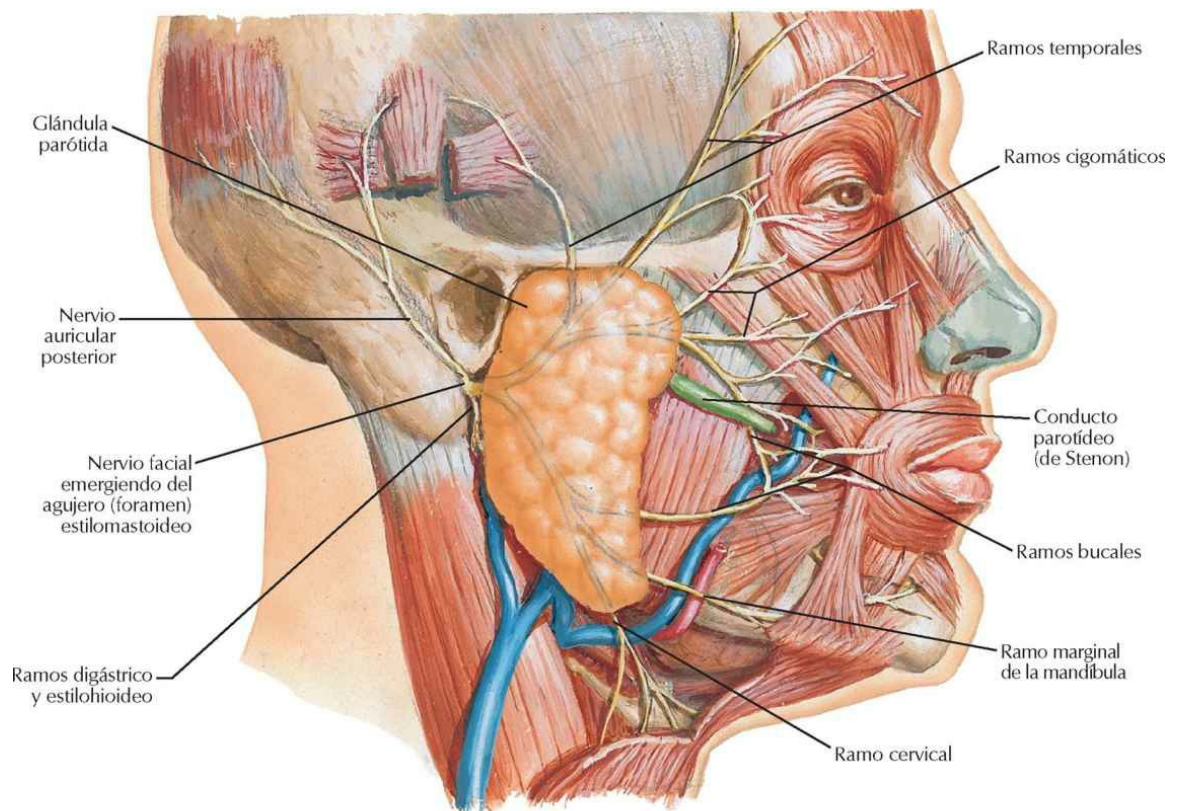
Glándulas salivares

Véanse también láminas 54, 144, 145



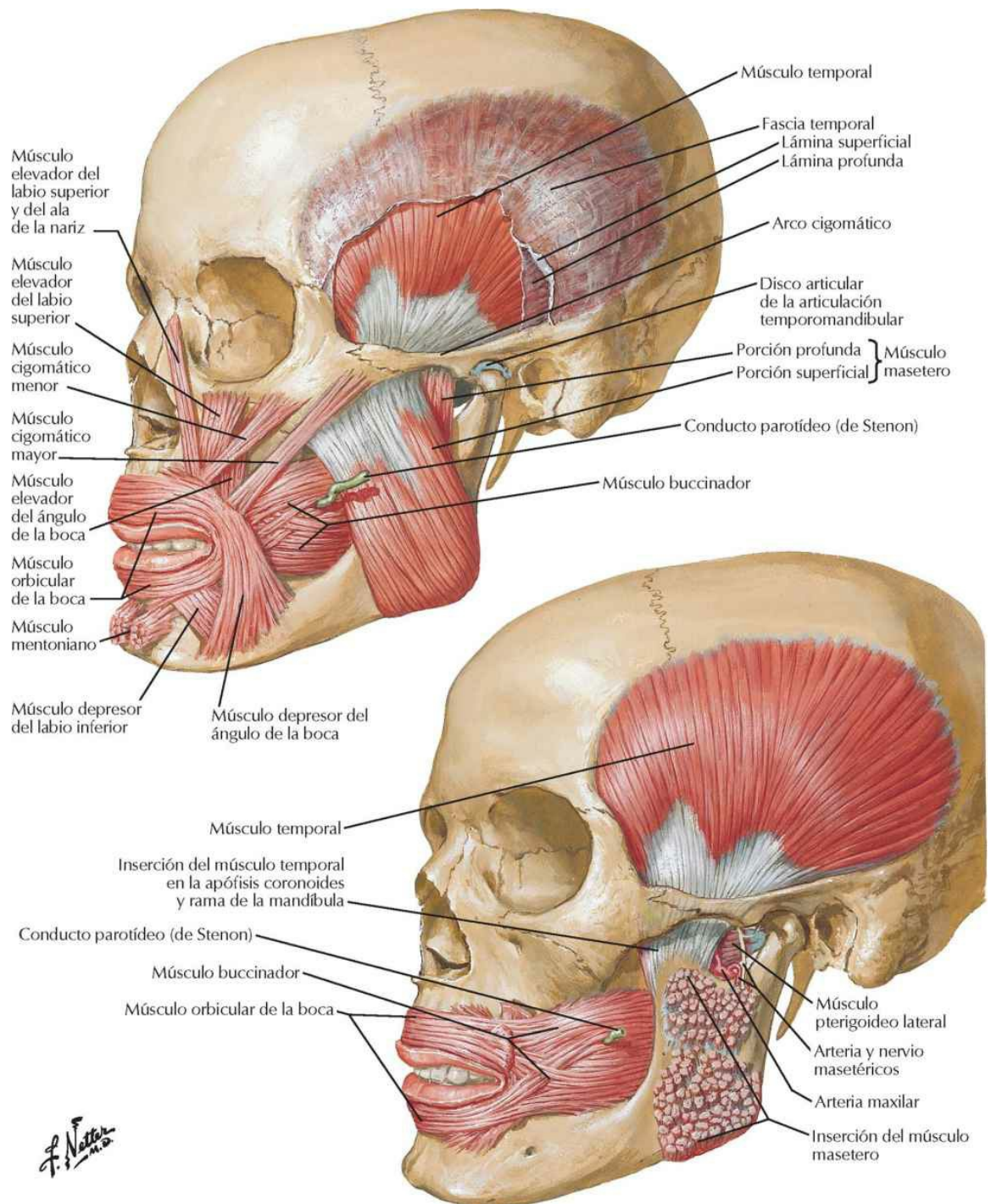
Ramos del nervio facial y glándula parótida

Véanse también láminas 53, 134



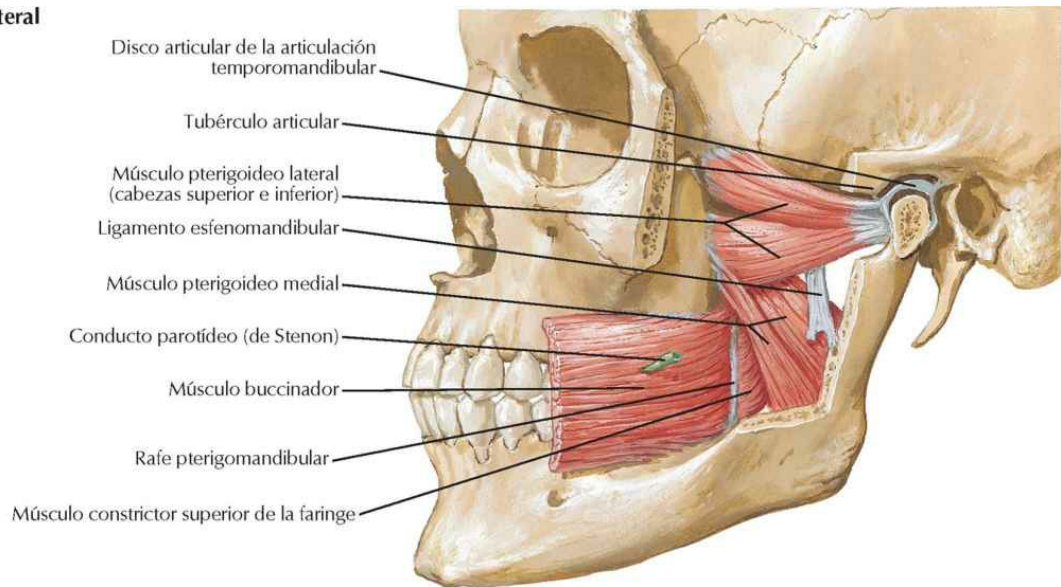
Músculos implicados en la masticación

Para los músculos faciales véase lámina 31

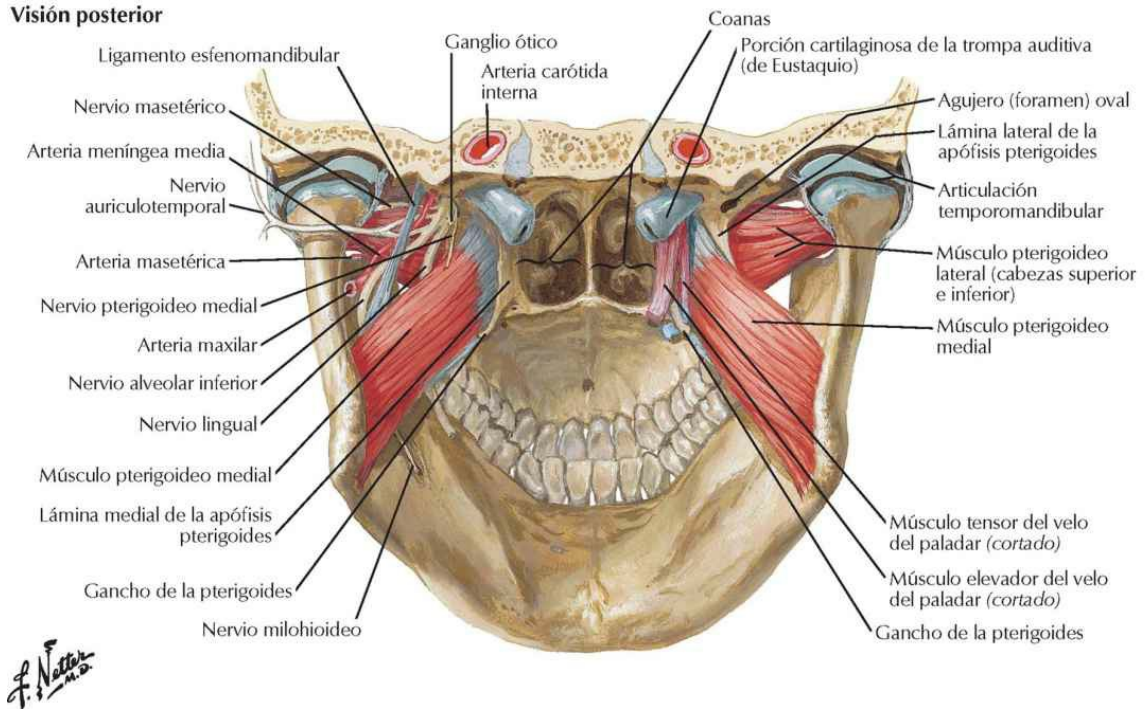


Véanse también láminas 55, 59

Visión lateral

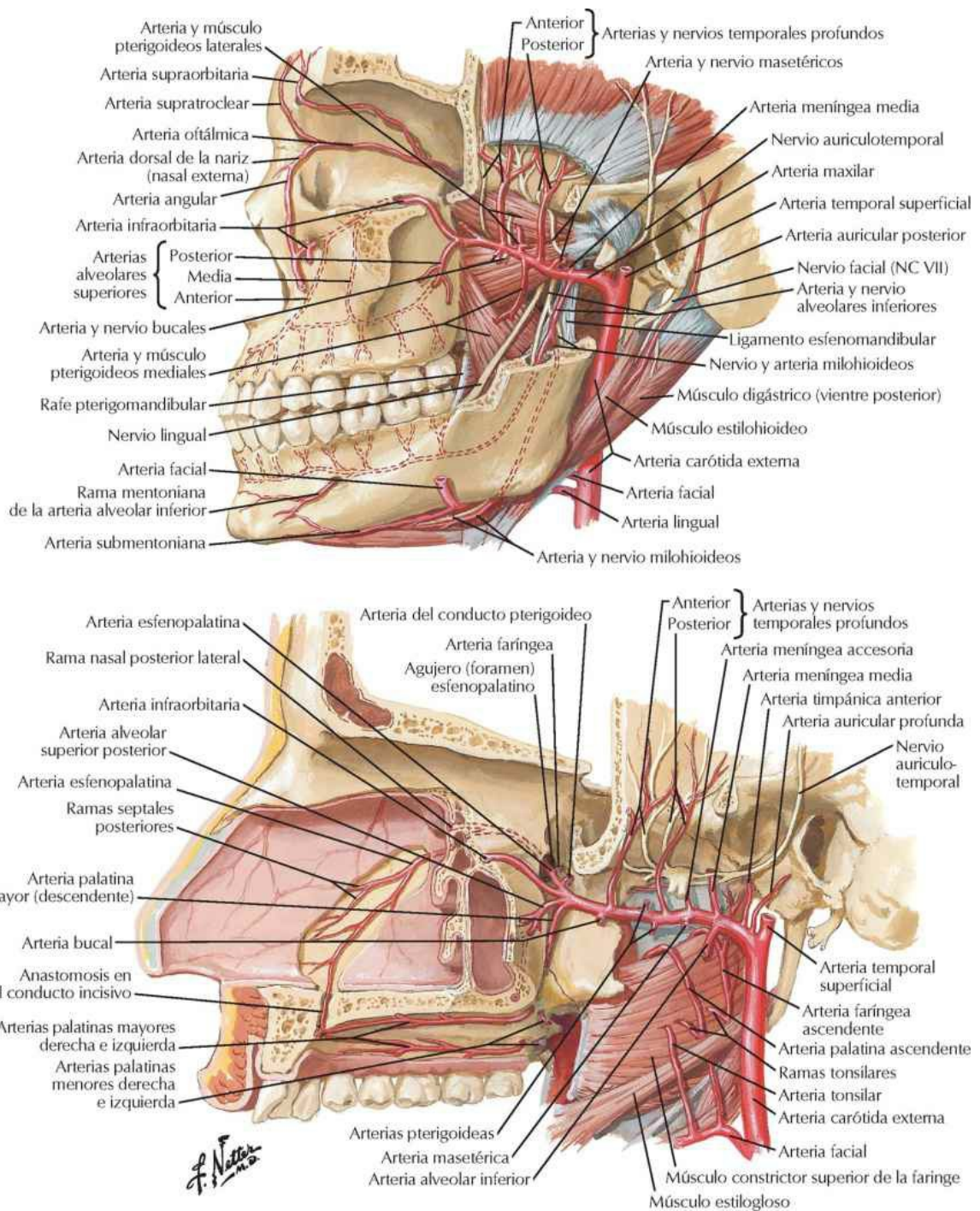


Visión posterior



Arteria maxilar

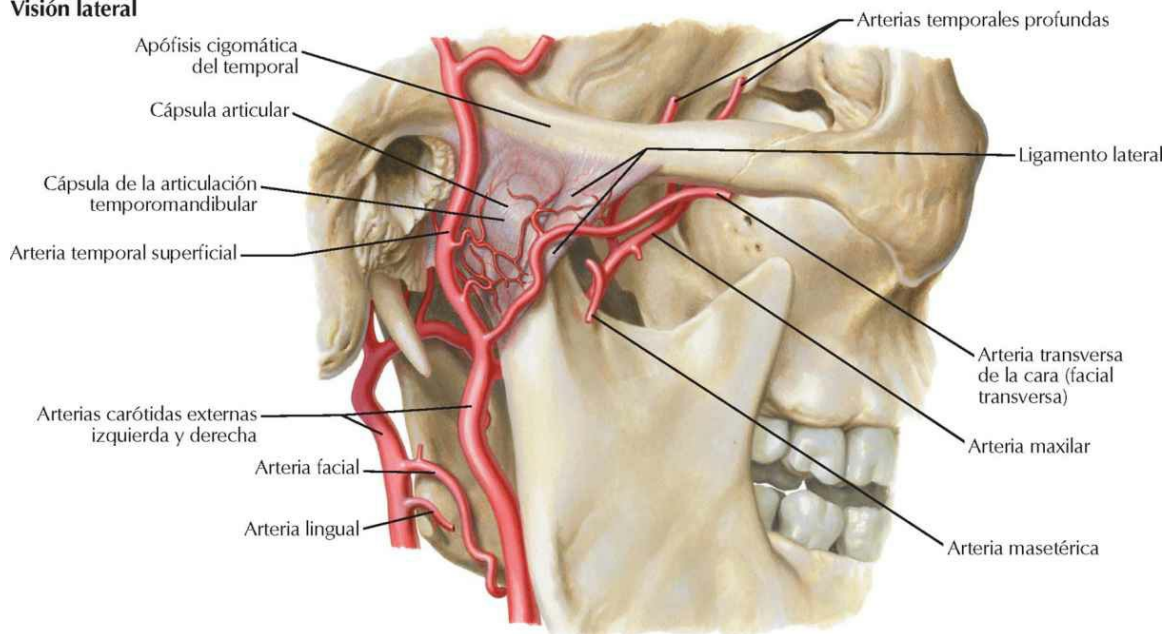
Véanse también láminas 63, 83



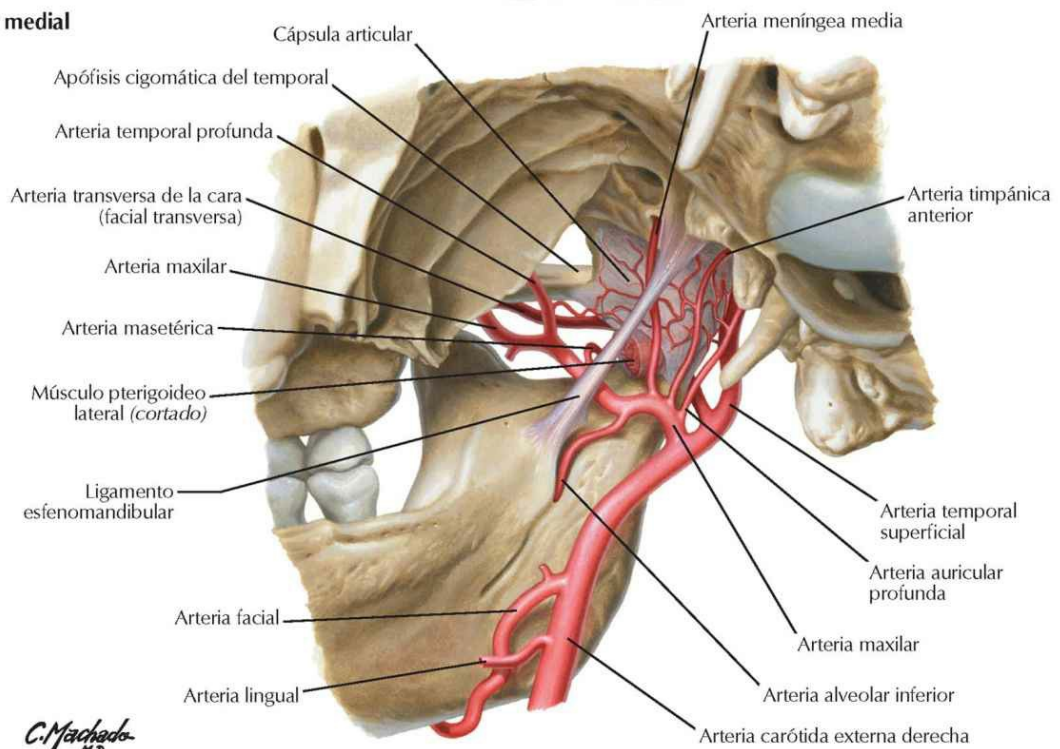
Arterias maxilar (porción proximal) y temporal superficial

Véanse también láminas 57, 59, 63

Visión lateral

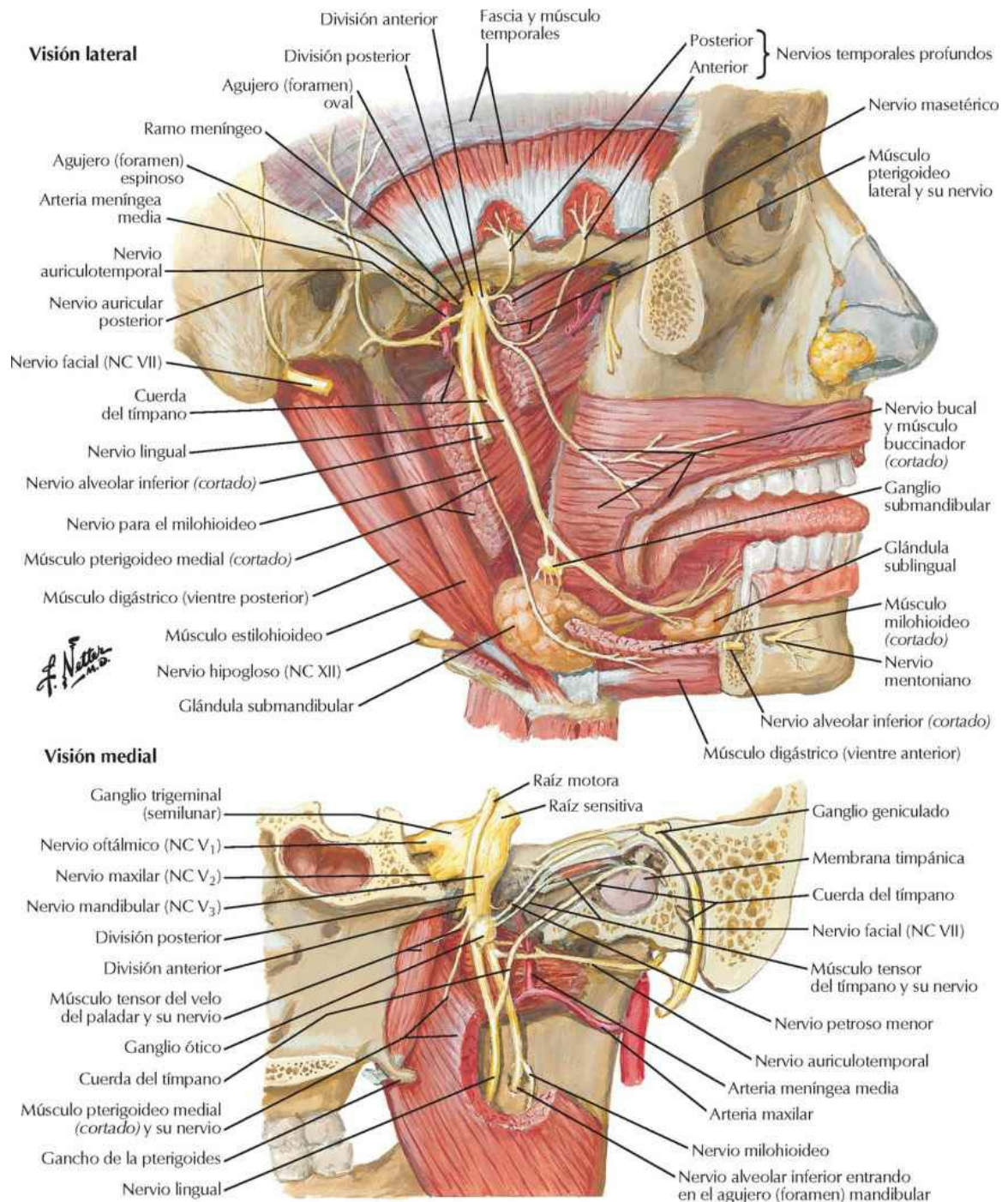


Visión medial



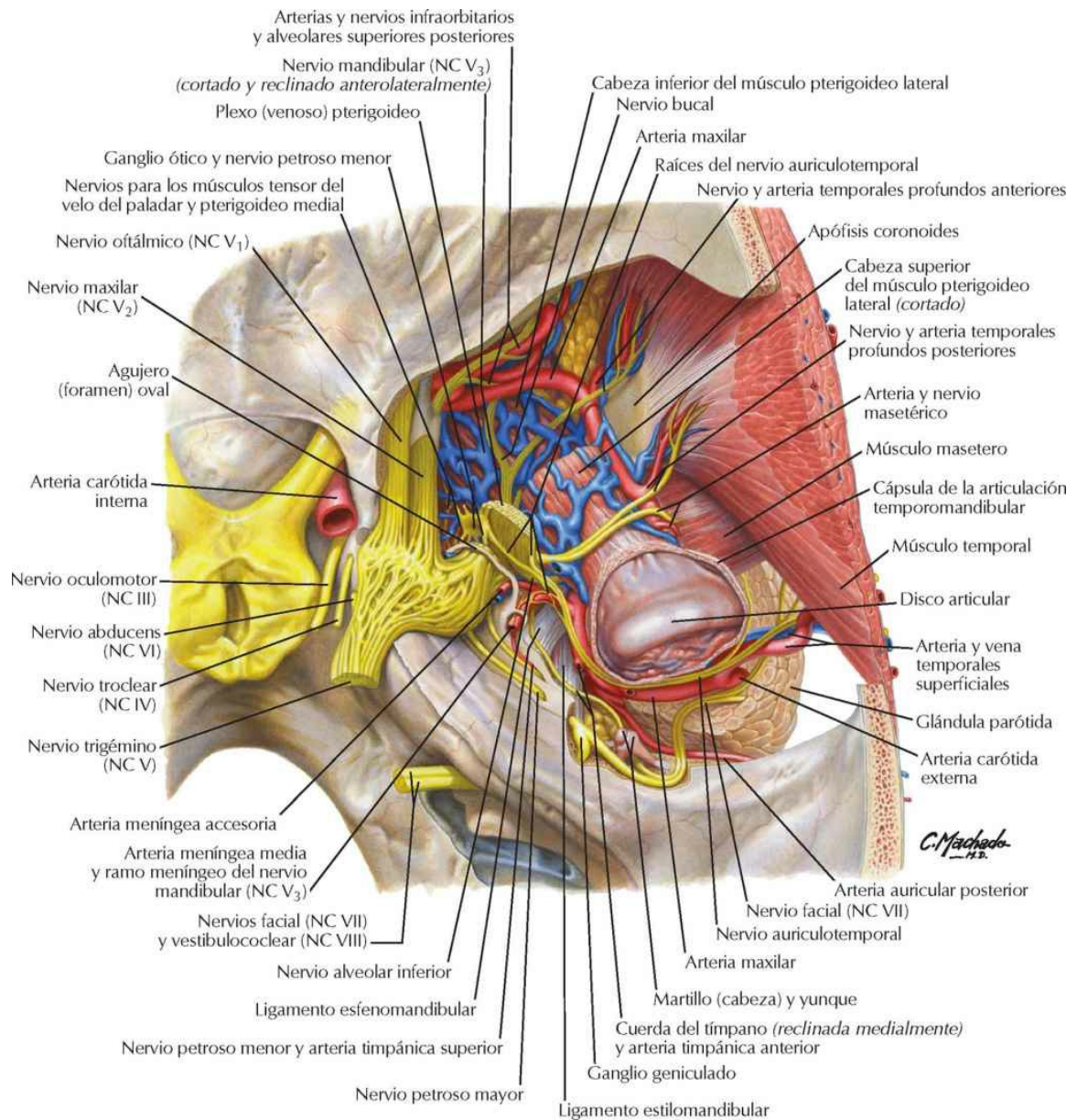
Nervio mandibular (NC V₃)

Véanse también láminas 82, 133



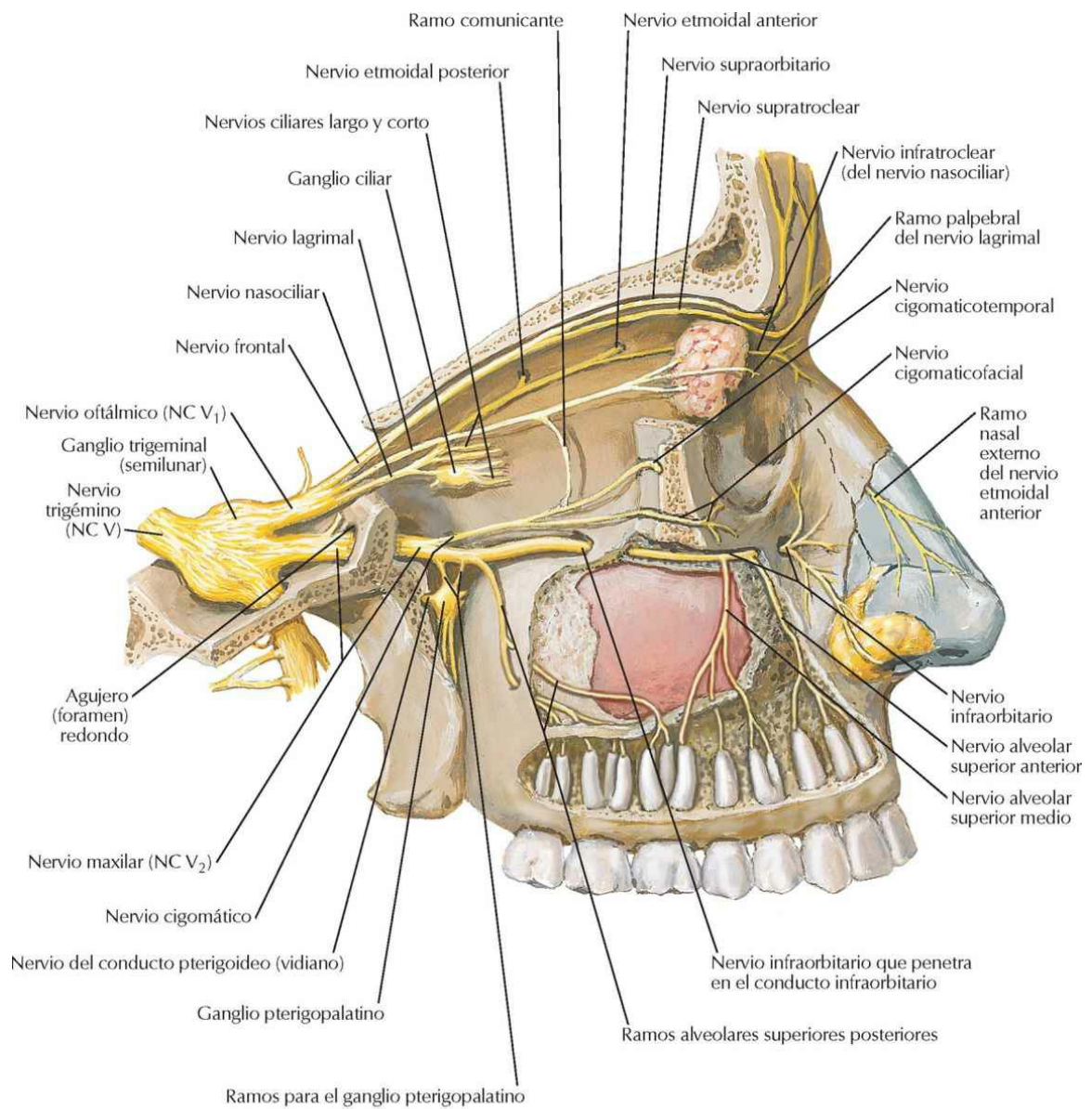
Visión superior de la fosa infratemporal

Véanse también láminas 57-59, 63, 64, 115



Nervios oftálmico (NC V₁) y maxilar (NC V₂)

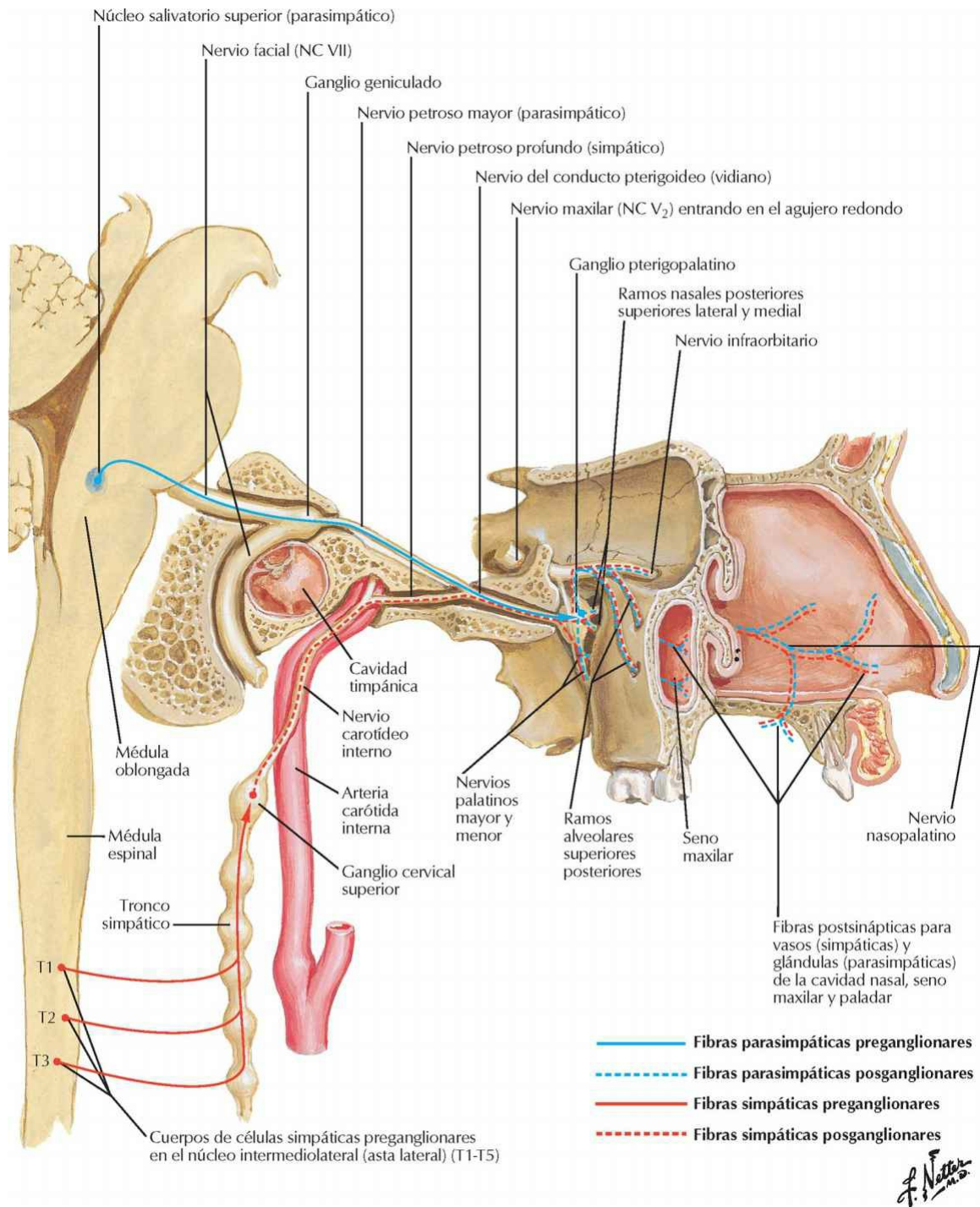
Véanse también láminas 63, 66



F. Netter M.D.

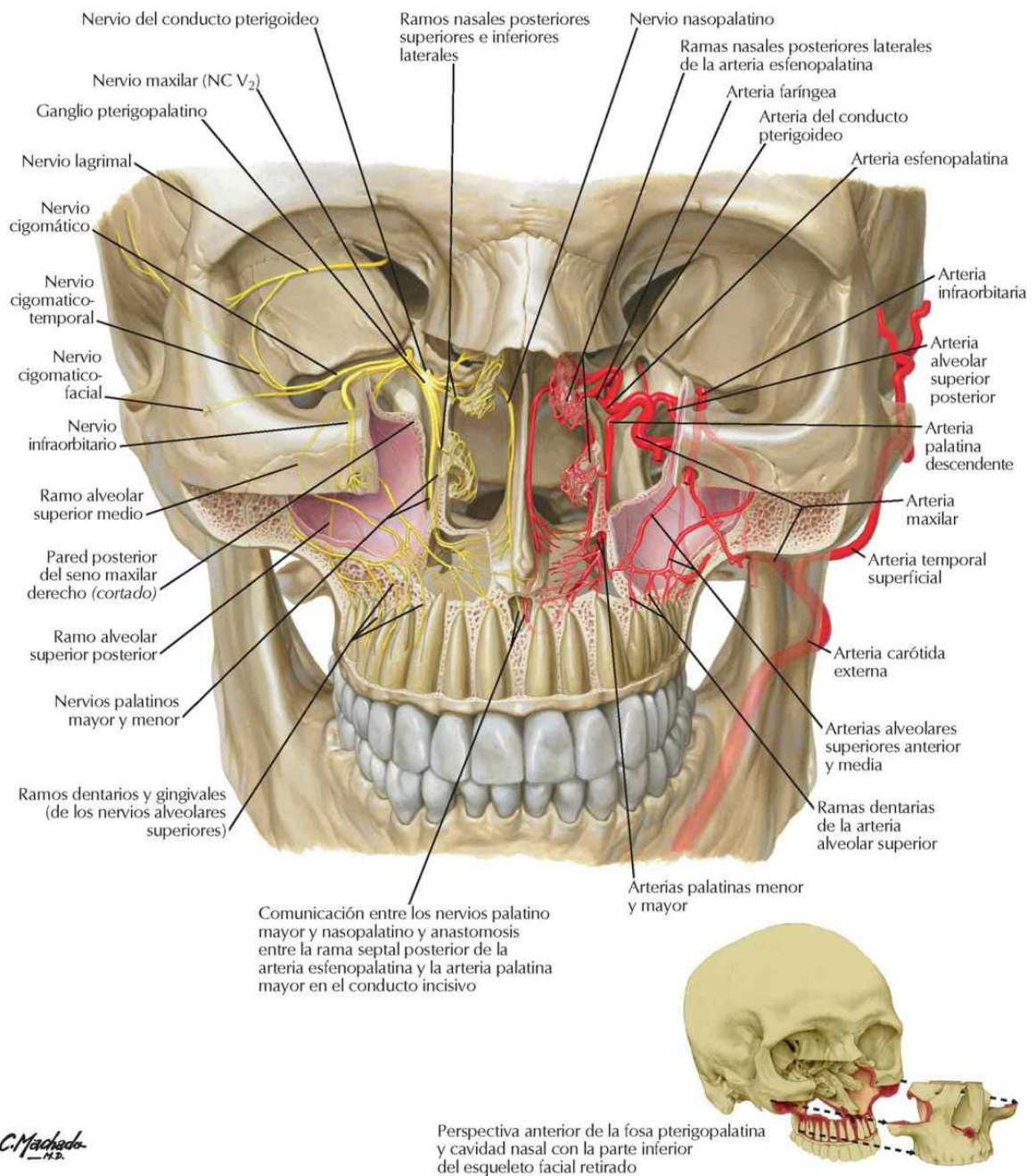
Inervación autónoma de la cavidad nasal

Véanse también láminas 133, 142, 144



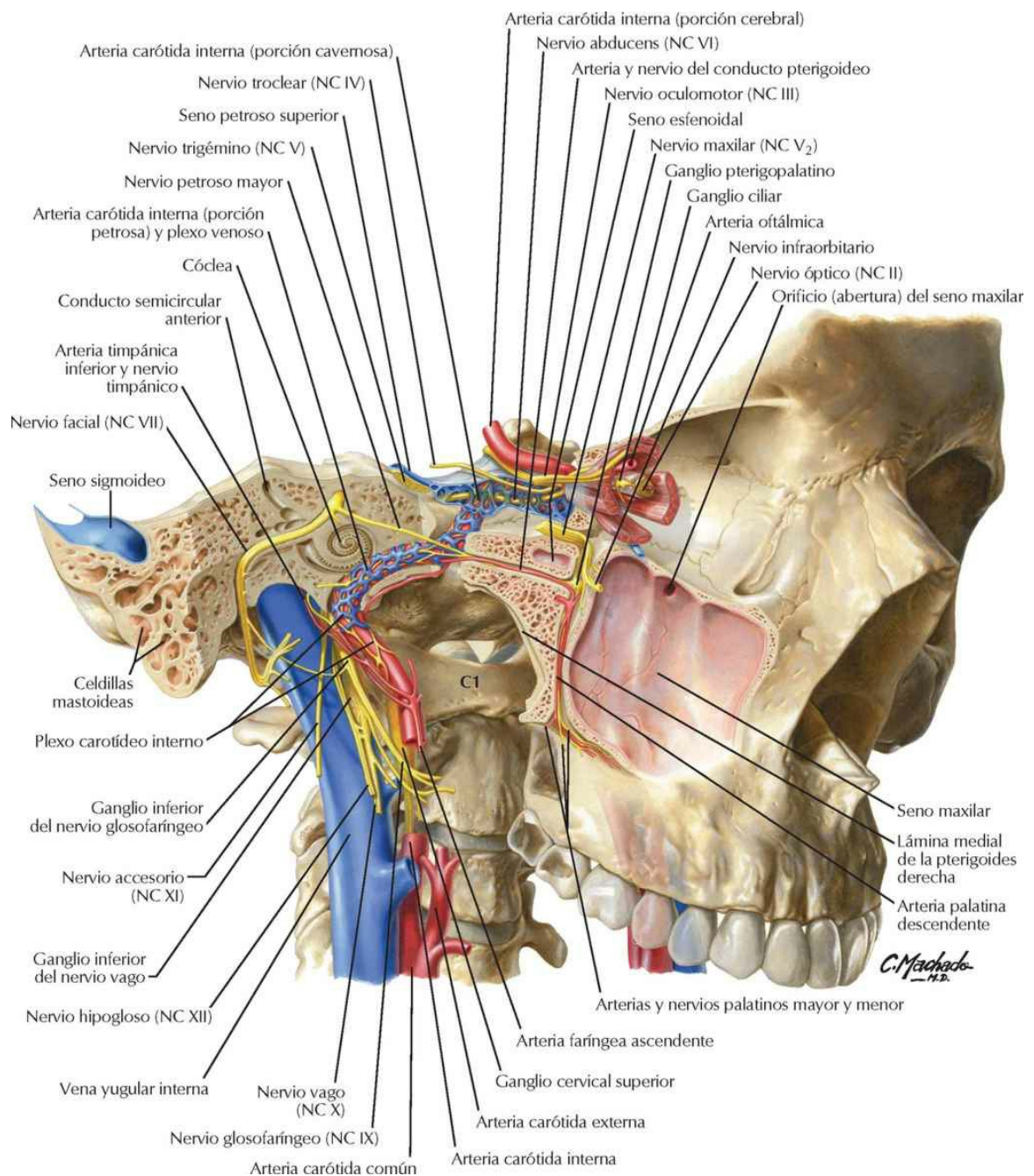
Nervios y arterias profundos de la cara

Véanse también láminas 46, 48, 61



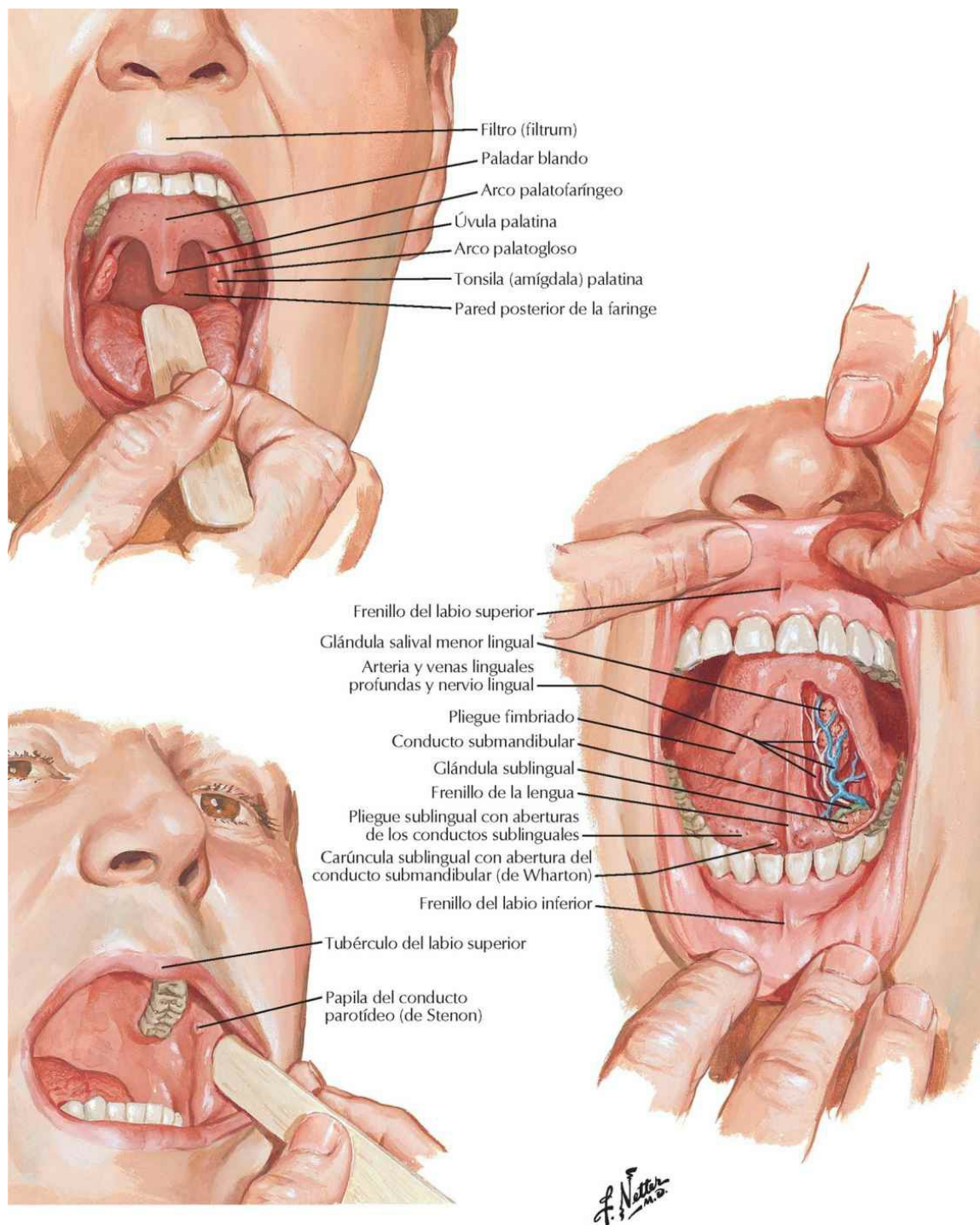
Orientación de nervios y vasos de la base del cráneo

Véanse también láminas 115, 142, 147



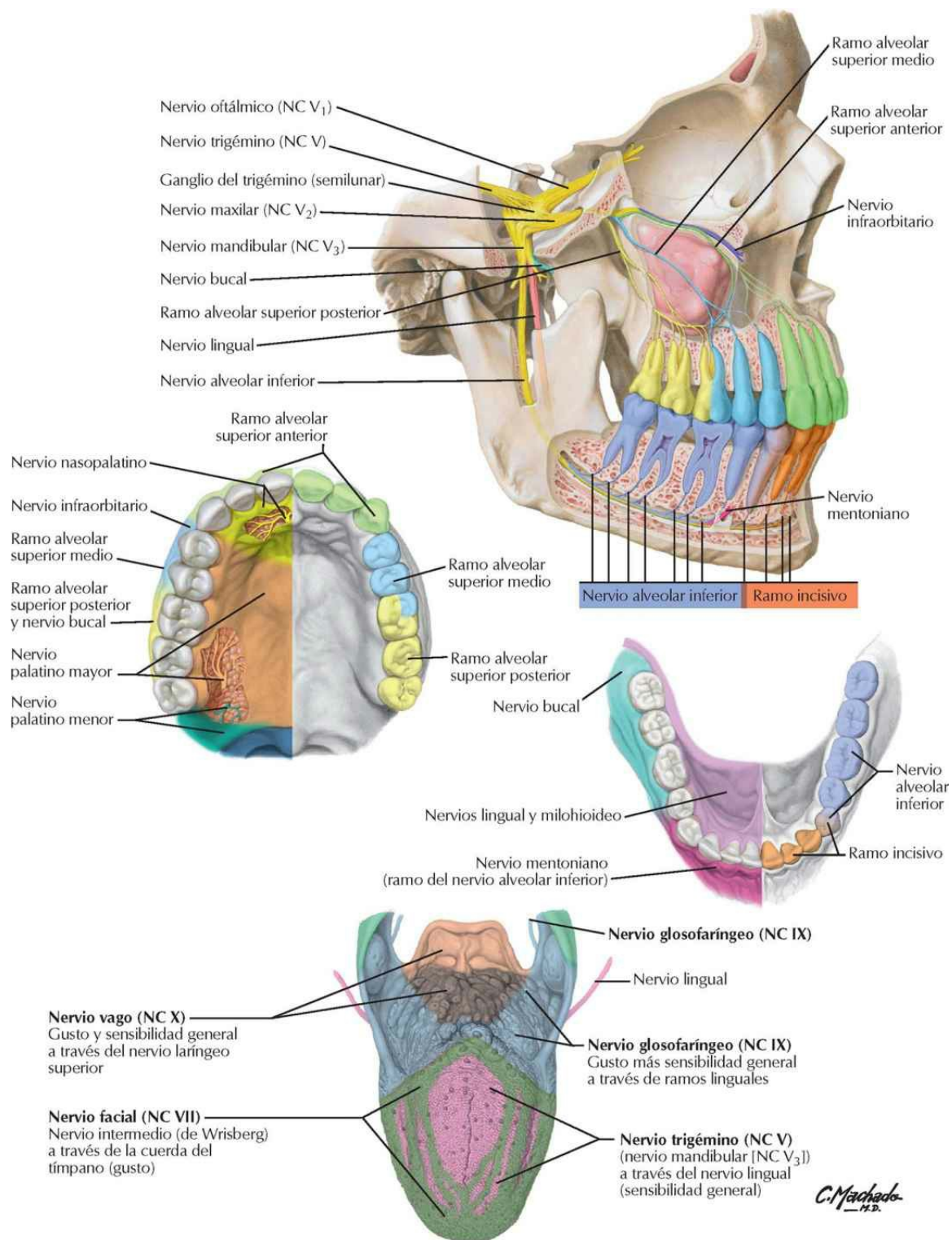
Región bucal

Inspección de la cavidad bucal



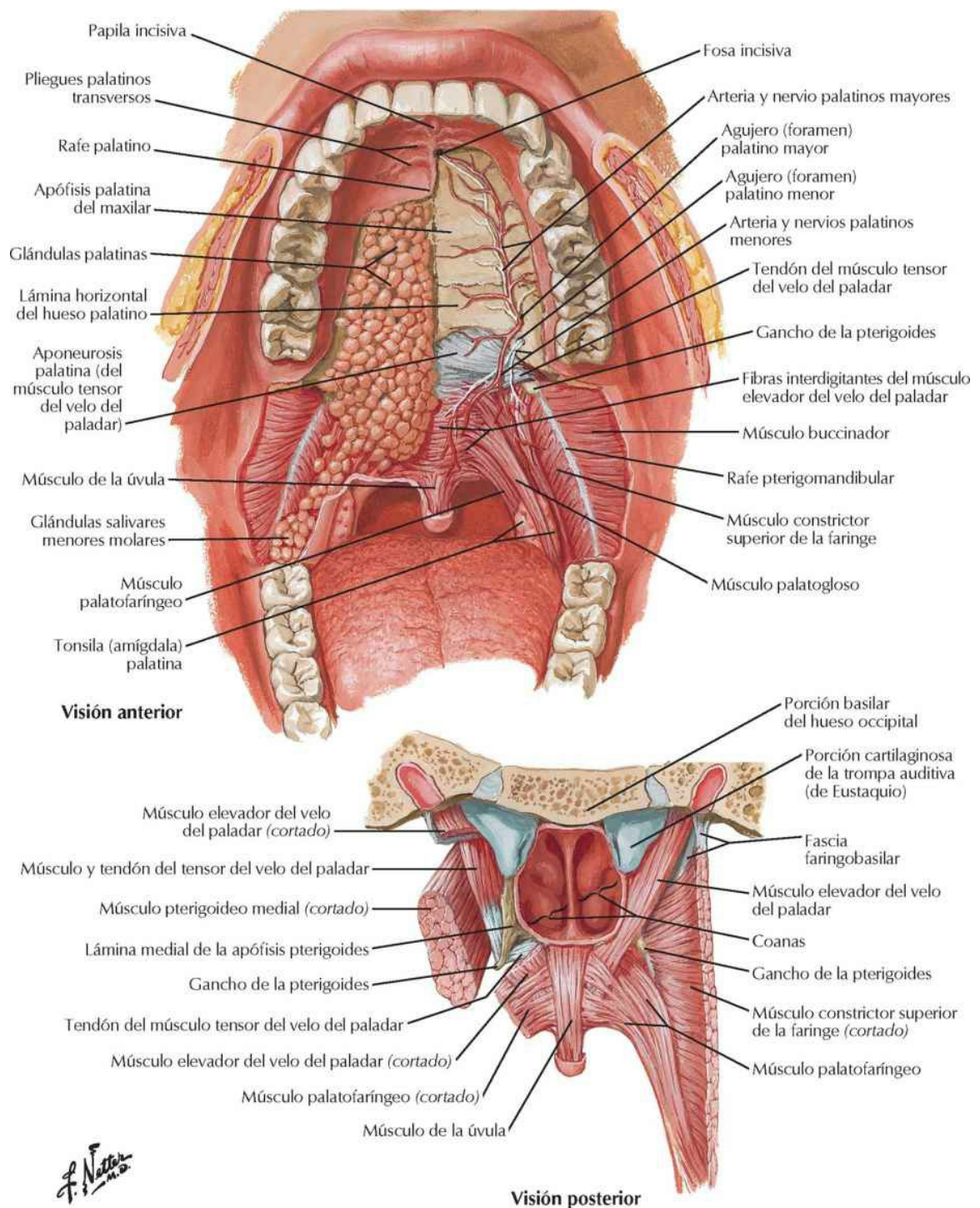
Inervación aferente de la cavidad bucal y lengua

Véanse también láminas 144, 146

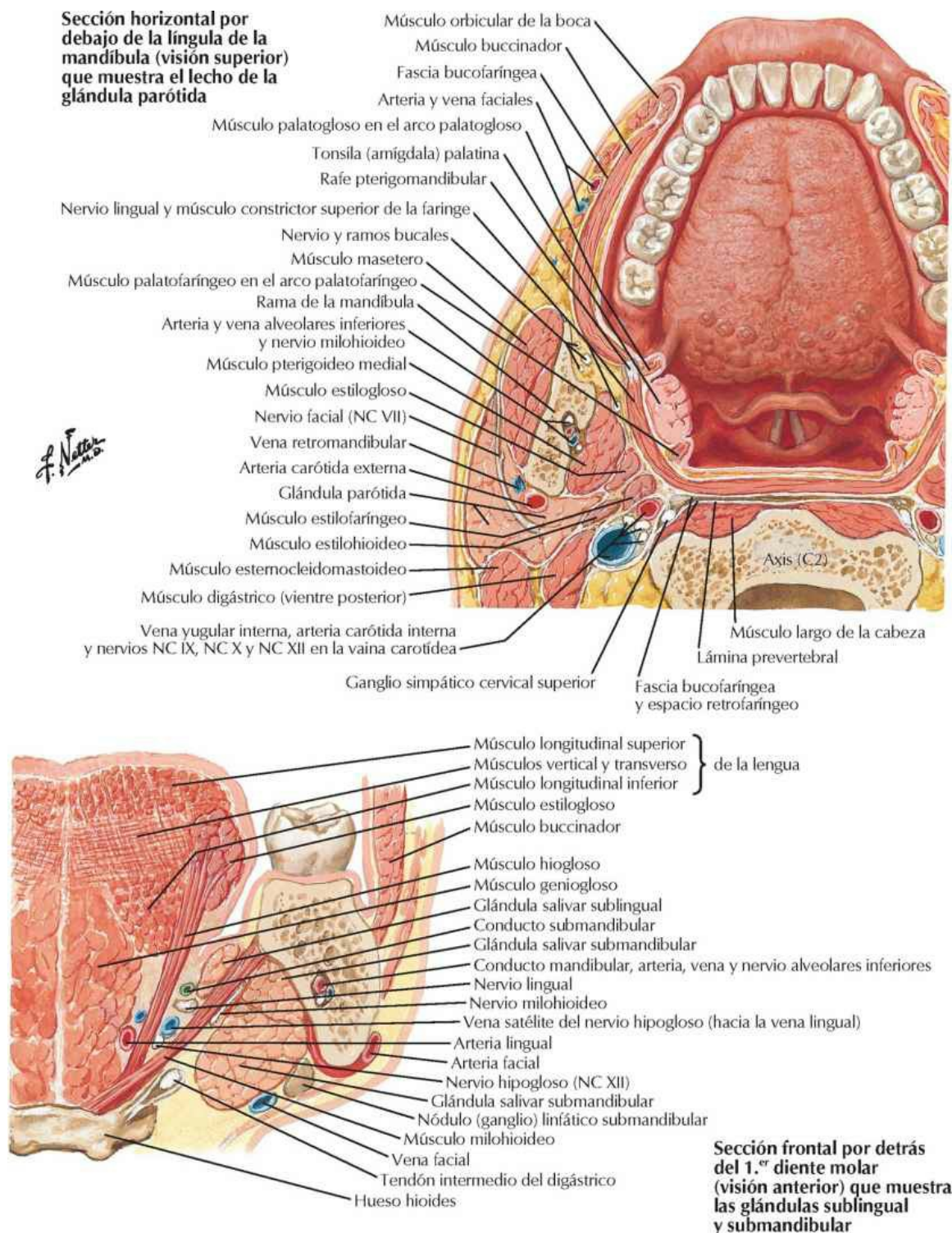


Techo de la cavidad bucal

Véase también lámina 48

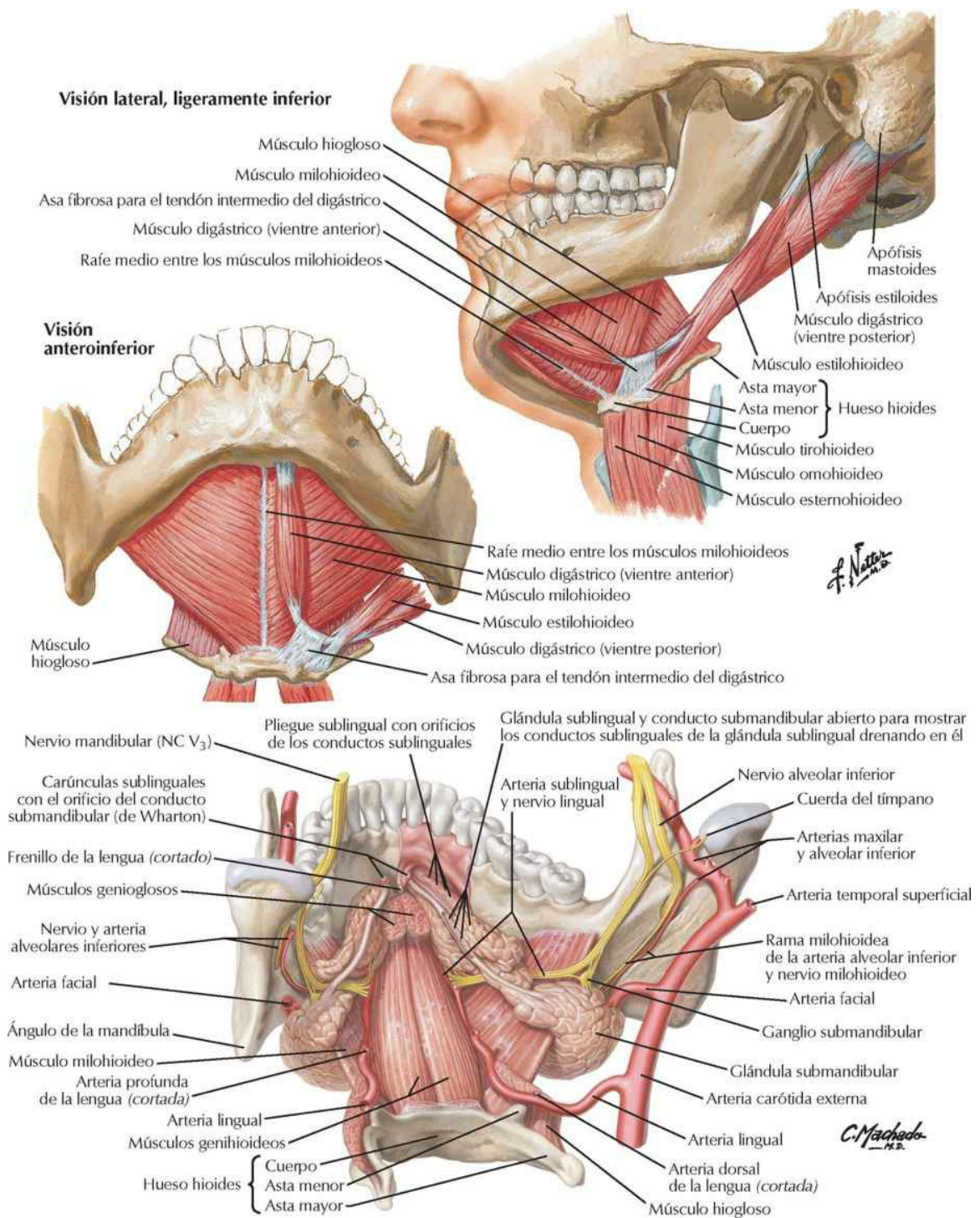


Lengua y glándulas salivares: secciones



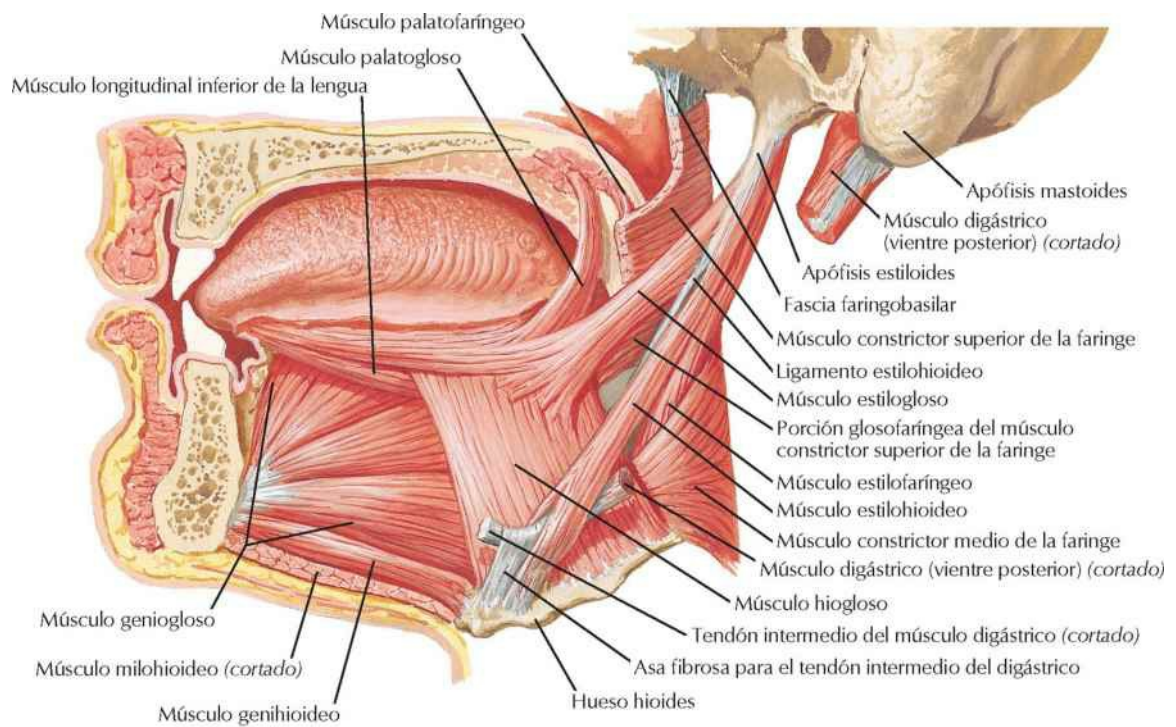
Suelo de la cavidad bucal

Véase también lámina 35

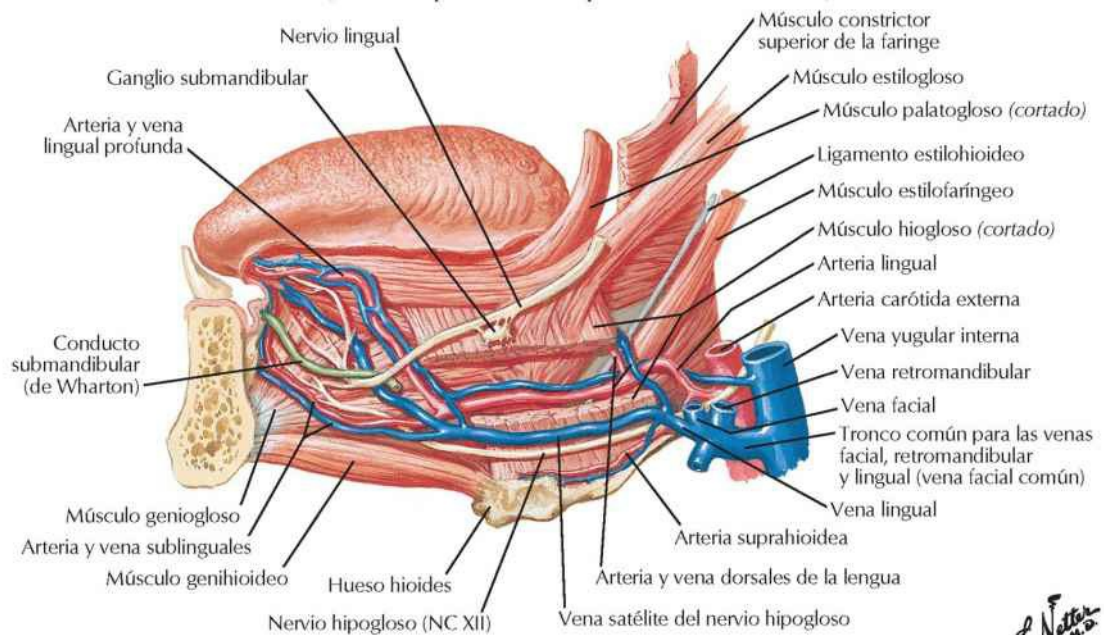


Lengua

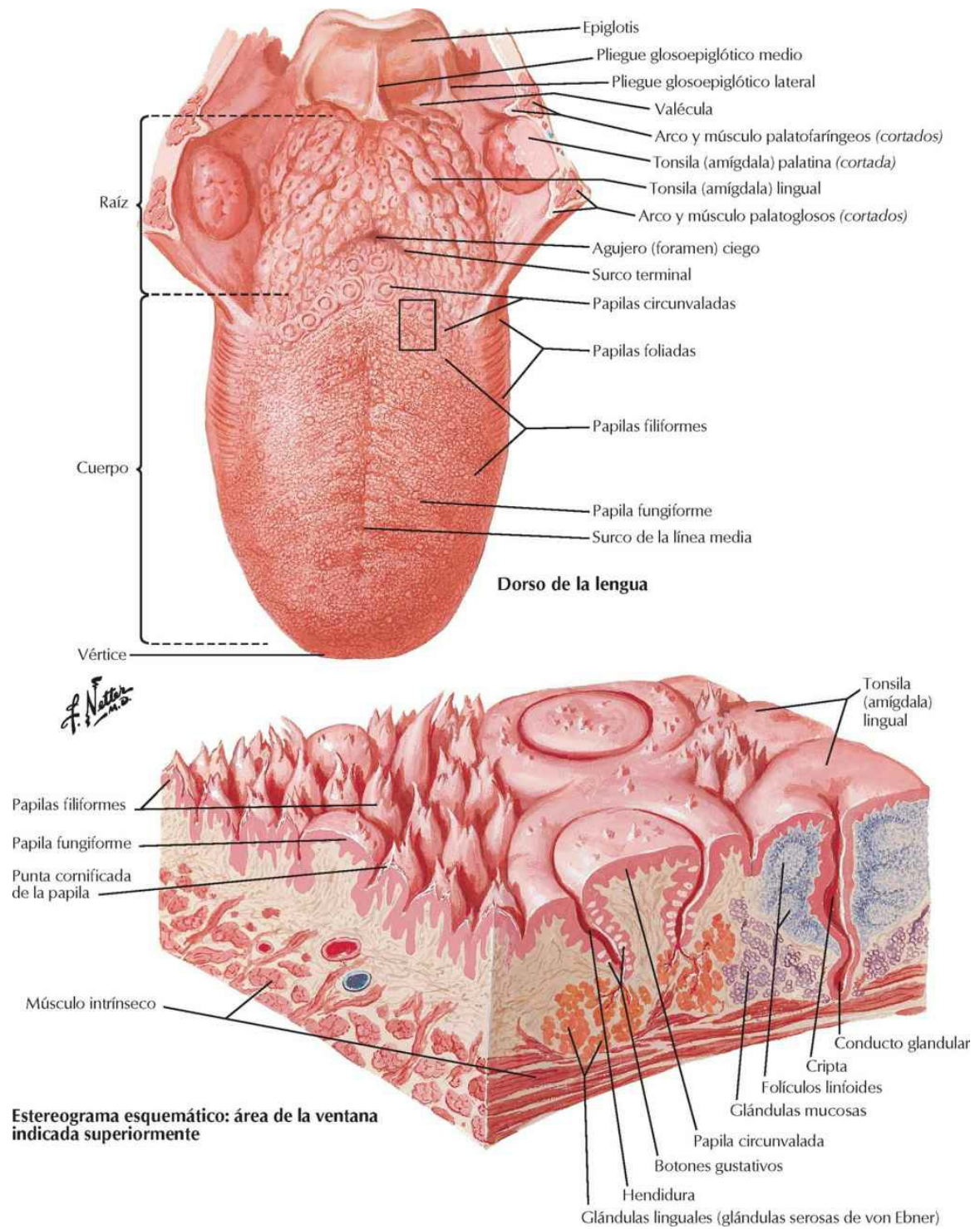
Véanse también láminas 69, 139



Visión lateral (se ha extirpado el lado izquierdo de la mandíbula)

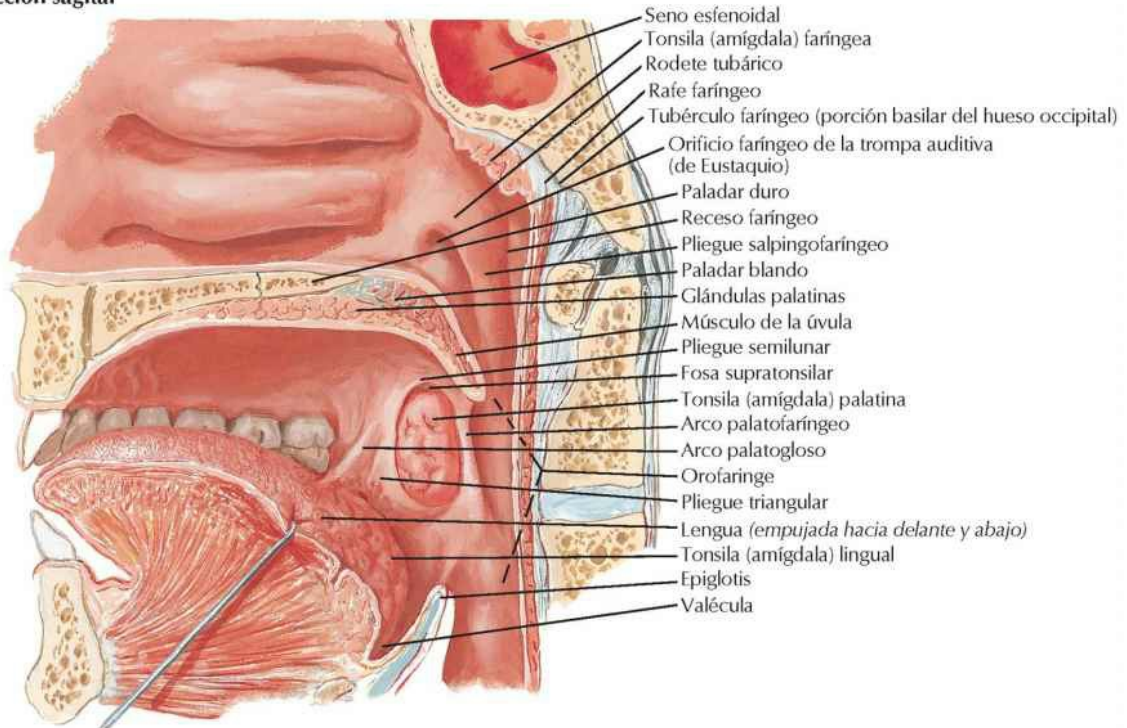


F. Netter M.D.

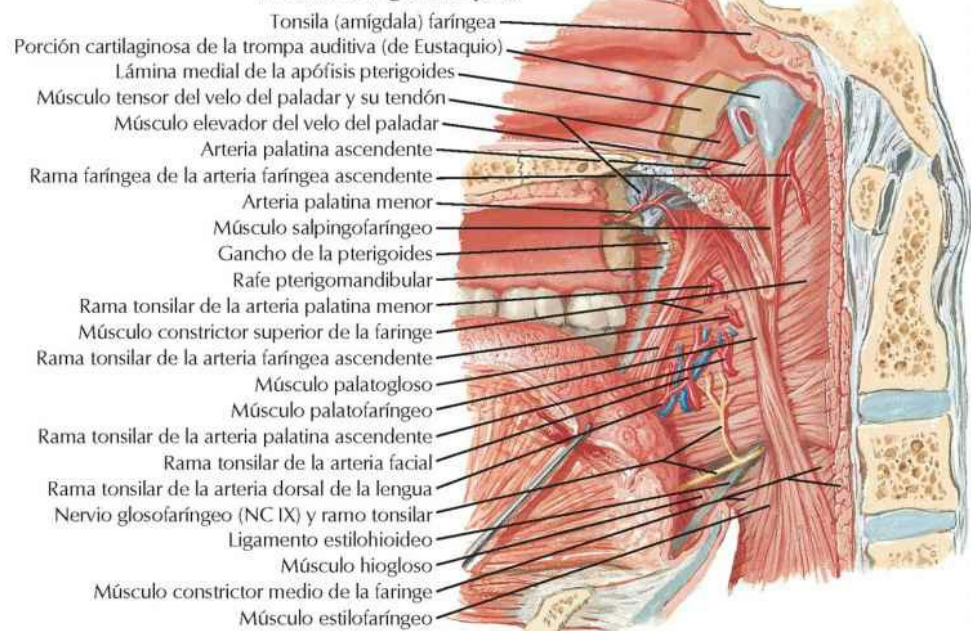


Fauces

**Visión medial,
sección sagital**



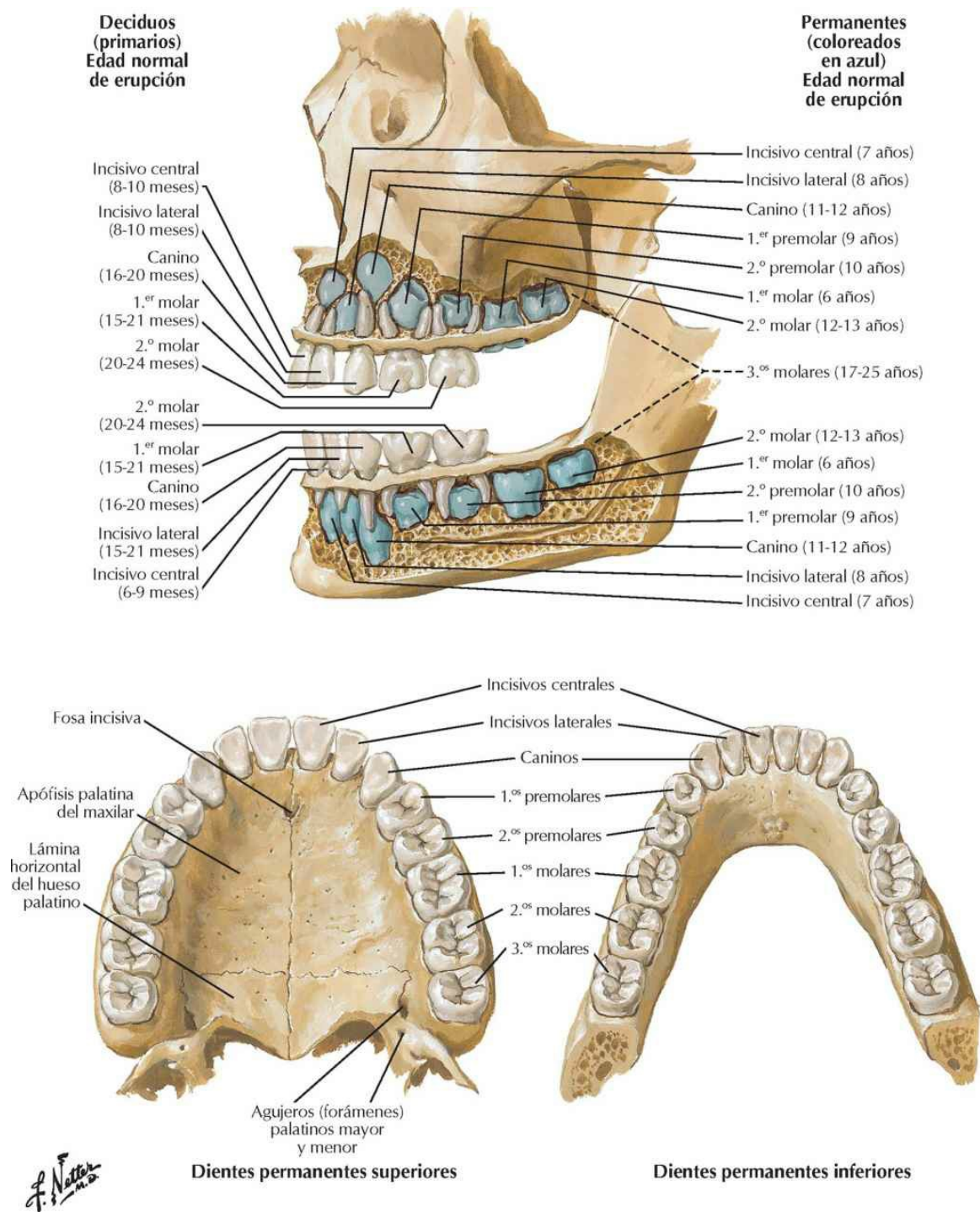
Mucosa faríngea extirpada

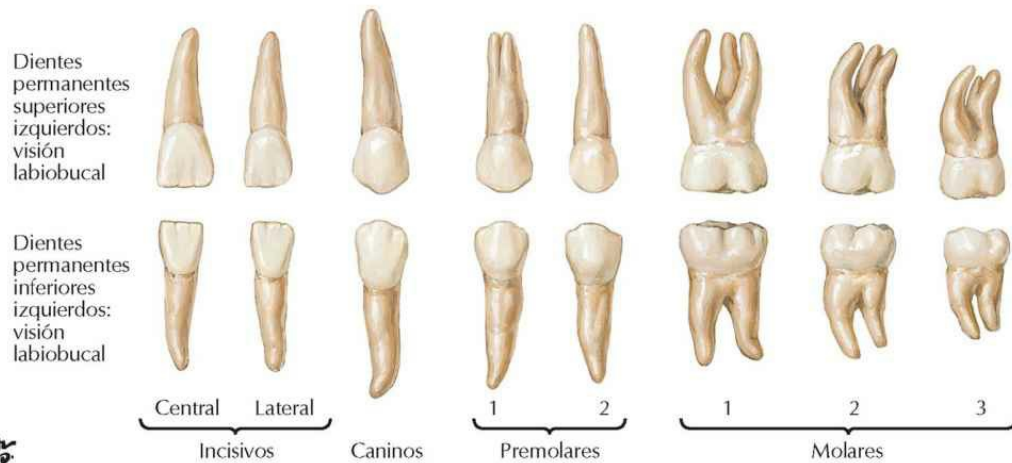
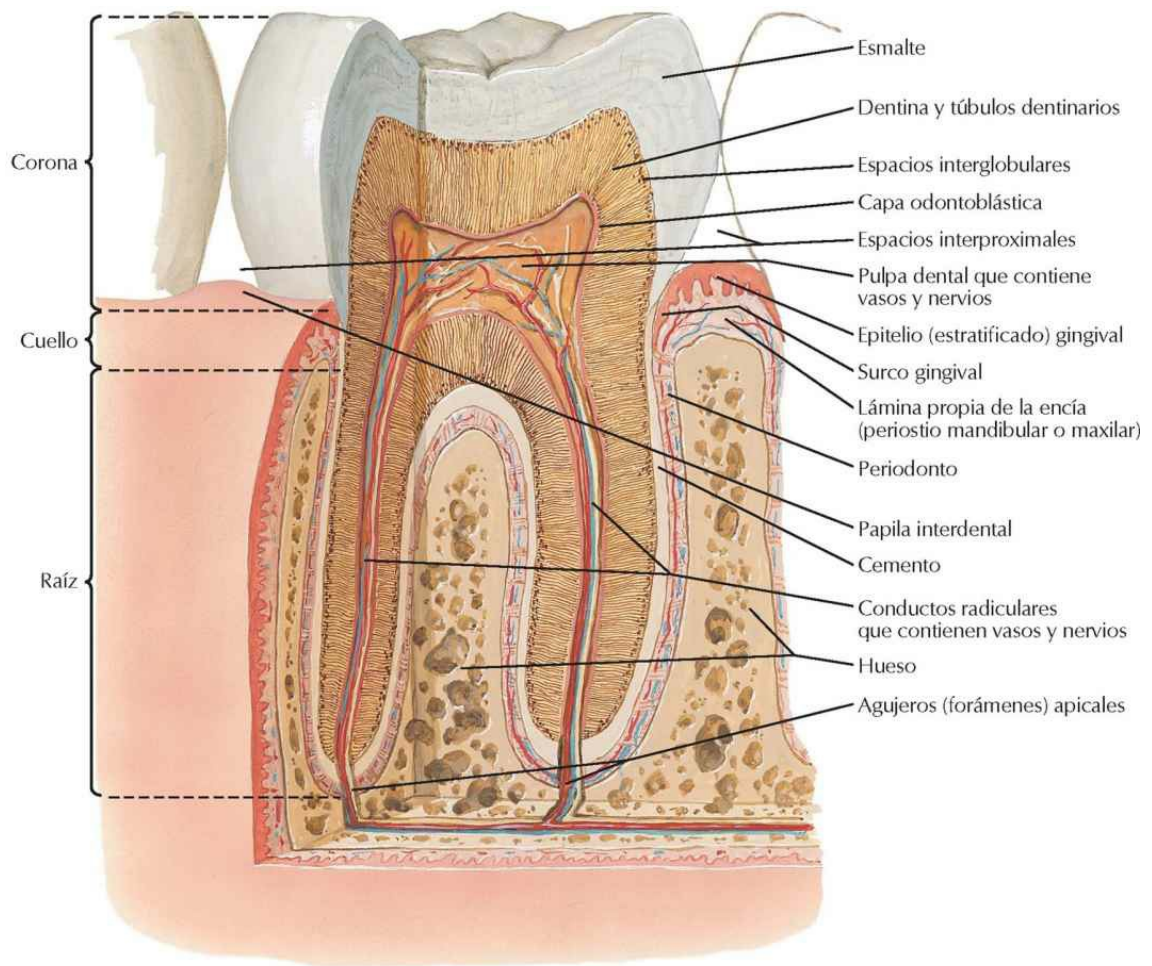


F. Netter M.D.

Dientes

Véase también lámina 67



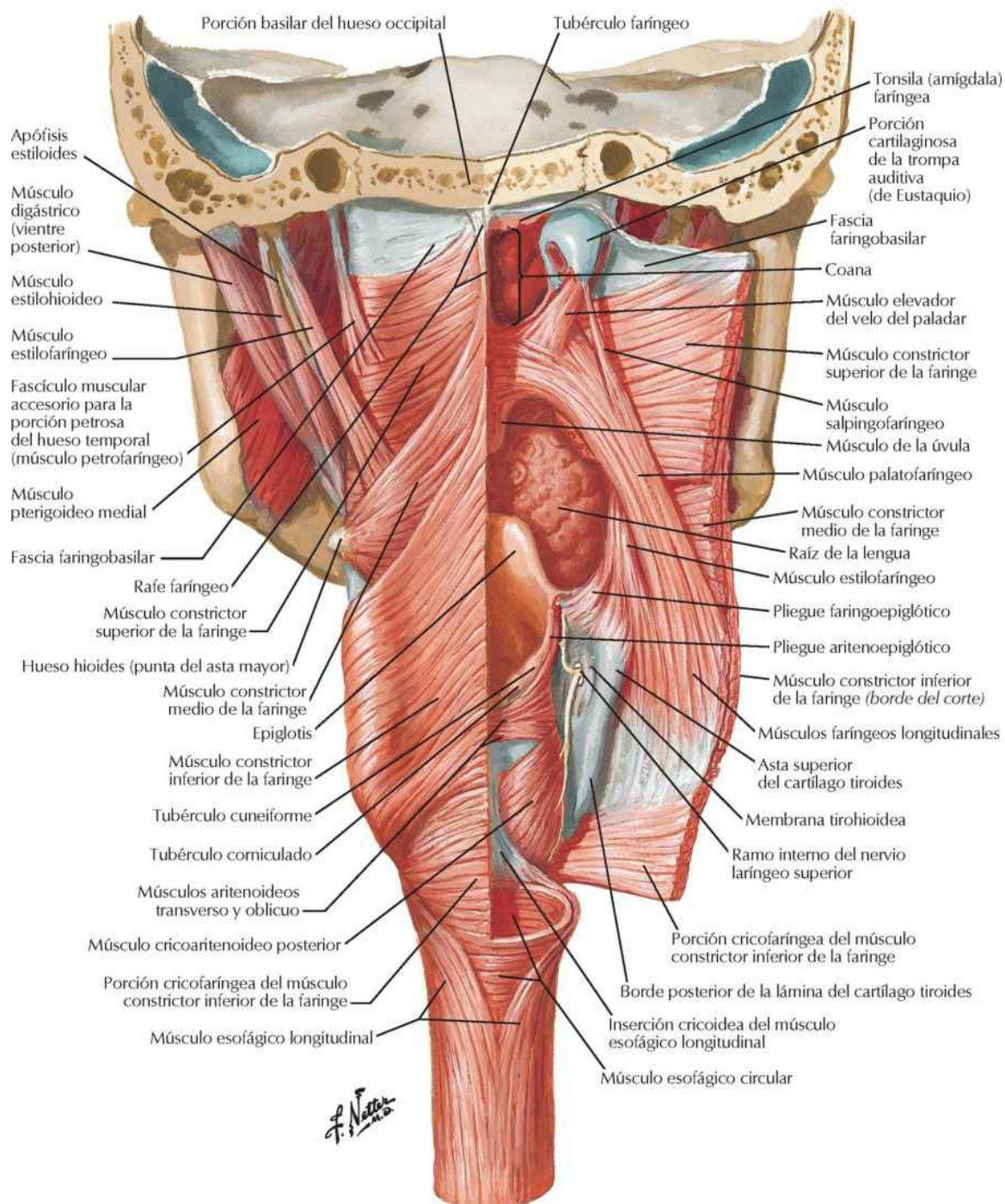


F. Natter
M.D.

Faringe

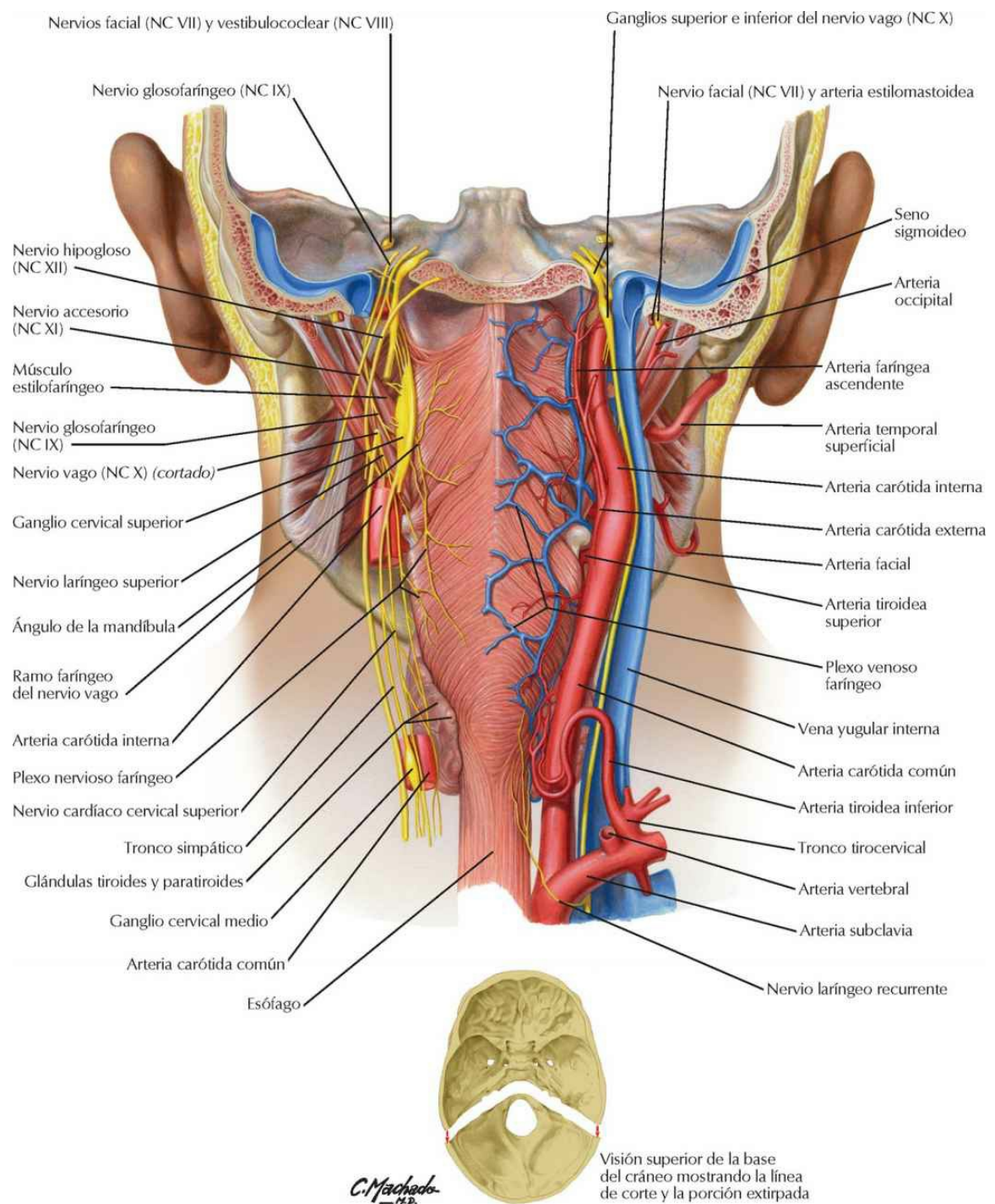
**Músculos de la faringe: visión posterior
abierta parcialmente**

Véanse también láminas 76, 81

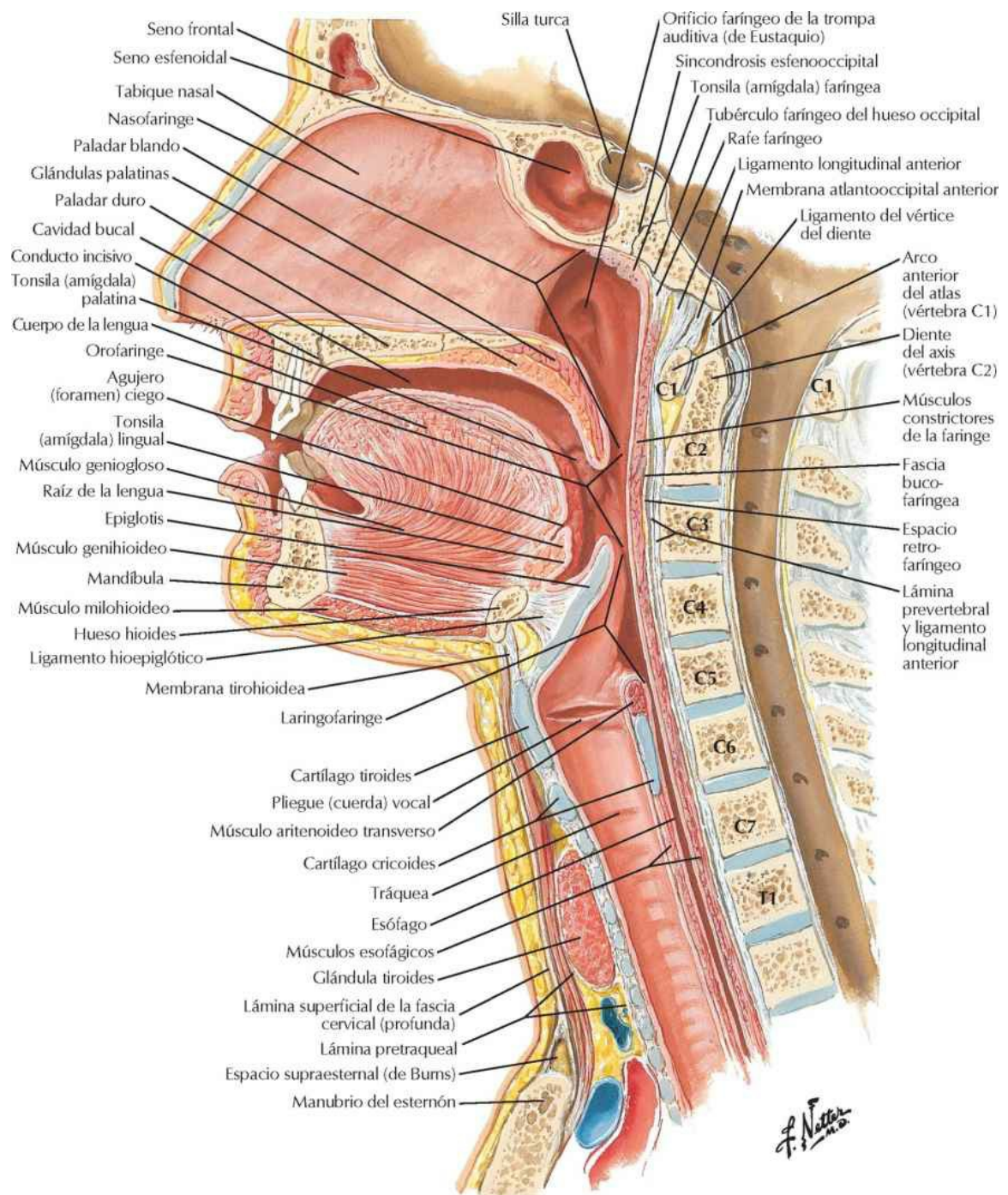


Visión posterior de la faringe: nervios y vasos

Véanse también láminas 75, 79, 82, 83

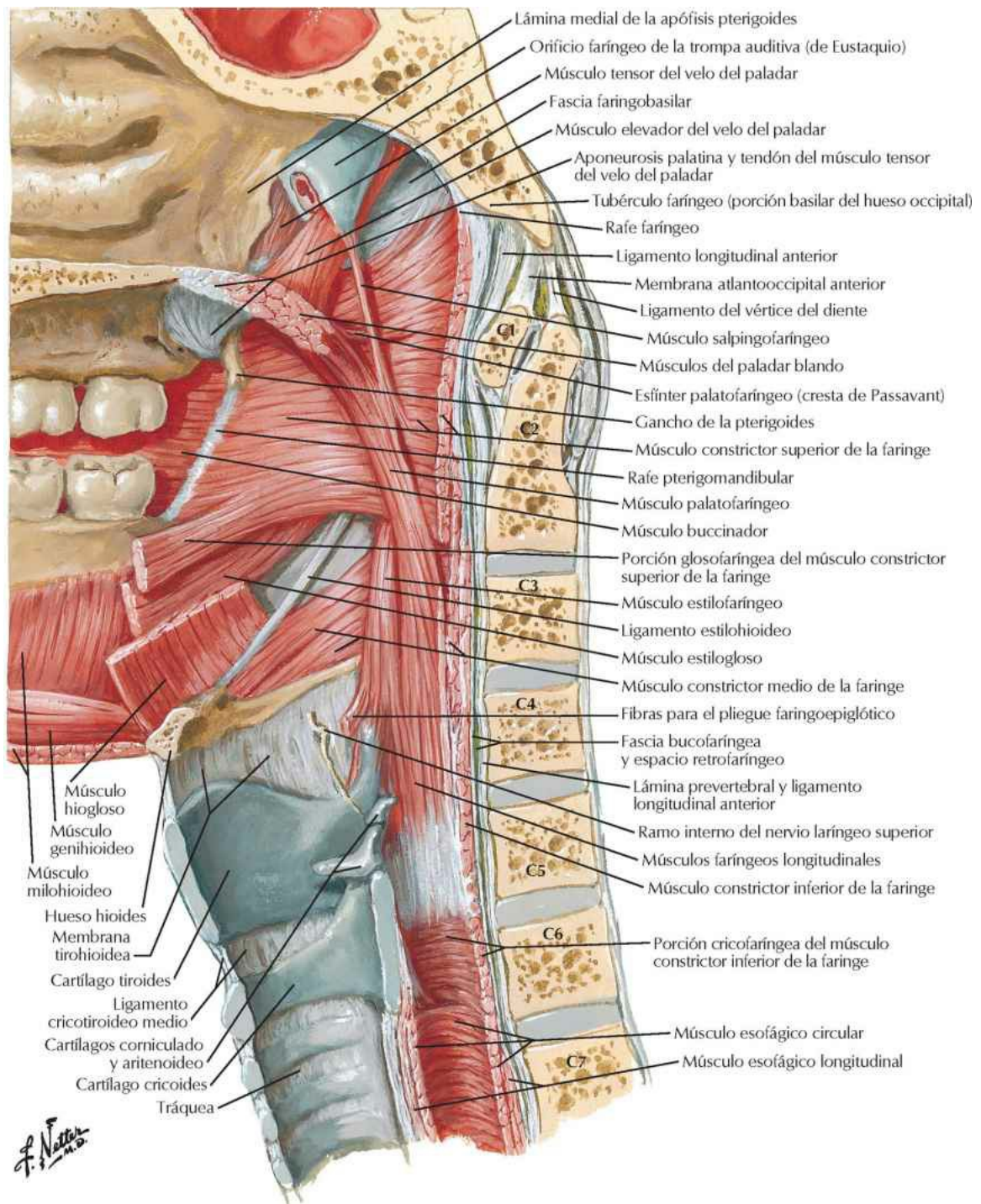


Faringe: visión medial

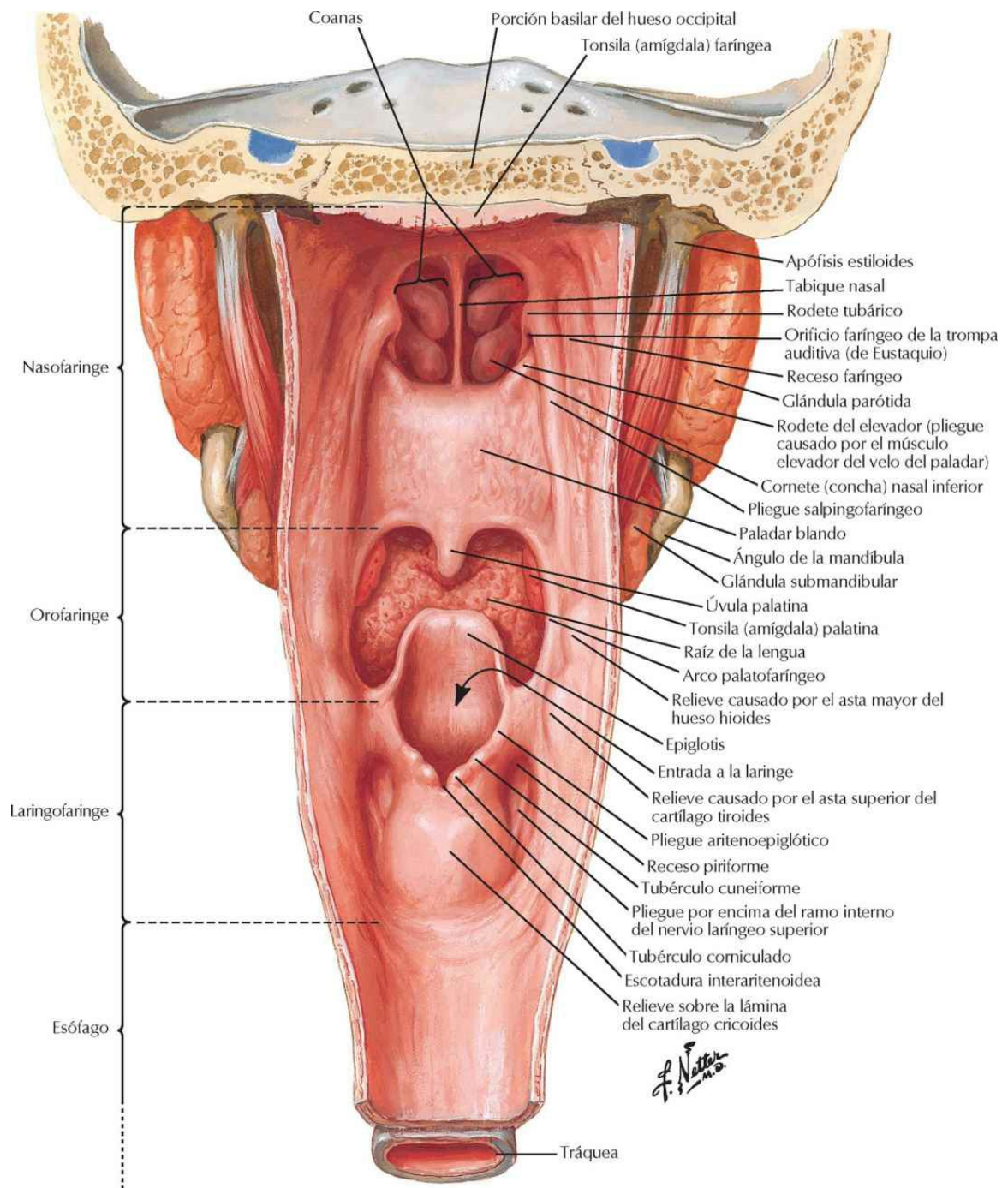


Músculos de la faringe: visión medial

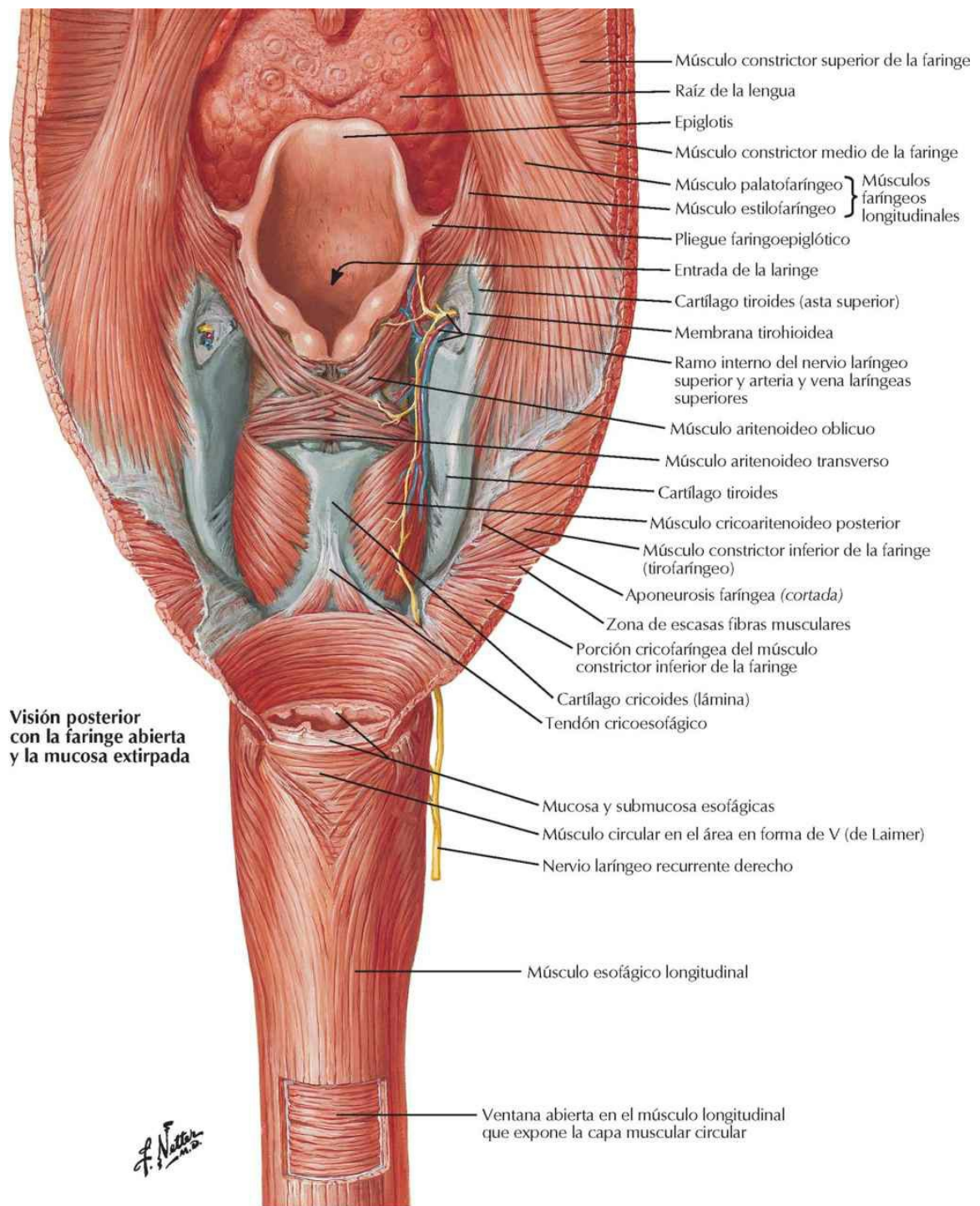
Véase también lámina 72



Faringe: visión posterior abierta

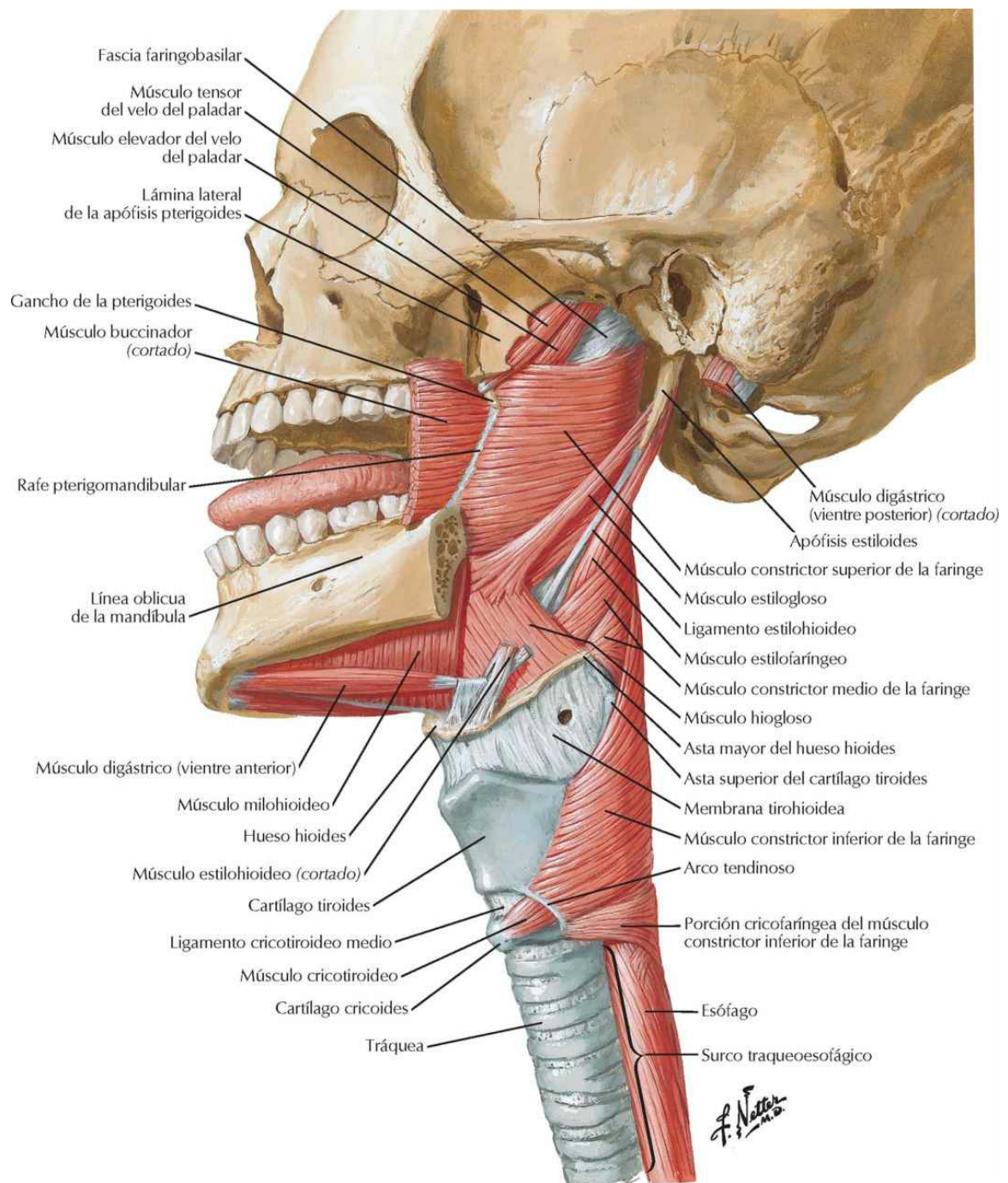


Unión faringoesofágica



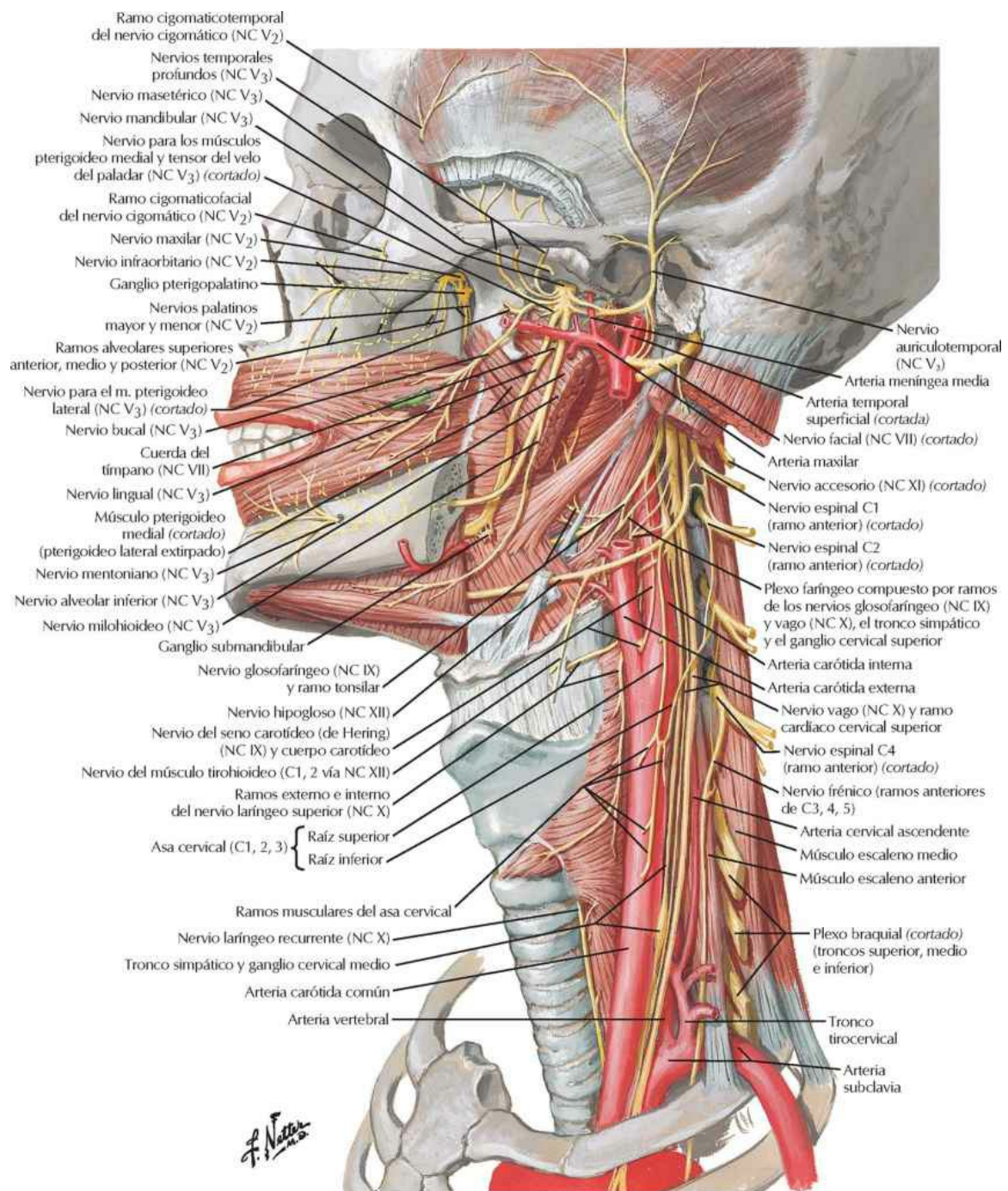
Músculos de la faringe: visión lateral

Véase también lámina 75



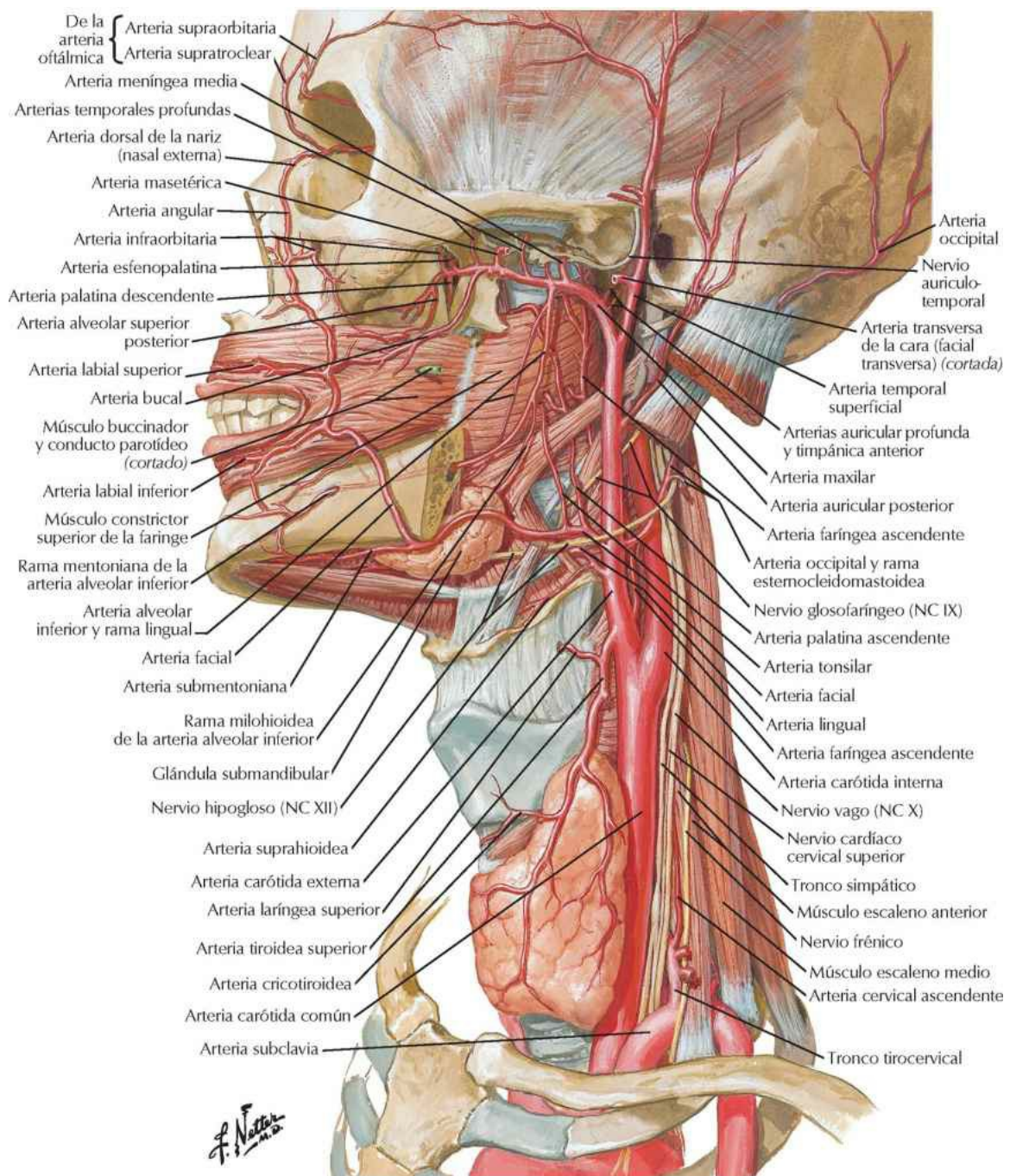
Nervios de las regiones bucal y faríngea

Véanse también láminas 59, 133, 136



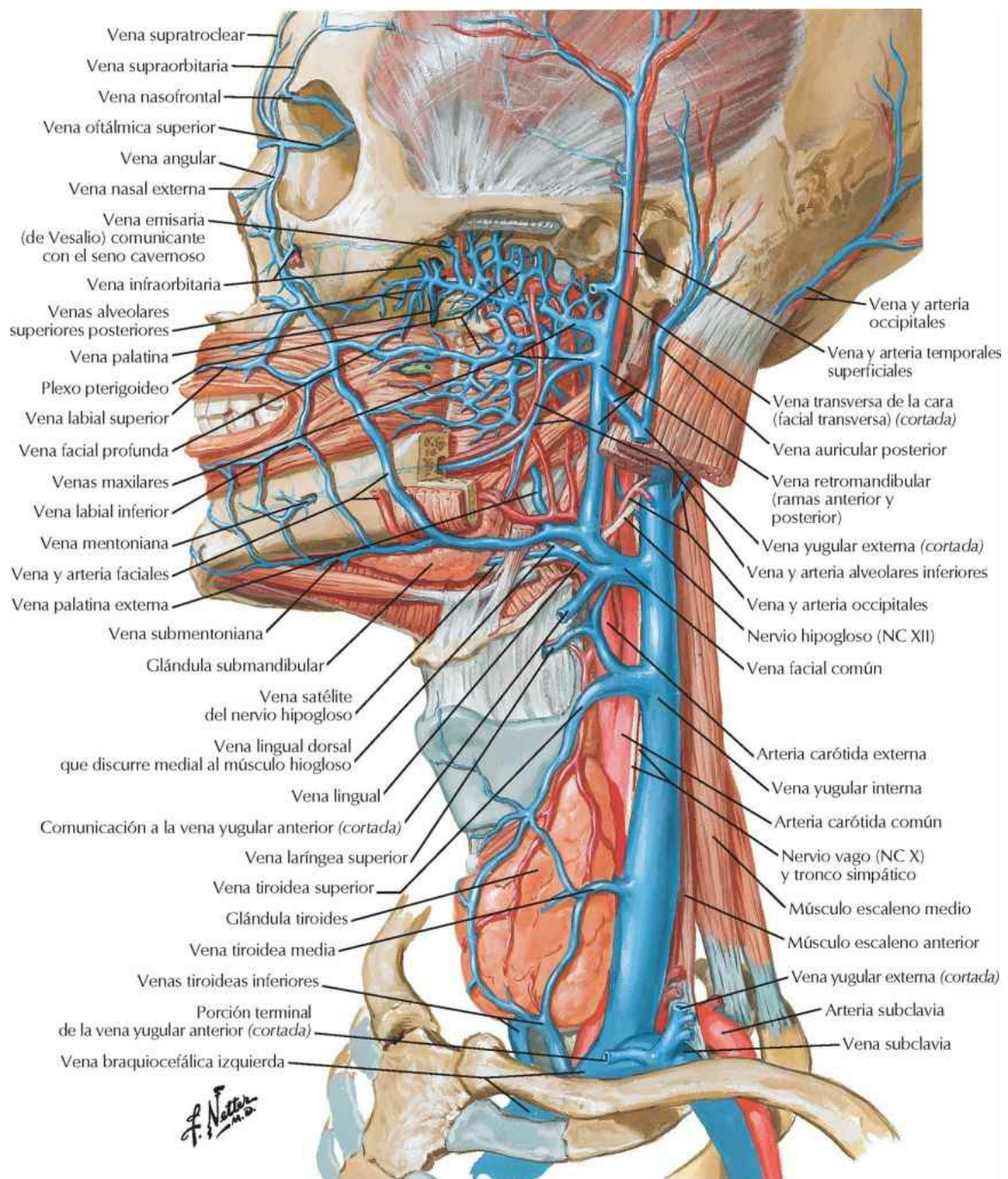
Arterias de las regiones bucal y faríngea

Véanse también láminas 41, 57



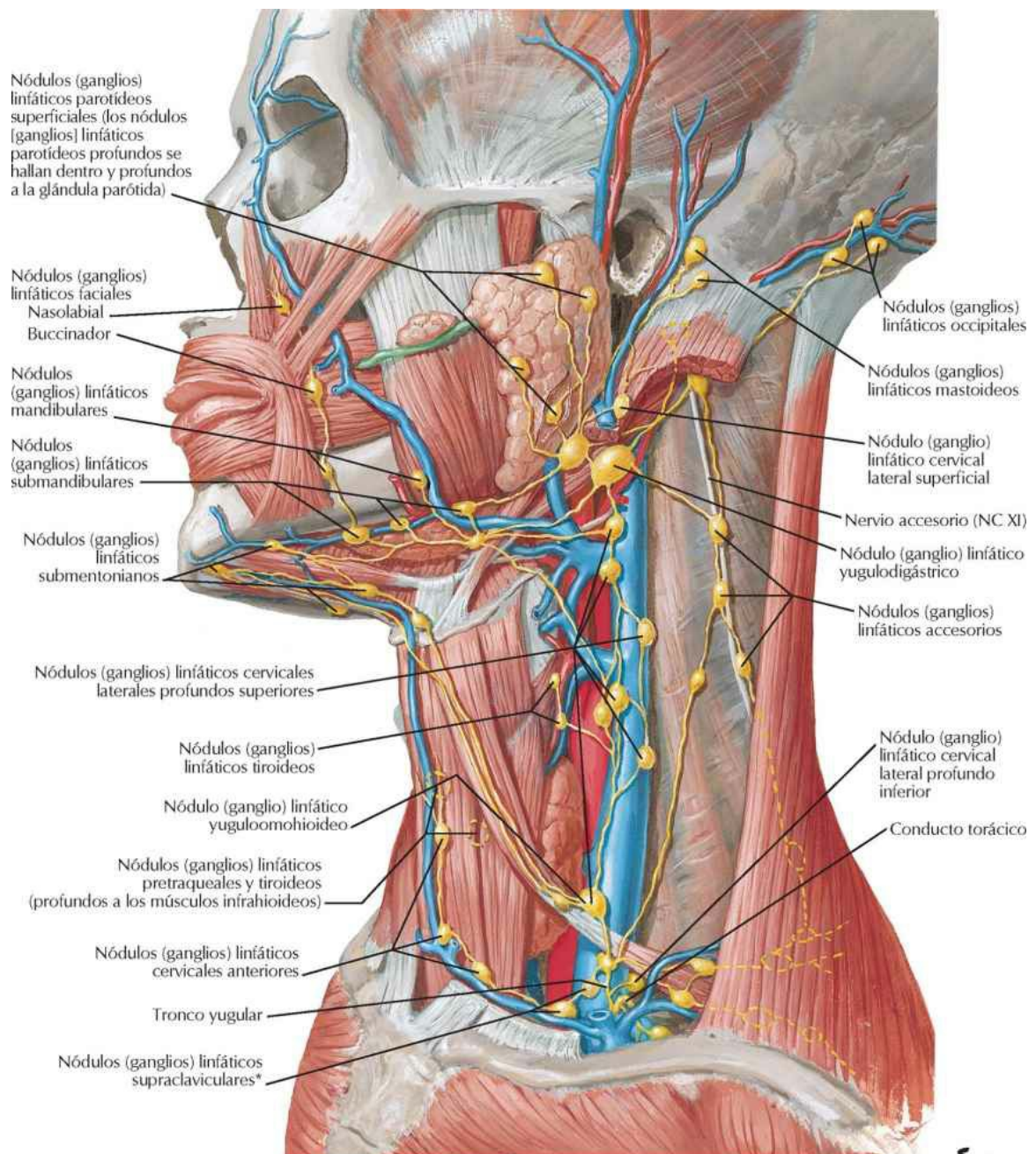
Venas de las regiones bucal y faríngea

Véase también lámina 85



Vasos y nódulos (ganglios) linfáticos de la cabeza y cuello

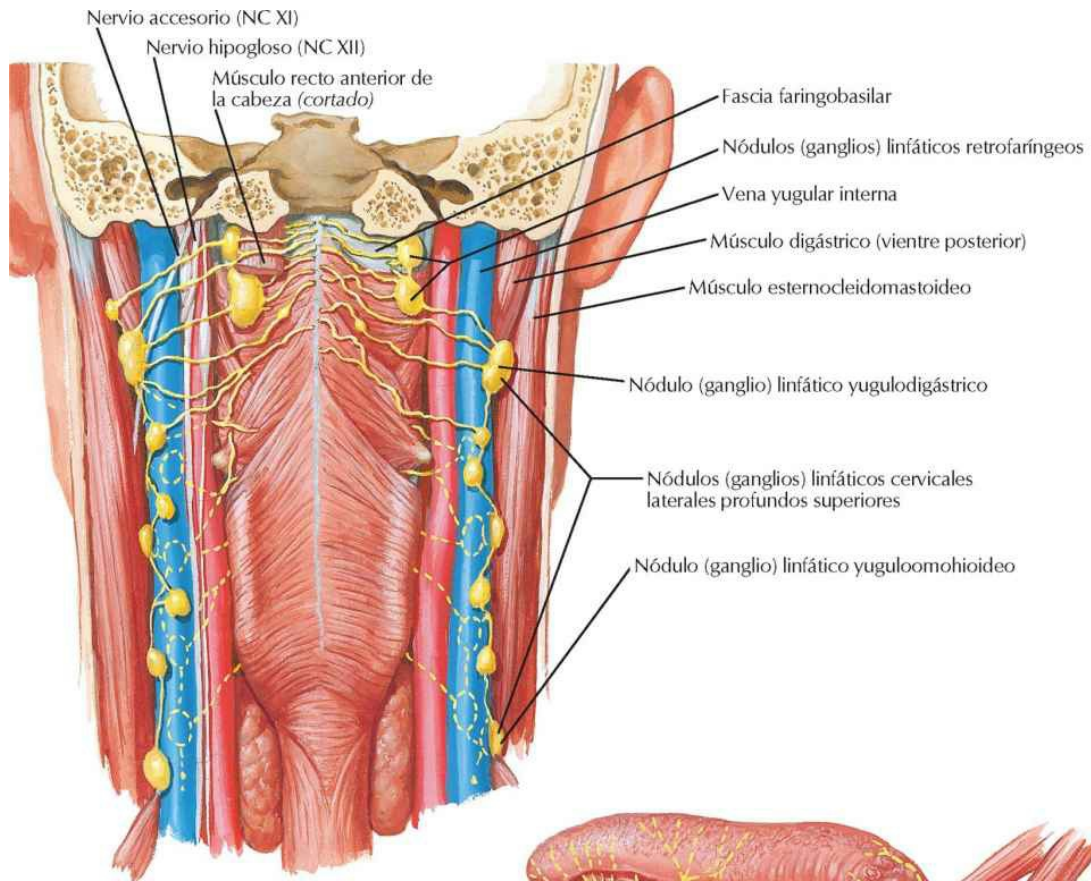
Véase también lámina 242



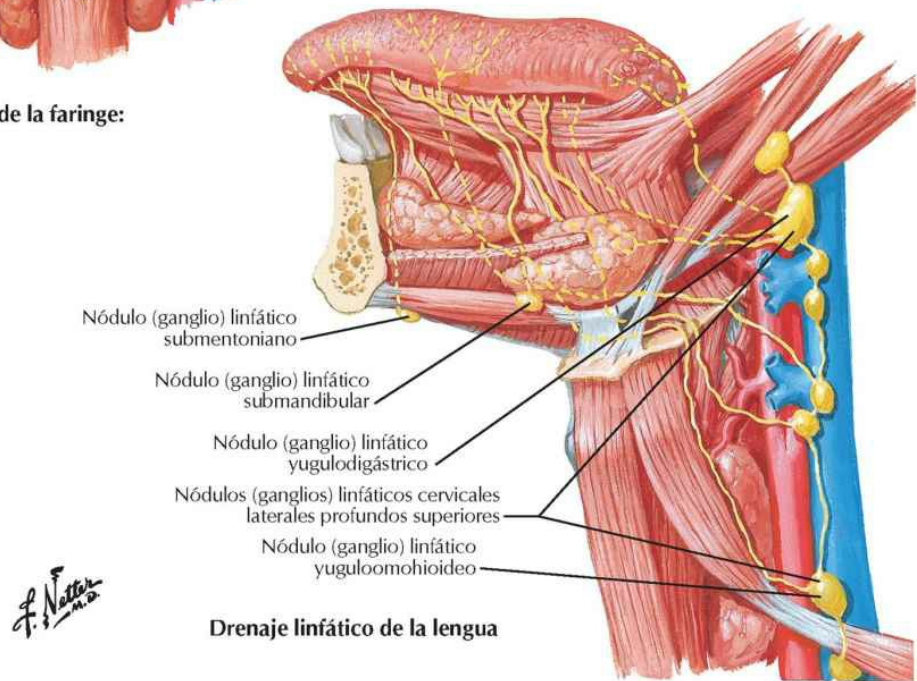
*El grupo de nódulos (ganglios) linfáticos supraclaviculares, especialmente en el lado izquierdo, también suele conocerse como nódulos (ganglios) linfáticos centinelas de Virchow o de Troisier, especialmente cuando aumentan lo bastante de tamaño y son palpables. Estos nódulos (ganglios) o un único nódulo (ganglio) se denominan así porque pueden ser la primera evidencia probable y reconocible de una neoplasia maligna visceral.

F. Netter M.D.

Vasos y nódulos (ganglios) linfáticos de la faringe y lengua



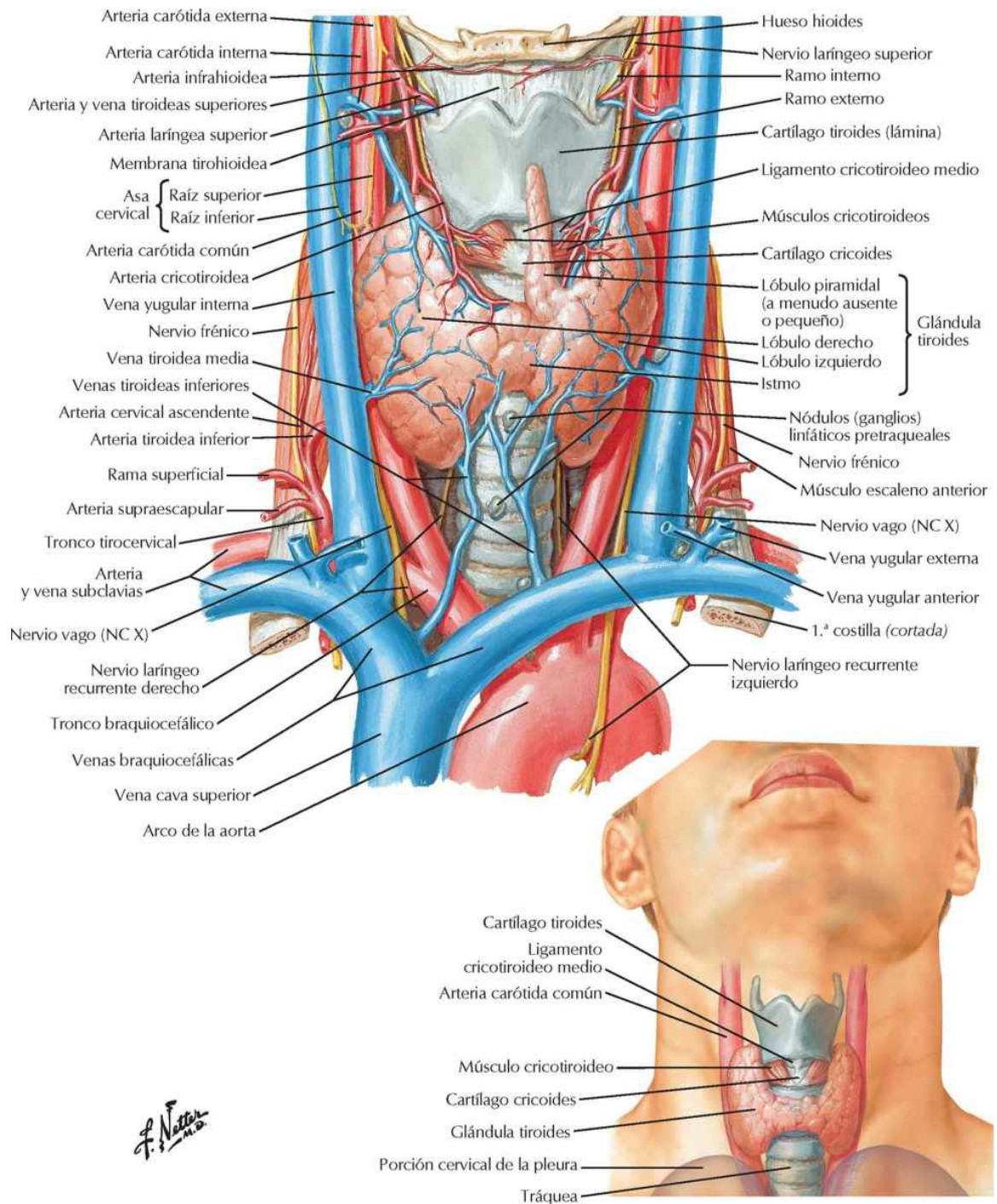
**Drenaje linfático de la faringe:
visión posterior**



Drenaje linfático de la lengua

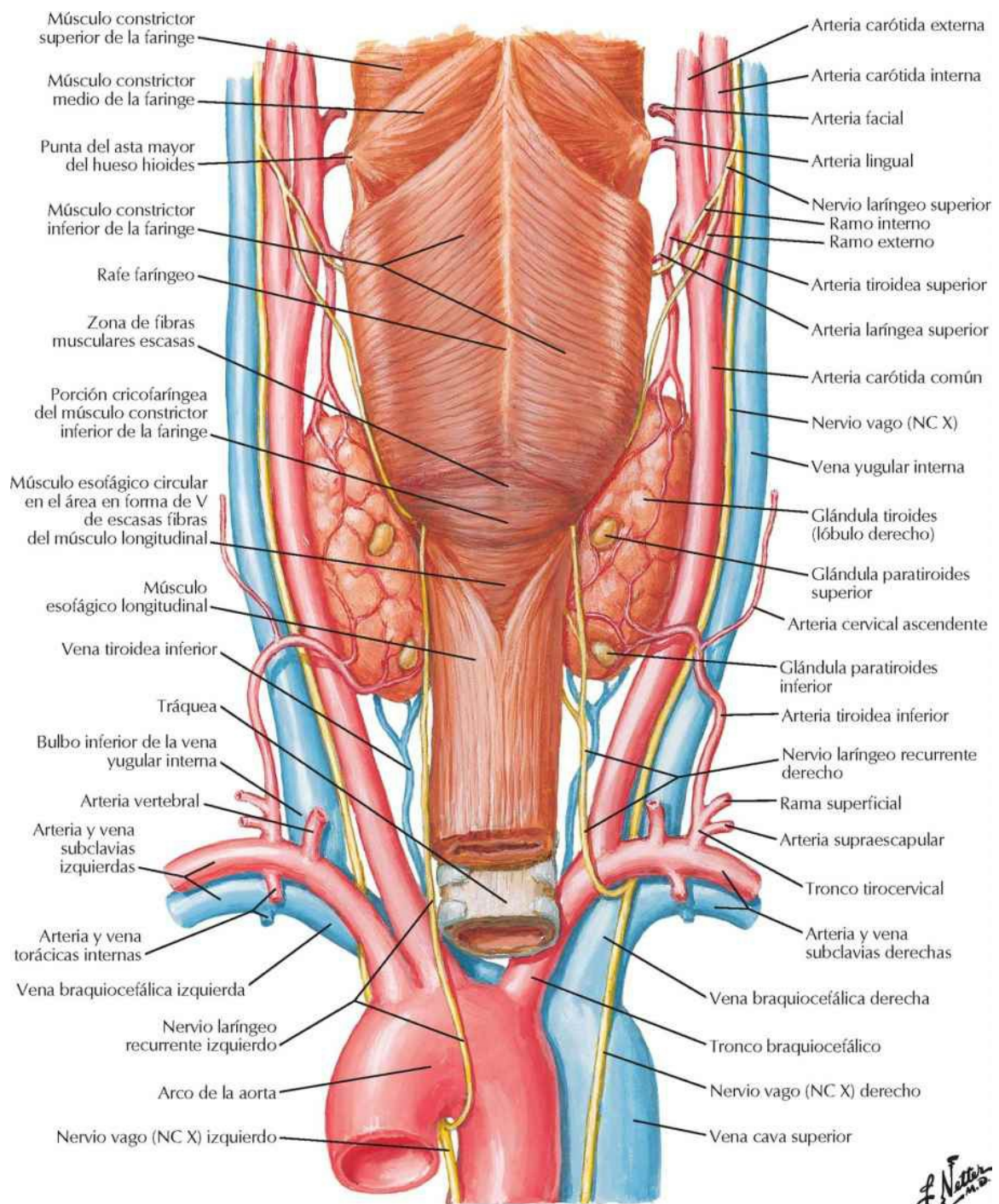
Glándula tiroides y laringe

Glándula tiroides: visión anterior



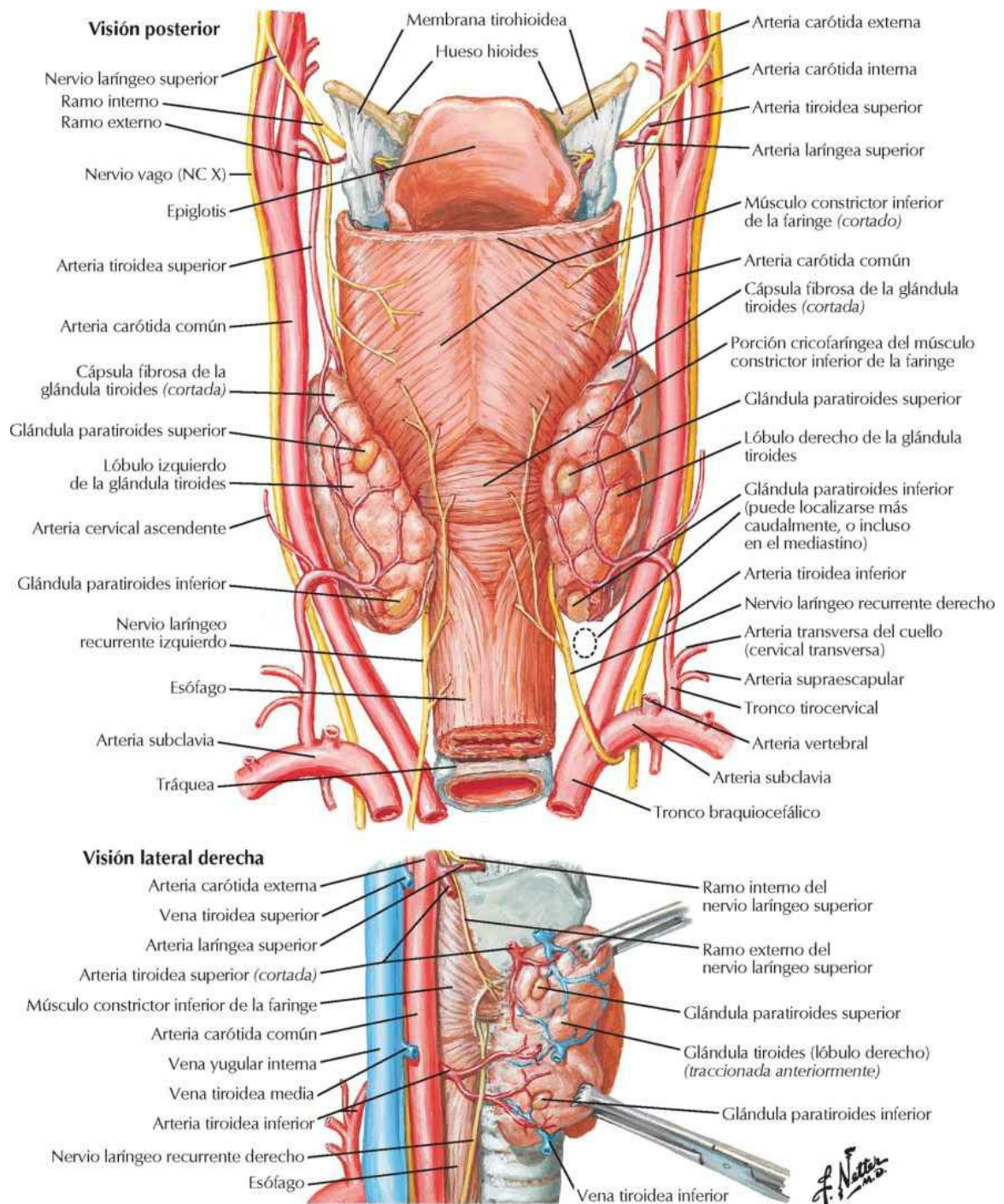
Glándula tiroides y faringe: visión posterior

Véase también lámina 89



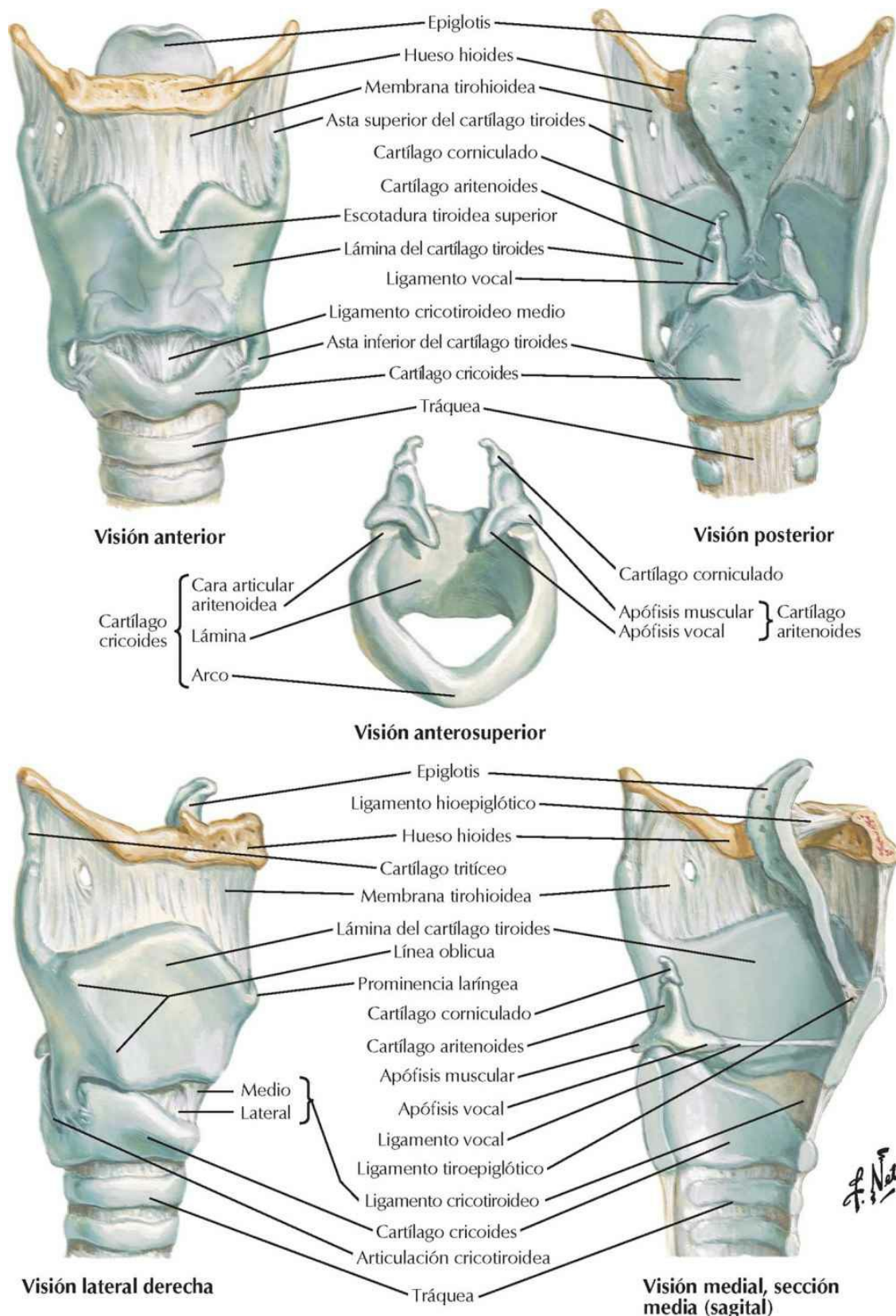
Glándulas paratiroides

Véanse también láminas 80, 88, 92



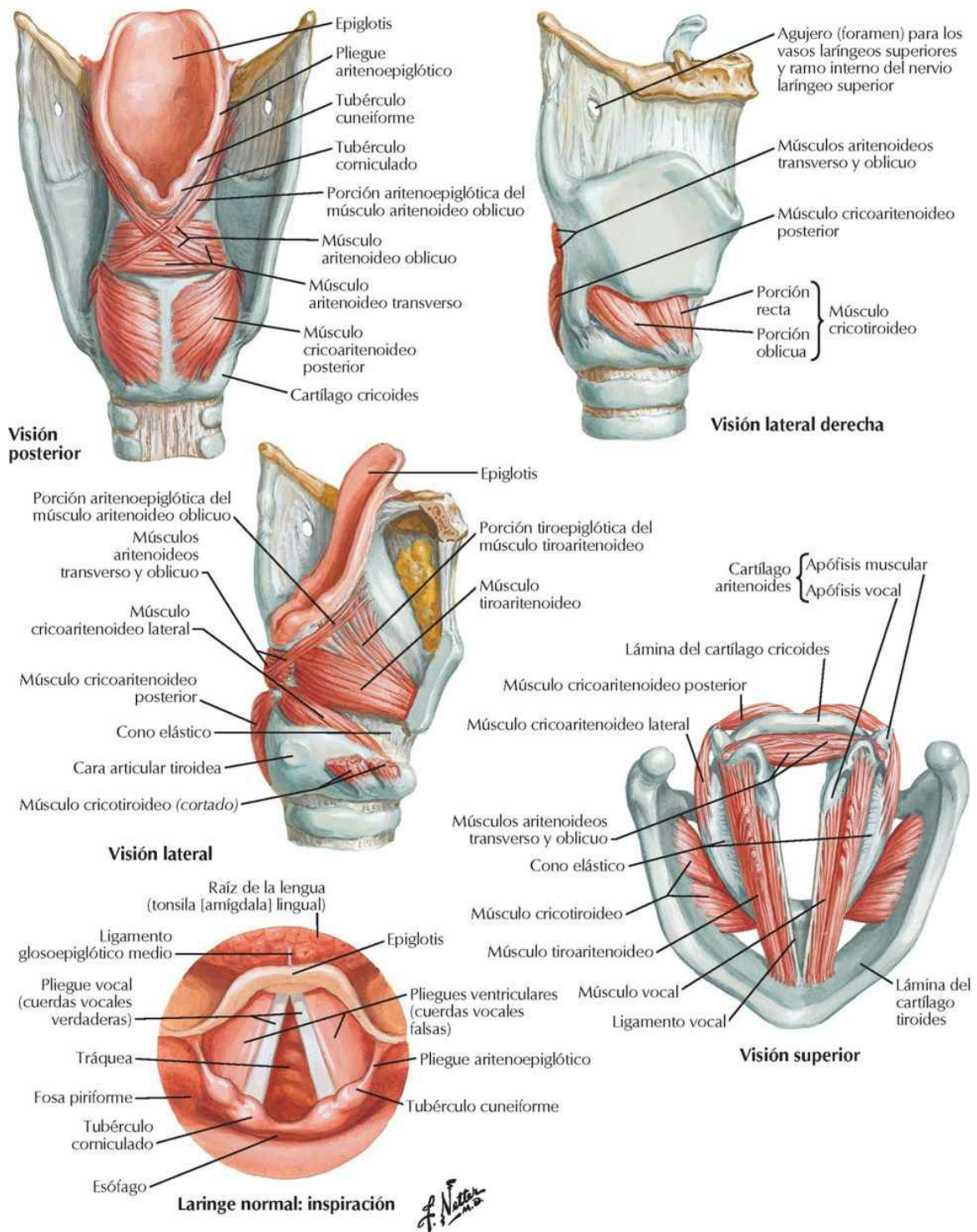
Cartílagos de la laringe

Véanse también láminas 91, 92, 93



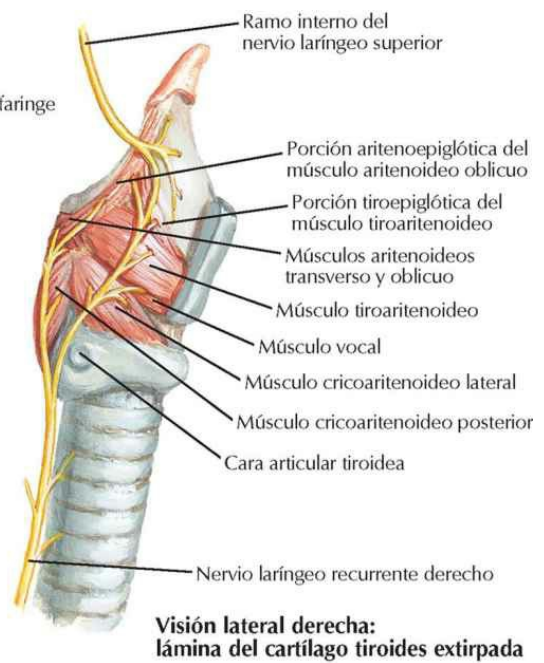
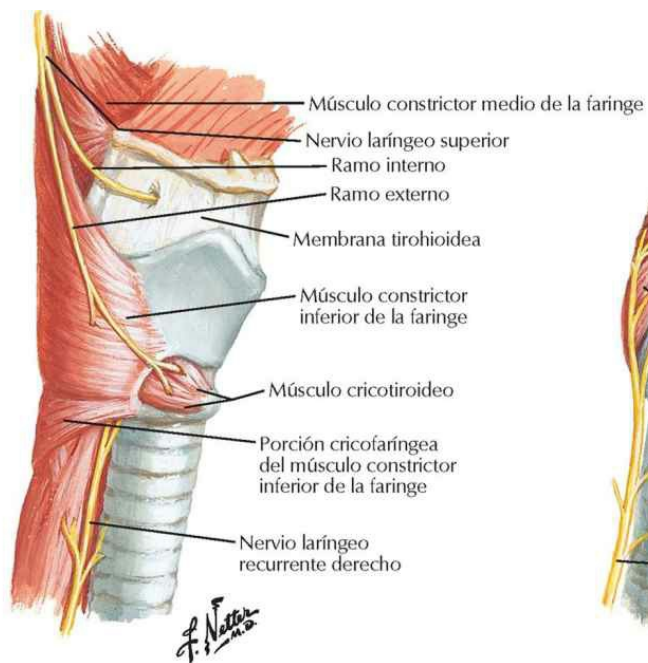
Músculos intrínsecos de la laringe

Véanse también láminas 90, 92, 93

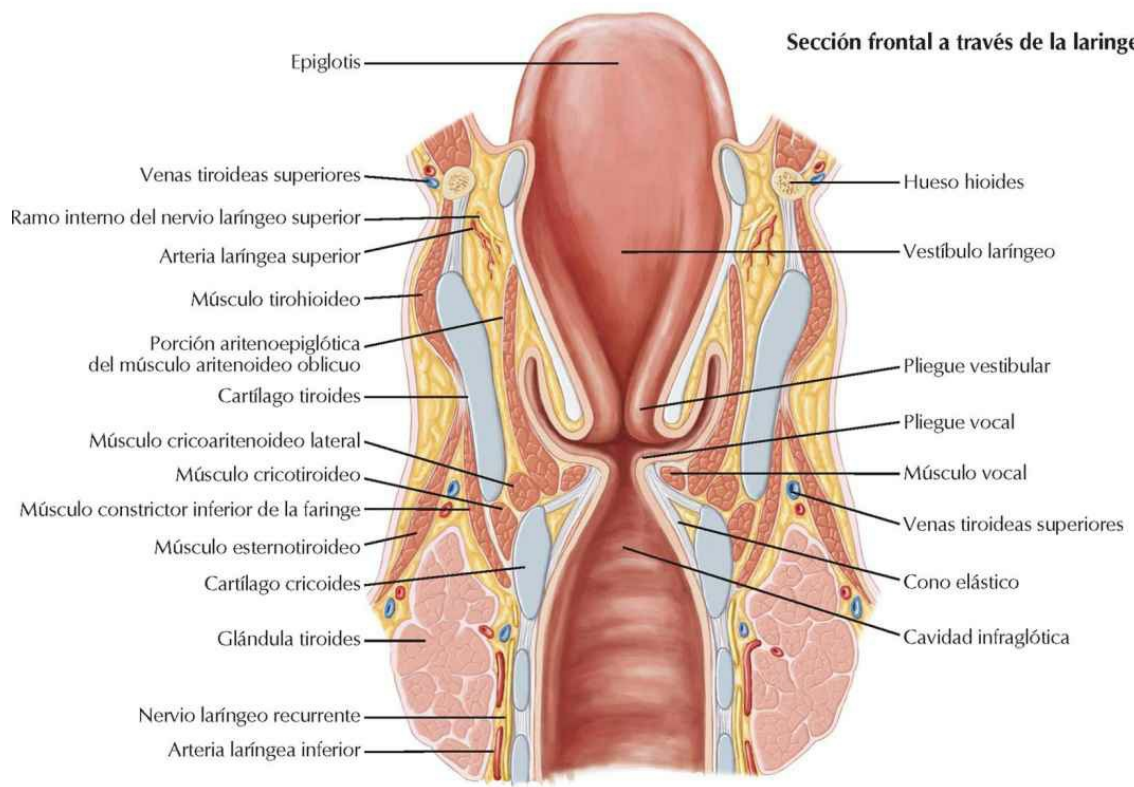


Nervios y sección frontal de la laringe

Véanse también láminas 90, 91, 93



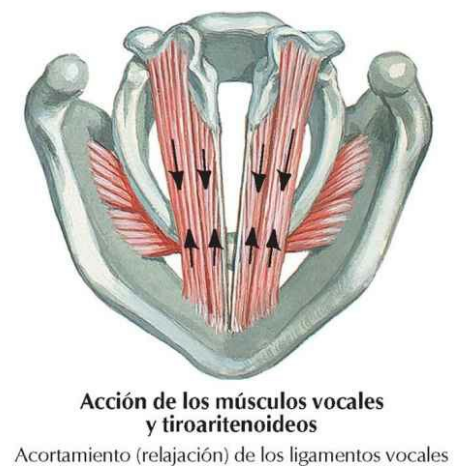
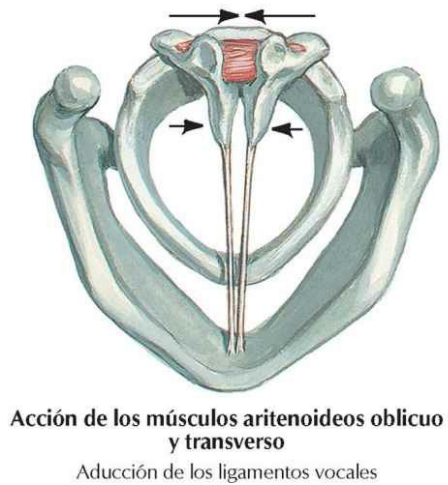
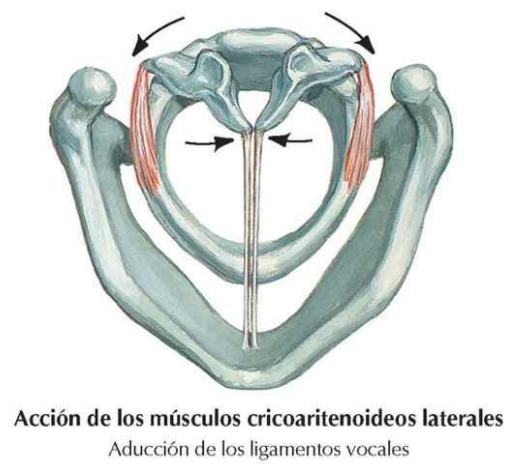
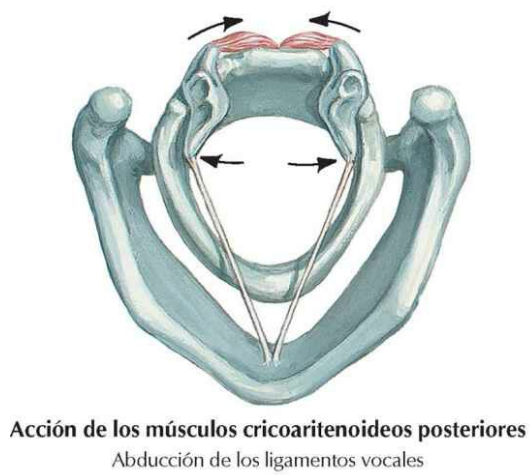
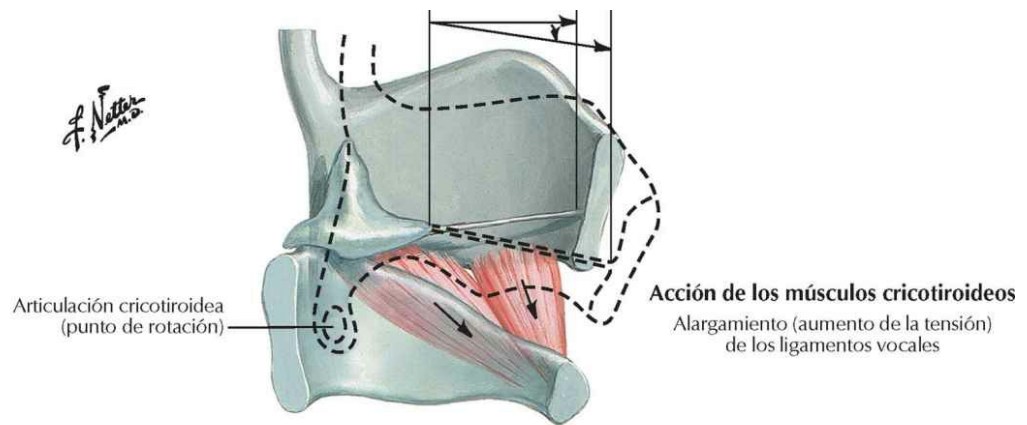
**Visión lateral derecha:
lámina del cartílago tiroides extirpada**



Sección frontal a través de la laringe

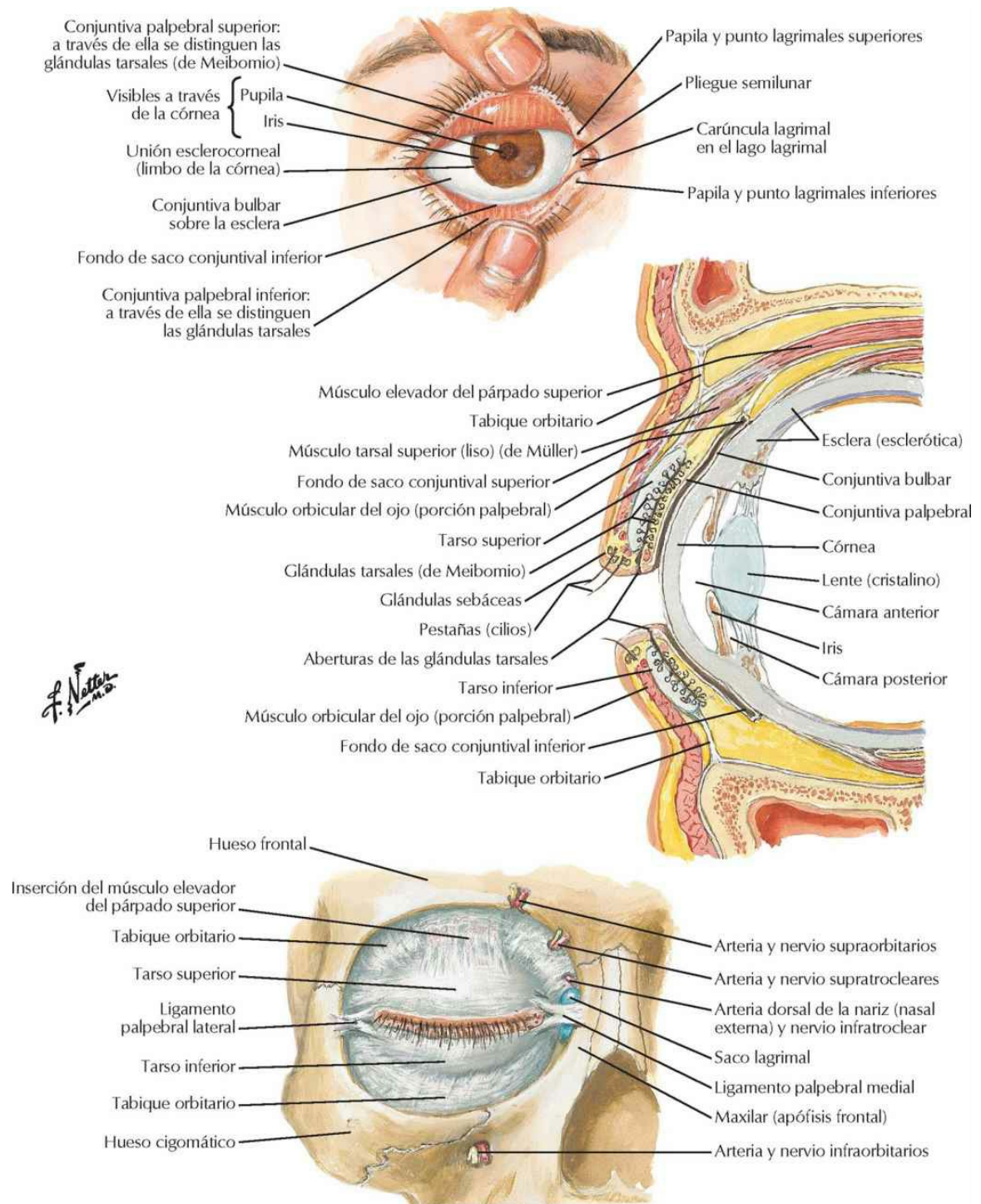
Acciones de los músculos intrínsecos de la laringe

Véanse también láminas 90, 91, 92



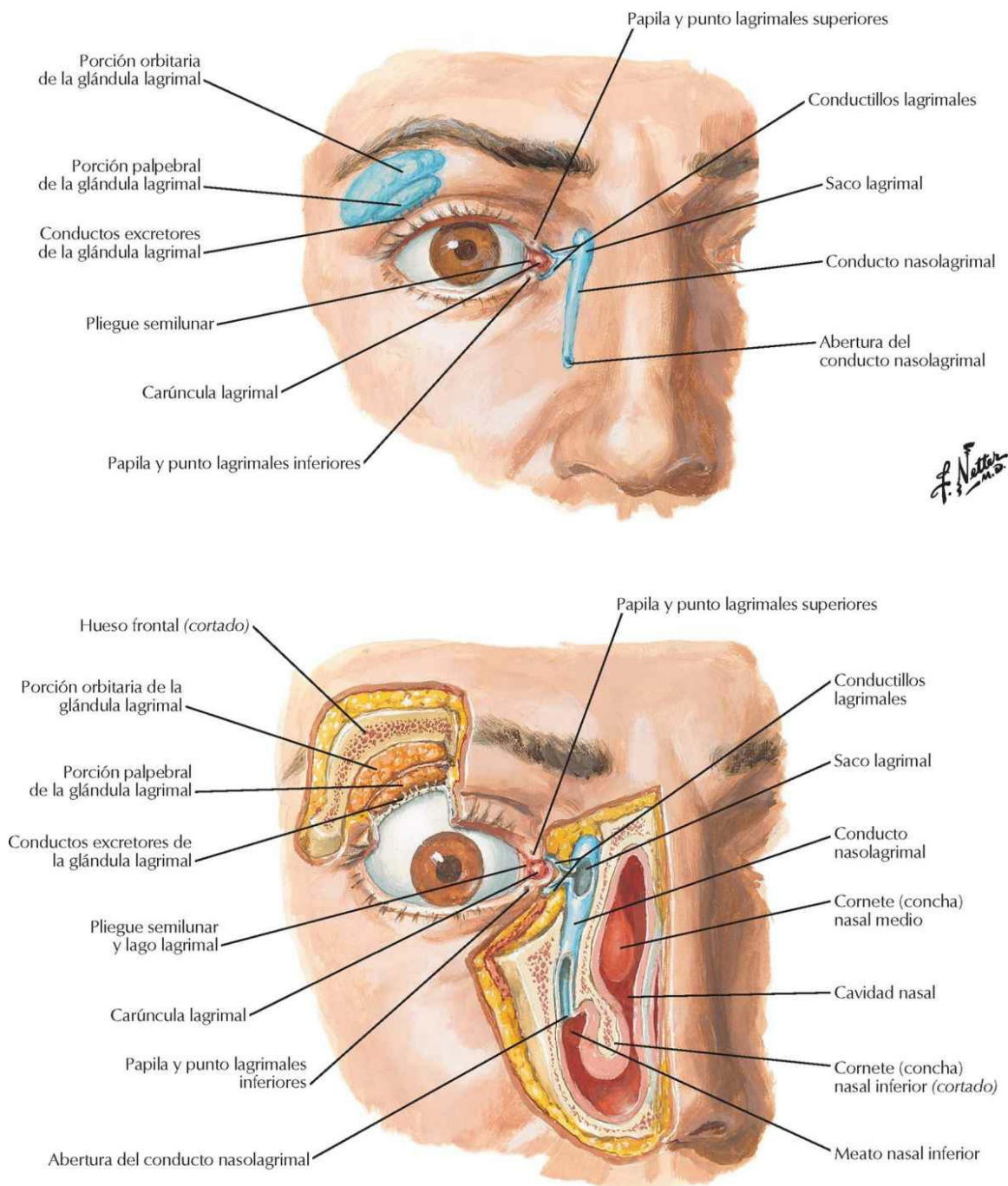
Órbita y contenido

Párpados



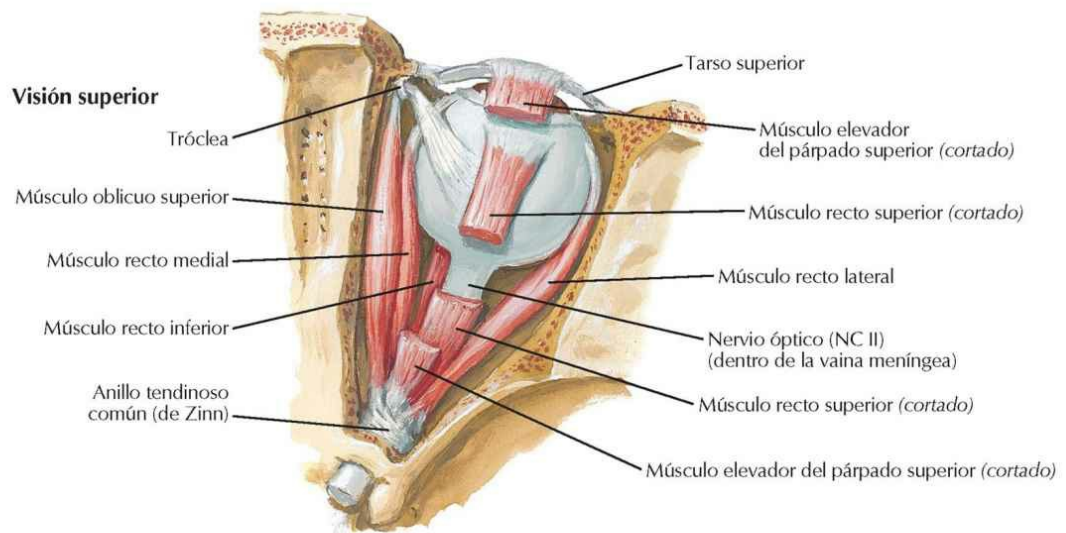
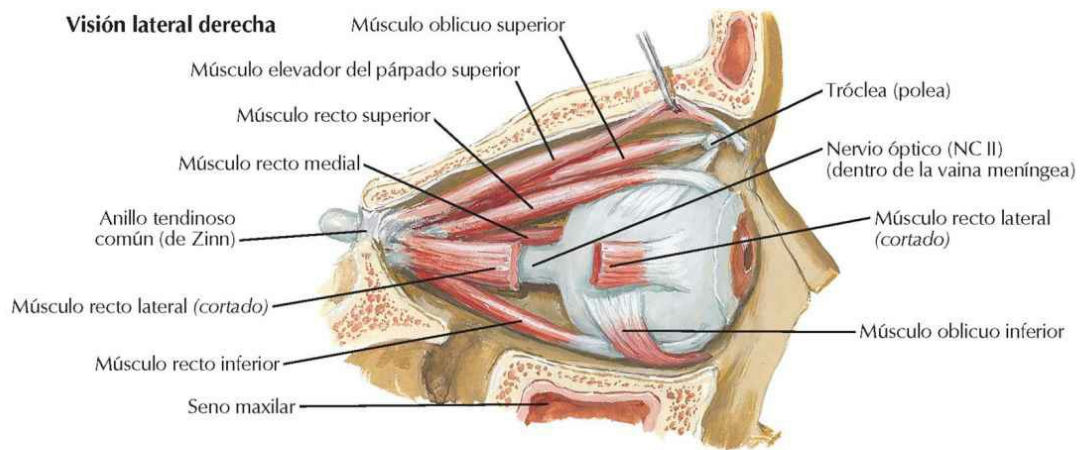
Aparato lagrimal

Véase también lámina 144

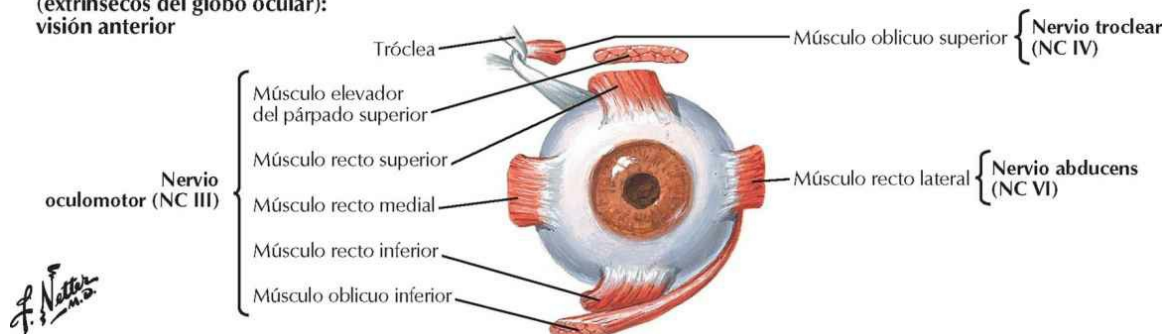


Músculos extraoculares (extrínsecos del globo ocular)

Véase también lámina 97

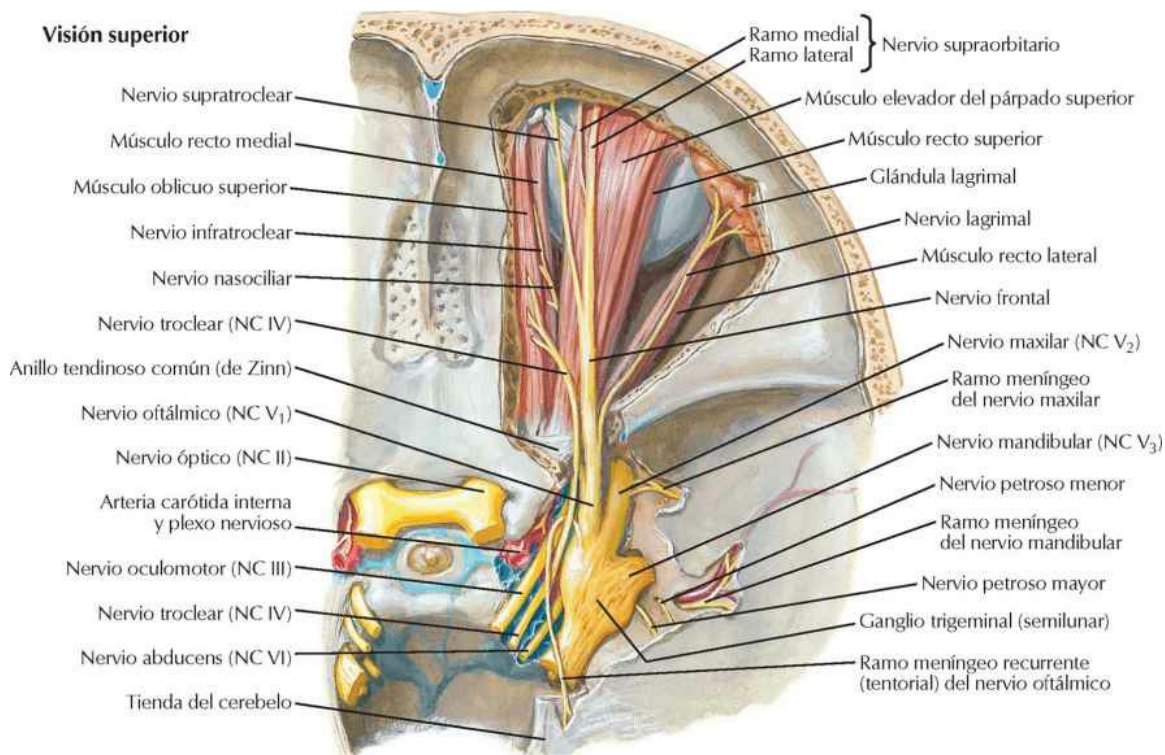


**Inervación de los músculos extraoculares
(extrínsecos del globo ocular):
visión anterior**

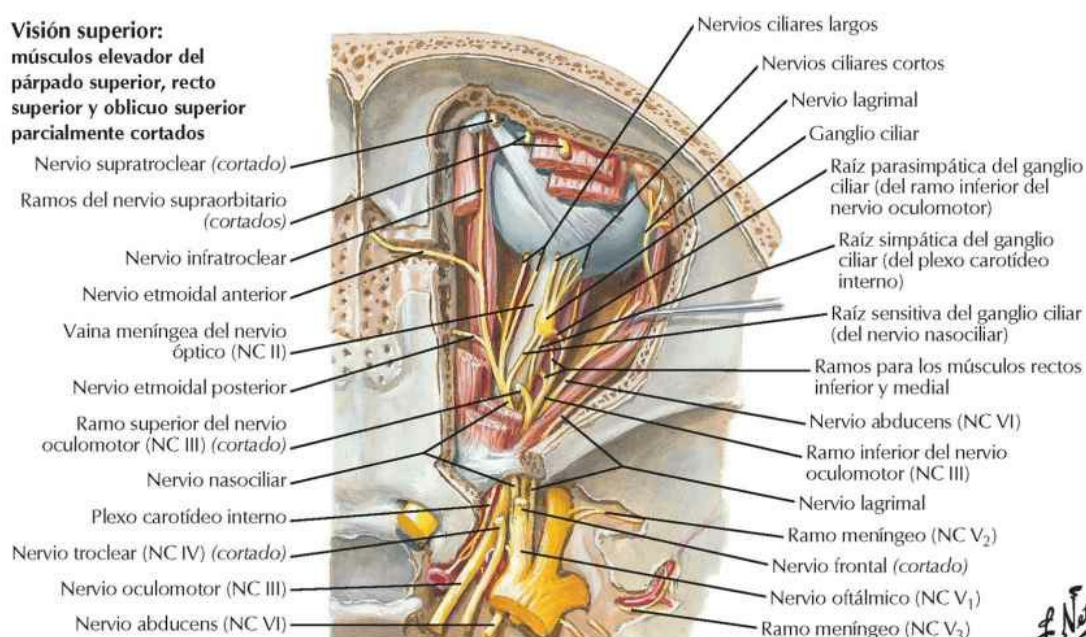


Nervios de la órbita

Véanse también láminas 61, 132, 133

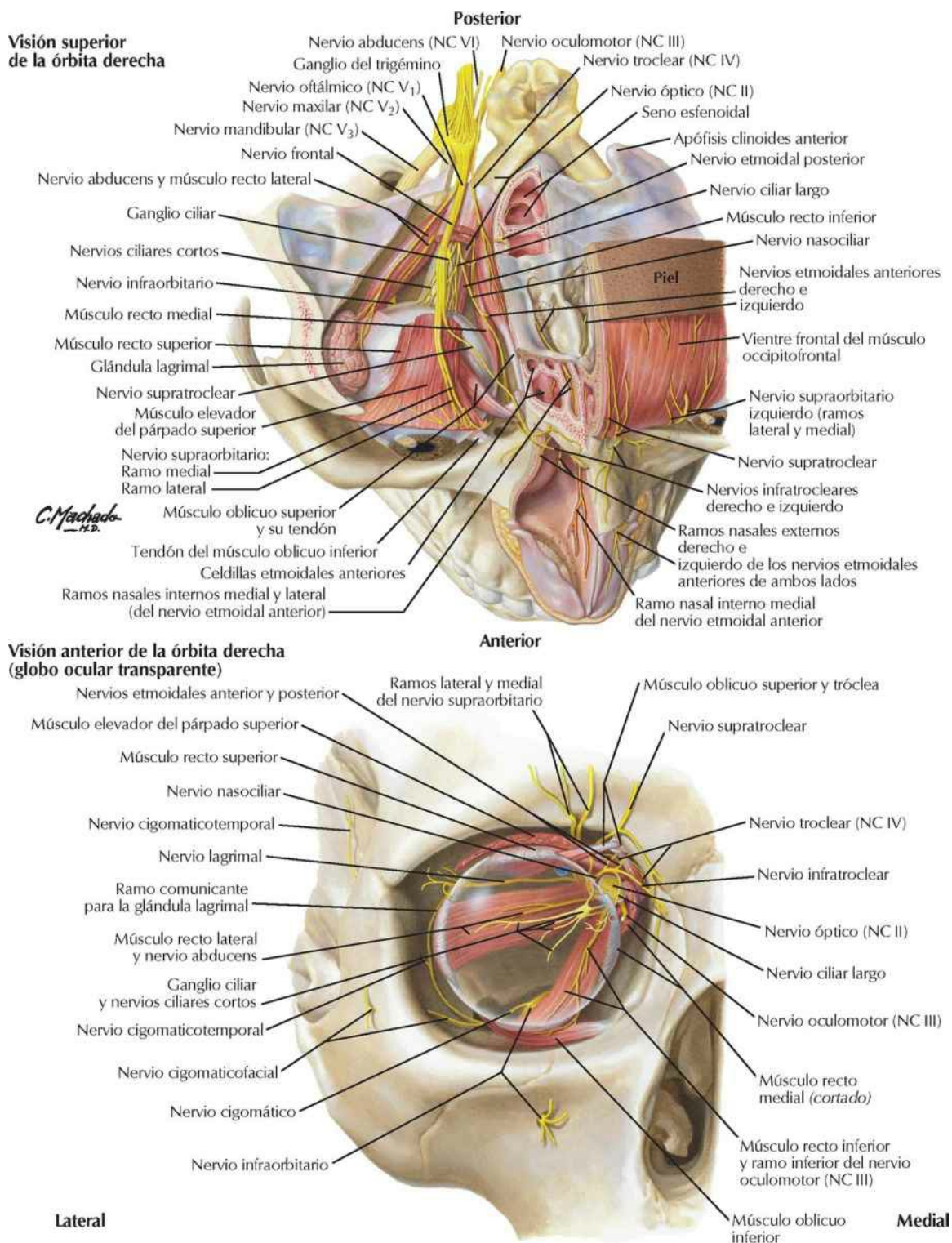


**Visión superior:
músculos elevador del
párpado superior, recto
superior y oblicuo superior
parcialmente cortados**



Visiones superior y anterior de la órbita

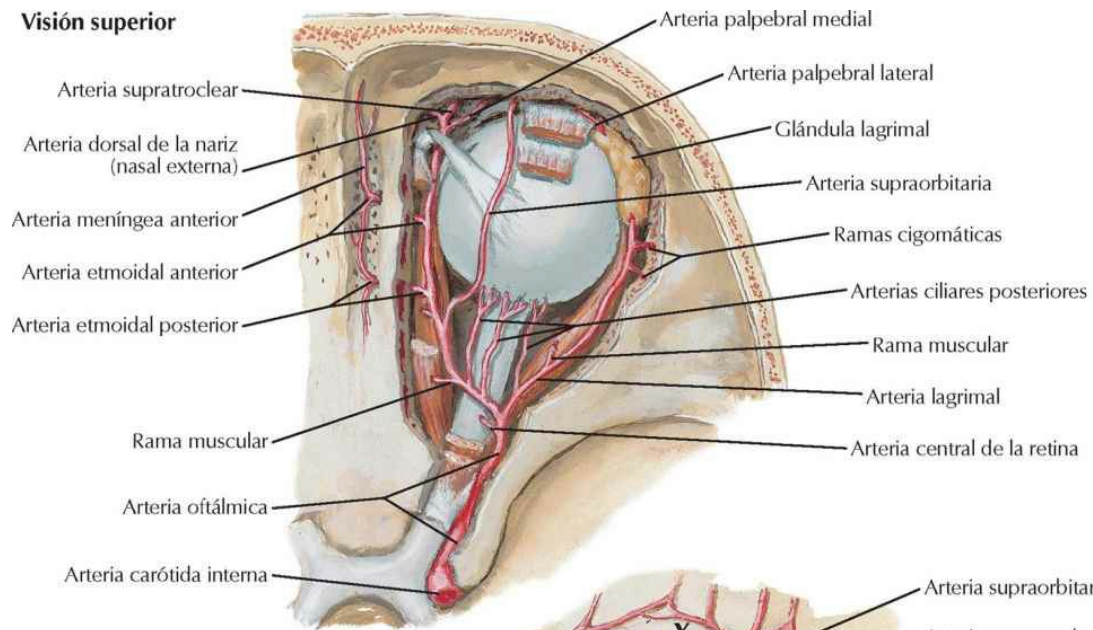
Véanse también láminas 96, 97



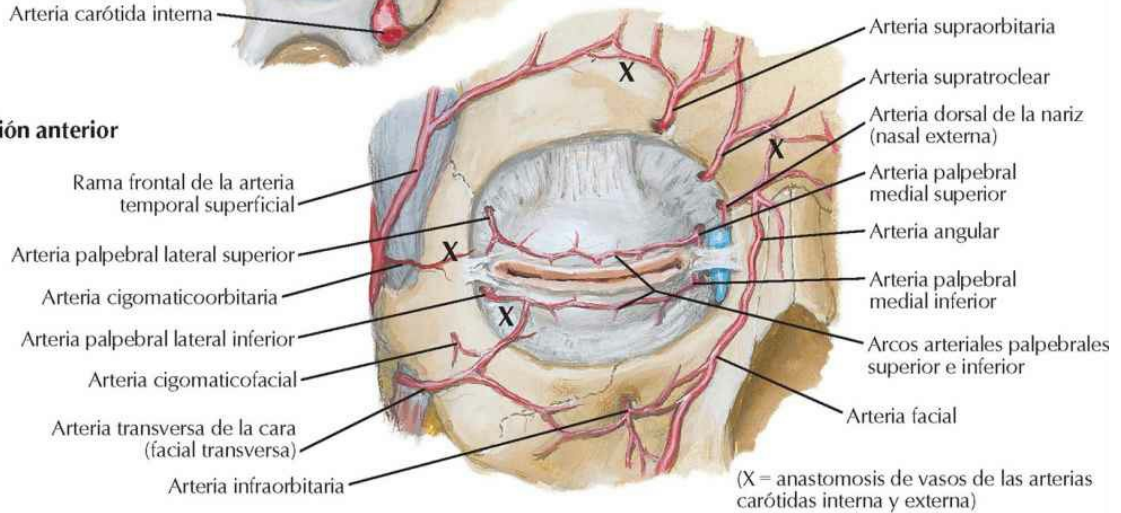
Arterias y venas de la órbita y párpados

Véanse también láminas 10, 84

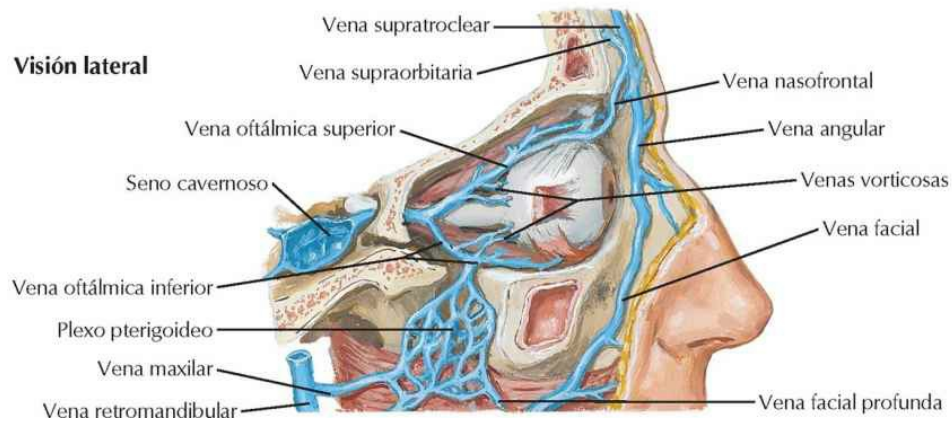
Visión superior



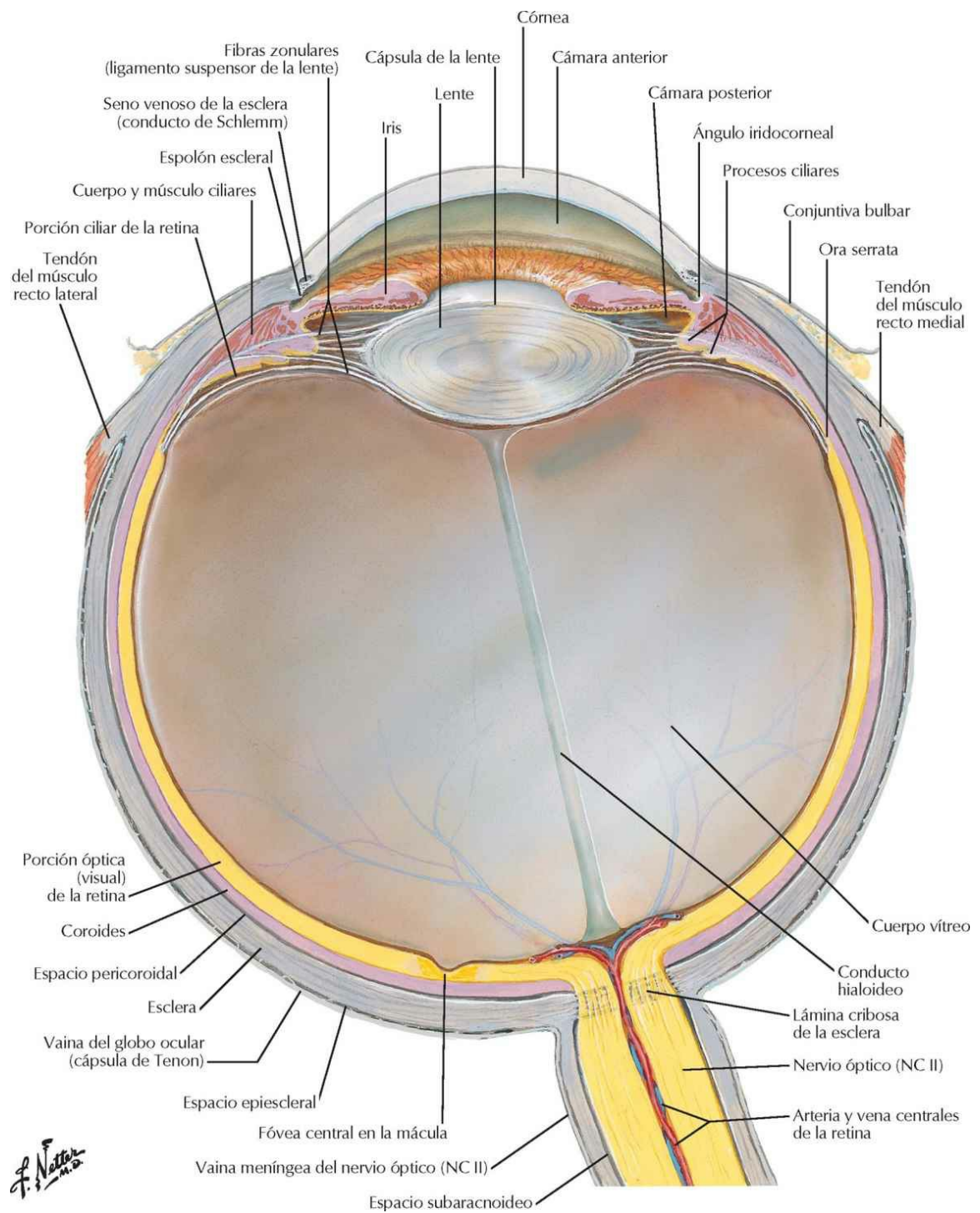
Visión anterior



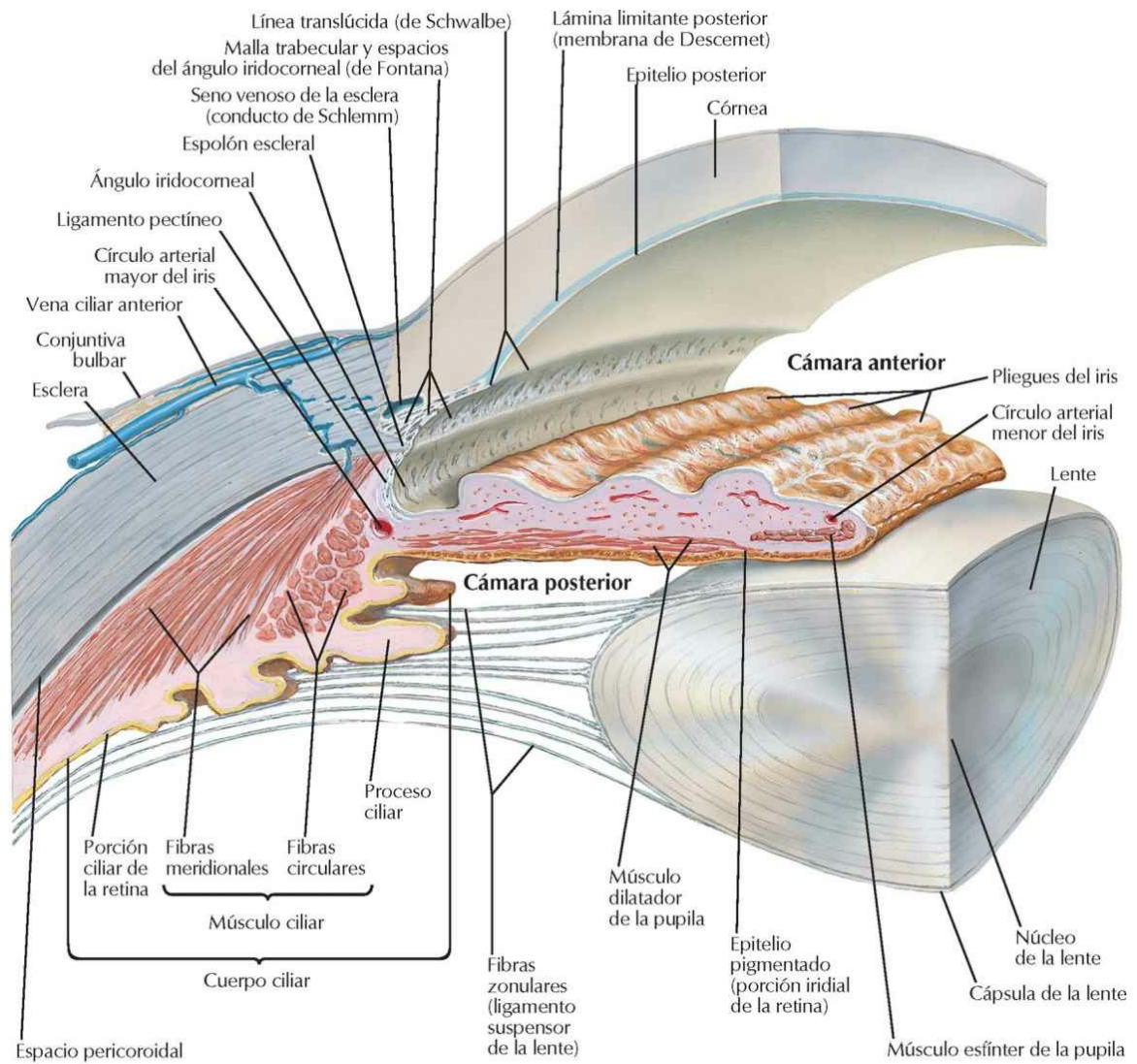
Visión lateral



Globo ocular: sección transversal



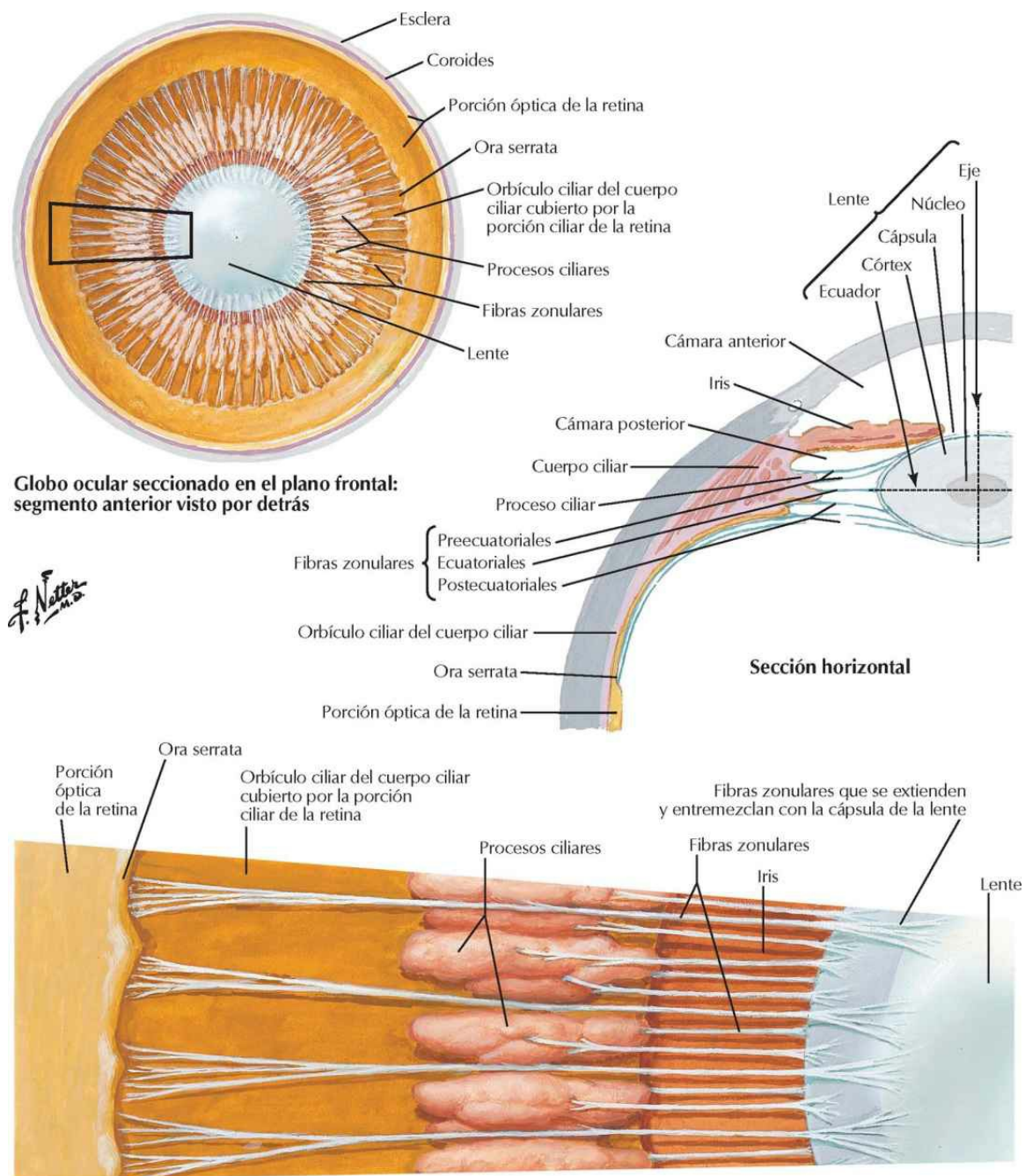
Cámaras anterior y posterior del globo ocular



Nota: Para mayor claridad solo se muestra un plano de fibras zonulares; de hecho las fibras rodean por completo la circunferencia de la lente.

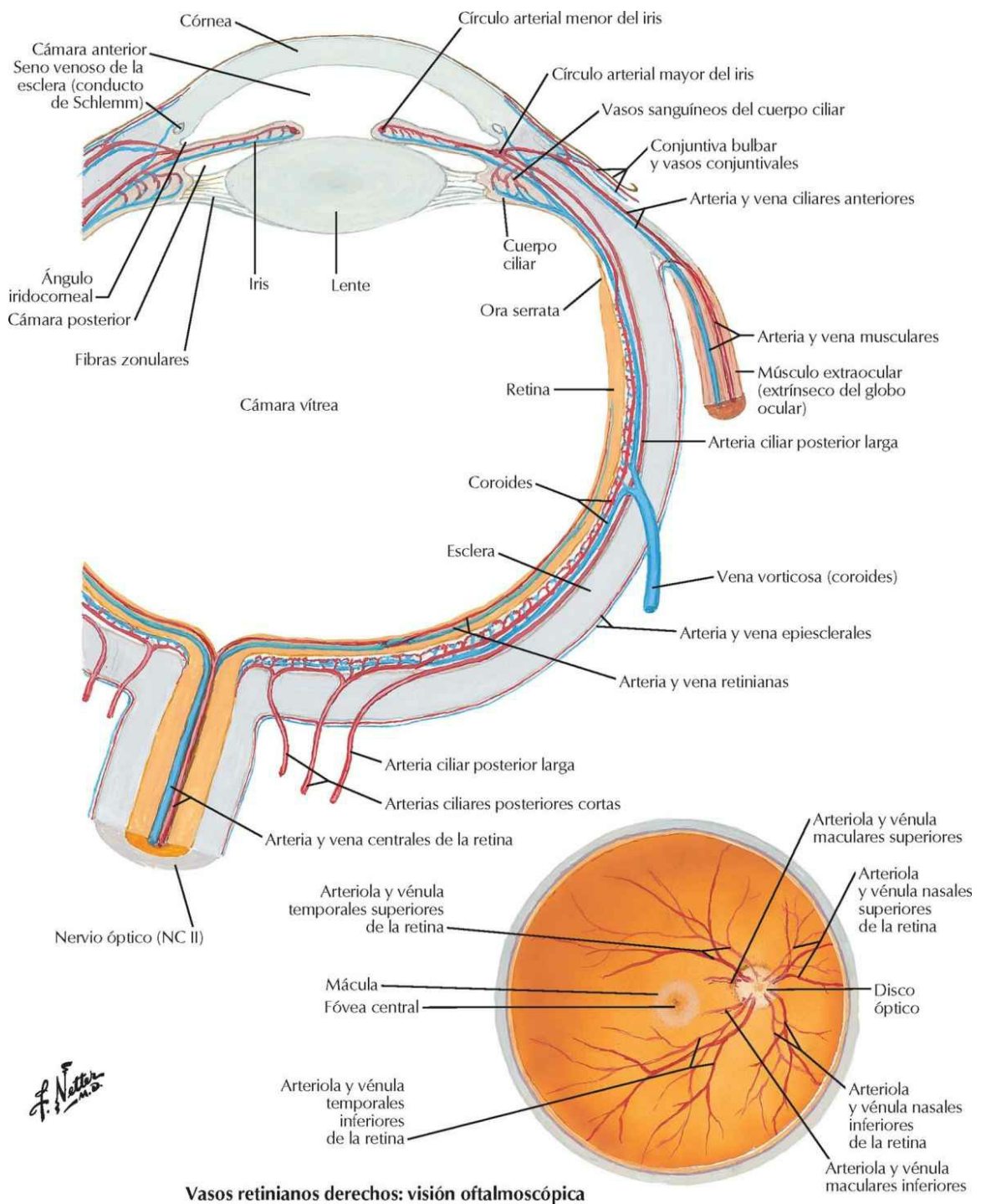
F. Netter M.D.

Lente y estructuras de soporte



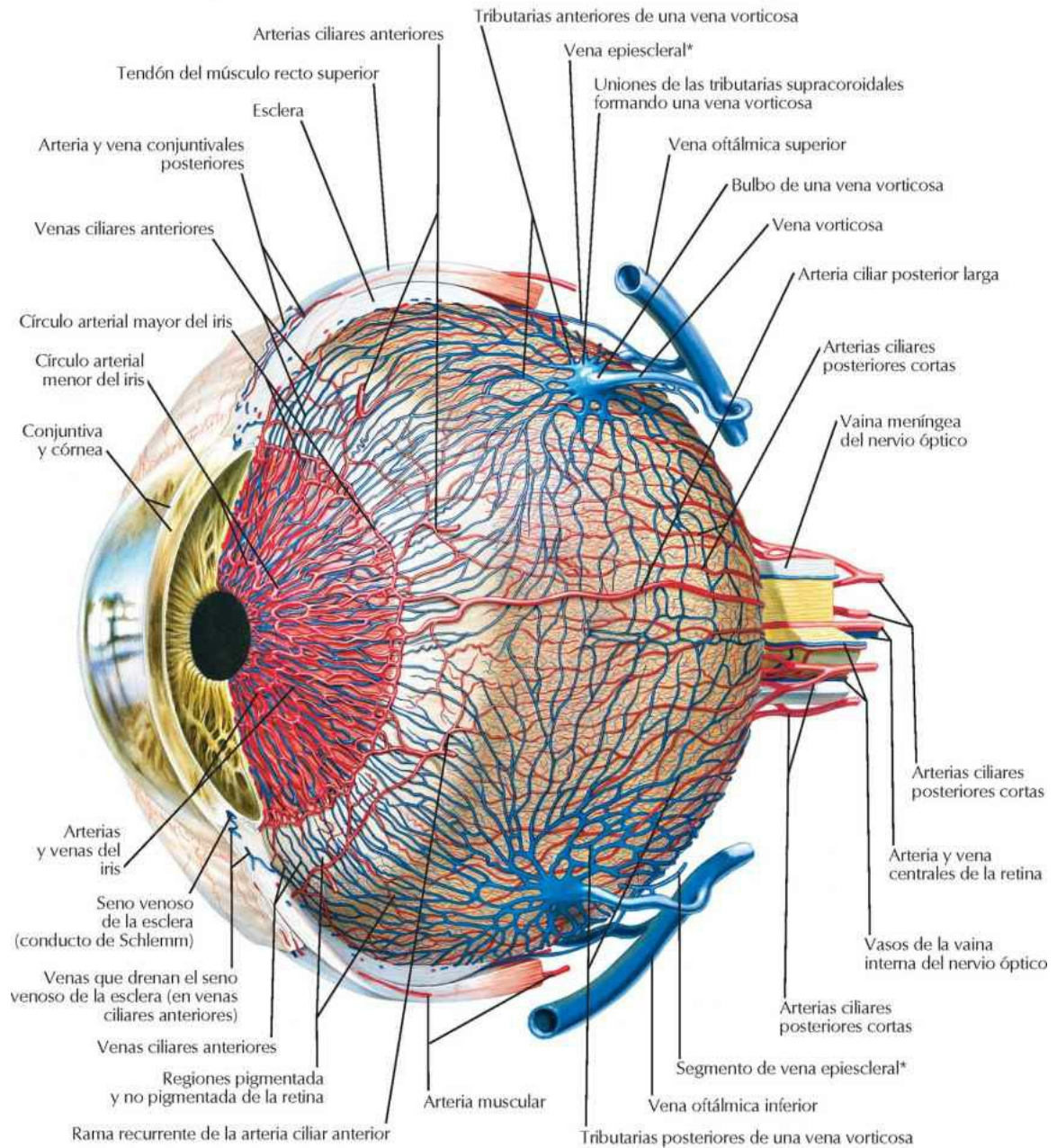
Arterias y venas intrínsecas del ojo

Véase también lámina 104



Aporte vascular del ojo

Disposiciones vasculares dentro de la coroides (túnica vascular) del globo ocular

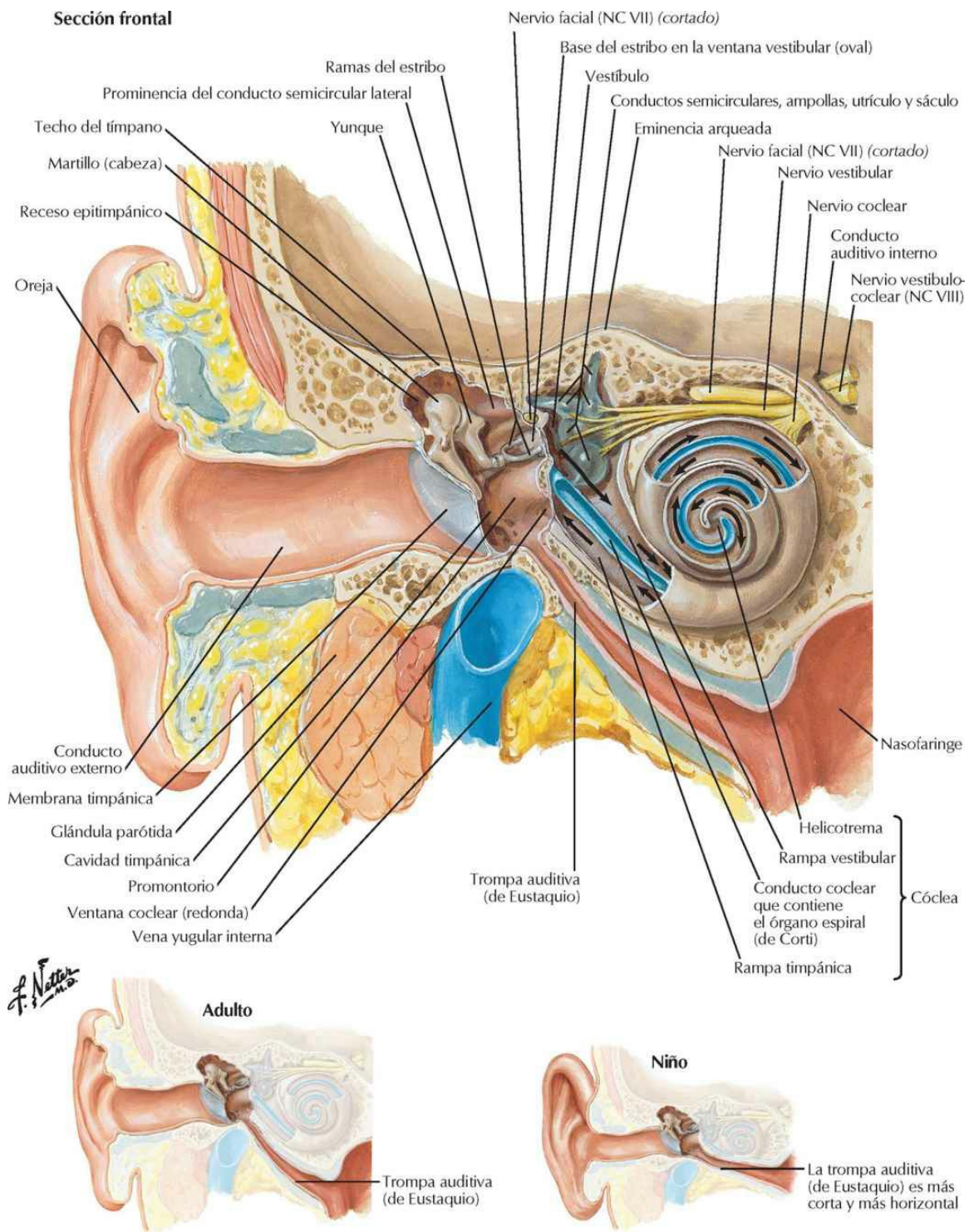


*Las venas episclerales se muestran aquí anastomosándose con las venas vorticosas; no obstante, también drenan en las venas ciliares anteriores.

C. Machado
— M.D.

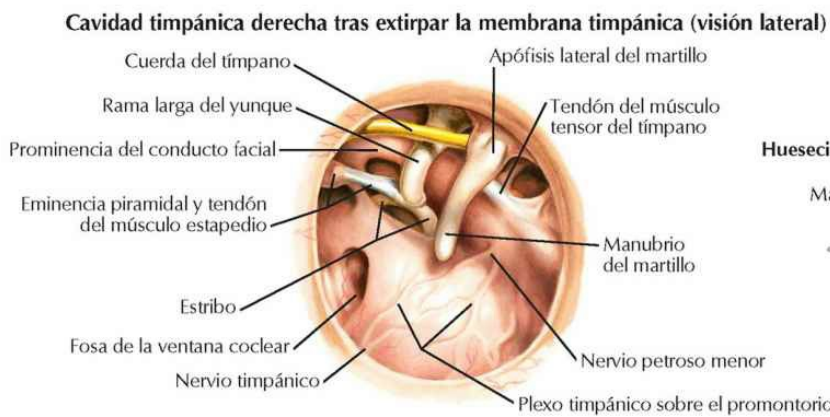
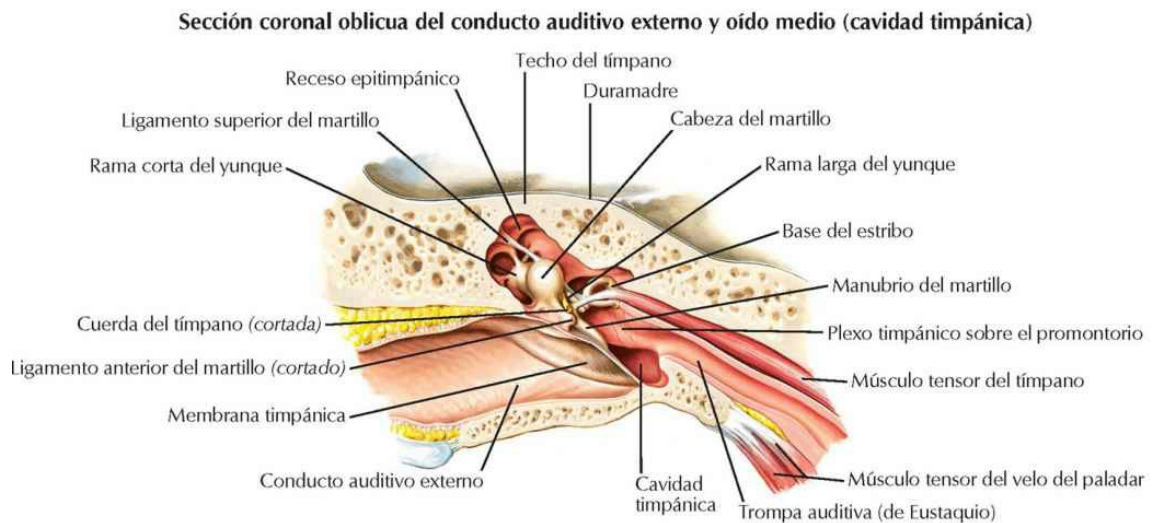
Oído

Oído y vía de recepción del sonido en la cóclea

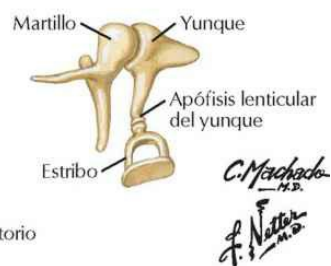


Oído externo y cavidad timpánica

Véase también lámina 107

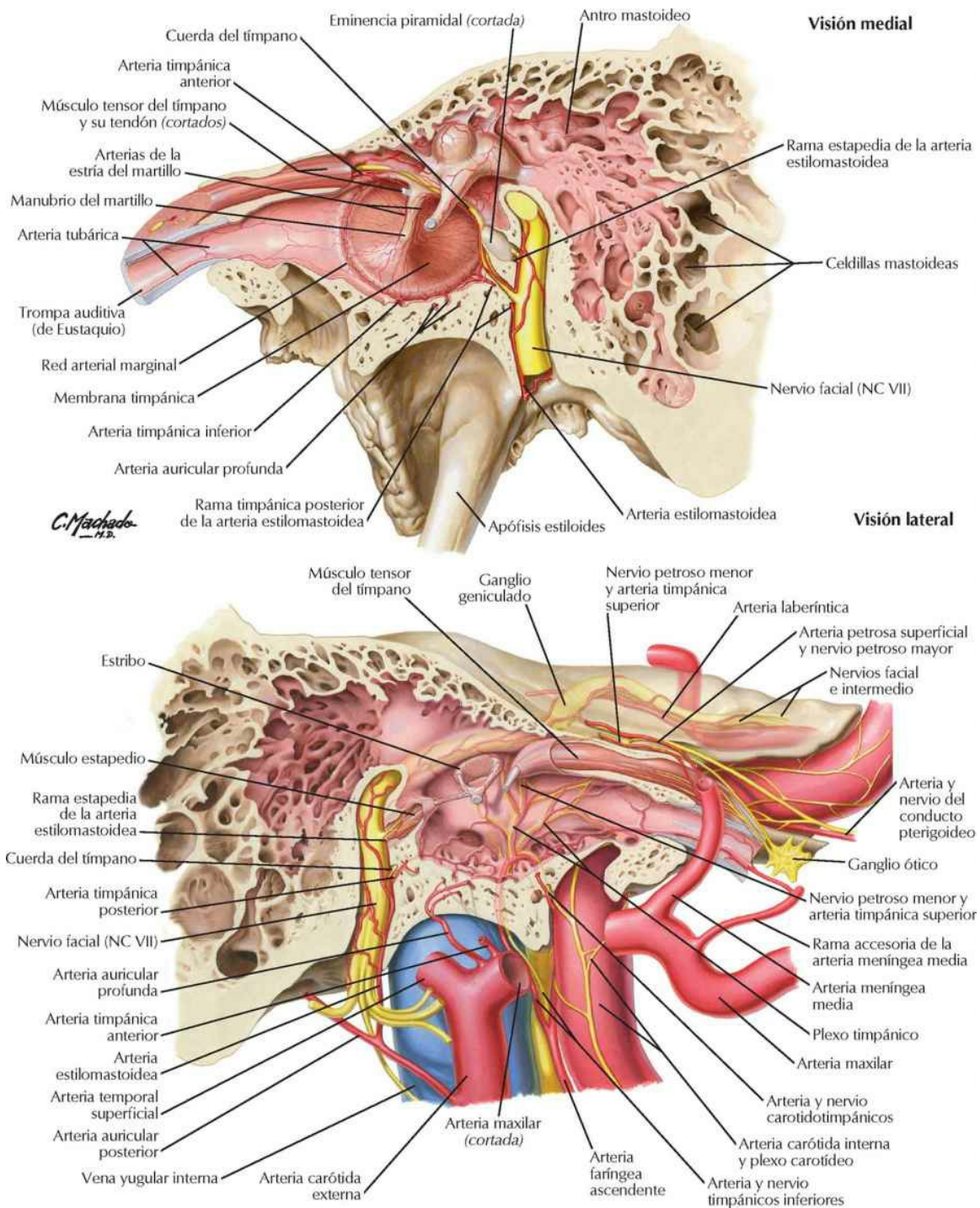


Huesecillos articulados: visión medial



Cavidad timpánica

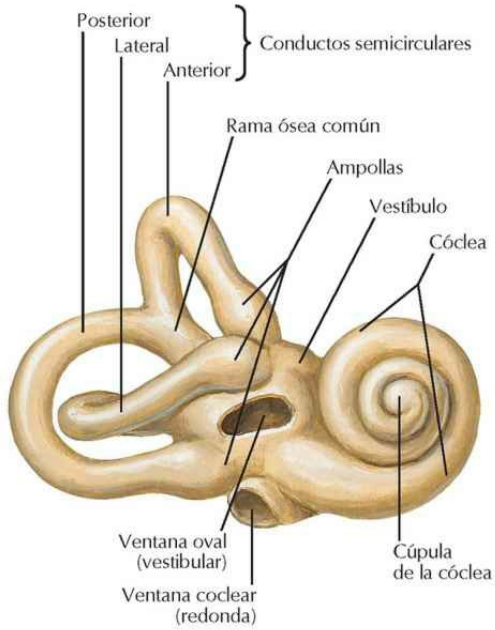
Véanse también láminas 59, 146



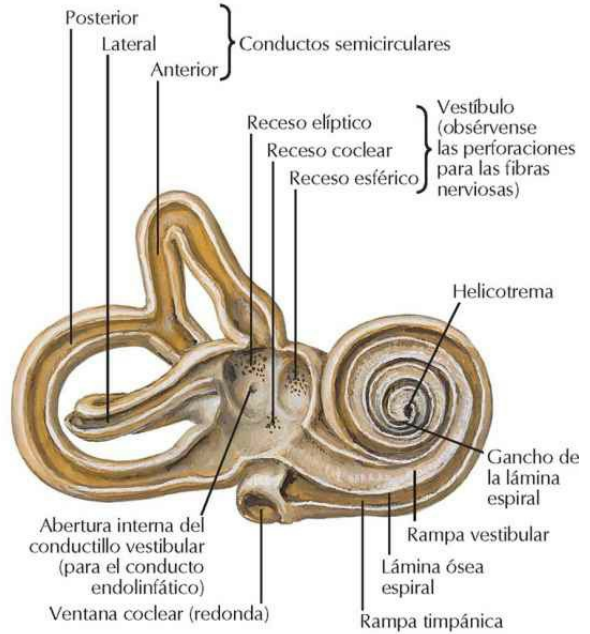
Laberintos óseo y membranoso

Véase también lámina 135

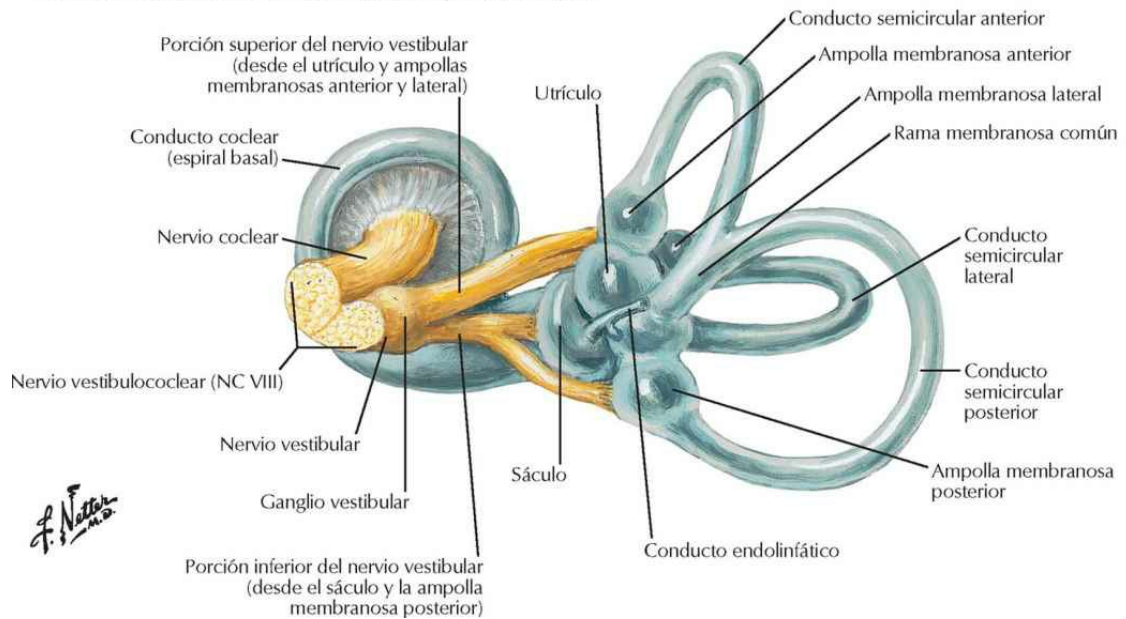
Laberinto óseo derecho (cápsula ótica), visión anterolateral: se ha extirpado el hueso esponjoso que le rodea



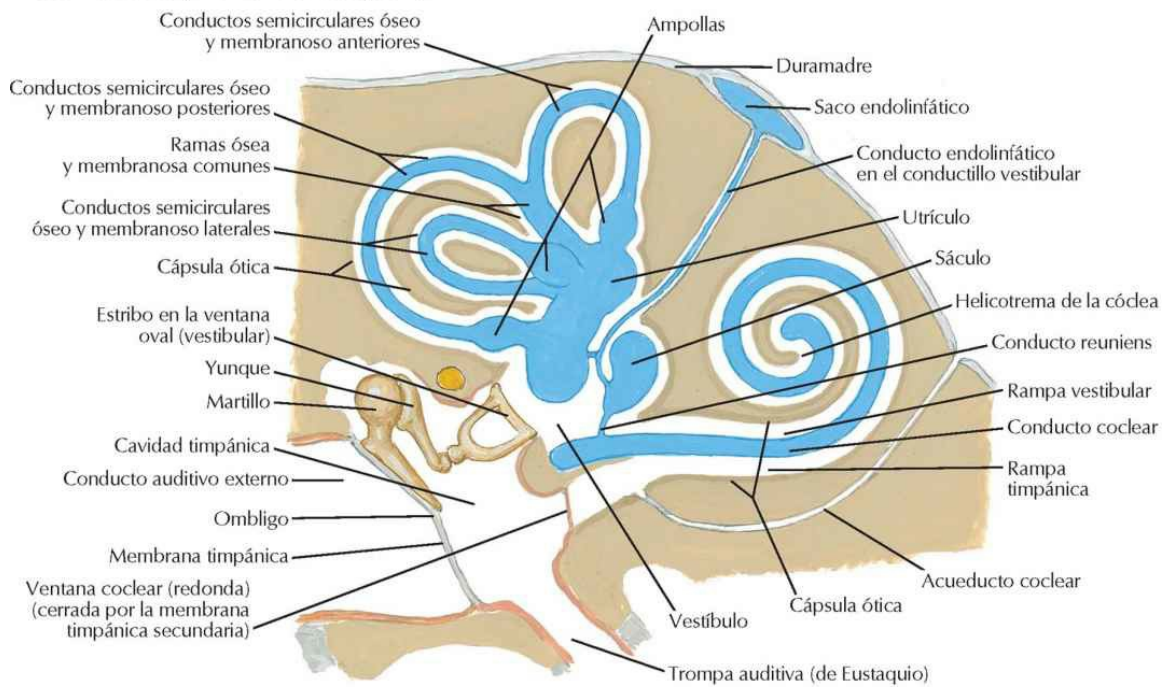
Laberinto óseo derecho diseccionado (cápsula ótica): se ha extirpado el laberinto membranoso



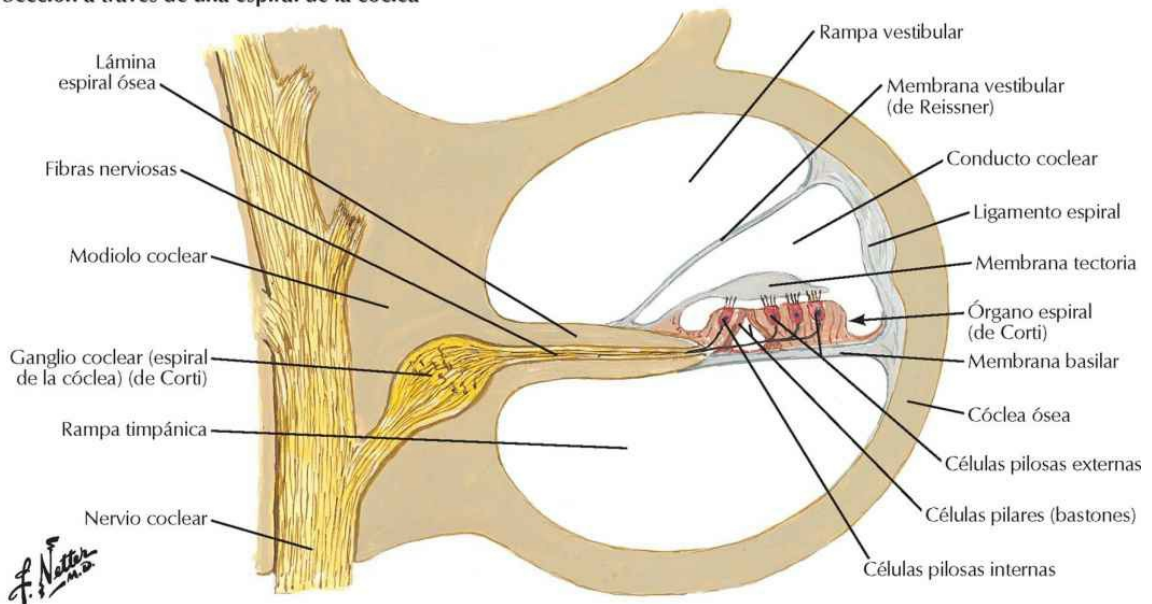
Laberinto membranoso derecho con nervios: visión medial



Laberintos óseo y membranoso: esquema

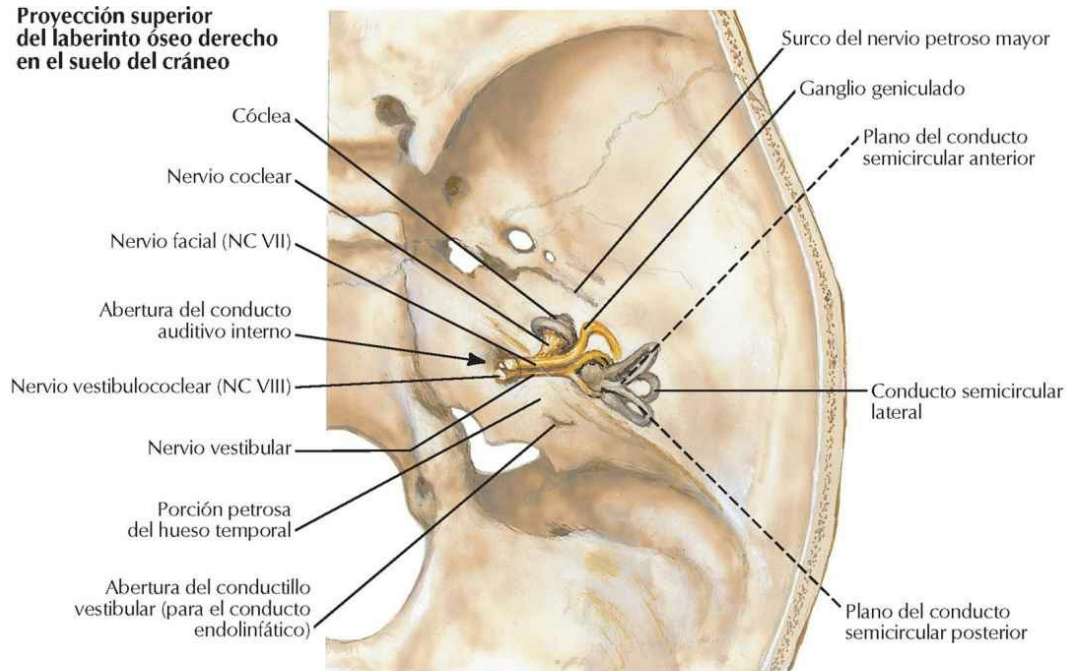


Sección a través de una espiral de la cóclea

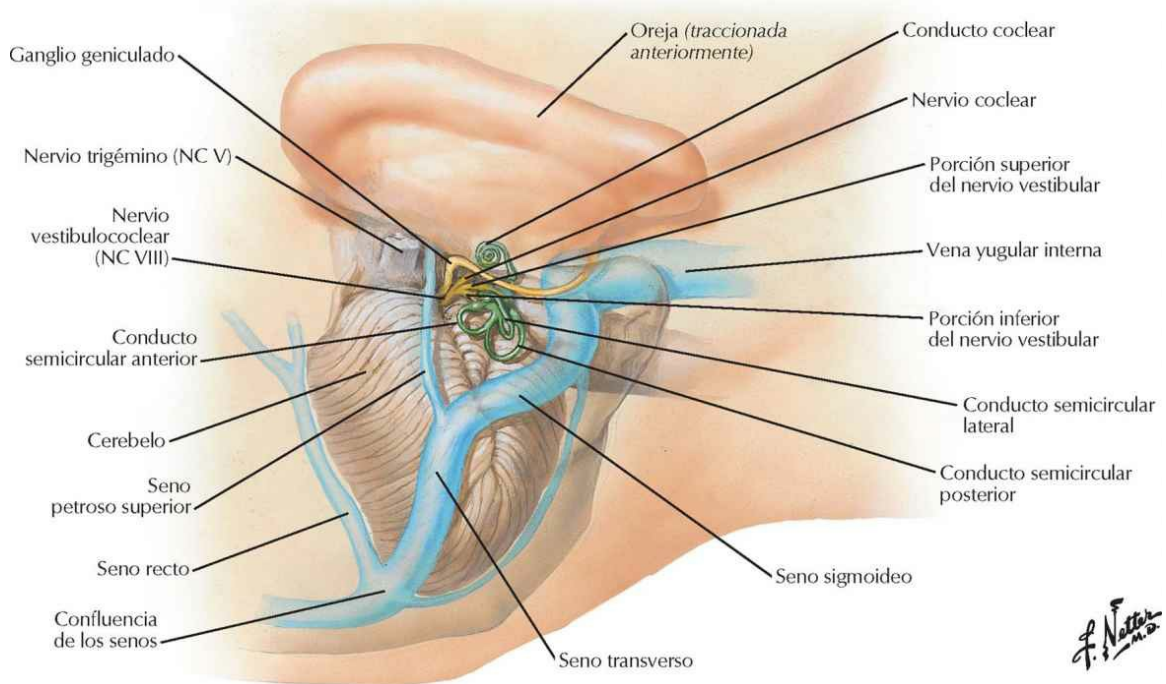


Orientación de los laberintos en el cráneo

Proyección superior del laberinto óseo derecho en el suelo del cráneo



Proyección lateral del laberinto membranoso derecho

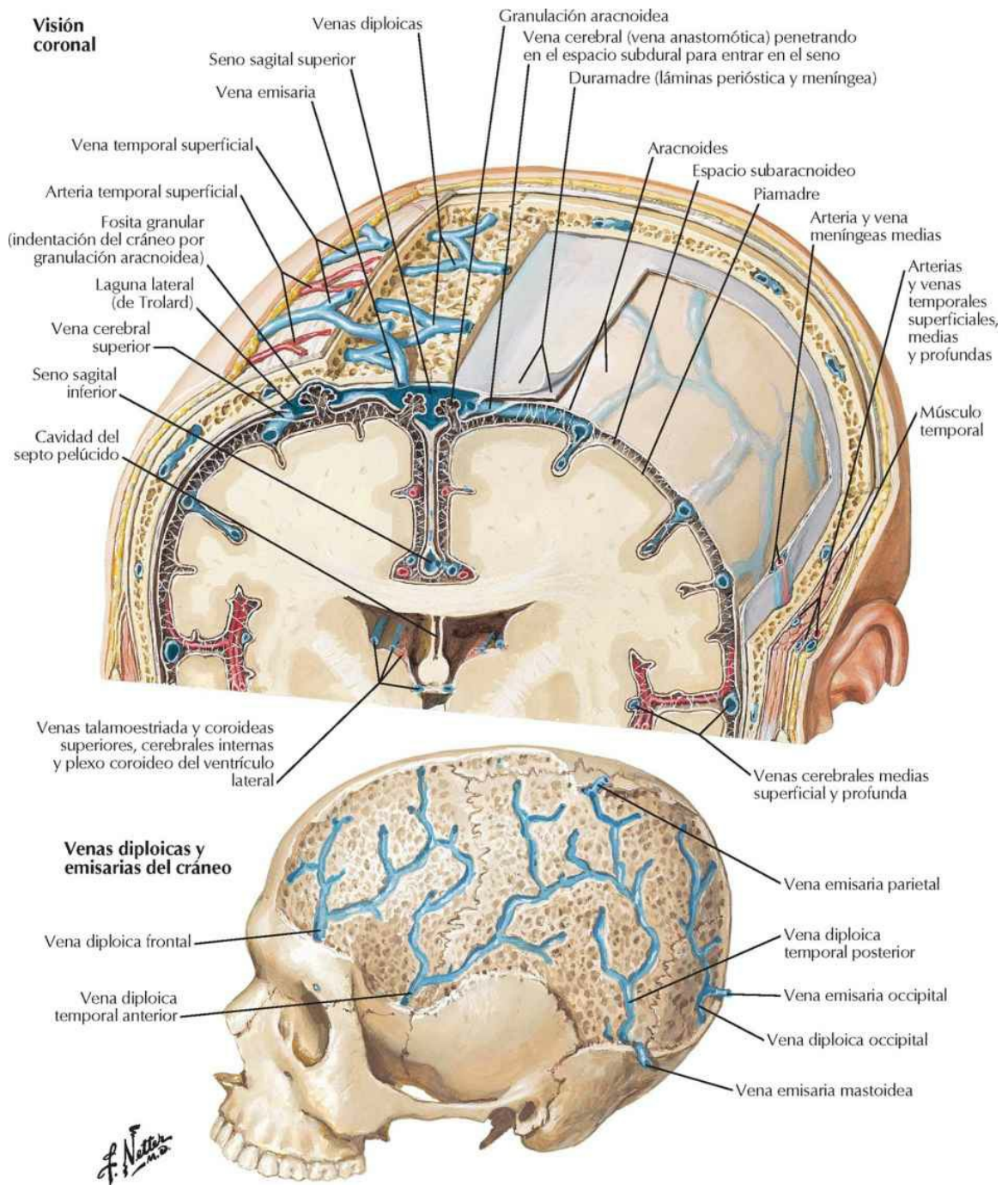


F. J. Nieto

Meninges y encéfalo

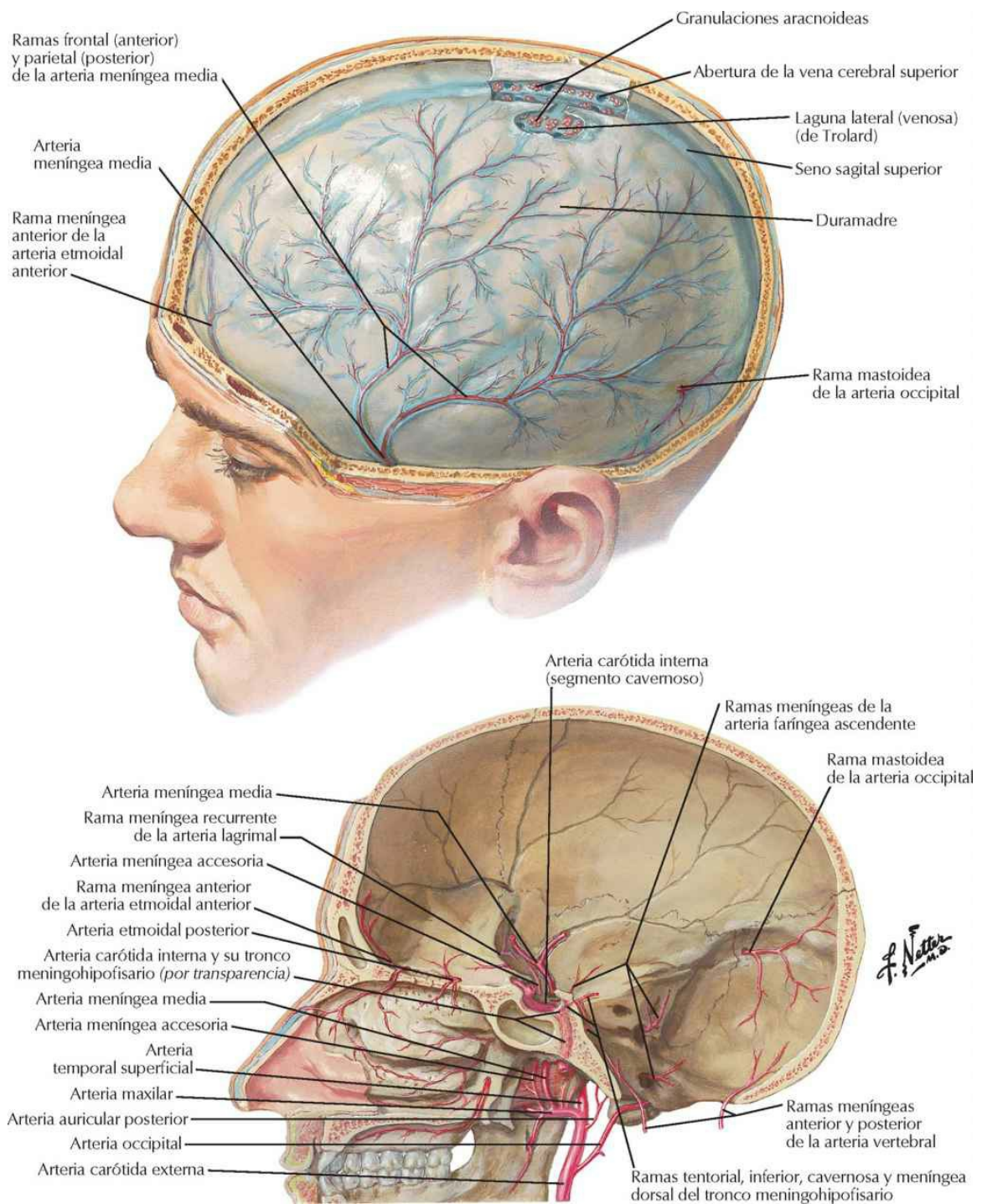
Meninges y venas diploicas

Véase también lámina 10



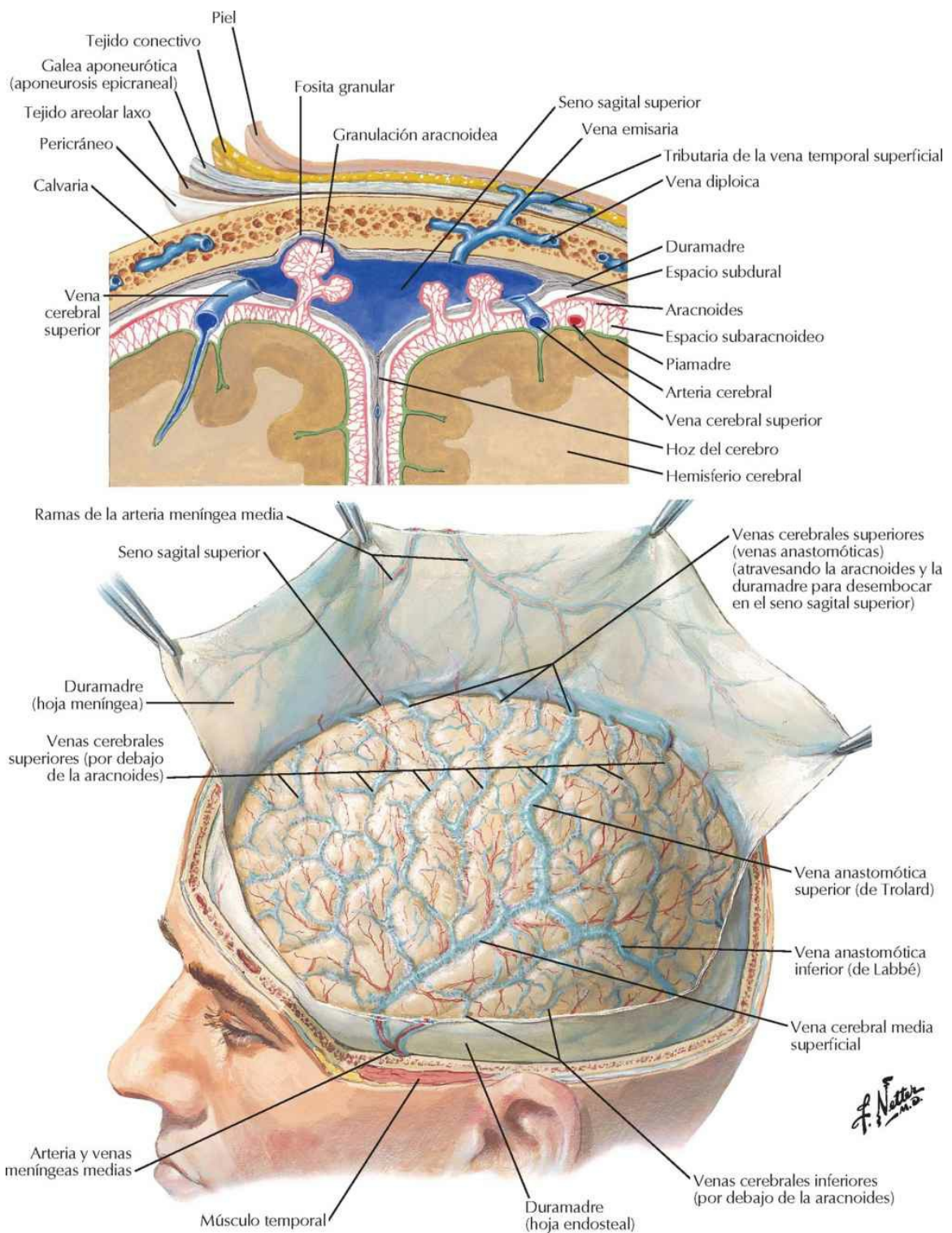
Arterias menígeas

Véase también lámina 147



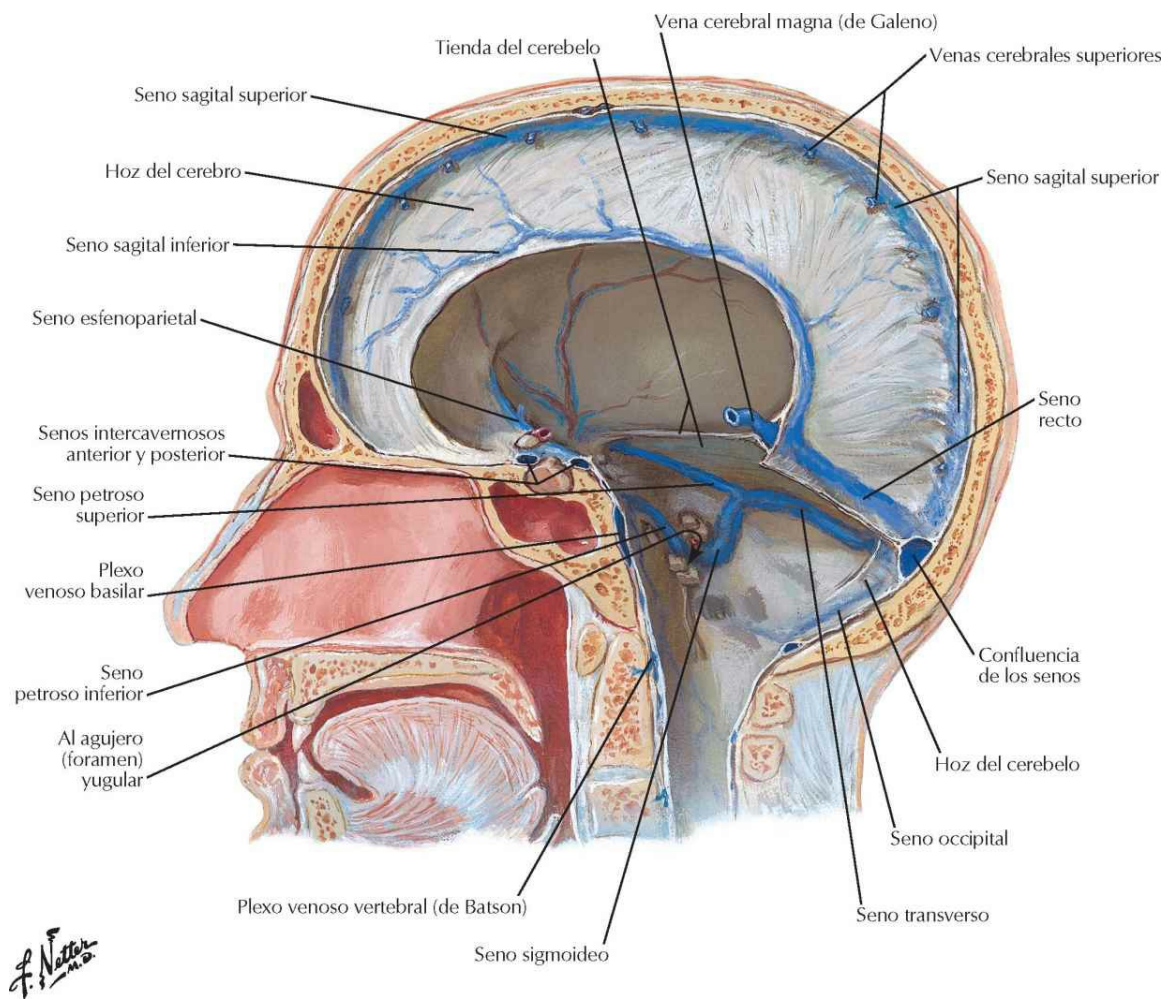
Meninges y venas cerebrales superficiales

Para las venas profundas del cerebro véase lámina 156



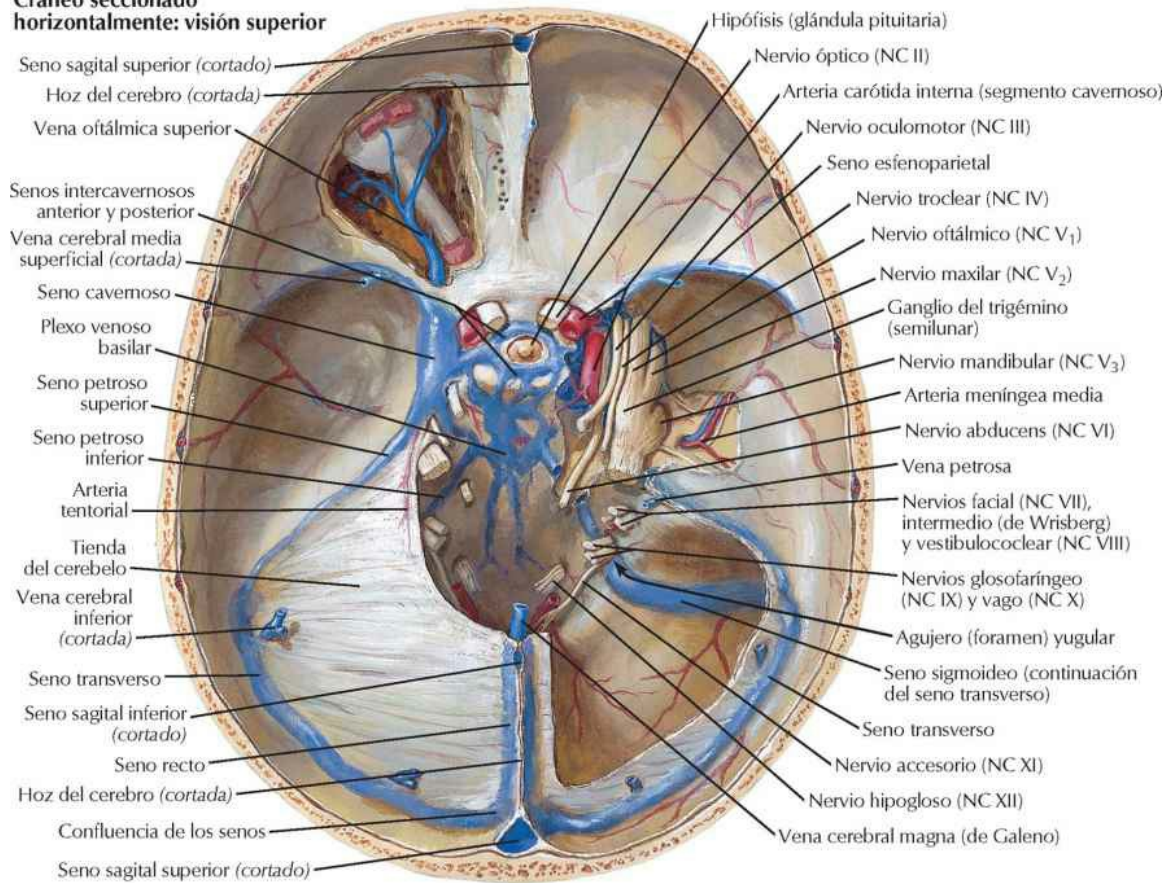
Senos venosos de la duramadre: sección sagital

Véanse también láminas 111, 117

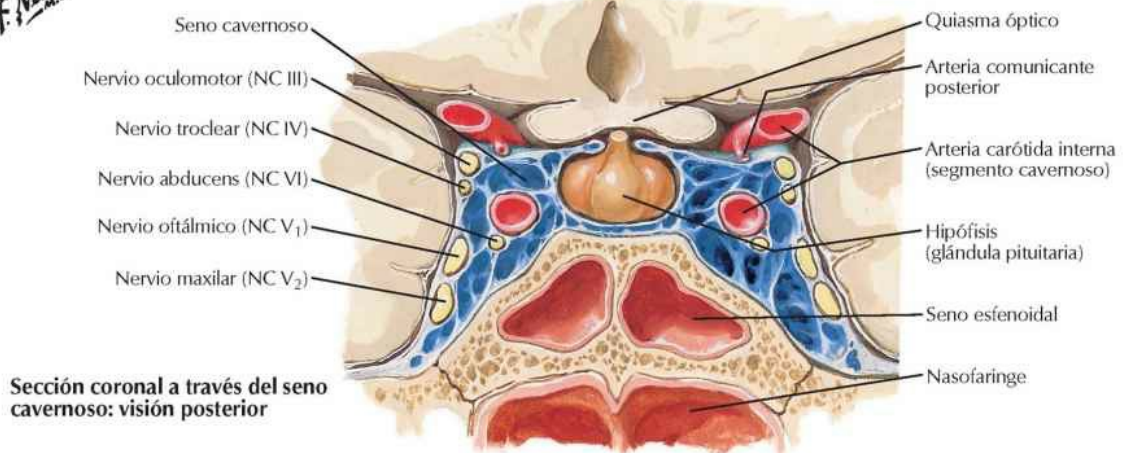


Véanse también láminas 64, 97

**Cráneo seccionado
horizontalmente: visión superior**

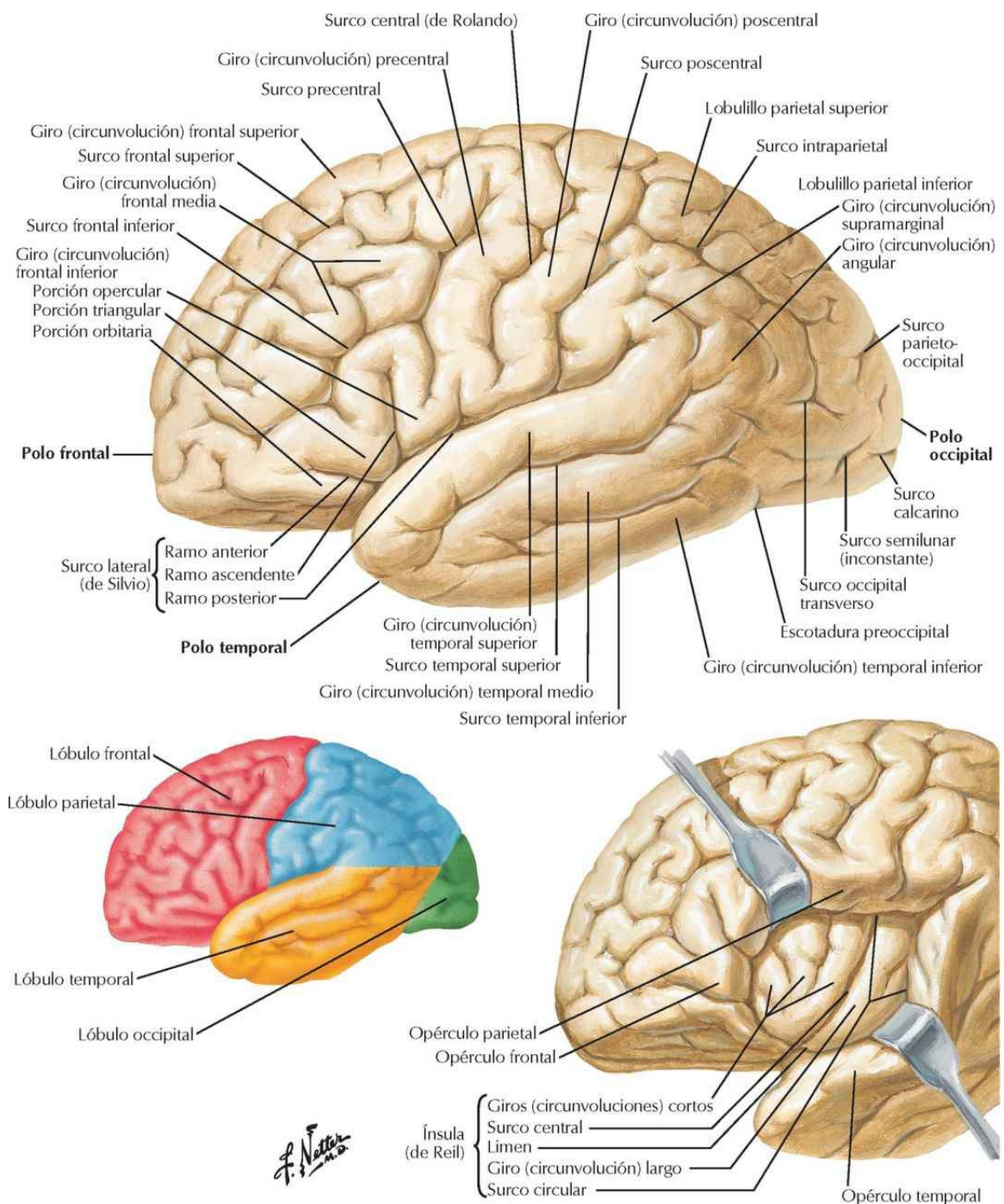


J. N. 1900



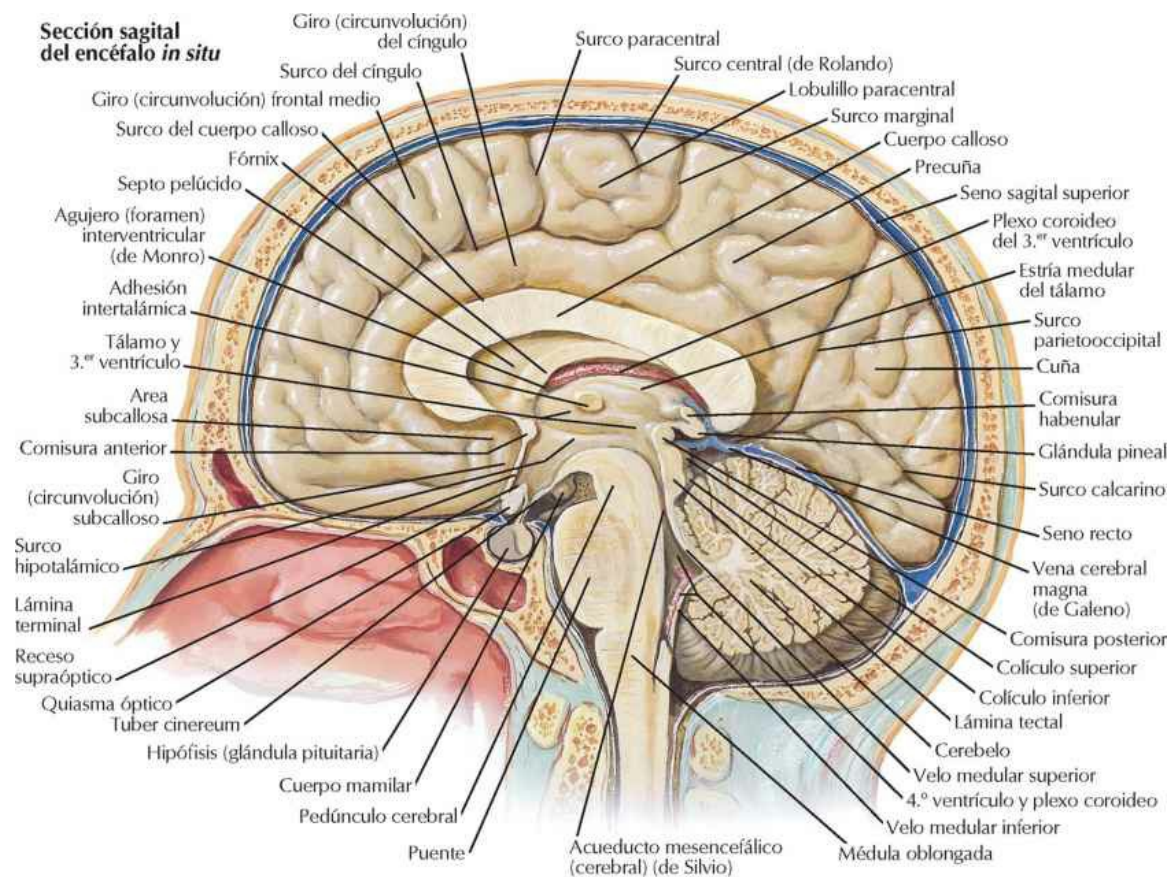
Sección coronal a través del seno cavernoso: visión posterior

Encéfalo: visiones laterales

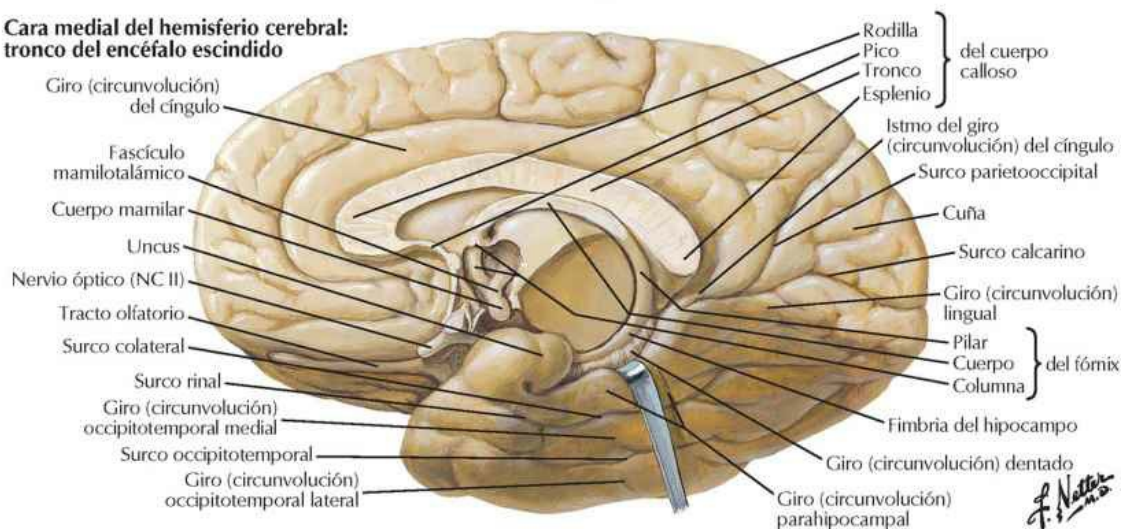


Encéfalo: visiones mediales

Véase también lámina 158

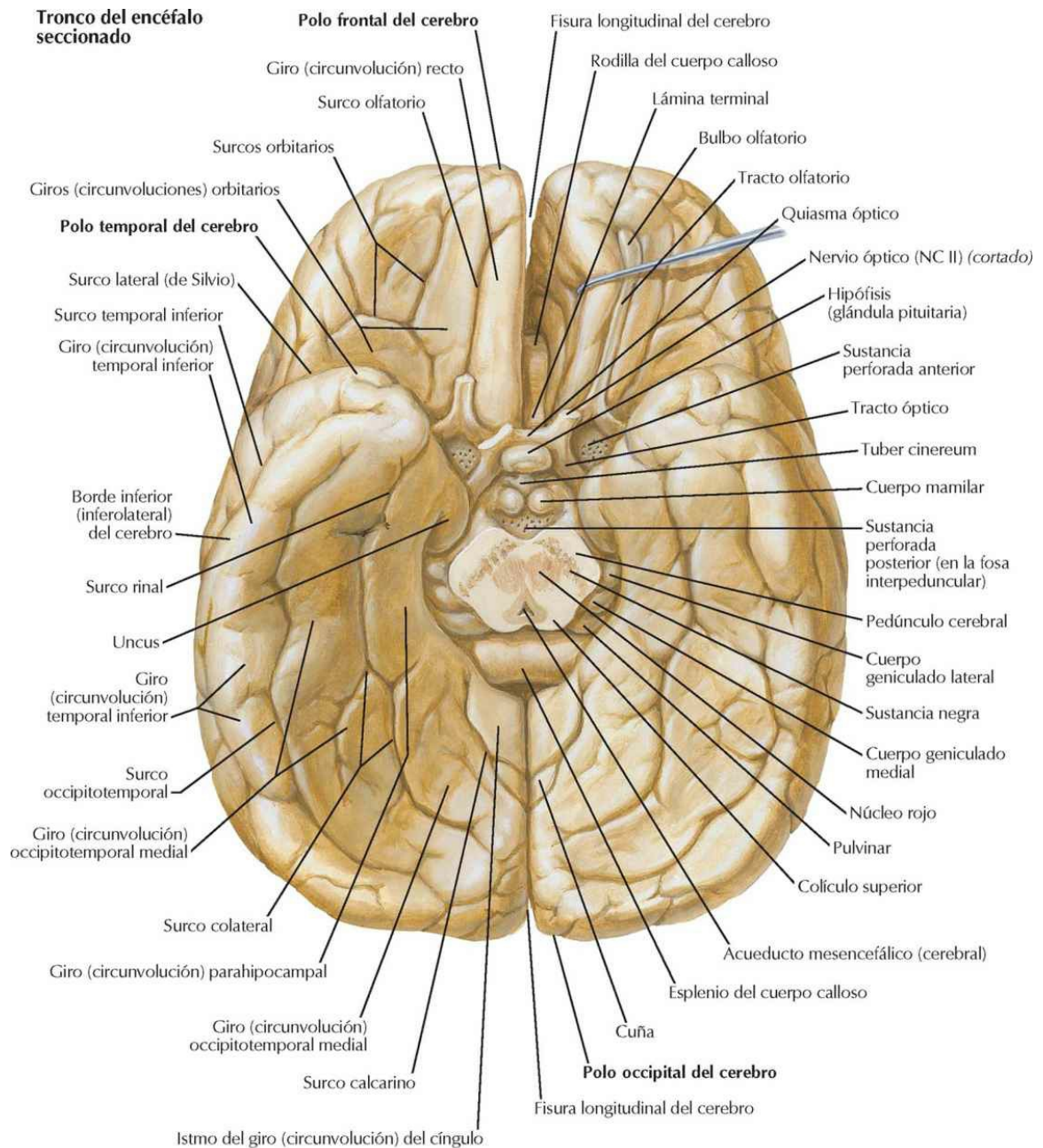


Cara medial del hemisferio cerebral: tronco del encéfalo escindido



Encéfalo: visión inferior

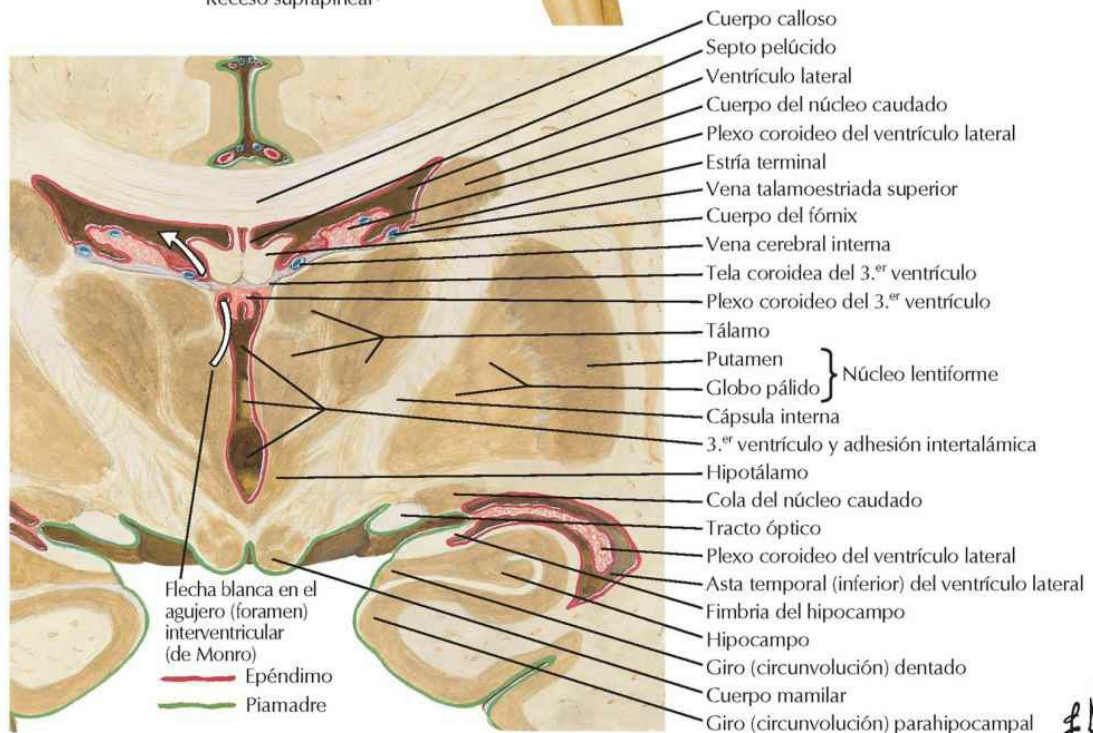
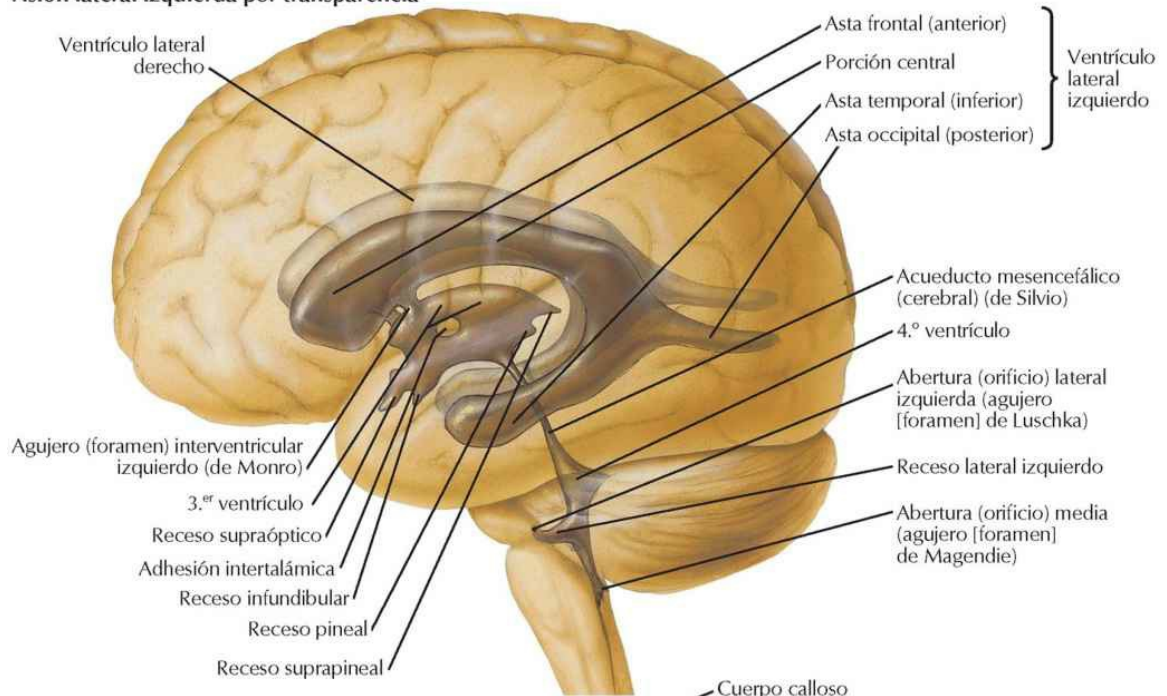
Véase también lámina 117



F. Netter M.D.

Ventrículos del encéfalo

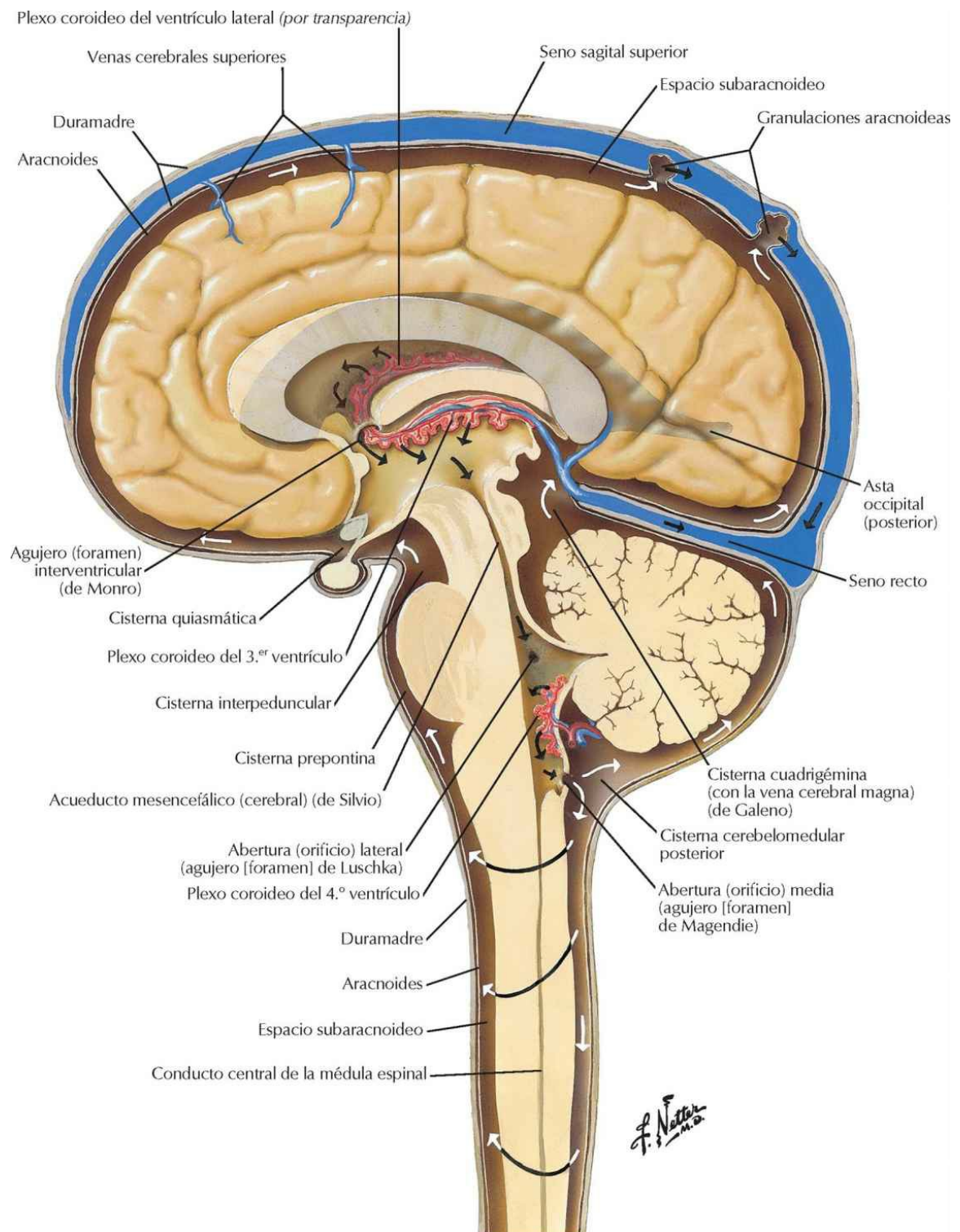
Visión lateral izquierda por transparencia



Sección coronal del cerebro: visión posterior

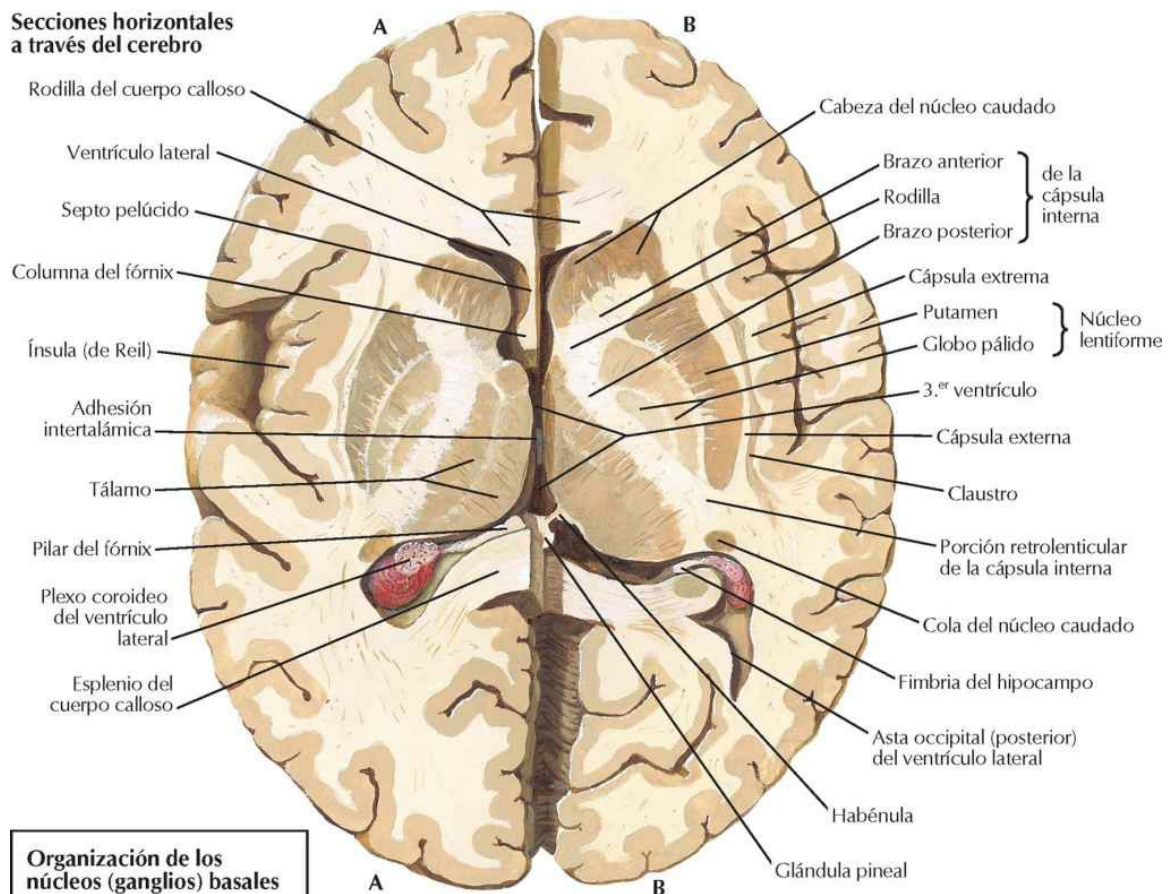
Circulación del líquido cefalorraquídeo (cerebroespinal)

Véanse también láminas 119, 157

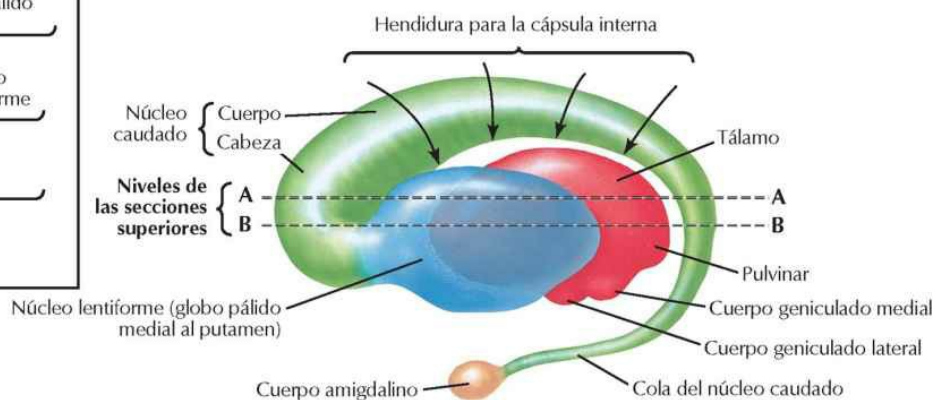


Núcleos (ganglios) basales

Secciones horizontales a través del cerebro

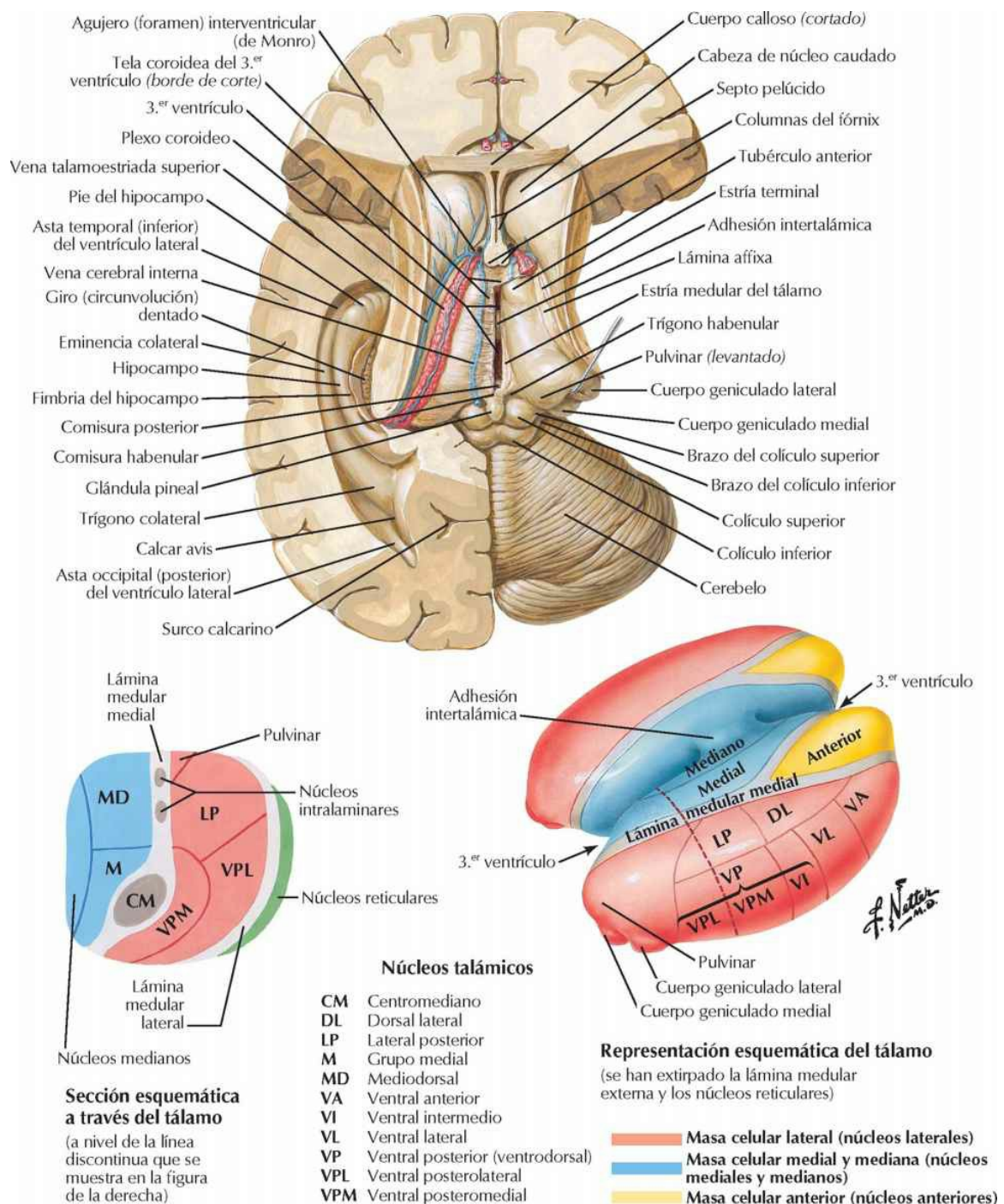


Organización de los núcleos (ganglios) basales



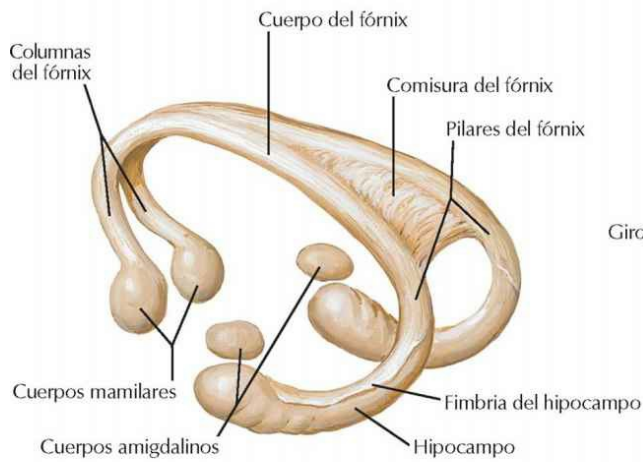
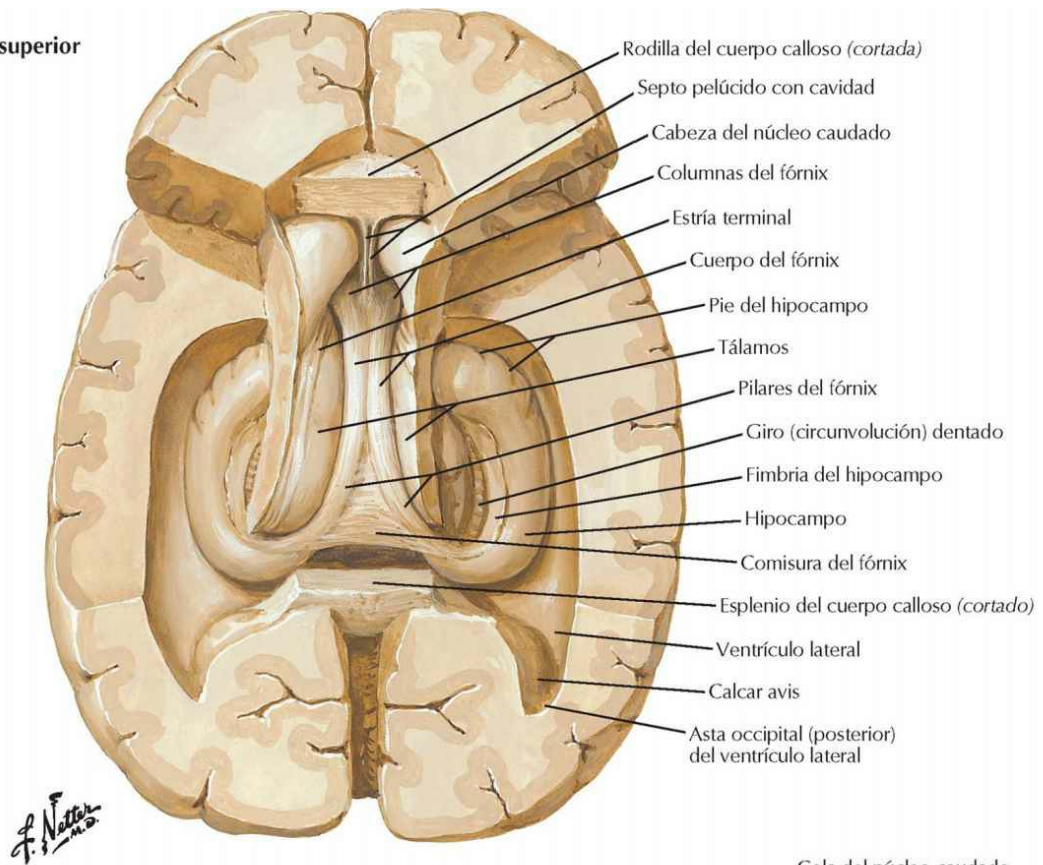
Interrelaciones del tálamo, núcleo lentiforme, núcleo caudado y cuerpo amigdalino (esquema): visión lateral izquierda

Tálamo y estructuras relacionadas

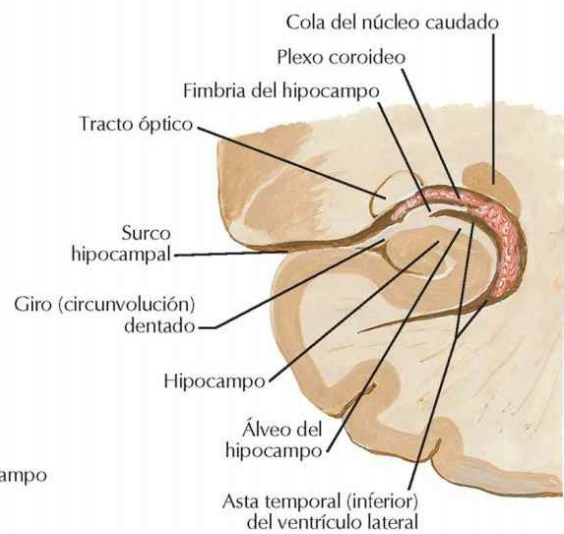


Hipocampo y fórnix

Visión superior

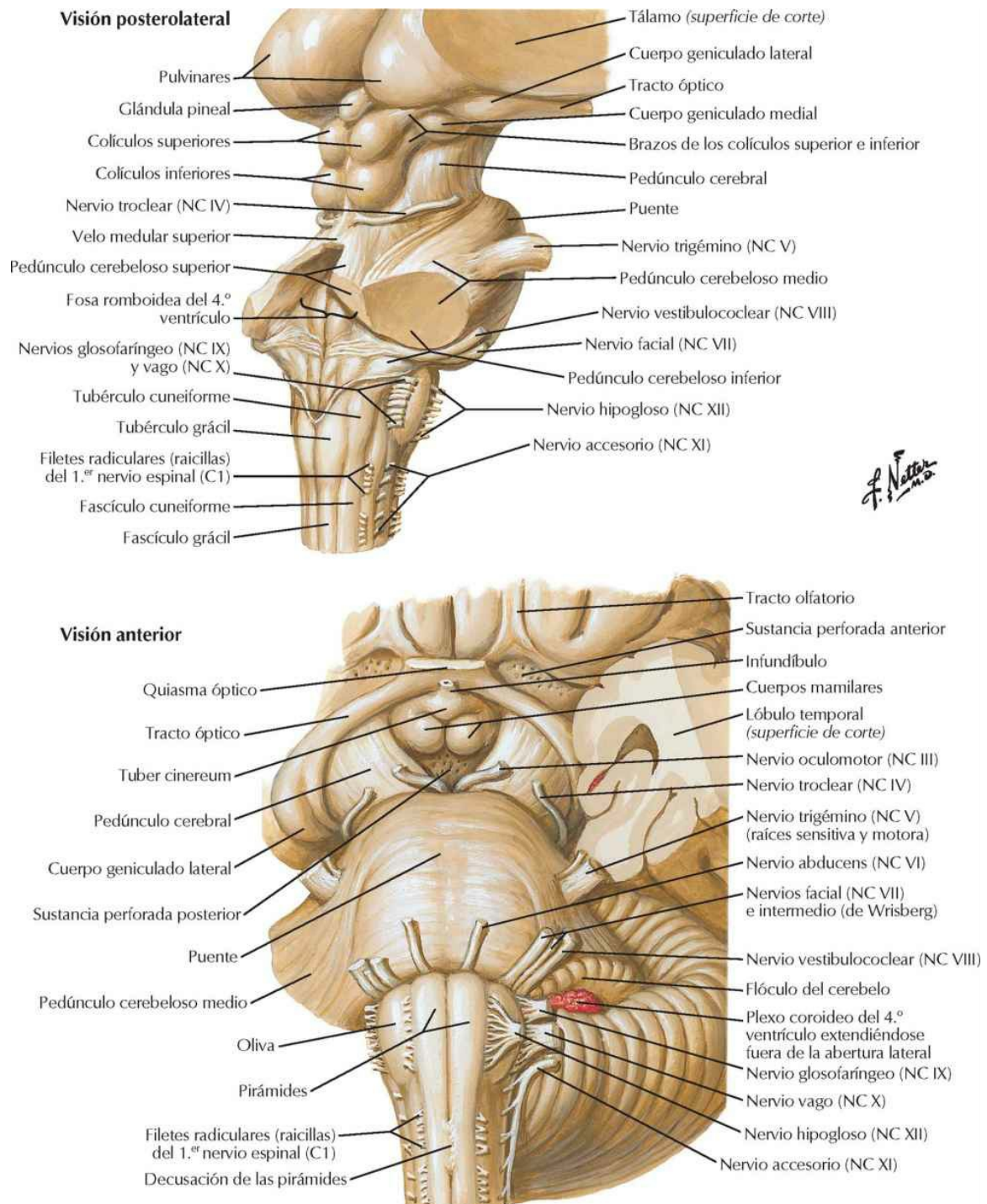


Fórnix: esquema

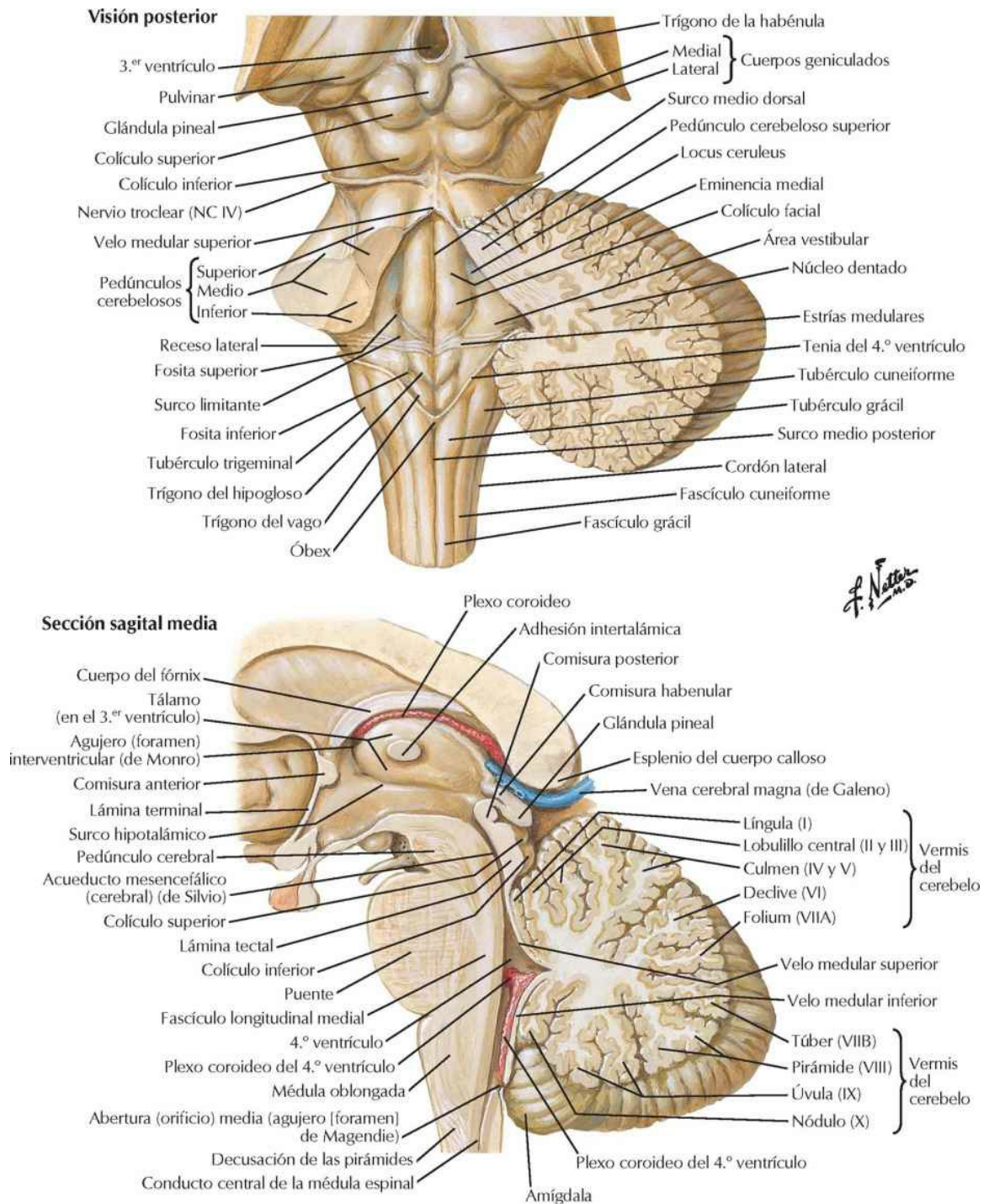


Sección coronal: visión posterior

Tronco del encéfalo

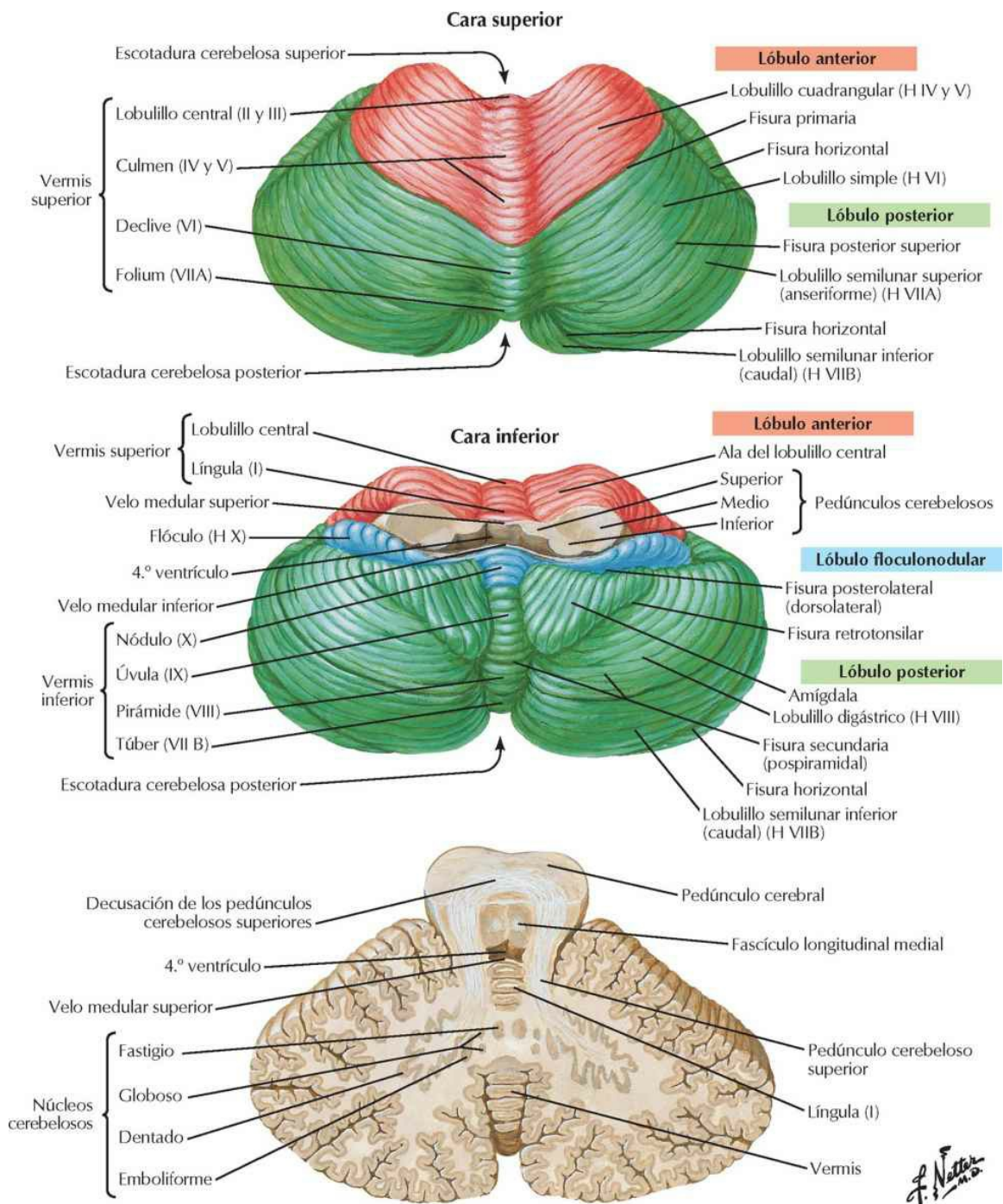


Ventrículos y cerebelo



Cerebelo

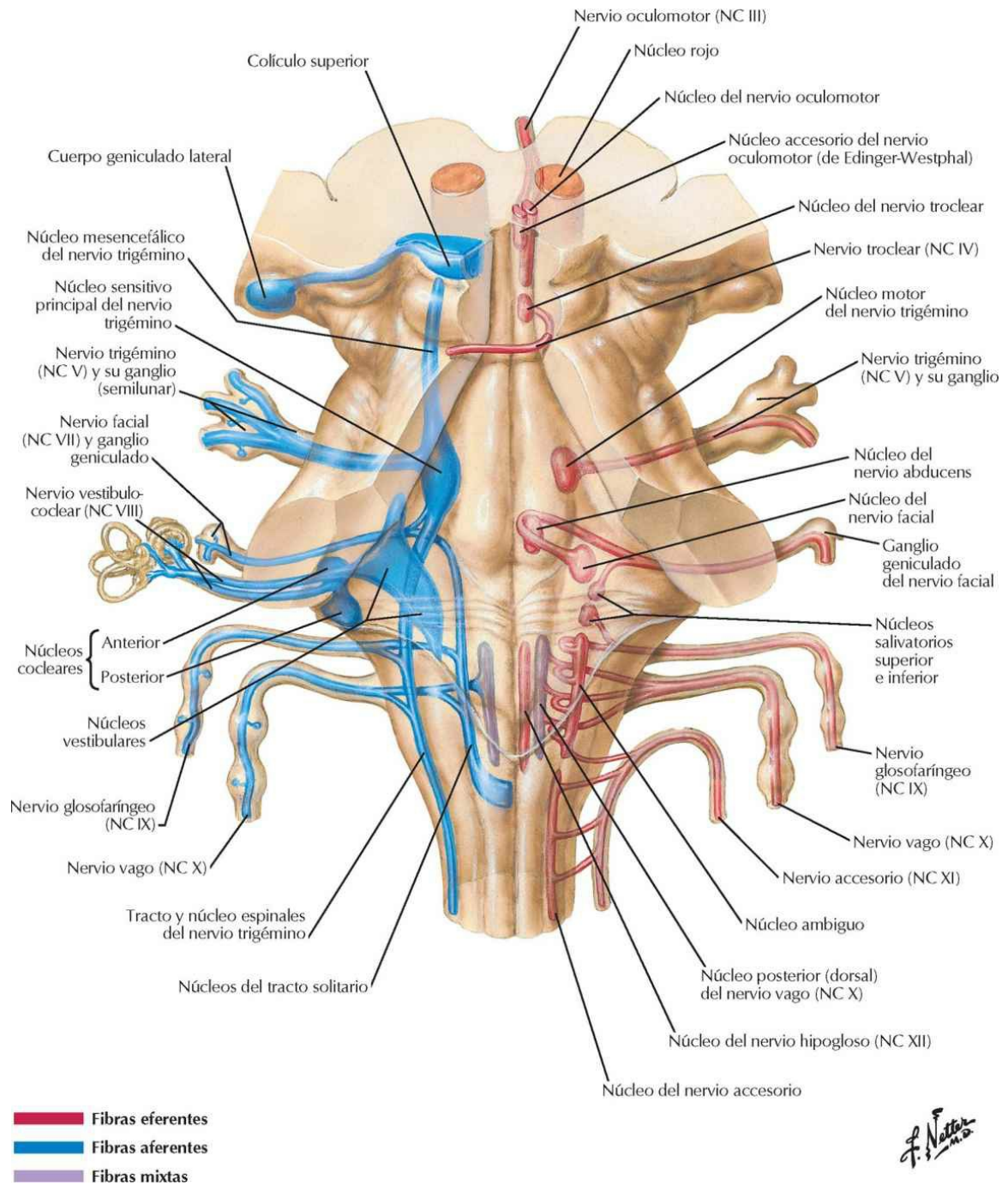
Véase también lámina 125

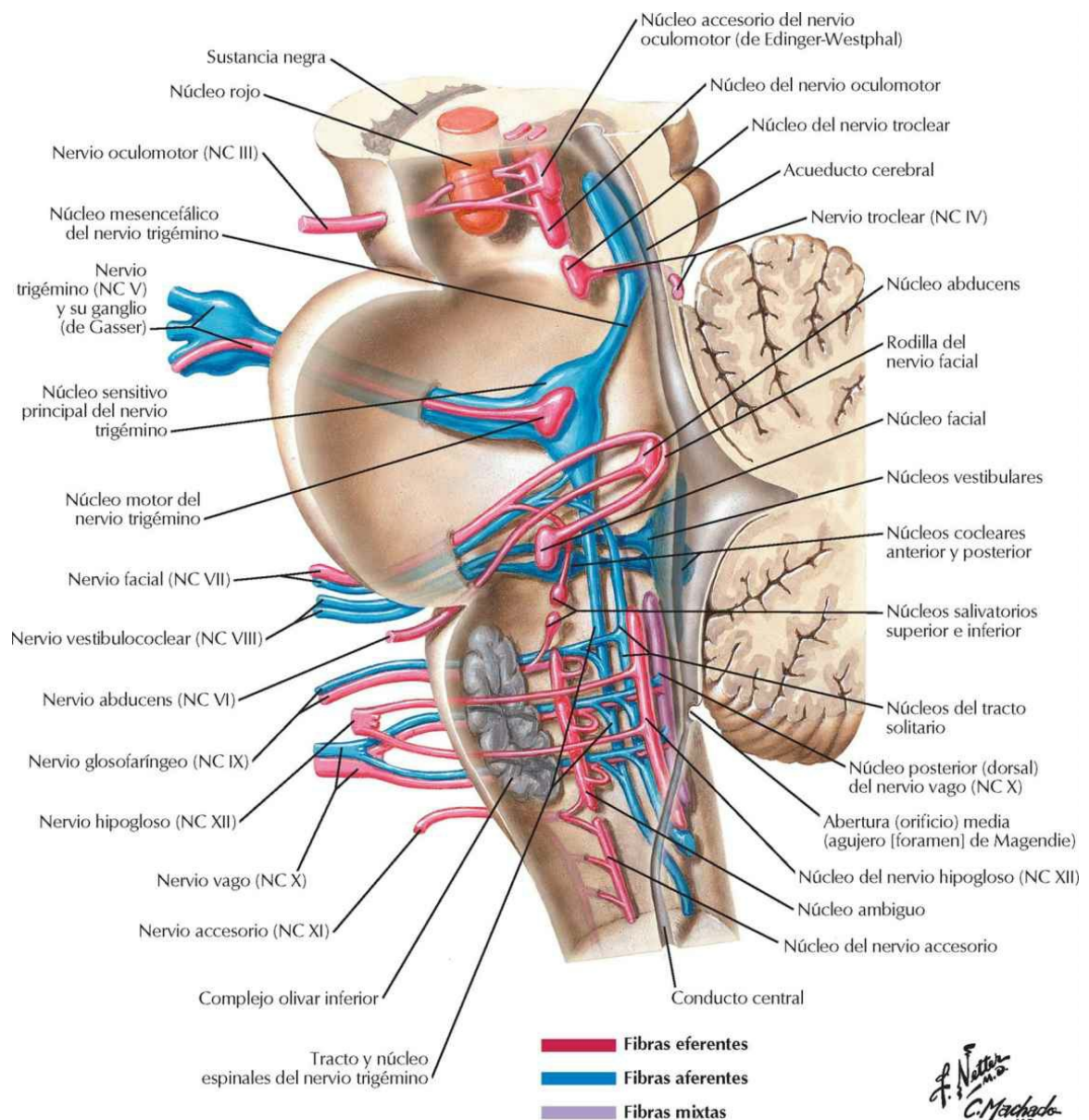


Sección en el plano del pedúnculo cerebeloso superior

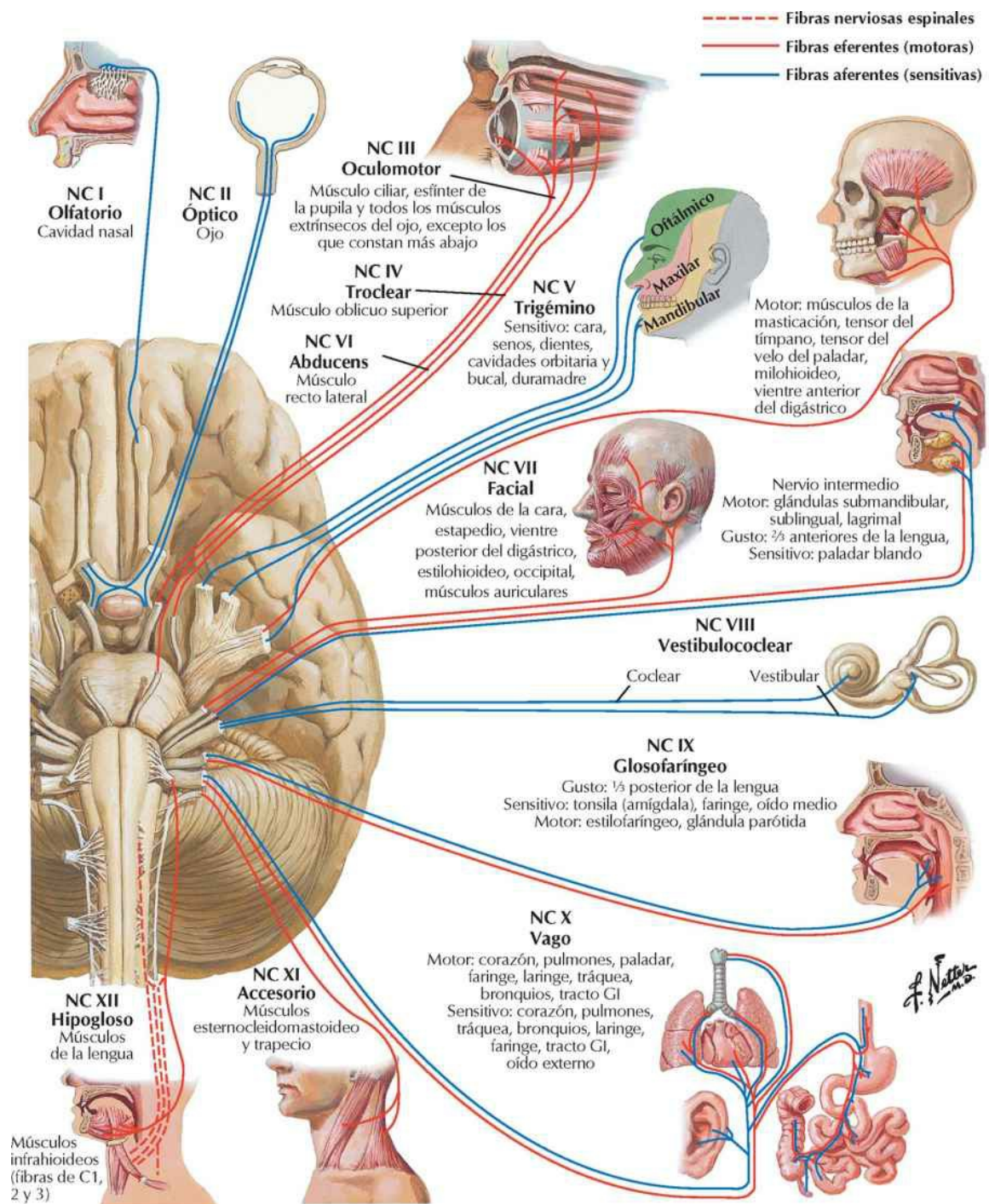
Nervios craneales y cervicales

Núcleos de los nervios craneales en el tronco del encéfalo: esquema



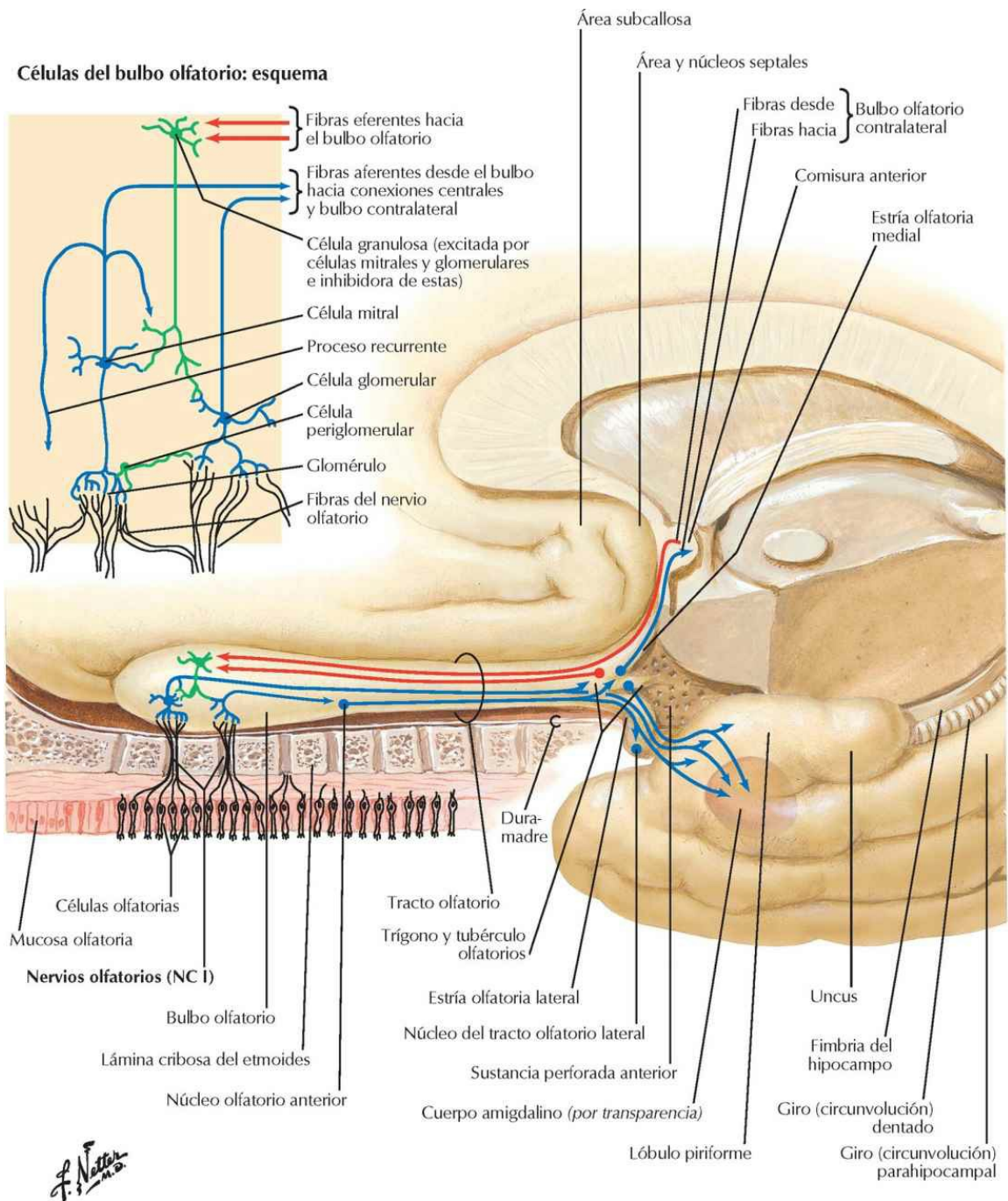


Nervios craneales (distribución motora y sensitiva): esquema

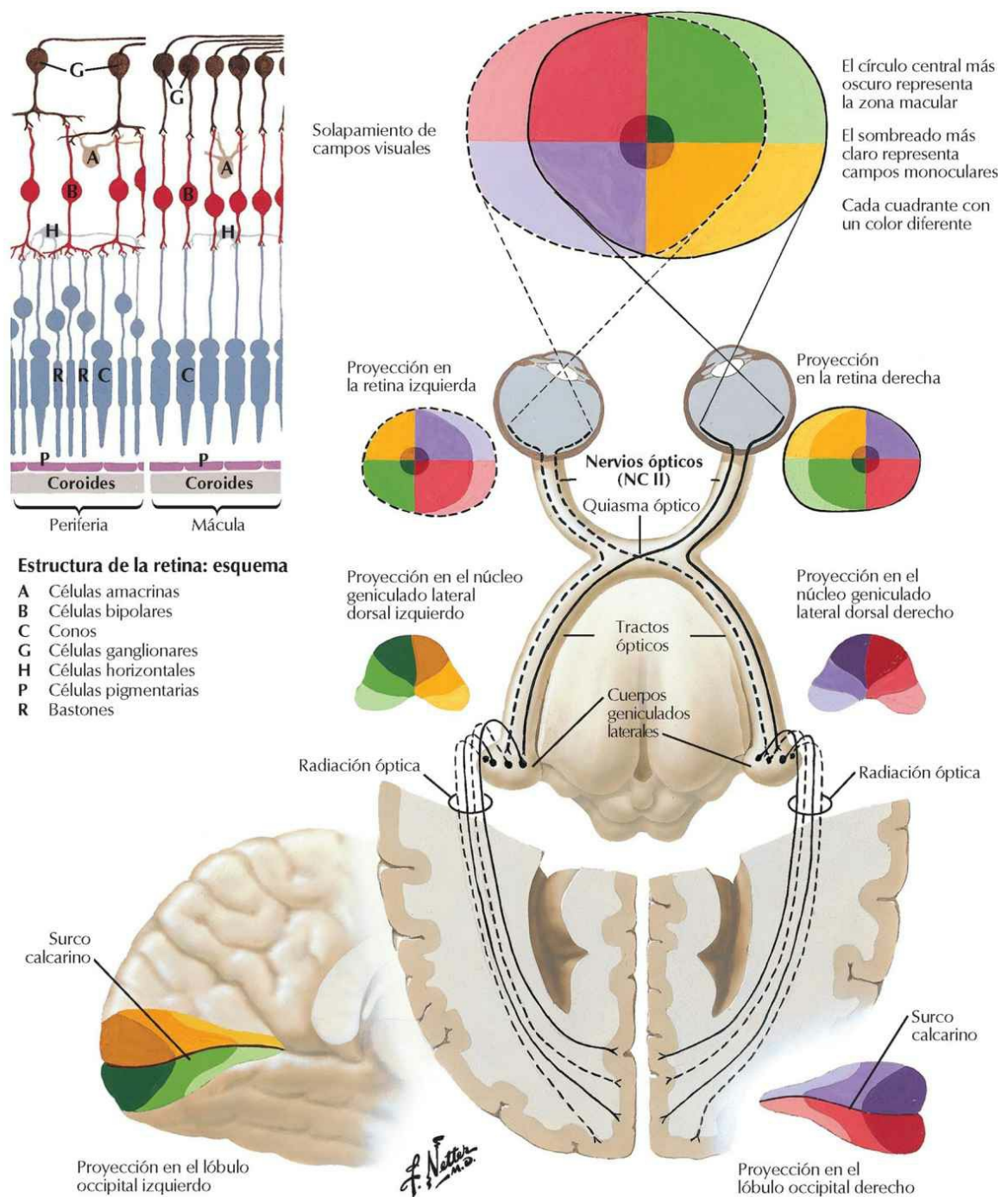


Nervio olfatorio (NC I): esquema

Véase también lámina 46

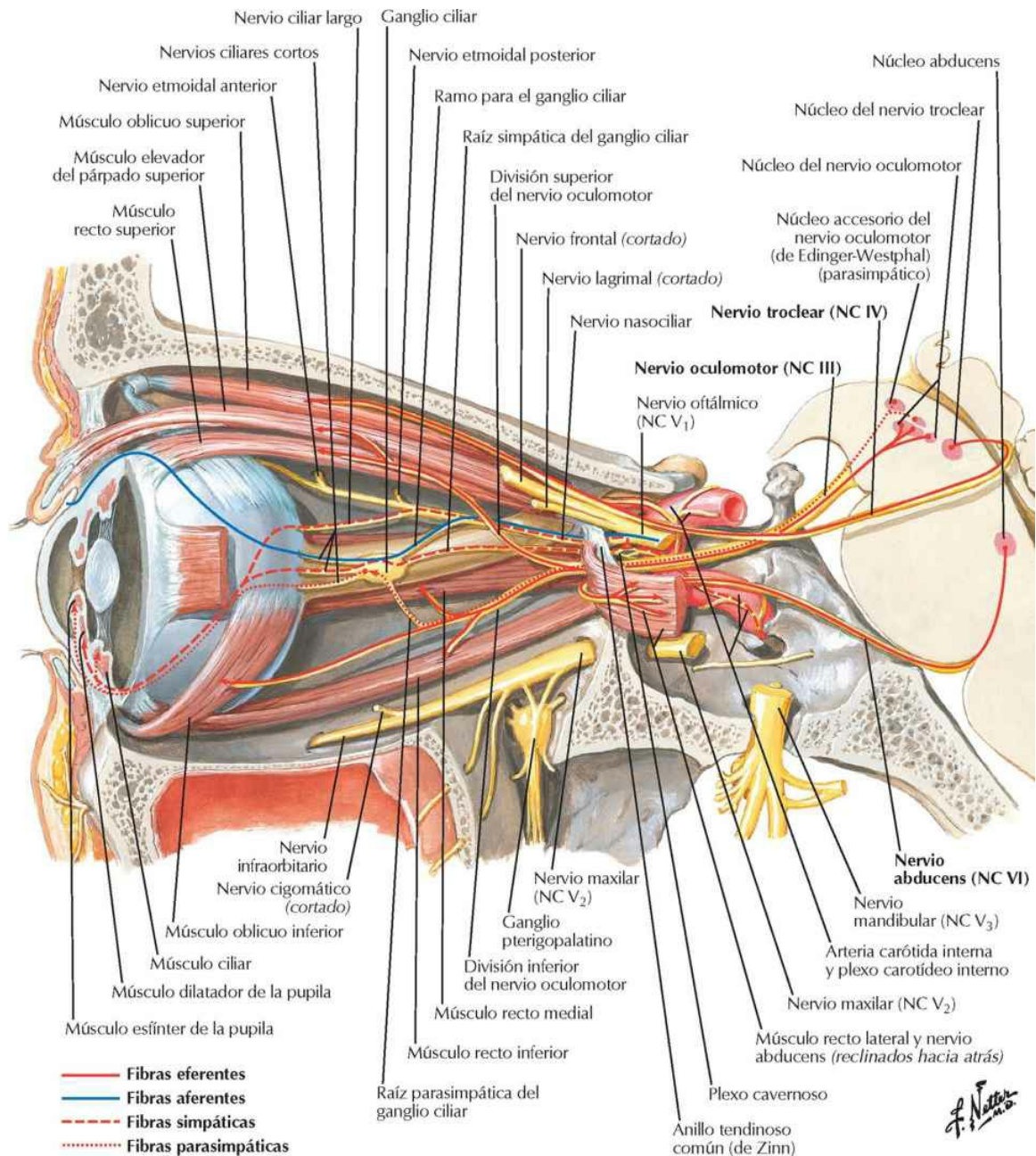


Nervio óptico (NC II) (vía óptica): esquema



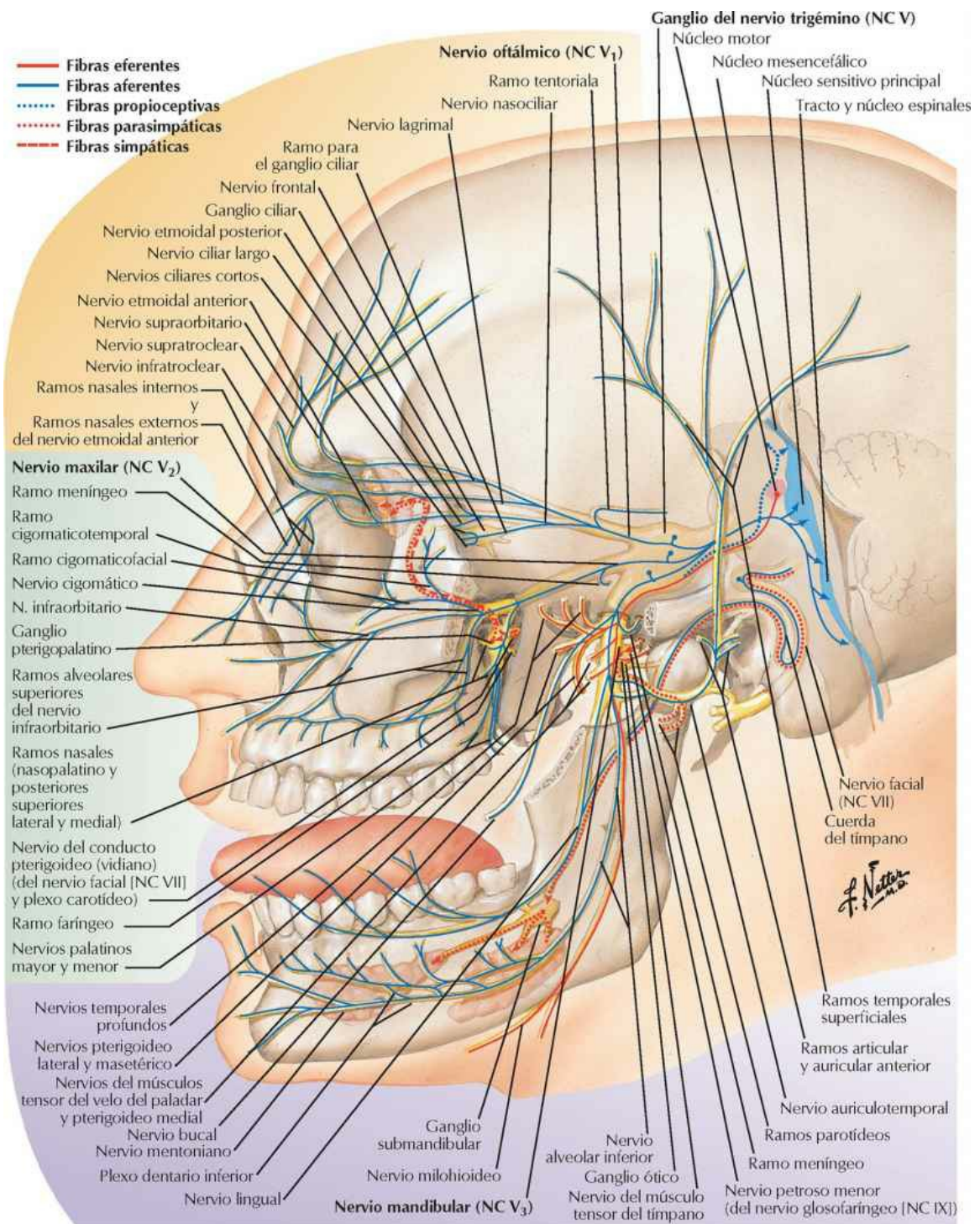
Nervios oculomotor (NC III), troclear (NC IV) y abducens (NC VI): esquema

Véanse también láminas 97, 143



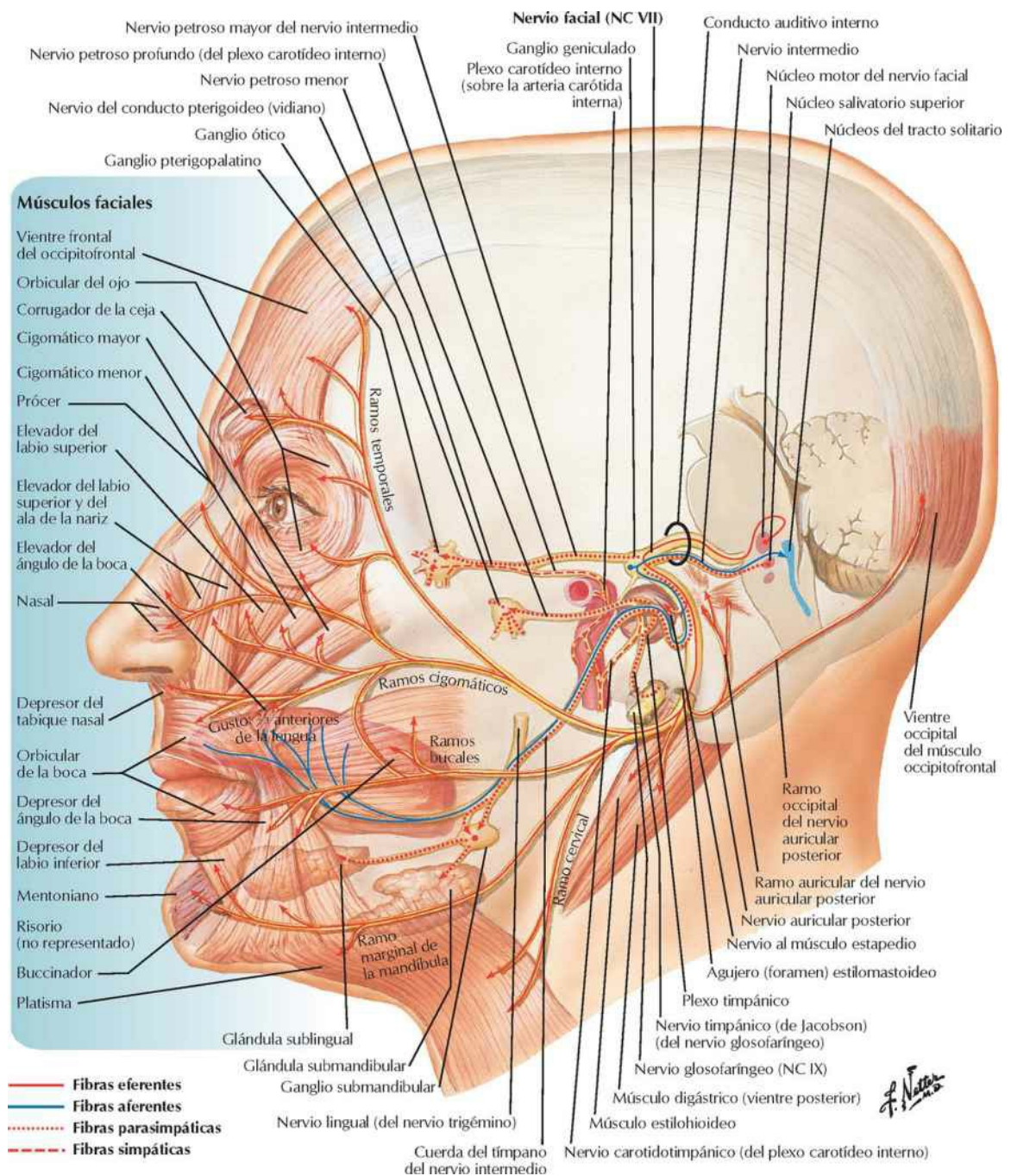
Nervio trigémino (NC V): esquema

Véanse también láminas 9, 59, 61

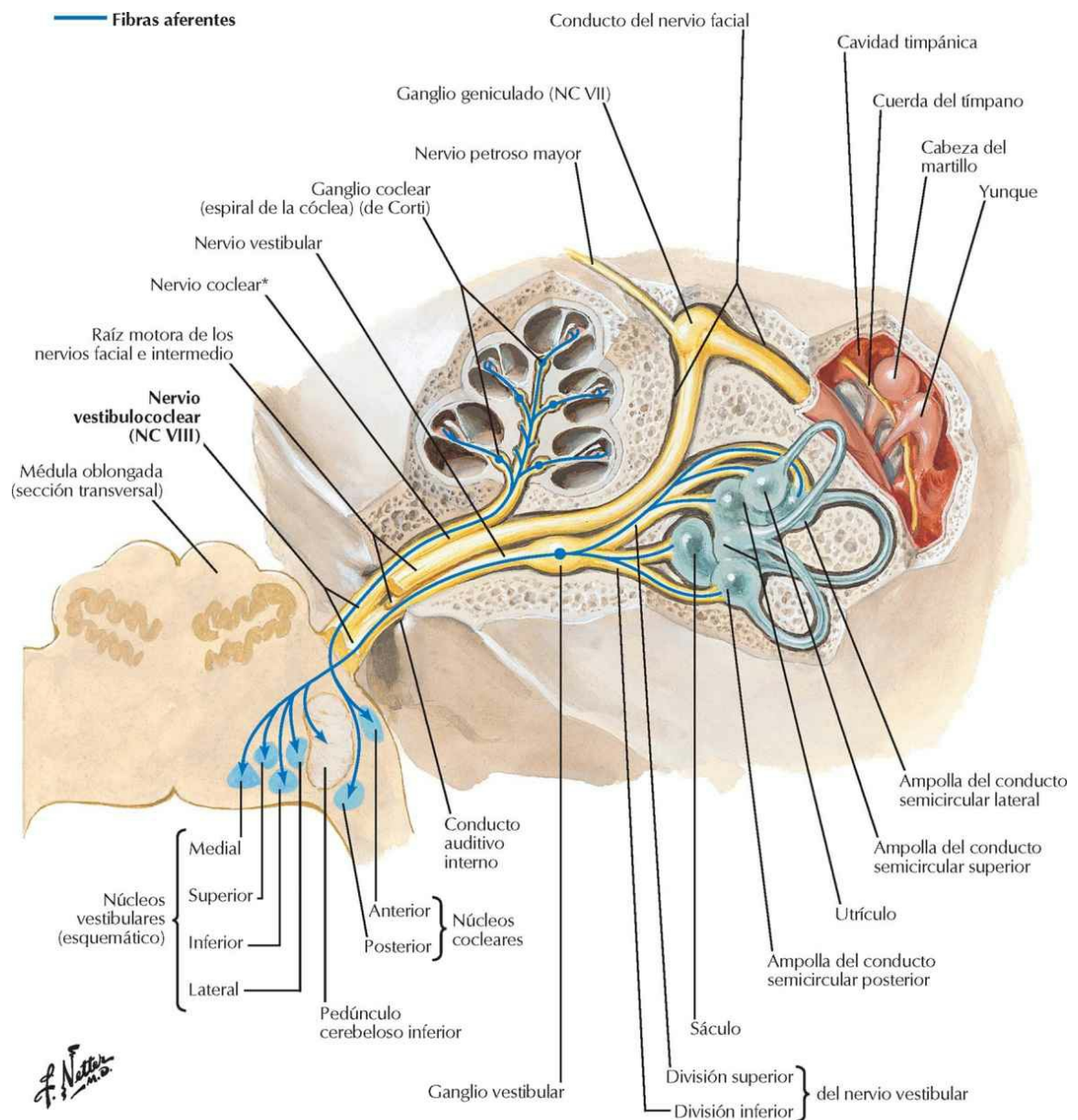


Nervio facial (NC VII): esquema

Véase también lámina 54

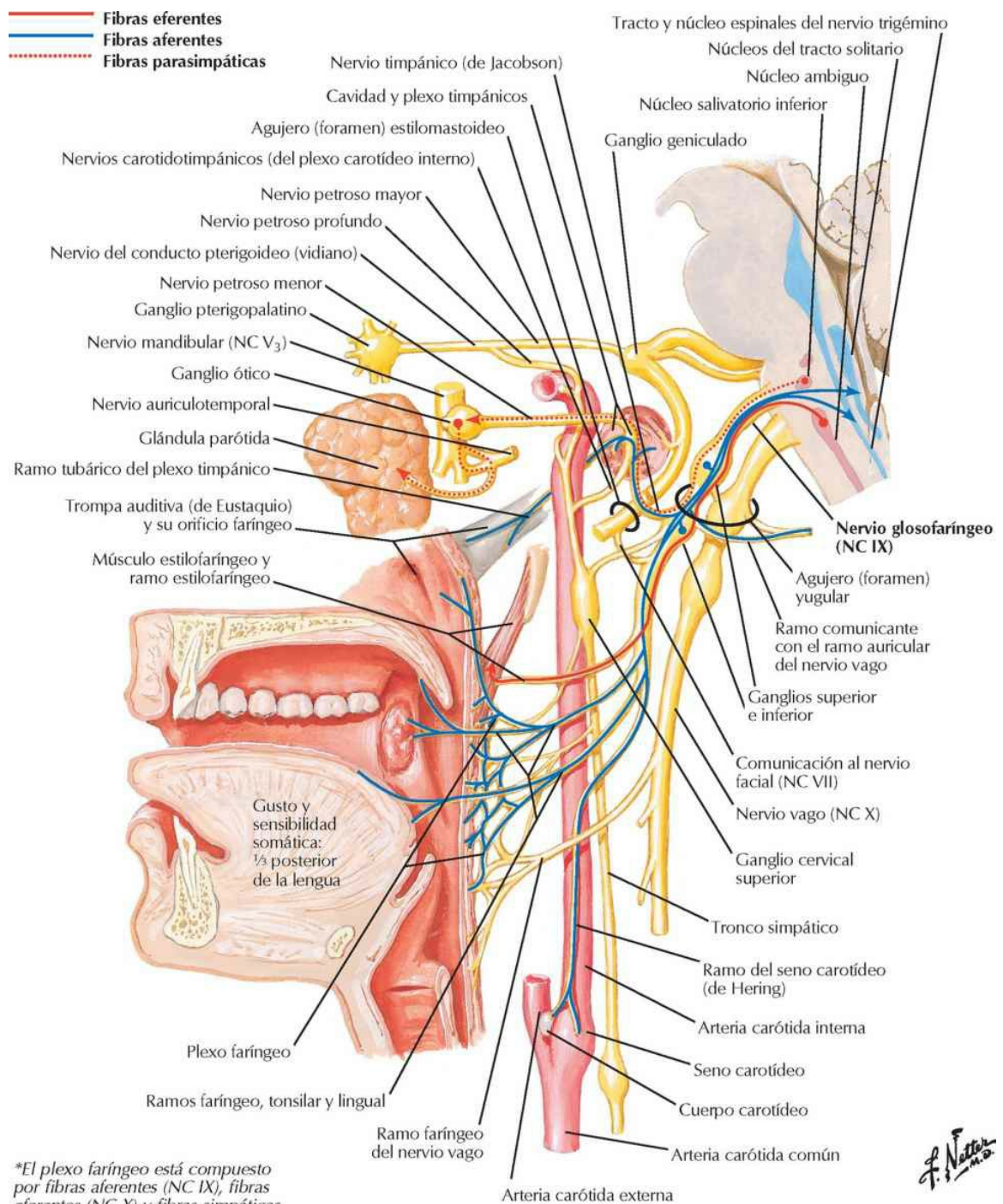


Nervio vestibulococlear (NC VIII): esquema

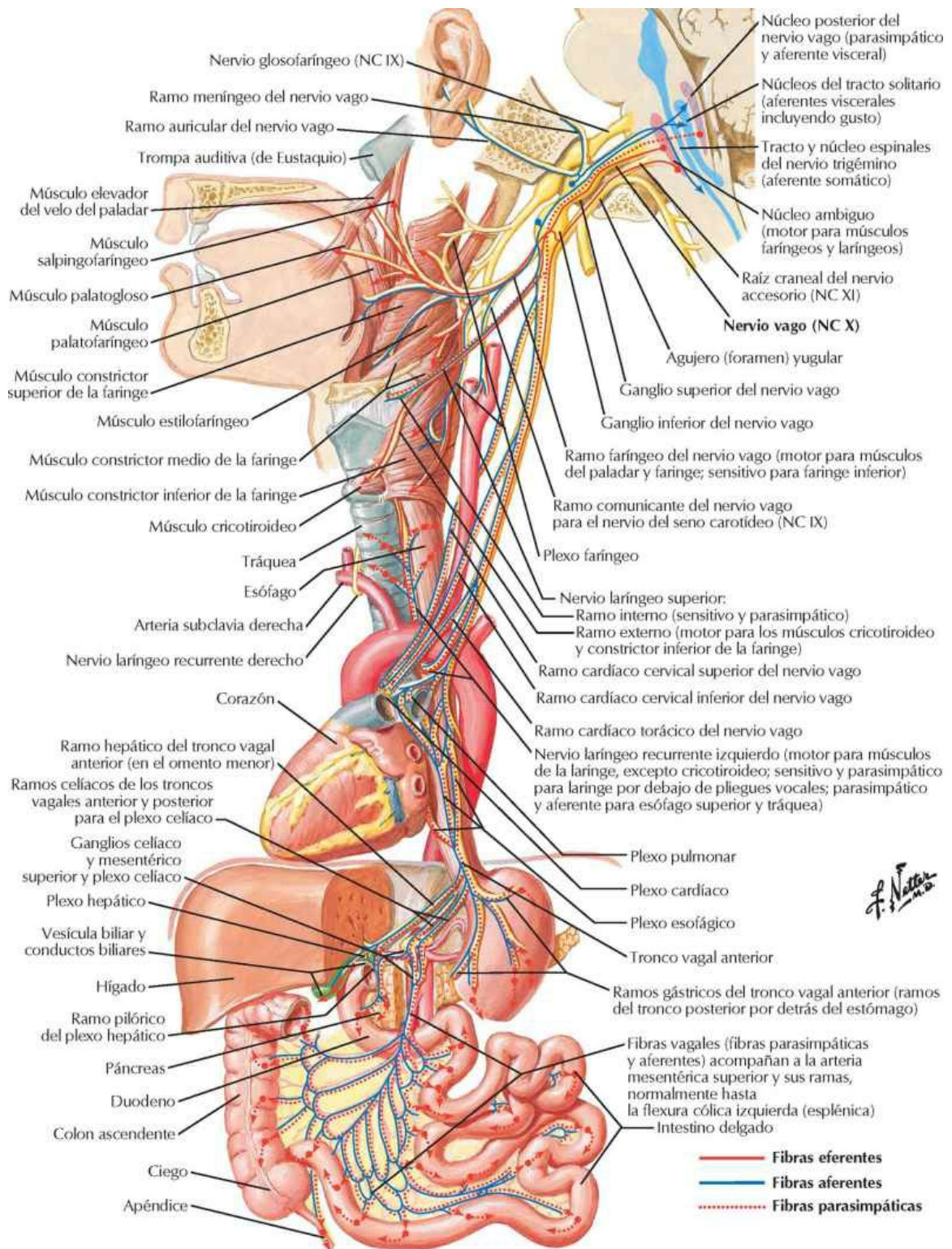


*Nota: El nervio coclear también contiene fibras eferentes para el epitelio sensorial. Estas fibras derivan del nervio vestibular cuando pasa por el conducto auditivo interno.

Nervio glossofaríngeo (NC IX): esquema

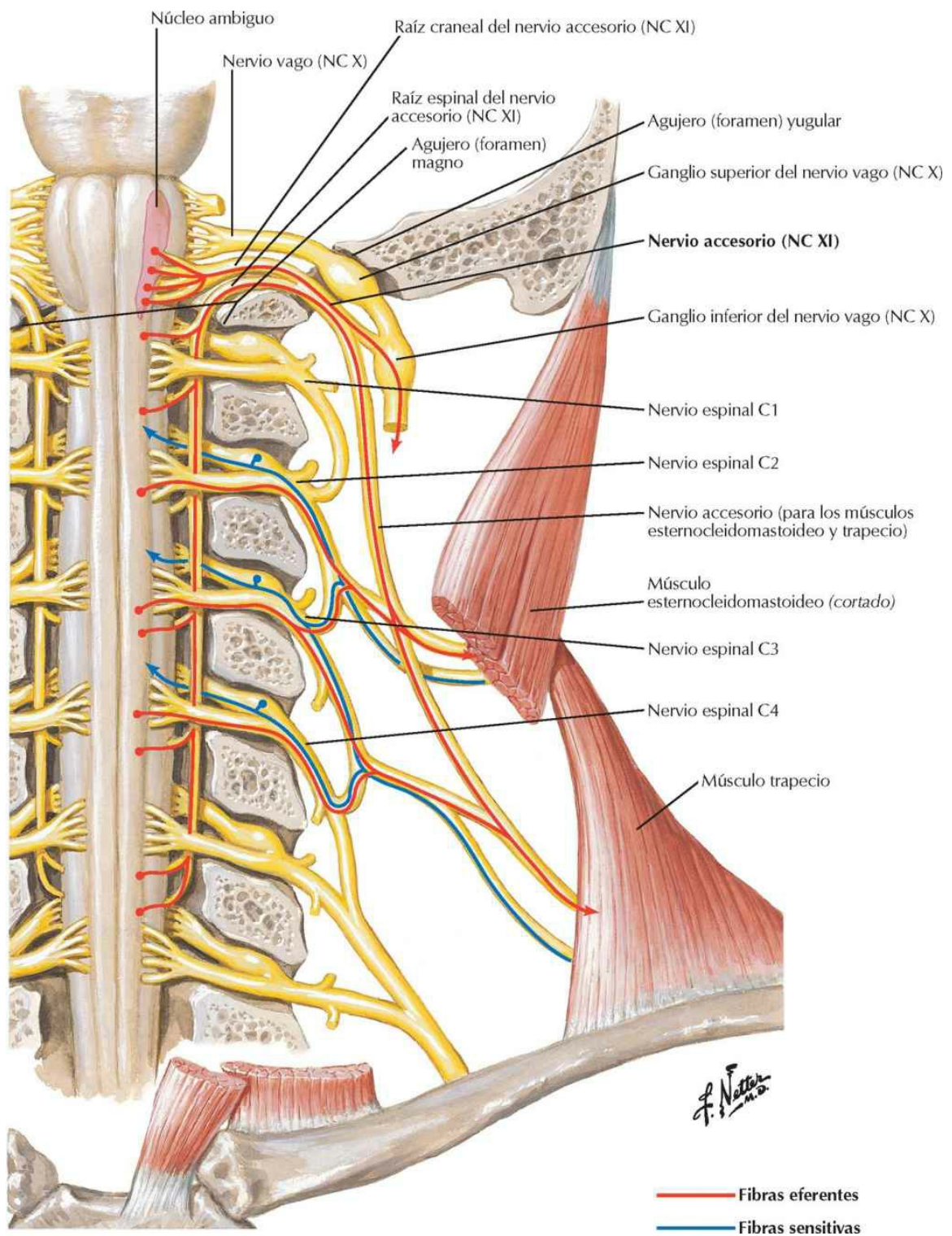


Nervio vago (NC X): esquema



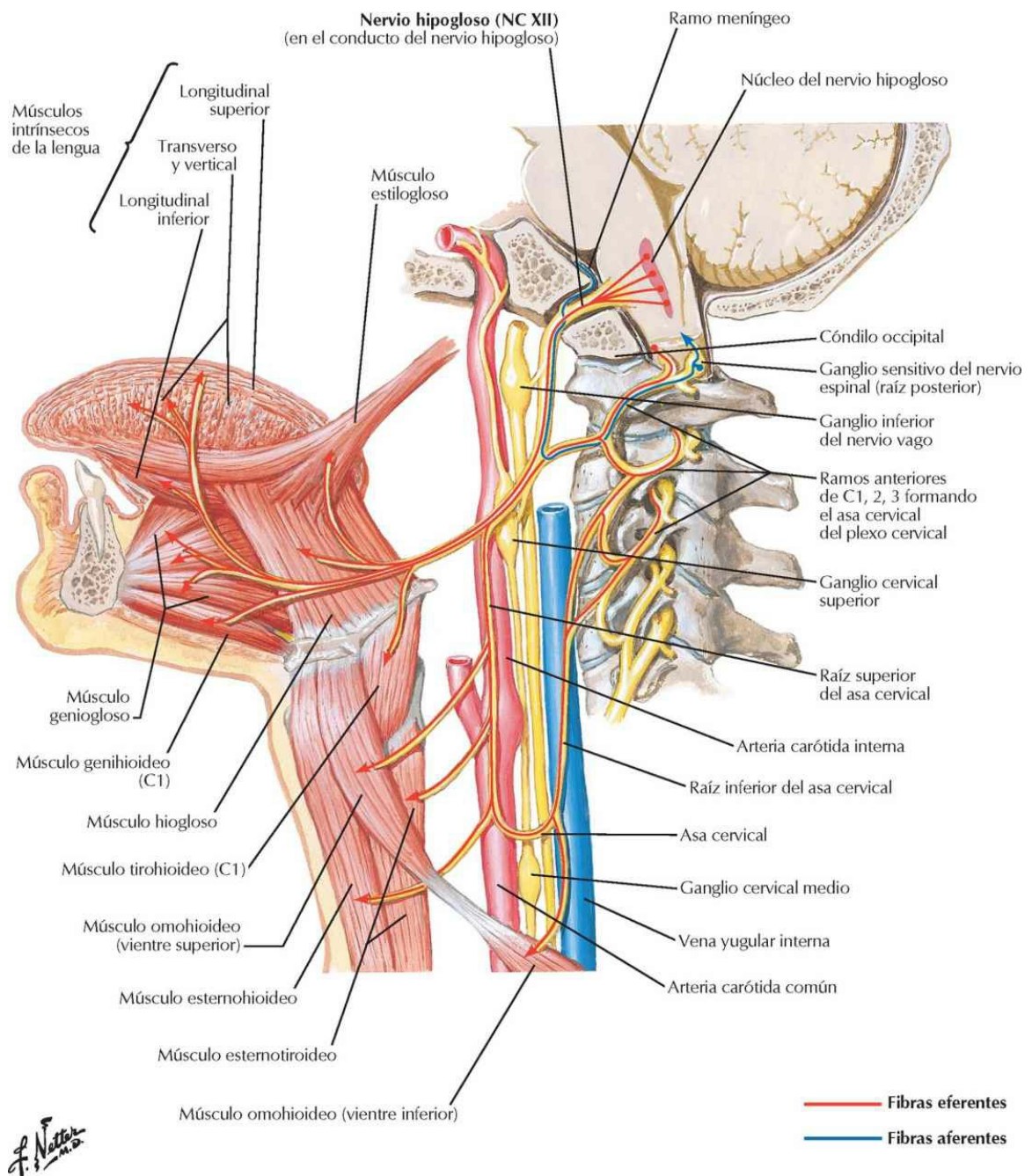
Nervio accesorio (NC XI): esquema

Véase también lámina 39



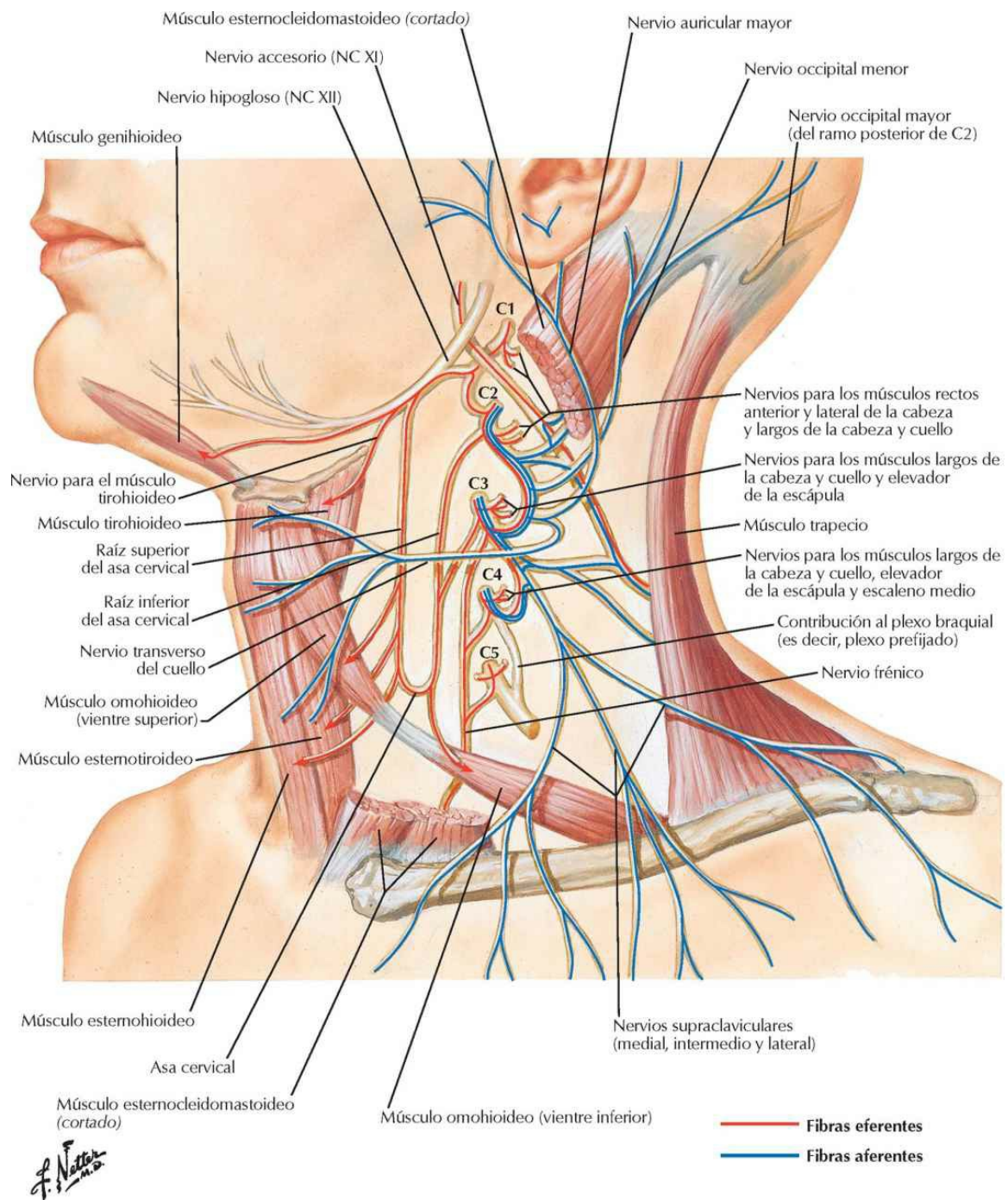
Nervio hipogloso (NC XII): esquema

Véase también lámina 39



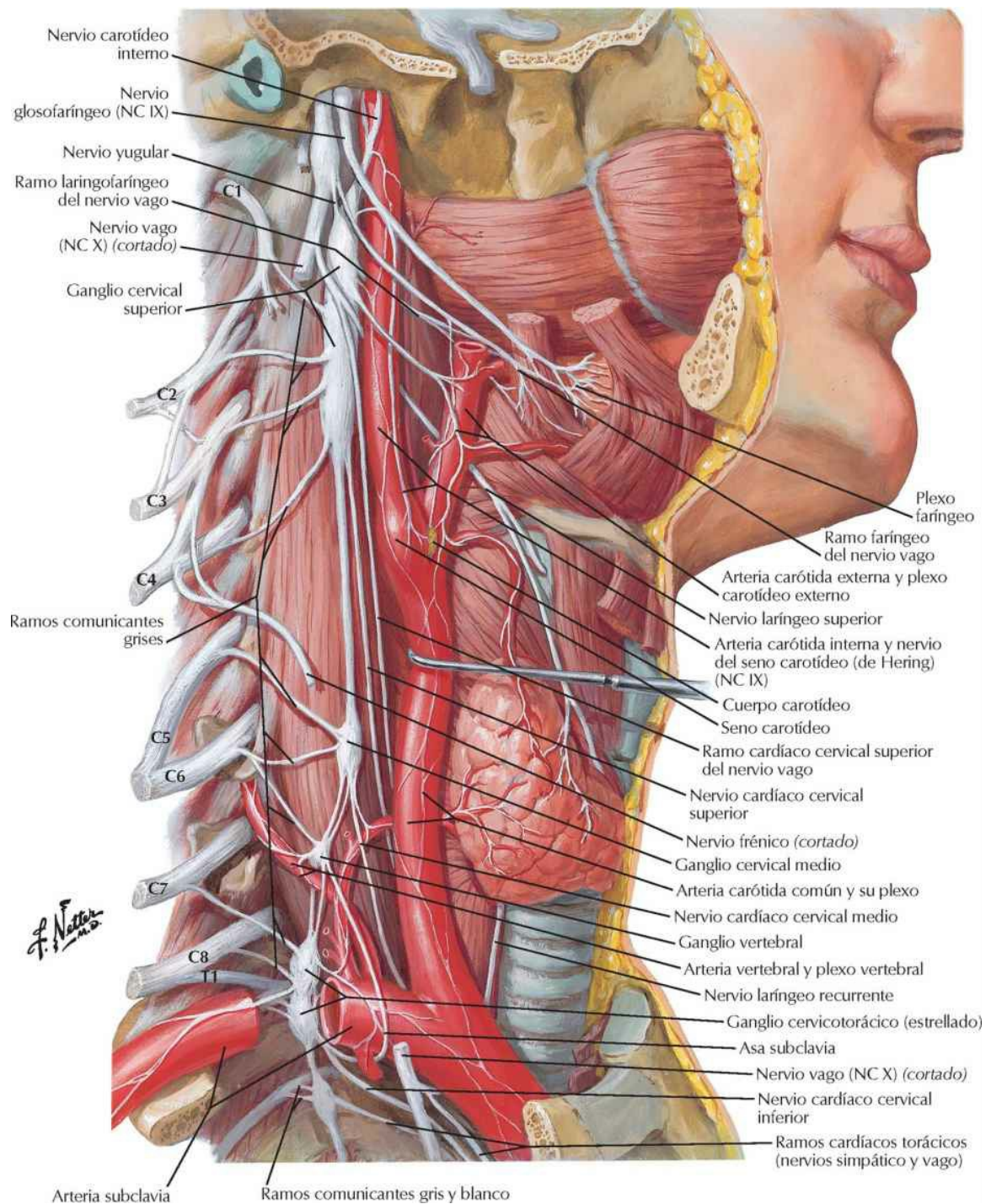
Plexo cervical: esquema

Véanse también láminas 39, 40



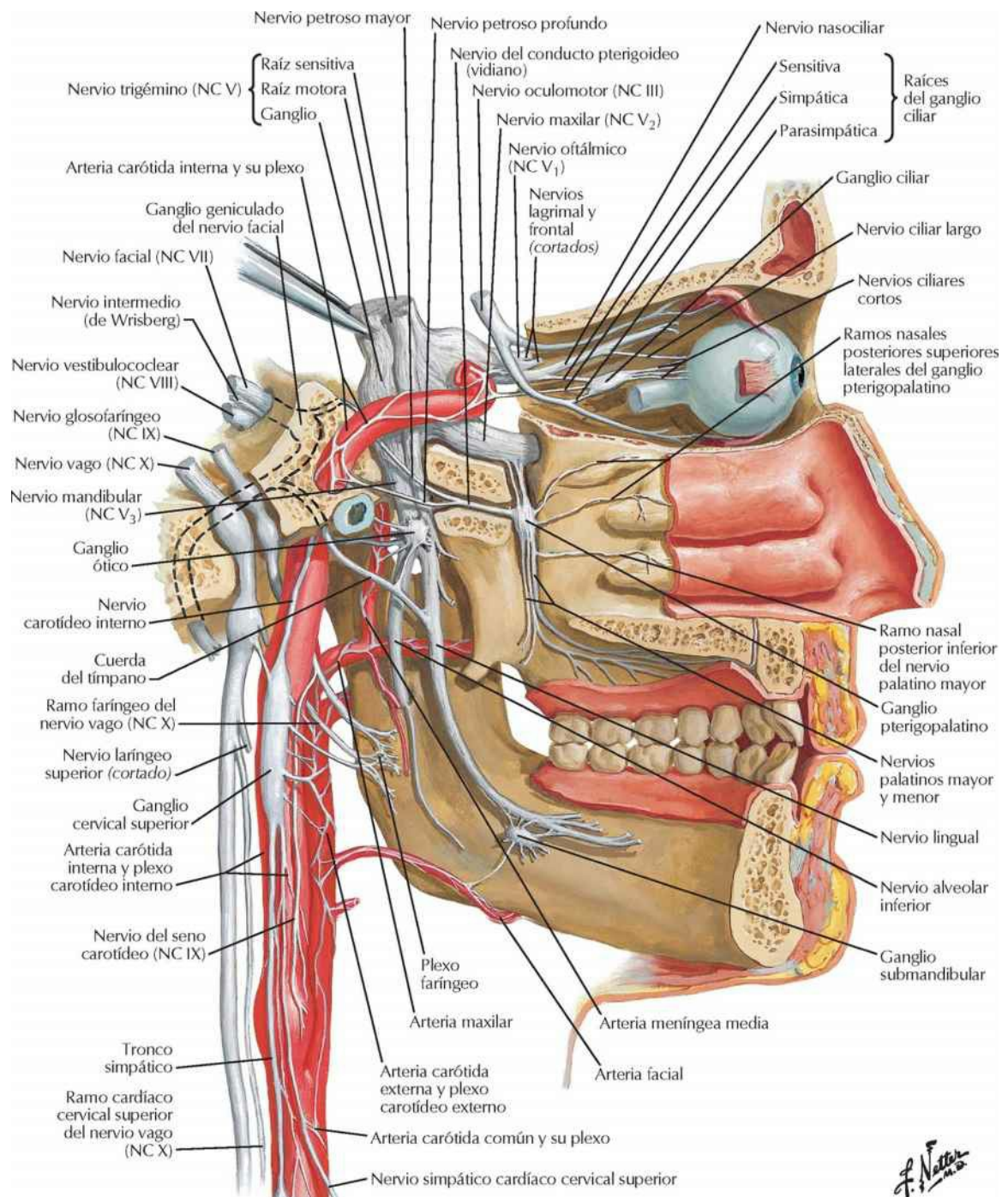
Nervios autónomos en el cuello

Véase también lámina 136



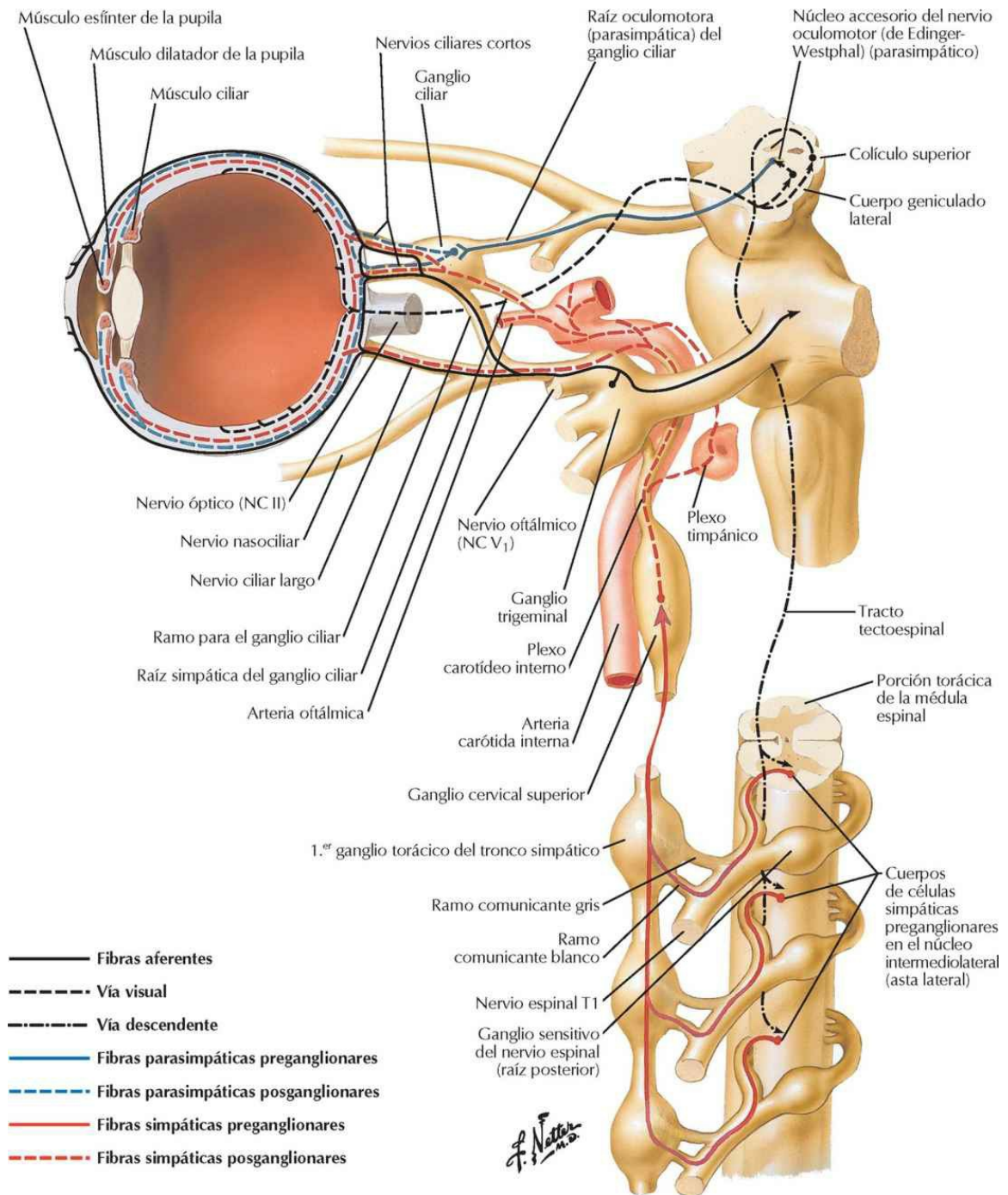
Nervios autónomos en la cabeza

Véanse también láminas 62, 133, 144



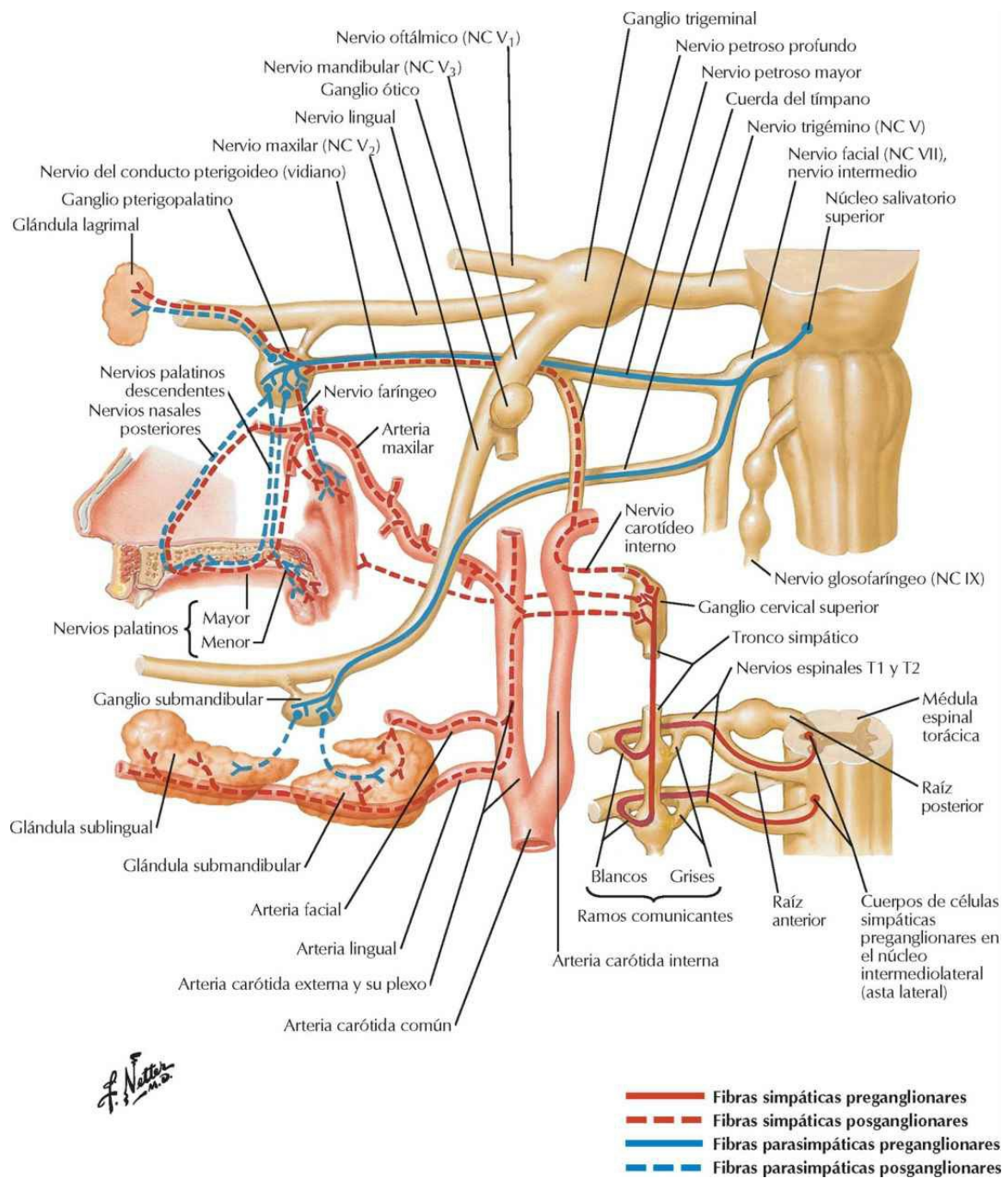
Ganglio ciliar: esquema

Véase también lámina 62

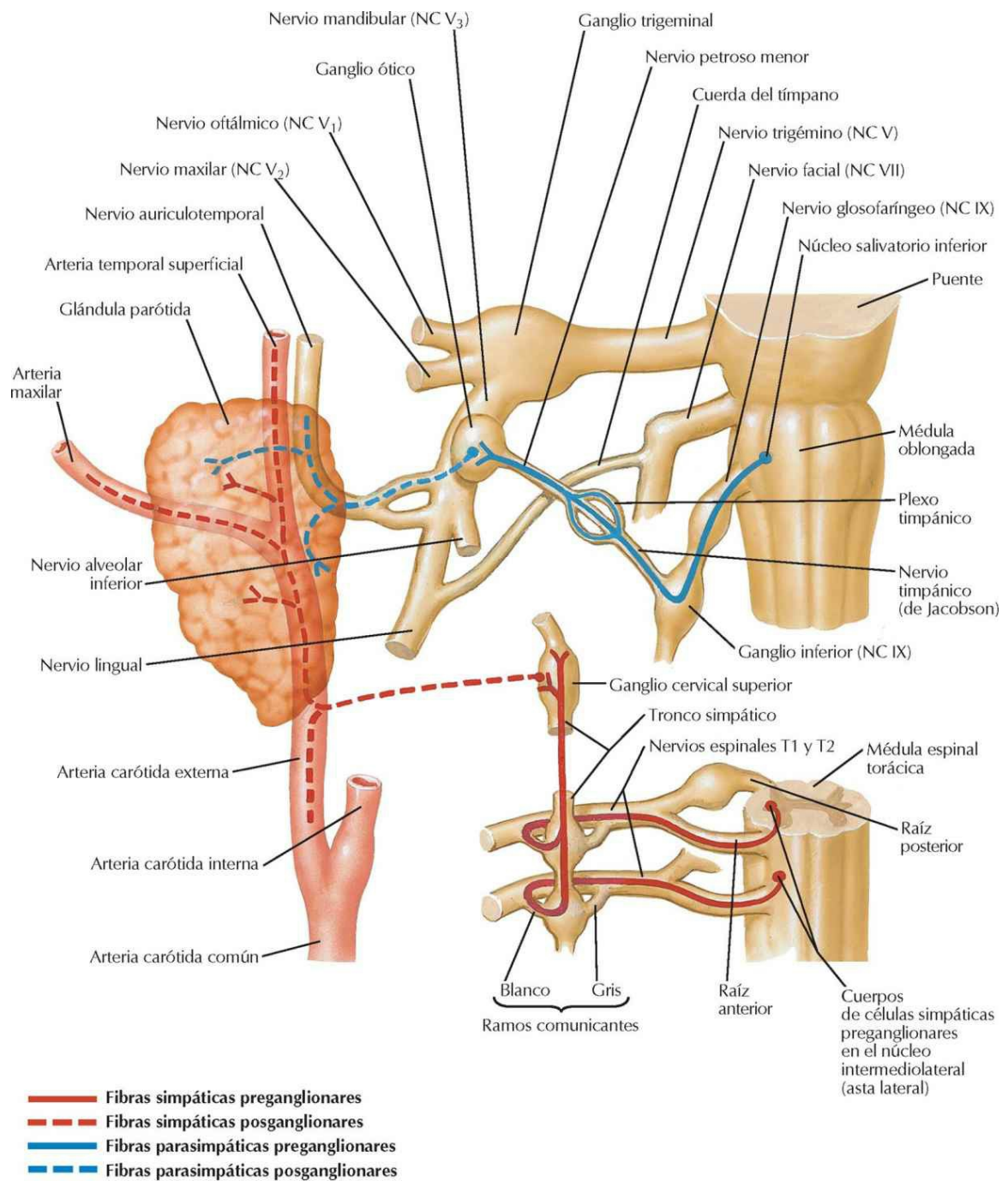


Ganglios pterigopalatino y submandibular: esquema

Véase también lámina 95



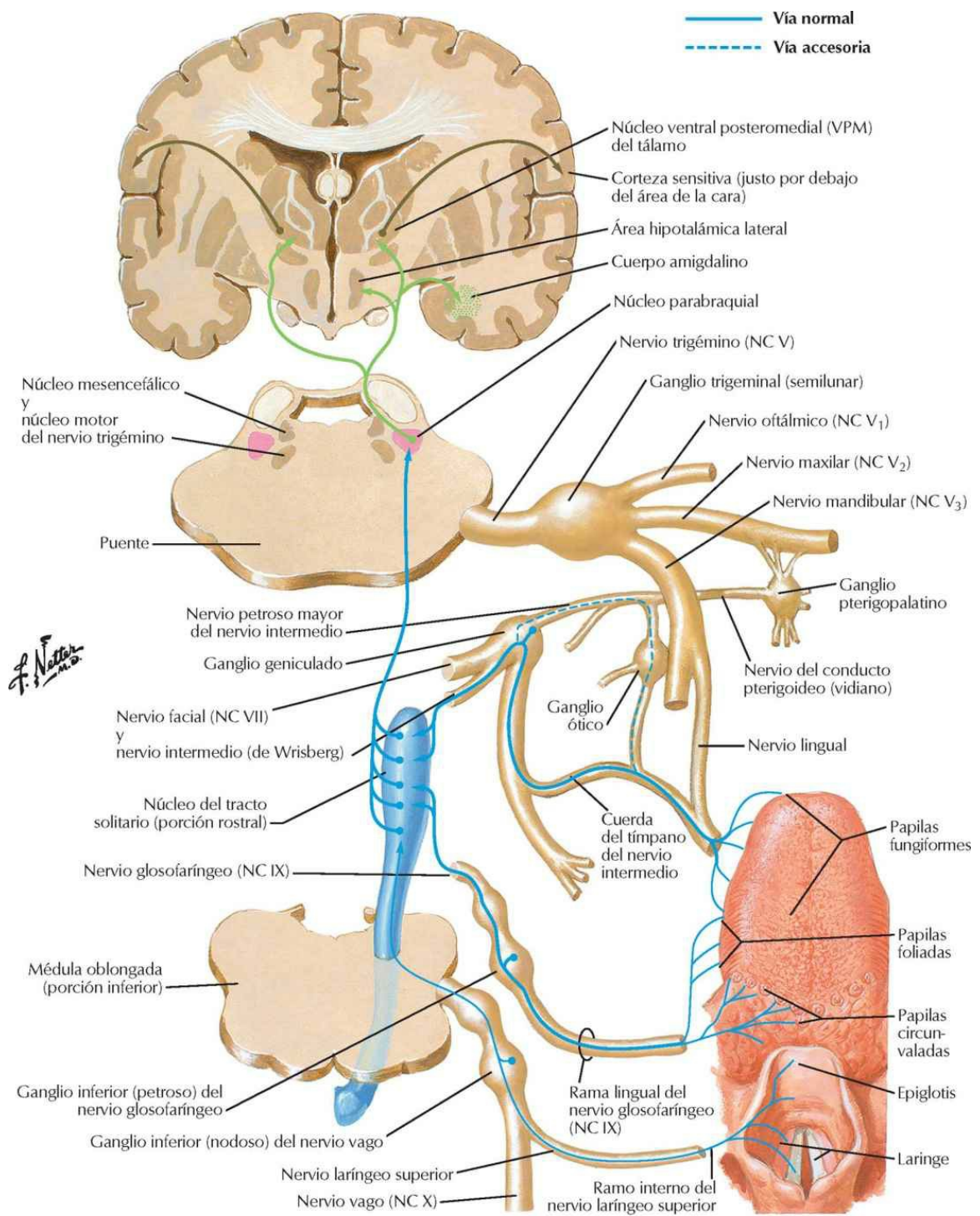
Ganglio ótico: esquema



F. Netter M.D.

Vías gustativas: esquema

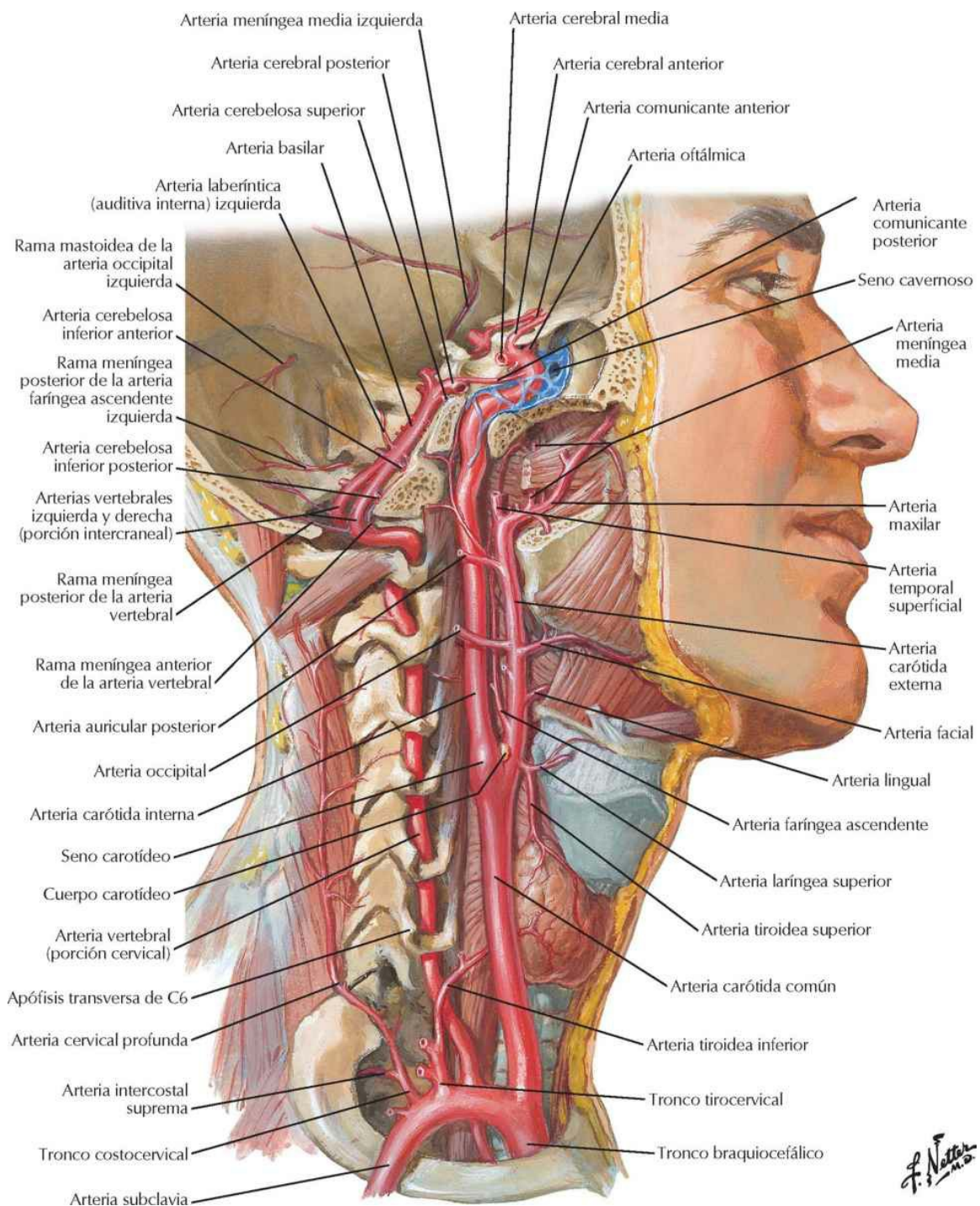
Véanse también láminas 134, 136



Vasculatura cerebral

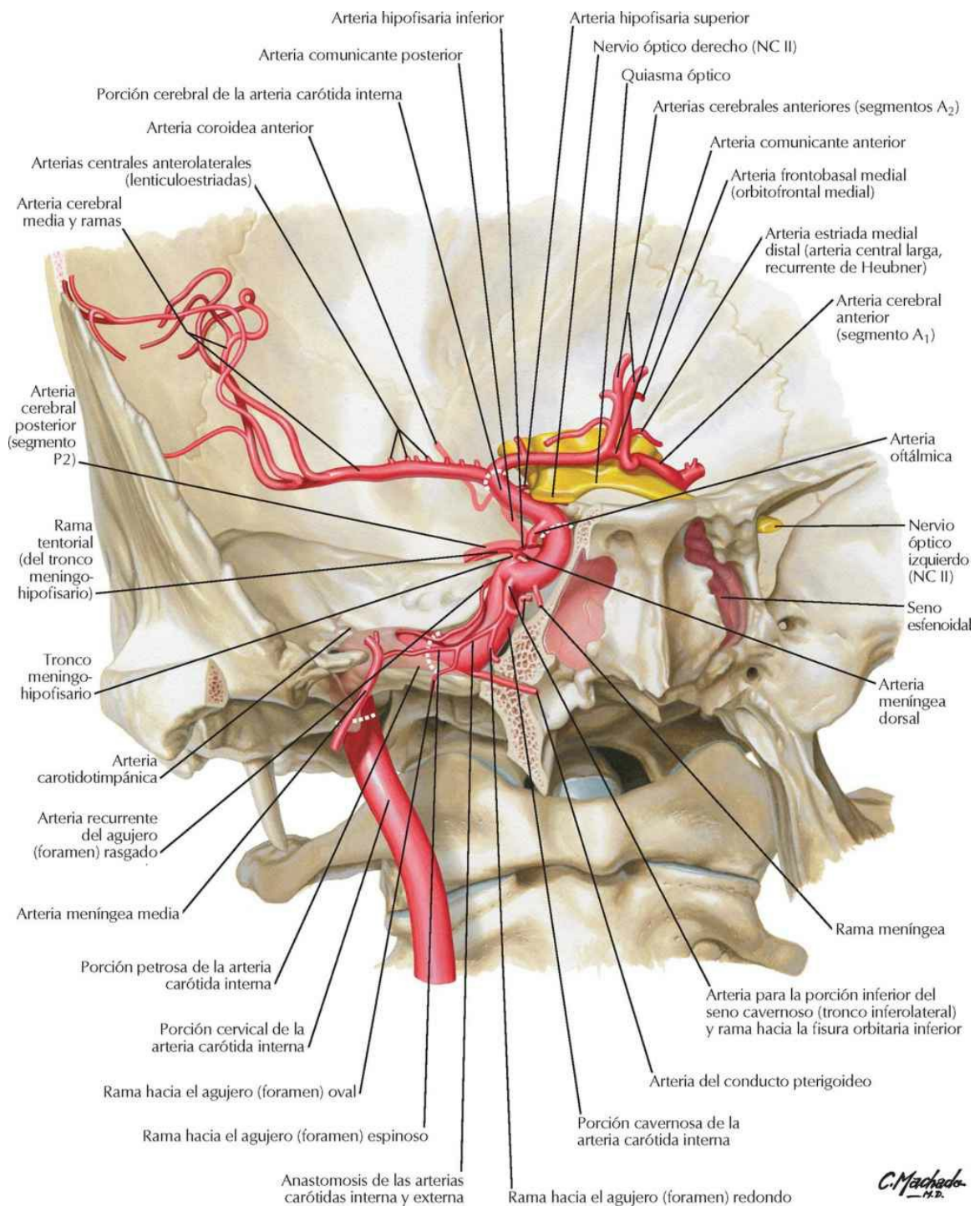
Arterias del encéfalo y meninges

Véanse también láminas 41, 64, 148

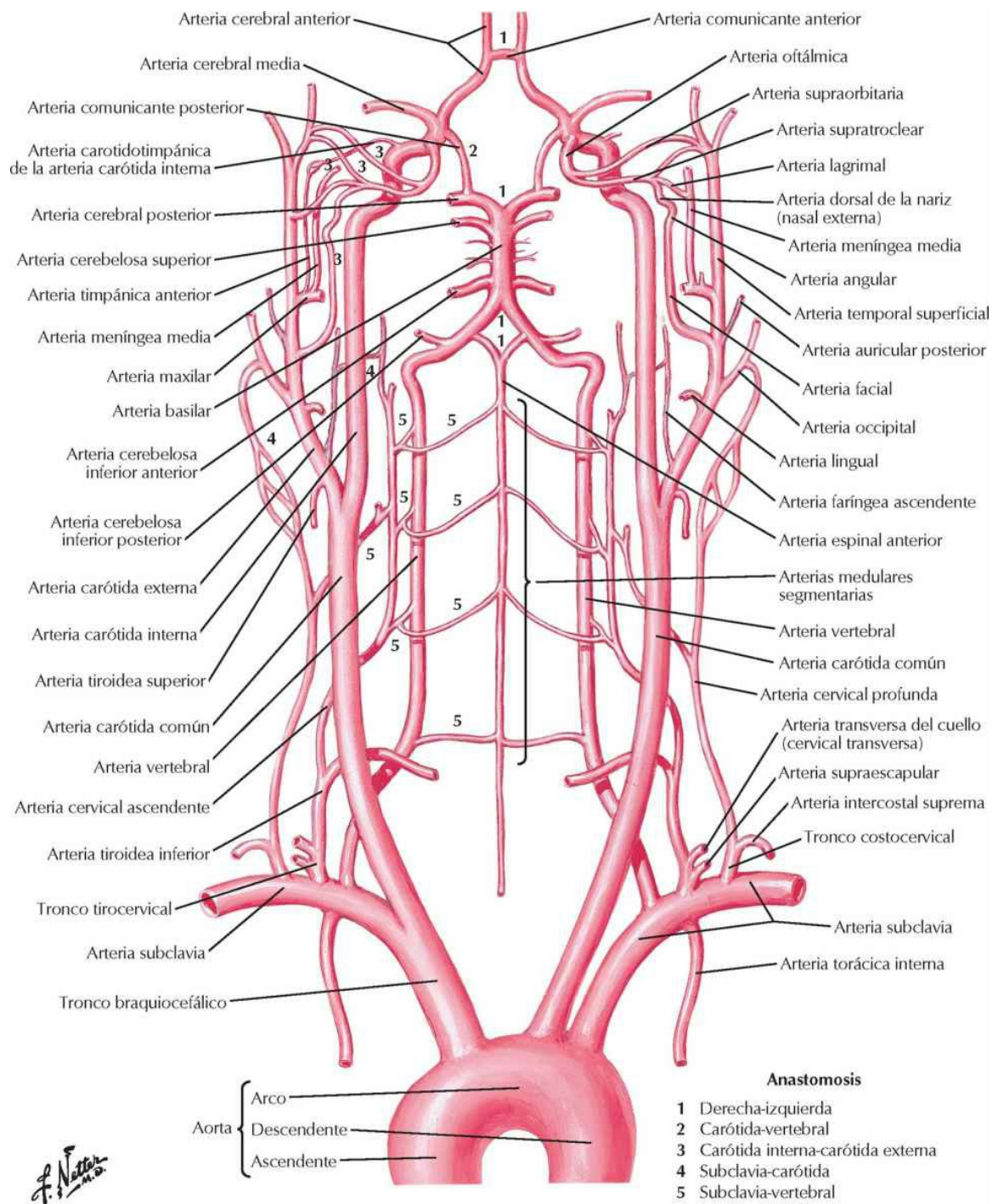


Arteria carótida interna en la porción petrosa del temporal

Véanse también láminas 147, 150

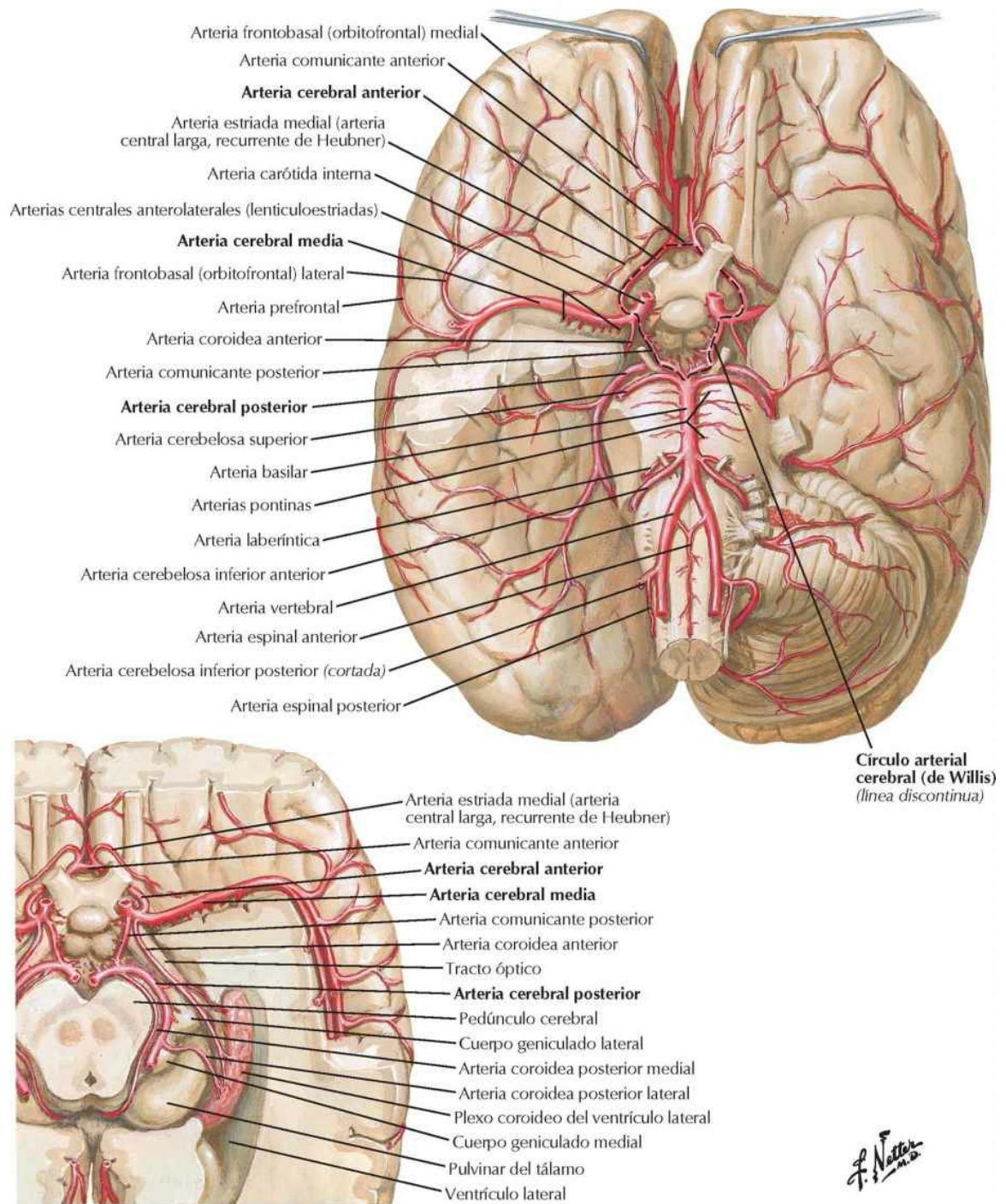


Arterias del encéfalo: esquema



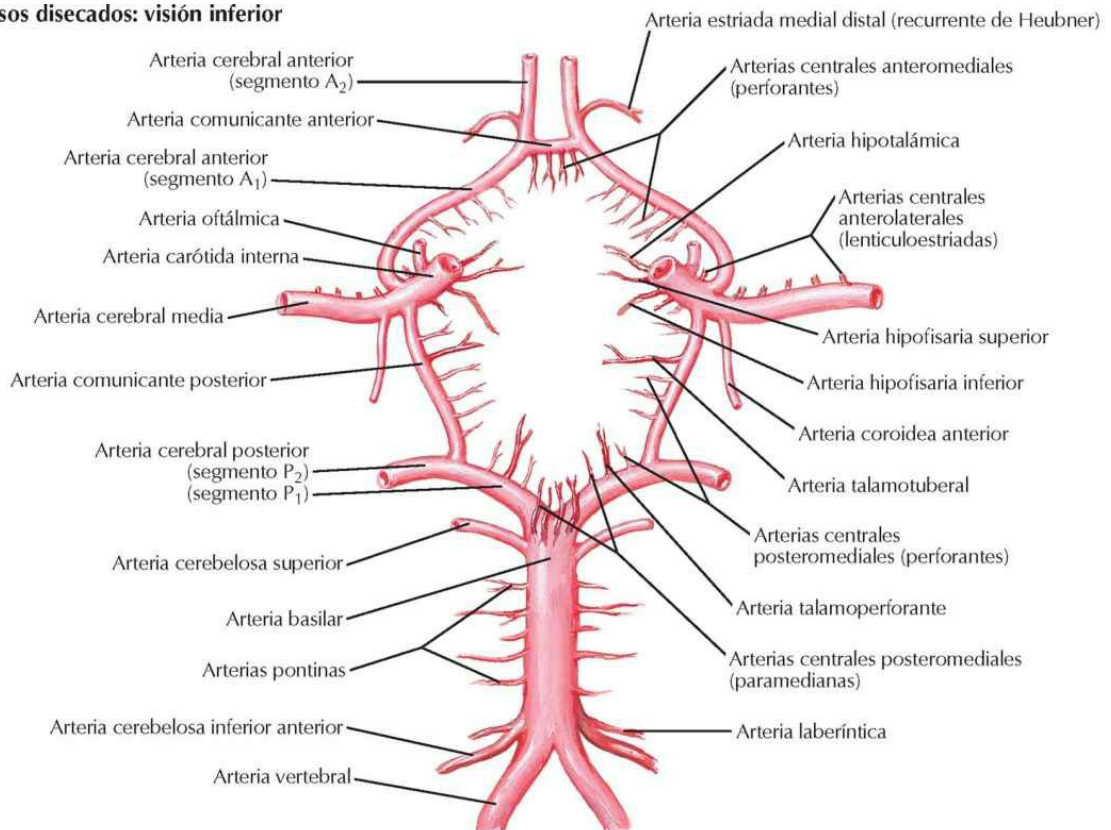
Arterias del encéfalo: visiones inferiores

Véase también lámina 148

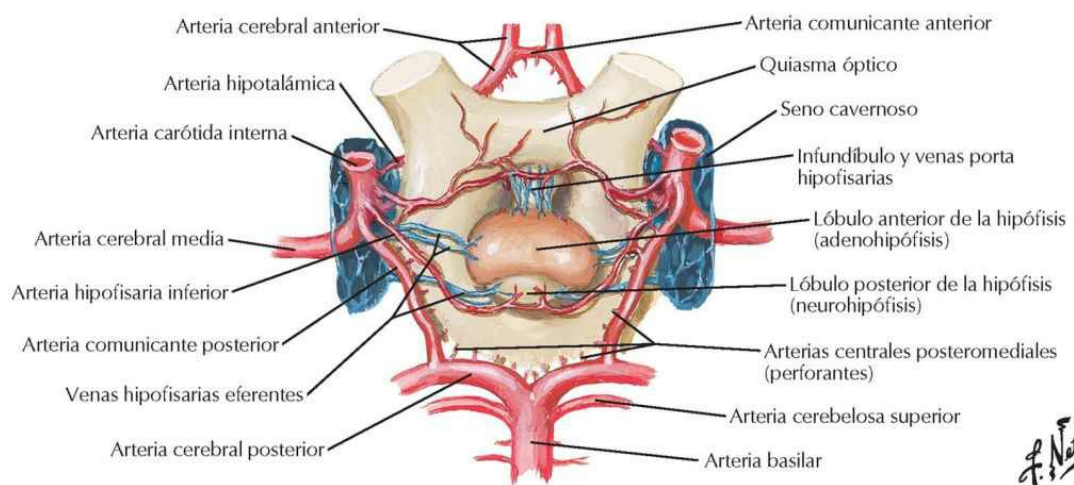


Círculo arterial cerebral (de Willis)

Vasos disecados: visión inferior

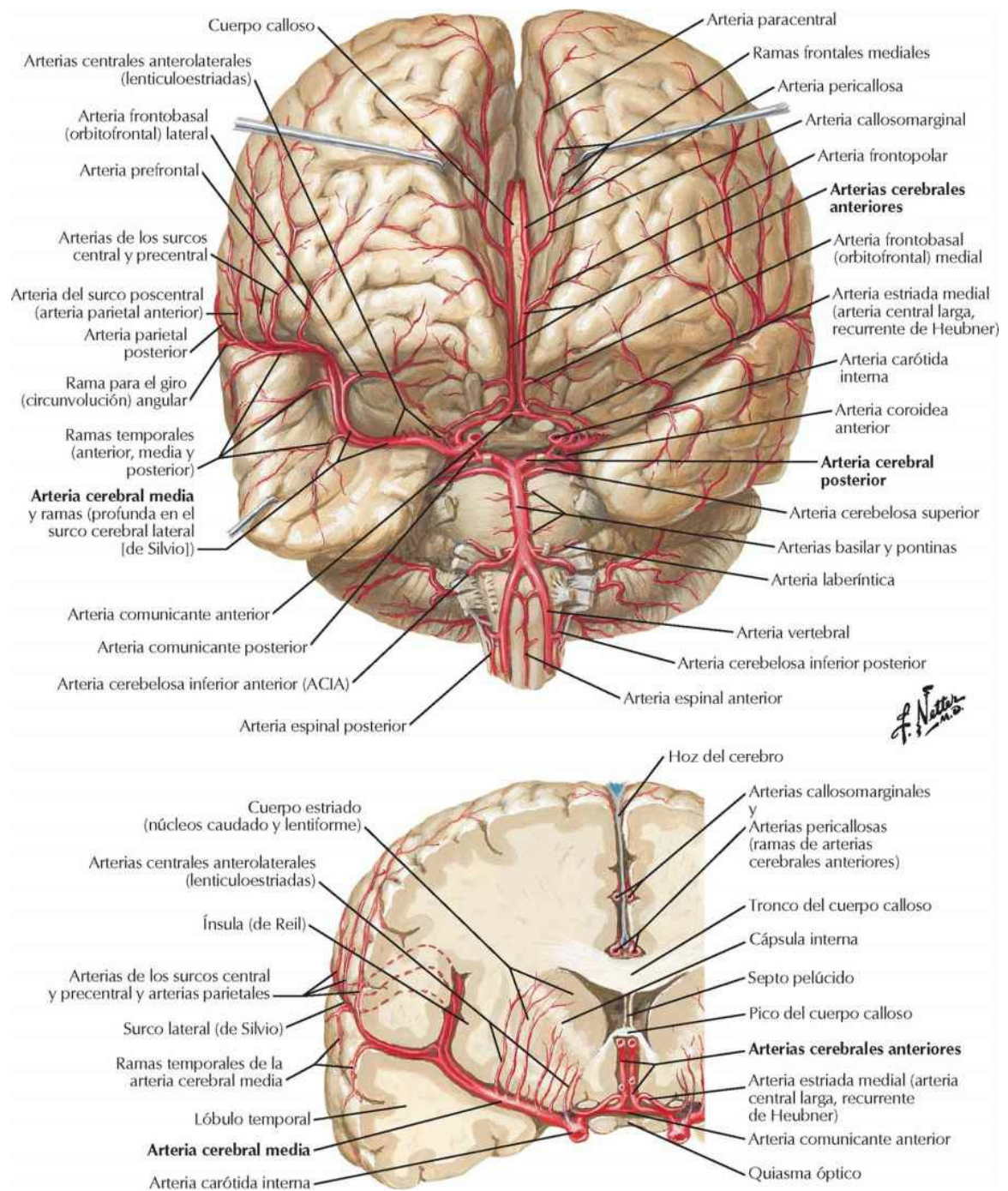


Vasos *in situ*: visión inferior

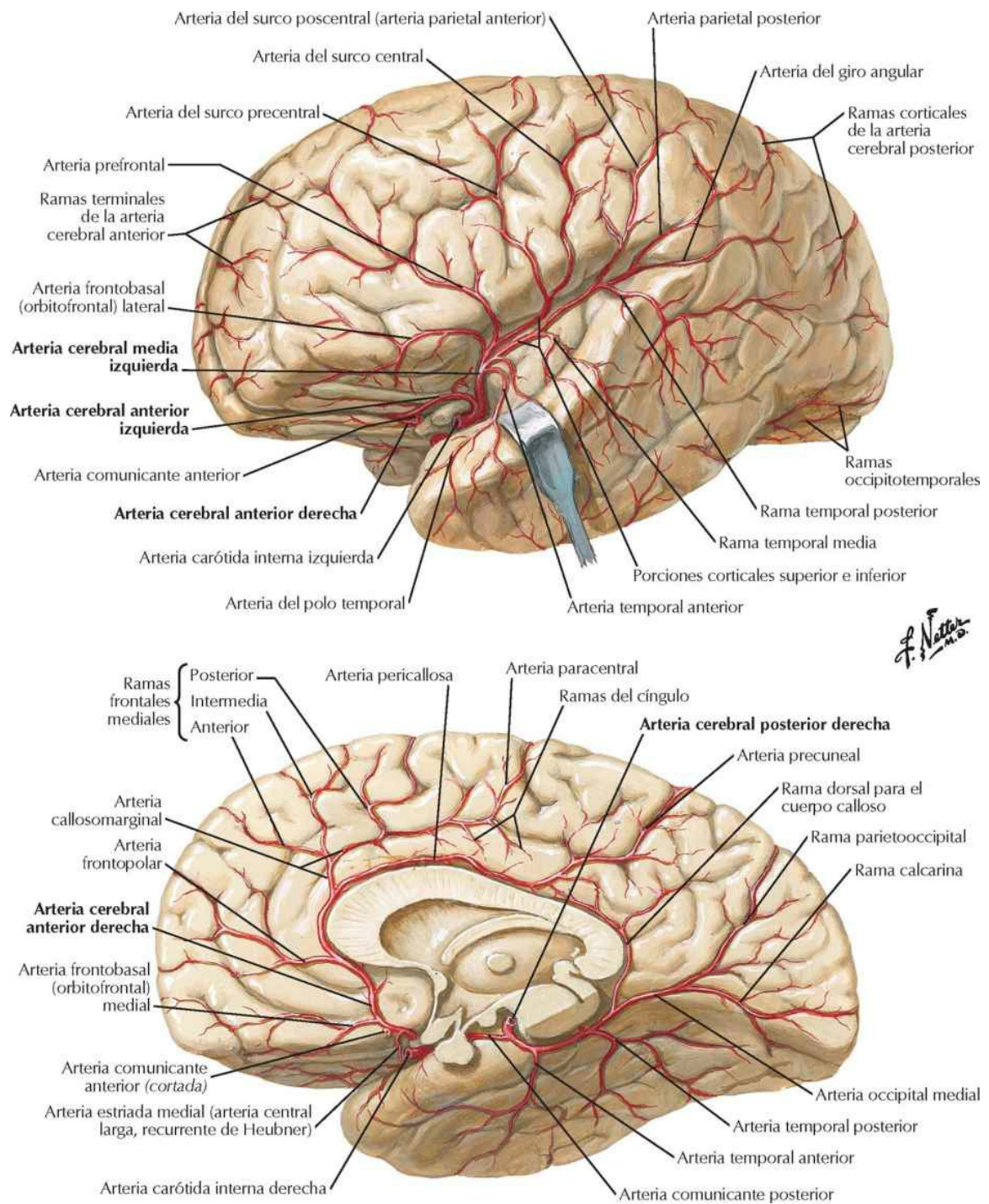


F. Netter M.D.

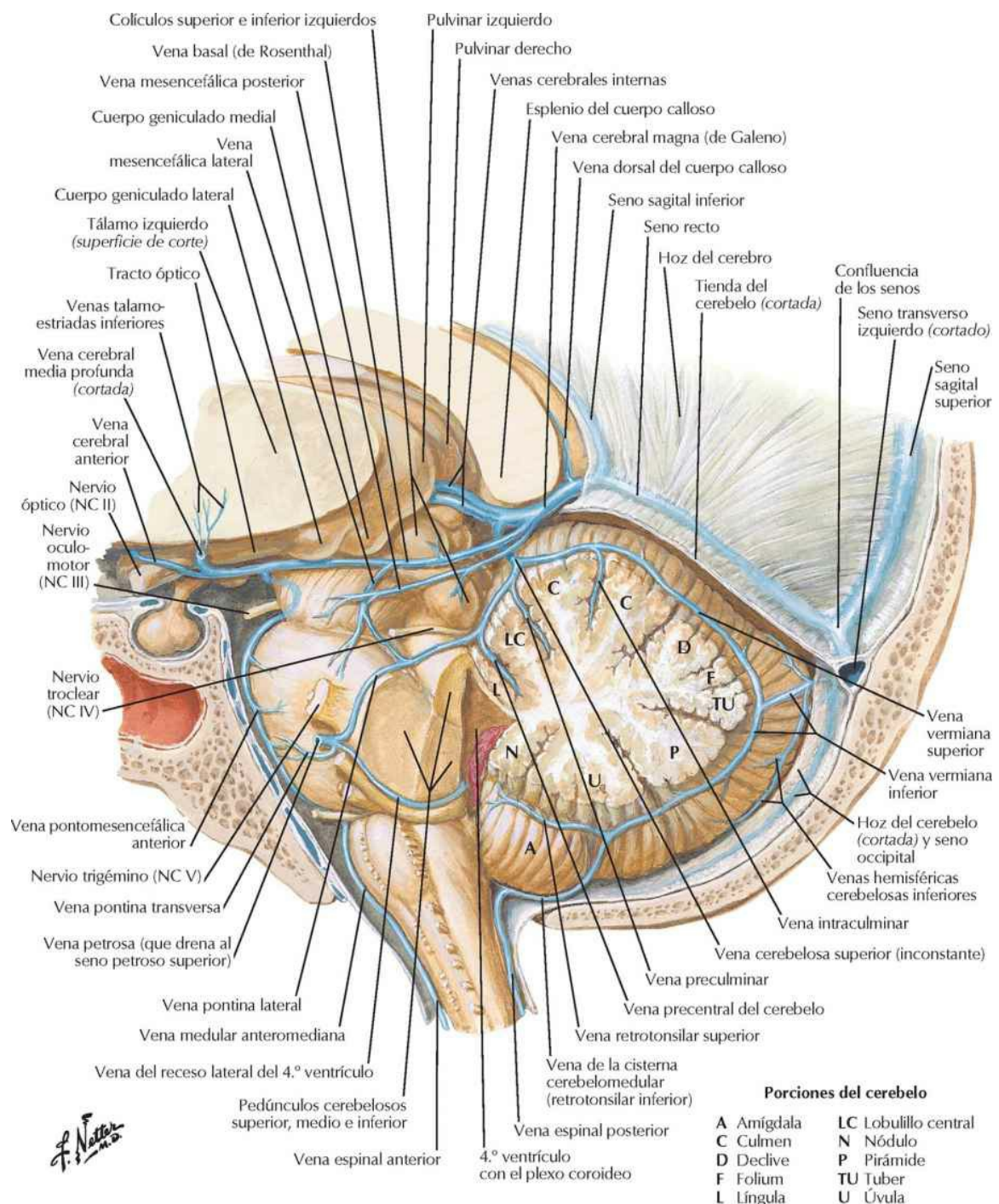
Arterias del encéfalo: visión y sección frontales



Arterias del encéfalo: visiones lateral y medial

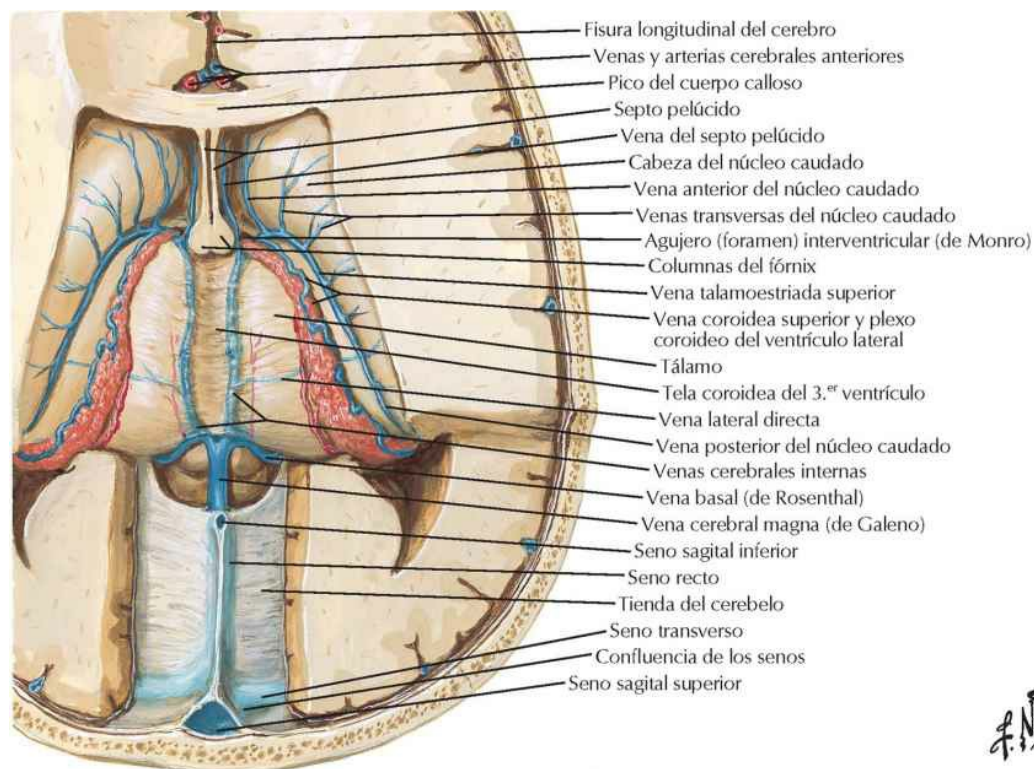


Arterias de la fosa craneal posterior

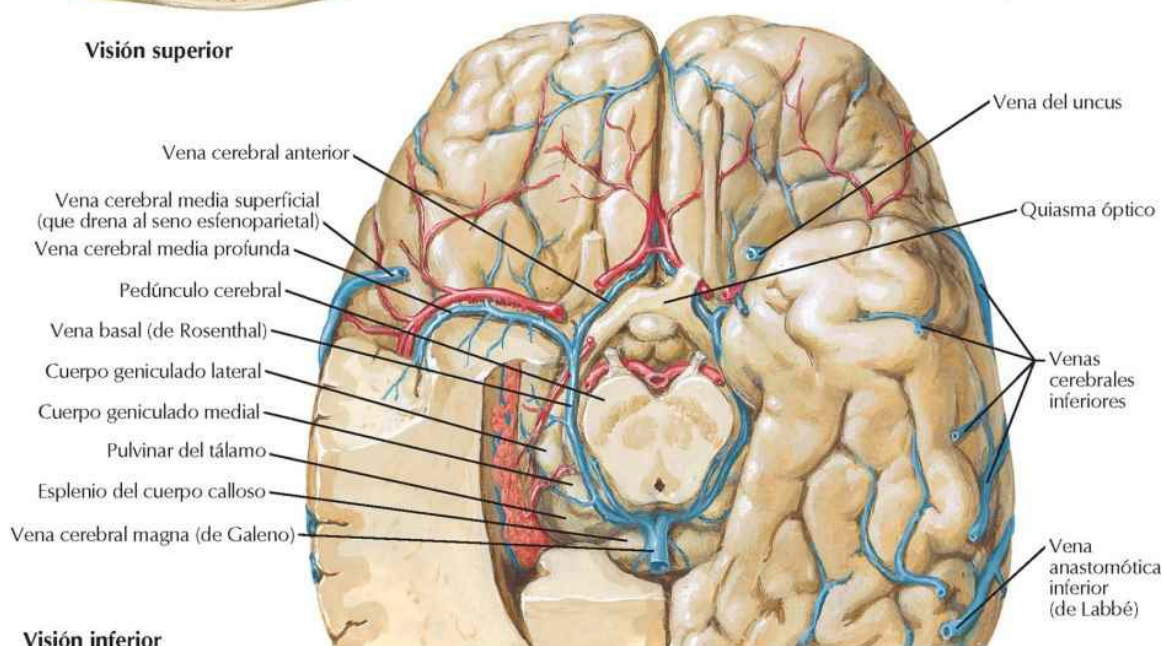


Venas profundas del encéfalo

Para las venas superficiales del encéfalo véase lámina 122

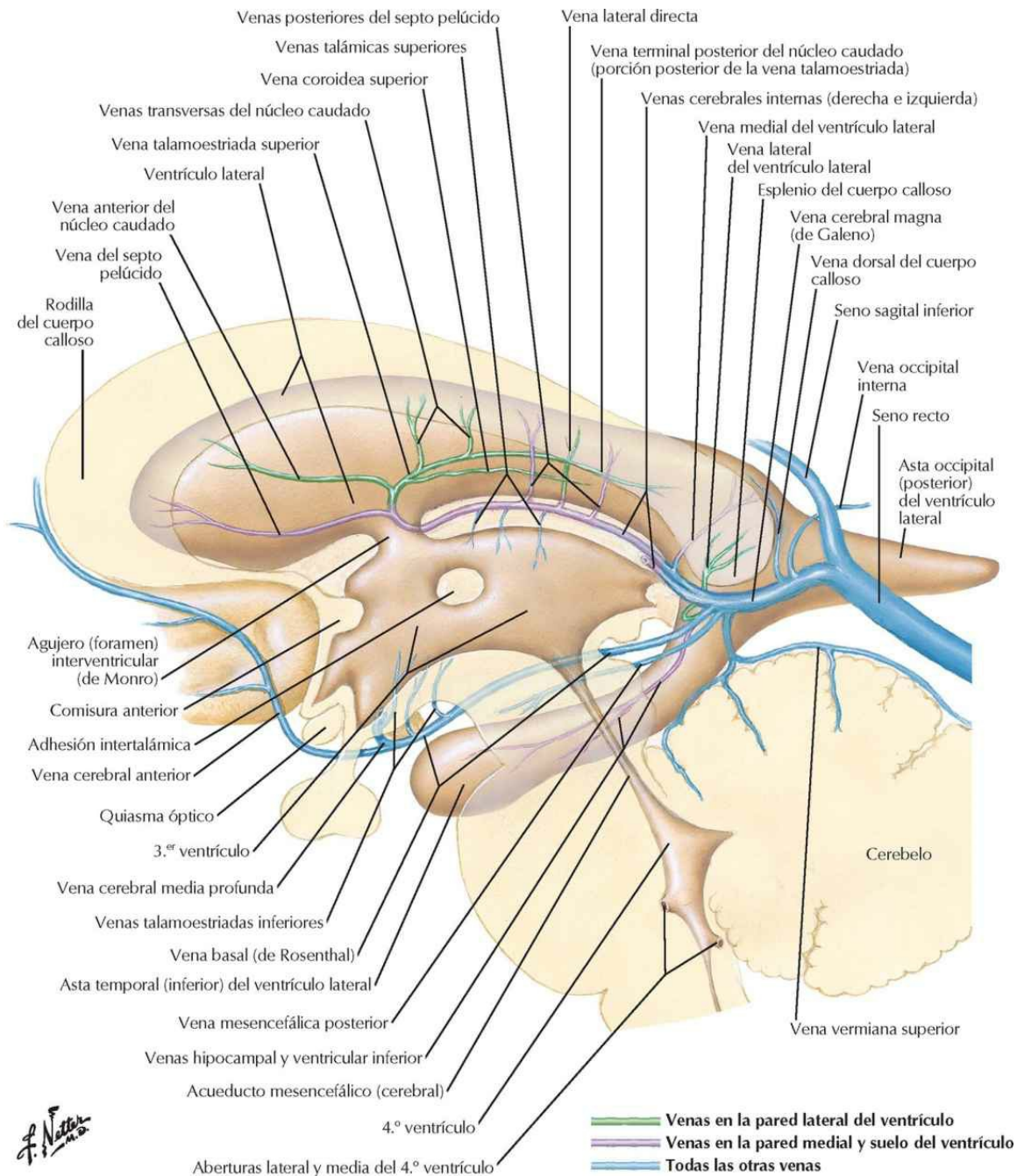


Visión superior



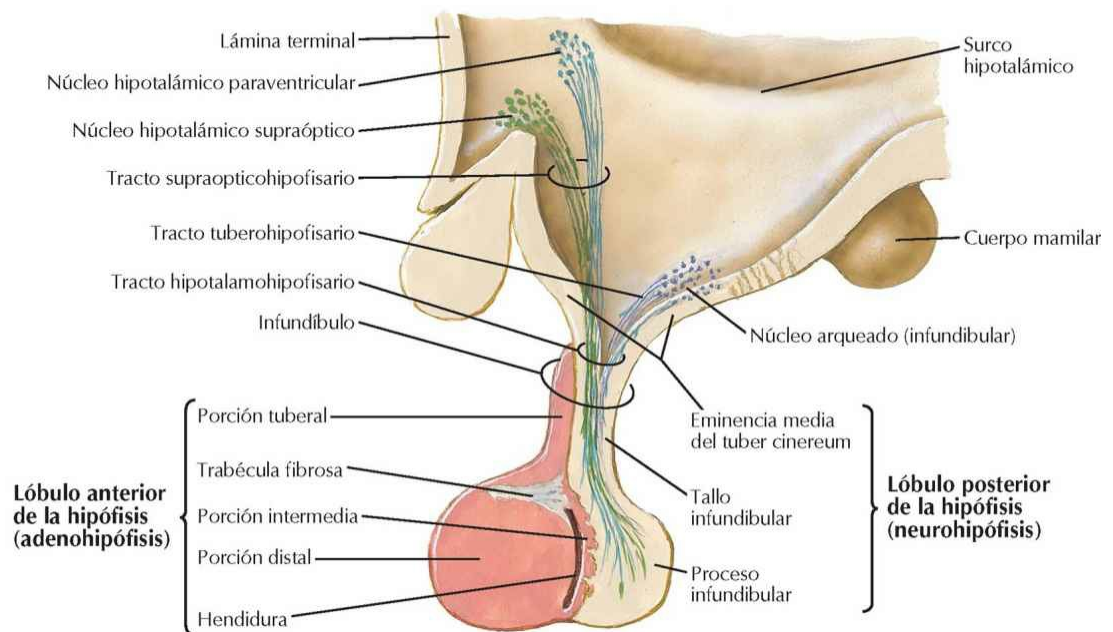
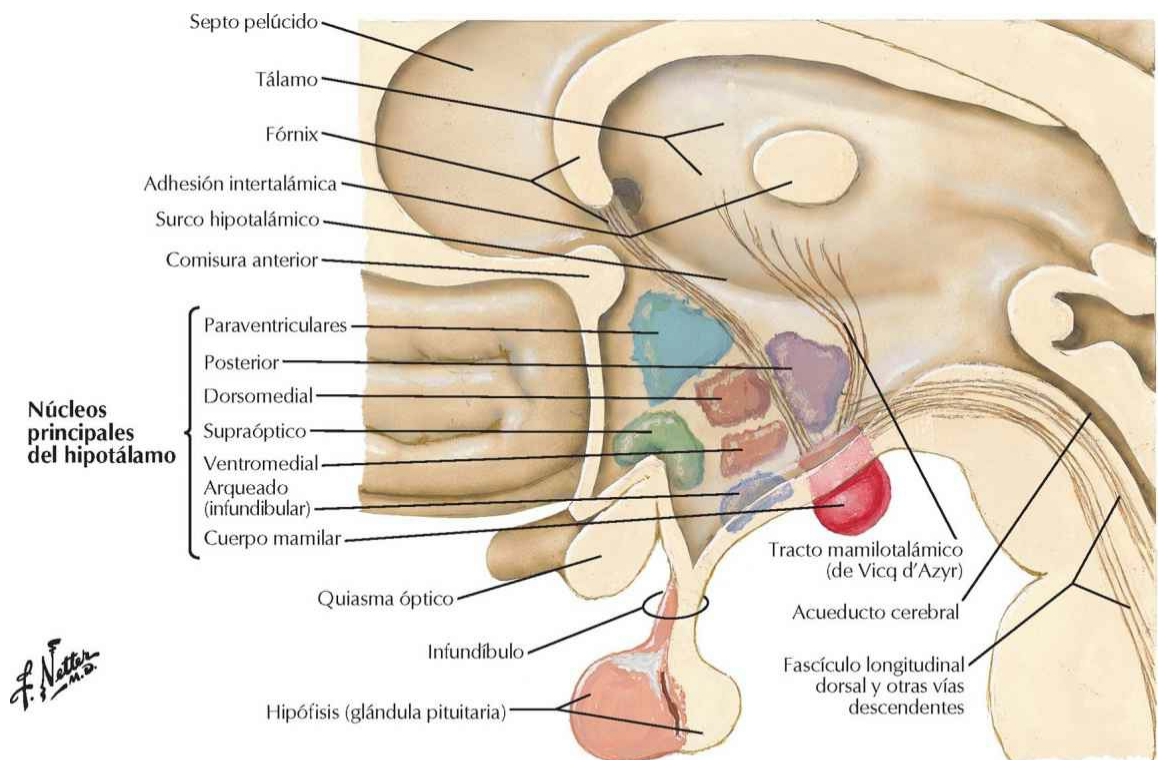
Visión inferior

Venas subependimarias del encéfalo



Hipotálamo e hipófisis

Véase también lámina 117

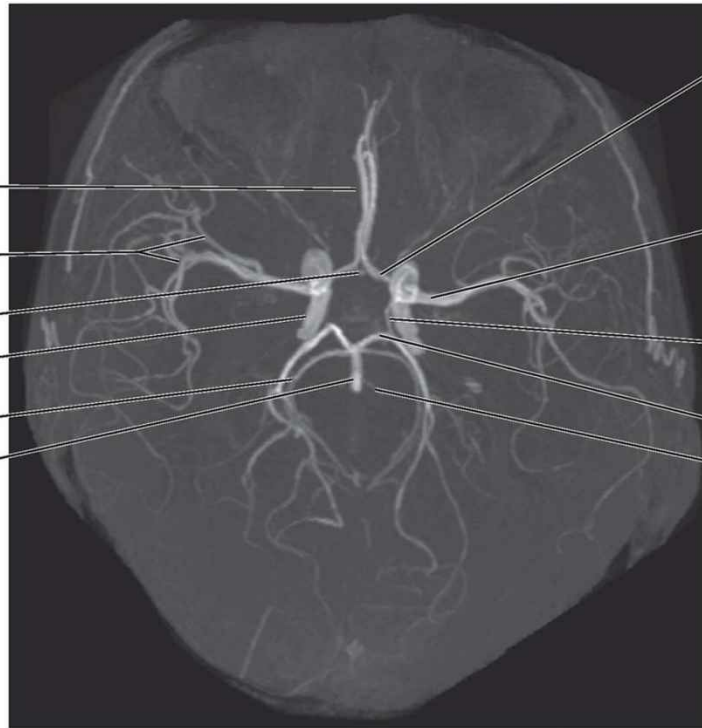


Exploraciones regionales

Angiografías por RM craneales (ARM y VRM)

Arteriografía por RM (ARM) a nivel del círculo arterial cerebral (de Willis) (imagen 3D con técnica TOF [tiempo de vuelo] sin contraste)

Arteria cerebral anterior (segmento A2)
 Arteria cerebral media (segmentos M2)
 Arteria comunicante anterior
 Arteria carótida interna
 Arteria cerebelosa superior
 Arteria basilar



Arteria cerebral anterior (segmento A1)
 Arteria cerebral media (segmento M1)
 Arteria comunicante posterior
 Arteria cerebral posterior
 Arteria cerebelosa inferior anterior

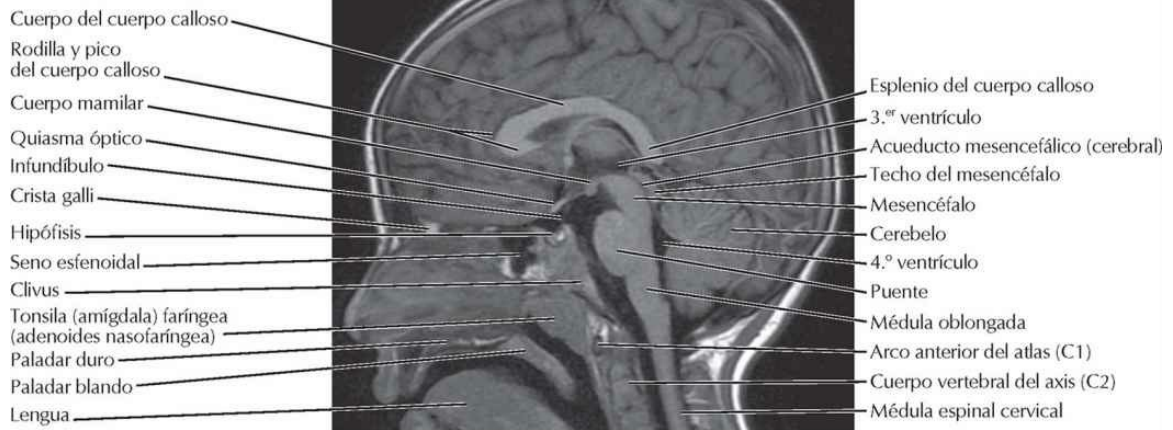
Venografía por RM (VRM) (imagen 2D con técnica TOF [tiempo de vuelo] sin contraste)

Vena cerebral superior
 Seno sagital superior
 Vena cerebral interna
 Vena cerebral magna (de Galeno)
 Seno recto
 Confluencia de los senos
 Seno transversal
 Seno sigmoideo
 Vena yugular interna

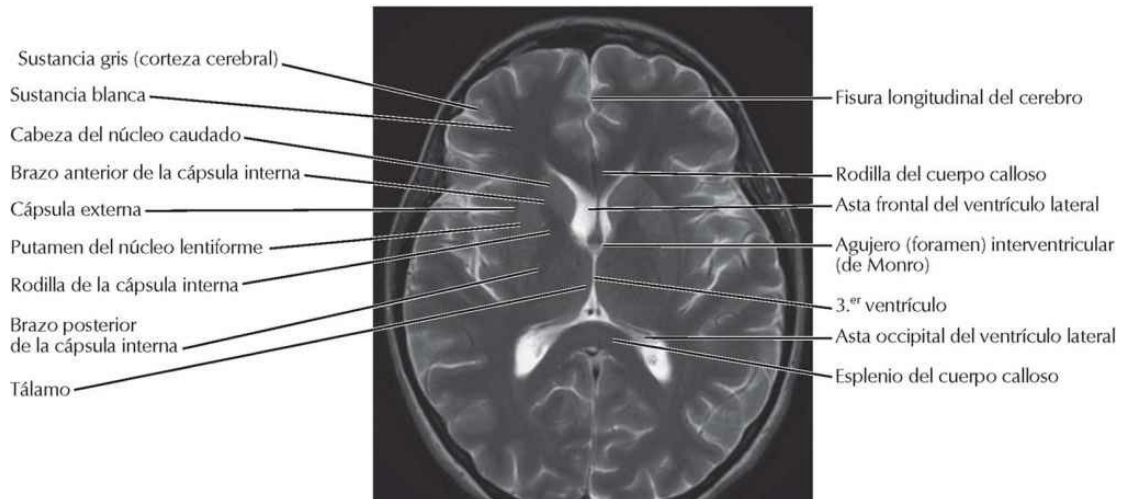
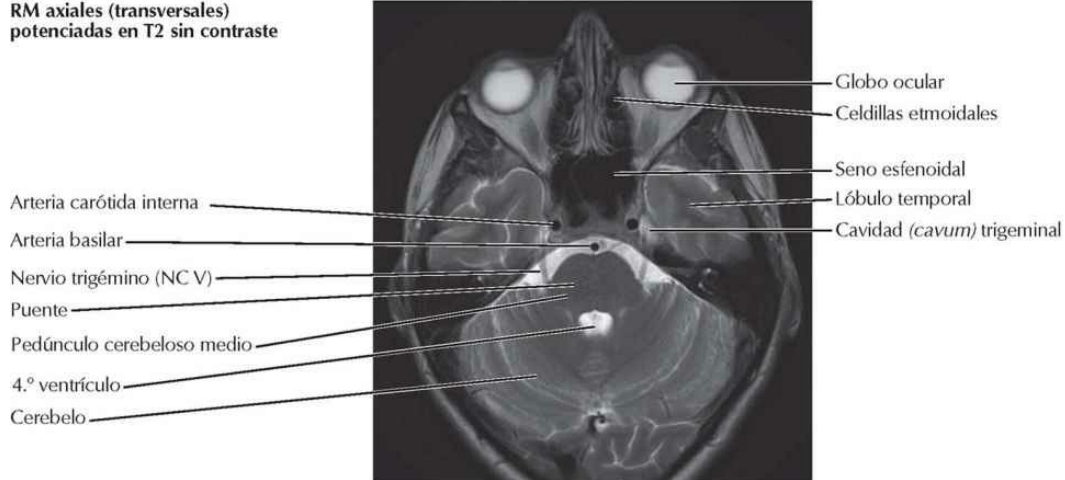


RM craneales

RM sagital potenciada en T1










RM axiales (transversales) potenciadas en T2 sin contraste




Tablas clínicas

**Estructuras con gran* significación
clínica**

ESTRUCTURAS ANATÓMICAS	IMPORTANCIA CLÍNICA	NÚMEROS DE LÁMINAS
 SISTEMA ESQUELÉTICO		
Órbita	El traumatismo directo sobre el ojo puede provocar una fractura por «estallido»; el reborde de la órbita permanece intacto, pero las paredes medial y/o inferior de la órbita están fracturadas	11, 50
Pterión	Área débil del cráneo que es una localización frecuente de fracturas	13
Articulación temporomandibular	Los trastornos temporomandibulares son causa frecuente de dolor y disfunción articular	25
Vértebras cervicales	Los cambios degenerativos causan estrechamiento de los agujeros (forámenes) intervertebrales que puede provocar radiculopatía cervical	26-28
Vértebras cervicales	La fractura bilateral de la porción interarticular de C2 (espondilólisis) provoca hiperextensión de la cabeza sobre el cuello y causa espondilolistesis de C2 (fractura del ahorcado); las fracturas (frecuentes) son debidas a accidentes con vehículos a motor, motos de nieve y vehículos todo terreno	26
Cartilago tiroides, cartilago cricoides	Estructuras de referencia palpables utilizadas para la cricotirotomía y la traqueostomía	87, 90
Huesecillos del oído	Las patologías que implican a los huesecillos (p. ej., otosclerosis) pueden provocar hipoacusia	105, 106
 SISTEMA MUSCULAR		
Músculos faciales (de la mímica)	Usados para evaluar la función del NC VII durante la exploración de los nervios craneales; en la disfunción del NC VII pueden estar debilitados o paralizados (p. ej., parálisis de Bell)	31, 134
Músculo esternocleidomastoideo	Se palpa con el fin de identificar el «punto nervioso del cuello» para la administración de anestésicos en el plexo cervical	39
Músculos trapecio y esternocleidomastoideo	Se usan para valorar la función del NC XI durante la exploración de los nervios craneales	39, 138
Músculos masticadores	Se usan para valorar la función del NC V (V_3) durante la exploración de los nervios craneales	55, 56
Músculos elevador del velo del paladar y de la úvula	Se usan para valorar la función del NC X durante la exploración de los nervios craneales; la desviación contralateral de la úvula durante la elevación indica disfunción del NC X	67
Músculo geniogloso	Se usa para valorar la función del NC XII durante la exploración de los nervios craneales; tras la lesión del NC XII, la lengua se desvía hacia el lado lesionado cuando protruye	70, 139
Músculos elevador del párpado superior y tarsal superior	Músculos responsables de la elevación del párpado; la ptosis indica una alteración patológica del NC III o del simpático (músculo tarsal superior)	94, 96
Músculos extraoculares (extrínsecos del globo ocular)	Se usan para valorar la función del NC III, NC IV y NC VI durante la exploración de los nervios craneales	96, 98
Músculo dilatador de la pupila	Importante en la valoración de la función simpática en la cabeza; la falta de dilatación indica interrupción de la vía simpática (p. ej., síndrome de Horner)	101, 132
Músculo esfínter de la pupila	Implicado en los reflejos pupilar y de acomodación	101, 132
 SISTEMA RESPIRATORIO		
Senos paranasales	Cavidades en el cráneo; propensos a la inflamación de sus mucosas a causa de infecciones bacterianas o víricas	49, 50
Tabla 2.1		Tablas clínicas
 SISTEMA DIGESTIVO		

ESTRUCTURAS ANATÓMICAS	IMPORTANCIA CLÍNICA	NÚMEROS DE LÁMINAS
Glándula parótida	La inflamación de la glándula a causa de una infección (p. ej., paperas) puede comprimir ramos del nervio facial, provocando debilidad de músculos faciales (de la mímica)	53, 54
 SISTEMA ENDOCRINO		
Glándula tiroides	Localización frecuente de procesos cancerosos; extirpada por tiroidectomía	87
 SISTEMA NERVIOSO		
Nervio accesorio (NC XI)	La biopsia de nódulos (ganglios) linfáticos en la región cervical lateral (triángulo cervical posterior) puede provocar lesiones yatrógenas del NC XI	39
Plexo cervical	En la cirugía del cuello se realiza el bloqueo anestésico del plexo cervical	39, 40
Nervio trigémino (NC V)	Los ramos del NC V se anestesian para la cirugía de la cara o de la región anterior del cuero cabelludo	42, 133
Nervio olfatorio (NC I)	Uno de los nervios craneales más frecuentemente lesionado; puede resultar avulsionado a nivel de la lámina cribosa tras una caída	46, 130
Nervio facial (NC VII)	La parálisis facial idiopática unilateral (parálisis de Bell) puede provocar incapacidad para cerrar completamente los párpados (el ojo) y producir la desecación de la córnea homolateral	54
Nervio laríngeo recurrente	Puede sufrir compresión o lesión en procedimientos quirúrgicos del cuello (p. ej., tiroidectomía), aneurisma del arco aórtico, o tumores malignos pulmonares, produciendo ronquera	88, 89
Nervio oculomotor (NC III), nervio troclear (NC IV) y nervio abducens (NC VI)	La trombosis del seno cavernoso puede provocar disfunción de los músculos extraoculares (extrínsecos del globo ocular) causada por compresión de uno, dos o los tres nervios	115
Colículo superior y acueducto mesencefálico (cerebral)	Un tumor mesencefálico puede provocar compresión del acueducto mesencefálico (cerebral), con la correspondiente hidrocefalia	120
Nervio óptico (NC II)	Un signo temprano del desarrollo de una masa tumoral en la hipófisis es la hemianopsia bitemporal	131, 151
Nervio óptico (NC II)	Uno de los primeros signos de un aneurisma de la arteria oftálmica es la pérdida de visión a causa de la compresión del nervio óptico suprayacente	148
 SISTEMA CARDIOVASCULAR		
Venas yugulares interna y externa derechas	Se exploran para valorar el pulso venoso yugular; la vena yugular interna es la preferida porque está en línea con la vena cava superior; la vena yugular externa puede usarse en lugar de la vena yugular interna ya que esta es muy difícil de visualizar	38
Vena yugular interna, vena subclavia	Se usan para obtener un acceso venoso mediante de la inserción de un catéter venoso central	38, 84
Arteria tiroidea inferior	En riesgo en el curso de una tiroidectomía; debe respetarse para mantener el aporte sanguíneo de las glándulas paratiroides	40, 88
Arteria carótida común	Se palpa en el cuello para valorar el pulso carotideo; la pared del vaso tiene tendencia al engrosamiento aterosclerótico	41
Arterias etmoidal anterior, esfenopalatina y facial	El punto donde estos vasos se anastomosan en el vestíbulo nasal es una localización frecuente de hemorragia nasal (epistaxis)	47
Tablas clínicas		Tabla 2.2
Plexo venoso pterigoideo	Vía frecuente de propagación de infecciones debido a conexiones entre las venas de la cara, la órbita y los senos venosos de la duramadre	84, 99
Arteria oftálmica	Aporte principal de sangre para la retina; si se obstruye la arteria, puede producirse ceguera	99, 103
Arterias del cuero cabelludo	Las laceraciones sangran profusamente debido a la abundante vascularización; los vasos no se retraen en la capa de tejido conectivo denso del cuero cabelludo	111
Venas cerebrales superiores	Pueden desgarrarse de su unión con el seno sagital superior, produciendo un hematoma subdural	112, 113, 114, 120
Arteria meníngea media	Los traumatismos craneales pueden desgarrar la arteria meníngea media, provocando un hematoma epidural	112

ESTRUCTURAS ANATÓMICAS	IMPORTANCIA CLÍNICA	NÚMEROS DE LÁMINAS
Senos venosos de la duramadre	Las infecciones en la cabeza pueden propagarse hacia los senos venosos de la duramadre, provocando la trombosis de estos; los senos cavernosos son la localización más frecuente	114, 115
Seno cavernoso	Entre la arteria carótida interna y el seno cavernoso puede producirse una fístula (anastomosis), especialmente tras un traumatismo	115, 151
Seno carotídeo	Se comprime durante el masaje del seno carotídeo	141
Círculo arterial cerebral (de Willis)	Localización frecuente de aneurismas; su rotura produce una hemorragia subaracnoidea	150
 SISTEMA LINFÁTICO		
Conducto torácico	Puede lesionarse en el cuello a nivel de la unión de las venas yugular interna y subclavia izquierdas	85
Nódulos (ganglios) linfáticos cervicales superficiales y profundos	Durante la exploración del cuello se palpan para valorar su tamaño	85, 86
*La selección se basa en general en datos clínicos y en correlaciones clínicas discutidas frecuentemente en cursos de anatomía macroscópica.		
Tabla 2.3		Tablas clínicas

Tablas de músculos

Tabla 2.4

MÚSCULO	GRUPO MUSCULAR	INSERCIÓN PROXIMAL (ORIGEN)	INSERCIÓN DISTAL (INSERCIÓN)	INERVIACIÓN	IRRIGACIÓN	ACCIONES PRINCIPALES
Aritenoideos transversos y oblicuos	Laringeo	Cartilago aritenoides	Cartilago aritenoides opuesto	Nervio laringeo recurrente	Arterias tiroideas superior e inferior	Cierra la porción intercartilaginosa de la hendidura glótica
Auricular anterior	Auricular	Fascia temporal, galea aponeurótica (aponeurosis epicraneal)	Porción anterior de la cara medial del hélix	Nervio auricular posterior y ramos temporales del nervio facial	Rama auricular de la arteria auricular posterior, rama parietal de la arteria temporal superficial	Eleva y tracciona la oreja hacia delante
Auricular posterior	Auricular	Base de la apófisis mastoideas	Porción inferior de la cara medial de la oreja	Nervio auricular posterior y ramos temporales del nervio facial	Rama auricular de la arteria auricular posterior, rama parietal de la arteria temporal superficial	Retrae y eleva la oreja
Auricular superior	Auricular	Fascia temporal, galea aponeurótica (aponeurosis epicraneal)	Porción superior de la cara medial de la oreja	Nervio auricular posterior y ramos temporales del nervio facial	Rama auricular de la arteria auricular posterior, rama parietal de la arteria temporal superficial	Retrae y eleva la oreja
Buccinador	Faciales (de la mímica)	Porción posterior de la apófisis alveolar del maxilar y alvéolos de los molares mandibulares adyacentes, borde anterior del rafe pterigomandibular	Ángulo de la boca	Ramos bucales del nervio facial	Ramas musculares de la arteria facial, rama bucal de la arteria maxilar	Comprime la mejilla, expulsa el aire entre los labios, ayuda en la masticación
Cigomático mayor	Faciales (de la mímica)	Arco cigomático	Ángulo de la boca	Ramos cigomáticos y bucales del nervio facial	Arteria labial superior de la arteria facial	Tracciona del ángulo de la boca hacia atrás y hacia arriba
Cigomático menor	Faciales (de la mímica)	Arco cigomático	Ángulo de la boca, labio superior	Ramos cigomáticos y bucales del nervio facial	Arteria labial superior de la arteria facial	Eleva el labio superior
Ciliar	Intrínseco del ojo	Limbo de la córnea (unión esclerocorneal)	Cuerpo ciliar	Fibras parasimpáticas a través de los nervios ciliares cortos (NC III)	Arteria oftálmica	Constríñe el cuerpo ciliar y abomba la lente (acomodación)
Constrictor inferior de la faringe	Faringeo circular	Línea oblicua del cartilago tiroideo y cartilago cricoides	Rafe medio de la faringe	Nervio vago a través del plexo faríngeo	Arteria faríngea ascendente, ramas de la arteria tiroidea superior	Constríñe la pared de la faringe durante la deglución
Constrictor medio de la faringe	Faringeo circular	Ligamento estilohioideo y astas del hioideo	Rafe medio de la faringe	Nervio vago a través del plexo faríngeo	Arteria faríngea ascendente, ramas palatina ascendente y tonsilar de la arteria facial, ramas dorsales de la lengua de la arteria lingual	Constríñe la pared de la faringe durante la deglución
Constrictor superior de la faringe	Faringeo circular	Gancho de la pterigoides, rafe pterigomandibular, línea milohioidea de la mandíbula	Rafe medio de la faringe	Nervio vago a través del plexo faríngeo	Arteria faríngea ascendente, ramas palatina ascendente y tonsilar de la arteria facial, ramas dorsales de la arteria lingual	Contrae la pared de la faringe durante la deglución

MÚSCULO	GRUPO MUSCULAR	INSERCIÓN PROXIMAL (ORIGEN)	INSERCIÓN DISTAL (INSERCIÓN)	INERVACIÓN	IRRIGACIÓN	ACCIONES PRINCIPALES
Corrugador de la ceja	Faciales (de la mímica)	Porción medial del borde supraorbitario	Piel de la mitad medial de la ceja	Ramos cigomáticos y temporales del nervio facial	Ramas cigomaticoorbitaria y frontal de la arteria temporal superficial	Tracciona de la ceja hacia abajo y medialmente, produce arrugas verticales en el entrecejo
Cricoaritenoideo lateral	Laríngeo	Arco del cartílago cricoides	Apófisis muscular del cartílago aritenoides	Nervio laríngeo recurrente	Arterias tiroideas superior e inferior	Aduce los pliegues vocales
Cricoaritenoideo posterior	Laríngeo	Cara posterior de la lámina del cartílago cricoides	Apófisis muscular del cartílago aritenoides	Nervio laríngeo recurrente	Arterias tiroideas superior e inferior	Abduce los pliegues vocales

En la anatomía humana son frecuentes las variaciones en la contribución de los nervios espinales a la inervación de los músculos, en su irrigación arterial, sus inserciones y sus acciones. Por tanto, existen diferencias entre los distintos textos y hay que entender que las variaciones anatómicas son normales.

Tabla 2.5

MÚSCULO	GRUPO MUSCULAR	INSERCIÓN PROXIMAL (ORIGEN)	INSERCIÓN DISTAL (INSERCIÓN)	INERVACIÓN	IRRIGACIÓN	ACCIONES PRINCIPALES
Cricotiroides	Laringeo	Parte anterior del cartilago cricoides	Borde inferior del cartilago tiroides y su asta inferior	Ramo externo del nervio laríngeo superior	Arterias tiroideas superior e inferior.	Alarga y tensa los ligamentos vocales
Depresor del ángulo de la boca	Faciales (de la mímica)	Se continúa con el platisma sobre la línea oblicua de la mandíbula	Ángulo de la boca en el orbicular de la boca y la piel	Ramos marginal de la mandíbula y bucales del nervio facial	Arteria labial inferior de la arteria facial	Deprime el ángulo de la boca
Depresor del labio inferior	Faciales (de la mímica)	Cara lateral de la mandíbula entre la sínfisis y el agujero (foramen) mentoniano, profundo al depresor del ángulo de la boca	Piel del labio inferior, entremezclándose con el músculo orbicular de la boca, las fibras mediales se unen con las del lado opuesto	Ramos marginal de la mandíbula y bucales del nervio facial	Arteria labial inferior de la arteria facial	Deprime el labio inferior y tira de él lateralmente
Depresor del tabique nasal	Faciales (de la mímica)	Fosa en la pared alveolar anterior sobre el incisivo lateral maxilar	Tabique nasal y porción posterior del ala de la nariz	Ramos cigomáticos y bucales del nervio facial	Arteria labial superior de la arteria facial	Estrecha la narina, tracciona hacia abajo del tabique nasal
Digástrico	Suprahioideo	<i>Ventre anterior:</i> fosa digástrica de la mandíbula <i>Ventre posterior:</i> escotadura mastoidea del temporal	El tendón intermedio se inserta en el cuerpo del hioides	<i>Ventre anterior:</i> nervio milohioideo <i>Ventre posterior:</i> nervio facial	<i>Ventre anterior:</i> ramas de la arteria submentoniana <i>Ventre posterior:</i> ramas musculares de la arteria auricular posterior, ramas musculares de la arteria occipital	Eleva el hioides y la base de la lengua, fija el hioides, abre la boca mediante el descenso de la mandíbula
Dilatador de la pupila	Intrínseco del ojo	Fibras radiales en el iris	Se entremezcla con las fibras del esfínter de la pupila	Fibras simpáticas desde el ganglio cervical superior	Arteria oftálmica	Dilata la pupila
Elevador del ángulo de la boca	Faciales (de la mímica)	Fosa canina del maxilar inmediatamente inferior al agujero (foramen) infraorbitario y cubierto por la cabeza cigomática del elevador del labio superior	Ángulo de la boca; las fibras se entremezclan con el orbicular de la boca, el depresor del ángulo de la boca y los cigomáticos	Ramos cigomáticos y bucales del nervio facial	Arteria labial superior de la arteria facial	Eleva el ángulo de la boca
Elevador del labio superior	Faciales (de la mímica)	Maxilar por encima del agujero (foramen) infraorbitario	Piel del labio superior	Ramos cigomáticos y bucales del nervio facial	Arterias labial superior y angular de la arteria facial	Eleva el labio superior, dilata la narina
Elevador del labio superior y del ala de la nariz	Faciales (de la mímica)	Porción superior de la apófisis frontal del maxilar	En el cartilago alar mayor, piel de la nariz, porción lateral del labio superior	Ramos cigomáticos y bucales del nervio facial	Arteria labial superior y ramas angulares de la arteria facial	Eleva el labio superior, dilata la narina
Elevador del párpado superior	Extraocular (extrínseco del globo ocular)	Ala menor del esfenoides, anterior al conducto óptico	Tarso superior	Nervio oculomotor (NC III), ramo superior	Arteria oftálmica	Eleva el párpado superior

MÚSCULO	GRUPO MUSCULAR	INSERCIÓN PROXIMAL (ORIGEN)	INSERCIÓN DISTAL (INSERCIÓN)	INERVACIÓN	IRRIGACIÓN	ACCIONES PRINCIPALES
Elevador del velo del paladar	Del paladar	Hueso temporal (porción petrosa) y trompa auditiva	Aponeurosis palatina	Nervio vago a través del plexo faríngeo	Arteria palatina ascendente rama de la arteria facial, arteria palatina descendente rama de la arteria maxilar	Eleva el paladar blando durante la deglución
Escaleno anterior	Lateral del cuello	Tubérculos anteriores de las apófisis transversas de C3-C6	Tubérculo del escaleno anterior en la 1. ^a costilla	Ramos ventrales de nervios cervicales (C5-C8)	Rama cervical ascendente de la arteria tiroidea inferior	Eleva la 1. ^a costilla, inclina el cuello
Escaleno medio	Lateral del cuello	Tubérculos posteriores de las apófisis transversas de C2-C7	Cara superior de la 1. ^a costilla (por detrás del surco de la arteria subclavia)	Ramos ventrales de nervios cervicales (C3-C7)	Ramas musculares de la arteria cervical ascendente	Eleva la 1. ^a costilla, inclina el cuello

Tabla 2.6

MÚSCULO	GRUPO MUSCULAR	INSERCIÓN PROXIMAL (ORIGEN)	INSERCIÓN DISTAL (INSERCIÓN)	INERVACIÓN	IRRIGACIÓN	ACCIONES PRINCIPALES
Escaleno posterior	Lateral del cuello	Tubérculos posteriores de las apófisis transversas de C4-C6	Cara externa de la 2. ^a costilla	Ramos anteriores de nervios cervicales (C5-C8)	Ramas musculares de la arteria cervical ascendente de la arteria tiroidea inferior, rama superficial de la arteria transversa del cuello (cervical transversa)	Eleva la 2. ^a costilla, inclina el cuello
Esfínter de la pupila	Intrínseco del ojo	Músculo liso circular del iris que se sitúa alrededor de la pupila	Se mezcla con las fibras del dilatador de la pupila	Fibras parasimpáticas a través del nervio oculomotor (NC III)	Arteria oftálmica	Contrae la pupila
Estapedio	Oído medio	Eminencia piramidal del hueso temporal	Estribo	Nervio facial	Arterias auricular posterior, timpánica anterior y meníngea media	Tracciona del estribo posteriormente para reducir la oscilación de la membrana timpánica
Esternocleidomastoideo	Cuello	<i>Cabeza esternal:</i> cara anterior del manubrio <i>Cabeza clavicular:</i> cara superior del 1/3 medial de la clavícula	Cara lateral de la apófisis mastoides; mitad lateral de la línea nuchal superior del occipital	Nervio accesorio (NC XI)	Rama esternocleidomastoidea de las arterias tiroidea superior y occipital, rama muscular de la arteria supraescapular, rama occipital de la arteria auricular posterior	<i>Bilateralmente:</i> flexiona la cabeza, eleva el tórax <i>Unilateralmente:</i> gira la cara hacia el lado opuesto
Esternohioideo	Infrahioideo	Cara posterior del manubrio del esternón, ligamento esternoclavicular posterior, extremidad medial de la clavícula	Porción medial del borde inferior del cuerpo del hioides	Asa cervical	Ramas esternocleidomastoidea y hioidea de la arteria tiroidea superior, rama hioidea de la arteria lingual	Desciende la laringe y el hioides, fija el hioides
Esternotiroideo	Infrahioideo	Cara posterior del manubrio del esternón por debajo y profundo al origen del esternohioideo, borde del primer cartilago costal	Línea oblicua en la lámina del cartilago tiroideos	Asa cervical	Rama cricotiroidea de la arteria tiroidea superior	Desciende la laringe y el cartilago tiroideos
Estilofaríngeo	Faríngeo longitudinal	Cara medial de la apófisis estiloides	Pared de la faringe y borde posterior del cartilago tiroideos	Nervio glosofaríngeo (NC IX)	Arteria faríngea ascendente, ramas palatina ascendente y tonsilar de la arteria facial, ramas dorsales de la arteria lingual	Eleva la faringe y la laringe durante la deglución y el habla
Estilogloso	Extrínseco de la lengua	Apófisis estiloides y ligamento estilohioideo	Cara lateral e inferior de la lengua	Nervio hipogloso (NC XII)	Arteria sublingual	Retrae la lengua y tracciona de ella hacia arriba para la deglución
Estilohioideo	Suprahioideo	Borde posterior de la apófisis estiloides	Cuerpo del hioides en la unión con el asta mayor	Nervio facial	Ramas musculares de la arteria facial, ramas musculares de la arteria occipital	Eleva y retrae el hueso hioides
Genihioideo	Suprahioideo	Espina mentoniana inferior	Cara anterior del cuerpo del hioides	Ramo de C1 a través del nervio hipogloso (NC XII)	Rama sublingual de la arteria lingual	Eleva el hioides y desciende la mandíbula

MÚSCULO	GRUPO MUSCULAR	INSERCIÓN PROXIMAL (ORIGEN)	INSERCIÓN DISTAL (INSERCIÓN)	INERVACIÓN	IRRIGACIÓN	ACCIONES PRINCIPALES
Geniogloso	Extrínseco de la lengua	Espina mentoniana superior	Dorso de la lengua, hioides	Nervio hipogloso (NC XII)	Arterias sublingual y submentoniana	Deprime y protruye la lengua
Hiogloso	Extrínseco de la lengua	Cuerpo y asta menor del hioides	Cara lateral e inferior de la lengua	Nervio hipogloso (NC XII)	Arterias sublingual y submentoniana	Deprime y retrae la lengua
Largo de la cabeza	Prevertebral	Tubérculos anteriores de las apófisis transversas de las vértebras C3-C6	Cara inferior de la porción basilar del occipital	Ramos anteriores de nervios cervicales (C1-C3)	Rama cervical ascendente de la arteria tiroidea inferior, arteria faríngea ascendente, ramas musculares de la arteria vertebral	Flexiona la cabeza

Tabla 2.7

MÚSCULO	GRUPO MUSCULAR	INSERCIÓN PROXIMAL (ORIGEN)	INSERCIÓN DISTAL (INSERCIÓN)	INERVIACIÓN	IRRIGACIÓN	ACCIONES PRINCIPALES
Largo del cuello	Prevertebral	<i>Porción vertical:</i> vértebras C5-T3 <i>Porción oblicua inferior:</i> vértebras T1-T3 <i>Porción oblicua superior:</i> tubérculos anteriores de las apófisis transversas de las vértebras C3-C5	<i>Porción vertical:</i> en las vértebras C2-C4 <i>Porción oblicua inferior:</i> tubérculos anteriores de las apófisis transversas de las vértebras C3-C6 <i>Porción oblicua superior:</i> tubérculo del arco anterior del atlas	Ramos anteriores de nervios cervicales (C2-C8)	Ramas prevertebrales de la arteria faríngea ascendente, ramas musculares de las arterias cervical ascendente y vertebral	<i>Bilateralmente:</i> flexiona y ayuda a la rotación del cuello y la cabeza <i>Unilateralmente:</i> flexiona lateralmente el cuello
Longitudinal inferior de la lengua	Intrínseco de la lengua	Cara inferior de la lengua entre el geniogloso y el hiogloso	Vértice de la lengua mezclándose con el estilogloso	Nervio hipogloso (NC XII)	Rama profunda de la lengua de la arteria lingual, ramas de la arteria facial	Acorta la lengua, gira el vértice y los lados hacia abajo
Longitudinal superior de la lengua	Intrínseco de la lengua	Fibras submucosas en el dorso de la lengua	Vértice de la lengua; se une con el músculo del lado opuesto	Nervio hipogloso (NC XII)	Rama lingual profunda de la arteria lingual, ramas de la arteria facial	Acorta la lengua, gira el vértice y los lados hacia arriba
Masetero	Masticador	Arco cigomático	Rama de la mandíbula, apófisis coronoides	Nervio mandibular (NC V ₃), a través del nervio masetérico	Arteria transversa de la cara (facial transversa); rama masetérica de las arterias maxilar y facial	Eleva y protruye la mandíbula; las fibras profundas la retraen
Mentoniano	Faciales (de la mímica)	Fosa sobre el incisivo mandibular	Piel del mentón	Ramo marginal de la mandíbula del nervio facial	Rama labial inferior de la arteria facial	Eleva y protruye el labio inferior
Milohioideo	Suprahioideo	Línea milohioidea de la mandíbula	Rafe medio milohioideo y cuerpo del hioides	Nervio milohioideo	Rama sublingual de la arteria lingual, rama submentoniana de la arteria facial	Eleva el hioides, la base de la lengua, el suelo de la boca; desciende la mandíbula
Nasal	Faciales (de la mímica)	Eminencia del diente canino por encima y lateral a la fosa en la pared alveolar anterior sobre el incisivo lateral maxilar	Aponeurosis que cubre los cartílagos nasales	Ramos cigomáticos y bucales del nervio facial	Ramas labial, del tabique nasal y nasal lateral de la arteria facial	Tracciona del ala de la nariz hacia el tabique nasal, comprime la narina; la porción alar abre la narina
Oblicuo inferior	Extraocular (extrínseco del globo ocular)	Porción anterior del suelo de la órbita, lateral al conducto nasolagrimal	Porción lateral de la esclera, profundo al recto lateral	Nervio oculomotor (NC III), ramo inferior	Arteria oftálmica	Abduce, eleva y rota lateralmente el globo ocular
Oblicuo superior	Extraocular (extrínseco del globo ocular)	Cuerpo del esfenoides (por encima del conducto óptico), medial al origen del recto superior	Pasa a través de la tróclea, se une a la porción superior de la esclera entre los músculos rectos superior y lateral	Nervio troclear (NC IV)	Arteria oftálmica	Abduce, desciende y rota medialmente el globo ocular

MÚSCULO	GRUPO MUSCULAR	INSERCIÓN PROXIMAL (ORIGEN)	INSERCIÓN DISTAL (INSERCIÓN)	INERVACIÓN	IRRIGACIÓN	ACCIONES PRINCIPALES
Omohioideo	Infrahioideo	<i>Ventre inferior:</i> desde el borde superior de la escápula y ligamento transvers superior de la escápula, terminando en el tendón intermedio <i>Ventre superior:</i> desde el tendón intermedio	<i>Ventre inferior:</i> en el tendón intermedio <i>Ventre superior:</i> en el cuerpo del hioides	Asa cervical	Rama hioidea de la arteria lingual, rama esternocleidomastoidea de la arteria tiroidea superior	Fija el hioides y lo desciende
Orbicular de la boca	Faciales (de la mímica)	Maxilar por encima de los dientes incisivos	Piel alrededor de los labios	Ramos cigomáticos, bucales y mandibular del nervio facial	Ramas labiales superior e inferior de la arteria facial	Compresión, contracción y protrusión de los labios
Orbicular del ojo	Faciales (de la mímica)	Borde medial de la órbita, ligamento palpebral, hueso lagrimal	Piel alrededor de la órbita, ligamento palpebral, párpados superior e inferior	Nervio facial (NC VII)	Arterias facial y temporal superficial	Cierra los párpados

Tabla 2.8

MÚSCULO	GRUPO MUSCULAR	INSERCIÓN PROXIMAL (ORIGEN)	INSERCIÓN DISTAL (INSERCIÓN)	INERVACIÓN	IRRIGACIÓN	ACCIONES PRINCIPALES
Palatofaríngeo	Faríngeo longitudinal	Paladar duro, porción superior de la aponeurosis palatina	Pared lateral de la faringe	Nervio vago a través del plexo faríngeo	Arteria palatina ascendente rama de la arteria facial, arteria palatina descendente rama de la arteria maxilar	Tensa el paladar blando; tracciona de las paredes de la faringe superior, anterior y medialmente durante la deglución
Palatogloso	Del paladar	Aponeurosis palatina del paladar blando	Cara lateral de la lengua	Nervio vago a través del plexo faríngeo	Arterias faríngeas ascendentes, ramas palatinas de las arterias facial y maxilar	Eleva la porción posterior de la lengua, desciende el paladar
Platisma	Faciales (de la mímica)	Piel por debajo de la clavícula, porción superior del tórax	Mandíbula, músculos faciales de la boca	Nervio facial	Arterias submentoniana y supraescapular	Tensa la piel del cuello
Prócer	Faciales (de la mímica)	Fascia que cubre las porciones inferiores del hueso nasal y porción superior del cartilago nasal lateral	Piel entre y por encima de las cejas	Ramos temporales y cigomáticos del nervio facial	Ramas angular y nasal lateral de la arteria facial	Tracciona hacia abajo del ángulo medial de las cejas, produce arrugas transversales sobre el puente de la nariz
Pterigoideo lateral	Masticador	<i>Cabeza superior:</i> cara infratemporal del ala mayor del esfenoides <i>Cabeza inferior:</i> lámina lateral de la pterigoides	Fosita pterigoidea, cápsula de la articulación temporomandibular, disco articular	Nervio mandibular (NC V ₃)	Ramas musculares de la arteria maxilar	<i>Bilateralmente:</i> protruye la mandíbula <i>Unilateral y alternativamente:</i> produce movimientos de masticación lateral
Pterigoideo medial	Masticador	Cara medial de la lámina lateral de la pterigoides, apófisis piramidal del hueso palatino, tuberosidad del maxilar	Cara medial de la rama y ángulo de la mandíbula inferior al agujero (foramen) mandibular	Nervio mandibular (V ₃), a través del nervio del pterigoideo medial	Arterias facial y maxilar	<i>Bilateralmente:</i> protruye y eleva la mandíbula <i>Unilateral y alternativamente:</i> produce movimientos de lateralidad
Recto anterior de la cabeza	Prevertebral	Masa lateral del atlas	Porción basilar del occipital frente al agujero (foramen) magno	Ramos anteriores de nervios cervicales (C1-C2)	Ramas musculares de la arteria vertebral, arteria faríngea ascendente	Flexiona la cabeza
Recto inferior	Extraocular (extrínseco del globo ocular)	Anillo tendinoso común	Cara inferior del globo ocular, posterior al limbo de la córnea (unión esclerocorneal)	Nervio oculomotor (NC III), ramo inferior	Arteria oftálmica	Desciende, aduce y rota lateralmente el globo ocular
Recto lateral	Extraocular (extrínseco del globo ocular)	Anillo tendinoso común	Cara lateral del globo ocular, posterior al limbo de la córnea (unión esclerocorneal)	Nervio abducens (NC VI)	Arteria oftálmica	Abduce el globo ocular
Recto lateral de la cabeza	Prevertebral	Cara superior de la apófisis transversa del atlas	Cara inferior de la apófisis yugular del occipital	Ramos ventrales de nervios cervicales (C1-C2)	Ramas musculares de la arteria vertebral, arteria occipital, arteria faríngea ascendente	Flexiona la cabeza lateralmente en el lado que se contrae el músculo

MÚSCULO	GRUPO MUSCULAR	INSERCIÓN PROXIMAL (ORIGEN)	INSERCIÓN DISTAL (INSERCIÓN)	INERVACIÓN	IRRIGACIÓN	ACCIONES PRINCIPALES
Recto medial	Extraocular (extrínseco del globo ocular)	Anillo tendinoso común	Cara medial del globo ocular, posterior al limbo de la córnea (unión esclerocorneal)	Nervio oculomotor (NC III), ramo superior	Arteria oftálmica	Aduce el globo ocular
Recto superior	Extraocular (extrínseco del globo ocular)	Anillo tendinoso común	Cara superior del globo ocular, posterior al limbo de la córnea (unión esclerocorneal)	Nervio oculomotor (NC III), ramo superior	Arteria oftálmica	Eleva, aduce y rota medialmente el globo ocular

Tabla 2.9

MÚSCULO	GRUPO MUSCULAR	INSERCIÓN PROXIMAL (ORIGEN)	INSERCIÓN DISTAL (INSERCIÓN)	INERVACIÓN	IRRIGACIÓN	ACCIONES PRINCIPALES
Risorio	Faciales (de la mímica)	Fascia que cubre al músculo masetero, superficial al músculo platisma	Piel en el ángulo de la boca	Ramos cigomáticos y bucales del nervio facial	Arteria labial superior de la arteria facial	Retrae el ángulo de la boca
Salpingofaríngeo	Faríngeo longitudinal	Trompa auditiva (faringotimpánica, de Eustaquio)	Pared lateral de la faringe	Nervio vago a través del plexo faríngeo	Rama faríngea de la arteria faríngea ascendente	Eleva la faringe y la laringe durante la deglución y el habla
Subclavio	Cuello	Borde superior de la 1. ^a costilla y su cartilago	Cara inferior del tercio medio de la clavícula	Nervio subclavio	Rama clavicular de la arteria toracoacromial	Fija y desciende la clavícula
Temporal	Masticador	Suelo de la fosa temporal, fascia temporal profunda	Apófisis coronoides y rama de la mandíbula	Nervio mandibular (NC V ₃), nervios temporales profundos	Arterias temporal superficial y maxilar, arterias temporales profundas anterior, media y posterior	Eleva la mandíbula; las fibras posteriores retraen la mandíbula
Tensor del tímpano	Del oído medio	Cartilago de la trompa auditiva (faringotimpánica, de Eustaquio)	Manubrio del martillo	Nervio mandibular del trigémino (NC V ₃)	Rama timpánica superior de la arteria meníngea media de la maxilar	Tensa la membrana timpánica tirando de ella medialmente
Tensor del velo del paladar	Del paladar	Fosa escafoidea de la lámina medial de la pterigoides, espina del esfenoideos, trompa auditiva (faringotimpánica, de Eustaquio)	Aponeurosis palatina	Nervio mandibular	Arteria palatina ascendente rama de la arteria facial, arteria palatina descendente rama de la arteria maxilar	Tensa el paladar blando, abre la trompa auditiva (faringotimpánica, de Eustaquio) durante la deglución y el bostezo
Tiroaritenoides	Laríngeo	Cara posterior del cartilago tiroides	Apófisis muscular del cartilago aritenoides	Nervio laríngeo recurrente	Arterias tiroideas superior e inferior	Acorta y relaja los pliegues vocales, esfínter del vestíbulo laríngeo
Tirohioideo	Infrahioideo	Línea oblicua en la lámina del cartilago tiroides	Borde inferior del cuerpo y asta mayor del hioides	Ramo tirohioideo del nervio C1 a través del nervio hipogloso (NC XII)	Rama hioidea de la arteria tiroidea superior	Desciende la laringe y el hueso hioides; cuando el hueso hioides está fijado eleva la laringe
Transverso de la lengua	Intrínseco de la lengua	Tabique fibroso medio de la lengua	Dorso y lados de la lengua	Nervio hipogloso (NC XII)	Rama lingual profunda de la arteria lingual, ramas de la arteria facial	Estrecha y alarga la lengua
De la úvula	Del paladar	Espina nasal posterior, aponeurosis palatina	Mucosa de la úvula palatina	Nervio vago a través del plexo faríngeo	Arteria palatina ascendente rama de la arteria facial, arteria palatina descendente rama de la arteria maxilar	Acorta, eleva y retrae la úvula palatina
Vertical de la lengua	Intrínseco de la lengua	Mucosa de la porción anterior del dorso de la lengua	Las fibras se extienden desde el dorso a la cara inferior de la lengua	Nervio hipogloso (NC XII)	Rama lingual profunda de la arteria lingual, ramas de la arteria facial	Aplana y ensancha la lengua

MÚSCULO	GRUPO MUSCULAR	INSERCIÓN PROXIMAL (ORIGEN)	INSERCIÓN DISTAL (INSERCIÓN)	INERVACIÓN	IRRIGACIÓN	ACCIONES PRINCIPALES
Ventre frontal del occipitofrontal	Faciales (de la mímica)	Galea aponeurótica (aponeurosis epicraneal) a nivel de la sutura coronal	Piel de la región frontal, galea aponeurótica (aponeurosis epicraneal)	Ramos temporales del nervio facial	Rama frontal de la arteria temporal superficial	Arruga la piel de la frente, eleva las cejas
Ventre occipital del occipitofrontal	Faciales (de la mímica)	2/3 laterales de la línea nuchal superior y apófisis mastoides	Piel de la región occipital, galea aponeurótica (aponeurosis epicraneal)	Nervio auricular posterior del nervio facial	Rama occipital de la arteria auricular posterior, rama descendente de la arteria occipital	Mueve el cuero cabelludo hacia atrás
Vocal	Laríngeo	Apófisis vocal del cartílago aritenoides	Ligamento vocal	Nervio laríngeo recurrente	Arterias tiroideas superior e inferior	Tensa la porción anterior del ligamento vocal, relaja la porción posterior del ligamento vocal

DORSO Y MÉDULA ESPINAL

Anatomía de superficie [161](#)

Huesos y ligamentos [162-168](#)

Médula espinal [169-179](#)

Músculos y nervios [180-184](#)

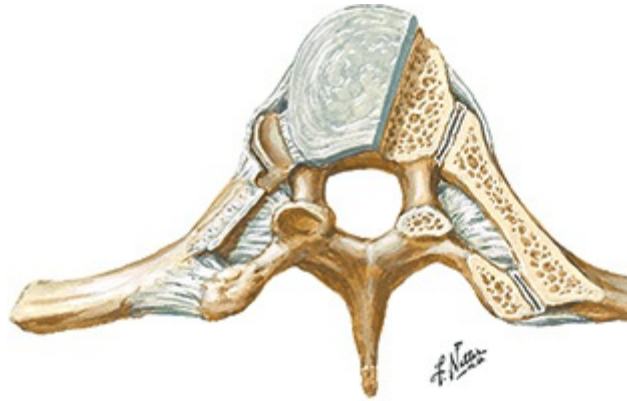
Anatomía seccional [185-186](#)

Estructuras con gran significación clínica
[Tabla 3.1](#)

Tablas de músculos [Tablas 3.2-3.3](#)

Láminas electrónicas extra [BP33-BP43](#)

LÁMINAS ELECTRÓNICAS EXTRA



BP33 Ligamentos vertebrales



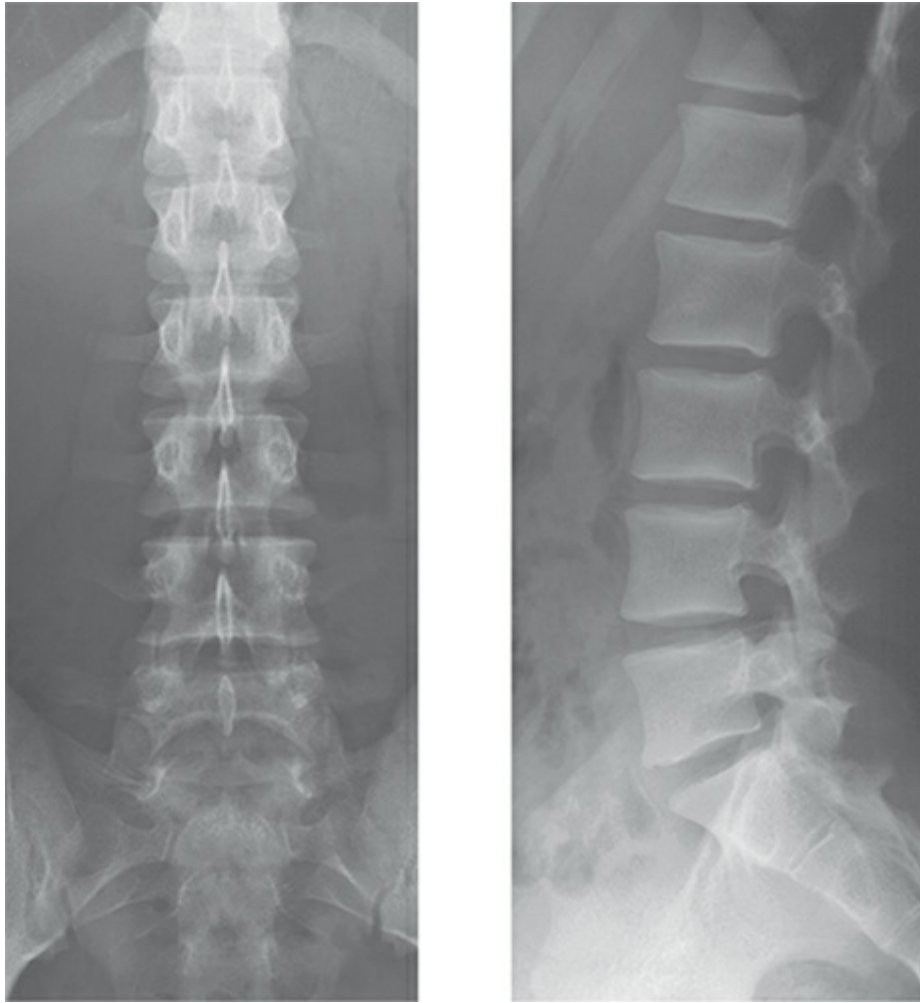
BP34 Columna cervical: radiografías



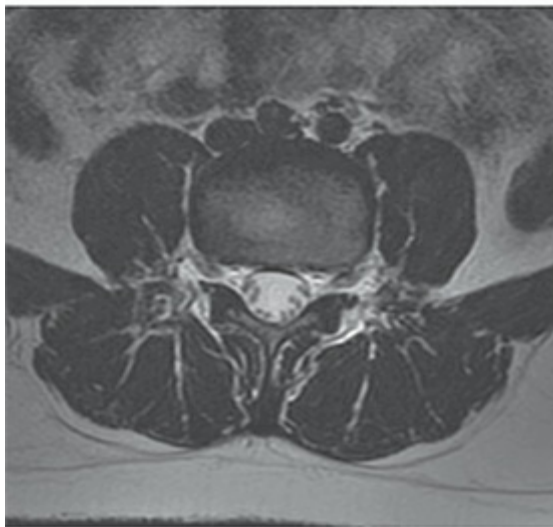
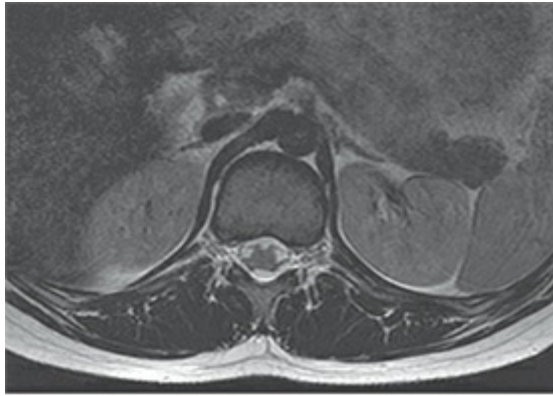
BP35 Columna cervical: RM y radiografía



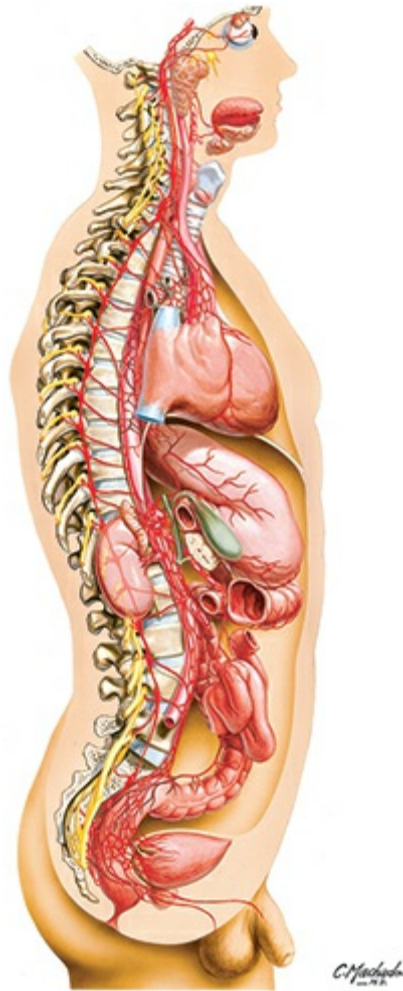
BP36 Columna toracolumbar: radiografía lateral



BP37 Vértebras lombares: radiografías



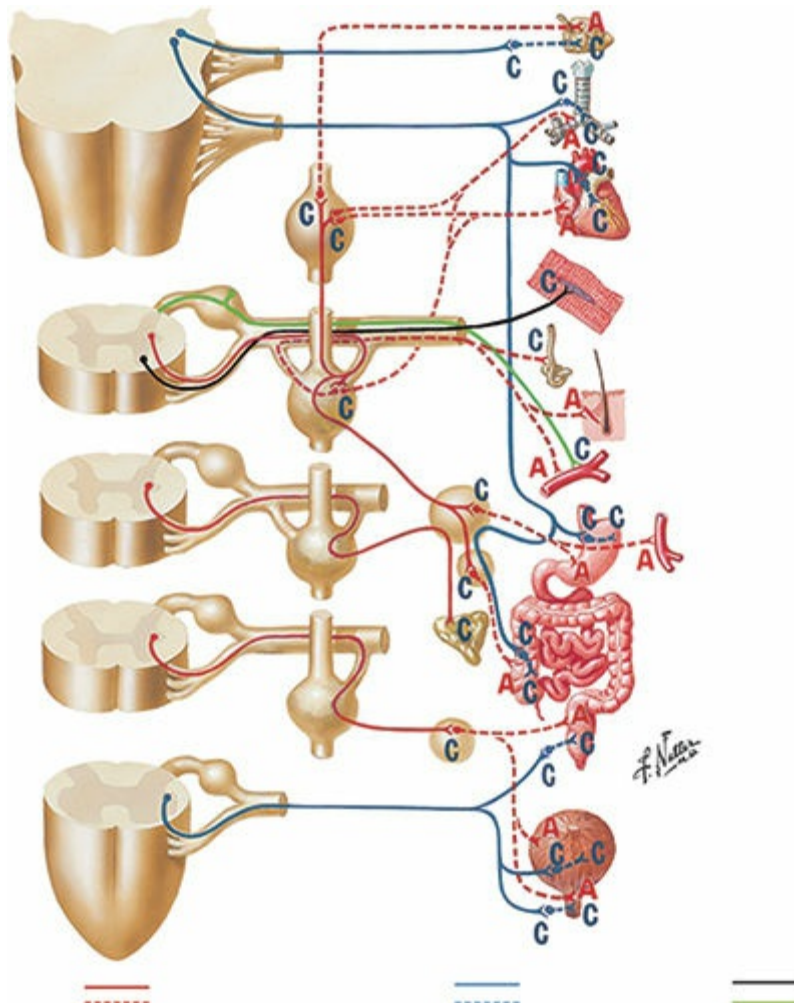
BP38 Columna lumbar: RM



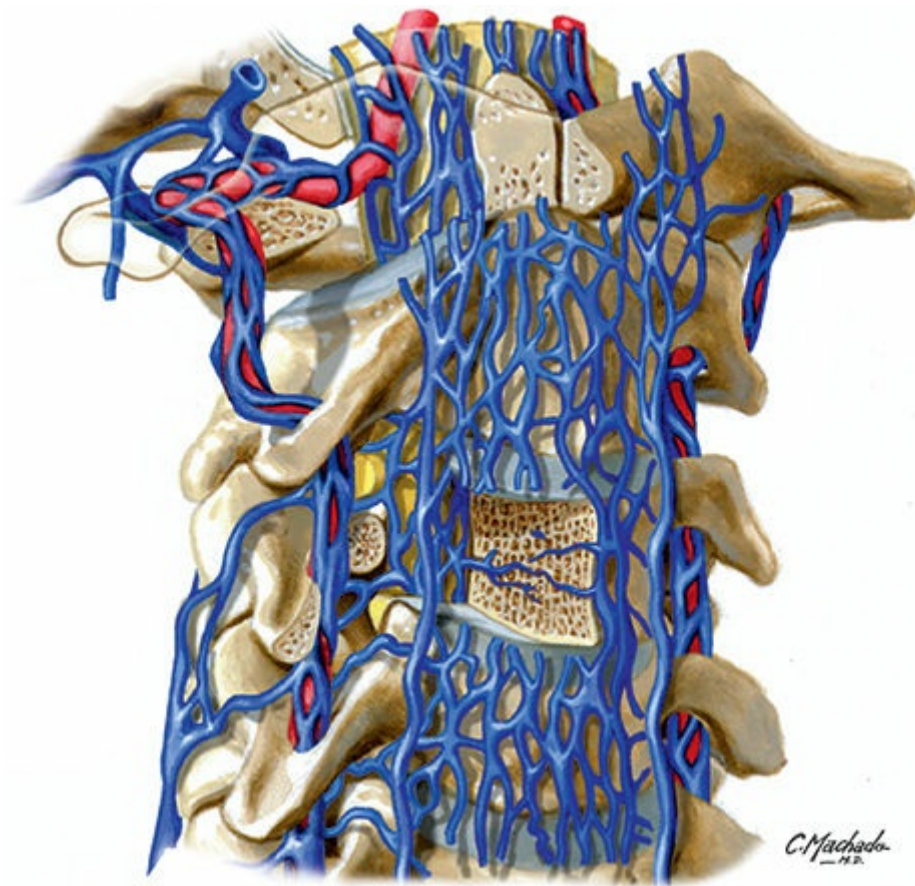
BP39 Sistema nervioso simpático: topografía general



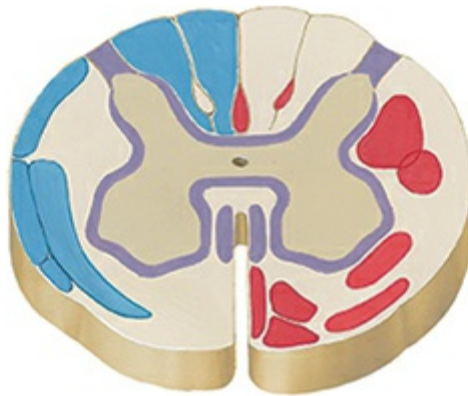
BP40 Sistema nervioso parasimpático: topografía general



BP41 Sinapsis colinérgica y adrenérgica:
esquema



BP42 Venas vertebrales: detalle que muestra las comunicaciones venosas

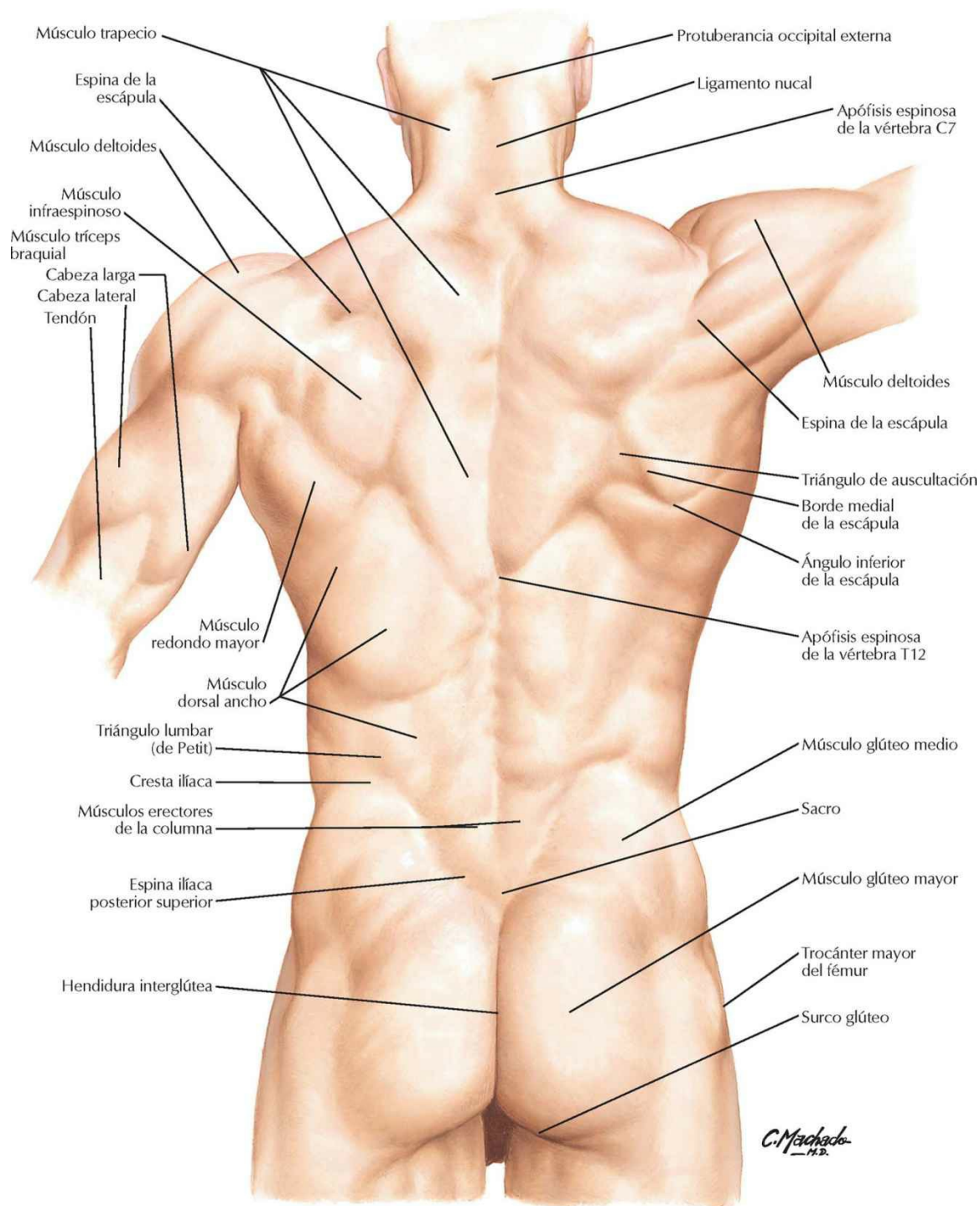


BP43 Secciones transversales de la médula espinal: tractos de fibras

Anatomía de superficie

Dorso: anatomía de superficie

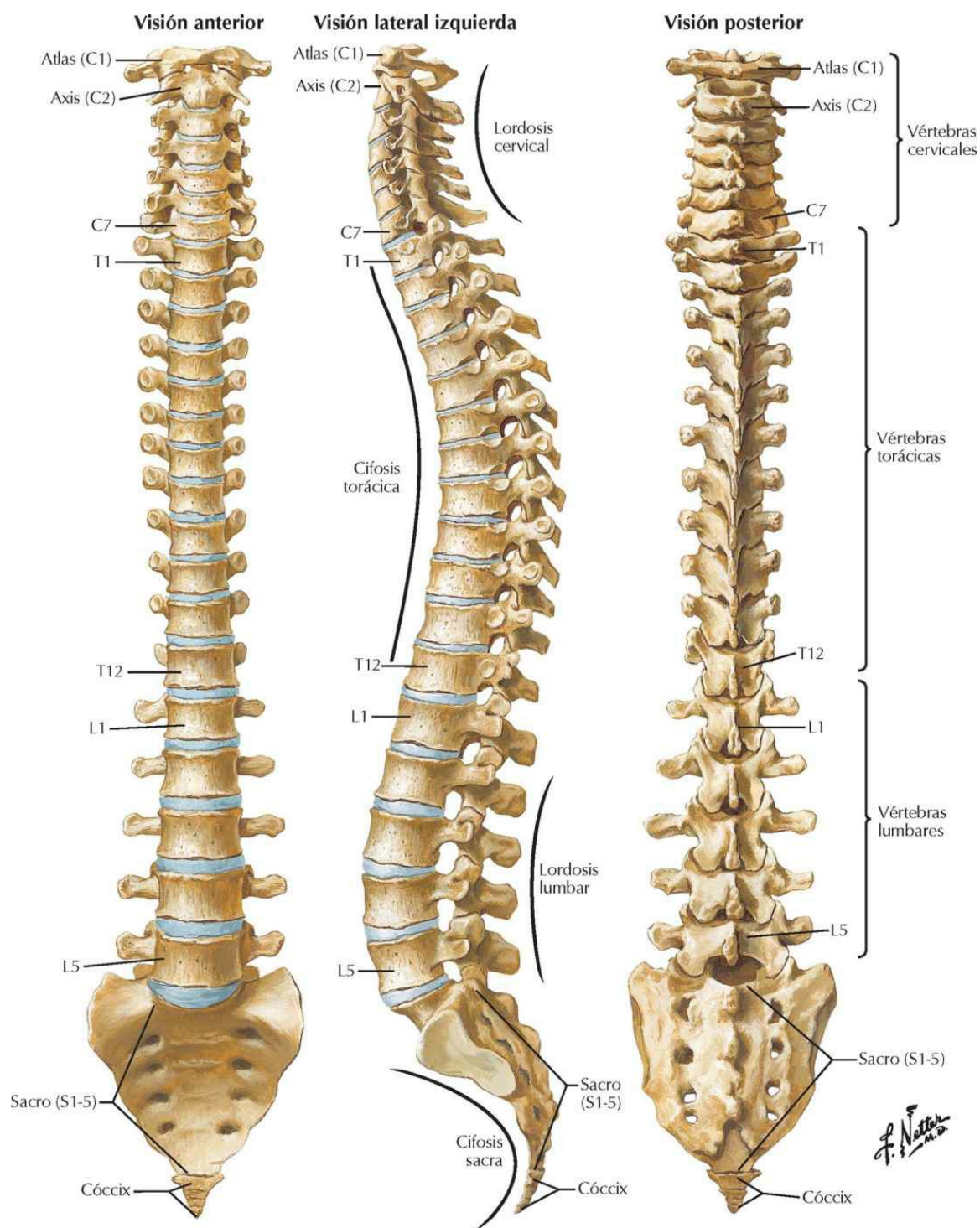
Véanse también láminas 162, 171, 180



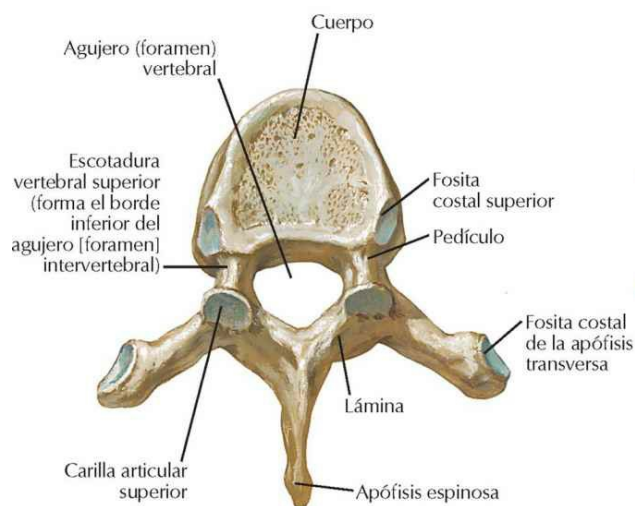
Huesos y ligamentos

Columna vertebral

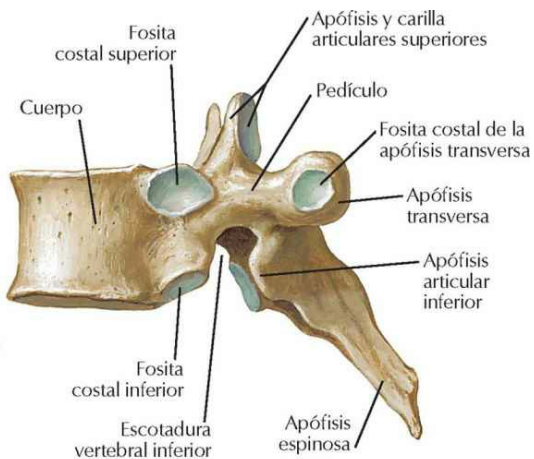
Véanse también láminas 28, 192, 250



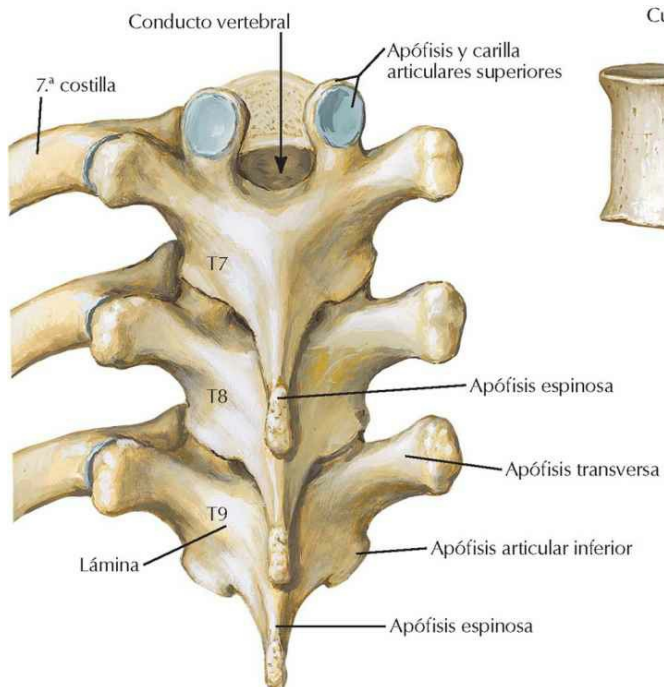
Vértebras torácicas



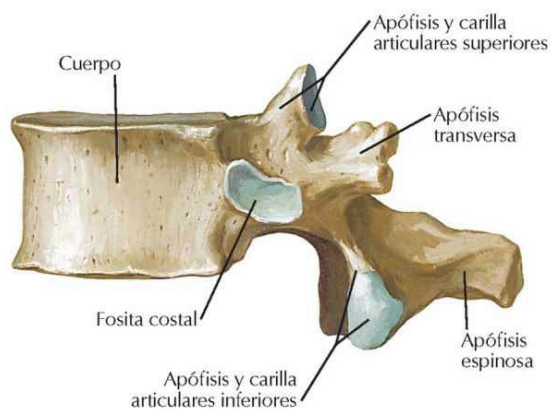
**Vértebra T6:
visión superior**



**Vértebra T6:
visión lateral**



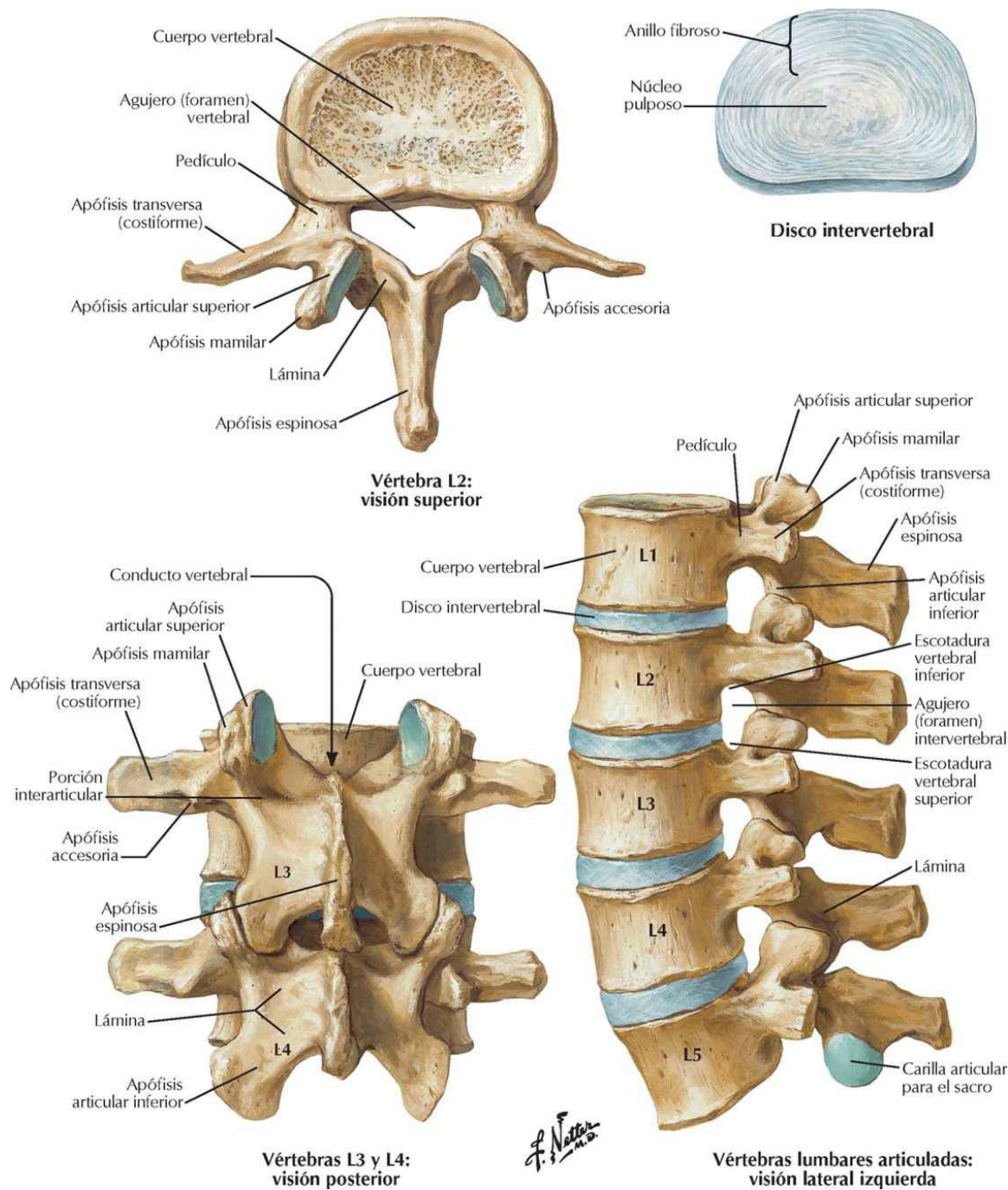
**Vértebras T7, T8 y T9:
visión posterior**



**Vértebra T12:
visión lateral**

F. Netter M.D.

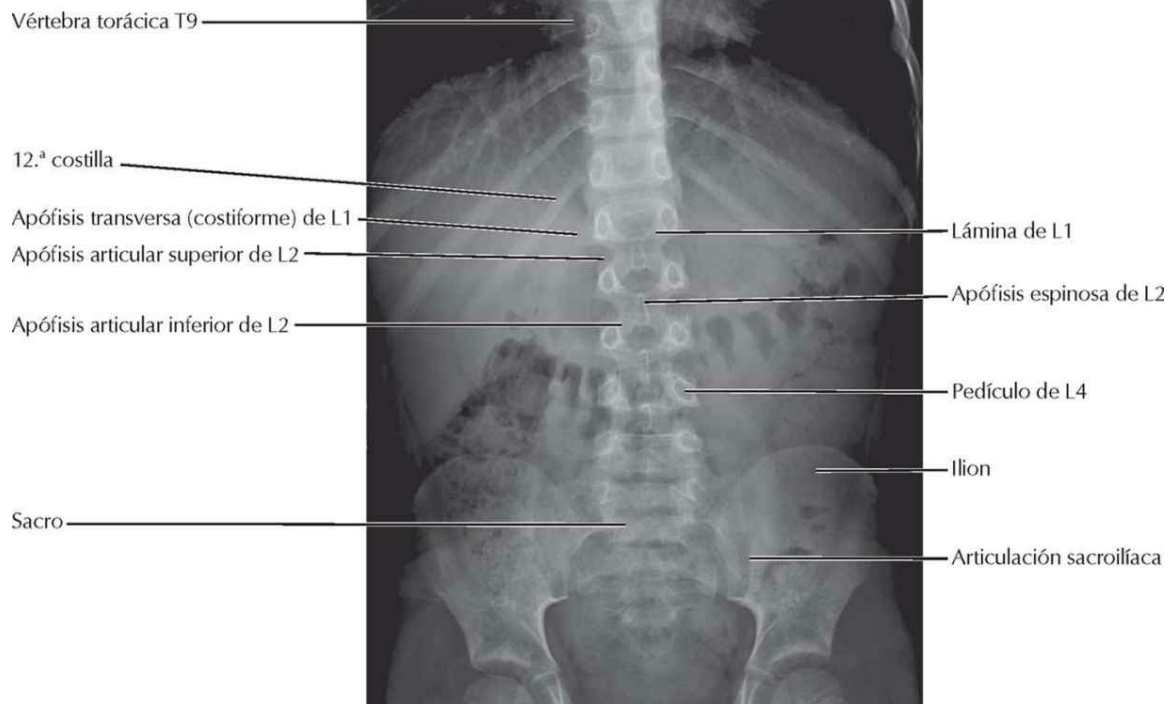
Vértebras lumbares



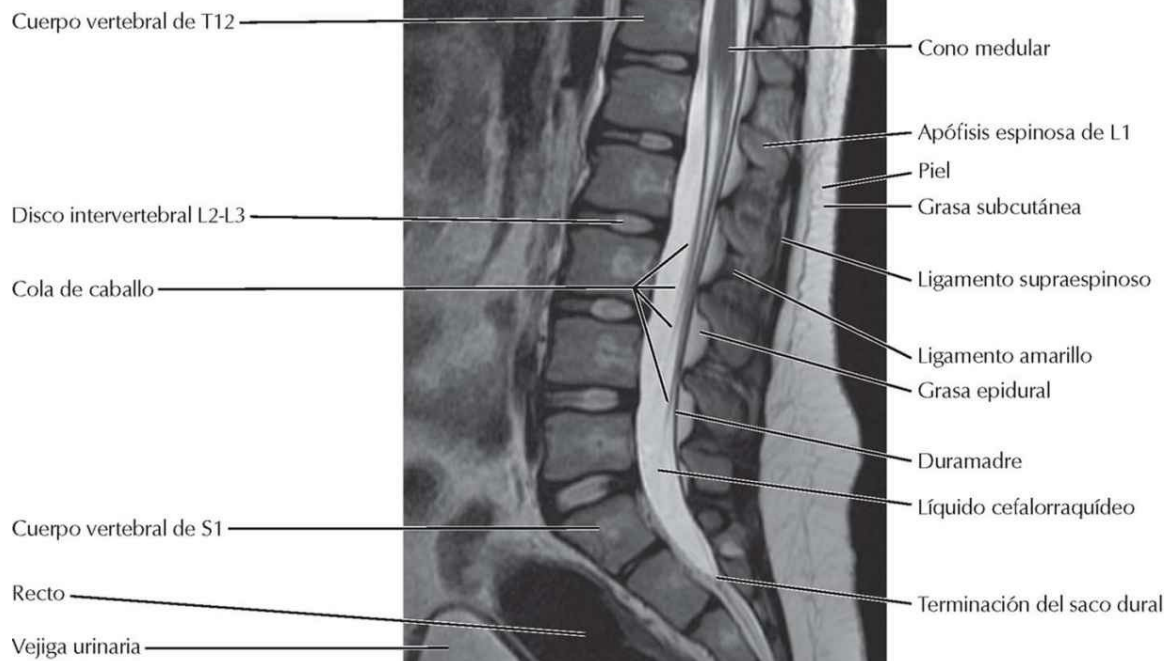
Vértebras: radiografía y RM

Véanse también láminas 162, 250

**Radiografía anteroposterior
de la columna toracolumbar**

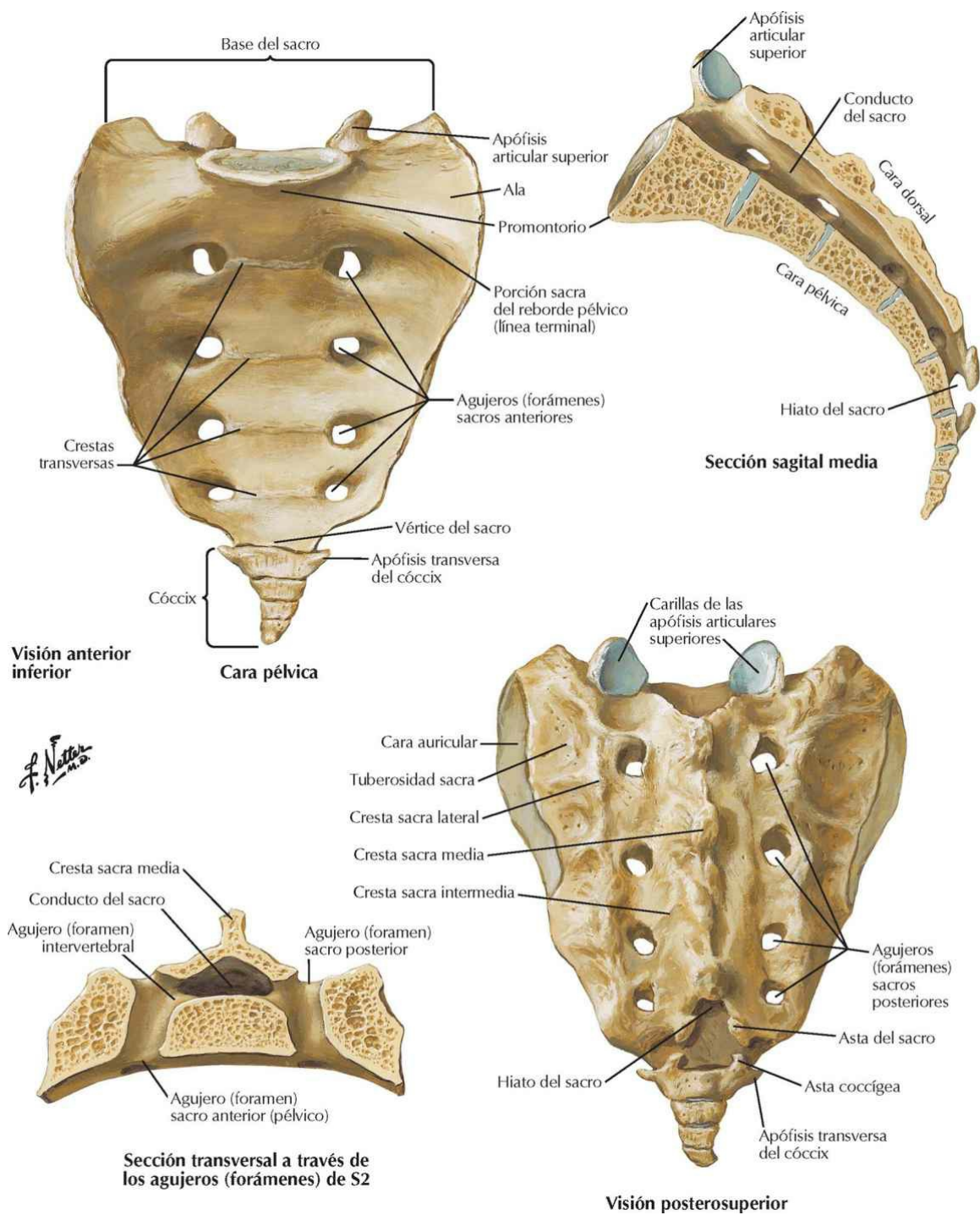


**RM sagital potenciada en T2
de la columna lumbar**

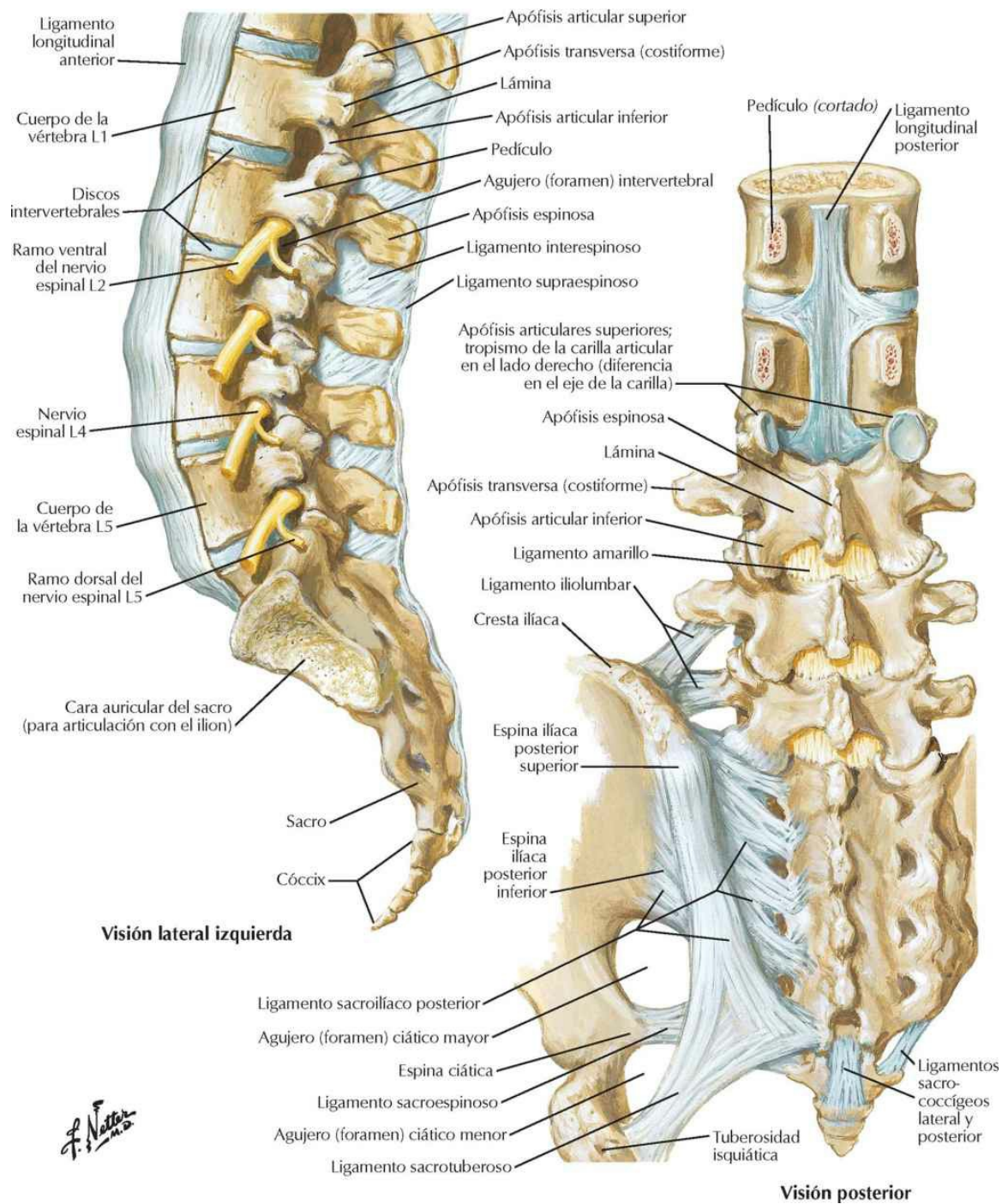


Sacro y cóccix

Véanse también láminas 334, 338

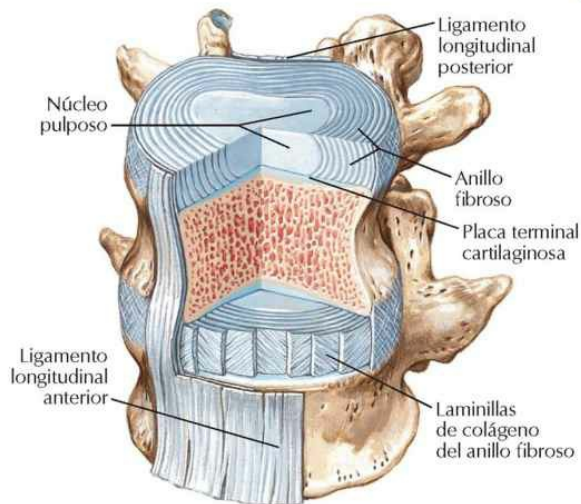
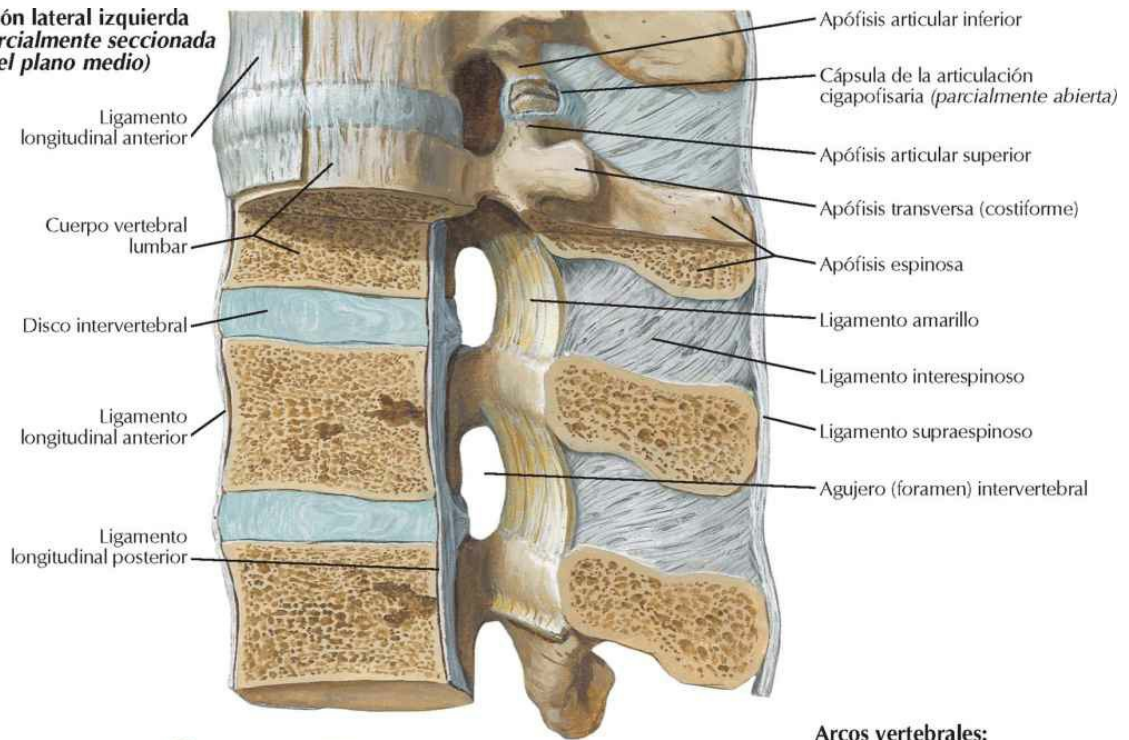


Ligamentos vertebrales: región lumbosacra



Ligamentos vertebrales: región lumbar

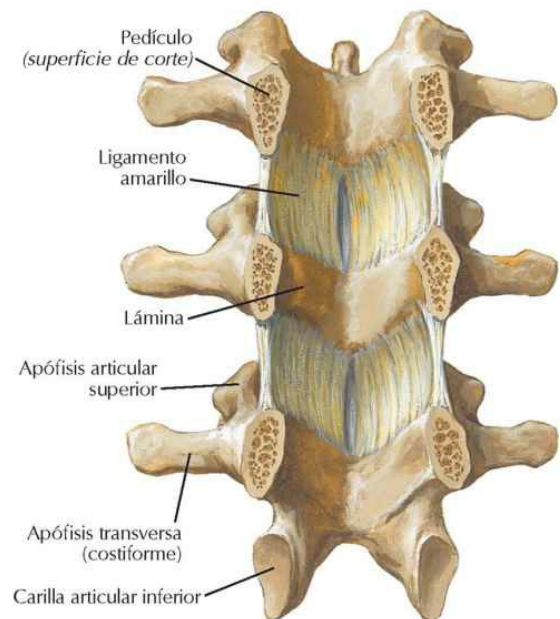
**Visión lateral izquierda
(parcialmente seccionada
en el plano medio)**



Disco intervertebral compuesto por una zona nuclear central de colágeno y proteoglucanos hidratados rodeada de laminillas concéntricas de fibras de colágeno

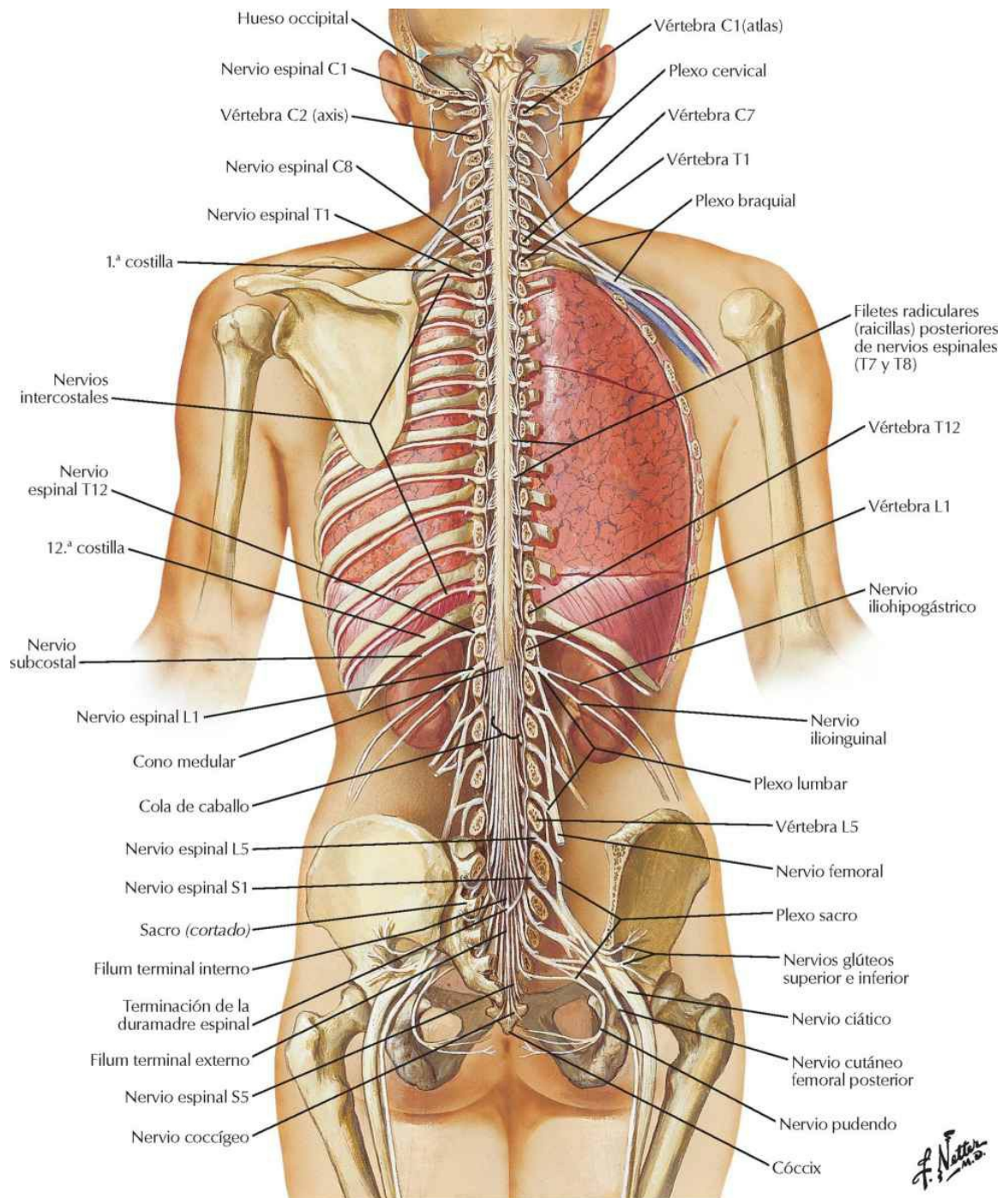
F. Natter
m.d.
C. Machado
m.d.

**Arcos vertebrales:
visión anterior**

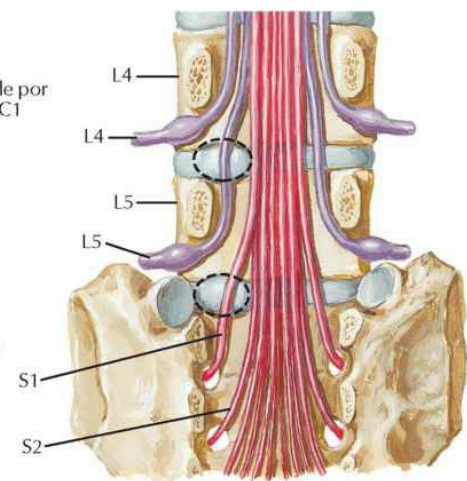
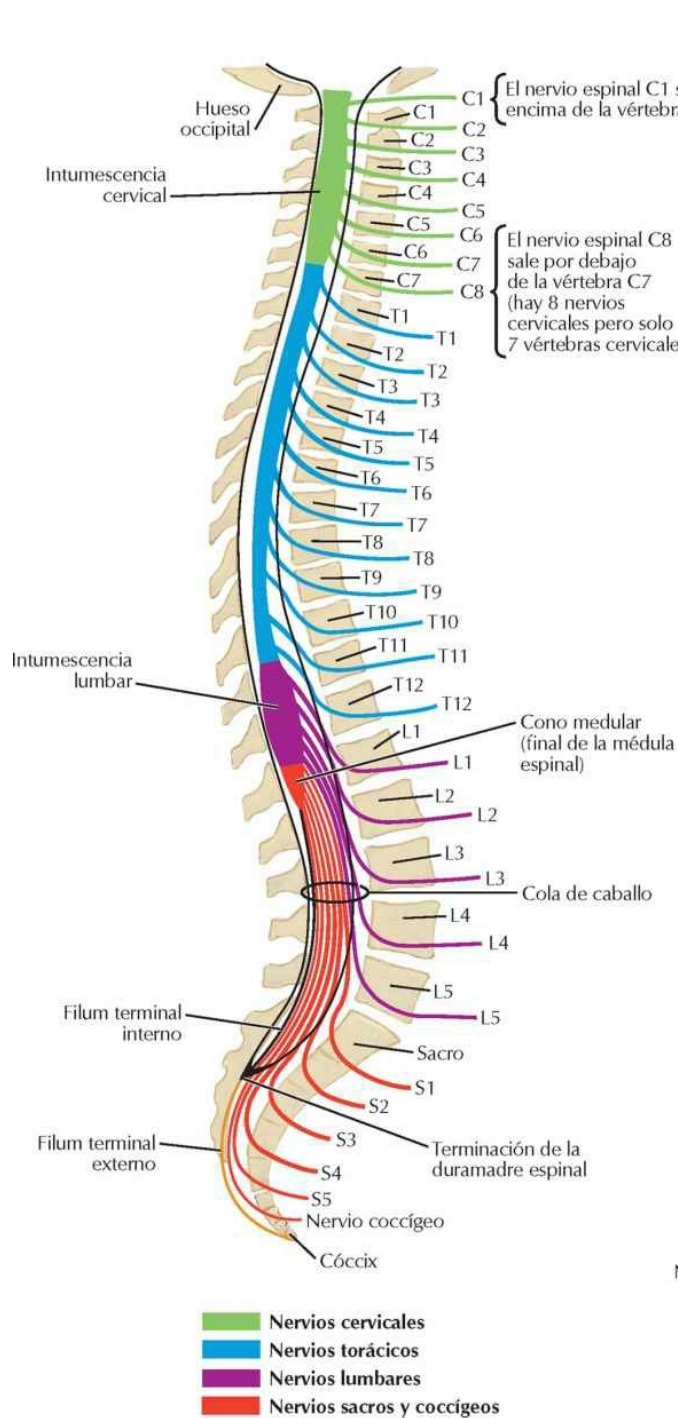


Médula espinal

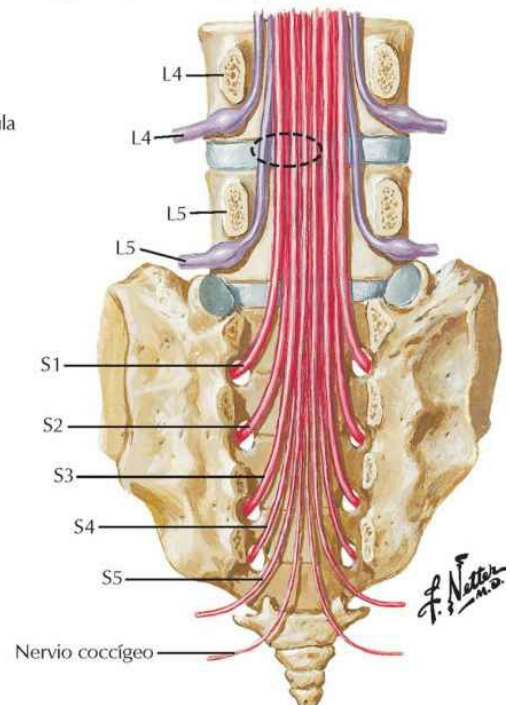
Médula espinal y ramos ventrales espinales



Relación de las raíces de los nervios espinales con las vértebras

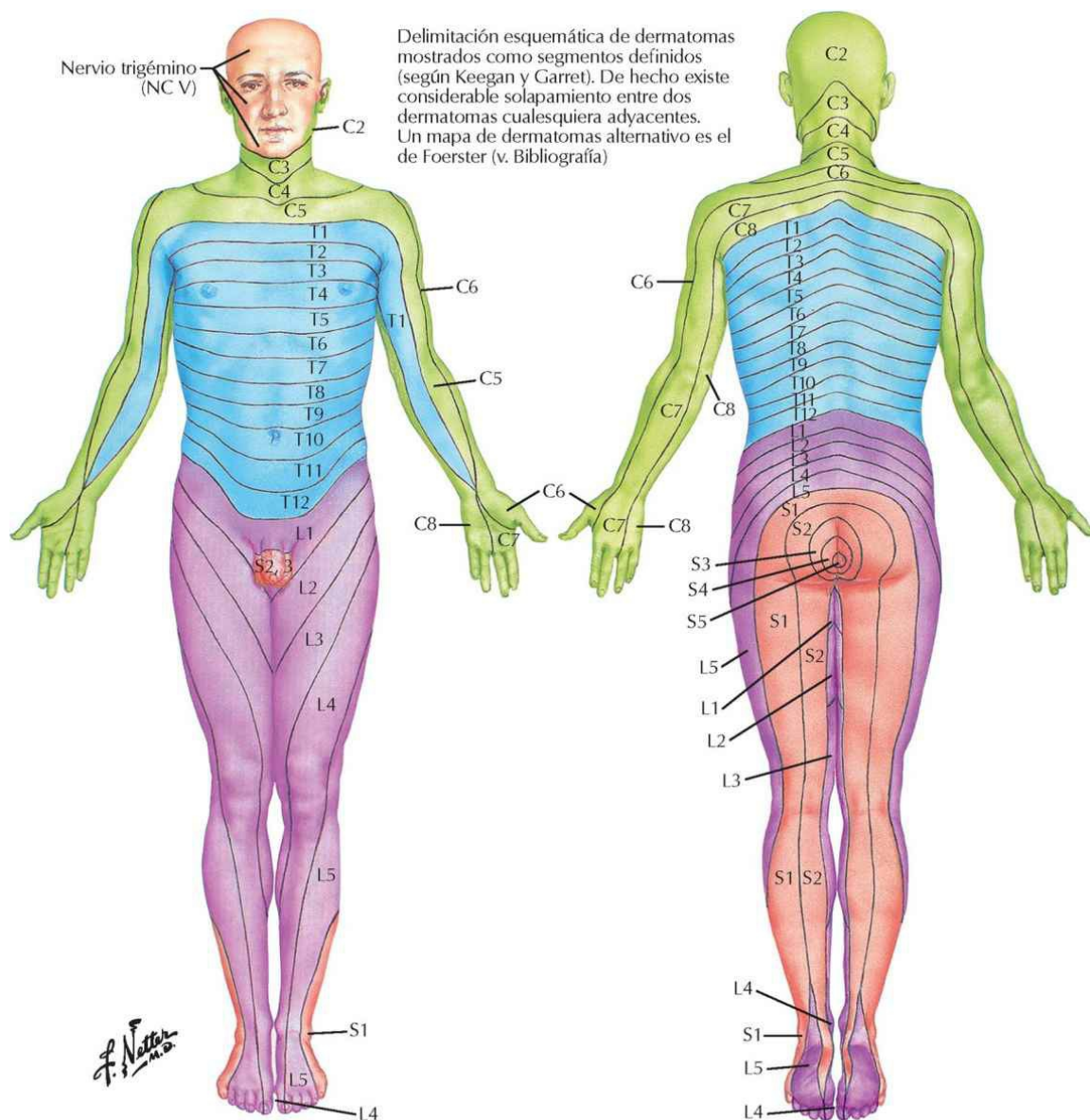


La protrusión de un disco lumbar (óvalos discontinuos) normalmente no afecta el nervio que sale por encima del disco. La protrusión lateral a nivel del disco L4-5 afecta el nervio espinal L5, no el nervio espinal L4. La protrusión del disco a nivel L5-S1 afecta el nervio espinal S1, no el nervio espinal L5



La protrusión medial a nivel del disco L4-5 (óvalo discontinuo) raramente afecta el nervio espinal L4, pero puede afectar el nervio espinal L5 y a veces los nervios espinales S1-4

Dermatomas



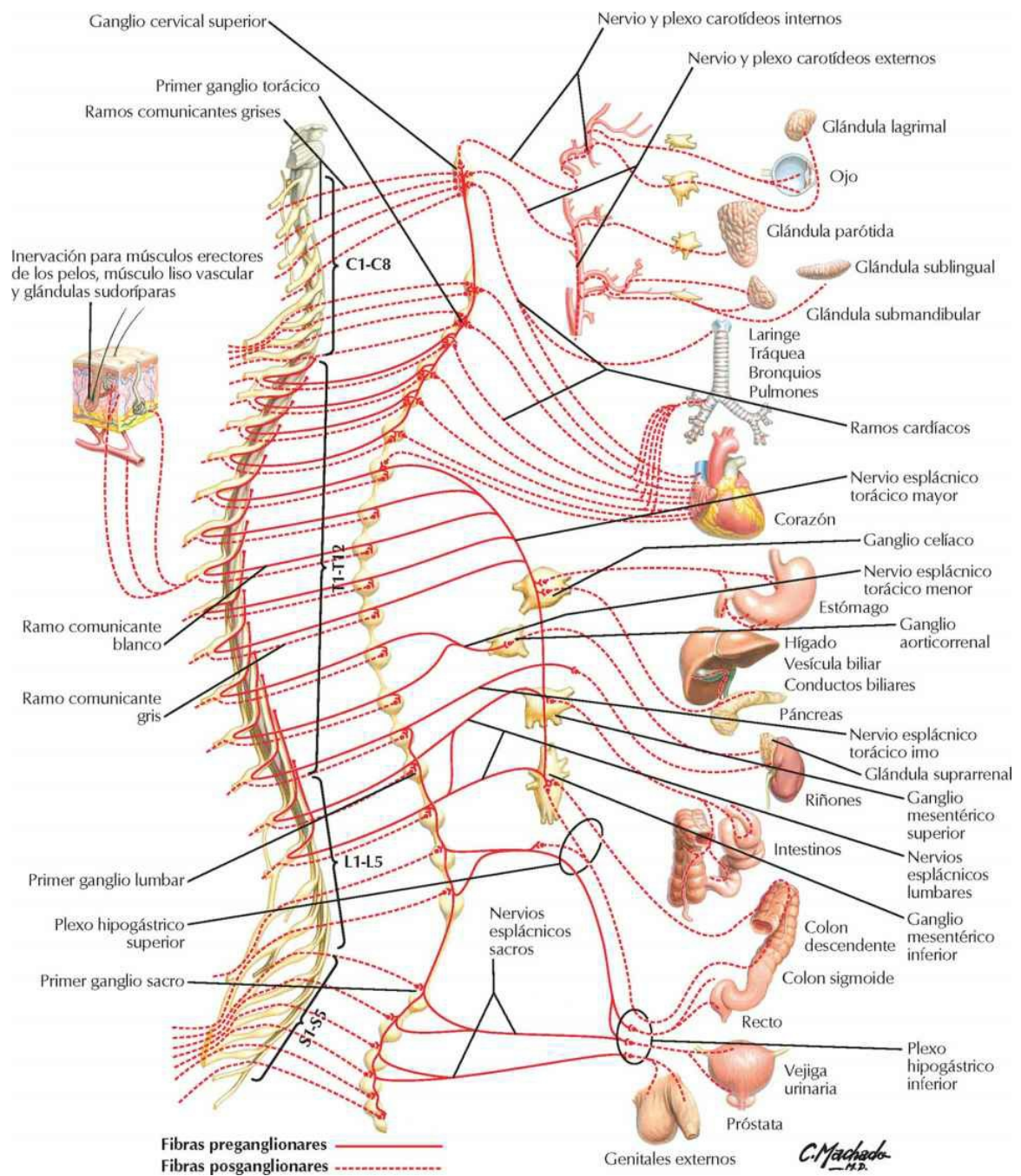
Niveles de los principales dermatomas

C5	Nivel de las clavículas
C5, 6	Partes laterales de los miembros superiores
C8, T1	Partes mediales de los miembros superiores
C6	Primer dedo (pulgar)
C6, 7, 8	Mano
C8	4.º y 5.º dedos (dedos anular y meñique)
T4	Nivel de los pezones

T10	Nivel del ombligo
L1	Región inguinal
L1, 2, 3, 4	Caras anterior y medial de los miembros inferiores
L4, 5, S1	Pie
L4	Cara medial del 1.º dedo (dedo gordo del pie)
L5, S1, 2	Caras posterior y lateral de los miembros inferiores
S1	Borde lateral del pie y 5.º dedo (dedo pequeño del pie)
S2, 3, 4	Periné

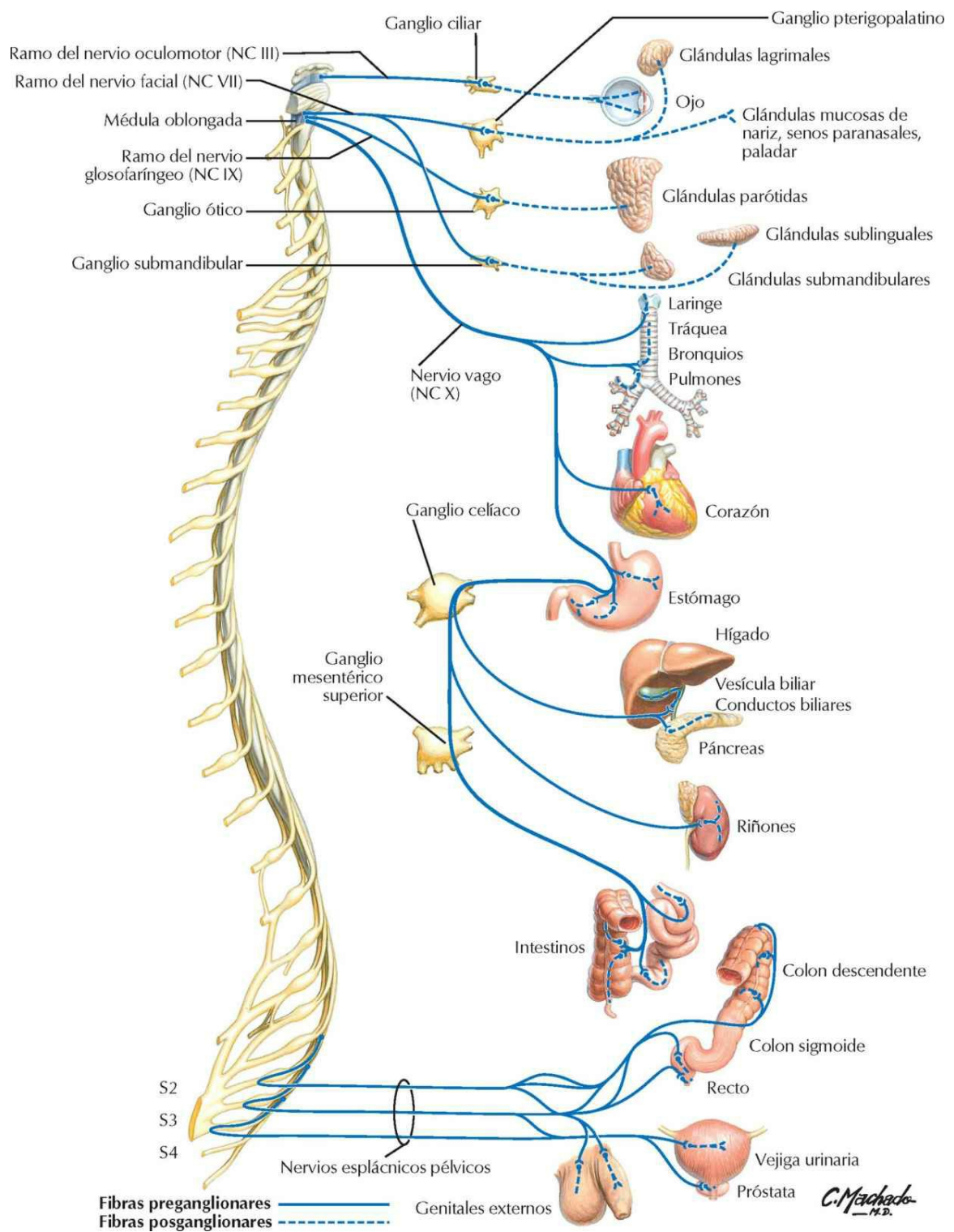
Sistema nervioso simpático: esquema

Véanse también láminas 213, 320, 322



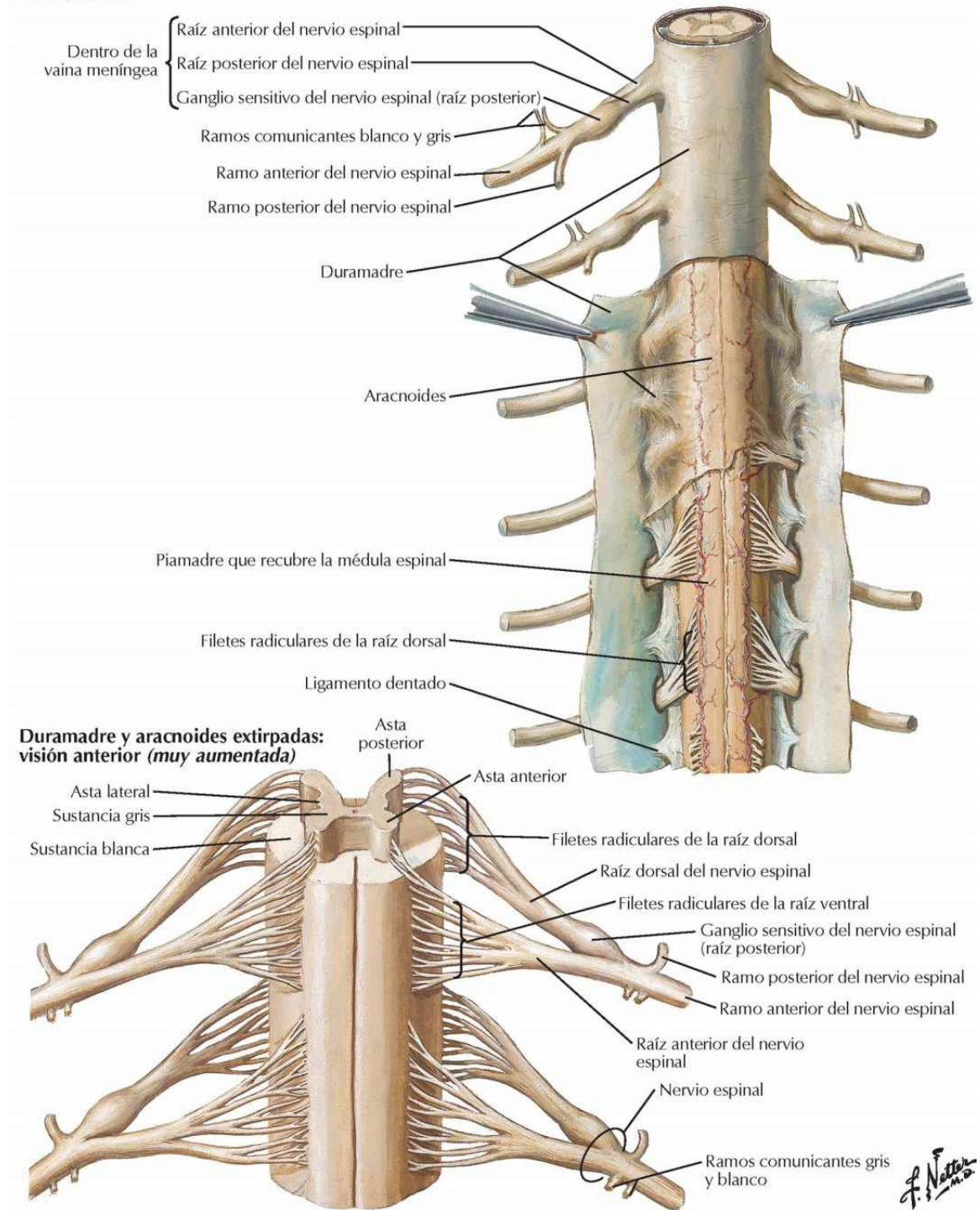
Sistema nervioso parasimpático: esquema

Véanse también láminas 306, 394



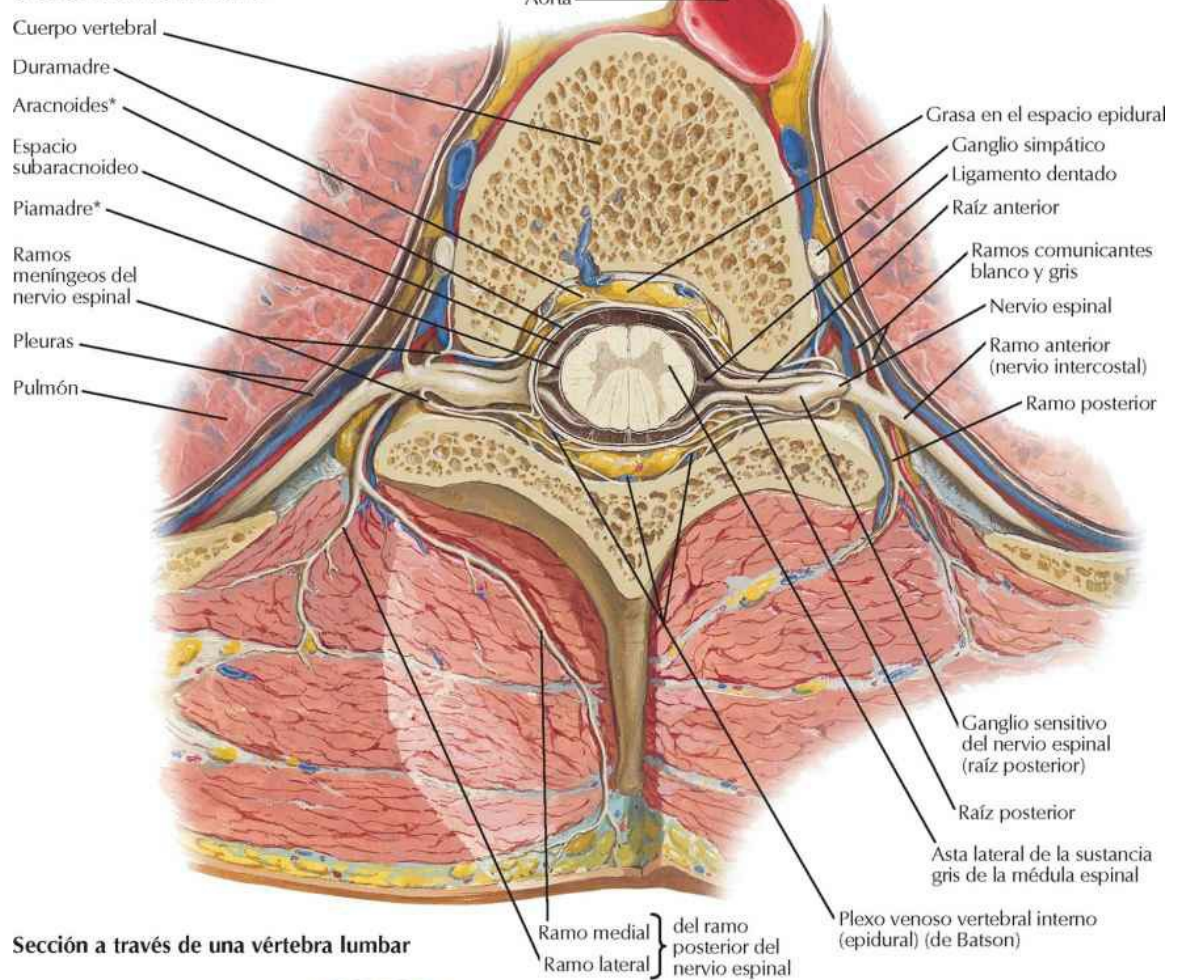
Meninges y raíces nerviosas espinales

Visión posterior

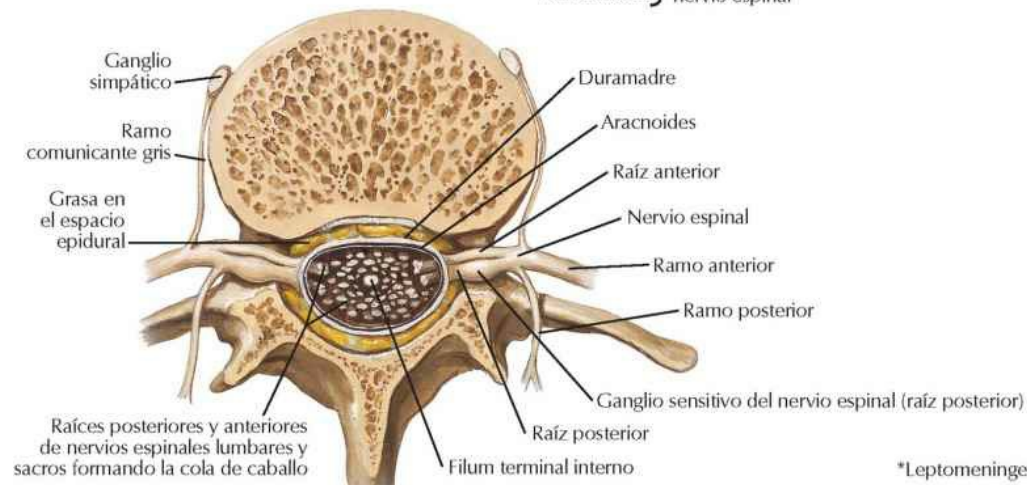


Origen del nervio espinal: secciones transversales

Sección a través del tórax

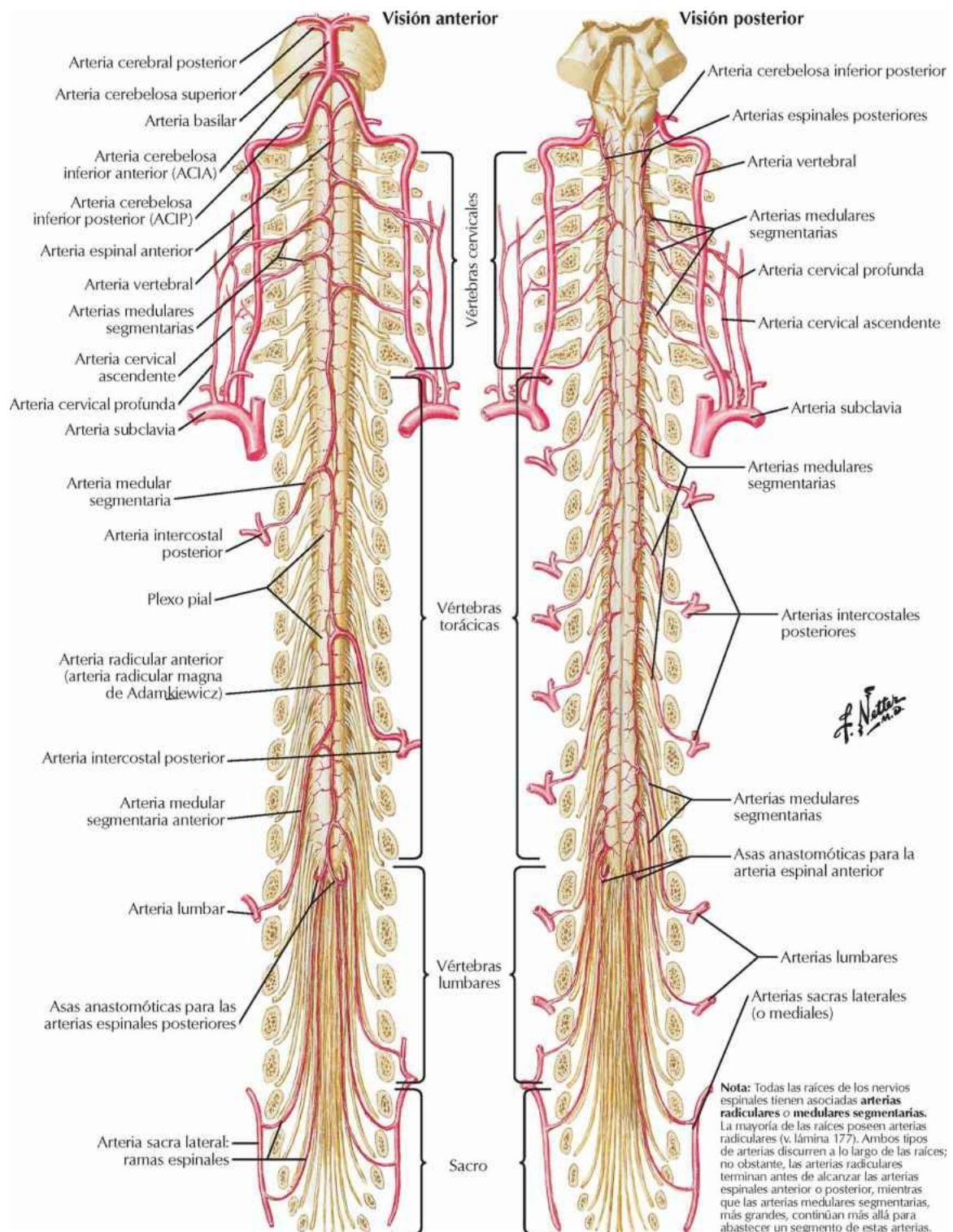


Sección a través de una vértebra lumbar

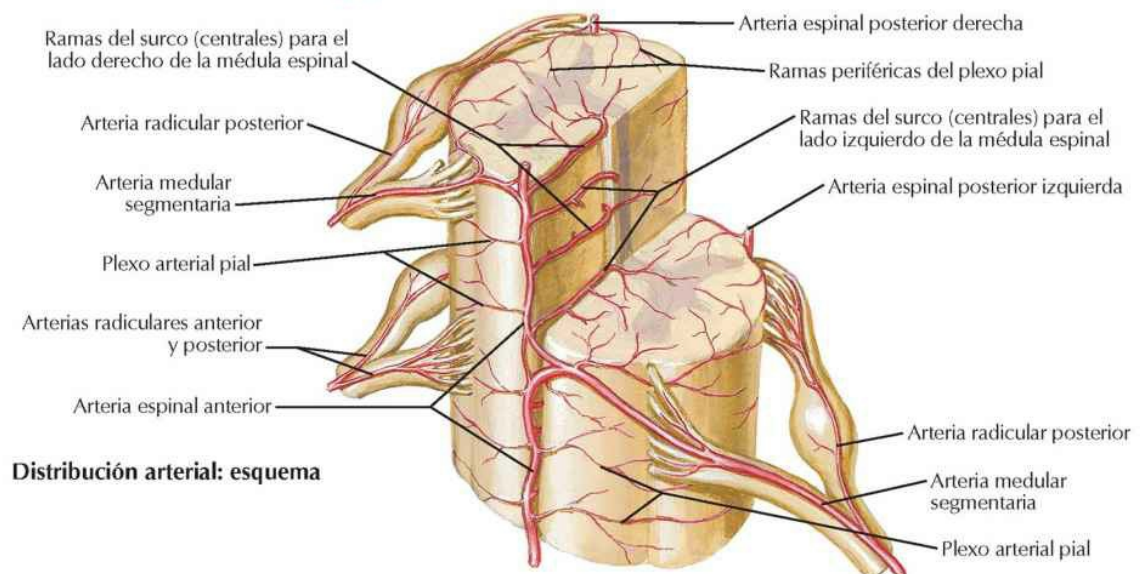
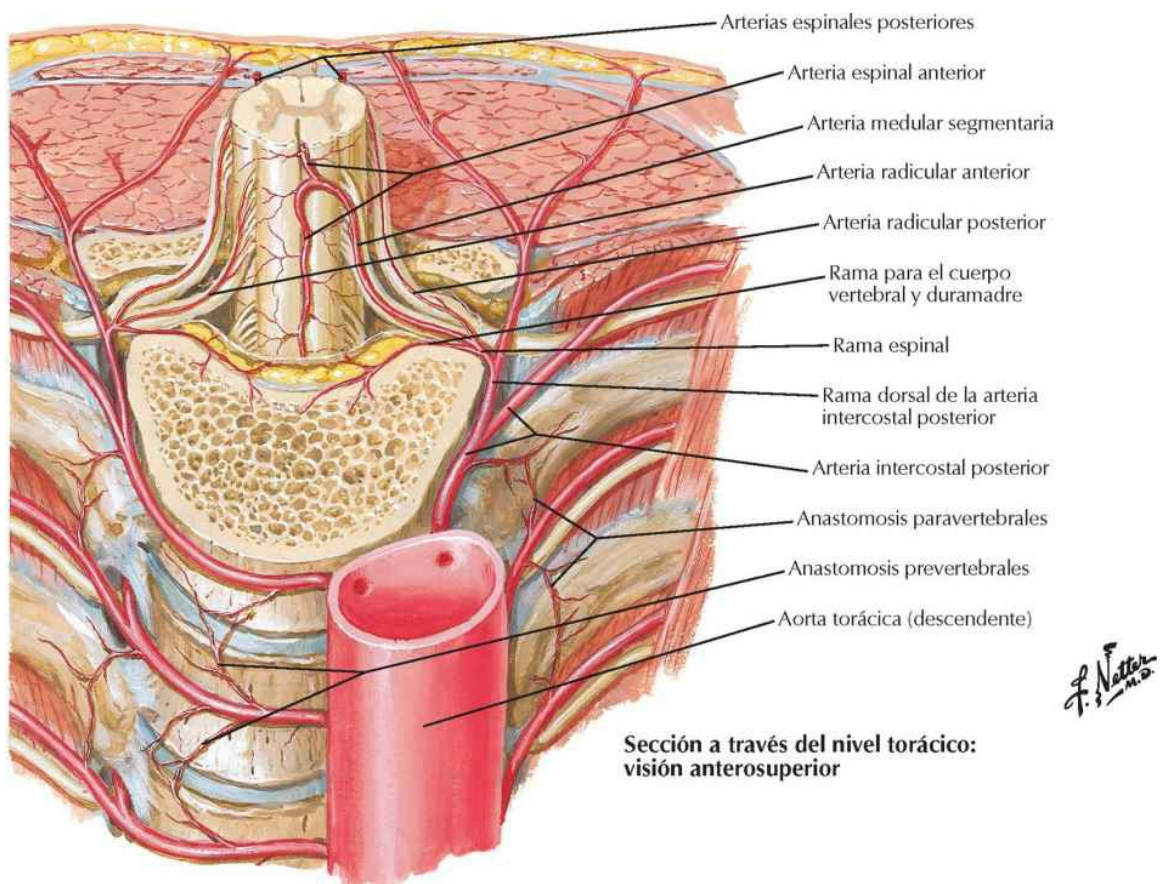


*Leptomeninges

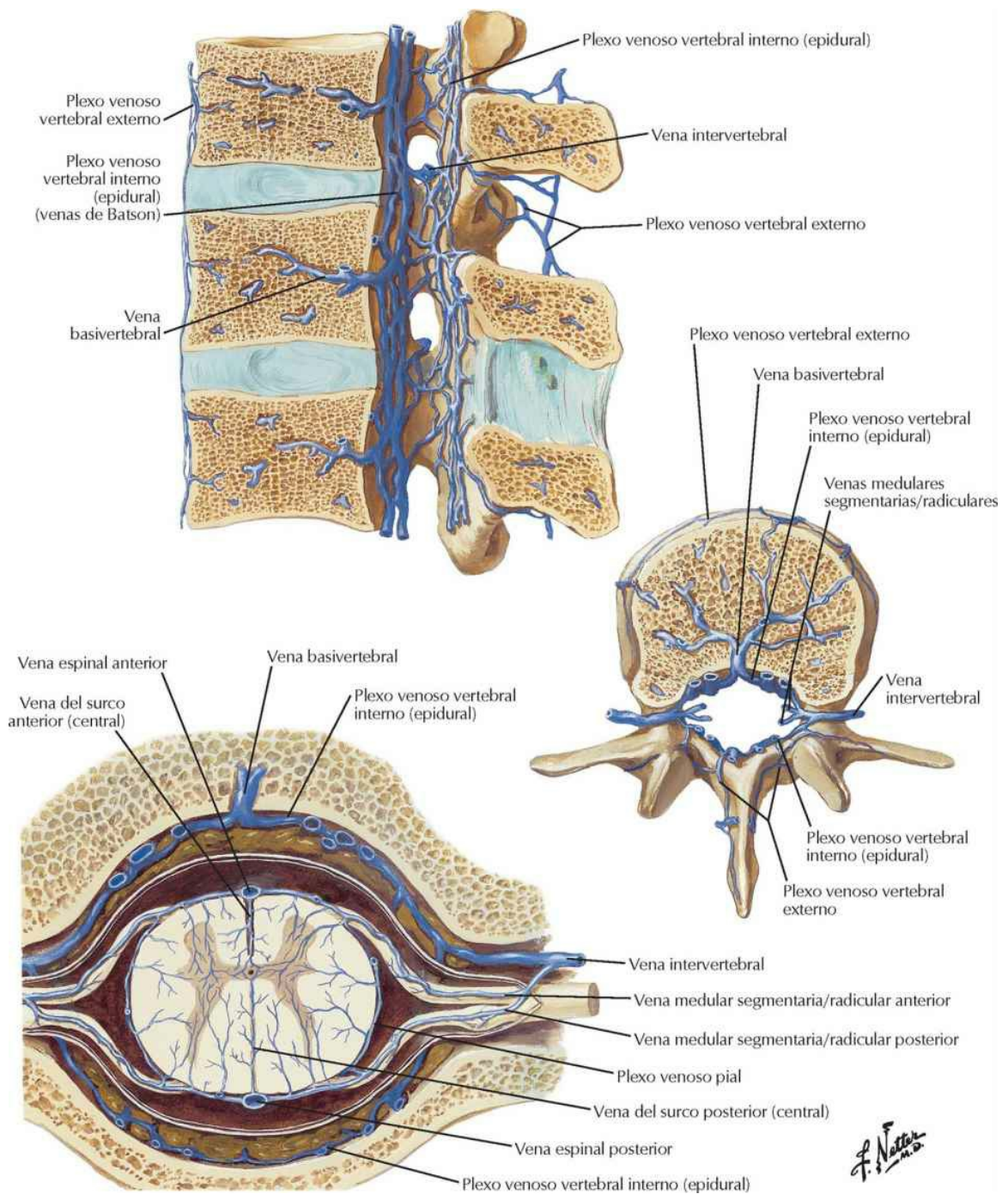
Arterias de la médula espinal: esquema



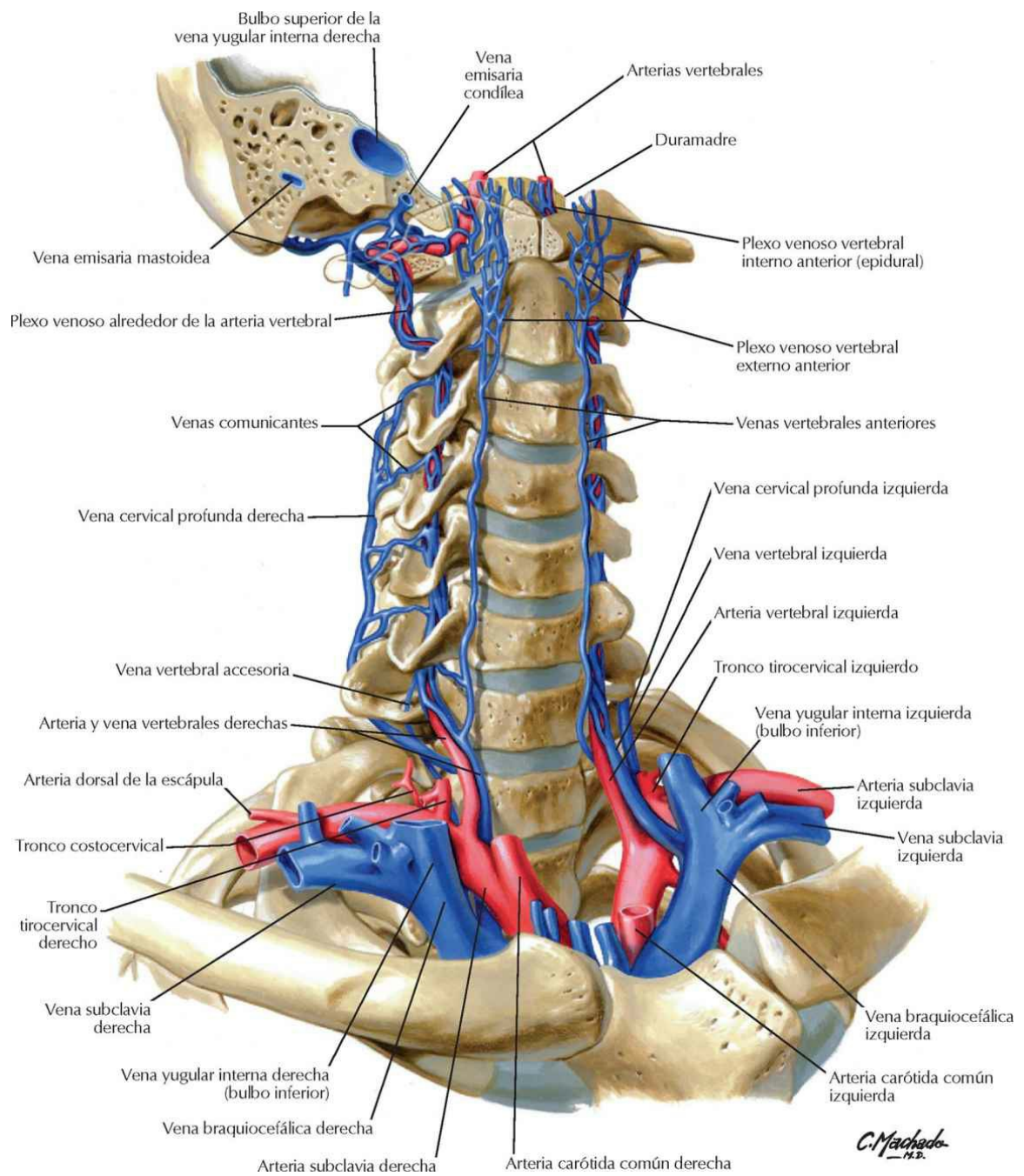
Arterias de la médula espinal: distribución intrínseca



Venas de la médula espinal y columna vertebral



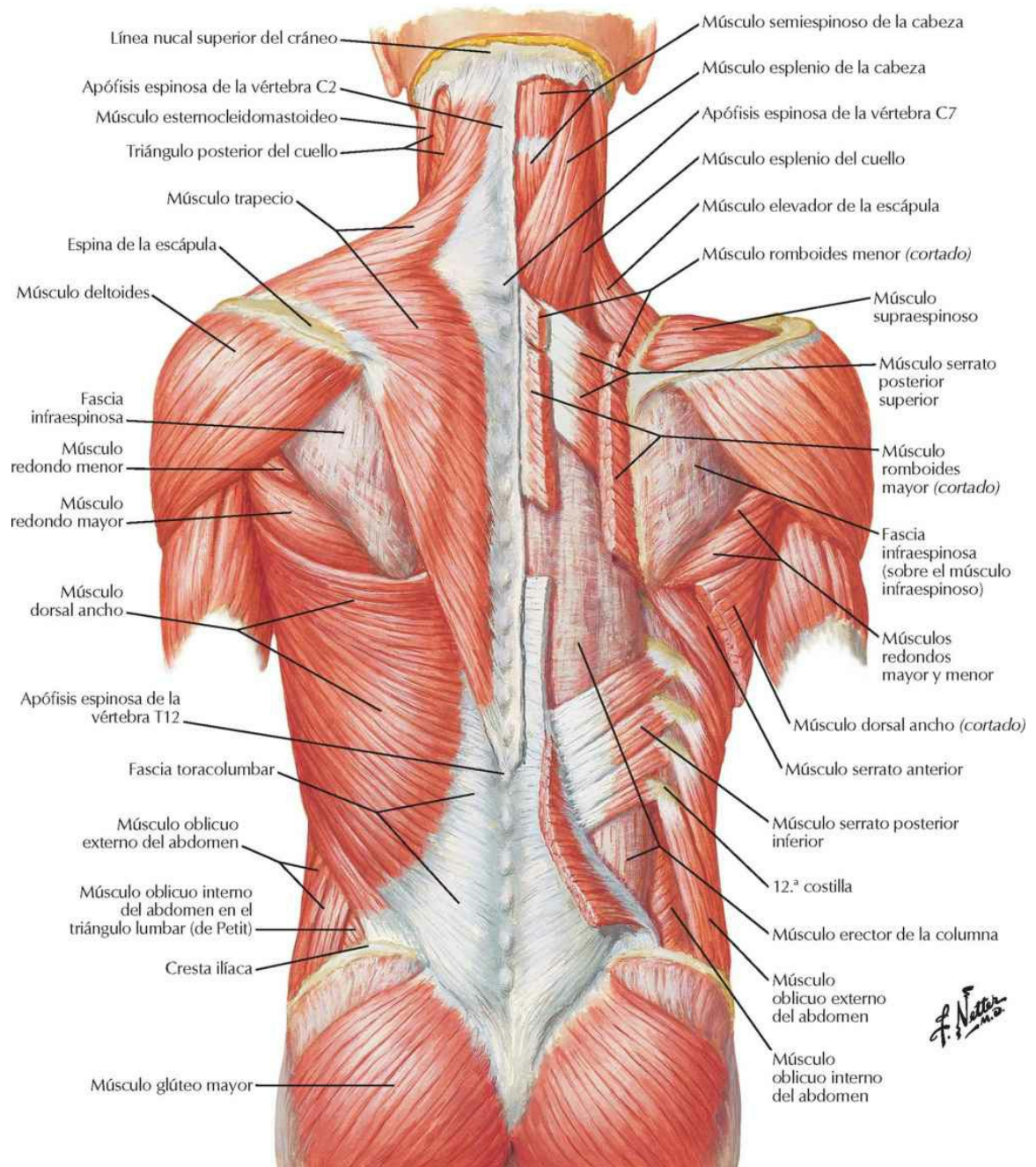
Venas de la columna vertebral: venas vertebrales



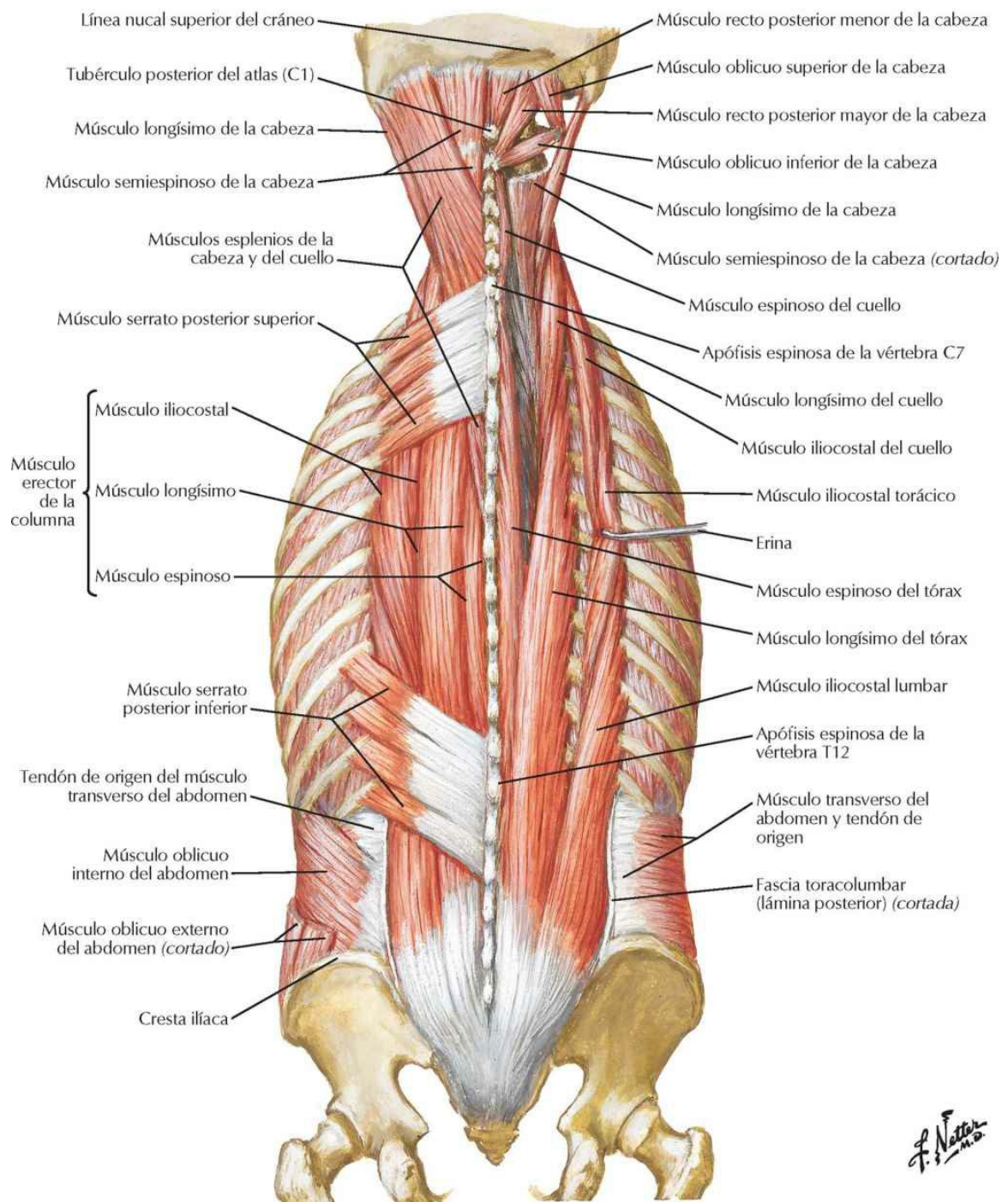
Músculos y nervios

Músculos del dorso: planos superficiales

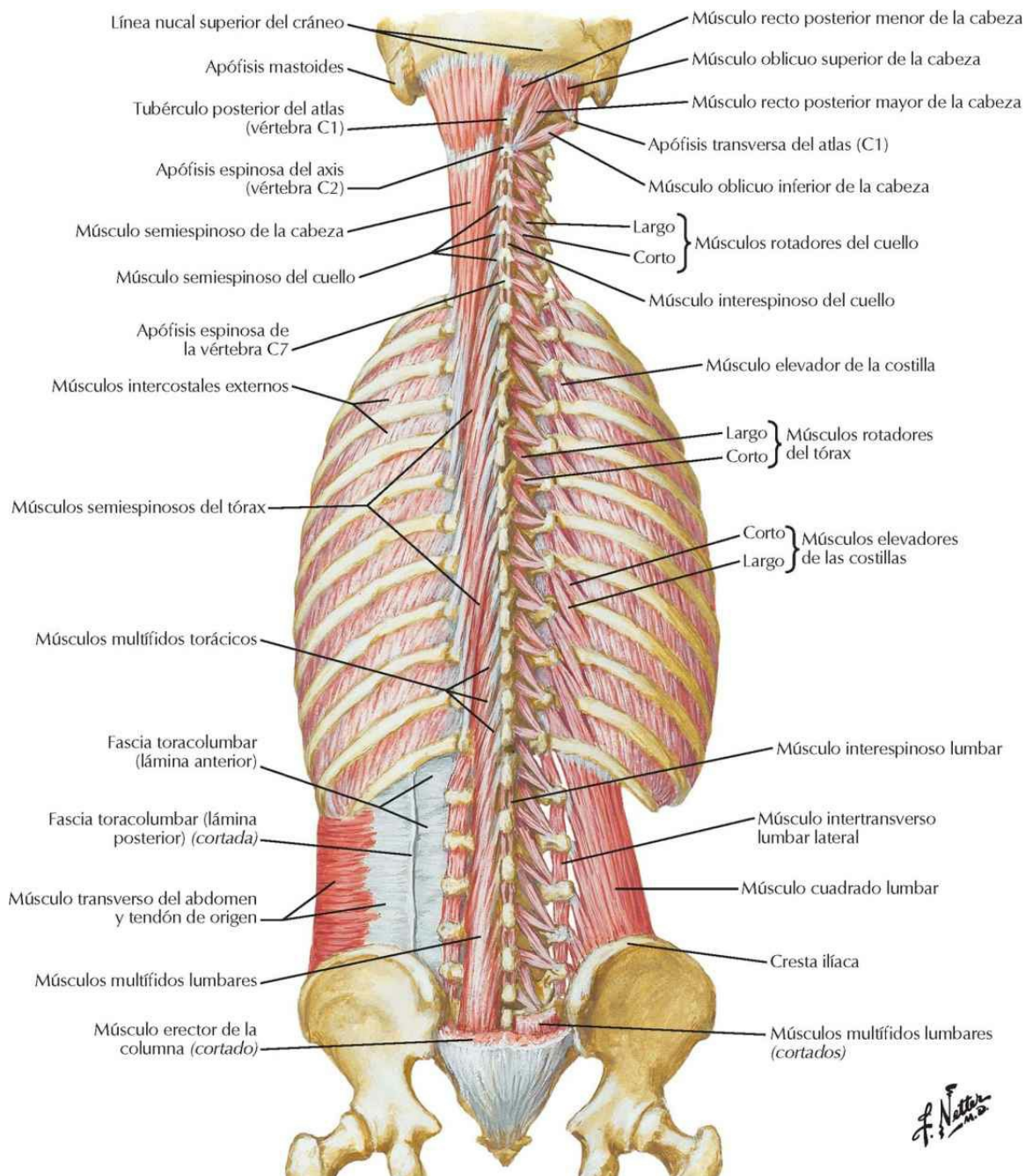
Véanse también láminas 36, 257



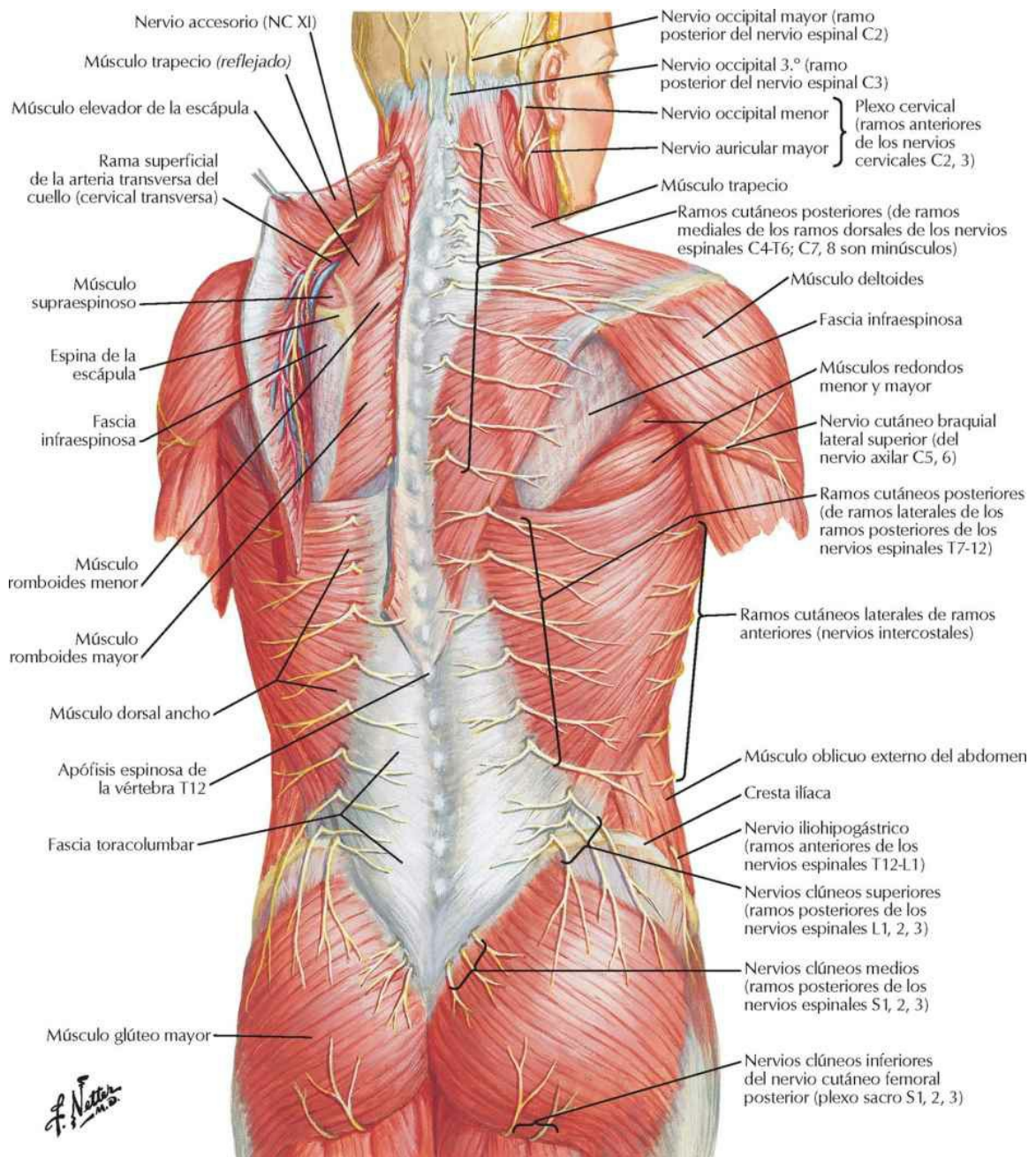
Músculos del dorso: planos intermedios



Músculos del dorso: planos profundos

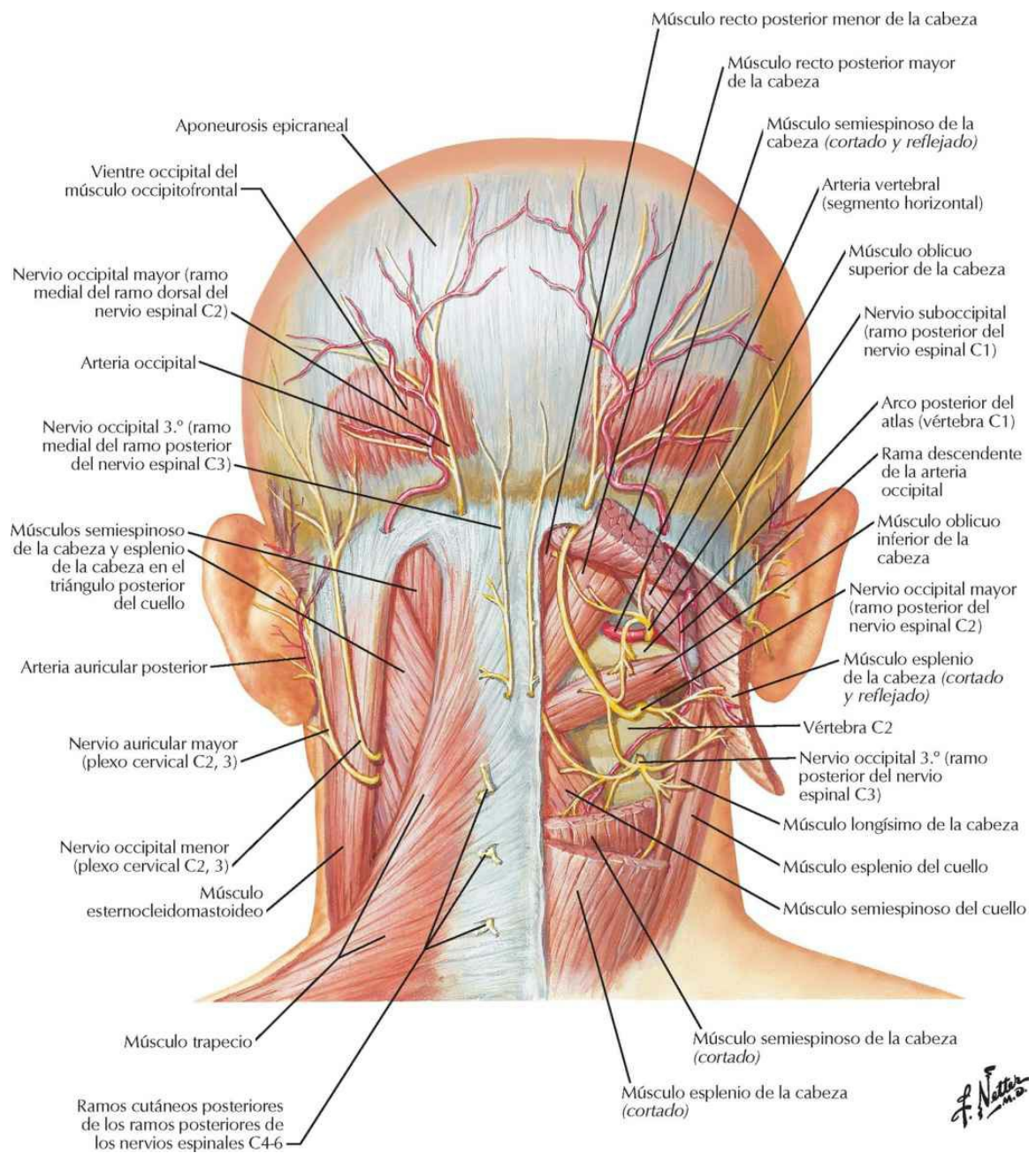


Nervios del dorso



Triángulo suboccipital

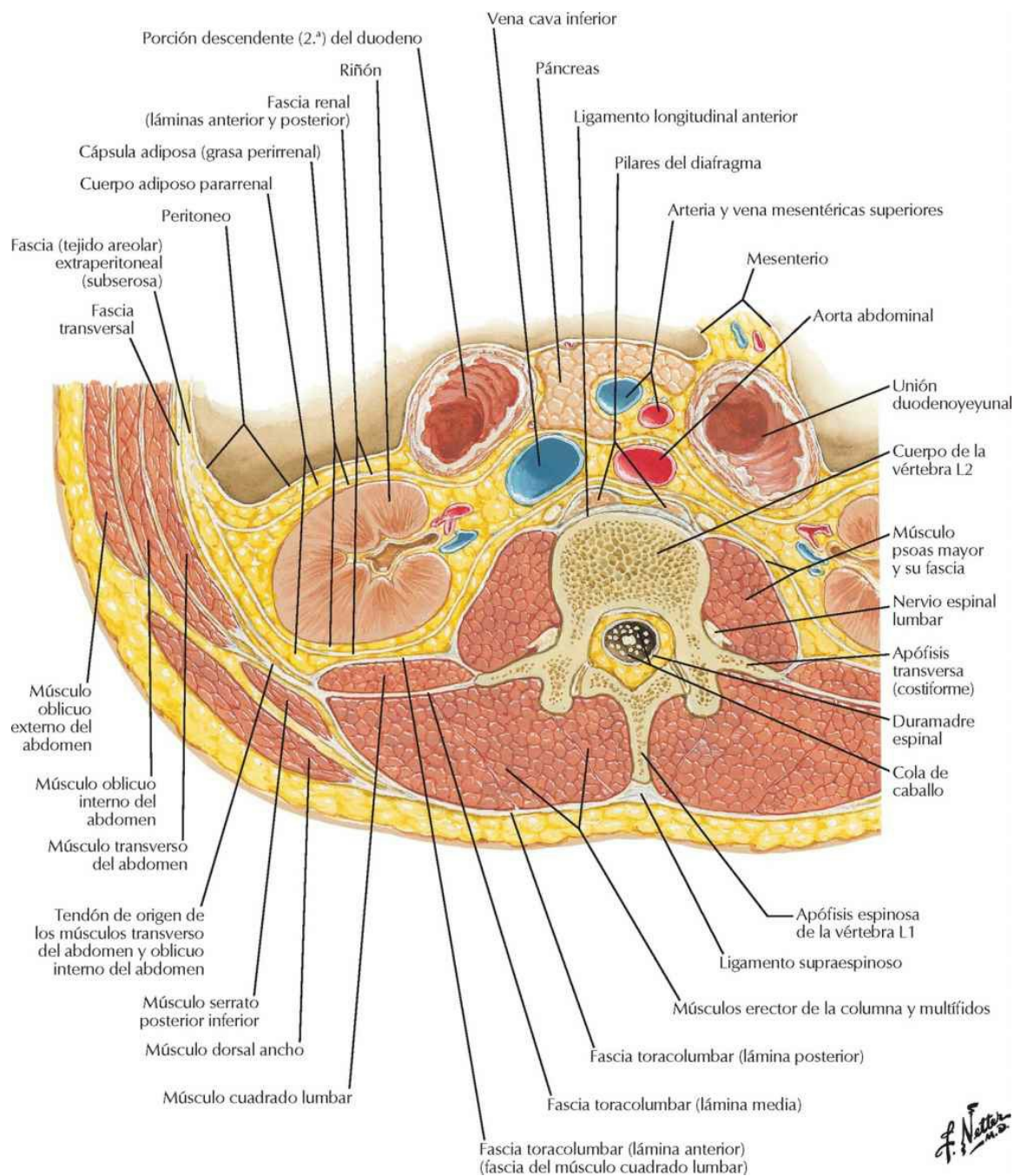
Véanse también láminas 36, 39



Anatomía seccional

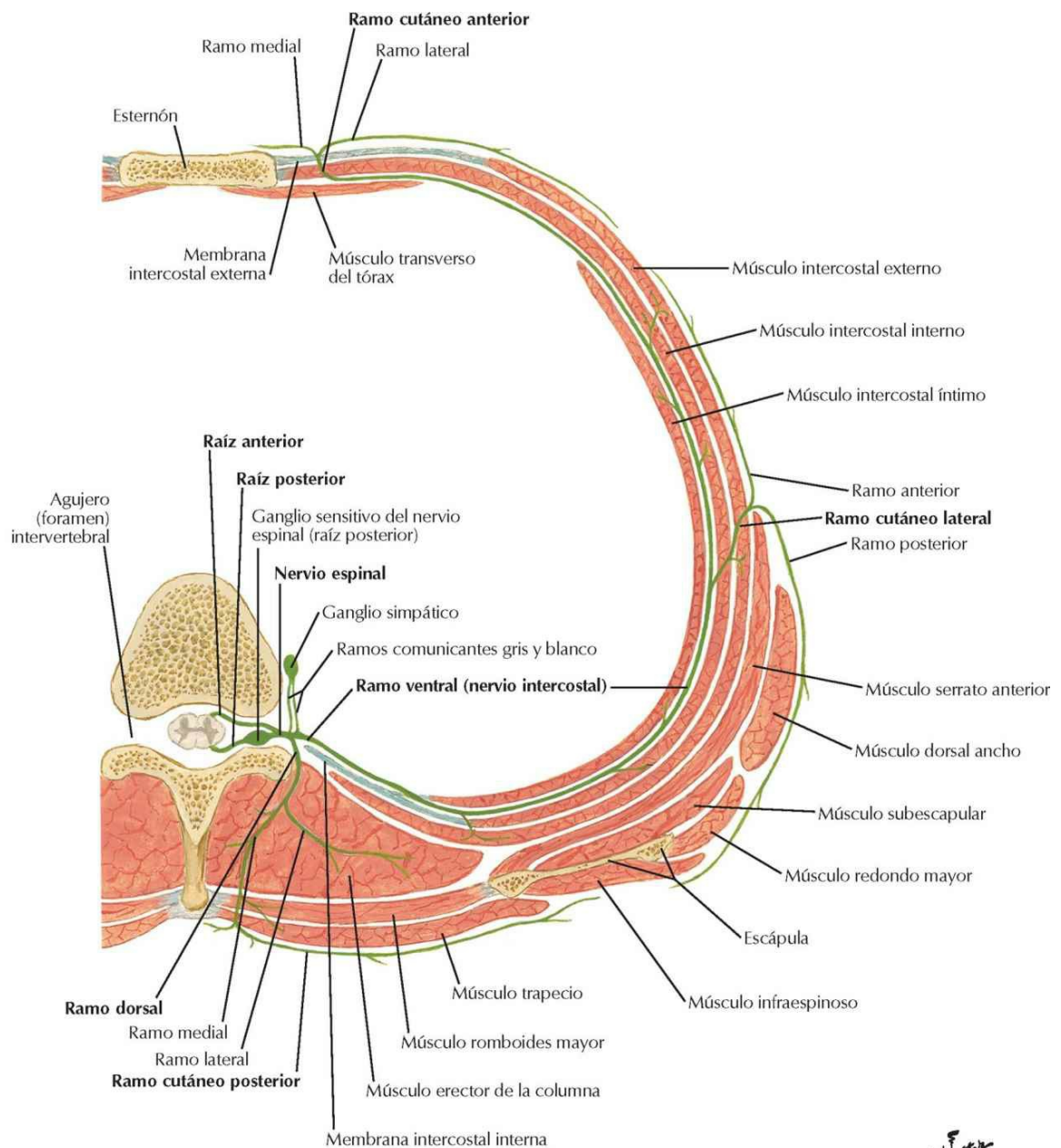
Región lumbar del dorso: sección transversal

Véanse también láminas 312, 318



Nervio espinal torácico típico: sección transversal

Véase también lámina 261



Nota: En la porción inferior de la región torácica, el ramo lateral del ramo posterior es más largo, motor y cutáneo; el ramo medial es más corto y solo motor.





F. Netter M.D.

Tabla clínica

Estructuras con gran* significación clínica

Tabla 3.1

Tabla clínica

ESTRUCTURAS ANATÓMICAS	IMPORTANCIA CLÍNICA	NÚMEROS DE LÁMINAS
 SISTEMA ESQUELÉTICO		
Apófisis espinosas	Relieves palpables que se usan para valorar las curvaturas de la columna vertebral y determinar la localización de la médula espinal para técnicas como la punción lumbar y la anestesia espinal (raquídea)	161, 180
Apófisis espinosa de C7	La apófisis espinosa más prominente (vértebra prominente); a menudo se utiliza para iniciar el conteo de las vértebras	161, 163
Disco intervertebral	Cambios relacionados con la edad pueden producir la hernia del núcleo pulposo, provocando dorsalgia; esto sucede con mayor frecuencia en la porción inferior de la región lumbar de la columna vertebral	164, 170
Lámina	En la laminectomía se la extirpa quirúrgicamente para tener acceso al conducto vertebral y médula espinal	164
Agujero (foramen) intervertebral	Puede estrecharse por cambios relacionados con la edad (p. ej., formación de osteófitos) o cambios en el grosor del disco intervertebral, produciendo compresión de su contenido	164, 167, 168
Hiato del sacro	Proporciona acceso al espacio epidural para realizar una anestesia epidural caudal	166
5.ª vértebra lumbar	La espondilólisis es un proceso clínico en el que el cuerpo vertebral se separa de la parte del arco vertebral que sostiene la apófisis articular inferior; si esto ocurre bilateralmente, el cuerpo de L5 y la apófisis transversa (costiforme) pueden deslizarse hacia delante sobre el sacro, dando lugar a una espondilolistesis	167
Vértebras L5/S1	Nivel más frecuente de hernia del disco intervertebral	167, 170
Agujero (foramen) vertebral	Puede estrecharse por cambios artrósicos en las vértebras lumbares, provocando estenosis espinal; puede conducir a dorsalgia, ciática, entumecimiento u hormigueo, y debilidad en los miembros inferiores	163, 164
 SISTEMA MUSCULAR		
Músculo trapecio	Responsable de mantener la escápula contra la pared torácica en contra de la gravedad, la caída del hombro indica debilidad del músculo o lesión del nervio accesorio	180
Músculos propios (intrínsecos) del dorso	El estiramiento microscópico o el desgarro de las fibras musculares produce distensión muscular en el dorso (espalda), una causa frecuente de lumbalgia	181, 182
 SISTEMA NERVIOSO		
Cono medular	Indica el límite inferior de la médula espinal; es necesario localizar este punto en técnicas como la punción lumbar	169
Cola de caballo	Inyectando un anestésico en el espacio subaracnoideo (bloqueo espinal), pueden anestesiarse las raíces de los nervios lumbares y sacros	169, 170
Meninges espinales	El acceso a los espacios epidural y subaracnoideo es necesario para procedimientos clínicos como la anestesia epidural y la punción lumbar	165, 175
 SISTEMA CARDIOVASCULAR		
Arterias medulares segmentarias	El estrechamiento o lesión de estas arterias causado por aterosclerosis, fracturas vertebrales o luxaciones vertebrales puede provocar isquemia de la médula espinal	176
Plexos venosos vertebrales	Las venas son vías para la metástasis de células cancerosas a la médula espinal, los pulmones y el encéfalo	178

*La selección se basa en general en datos clínicos y en correlaciones clínicas discutidas frecuentemente en cursos de anatomía macroscópica.

Tablas de músculos

Tabla 3.2

MÚSCULO	GRUPO MUSCULAR	INSERCIÓN PROXIMAL (ORIGEN)	INSERCIÓN DISTAL (INSERCIÓN)	INERVACIÓN	IRRIGACIÓN	ACCIONES PRINCIPALES
Dorsal ancho	Superficial del dorso	Apófisis espinosas de T7-L5, fascia toracolumbar, cresta ilíaca y tres últimas costillas	Surco intertubercular del húmero	Nervio toracodorsal	Arteria toracodorsal, ramas perforantes dorsales de las arterias intercostales posteriores 9. ^a , 10. ^a y 11. ^a , subcostal y tres primeras lumbares	Extiende, aduce y rota medialmente el húmero
Elevador de la escápula	Superficial del dorso	Tubérculos posteriores de las apófisis transversas de C1-C4	Borde medial de la escápula desde el ángulo superior hasta la espina	Ramos anteriores de C3-C4 y nervio dorsal de la escápula	Arteria dorsal de la escápula, arteria transversa del cuello (cervical transversa), arteria cervical ascendente	Eleva la escápula medialmente, rota inferiormente la cavidad (fosa) glenoidea
Erector de la columna	Sacroespinoso	Cara posterior del sacro, cresta ilíaca, ligamento sacroespinoso, ligamento supraespinoso, apófisis espinosas de las vértebras lumbares inferiores y sacro	<i>Iliocostal</i> : ángulos de las costillas inferiores, apófisis transversas cervicales <i>Longísimo</i> : entre los tubérculos y los ángulos de las costillas, apófisis transversas de las vértebras torácicas y cervicales, apófisis mastoides <i>Espinoso</i> : apófisis espinosas de las vértebras torácicas superiores y cervicales medias	Ramos posteriores de nervios espinales de cada región	<i>Porciones cervicales</i> : arterias occipital, cervical profunda y vertebral <i>Porciones torácicas</i> : ramas dorsales de las arterias intercostales posteriores, subcostal y lumbares <i>Porciones sacras</i> : ramas dorsales de las arterias sacras laterales	Extiende e inclina lateralmente la columna vertebral y la cabeza
Esplenio de la cabeza	Espinotransverso	Ligamento nuchal, apófisis espinosas de C7-T4	Apófisis mastoides del temporal, tercio lateral de la línea nuchal superior	Ramos posteriores de nervios cervicales medios	Rama descendente de la arteria occipital, arteria cervical profunda	<i>Bilateralmente</i> : extiende la cabeza <i>Unilateralmente</i> : inclina (flexiona) lateralmente y rota la cara hacia el mismo lado
Esplenio cervical	Espinotransverso	Apófisis espinosas de T3-T6	Apófisis transversas (C1-C3)	Ramos posteriores de nervios cervicales inferiores	Rama descendente de la arteria occipital, arteria cervical profunda	<i>Bilateralmente</i> : extiende el cuello <i>Unilateralmente</i> : inclina (flexiona) lateralmente y rota el cuello hacia el mismo lado

MÚSCULO	GRUPO MUSCULAR	INSERCIÓN PROXIMAL (ORIGEN)	INSERCIÓN DISTAL (INSERCIÓN)	INERVACIÓN	IRRIGACIÓN	ACCIONES PRINCIPALES
Interespinosos (cervical, torácico, lumbar)	Segmentario	Apófisis espinosa	Apófisis espinosa adyacente	Ramos posteriores de nervios espinales	<i>Porciones cervicales:</i> arterias occipital, cervical profunda y vertebral <i>Porciones torácicas:</i> ramas dorsales de las arterias intercostales posteriores <i>Porciones lumbares:</i> ramas dorsales de las arterias lumbares	Ayuda en la extensión de la columna vertebral
Intertransversos (cervical, torácico, lumbar)	Segmentario	Se extiende entre las apófisis transversas de vértebras adyacentes	Se extiende entre las apófisis transversas de vértebras adyacentes	Ramos dorsales de nervios espinales	<i>Porciones cervicales:</i> arterias occipital, cervical profunda y vertebral <i>Porciones torácicas:</i> ramas dorsales de las arterias intercostales posteriores, subcostal y lumbares <i>Porciones lumbares:</i> ramas dorsales de las arterias lumbares laterales	Ayuda en la flexión lateral de la columna vertebral

En la anatomía humana son frecuentes las variaciones en la contribución de los nervios espinales a la inervación de los músculos, en su irrigación arterial, sus inserciones y sus acciones. Por tanto, existen diferencias entre los distintos textos y hay que entender que las variaciones anatómicas son normales.

Tabla 3.3

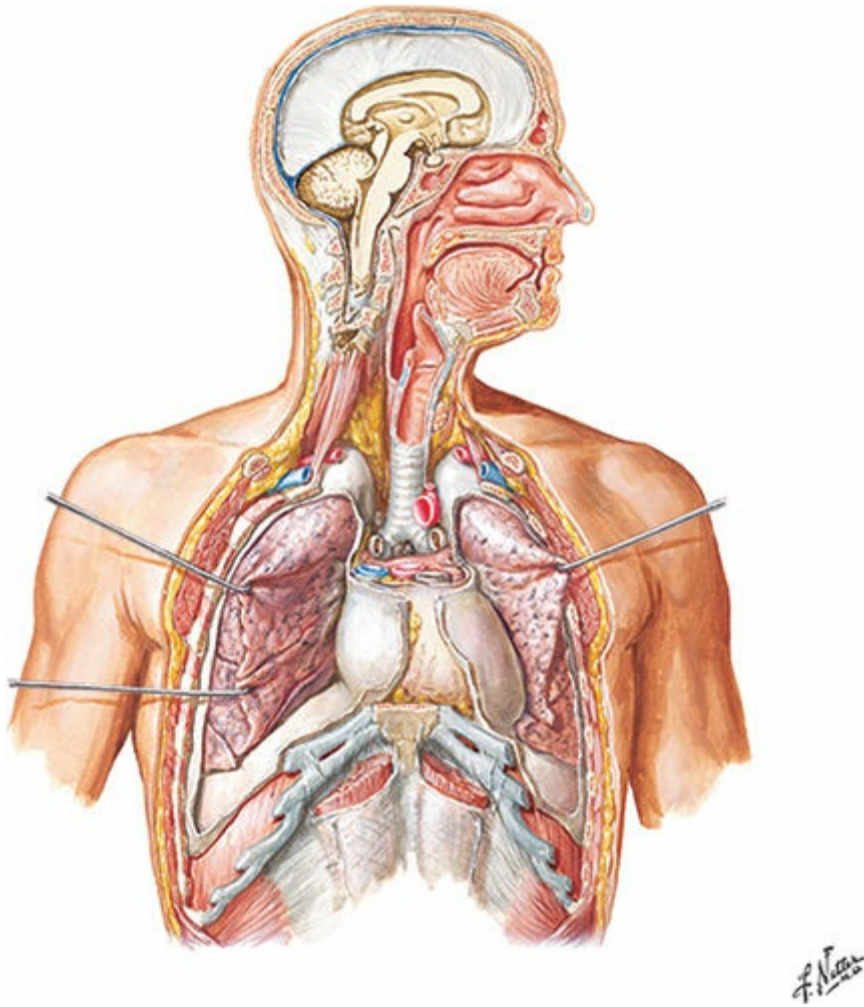
MÚSCULO	GRUPO MUSCULAR	INSERCIÓN PROXIMAL (ORIGEN)	INSERCIÓN DISTAL (INSERCIÓN)	INERVACIÓN	IRRIGACIÓN	ACCIONES PRINCIPALES
Multífido	Transversoespinoso	Sacro, ilion, apófisis transversas de T1-T12 y apófisis articulares de C4-C7	Apófisis espinosas de vértebras situadas por encima, saltando de dos a cuatro segmentos	Ramos posteriores de nervios espinales de cada región	<i>Porciones cervicales:</i> arterias occipital, cervical profunda y vertebral <i>Porciones tónicas:</i> ramas dorsales de las arterias intercostales posteriores, subcostal y lumbares <i>Porciones sacris:</i> ramas dorsales de las arterias sacras laterales	Estabiliza la columna vertebral
Oblicuo inferior de la cabeza	Suboccipital	Apófisis espinosa del axis	Apófisis transversa del atlas	Nervio suboccipital	Arteria vertebral, rama descendente de la arteria occipital	Rota el atlas para girar la cabeza hacia el mismo lado
Oblicuo superior de la cabeza	Suboccipital	Apófisis transversa del atlas	Occipital	Nervio suboccipital	Arteria vertebral, rama descendente de la arteria occipital	Extiende e inclina lateralmente la cabeza
Recto posterior mayor de la cabeza	Suboccipital	Apófisis espinosa del axis	Línea nucal inferior	Nervio suboccipital	Arteria vertebral, rama descendente de la arteria occipital	Extiende y rota la cabeza hacia el mismo lado
Recto posterior menor de la cabeza	Suboccipital	Tubérculo del arco posterior del atlas	Porción media de la línea nucal inferior	Nervio suboccipital	Arteria vertebral, rama descendente de la arteria occipital	Extiende la cabeza
Romboides mayor	Superficial del dorso	Apófisis espinosas de las vértebras T2-T5	Borde medial de la escápula por debajo de la base de la espina de la escápula	Nervio dorsal de la escápula	Arteria dorsal de la escápula O rama profunda de la arteria transversa del cuello (cervical transversa), ramas perforantes dorsales de las cinco o seis arterias intercostales posteriores superiores	Fija la escápula a la pared torácica y la retrae y rota, descendiendo la cavidad (fosa) glenoidea
Romboides menor	Superficial del dorso	Ligamento nucal, apófisis espinosas de las vértebras C7 y T1	Borde medial de la escápula a nivel de la espina de la escápula	Nervio dorsal de la escápula	Arteria dorsal de la escápula O rama profunda de la arteria transversa del cuello (cervical transversa), ramas perforantes dorsales de las cinco o seis arterias intercostales posteriores superiores	Fija la escápula a la pared torácica y la retrae y rota, descendiendo la cavidad (fosa) glenoidea
Rotadores	Transversoespinoso	Apófisis transversas de las regiones cervical, torácica y lumbar	Láminas y apófisis transversas de la columna vertebral situada por encima, saltando uno o dos segmentos	Ramos dorsales de nervios espinales	Ramas dorsales de arterias segmentarias	Estabiliza, extiende y rota la columna vertebral
Semiespinoso	Transversoespinoso	Apófisis transversas de C4-T12	Apófisis espinosas de las regiones cervical y torácica	Ramos dorsales de nervios espinales	<i>Porciones cervicales:</i> arterias occipital, cervical profunda y vertebral <i>Porciones tónicas:</i> ramas dorsales de arterias intercostales posteriores	Extiende la cabeza, el cuello y el tórax y los rota hacia el lado opuesto
Serrato posterior inferior	Intermedio del dorso	Apófisis espinosas de T11-L2	Parte inferior de las costillas 9-12	Ramos anteriores de nervios torácicos inferiores	Arterias intercostales posteriores	Desciende las costillas

MÚSCULO	GRUPO MUSCULAR	INSERCIÓN PROXIMAL (ORIGEN)	INSERCIÓN DISTAL (INSERCIÓN)	INERVACIÓN	IRRIGACIÓN	ACCIONES PRINCIPALES
Serrato posterior superior	Intermedio del dorso	Ligamento nual, apófisis espinosas de C7-T3	Parte superior de las costillas 2-5	Ramos ventrales de nervios torácicos superiores	Arterias intercostales posteriores	Eleva las costillas
Trapezio	Superficial del dorso	Línea nual superior, protuberancia occipital externa, ligamento nual, apófisis espinosas de C7-T12	Tercio lateral de la clavícula, acromion, espina de la escápula	Nervio accesorio (NC XI)	Arteria transversa del cuello (cervical transversa), ramas perforantes dorsales de arterias intercostales posteriores	Eleva, retrae y rota la escápula; las fibras inferiores descienden la escápula

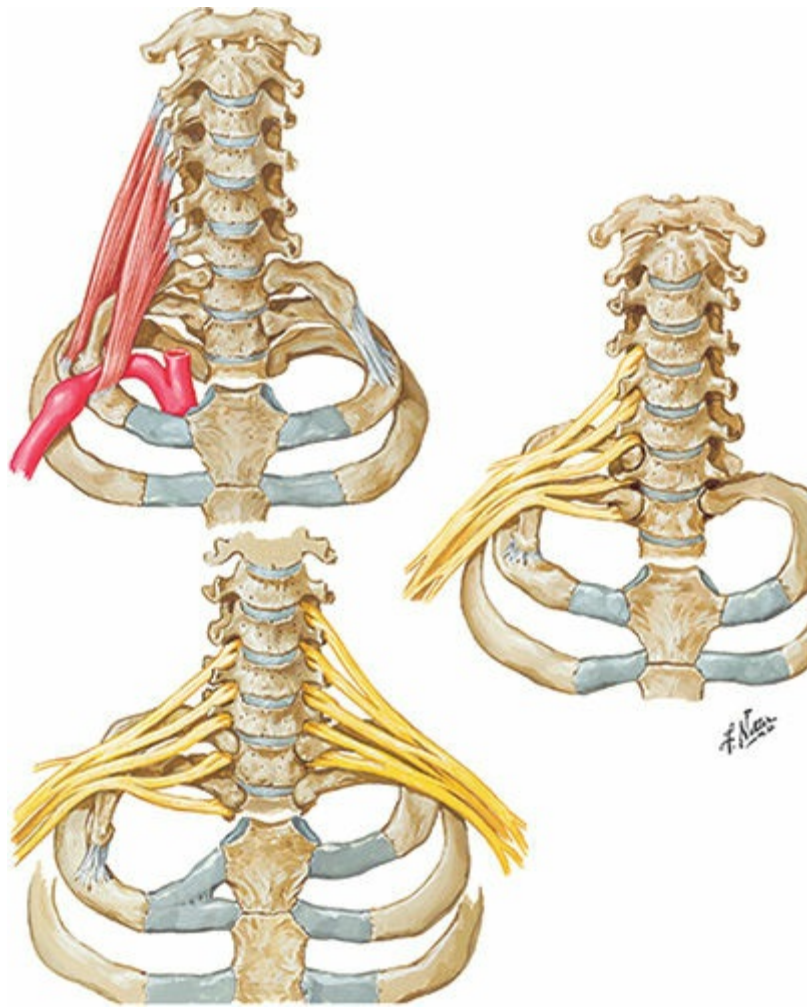
TÓRAX

Anatomía de superficie	187
Glándula mamaria	188-191
Pared corporal	192-201
Pulmones	202-214
Corazón	215-233
Mediastino	234-243
Exploraciones regionales	244
Anatomía seccional	245-248
Estructuras con gran significación clínica	
Tablas 4.1-4.2	
Tabla de músculos	Tabla 4.3
Láminas electrónicas extra	BP44-BP57

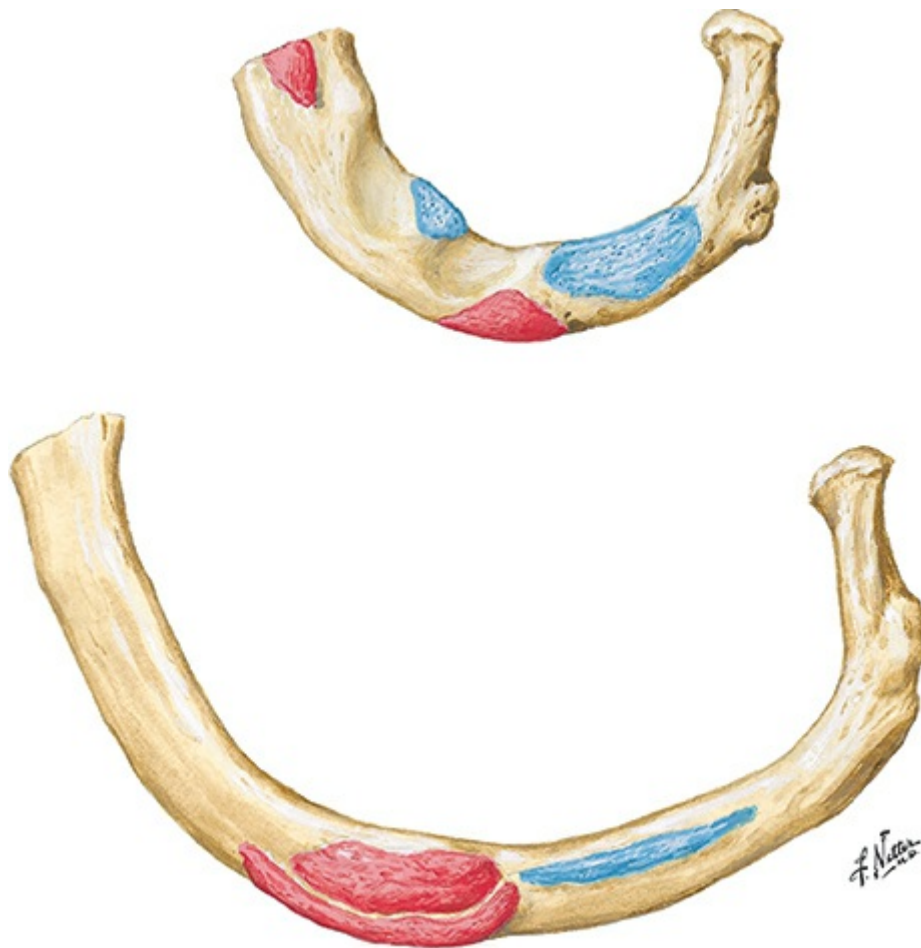
LÁMINAS ELECTRÓNICAS EXTRA



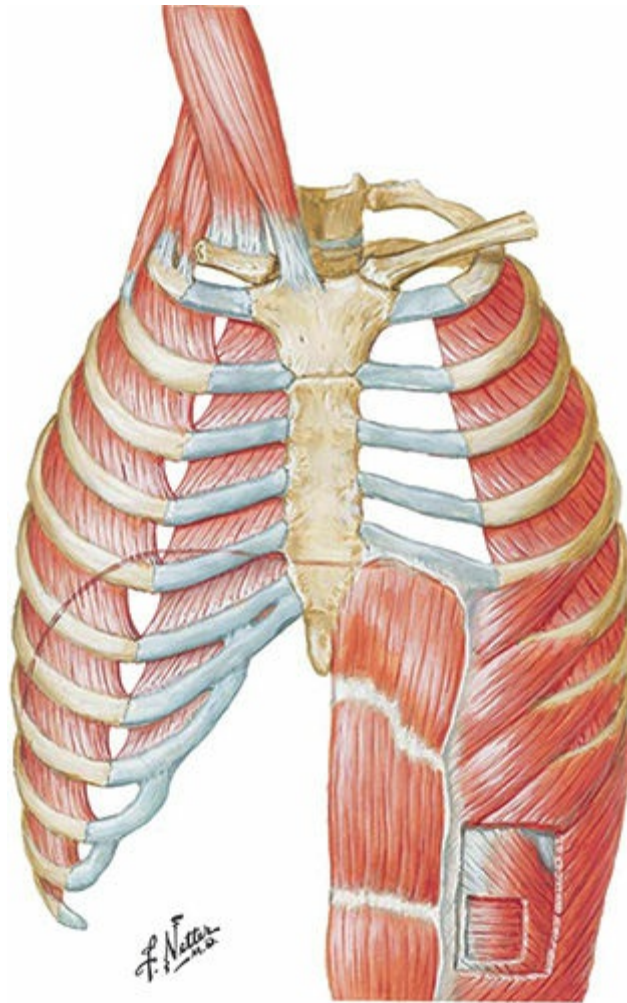
BP44 Sistema respiratorio



BP45 Costillas cervicales y anomalías asociadas



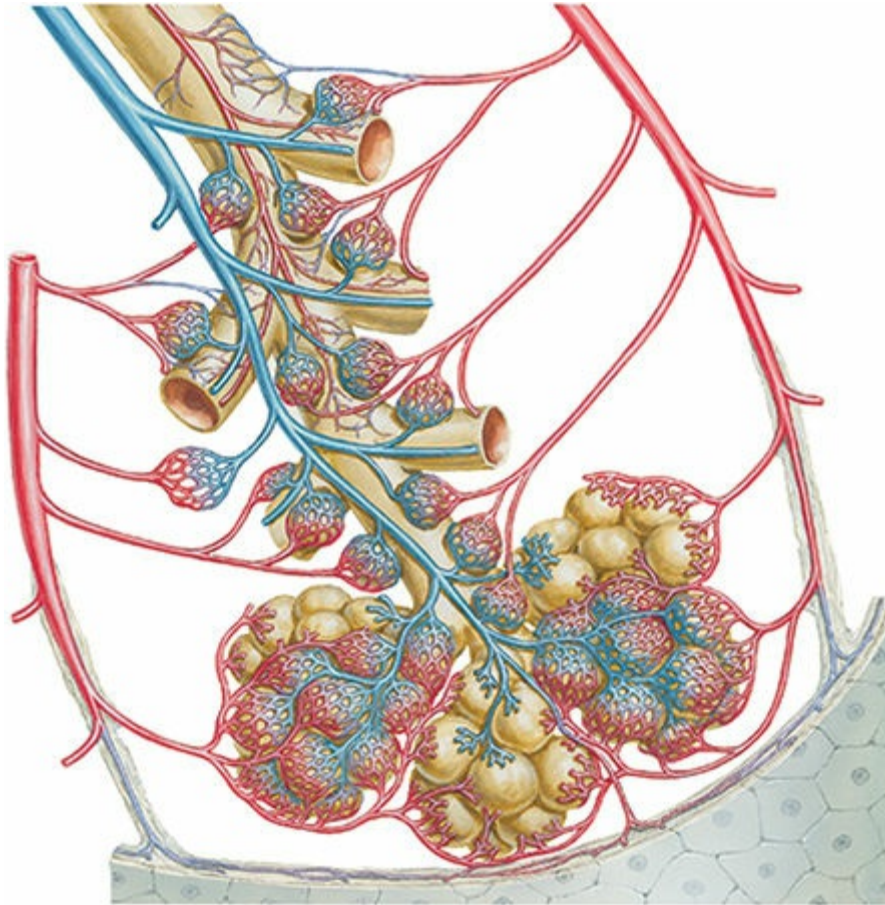
BP46 Inserciones musculares en las costillas



BP47 Músculos de la respiración

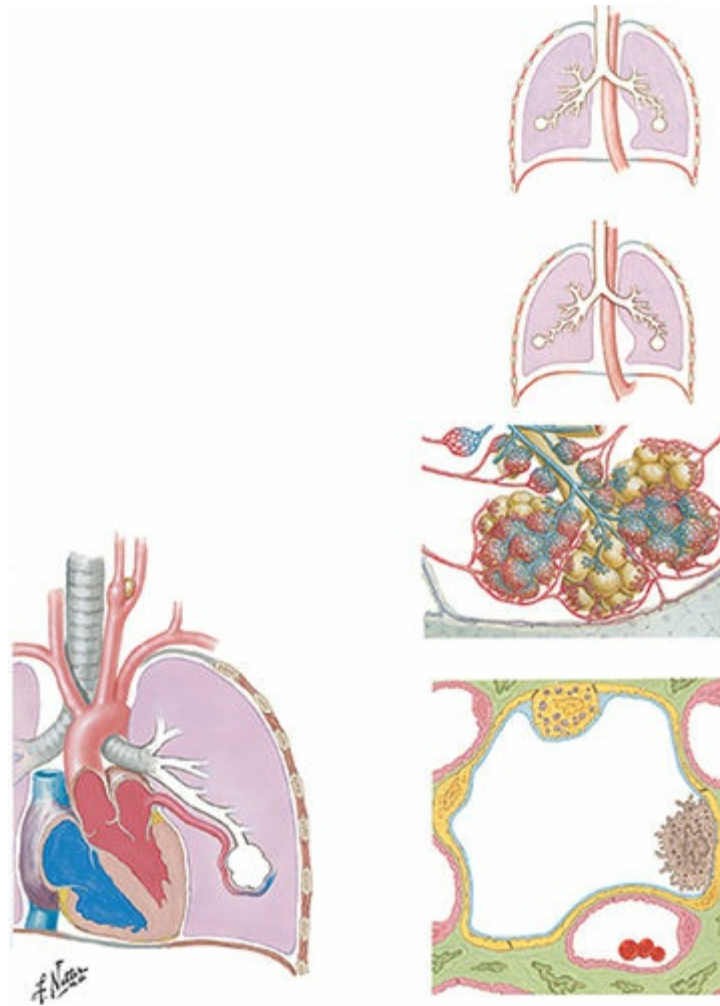


BP48 Vía aérea intrapulmonar: esquema

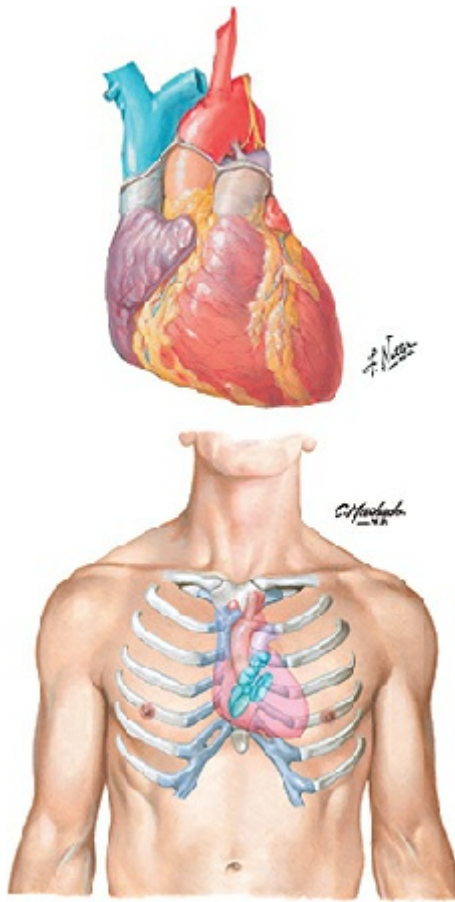


Handwritten signature

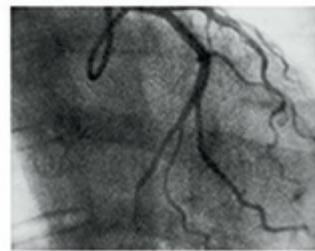
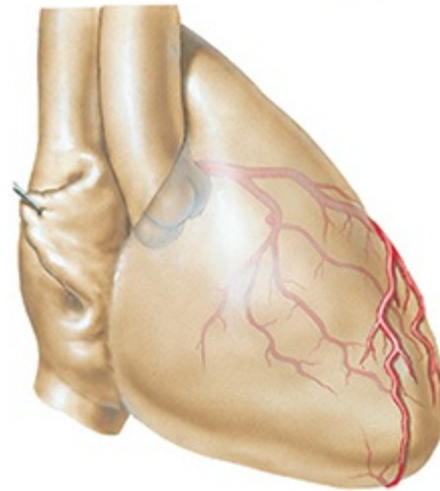
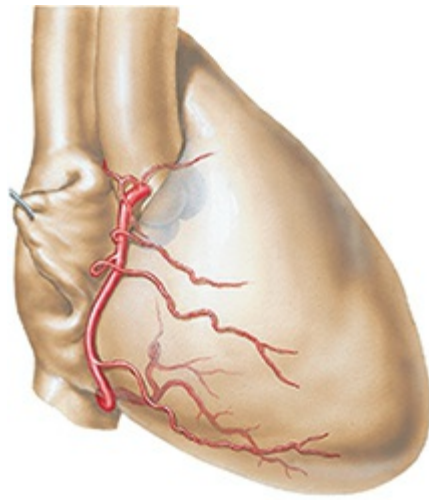
BP49 Circulación sanguínea intrapulmonar:
esquema



BP50 Intercambio gaseoso

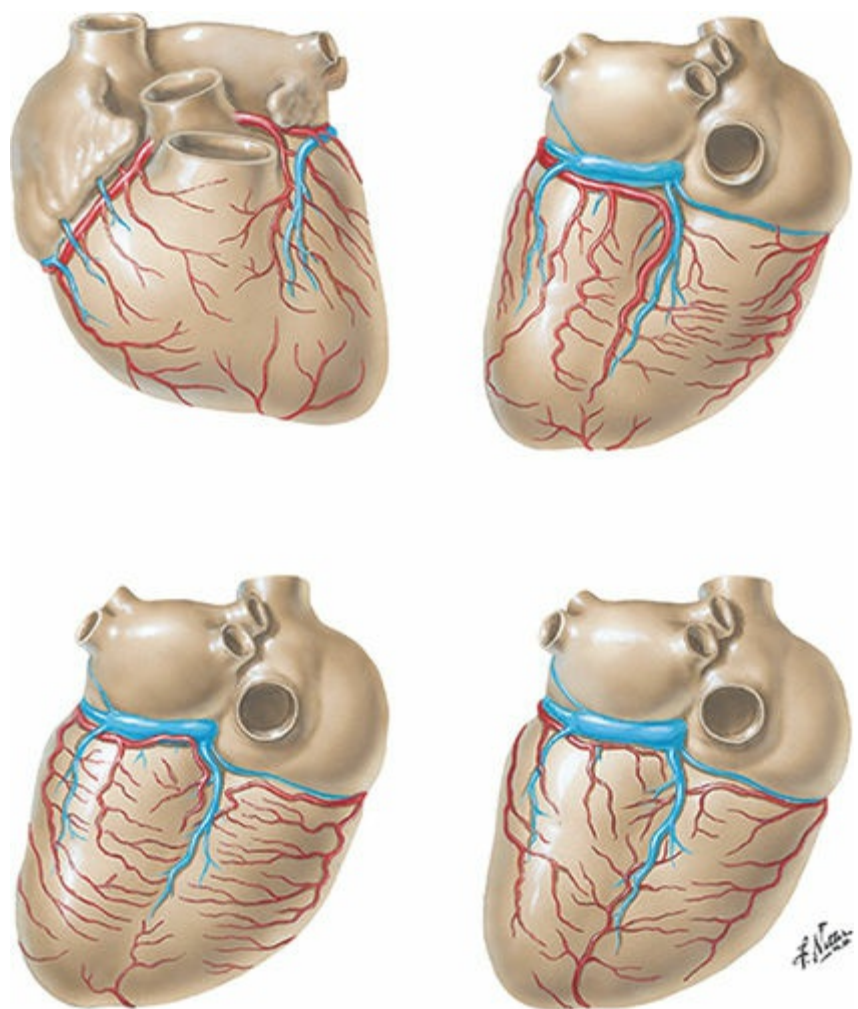


BP51 Visión anterior del corazón

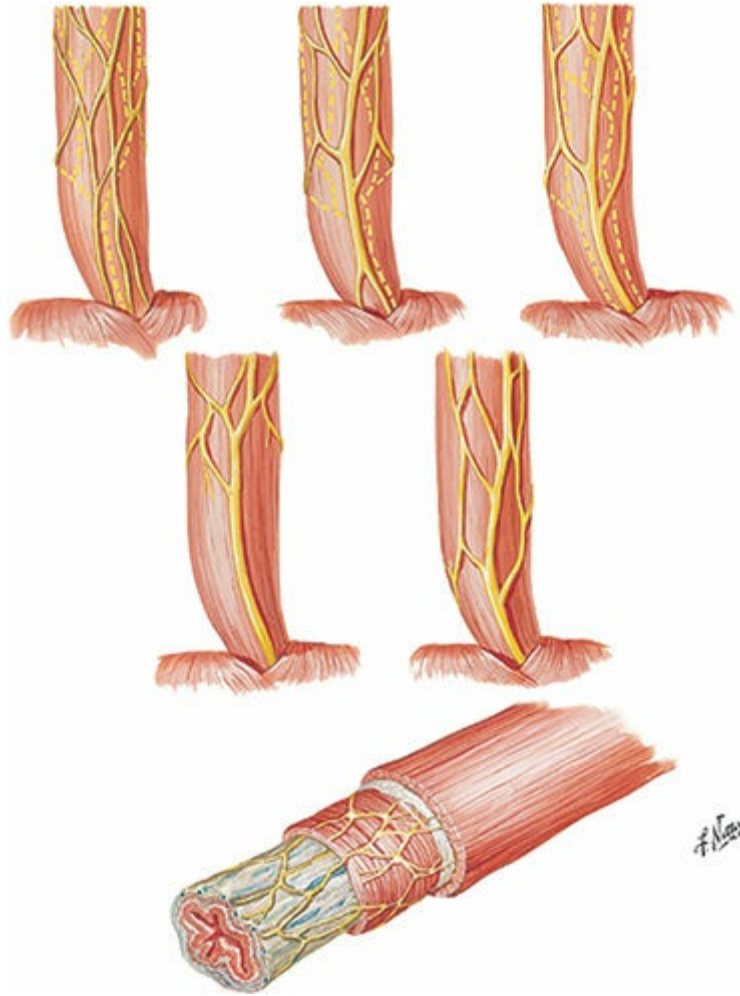


Handwritten signature

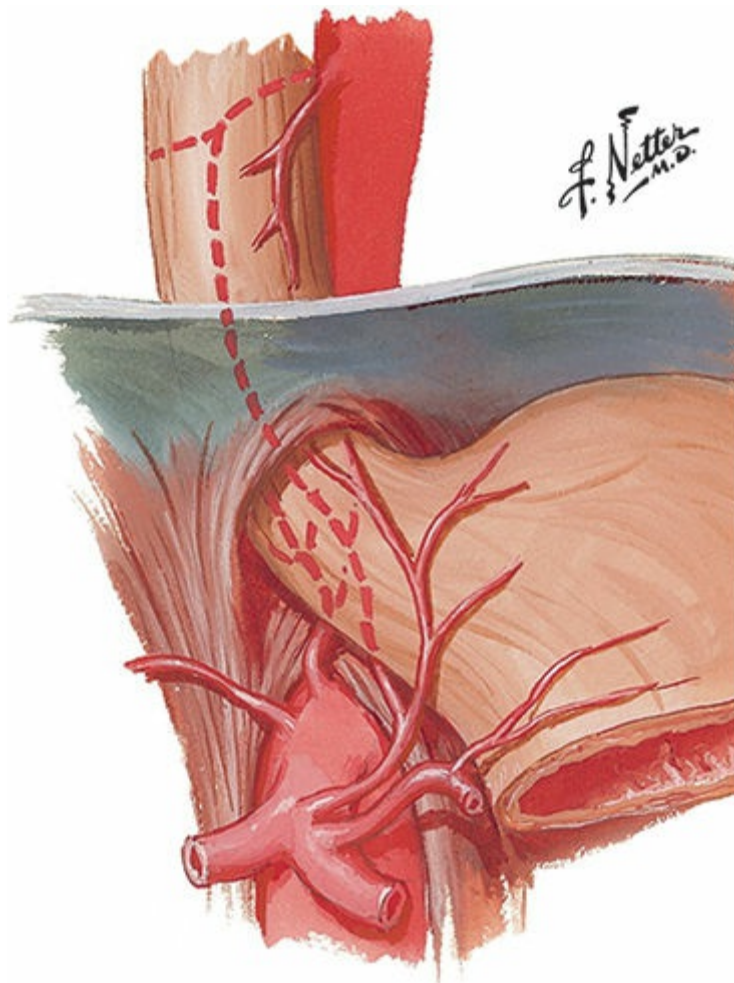
BP52 Arterias coronarias: visiones oblicuas anteriores derechas y sus arteriografías



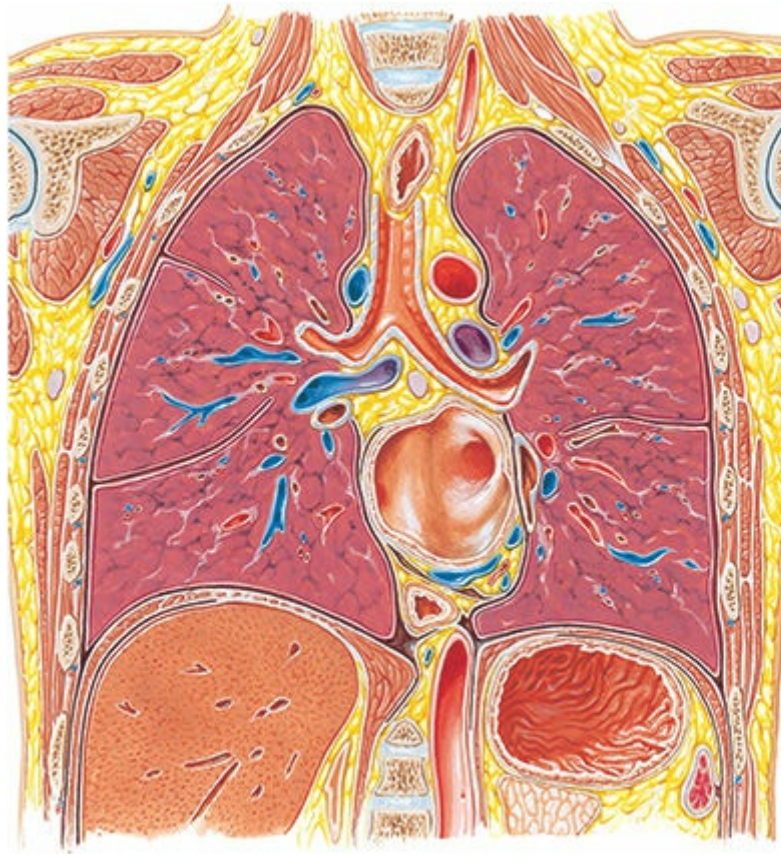
BP53 Arterias coronarias y venas cardíacas:
variaciones



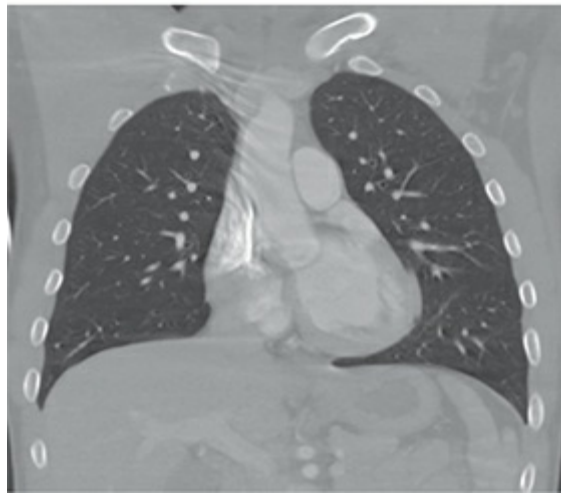
BP54 Inervación intrínseca y variaciones en los nervios del esófago



BP55 Arterias del esófago: variaciones



BP56 Tórax: sección coronal (línea axilar media, bifurcación traqueal, atrio [aurícula] izquierdo)

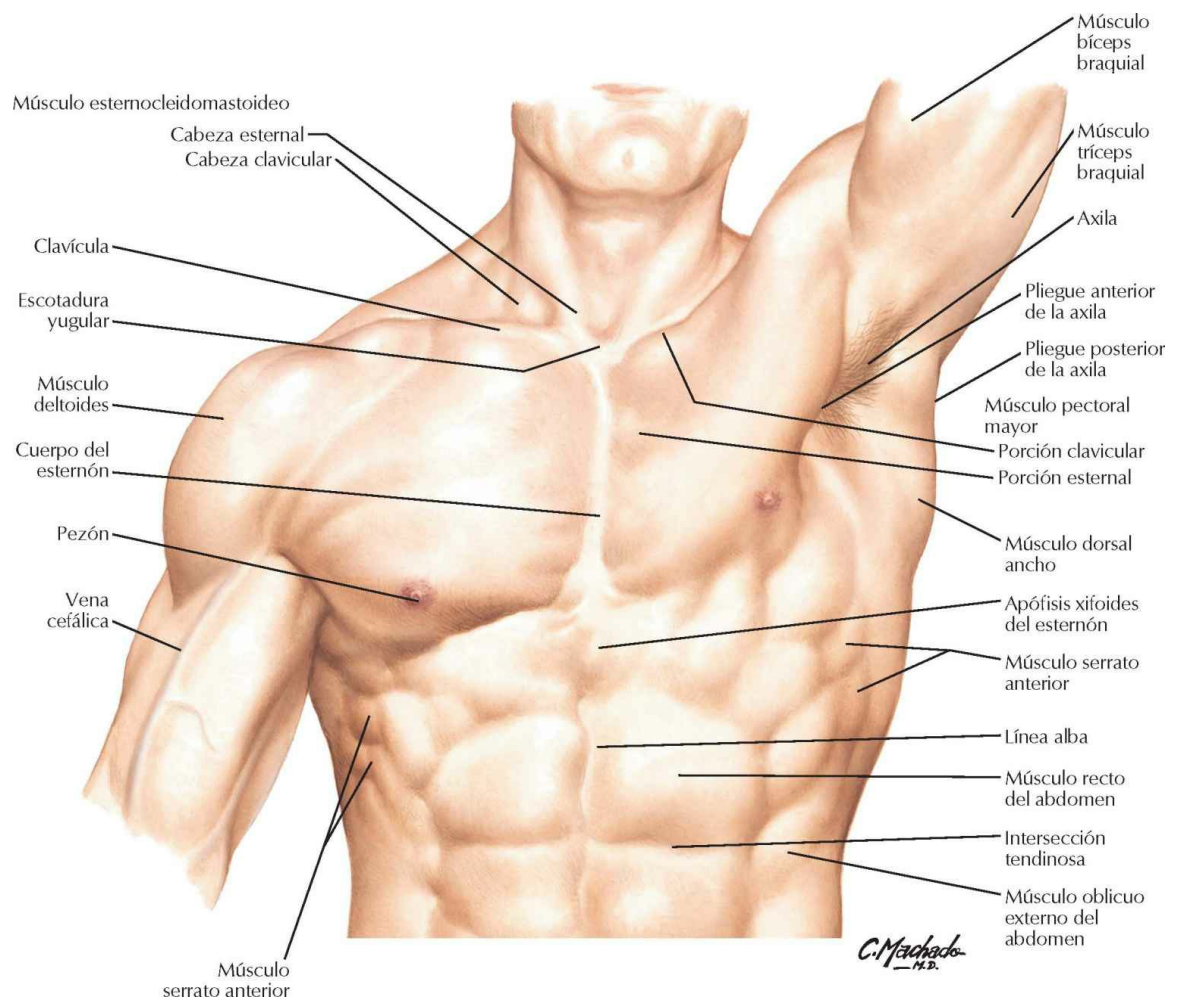


BP57 Tórax: TC coronales

Anatomía de superficie

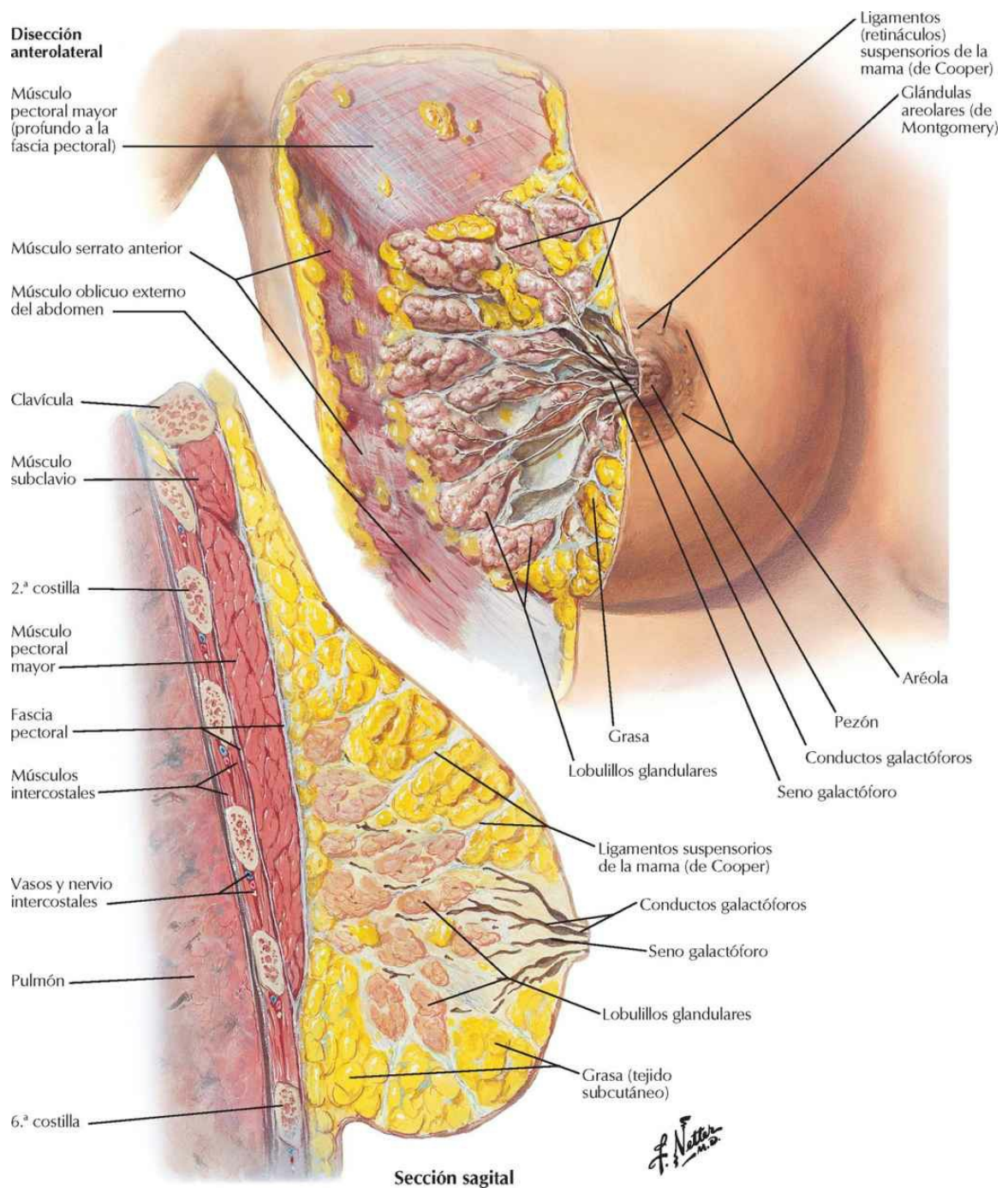
Tórax: anatomía de superficie

Véanse también láminas 171, 194

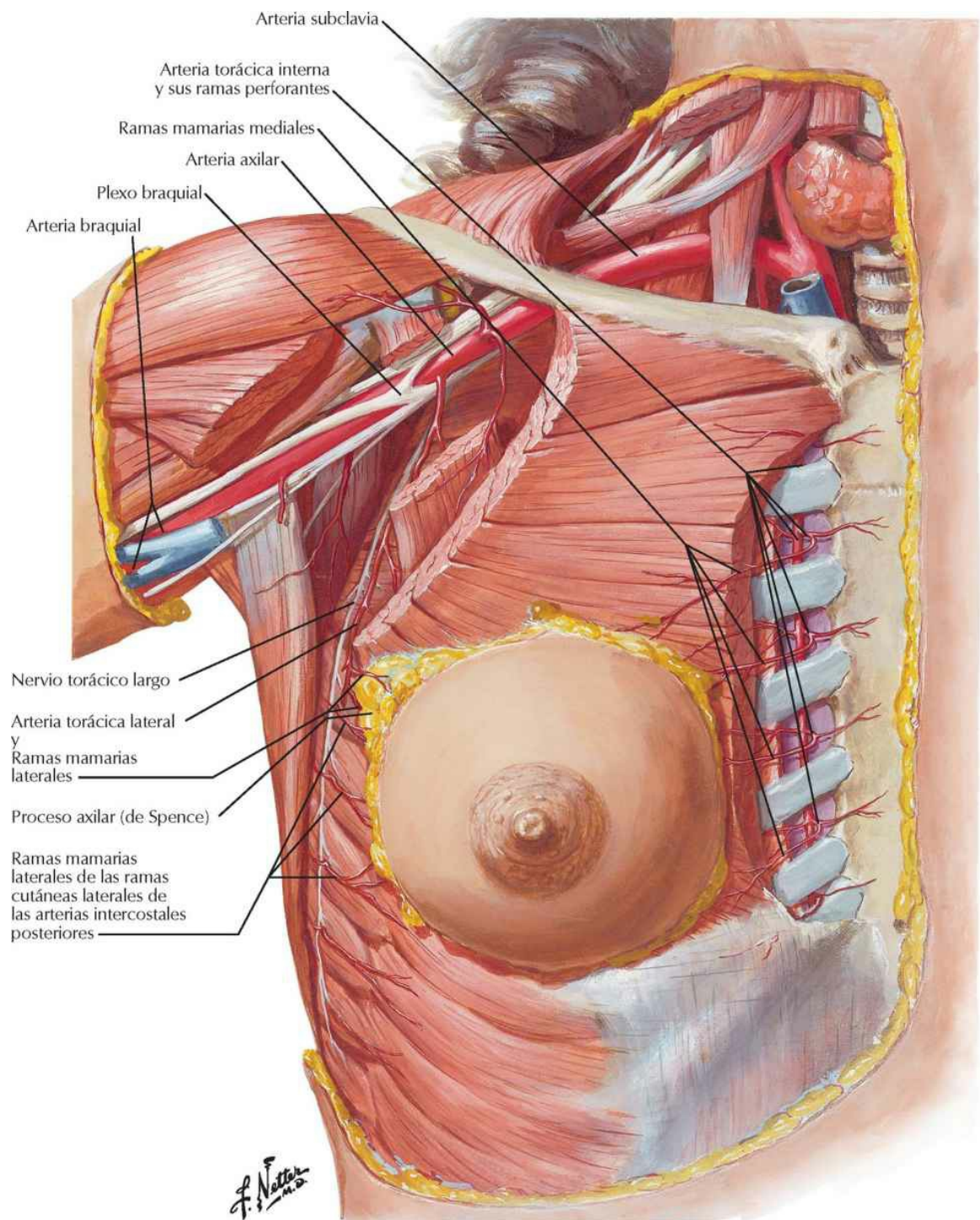


Glándula mamaria

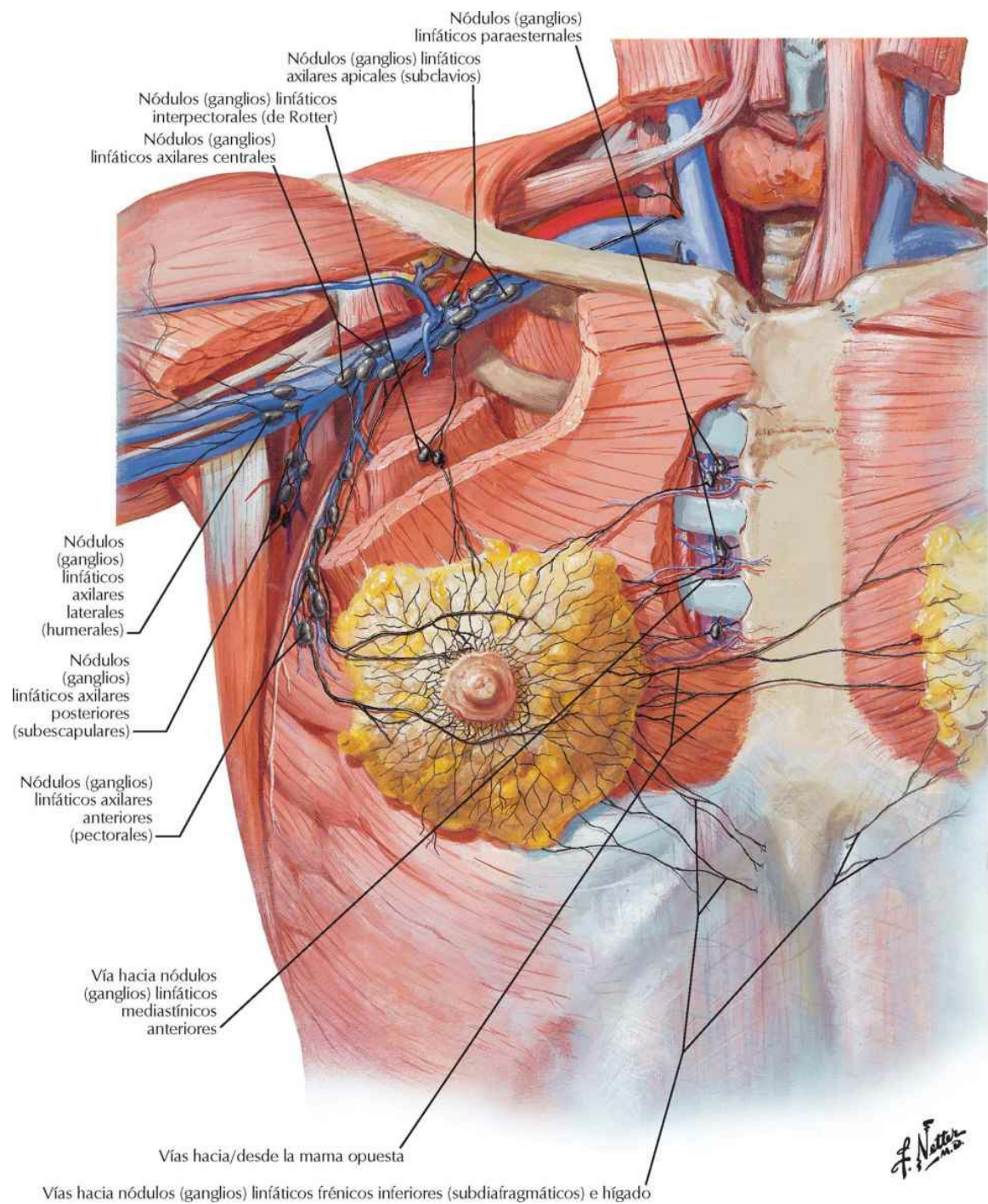
Glándula mamaria



Arterias de la glándula mamaria

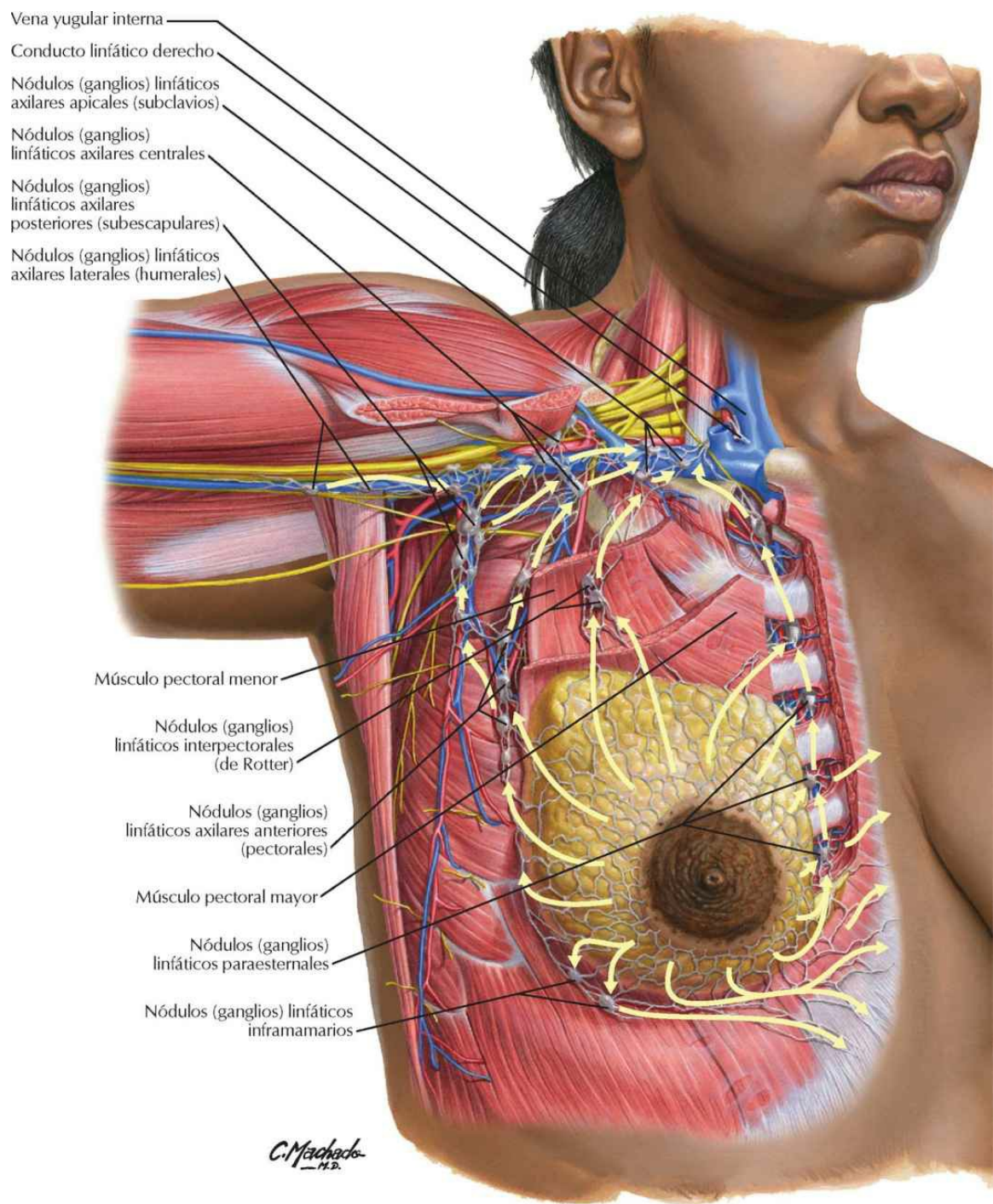


Vasos y nódulos (ganglios) linfáticos de la glándula mamaria



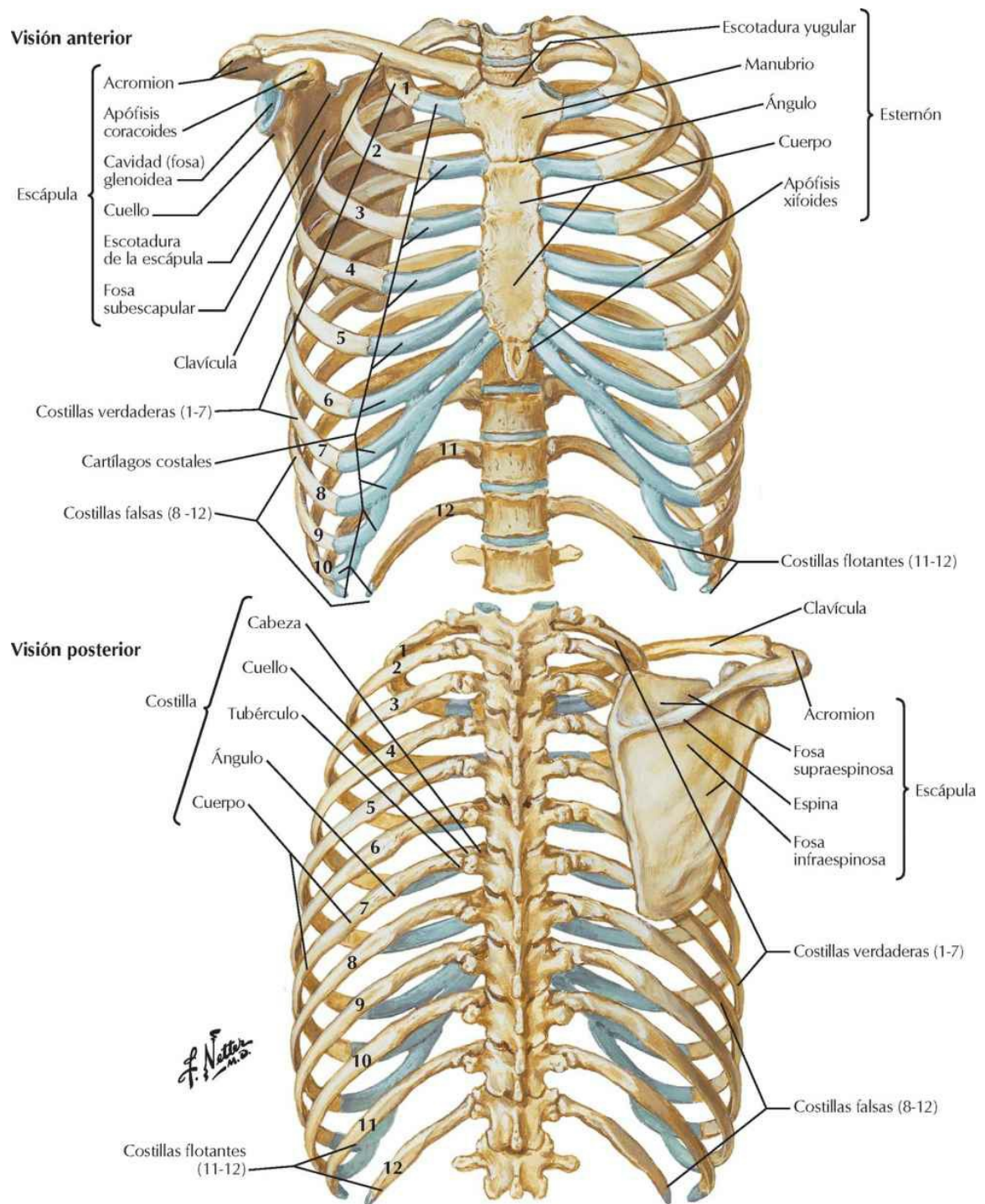
Drenaje linfático de la mama

Véase también lámina 190

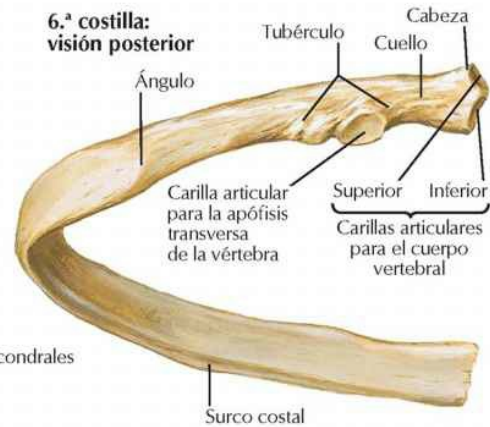
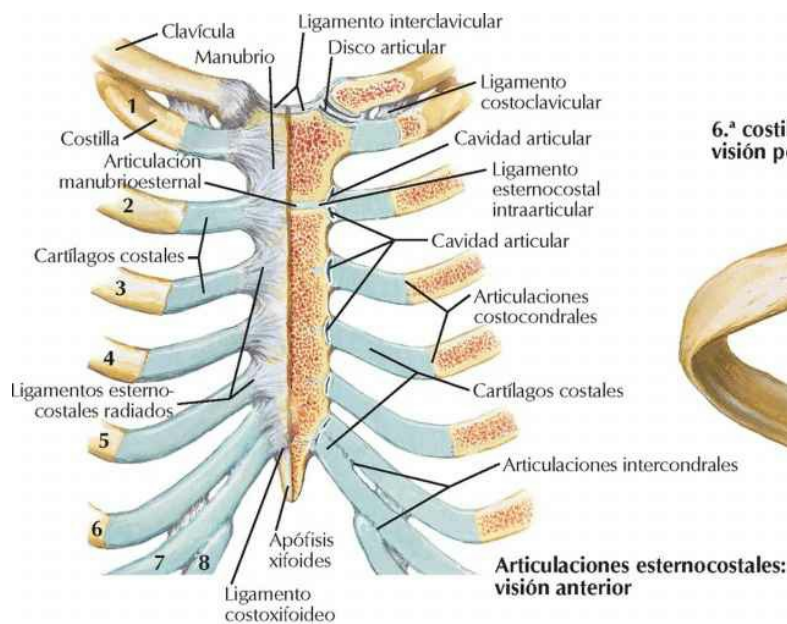


Pared corporal

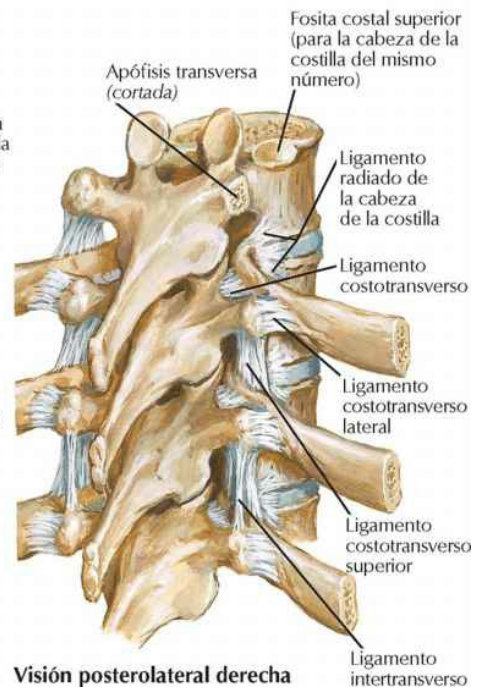
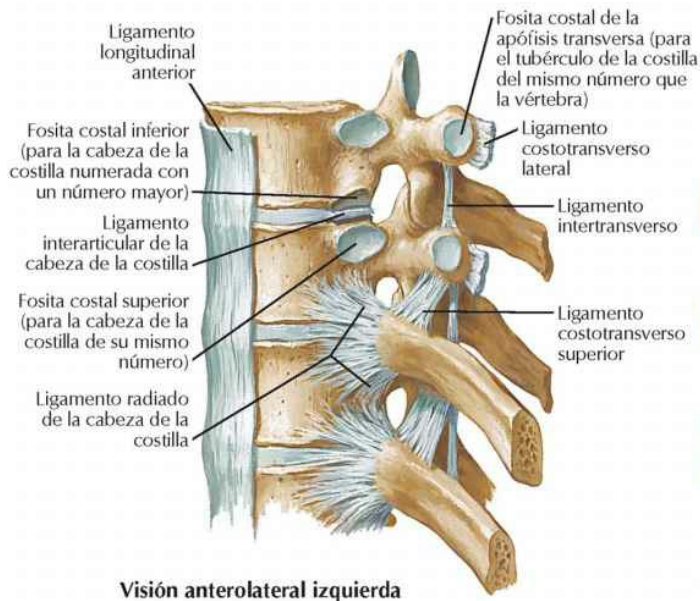
Esqueleto óseo del tórax



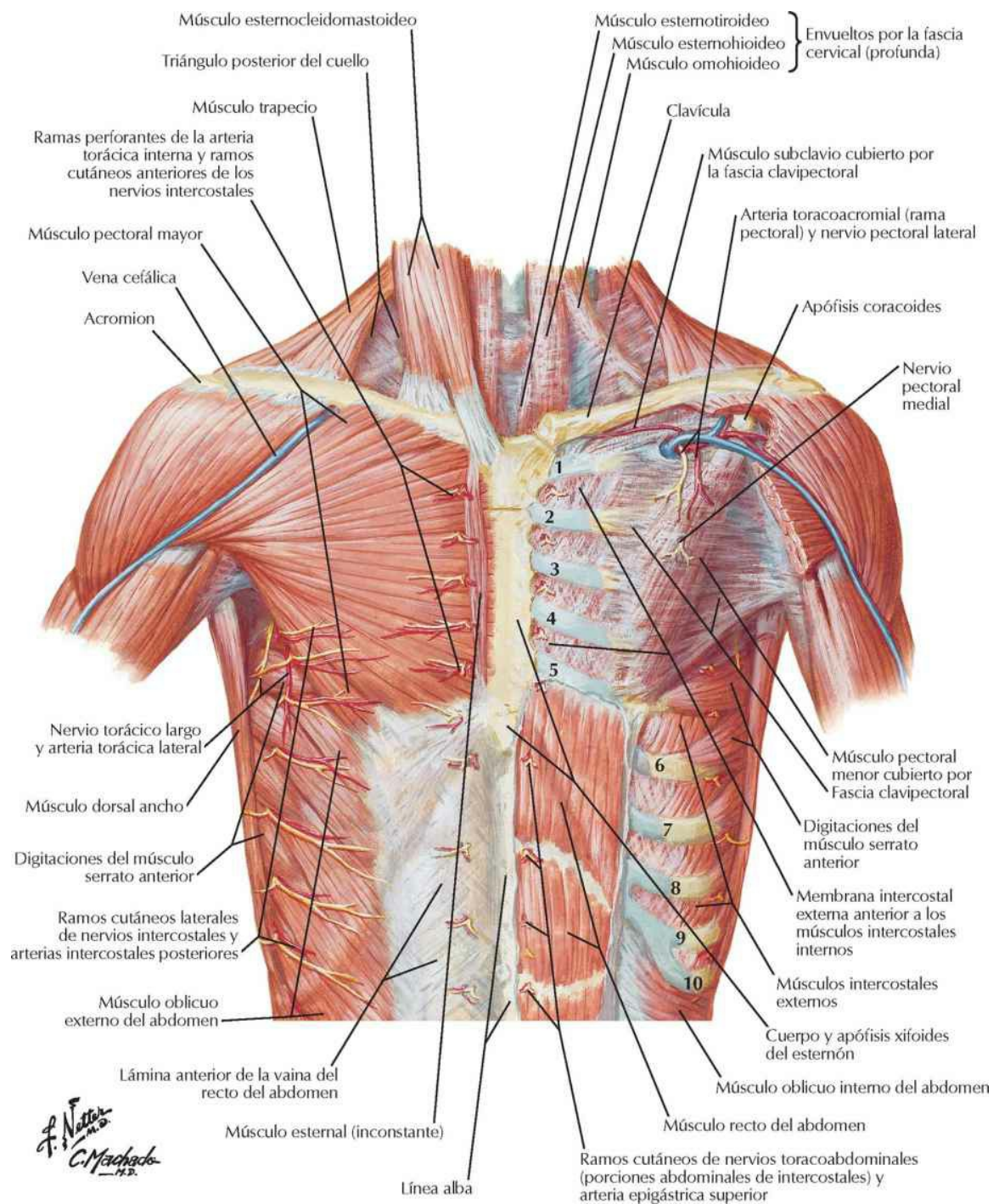
Costillas y articulaciones asociadas

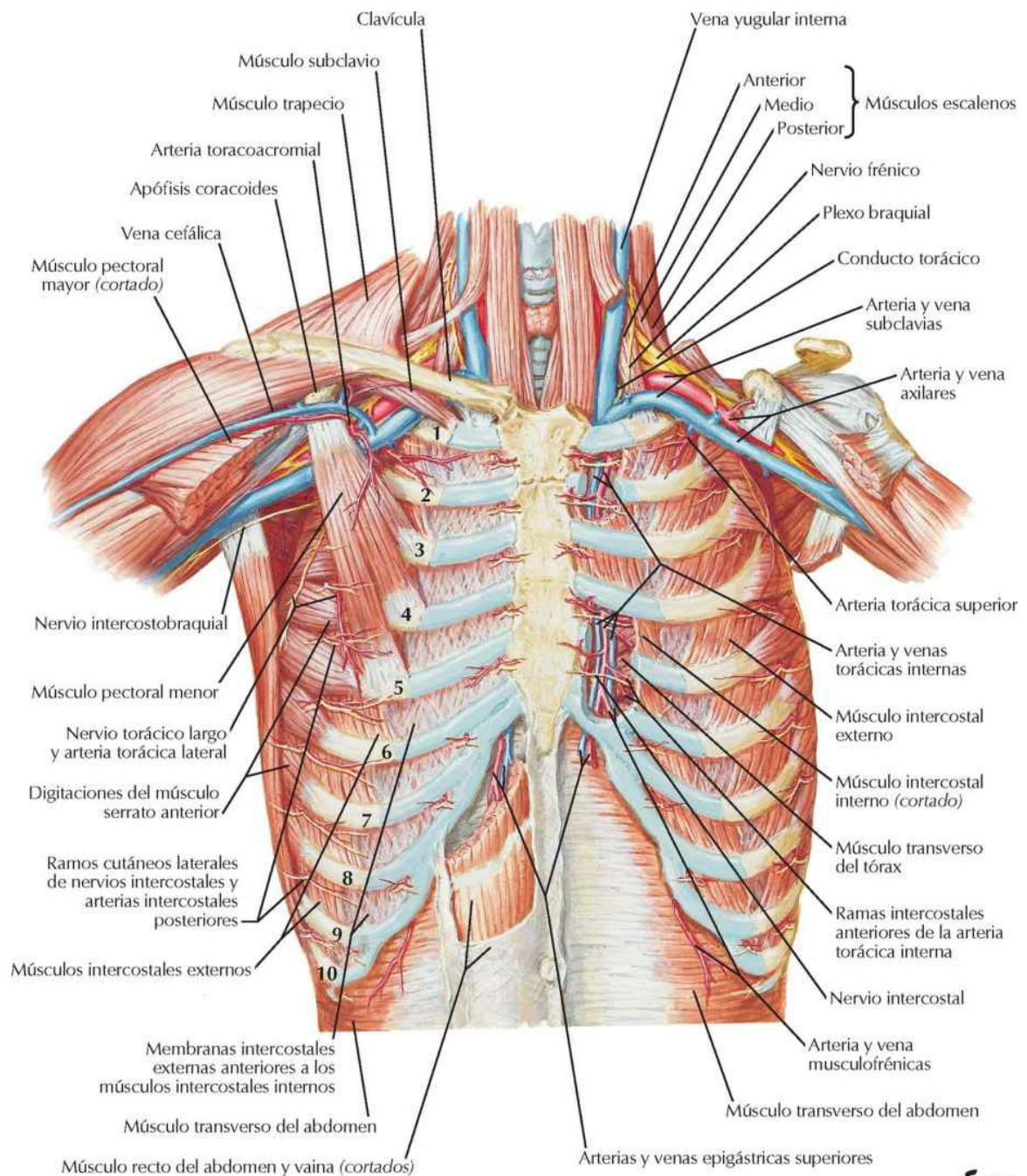


Nota: La cabeza de una costilla típica se articula con la fosita costal superior de la vértebra torácica de su mismo número (por medio de su carilla articular inferior), la fosita costal inferior de la vértebra inferior (mediante su carilla articular superior) y el disco intervertebral entre las dos vértebras. El tubérculo costal se articula con la apófisis transversa de la vértebra del mismo número.



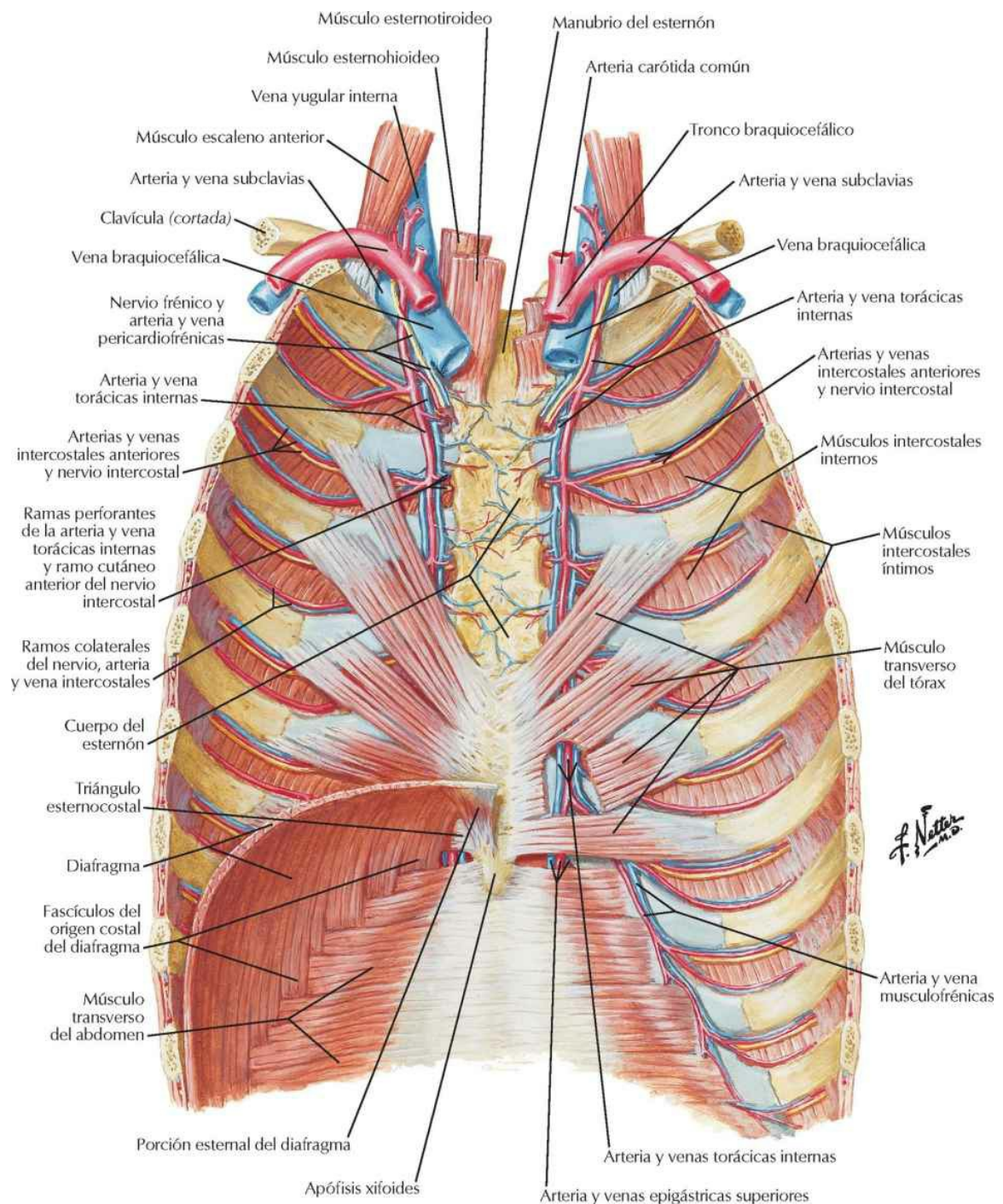
Pared anterior del tórax





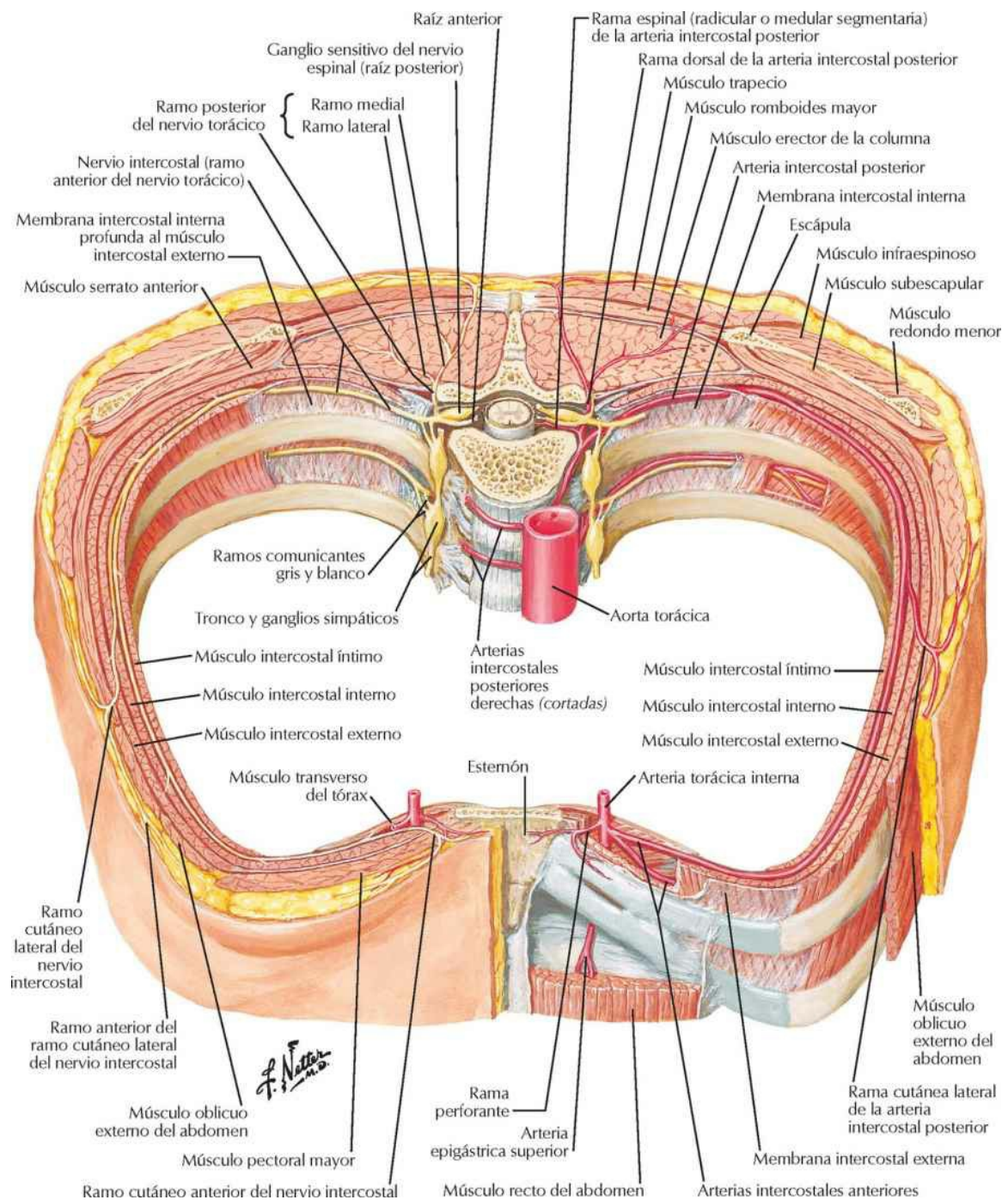
F. Netter M.D.

Pared anterior del tórax: visión interna



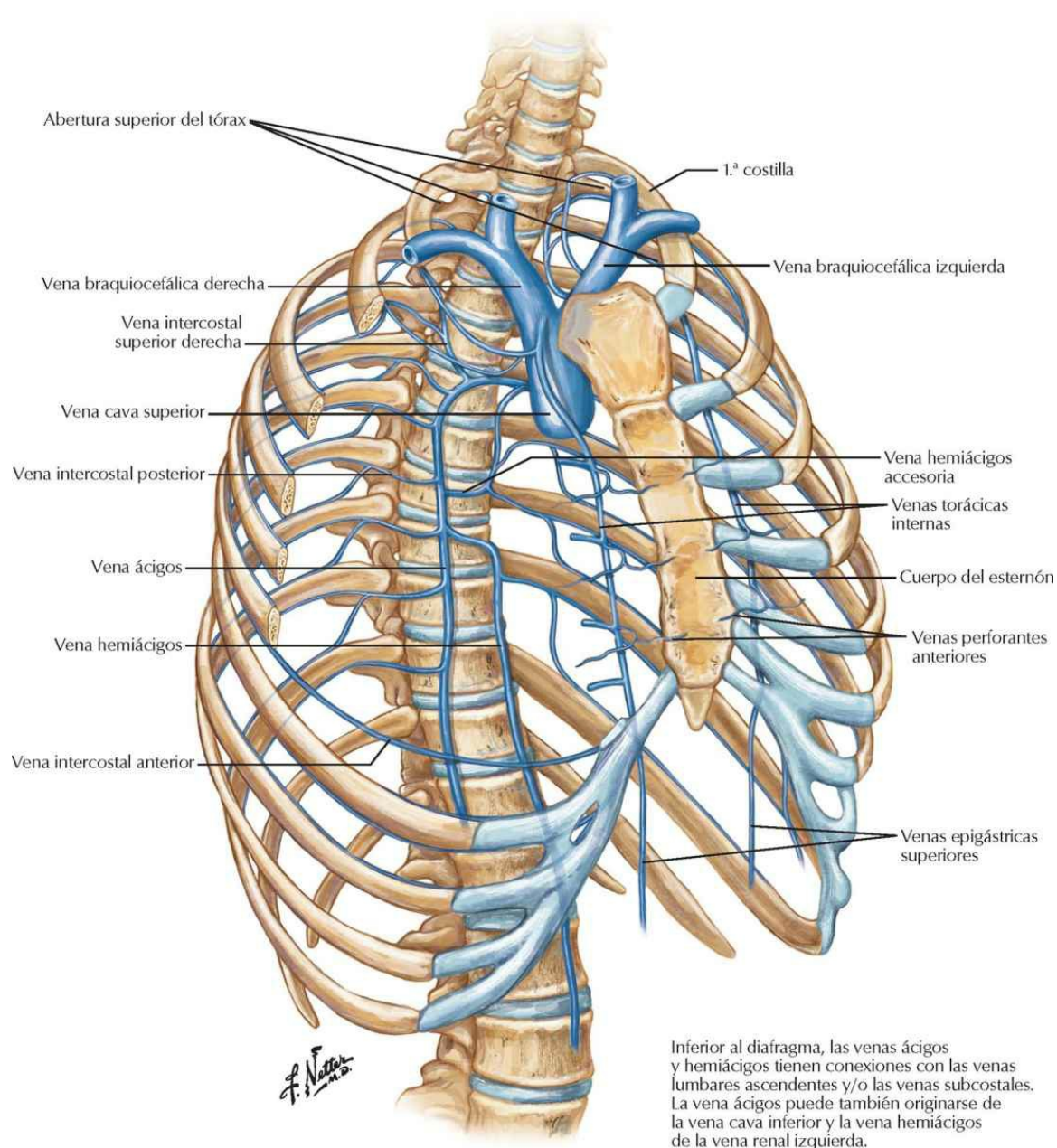
Nervios y arterias intercostales

Véanse también láminas 261, 269



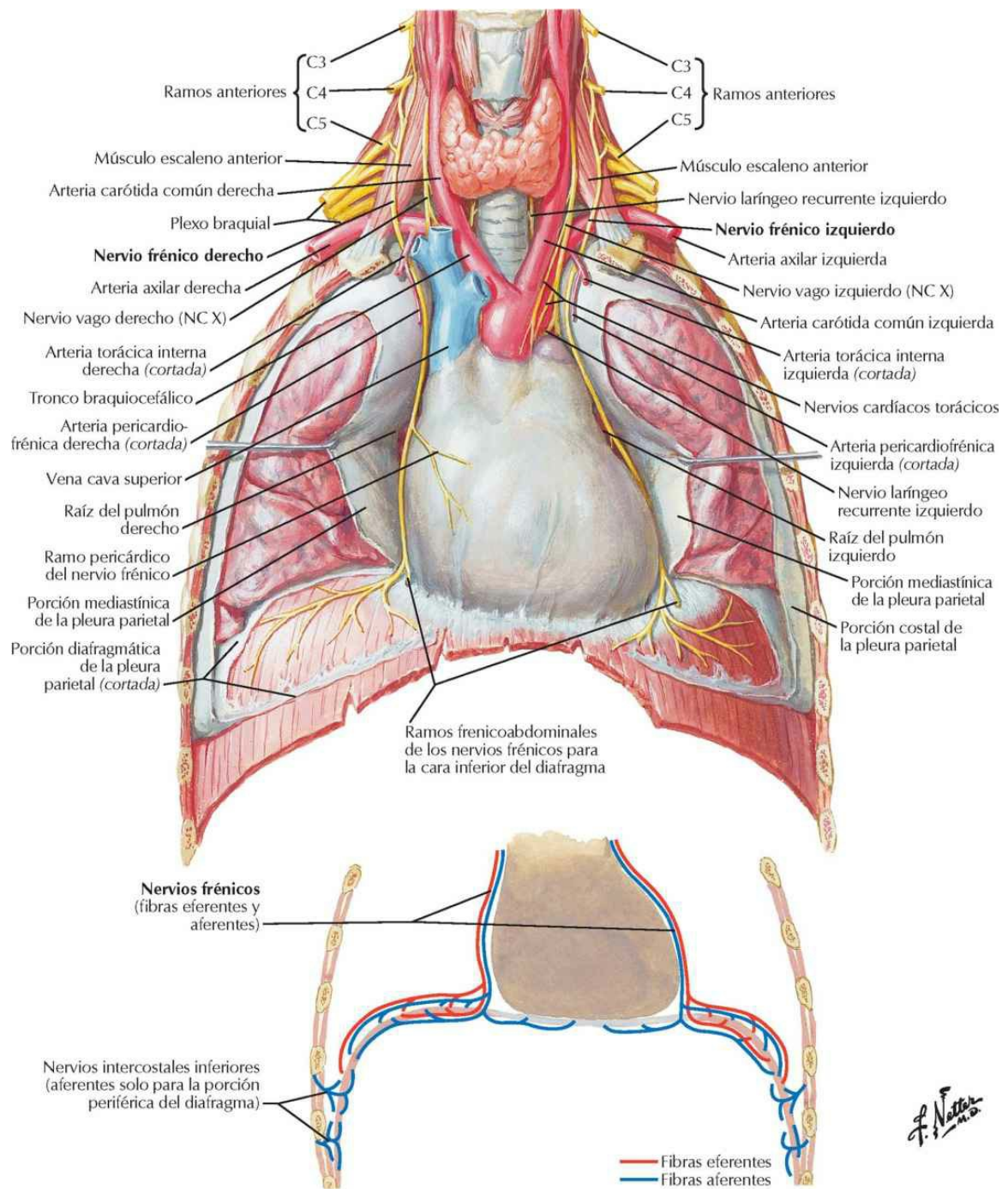
Venas de la pared interna del tórax

Véanse también láminas 234, 241, 259



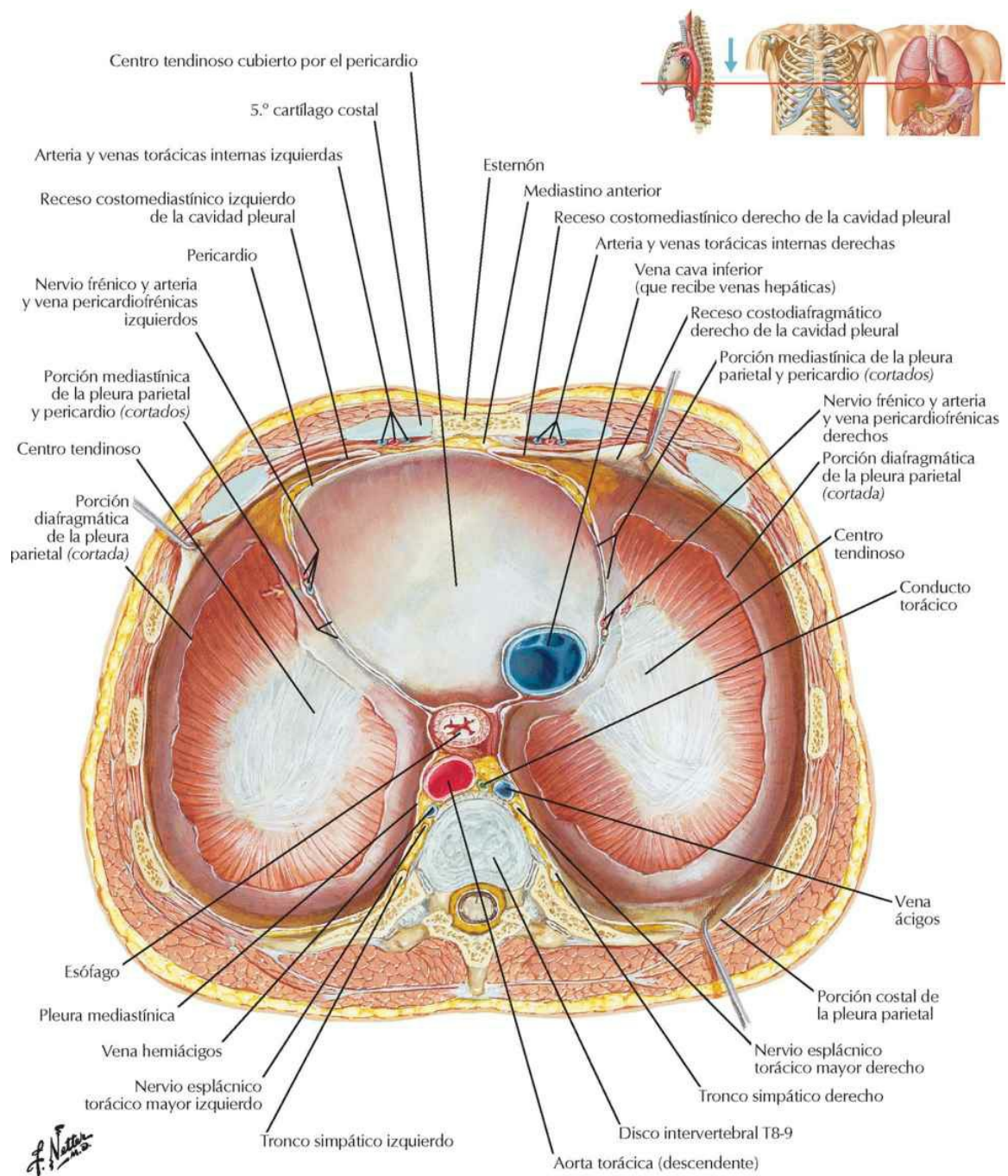
Nervio frénico

Véanse también láminas 39, 87



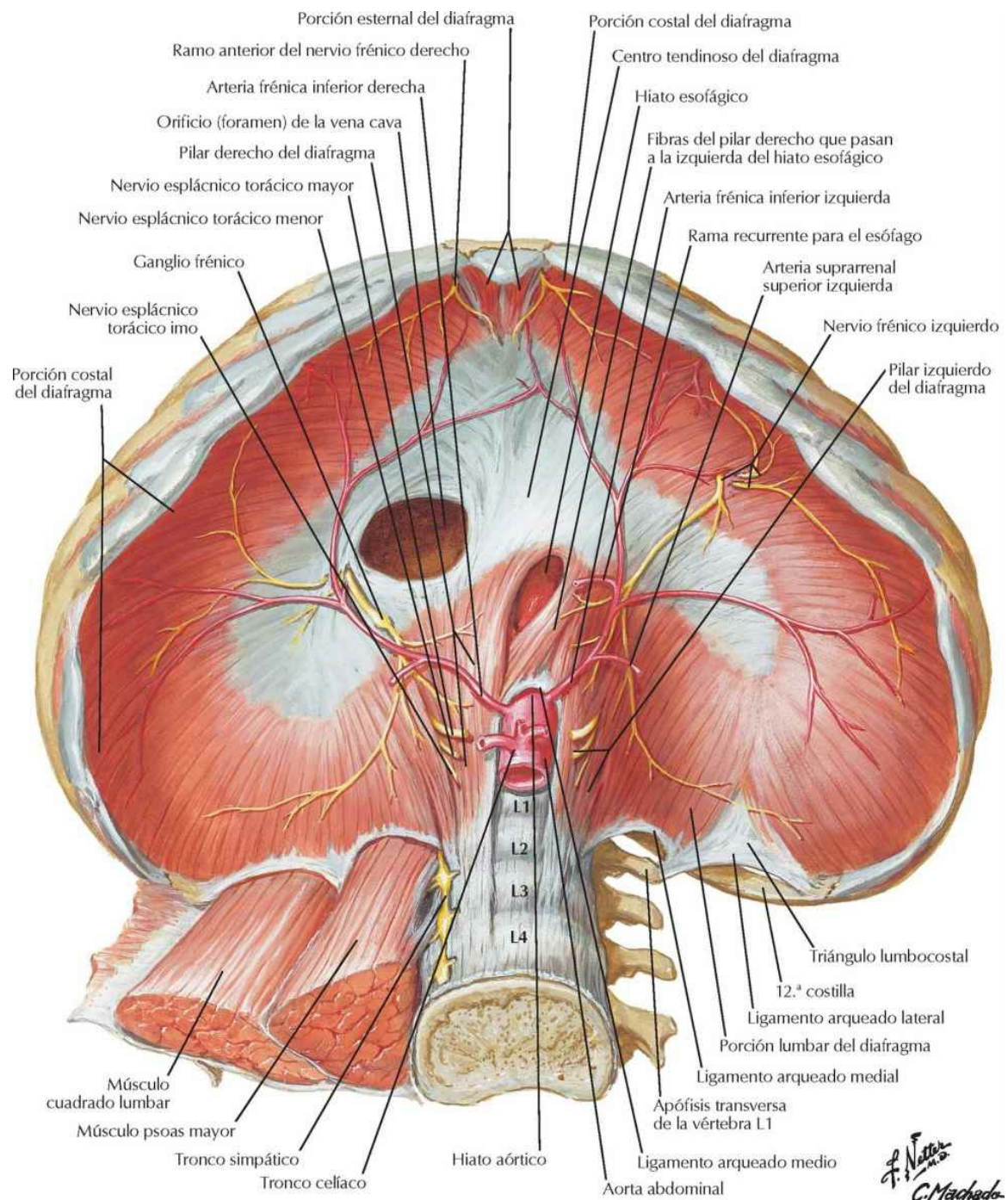
Diafragma: cara torácica

Véase también lámina 236



Diafragma: cara abdominal

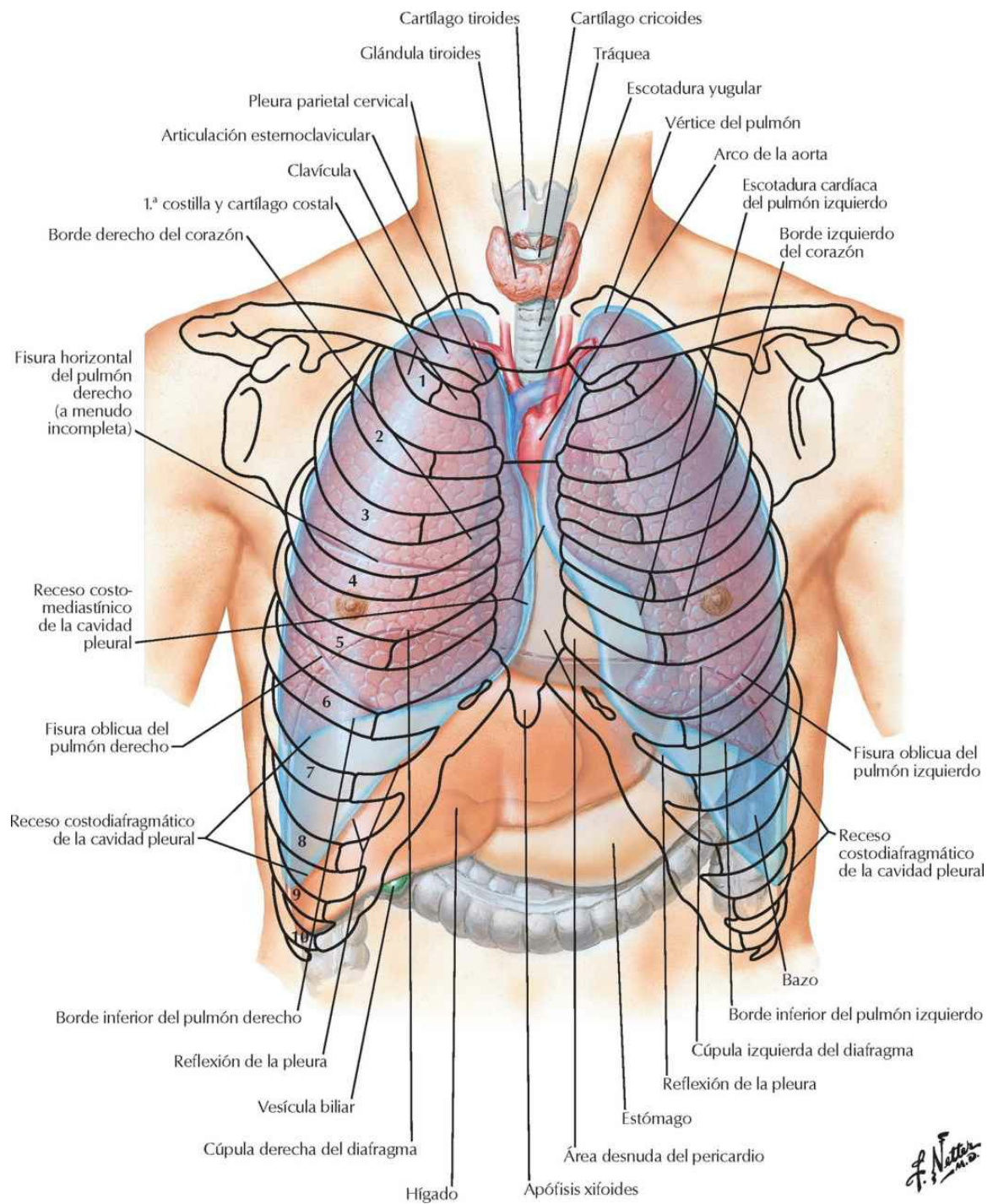
Véanse también láminas 265, 266



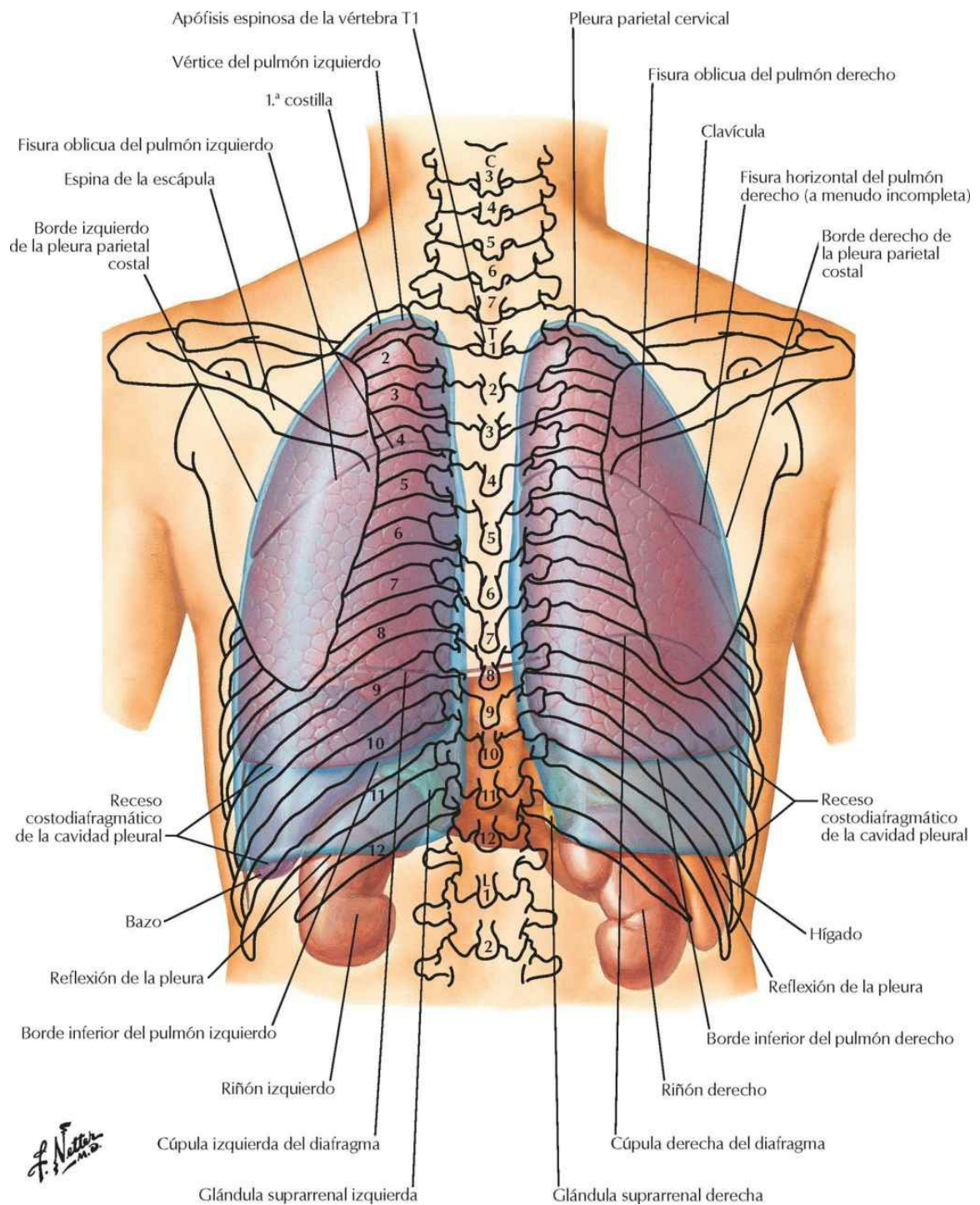
F. Nieto
 C. Machado
 14.2.

Pulmones

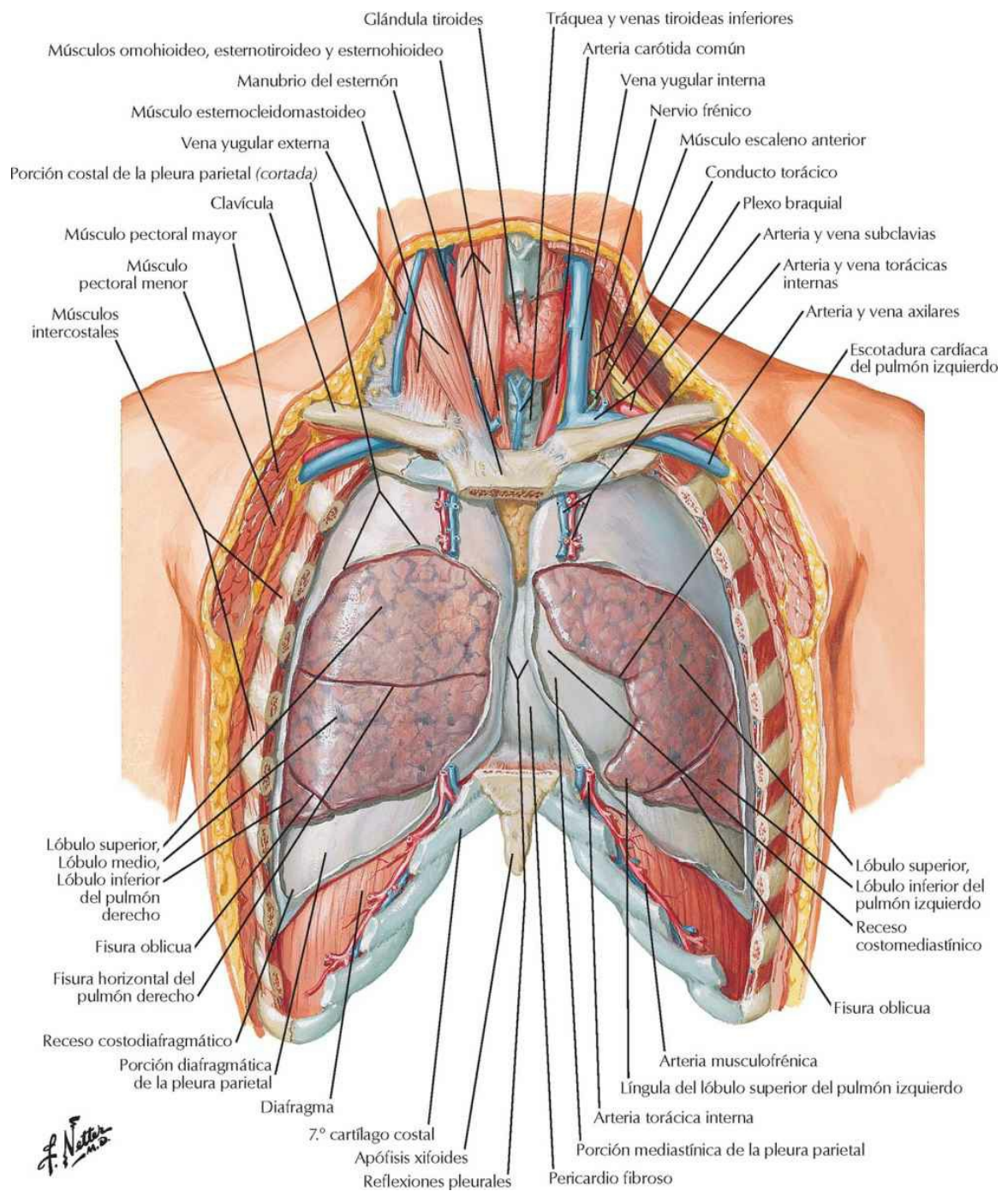
Topografía de los pulmones: visión anterior



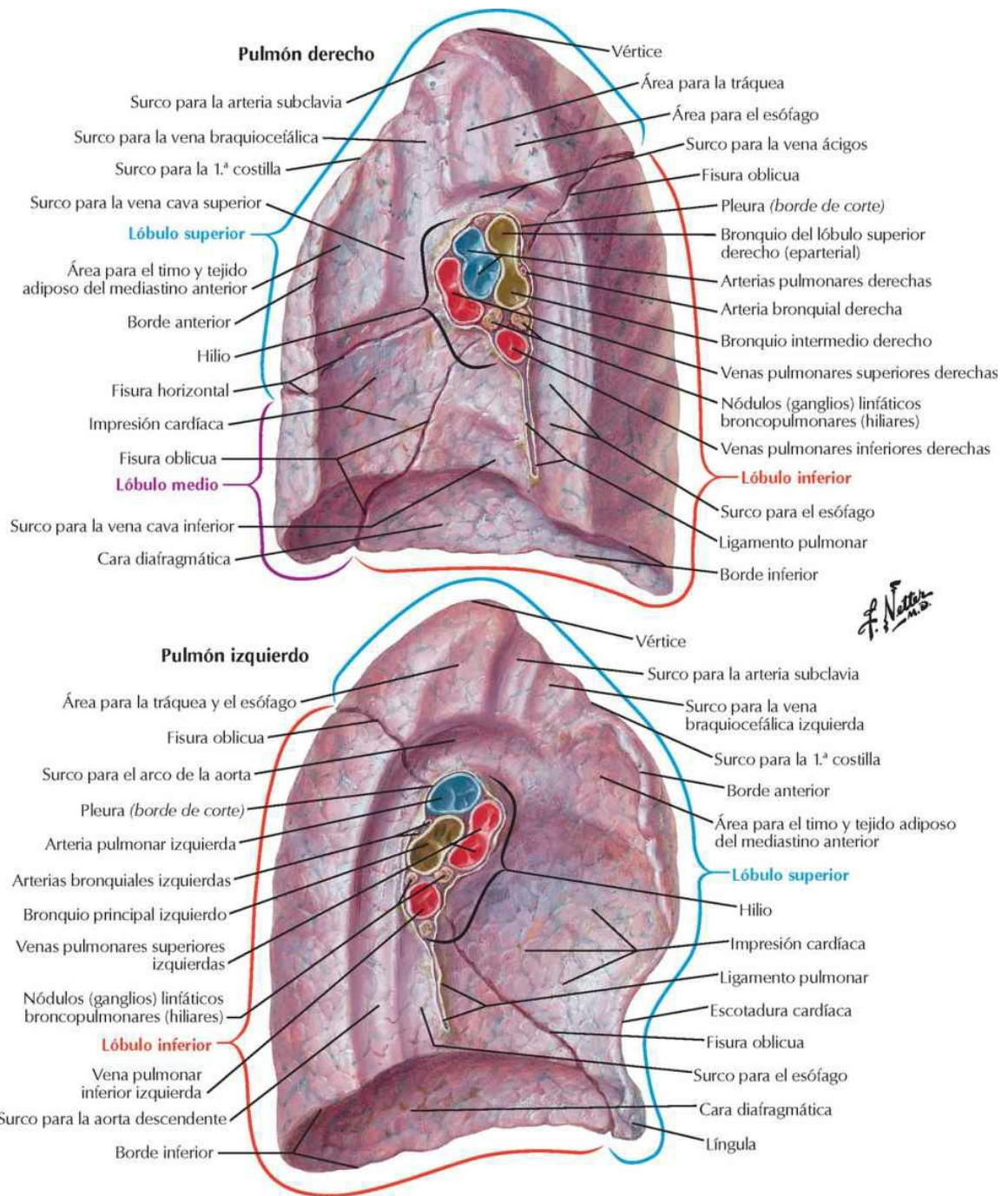
Topografía de los pulmones: visión posterior



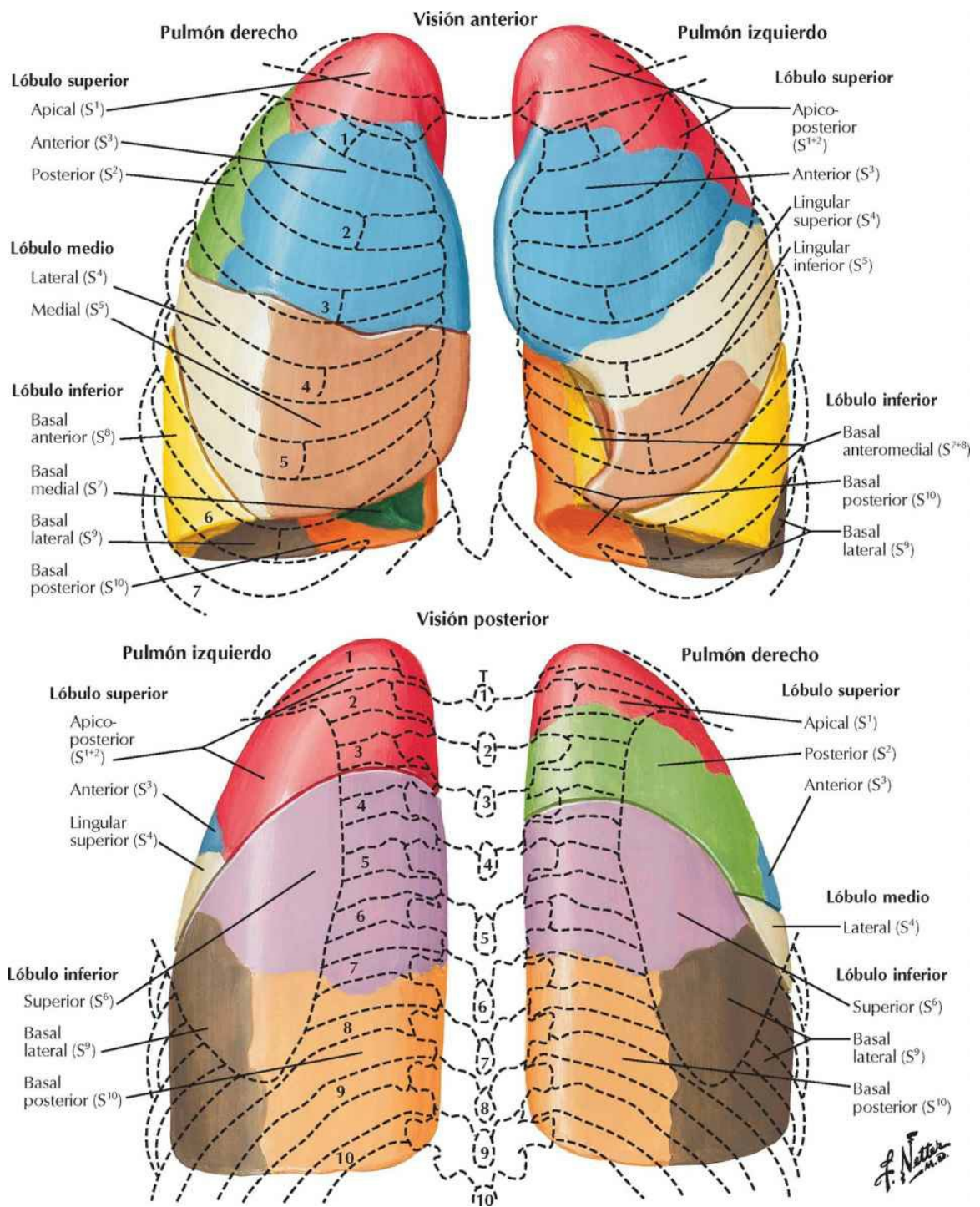
Pulmones *in situ*: visión anterior



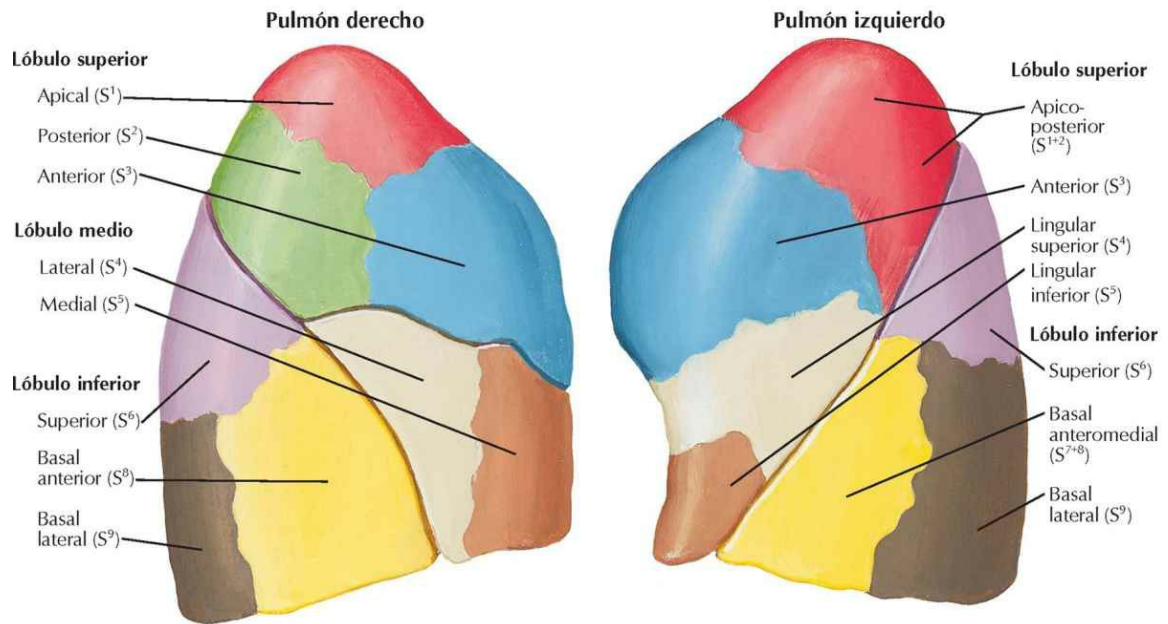
Pulmones: visiones mediales



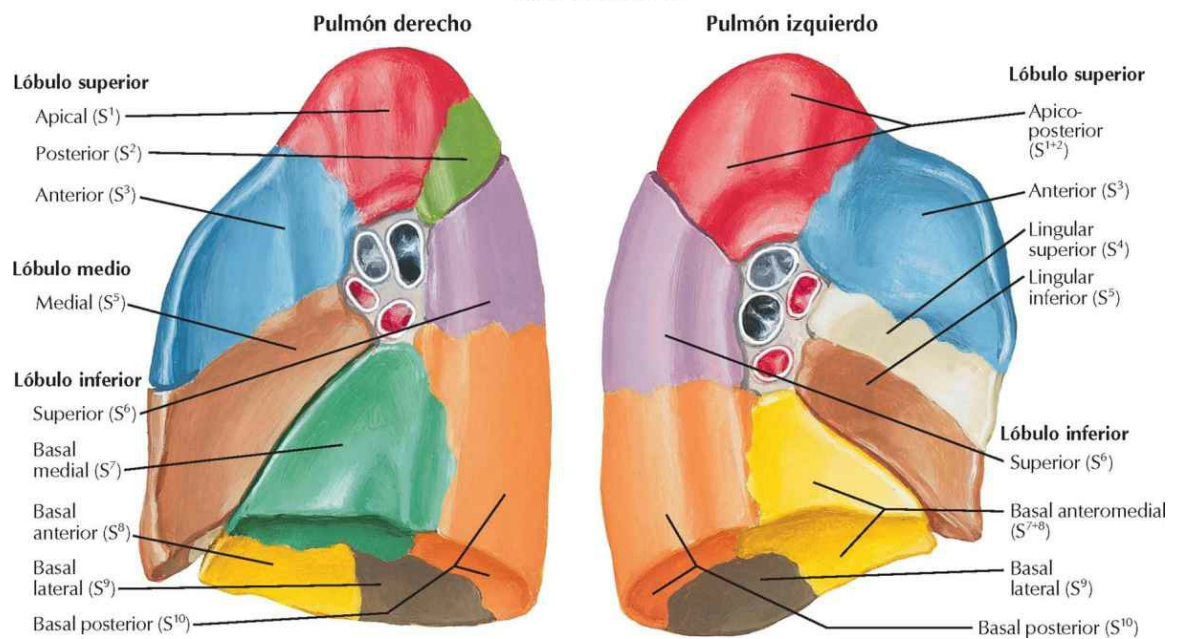
Segmentos broncopulmonares



Visiones laterales

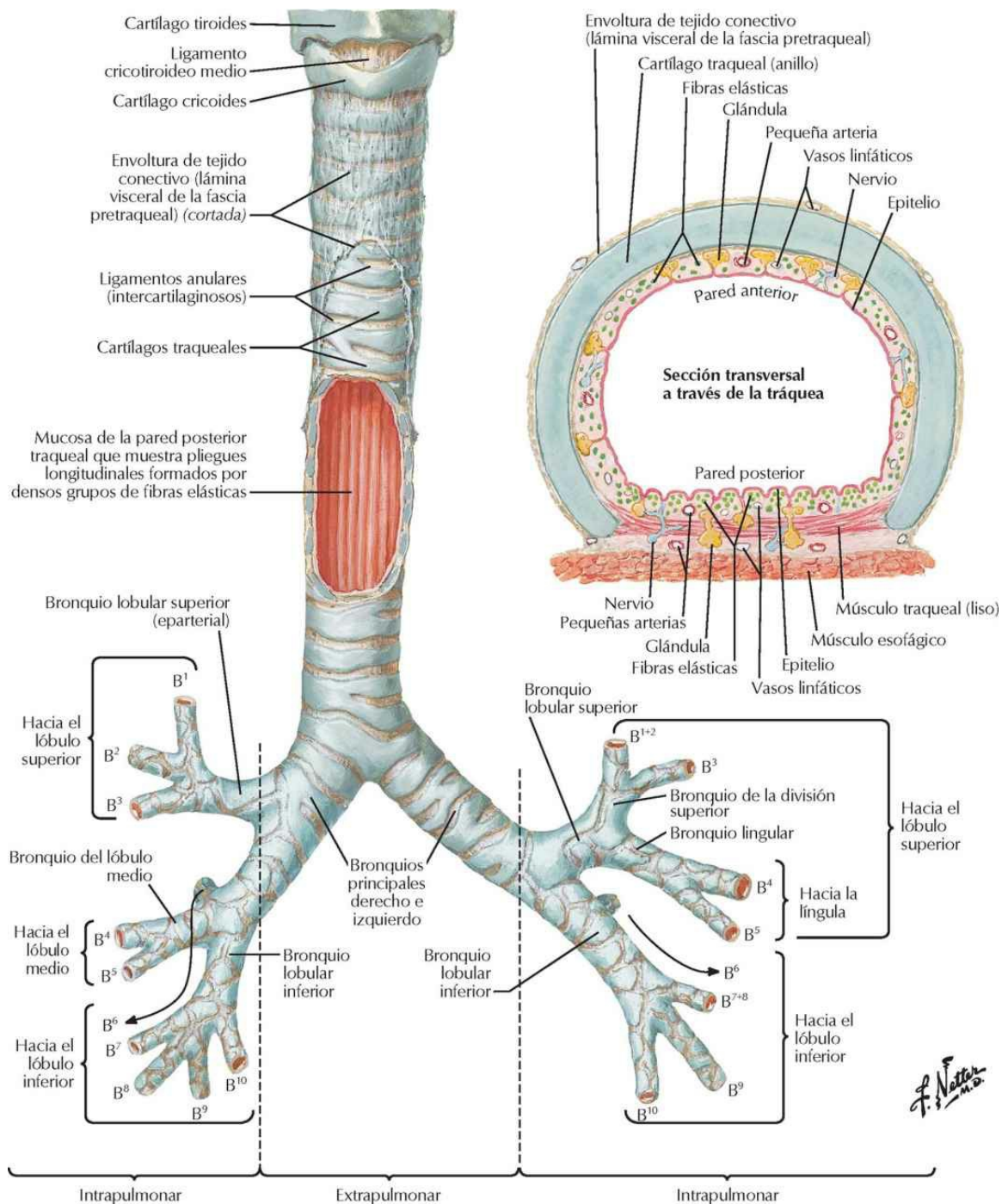


Visiones mediales

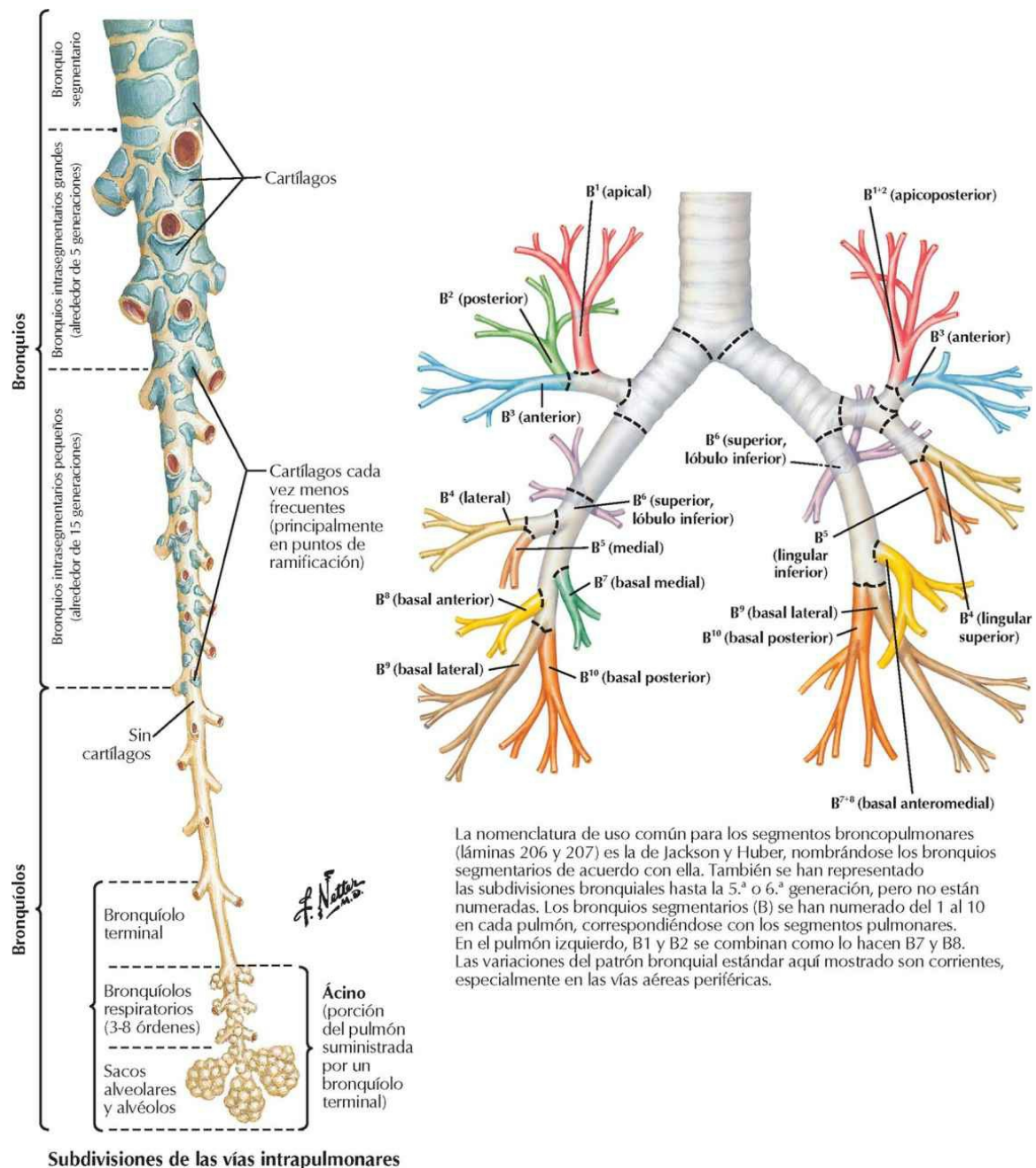


Tráquea y bronquios mayores

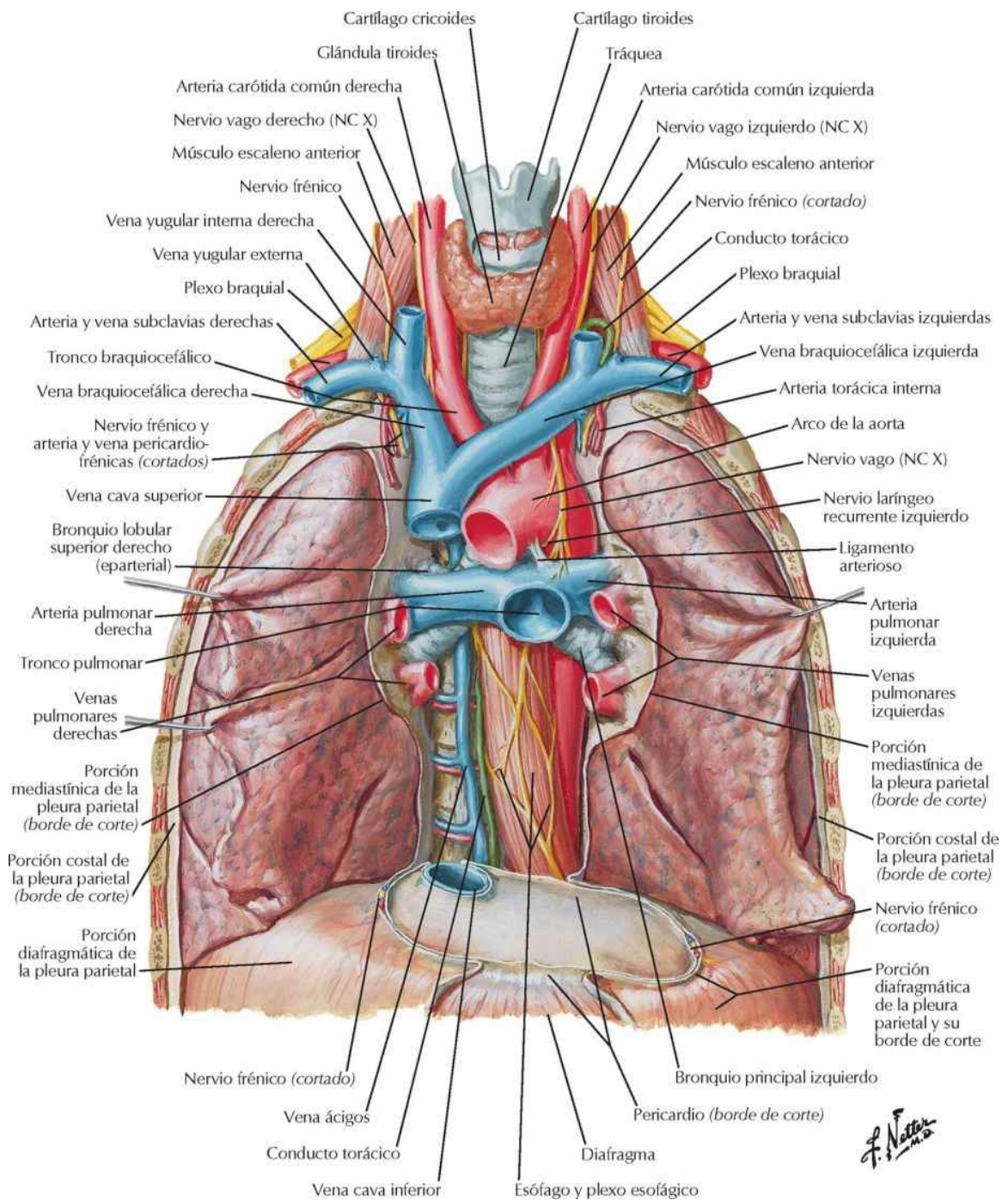
Véanse también láminas 81, 211, 214



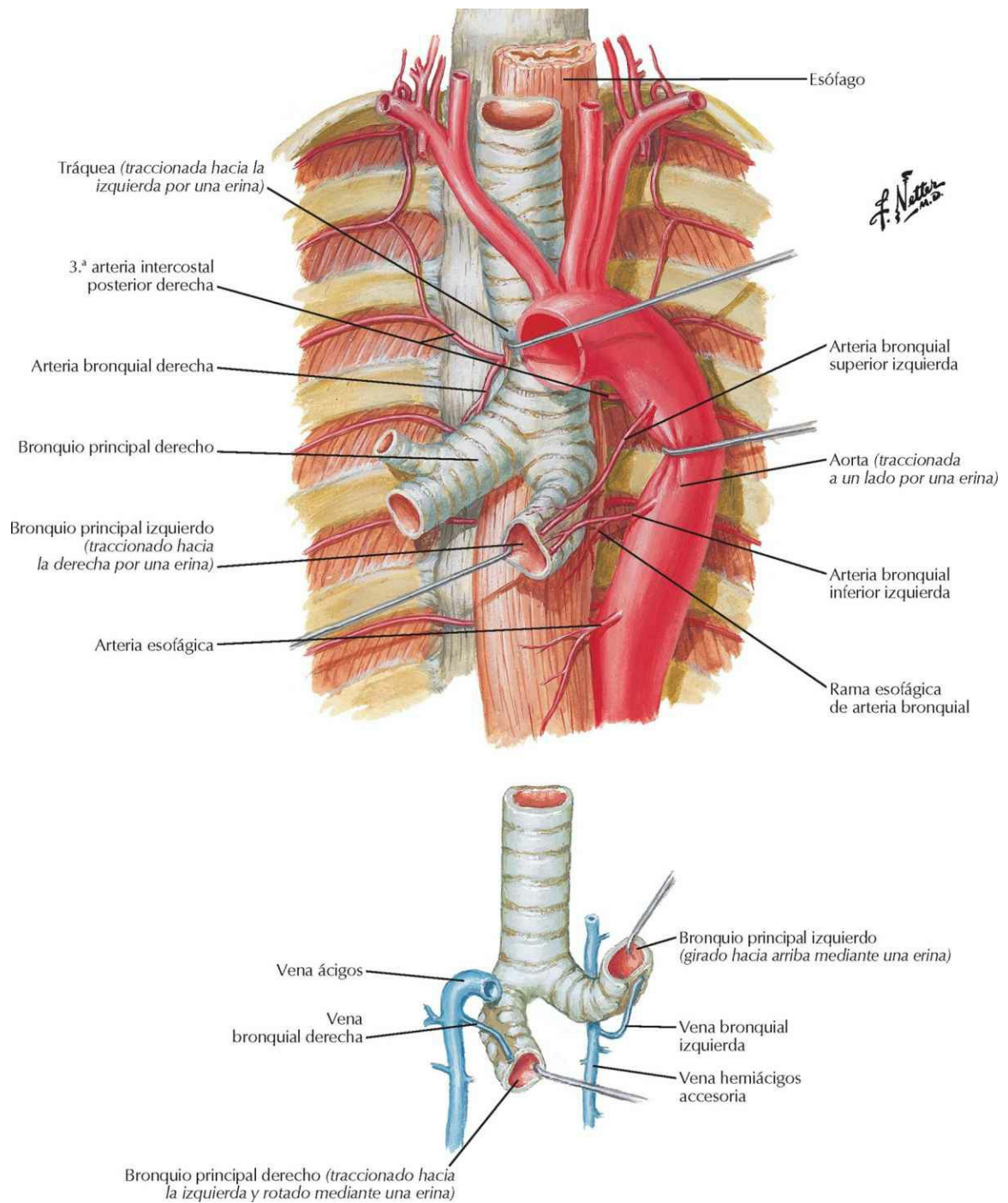
Bronquios y vías aéreas intrapulmonares



Grandes vasos del mediastino superior

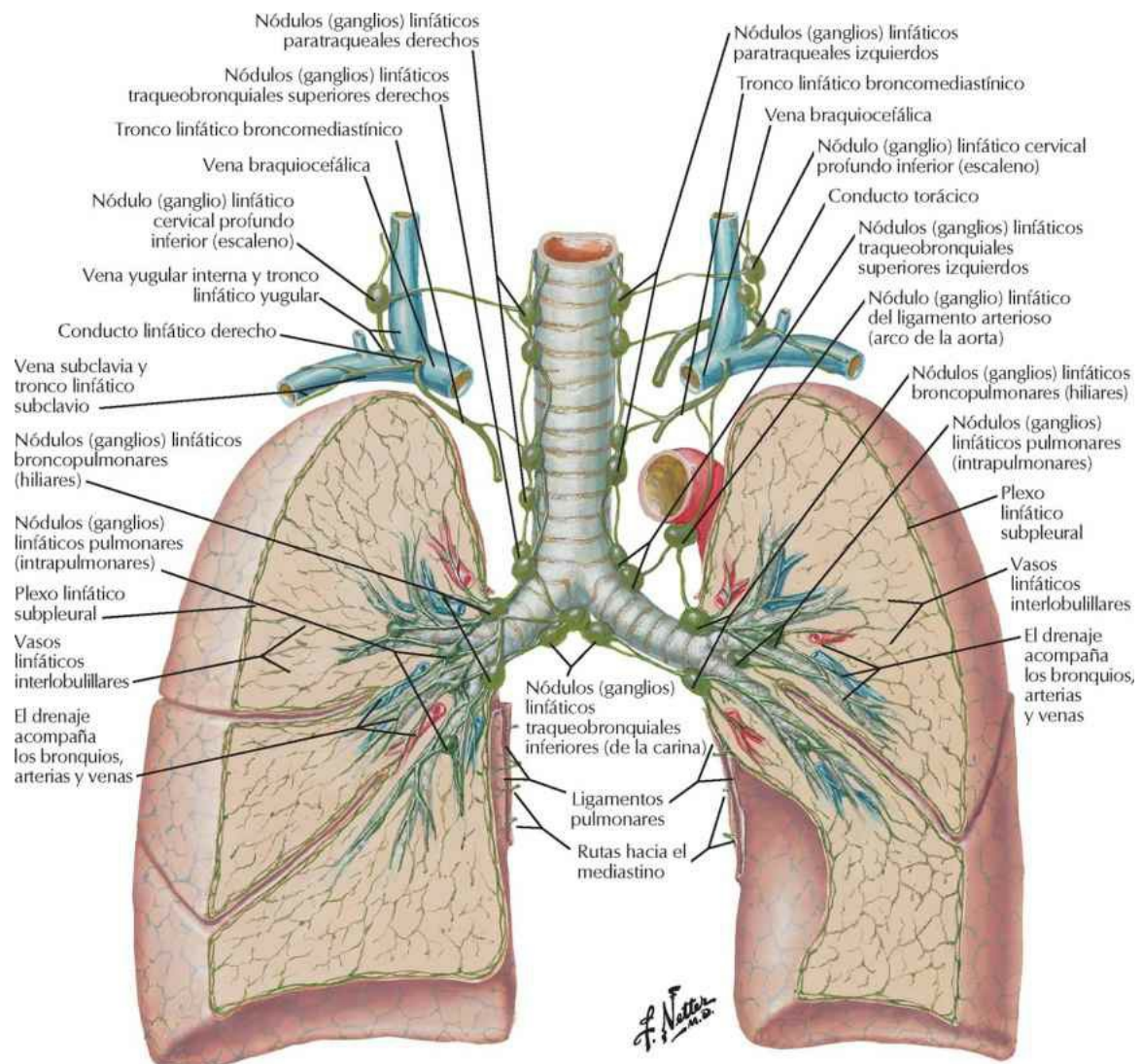


Arterias y venas bronquiales



Vasos y nódulos (ganglios) linfáticos del pulmón

Véanse también láminas 85, 242

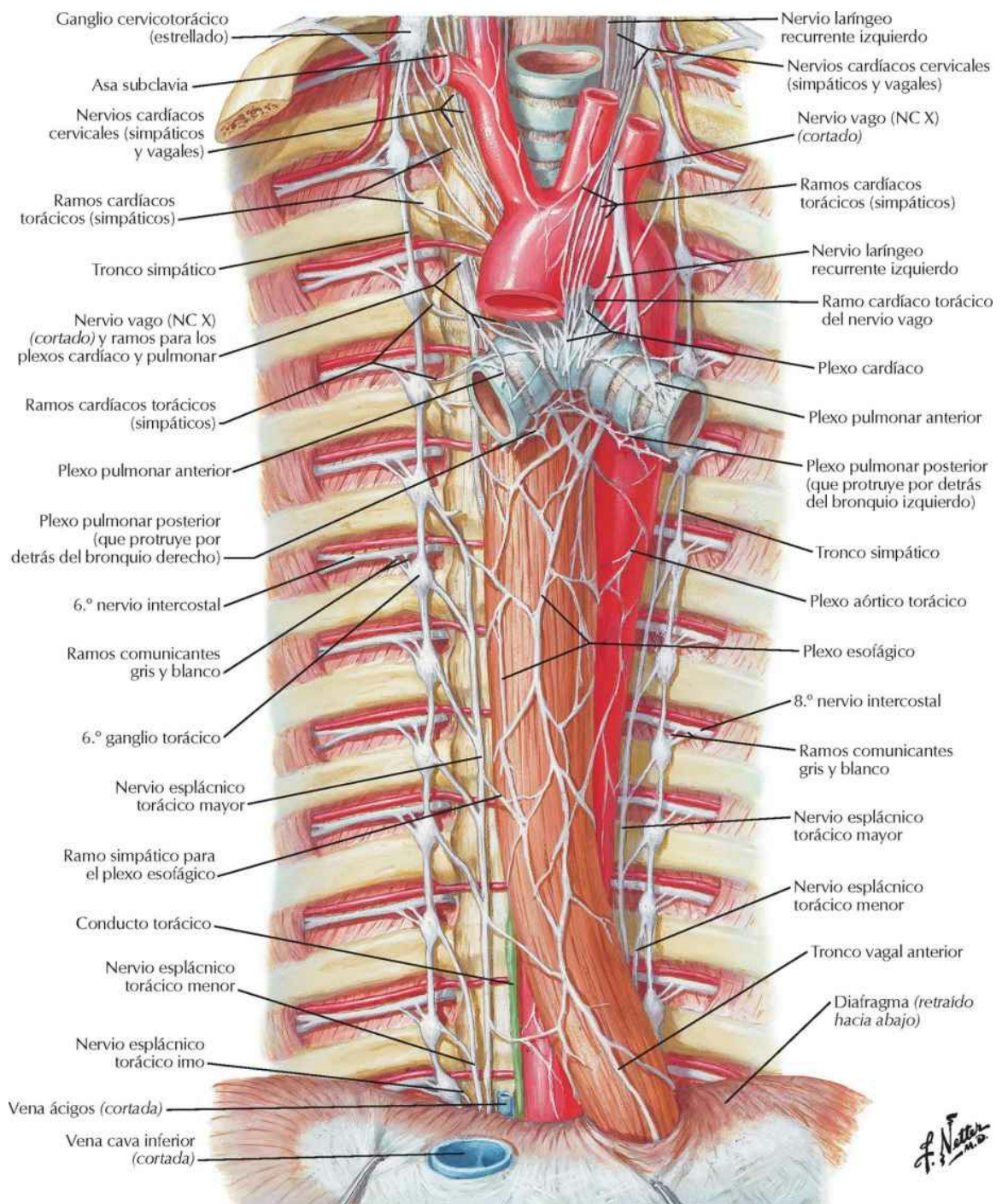


Rutas de drenaje linfático

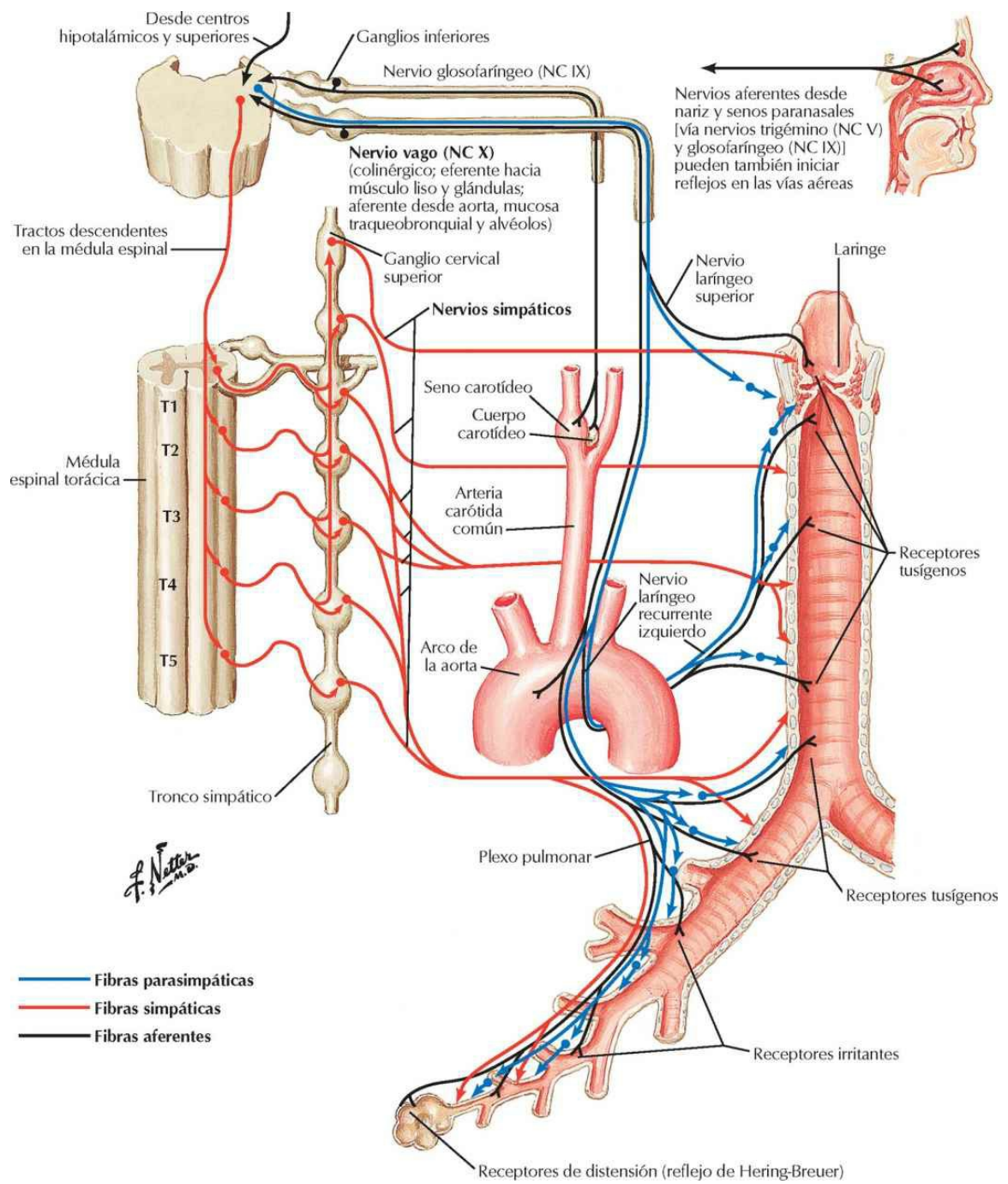
Pulmón derecho: Todos los lóbulos drenan en nódulos (ganglios) pulmonares y broncopulmonares (hiliares) y luego en nódulos (ganglios) traqueobronquiales inferiores (de la carina), nódulos (ganglios) traqueobronquiales superiores derechos y nódulos (ganglios) paratraqueales derechos en dirección a la vena braquiocefálica vía tronco linfático broncomediastínico y/o nódulo (ganglio) cervical profundo inferior (escaleno).

Pulmón izquierdo: El lóbulo superior drena en nódulos (ganglios) pulmonares y broncopulmonares (hiliares), nódulos (ganglios) traqueobronquiales inferiores (de la carina), nódulos (ganglios) traqueobronquiales superiores izquierdos, nódulos (ganglios) paratraqueales izquierdos y/o el nódulo (ganglio) del ligamento arterioso (arco de la aorta) y luego en la vena braquiocefálica vía tronco broncomediastínico izquierdo y conducto torácico. El lóbulo inferior izquierdo también drena en nódulos (ganglios) pulmonares y broncopulmonares (hiliares) y en nódulos (ganglios) traqueobronquiales inferiores (de la carina), pero después lo hace mayoritariamente en nódulos (ganglios) traqueobronquiales superiores derechos, donde sigue el mismo camino que la linfa del pulmón derecho.

Nervios autónomos en el tórax

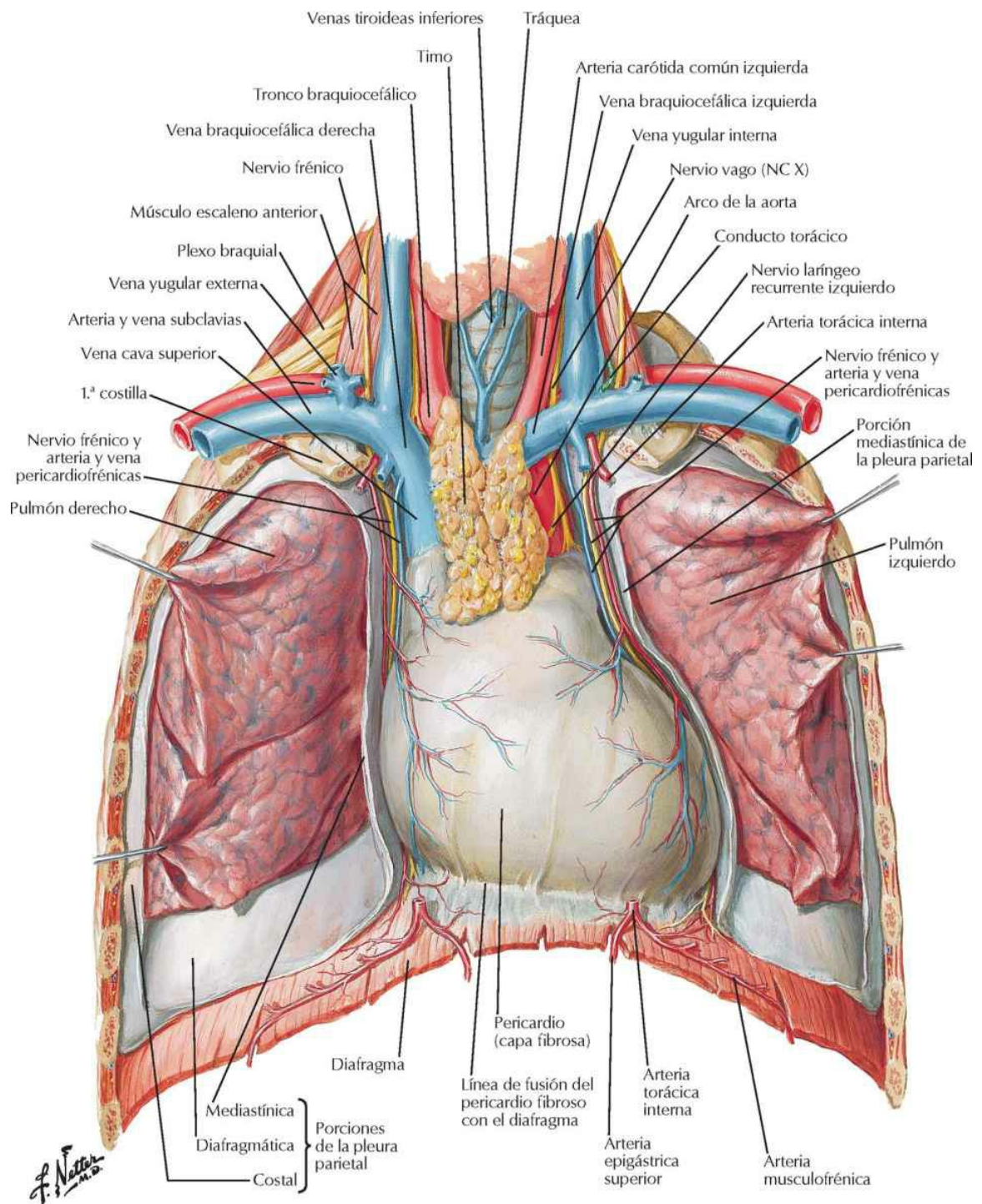


Inervación del árbol traqueobronquial: esquema

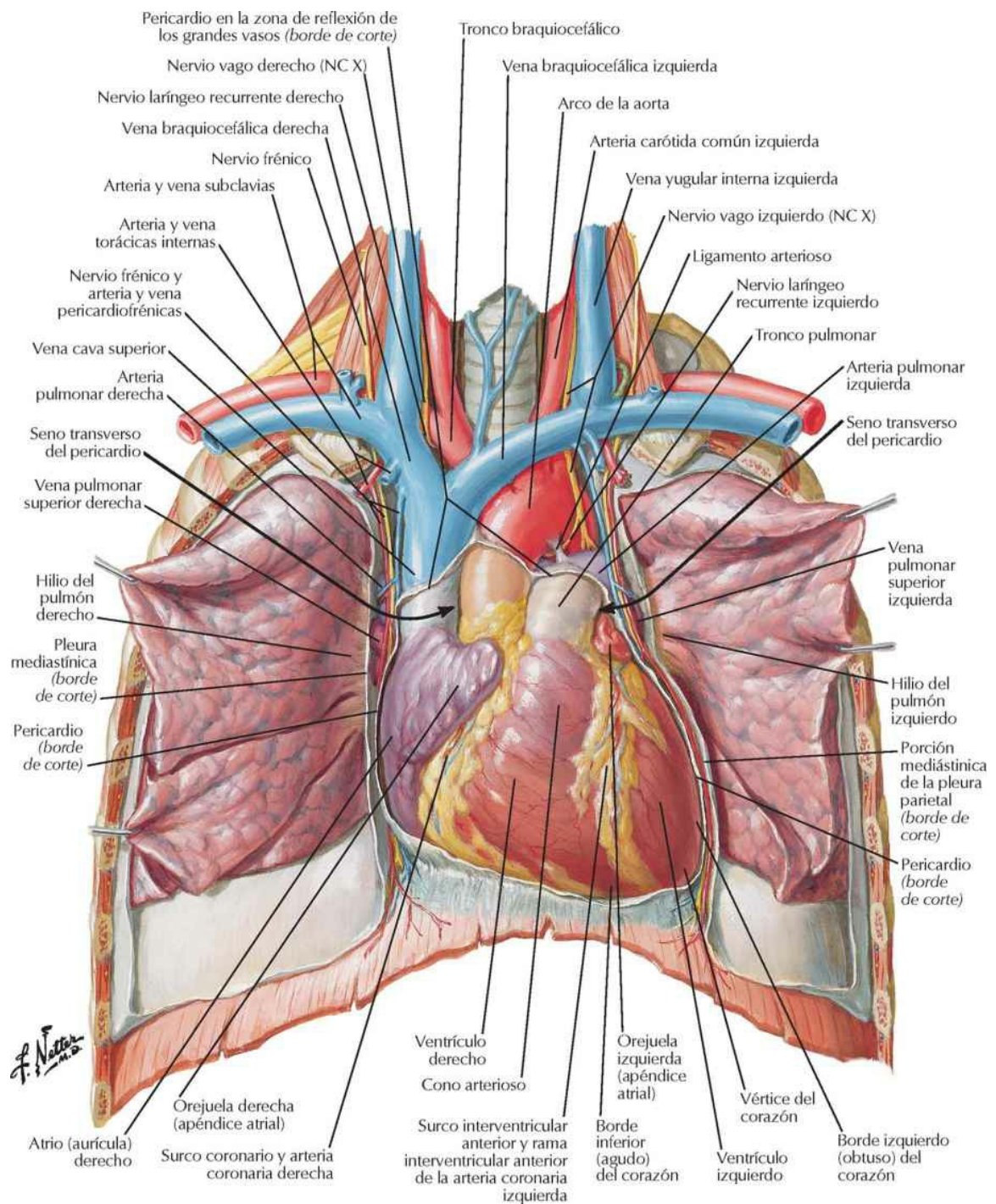


Corazón

Corazón *in situ*

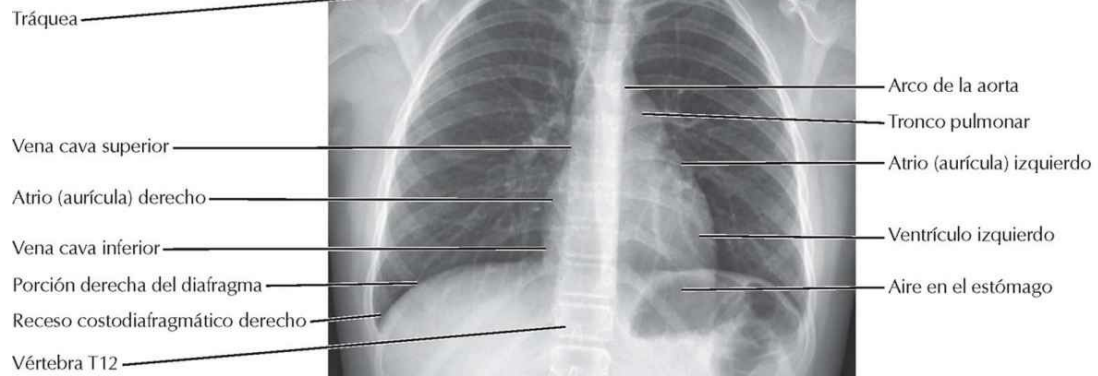


Corazón: exposición anterior

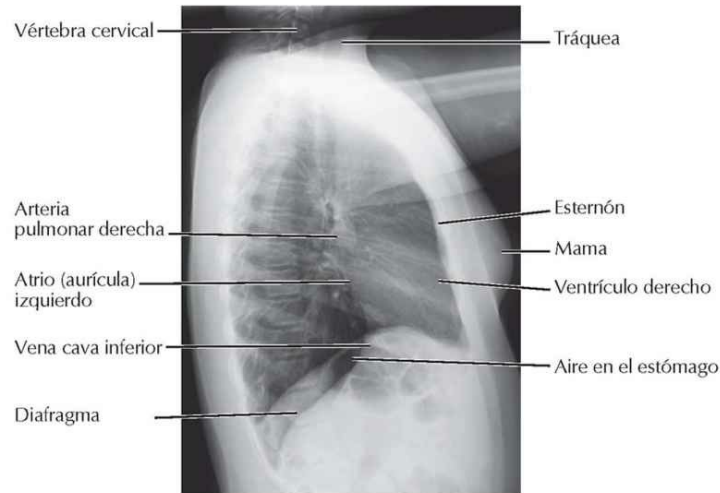


**Corazón: radiografías y angiografía TC;
auscultación del corazón**

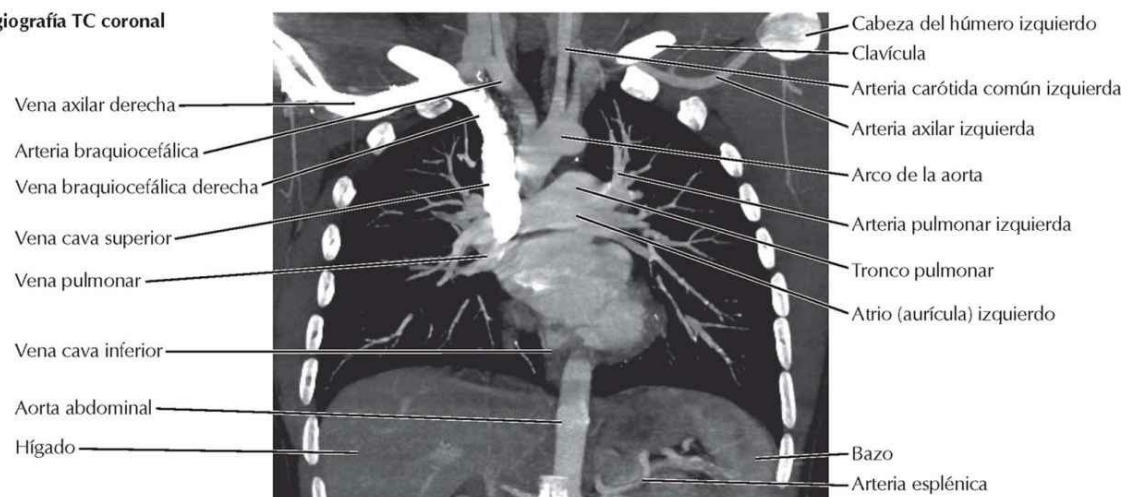
Radiografía: proyección posteroanterior



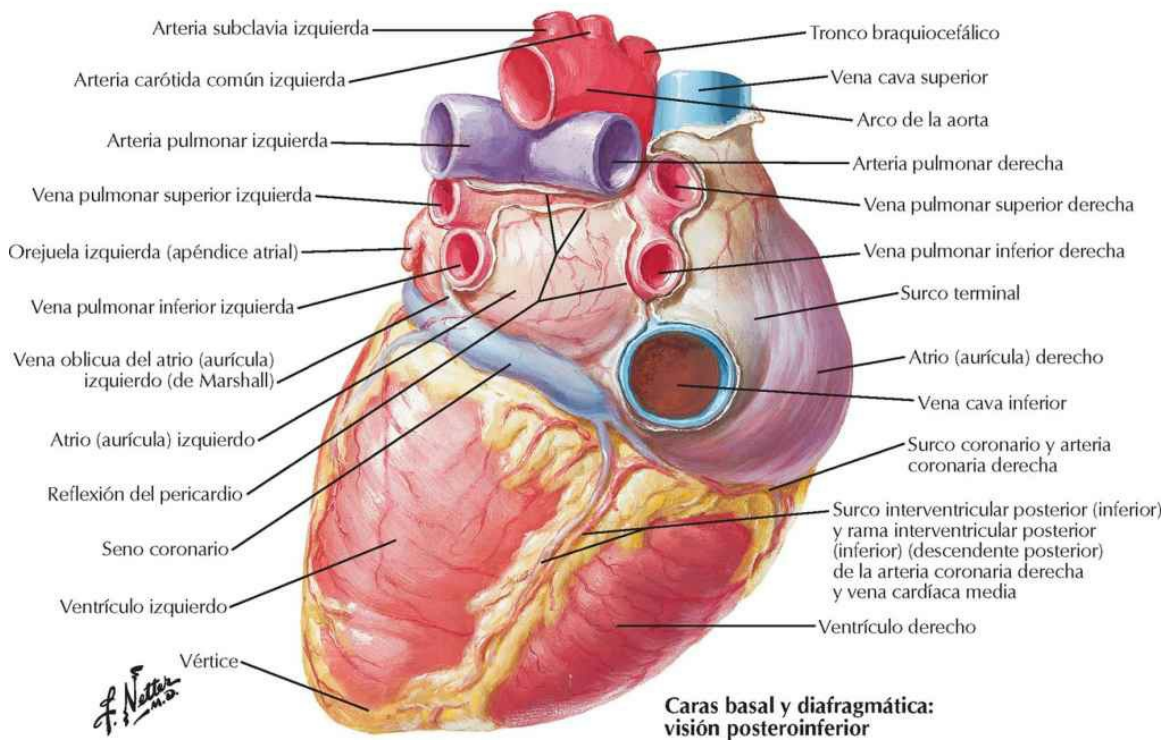
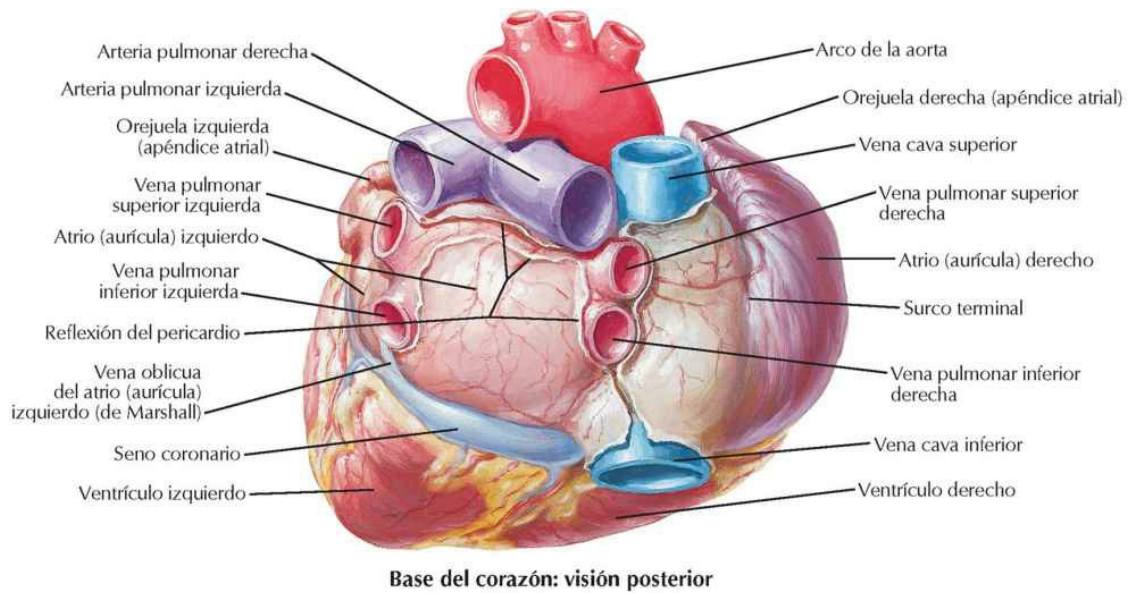
Radiografía: proyección lateral



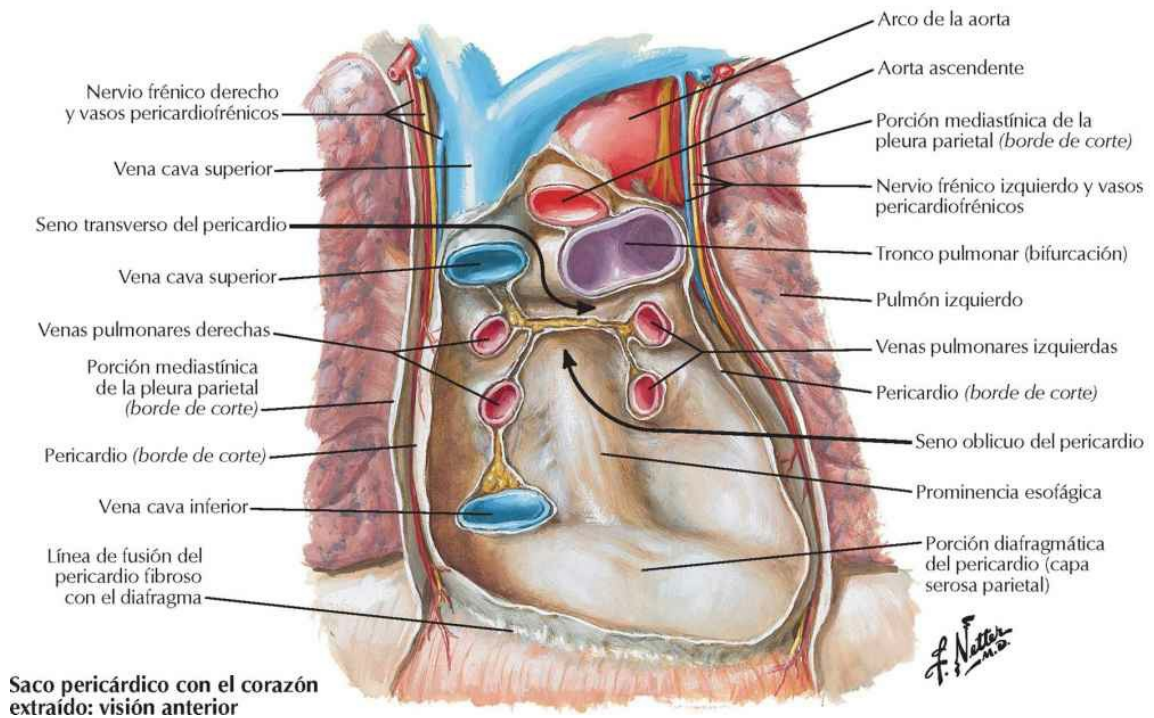
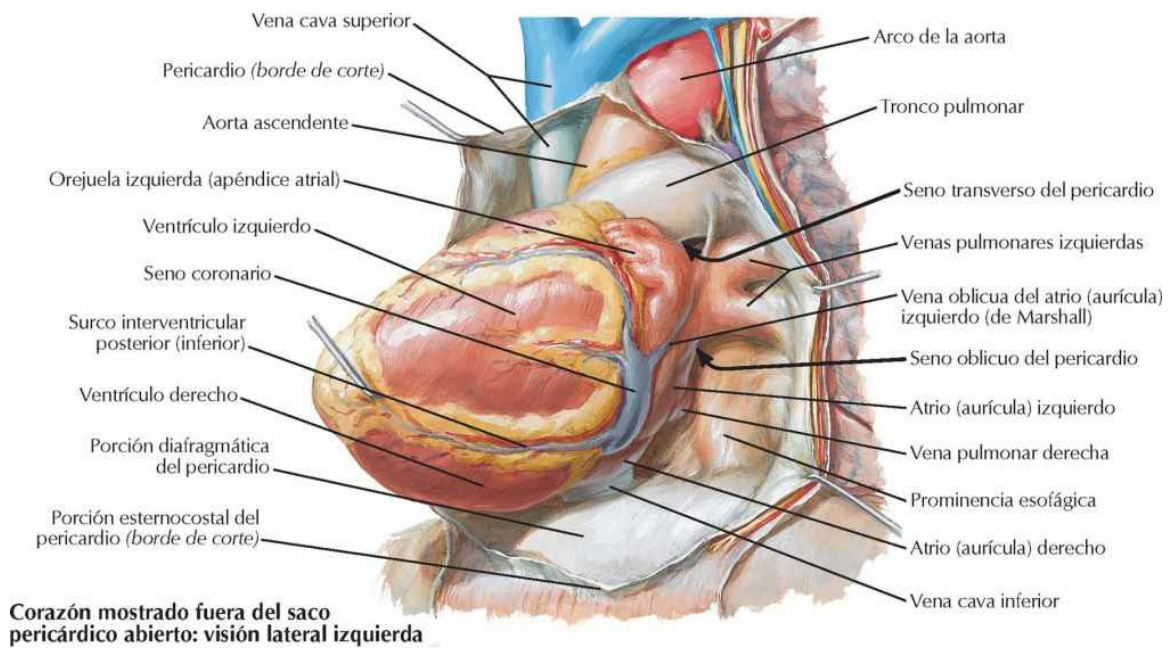
Angiografía TC coronal



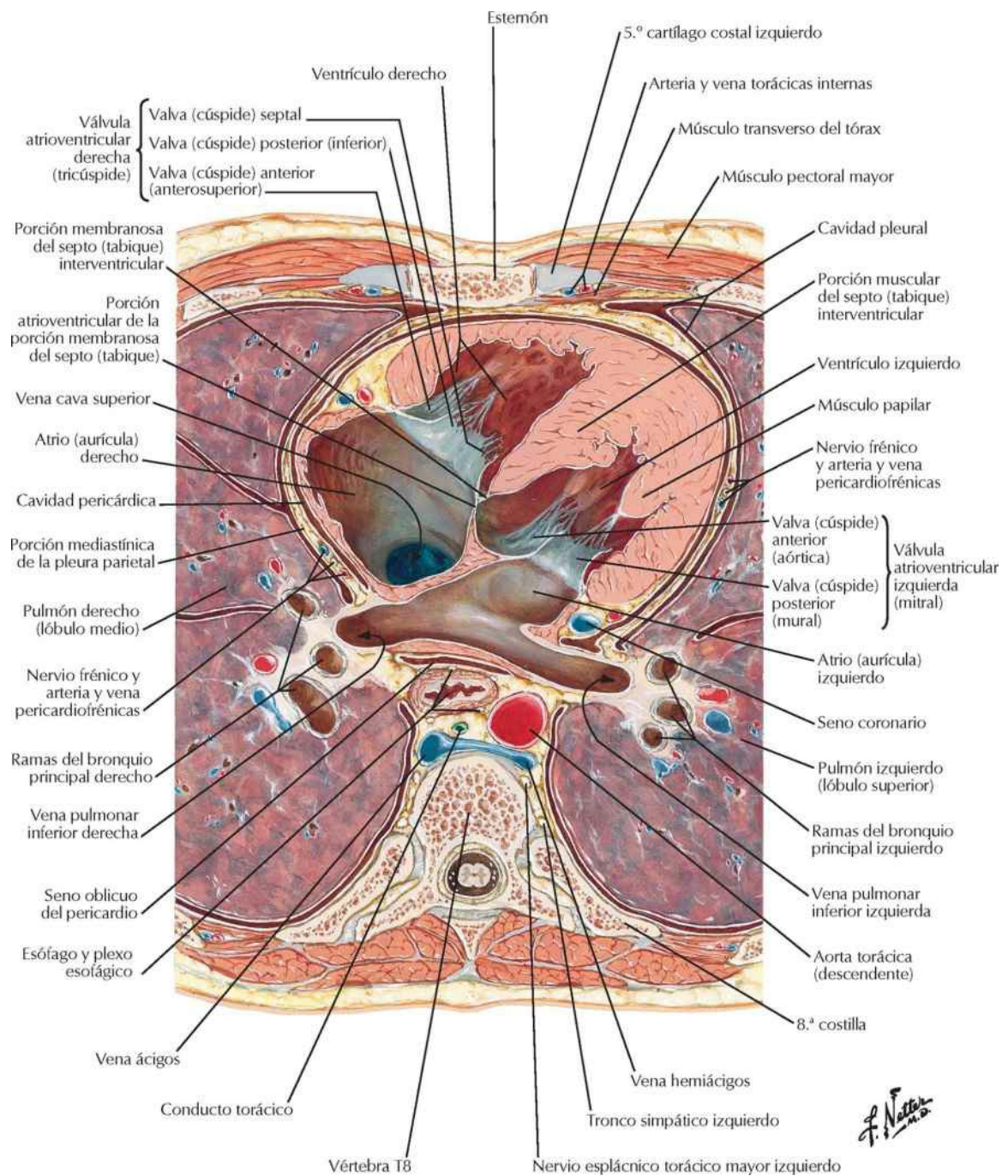
Corazón: caras basal y diafragmática



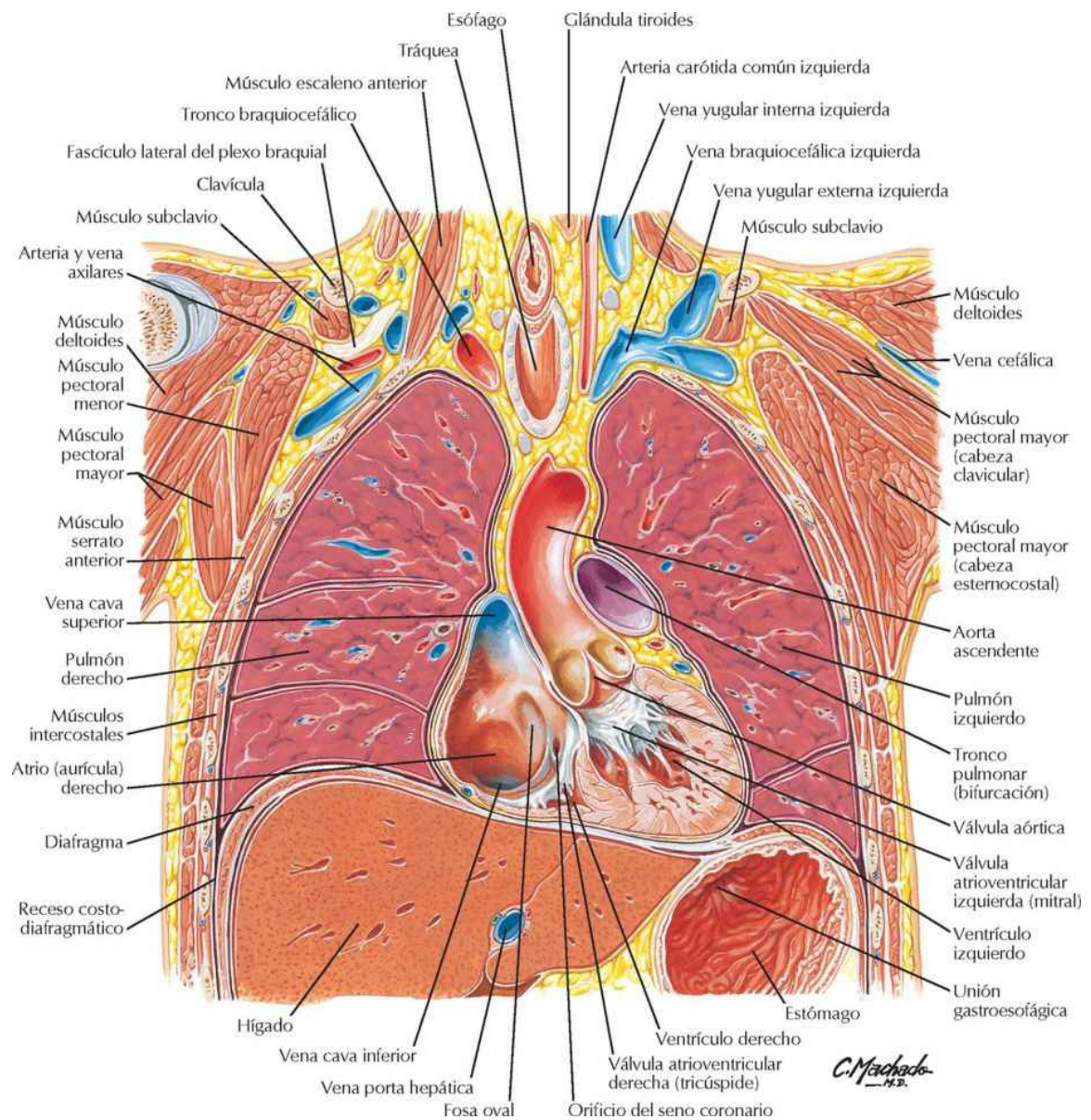
Saco pericárdico



Mediastino: sección transversal

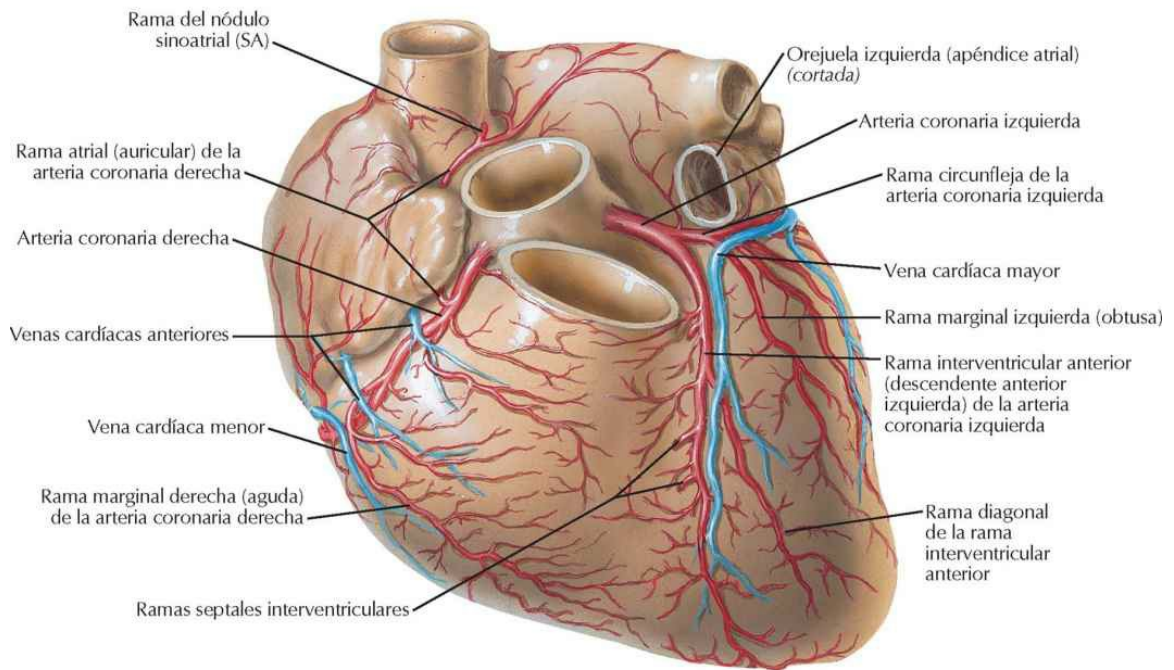


Tórax: sección coronal del corazón y aorta ascendente

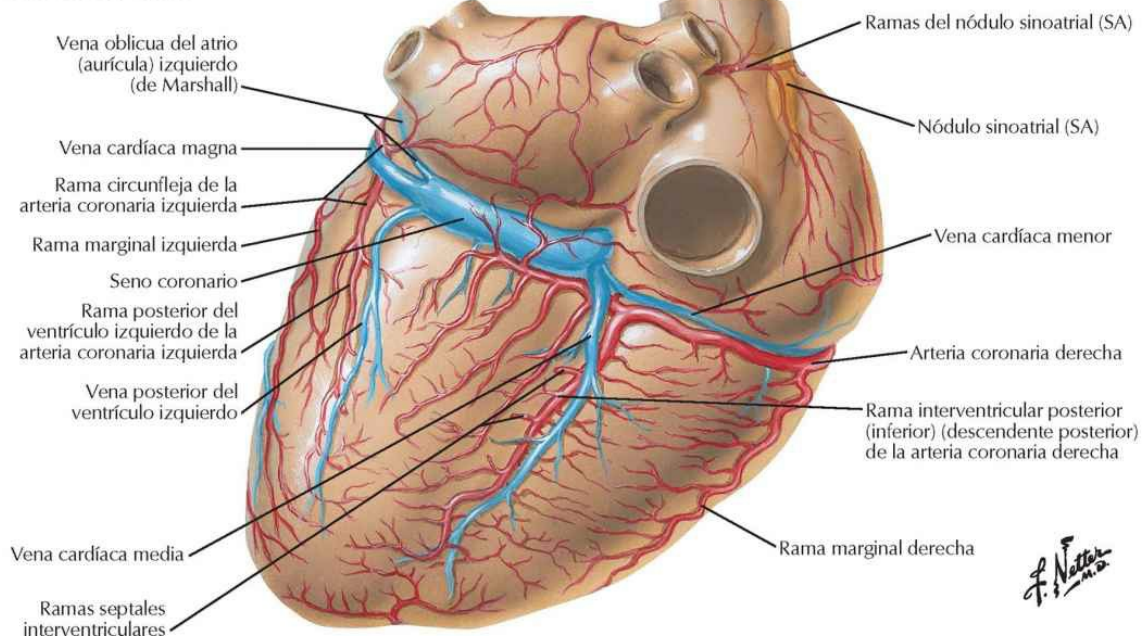


Arterias coronarias y venas cardíacas

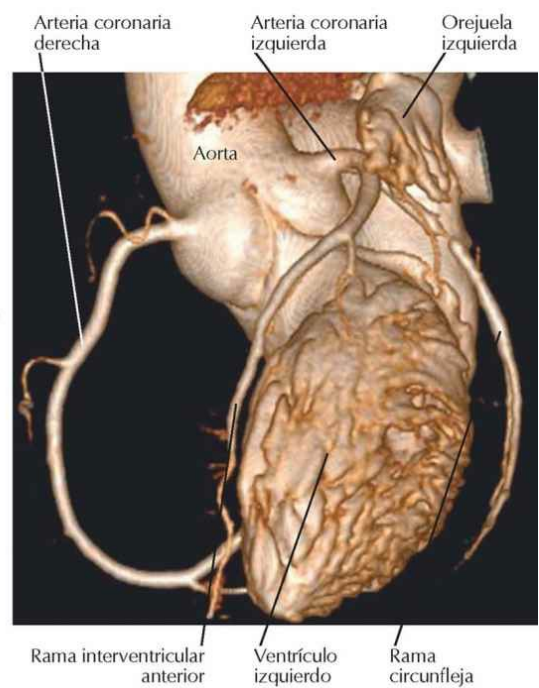
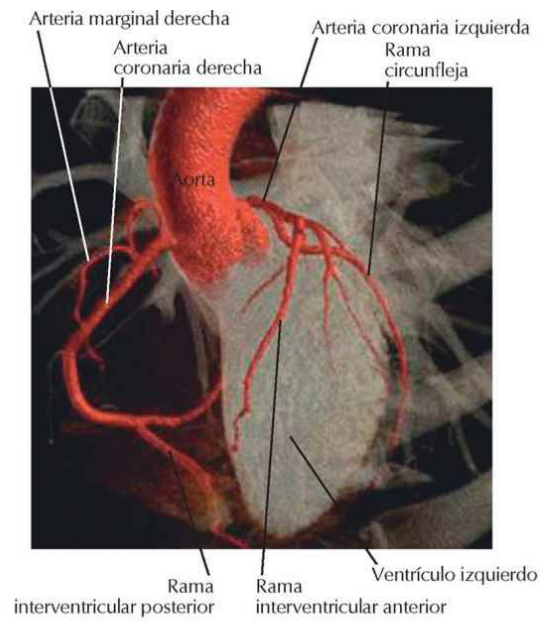
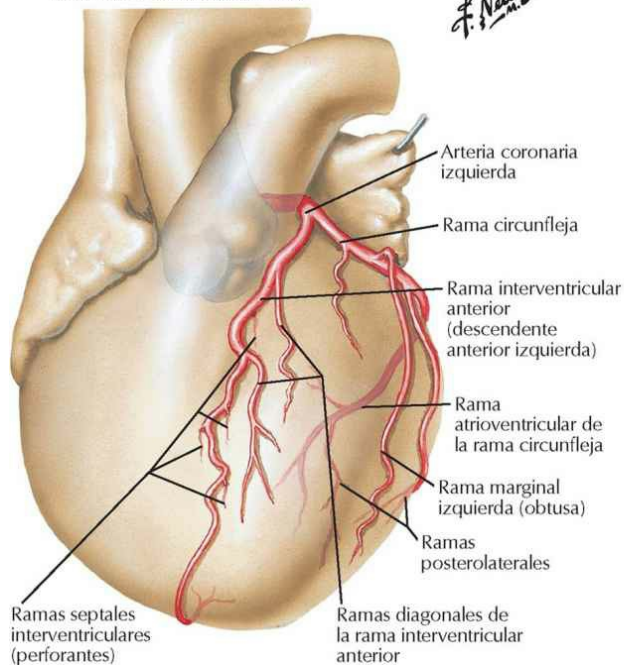
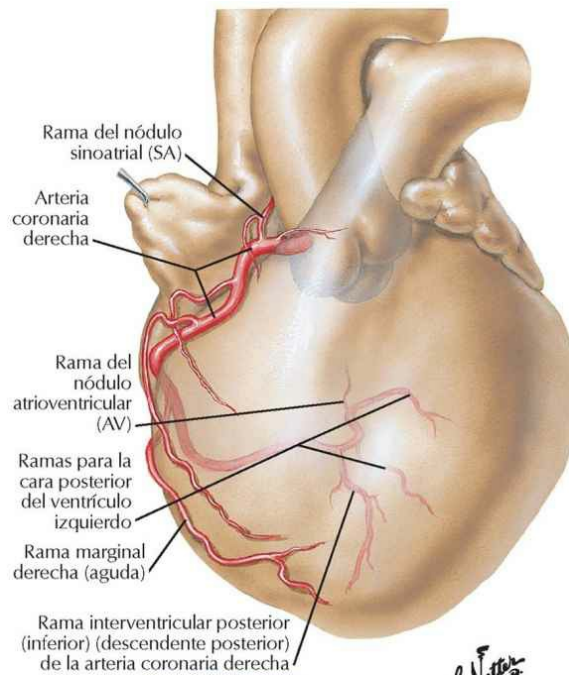
Cara esternocostal



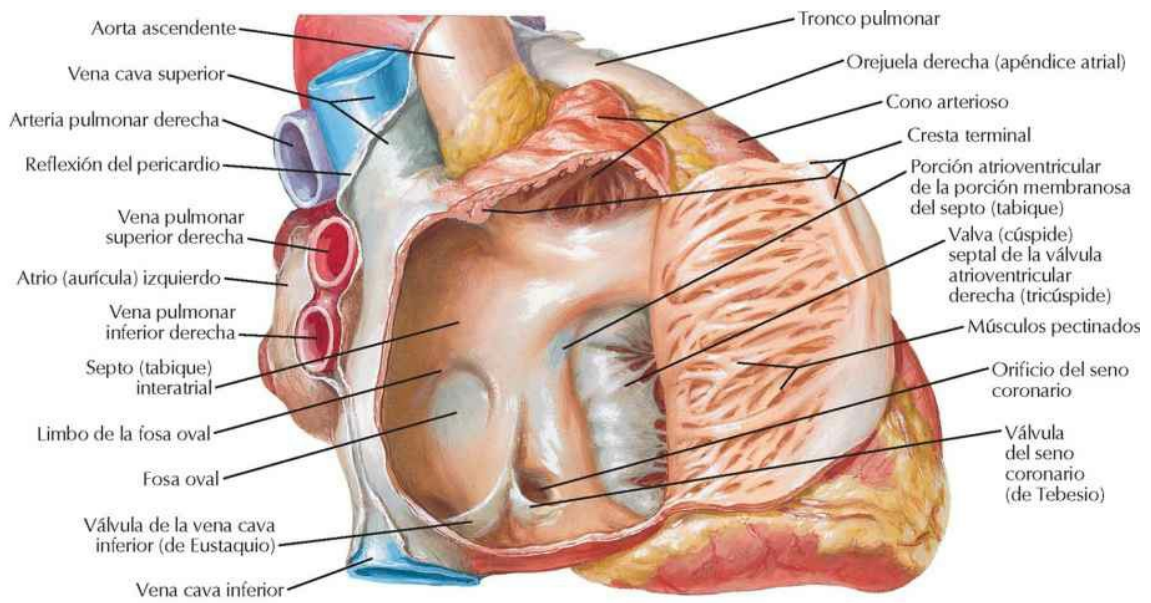
Cara diafragmática



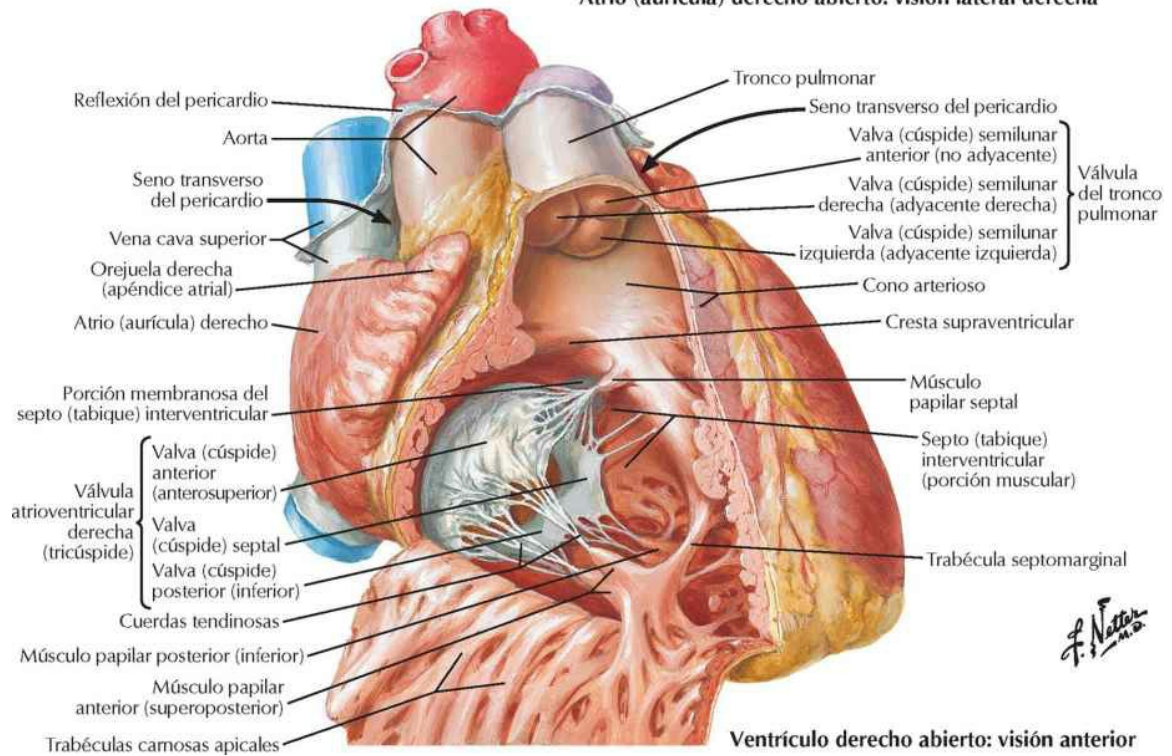
Arterias coronarias: visiones anteriores, TC y 3D



Atrio (aurícula) y ventrículo derechos

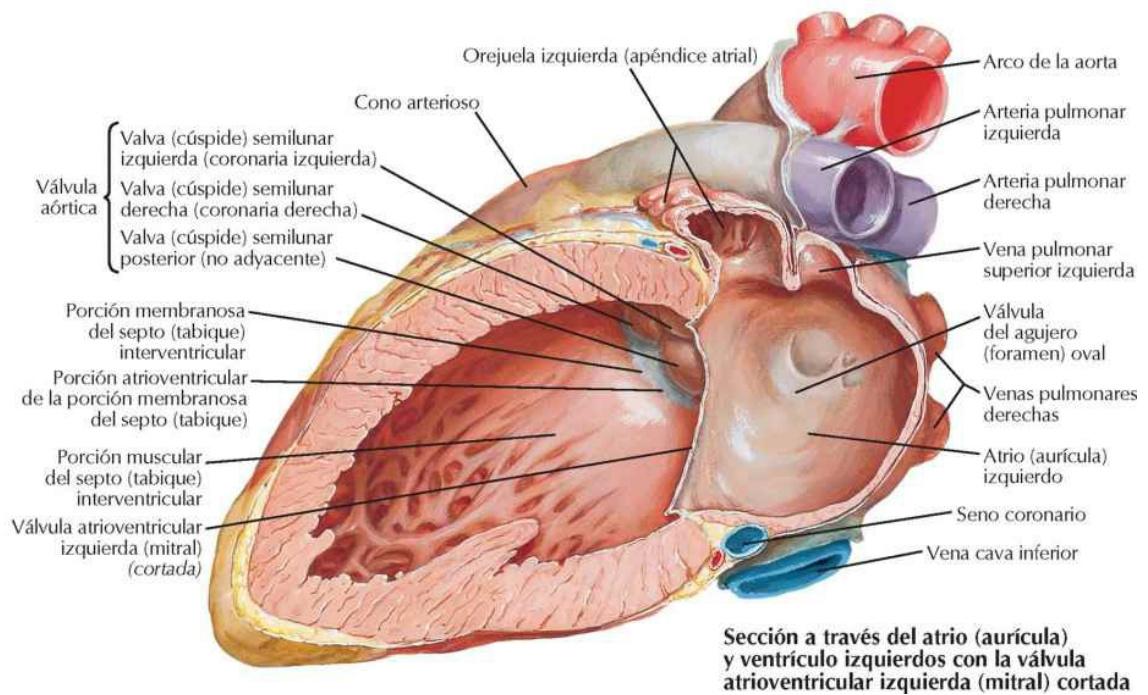
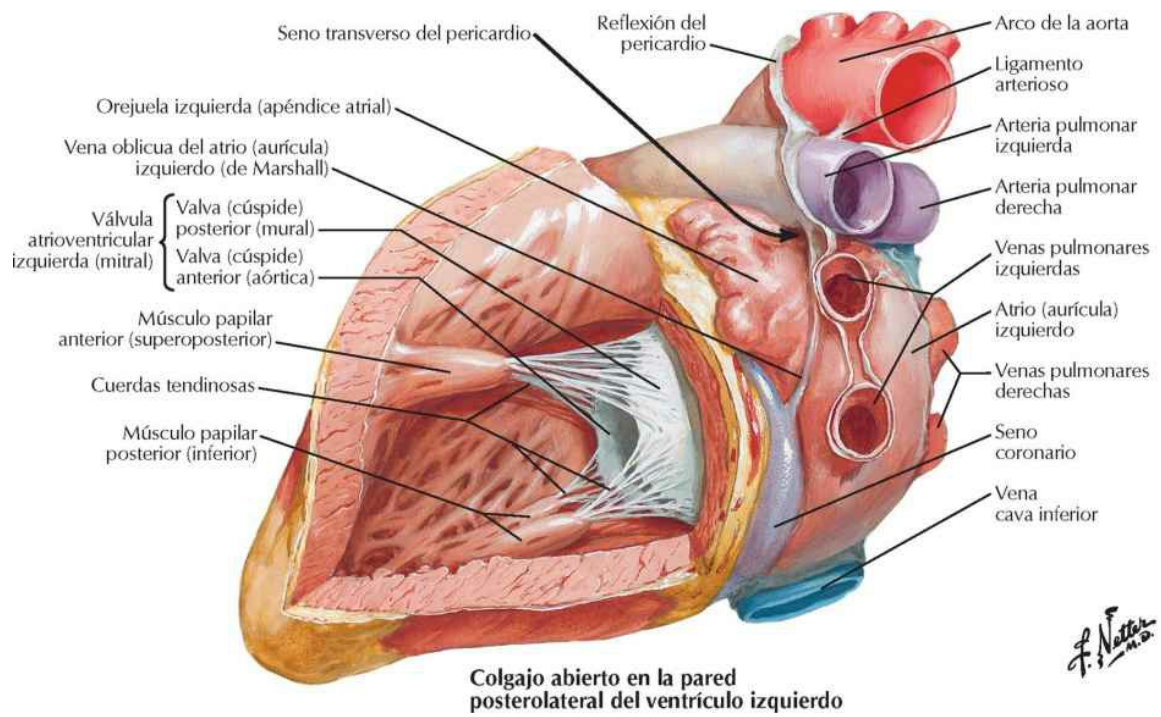


Atrio (aurícula) derecho abierto: visión lateral derecha

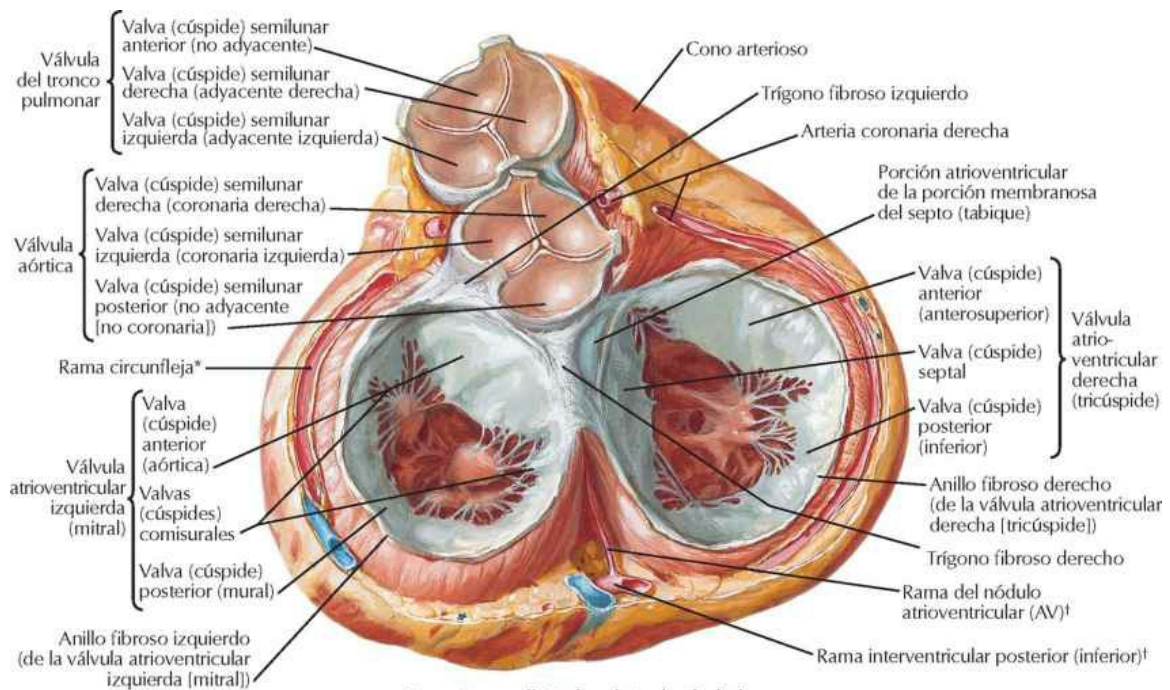


Ventrículo derecho abierto: visión anterior

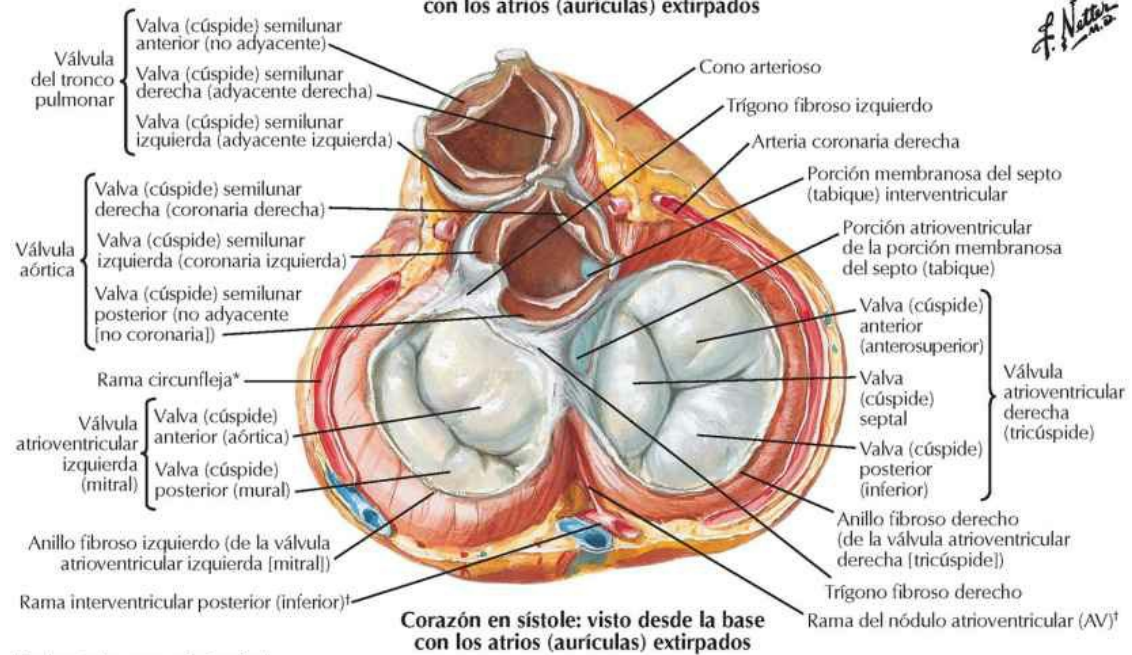
Atrio (aurícula) y ventrículo izquierdos



Válvulas y esqueleto fibroso del corazón



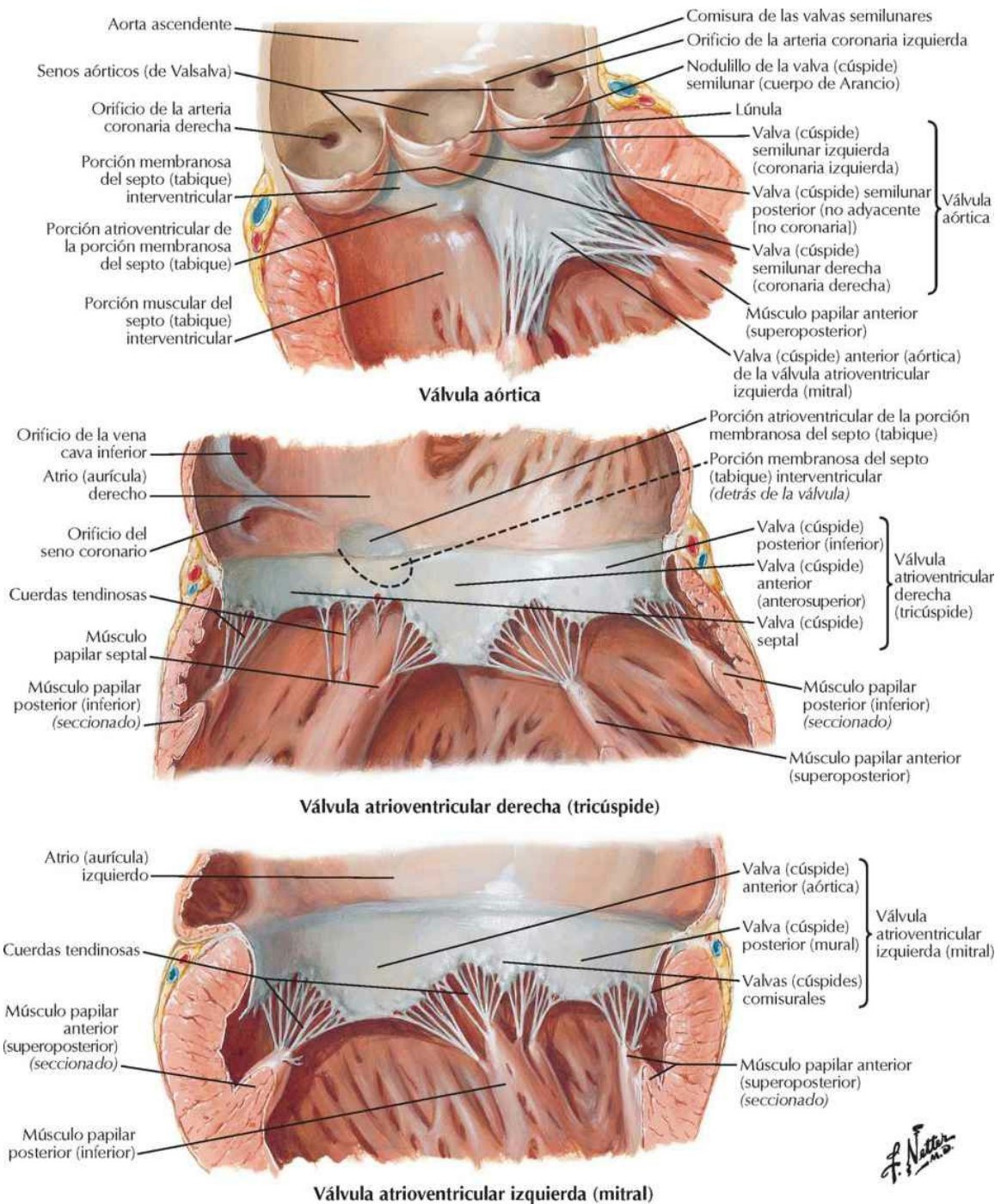
Corazón en diástole: visto desde la base con los atrios (aurículas) extirpados



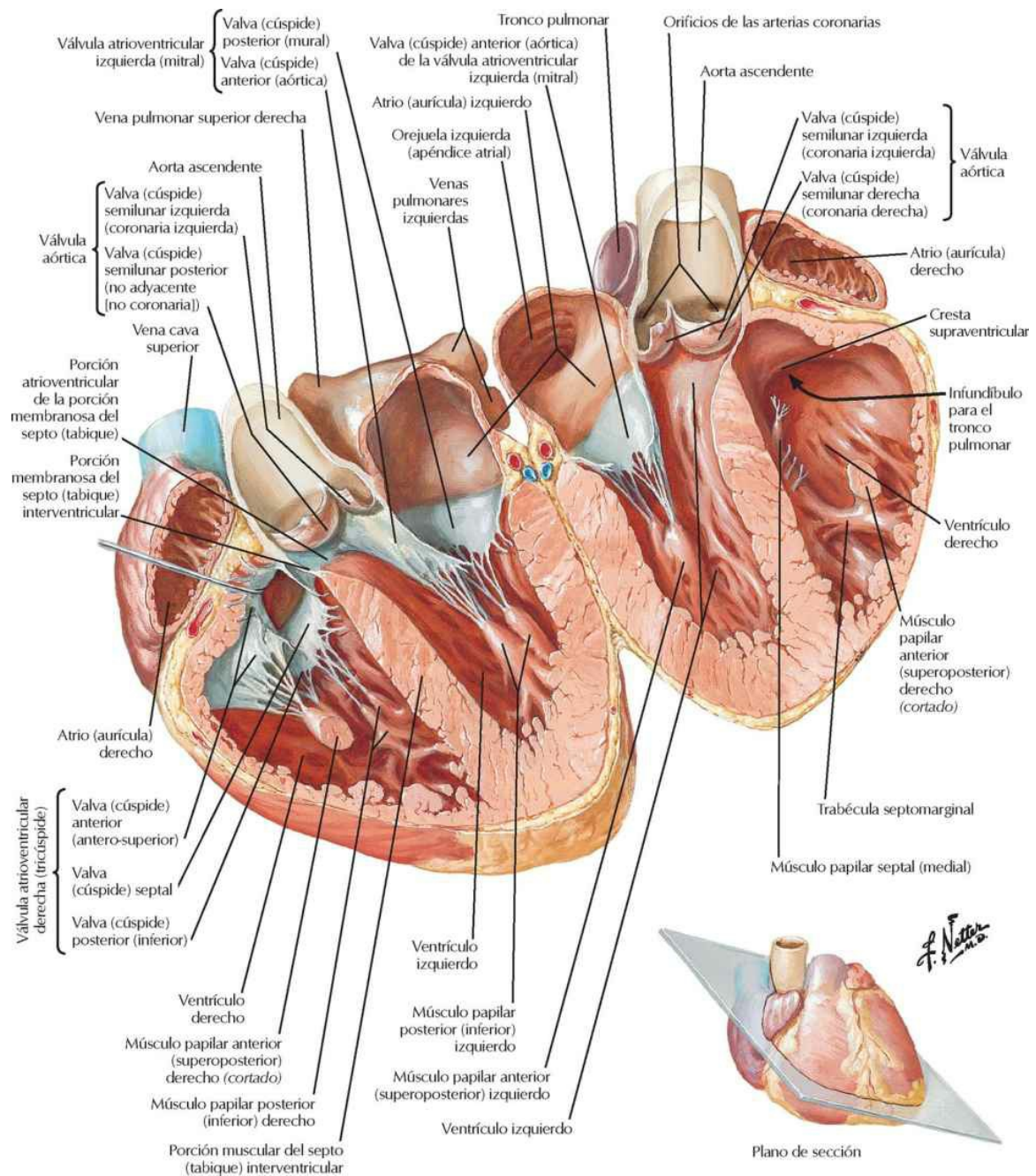
Corazón en sístole: visto desde la base con los atrios (aurículas) extirpados

*De la arteria coronaria izquierda

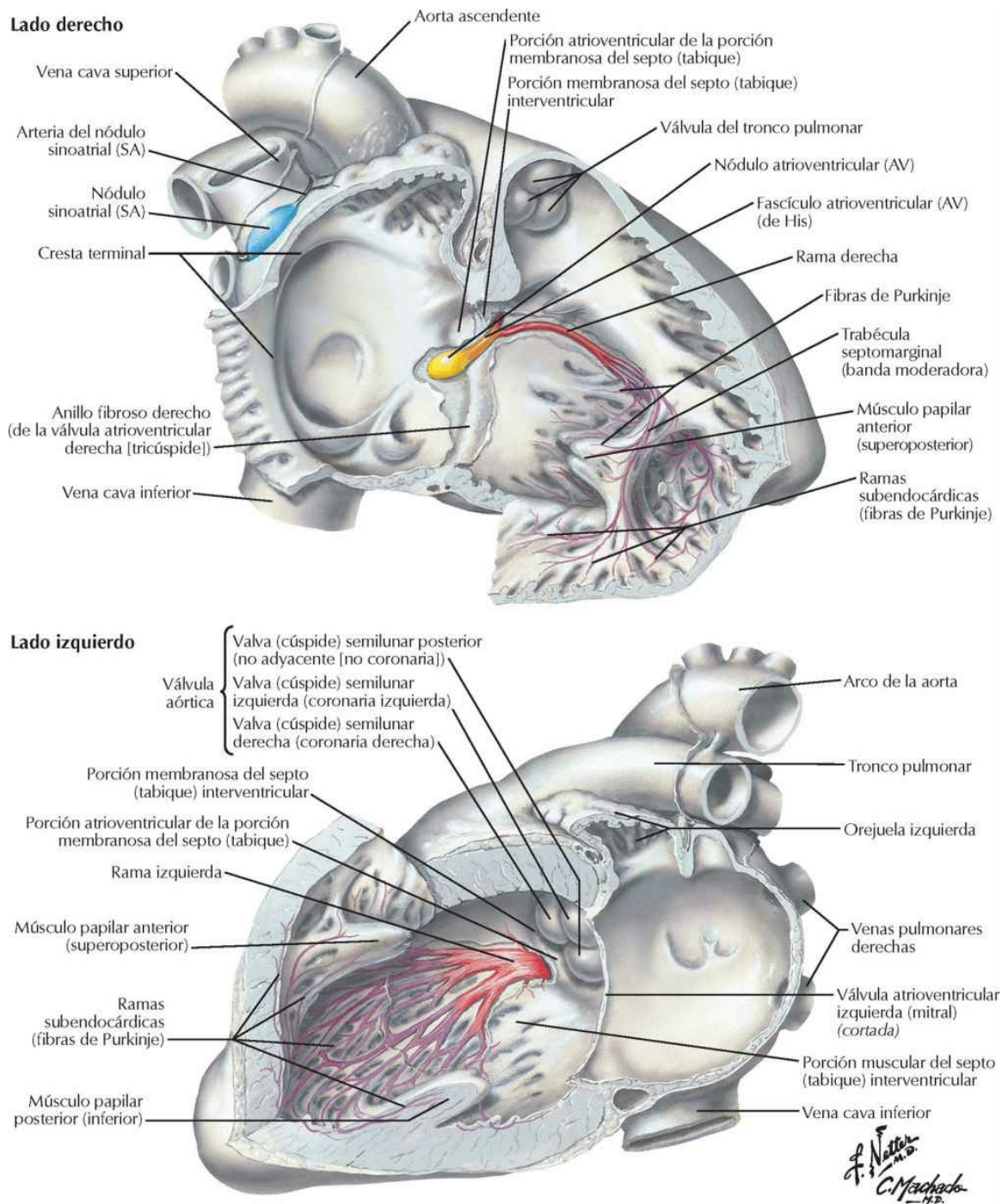
†De la arteria coronaria derecha



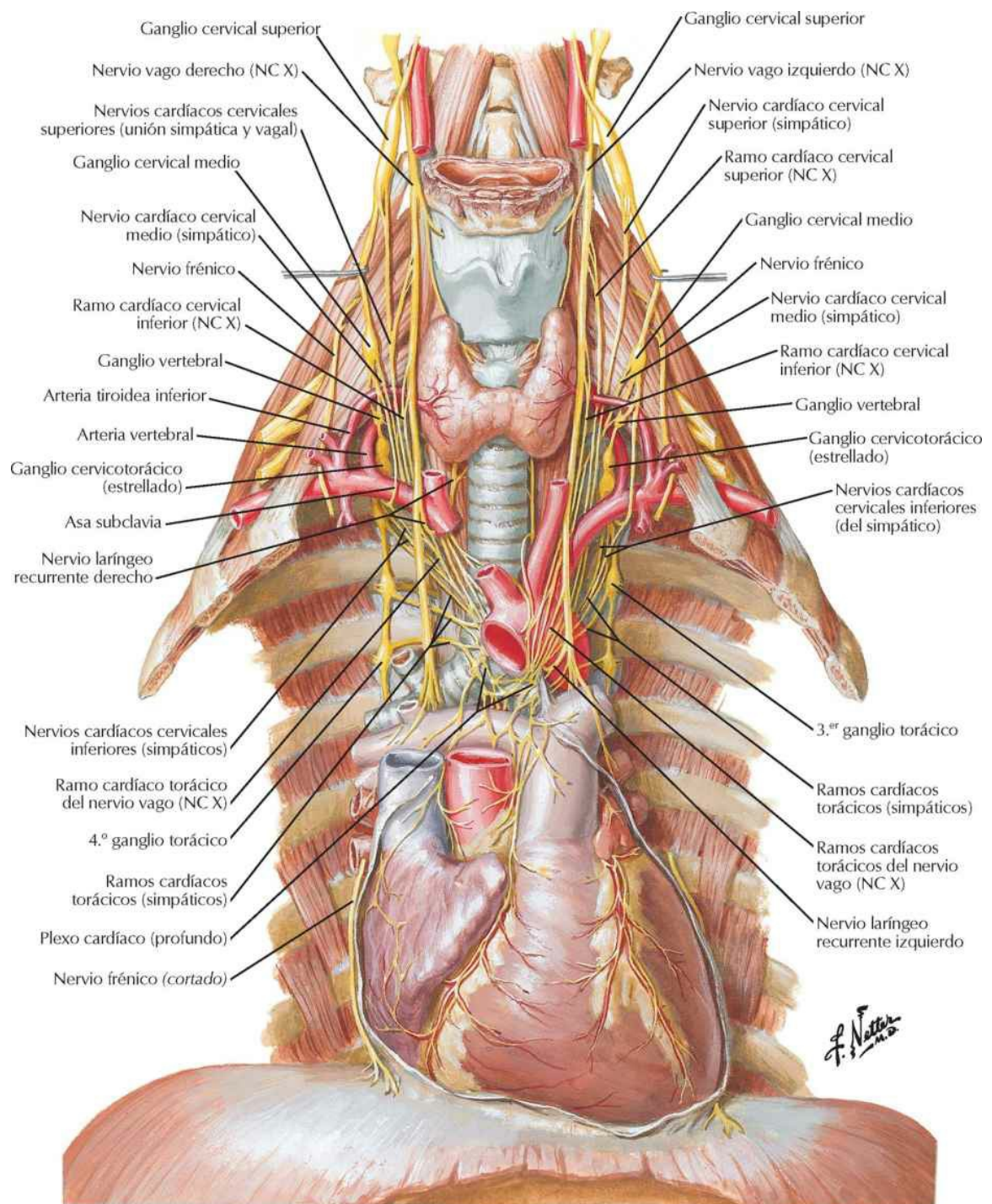
Atrios (aurículas), ventrículos y septo (tabique) interventricular



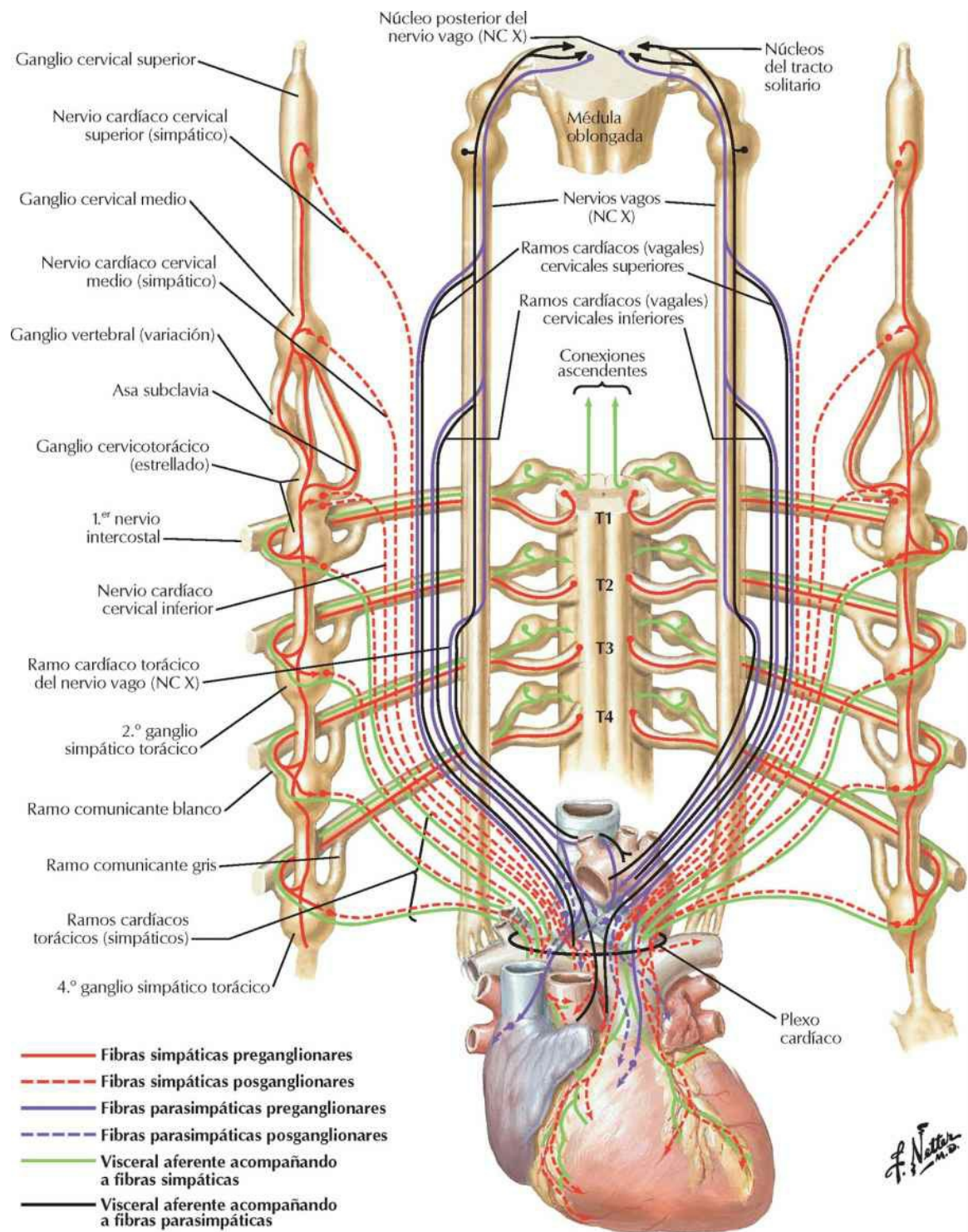
Sistema de conducción del corazón



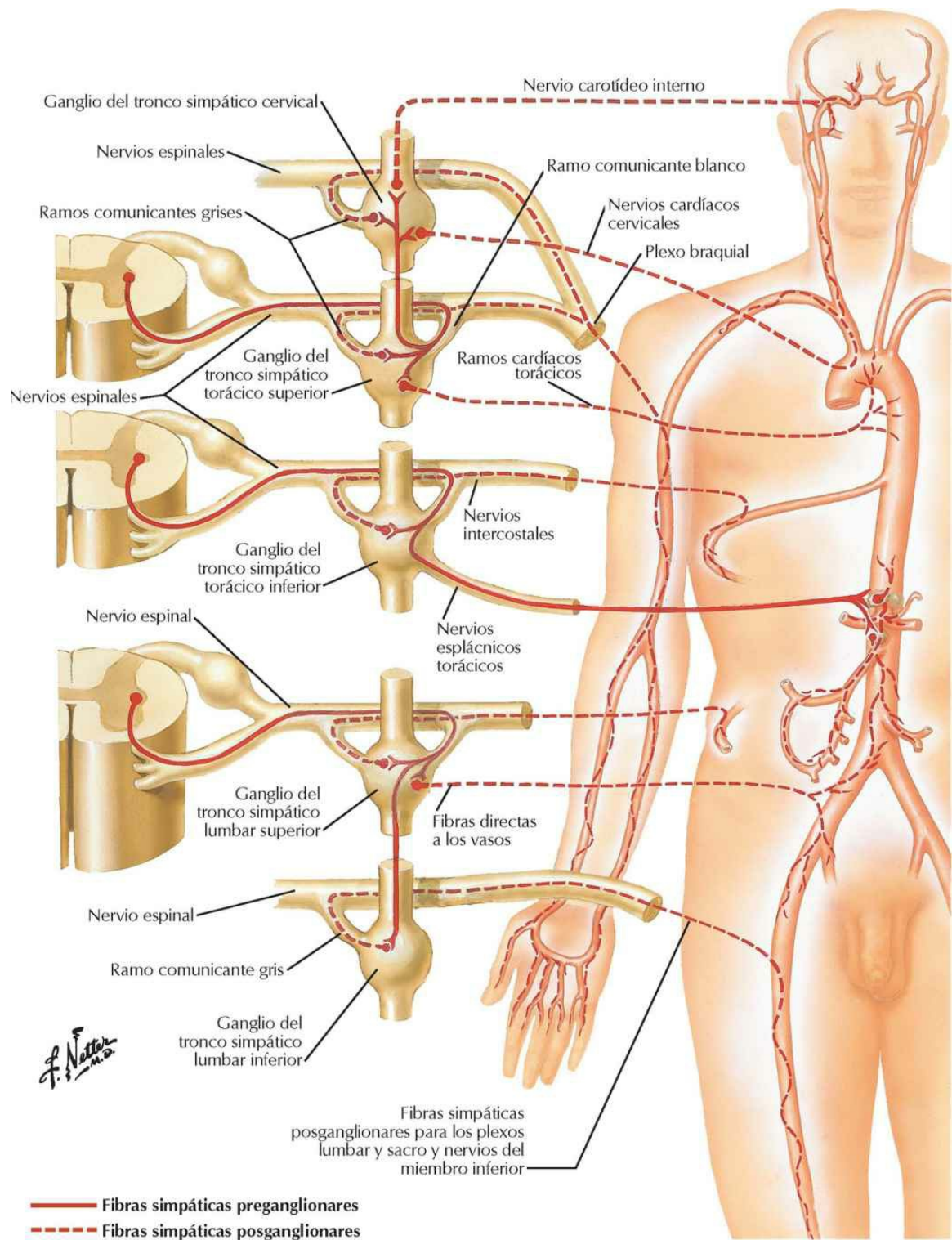
Nervios del tórax



Inervación del corazón: esquema

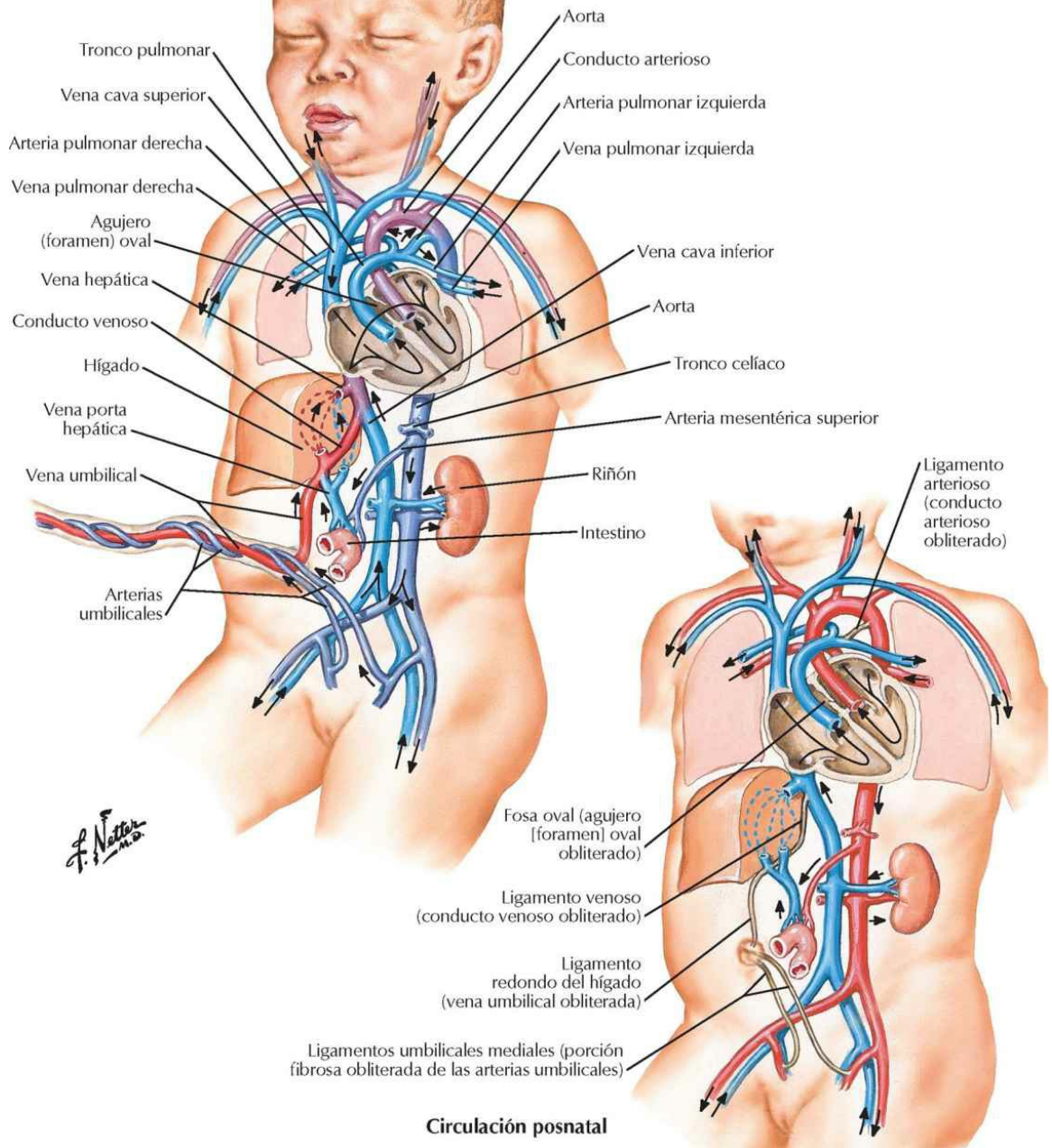


Inervación de los vasos sanguíneos: esquema



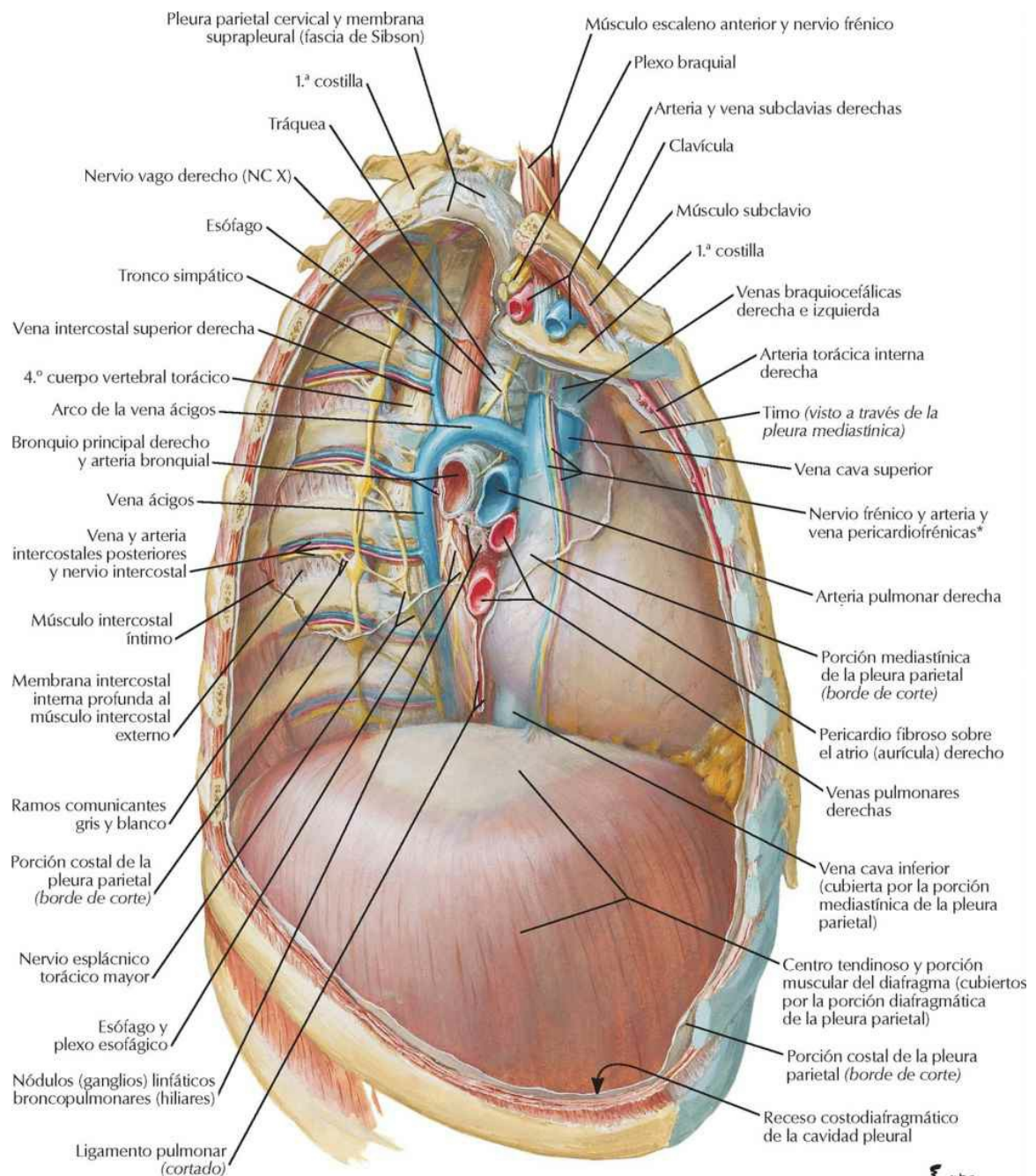
Circulación prenatal y posnatal

Circulación prenatal



Mediastino

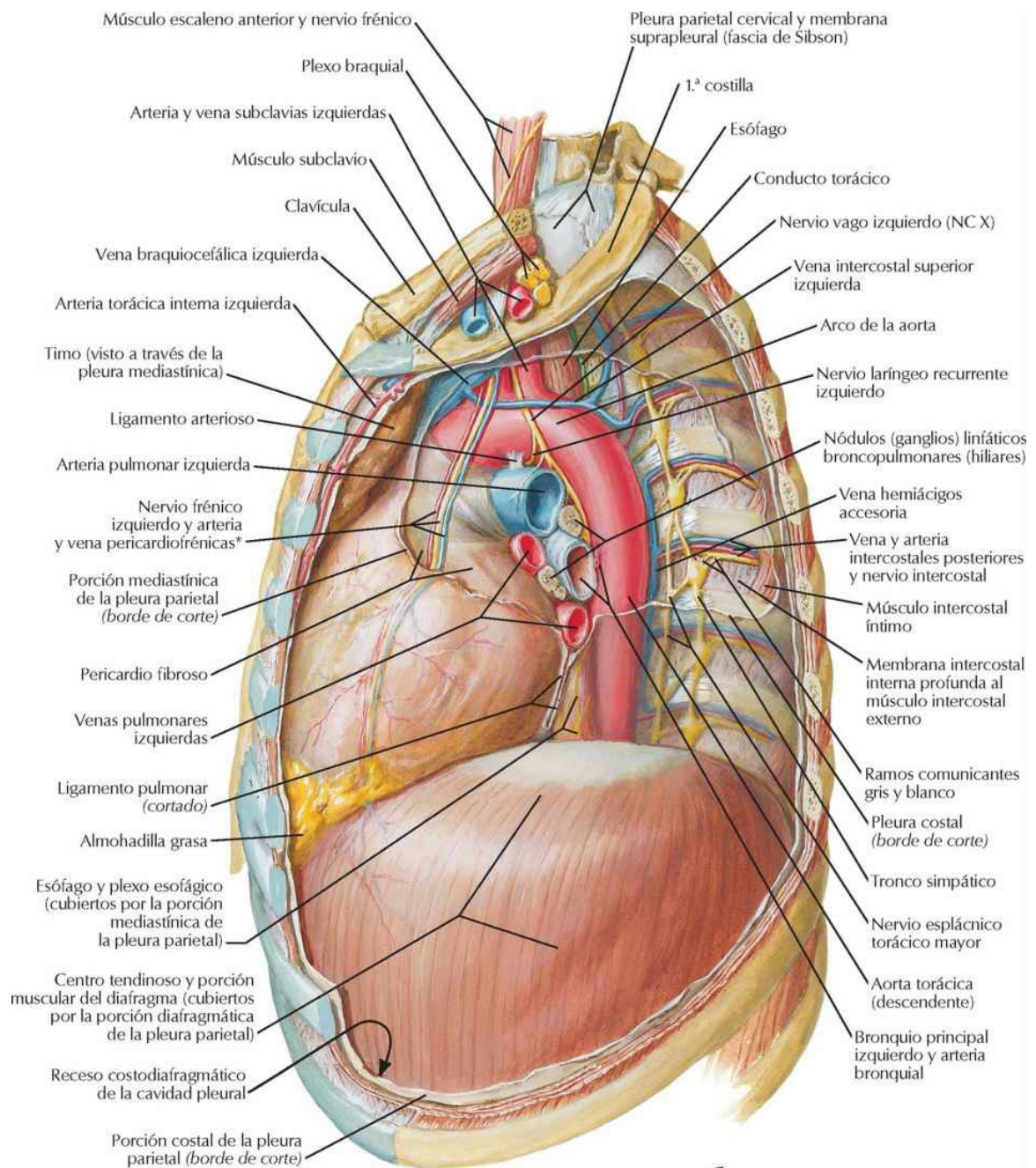
Mediastino: visión lateral derecha



*El nervio y los vasos discurren normalmente por separado.

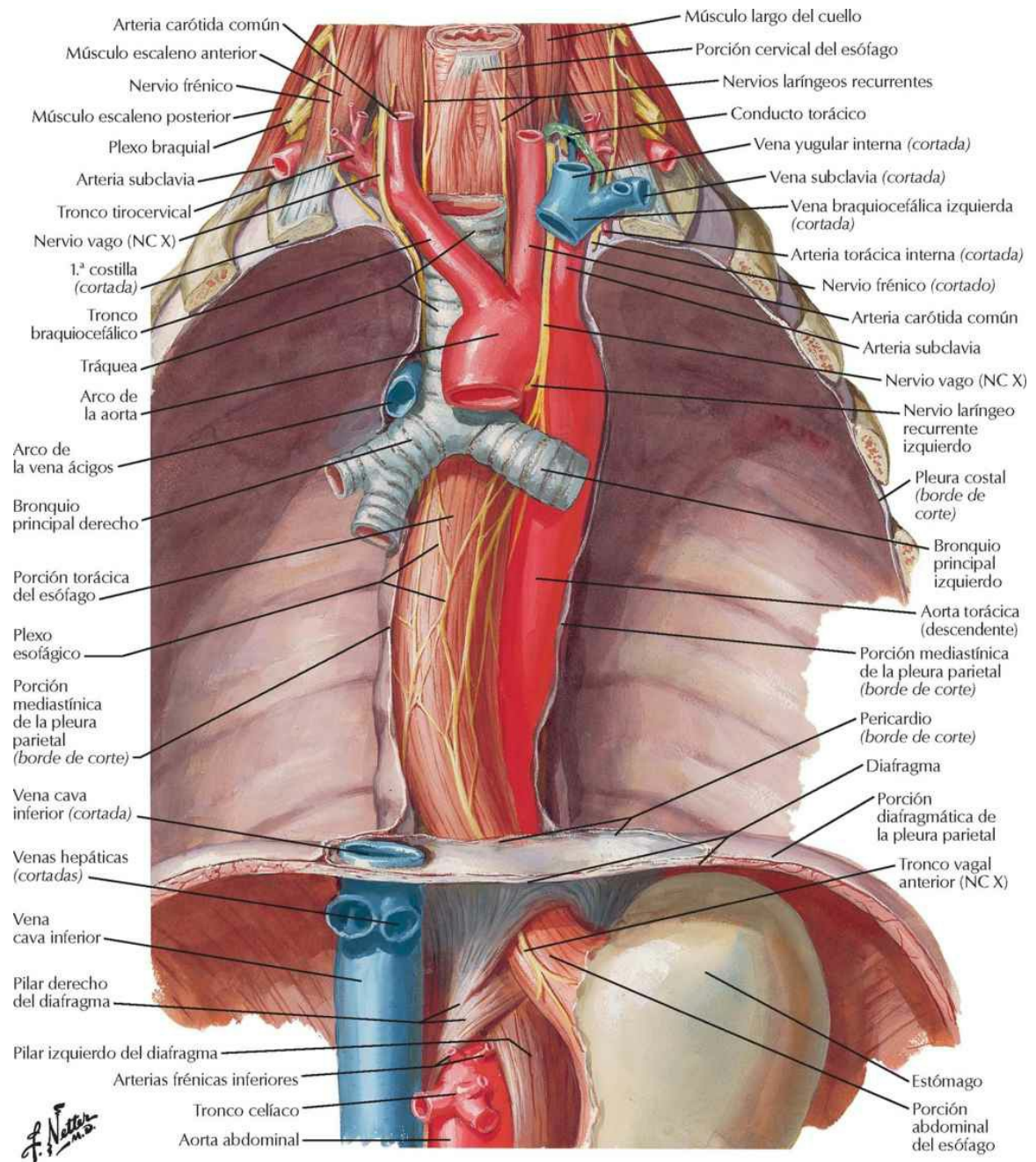
F. Netter M.D.

Mediastino: visión lateral izquierda

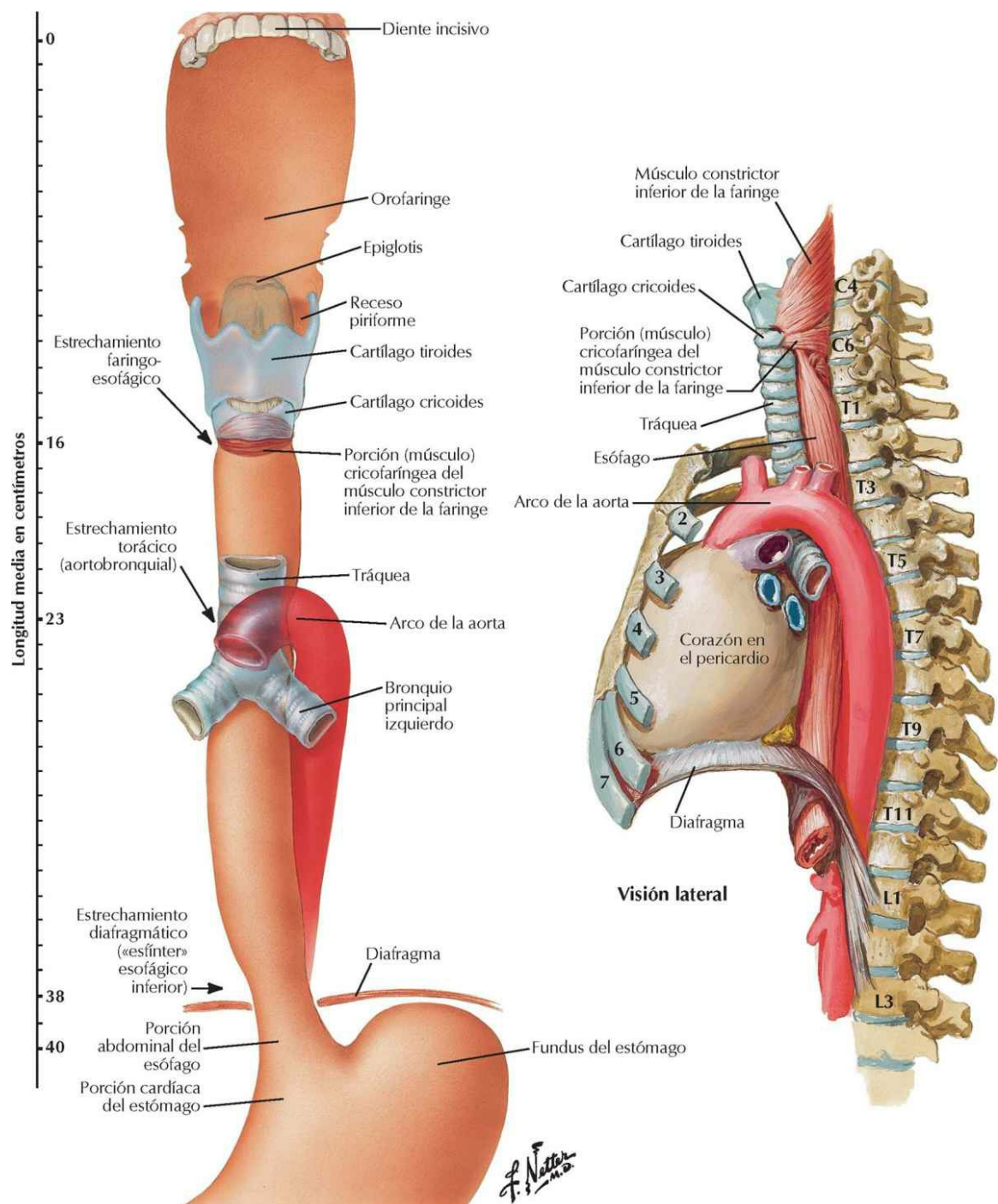


*El nervio y los vasos discurren normalmente por separado.

Esófago *in situ*

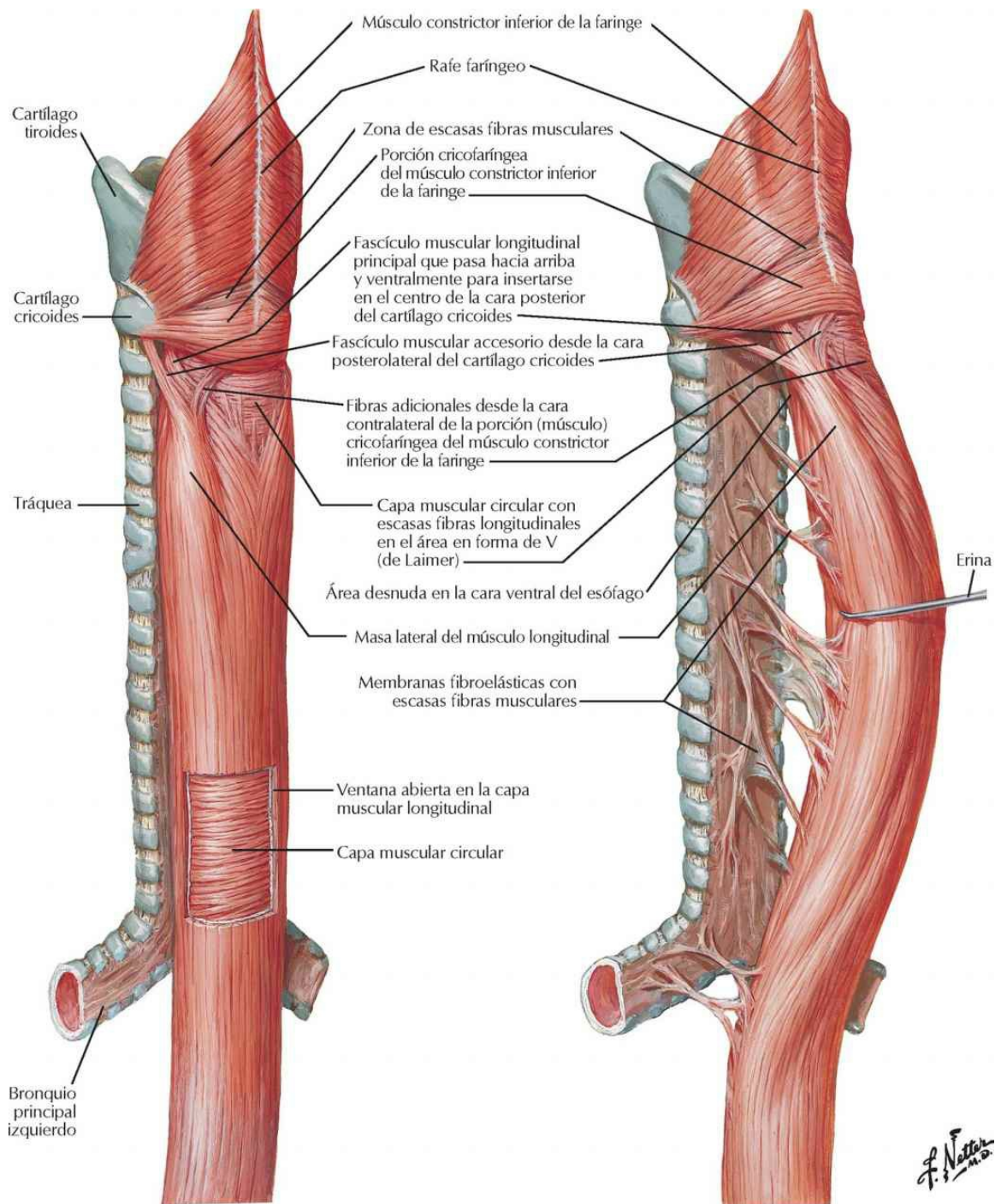


Topografía y estrechamientos del esófago



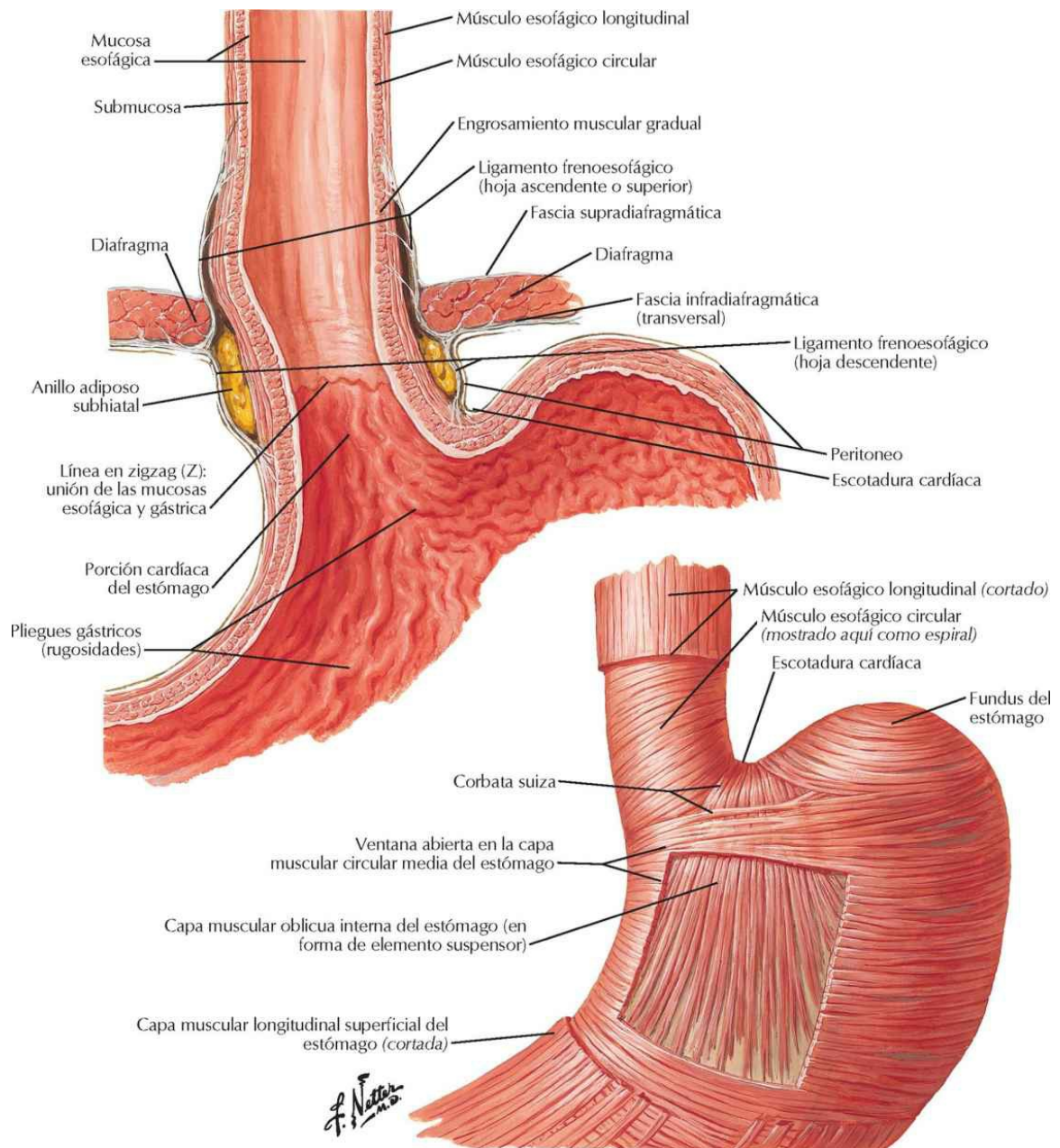
Musculatura del esófago

Véanse también láminas 75, 81



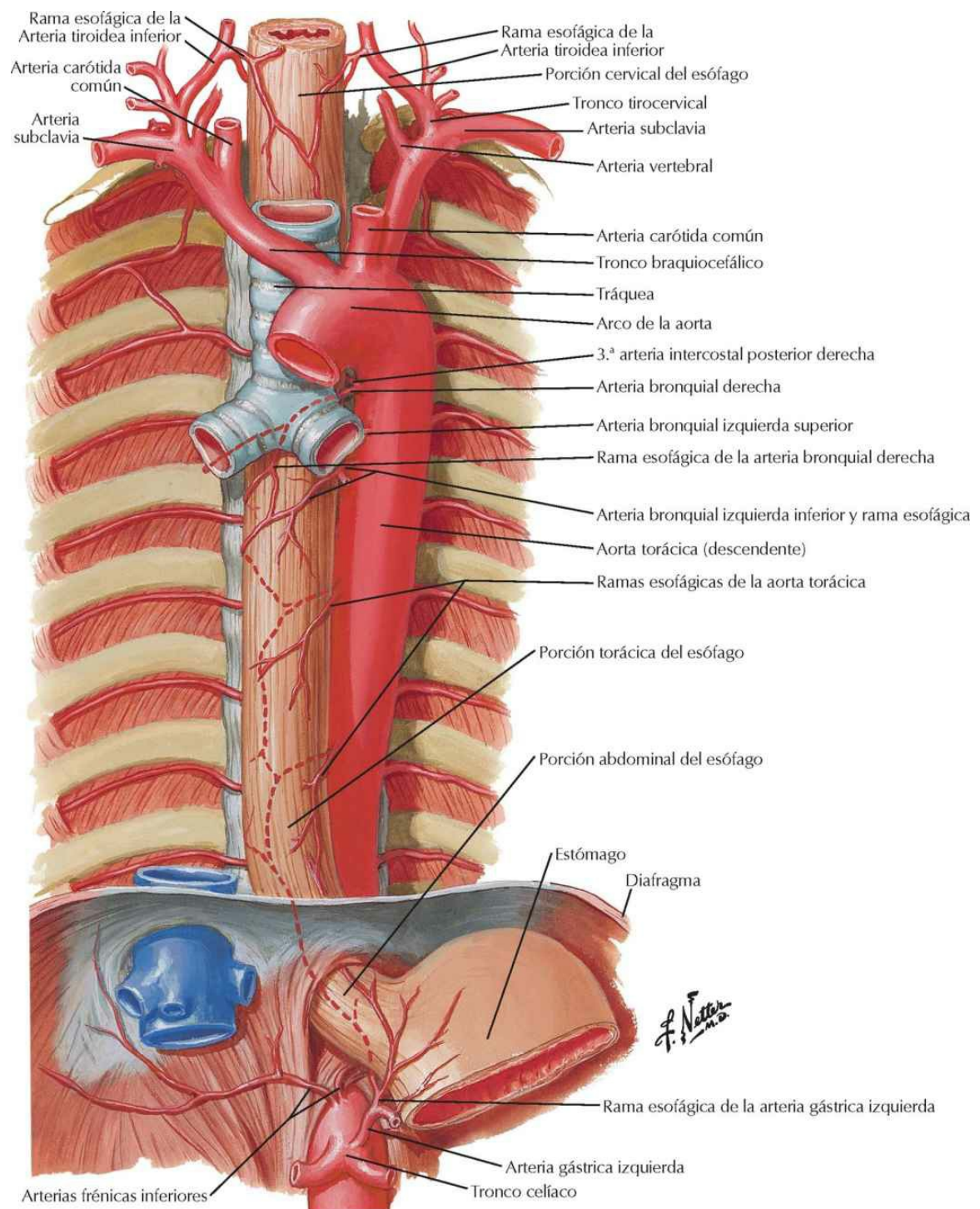
Visión posterolateral

Unión gastroesofágica



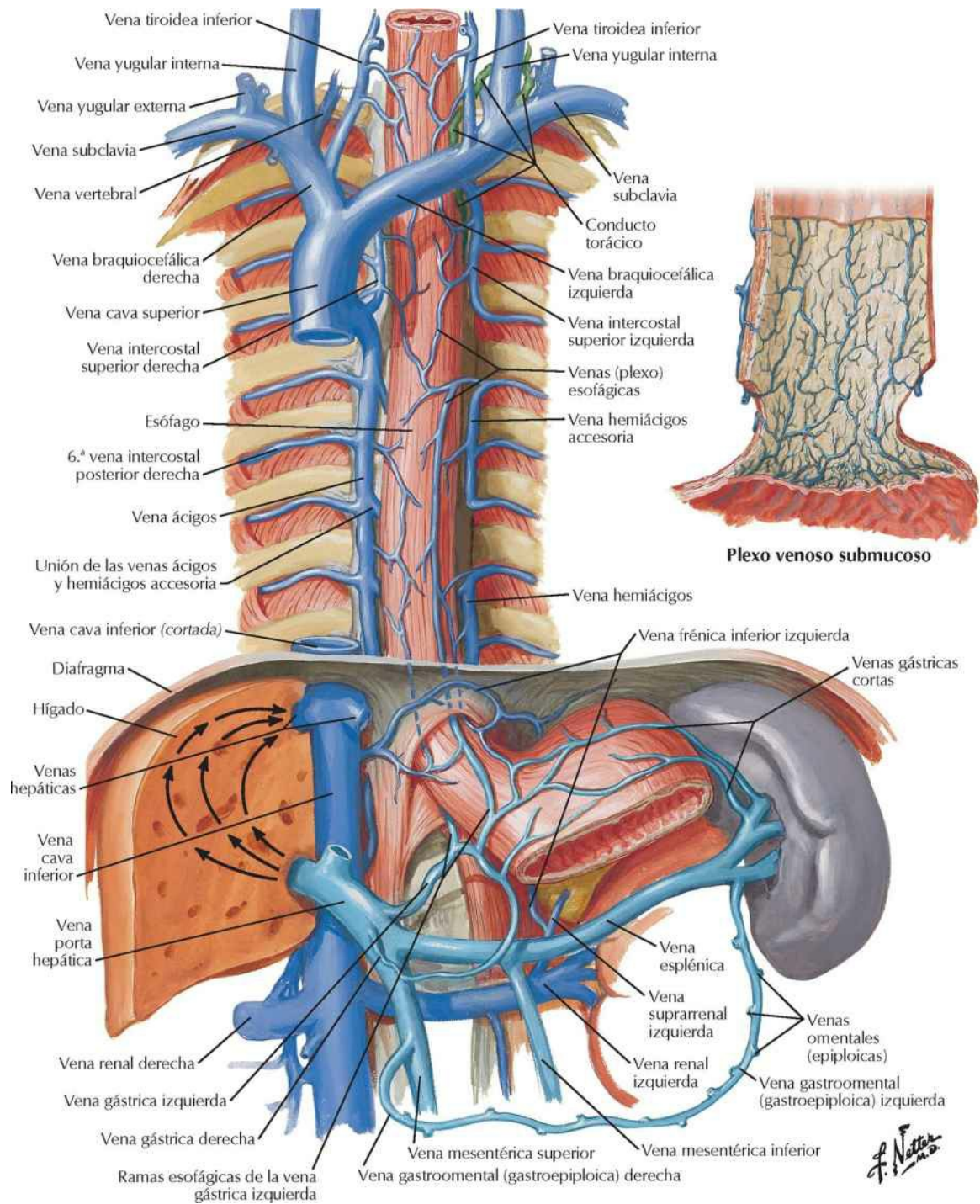
Arterias del esófago

Véanse también láminas 211, 291



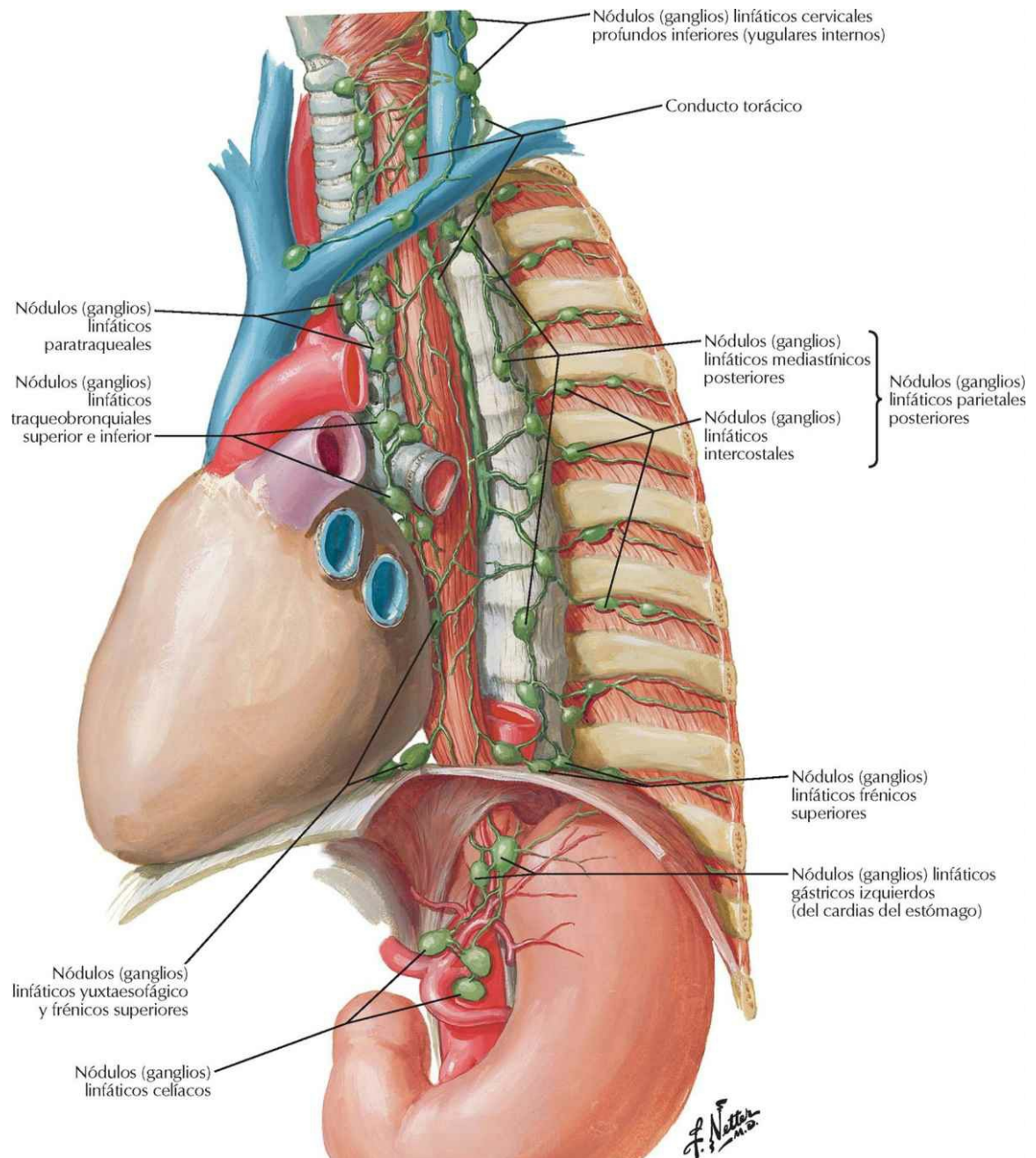
Venas del esófago

Véase también lámina 198



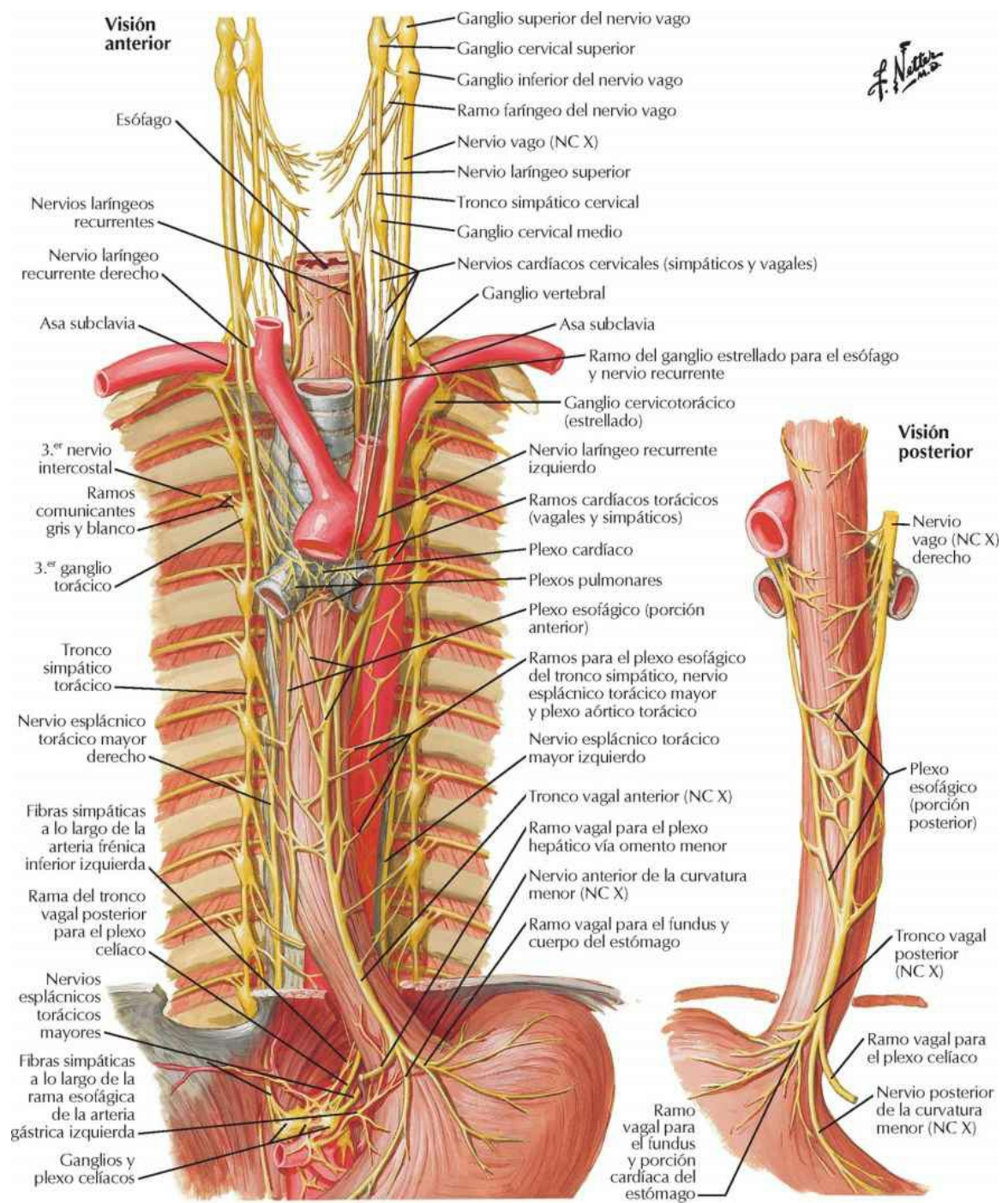
Vasos y nódulos (ganglios) linfáticos del esófago

Véase también lámina 212



Nervios del esófago

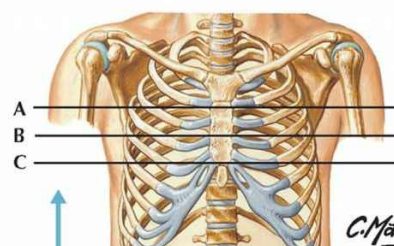
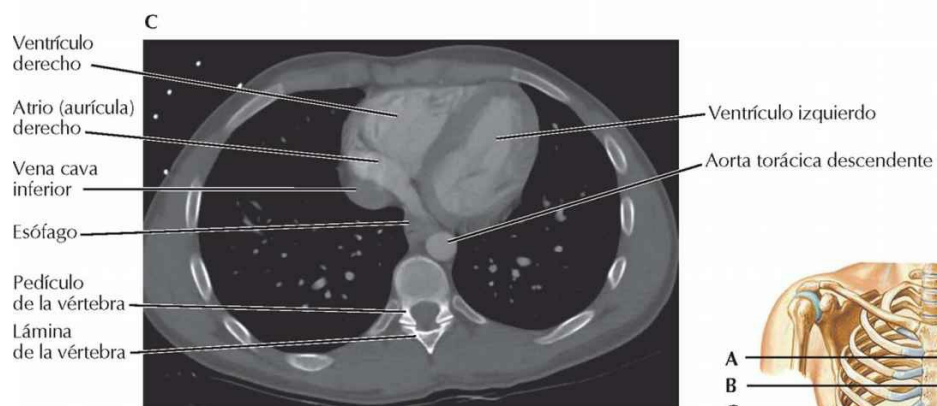
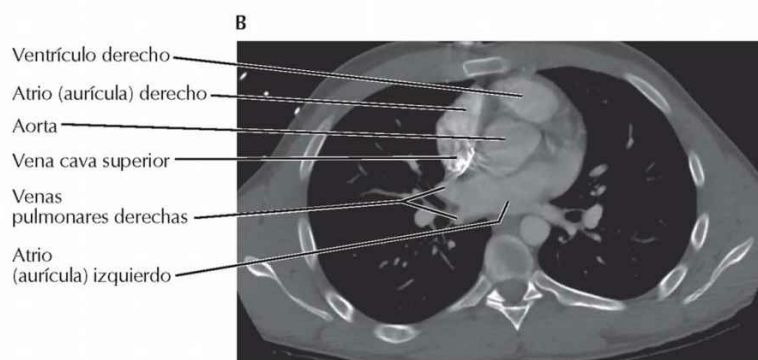
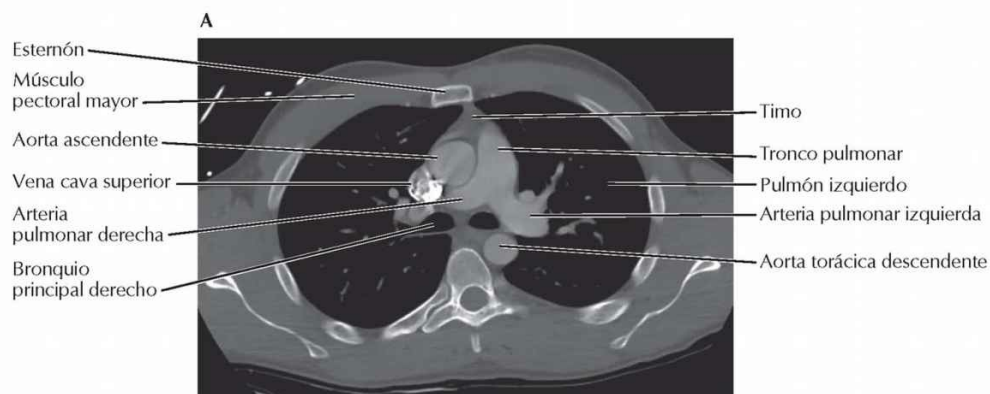
Véanse también láminas 301, 302



Exploraciones regionales

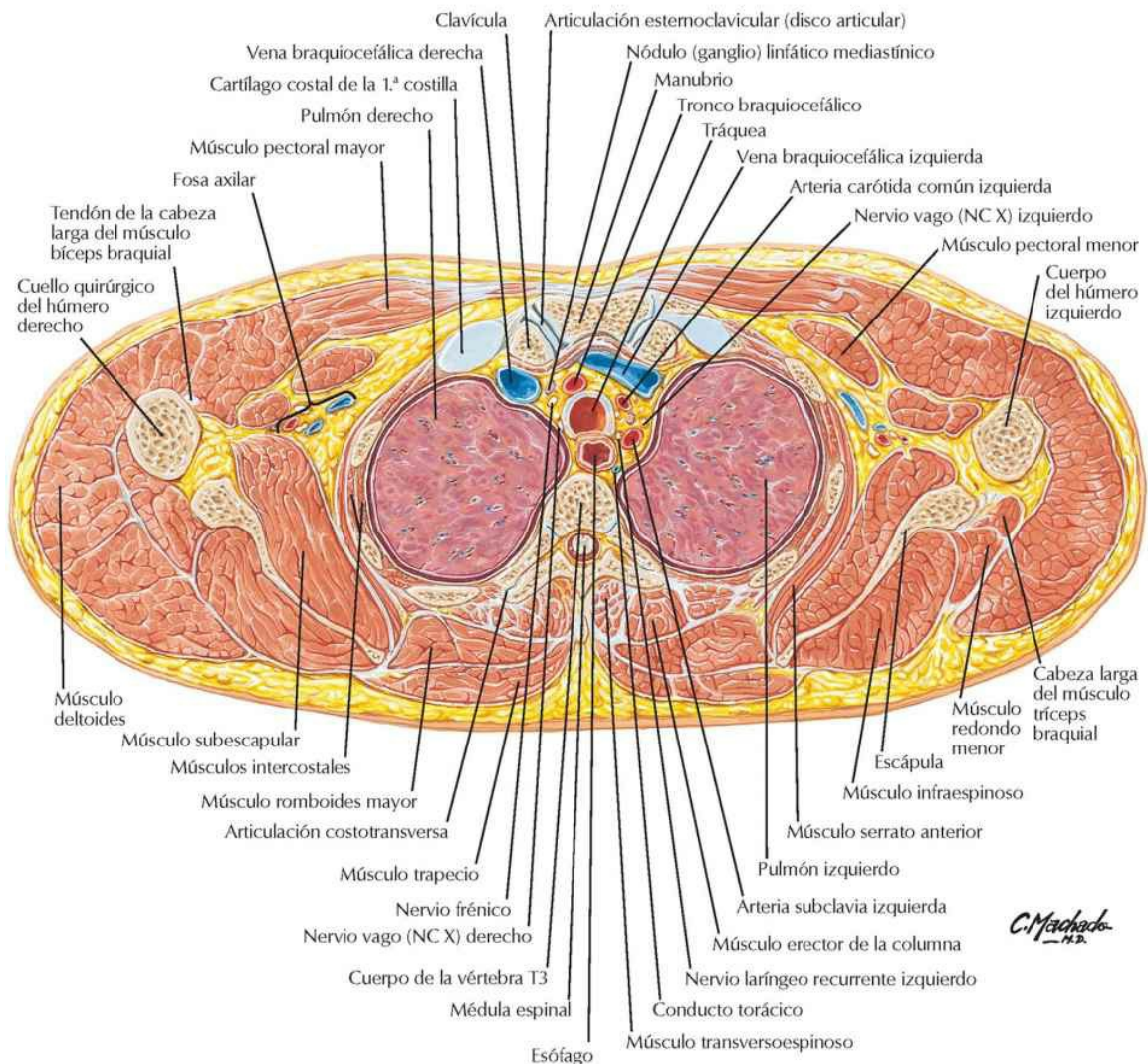
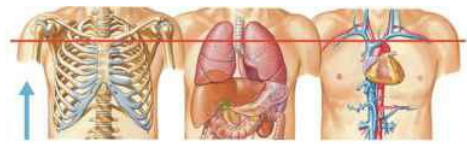
Exploraciones de tórax: TC axiales (transversales)

TC axiales (transversales) del tórax de superior (A) a inferior (C)

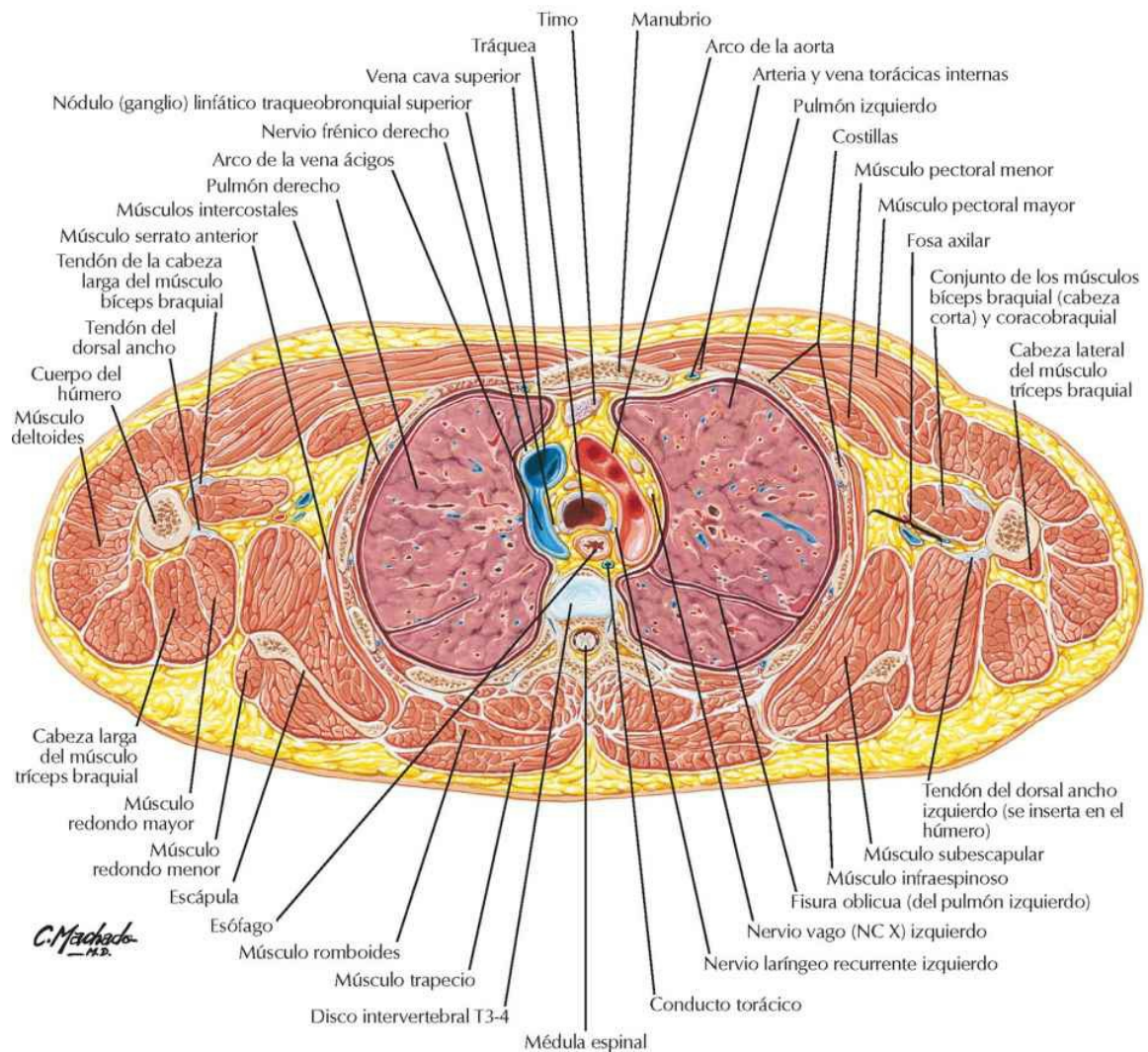


Anatomía seccional

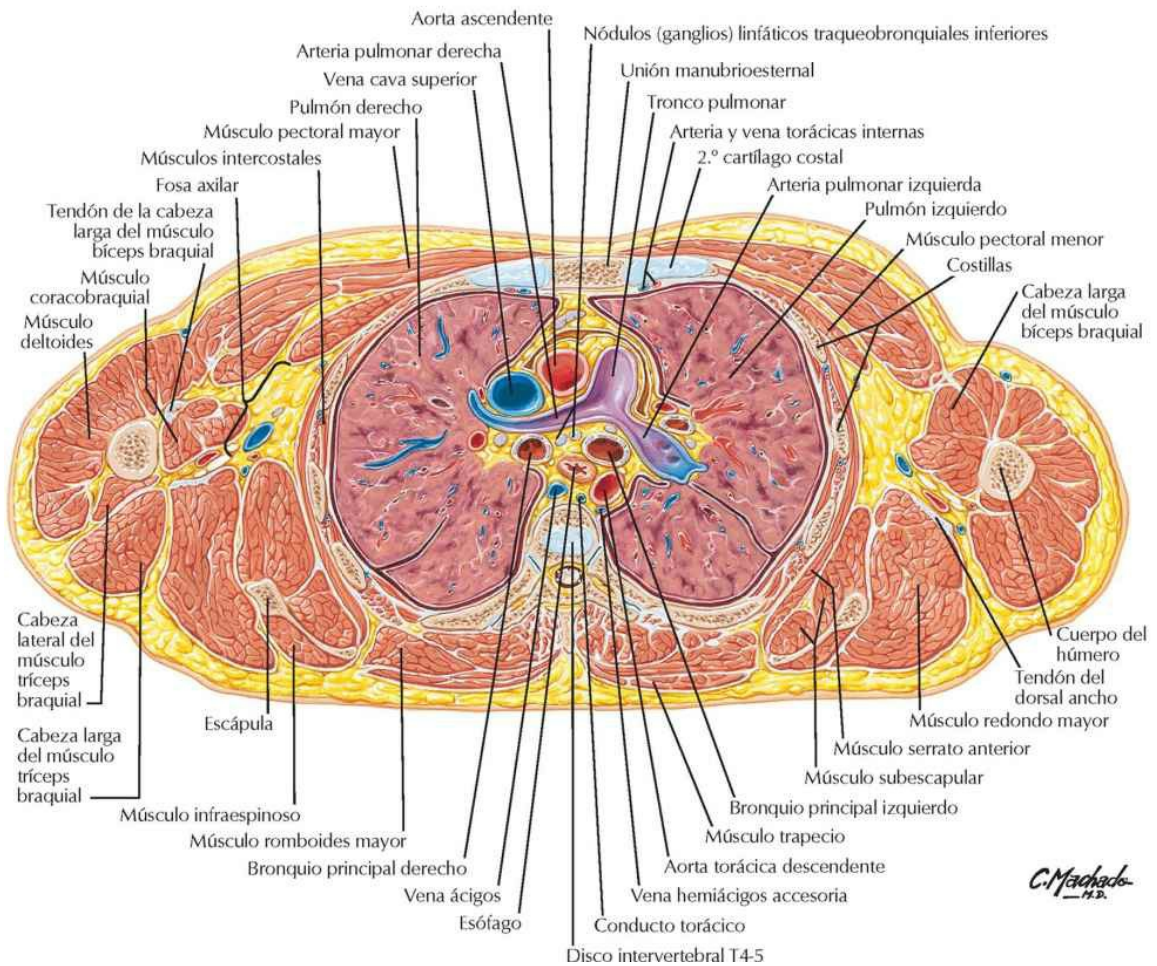
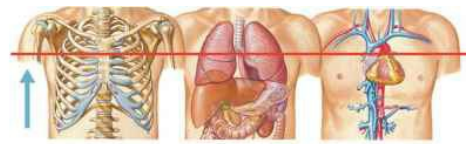
Sección transversal del tórax a nivel de T3



Sección transversal del tórax a nivel del disco intervertebral T3-4



Sección transversal del tórax a nivel del disco intervertebral T4-5



Sección transversal del tórax a nivel de T7

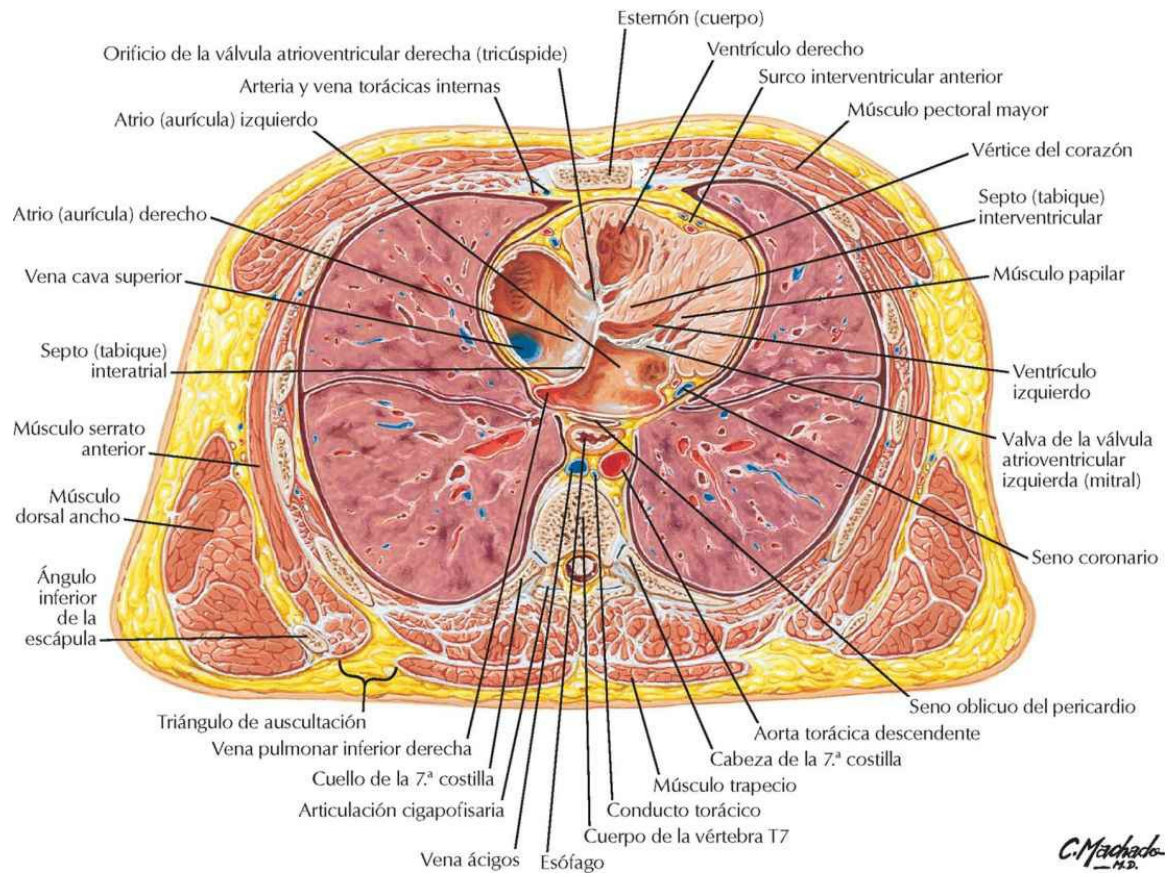







Tabla clínica

**Estructuras con gran* significación
clínica**

ESTRUCTURAS ANATÓMICAS	IMPORTANCIA CLÍNICA	NÚMEROS DE LÁMINAS
 SISTEMA TEGUMENTARIO		
Glándula mamaria	El cáncer de mama es el tumor maligno más frecuente en la mujer; el movimiento de la mama junto con los músculos pectorales indica invasión del espacio retromamario	188
 SISTEMA ESQUELÉTICO		
Costillas	Las fracturas de las costillas pueden abrir el espacio pleural y causar neumotórax; un tórax batiente, se produce cuando la fractura de varias costillas provoca la inestabilidad de la caja torácica	192
Ángulo del esternón (de Louis)	Referencia superficial para el conteo de las costillas (el 2.º par de costillas se articula con él) y espacios intercostales; divide el mediastino superior del mediastino inferior	192
Pared del tórax (costillas y espacios intercostales)	El conocimiento de las relaciones entre la pared del tórax y los órganos subyacentes es necesario para la toracotomía	194, 202, 204
Costillas izquierdas 9, 10 y 11	Si se fracturan, pueden causar la lesión del bazo subyacente	202
Abertura superior del tórax	La compresión de las estructuras vasculonerviosas que atraviesan la abertura superior del tórax, puede producir un síndrome de la abertura torácica superior	198
 SISTEMA MUSCULAR		
Espacios intercostales	Importante relación del paquete vasculonervioso intercostal con las costillas cuando se sitúa un tubo de drenaje torácico para resolver un neumotórax o un hemotórax	195, 221
Diafragma	El ensanchamiento del hiato esofágico o un defecto congénito permite la protrusión del estómago en el tórax (hernia de hiato)	201, 239
 SISTEMA RESPIRATORIO		
Líneas de reflexión pleural	El conocimiento de la localización del pulmón y la pleura con respecto a la pared torácica es necesario para la colocación de una sonda o tubo de toracostomía	202, 203
Pleura pulmonar	Se puede escapar aire o gas (espontánea o traumáticamente) hacia el espacio pleural entre las pleuras visceral y parietal, y comprimir el pulmón	202, 204
Pleura cervical	Se extiende hacia el interior del cuello, superior a la 1.ª costilla; por tanto puede ser puncionada durante intervenciones en el cuello, provocando neumotórax	202
Bifurcación traqueal	El bronquio principal derecho es más corto, más vertical y más ancho; por ello, los objetos aspirados se localizan a menudo en el pulmón derecho	208
Vértice del pulmón	El síndrome de Pancoast (carcinoma broncogénico) del vértice pulmonar invade el tronco simpático, provocando un síndrome de Horner (miosis homolateral, ptosis, anhidrosis y enrojecimiento facial)	202, 234
 SISTEMA NERVIOSO		
Nervio torácico largo	Puede dañarse durante la colocación de un tubo de drenaje torácico o en una mastectomía, causando una escápula alada (desnervación del músculo serrato anterior)	189, 194
Nervio intercostal	Se bloquea con un anestésico local en intervenciones como una toracostomía o para aliviar el dolor provocado por el herpes zóster	196, 197
Ganglio sensitivo del nervio espinal (raíz posterior)	Puede ser el alojamiento durmiente del virus de la varicela zóster, que, cuando se activa, puede causar un herpes zóster	197



ESTRUCTURAS ANATÓMICAS	IMPORTANCIA CLÍNICA	NÚMEROS DE LÁMINAS
Tablas clínicas		Tabla 4.1
Nervio frénico y diafragma	La lesión del nervio frénico puede provocar parálisis homolateral del hemidiafragma La irritación diafragmática puede manifestarse como dolor en el hombro ya que está referido a los niveles medulares C3-5	199, 201 199, 216
Ramo laríngeo recurrente del nervio vago (NC X)	Alteraciones patológicas en el espacio entre la aorta y el tronco pulmonar (ligamento arterioso) pueden comprimir este nervio y producir ronquera	235, 236
Aferentes de dolor visceral del corazón	El dolor de la isquemia miocárdica referido a los dermatomas torácicos superiores, puede percibirse como dolor somático en el tórax y lado medial del miembro superior	231
 SISTEMA CARDIOVASCULAR		
Arteria torácica interna	Se usa con frecuencia para las derivaciones (<i>bypass</i>) aortocoronarias	196, 197
Arterias pulmonares	Una tromboembolia puede obstruir los vasos pulmonares, provocando un infarto pulmonar	205, 210
Pericardio	Un derrame pericárdico (acumulación de líquido o sangre) puede comprometer la función cardíaca (taconamiento cardíaco)	215, 219
Arterias coronarias	El bloqueo aterosclerótico puede provocar isquemia miocárdica y/o infarto de miocardio; la arteria interventricular anterior (descendente anterior) es la más frecuentemente afectada	222
Septo (tabique) interventricular	El defecto cardíaco congénito más frecuente es el del septo (tabique) interventricular, muy a menudo afecta a la porción membranosa del septo	225, 228
Válvulas cardíacas	Las variaciones congénitas de la anatomía valvular o patologías valvulares (p. ej., enfermedad cardíaca reumática) pueden causar estenosis valvular	226
Nódulo sinoatrial	El envejecimiento, la cirugía cardíaca previa y algunos fármacos pueden provocar arritmias cardíacas	229
Ligamento arterioso	El cierre anormal del conducto arterioso puede producir coartación aórtica, la falta de cierre produce un conducto arterioso persistente; si no se cierra, puede provocar disnea de esfuerzo, enfermedad vascular pulmonar o fallo cardíaco	233
Aorta torácica	La coartación congénita de la aorta puede comprometer el flujo sanguíneo sistémico; las conexiones vasculares colaterales pueden aliviar este proceso	240
Sistema de las venas ácigos	Drenan la parte posterior del tórax y proporcionan importantes vías colaterales entre las venas cava inferior y cava superior	241
 SISTEMA LINFÁTICO		
Vasos linfáticos de la glándula mamaria	A través de los vasos linfáticos que drenan la mama se diseminan células cancerosas metastásicas hacia la axila y el tórax	191
Nódulos linfáticos axilares	Son los nódulos primarios que reciben el drenaje linfático del miembro superior, pared del tórax y mama; frecuentemente aumentados de tamaño en pacientes con cáncer de mama	190, 191
*La selección se basa en general en datos clínicos y en correlaciones clínicas discutidas frecuentemente en cursos de anatomía macroscópica.		
Tabla 4.2		Tablas clínicas

Tabla de músculos

Tabla 4.3

MÚSCULO	GRUPO MUSCULAR	INSERCIÓN PROXIMAL (ORIGEN)	INSERCIÓN DISTAL (INSERCIÓN)	INERVACIÓN	IRRIGACIÓN	ACCIONES PRINCIPALES
Diafragma	Posterior de la pared abdominal	Apófisis xifoides, seis cartílagos costales inferiores, vértebras L1-L3	Con verge en el centro tendinoso	Nervio frénico	Arterias pericardiofrénica, musculofrénica, frénicas superior e inferior	Tracciona del centro tendinoso hacia abajo y hacia delante durante la inspiración
Elevadores de las costillas	De la pared torácica	Apófisis transversas de C7 y T1-T11	Costillas subyacentes, entre el tubérculo y el ángulo	Ramo posterior de nervios torácicos inferiores	Arterias intercostales posteriores	Elevan las costillas
Intercostal externo	De la pared torácica	Borde inferior de la costilla	Bor de superior de la costilla situada por debajo de la costilla de origen	Nervios intercostales	Arterias intercostales posteriores, ramas colaterales de las arterias intercostales posteriores, tronco costocervical, ramas intercostales anteriores de la arteria torácica interna, arteria musculofrénica	Mantienen los espacios intercostales durante la inspiración y espiración, elevan las costillas durante la inspiración
Intercostal interno	De la pared torácica	Borde inferior de la costilla	Cartilago costal y borde del surco costal de la costilla situada por encima de la costilla de origen	Nervios intercostales	Ramas musculares de las arterias intercostales anteriores, ramas musculares de las arterias intercostales posteriores, ramas intercostales de las arterias torácica interna y musculofrénica, ramas del tronco costocervical	Previenen el abombamiento o la retracción de los espacios intercostales durante la inspiración y espiración, desciende las costillas en la espiración forzada
Intercostal íntimo	De la pared torácica	Borde inferior de la costilla	Bor de superior de la costilla situada por debajo de la costilla de origen	Nervios intercostales	Ramas musculares de las arterias intercostales anteriores, ramas musculares de las arterias intercostales posteriores, ramas intercostales de las arterias torácica interna y musculofrénica, ramas del tronco costocervical	Elevan las costillas
Pectoral mayor	Regiones pectoral/axilar	Mitad esternal de la clavícula, esternón hasta la 7.ª costilla, cartílagos costales de las costillas verdaderas, aponeurosis del músculo oblicuo externo	Labio lateral del surco intertubercular del húmero	Nervios pectorales medial y lateral	Rama pectoral de la arteria toracoacromial, ramas perforantes de la arteria torácica interna	Flexiona, aduce y rota medialmente el brazo
Pectoral menor	Regiones pectoral/axilar	Cara externa del borde superior de las costillas 3-5	Apófisis coracoides de la escápula	Nervio pectoral medial	Rama pectoral de la arteria toracoacromial y arteria torácica lateral	Desciende el ángulo lateral de la escápula y la lleva hacia delante
Serrato anterior	Hombro	Caras laterales de las 8-9 costillas superiores	Cara costal del borde medial de la escápula	Nervio torácico largo	Arteria torácica lateral	Lleva la escápula hacia delante y la rota y la mantiene contra la pared torácica

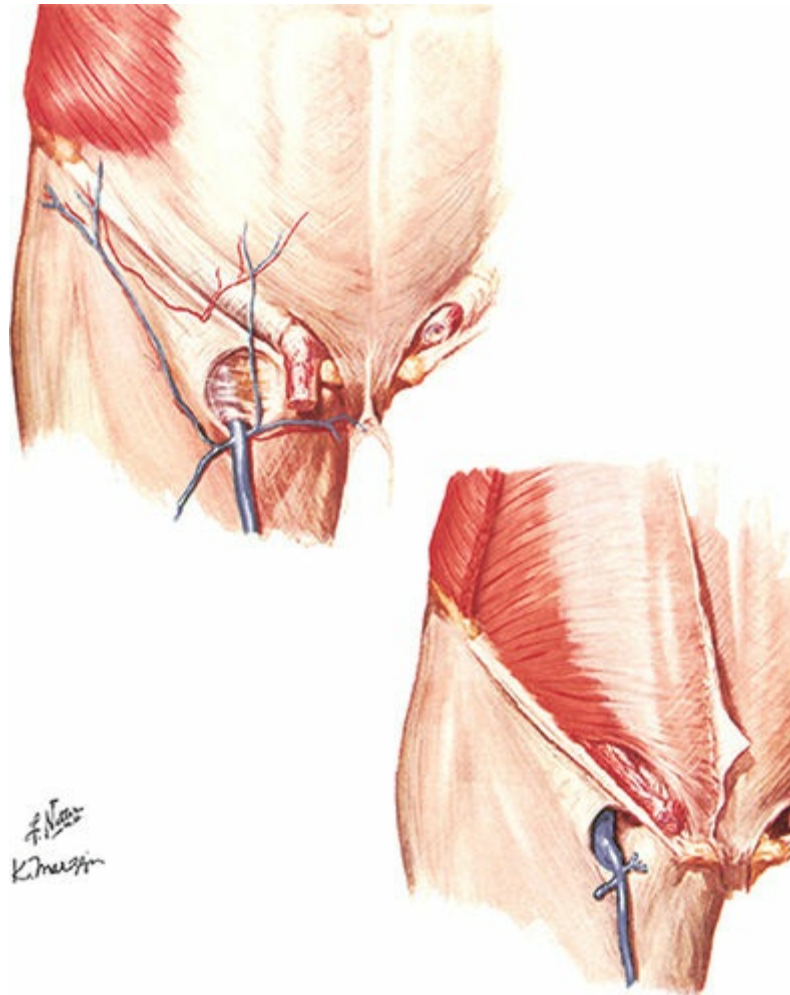
MÚSCULO	GRUPO MUSCULAR	INSERCIÓN PROXIMAL (ORIGEN)	INSERCIÓN DISTAL (INSERCIÓN)	INERVACIÓN	IRRIGACIÓN	ACCIONES PRINCIPALES
Serrato posterior inferior	Intermedio del dorso	Apófisis espinosas de T11-L2	Parte inferior de las costillas 9-12	Ramos anteriores de nervios torácicos inferiores	Arterias intercostales posteriores	Desciende las costillas
Serrato posterior superior	Intermedio del dorso	Ligamento nual, apófisis espinosas de C7-T3	Parte superior de las costillas 2-5	Ramos anteriores de nervios torácicos superiores	Arterias intercostales posteriores	Eleva las costillas
Subcostal	De la pared torácica	Cara interna de las costillas inferiores cerca de sus ángulos	Bor de superior de la 2. ^a o 3. ^a costilla situada por debajo	Nervios intercostales 2. ^o -5. ^o	Arteria intercostal posterior, arteria musculofrénica	Desciende las costillas
Transverso del tórax	De la pared torácica	Cara interna de los cartilagos costales 2-6	Cara posterior de la porción inferior del esternón	Nervios intercostales	Arterias intercostales anteriores, arteria torácica interna	Desciende las costillas y los cartilagos costales

En la anatomía humana son frecuentes las variaciones en la contribución de los nervios espinales a la inervación de los músculos, en su irrigación arterial, sus inserciones y sus acciones. Por tanto, existen diferencias entre los distintos textos y hay que entender que las variaciones anatómicas son normales.

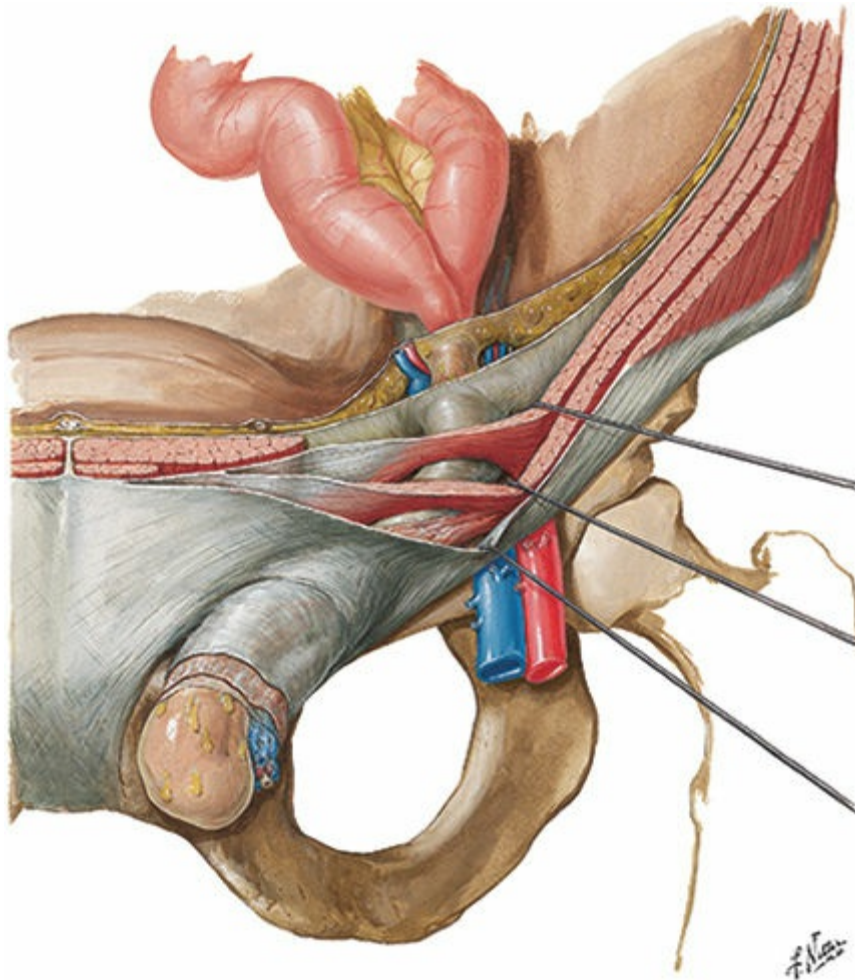
ABDOMEN

Anatomía de superficie	249
Pared corporal	250-269
Cavidad peritoneal	270-275
Vísceras (intestino)	276-283
Vísceras (órganos accesorios)	284-289
Vasculatura visceral	290-299
Inervación	300-310
Riñones y glándulas suprarrenales	311-324
Linfáticos	325
Exploraciones regionales	326-327
Anatomía seccional	328-332
Estructuras con gran significación clínica	
Tablas 5.1-5.2	
Tabla de músculos	Tabla 5.3
Láminas electrónicas extra	BP58-BP87

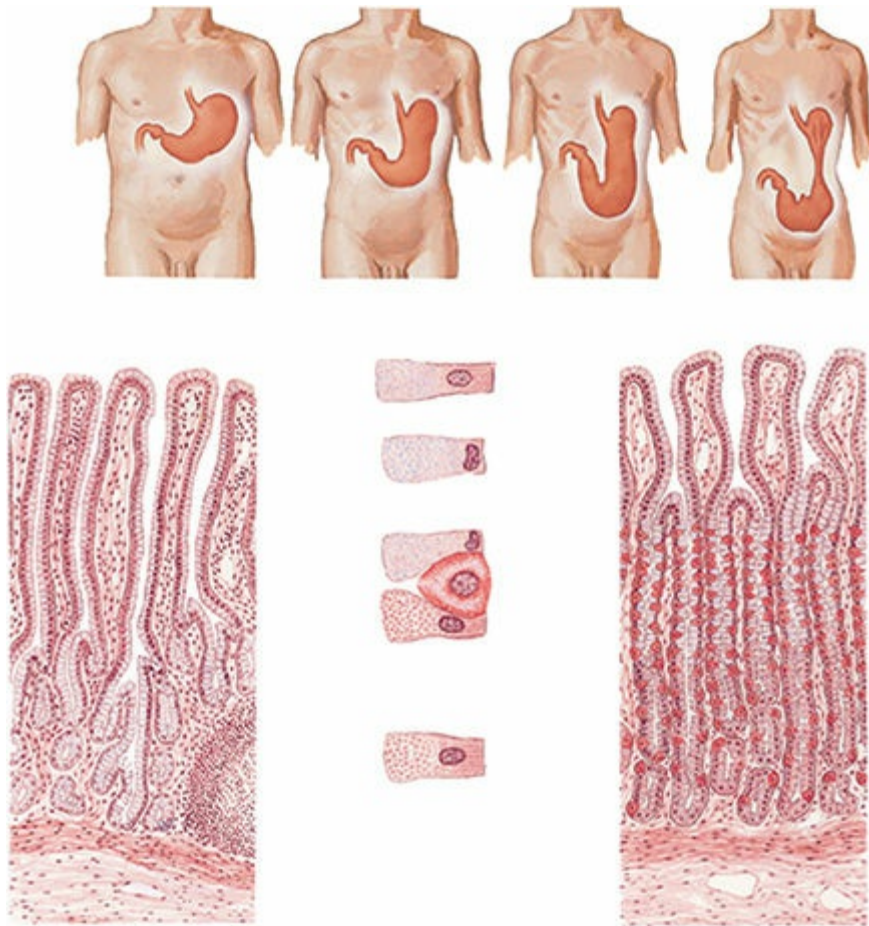
LÁMINAS ELECTRÓNICAS EXTRA



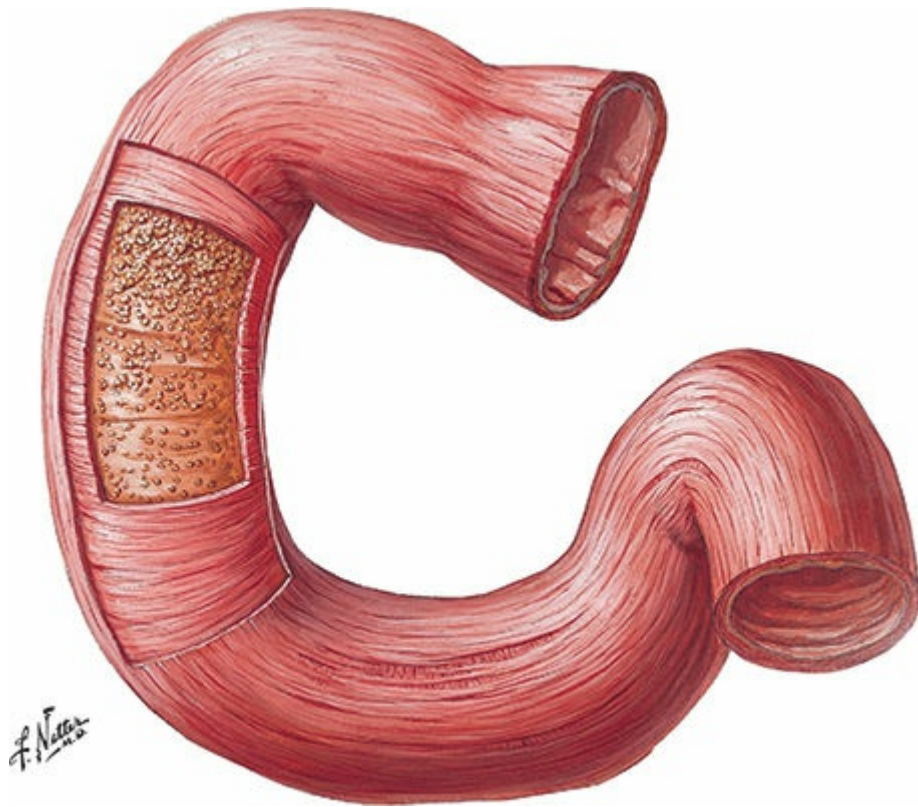
BP58 Regiones inguinal y femoral



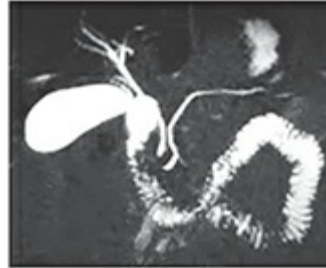
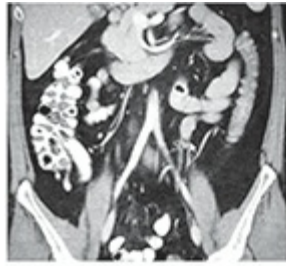
BP59 Hernia inguinal indirecta



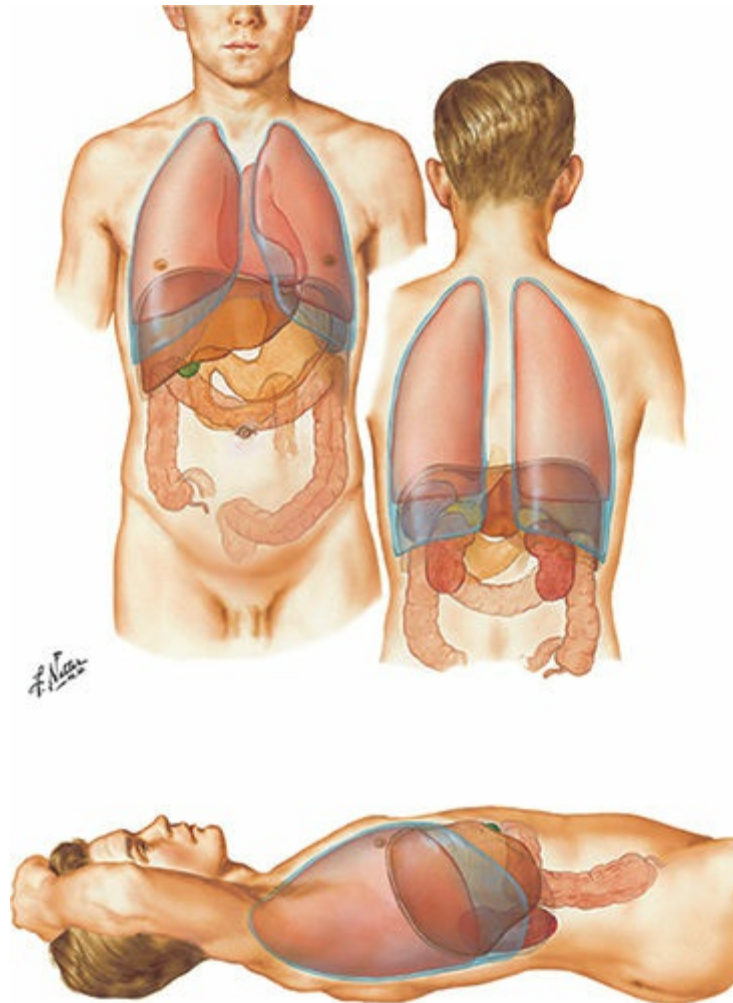
BP60 Variaciones en la posición y contorno del estómago en relación con los tipos corporales



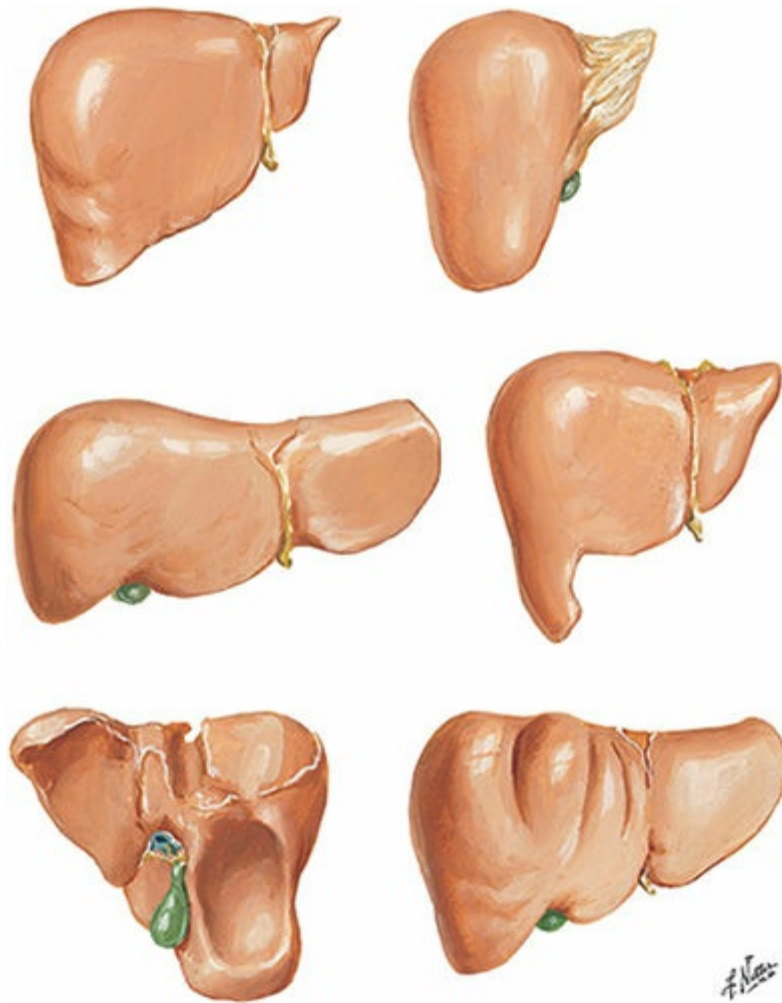
BP61 Capas de la pared del duodeno



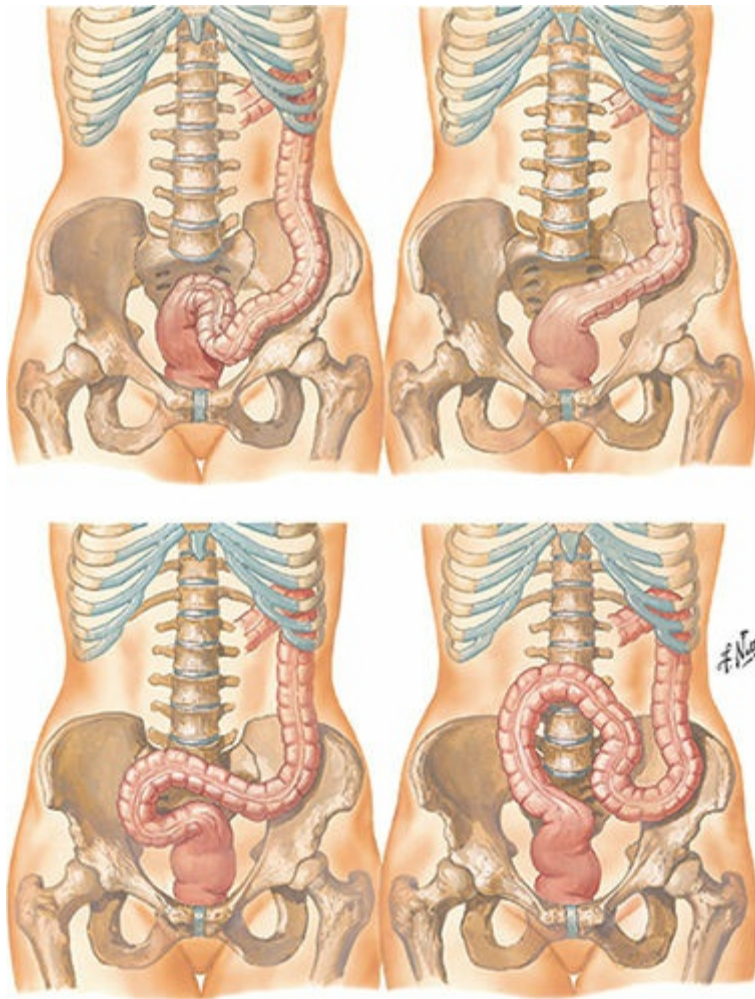
BP62 TC y CPRM que muestran el apéndice vermiforme, la vesícula y las vías biliares; ramos nerviosos de la arteria hepática



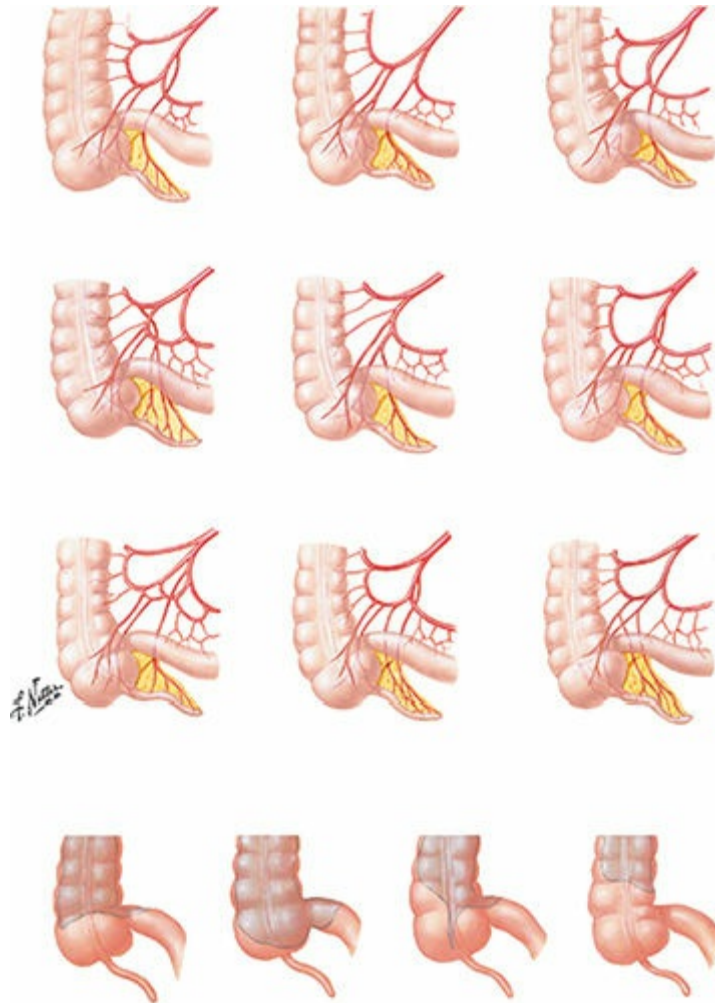
BP63 Topografía del hígado



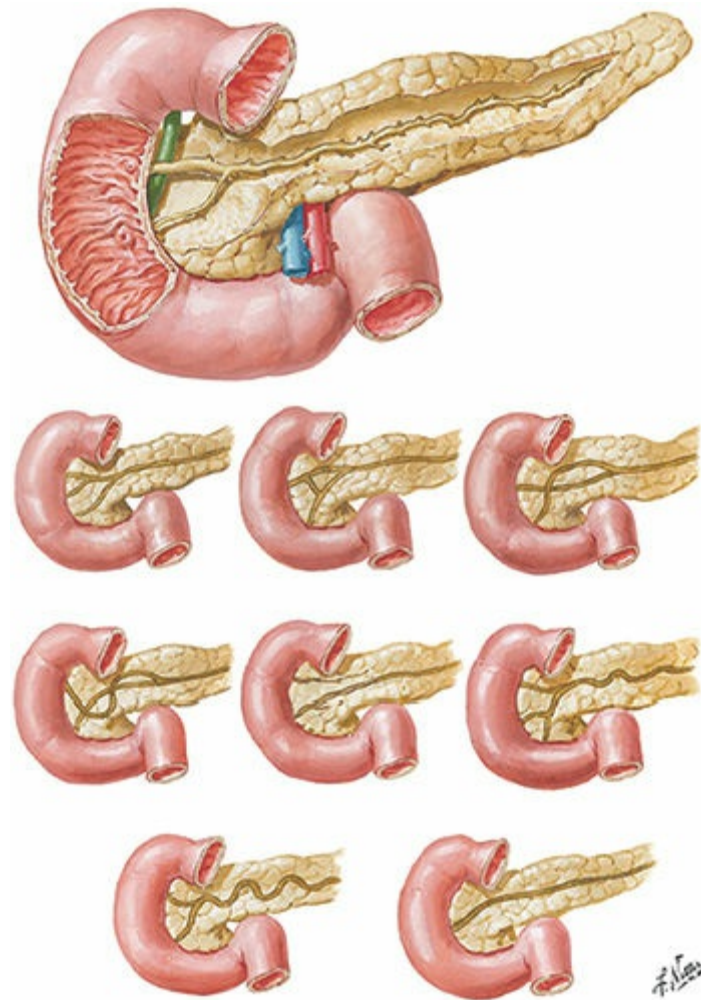
BP64 Variaciones morfológicas del hígado



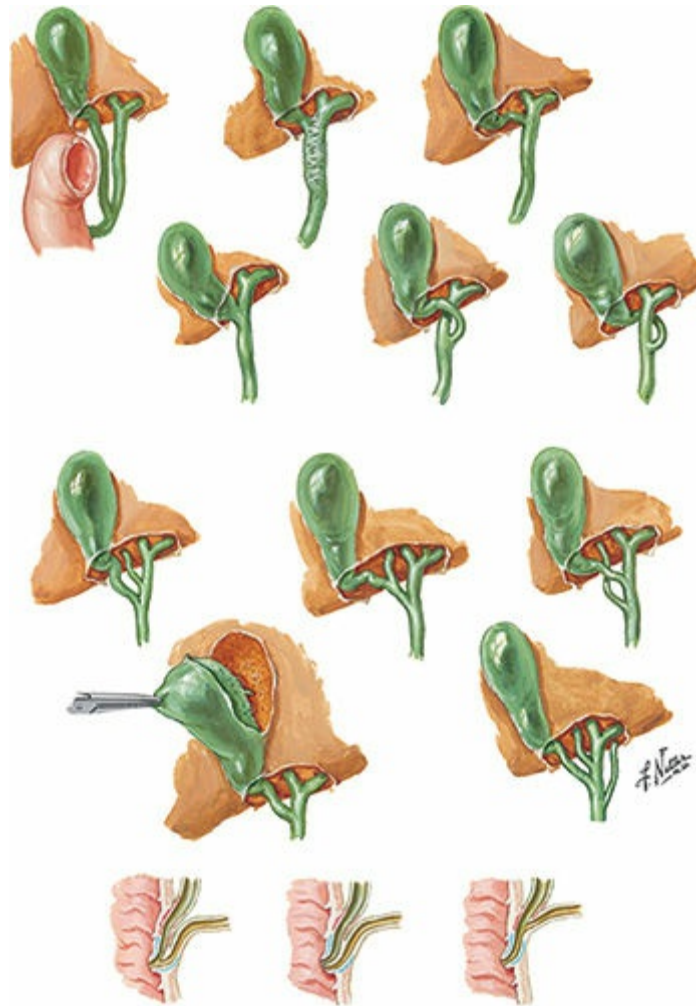
BP65 Colon sigmoide: variaciones de posición



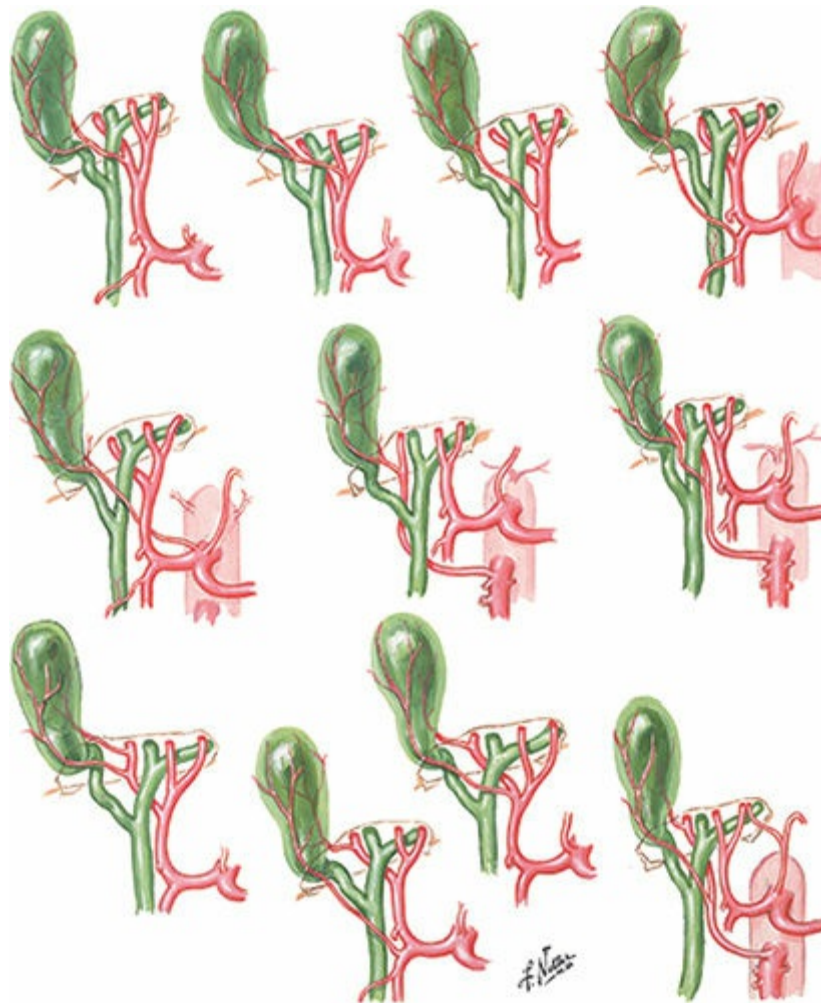
BP66 Variaciones en la irrigación arterial del ciego e inserción peritoneal posterior del ciego



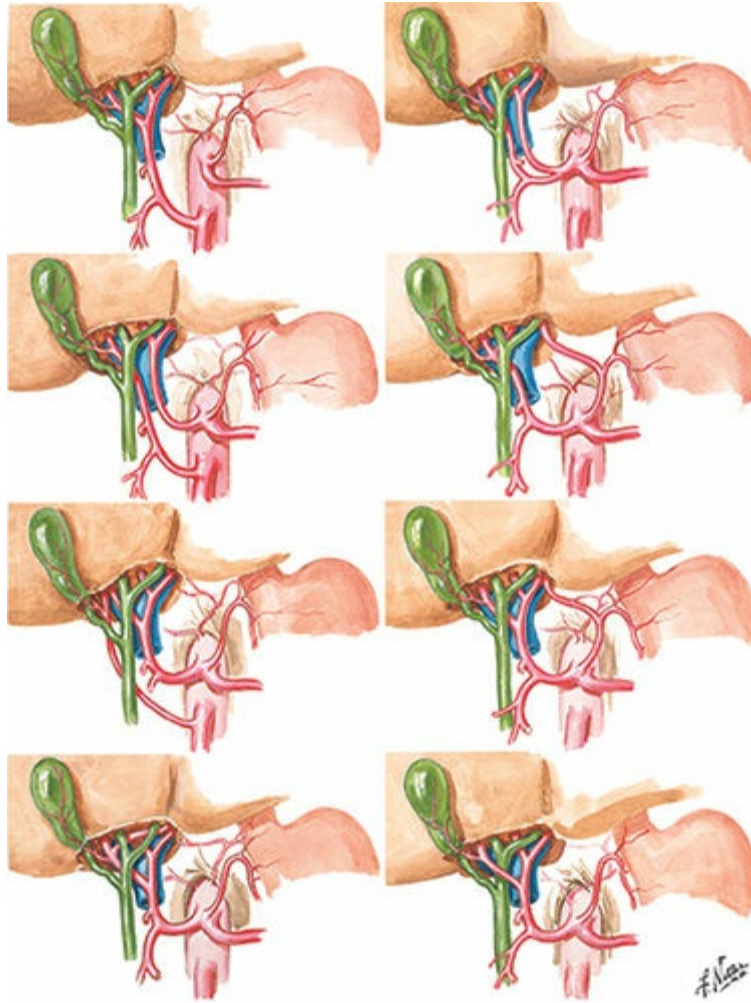
BP67 Variaciones del conducto pancreático



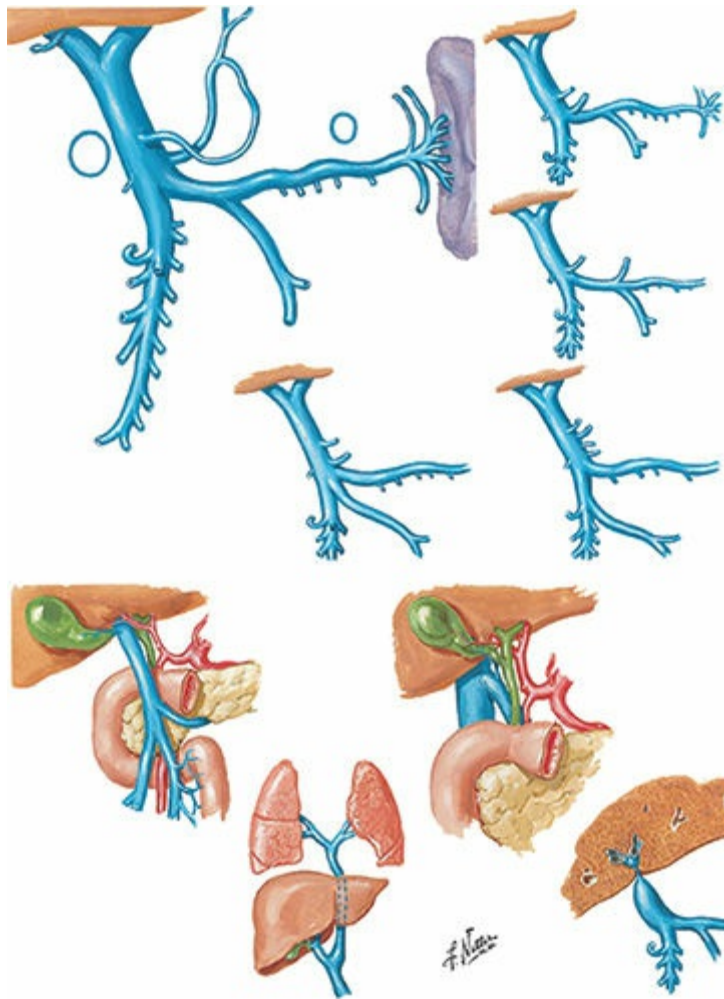
BP68 Variaciones de los conductos cístico, hepáticos y pancreático



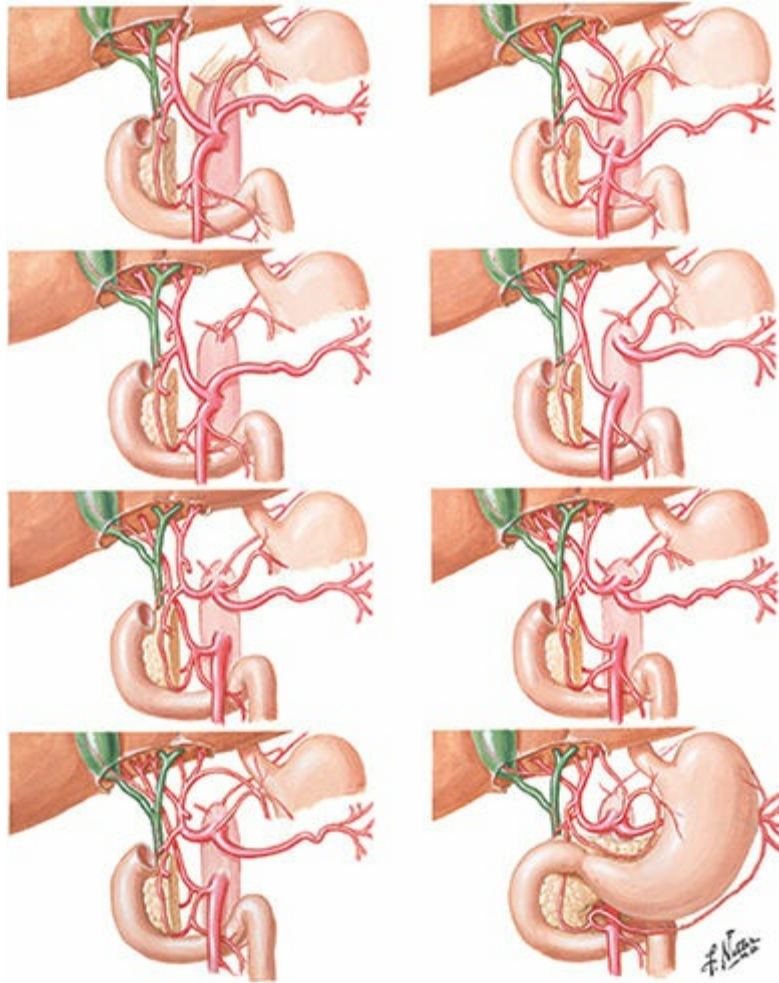
BP69 Variaciones en las arterias císticas



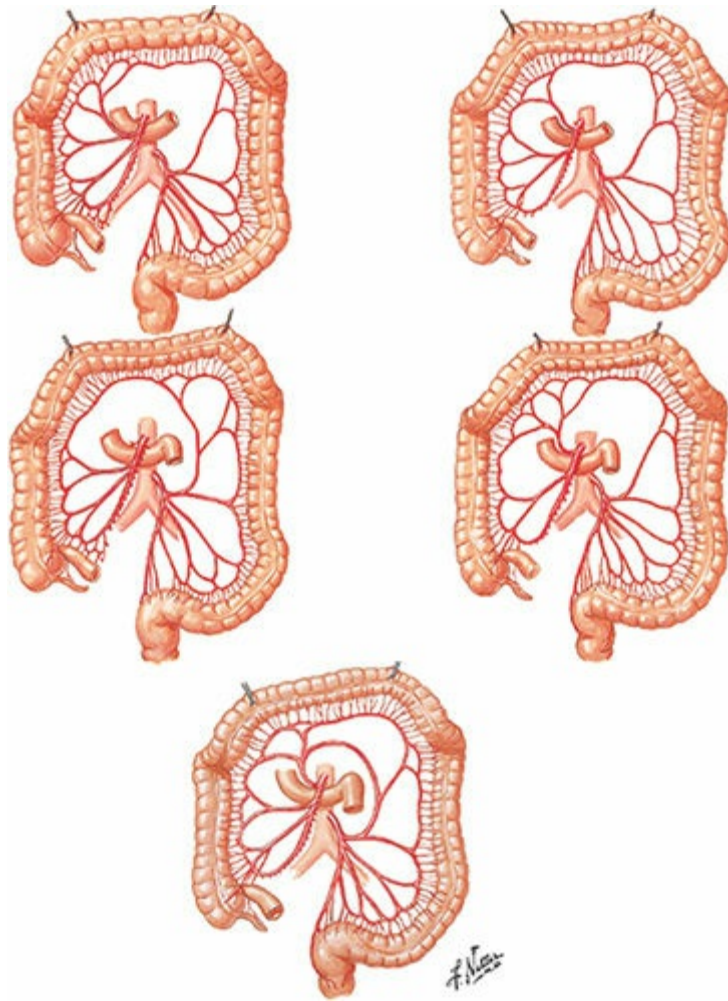
BP70 Variaciones en las arterias hepáticas



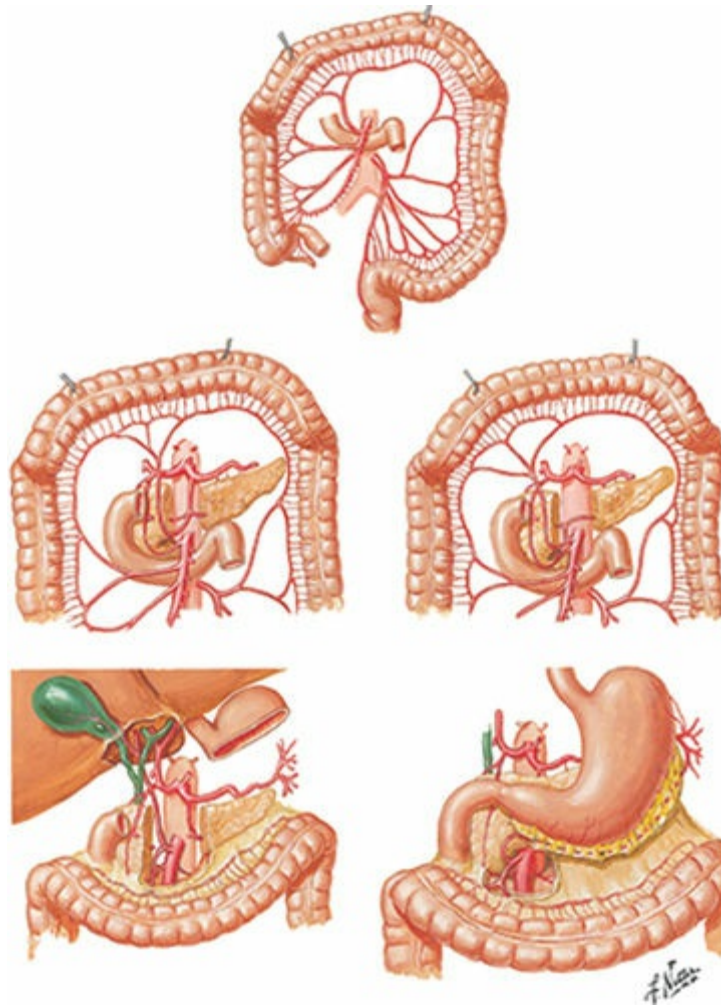
BP71 Variaciones y anomalías de la vena porta hepática



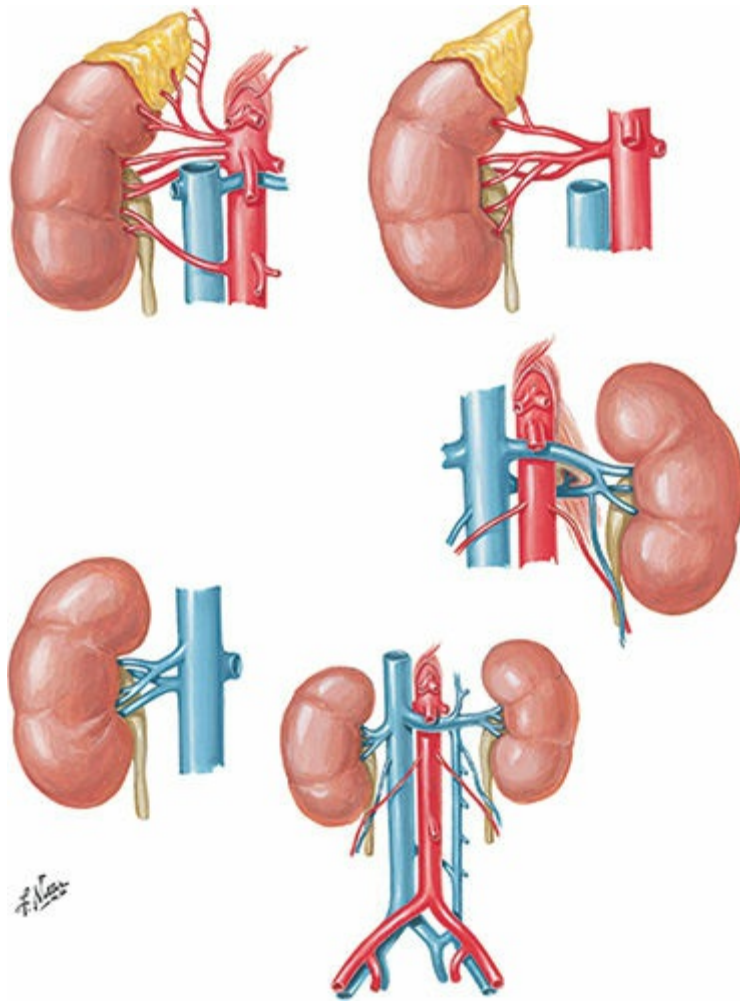
BP72 Variaciones del tronco celíaco



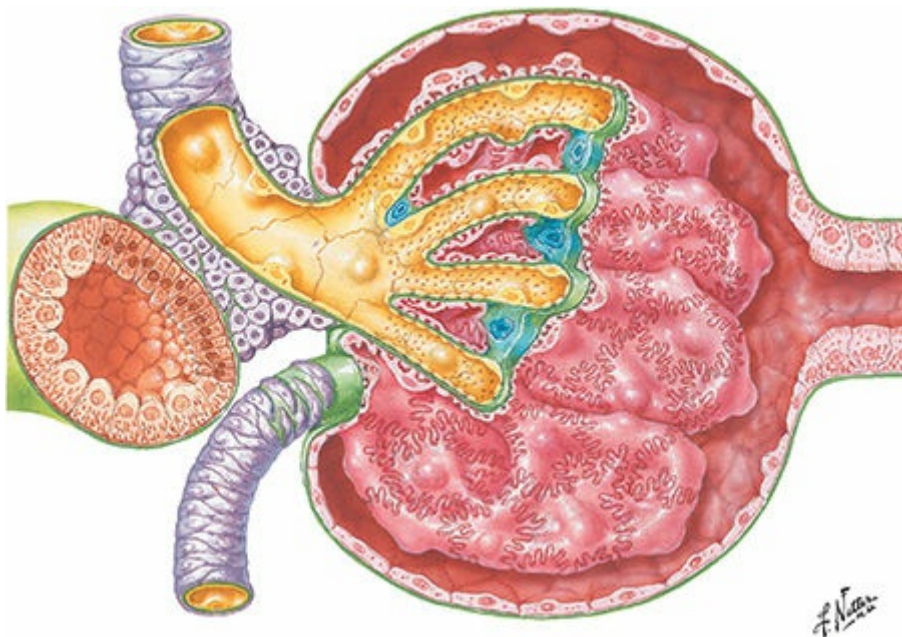
BP73 Variaciones de las arterias cólicas



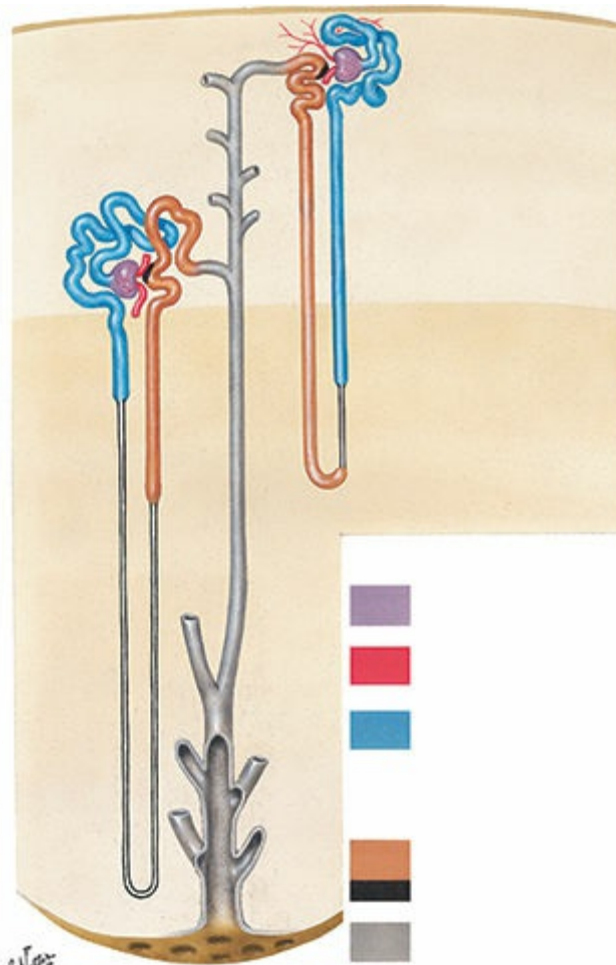
BP74 Variaciones de las arterias cólicas



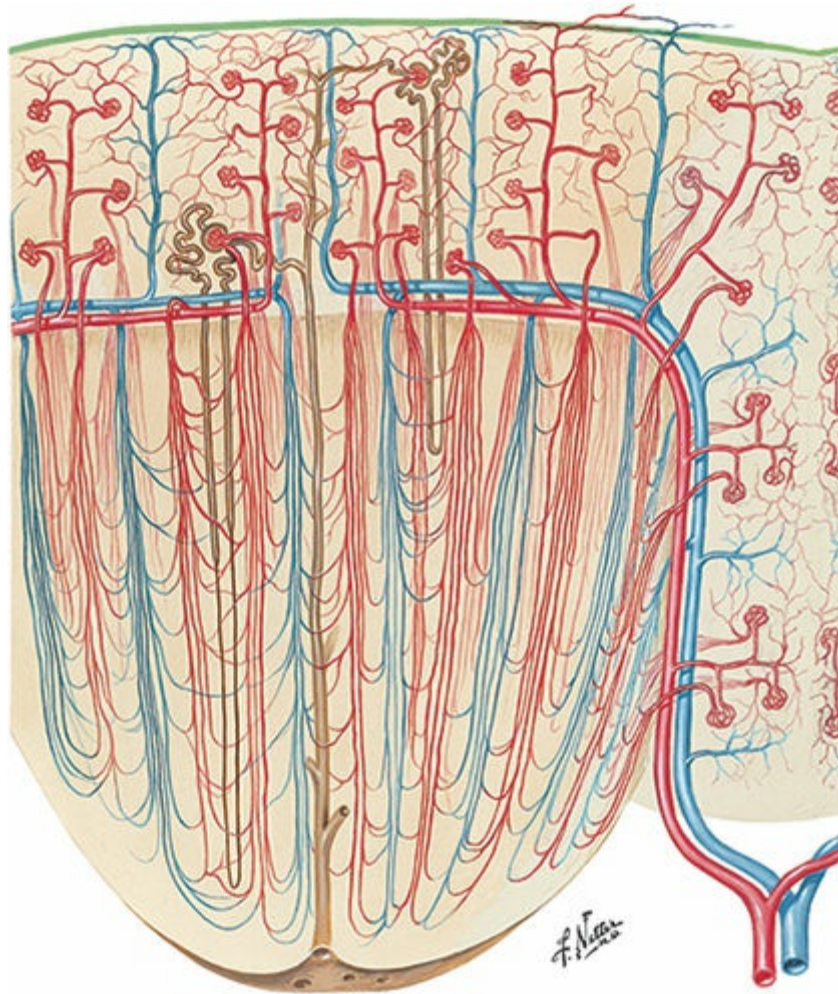
BP75 Variaciones de la arteria y vena renales



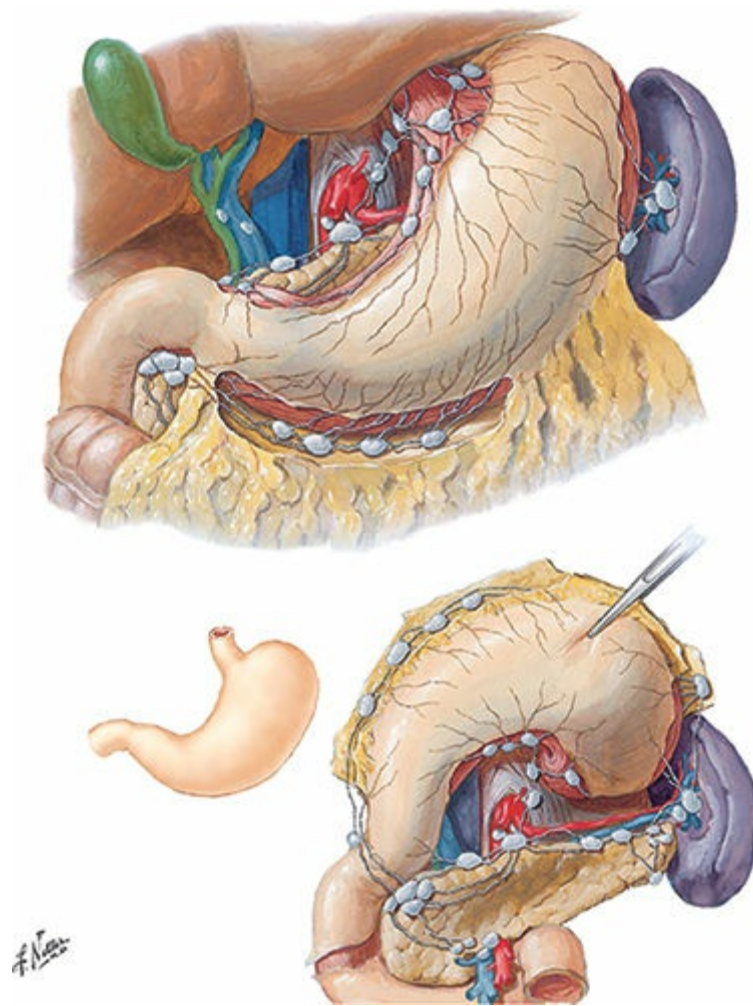
BP76 Histología del corpúsculo renal



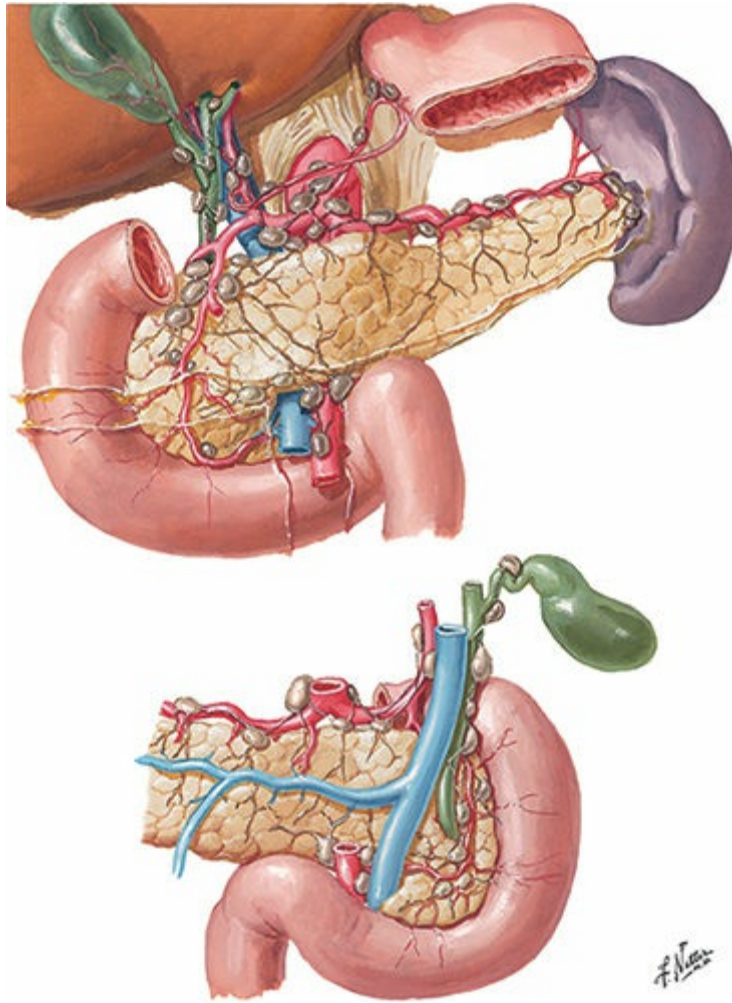
BP77 Nefrona y túbulo colector: esquema



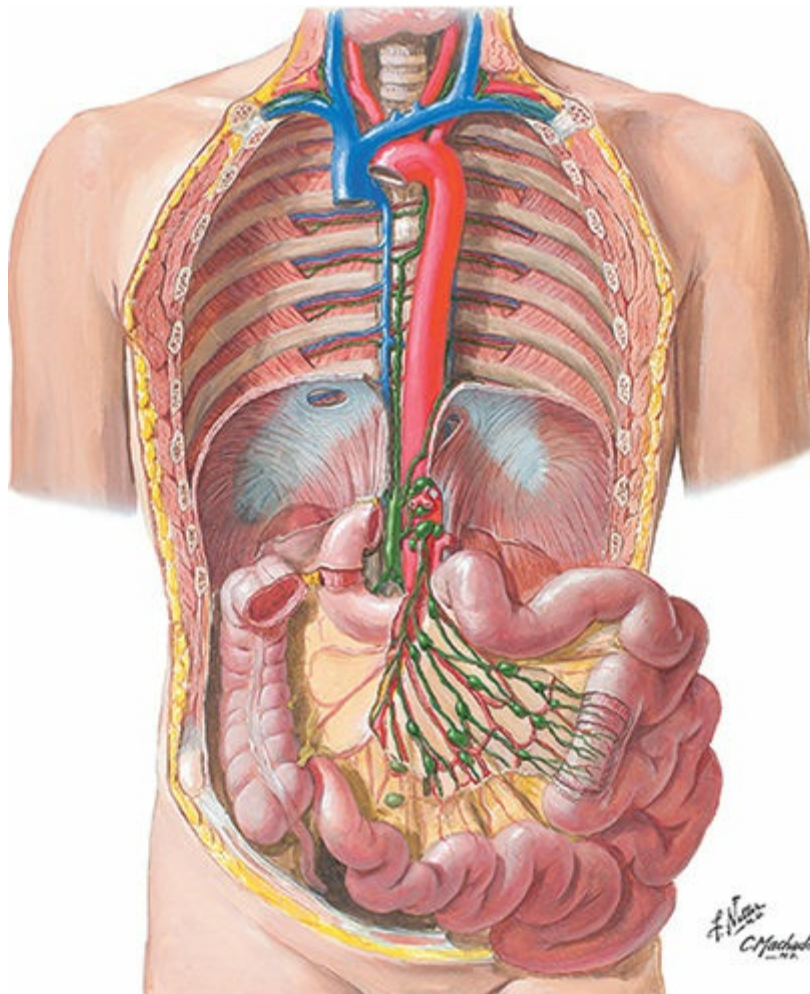
BP78 Vasos sanguíneos en el parénquima del riñón: esquema



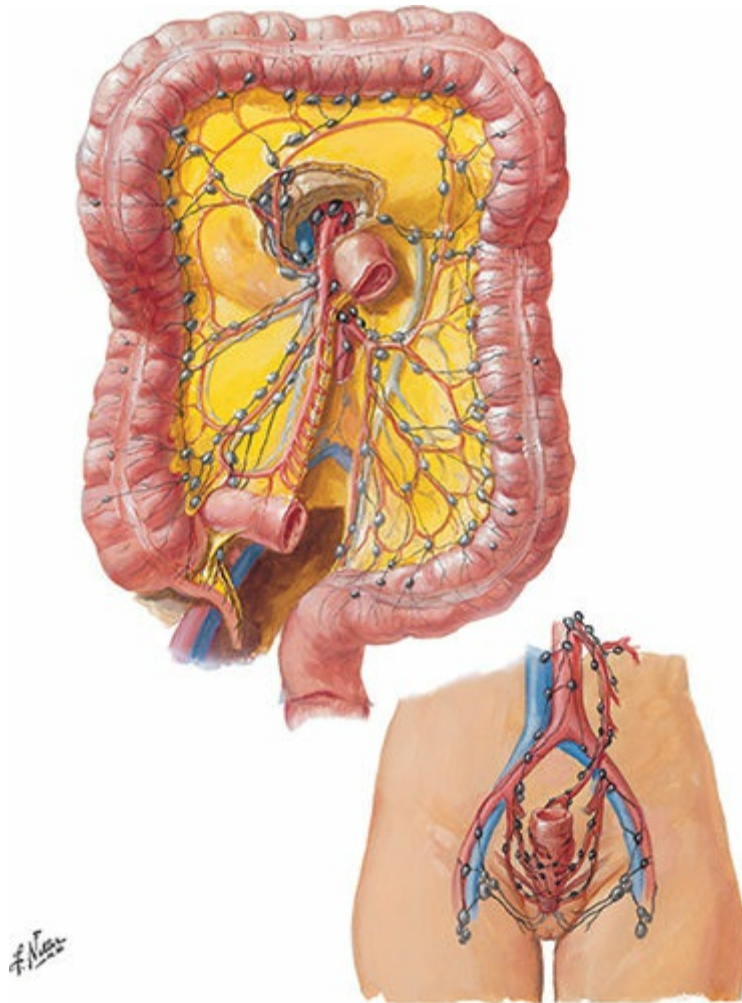
BP79 Vasos y nódulos (ganglios) linfáticos del estómago



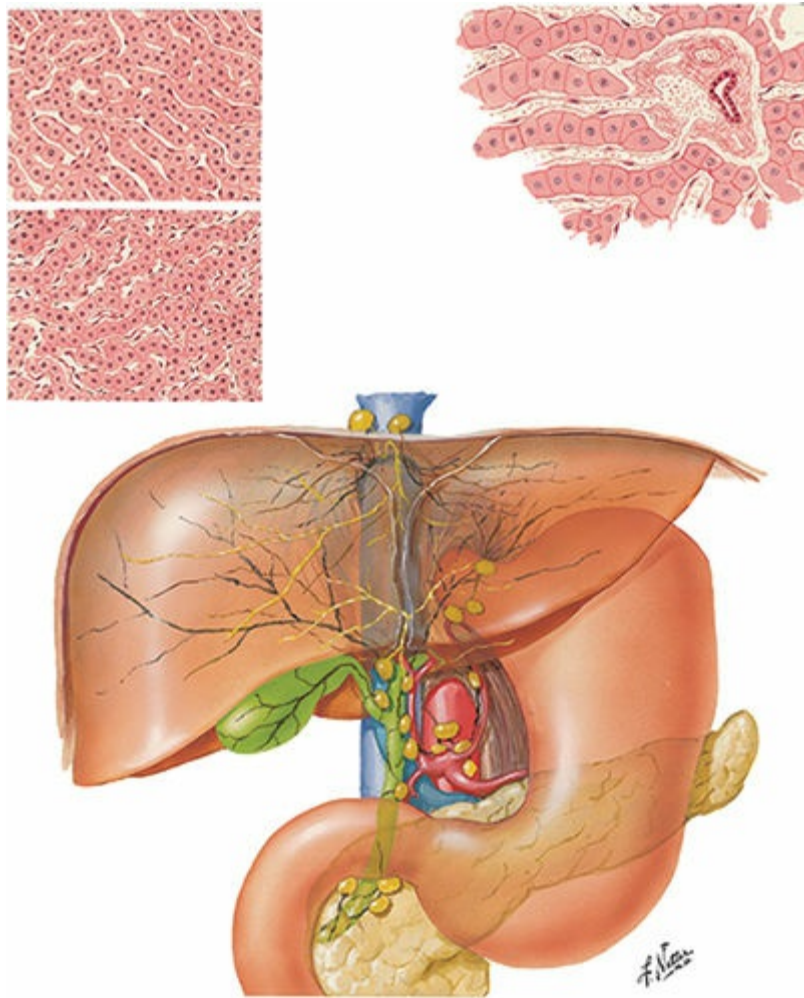
BP80 Vasos y nódulos (ganglios) linfáticos del páncreas



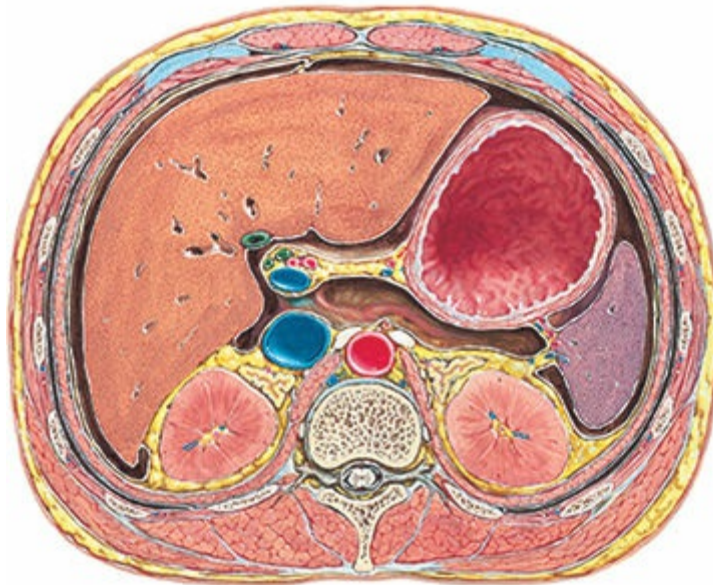
BP81 Vasos y nódulos (ganglios) linfáticos del intestino delgado



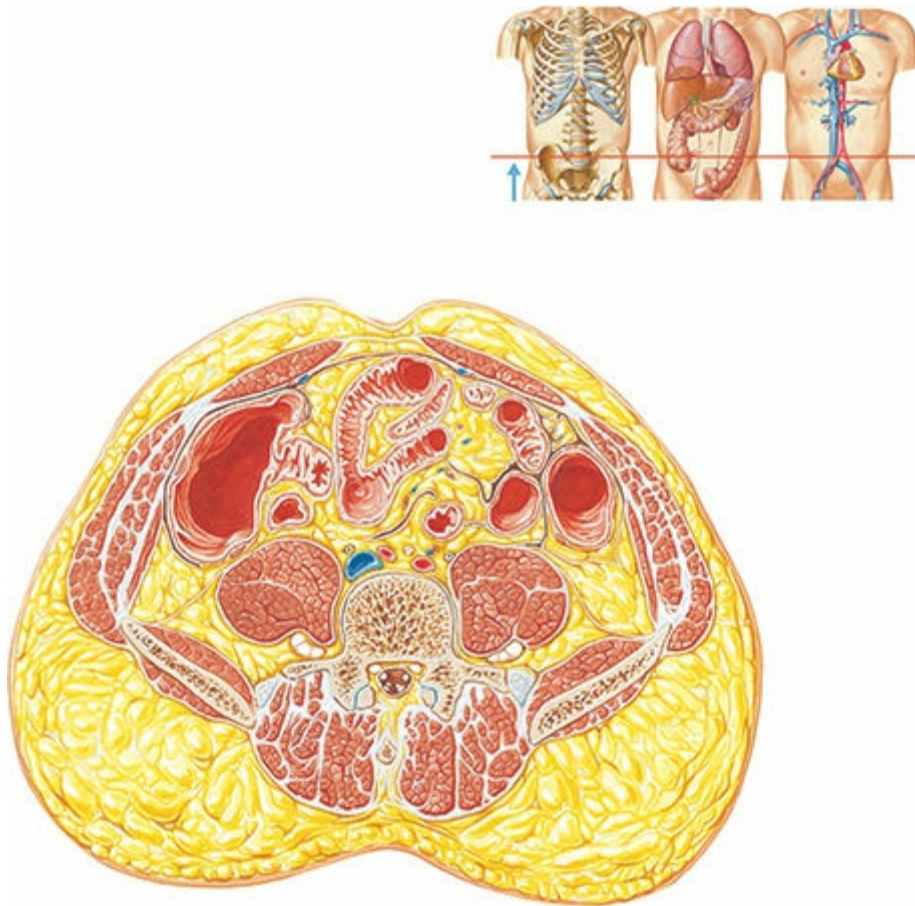
BP82 Vasos y nódulos (ganglios) linfáticos del intestino grueso



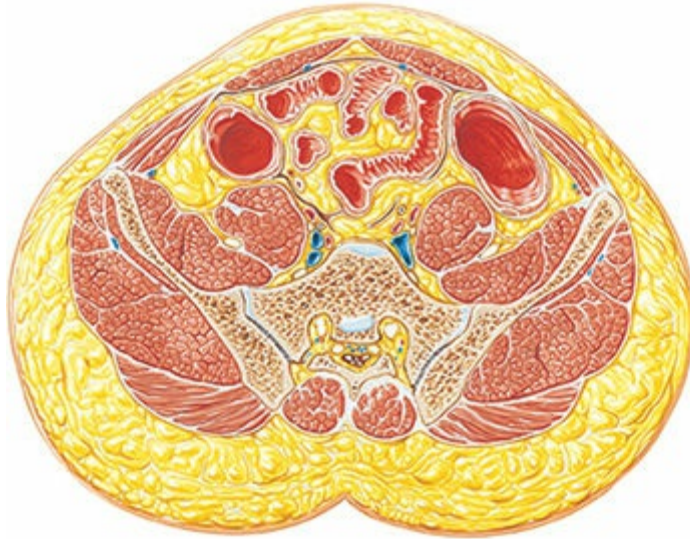
BP83 Vasos y nódulos (ganglios) linfáticos del hígado



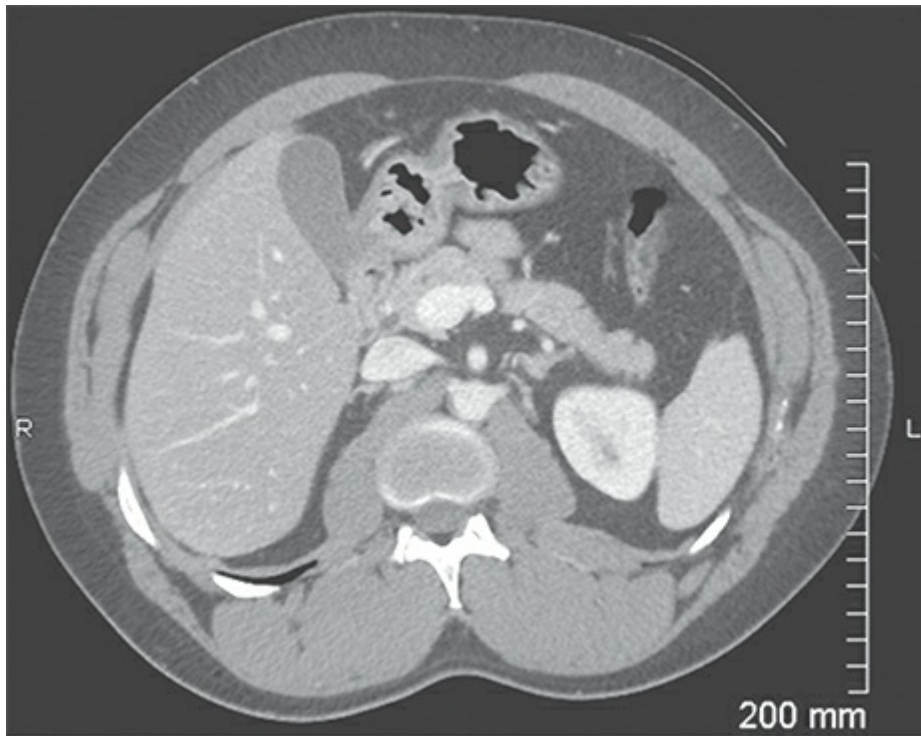
BP84 Sección transversal esquemática del abdomen a nivel de T12



BP85 Sección transversal del abdomen: nivel de L5, cerca del plano transtubercular



BP86 Sección transversal del abdomen: nivel de S1, espina ilíaca anterior superior *C. Machado*

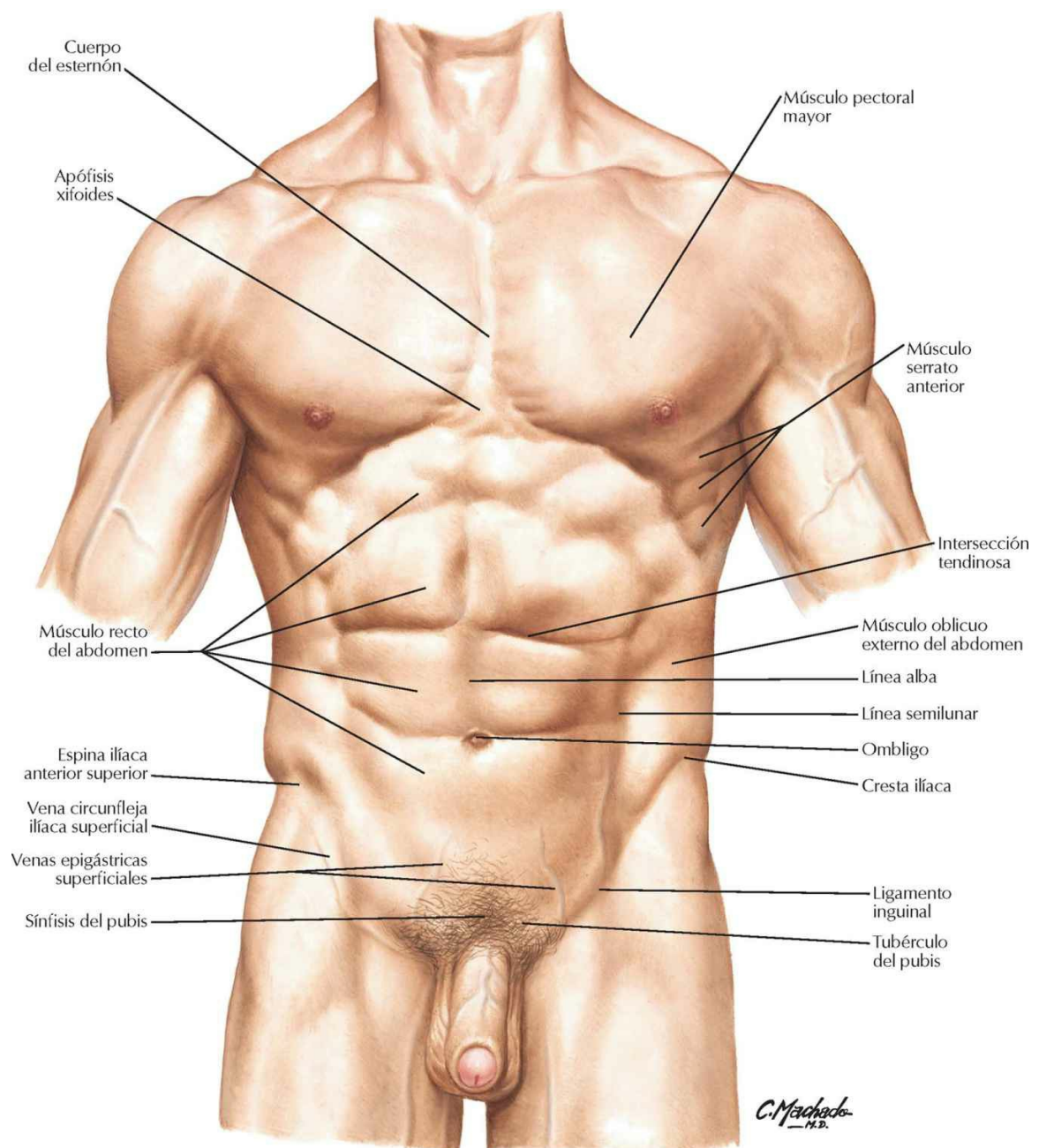


BP87 TC axial (transversal) de la porción superior del abdomen

Anatomía de superficie

Abdomen: anatomía de superficie

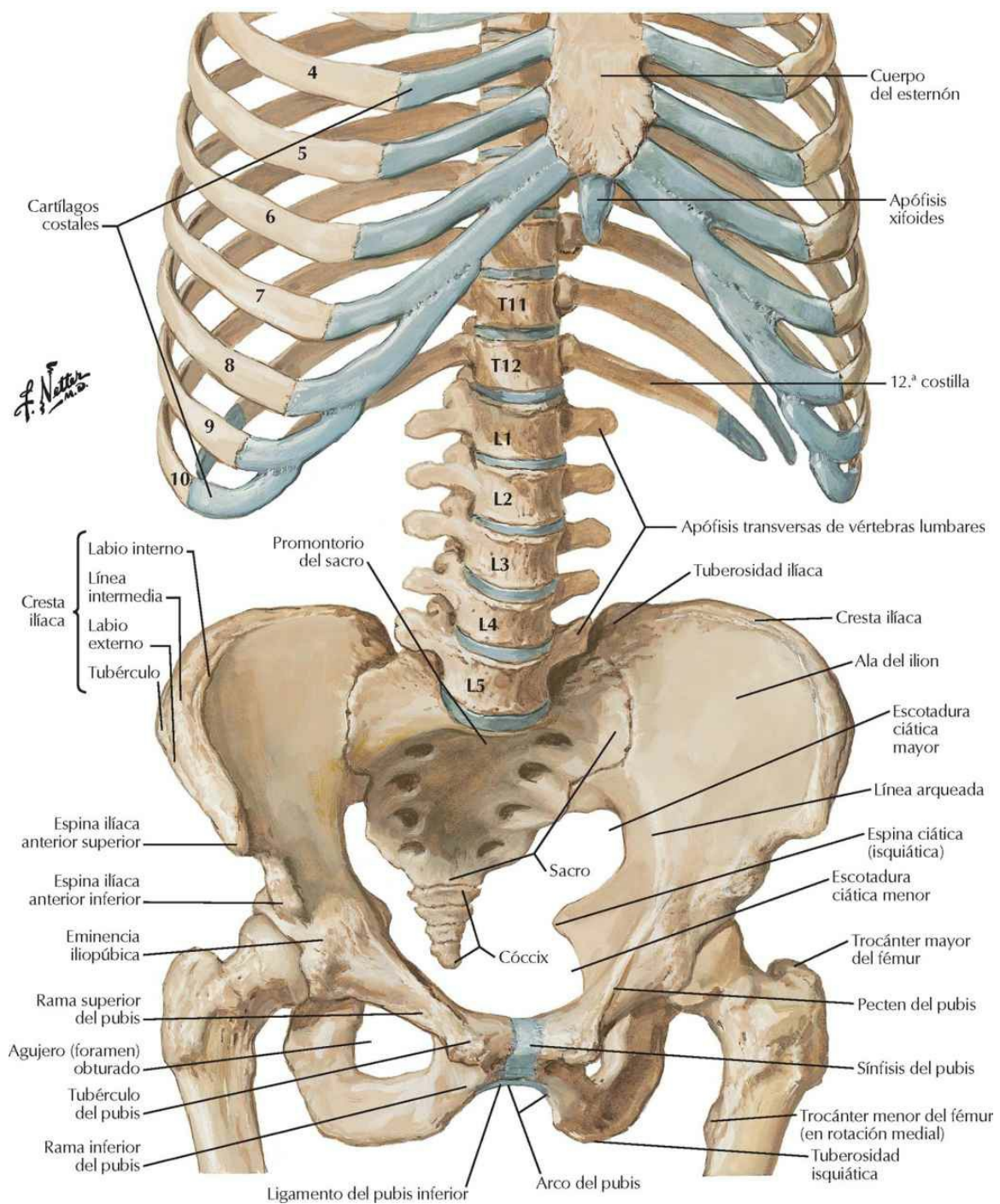
Véanse también láminas 171, 252



Pared corporal

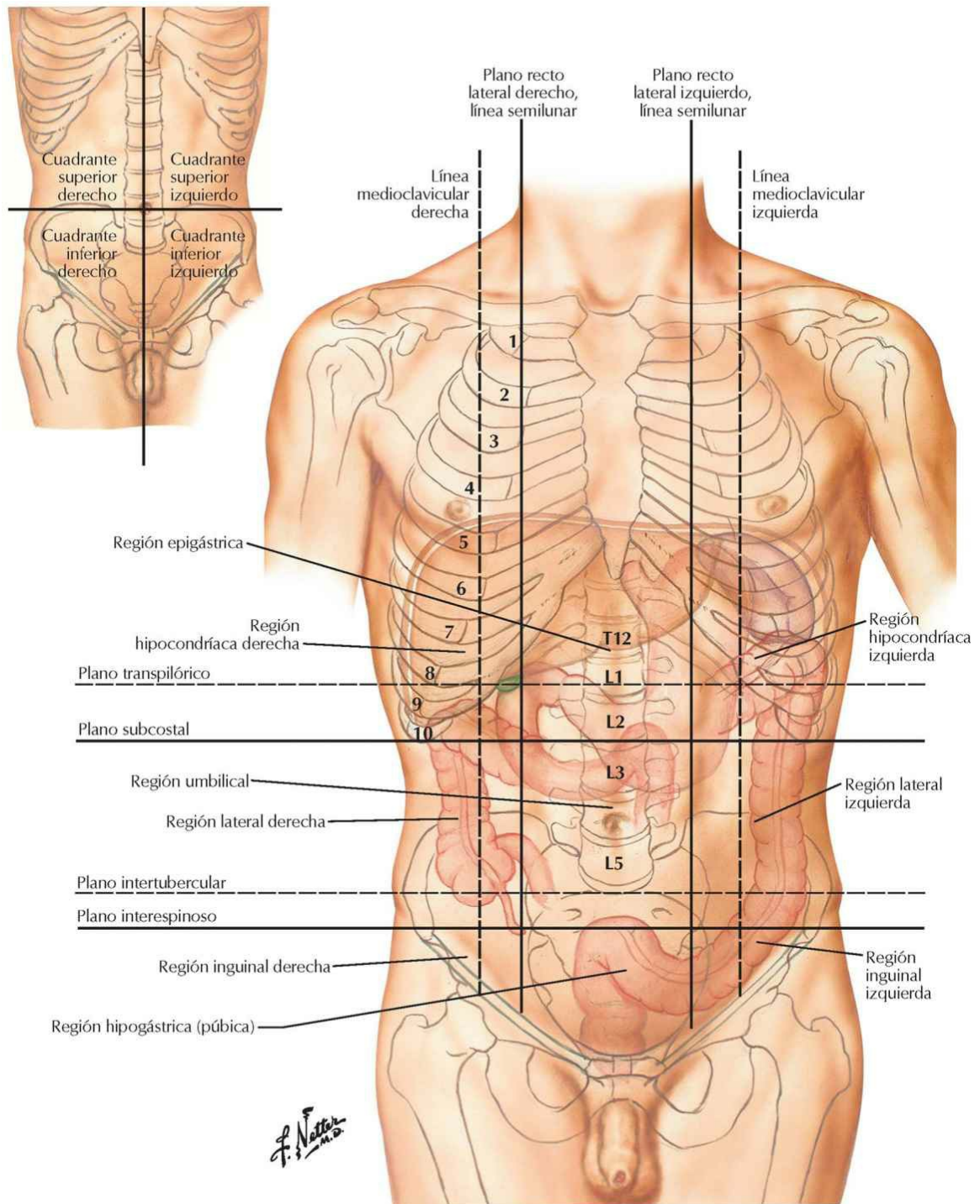
Esqueleto óseo del abdomen

Véanse también láminas 192, 334



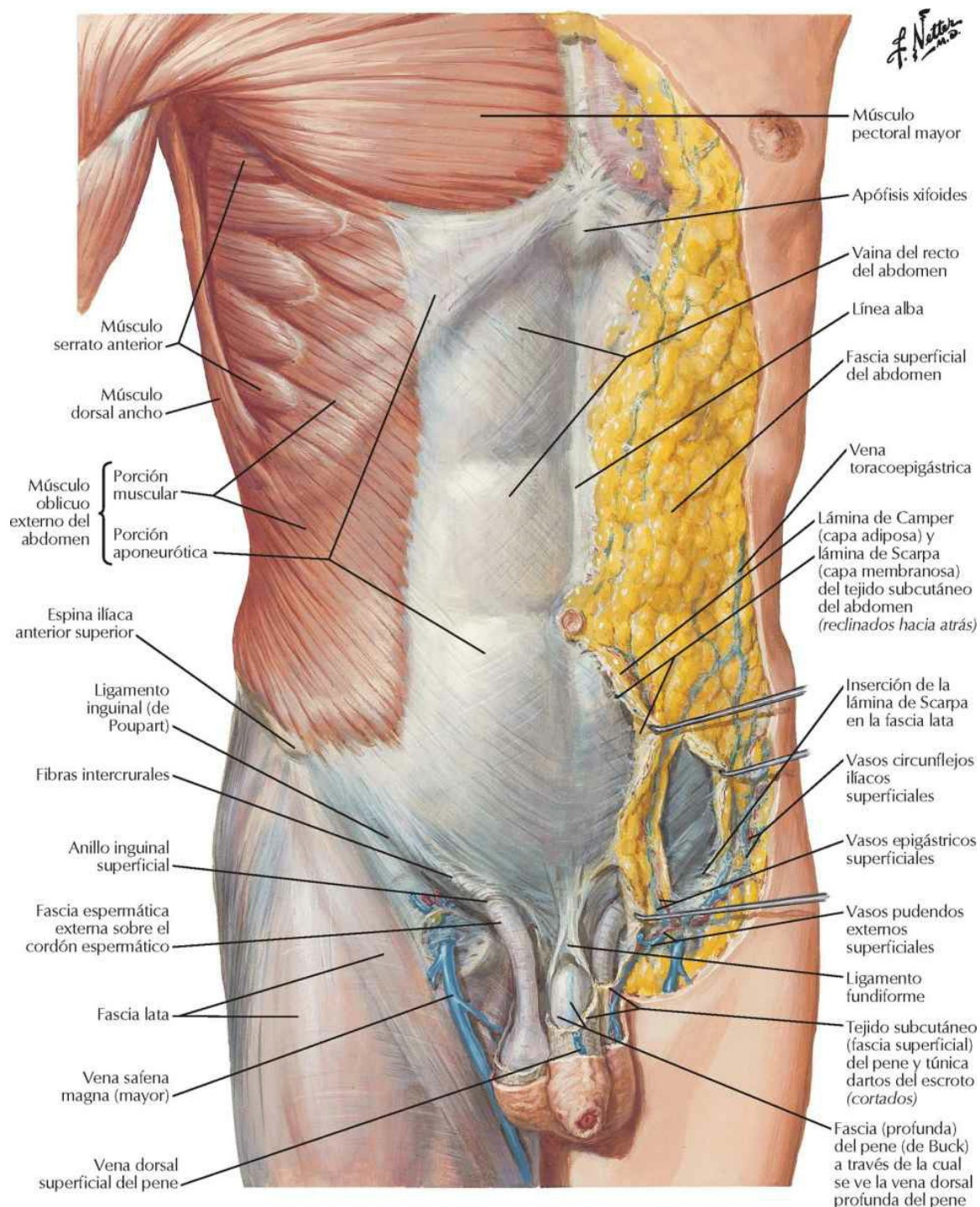
Regiones y planos del abdomen

Véase también lámina 202



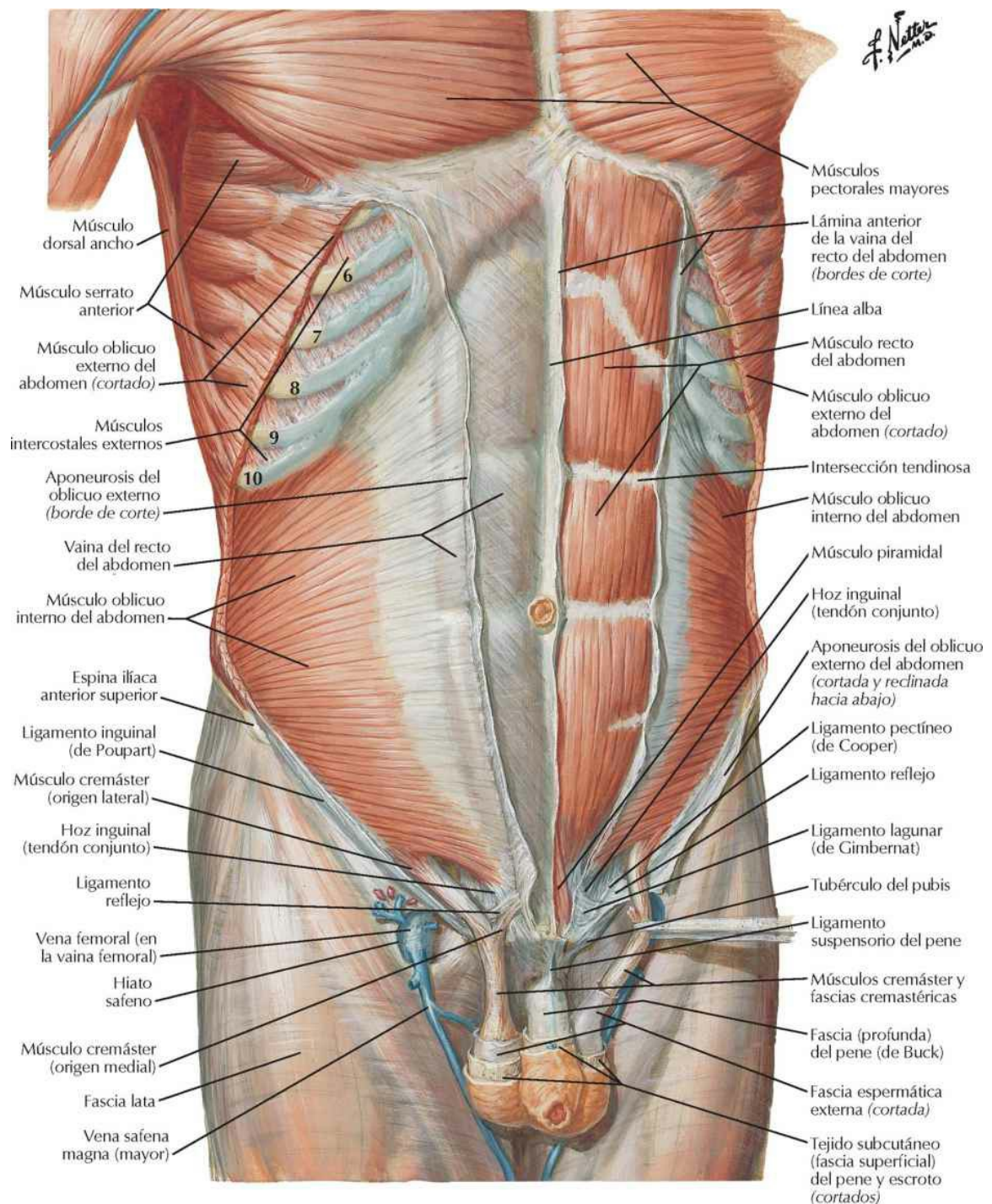
Pared anterior del abdomen: disección superficial

Véanse también láminas 259, 333



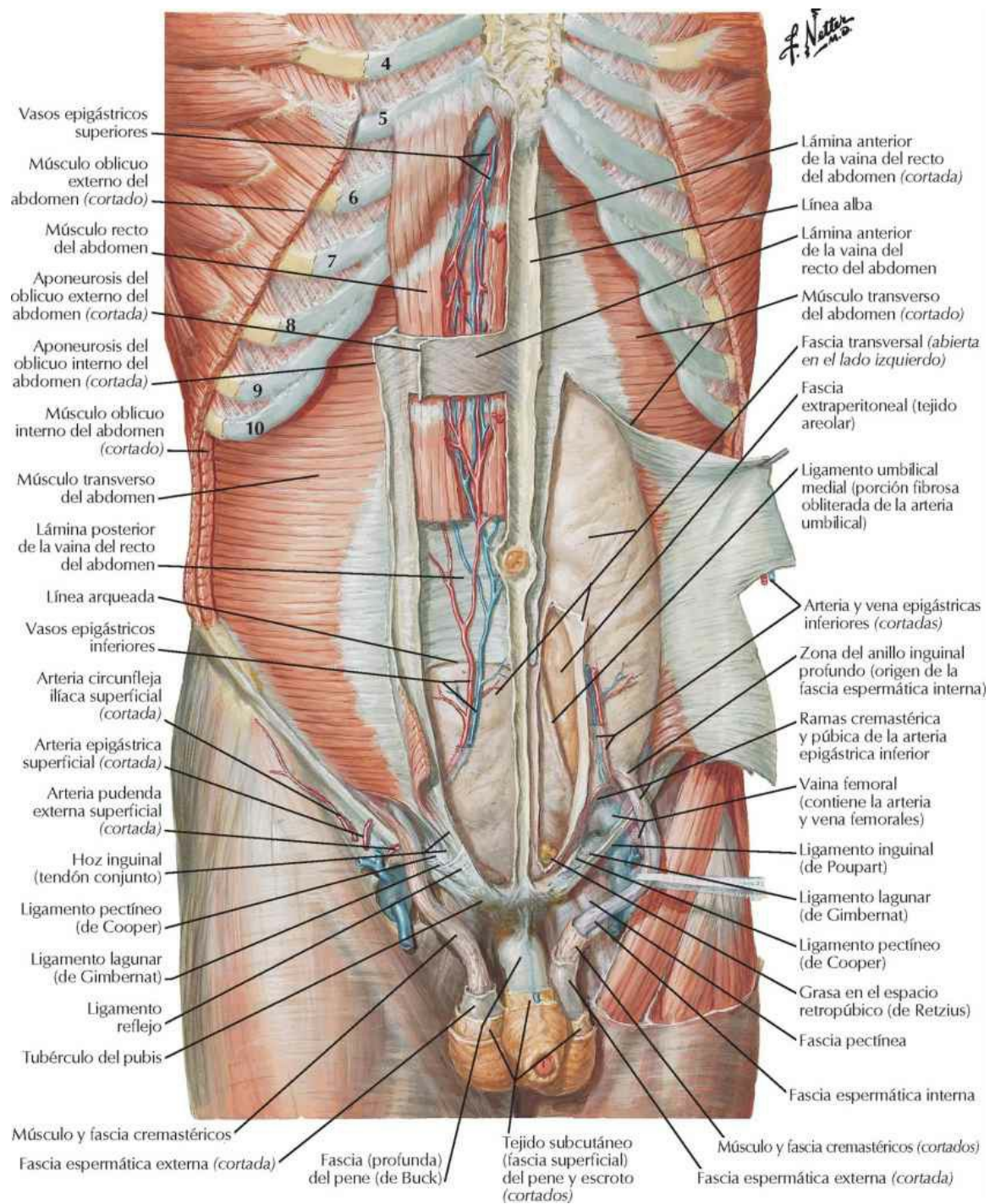
Pared anterior del abdomen: disección intermedia

Véanse también láminas 194, 195



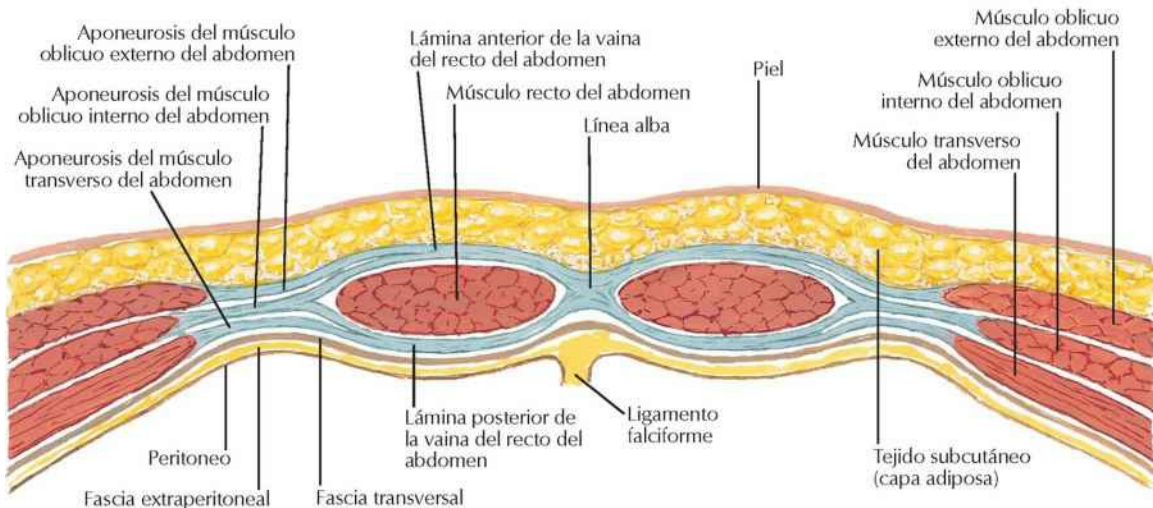
Pared anterior del abdomen: disección profunda

Véanse también láminas 195, 258



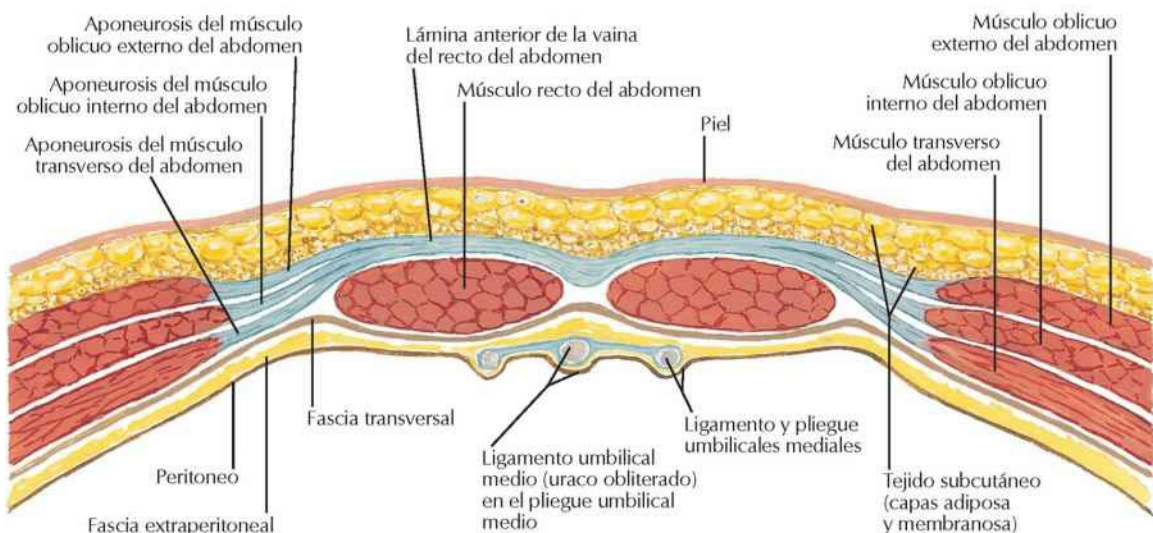
Vaina del recto del abdomen: secciones transversales

Sección por encima de la línea arqueada



La aponeurosis del músculo oblicuo interno del abdomen se divide para formar las láminas (hojas) anterior y posterior de la vaina del músculo recto del abdomen. La aponeurosis del músculo oblicuo externo del abdomen se une a la lámina anterior de la vaina; la aponeurosis del músculo transverso del abdomen se une a la lámina posterior. Las láminas anterior y posterior de la vaina del recto del abdomen se unen medialmente para formar la línea alba.

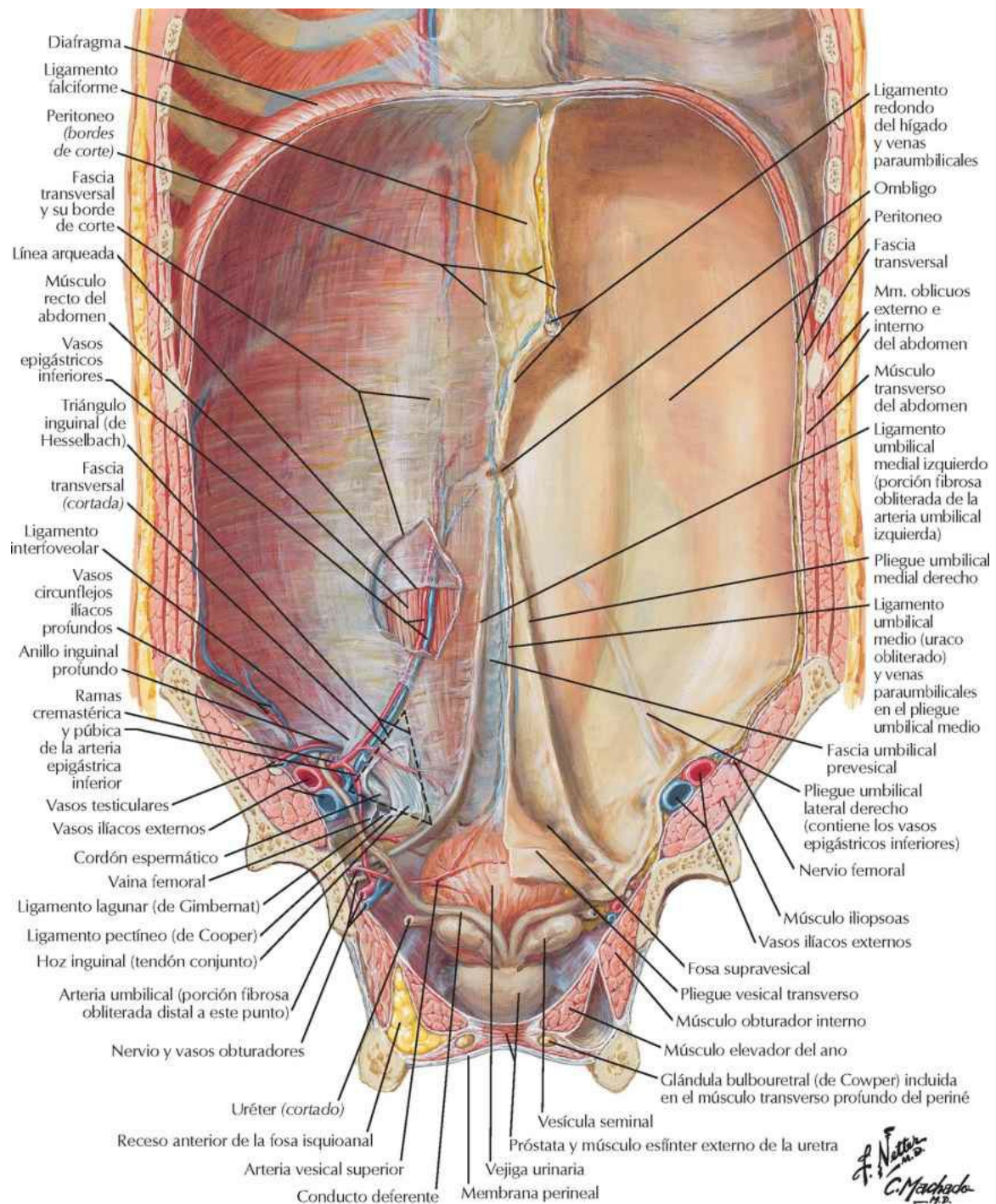
Sección por debajo de la línea arqueada



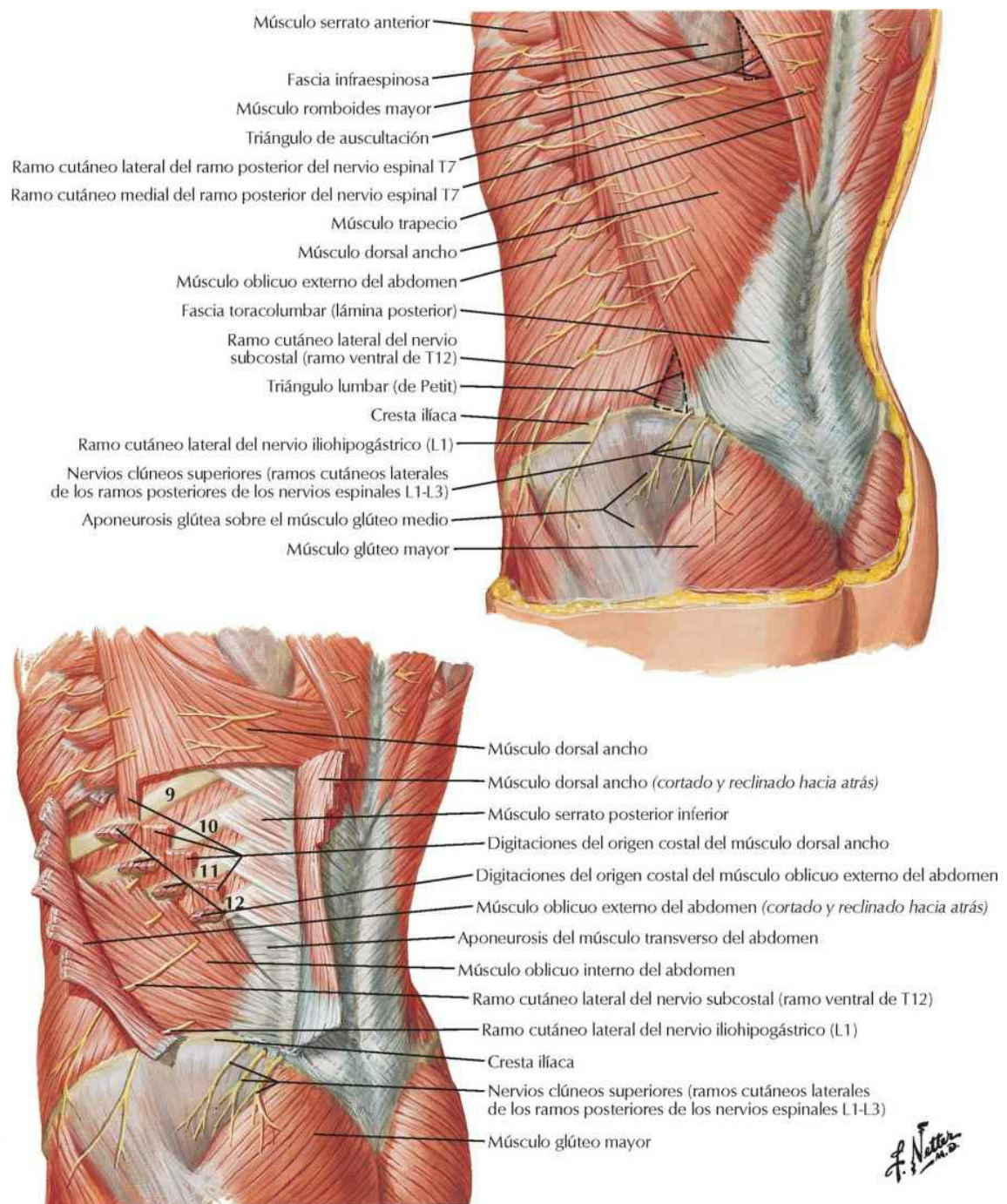
La aponeurosis del músculo oblicuo interno del abdomen no se divide a este nivel, sino que pasa completamente anterior al músculo recto del abdomen fusionándose con las aponeurosis de los músculos oblicuo externo del abdomen y transverso del abdomen. De este modo, la pared posterior de la vaina del recto del abdomen está ausente inferiormente a la línea arqueada, quedando solo la fascia transversal.

F. Netter M.D.

Pared anterior del abdomen: visión interna
Véase también lámina 366

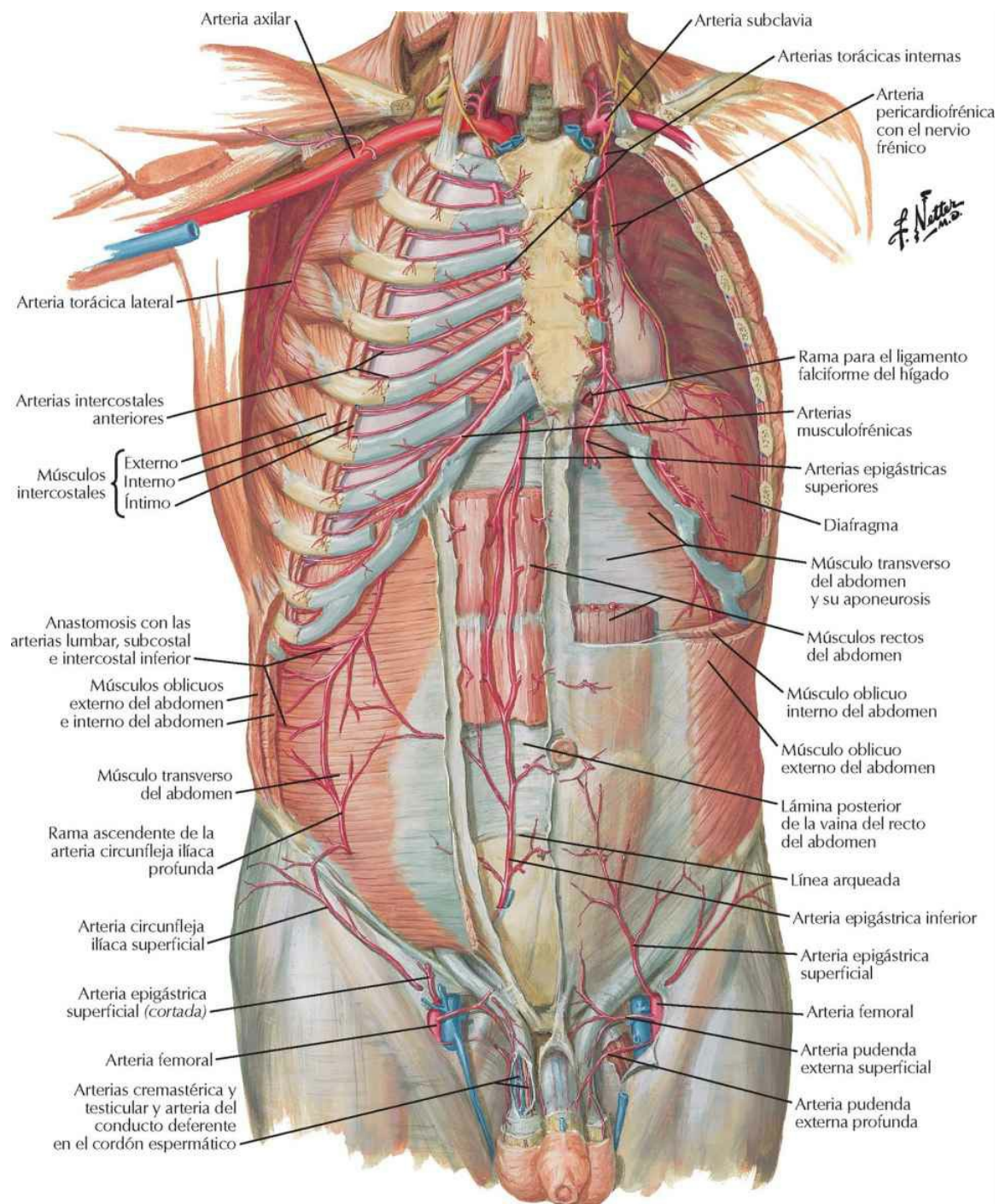


Pared posterolateral del abdomen



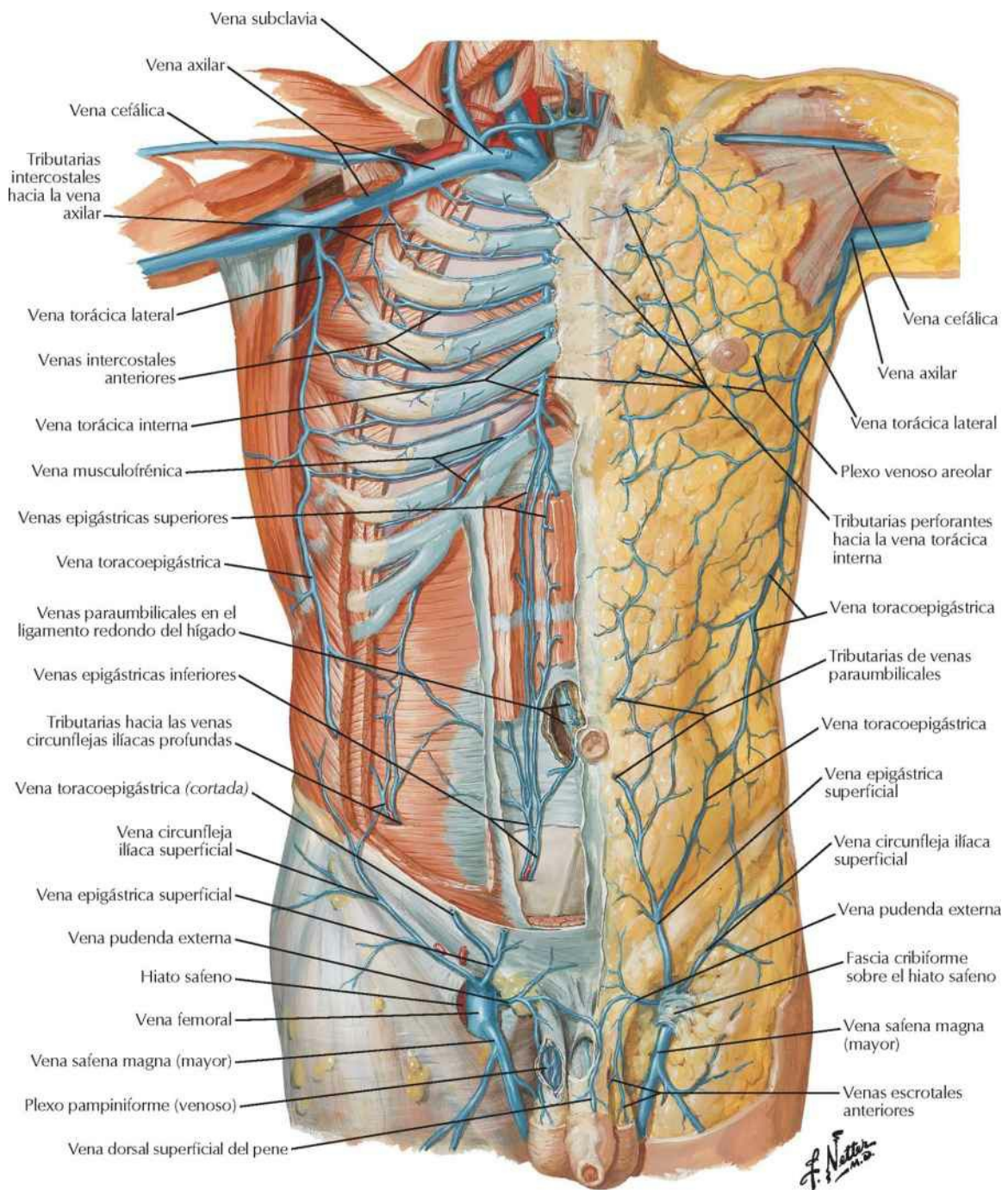
Arterias de la pared anterior del abdomen

Véase también lámina 254



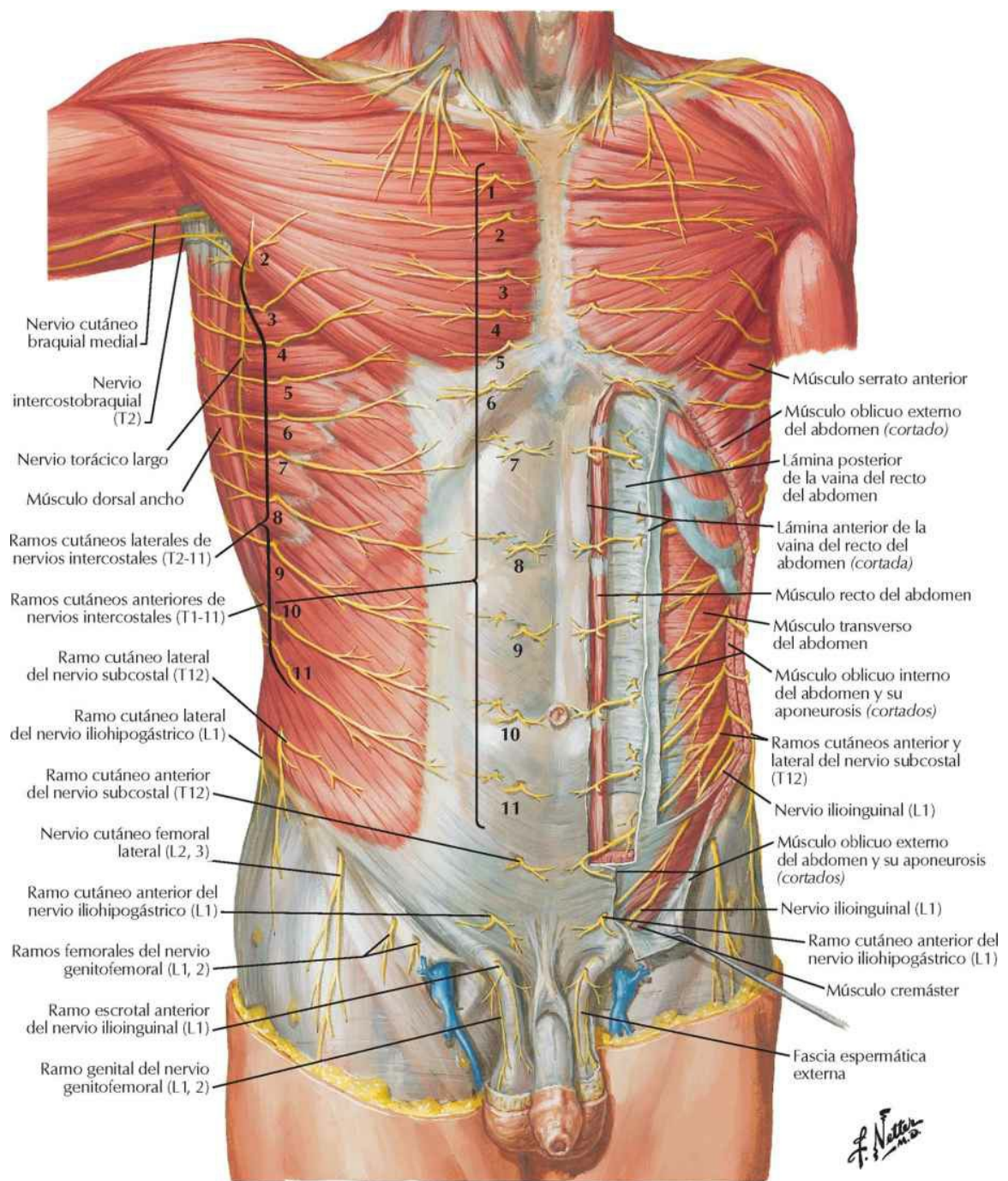
Venas de la pared anterior del abdomen

Véanse también láminas 252, 254

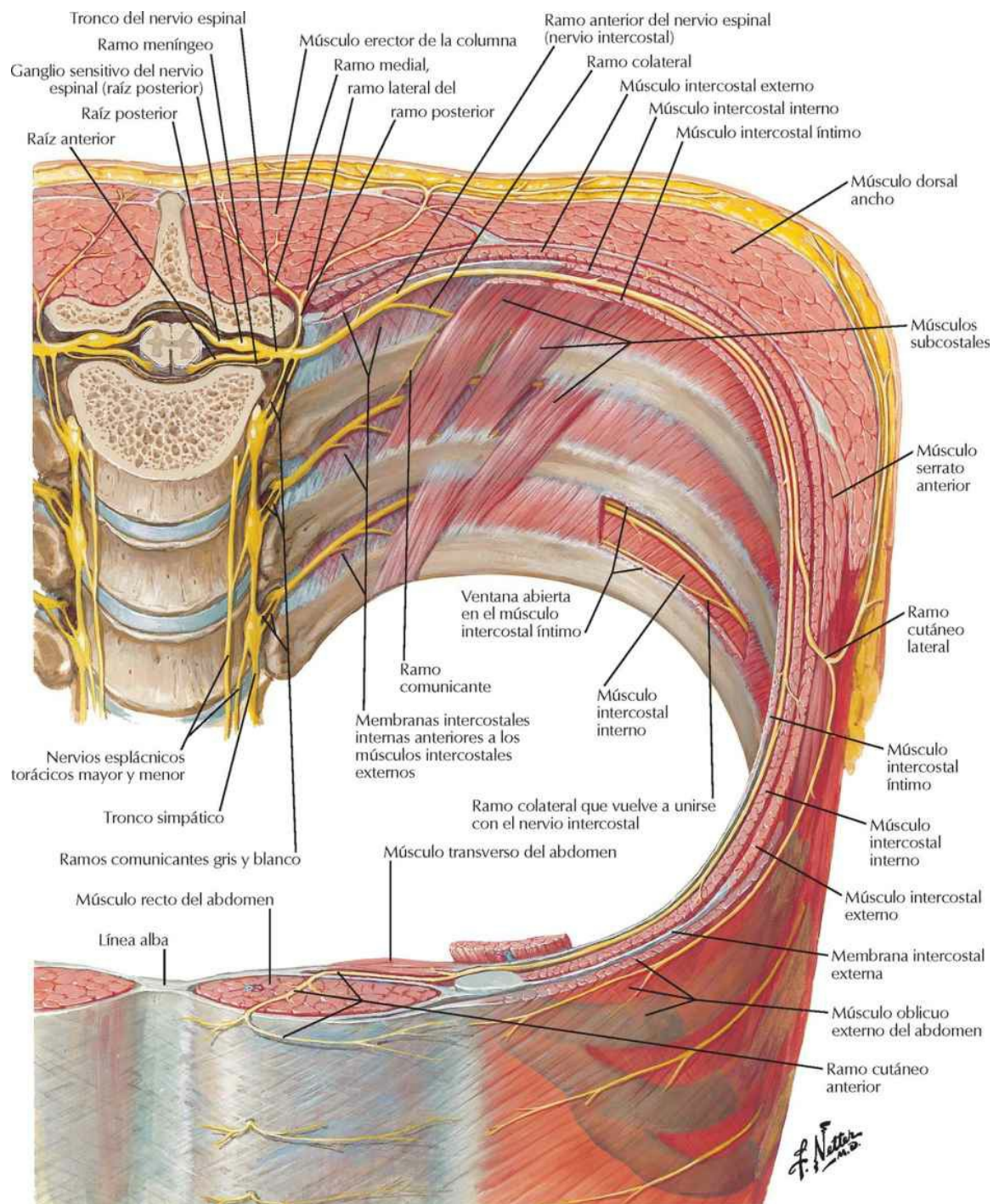


Nervios de la pared anterior del abdomen

Véanse también láminas 186, 194, 261



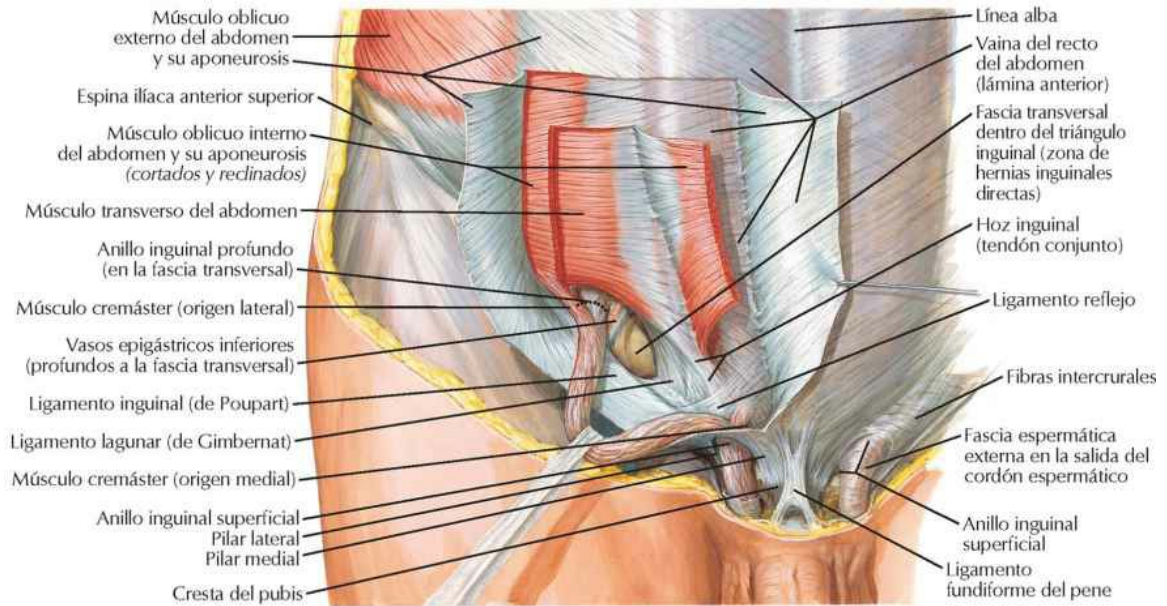
Nervios toracoabdominales



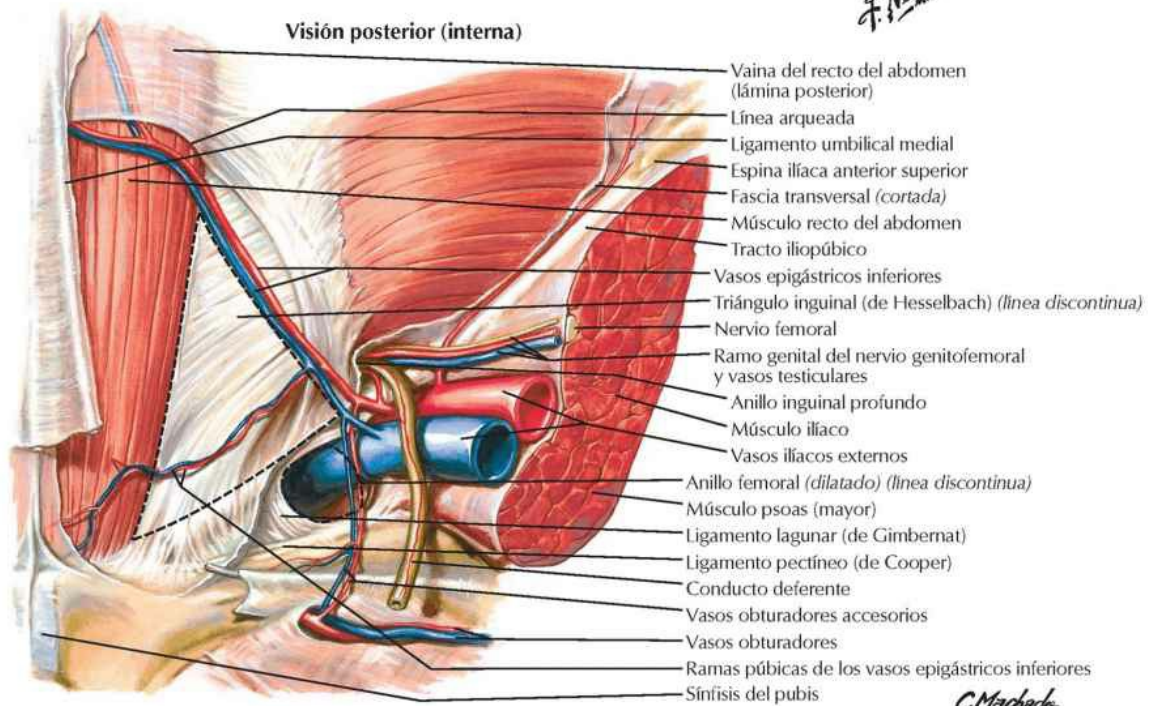
Región inguinal: disecciones

Véanse también láminas 254, 256

Visión anterior



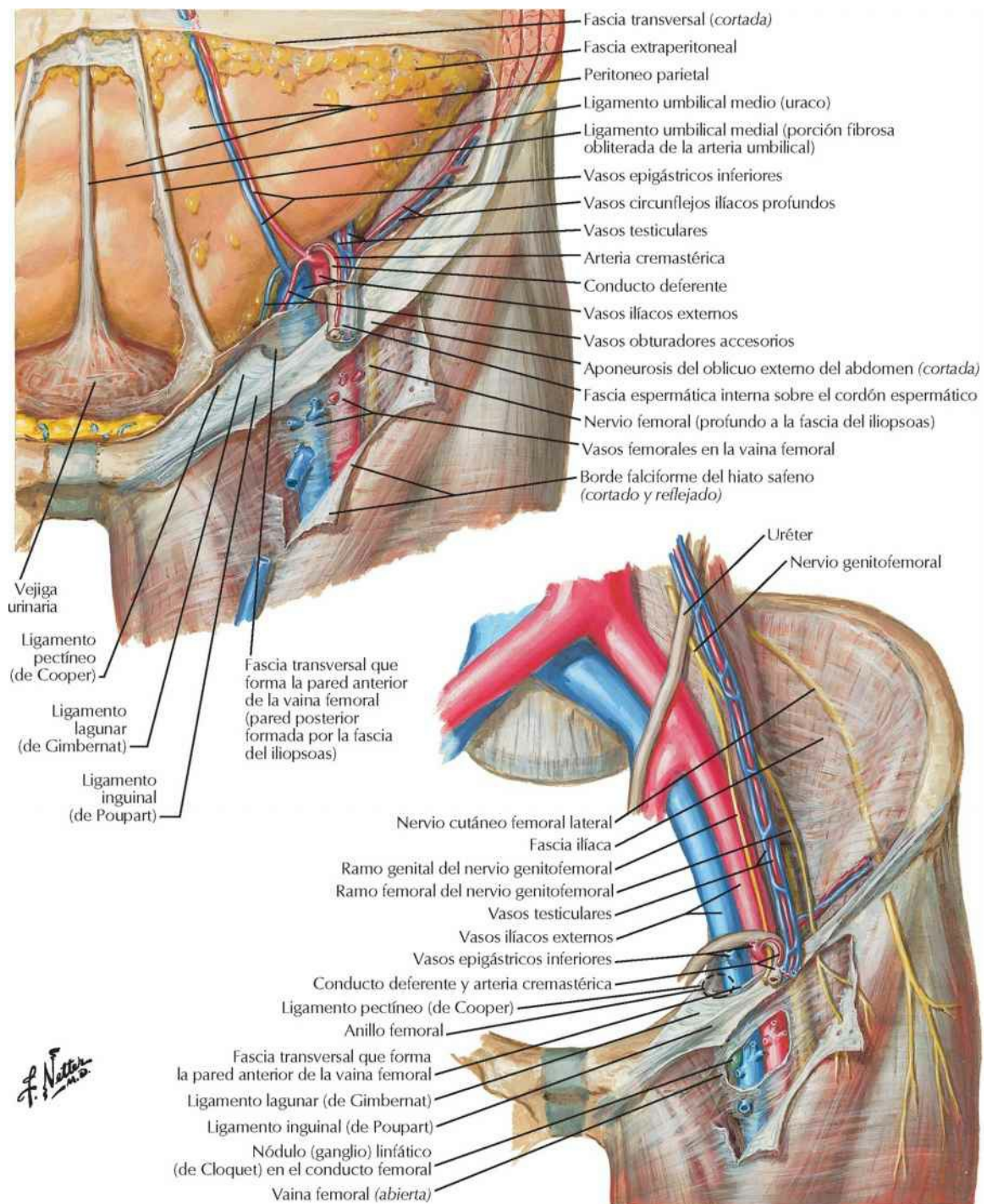
Visión posterior (interna)



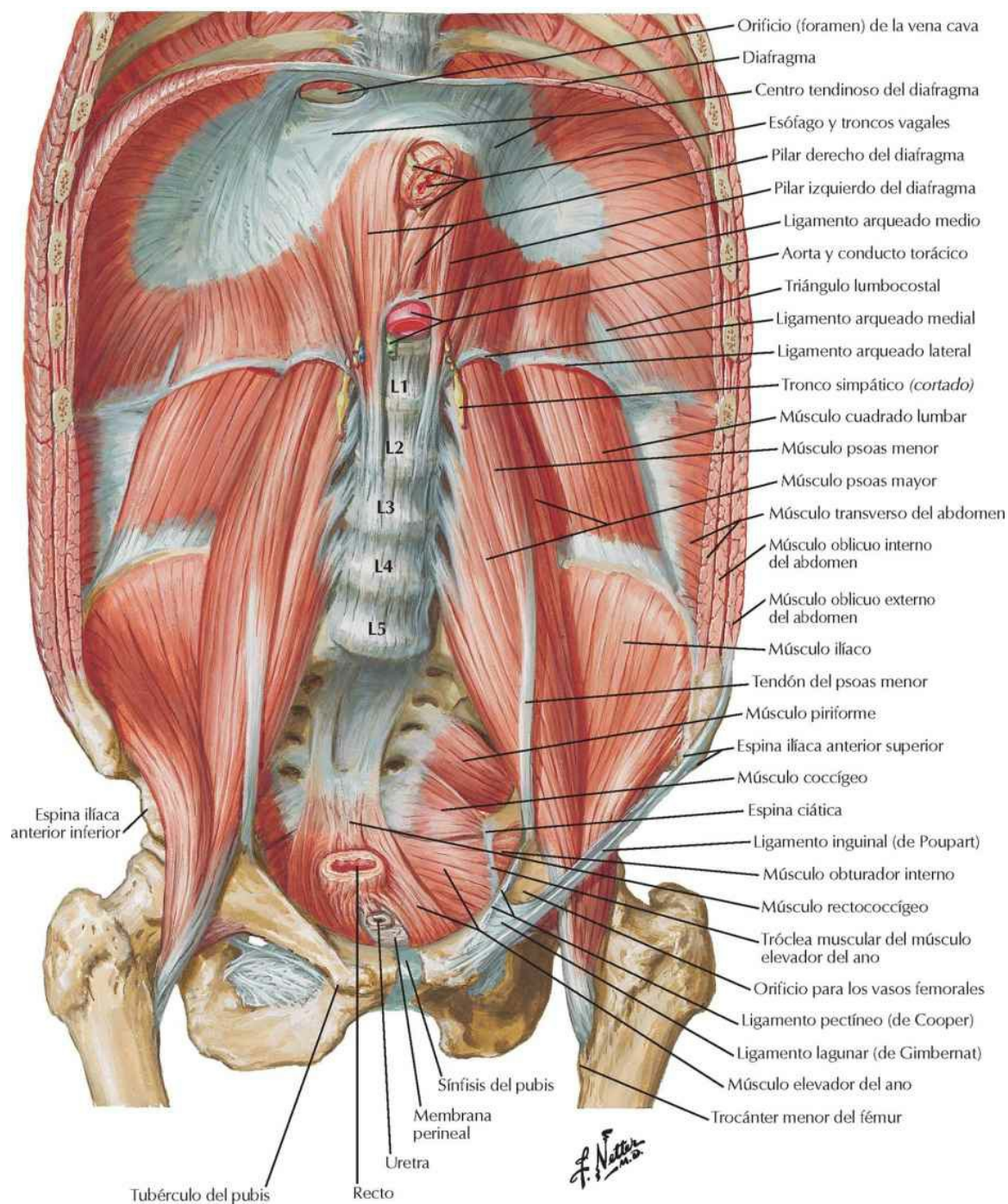
Triángulo de Hesselbach por Carlos Machado, modificado de Frank Netter

Conducto inguinal y cordón espermático

Véanse también láminas 252, 260



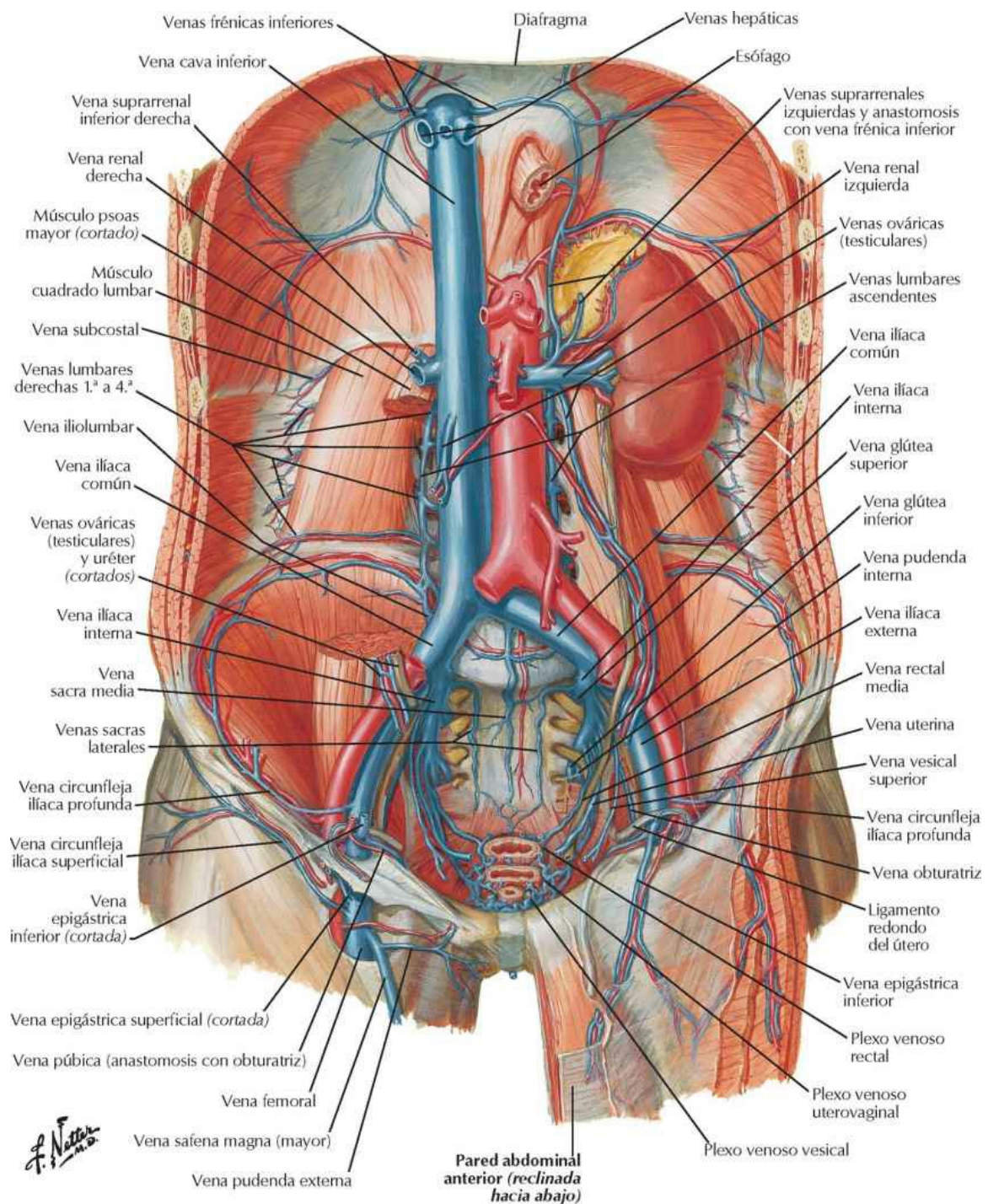
Pared posterior del abdomen: visión interna



Arterias de la pared posterior del abdomen

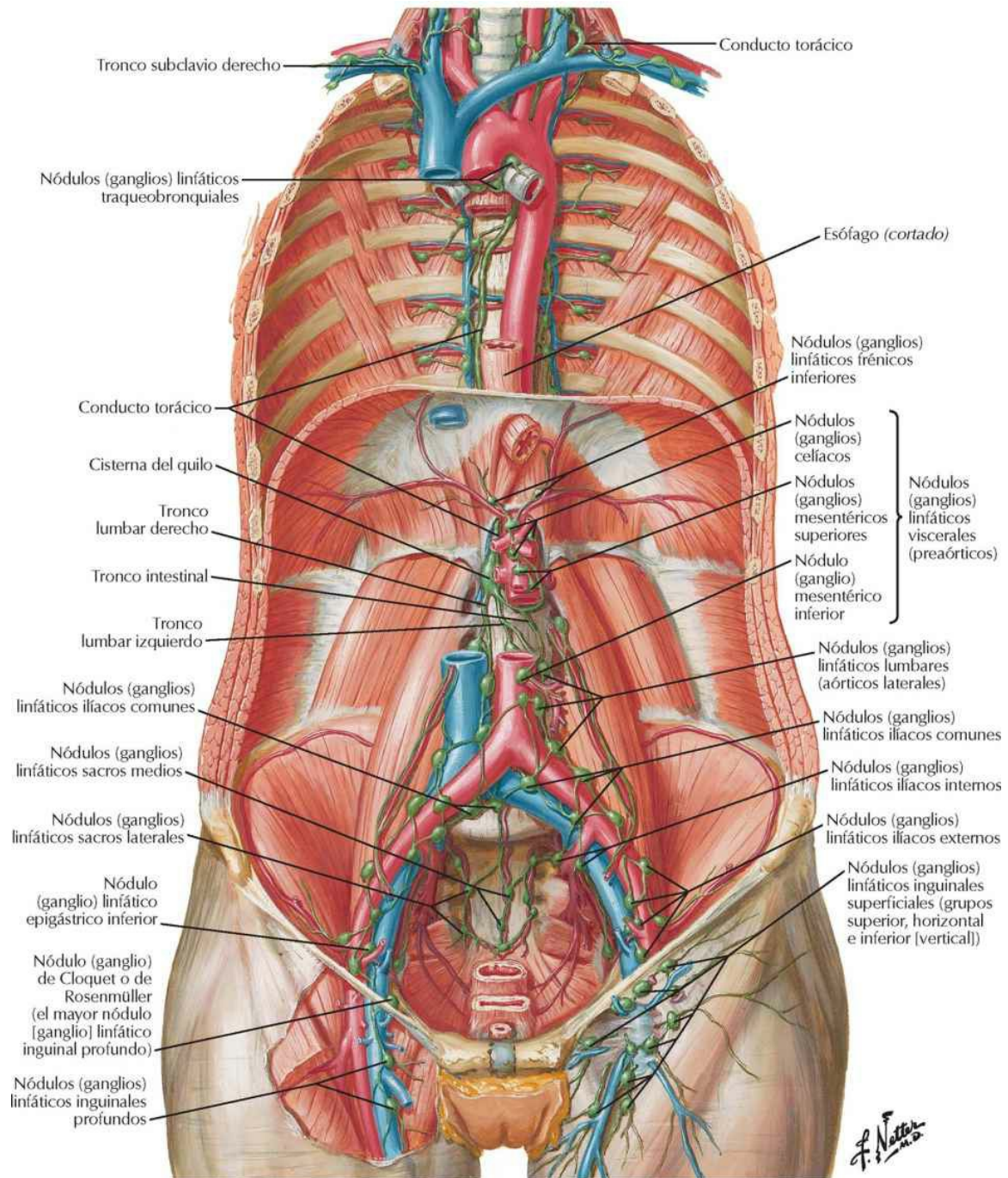
Véanse también láminas 201, 383, 384





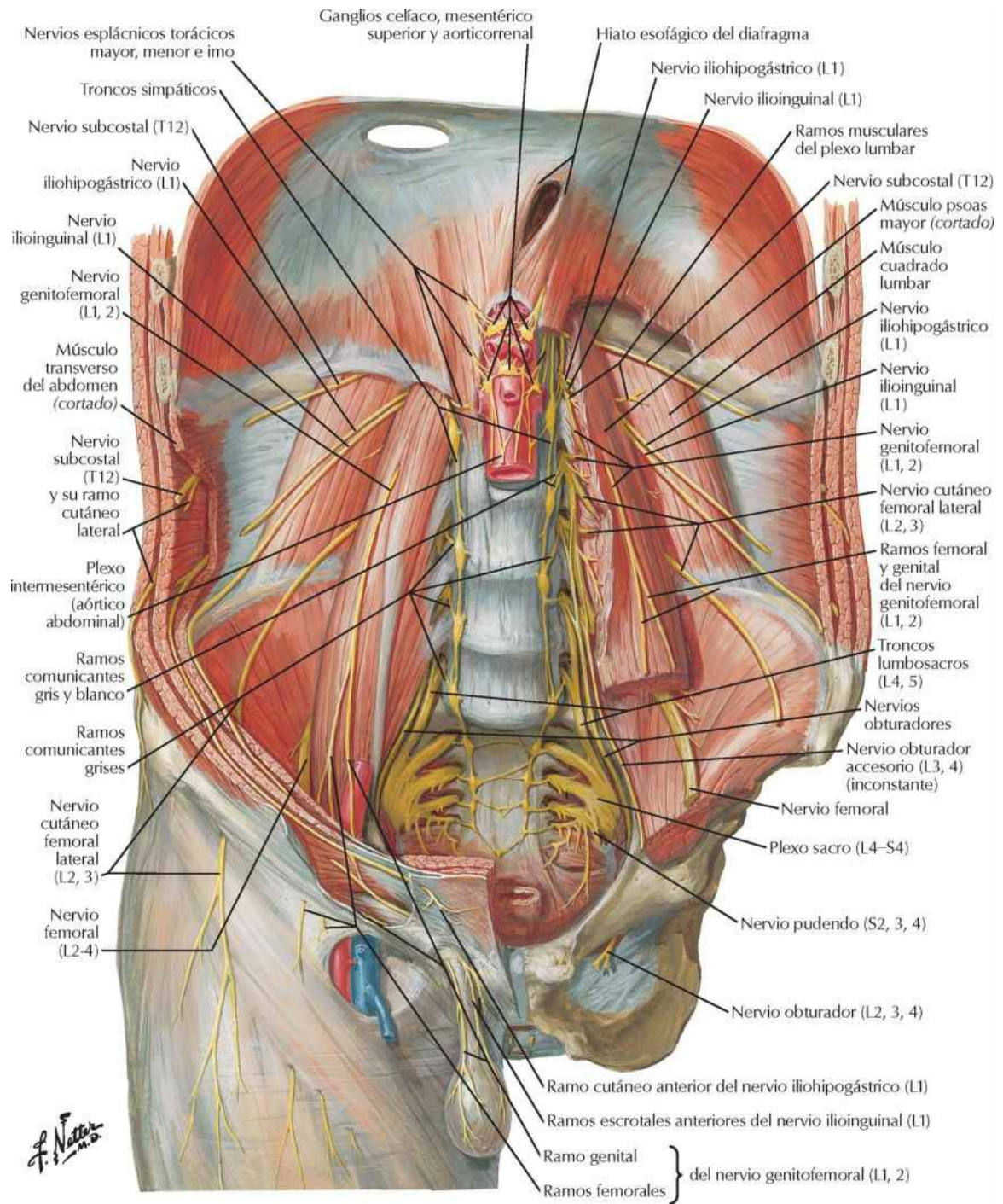
Vasos y nódulos (ganglios) linfáticos de la pared posterior del abdomen

Véanse también láminas 319, 388



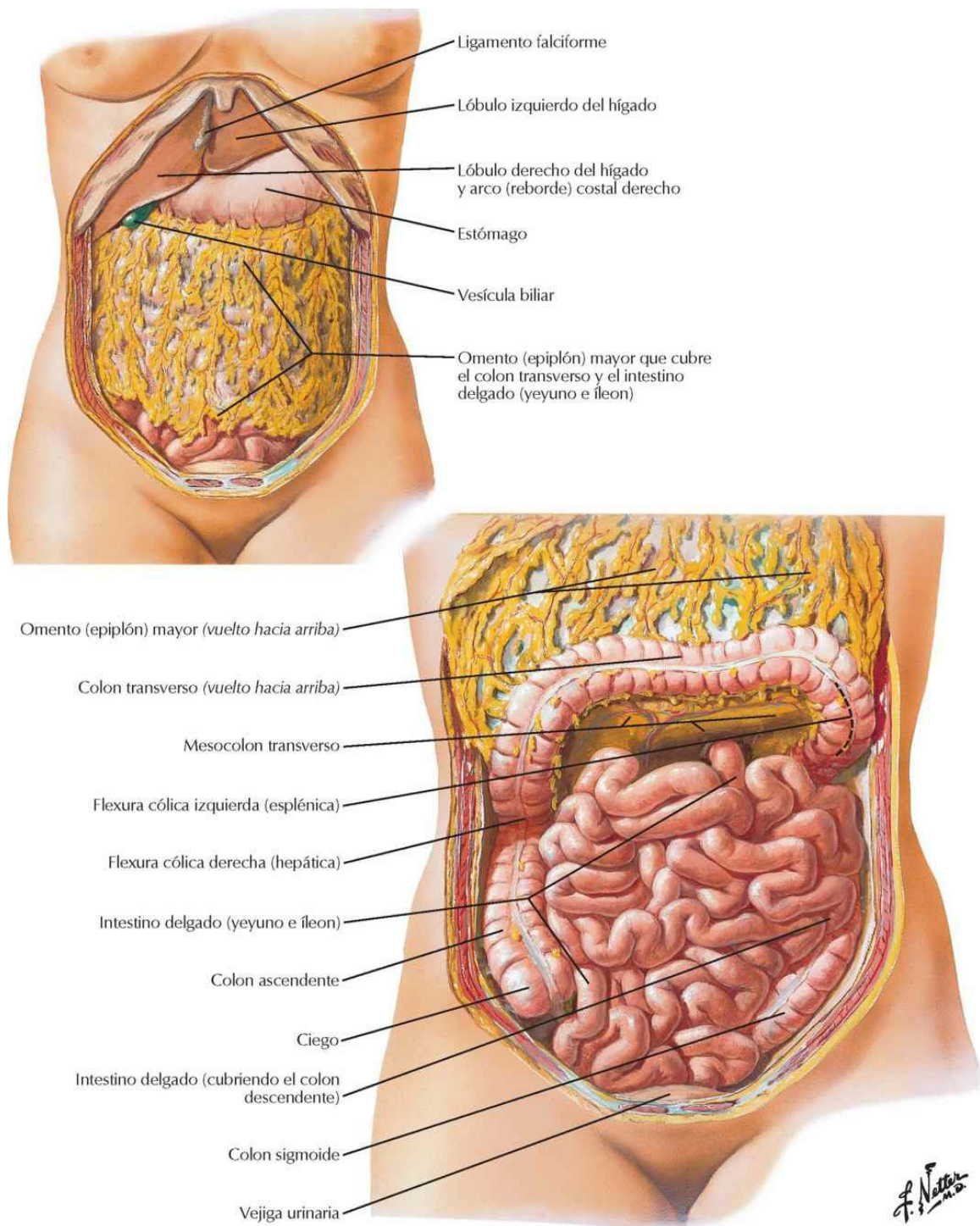
Nervios de la pared posterior del abdomen

Véanse también láminas 201, 392



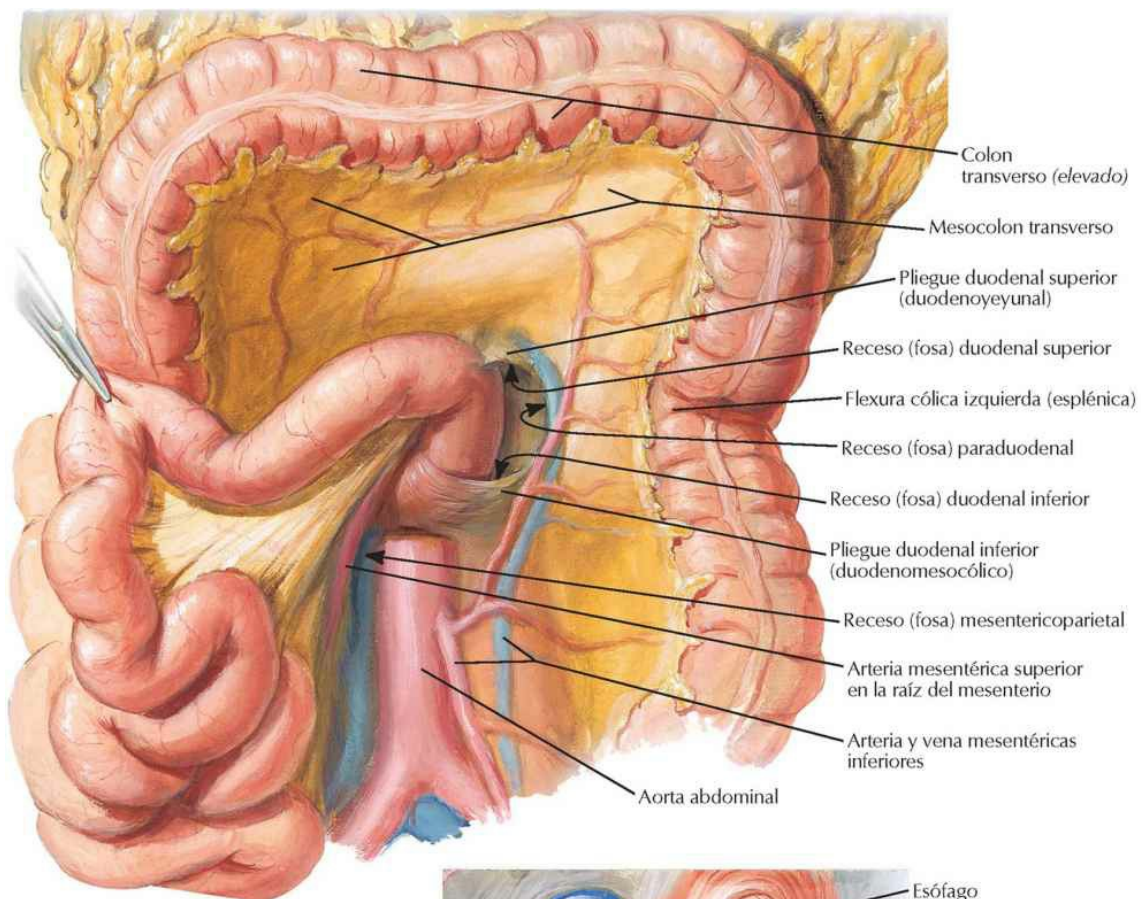
Cavidad peritoneal

Omento (epiplón) mayor y vísceras abdominales

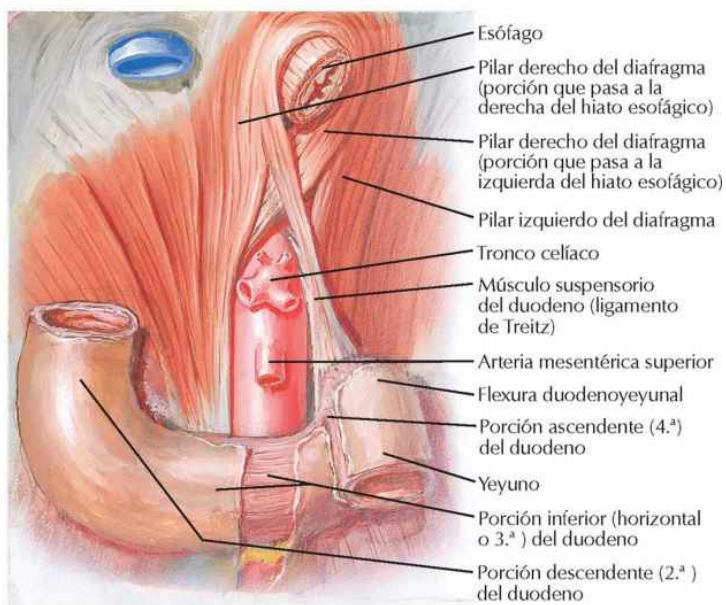


Relaciones mesentéricas de los intestinos

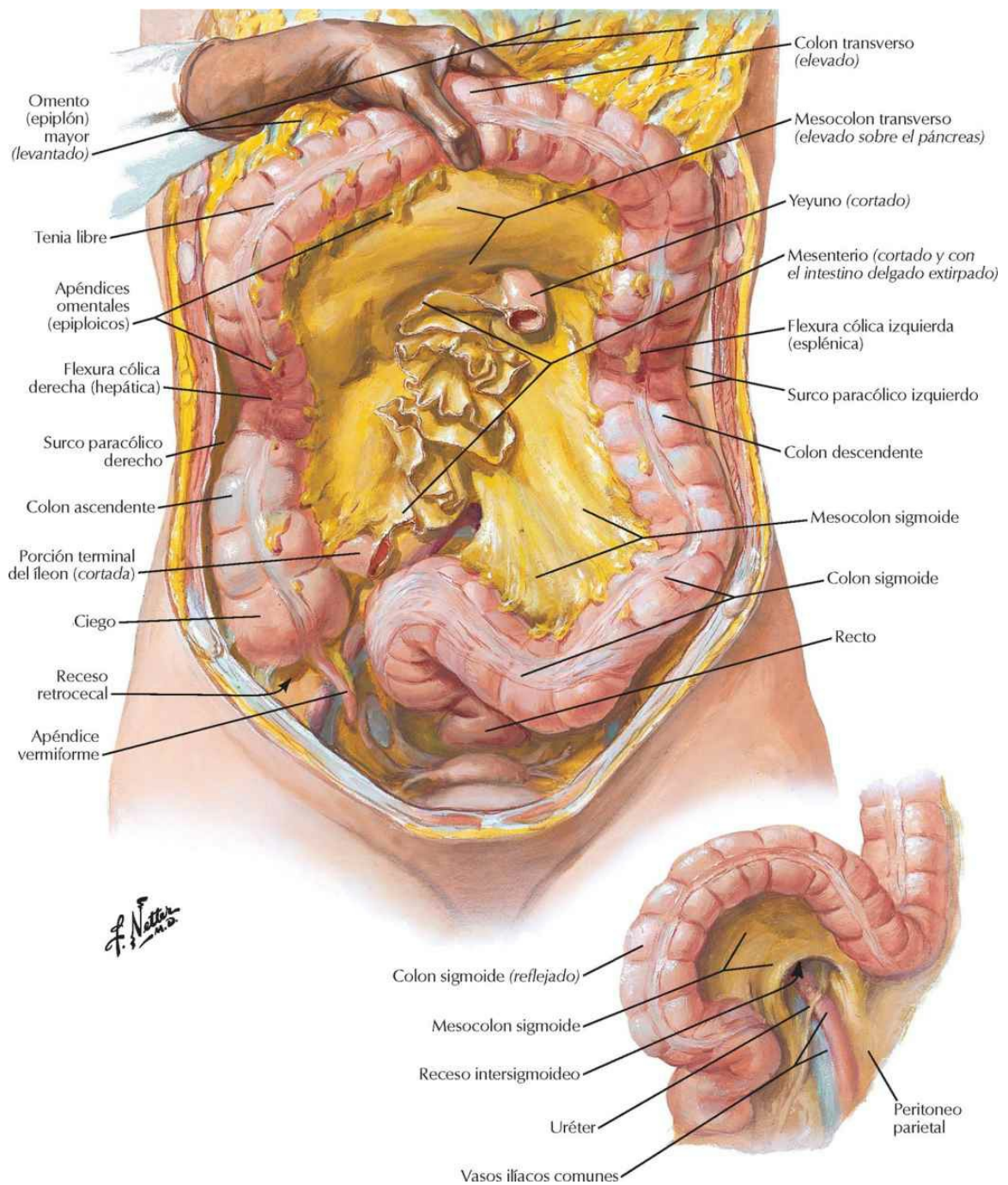
Véase también lámina 288



Exposición del músculo suspensorio del duodeno (ligamento de Treitz)

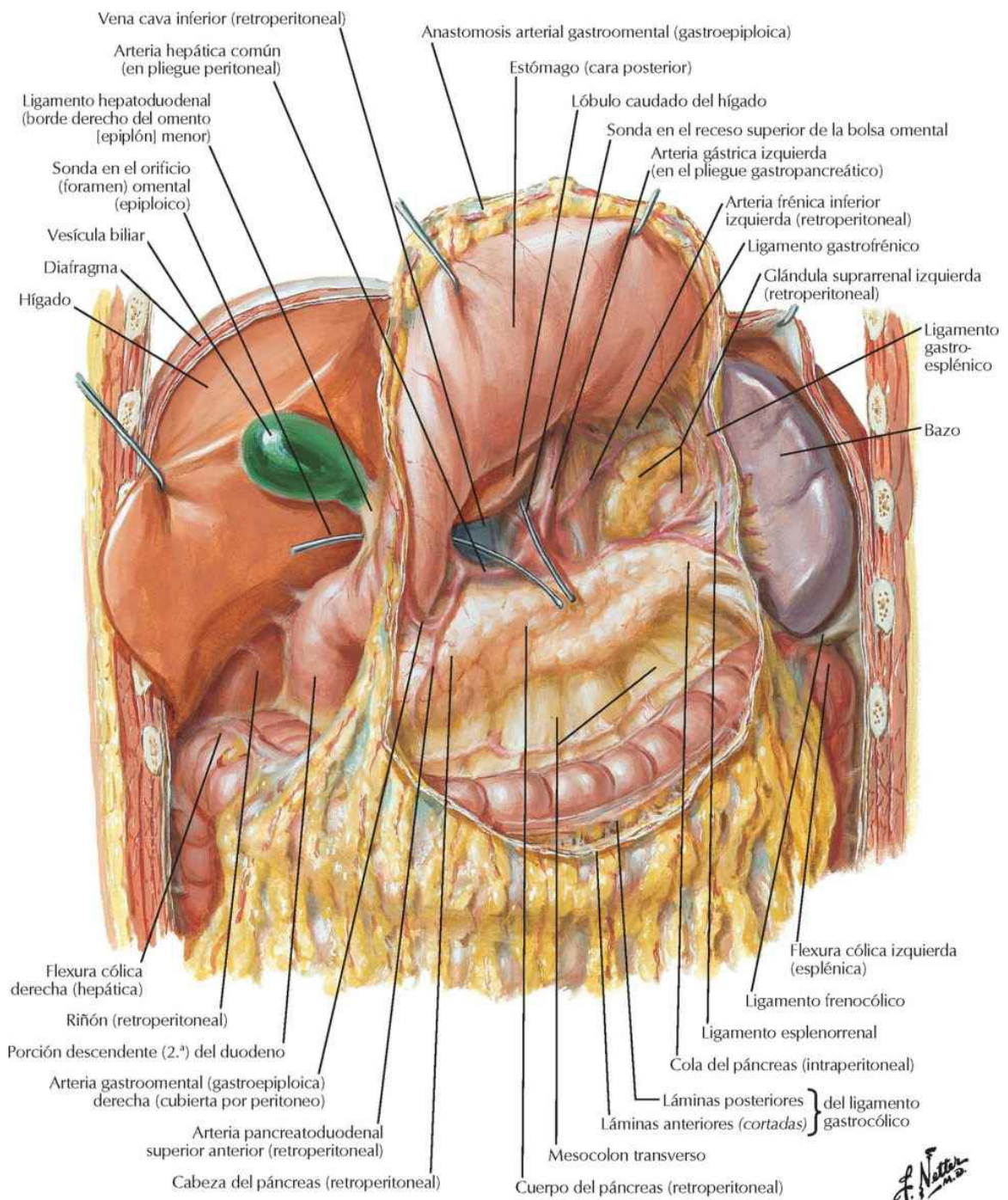


Véase también lámina 295



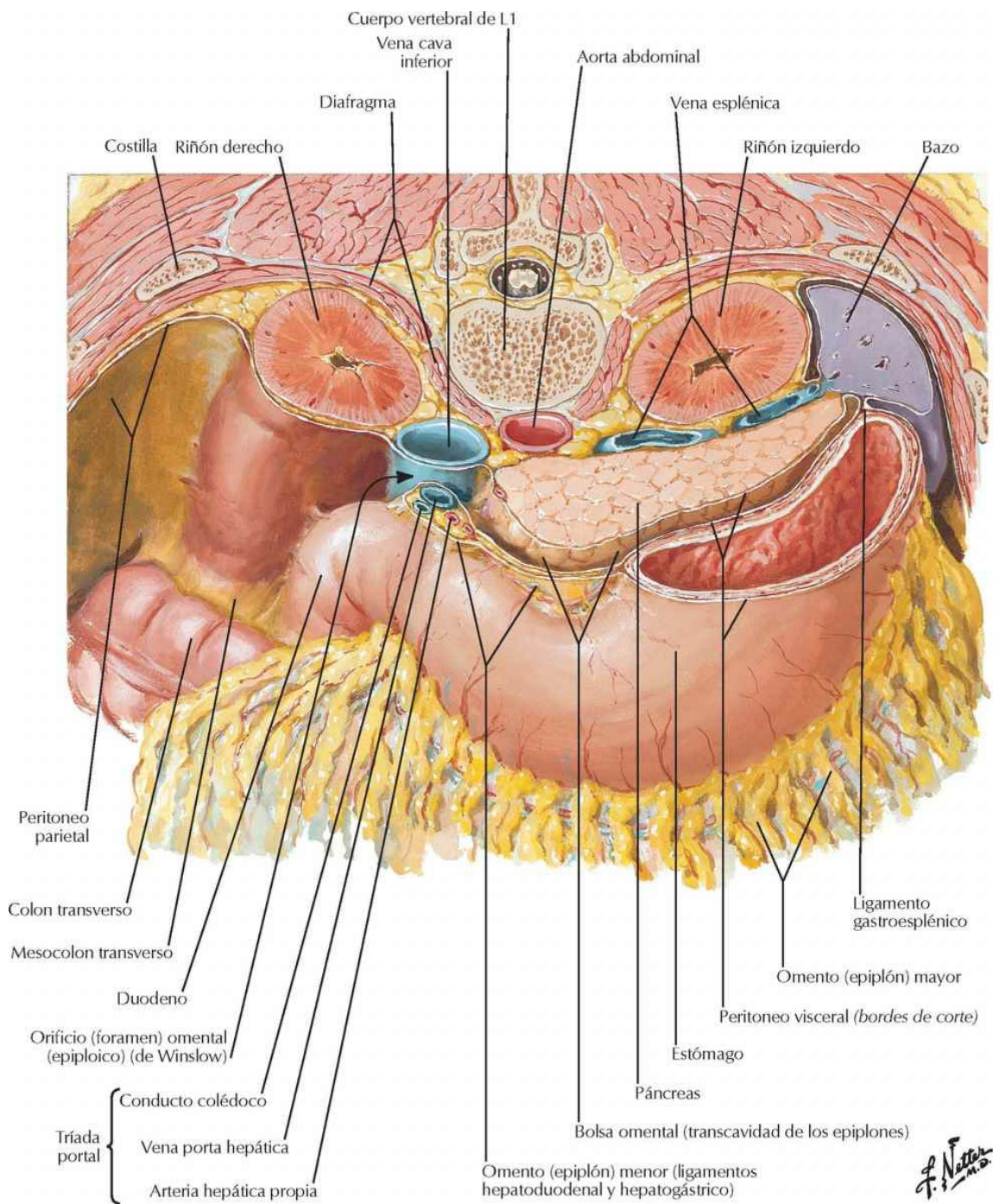
Bolsa omental: estómago reflejado

Véanse también láminas 288, 291



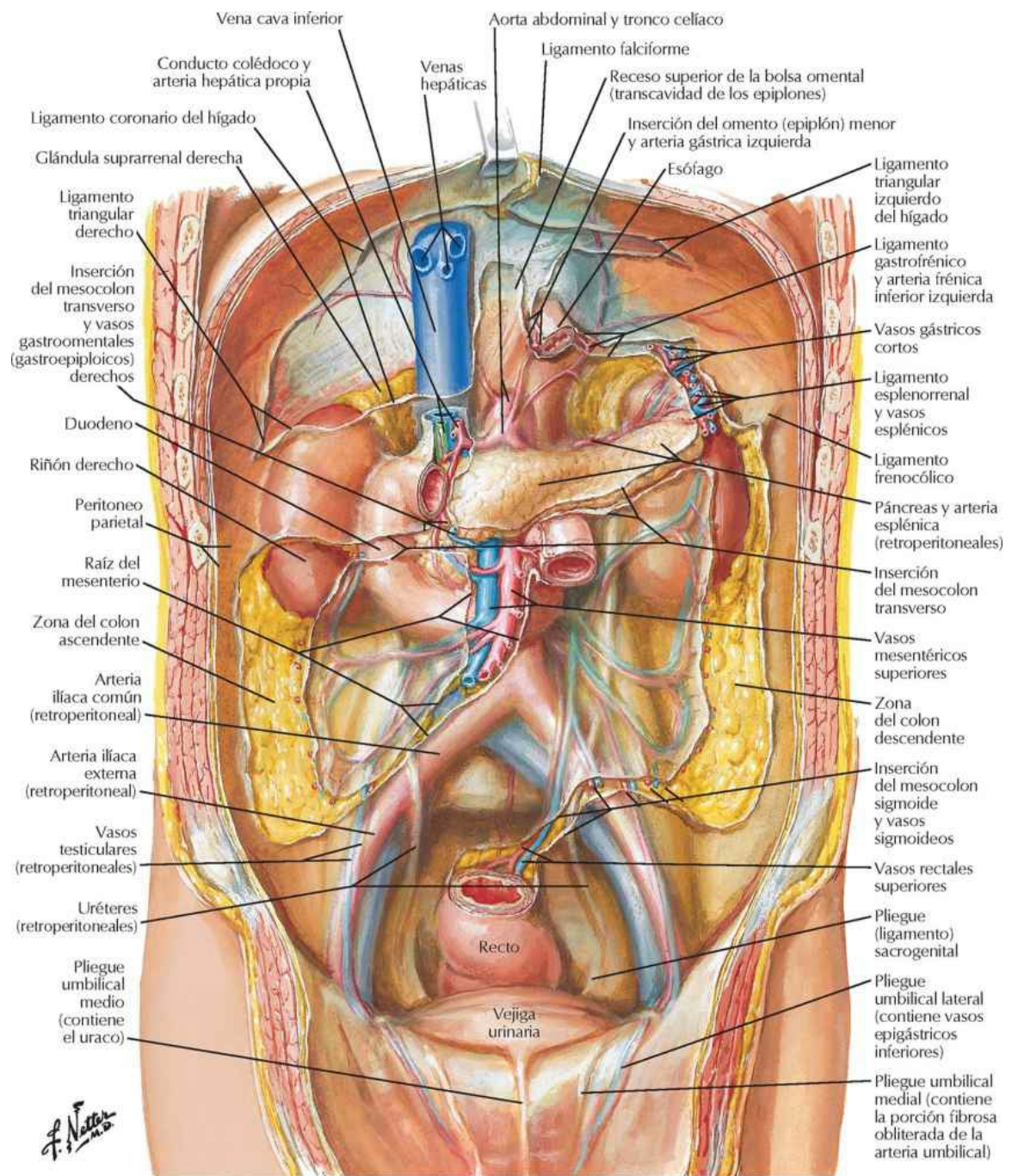
Bolsa omental: sección transversal

Véase también lámina 276



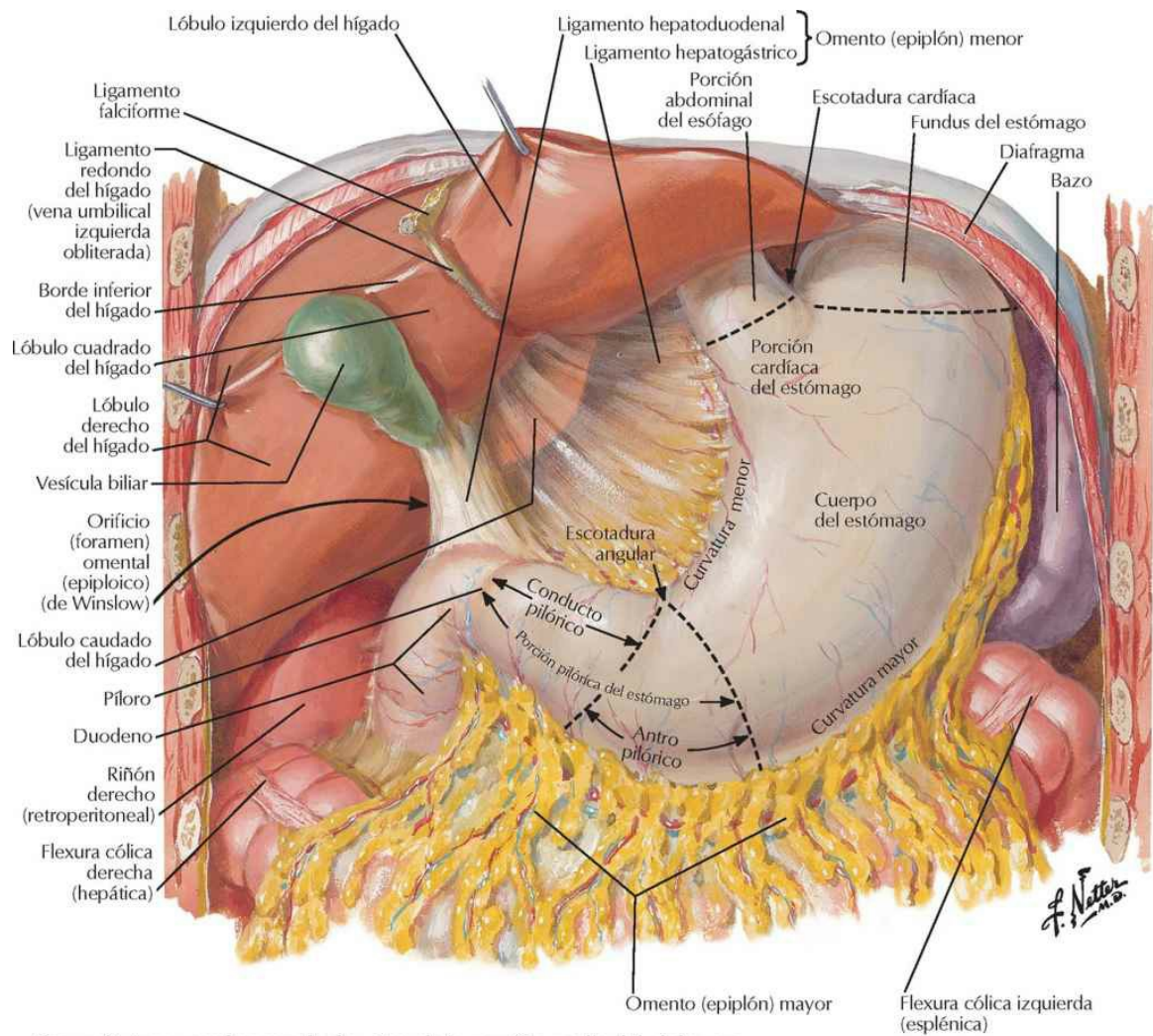
Peritoneo de la pared posterior del abdomen

Véase también lámina 278



Vísceras (intestino)

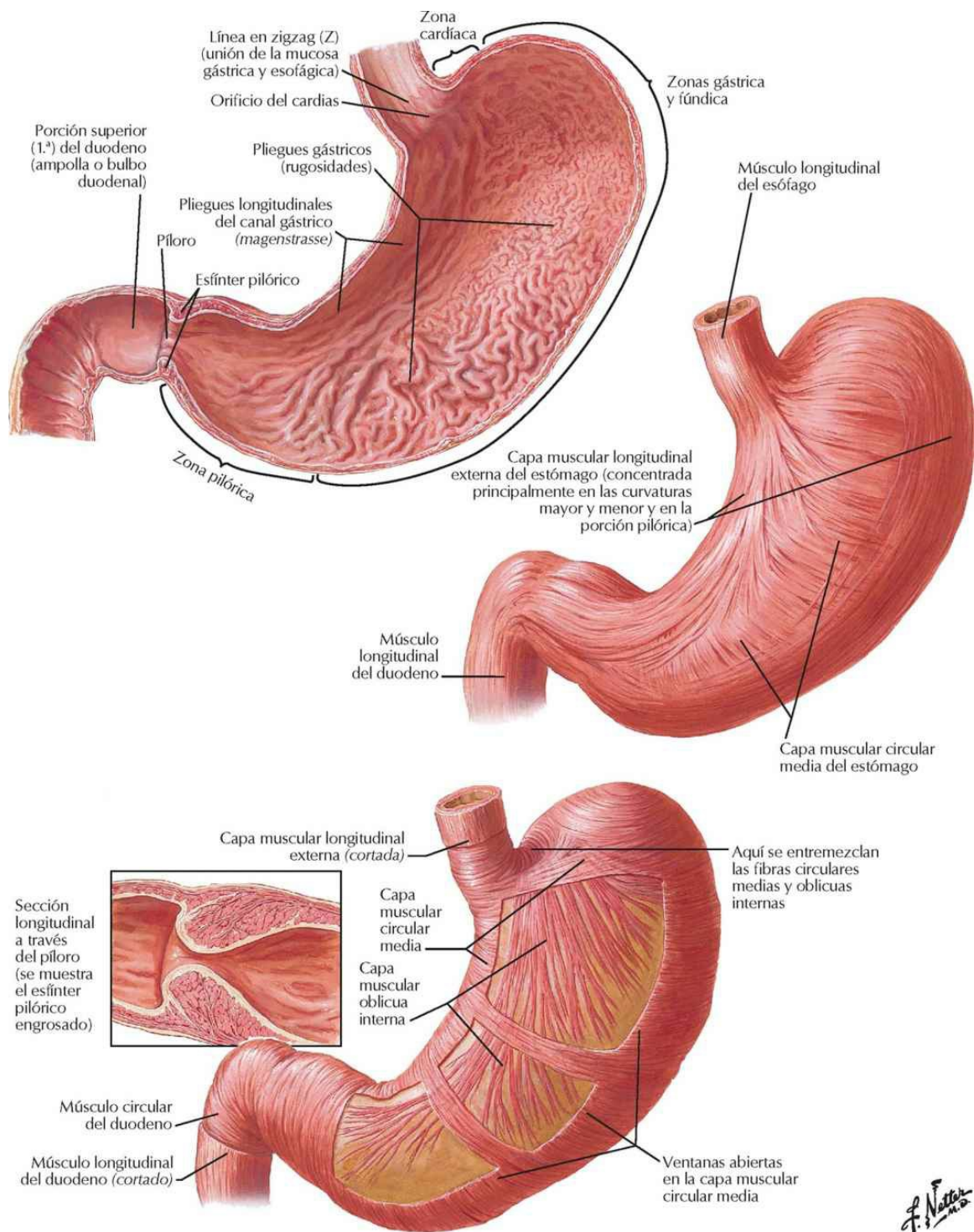
Estómago *in situ*



Ecografía transversal en escala de grises de la porción media del abdomen

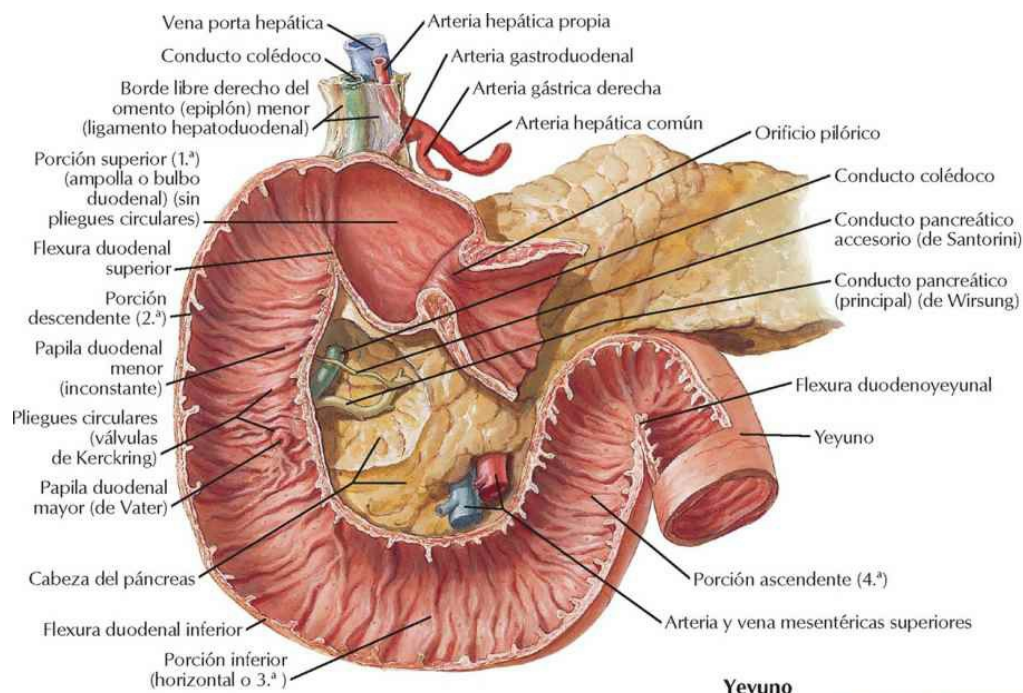


Mucosa del estómago

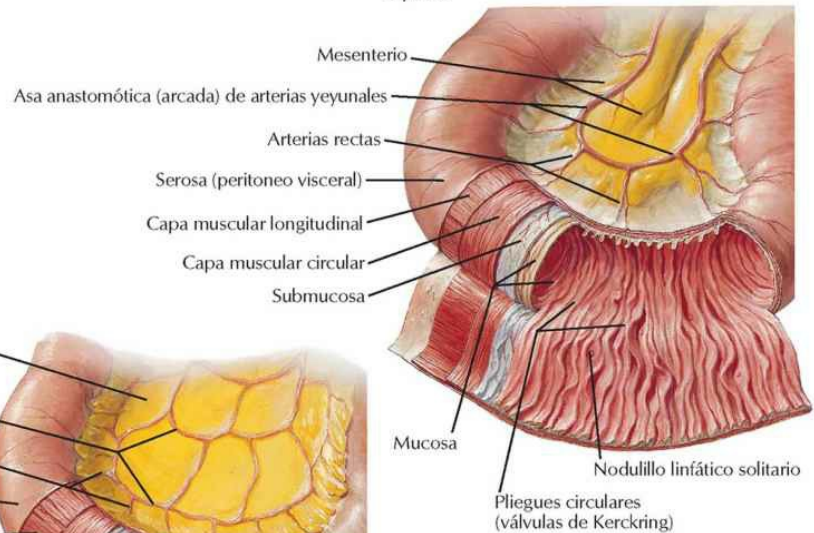


Duodeno *in situ*

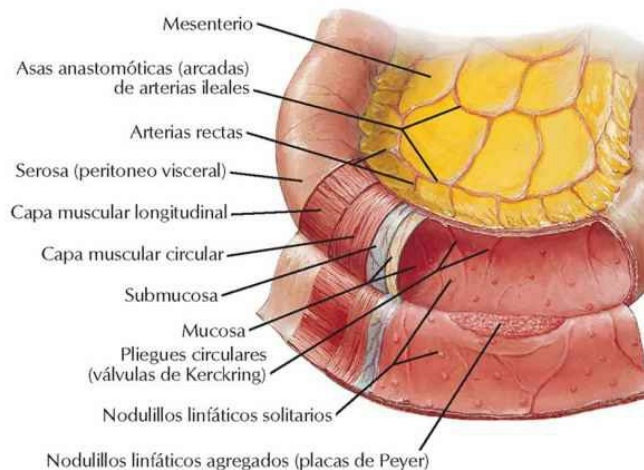
Véase también lámina 275



Yeyuno



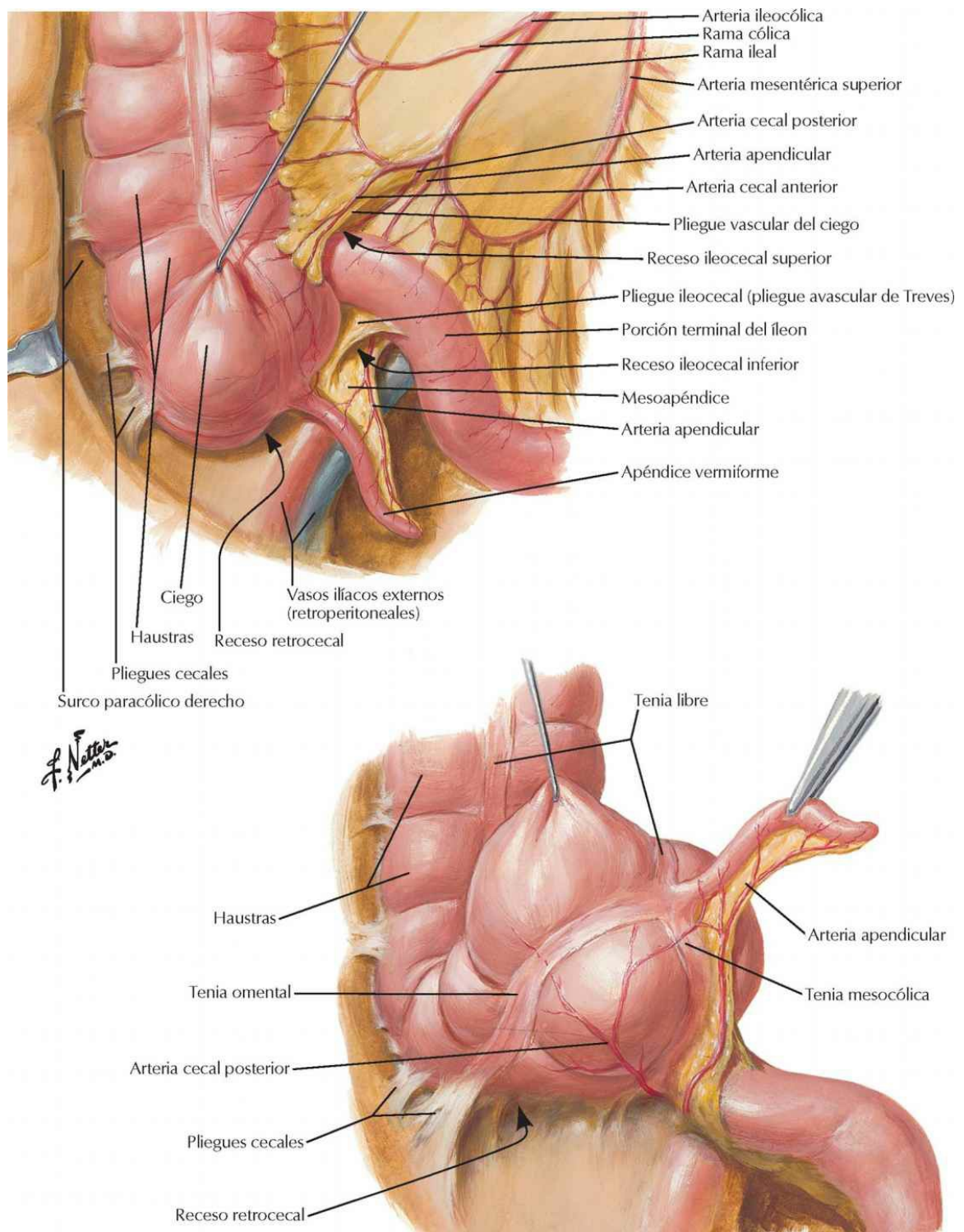
Íleon

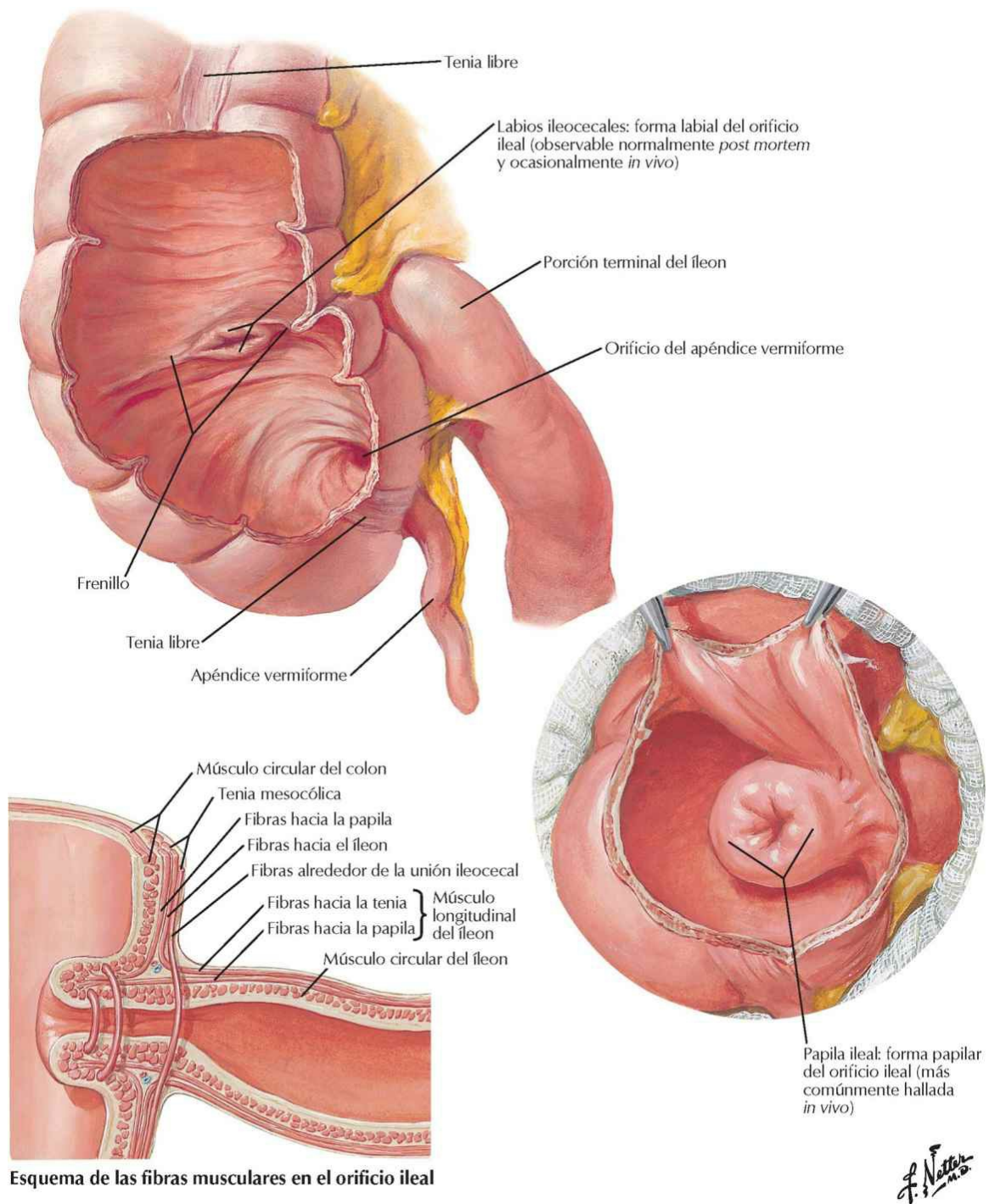


F. Netter M.D.

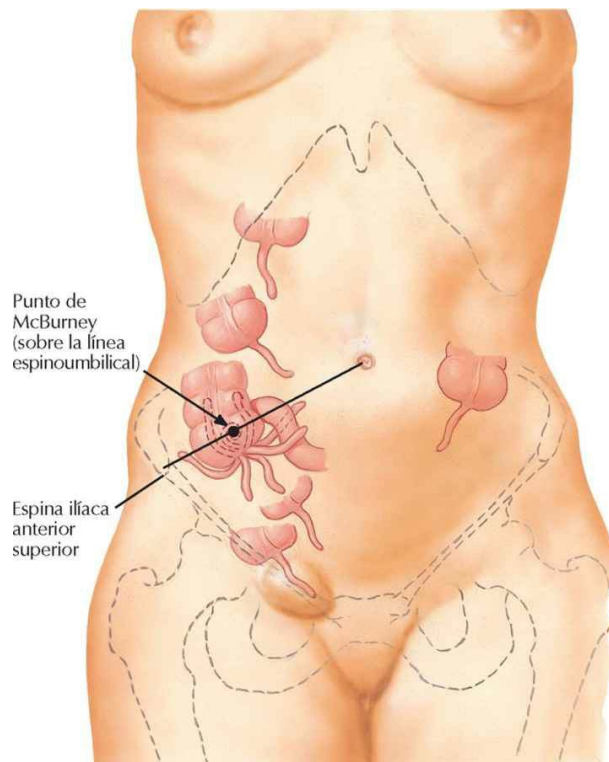
Región ileocecal

Véanse también láminas 294, 295

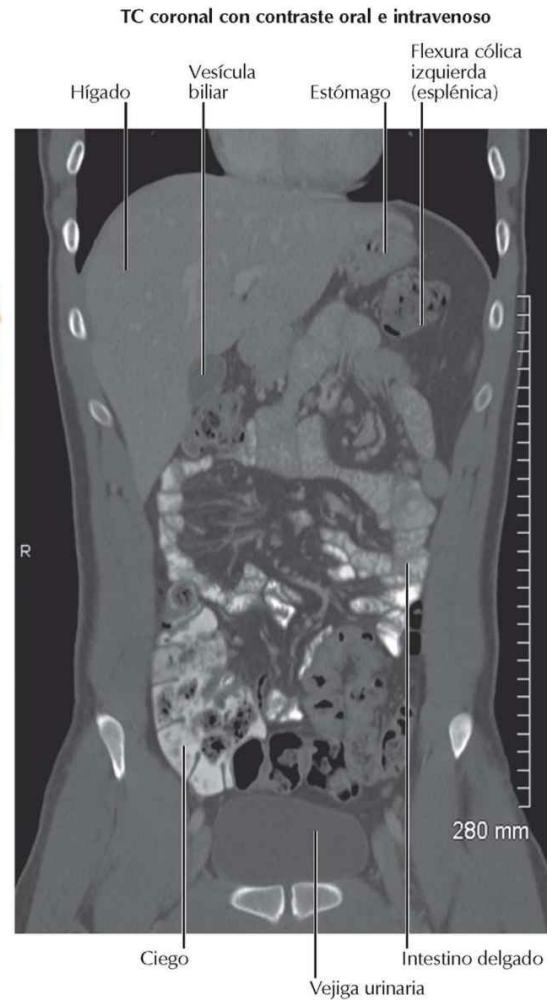
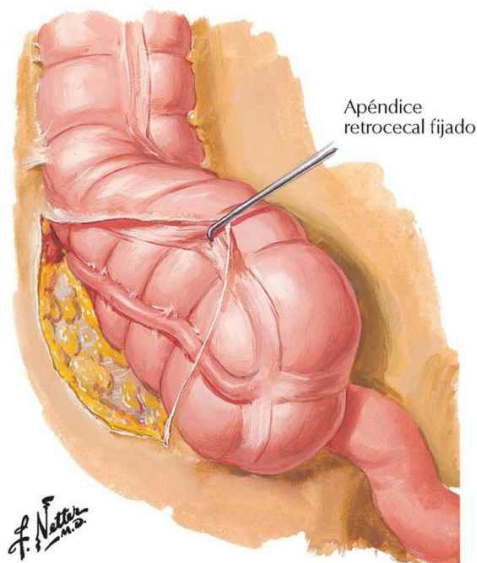




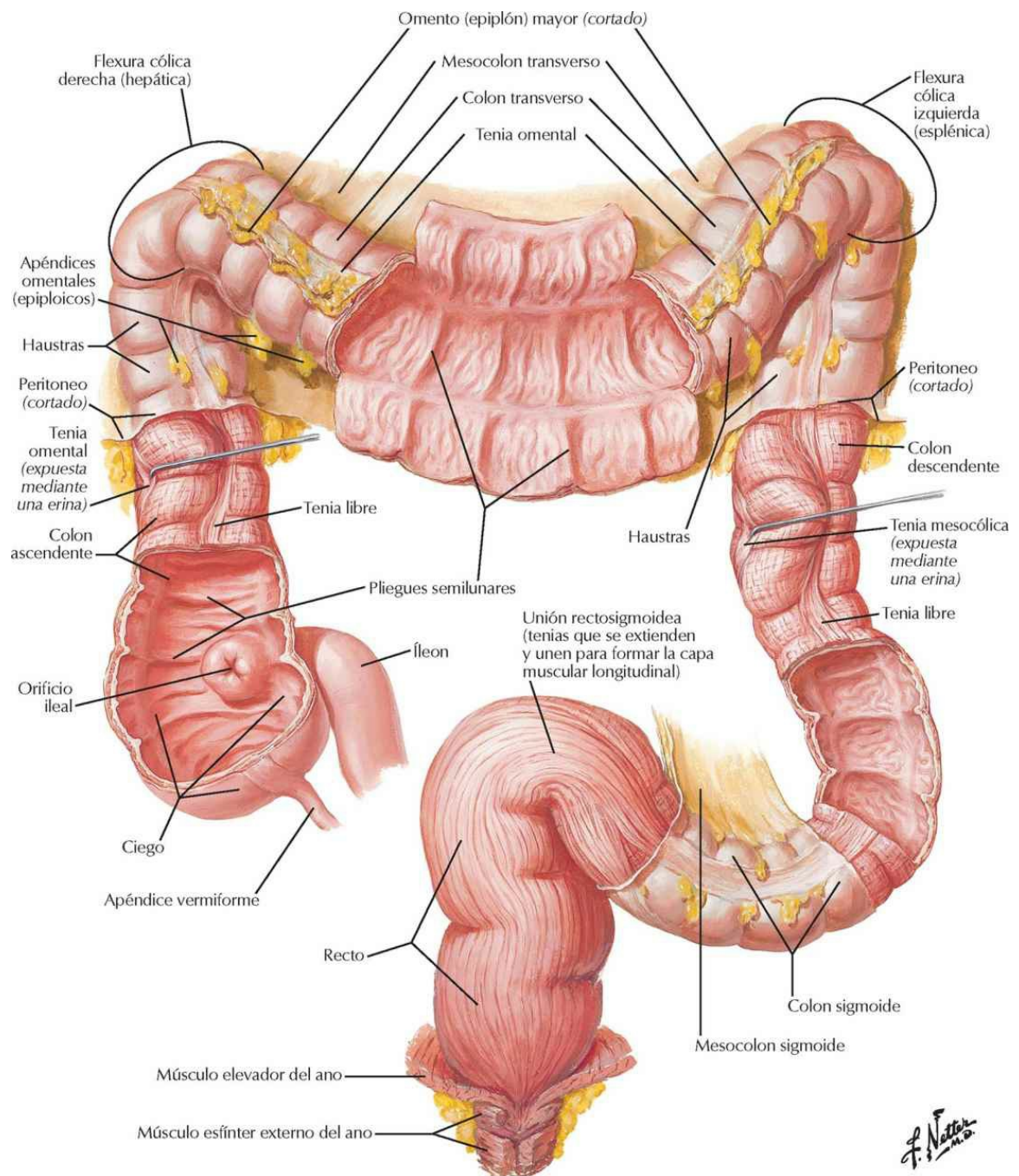
Apéndice vermiforme



Variaciones en la posición del apéndice vermiforme



Mucosa y musculatura del intestino grueso
Véase también lámina 295

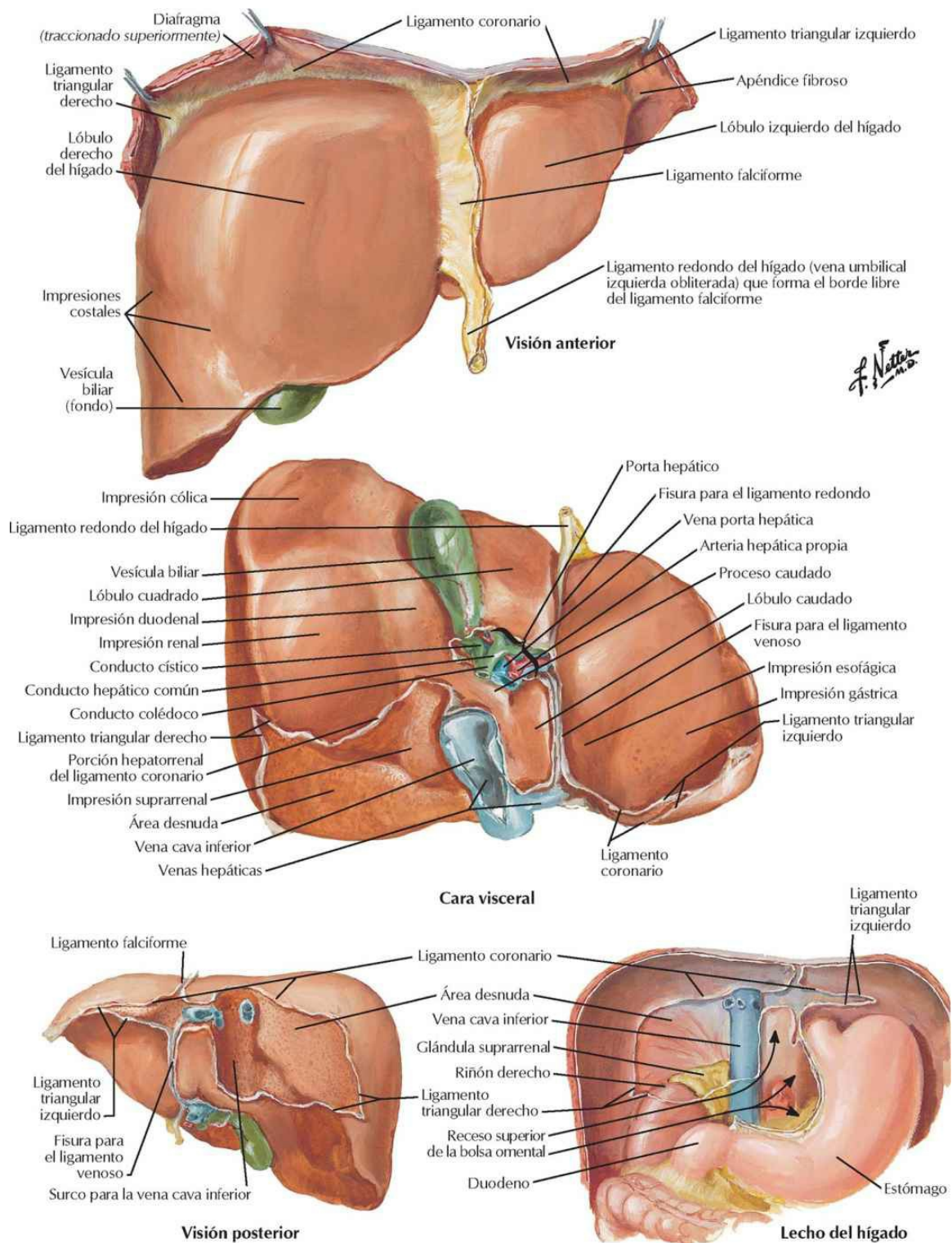


F. Netter M.D.

Vísceras (órganos accesorios)

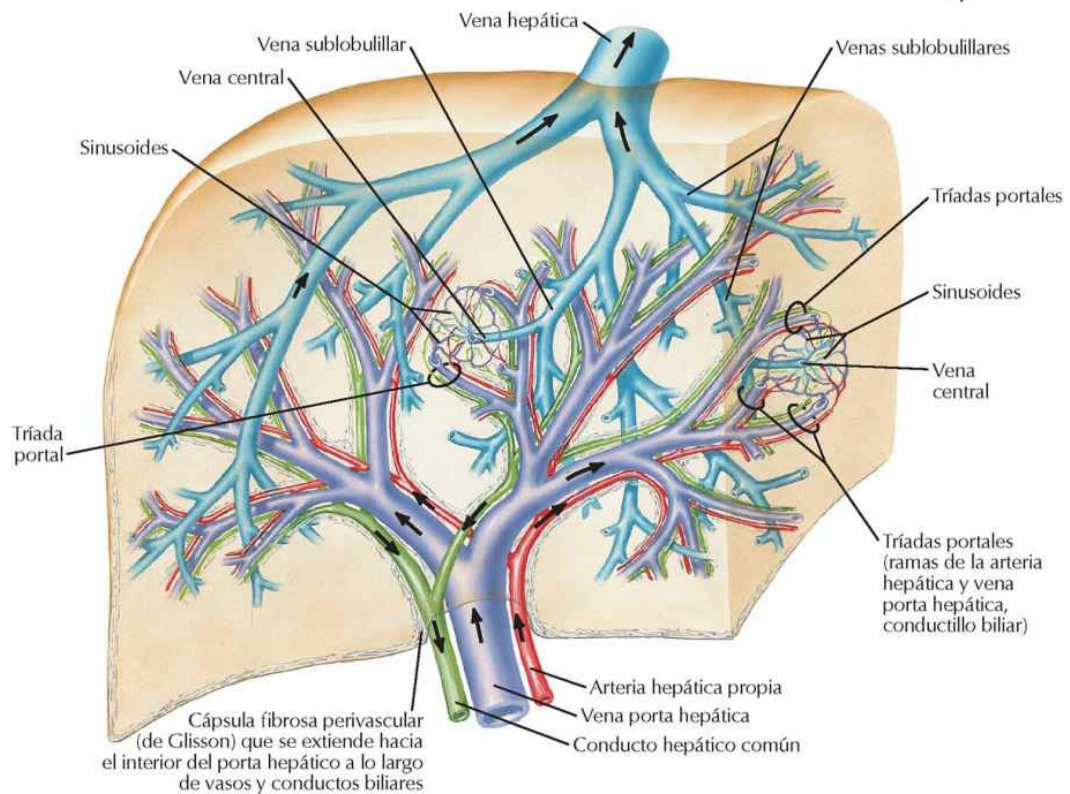
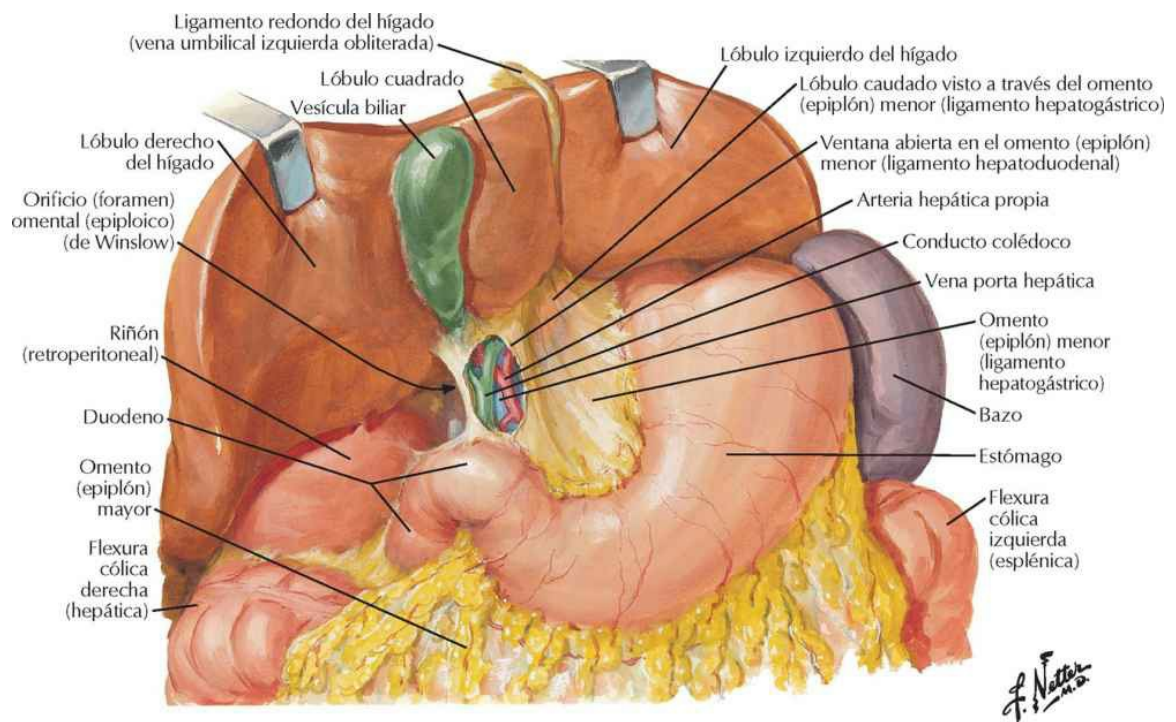
Caras y lecho del hígado

Véase también lámina 275

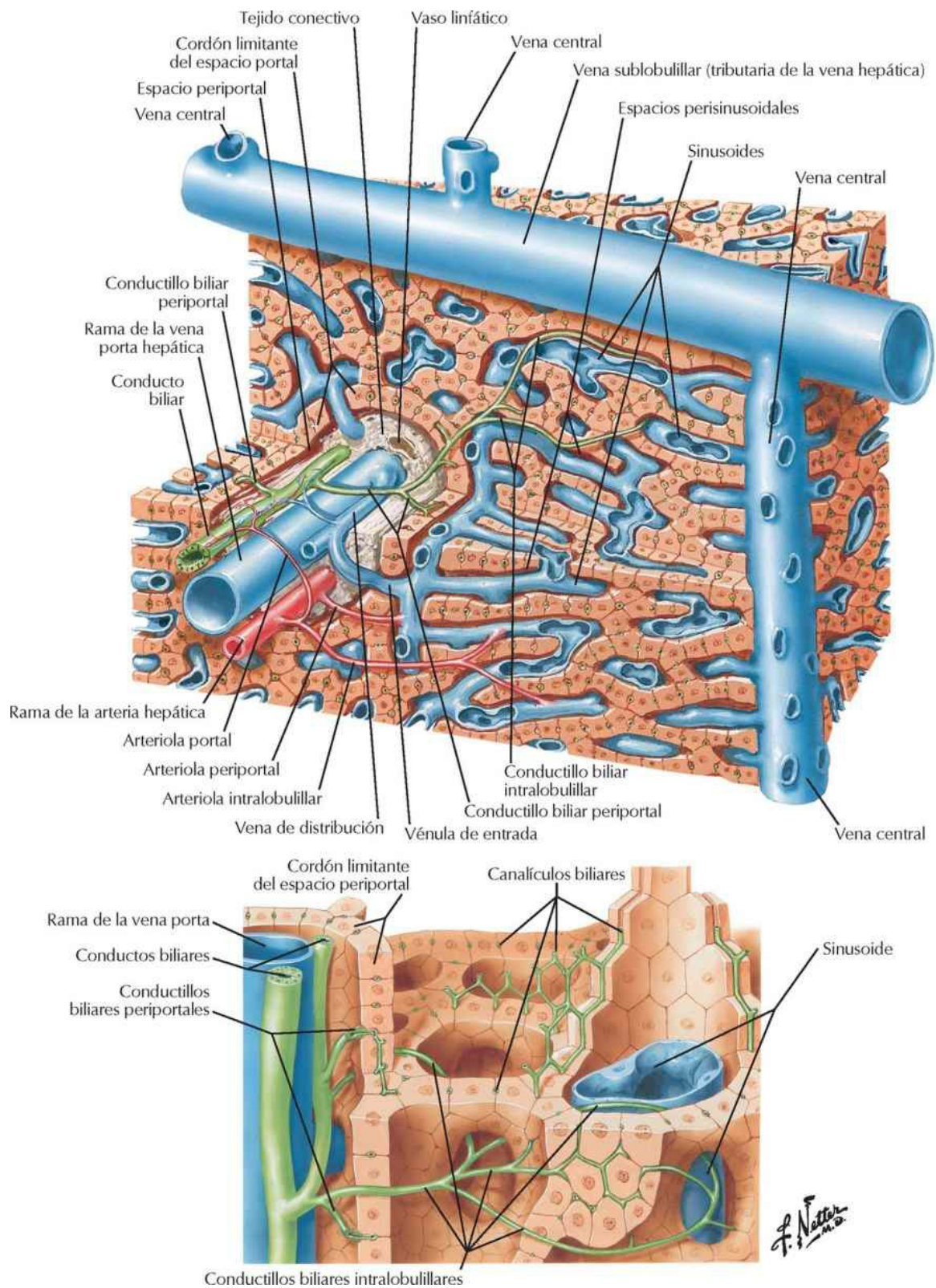


Hígado *in situ*: sistemas vascular y de conductos

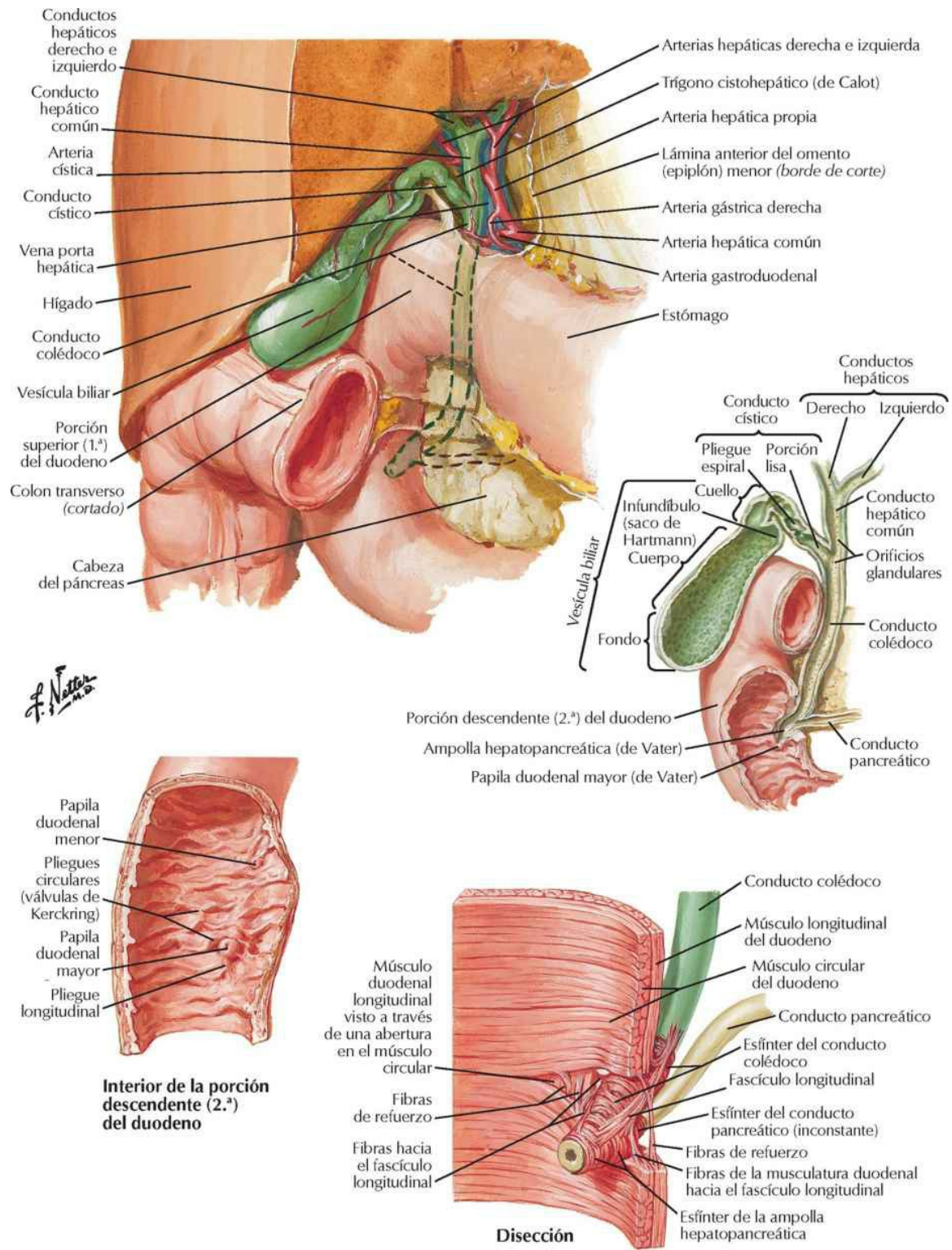
Véase también lámina 274



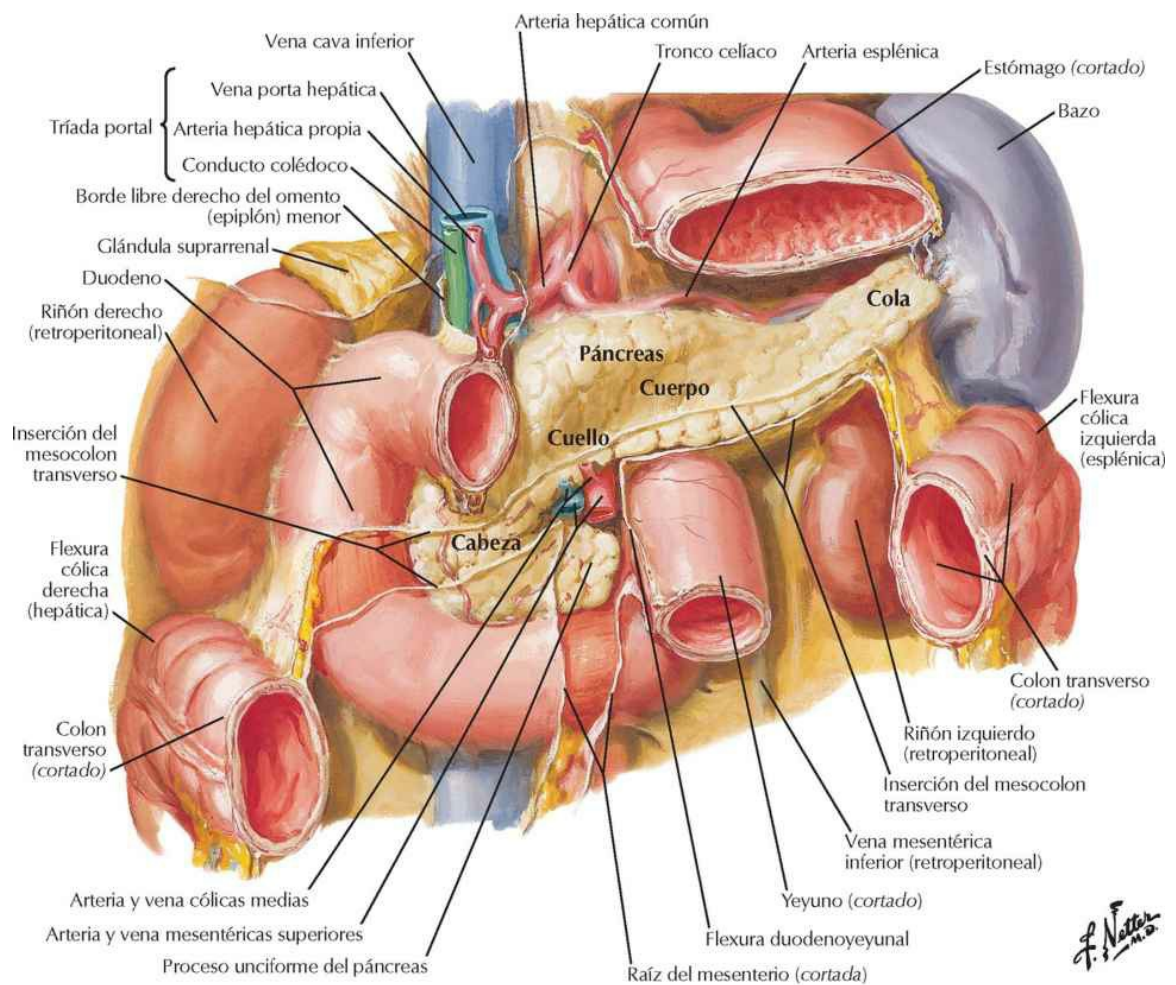
Estructura del hígado: esquema



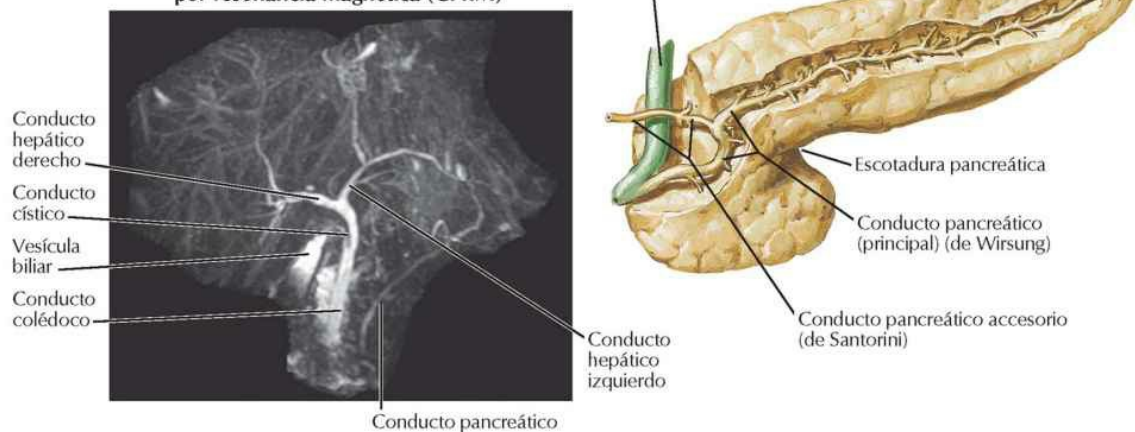
Vesícula biliar, conductos biliares extrahepáticos, conducto pancreático



Páncreas *in situ*

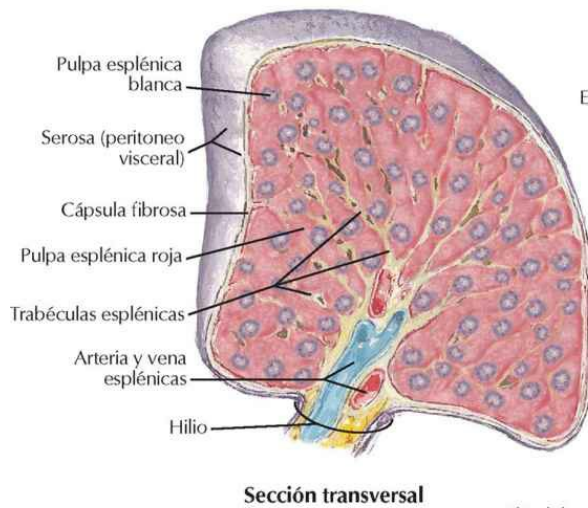
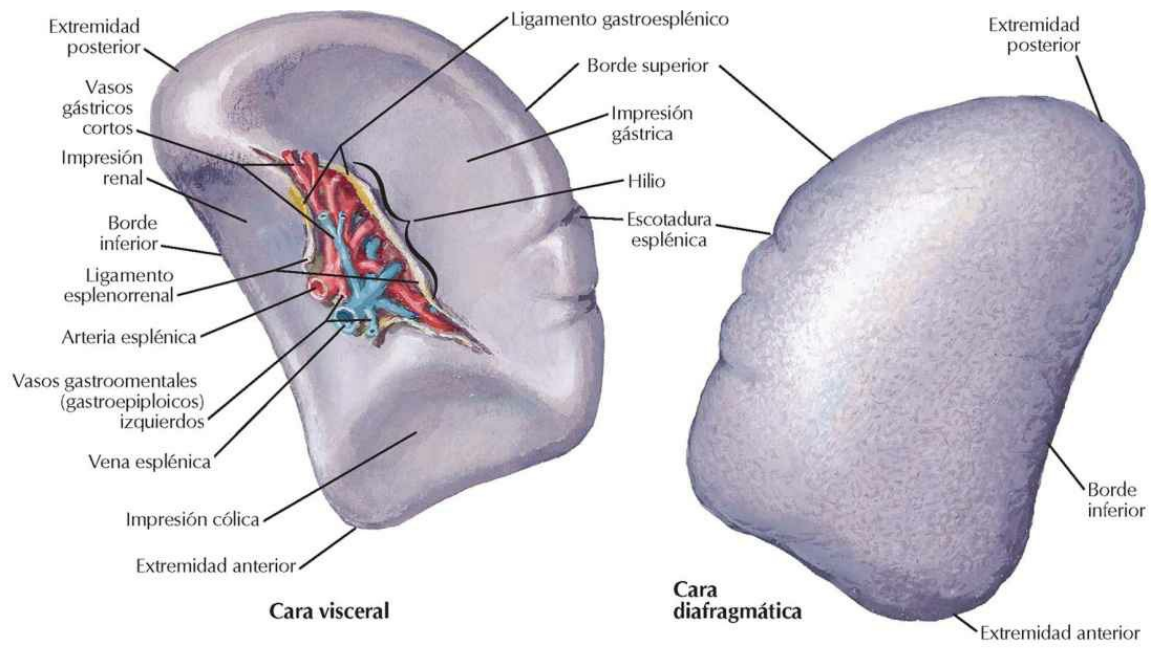


Colangiopancreatografía por resonancia magnética (CPRM)

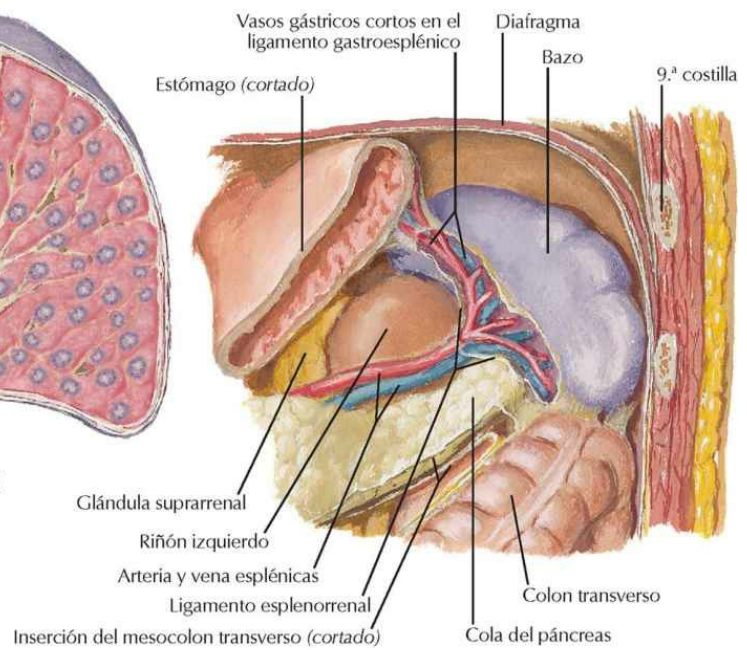


Bazo

Véase también lámina 273



Sección transversal

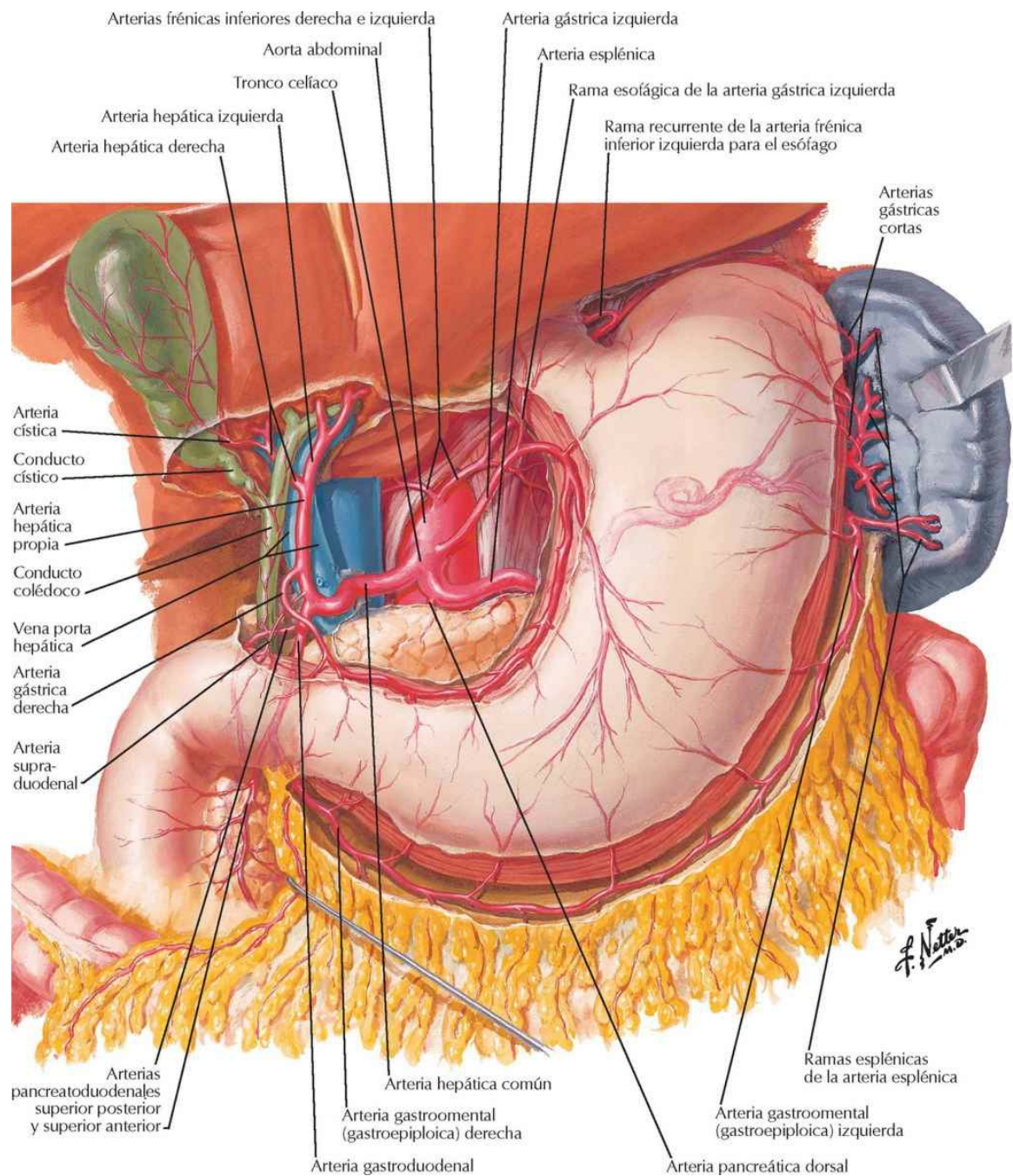


Bazo in situ

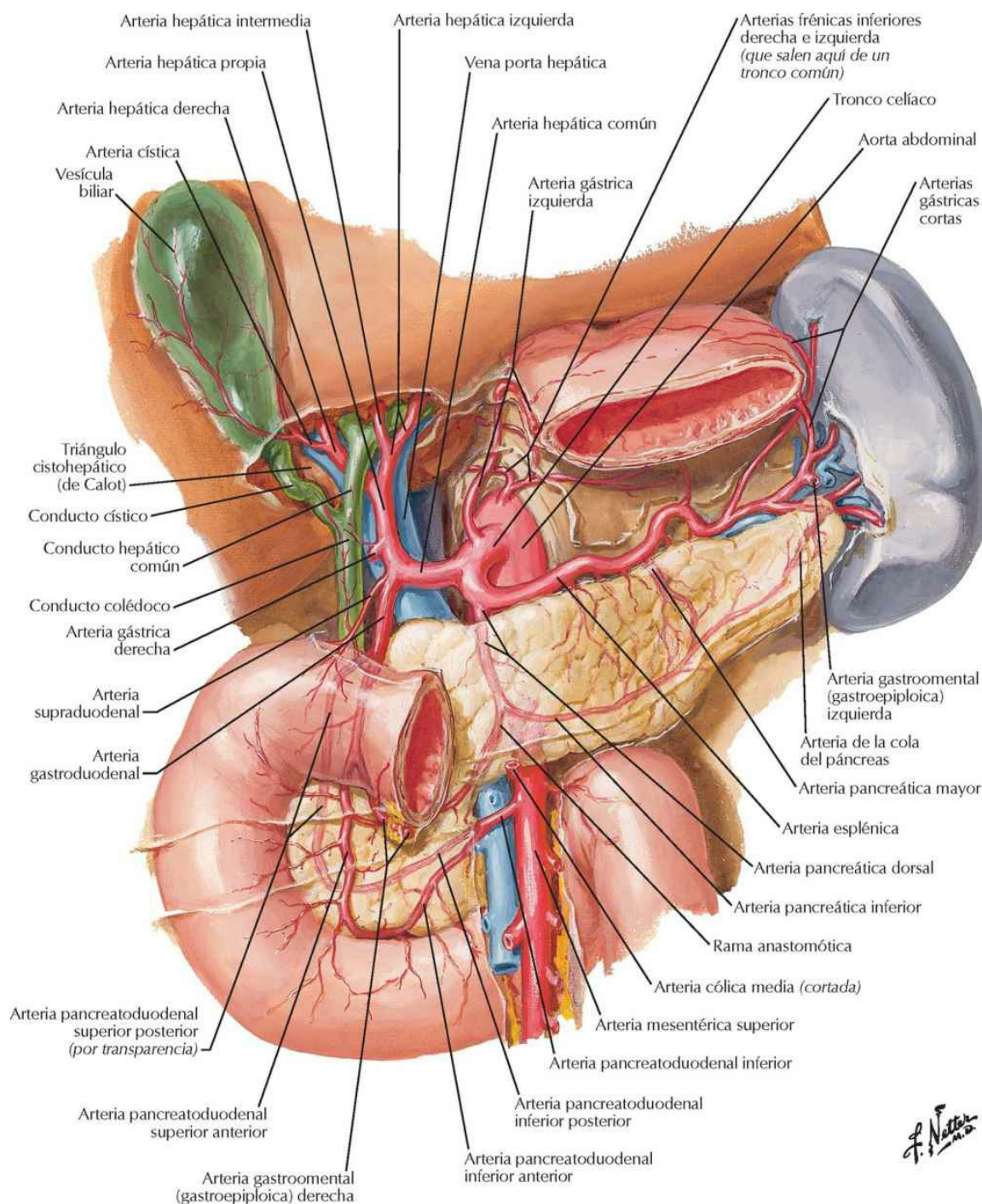
F. Netter M.D.

Vasculatura visceral

Arterias del estómago, hígado y bazo



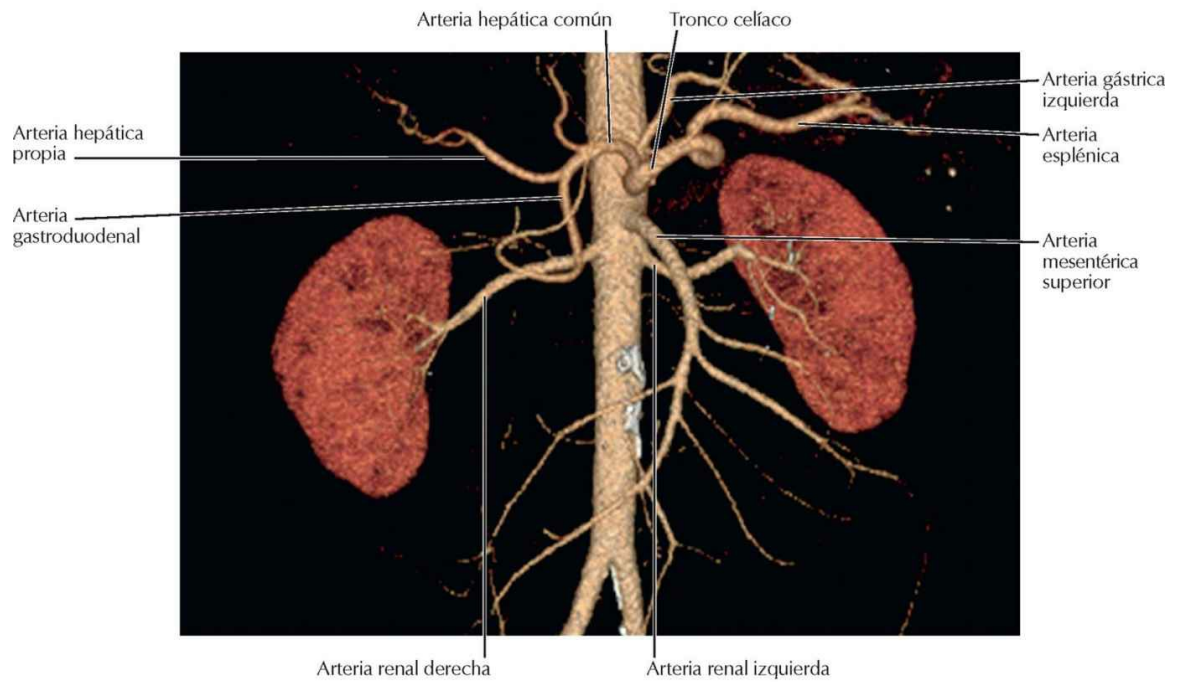
Arterias del hígado, páncreas, duodeno y bazo



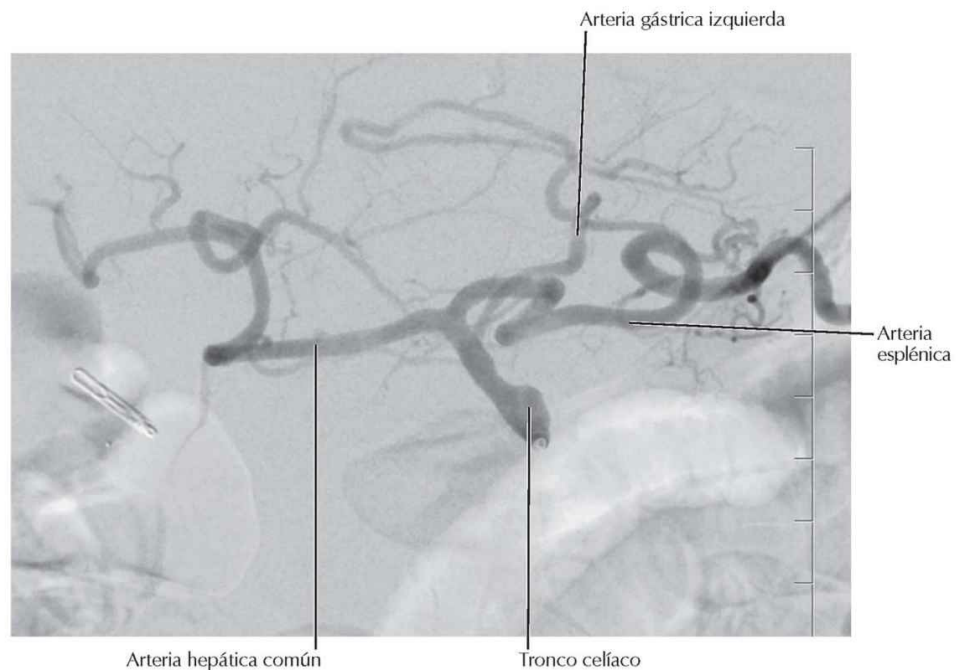
Arteriografía y angiografía por TC celíacas

Véanse también láminas 290, 291

TC 3D de «renderización de volúmenes» con intensificación de contraste intravenoso

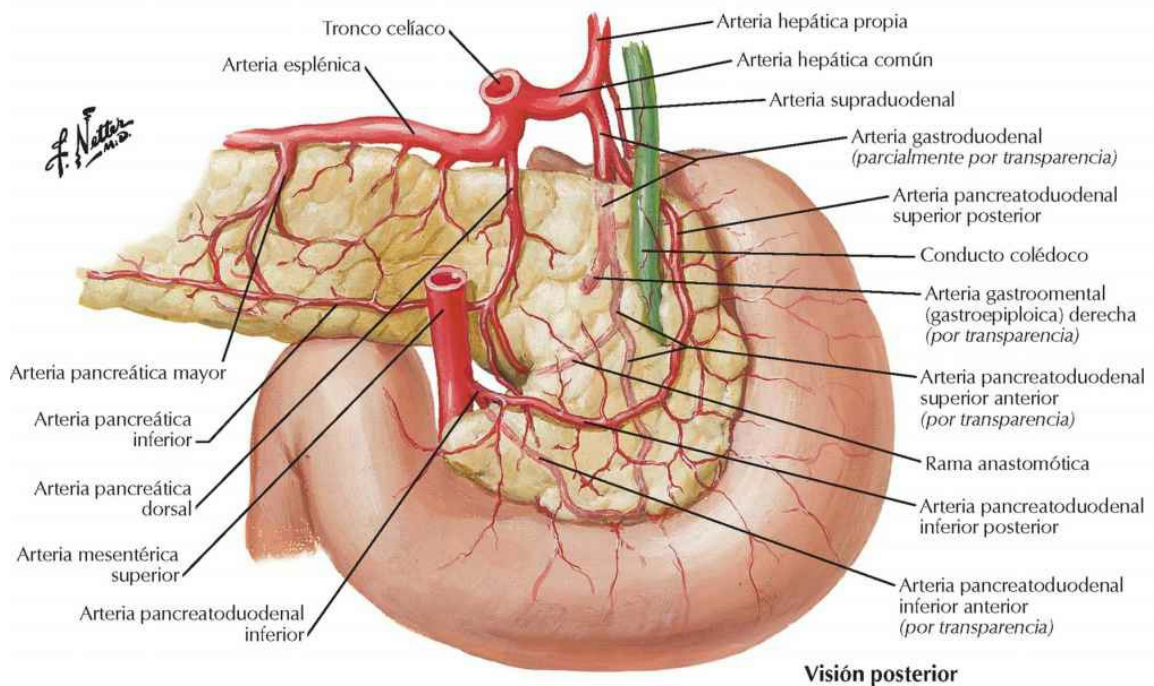
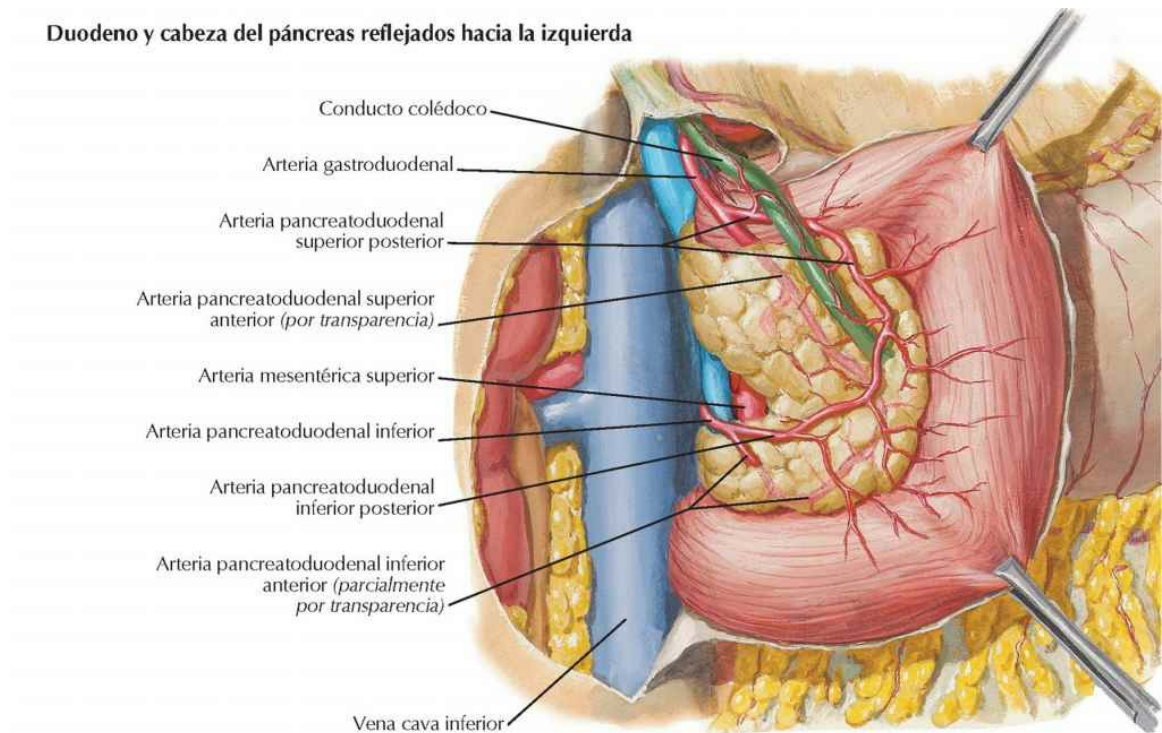


Angiografía por sustracción digital selectiva del tronco celíaco

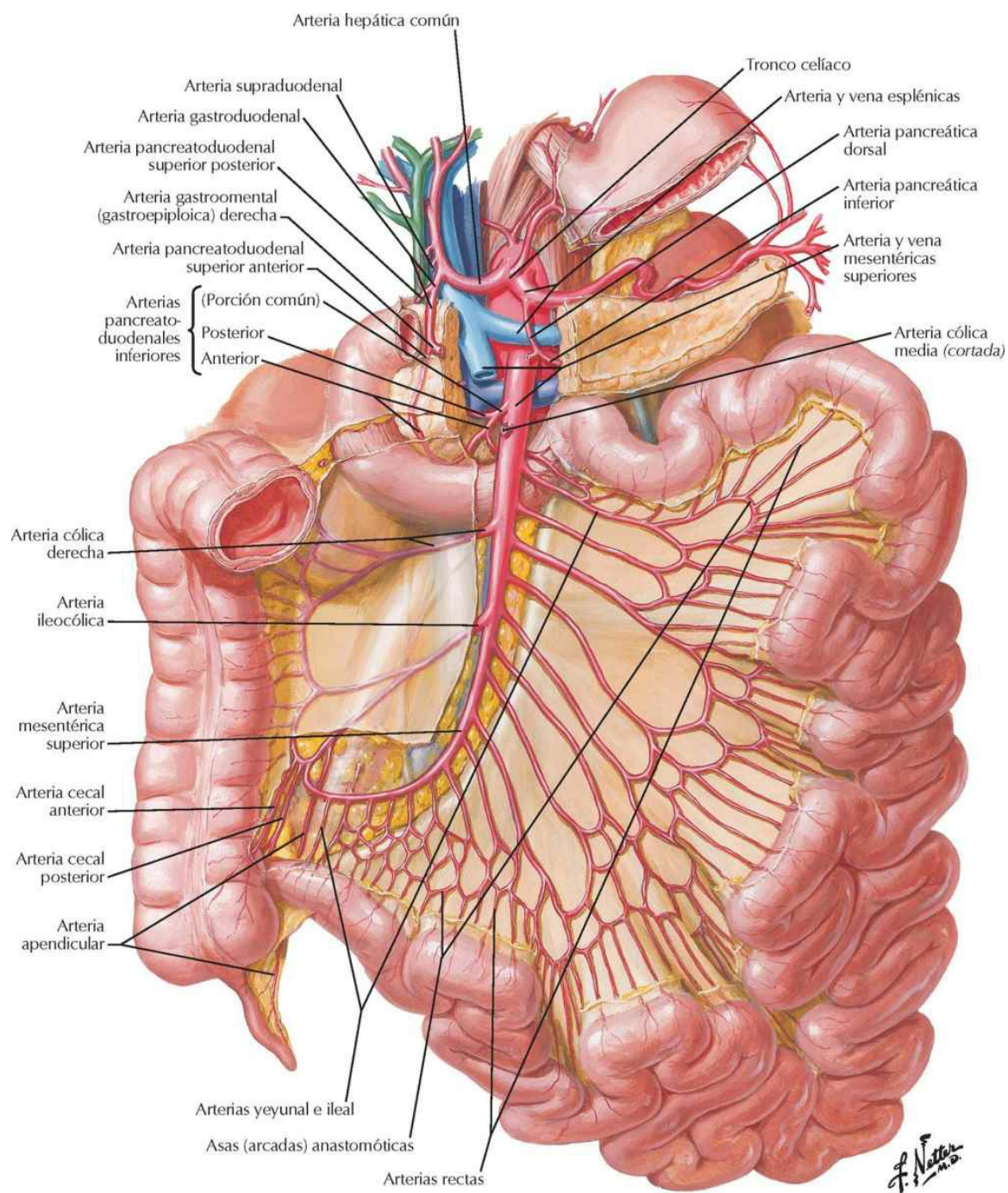


Arterias del duodeno y cabeza del páncreas

Duodeno y cabeza del páncreas reflejados hacia la izquierda

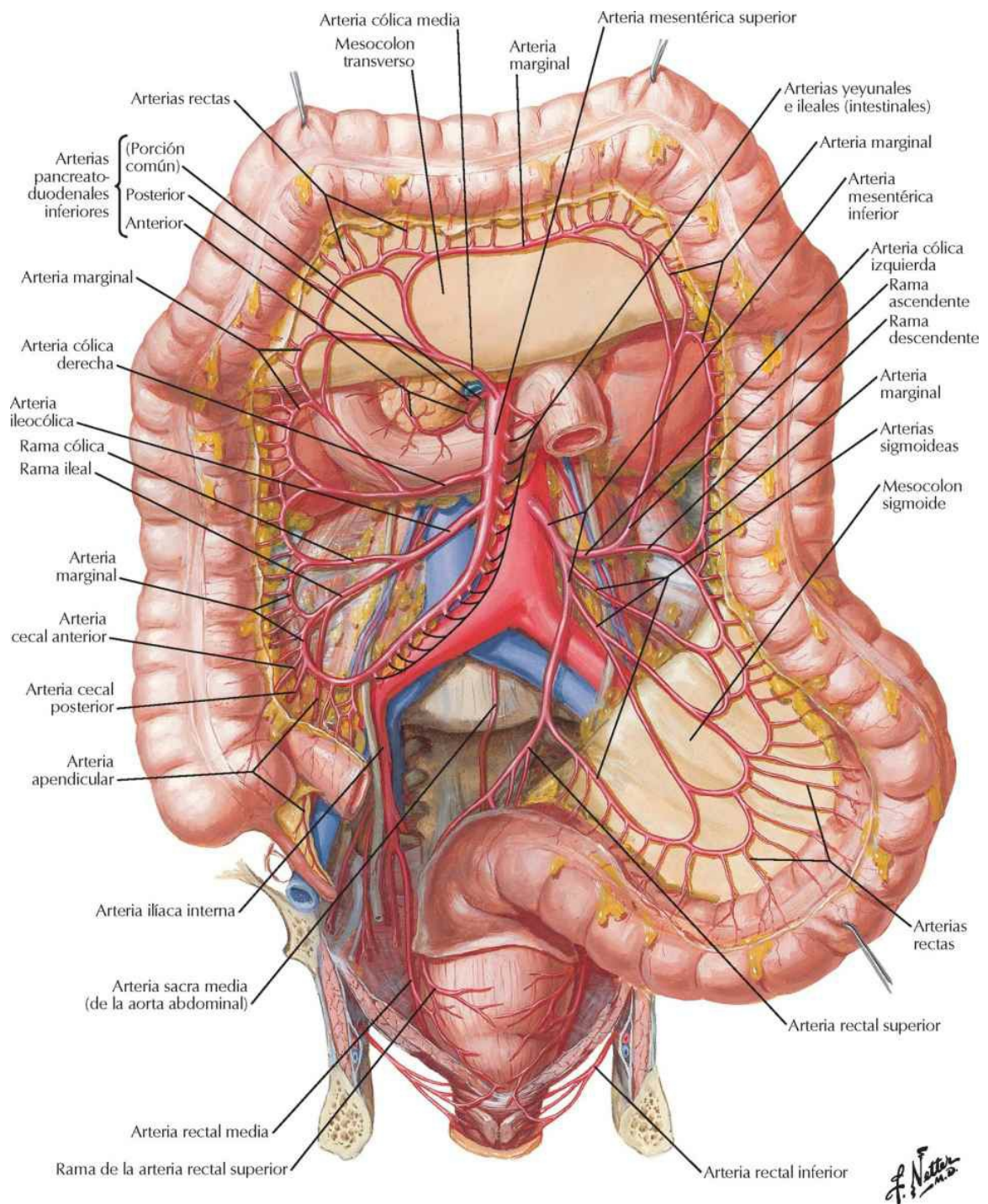


Arterias del intestino delgado

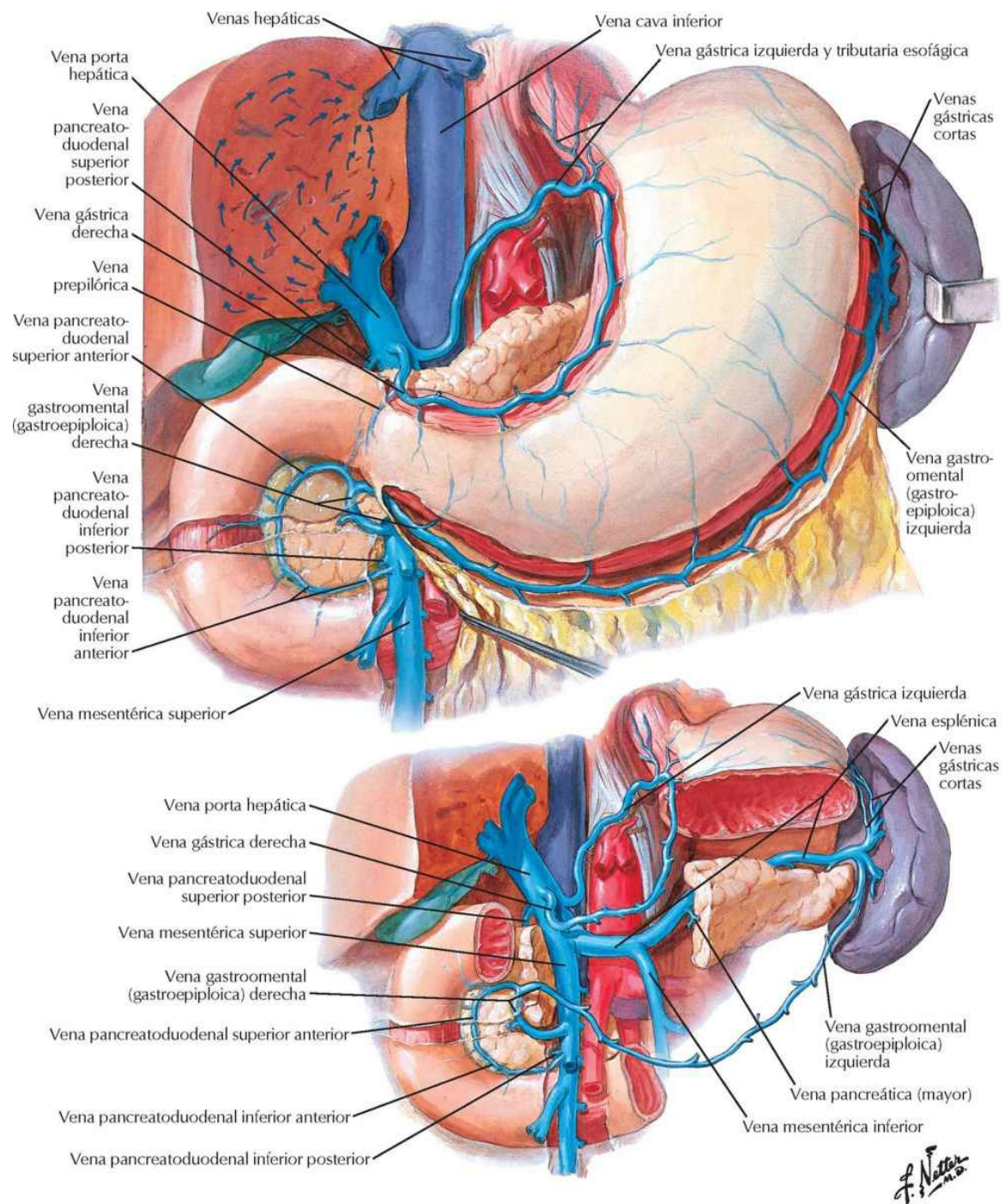


Arterias del intestino grueso

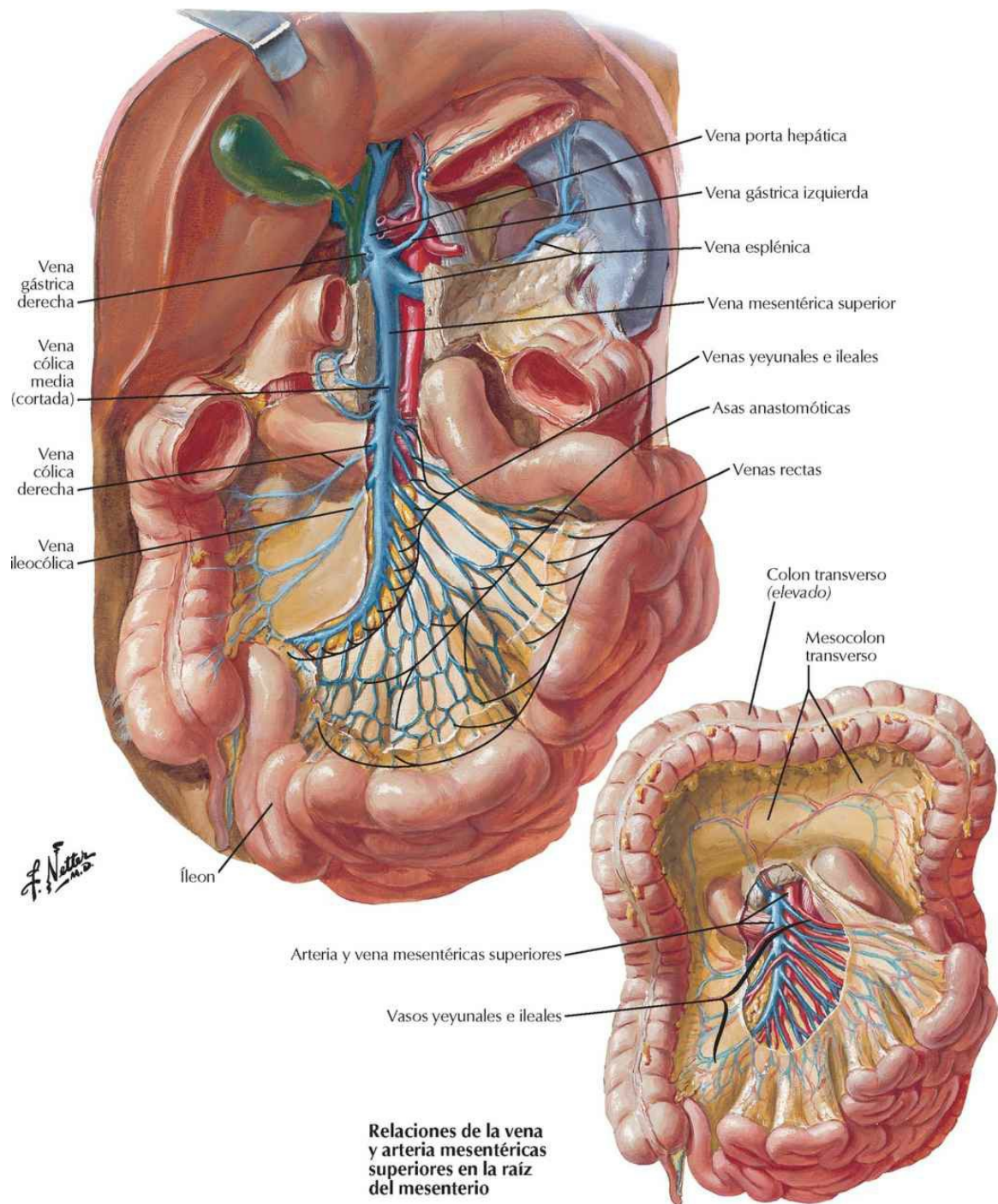
Véase también lámina 380



Venas del estómago, duodeno, páncreas y bazo

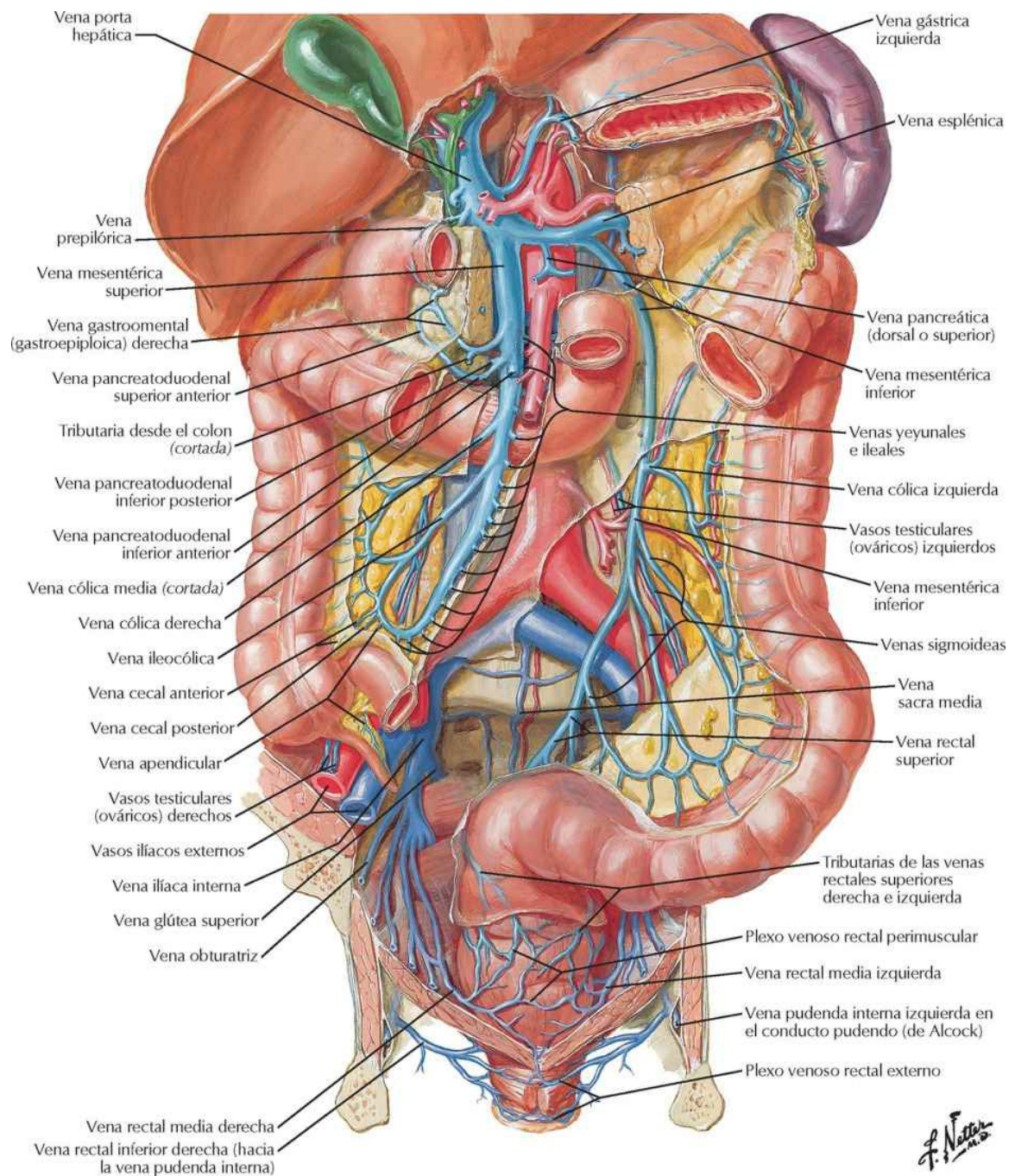


Venas del intestino delgado

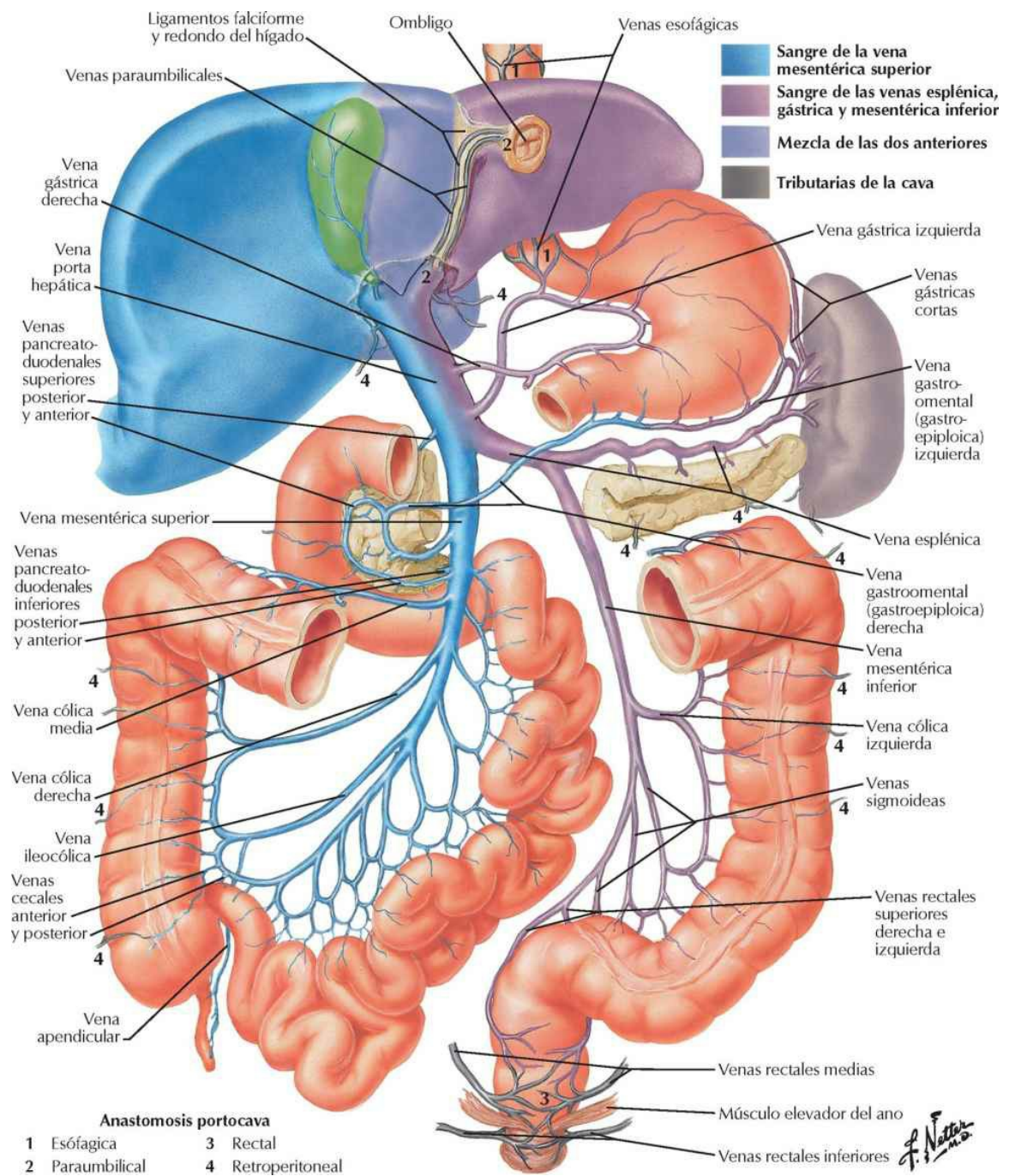


Venas del intestino grueso

Véase también lámina 381



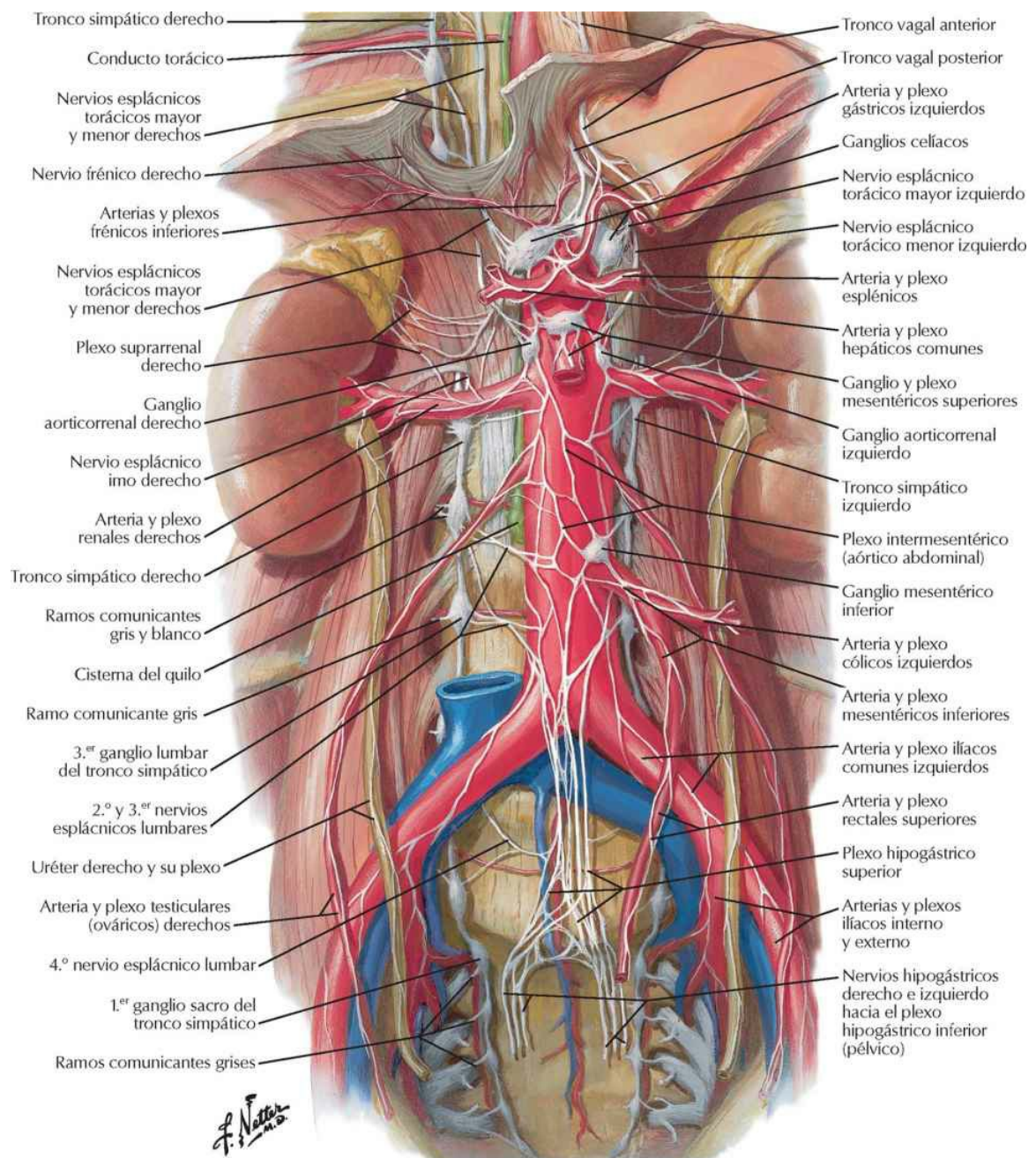
Tributarias de la vena porta hepática: anastomosis portocava



Inervación

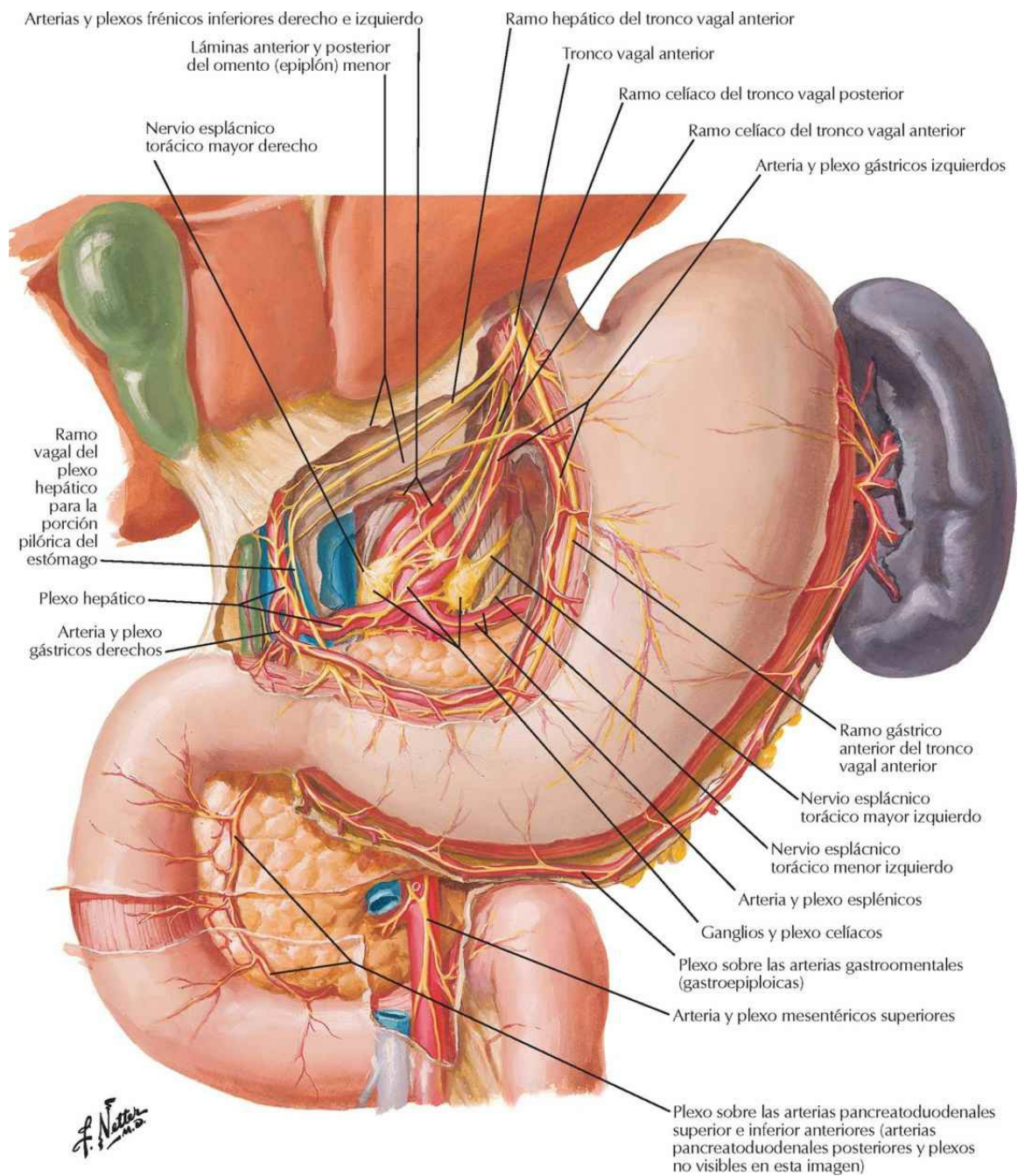
Nervios y ganglios autónomos

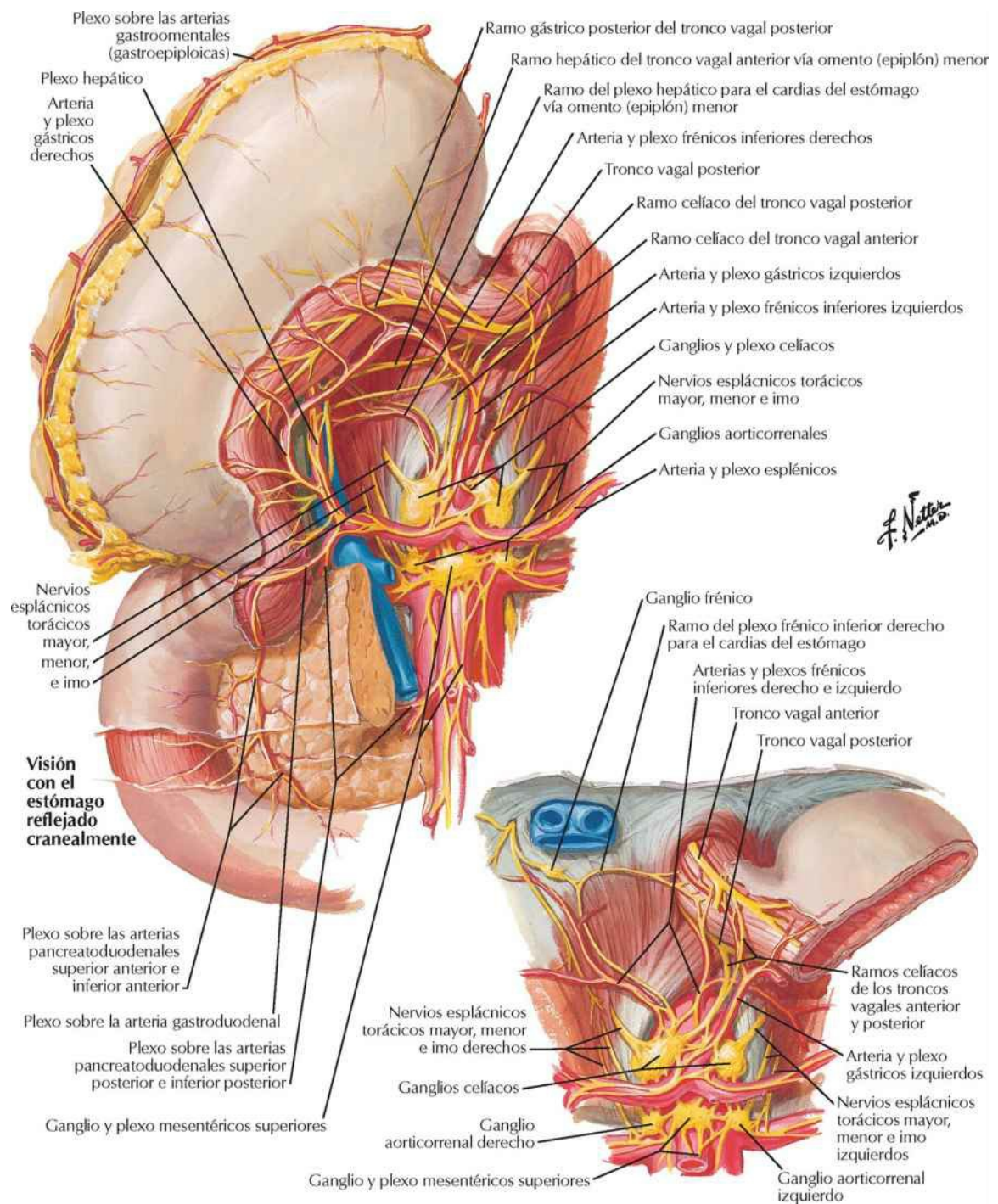
Véase también lámina 305



Inervación autónoma del estómago y duodeno

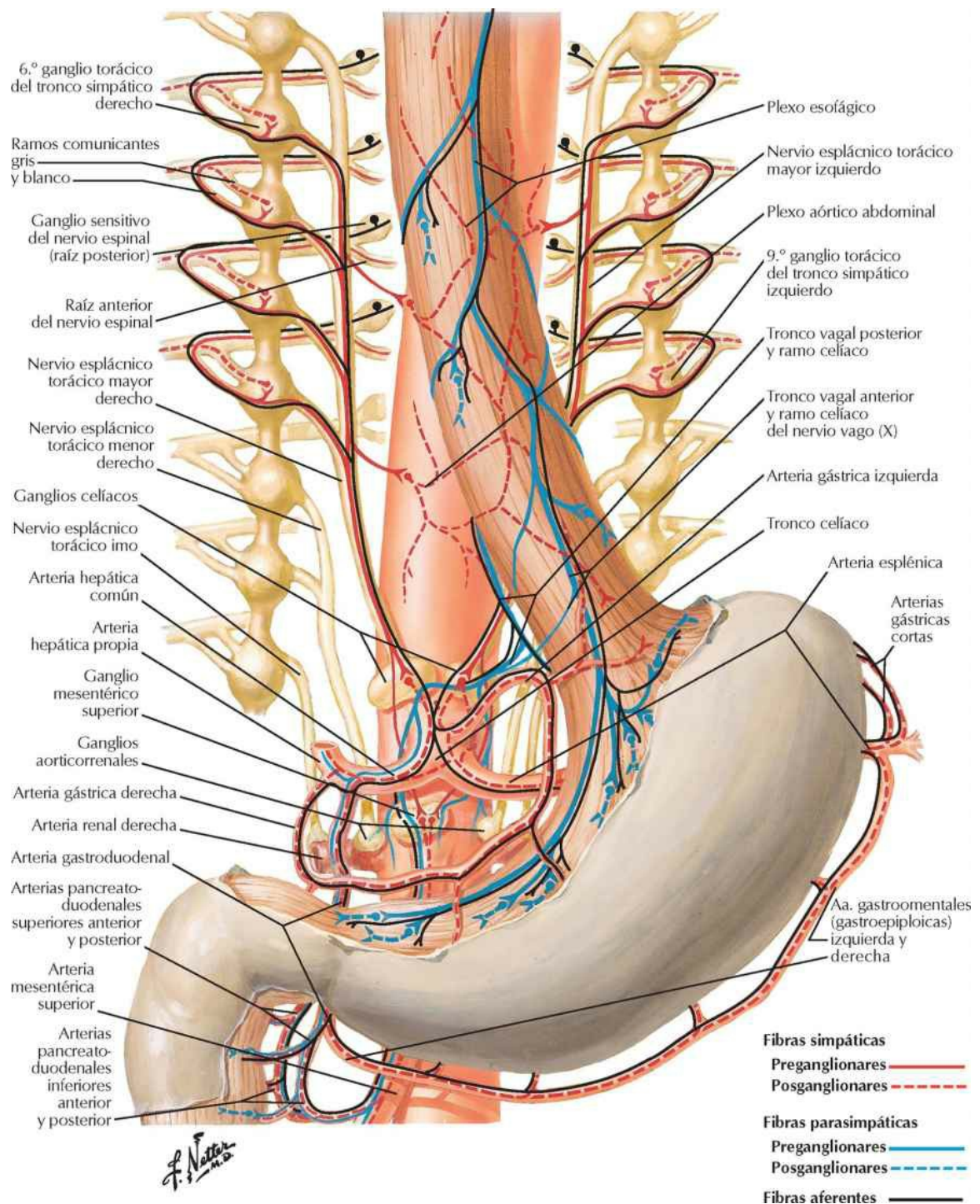
Véase también lámina 243



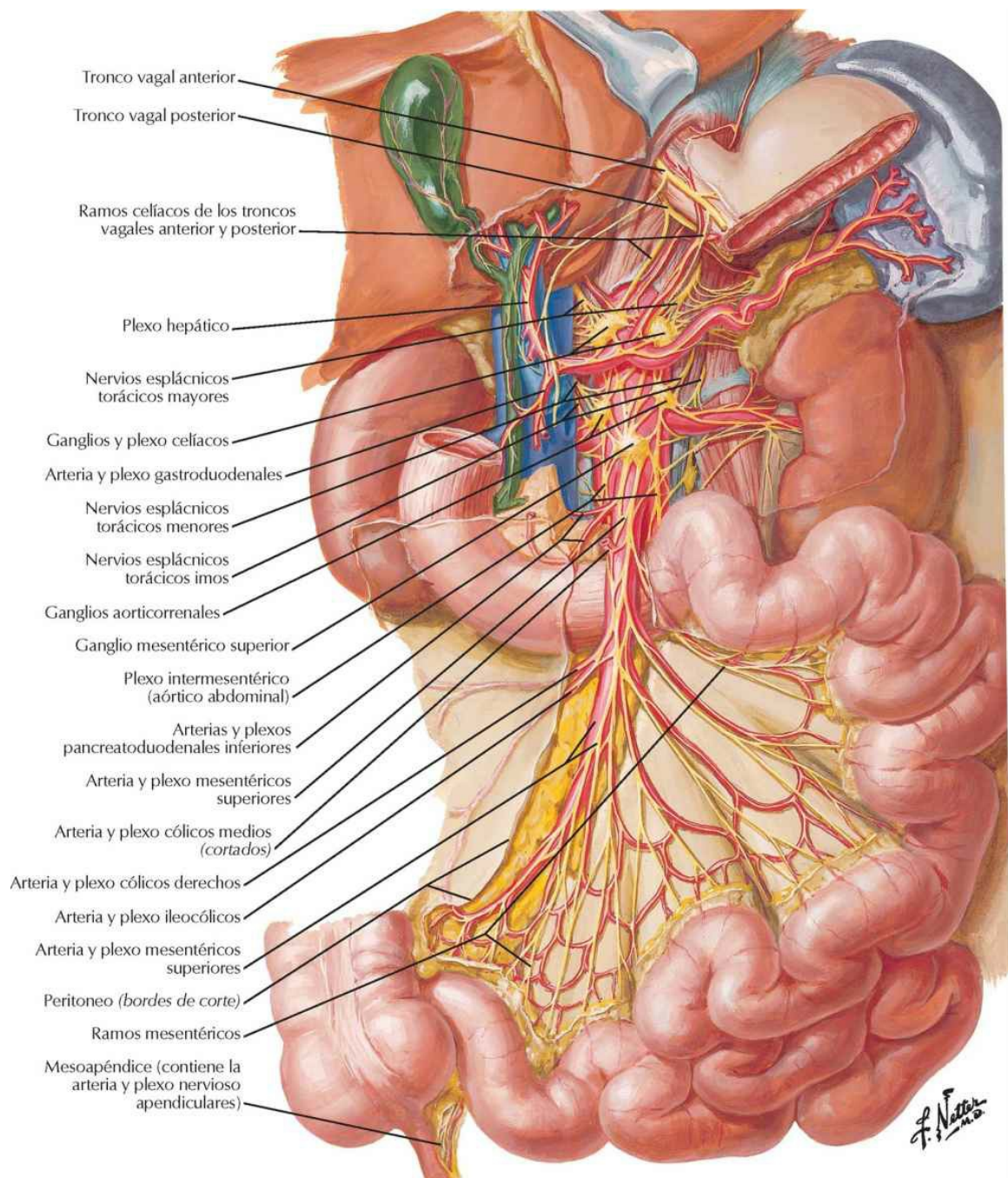


Inervación autónoma del esófago, estómago y duodeno: esquema

Véanse también láminas 172, 173

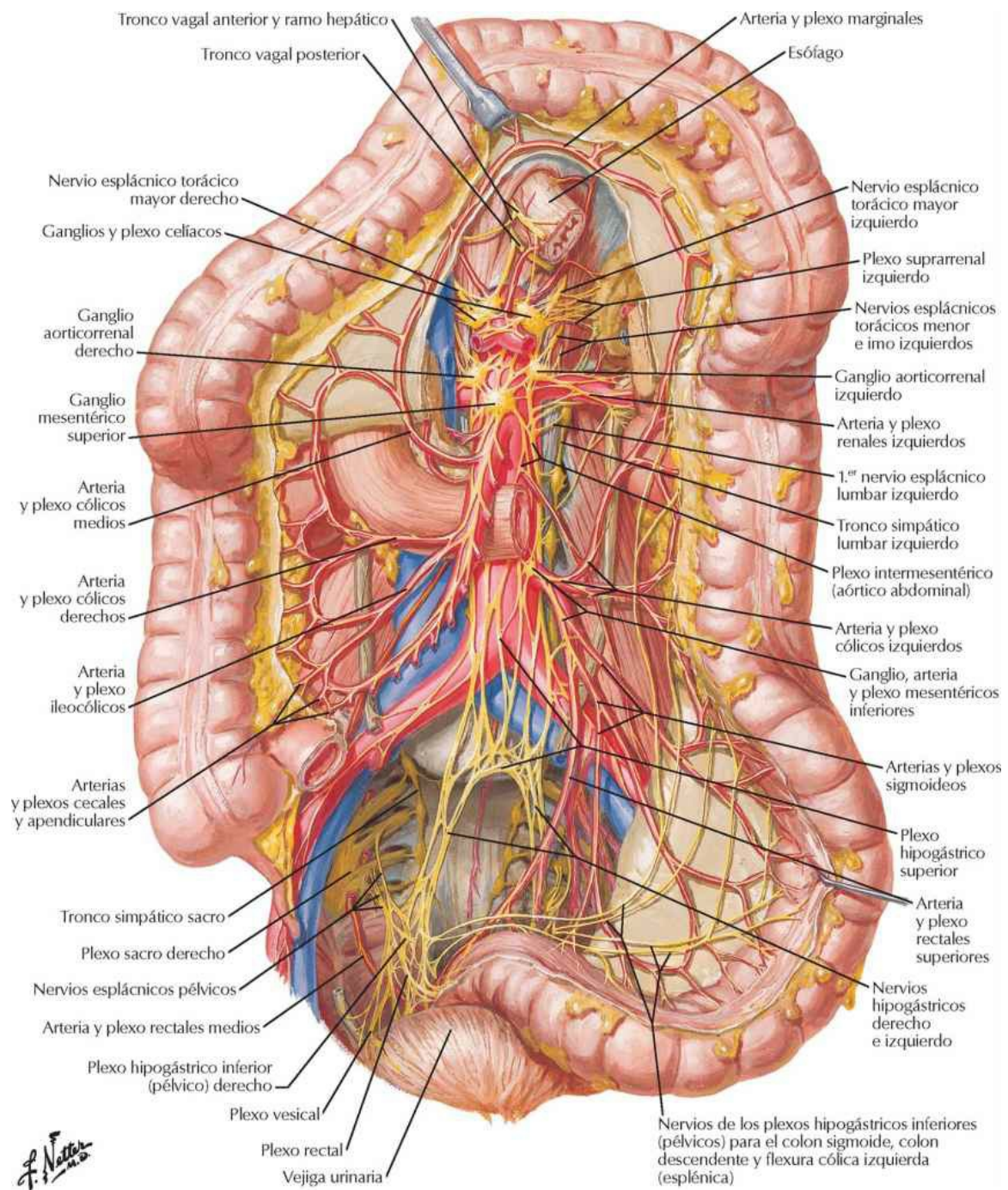


Inervación autónoma del intestino delgado



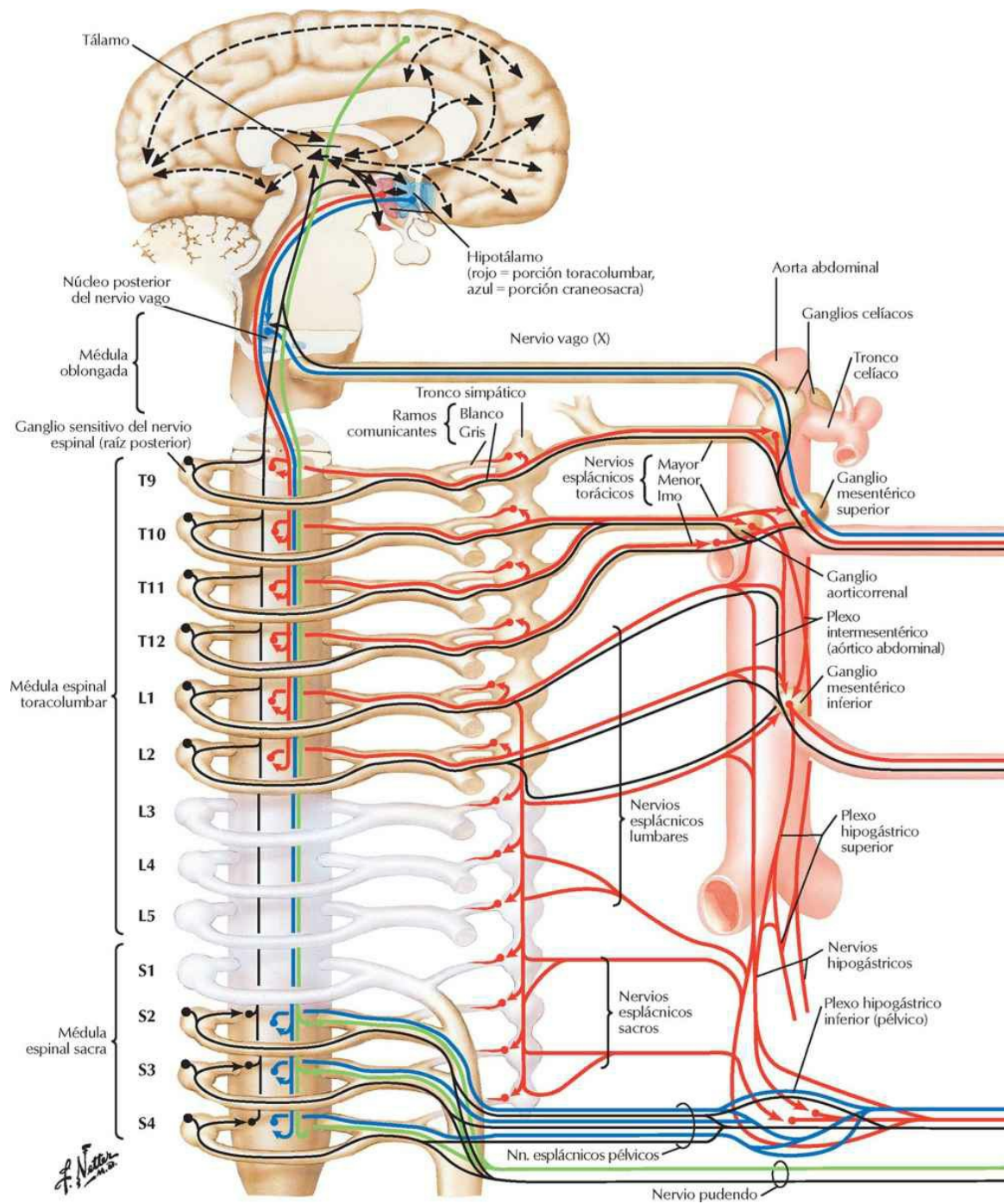
Inervación autónoma del intestino grueso

Véanse también láminas 392, 393, 394

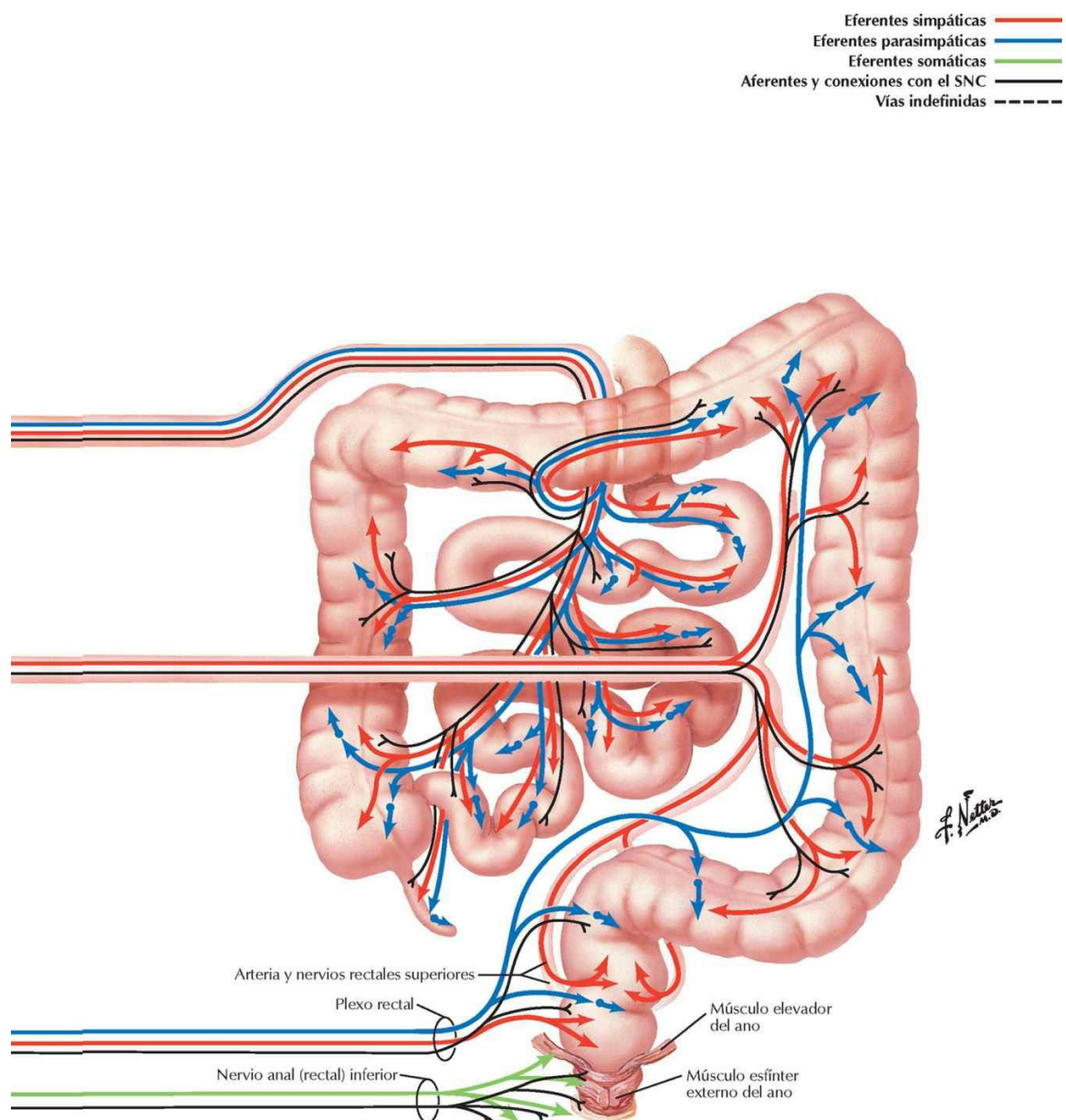


Inervación autónoma de los intestinos: esquema

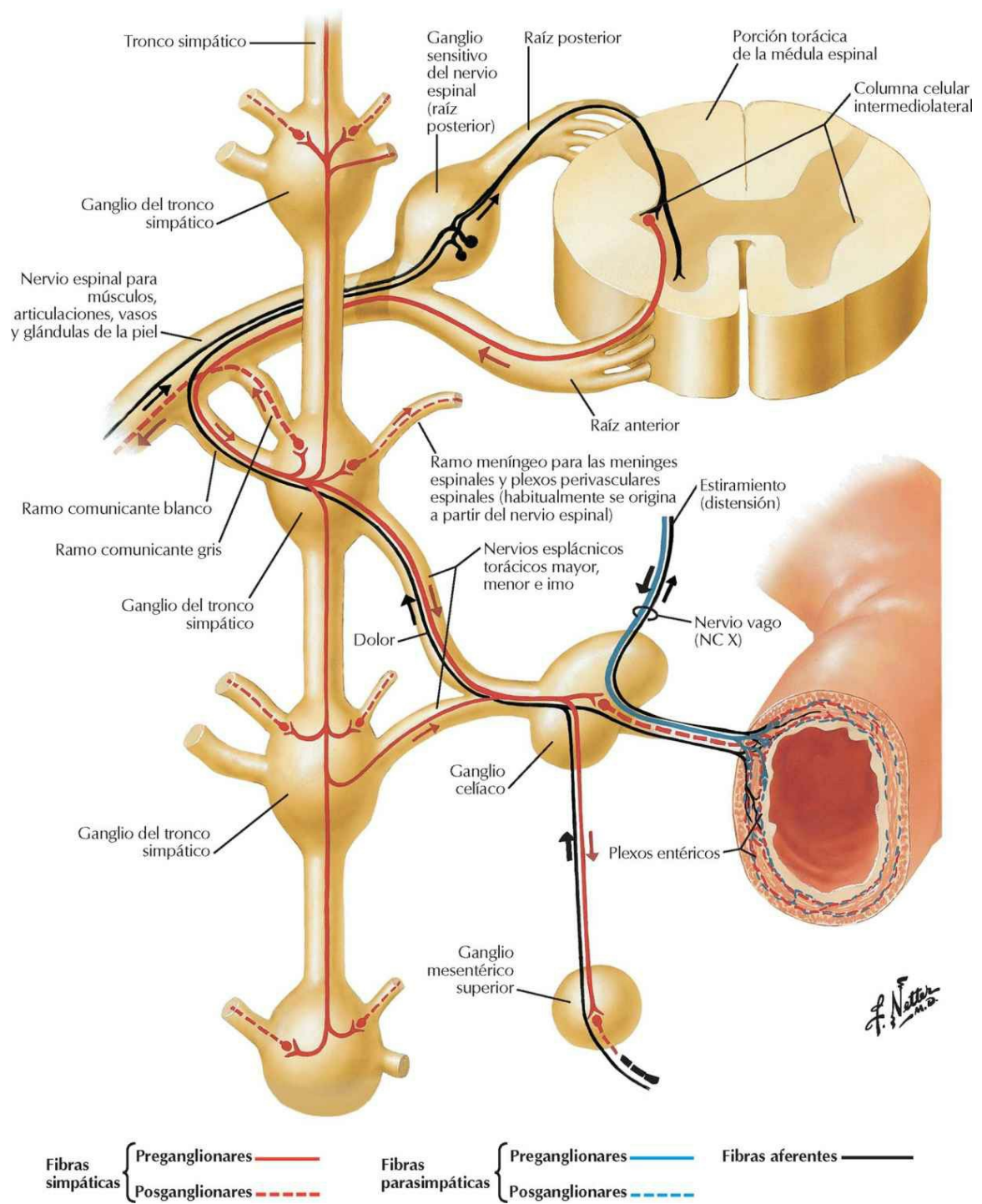
Véanse también láminas 172, 173



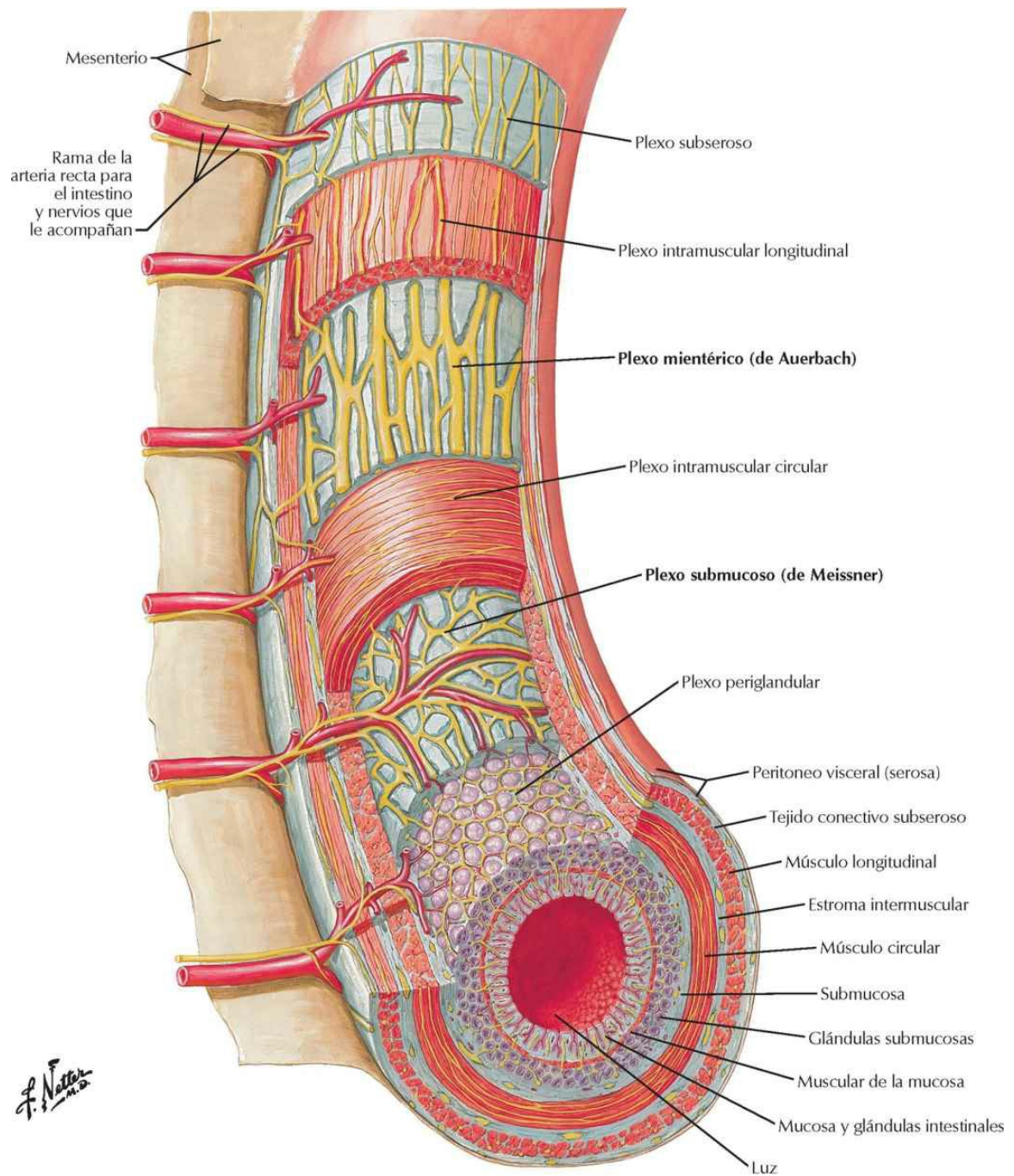
Véanse también láminas 172, 173



Vías reflejas autónomas: esquema



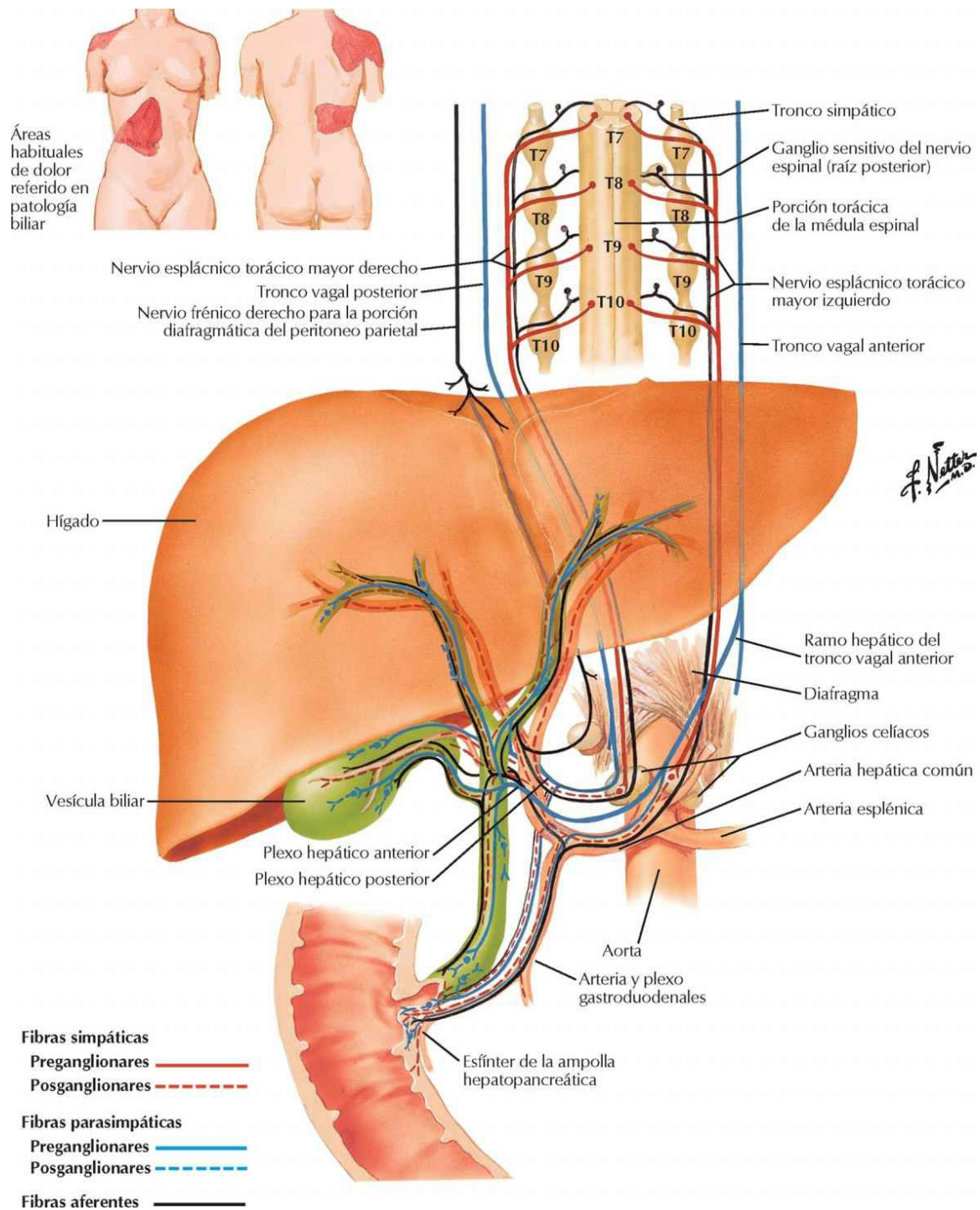
Plexos entéricos del intestino



Nota: La pared intestinal se muestra mucho más gruesa que en la realidad.

Inervación autónoma del hígado: esquema

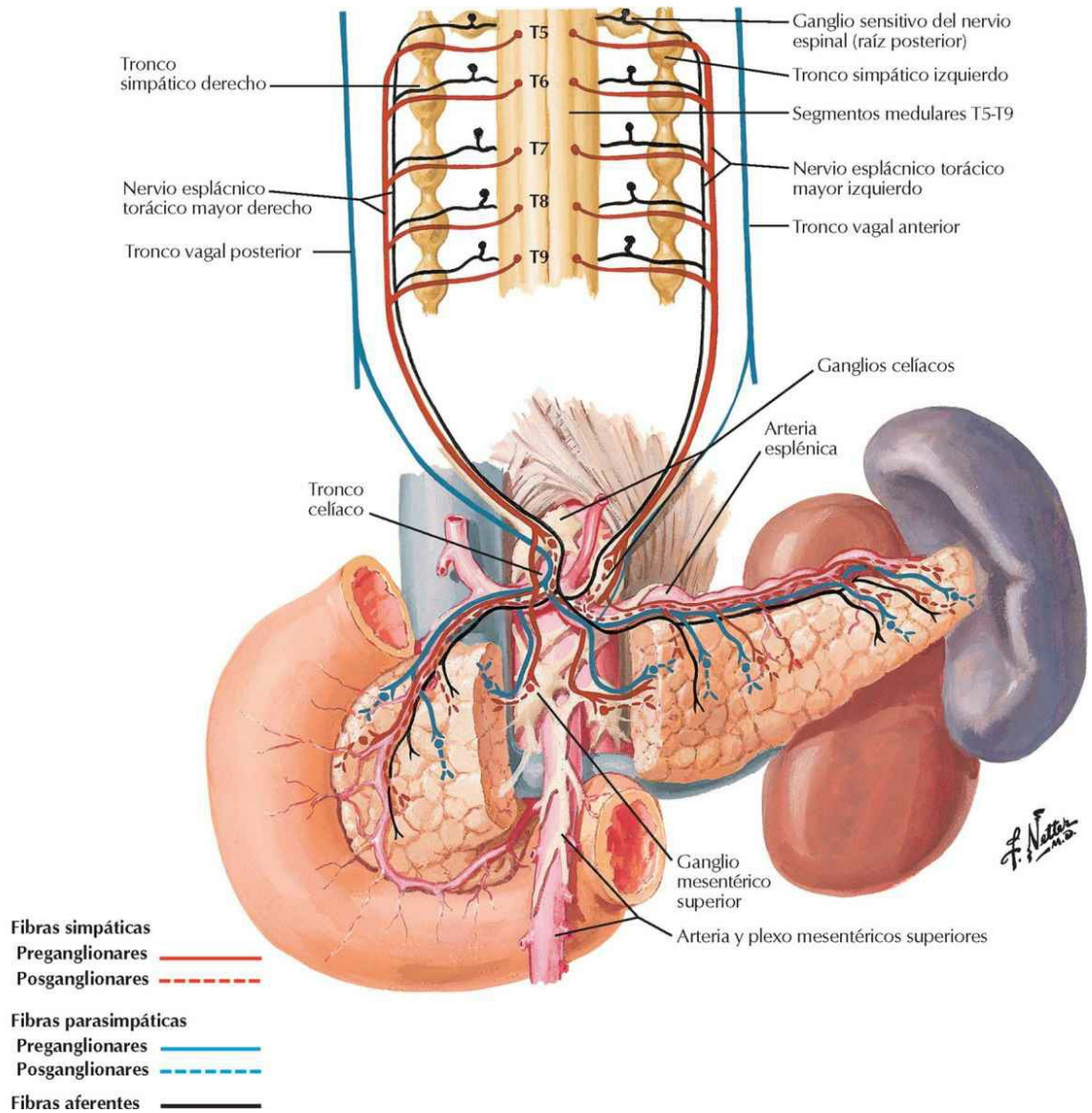
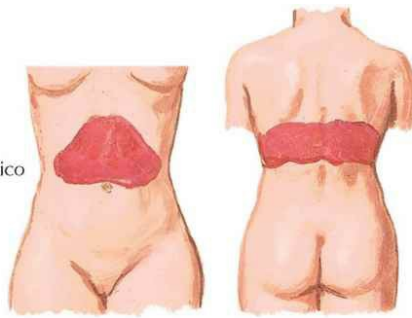
Véanse también láminas 172, 173



Inervación autónoma del páncreas: esquema

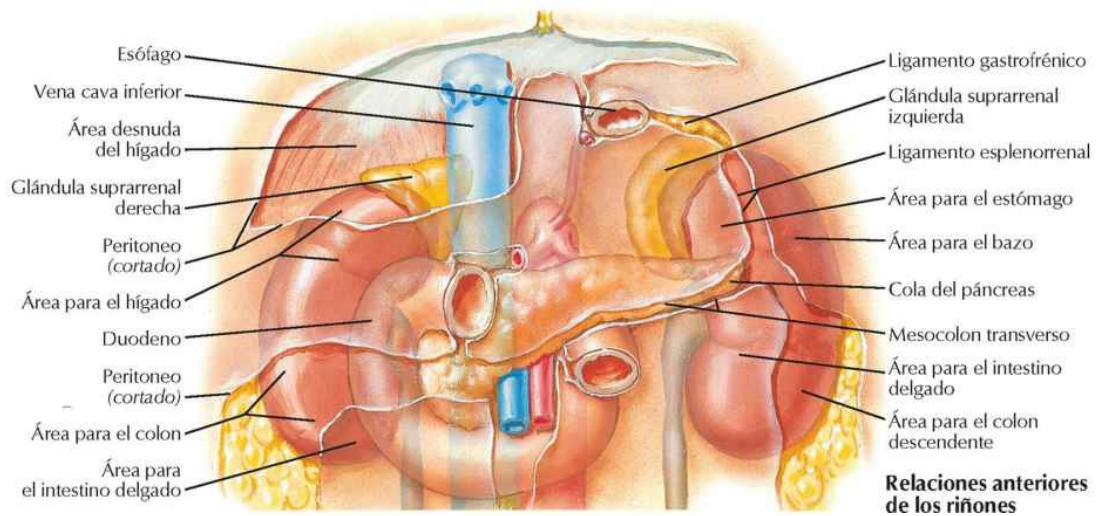
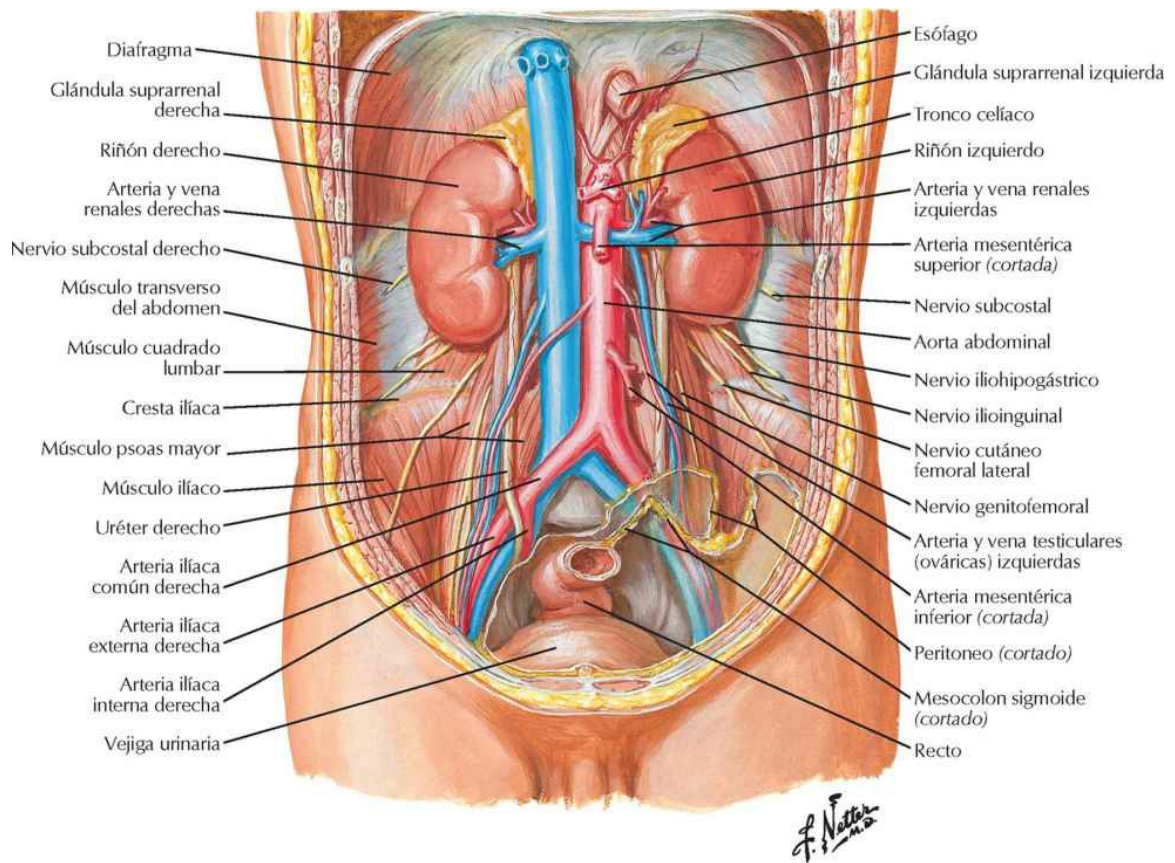
Véanse también láminas 172, 173

Áreas habituales de dolor pancreático

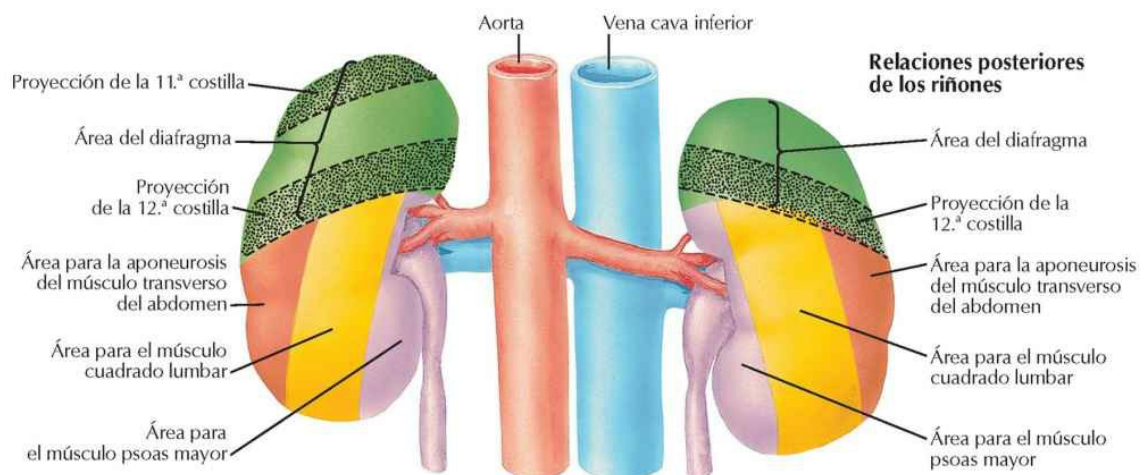
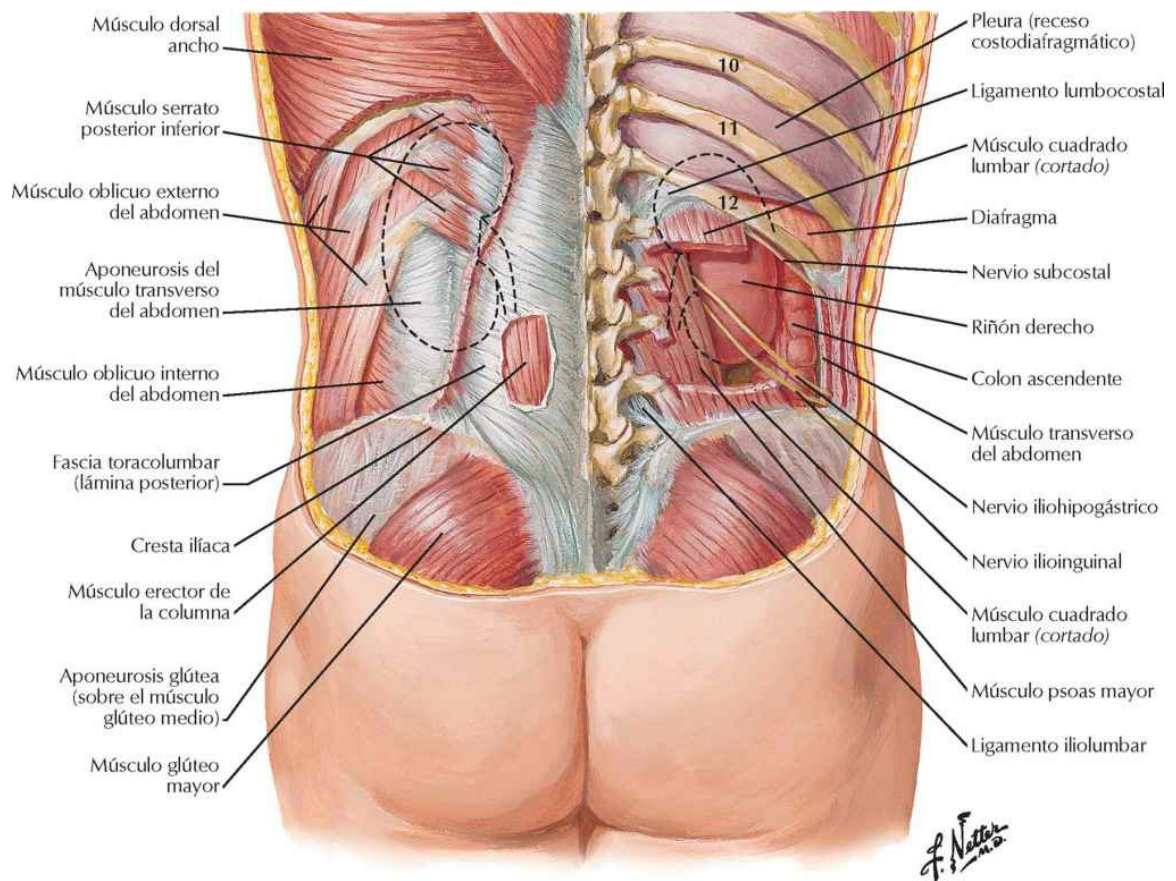


Riñones y glándulas suprarrenales

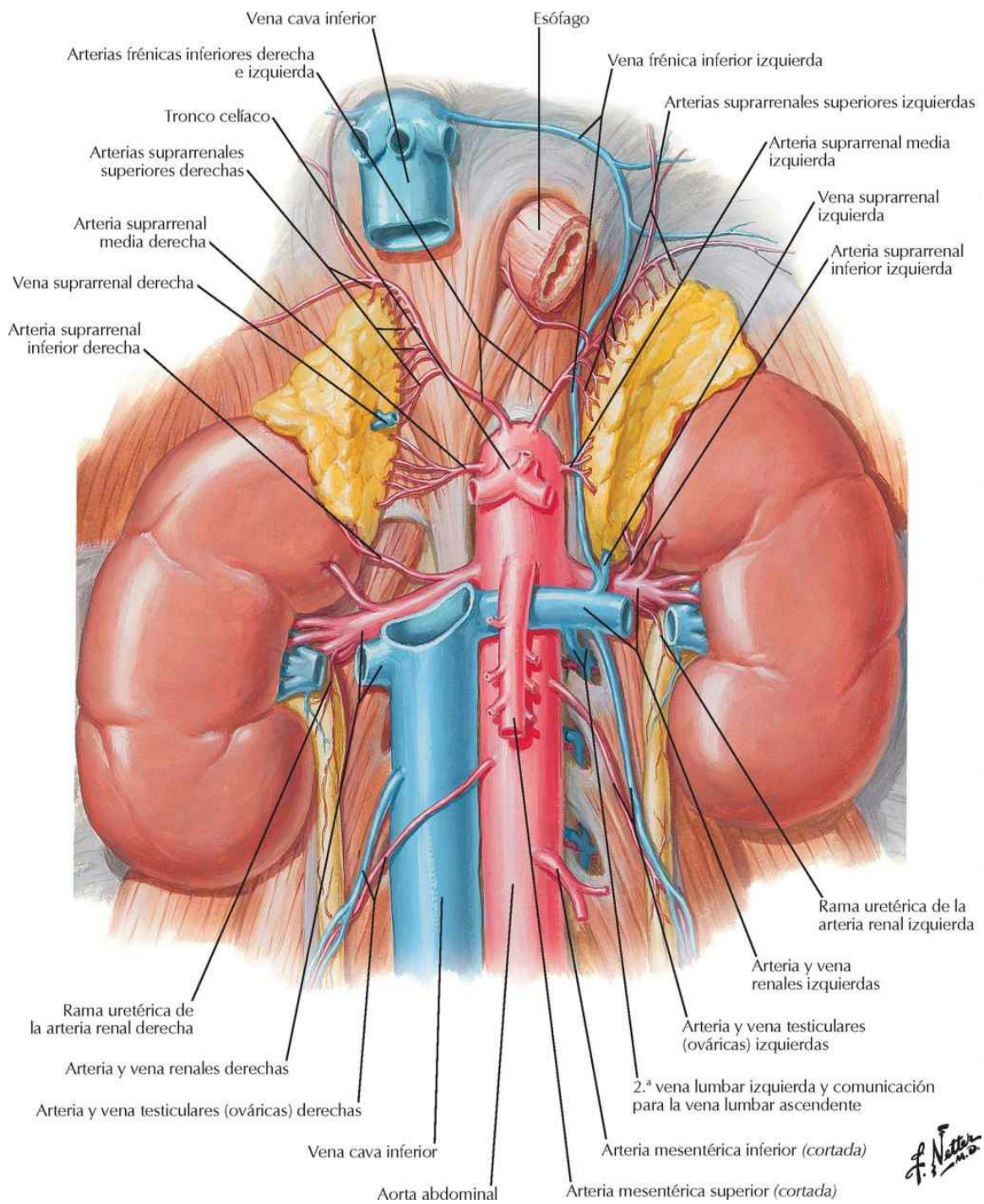
Riñones *in situ*: visiones anteriores



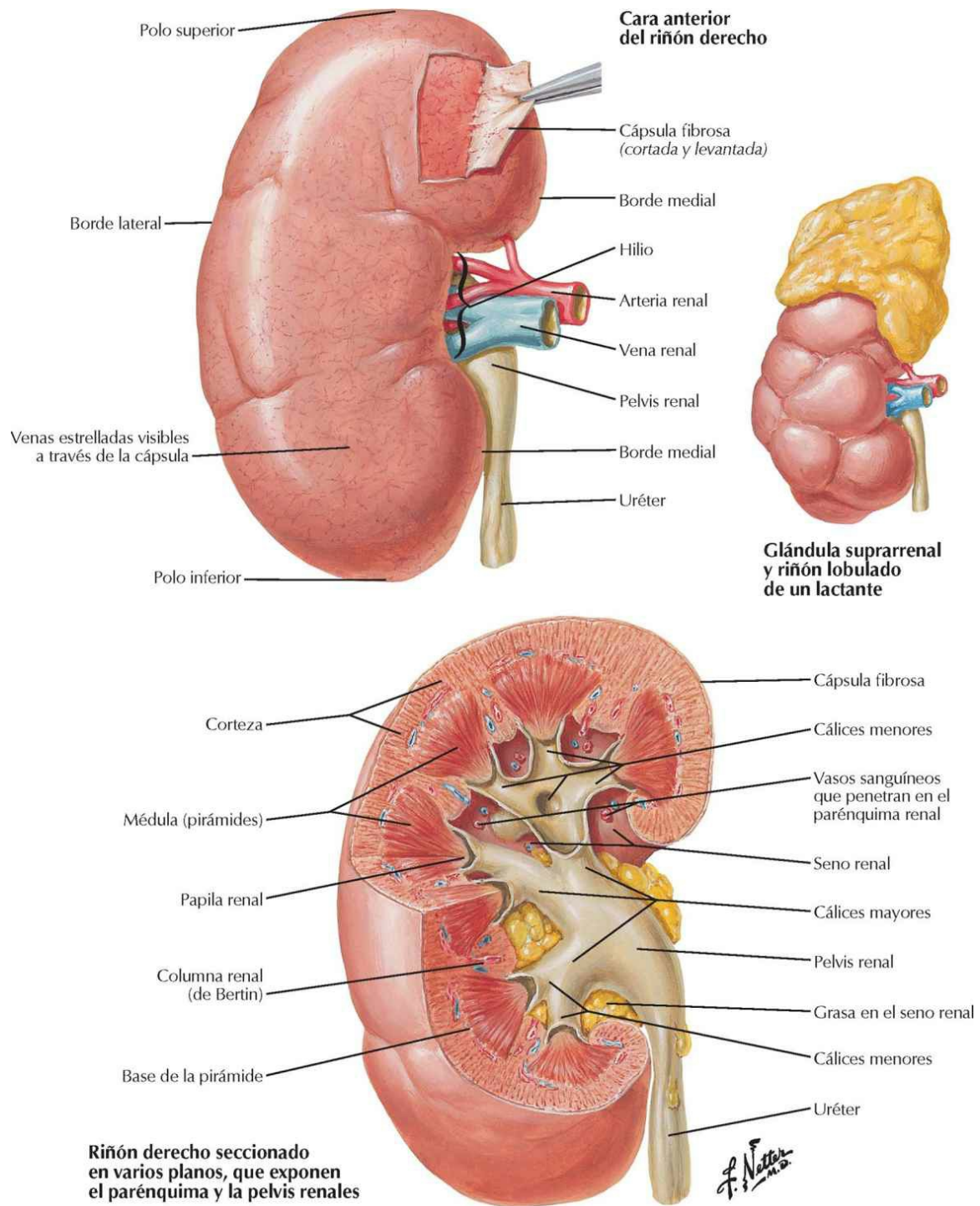
Riñones *in situ*: visiones posteriores



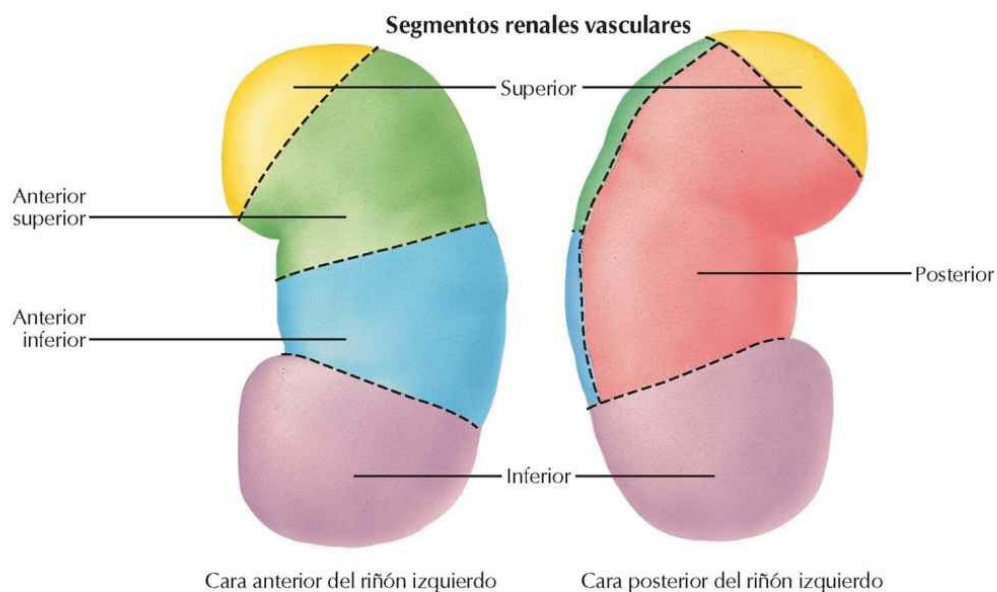
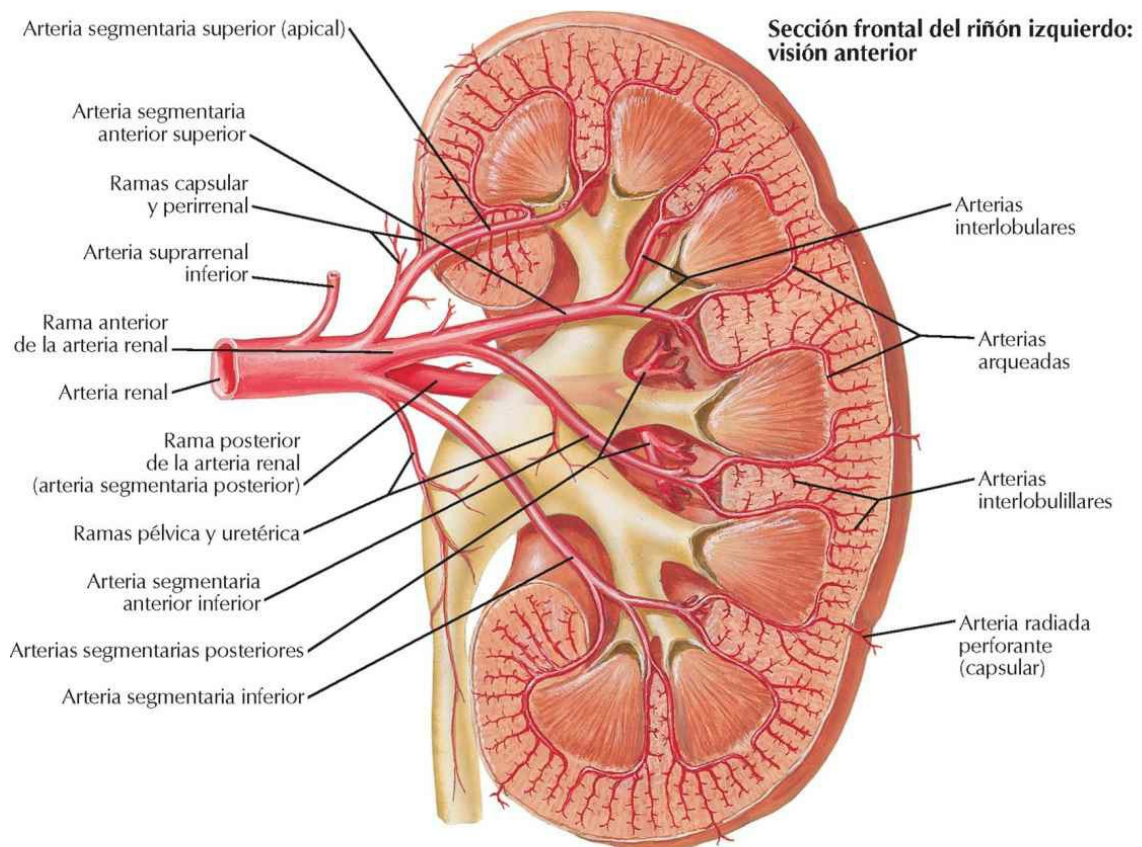
Arteria y vena renales *in situ*



Estructura macroscópica del riñón



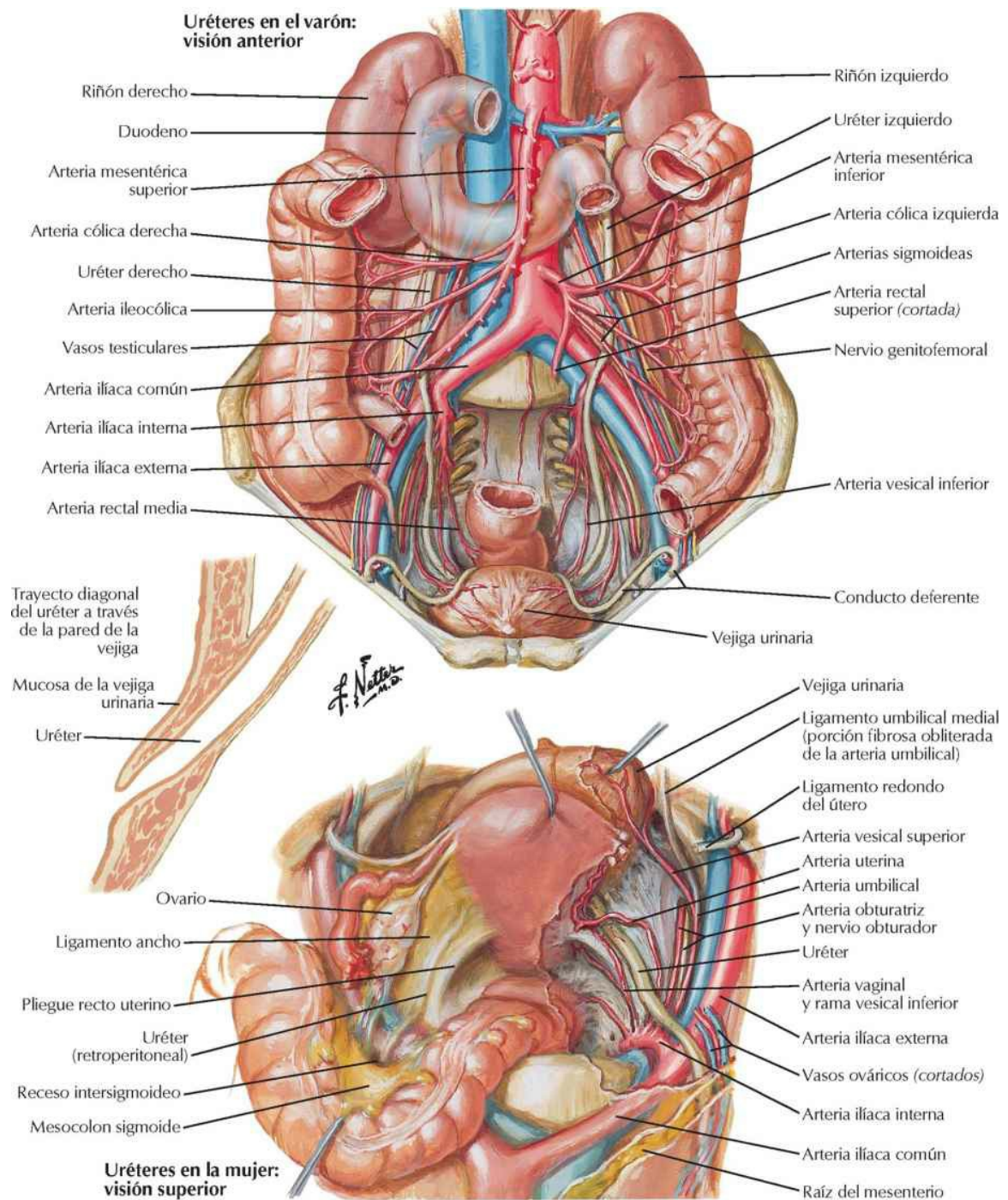
Arterias intrarrenales y segmentos del riñón



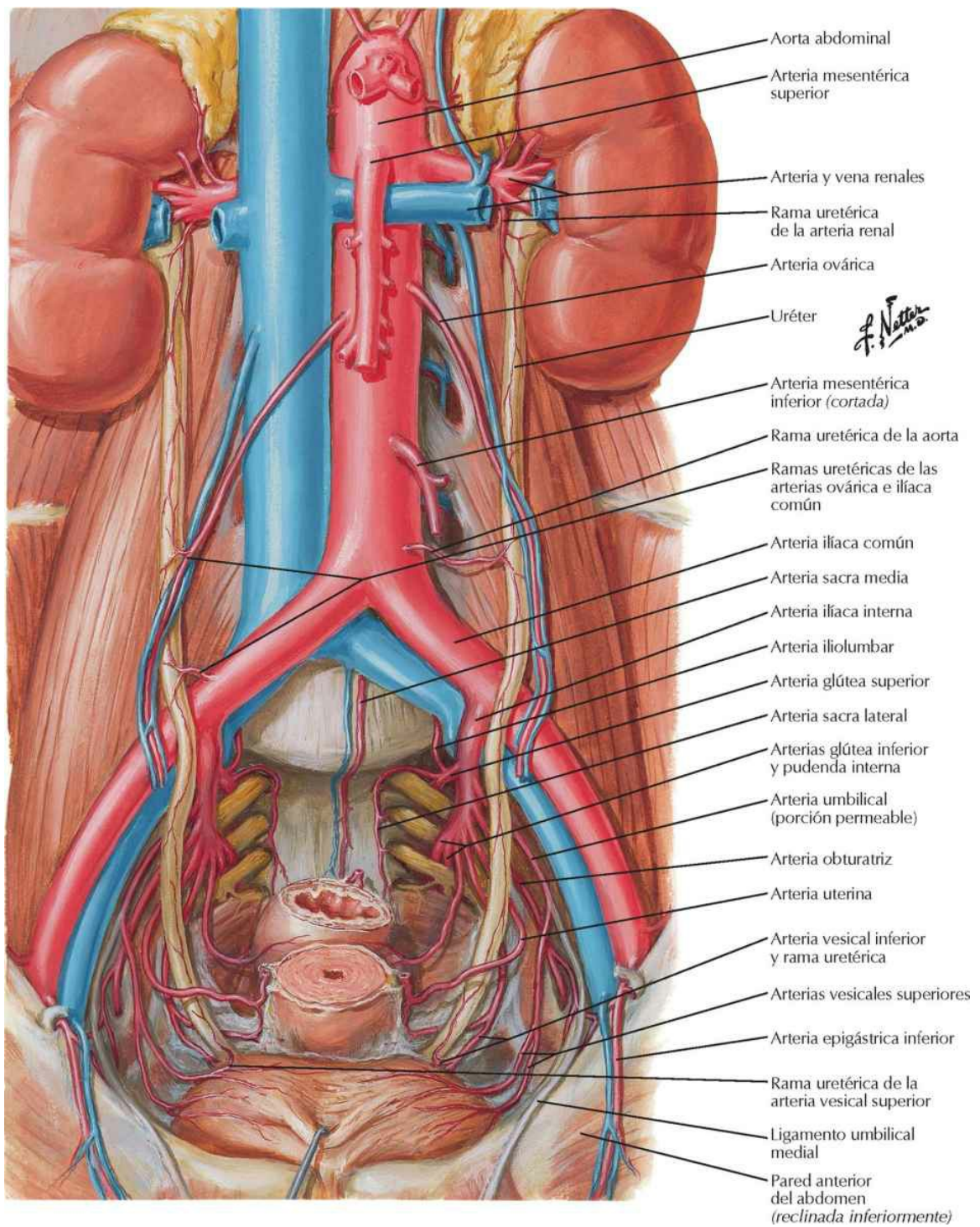
F. Netter M.D.

Uréteres en el abdomen y pelvis

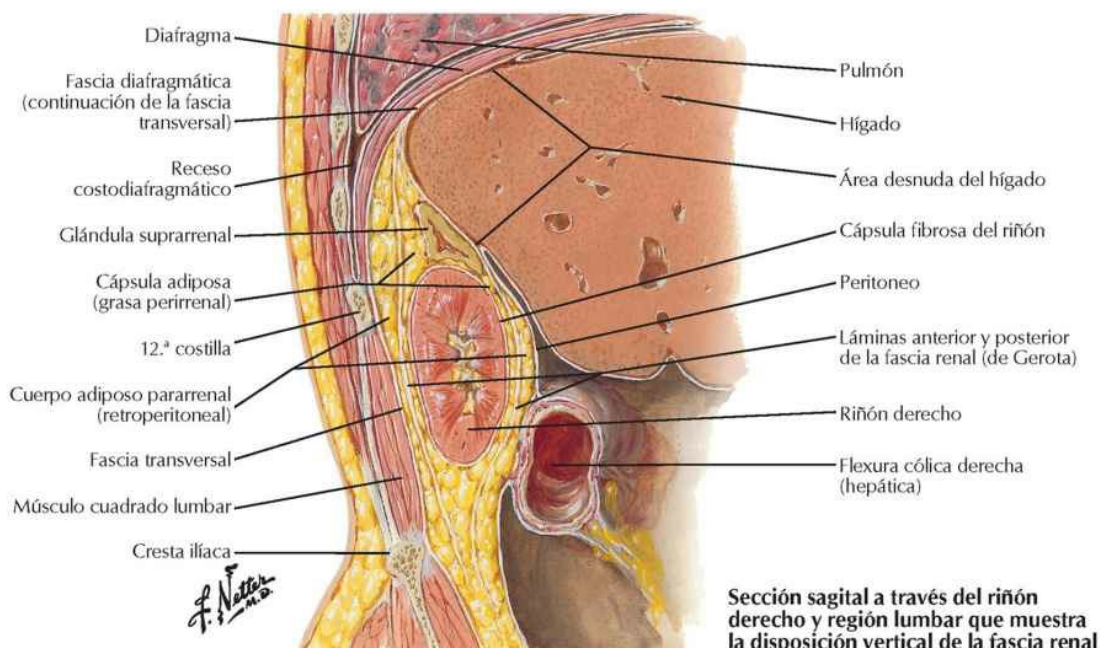
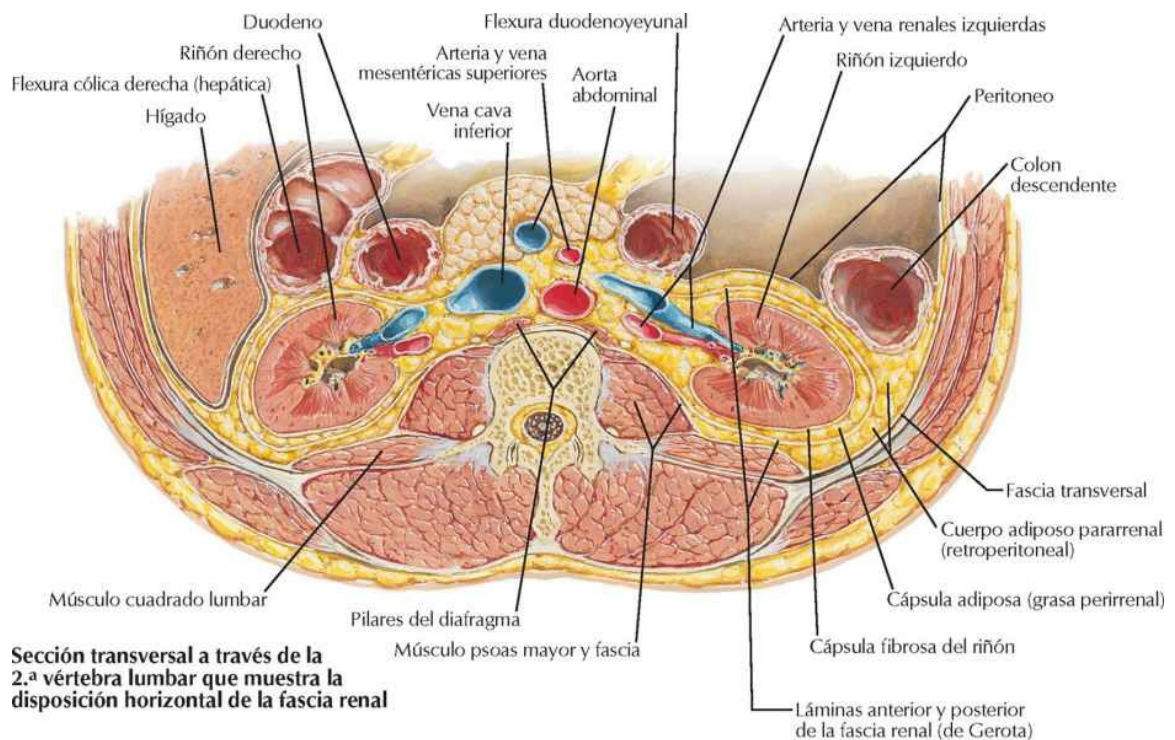
Véanse también láminas 344, 346, 348



Arterias de los uréteres y vejiga urinaria

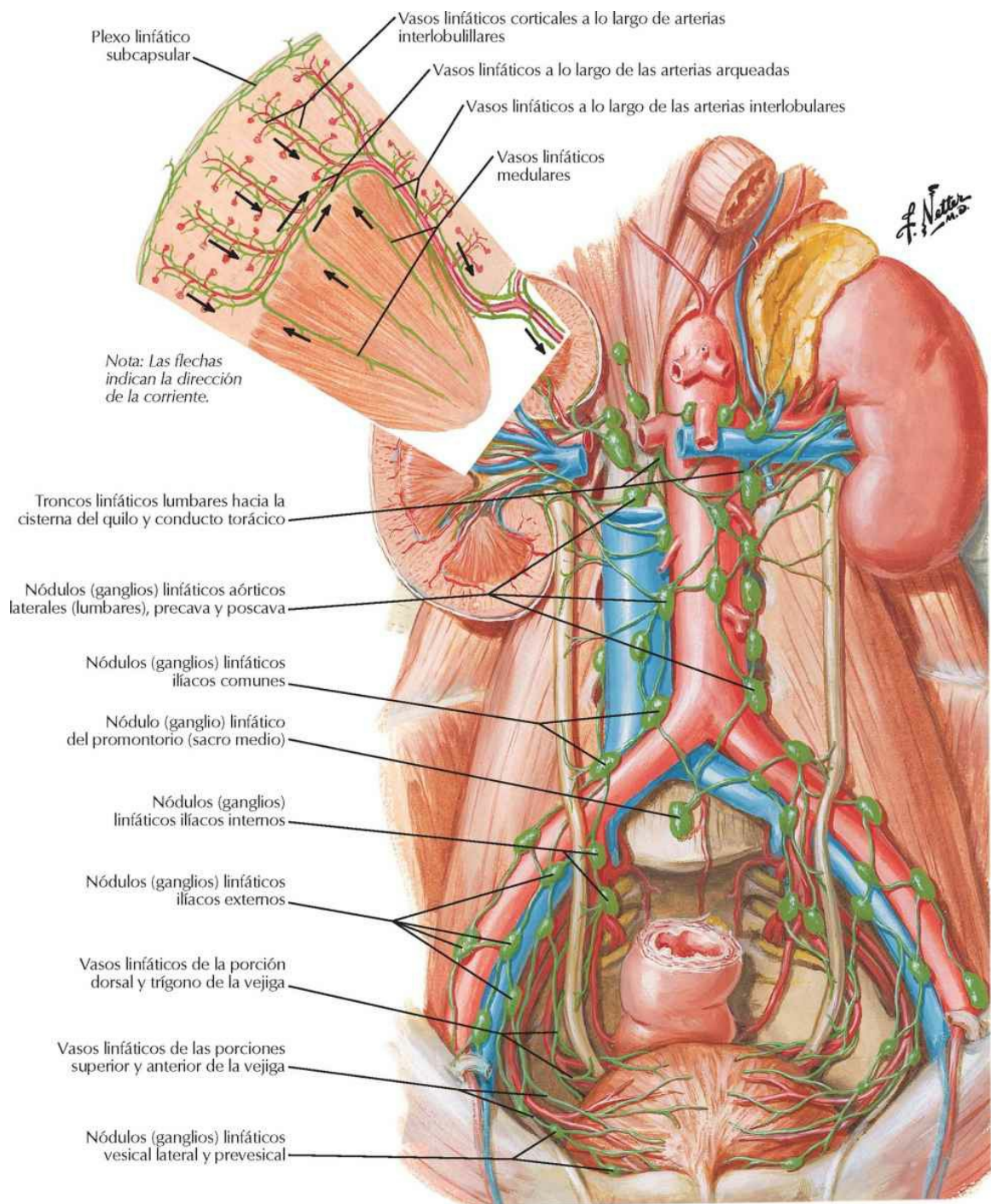


Fascia renal

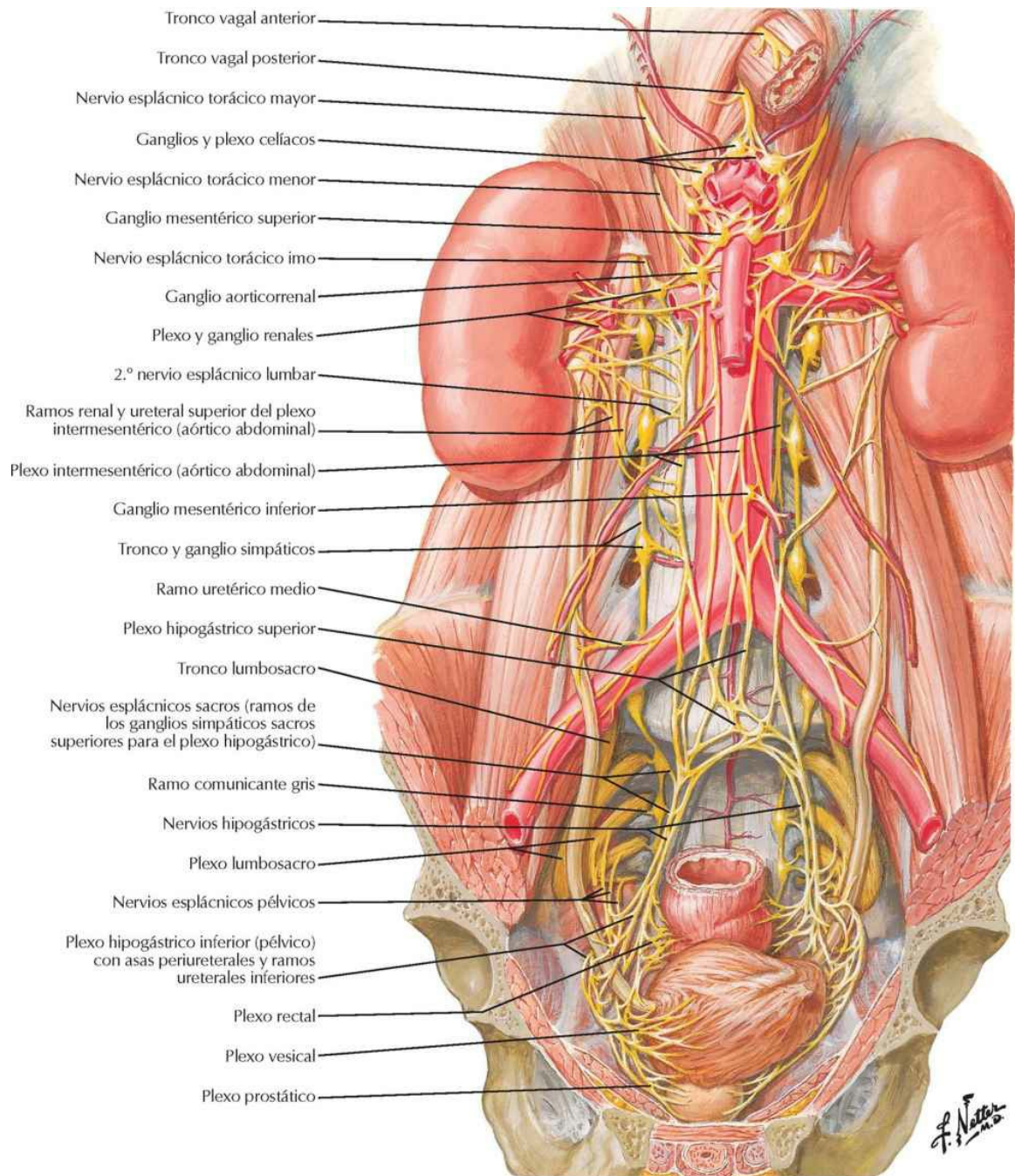


Vasos y nódulos (ganglios) linfáticos de los riñones y vejiga urinaria

Véanse también láminas 388, 390

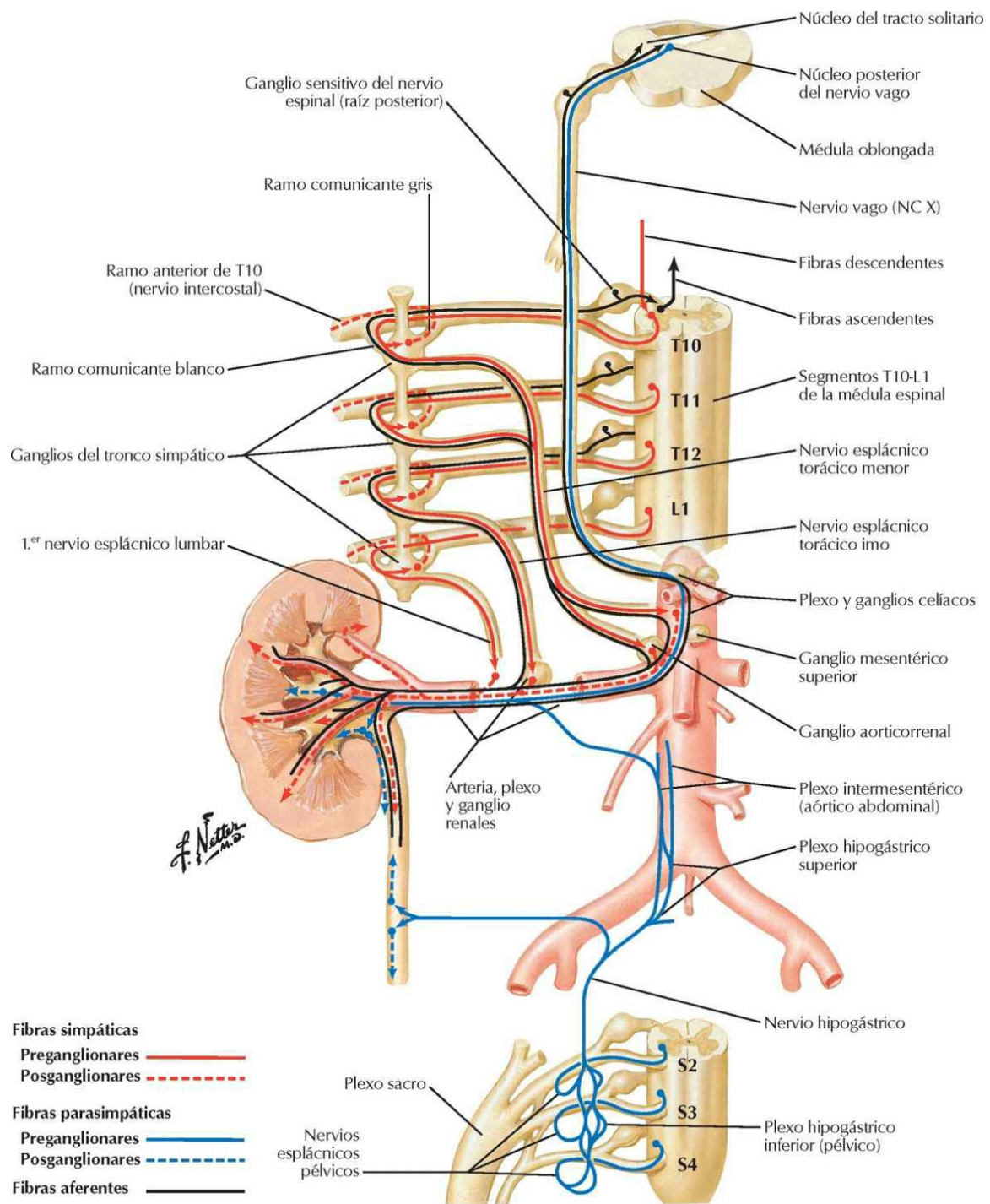


Nervios autónomos de riñones, uréteres y vejiga urinaria



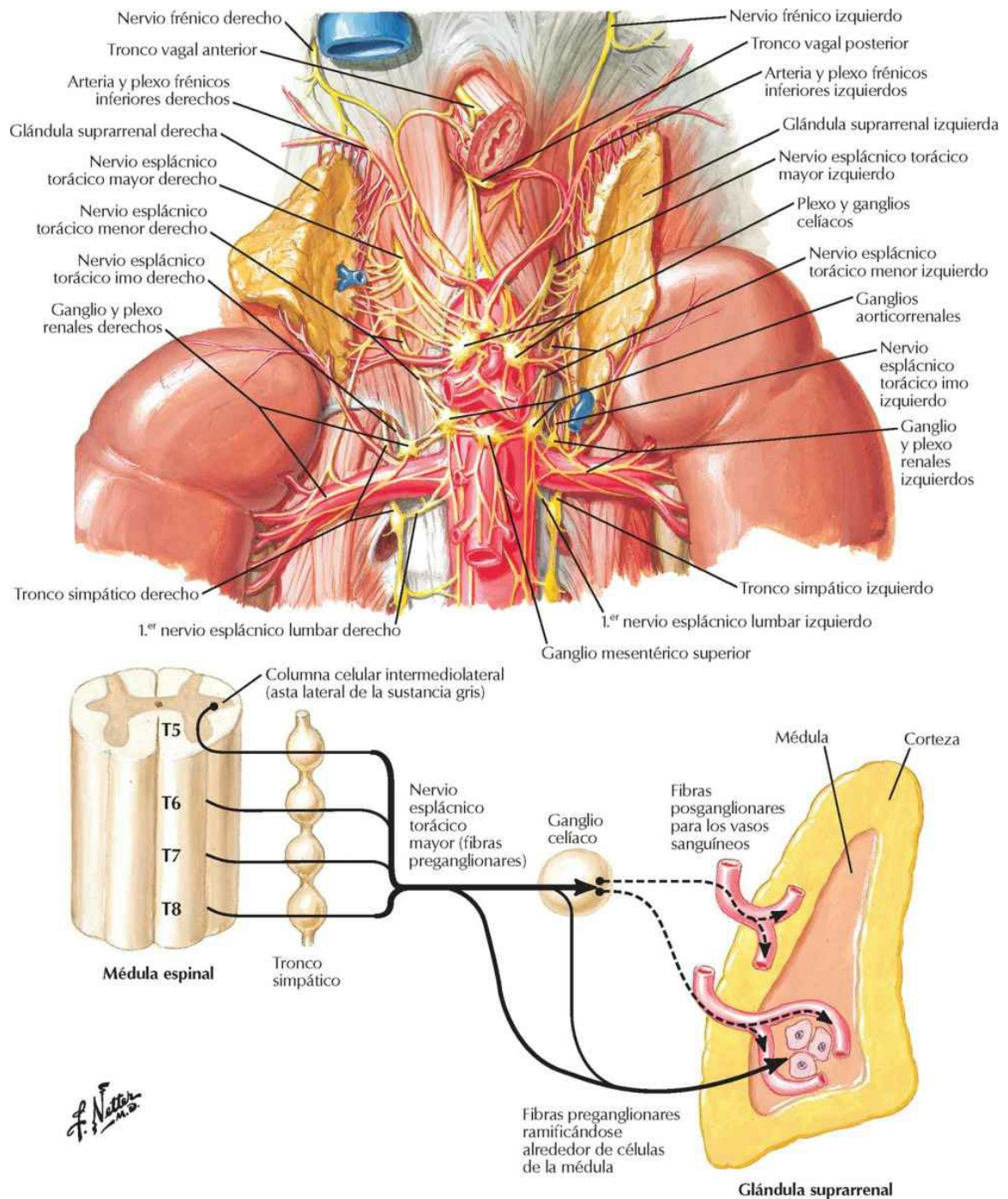
Inervación autónoma de los riñones y porciones superiores de los uréteres

Véanse también láminas 172, 173, 399

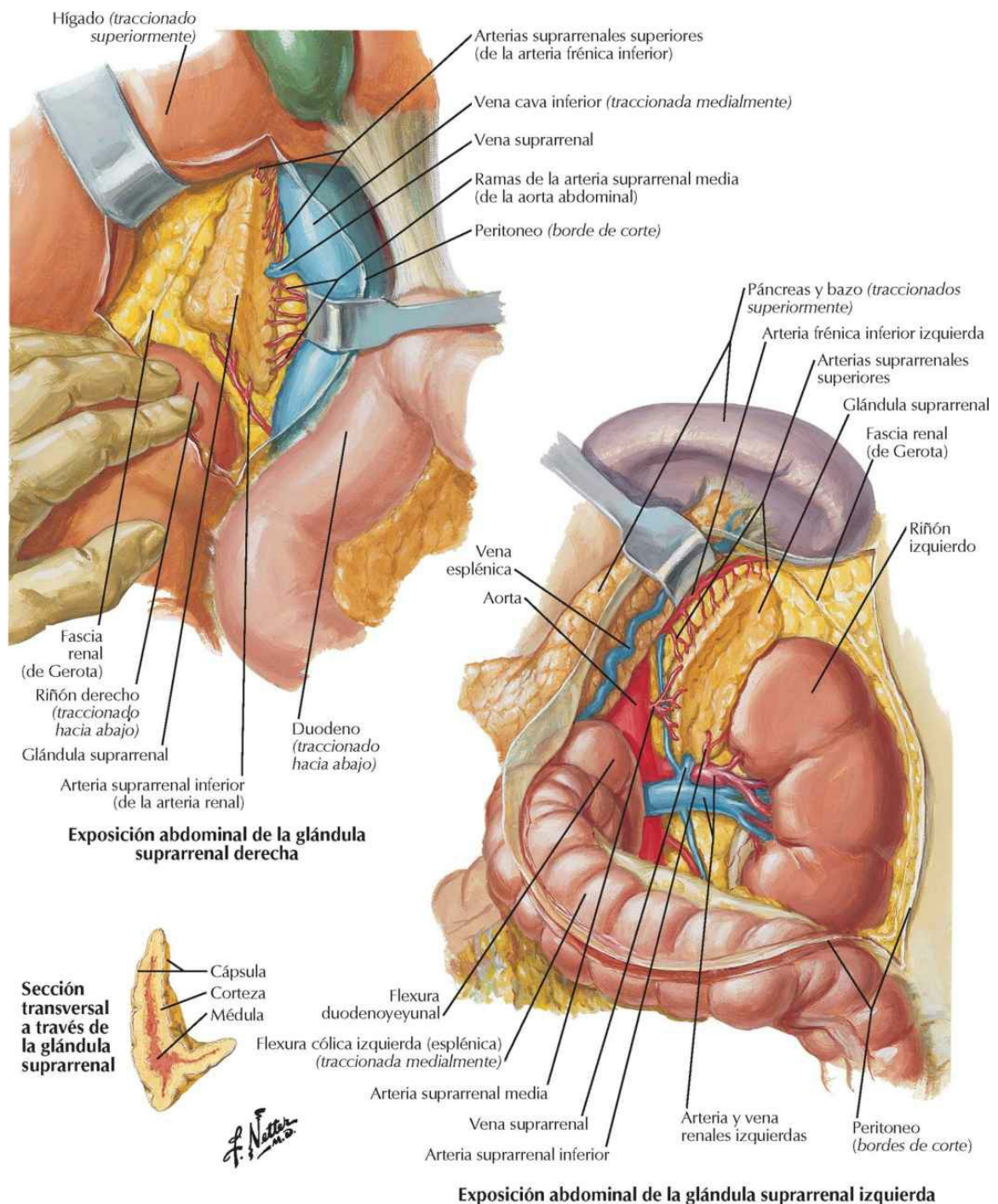


Nervios autónomos de las glándulas suprarrenales: disección y esquema

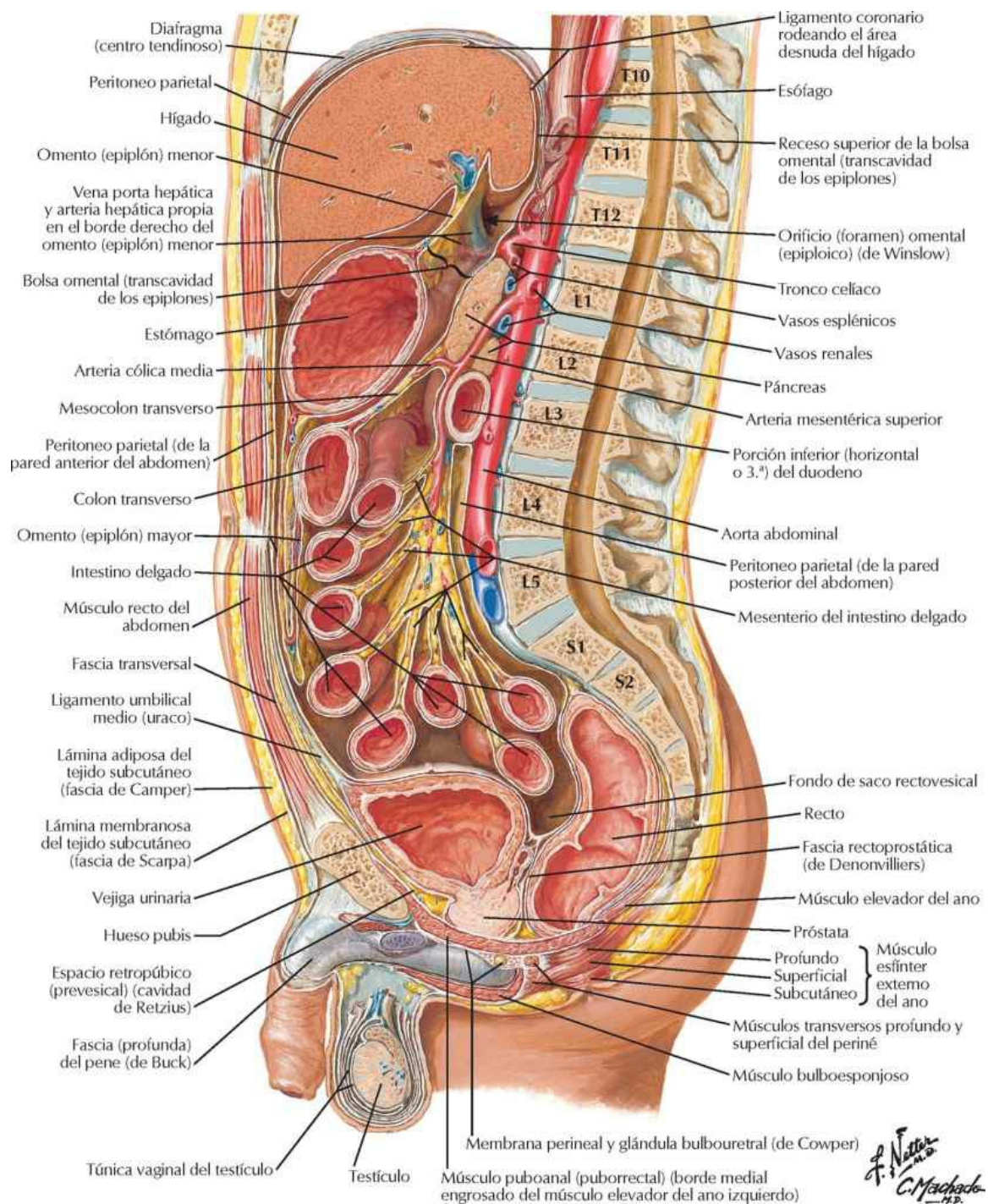
Véanse también láminas 172, 173



Arterias y venas de las glándulas suprarrenales *in situ*

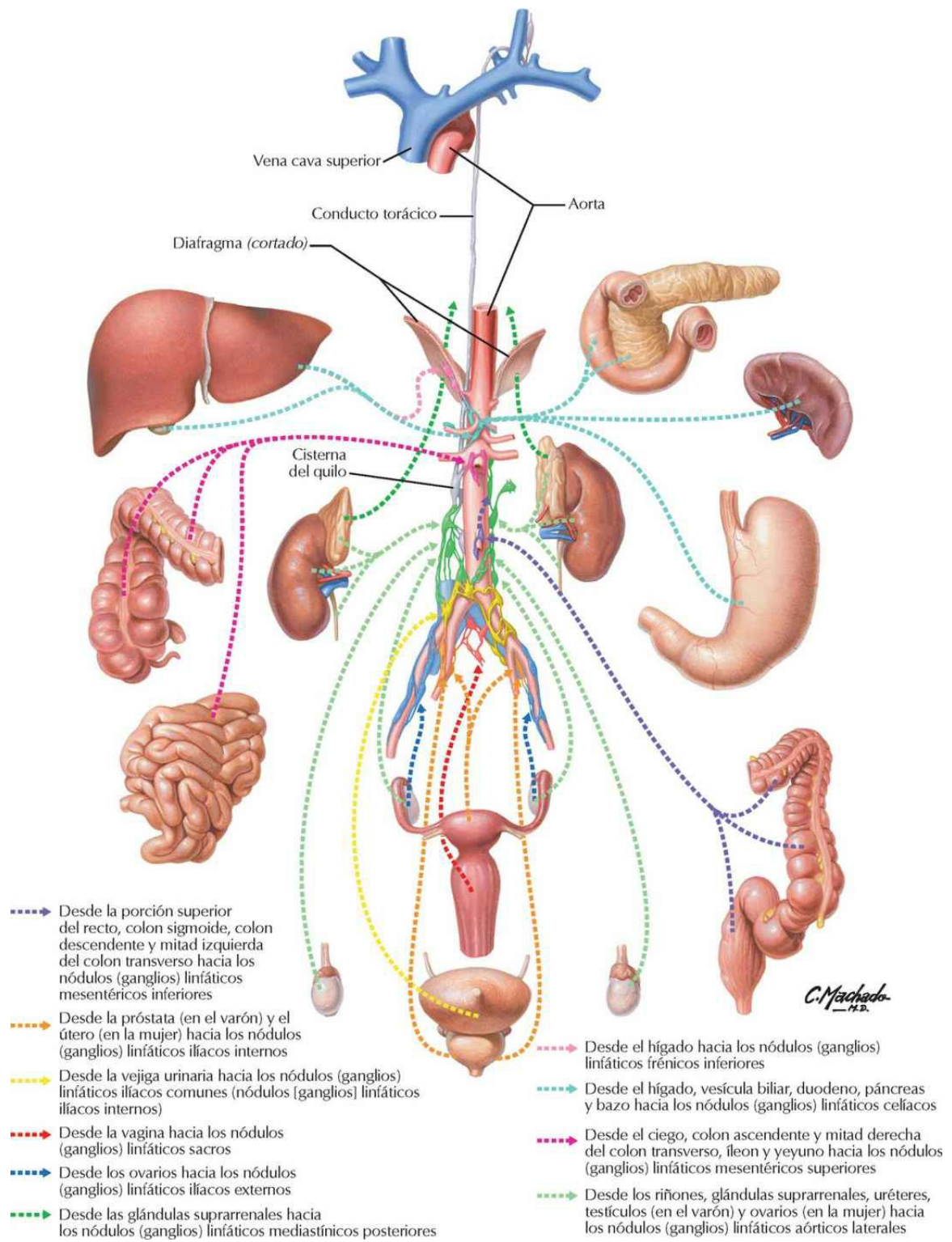


Pared y vísceras abdominales: sección paramediana (parasagital)



Linfáticos

Vías linfáticas abdominales y pélvicas: esquema

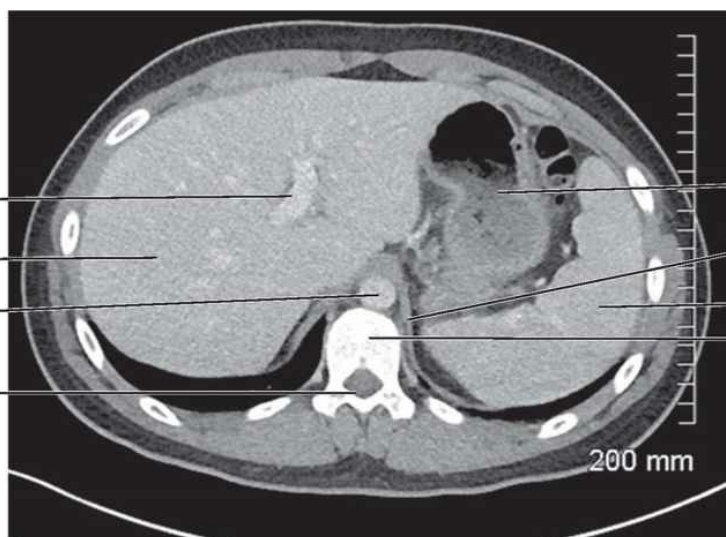


Exploraciones regionales

TC axiales (transversales) del abdomen

**TC axial (transversal)
del abdomen con
intensificación
de contraste
intravenoso**

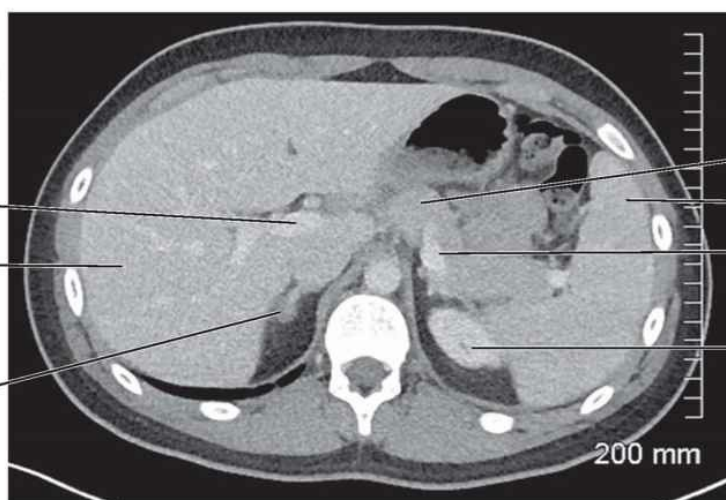
Vena porta hepática
Hígado
Aorta
Conducto vertebral



Estómago
Pilar izquierdo
del diafragma
Bazo
Cuerpo vertebral

**TC axial (transversal)
de la porción
superior del abdomen
con intensificación
de contraste intravenoso**

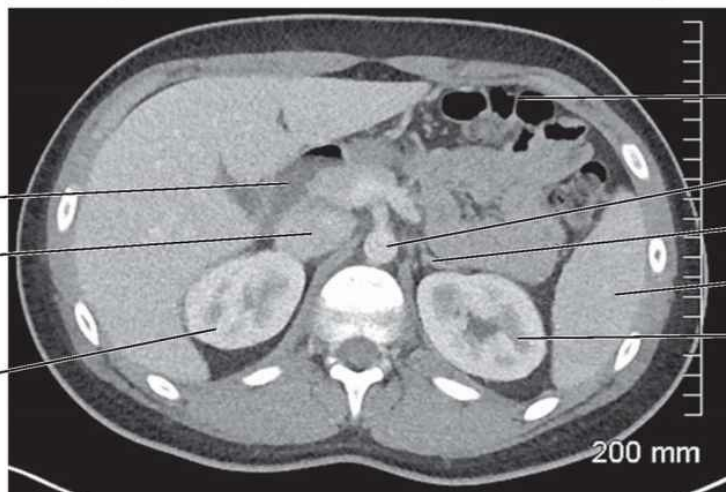
Vena porta hepática
Hígado
Glándula
suprarrenal derecha



Cuerpo del páncreas
Bazo
Vena esplénica
Glándula suprarrenal
izquierda

**TC axial (transversal)
de la porción media
del abdomen con
intensificación de
contraste intravenoso**

Duodeno
Vena cava inferior
Riñón derecho

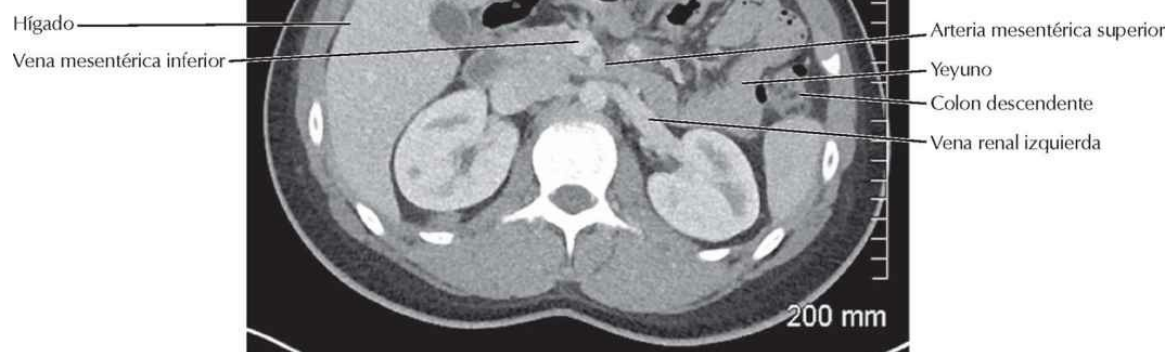


Colon, flexura cólica
izquierda (esplénica)
Aorta
Glándula suprarrenal
izquierda
Bazo
Riñón izquierdo

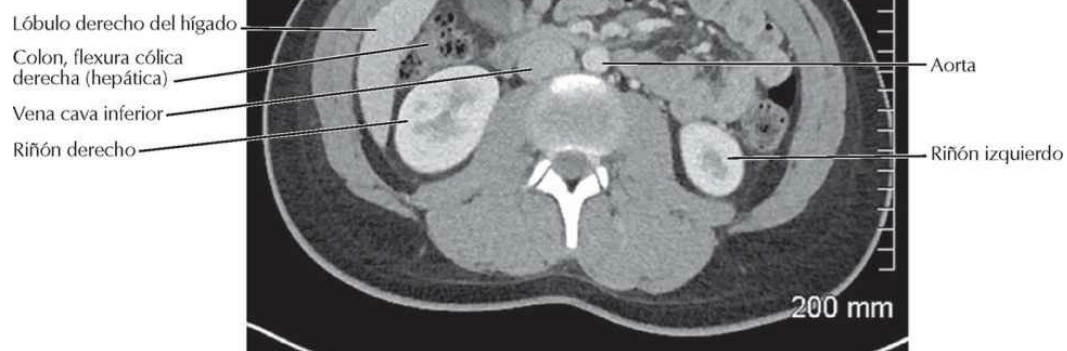
**TC axial (transversal)
de la porción media
del abdomen con
intensificación de
contraste intravenoso**



**TC axial (transversal)
del abdomen con
intensificación de
contraste intravenoso**

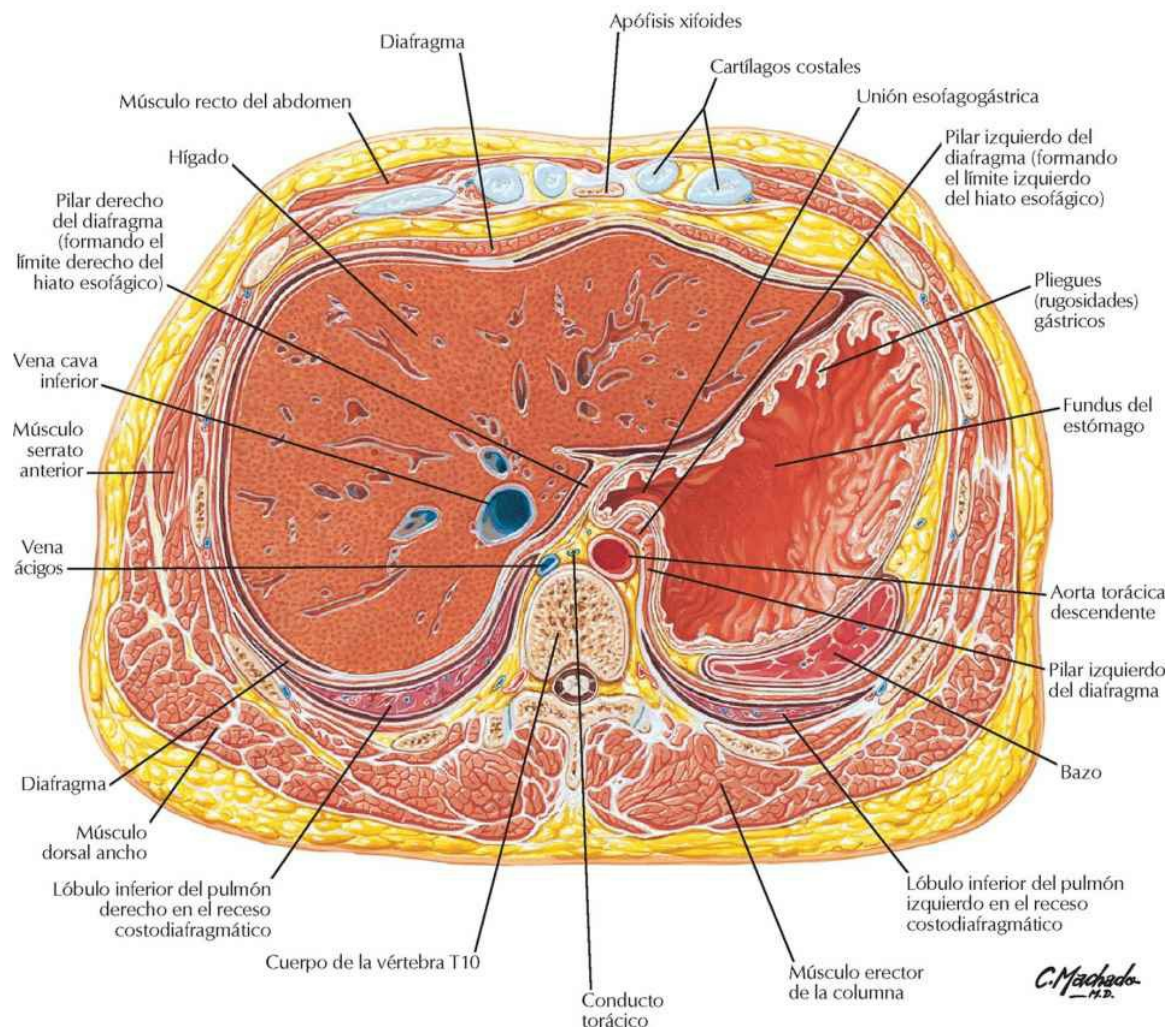
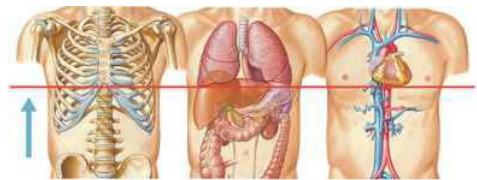


**TC axial (transversal)
del abdomen con
intensificación de
contraste intravenoso**

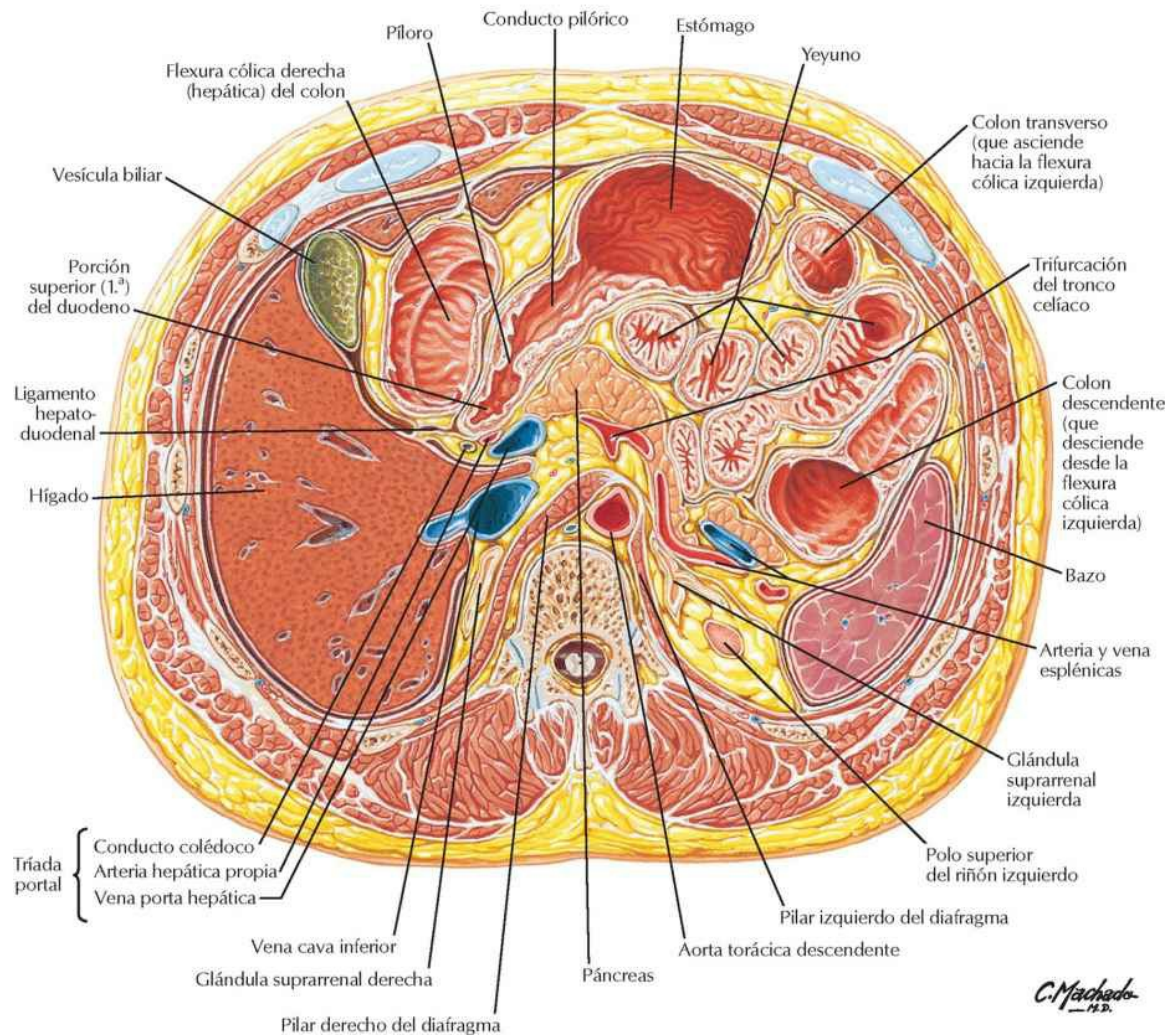
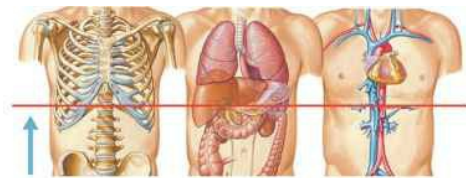


Anatomía seccional

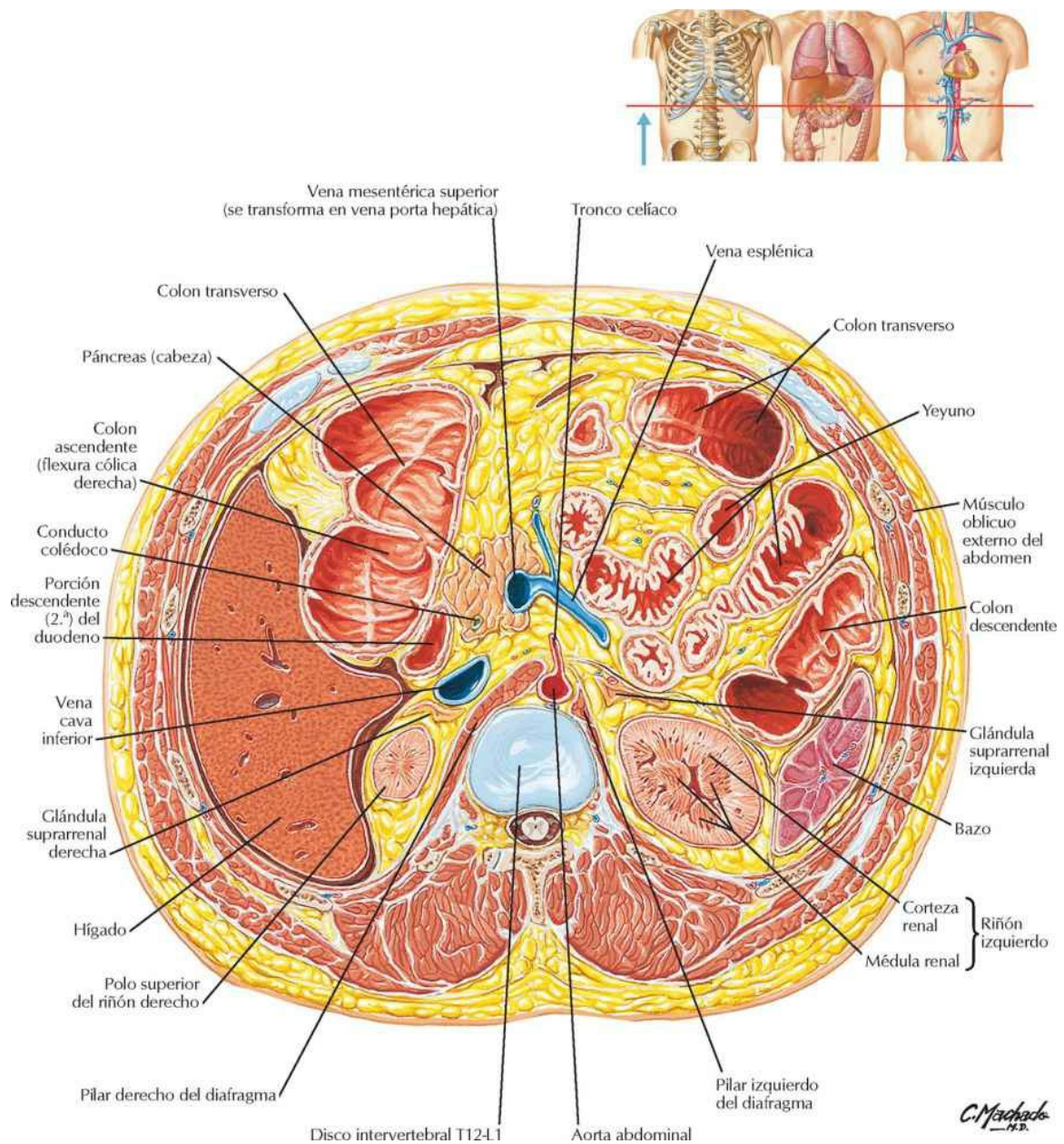
**Sección transversal a nivel de T10,
unión gastroesofágica**



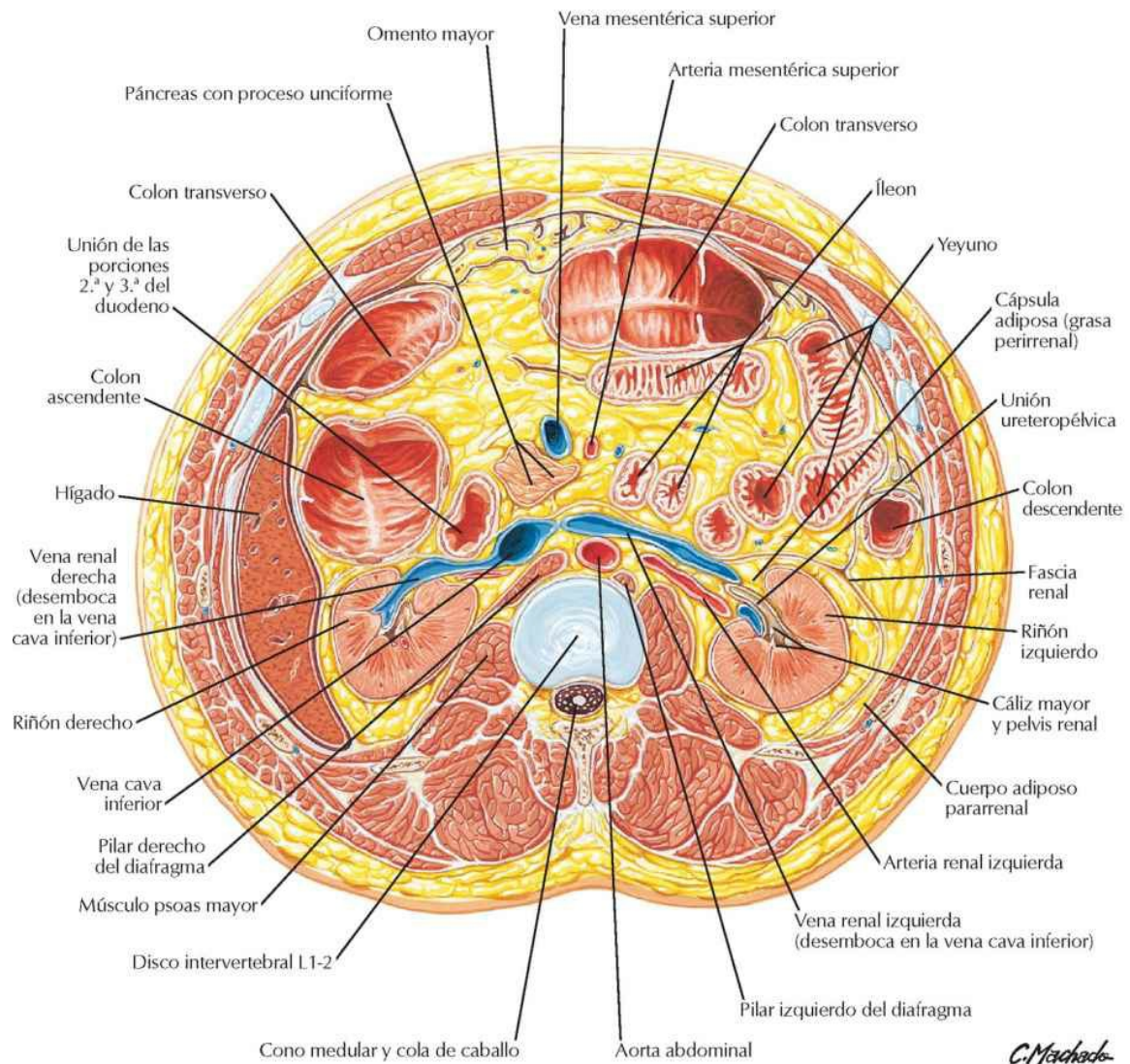
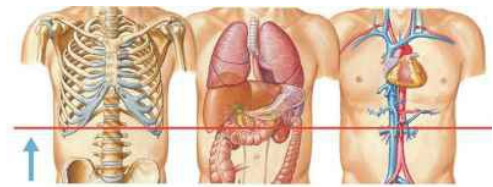
Sección transversal a nivel de T12, inferior a la apófisis xifoides



Sección transversal a nivel de T12-L1, disco intervertebral



Sección transversal a nivel de L1-2, disco intervertebral



Sección transversal a nivel de L3-4

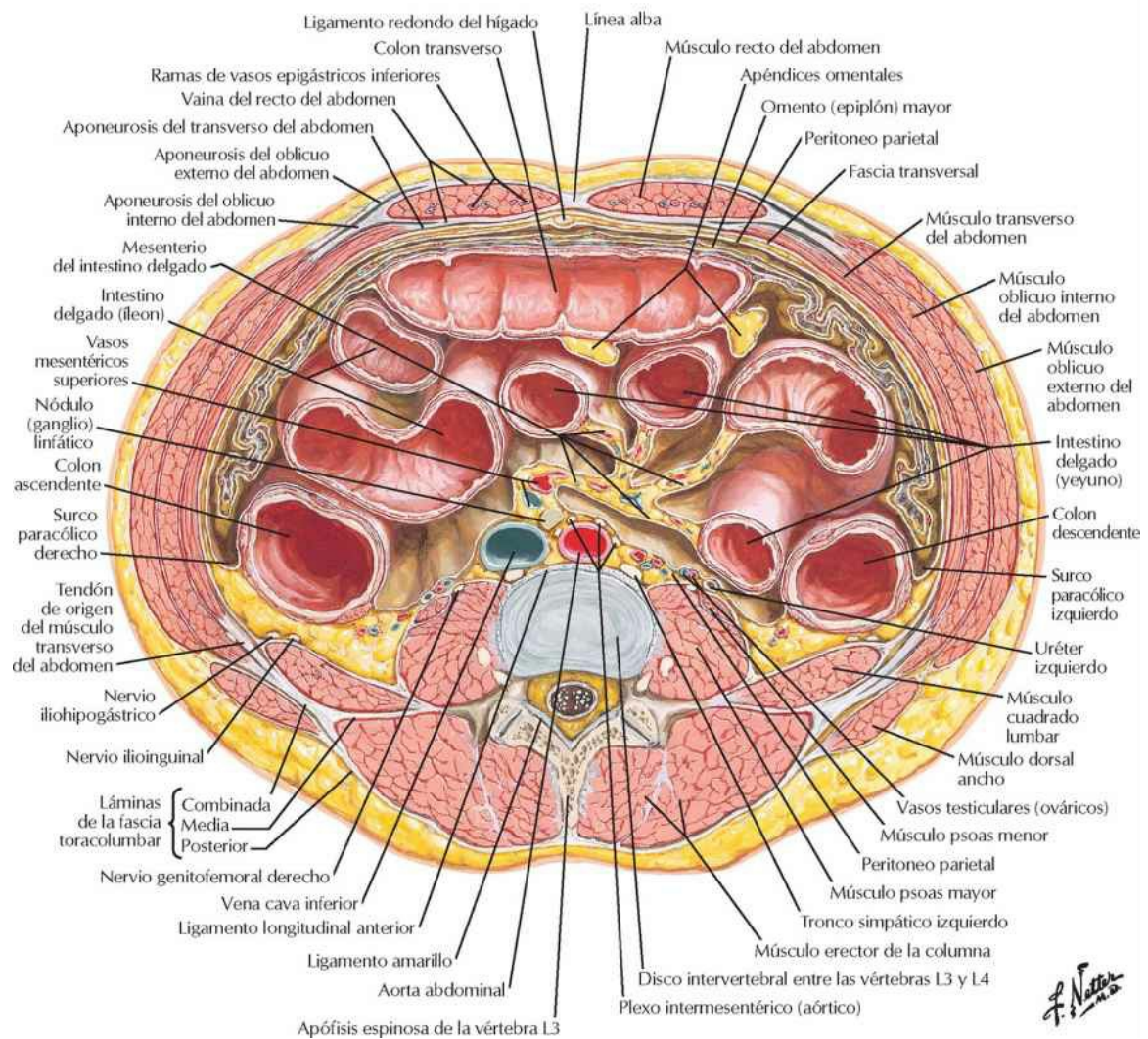







Tabla clínica

Estructuras con gran* significación clínica

Tabla 5.1

Tablas clínicas

ESTRUCTURAS ANATÓMICAS	IMPORTANCIA CLÍNICA	NÚMEROS DE LÁMINAS
 SISTEMA TEGUMENTARIO		
Ombigo	Estructura de referencia para la localización del plano transumbilical, que se utiliza para dividir el abdomen en cuadrantes; marca la posición del dermatoma T10; se usa para localizar el punto de McBurney; localización habitual de hernias en la pared abdominal	249, 251
 SISTEMA ESQUELÉTICO		
Apófisis xifoides, sínfisis del pubis	Relieves palpables que se usan para localizar el plano sagital medio, que se utiliza para dividir el abdomen en cuadrantes	249
Espina iliaca anterior superior (EIAS)	Relieve palpable que se usa para localizar el punto de McBurney; el dolor a la palpación sobre el punto de McBurney es un indicio de apendicitis	250, 282
 SISTEMA MUSCULAR		
Línea alba	Lugar utilizado para las incisiones abdominales ya que en esta región hay una ausencia significativa de ramos vasculonerviosos	249, 254
Ligamento inguinal	Referencia superficial que marca la división entre la pared abdominal y el muslo	249, 253
Triángulo inguinal (de Hesselbach)	Área débil en la pared anterior del abdomen donde el contenido abdominal puede herniarse, produciendo una hernia inguinal directa	256, 262
Anillo inguinal profundo (interno)	Orificio en la pared anterior del abdomen donde el contenido abdominal puede herniarse, produciendo una hernia inguinal indirecta	262, 263
Anillo femoral	Orificio medial a los vasos ilíacos externos donde el contenido abdominal puede herniarse, produciendo una hernia femoral	264
Hiato esofágico del diafragma	El ensanchamiento de este orificio permite al estómago protruir en el mediastino, provocando reflujo gastroesofágico	269, 271
 SISTEMA DIGESTIVO		
Hígado	Palpable inferiormente al arco (reborde) costal derecho	270, 276
Unión gastroesofágica	Las relajaciones transitorias o la hipotonía del esfínter esofágico inferior pueden causar enfermedad por reflujo gastroesofágico (ERGE)	277, 328
Estómago, duodeno	Lugar de formación de úlceras pépticas	276, 277
Apéndice vermiforme	Propenso a la inflamación y rotura	280, 282
Colon	Localización frecuente de divertículos; la colonoscopia se realiza para explorar el cáncer de colon	283
Vesícula biliar	Palpable en la unión del arco (reborde) costal derecho y la línea medioclavicular; puede inflamarse (colecistitis) y provocar dolor; los cálculos biliares pueden obstruir los conductos biliares	284, 309
 SISTEMA URINARIO		
Riñón	Mantiene el equilibrio hidroelectrolítico; puede desarrollar cálculos renales	314


ESTRUCTURAS ANATÓMICAS	IMPORTANCIA CLÍNICA	NÚMEROS DE LÁMINAS
	SISTEMA ENDOCRINO	
	<p>Páncreas</p> <p>Debido a su posición retroperitoneal, el dolor pancreático se refiere típicamente al dorso; un tumor maligno de la cabeza del páncreas puede comprimir el conducto colédoco</p>	288, 310

Tabla 5.2

Tablas clínicas

ESTRUCTURAS ANATÓMICAS	IMPORTANCIA CLÍNICA	NÚMEROS DE LÁMINAS
 <p>SISTEMA NERVIOSO</p>		
Nervios ilioinguinal y genitofemoral	Intervienen en el reflejo cremastérico, que valora la integridad del nervio espinal L1	269
Nervios intercostales, subcostal e iliohipogástrico	Conducen las sensaciones dolorosas bien localizadas de la pared abdominal y el peritoneo parietal; el dolor de distribución en dermatomas indica problemas en los nervios espinales (p. ej., infección por herpes zóster)	260
Fibras simpáticas de la arteria renal	La hipertensión arterial refractaria al tratamiento puede tratarse en algunos pacientes desnervando las fibras simpáticas que corren a lo largo de las arterias renales	300, 321
Ganglio celiaco	Algunos pacientes con pancreatitis crónica y dolor intratable son sometidos a bloqueo del ganglio celiaco	301, 310
Nervios espláncnicos simpáticos	Conducen sensaciones dolorosas desde las vísceras abdominales que a menudo se refieren a otras localizaciones; el cuadrante en que se localiza el dolor y la zona de radiación proporcionan las pistas para la fuente del dolor	303, 306
Nervio iliohipogástrico	La nefrectomía a través del músculo cuadrado lumbar puede lesionar el nervio iliohipogástrico, con la consiguiente anestesia por encima del pubis	312
 <p>SISTEMA CARDIOVASCULAR</p>		
Anastomosis arteriales de la pared anterior del abdomen	Hay anastomosis entre las arterias epigástricas y las arterias torácicas internas y entre las arterias circunflejas ilíacas, intercostales y torácicas laterales	258
Anastomosis venosas de la pared anterior del abdomen	Hay anastomosis entre las venas epigástricas y las venas torácicas internas y entre las venas circunflejas ilíacas, toracoepigástricas y torácicas laterales	259
Venas paraumbilicales	En pacientes con hipertensión portal pueden estar dilatadas, formando una cabeza de medusa	259, 299
Arteria cística	Se liga durante la colecistectomía	291
Arteria mesentérica superior	En pacientes delgados o que han sufrido una pérdida importante reciente de peso puede comprimir la porción horizontal (3. ^a) del duodeno	291, 294
Arterias intestinales	Las áreas sin circulación colateral significativa entre los vasos principales (territorios de las cuencas hidrográficas) se encuentran en riesgo de isquemia	294, 295
Anastomosis de la arteria marginal	La arteria marginal conecta las arterias cólicas derecha, media e izquierda, proporcionando una importante anastomosis para la circulación colateral	295
Venas esofágicas	Pueden dilatarse en la hipertensión portal, dando lugar a varices esofágicas	296, 299
Vena porta hepática	La reducción del flujo sanguíneo a través del hígado (p. ej., debido a cirrosis) puede producir hipertensión portal y dilatación de las tributarias de la vena porta hepática; la sangre puede retornar hacia el corazón a nivel de las anastomosis portosistémicas	298, 299
Vena rectal superior	Tiene anastomosis con las venas rectales sistémicas, que pueden estar dilatadas en la hipertensión portal	298, 299
Aorta abdominal	Localización frecuente de aneurismas en el abdomen, en especial distalmente a las arterias renales	317
 <p>SISTEMA LINFÁTICO</p>		
Bazo	Puede romperse a causa de la fractura de las costillas 9 a 11; la esplenomegalia se valora por palpación	273, 289

*La selección se basa en general en datos clínicos y en correlaciones clínicas discutidas frecuentemente en cursos de anatomía macroscópica.

Tabla de músculos

Tabla 5.3

Tabla de músculos

MÚSCULO	GRUPO MUSCULAR	INSERCIÓN PROXIMAL (ORIGEN)	INSERCIÓN DISTAL (INSERCIÓN)	INERVACIÓN	IRRIGACIÓN	ACCIONES PRINCIPALES
Cuadrado lumbar	Posterior de la pared abdominal	Mitad medial del borde inferior de la 12. ^a costilla, vértices de las apófisis transversas lumbares	Ligamento iliolumbar, labio interno de la cresta iliaca	Ramos anteriores de T12 y los cuatro primeros nervios lumbares	Arteria iliolumbar	Extiende y flexiona lateralmente la columna vertebral, fija la 12. ^a costilla durante la inspiración
Diafragma	Posterior de la pared abdominal	Apófisis xifoides, seis cartílagos costales inferiores, vértebras L1-L3	Converge en el centro tendinoso	Nervio frénico	Arterias pericardiofrénica, musculofrénica, frénicas superior e inferior	Tracciona del centro tendinoso hacia abajo y hacia delante durante la inspiración
Oblicuo externo del abdomen	Anterior de la pared abdominal	Caras externas de las costillas 5-12	Línea alba, tubérculo del pubis, mitad anterior de la cresta iliaca	Ramos anteriores de los seis nervios torácicos inferiores	Arterias epigástricas superior e inferior	Comprime y sostiene las vísceras abdominales, flexiona y rota el tronco
Oblicuo interno del abdomen	Anterior de la pared abdominal	Fascia toracolumbar, 2/3 anteriores de la cresta iliaca, mitad lateral del ligamento inguinal	Bordes inferiores de las costillas 10-12, línea alba, pubis a través del tendón conjunto	Ramos anteriores de los seis nervios torácicos inferiores y primer nervio lumbar	Arterias epigástricas superior e inferior y circunfleja iliaca profunda	Comprime y sostiene las vísceras abdominales, flexiona y rota el tronco
Piramidal	Anterior de la pared abdominal	Cuerpo del pubis, anterior al recto del abdomen	Línea alba	Nervio iliohipogástrico	Arteria epigástrica inferior	Tensa la línea alba
Psoas mayor	Posterior de la pared abdominal	Apófisis transversas de las vértebras lumbares, lados de los cuerpos de las vértebras T12-L5, discos intervertebrales correspondientes	Trocánter menor del fémur	Ramos anteriores de los tres primeros nervios lumbares	Ramas lumbares de la arteria iliolumbar	Actuando superiormente con el iliaco, flexiona la cadera; actuando inferiormente, flexiona lateralmente la columna vertebral; se usa para equilibrar el tronco en posición sentada; actuando inferiormente con el iliaco, flexiona el tronco
Psoas menor	Posterior de la pared abdominal	Límites de los cuerpos vertebrales T12-L1, disco intervertebral correspondiente	Línea pectínea, eminencia iliopectínea	Ramo anterior del primer nervio lumbar	Rama lumbar de la arteria iliolumbar	Flexiona la pelvis sobre la columna vertebral
Recto del abdomen	Anterior de la pared abdominal	Sinfisis del pubis, cresta del pubis	Apófisis xifoides, cartílagos costales 5-7	Ramos anteriores de los seis nervios torácicos inferiores	Arterias epigástricas superior e inferior	Flexiona el tronco, comprime las vísceras abdominales
Transverso del abdomen	Anterior de la pared abdominal	Caras internas de los cartílagos costales 7-12, fascia toracolumbar, cresta iliaca, tercio lateral del ligamento inguinal	Línea alba con la aponeurosis del oblicuo interno del abdomen, cresta del pubis y pecten del pubis a través del tendón conjunto	Ramos anteriores de los seis nervios torácicos inferiores y primer nervio lumbar	Arterias circunfleja iliaca profunda y epigástrica inferior	Comprime y sostiene las vísceras abdominales

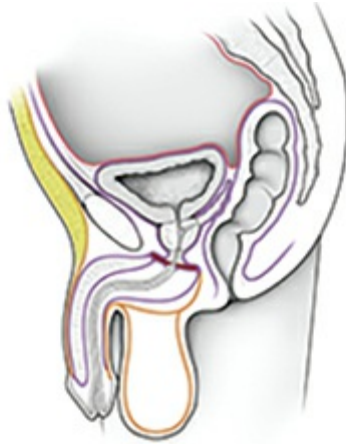
En la anatomía humana son frecuentes las variaciones en la contribución de los nervios espinales a la inervación de los músculos,

en su irrigación arterial, sus inserciones y sus acciones. Por tanto, existen diferencias entre los distintos textos y hay que entender que las variaciones anatómicas son normales.

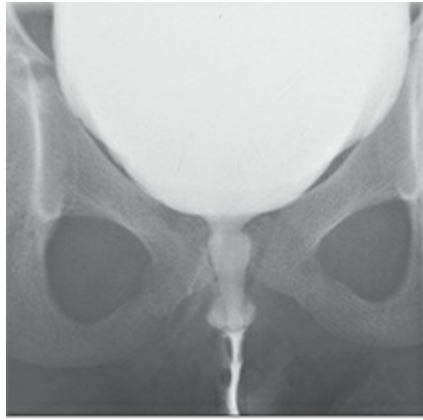
PELVIS Y PERINÉ

Anatomía de superficie	333
Huesos y ligamentos	334-338
Suelo de la pelvis y contenido	339-349
Vejiga urinaria	350-352
Útero, vagina y estructuras de sostén	353-357
Periné y genitales externos: mujer	358-361
Periné y genitales externos: varón	362-369
Estructuras homólogas de los genitales	370-371
Testículo, epidídimo y conducto deferente	372
Recto	373-378
Exploraciones regionales	379
Vasculatura	380-390
Inervación	391-399
Anatomía seccional	400-401
Estructuras con gran significación clínica	Tablas 6.1-6.2
Tablas de músculos	Tablas 6.3-6.4
Láminas electrónicas extra	BP88-BP98

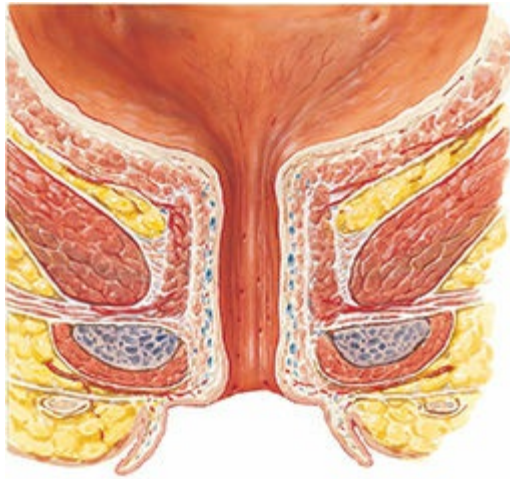
LÁMINAS ELECTRÓNICAS EXTRA



BP88 Fascias de la pelvis y periné masculino y femenino

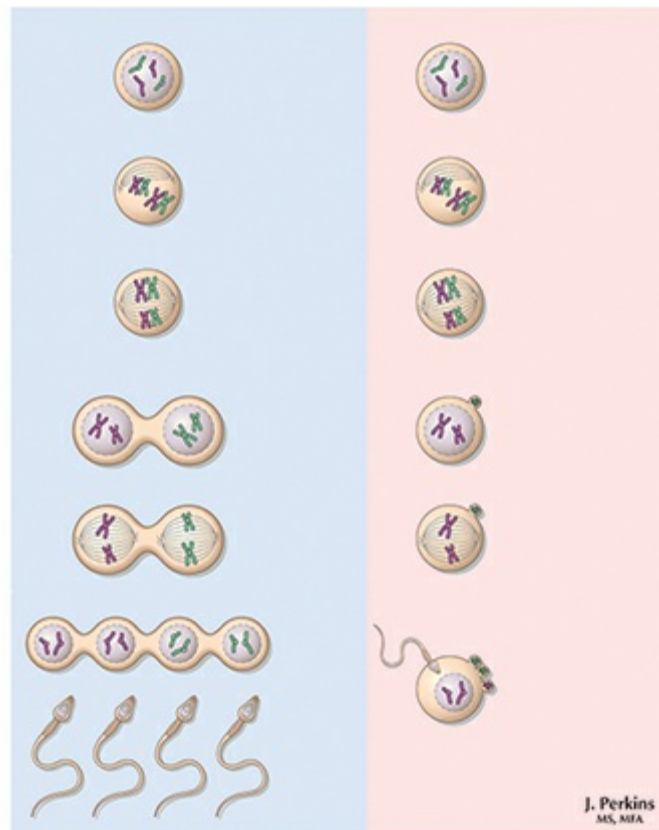


BP89 Cistourethrografías en el varón y la mujer

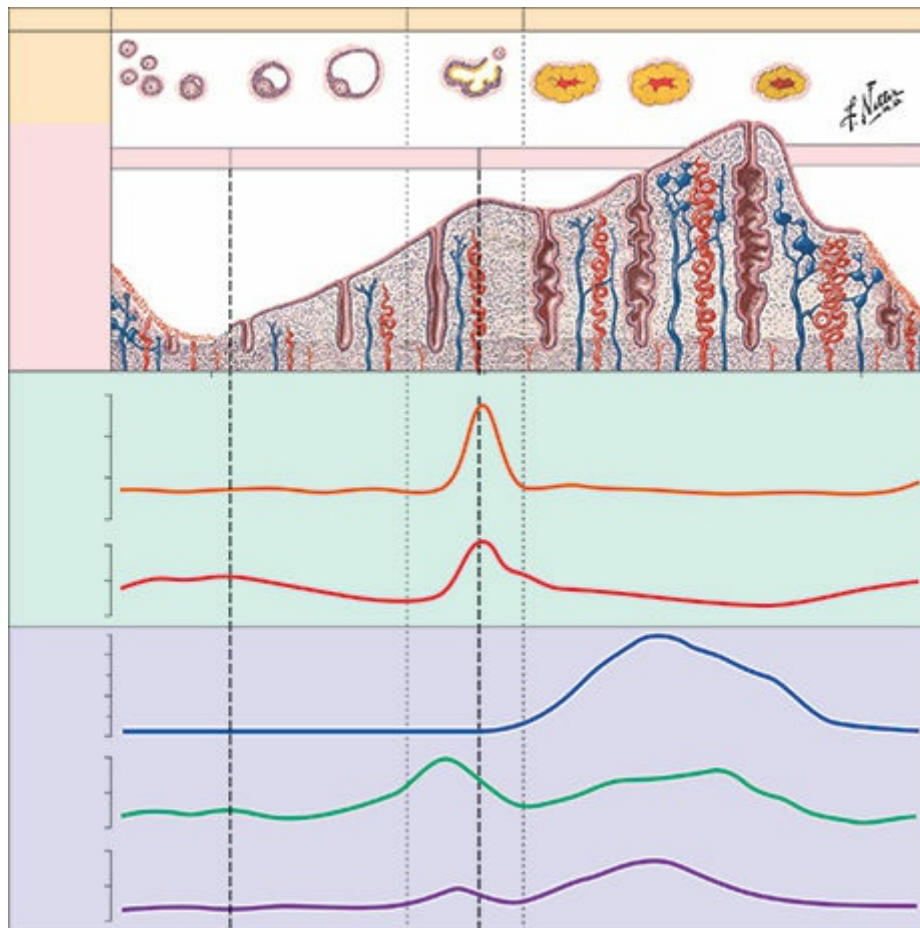


F. N. S.
C. Machado

BP90 Uretra femenina



BP91 Genética de la reproducción



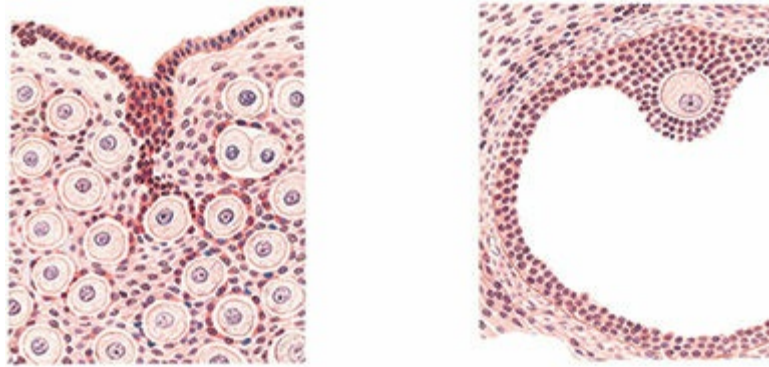
BP92 Ciclo menstrual



BP93 Testículos



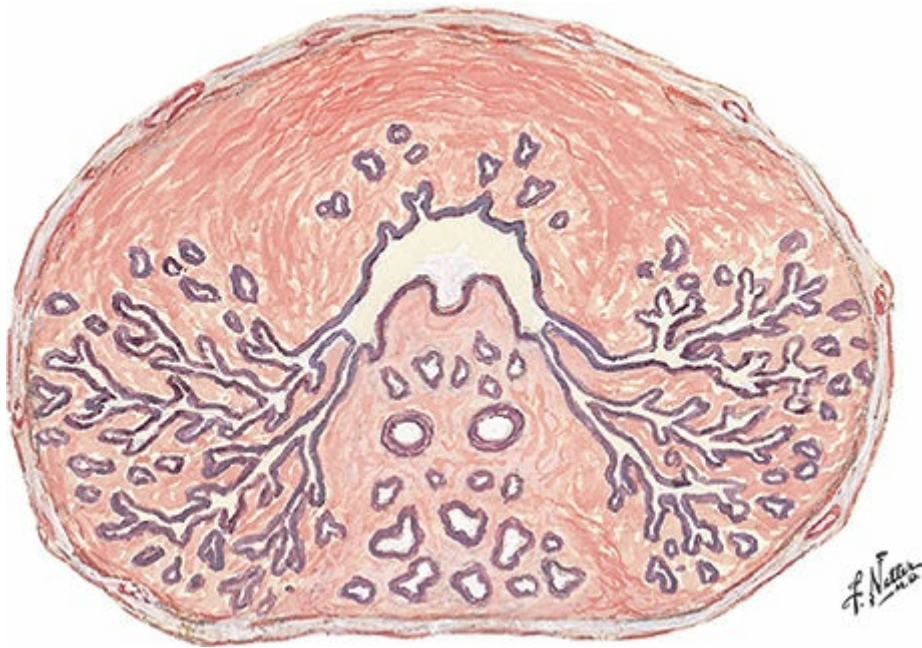
BP94 Desarrollo uterino



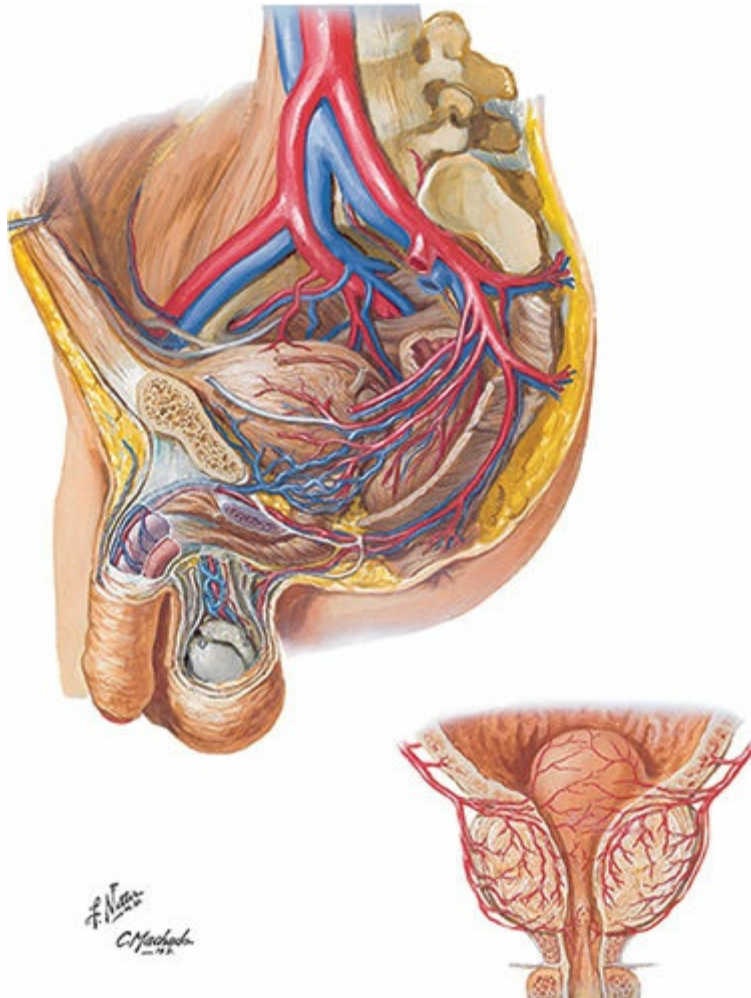
BP95 Ovario, ovocitos y folículos



BP96 Variaciones en el himen



BP97 Sección transversal a través de la próstata

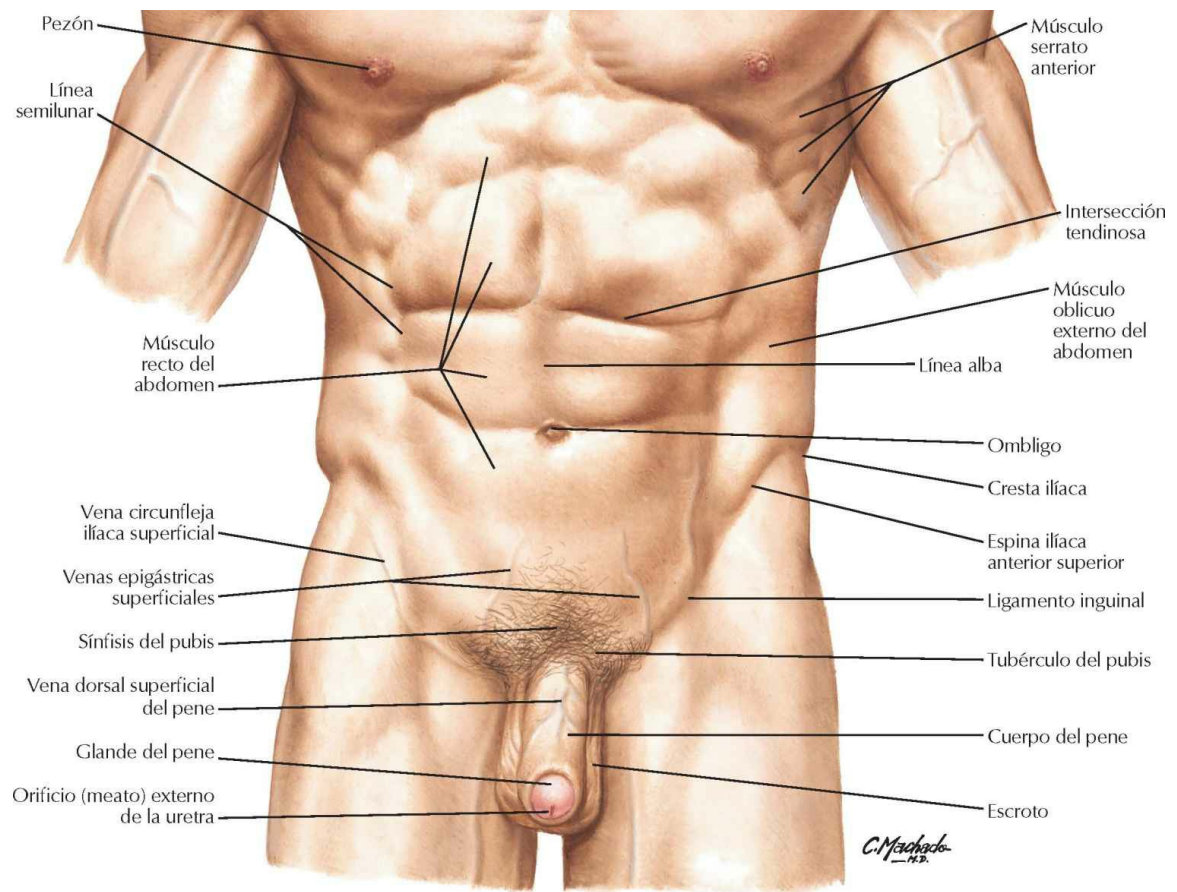


BP98 Arteria y venas de la pelvis: varón

Anatomía de superficie

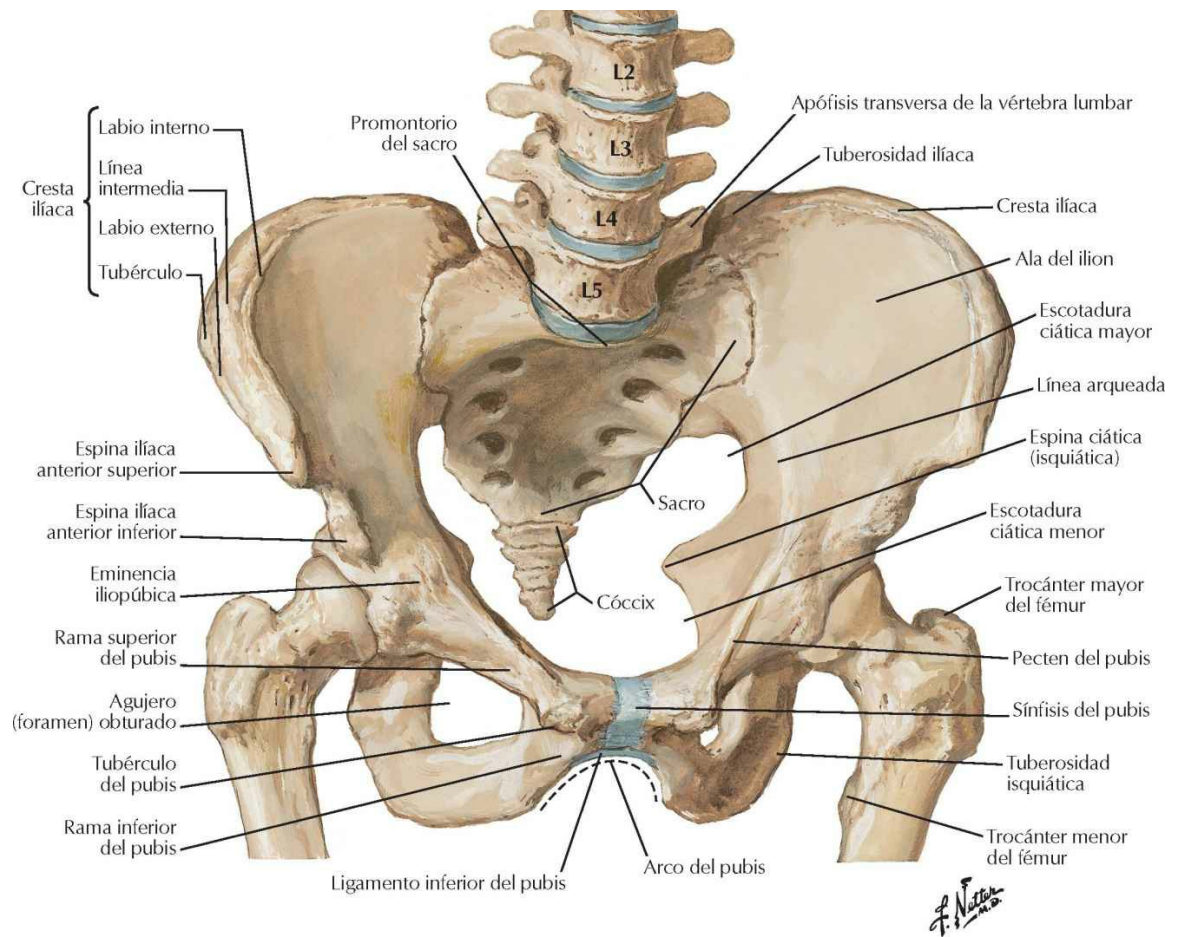
Pelvis y periné: anatomía de superficie

Véanse también láminas 171, 252



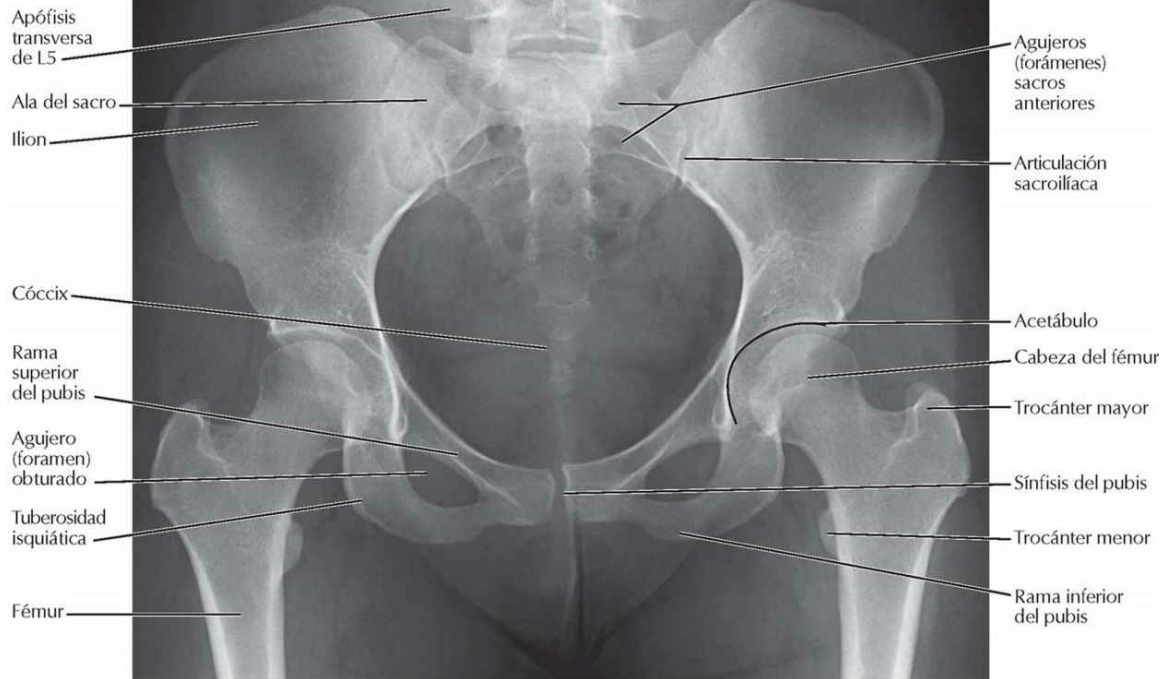
Huesos y ligamentos

Esqueleto óseo de la pelvis

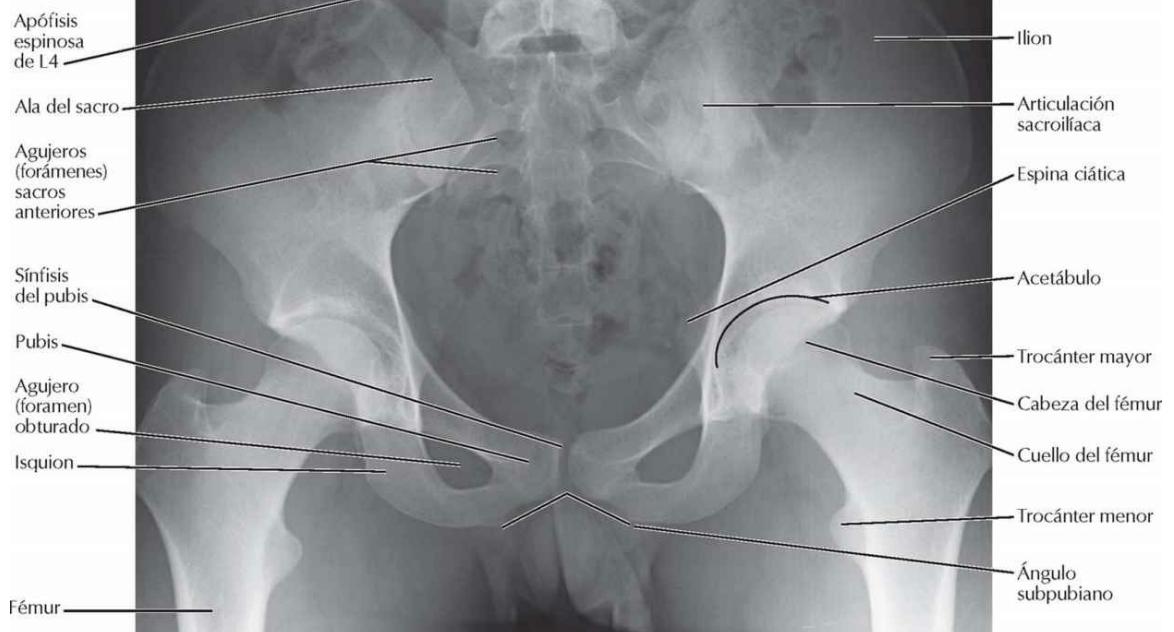


Radiografías de la pelvis: femenina y masculina

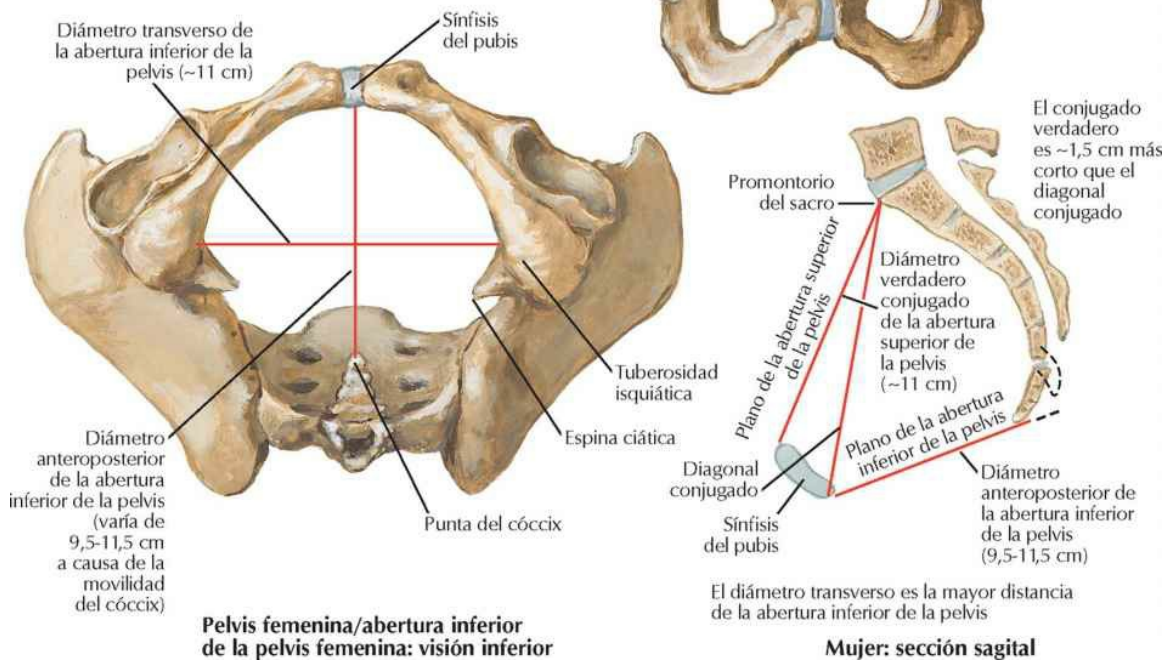
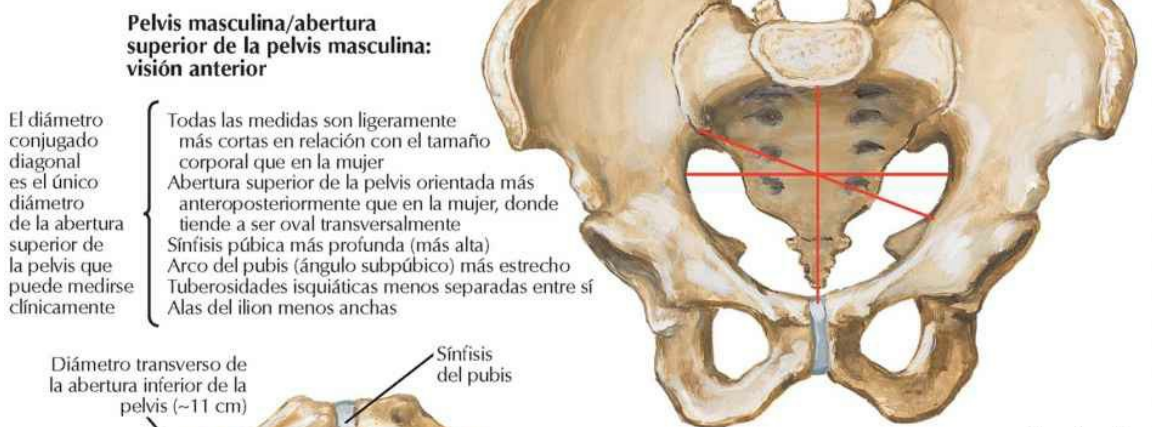
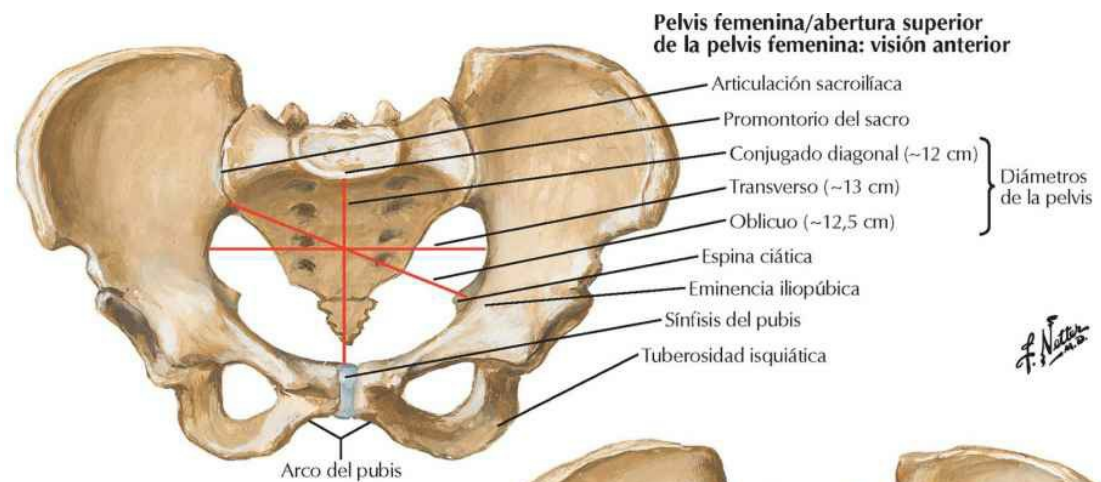
Pelvis femenina



Pelvis masculina

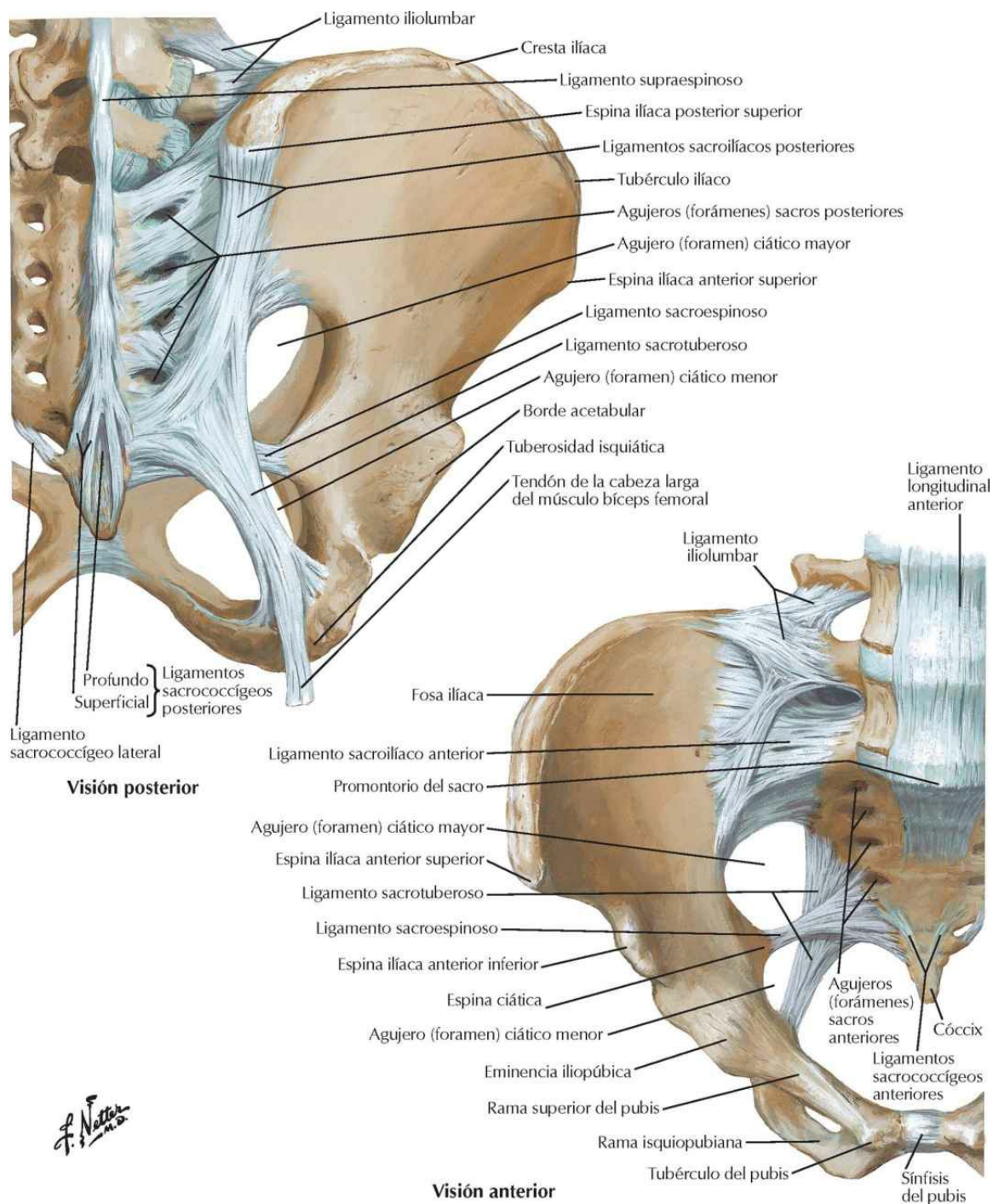


Diferencias sexuales de la pelvis: medidas
Véase también lámina 250

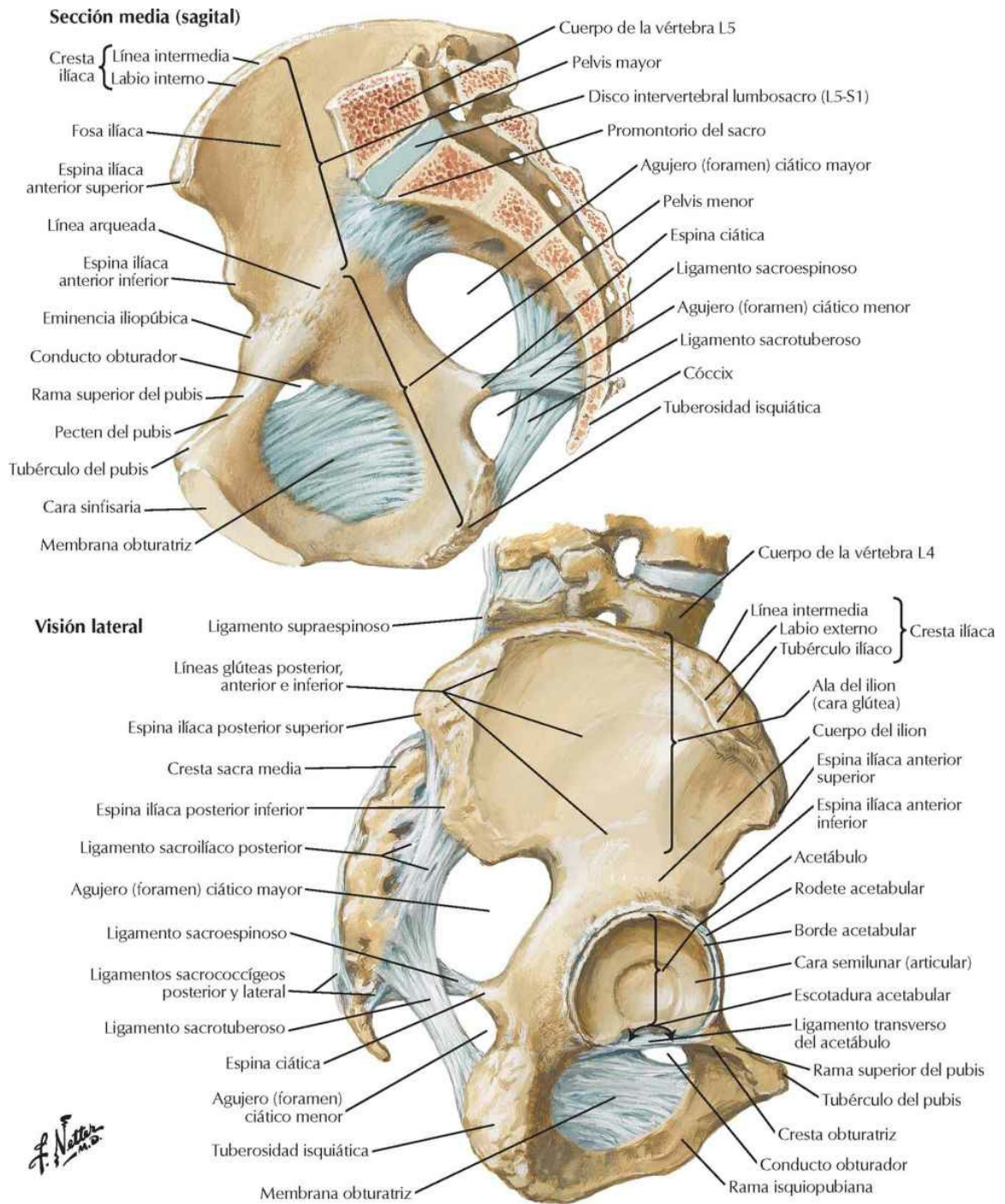


Huesos y ligamentos de la pelvis

Véase también lámina 167



Véase también lámina 167

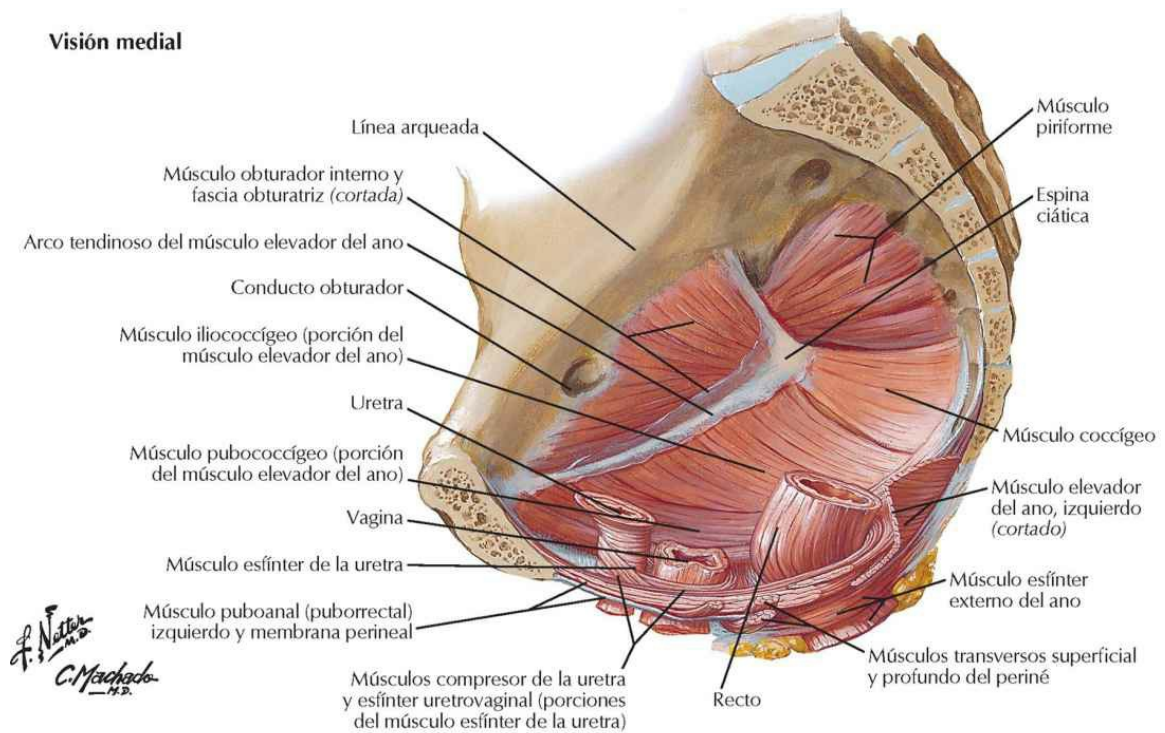


Suelo de la pelvis y contenido

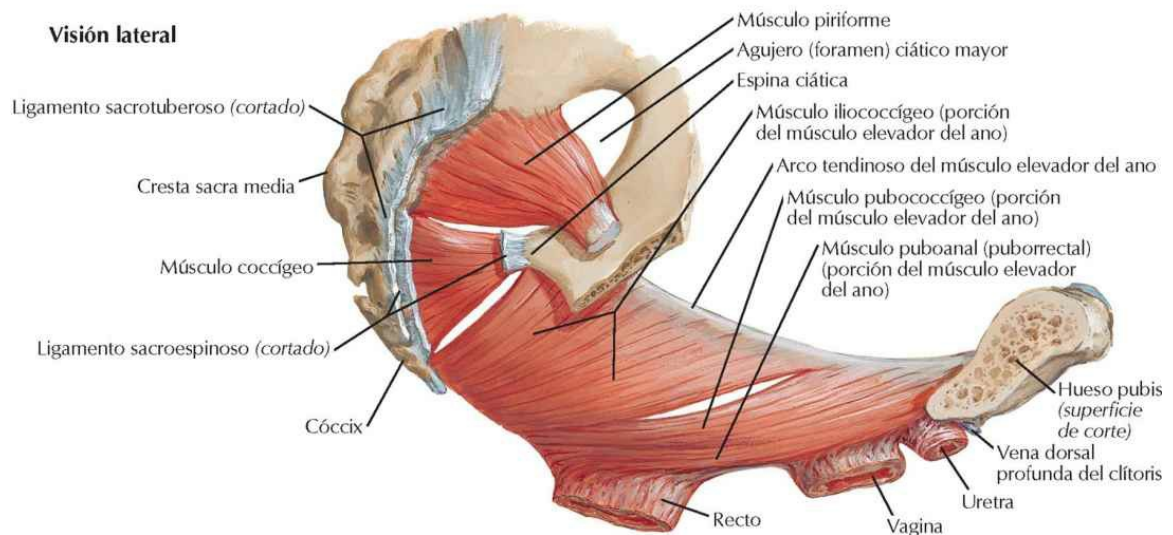
Diafragma pélvico: mujer

Véase también lámina 373

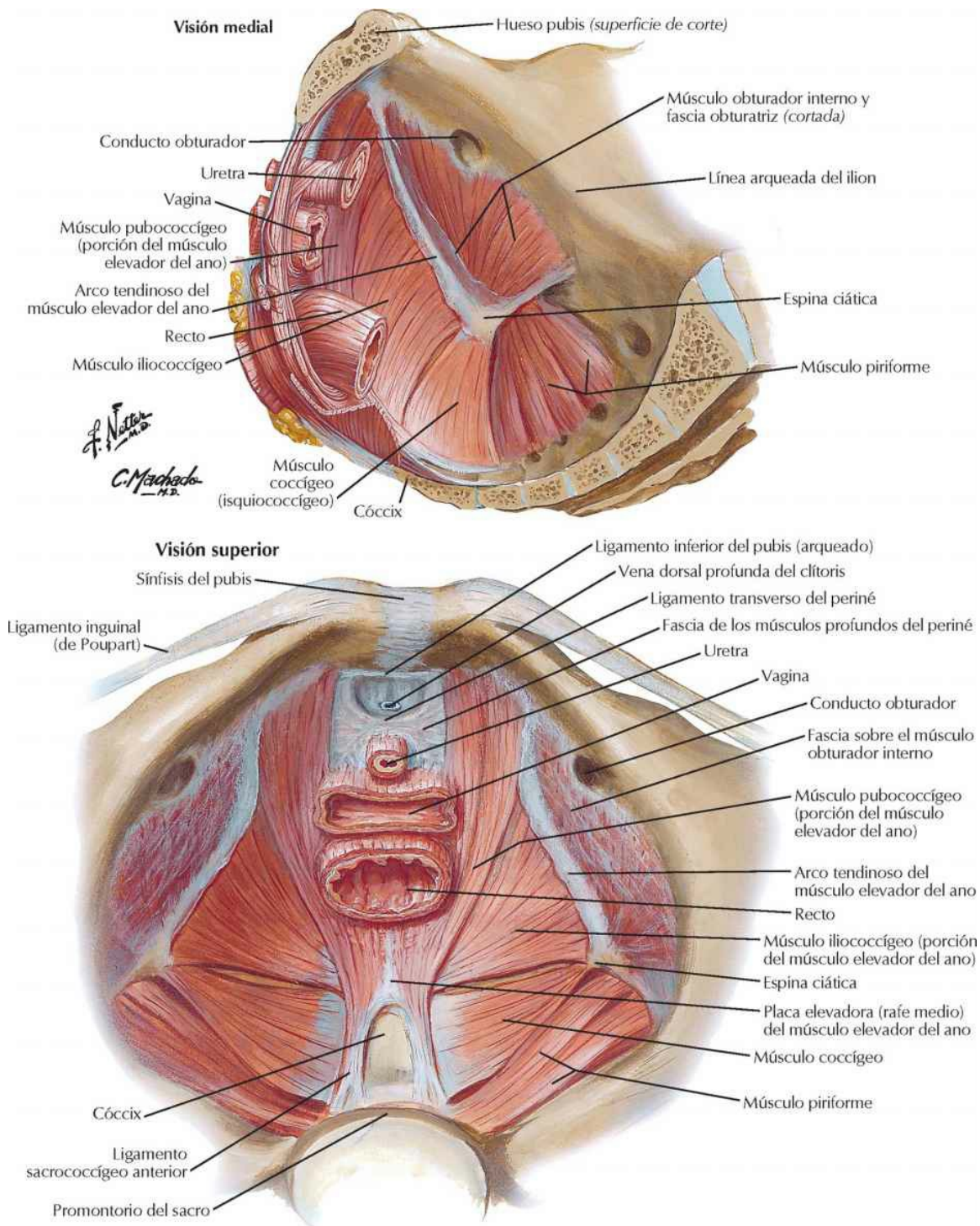
Visión medial



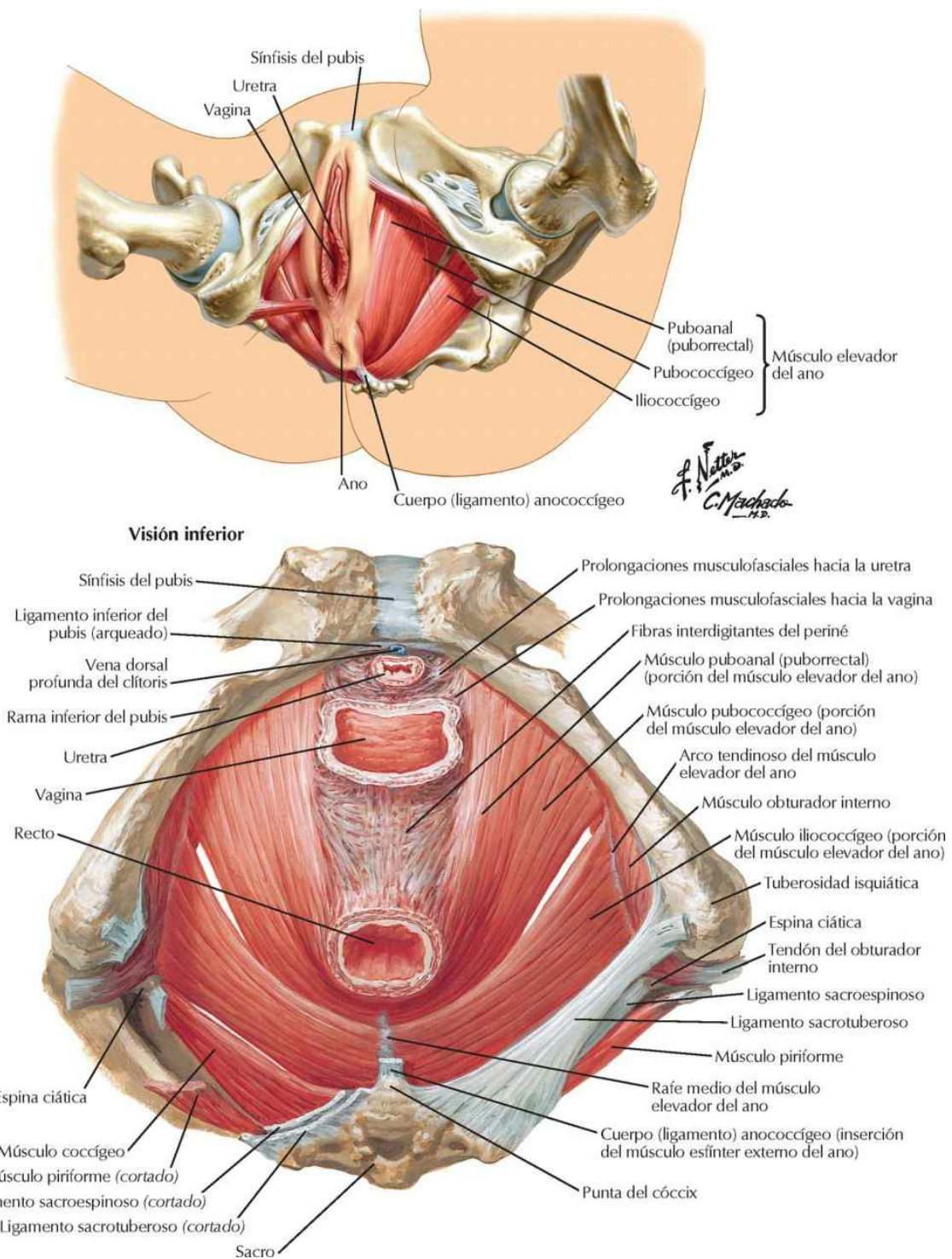
Visión lateral



Para el diagrama urogenital véase lámina 360



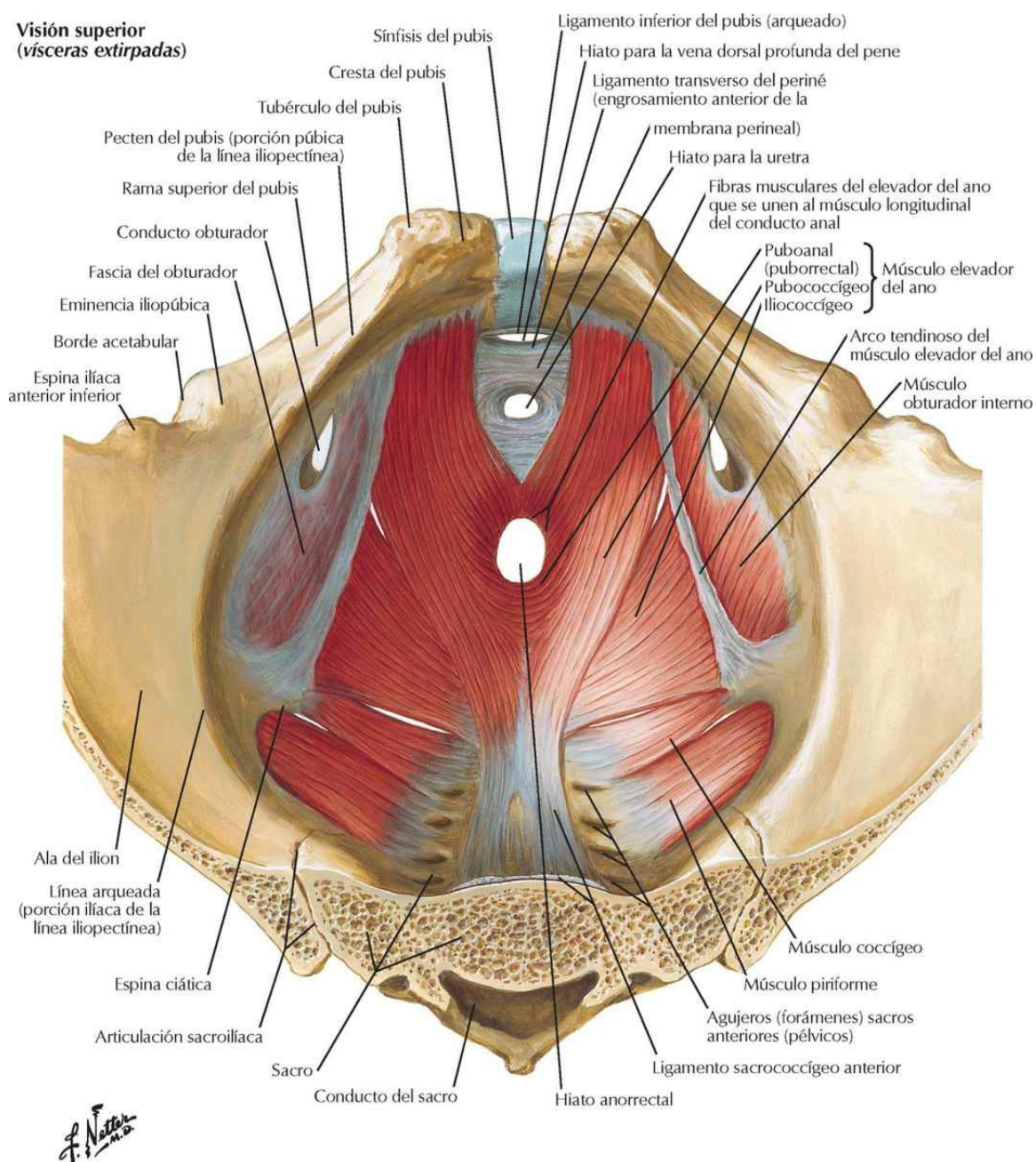
Véase también lámina 361



Diafragma pélvico: varón

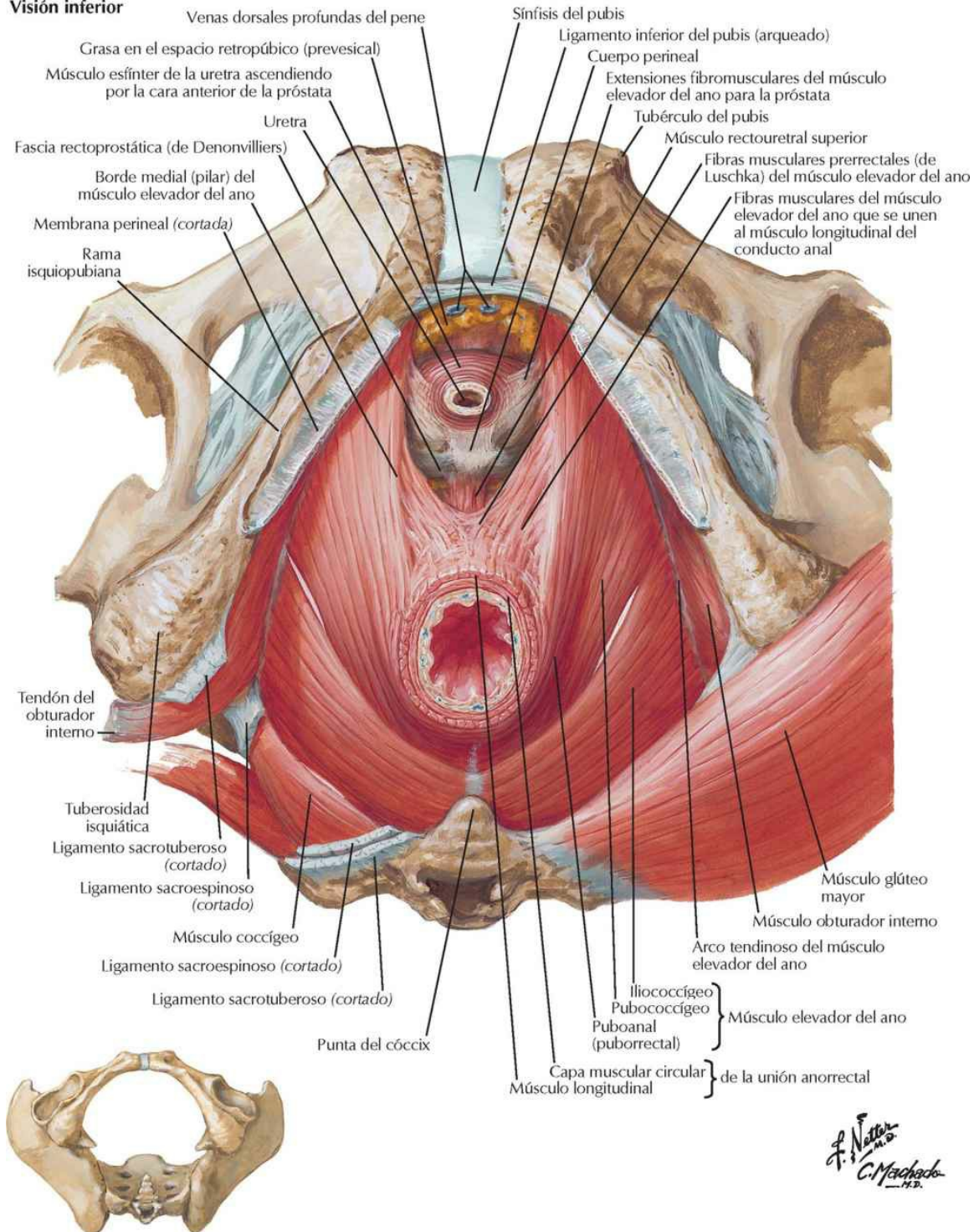
Véase también lámina 343

**Visión superior
(vísceras extirpadas)**

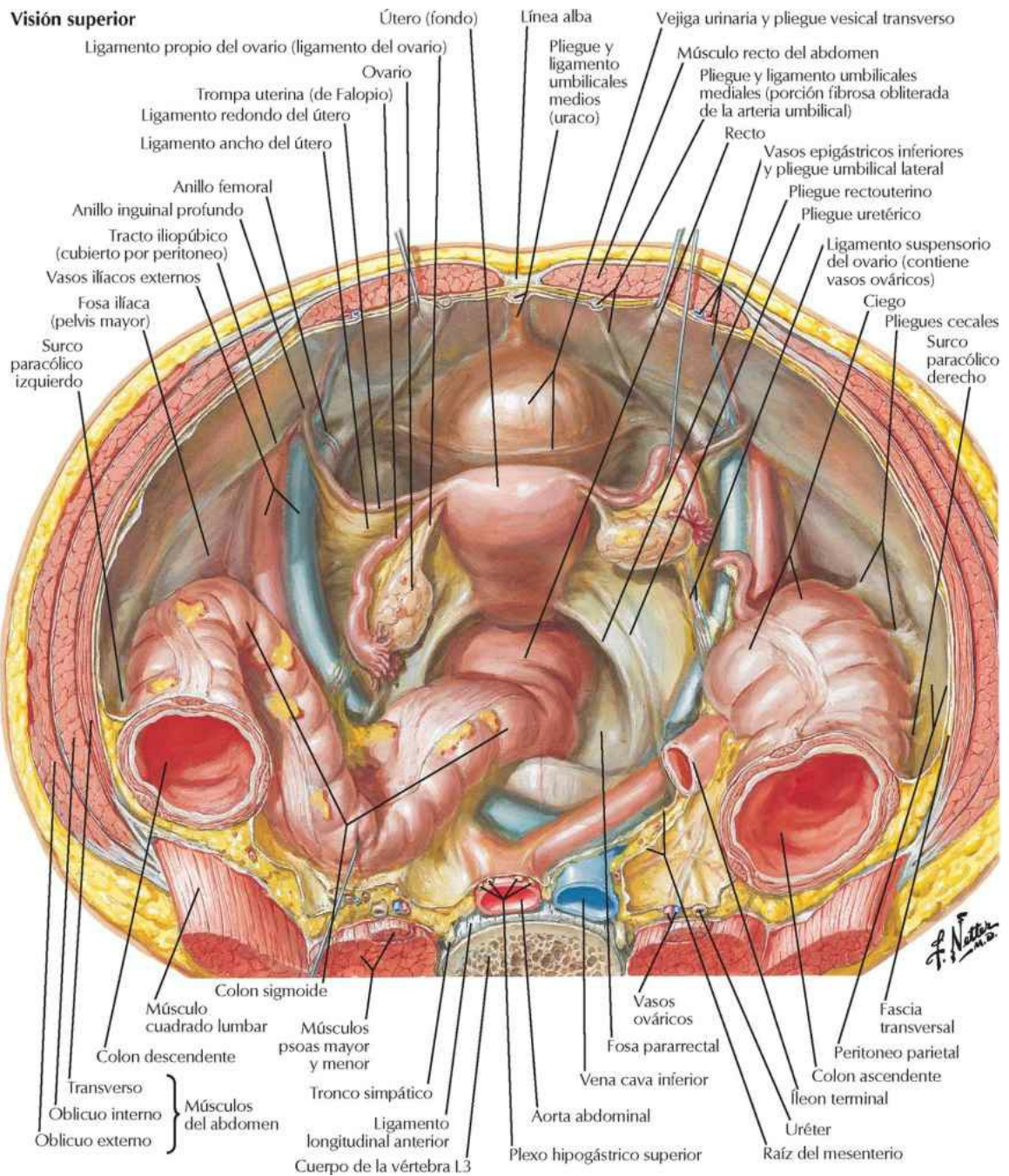


Para el diafragma urogenital véase lámina 365

Visión inferior

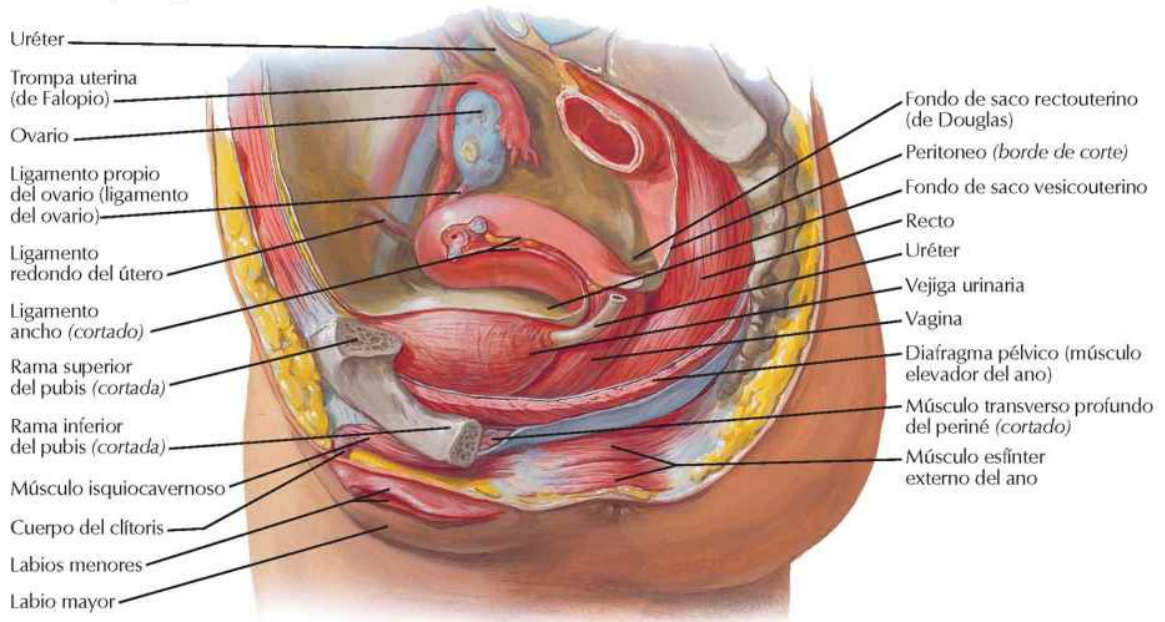


Contenido de la pelvis: mujer

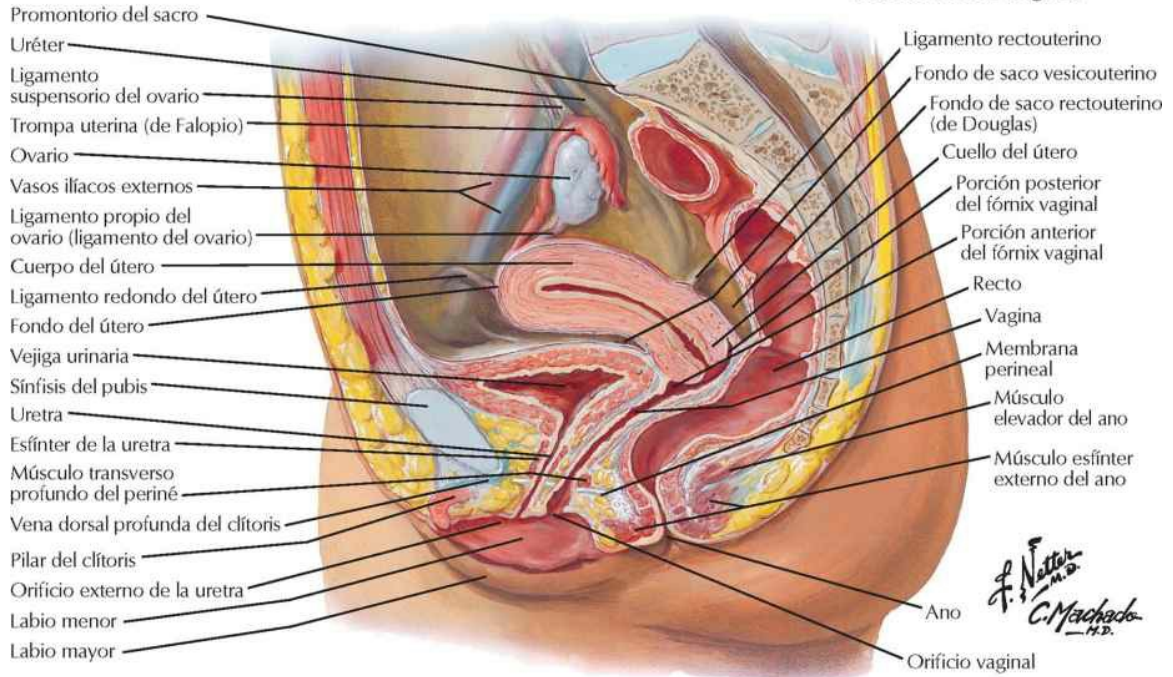


Vísceras pélvicas y periné: mujer

Disección parasagital

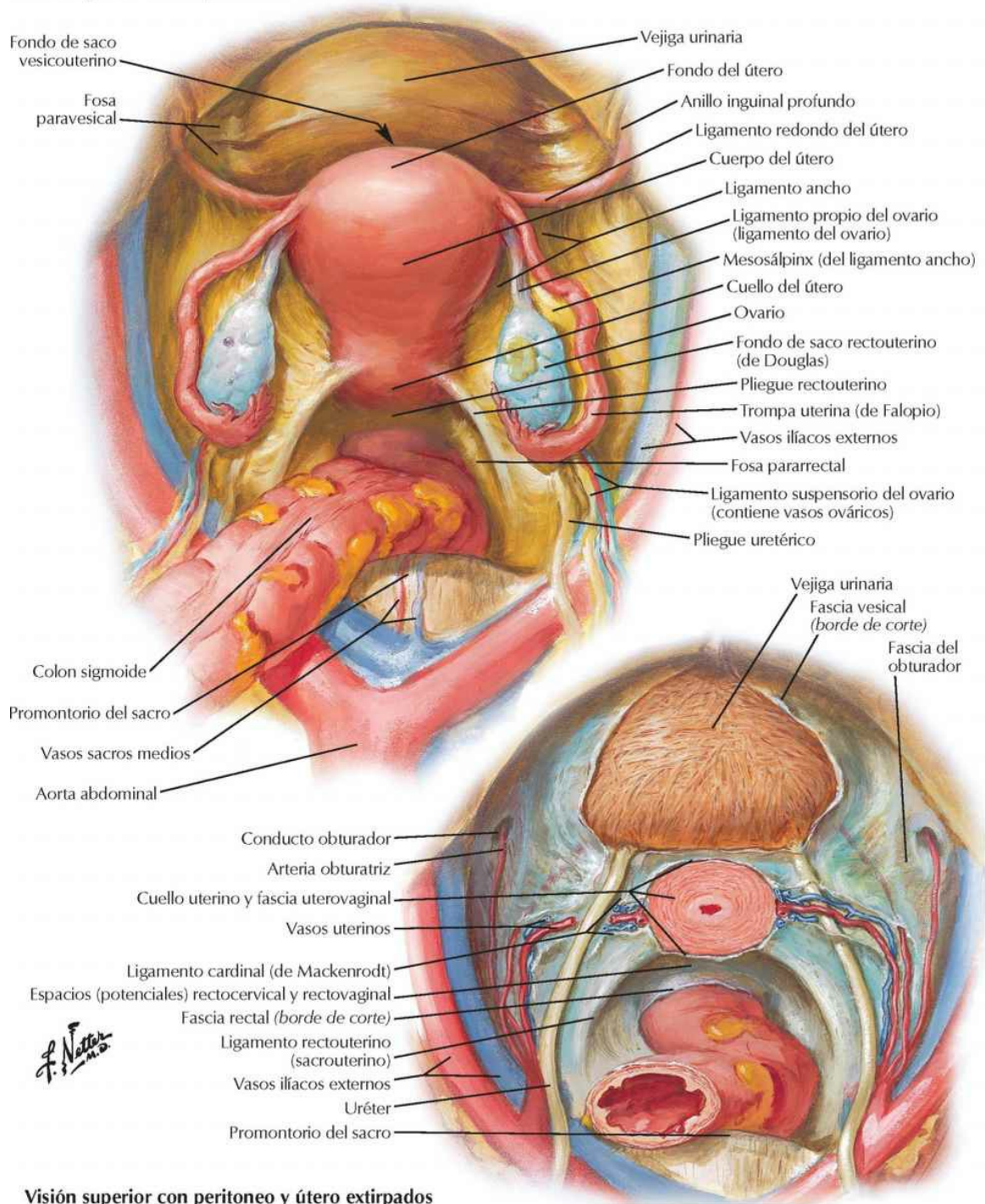


Sección media (sagital)



Vísceras pélvicas: mujer

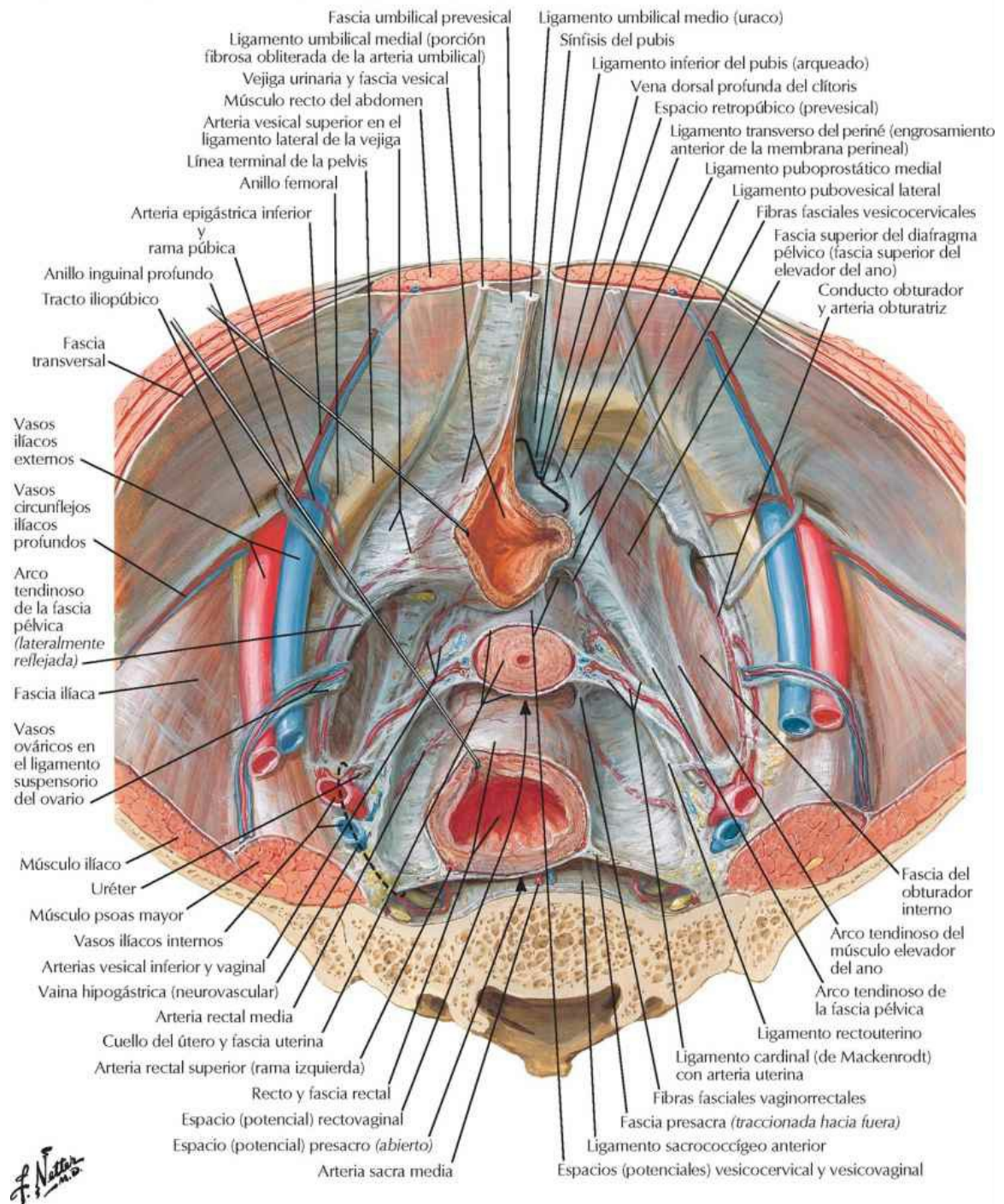
Visión superior con el peritoneo intacto



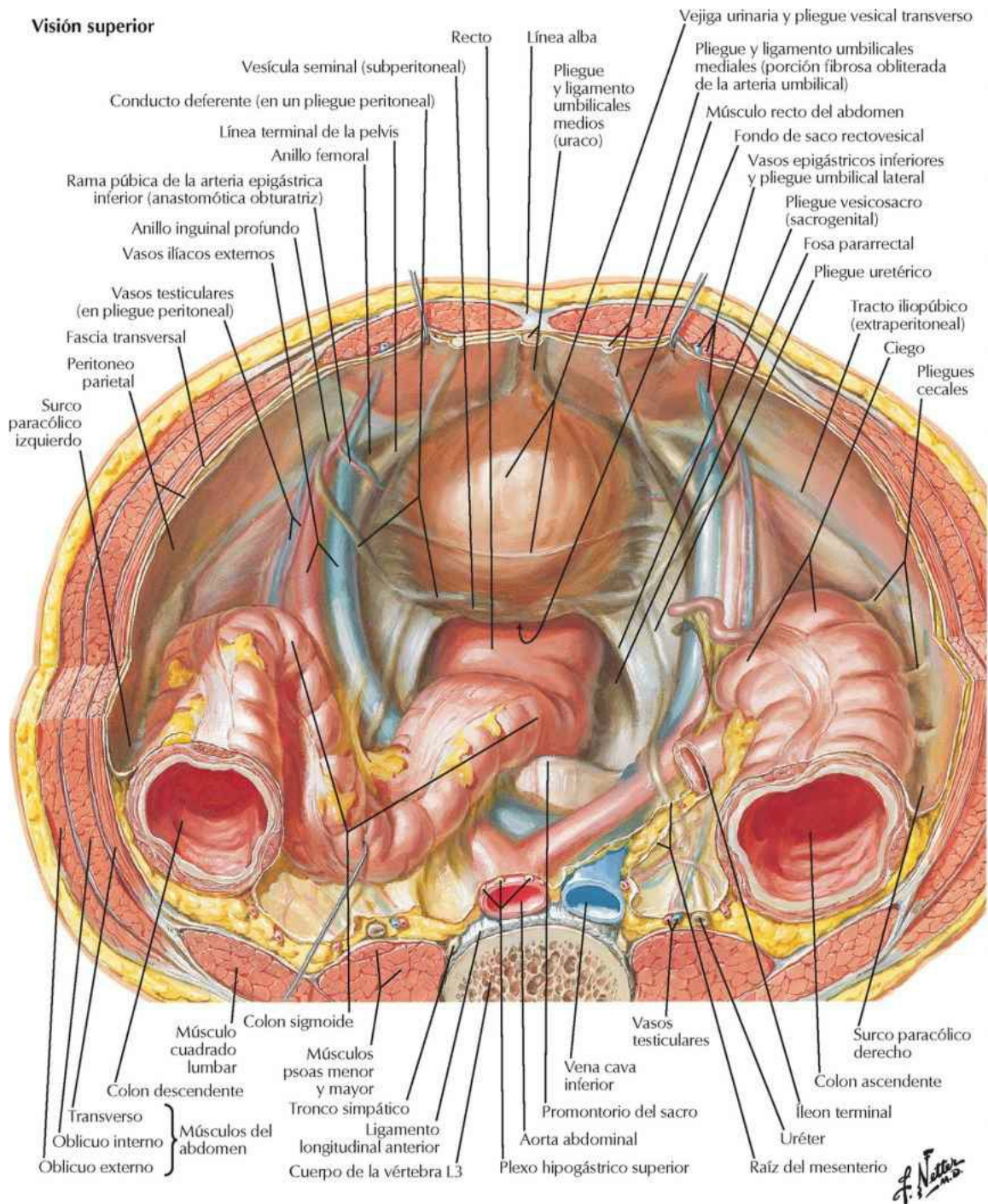
Visión superior con peritoneo y útero extirpados

Fascia y espacios potenciales endopelvianos

Mujer: visión superior (se han extirpado el peritoneo y el tejido areolar laxo)

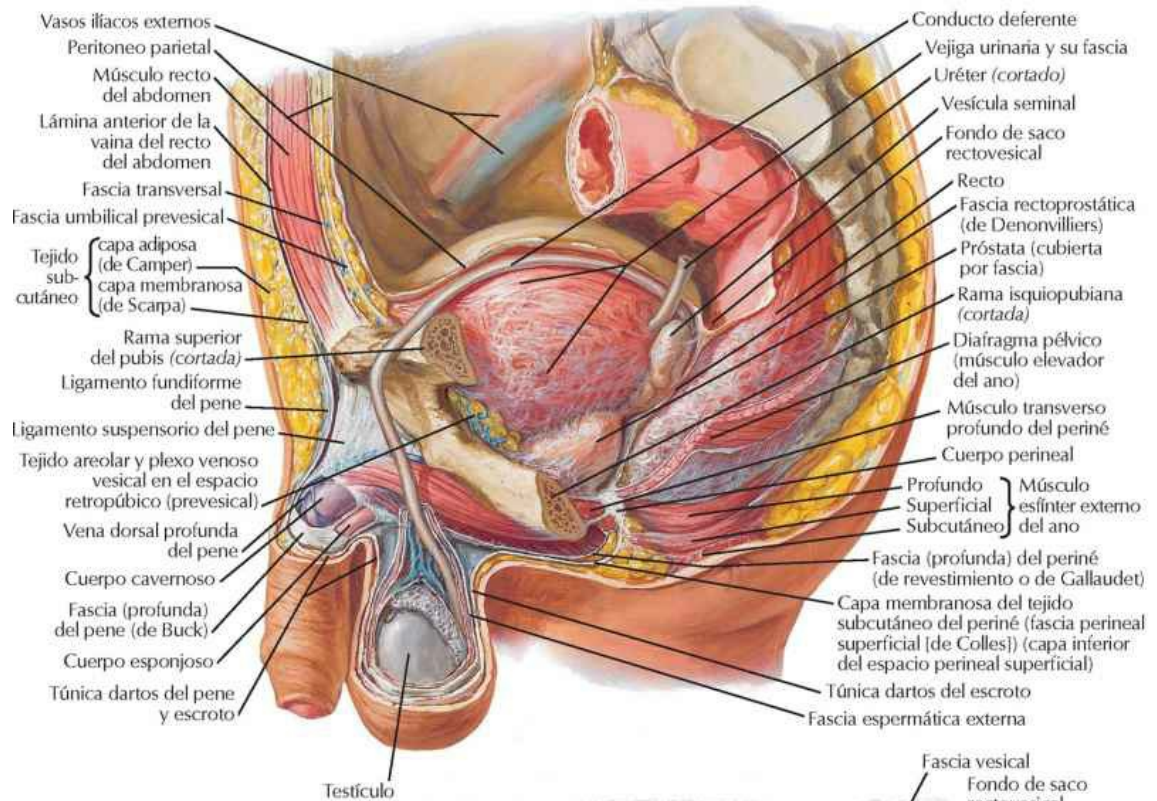


Contenido de la pelvis: varón

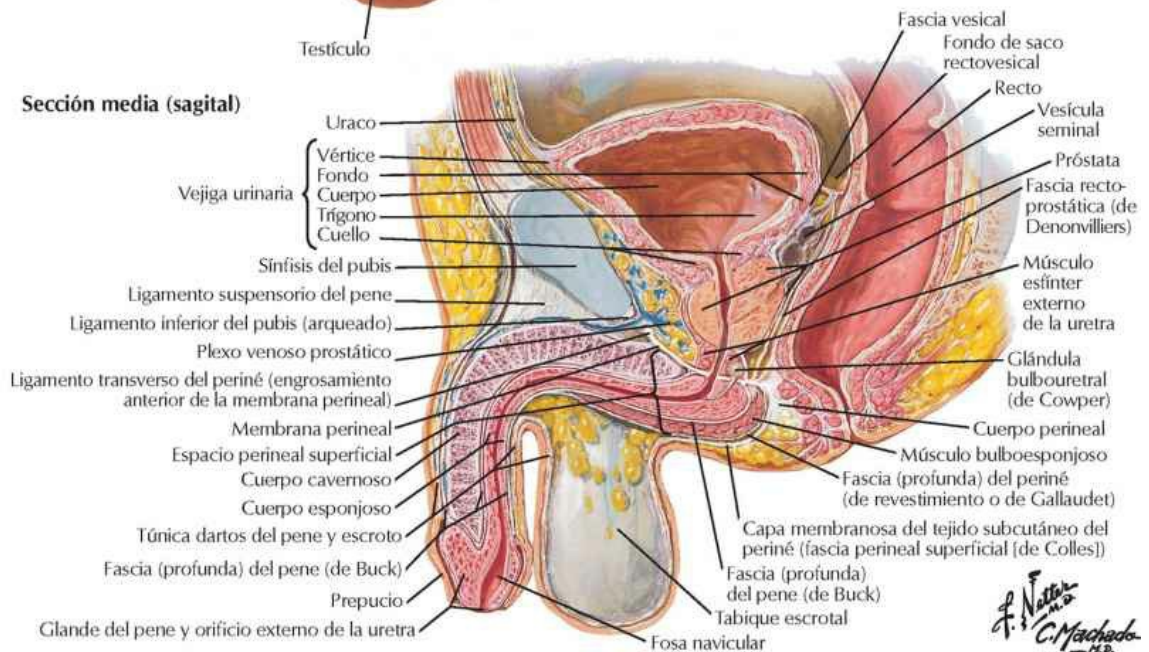


Vísceras pélvicas y periné: varón

Visión parasagital



Sección media (sagital)

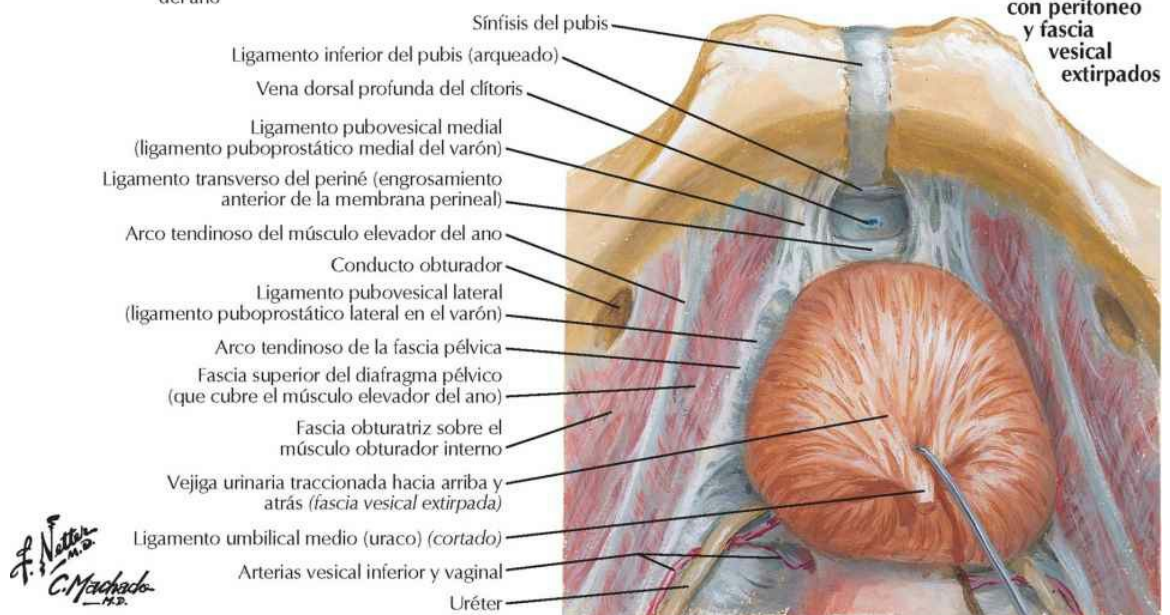
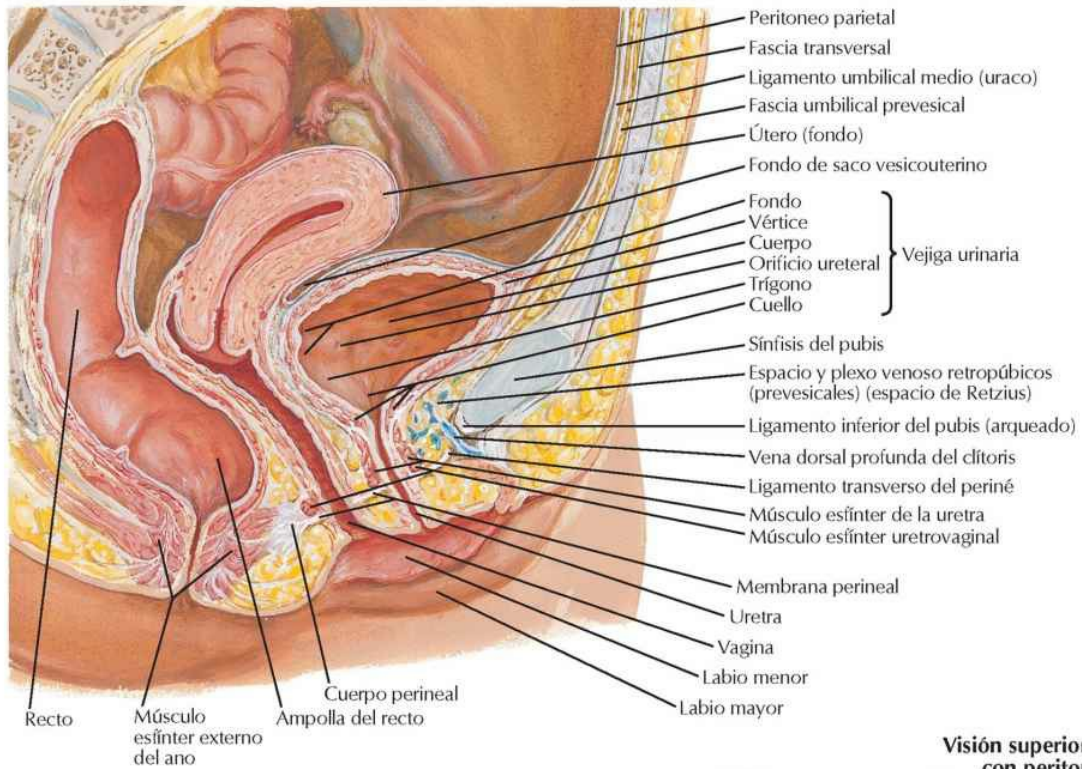


F. Netto
C. Machado

Vejiga urinaria

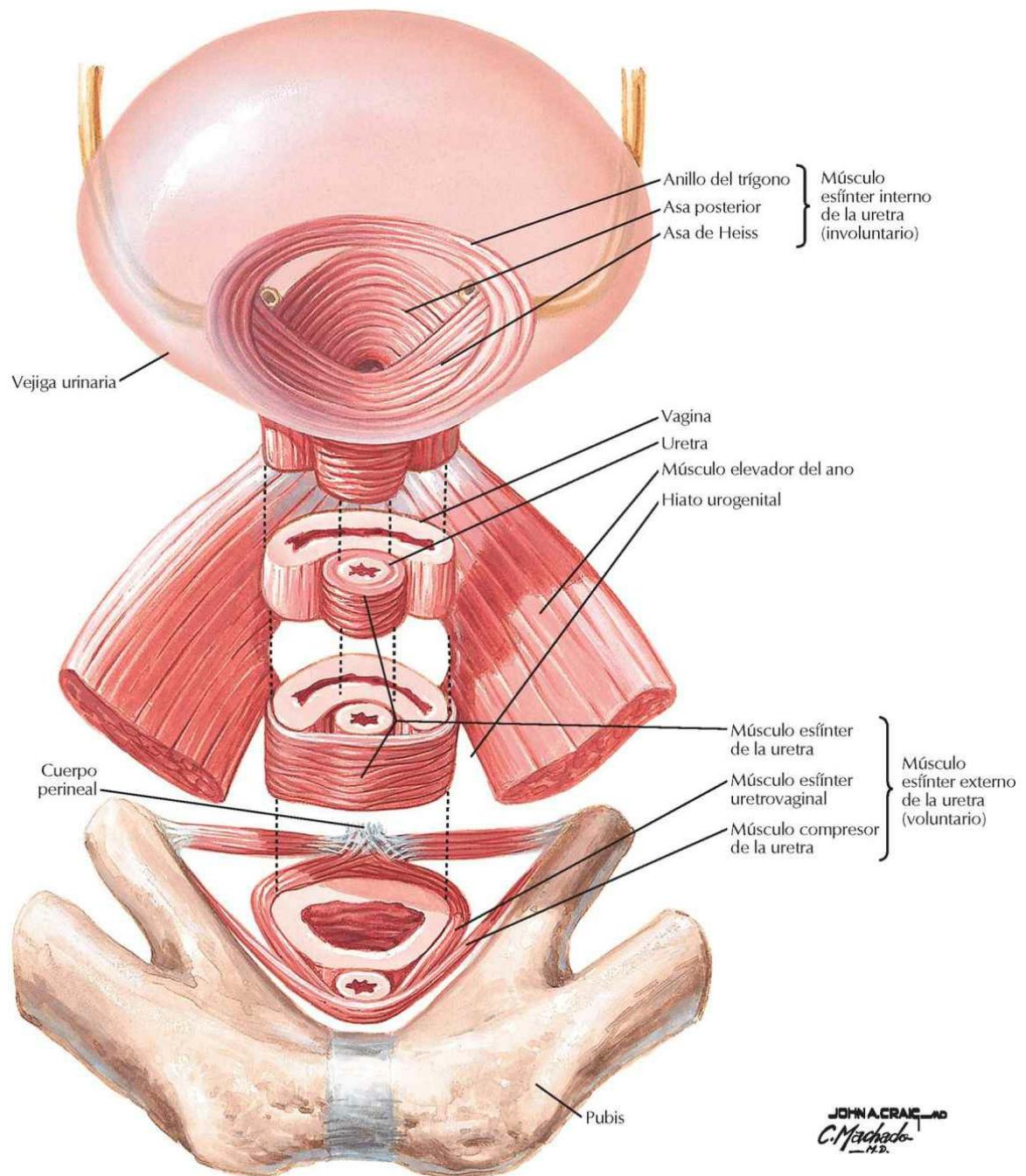
Vejiga urinaria: orientación y estructuras de sostén

Mujer: sección sagital media



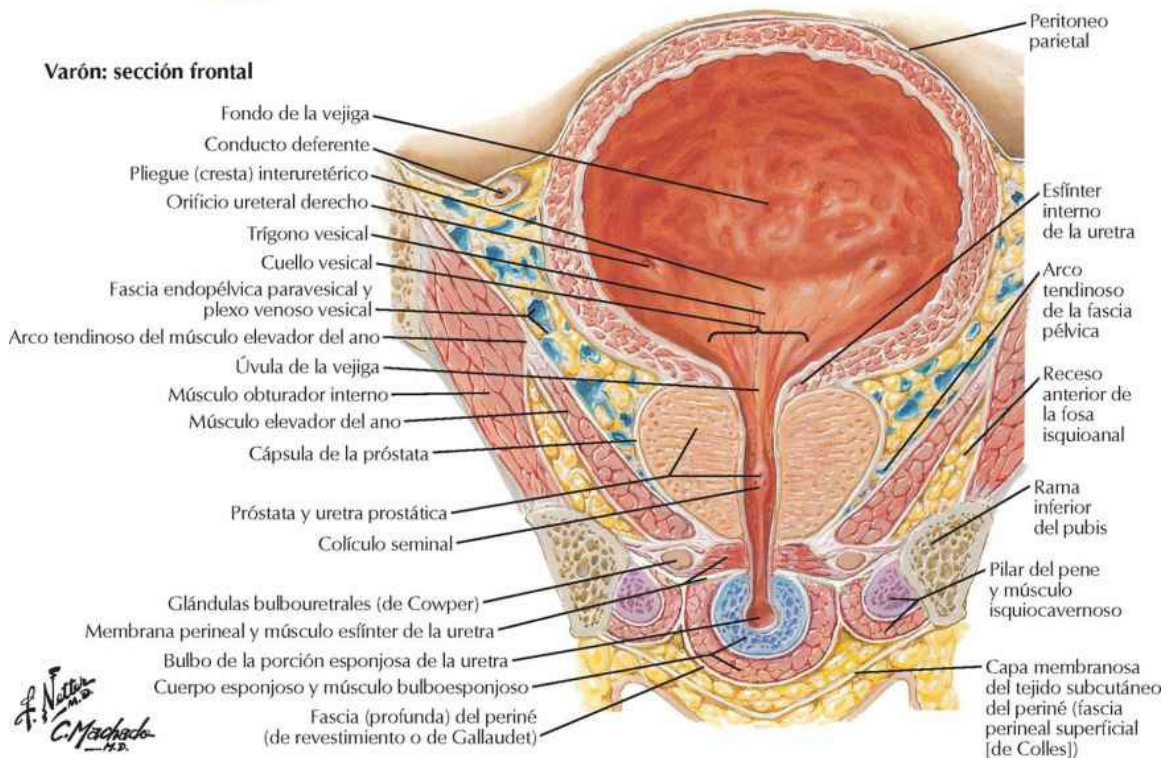
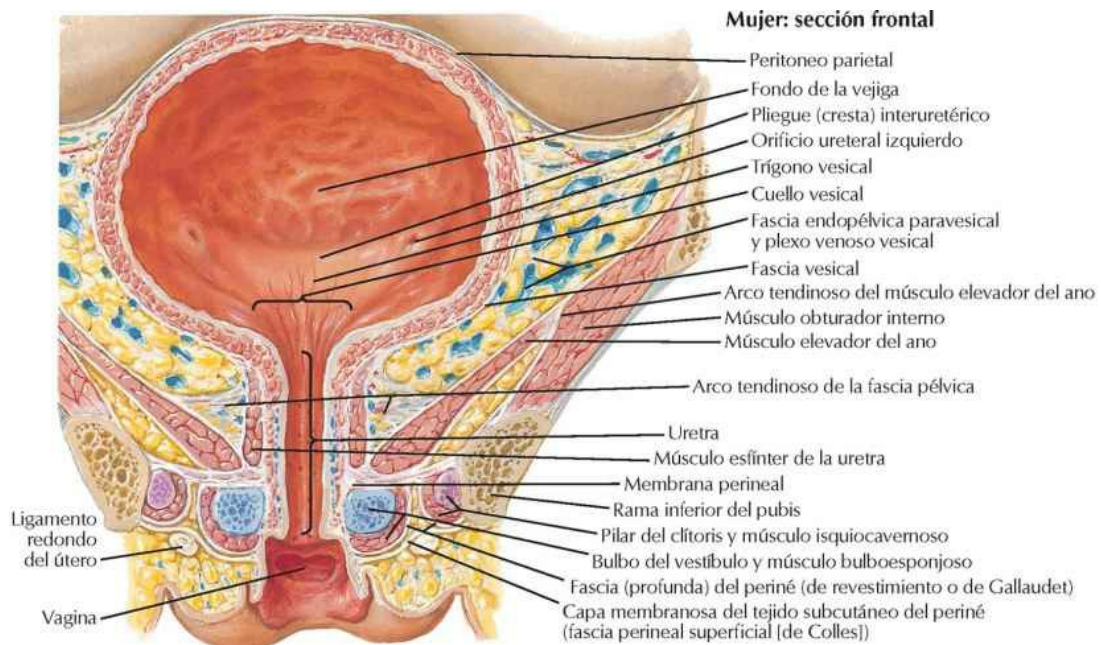
Esfínteres en la mujer

Véanse también láminas 352, 360



Vejiga urinaria: mujer y varón

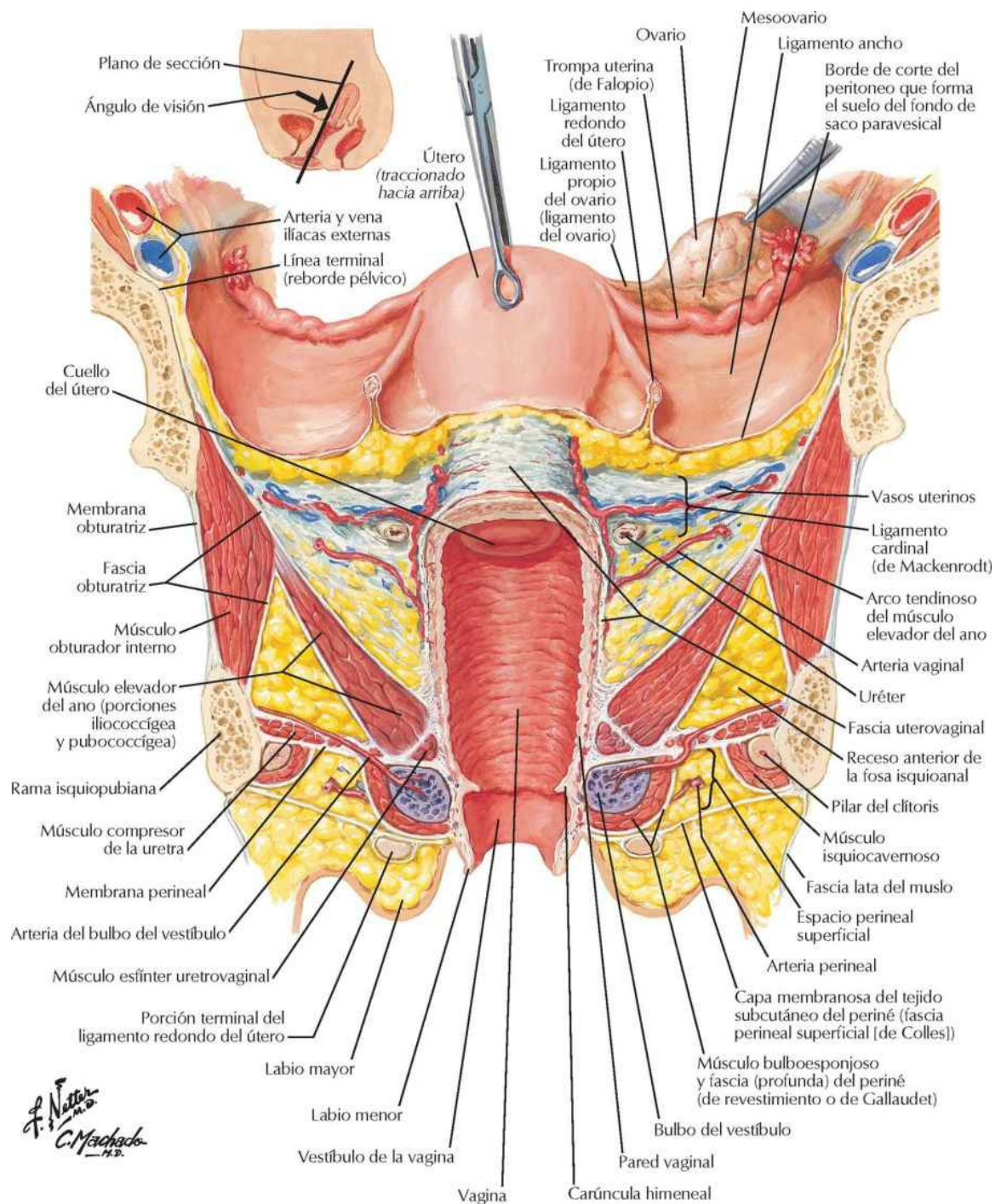
Véanse también láminas 345, 349, 385



Útero, vagina y estructuras de sostén

Útero, vagina y estructuras de sostén

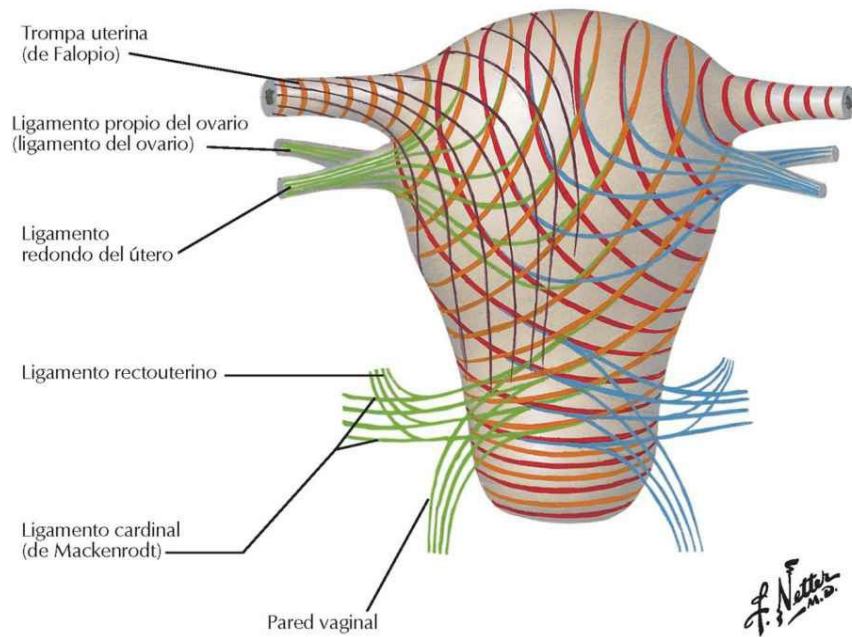
Véanse también láminas 386, 388, 394



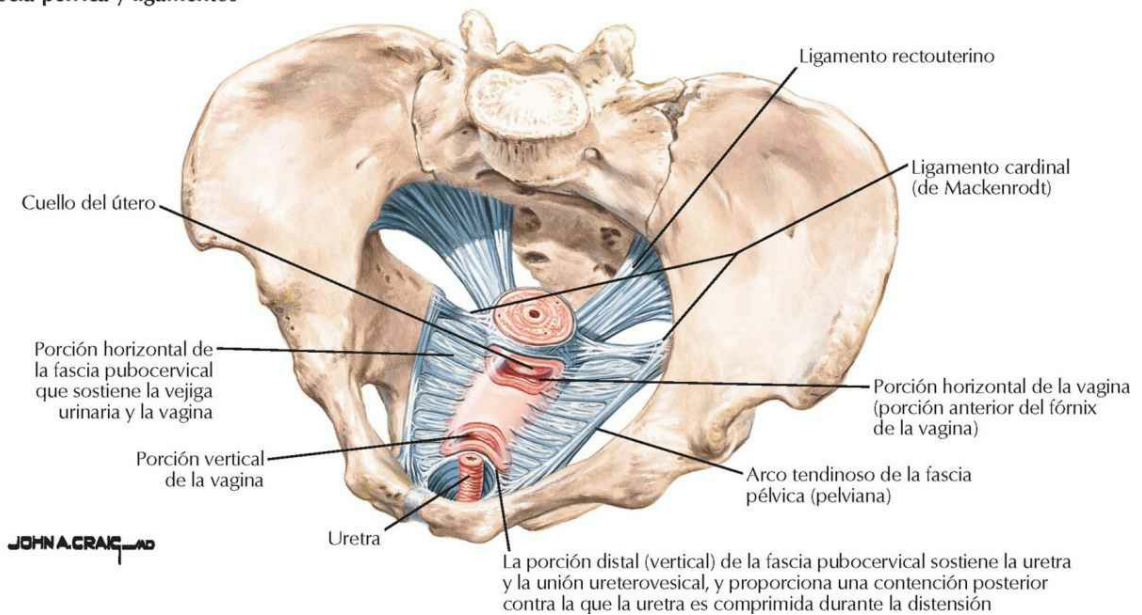
Útero: ligamentos fasciales

Véase también lámina 347

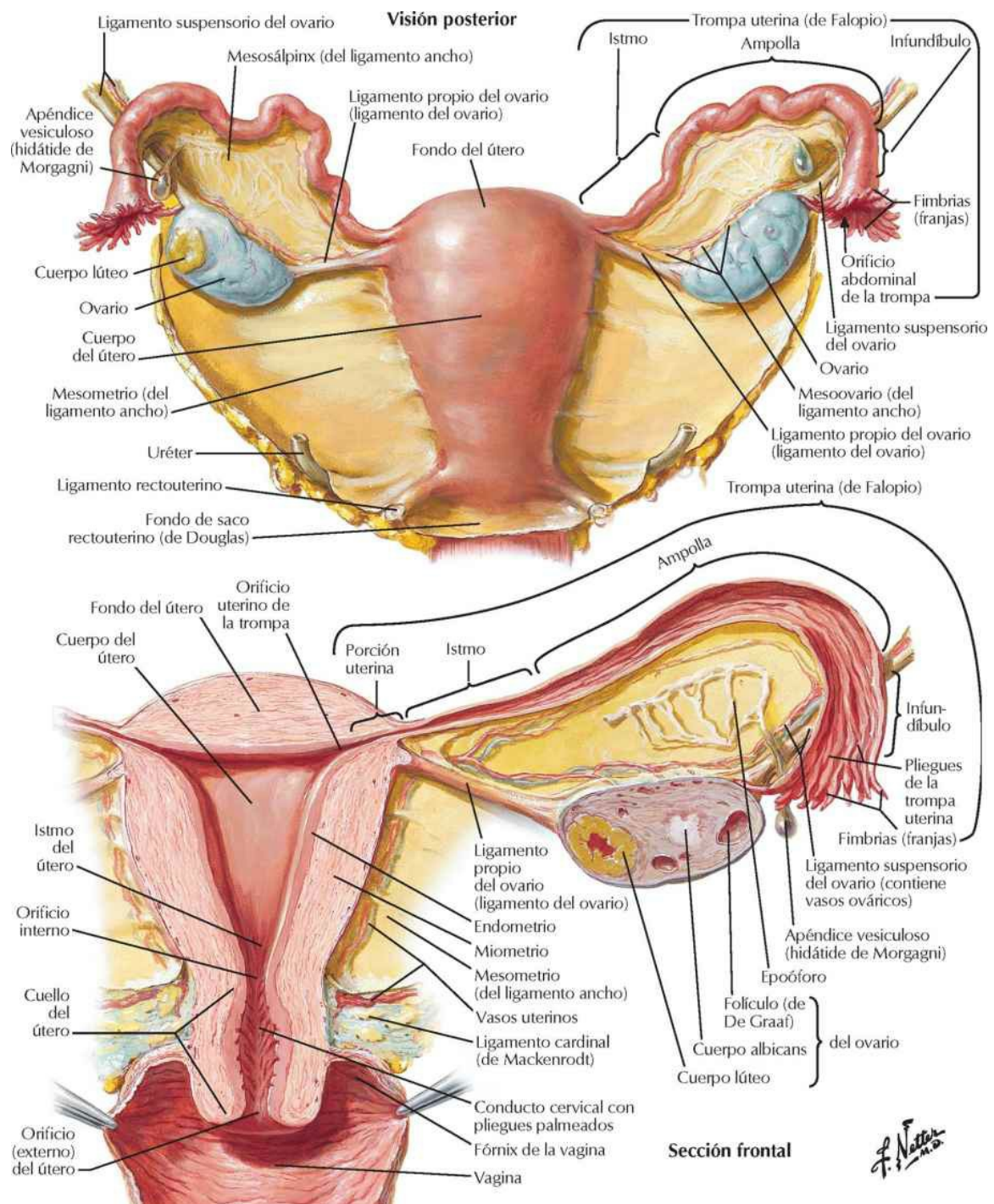
Ligamentos fasciales del útero



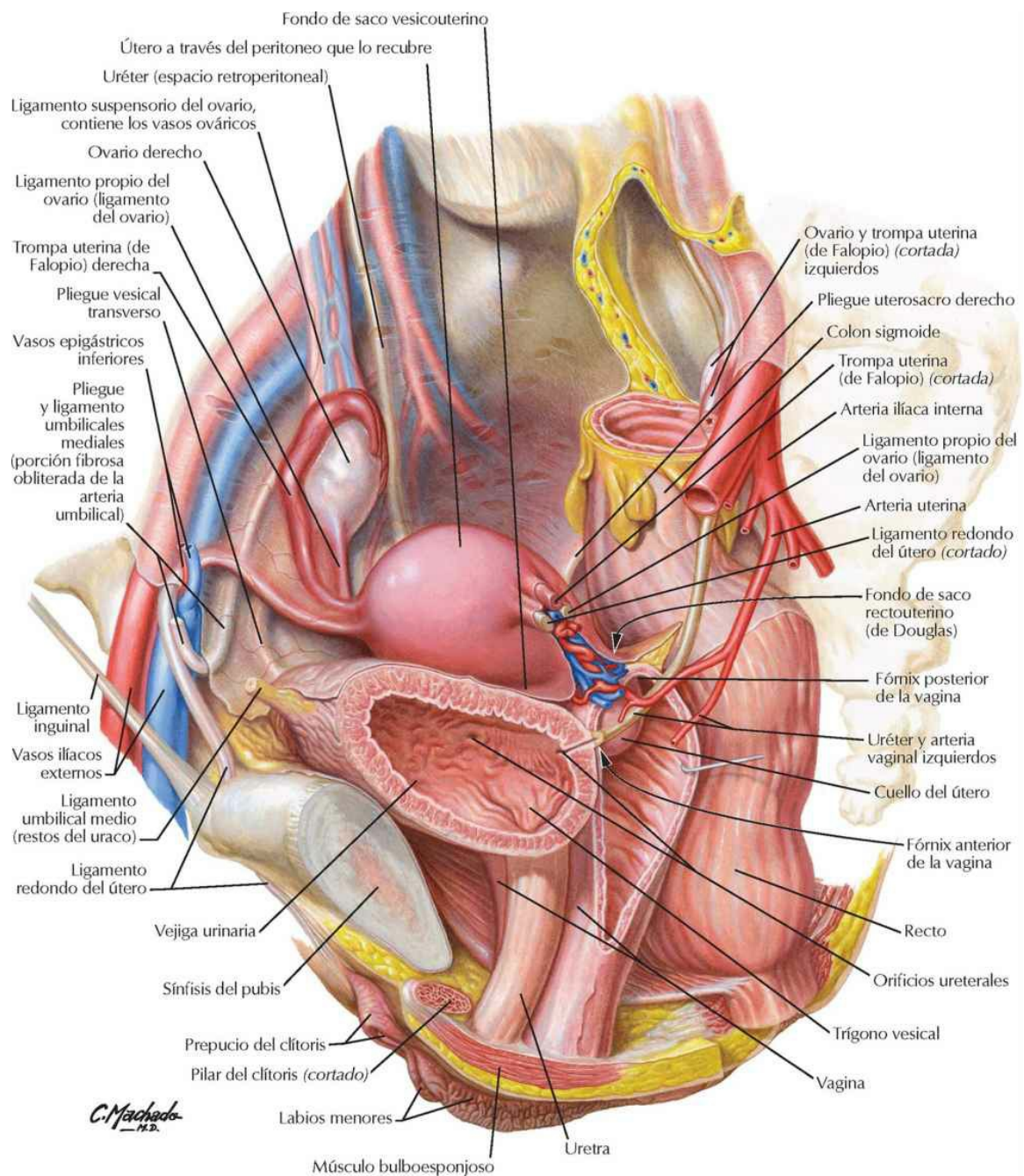
Fascia pélvica y ligamentos



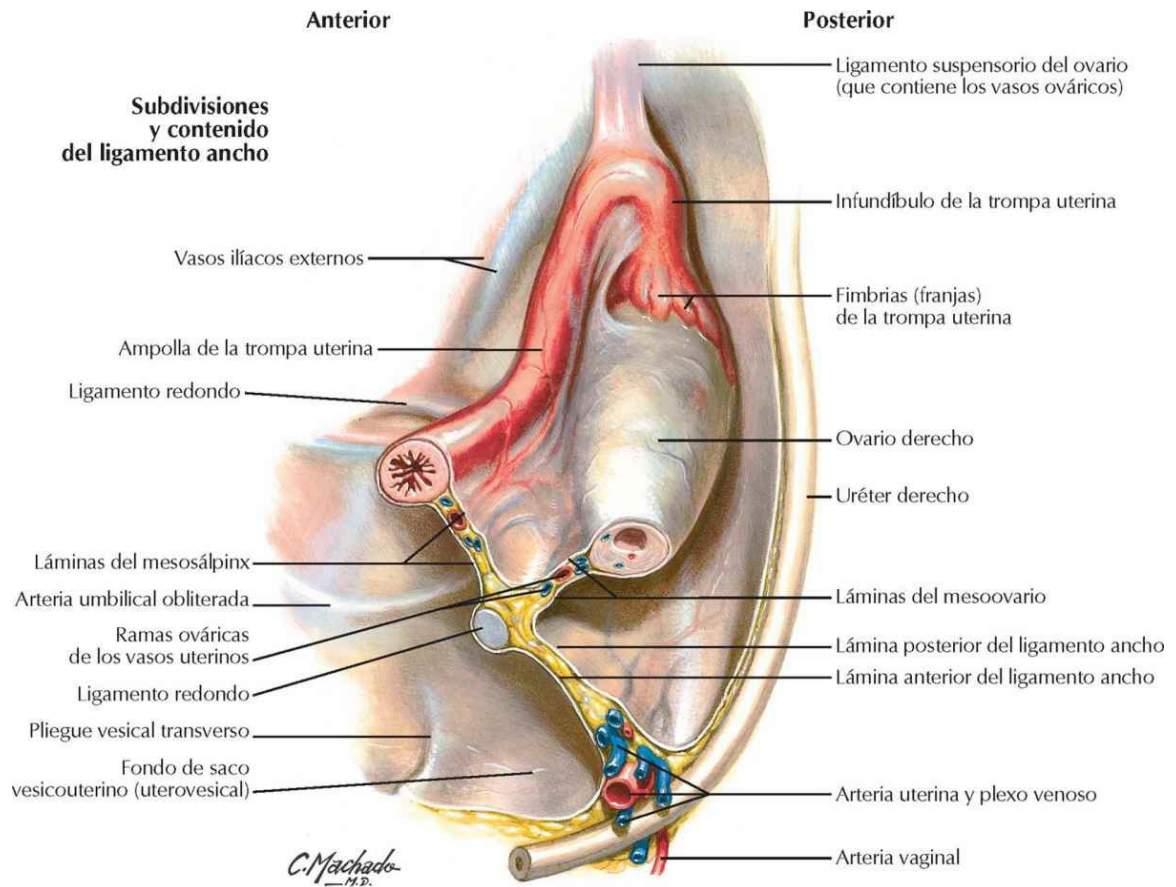
Útero y anexos



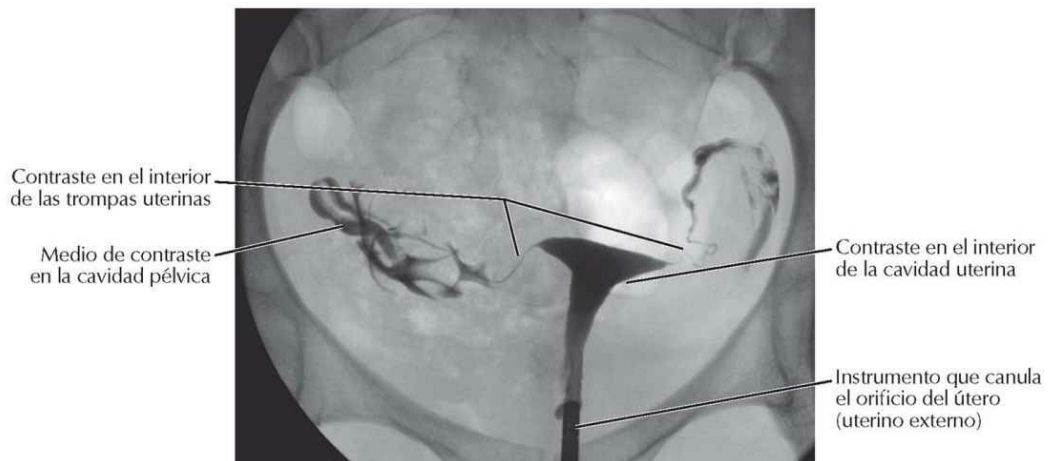
Relaciones de la pelvis femenina



Ligamentos pélvicos



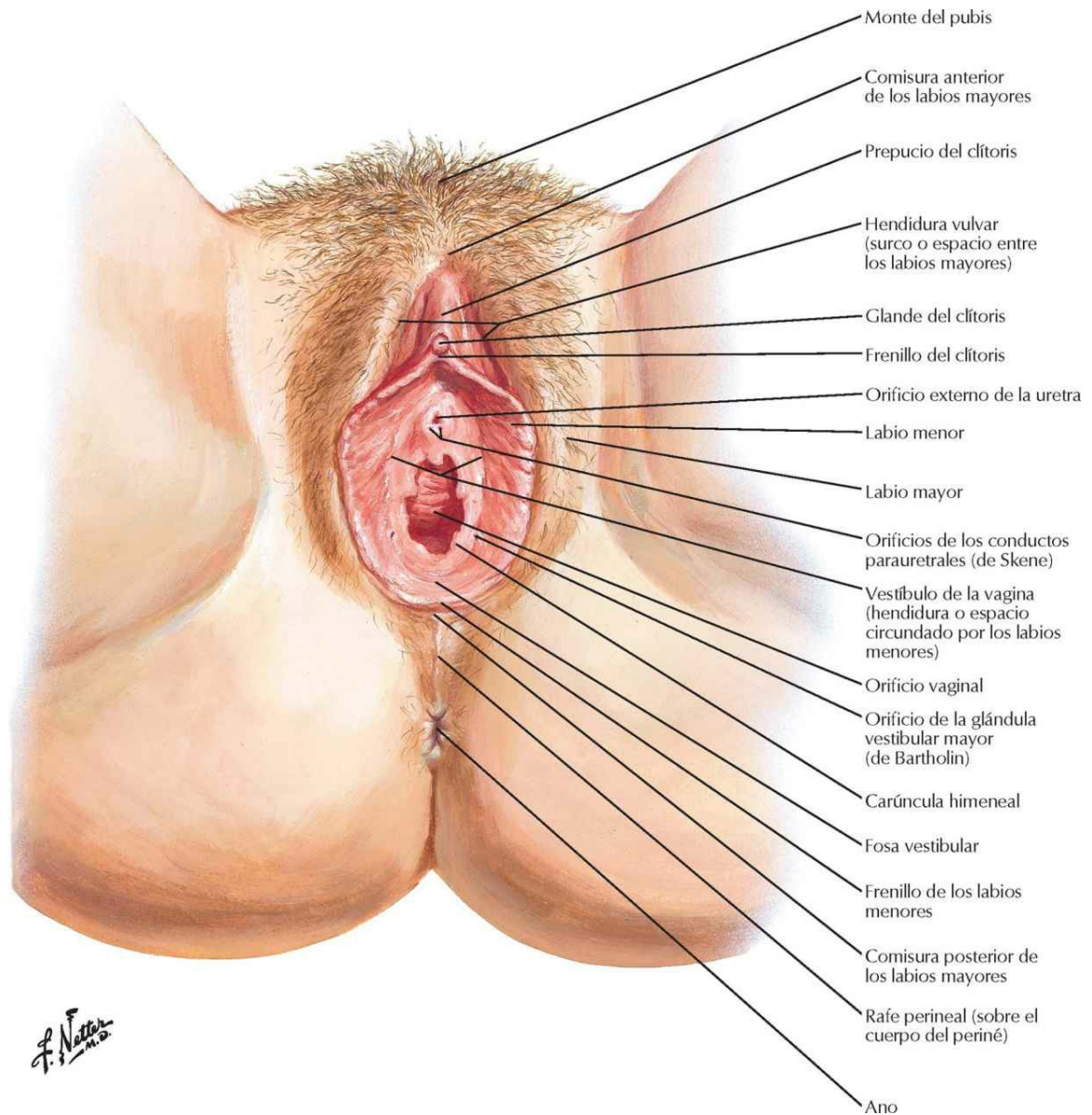
Radioscopia anteroposterior obtenida durante una histerosalpingografía



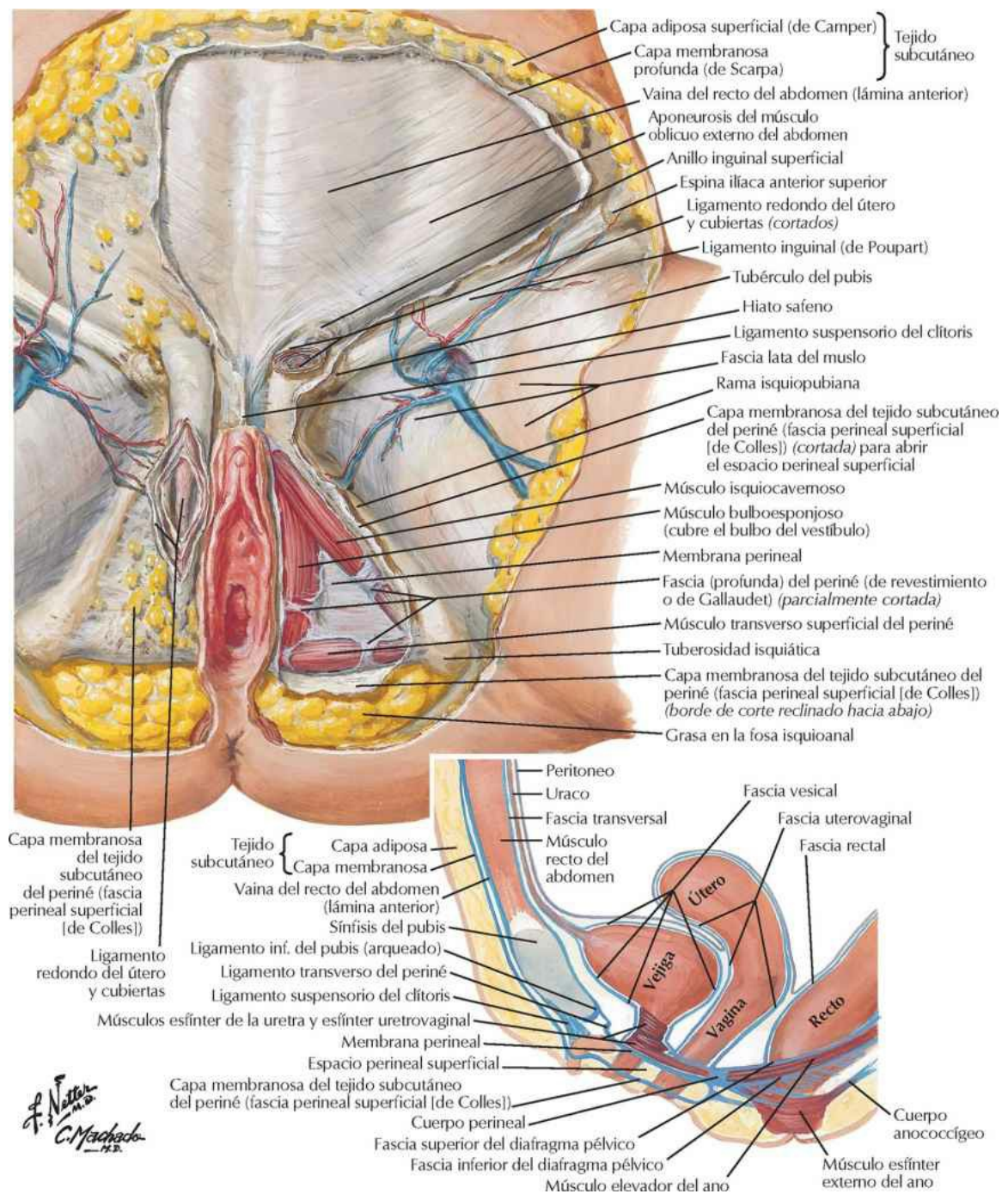
Periné y genitales externos: mujer

Periné y genitales externos femeninos (vulva)

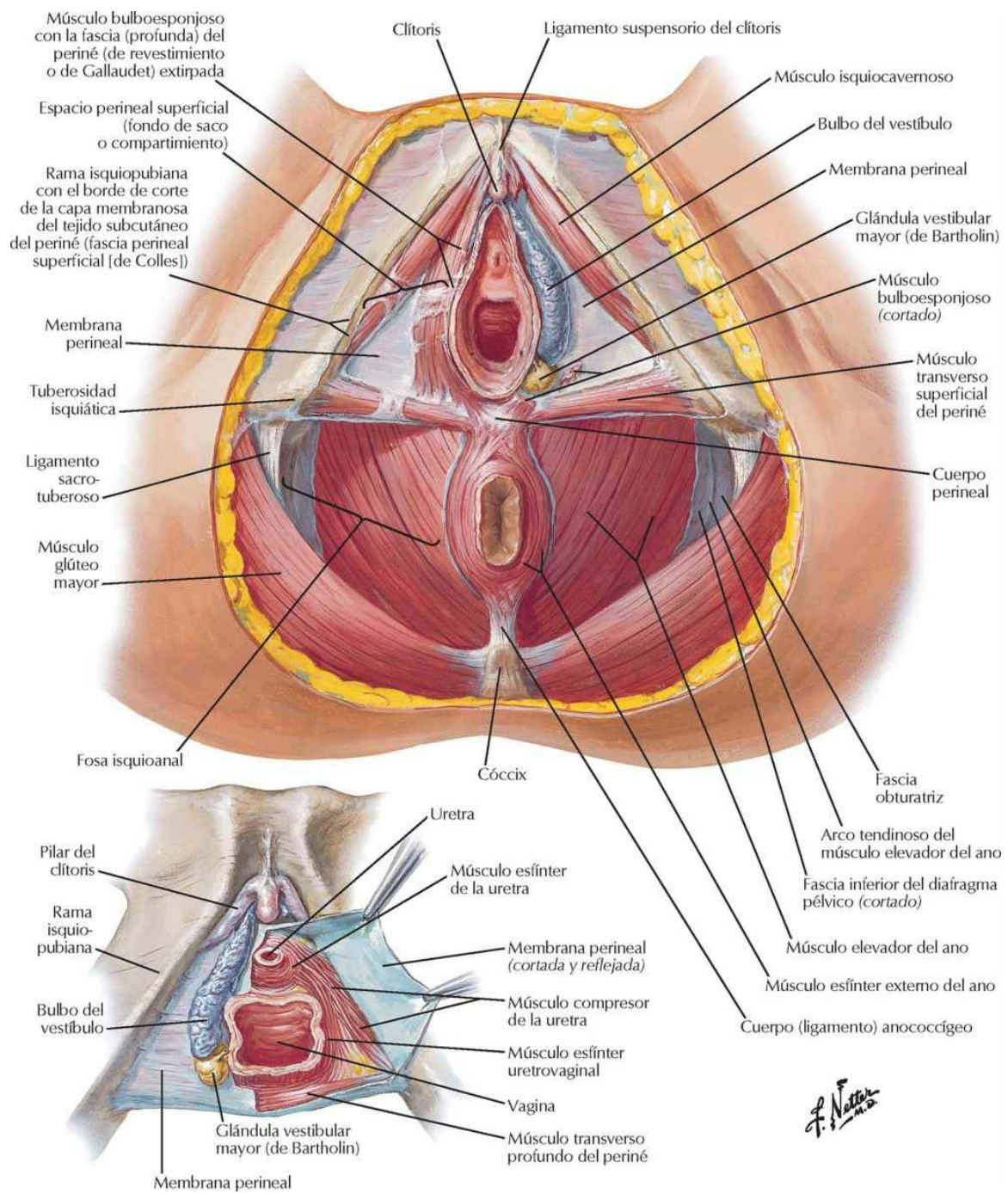
Véanse también láminas 386, 389, 395



Periné femenino (disección superficial)

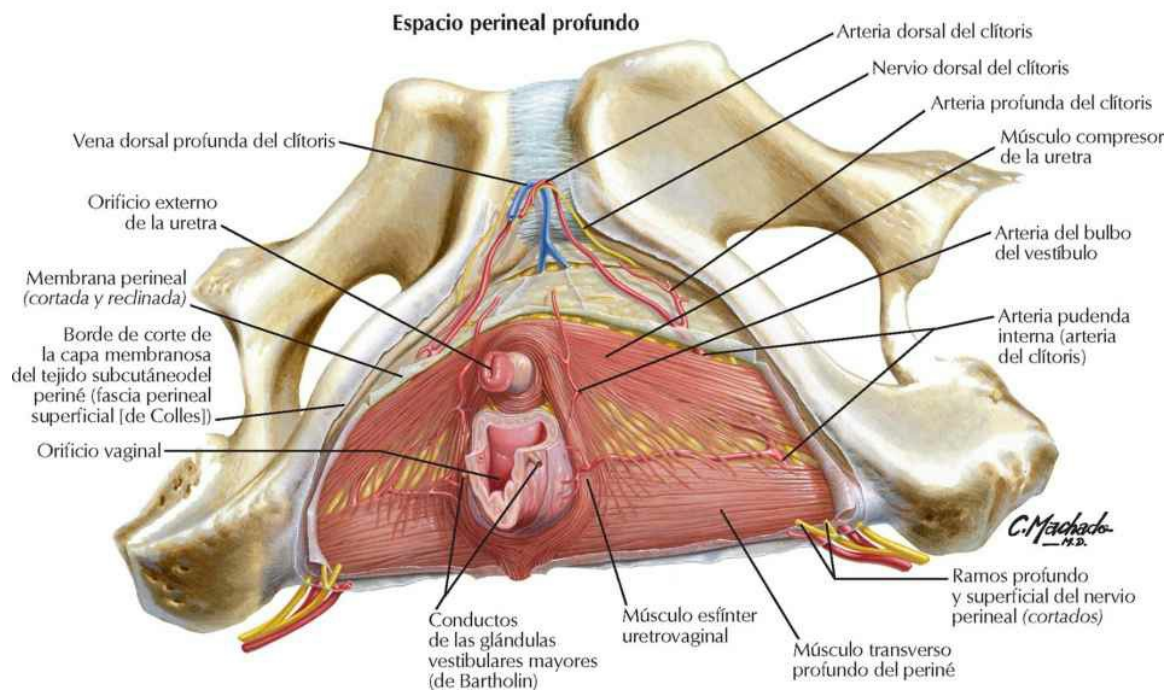
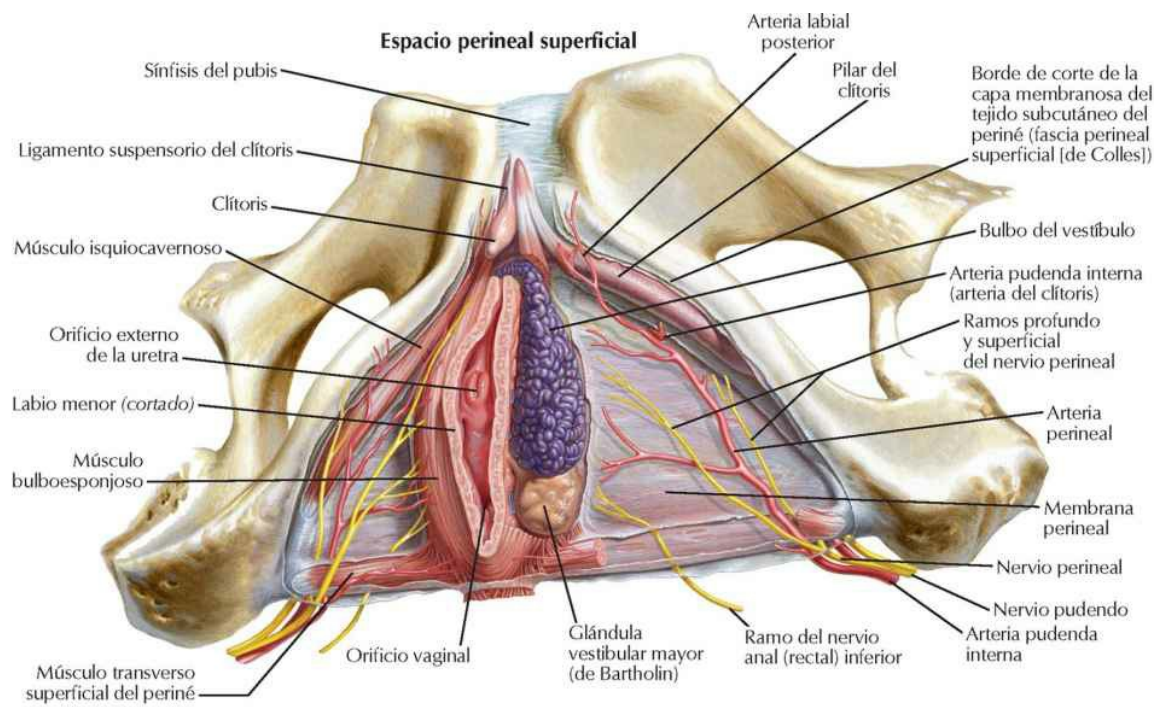


Periné y periné profundo femenino



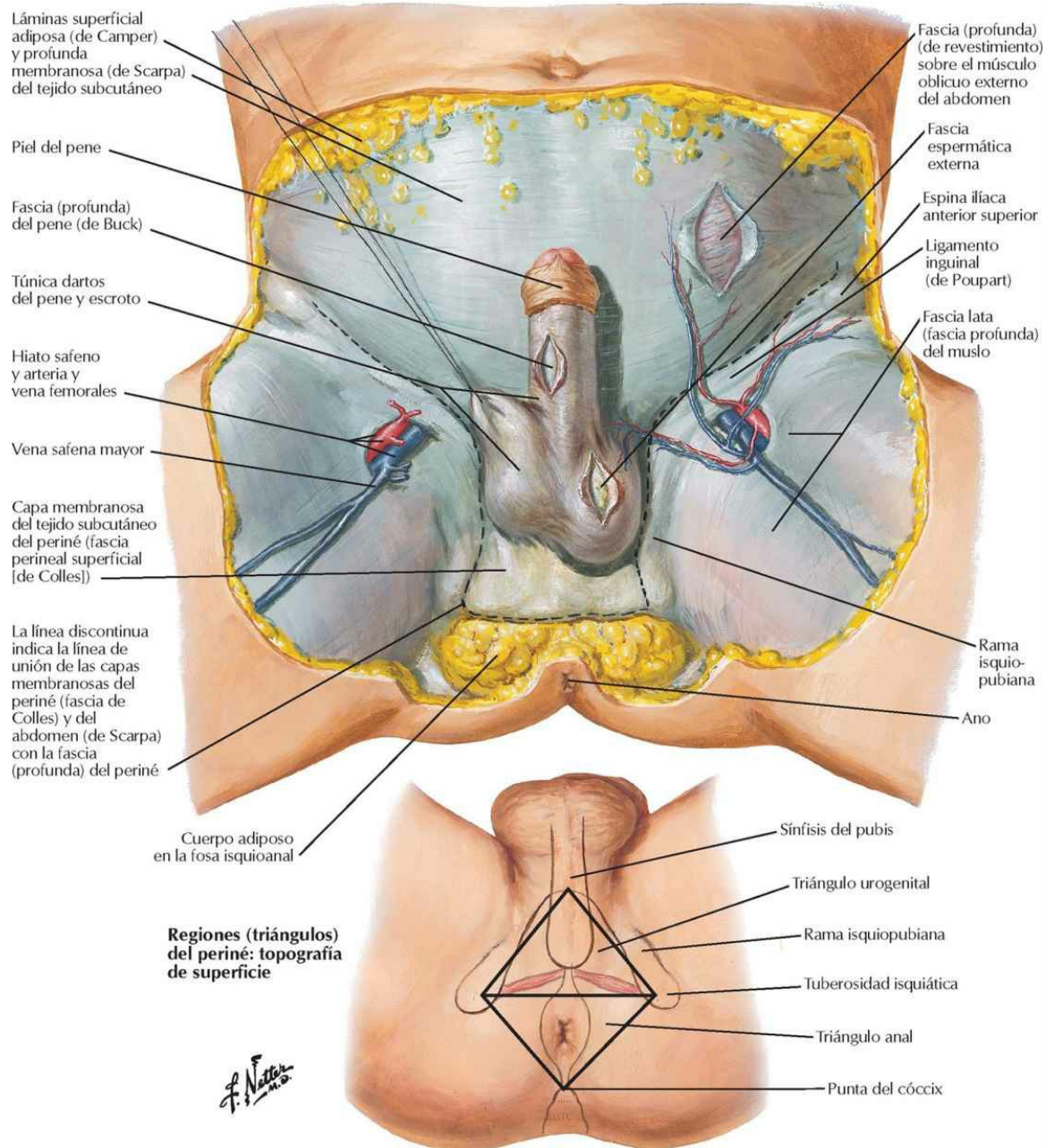
Espacios perineales femeninos

Véanse también láminas 386, 395



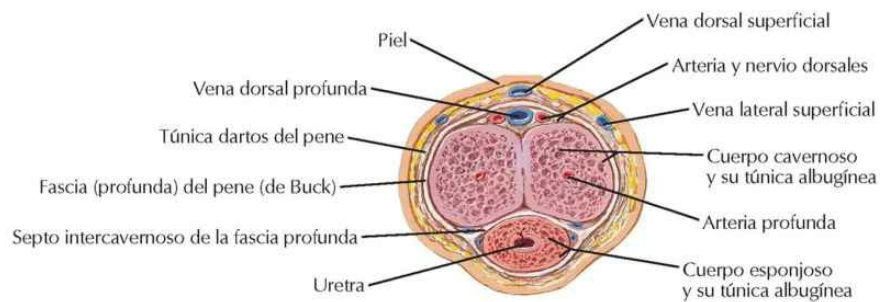
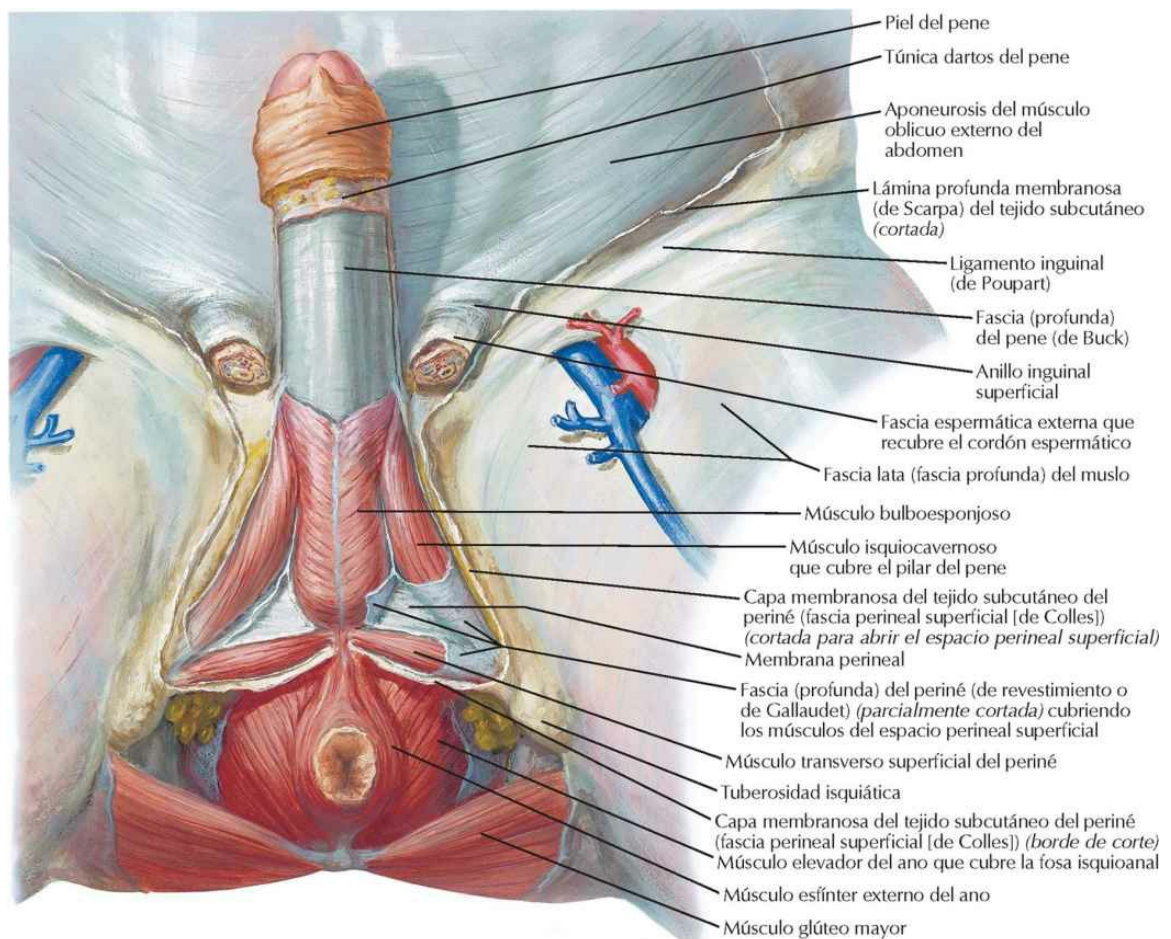
Periné y genitales externos: varón

Periné y genitales externos masculinos (disección superficial)



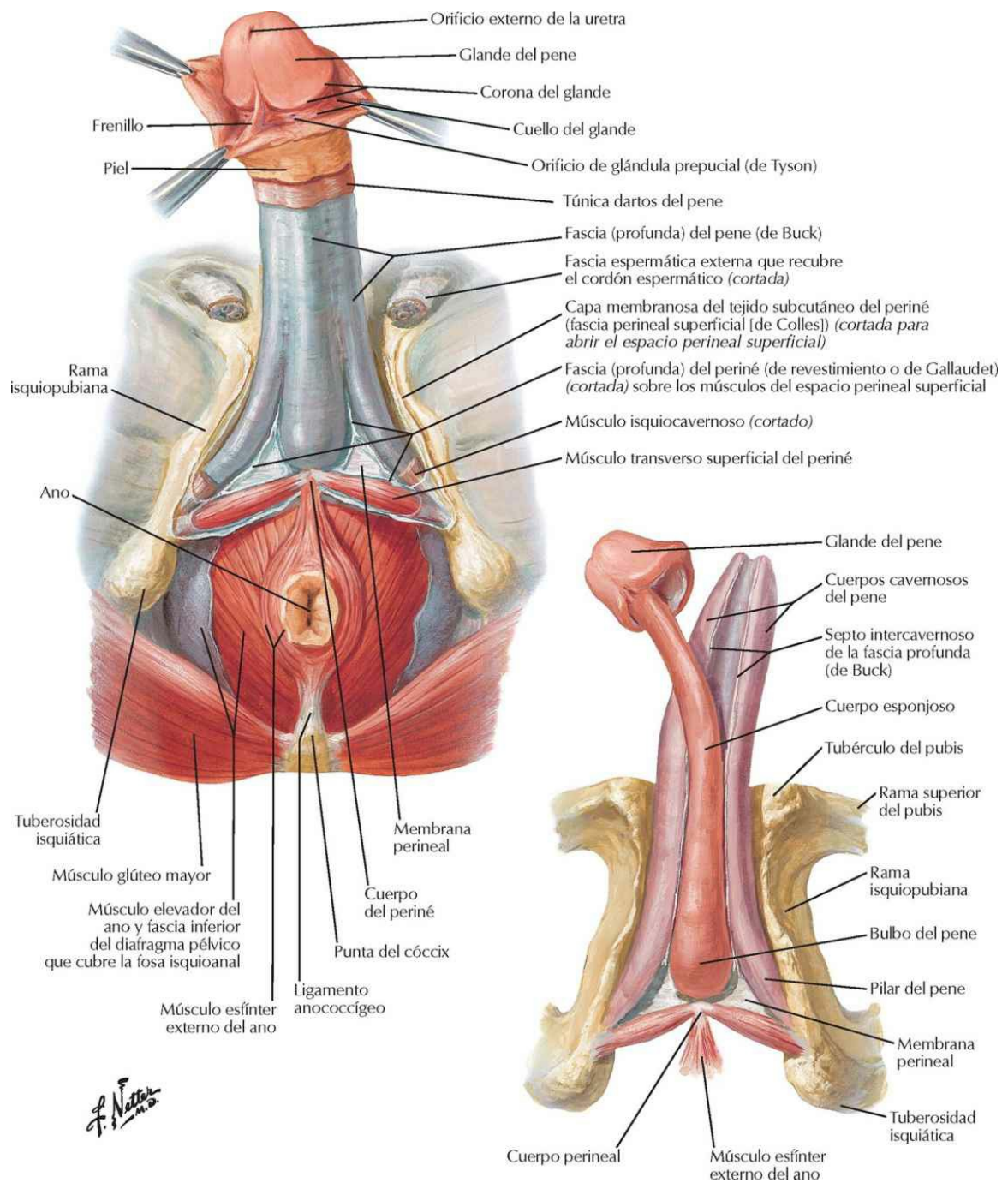
Periné y genitales externos masculinos (disección profunda)

Véanse también láminas 382, 384, 387

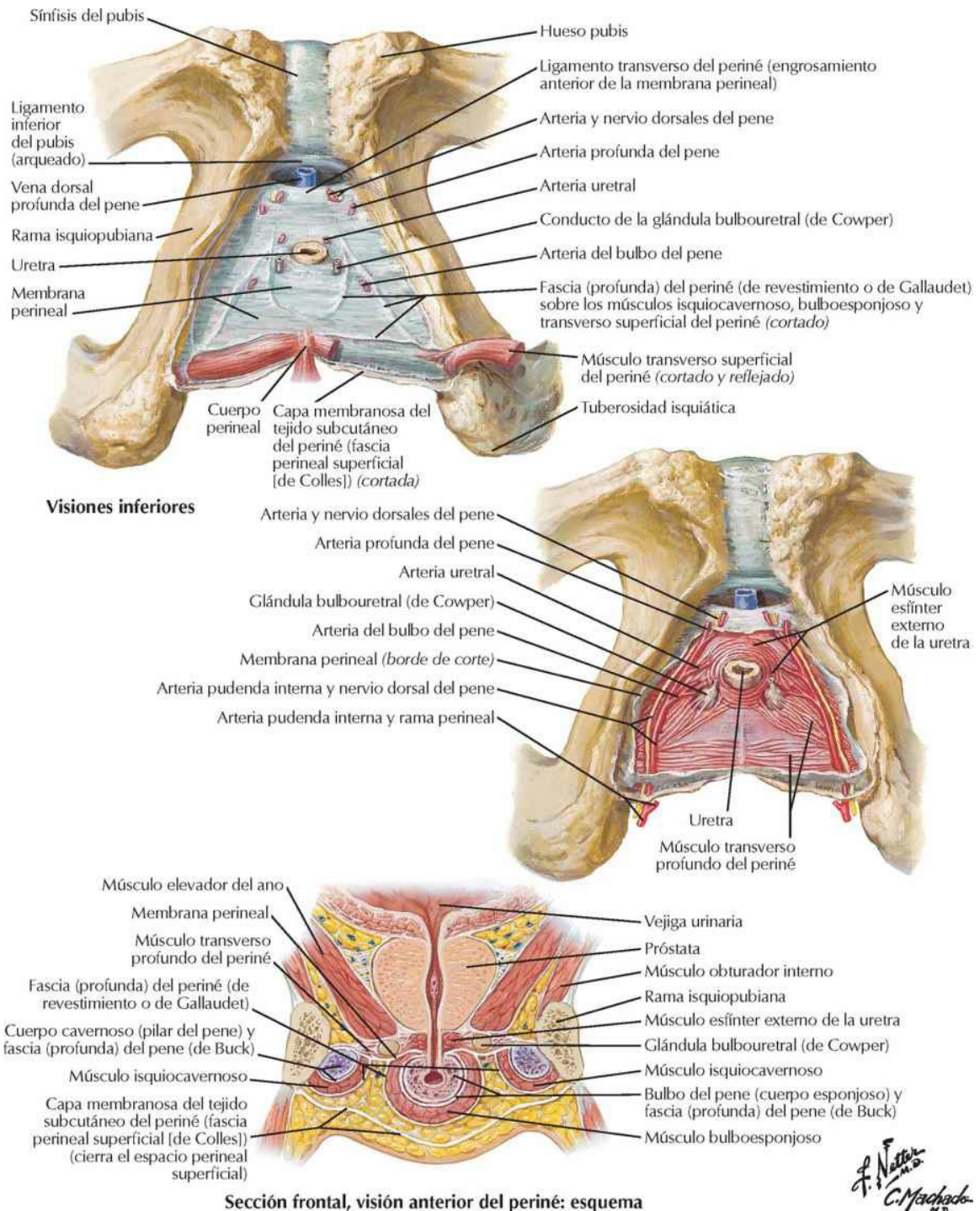


Sección transversal del cuerpo del pene

Pene

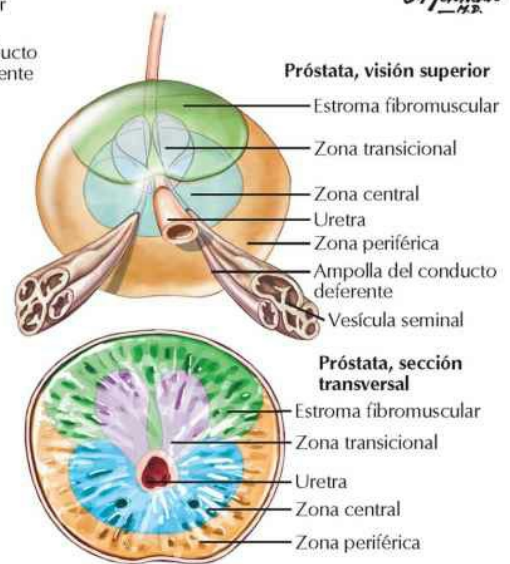
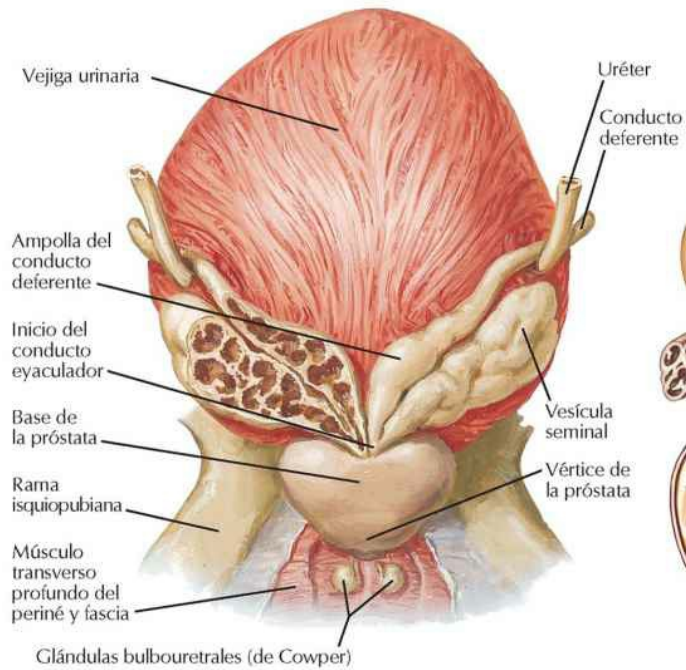
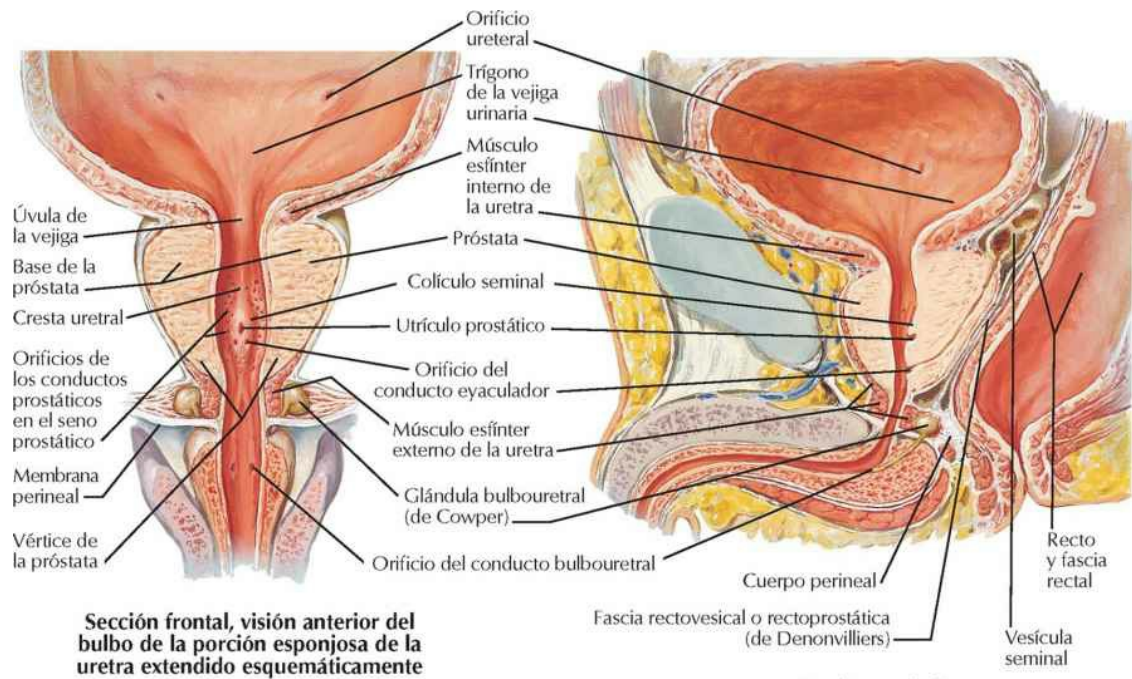


Espacios perineales en el varón



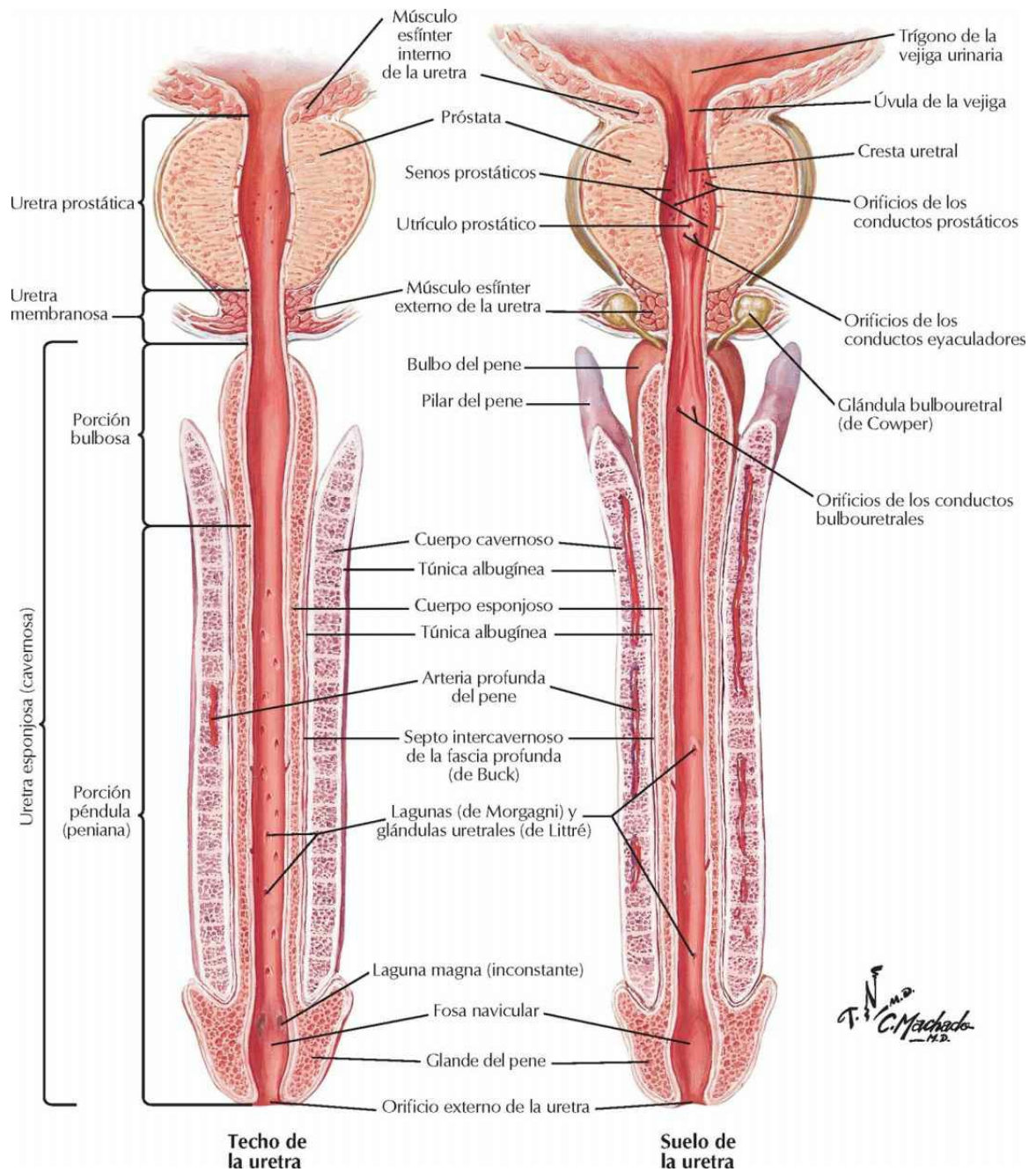
Próstata y vesículas seminales

Véanse también láminas 349, 352, 385

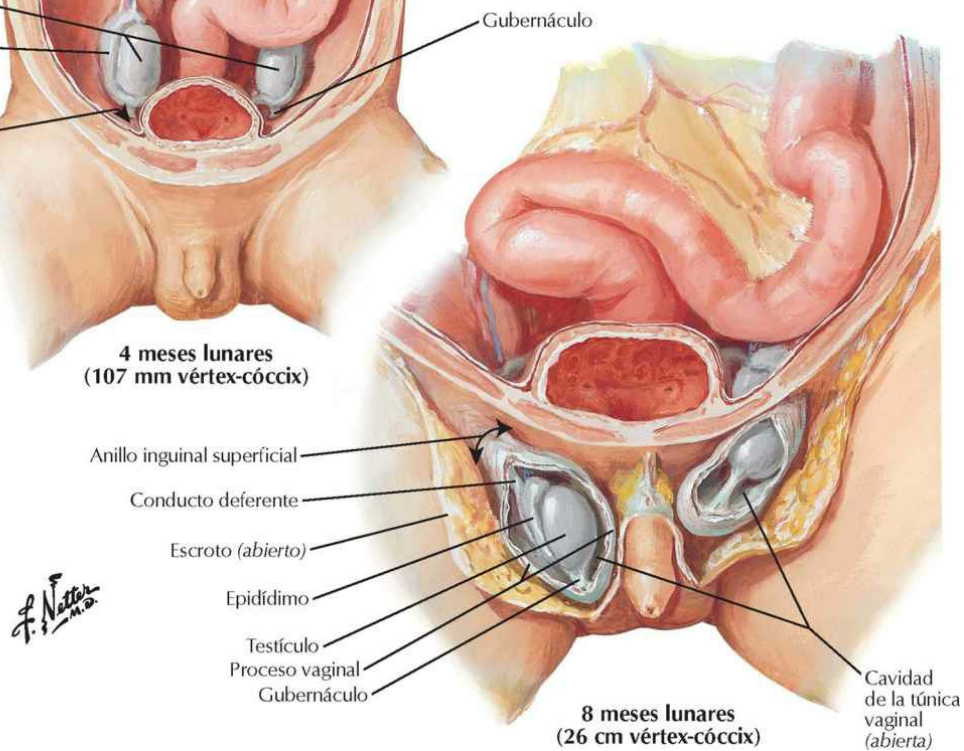
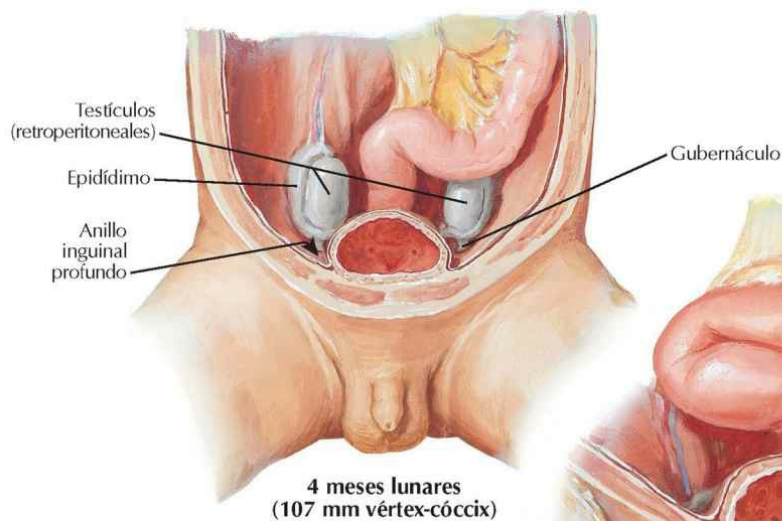
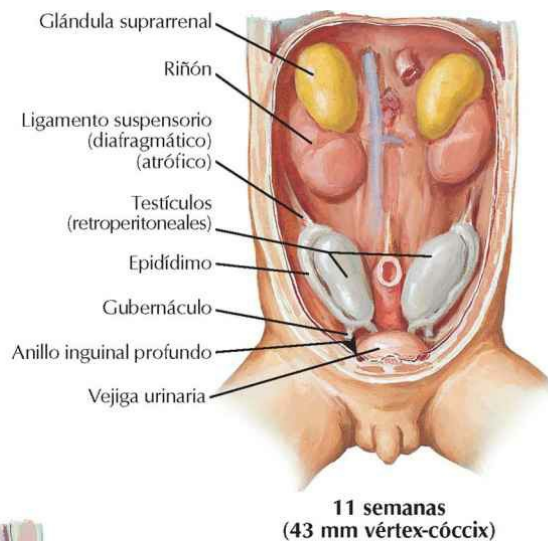
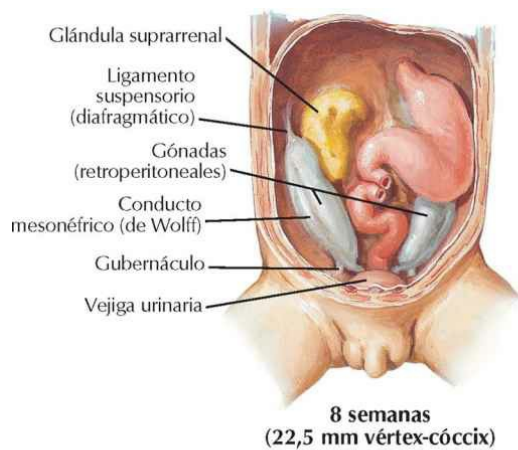


Visión posterior

Uretra

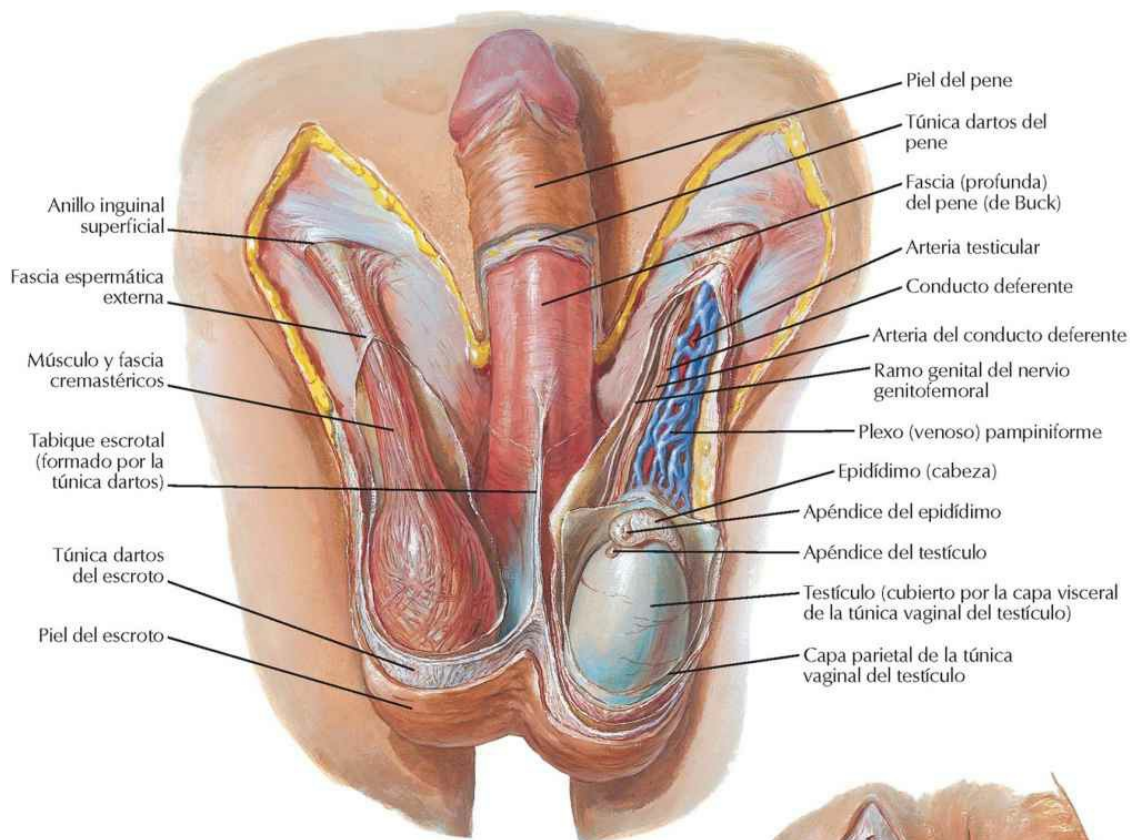


Descenso del testículo

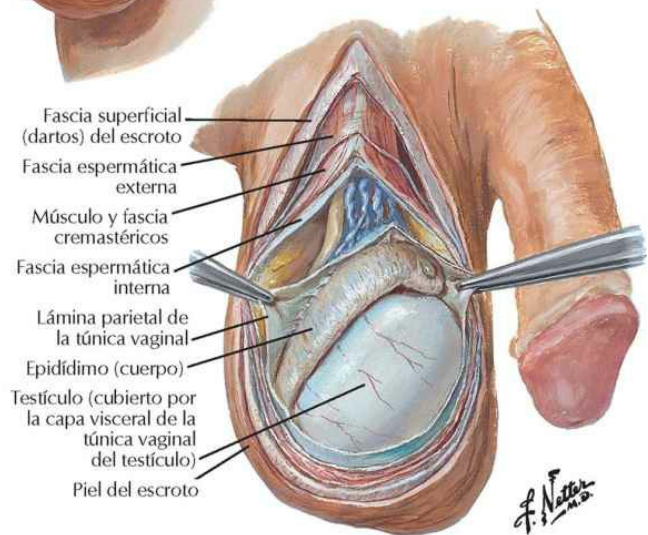
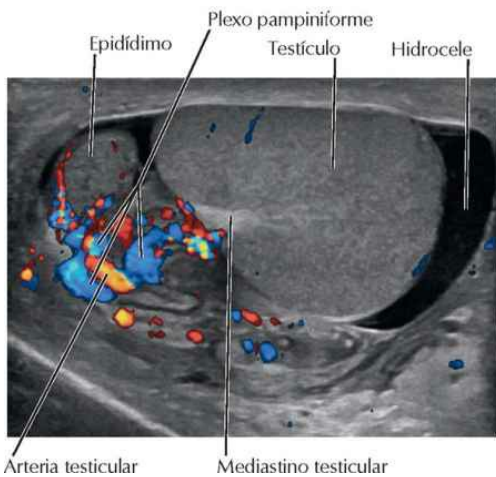


Escroto y contenido

Véanse también láminas 324, 349



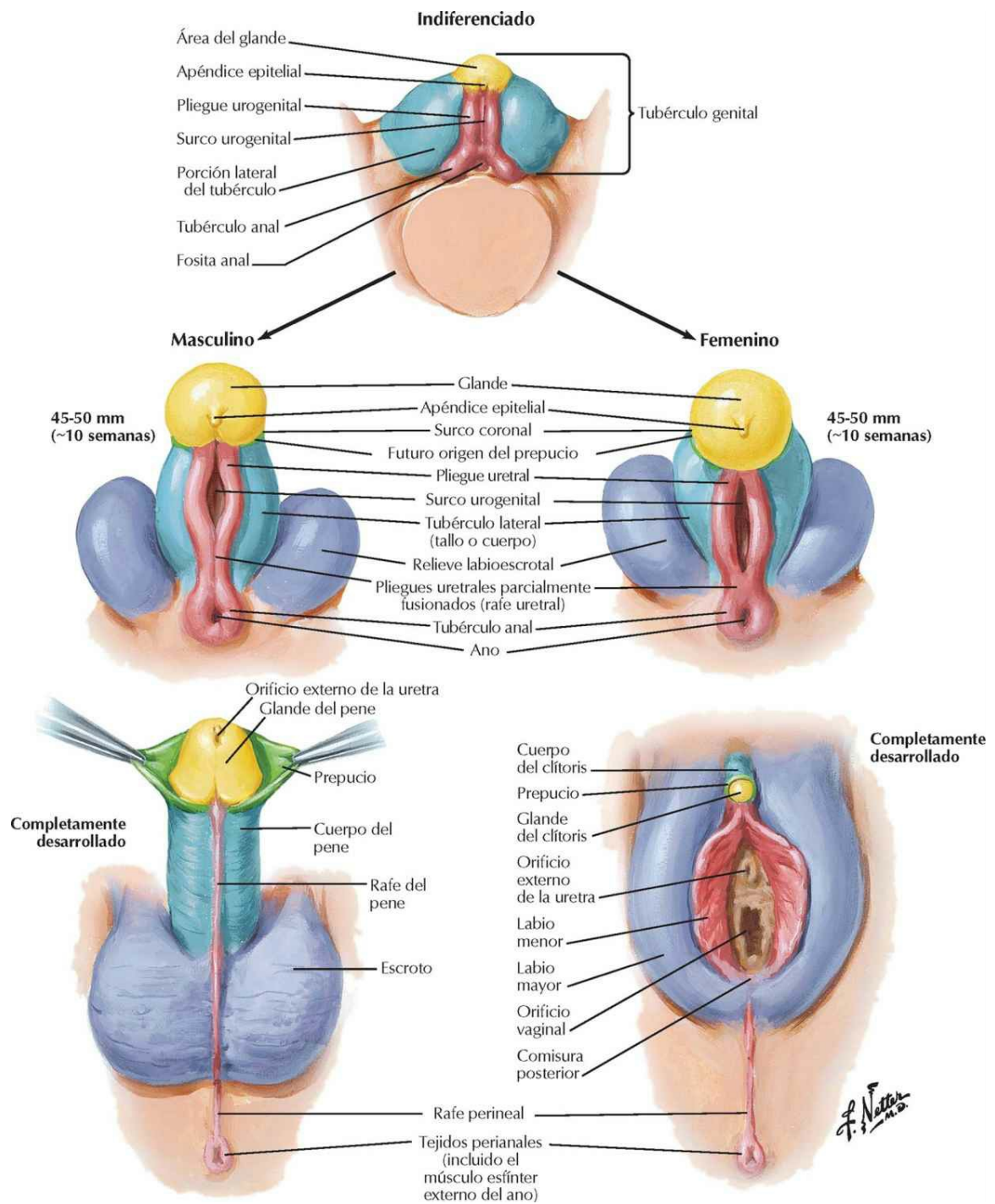
Ecografía Doppler a color transversal del testículo



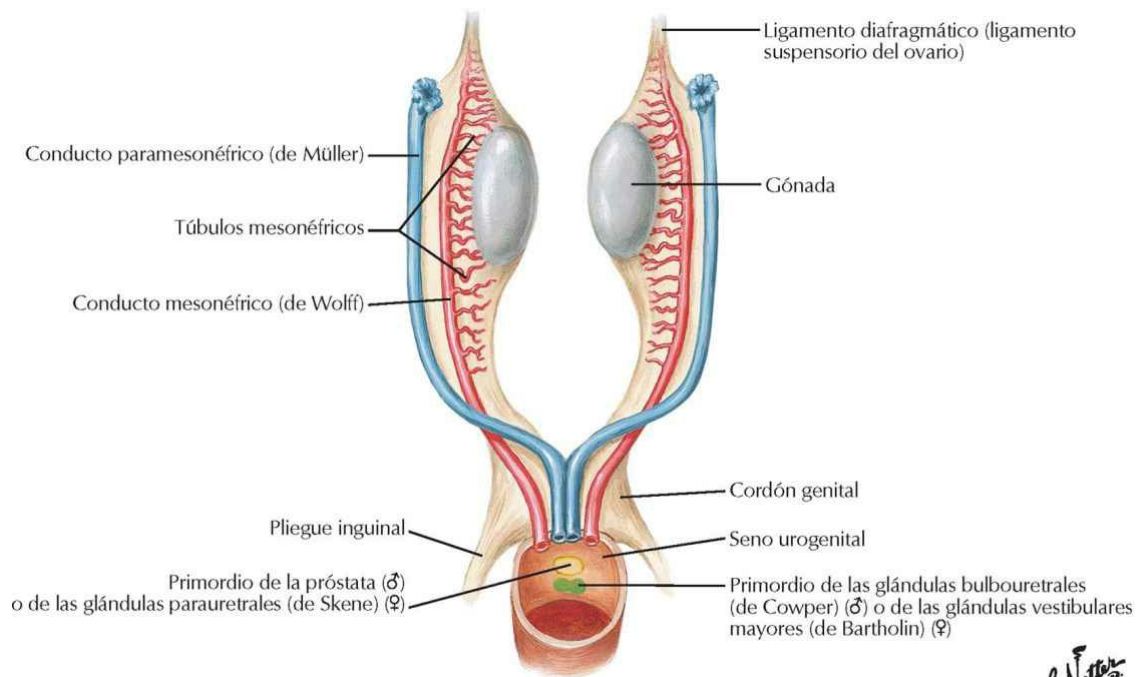
Estructuras homólogas de los genitales

Estructuras homólogas de los genitales externos

Véase también lámina 358

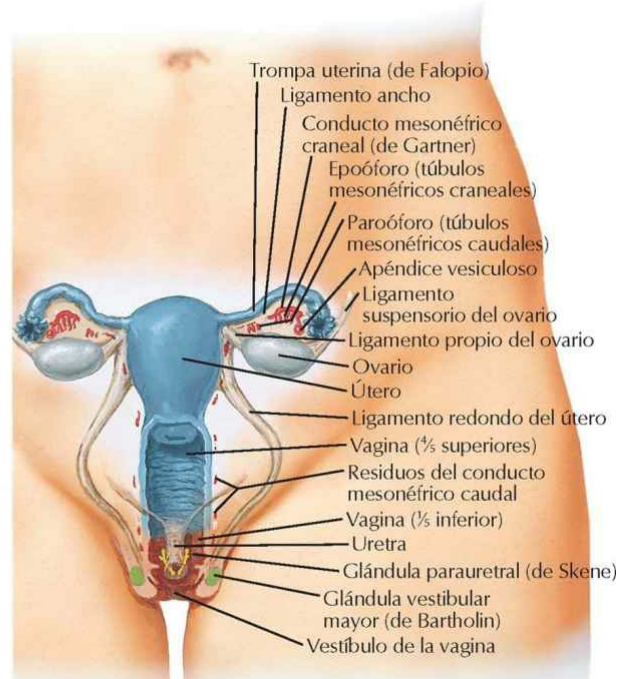
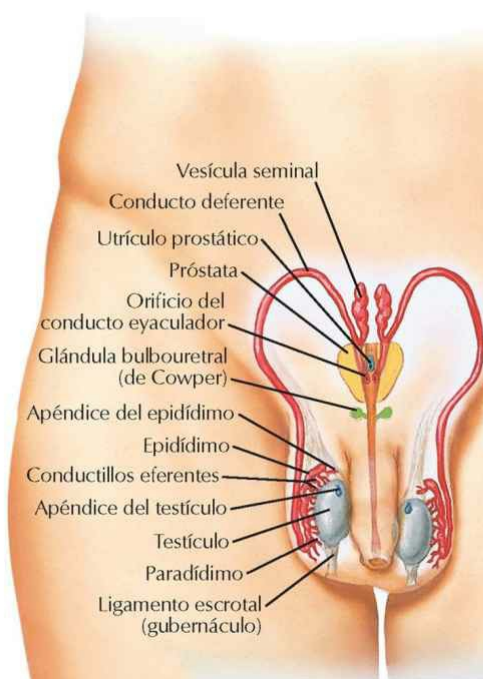


Estructuras homólogas de los genitales internos



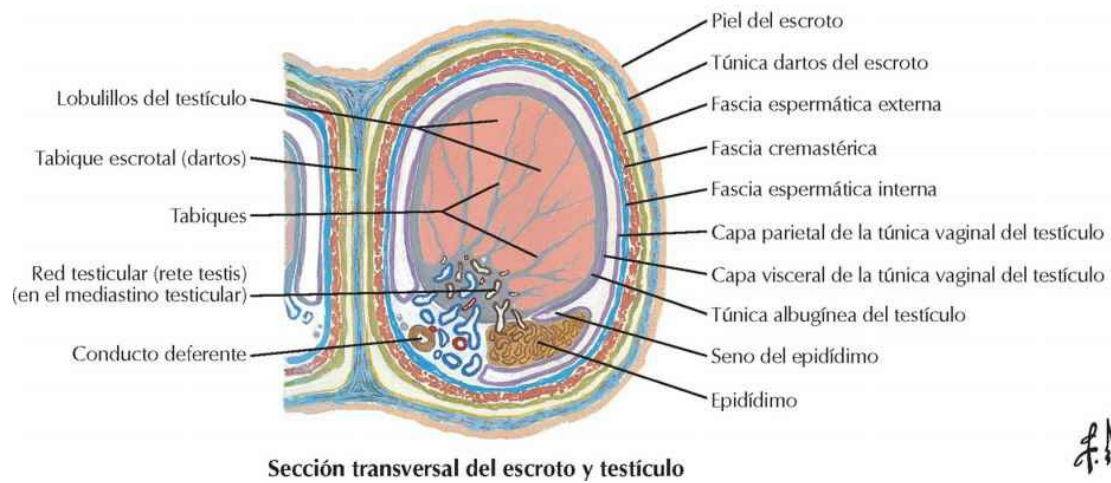
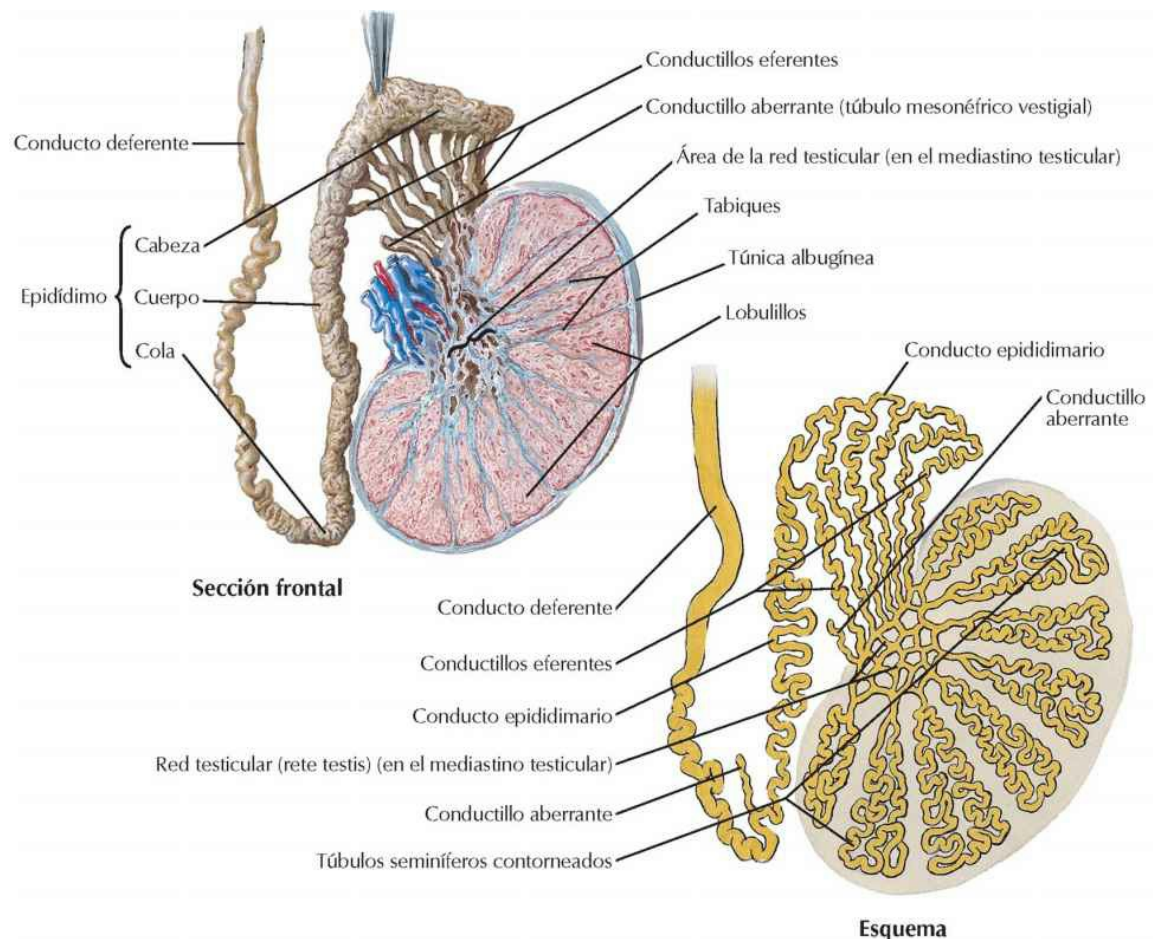
Indiferenciado

↙ **Masculino** ↘ **Femenino**



Testículo, epidídimo y conducto deferente

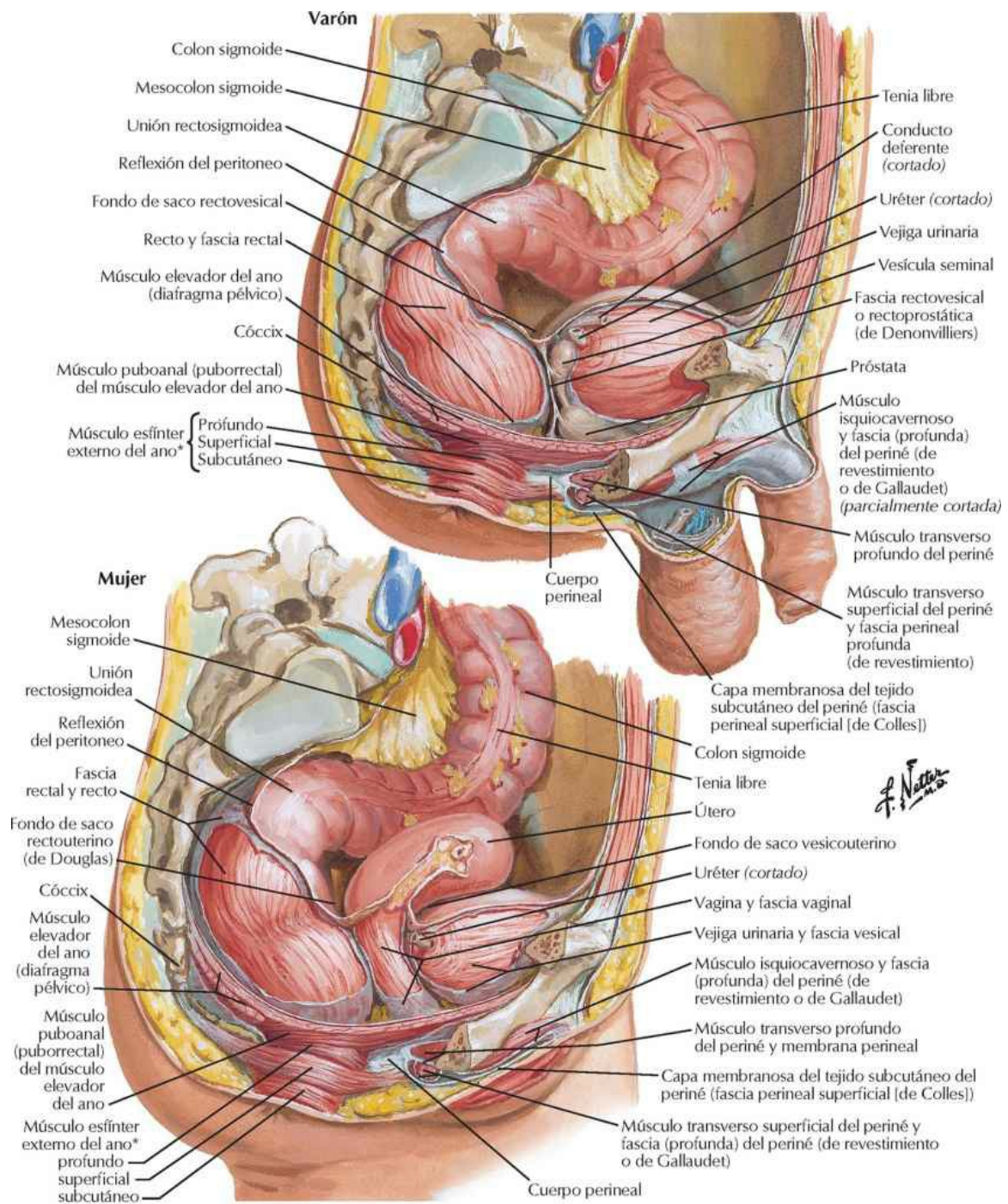
Testículo, epidídimo y conducto deferente



F. Netter M.D.

Recto

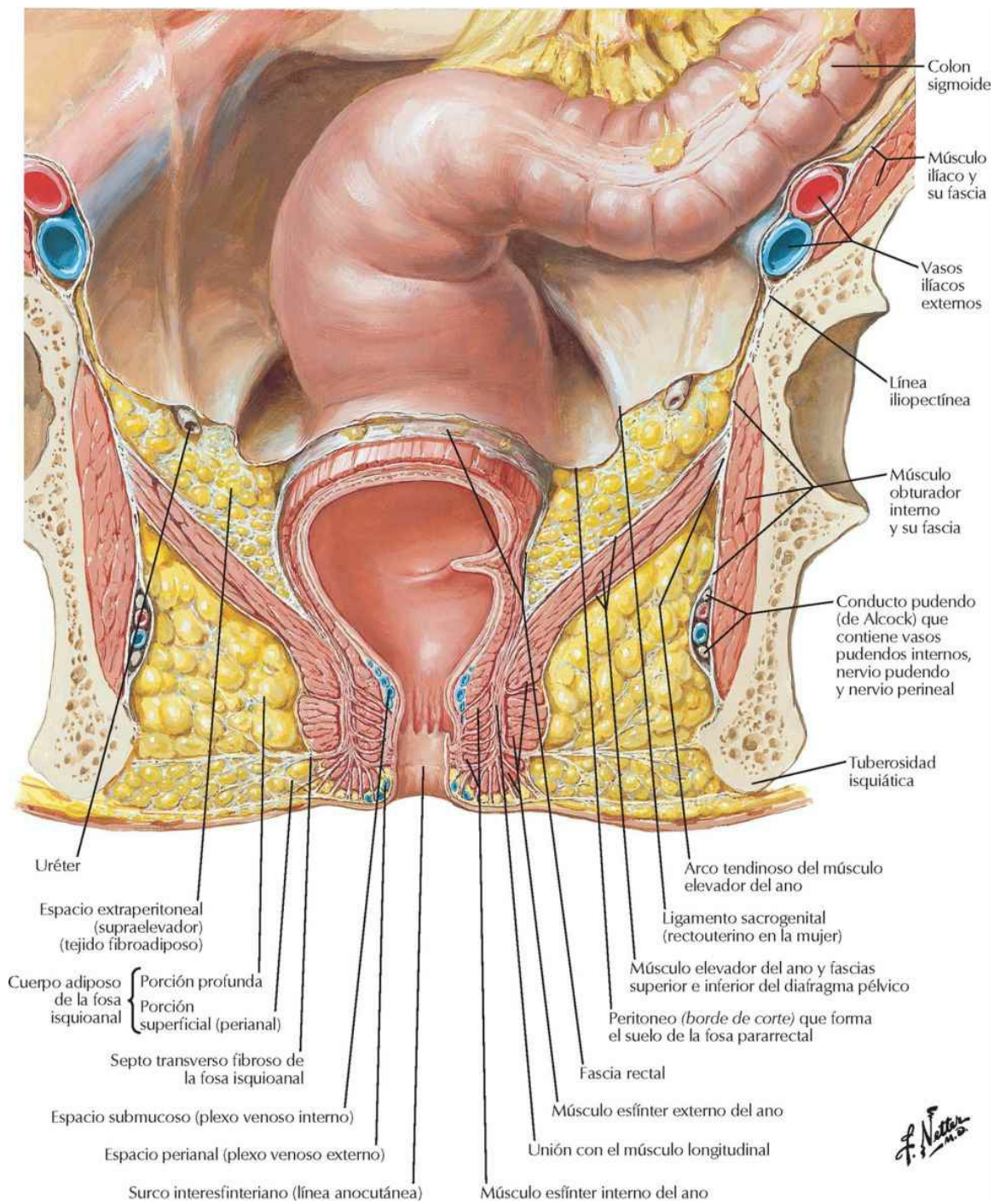
Recto *in situ*: mujer y varón



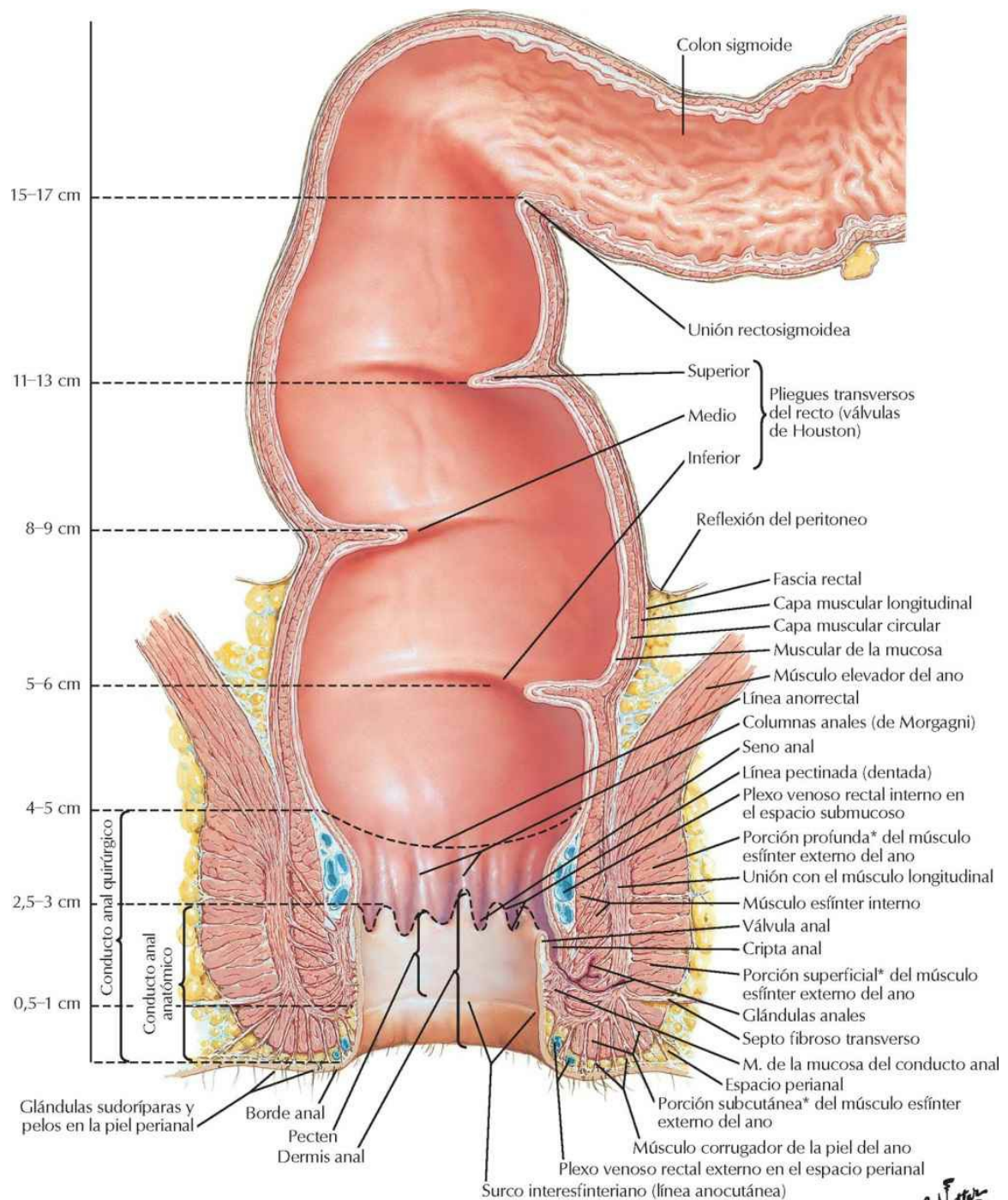
*Porciones variables y a menudo no diferenciadas

Fosas isquioanales

Véase también lámina 392

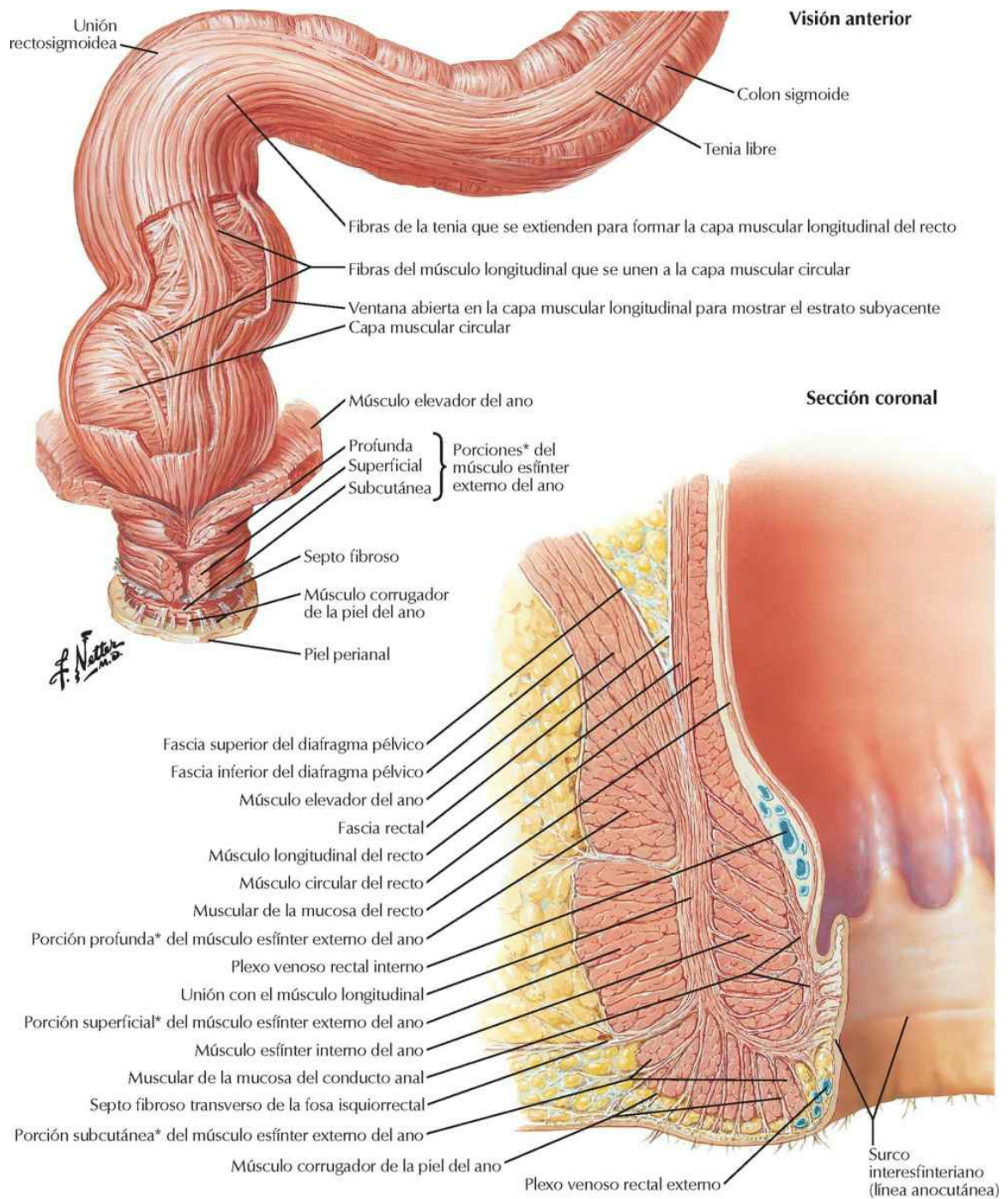


Recto y conducto anal



Musculatura anorrectal

Véase también lámina 381

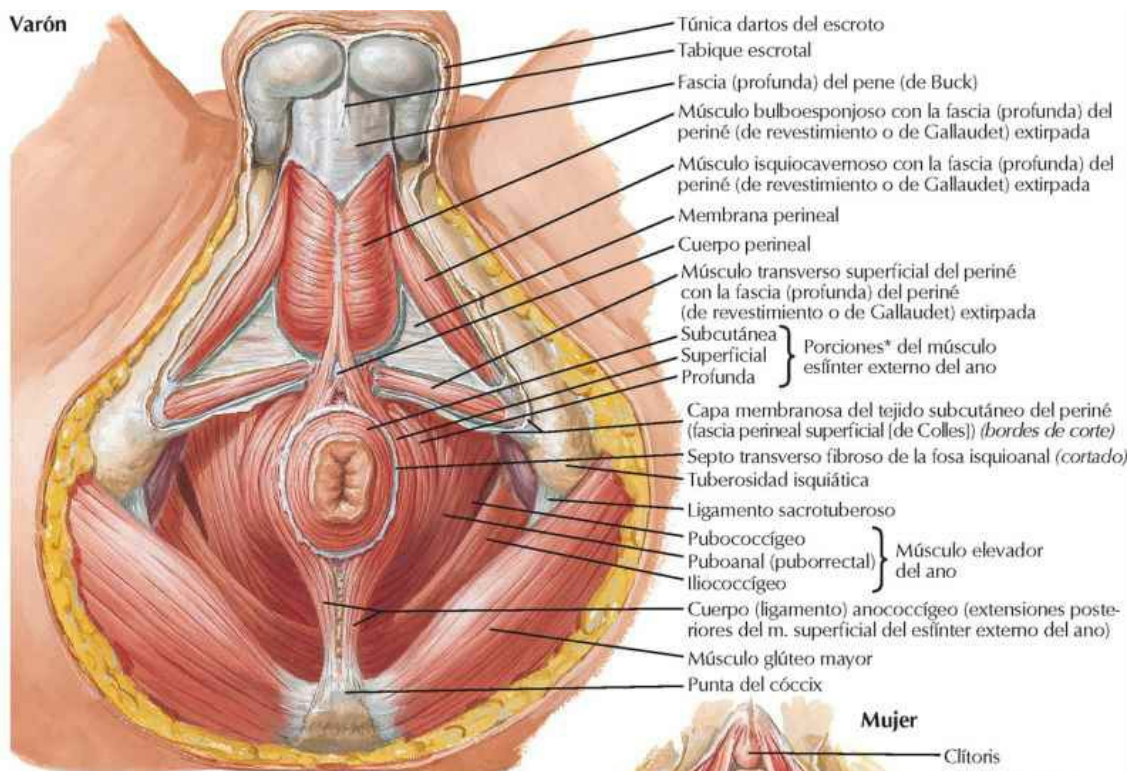


*Porciones variables y a menudo indiferenciadas

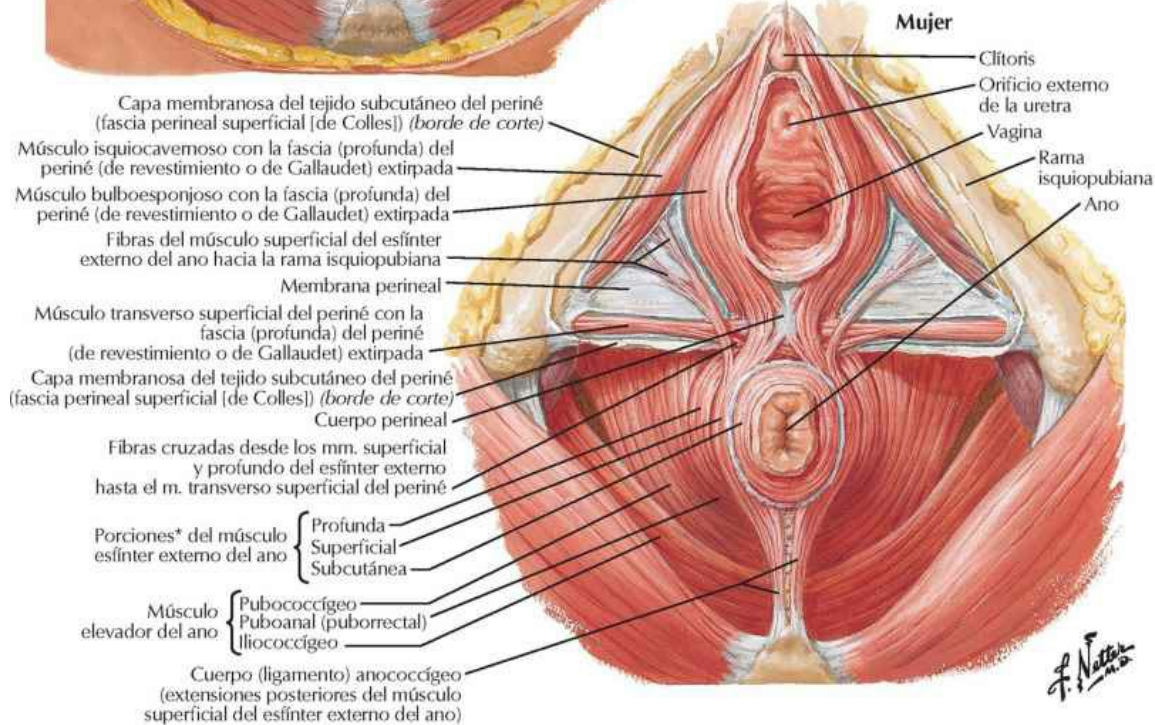
Músculo esfínter externo del ano: visiones perineales

Véanse también láminas 360, 365

Varón



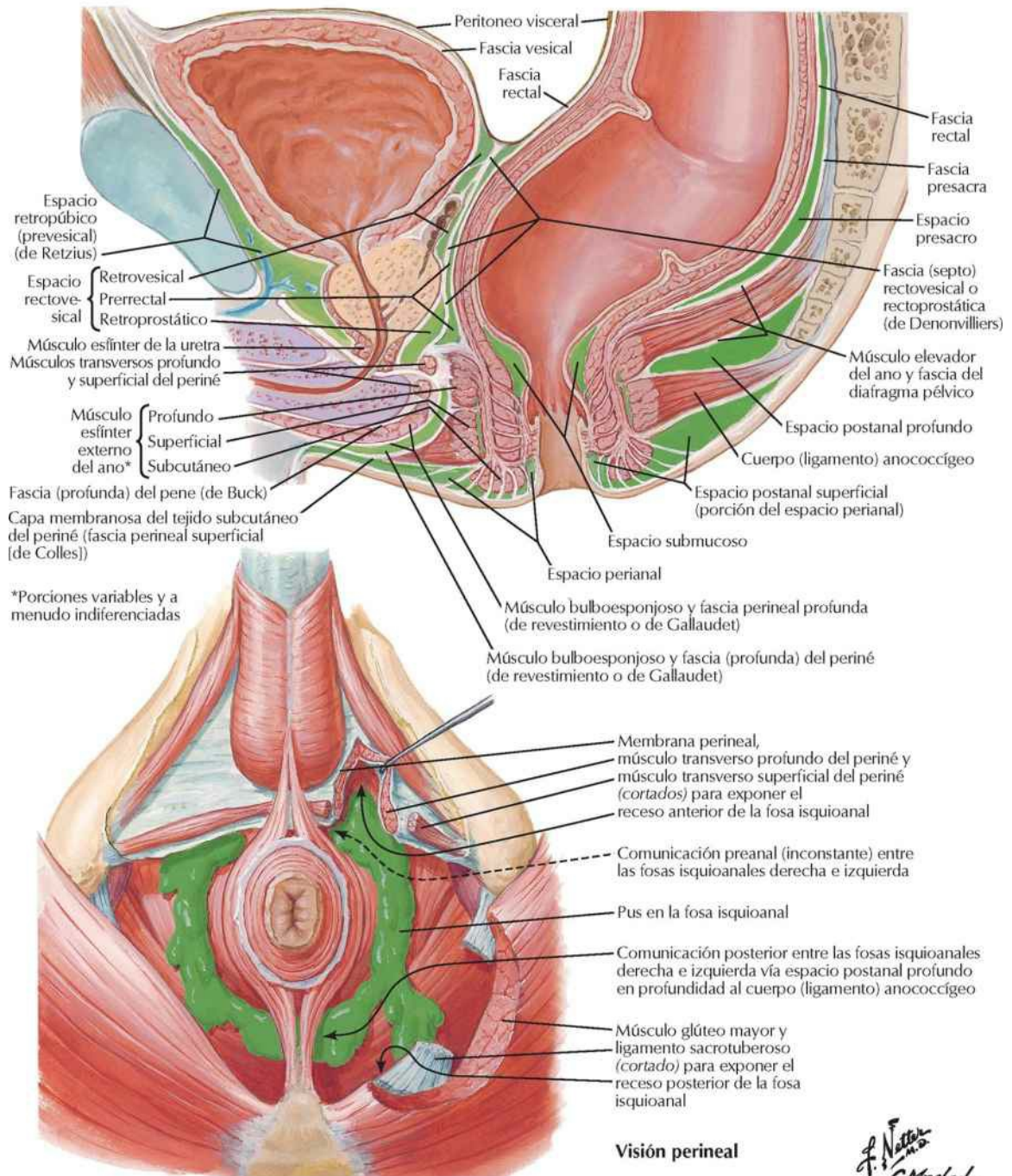
Mujer



*Porciones variables y a menudo indiferenciadas

Espacios reales y potenciales perineopélvicos

Sección sagital



Propagación de un absceso perineal en los espacios perineales

J. Netto
C. Machado
—H.S.

Exploraciones regionales

RM sagitales potenciadas en T2 de la pelvis

**RM de la pelvis femenina
(sin medio de contraste
intravenoso)**

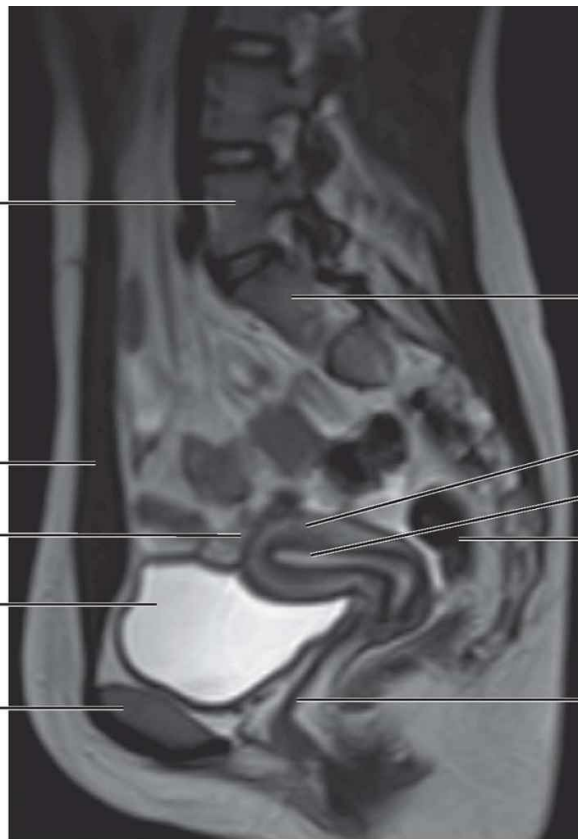
Cuerpo vertebral de L5

Músculo recto del abdomen

Fondo del útero

Vejiga urinaria

Pubis



Cuerpo vertebral de S1

Miometrio del útero

Endometrio del útero

Recto

Vagina

**RM de la pelvis masculina
(sin medio de contraste
intravenoso)**

Ombigo

Músculo recto del abdomen

Vejiga urinaria

Pubis

Pene



Vértebra L4

Disco intervertebral L4/L5

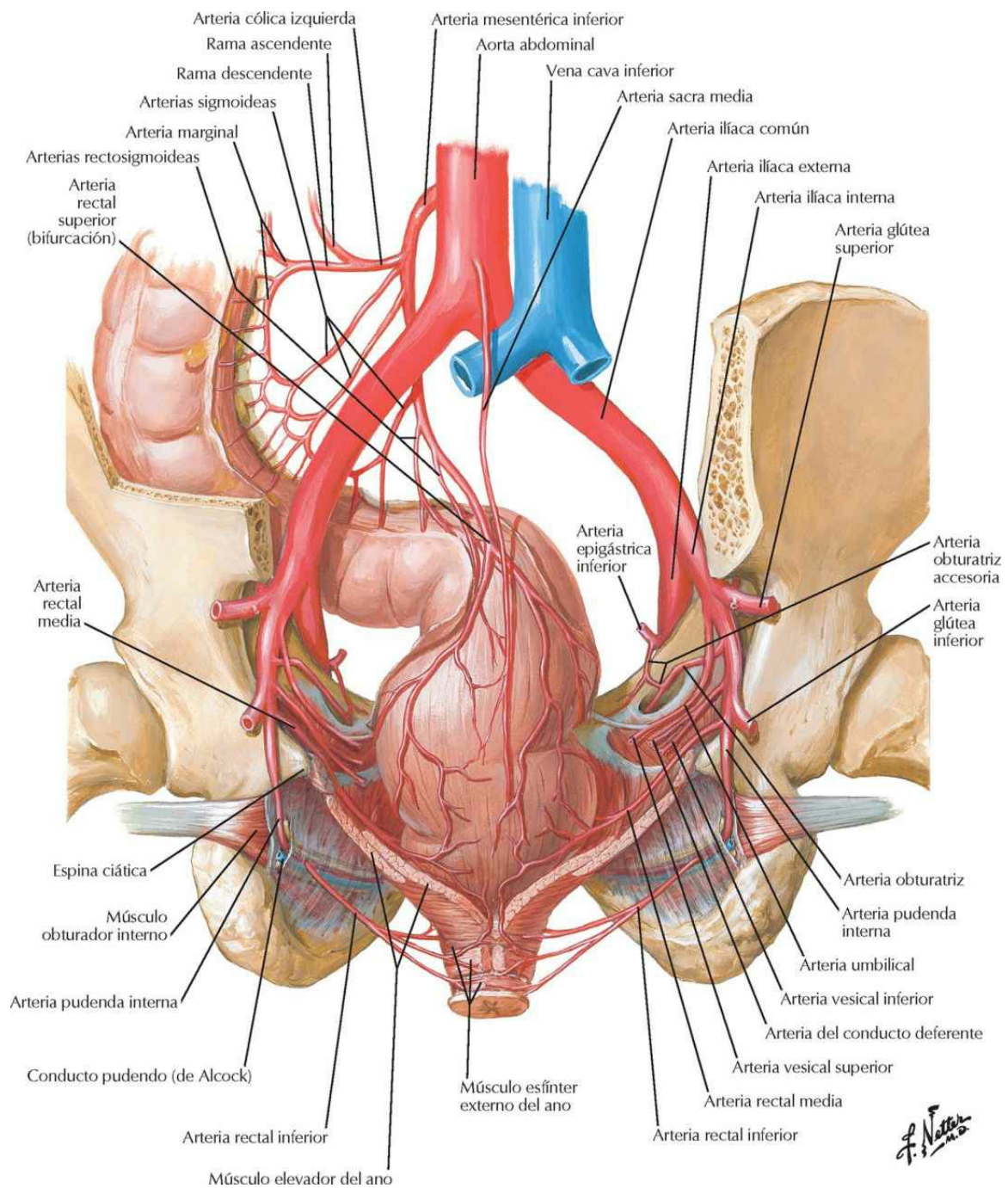
Sacro (S1)

Recto

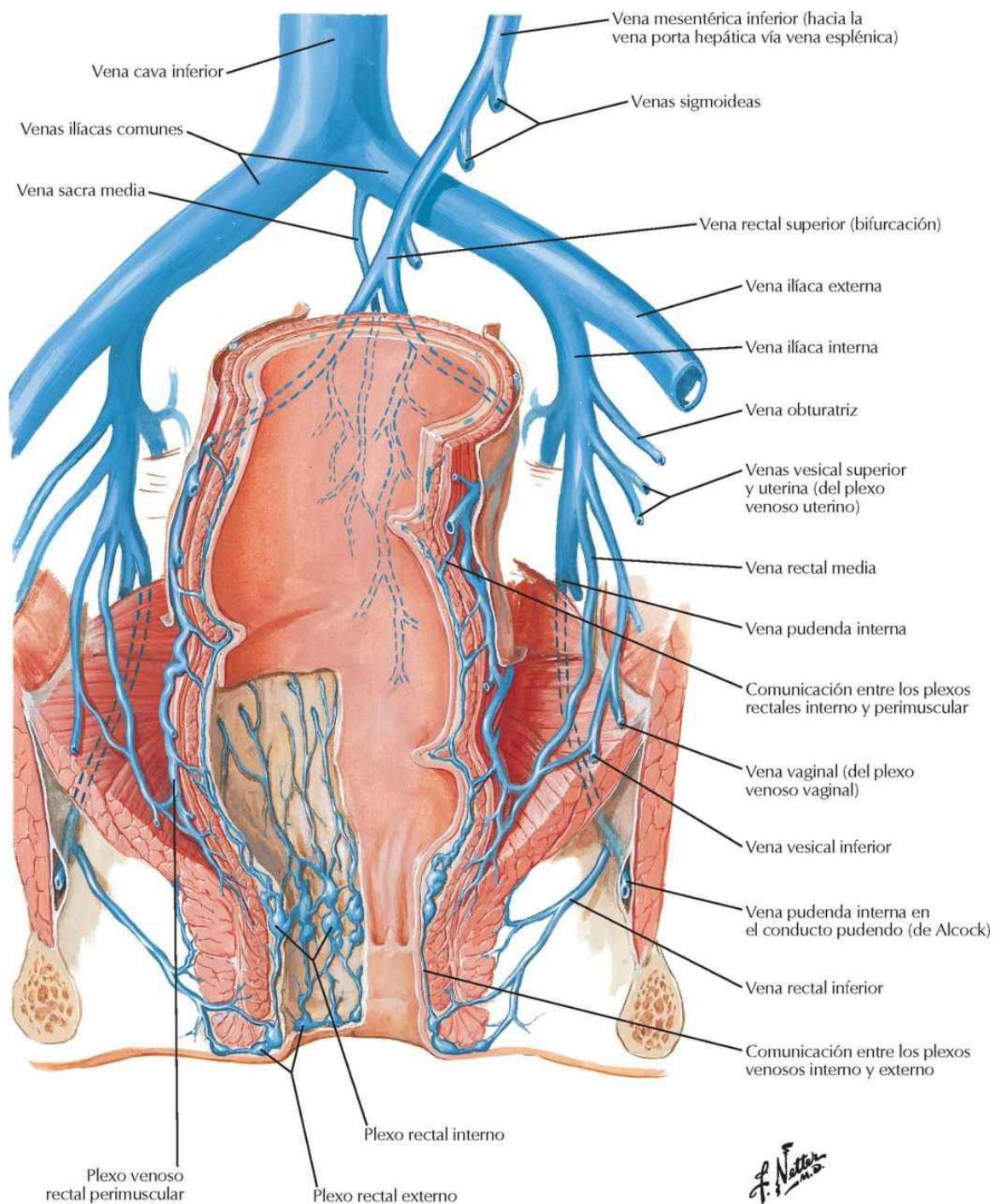
Próstata

Vasculatura

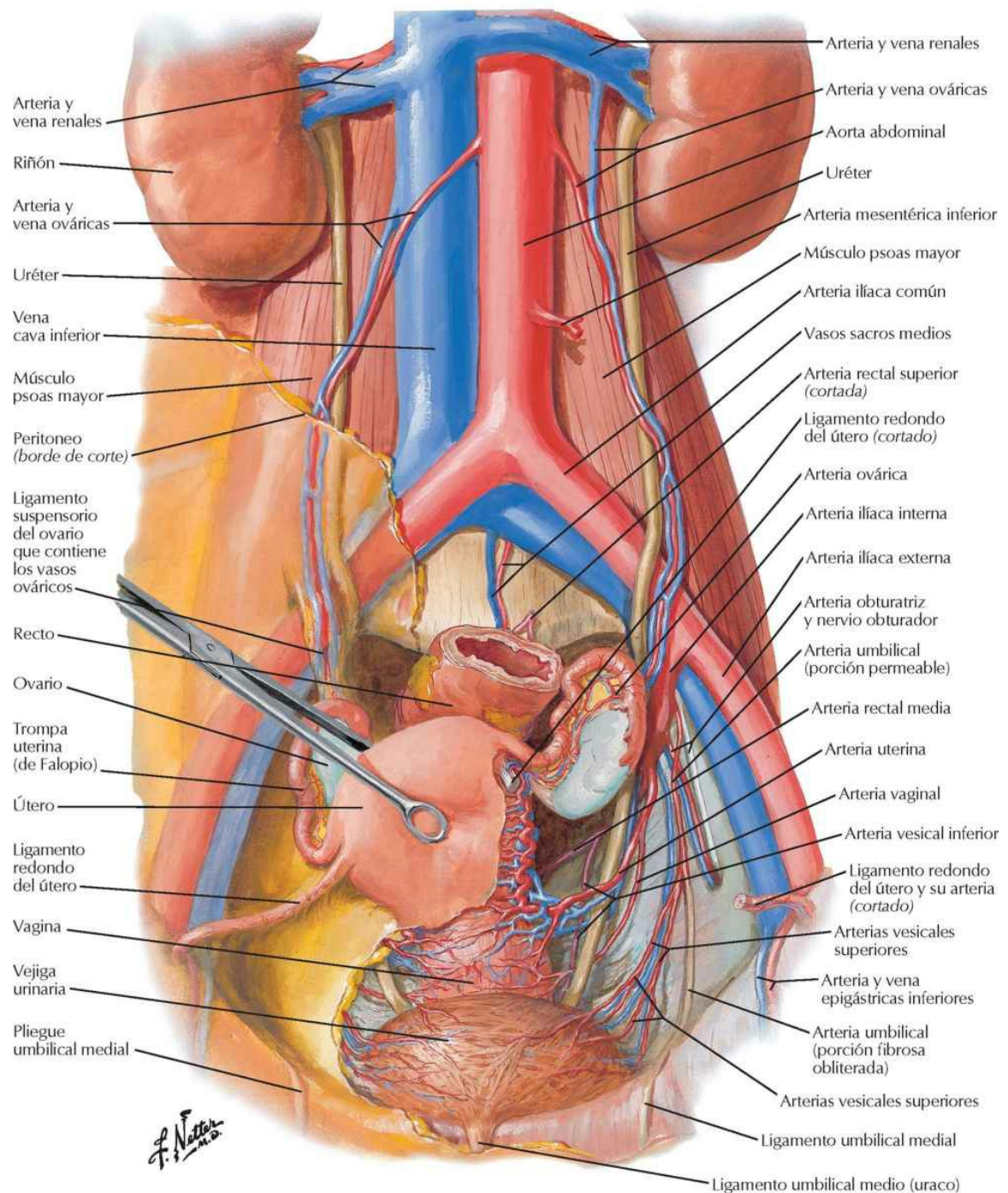
Arterias del recto y conducto anal en el varón: visión posterior



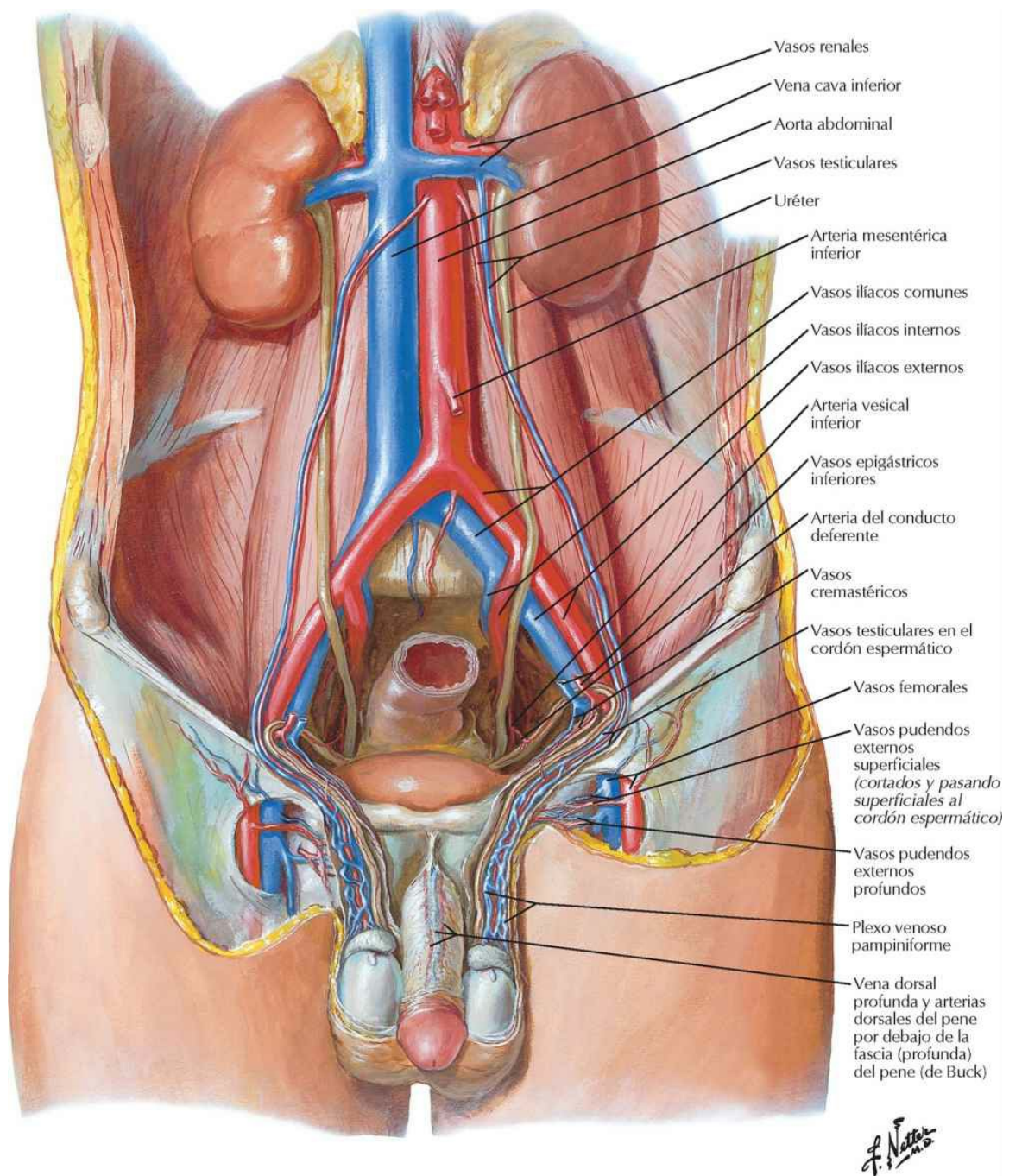
Venas del recto y conducto anal en la mujer: visión anterior



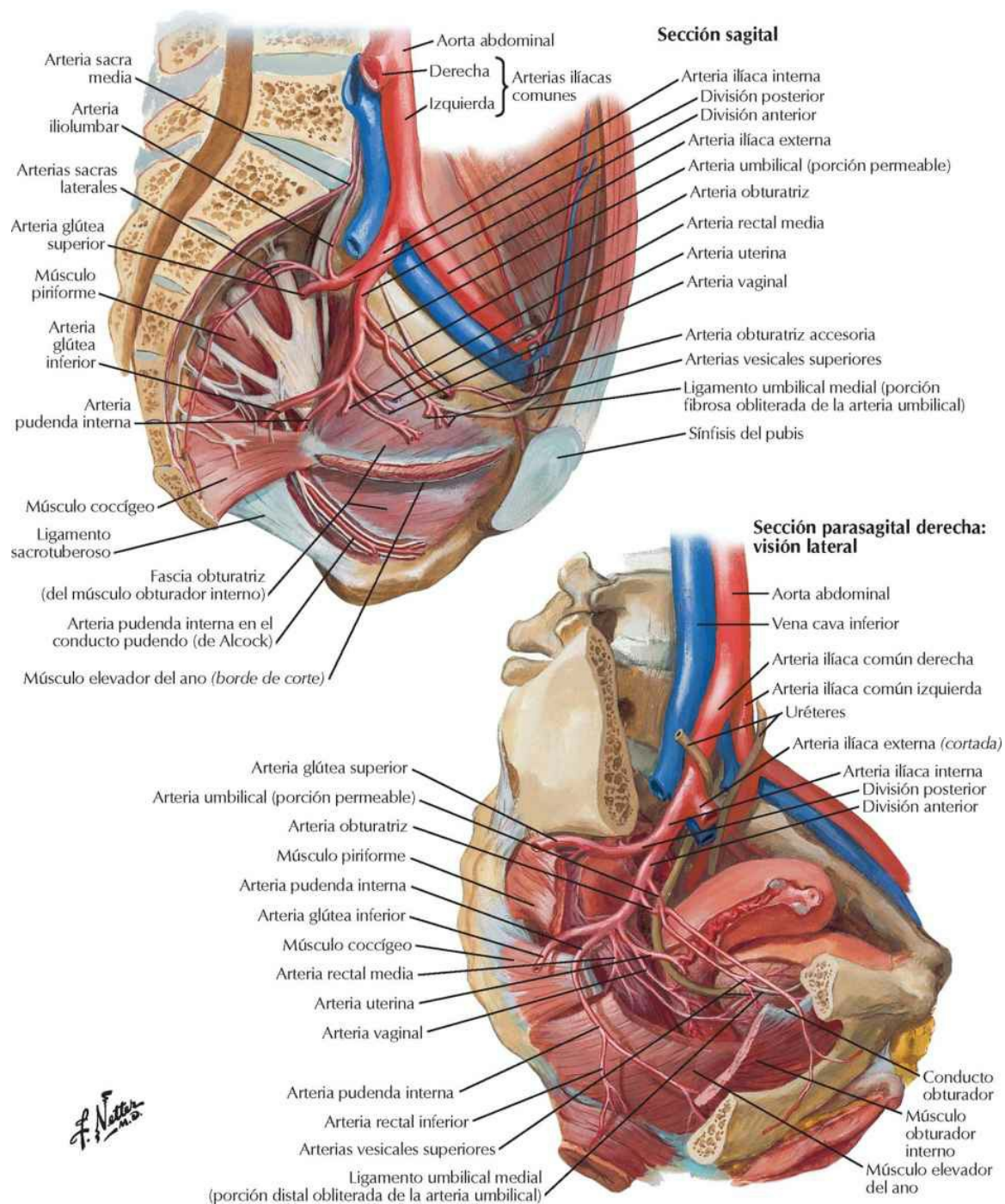
Arterias y venas de los órganos pélvicos femeninos: visión anterior



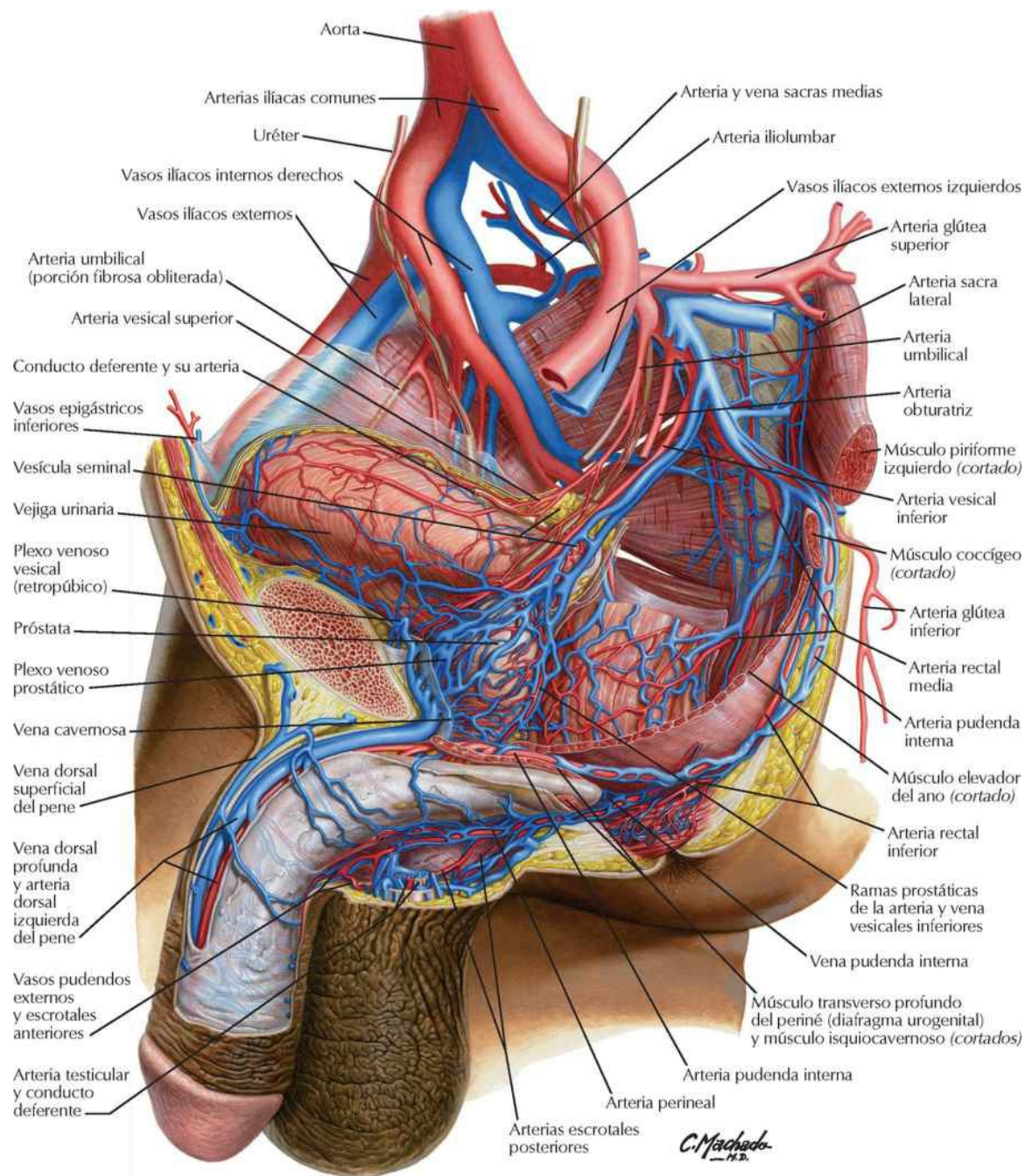
Arterias y venas del testículo: visión anterior



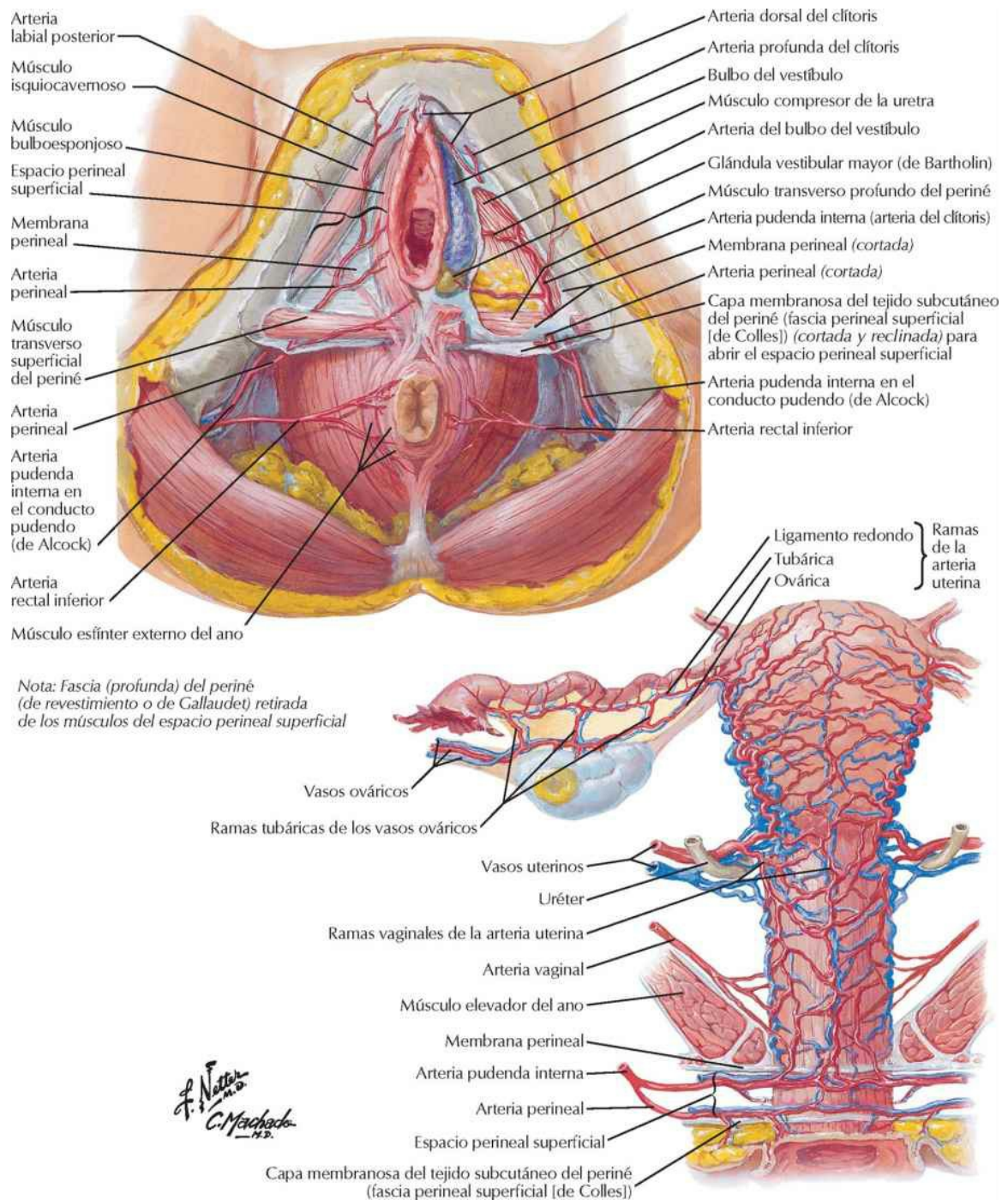
Arterias de la pelvis: mujer



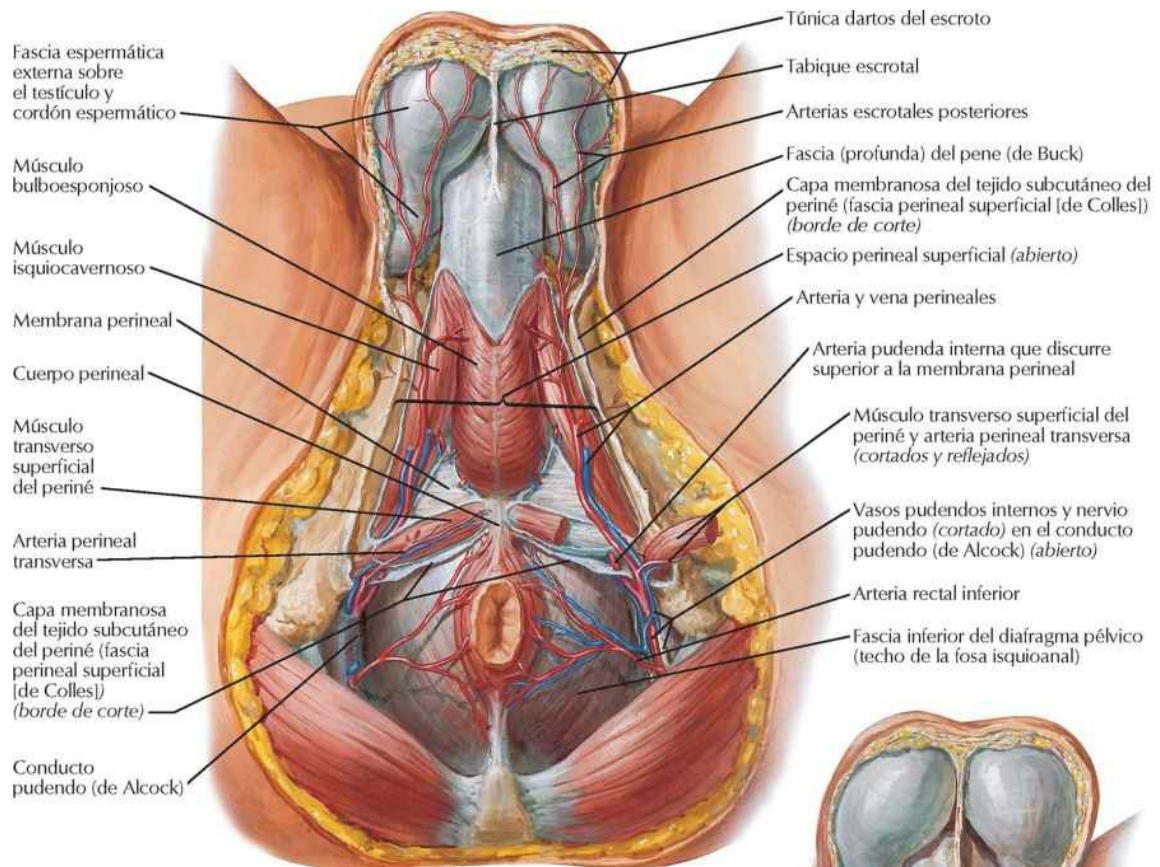
Arterias y venas de la pelvis: varón



Arterias y venas del periné y útero



Arterias y venas del periné: varón

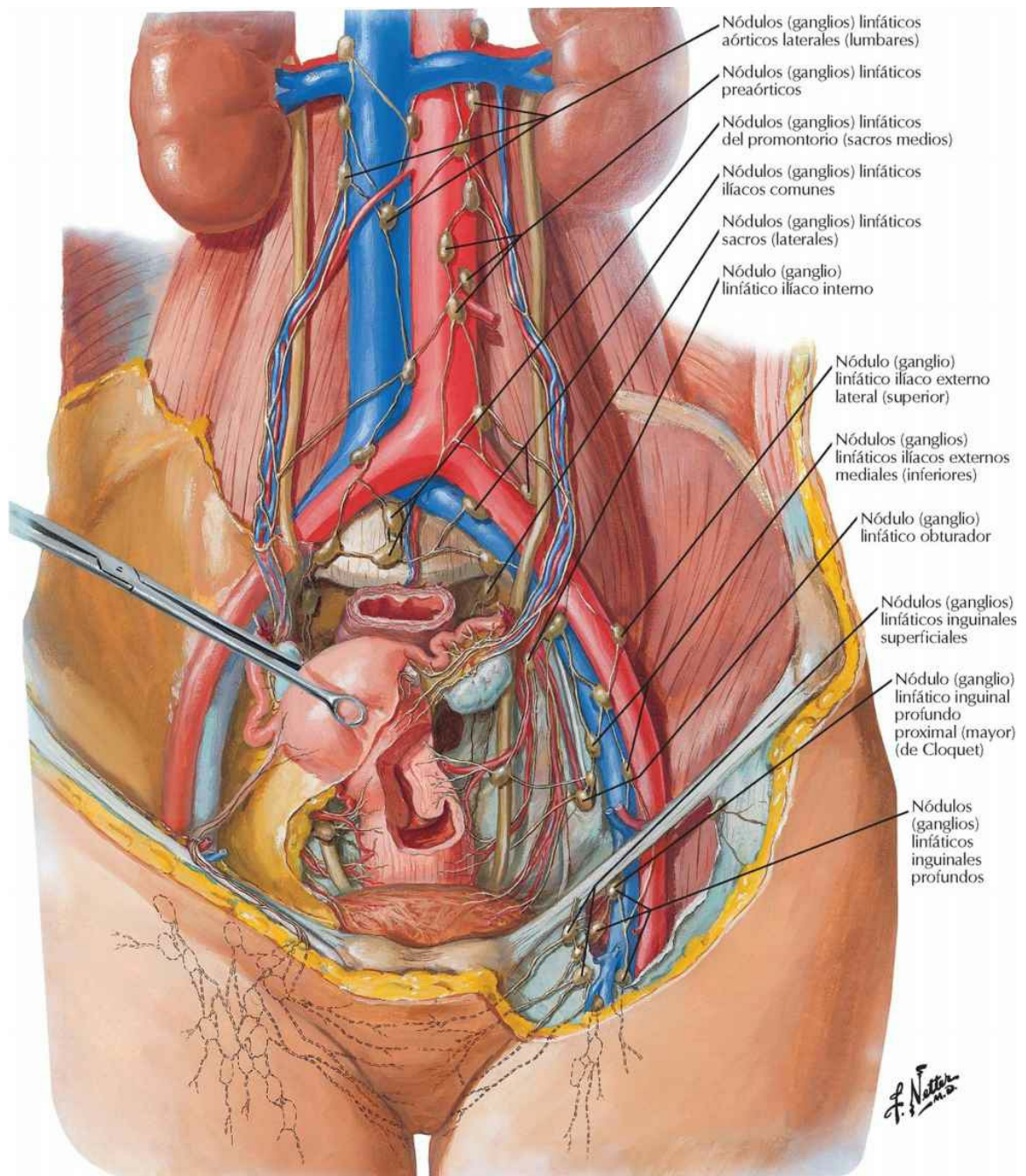


Nota: Fascia (profunda) del periné (de revestimiento o de Gallaudet) retirada de los músculos del espacio perineal superficial

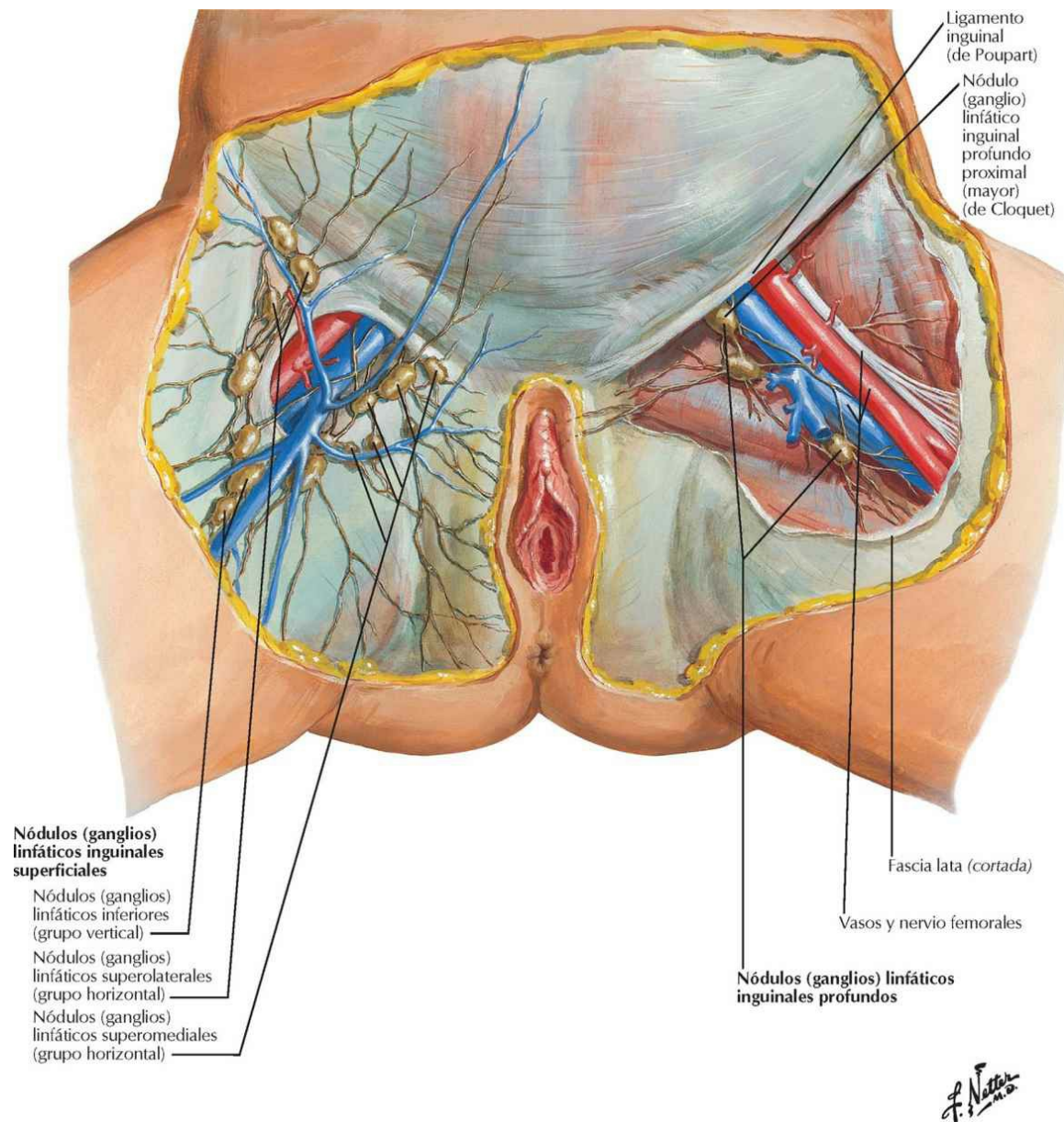
F. Netter



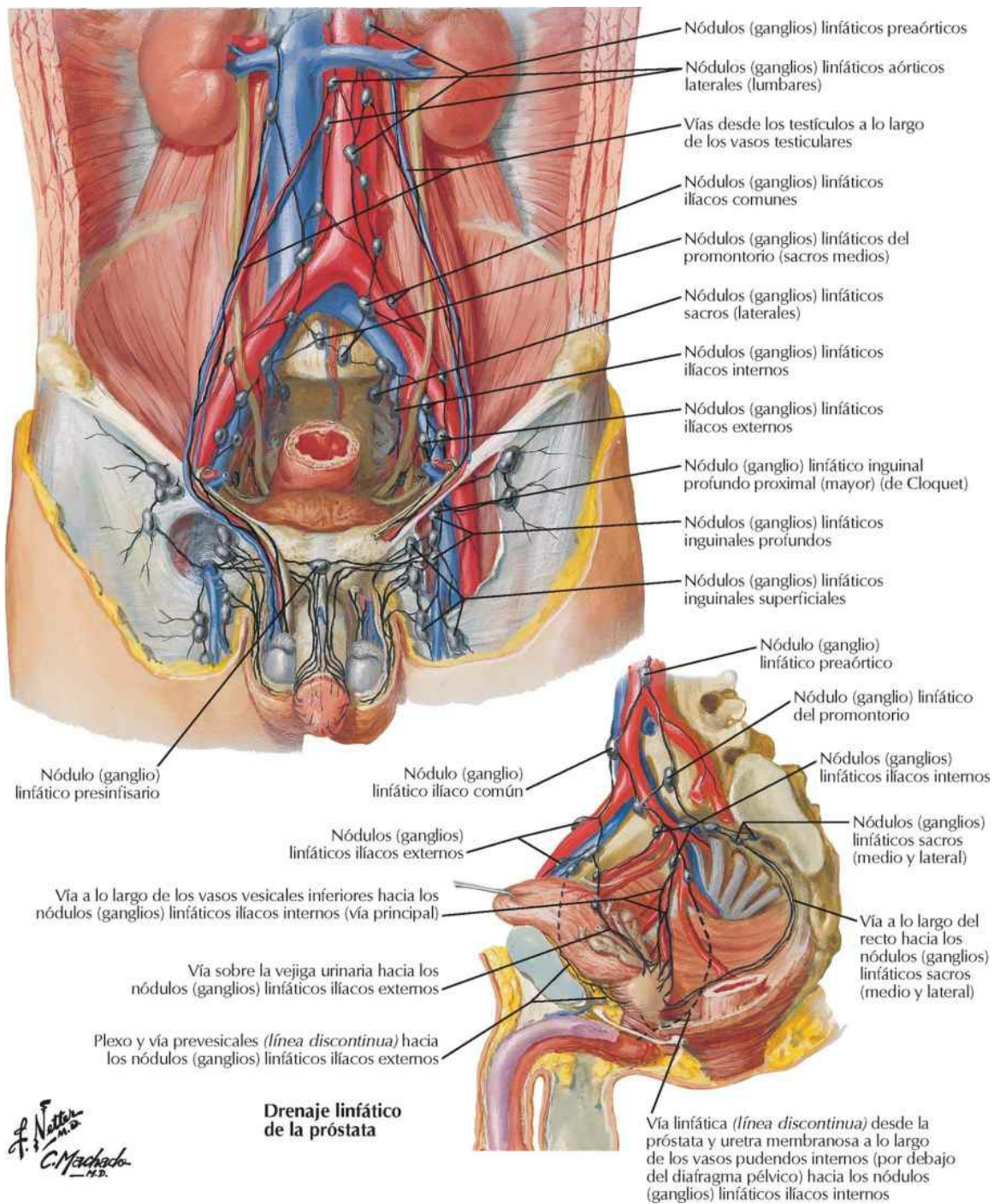
Vasos y nódulos (ganglios) linfáticos de la pelvis y genitales: mujer



Vasos y nódulos (ganglios) linfáticos del periné: mujer



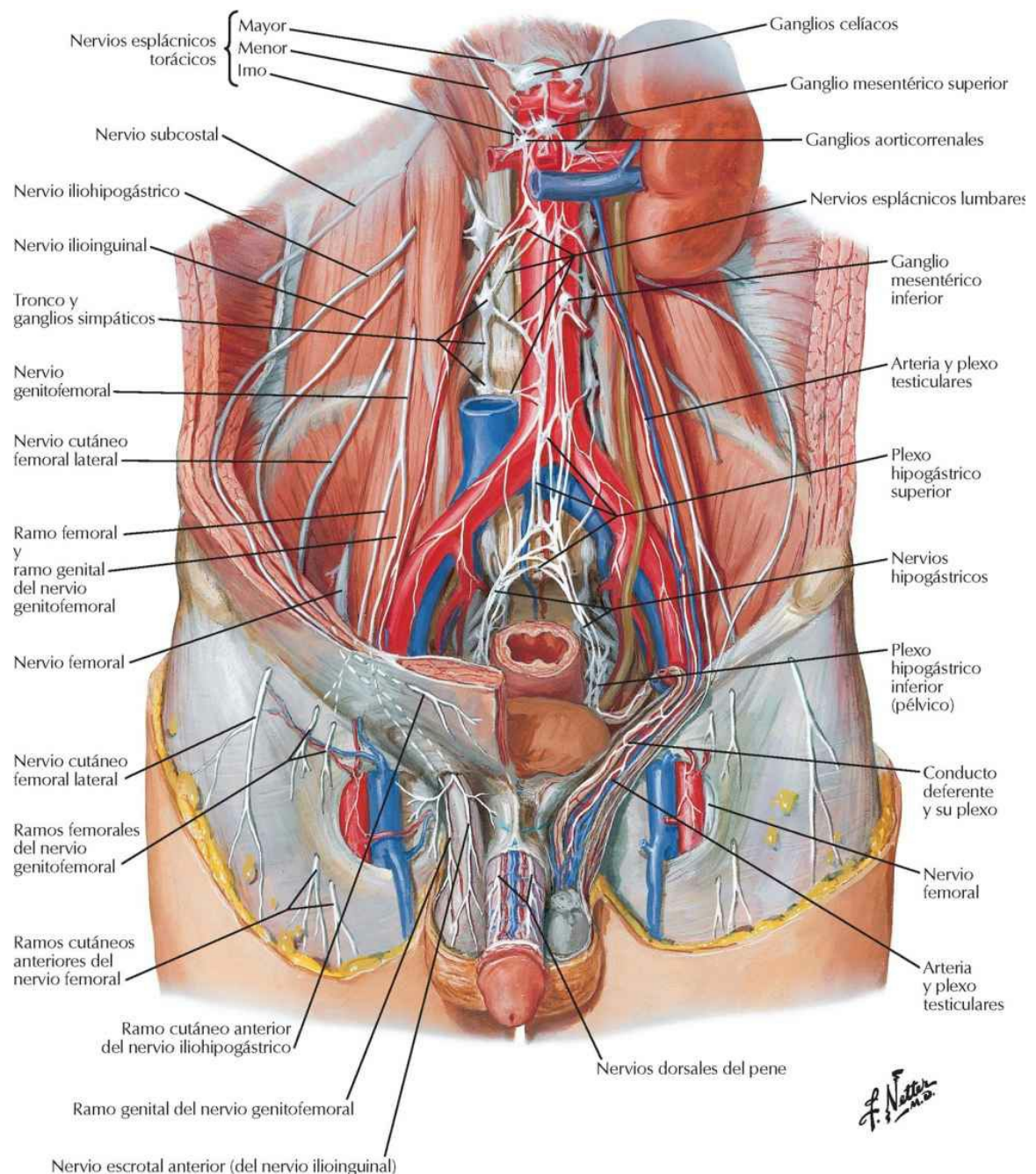
Vasos y nódulos (ganglios) linfáticos de la pelvis y genitales: varón



Inervación

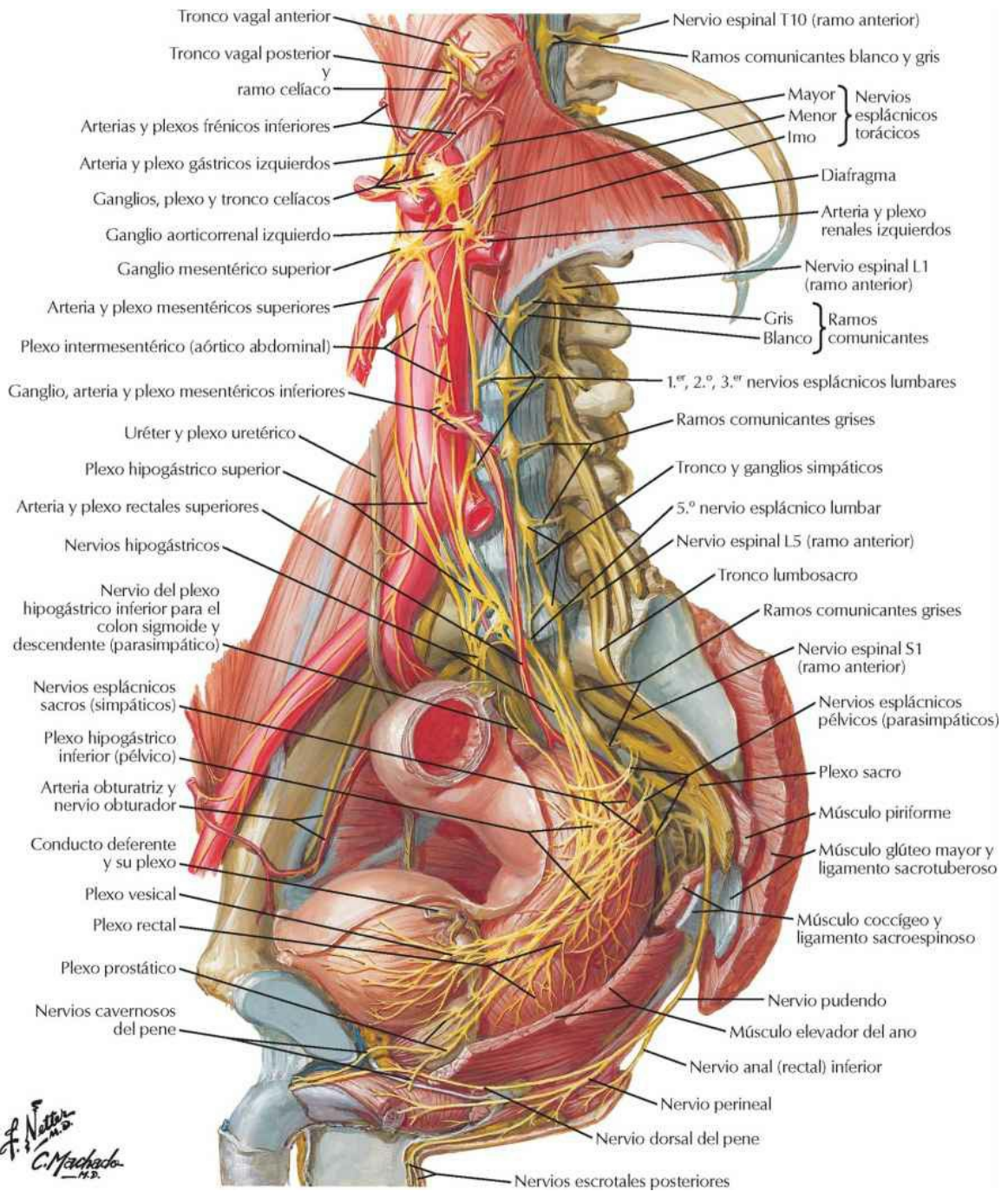
Nervios de los genitales externos: varón

Véase también lámina 300



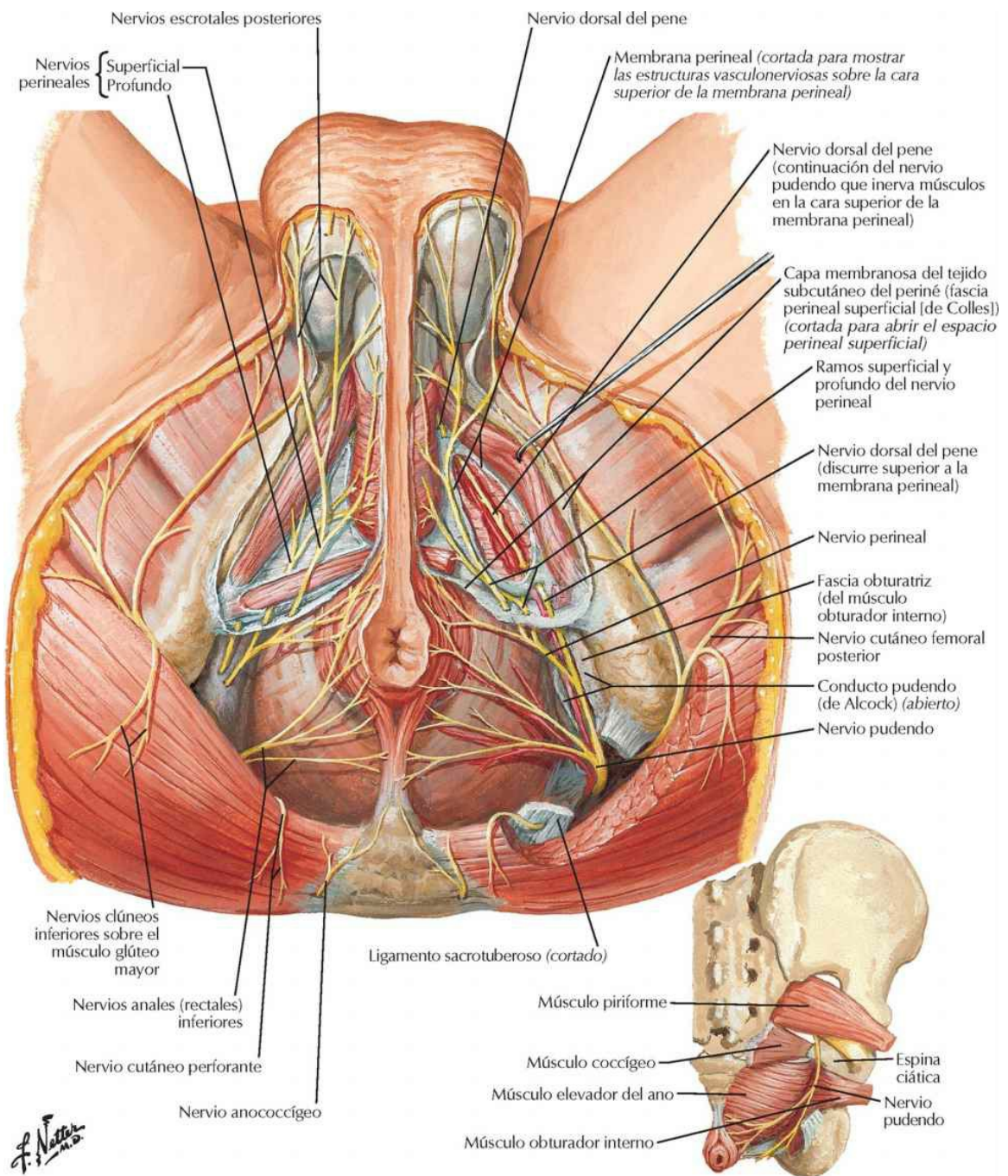
Nervios de las vísceras pélvicas: varón

Véanse también láminas 300, 385



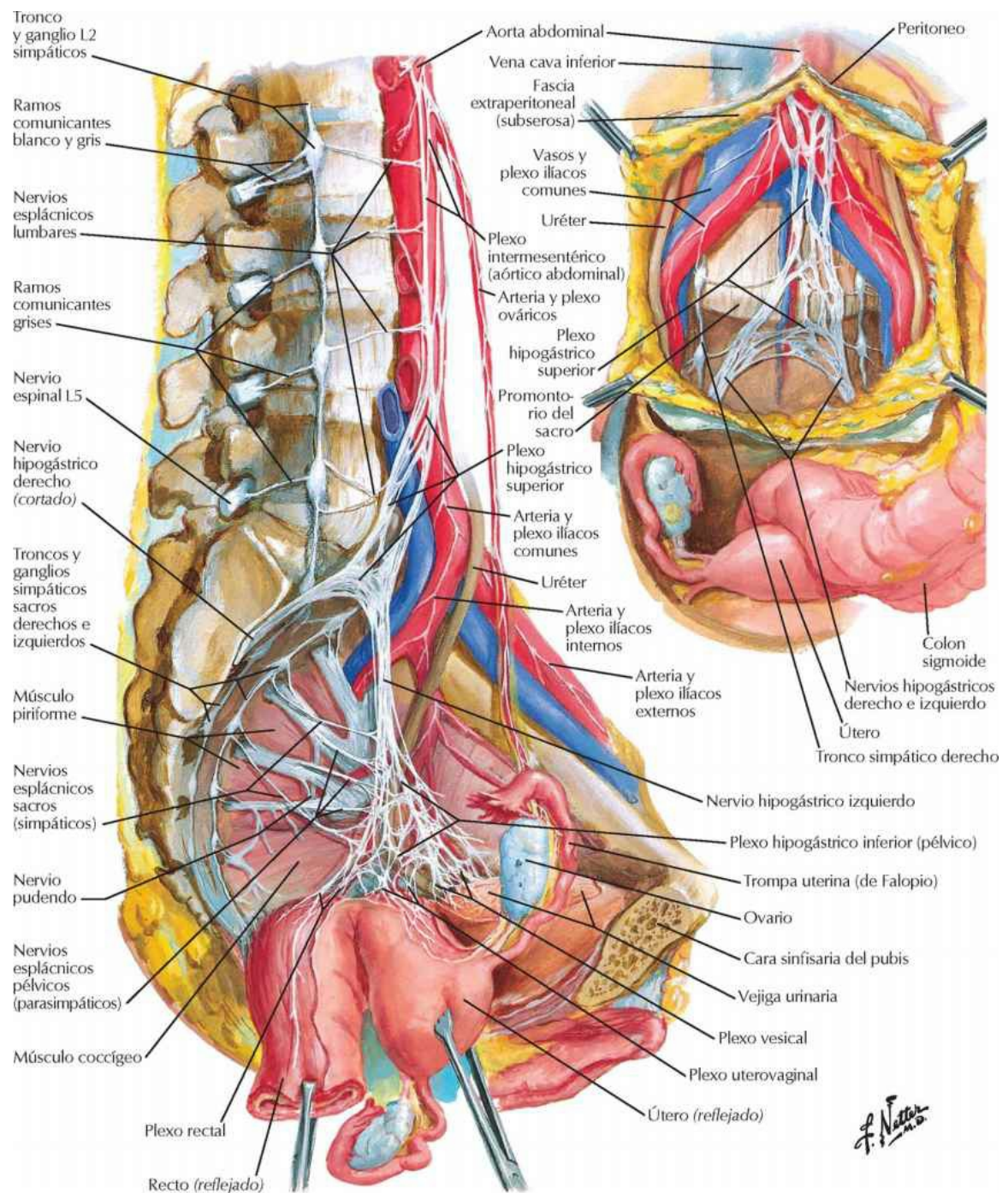
Nervios del periné: varón

Véase también lámina 398

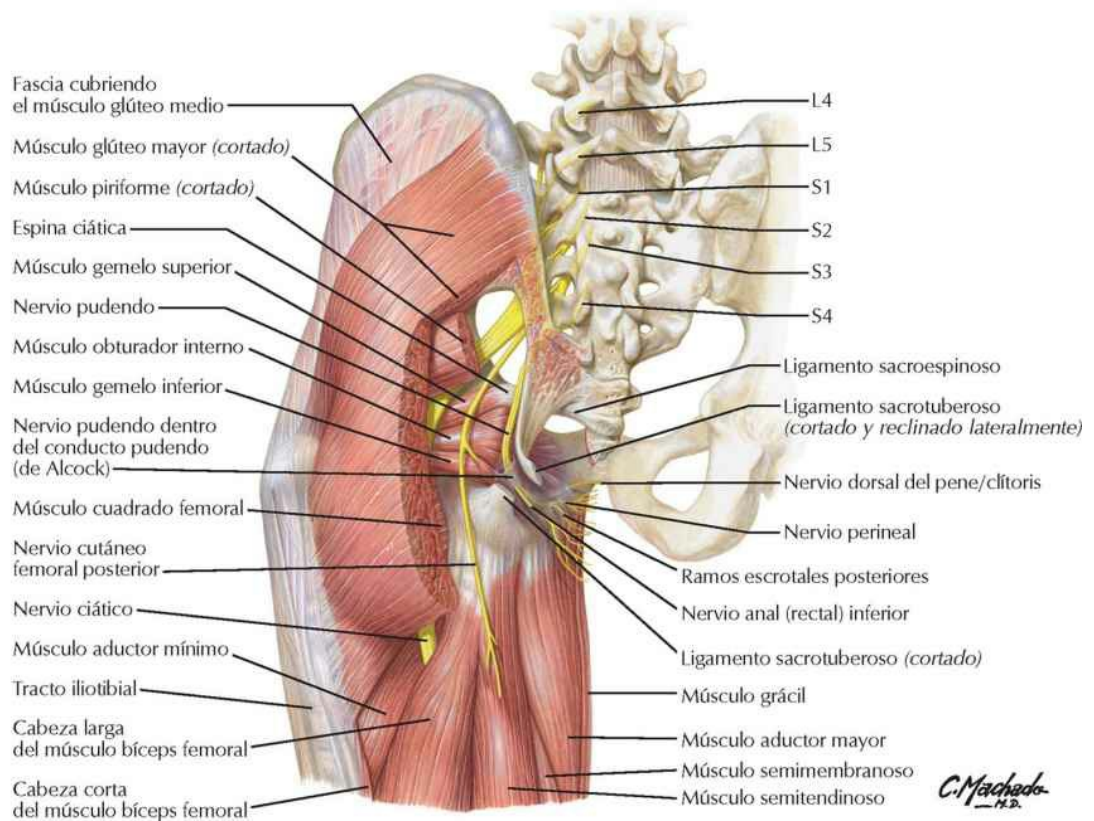
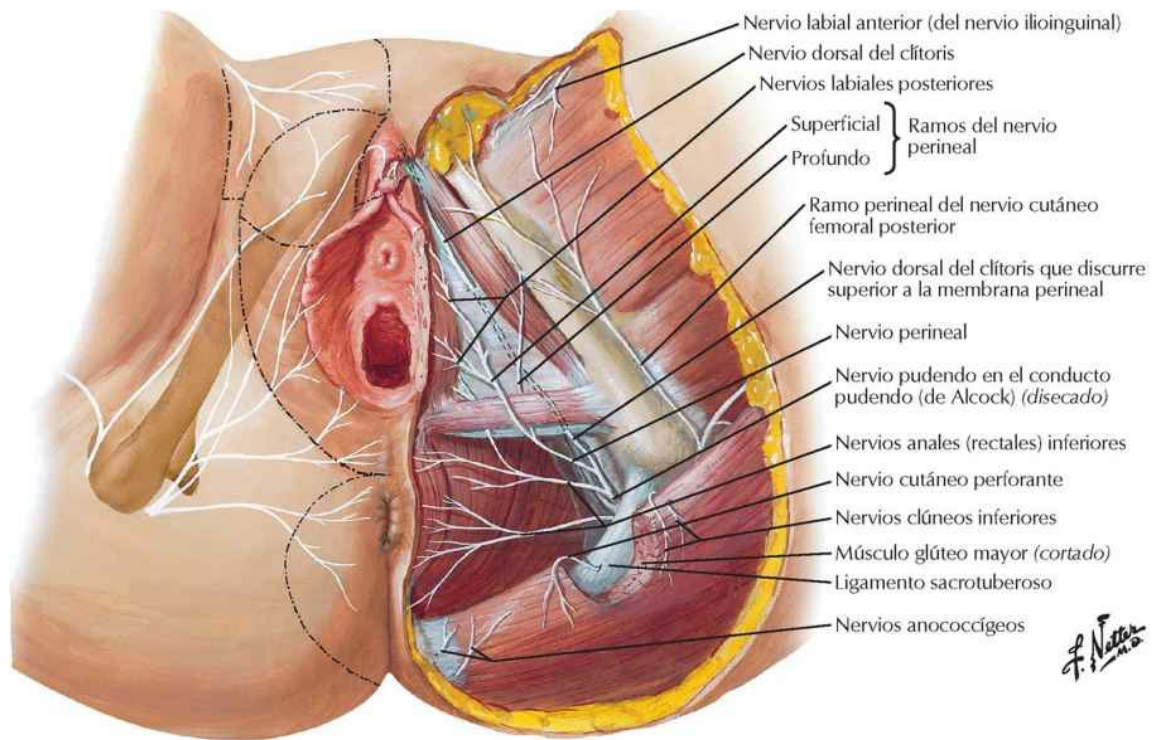


Nervios de las vísceras pélvicas: mujer

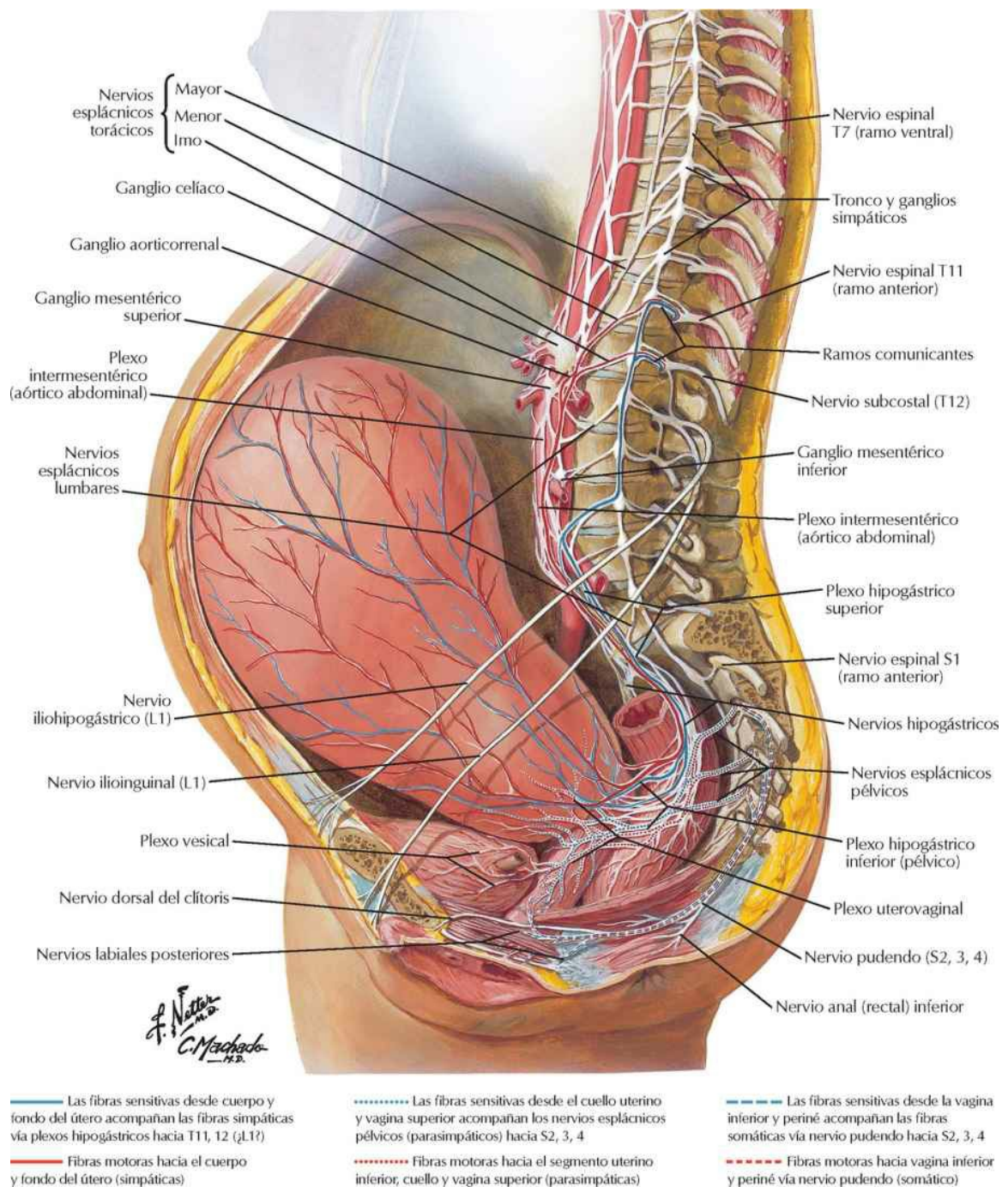
Véase también lámina 300



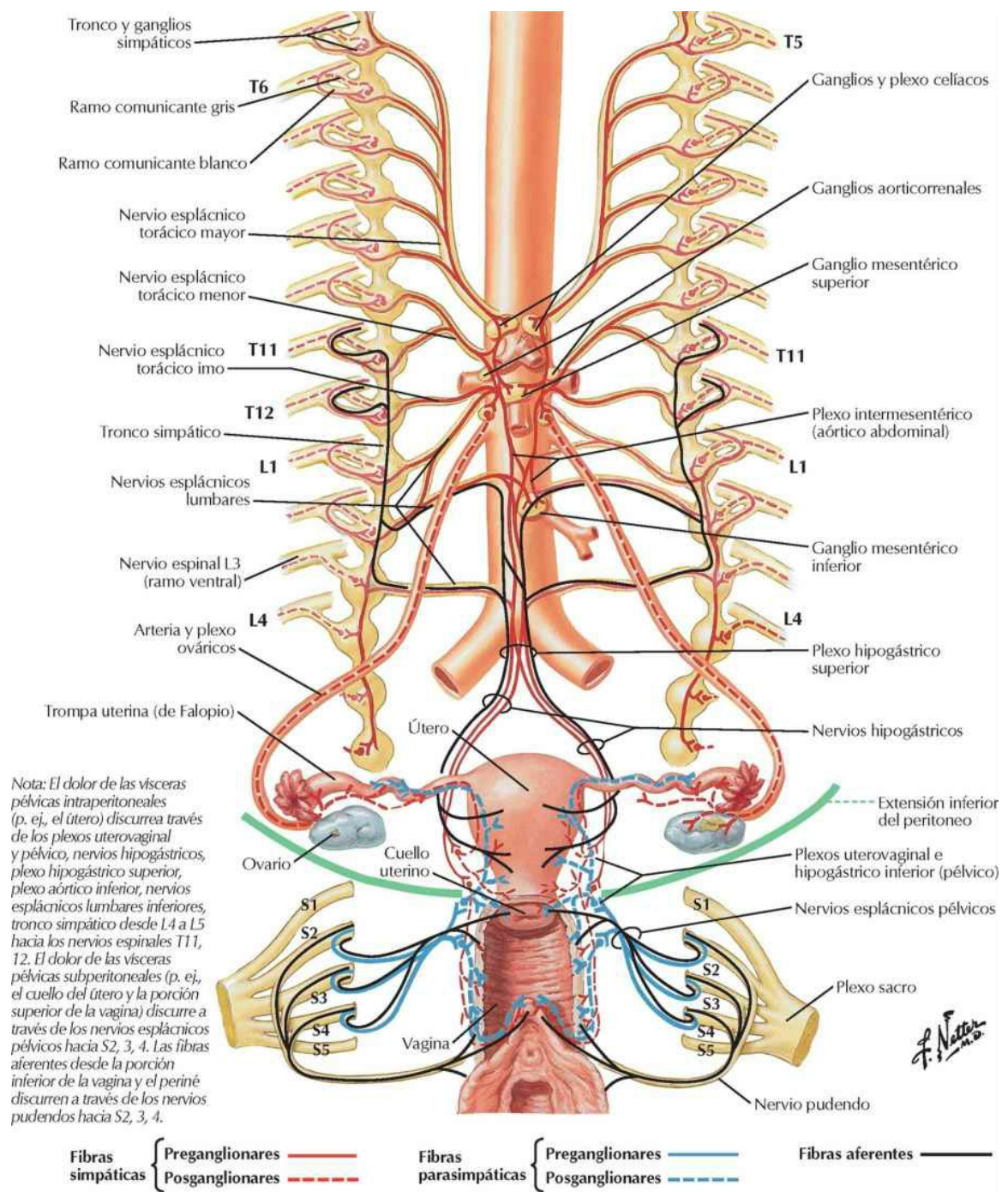
Nervios del periné y genitales externos: mujer



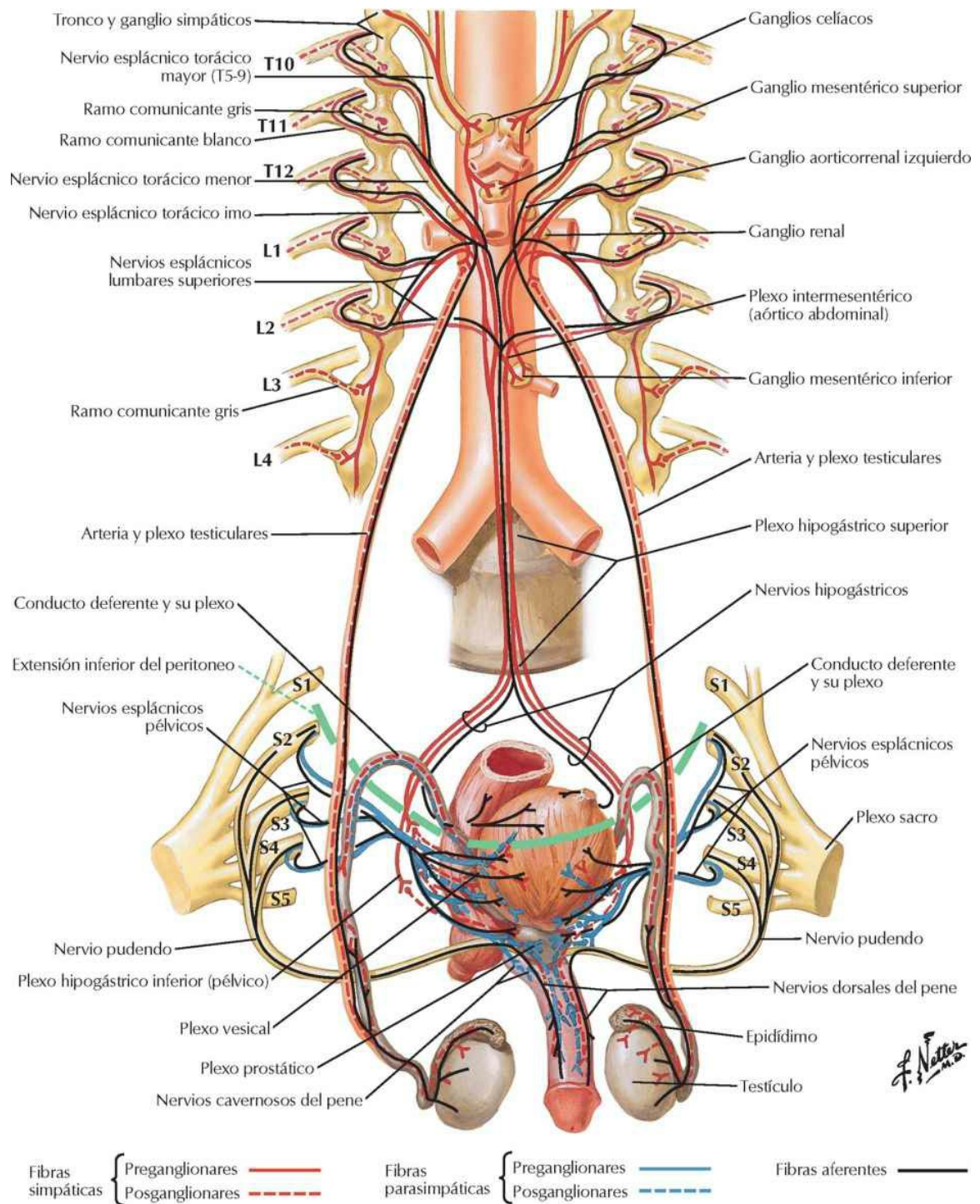
Vías nerviosas en el parto



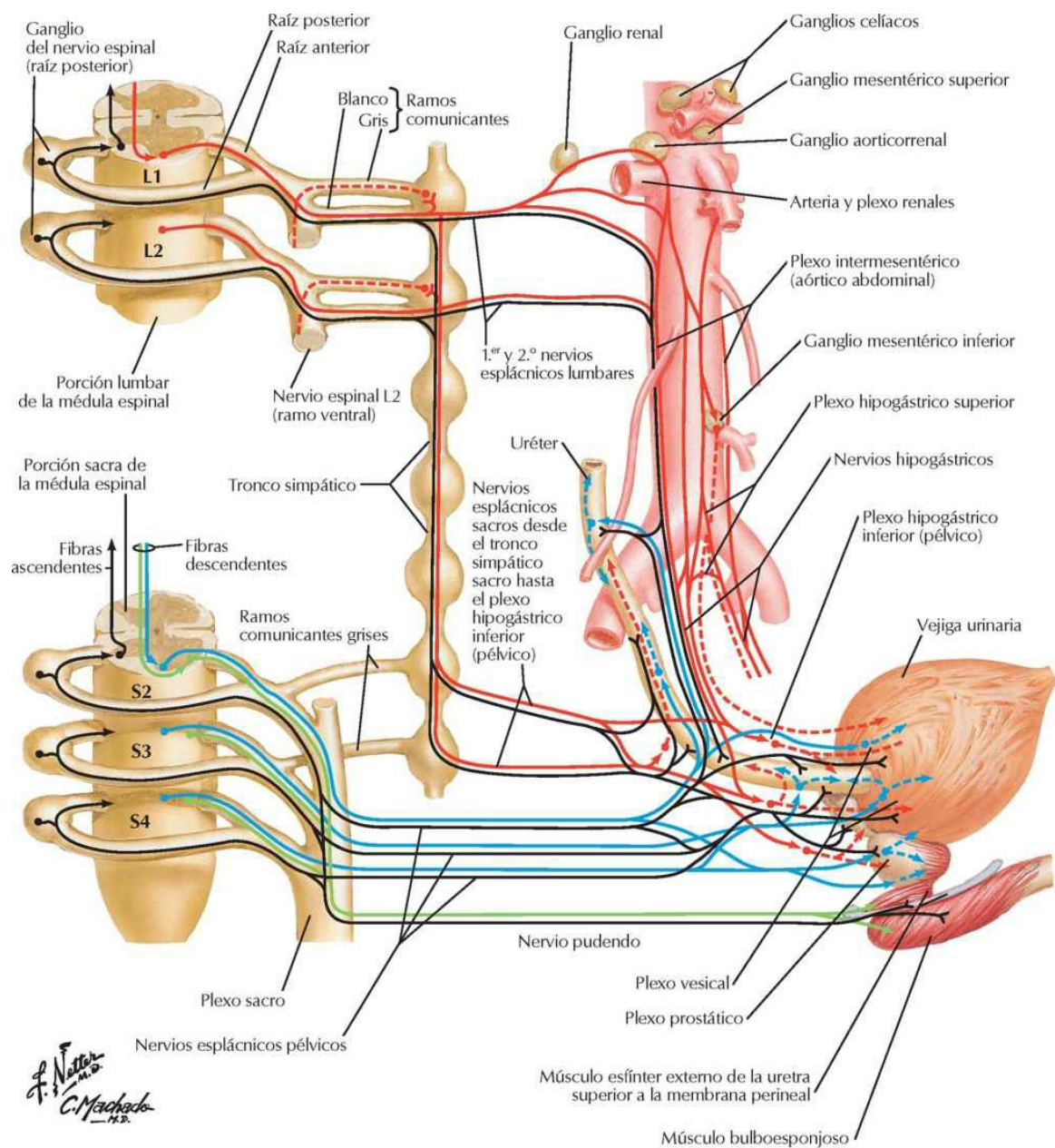
Inervación de los órganos reproductores femeninos: esquema



Inervación de los órganos reproductores masculinos: esquema

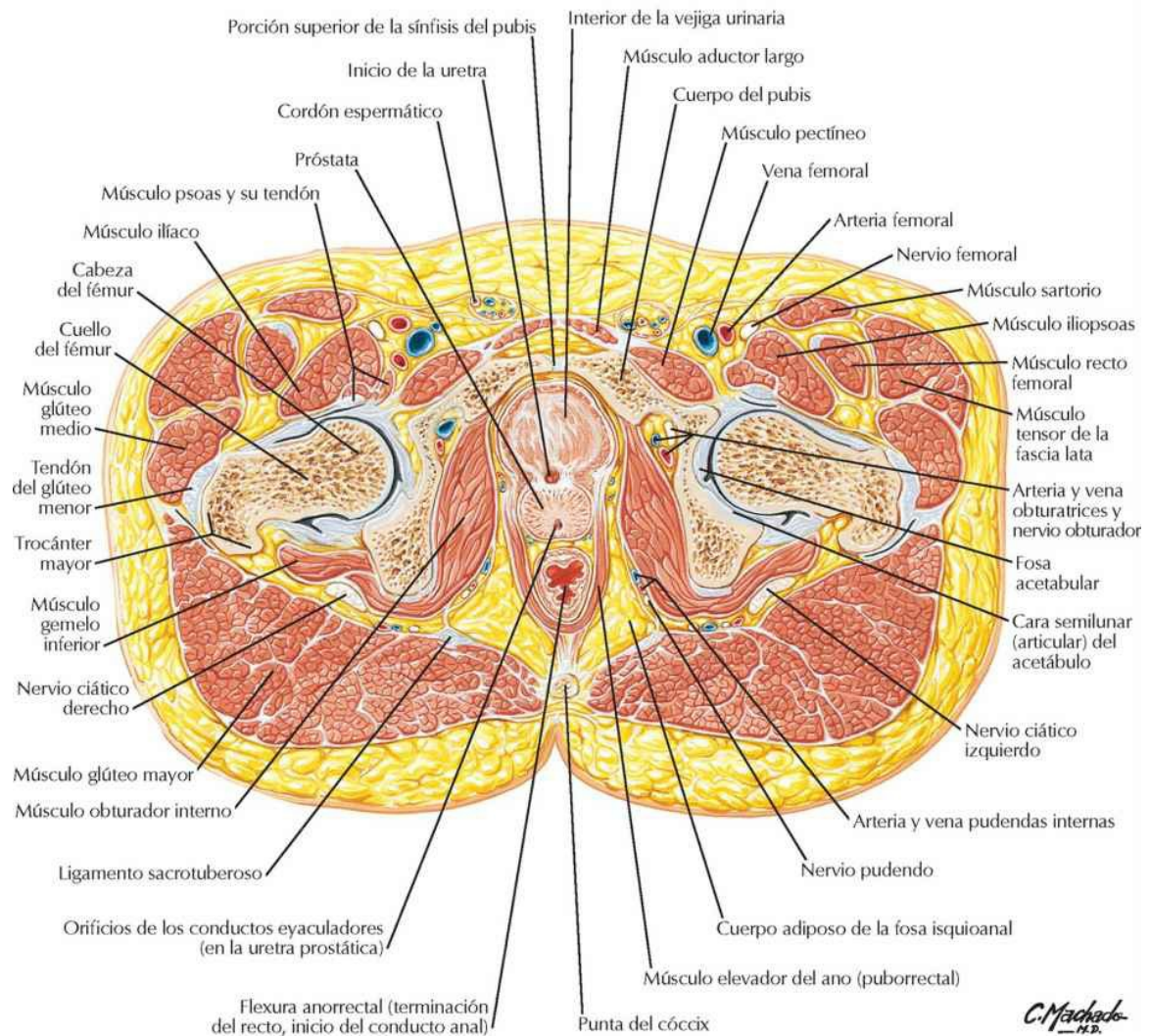
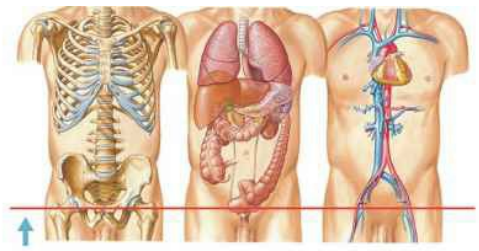


Inervación de la vejiga urinaria y porción inferior del uréter: esquema

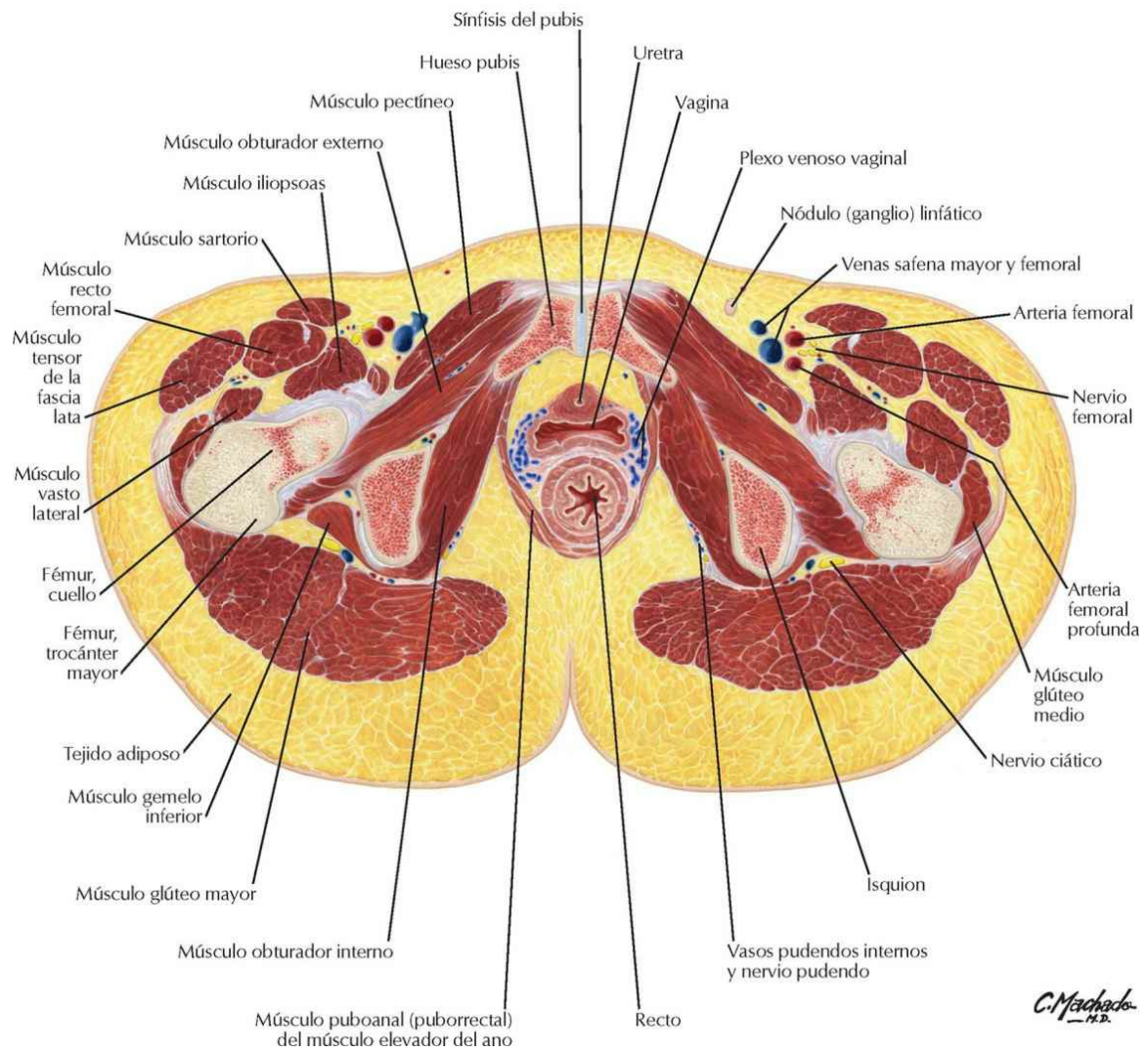
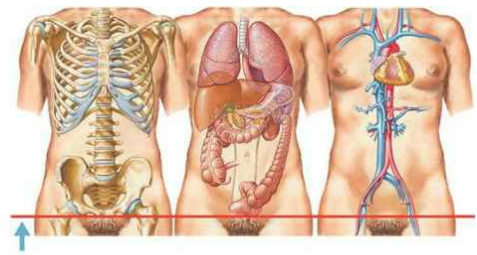


Anatomía seccional

Pelvis masculina: sección transversal de la unión vesicoprostática








Pelvis femenina: sección transversal de la vagina y la uretra






C. Machado
— M.D.

Tabla clínica

**Estructuras con gran* significación
clínica**

ESTRUCTURAS ANATÓMICAS	IMPORTANCIA CLÍNICA	NÚMEROS DE LÁMINAS
 SISTEMA ESQUELÉTICO		
Sínfisis del pubis	Relieve palpable usado para obtener medidas pélvicas (p. ej., conjugado diagonal) que se utilizan para evaluar la suficiencia de la pelvis para el parto; durante los controles prenatales, se usa para estimar el crecimiento fetal (medida sínfisis-altura uterina)	336
Espina ciática	Relieve palpable usado para estimar el diámetro interespinoso para el parto y para localizar el nervio pudendo para el bloqueo del nervio pudendo	336
Tuberosidad isquiática	Relieve palpable usado para estimar la anchura de la abertura inferior de la pelvis para el parto	336
Rama superior del pubis	A menudo se fractura por compresión de la pelvis en el plano anteroposterior en los traumatismos por aplastamiento	338
Espina ciática	Los bloqueos del nervio pudendo localizan el nervio pudendo a su entrada en el agujero (foramen) ciático menor, aproximadamente a 1 cm inferior y medialmente a la inserción del ligamento sacroespinoso en la espina ciática	384, 393
 SISTEMA MUSCULAR		
Diafragma pélvico (músculos elevador del ano y coccygeo)	Proporciona soporte al ángulo uretrovesical, ayudando a mantener la continencia urinaria; la debilidad o lesión muscular durante el parto puede conducir a incontinencia por estrés en la mujer	340, 351
Fascia endopélvica	La debilidad o desgarro de los ligamentos fasciales endopélvicos (p. ej., ligamentos pubovesicales o cardinales) facilitan el prolapso de los órganos pélvicos	350, 353
Cuerpo perineal	El desgarro del cuerpo perineal puede conducir al prolapso de los órganos pélvicos o incontinencia	360
 SISTEMA DIGESTIVO		
Recto	Se examina mediante tacto rectal para detectar hemorroides internas, retención fecal, y cáncer rectal; proporciona acceso al colon para la colonoscopia	373, 375
Peritoneo	Localización frecuente de diseminación metastásica del cáncer de ovario a través del líquido peritoneal en la cavidad peritoneal	344, 345
 SISTEMA URINARIO		
Vejiga urinaria	Estructura de referencia usada para identificar a otros elementos de la pelvis durante una ecografía	349, 350
Úreter	Puede lesionarse durante una histerectomía debido a su estrecha relación con la arteria uterina	346, 347
 SISTEMA REPRODUCTOR		
Fondo de saco rectouterino (de Douglas)	Región examinada mediante ecografía para detectar la presencia de líquido abdominal o pélvico; localización frecuente de embarazo ectópico; se puede acceder al mismo a través de la porción posterior del fórnix vaginal	345, 346
Útero	Se palpa durante los controles prenatales para evaluar el crecimiento fetal y durante el tacto vaginal; se examina con ecografía para detectar anomalías (p. ej., miomas uterinos)	345, 355
Cuello del útero	El epitelio de la zona de transformación del cuello es propenso a la displasia y neoplasia maligna; para la citología vaginal se obtienen muestras de células de esta región	353, 355
Vagina	La porción posterior del fórnix vaginal permite el acceso al fondo de saco rectouterino (de Douglas)	345
Próstata	Con el envejecimiento es propensa a la hipertrofia benigna; el cáncer de próstata es el segundo tipo de cáncer más frecuente en el varón	349, 366

ESTRUCTURAS ANATÓMICAS	IMPORTANCIA CLÍNICA	NÚMEROS DE LÁMINAS
Ovario	Se examina con ecografía para identificar quistes o para la obtención de ovocitos	344, 355
Conducto deferente	Se liga durante la vasectomía para la esterilización en el varón	349, 369
Tabla 6.1		Tablas clínicas
 SISTEMA NERVIOSO		
Nervio pudendo	Para anestesiarse el periné en el parto o en la cirugía menor del periné se realiza el bloqueo del nervio pudendo	395
Nervio rectal inferior	Se anestesia en la fosa isquioanal para la escisión quirúrgica de las hemorroides externas	393
Plexo prostático/nervios cavernosos	La interrupción de estos nervios durante procedimientos quirúrgicos (p. ej., cirugía prostática) puede producir la incapacidad para conseguir la erección	392
 SISTEMA CARDIOVASCULAR		
Plexo venoso pampiniforme	La dilatación puede causar varicocele testicular, más frecuentemente en el lado izquierdo debido a la diferencia en el tipo de drenaje de las venas testiculares derecha e izquierda	369
Arteria uterina	Se liga o cauteriza durante la histerectomía; para tratar miomas uterinos se realiza su embolización	382, 386
Arterias (profundas, dorsales) del pene, tejido cavernoso del pene	El bloqueo o pérdida de función del músculo liso vascular puede provocar disfunción eréctil	387
Venas ilíacas internas	Proporcionan comunicación entre el plexo venoso prostático y las venas que drenan la columna vertebral, por lo que son una vía de diseminación del cáncer de próstata	385
Venas rectales (superior, media e inferior)	La hipertensión portal puede causar la dilatación de las venas rectales (hemorroides) ya que se desarrolla una anastomosis portosistémica entre las venas rectales	381, 299
 SISTEMA LINFÁTICO		
Nódulos (ganglios) linfáticos pélvicos y paraaórticos (aórticos laterales, lumbares)	Diseminación de células cancerosas ováricas a través del drenaje venoso hacia la vena cava inferior y pulmones, y a través de vasos linfáticos	388
Nódulos (ganglios) linfáticos paraaórticos y traqueobronquiales	Las células cancerosas prostáticas pueden diseminarse a través de los vasos linfáticos	390
Nódulos (ganglios) linfáticos preaórticos y paraaórticos (aórticos laterales, lumbares)	Reciben drenaje linfático de los ovarios, trompas uterinas y fondo del útero en la mujer y de los testículos en el hombre; las neoplasias malignas de estos órganos pueden de este modo diseminarse hacia el retroperitoneo	388, 390
Nódulos (ganglios) linfáticos pélvicos	La obtención de muestras o la disección de un nódulo (ganglio) se realizan para evaluar la diseminación de neoplasias malignas ginecológicas	388
*La selección se basa en general en datos clínicos y en correlaciones clínicas discutidas frecuentemente en cursos de anatomía macroscópica.		
Tablas clínicas		Tabla 6.2

Tablas de músculos

Tabla 6.3

MÚSCULO	GRUPO MUSCULAR	INSERCIÓN PROXIMAL (ORIGEN)	INSERCIÓN DISTAL (INSERCIÓN)	INERVACIÓN	IRRIGACIÓN	ACCIONES PRINCIPALES
Bulboesponjoso	Perineal	<i>Hombre:</i> rafe medio, bulbo del pene, cuerpo perineal <i>Mujer:</i> cuerpo perineal	<i>Hombre:</i> membrana perineal, cuerpo cavernoso, bulbo del pene <i>Mujer:</i> dorso del clitoris, membrana perineal, bulbo del vestibulo, arco del pubis	Ramo profundo del nervio perineal del nervio pudendo	Arteria pudenda interna y su rama (arteria perineal)	<i>Hombre:</i> comprime el bulbo del pene, impulsa la sangre hacia el interior del cuerpo del pene durante la erección, elimina la orina de la uretra y el semen durante la eyaculación <i>Mujer:</i> constriñe el orificio vaginal, ayuda en el vaciado de las secreciones de la glándula vestibular mayor, impulsa la sangre hacia el interior del cuerpo del clitoris
Coccígeo	Del suelo pélvico	Espina ciática, ligamento sacroespinoso	Porción inferior del sacro, cóccix	Ramos anteriores de nervios sacros inferiores	Arteria glútea inferior	Sostiene las vísceras pélvicas, tracciona del cóccix hacia delante
Compresor de la uretra (solo en la mujer)	Perineal	Rama isquiopubiana	Cara anterior de la uretra	Ramos perineales del nervio pudendo	Rama perineal de la arteria pudenda interna	Esfínter de la uretra
Cremáster	Del cordón espermático	Borde inferior del músculo oblicuo interno del abdomen y porción media del ligamento inguinal	Tubérculo del pubis, cresta del pubis	Ramo genital del nervio genitofemoral	Rama cremastérica de la arteria epigástrica inferior	Retrae el testículo
Elevador del ano (iliococcígeo, pubococcígeo y puboanal [puborrectal])	Del suelo pélvico	Cuerpo del pubis, arco tendinoso de la fascia obturatriz, espina ciática	Cuerpo perineal, cóccix, rafe anococcígeo, paredes de la próstata o vagina, recto y conducto anal	Ramos anteriores de nervios sacros inferiores, nervio perineal	Arteria glútea inferior, arteria pudenda interna y sus ramas (arterias rectal inferior y perineales)	Sostiene las vísceras pélvicas, eleva el suelo de la pelvis
Esfínter externo del ano	Perineal	Vértice del cóccix, ligamento anococcígeo	Las fibras más profundas rodean el conducto anal, se une posteriormente al cóccix y anteriormente a la porción central del periné	Ramos perineal y rectal inferior del nervio pudendo	Arterias rectal inferior y perineal transversa	Cierra el orificio anal

MÚSCULO	GRUPO MUSCULAR	INSERCIÓN PROXIMAL (ORIGEN)	INSERCIÓN DISTAL (INSERCIÓN)	INERVACIÓN	IRRIGACIÓN	ACCIONES PRINCIPALES
Esfínter de la uretra	Perineal	Las fibras externas en la unión de las ramas inferior del pubis y del isquion y fascia adyacente; las fibras internas pasan medialmente hacia la uretra membranosa a la que rodean	<i>Hombre:</i> rafe medio frente a y por detrás de la uretra <i>Mujer:</i> rodea la uretra, se une a los lados de la vagina	Ramos perineales del nervio pudendo	Rama perineal de la arteria pudenda interna	Comprime la uretra al final de la micción; en la mujer también comprime la porción distal de la vagina
Esfínter uretrovaginal (solo en la mujer)	Perineal	Cuerpo perineal	Discorre hacia delante y anteriormente alrededor de la uretra	Ramos perineales del nervio pudendo	Rama perineal de la arteria pudenda interna	Esfínter de la uretra y vagina
Iliaco	Anterior del muslo	2/3 superiores de la fosa ilíaca, ala del sacro, ligamentos sacroilíacos anteriores	Trocánter menor del fémur y cuerpo del fémur inferior a este, con el tendón del psoas mayor	Nervio femoral	Ramas ilíacas de la arteria iliolumbar	Flexiona el muslo a nivel de la cadera y estabiliza la articulación de la cadera, actúa junto con el psoas mayor

En la anatomía humana son frecuentes las variaciones en la contribución de los nervios espinales a la inervación de los músculos, en su irrigación arterial, sus inserciones y sus acciones. Por tanto, existen diferencias entre los distintos textos y hay que entender que las variaciones anatómicas son normales.

Tabla 6.4

MÚSCULO	GRUPO MUSCULAR	INSERCIÓN PROXIMAL (ORIGEN)	INSERCIÓN DISTAL (INSERCIÓN)	INERVACIÓN	IRRIGACIÓN	ACCIONES PRINCIPALES
Isquiocavernoso	Perineal	Porción inferior de la cara interna de la rama isquiopubiana, tuberosidad isquiática	Pilar del pene o del clítoris	Ramo profundo del nervio perineal del nervio pudendo	Arteria pudenda interna y su rama (arteria perineal)	Impulsa la sangre hacia el interior del cuerpo del pene o del clítoris durante la erección
Obturador interno	De la región glútea	Cara pélvica de la membrana obturatriz y hueso circundante	Cara medial del trocánter mayor del fémur	Nervio del músculo obturador interno	Arterias pudenda interna y obturatriz	Rota lateralmente el muslo extendido, abduce el muslo flexionado a nivel de la cadera
Piriforme	De la región glútea	Cara anterior de los segmentos sacros 2-4, ligamento sacrotuberoso	Borde superior del trocánter mayor del fémur	Ramos anteriores de L5, S1, S2	Arterias glúteas superior e inferior, arteria pudenda interna	Rota lateralmente el muslo extendido, abduce el muslo flexionado a nivel de la cadera
Transverso profundo del periné	Perineal	Cara interna de la rama inferior del isquion	<i>Hombre:</i> rafe tendinoso central y cuerpo perineal <i>Mujer:</i> lados de la vagina	Ramos perineales del nervio pudendo	Rama perineal de la arteria pudenda interna	Estabiliza el cuerpo perineal, sostiene la próstata/vagina
Transverso superficial del periné	Perineal	Rama y tuberosidad isquiáticas	Tendón central (cuerpo perineal)	Ramos perineales del nervio pudendo	Rama perineal de la arteria pudenda interna	Estabiliza el tendón central

MIEMBRO SUPERIOR

Anatomía de superficie [402](#)

Anatomía de la piel [403-407](#)

Hombro y axila [408-420](#)

Brazo [421-425](#)

Codo y antebrazo [426-441](#)

Carpó y mano [442-461](#)

Inervación y vasculatura [462-469](#)

Exploraciones regionales [470](#)

Estructuras con gran significación clínica

[Tablas 7.1-7.2](#)

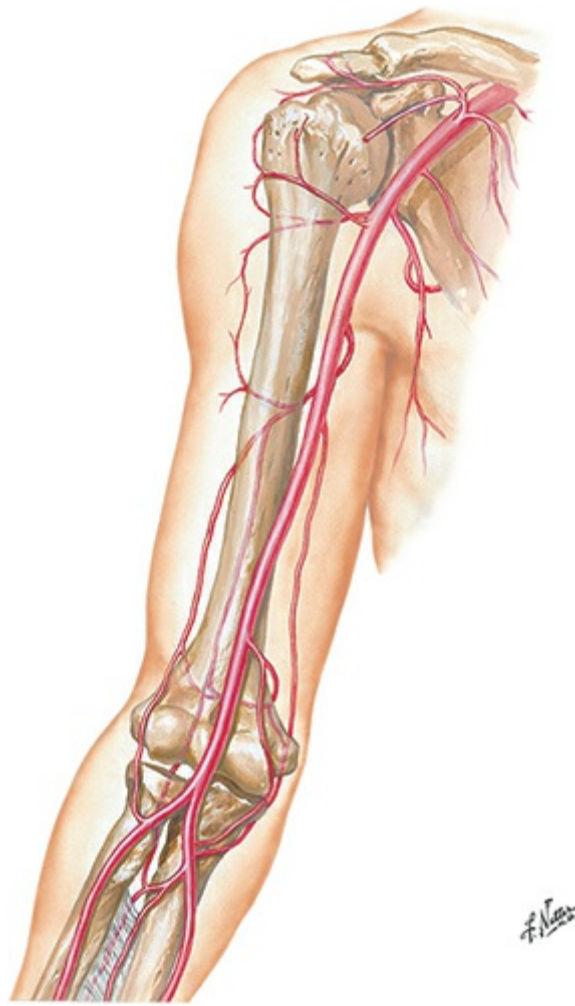
Tabla de músculos [Tablas 7.3-7.6](#)

Láminas electrónicas extra [BP99-BP106](#)

LÁMINAS ELECTRÓNICAS EXTRA



BP99 Venas del miembro superior



BP100 Arterias del brazo y porción proximal del antebrazo



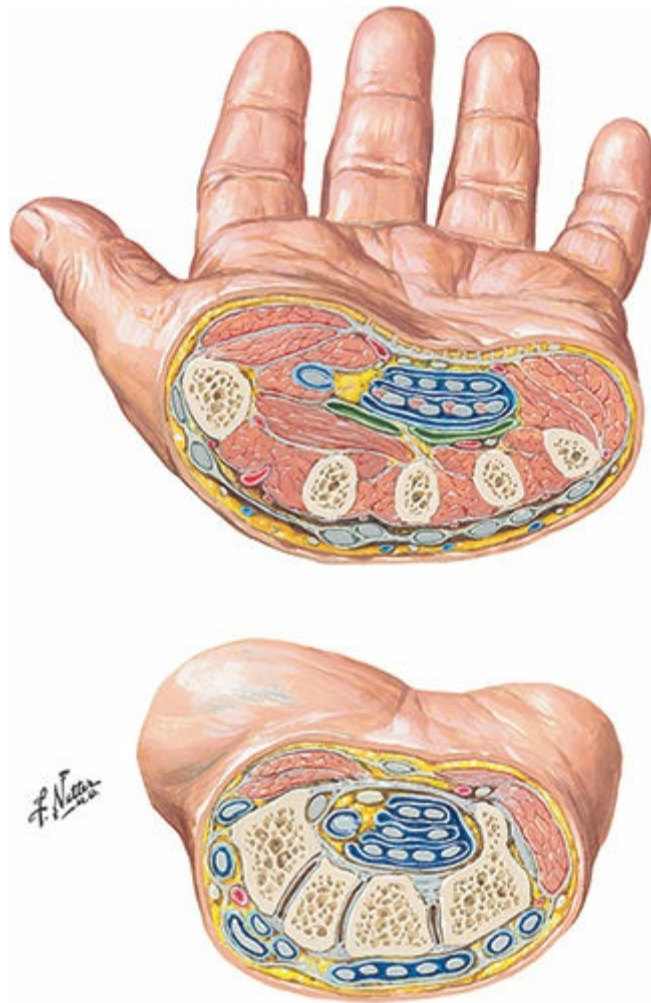
BP101 Arterias del antebrazo y de la mano



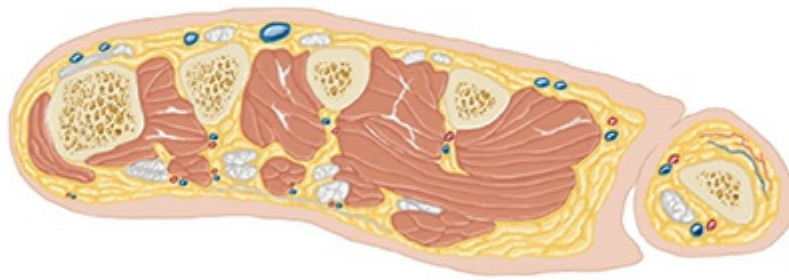
BP102 Ligamentos del carpo



BP103 Zonas flexora y extensora de la mano



BP104 Sección a través del metacarpo y huesos distales del carpo



F. Netter

BP105 Sección axial (transversal) de la mano



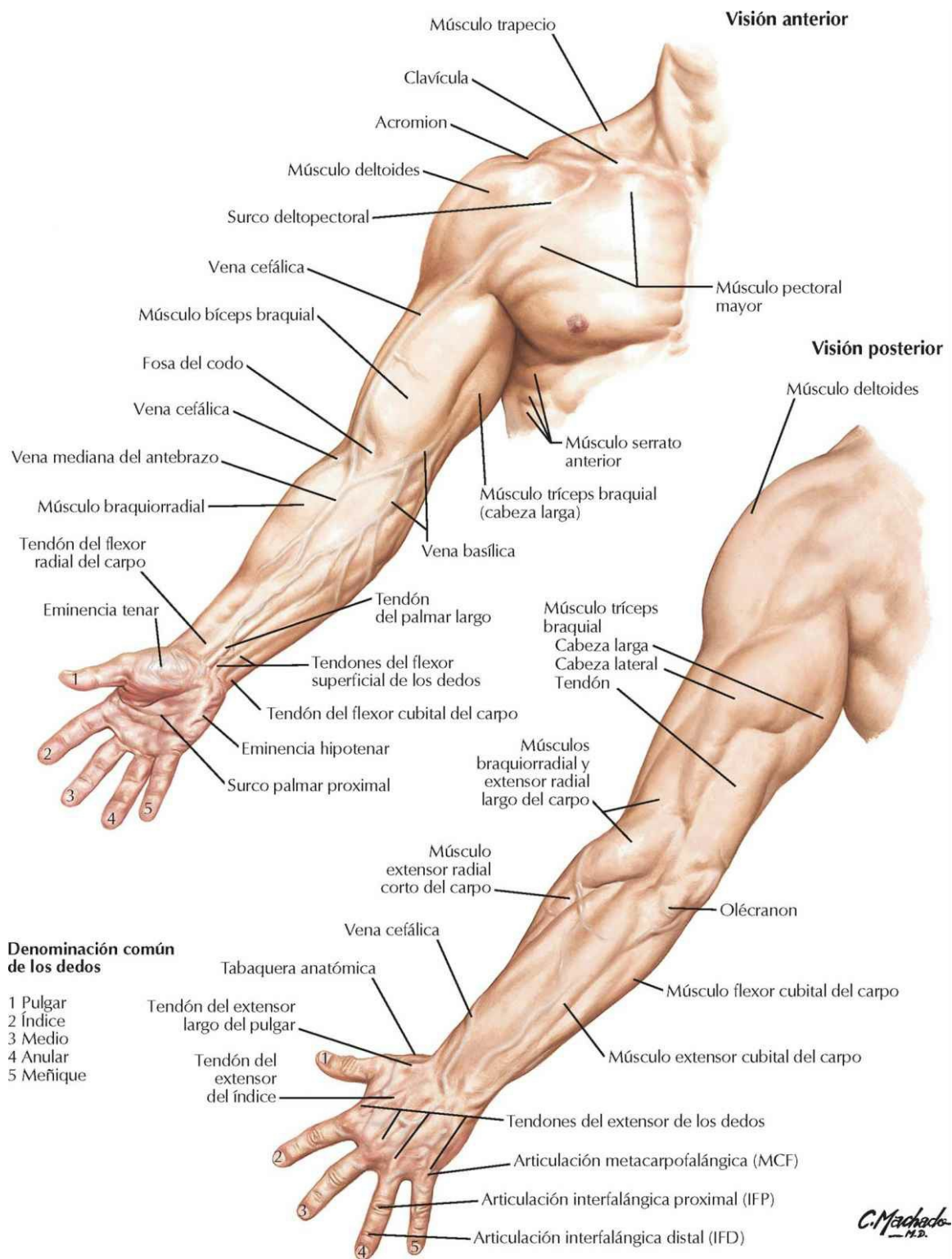
F. Netter

BP106 Sección axial (transversal) de la mano

Anatomía de superficie

Miembro superior: anatomía de superficie

Véanse también láminas 161, 249, 403



Anatomía de la piel

**Dermatomas del miembro superior y
función nerviosa segmentaria**

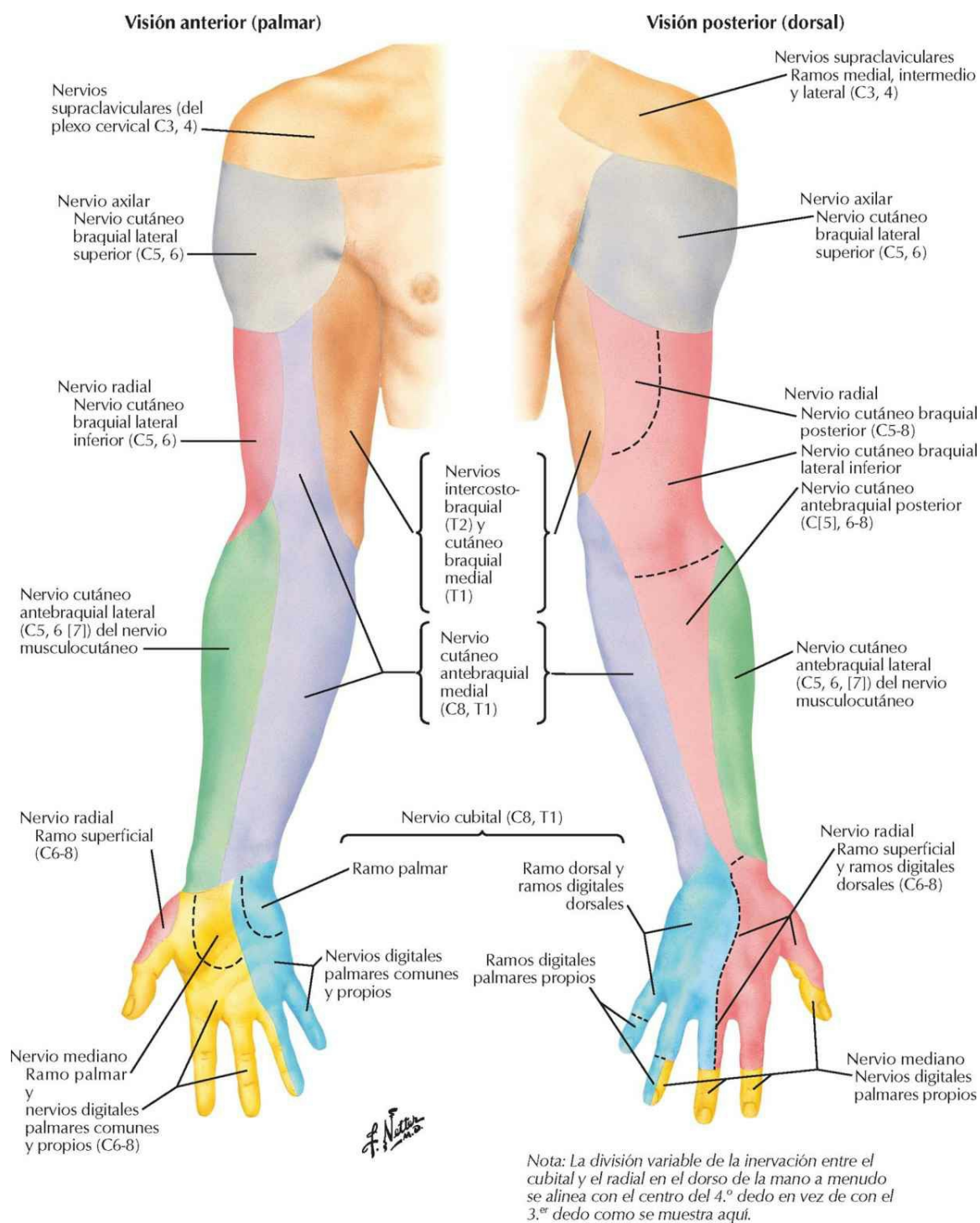
Véase también lámina 171

Nota: Delimitación esquemática de dermatomas mostrados como segmentos definidos (modificada de Keegan y Garret). Existe un considerable solapamiento entre dermatomas adyacentes.

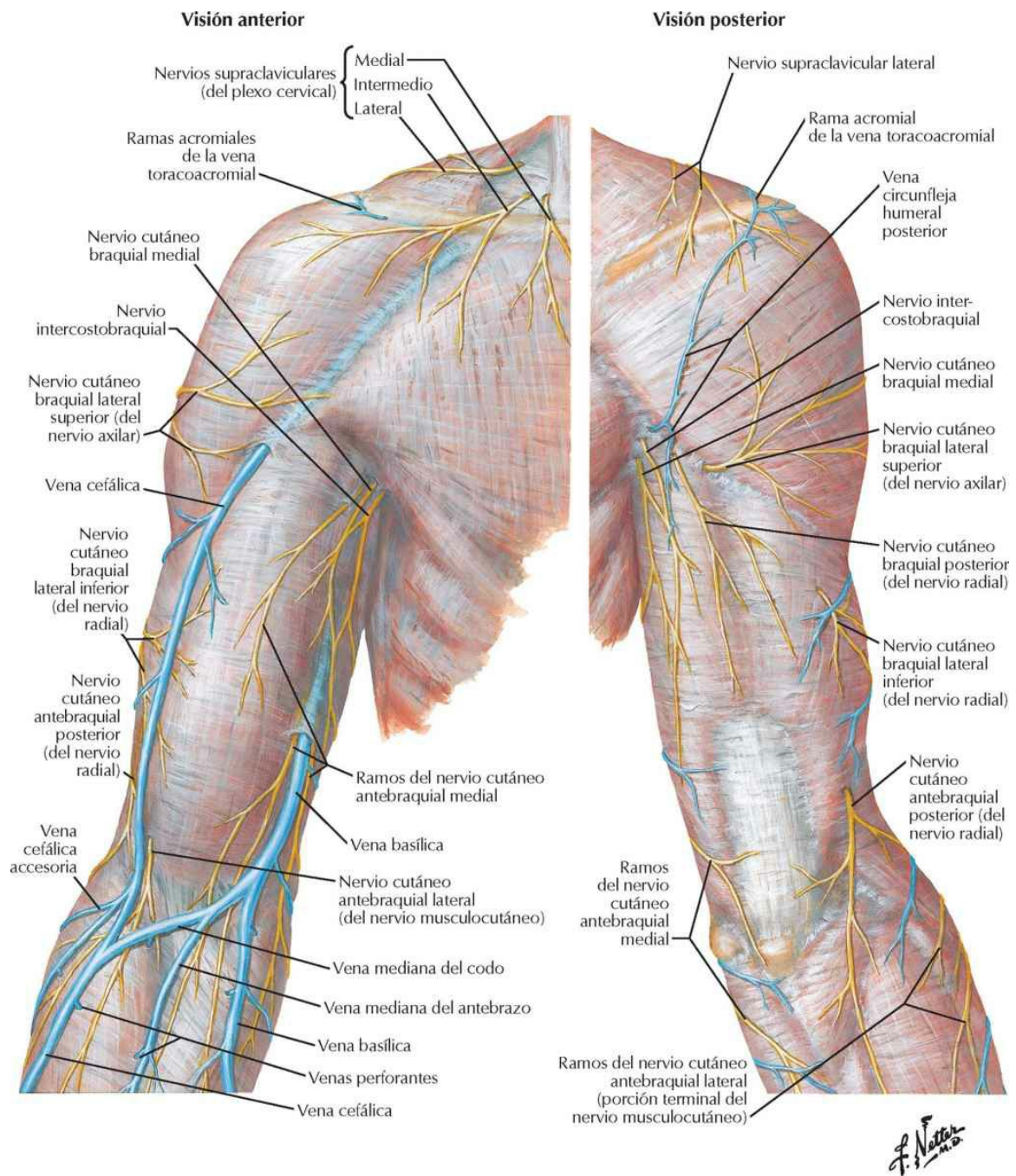
Diagrama de los movimientos de la muñeca y la mano. Se muestran ocho ilustraciones de la mano y muñeca en diferentes posiciones, cada una con una etiqueta que indica el movimiento y la articulación involucrada:

- C5, 6 Flexión
- C6-8 Extensión
- C7, 8 Extensión
- C7-T1 Flexión
- C6-8 Pronación
- C5-7 Supinación
- Flexión
- Extensión
- C7-T1 Abducción
- C8-T1 Aducción
- C7, 8 Extensión
- C8-T1 Flexión
- C8-T1 Oposición
- C7-T1 Reposición

Véanse también láminas 172, 462, 464

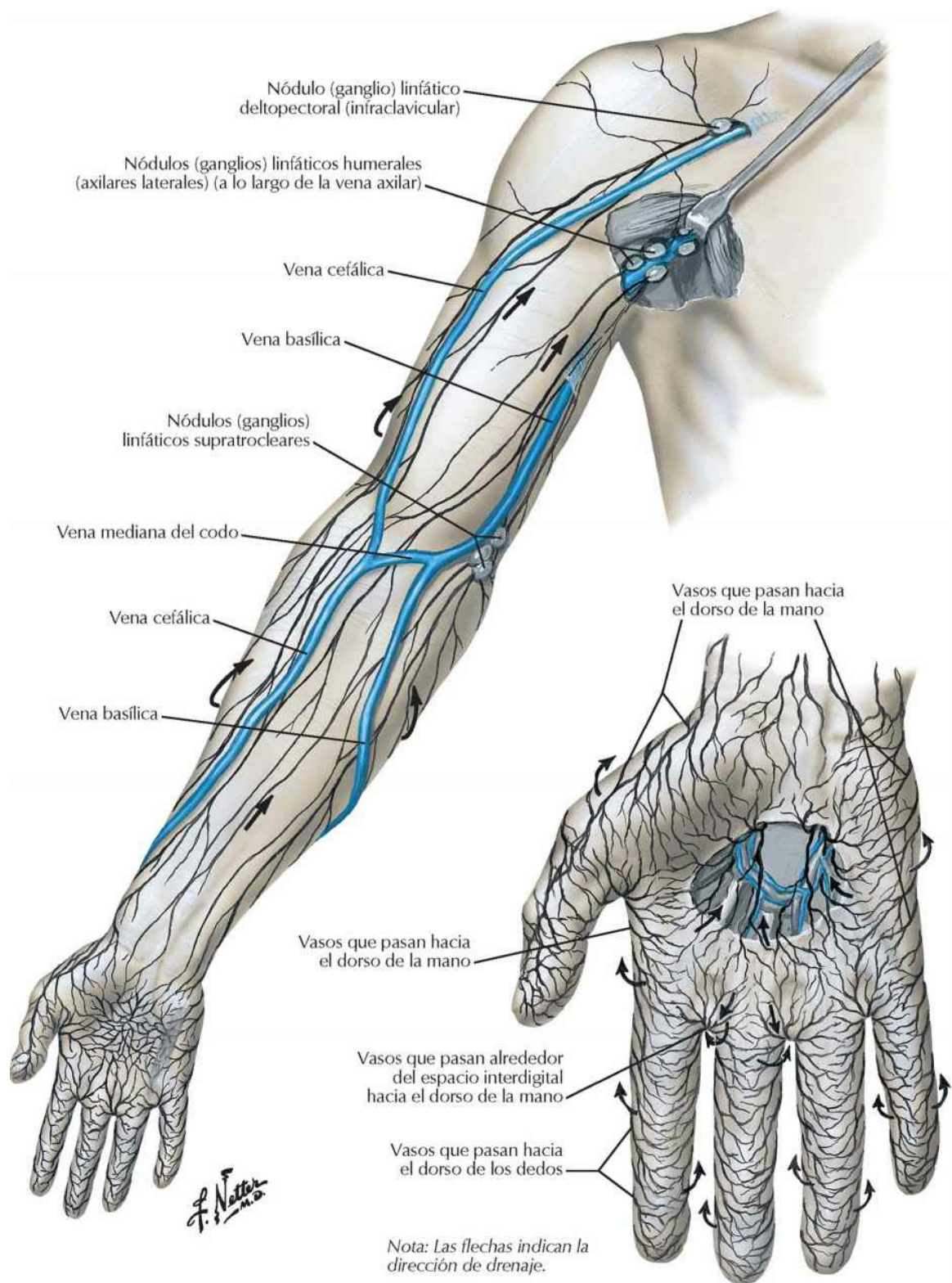


Nervios cutáneos y venas superficiales de la porción proximal del miembro superior
Véanse también láminas 259, 407



Nervios cutáneos y venas superficiales del antebrazo y mano

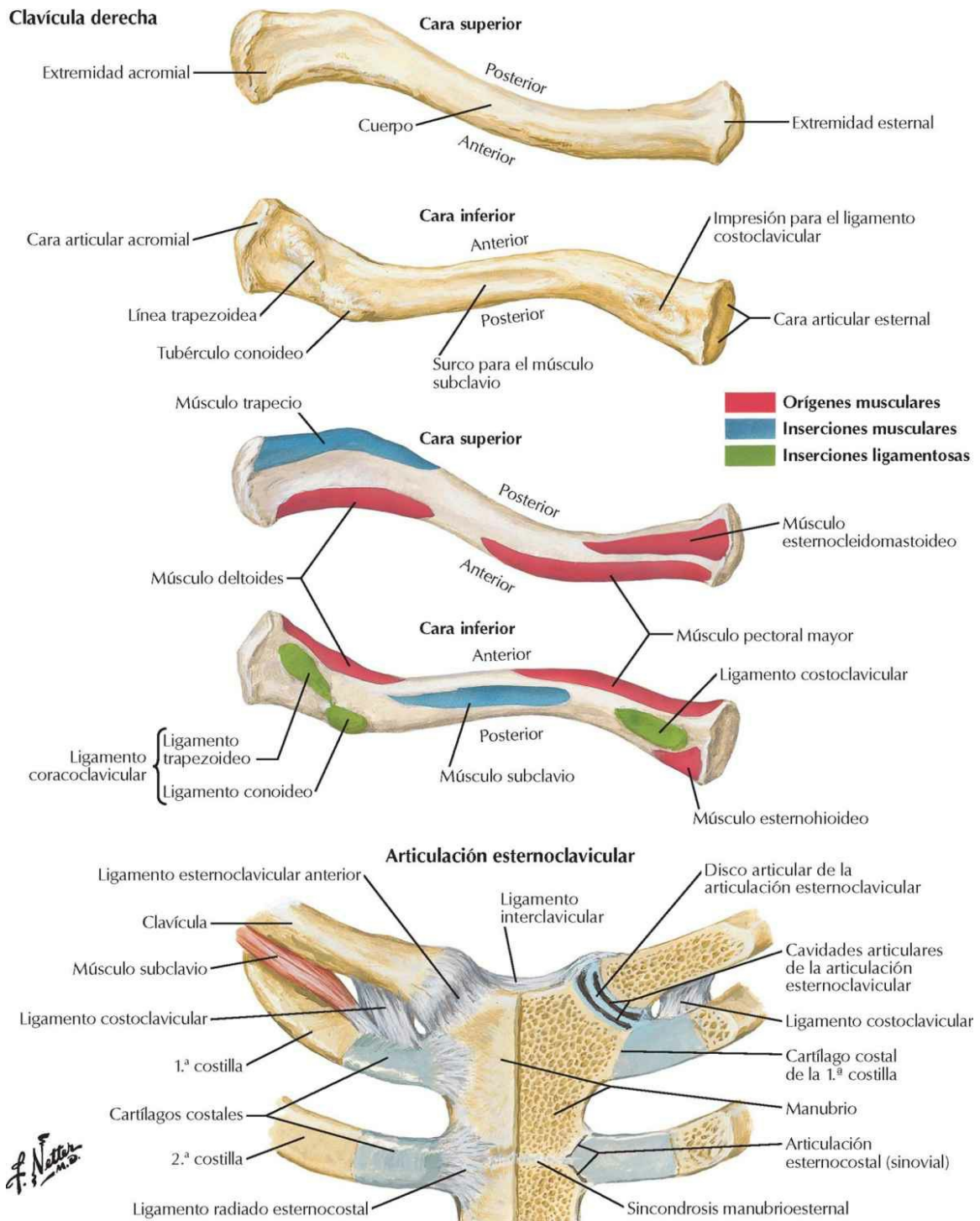
Véanse también láminas 404, 458



Hombro y axila

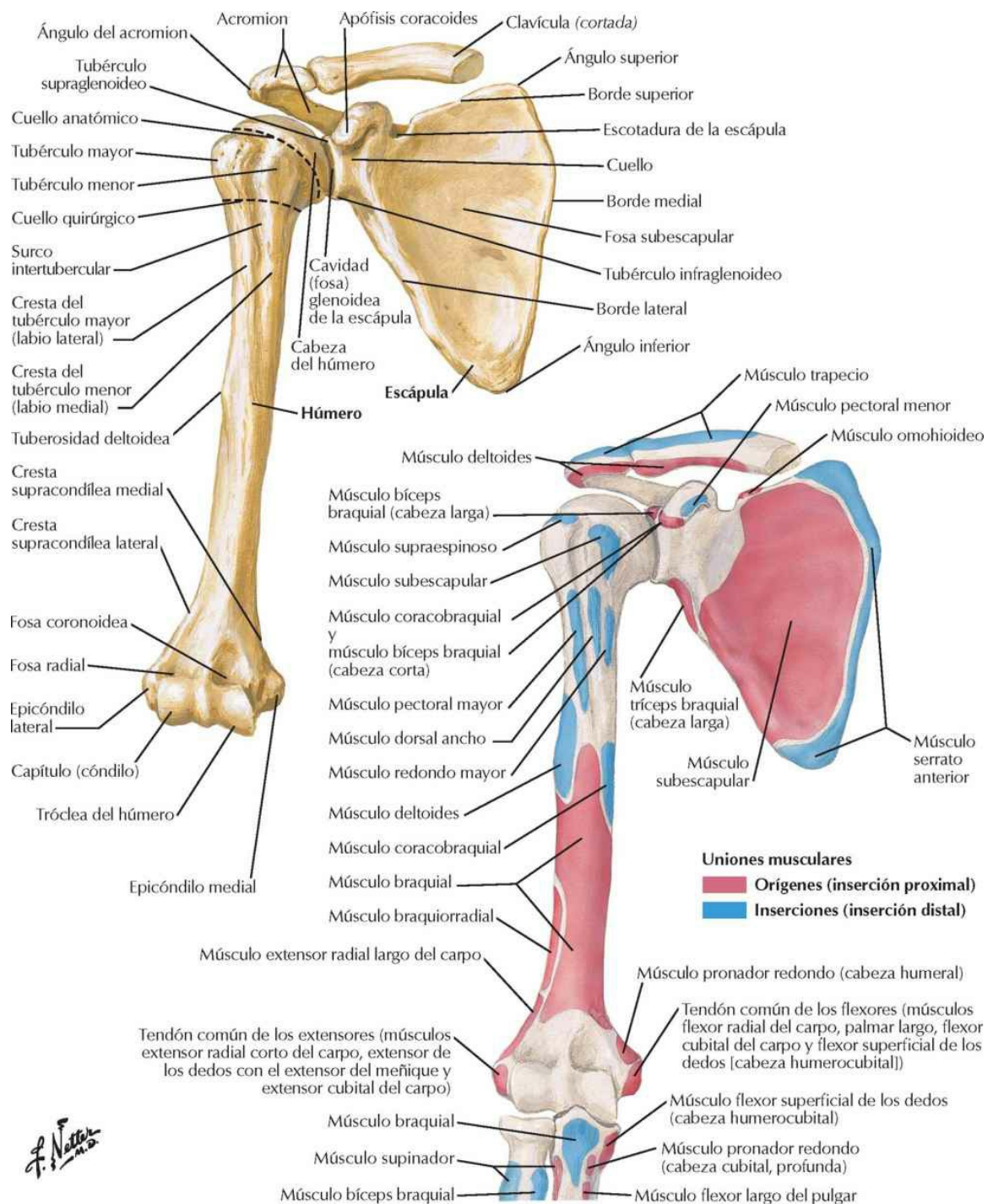
Clavícula y articulación esternoclavicular

Véanse también láminas 192, 195



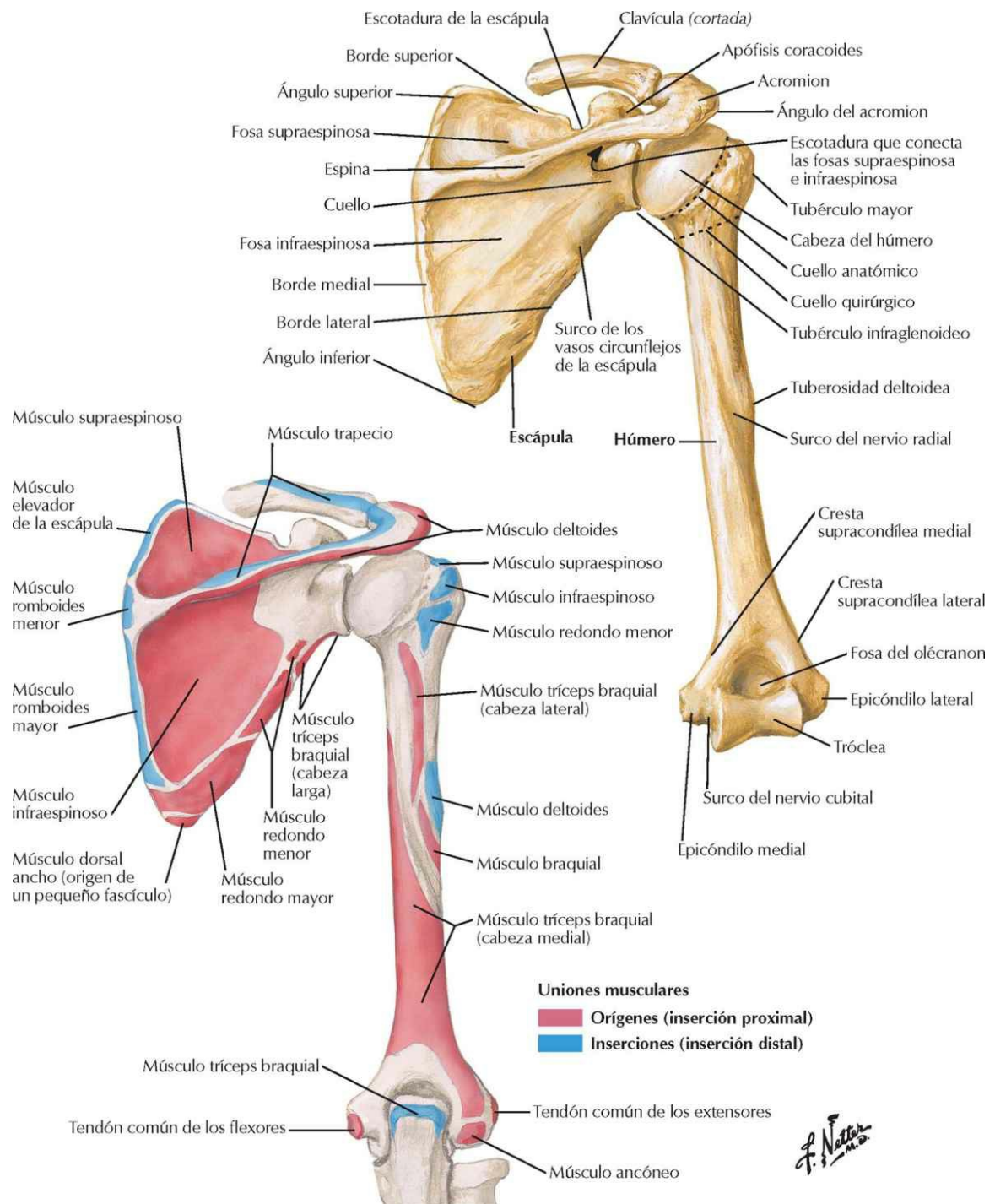
Húmero y escápula: visiones anteriores

Véanse también láminas 192, 411



Húmero y escápula: visiones posteriores

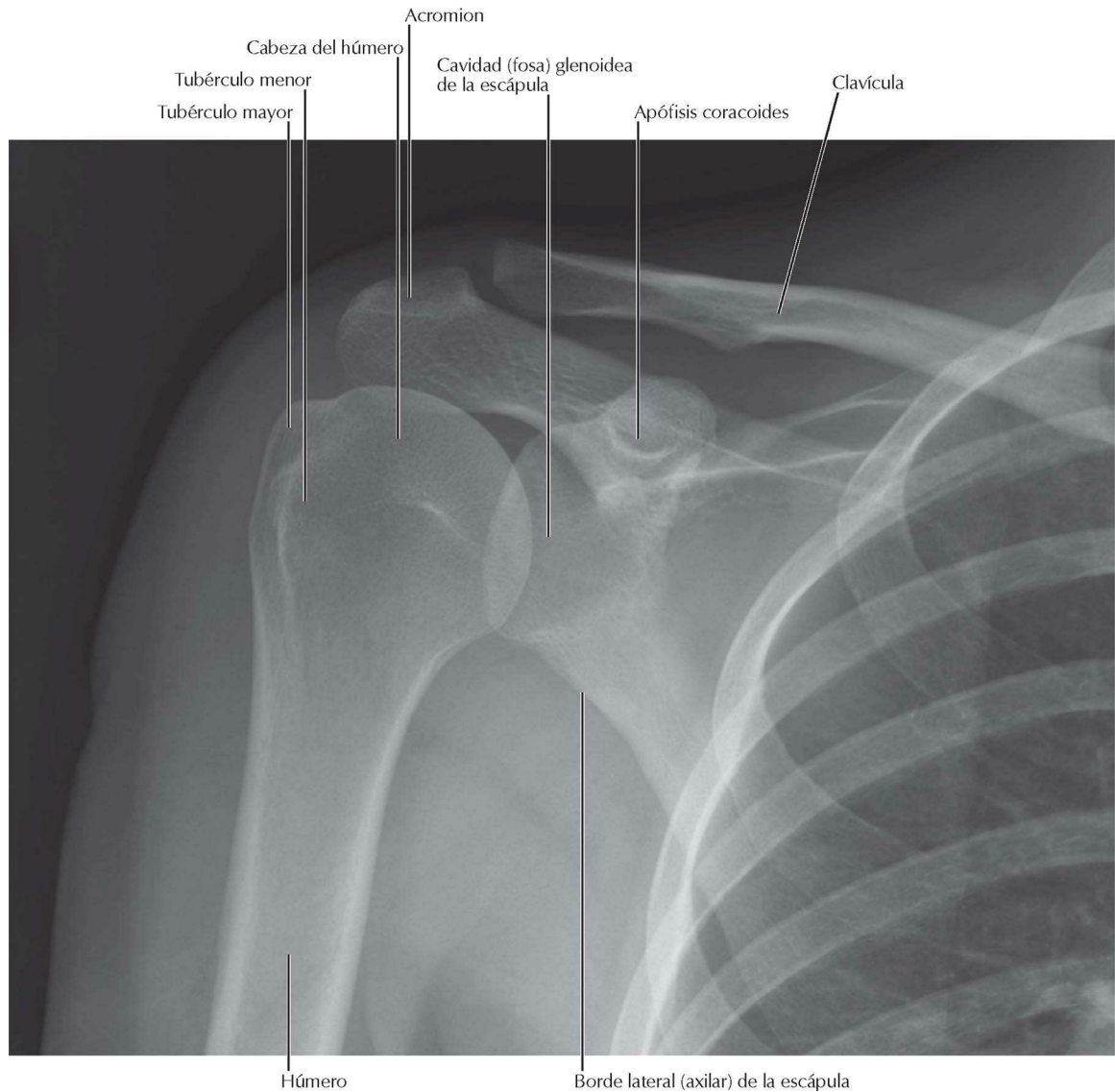
Véase también lámina 192



Hombro: radiografía anteroposterior

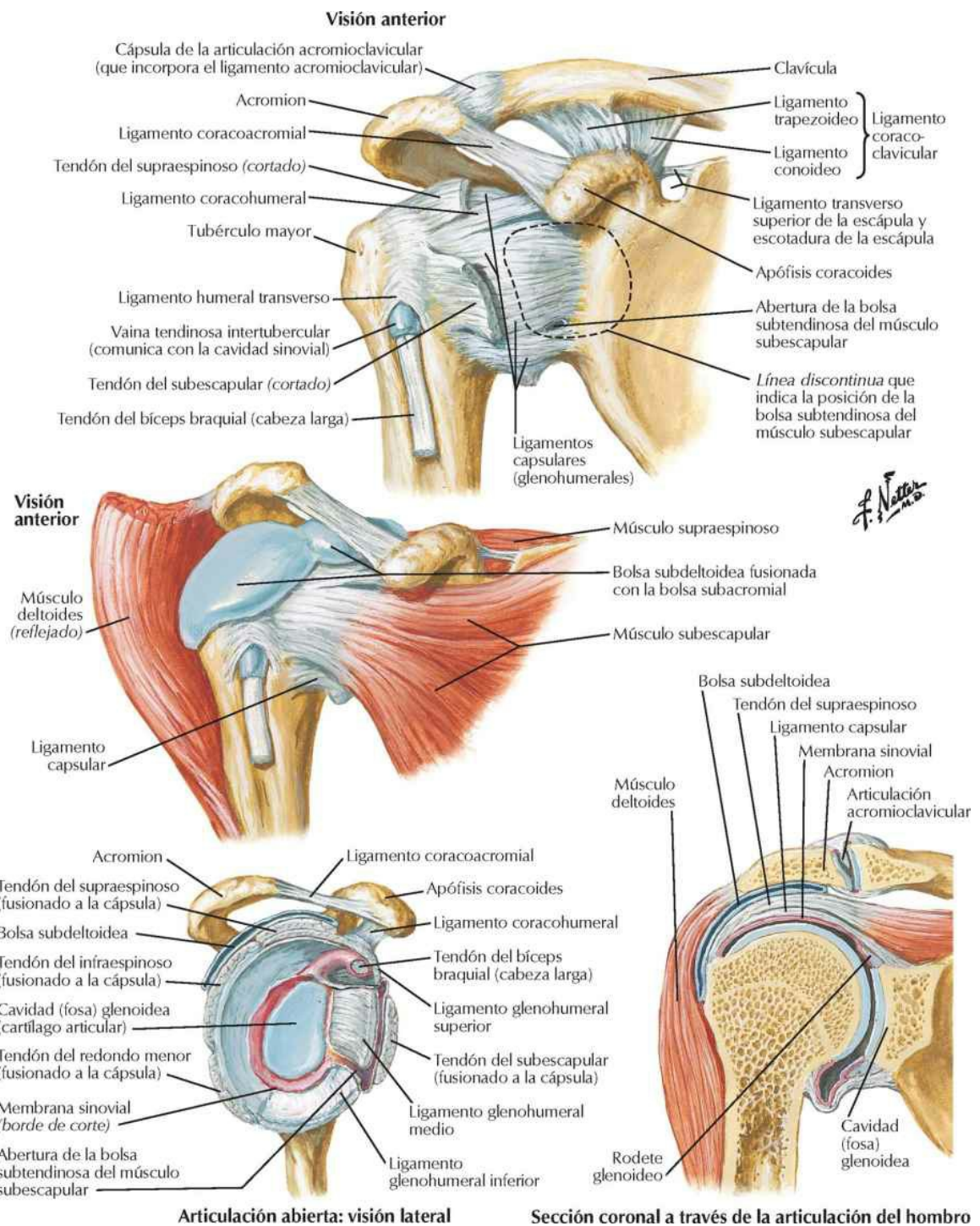
Véase también lámina 409

Radiografía anteroposterior del hombro



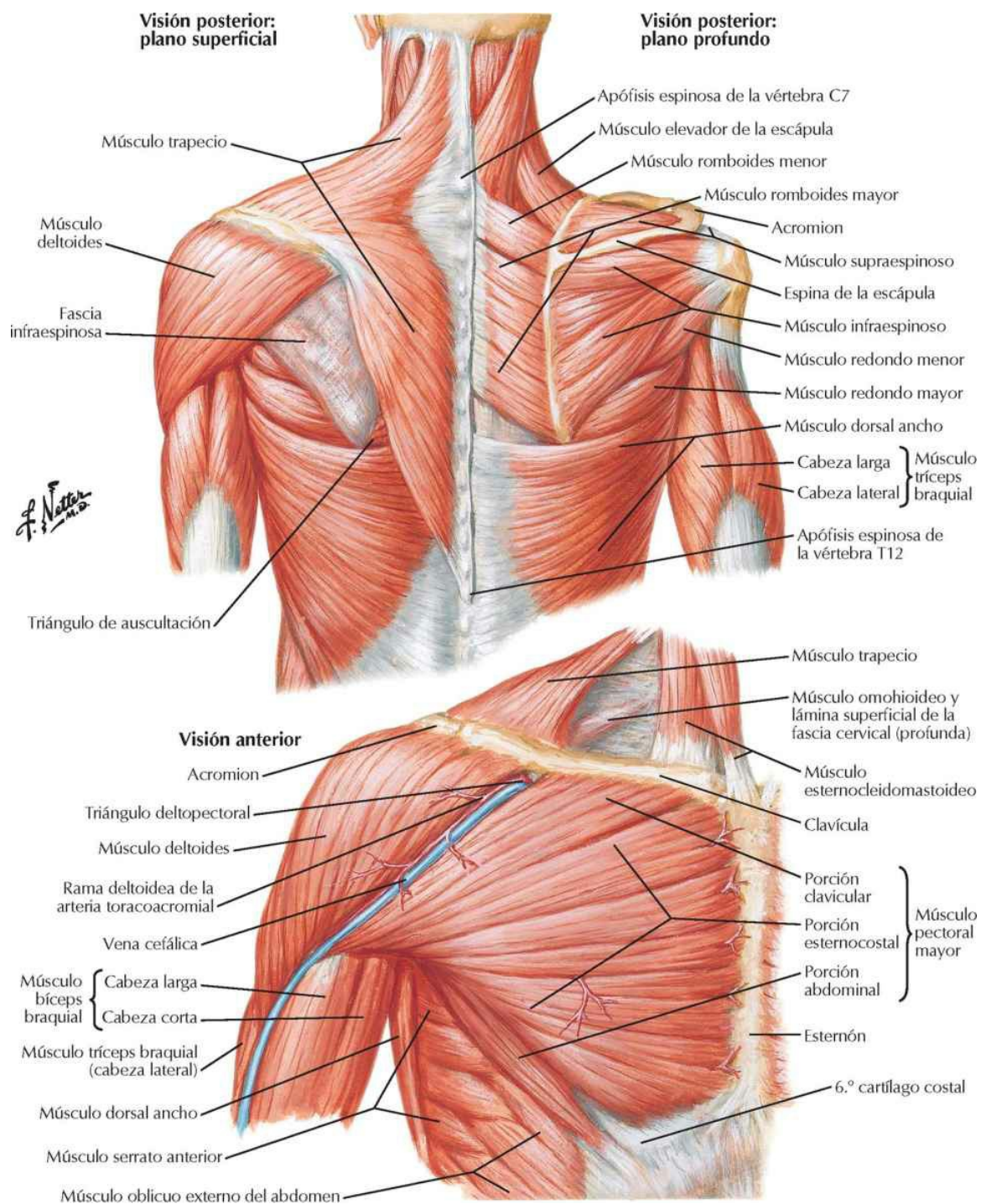
Hombro con detalles de la articulación glenohumeral

Véase también lámina 415



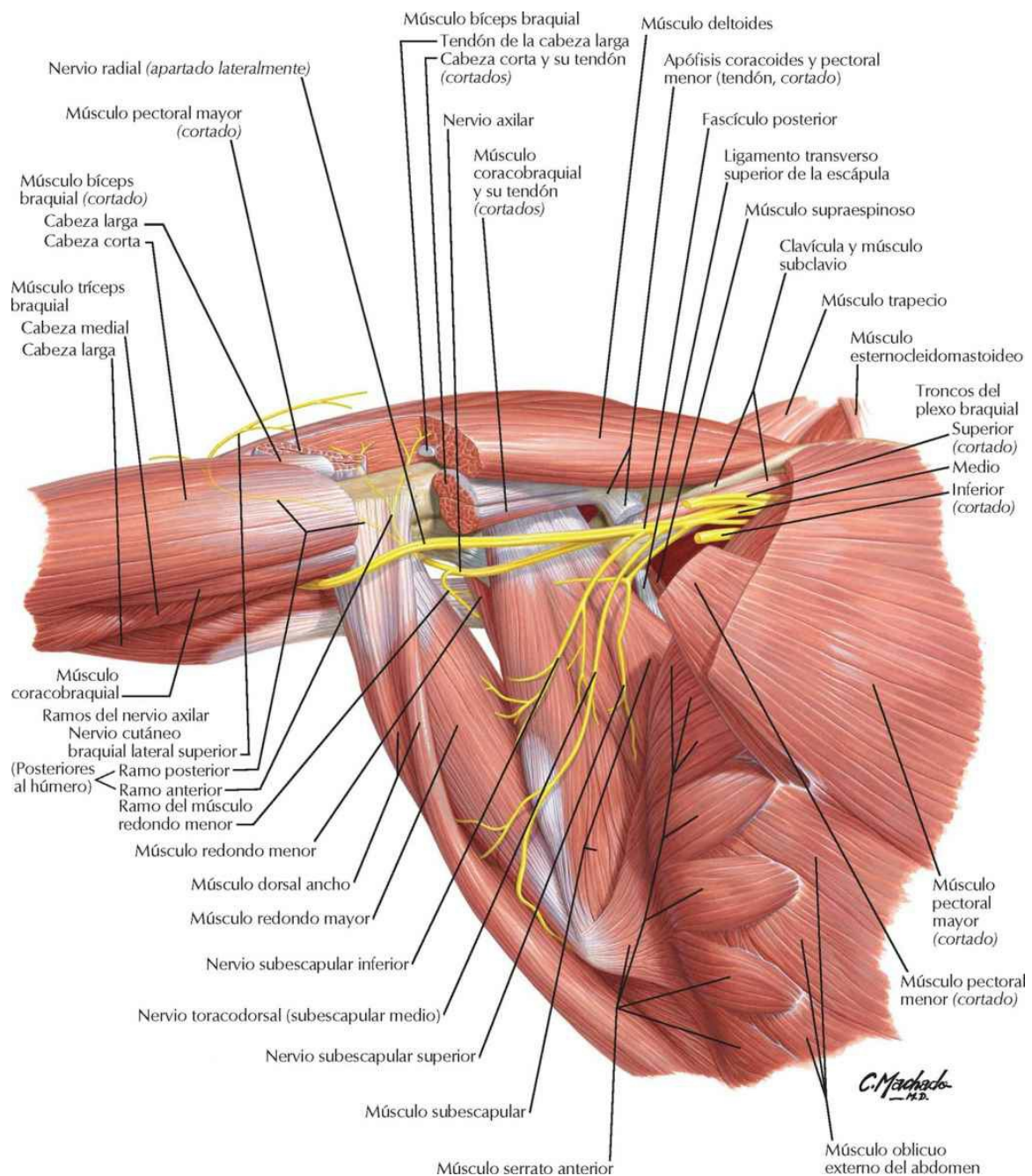
Músculos del hombro

Véanse también láminas 180, 194



Axila: pared posterior

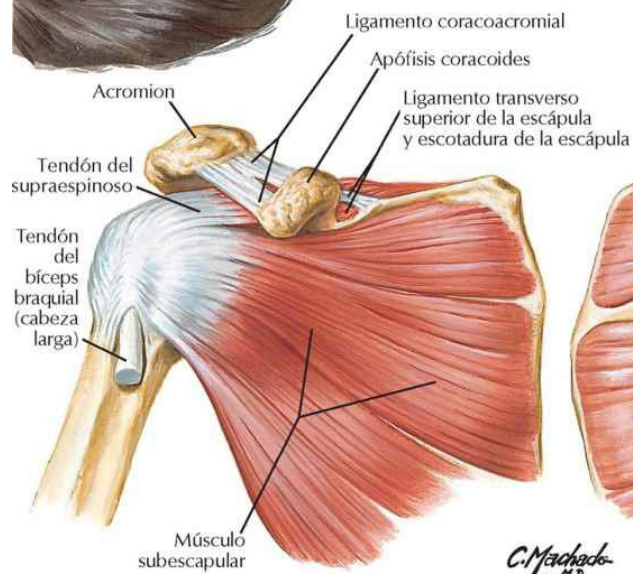
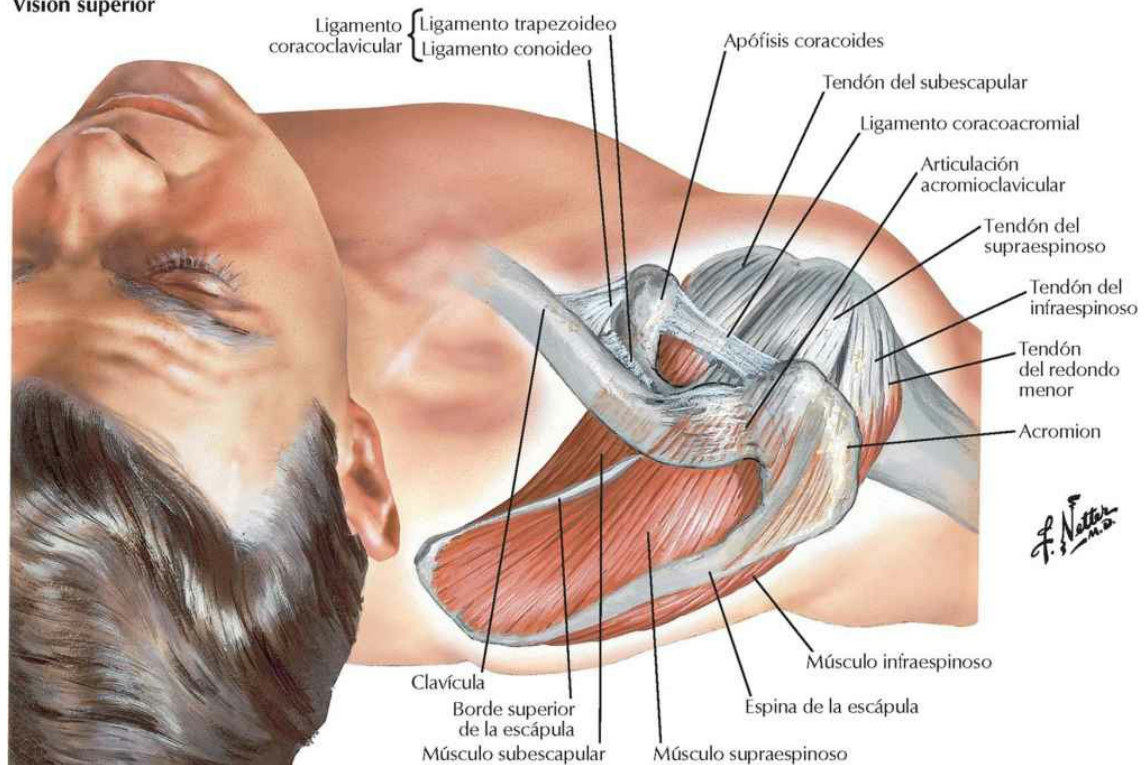
Véanse también láminas 419, 420



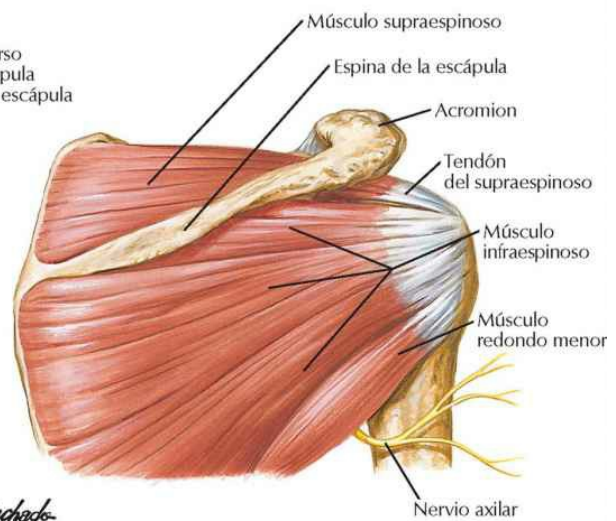
Músculos del manguito de los rotadores (compresor)

Véanse también láminas 412, 421, 422

Visión superior



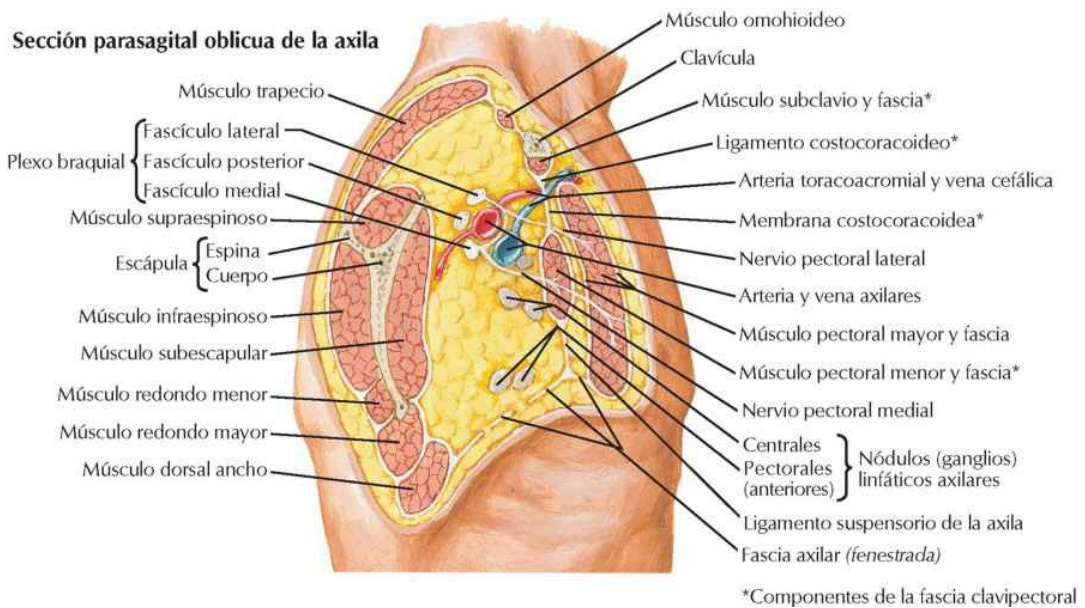
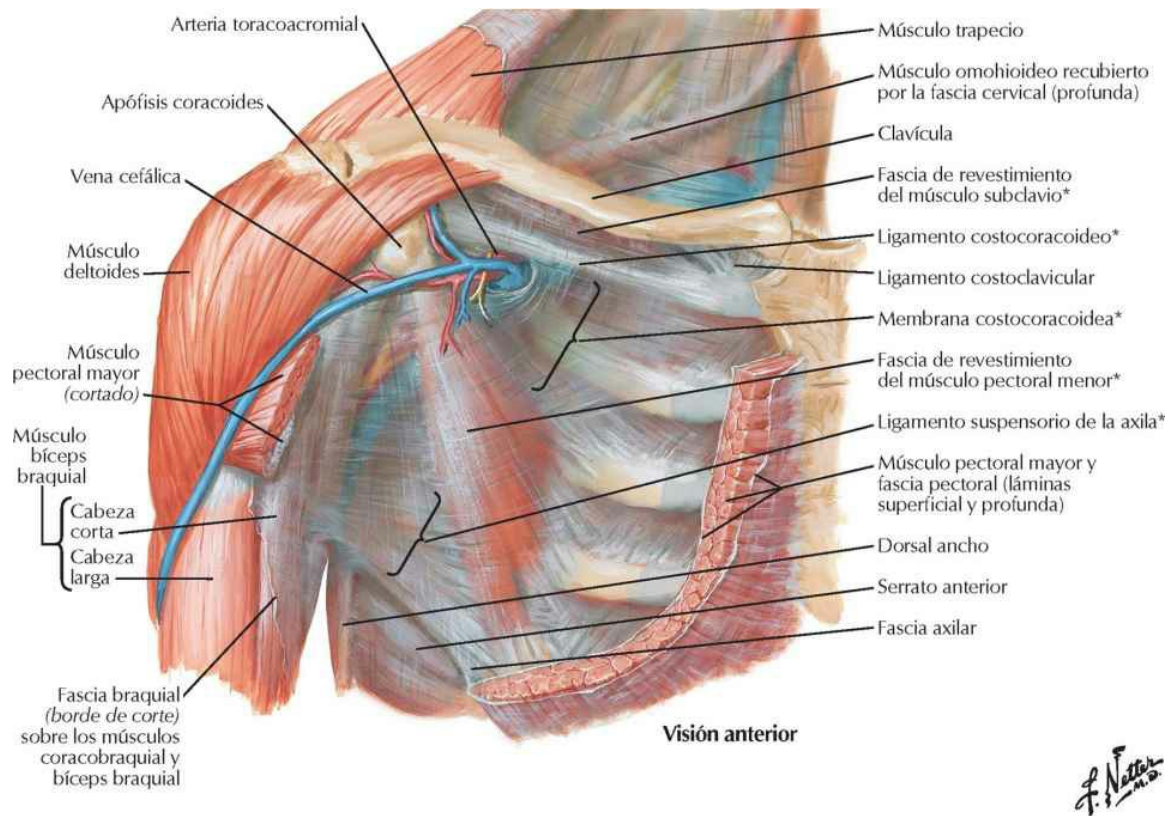
Visión anterior



Visión posterior

Fascias pectoral, clavipectoral y axilar

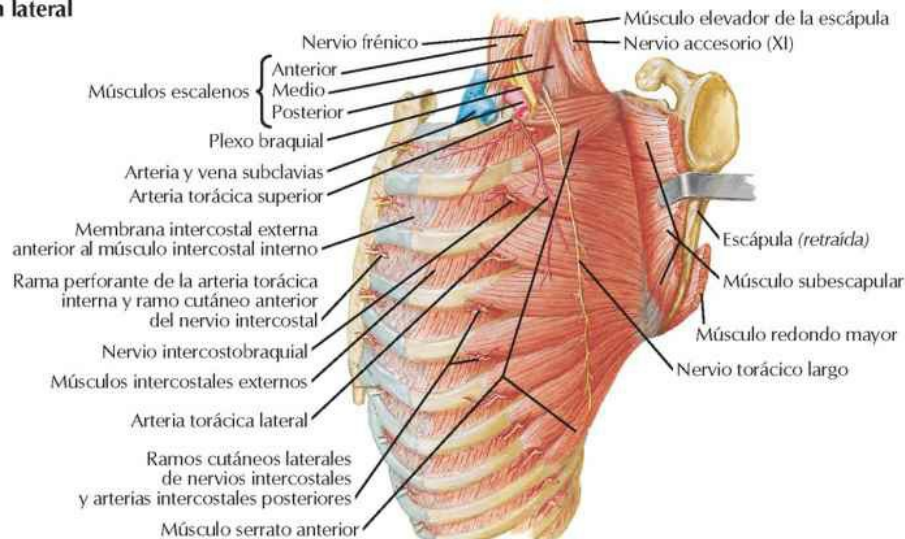
Véanse también láminas 190, 194



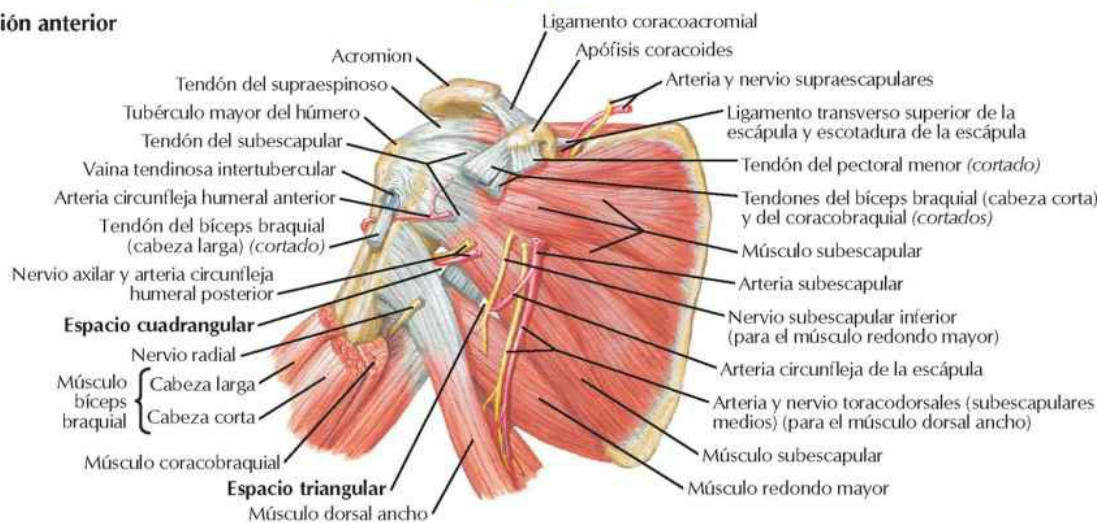
Disecciones escapulotorácica y del hombro

Véanse también láminas 419, 468

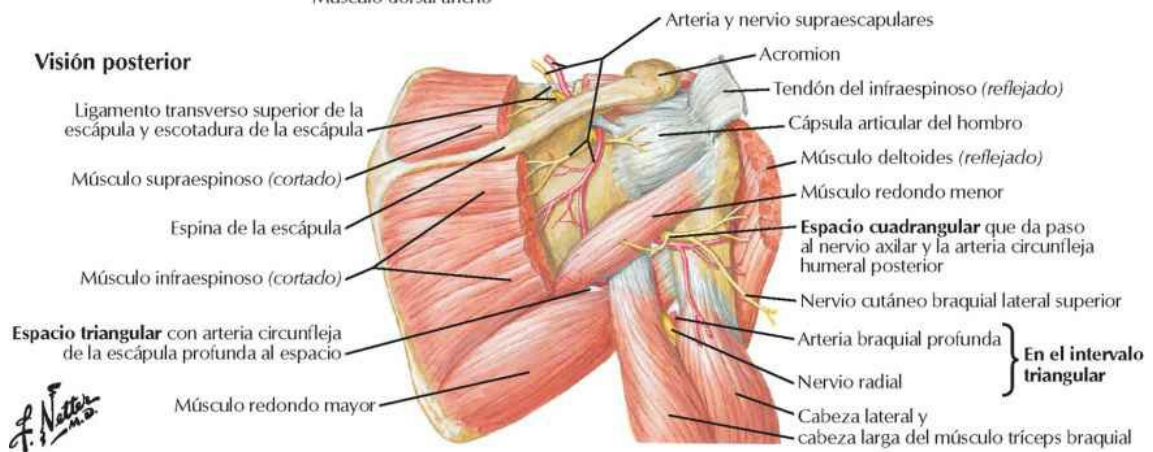
Visión lateral



Visión anterior

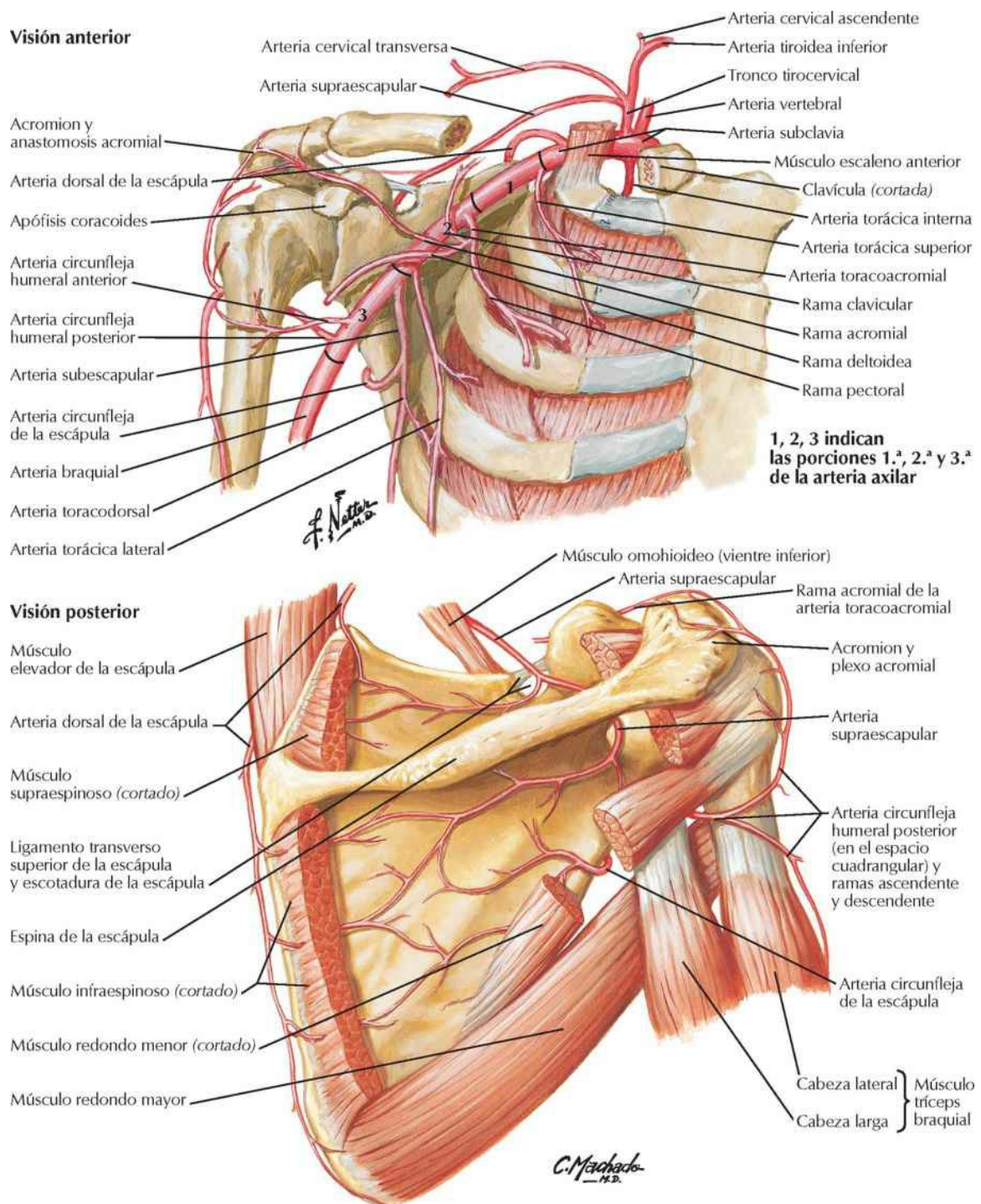


Visión posterior



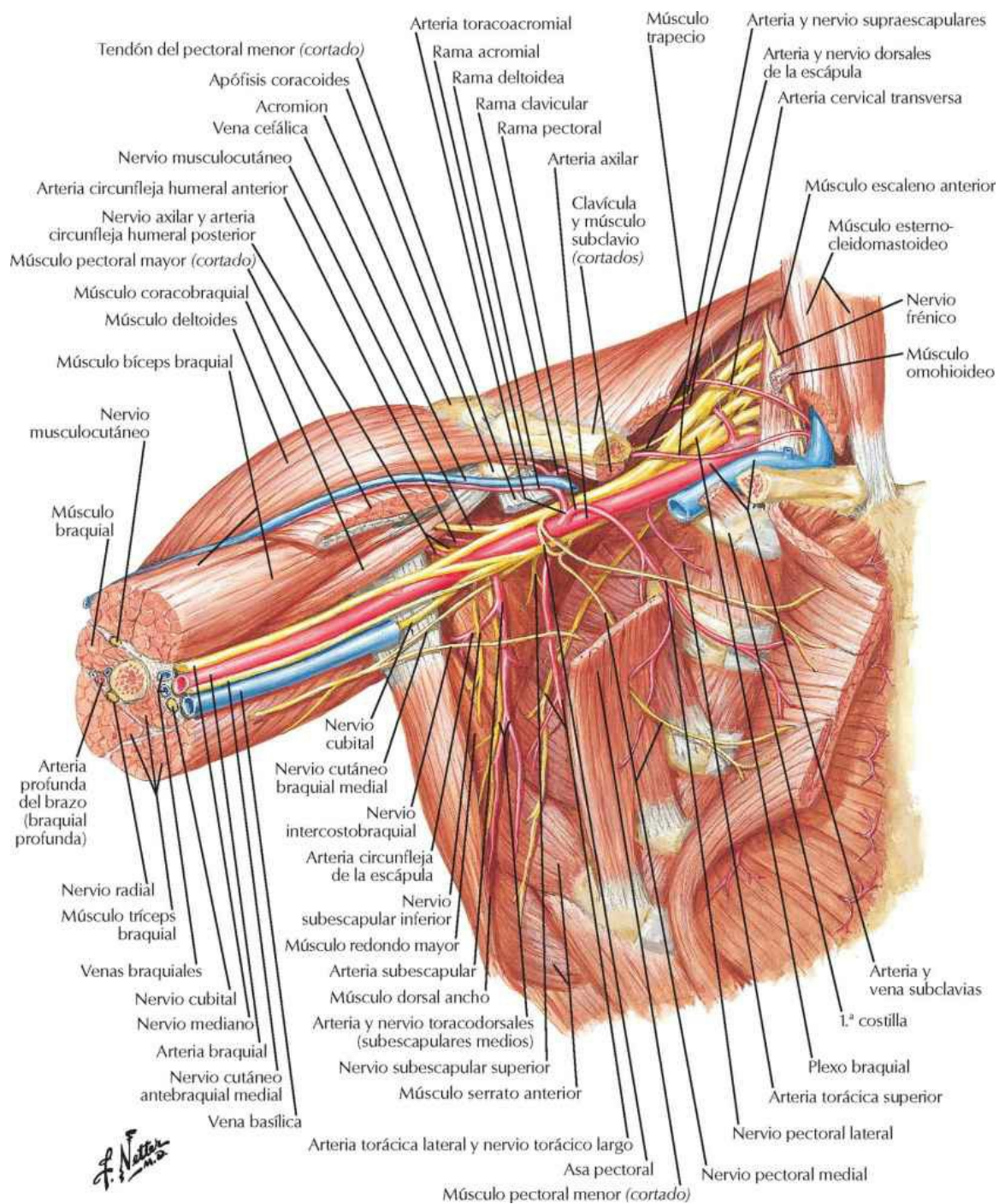
Arteria axilar y anastomosis alrededor de la escápula

Véanse también láminas 40, 424



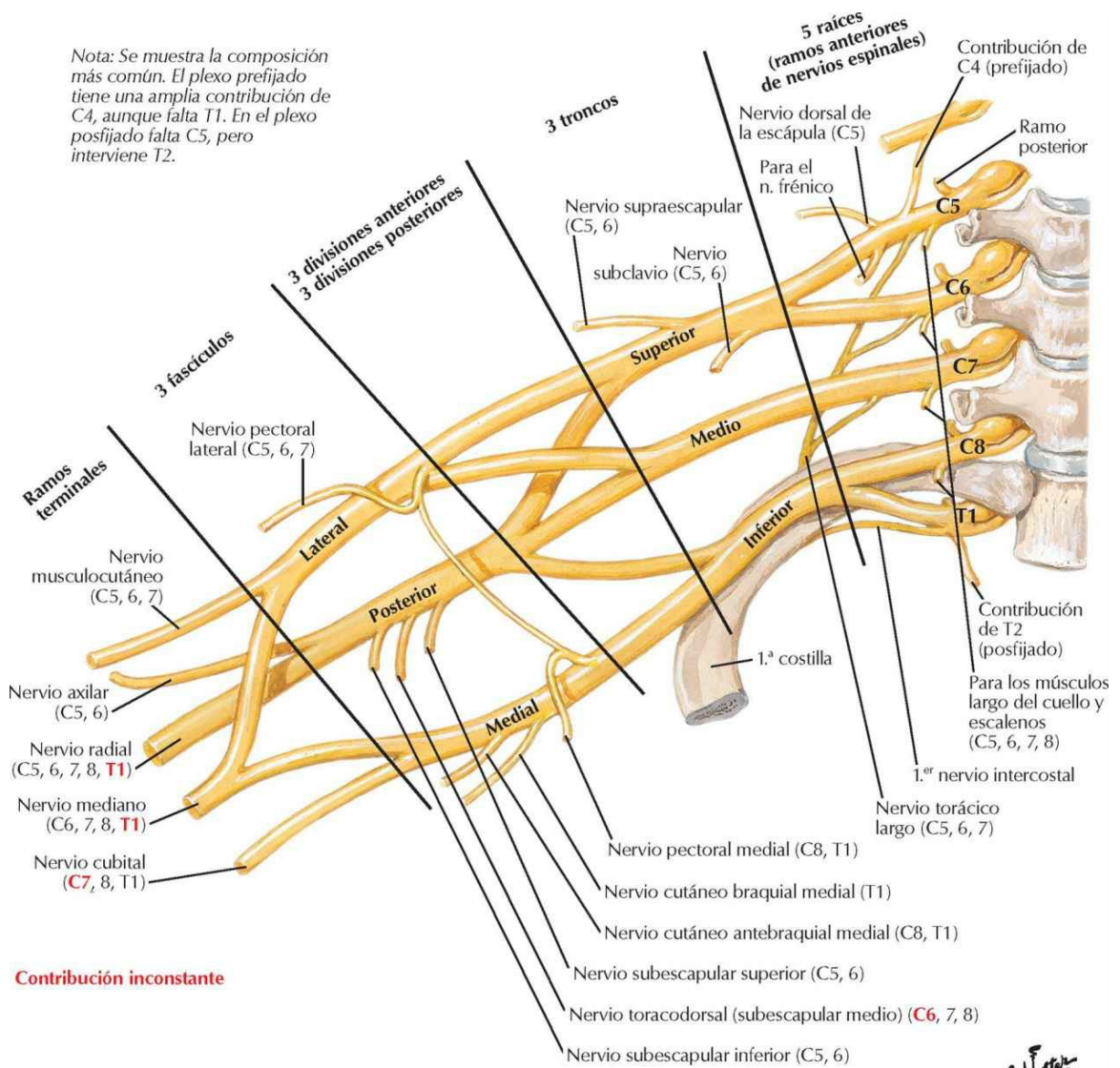
Axila: visión anterior

Véanse también láminas 414, 417



Plexo braquial: esquema

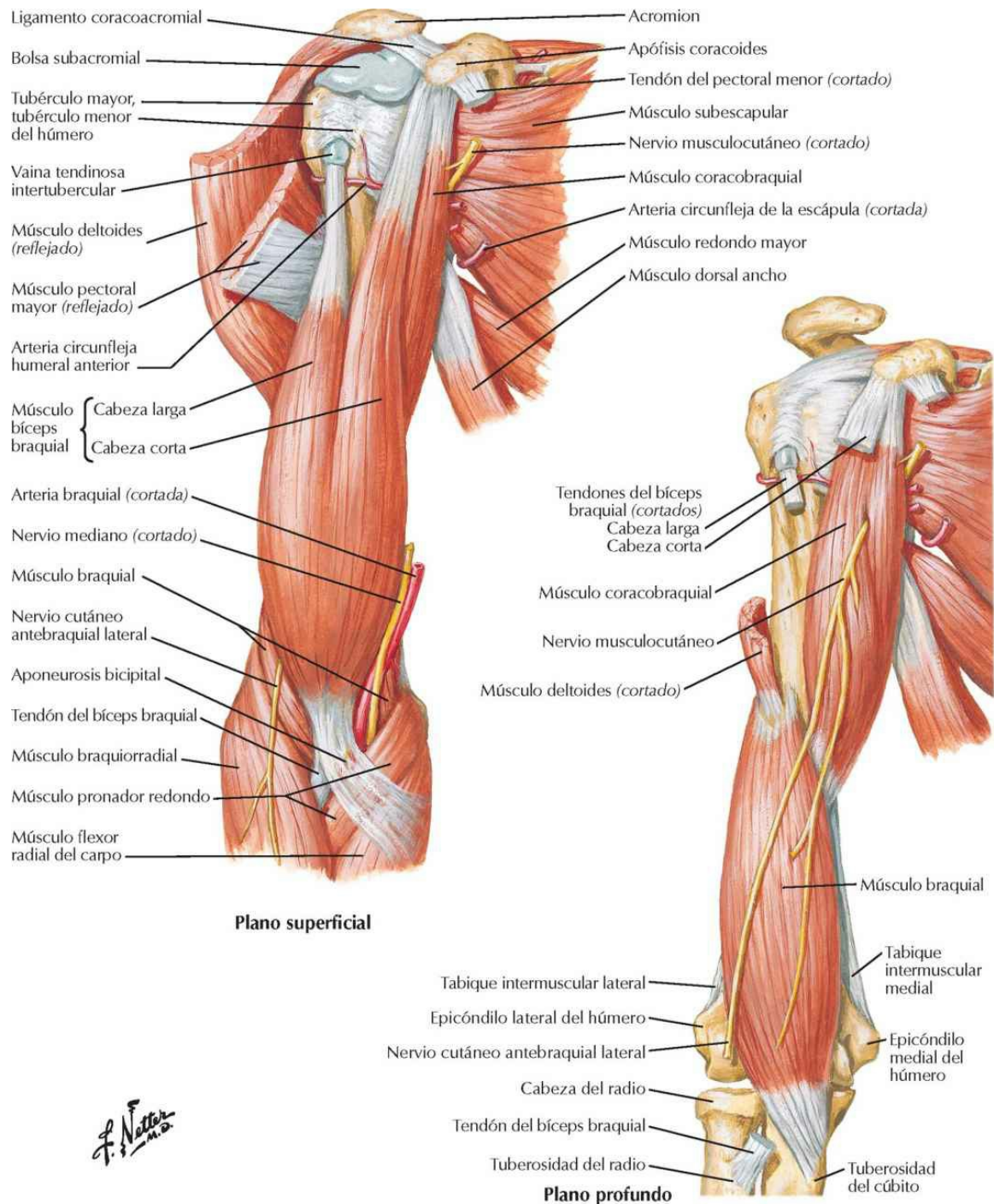
Véanse también láminas 463, 464



Brazo

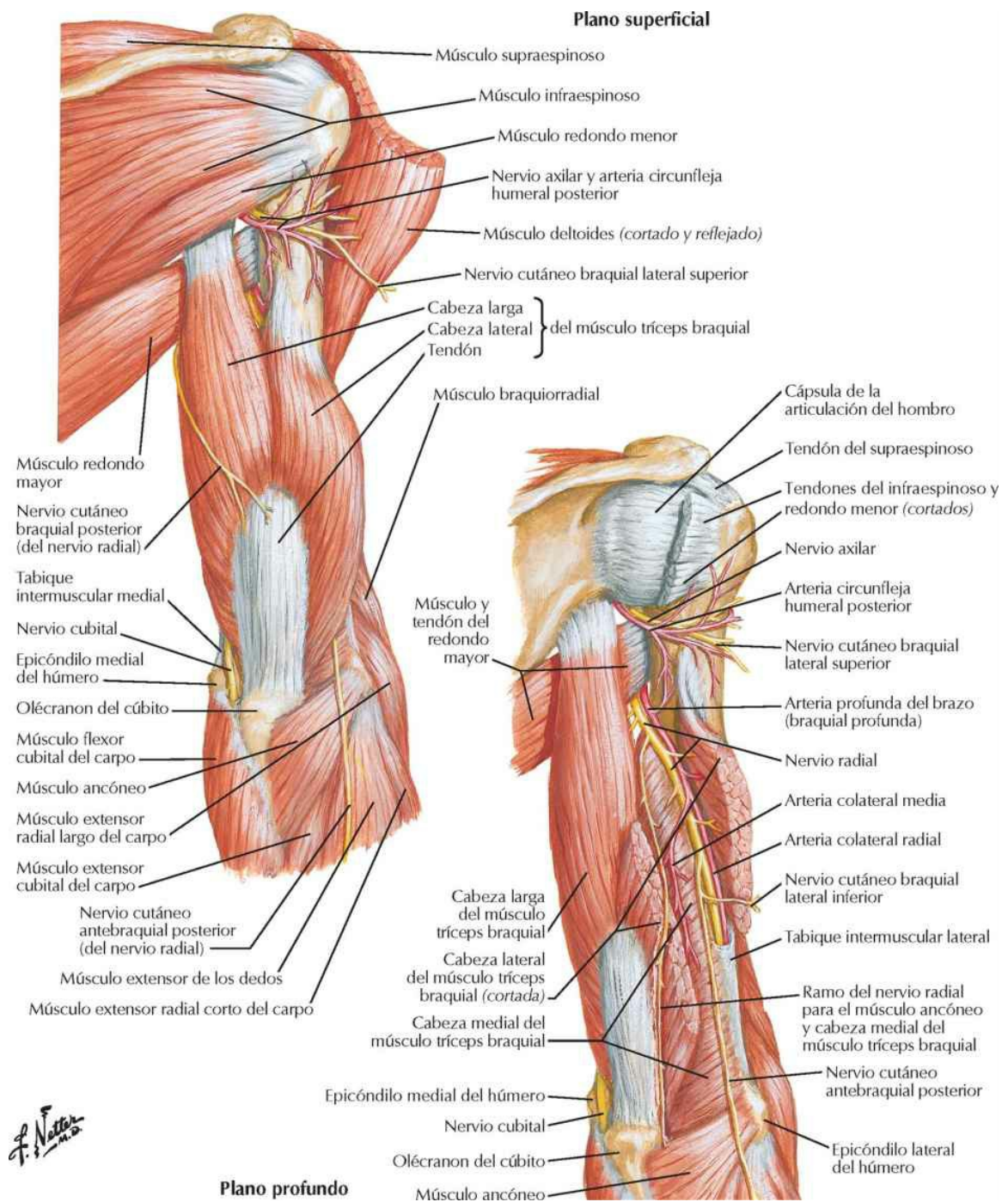
Músculos del brazo: visiones anteriores

Véanse también láminas 415, 465

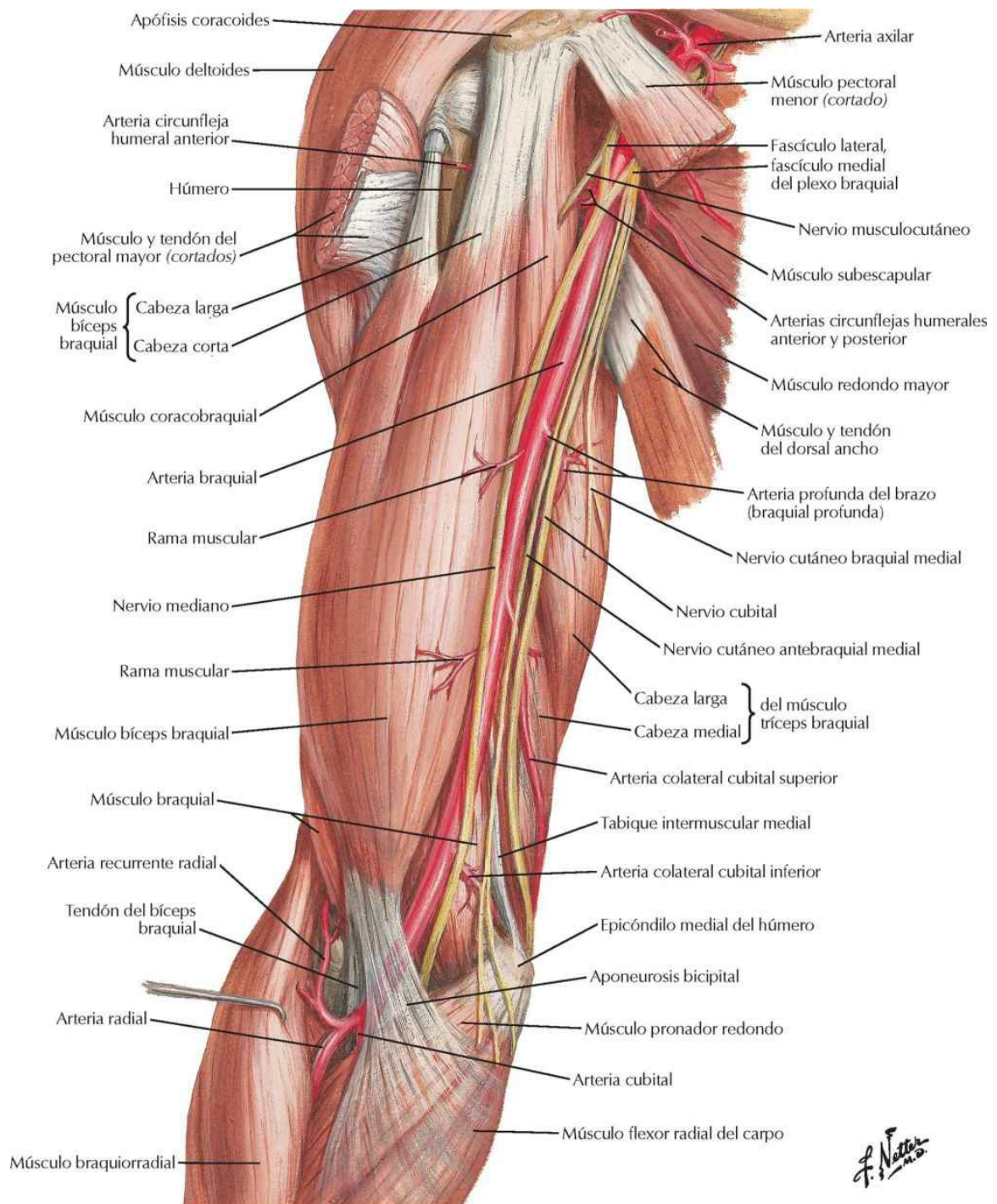


Músculos del brazo: visiones posteriores

Véanse también láminas 415, 468

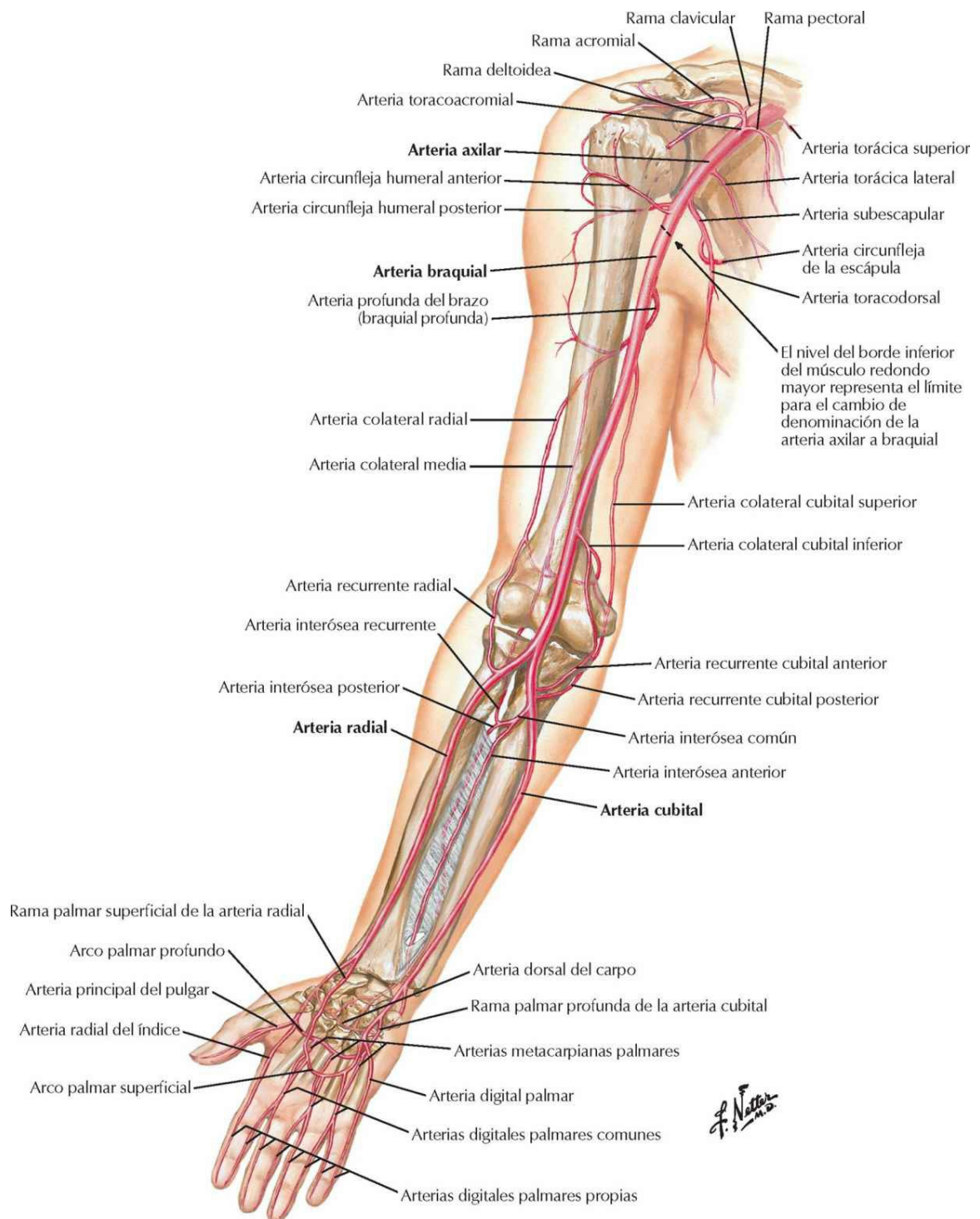


Arteria braquial *in situ*

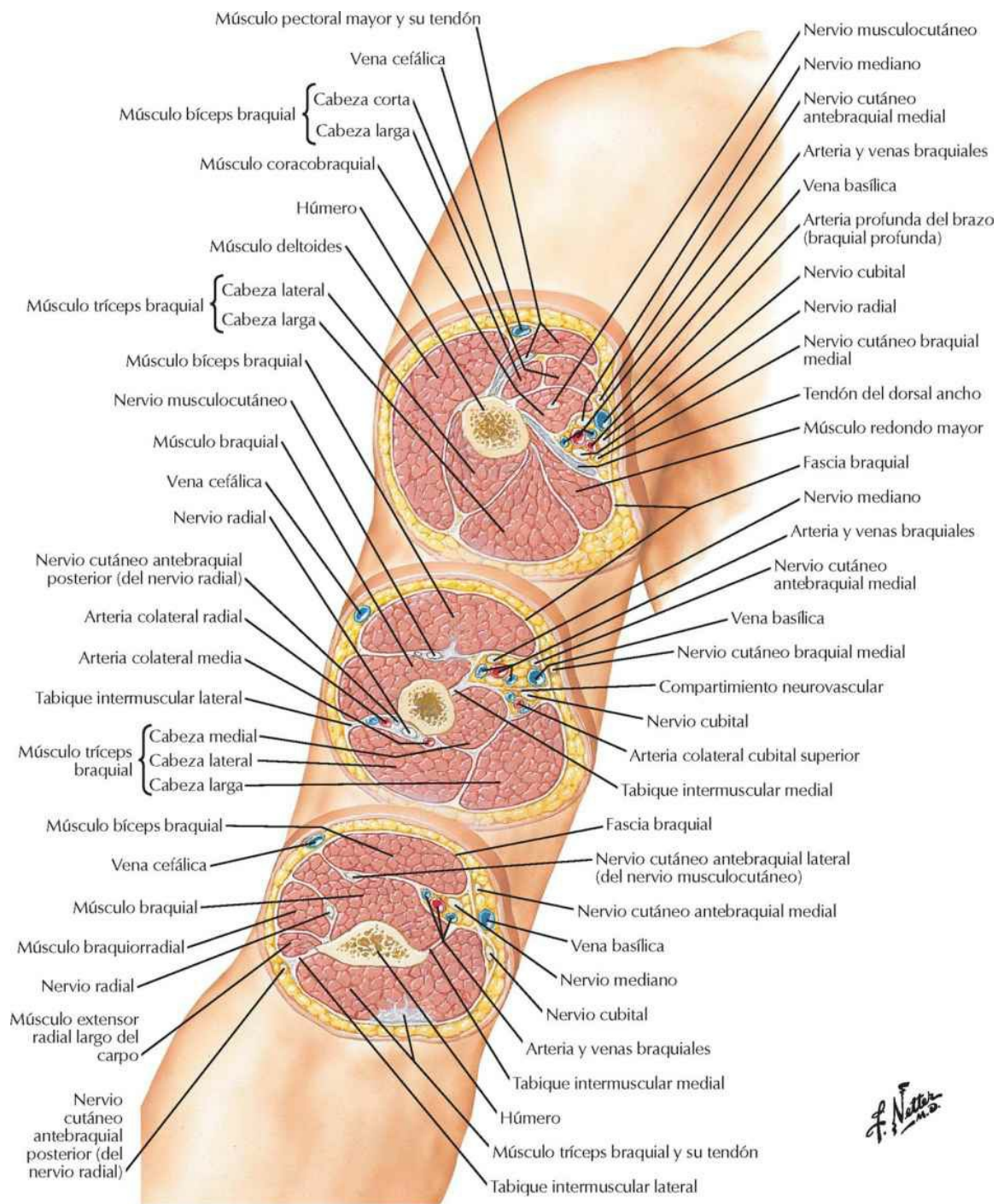


Arterias del brazo, antebrazo y mano

Véanse también láminas 437, 456



Brazo: secciones transversales seriadas

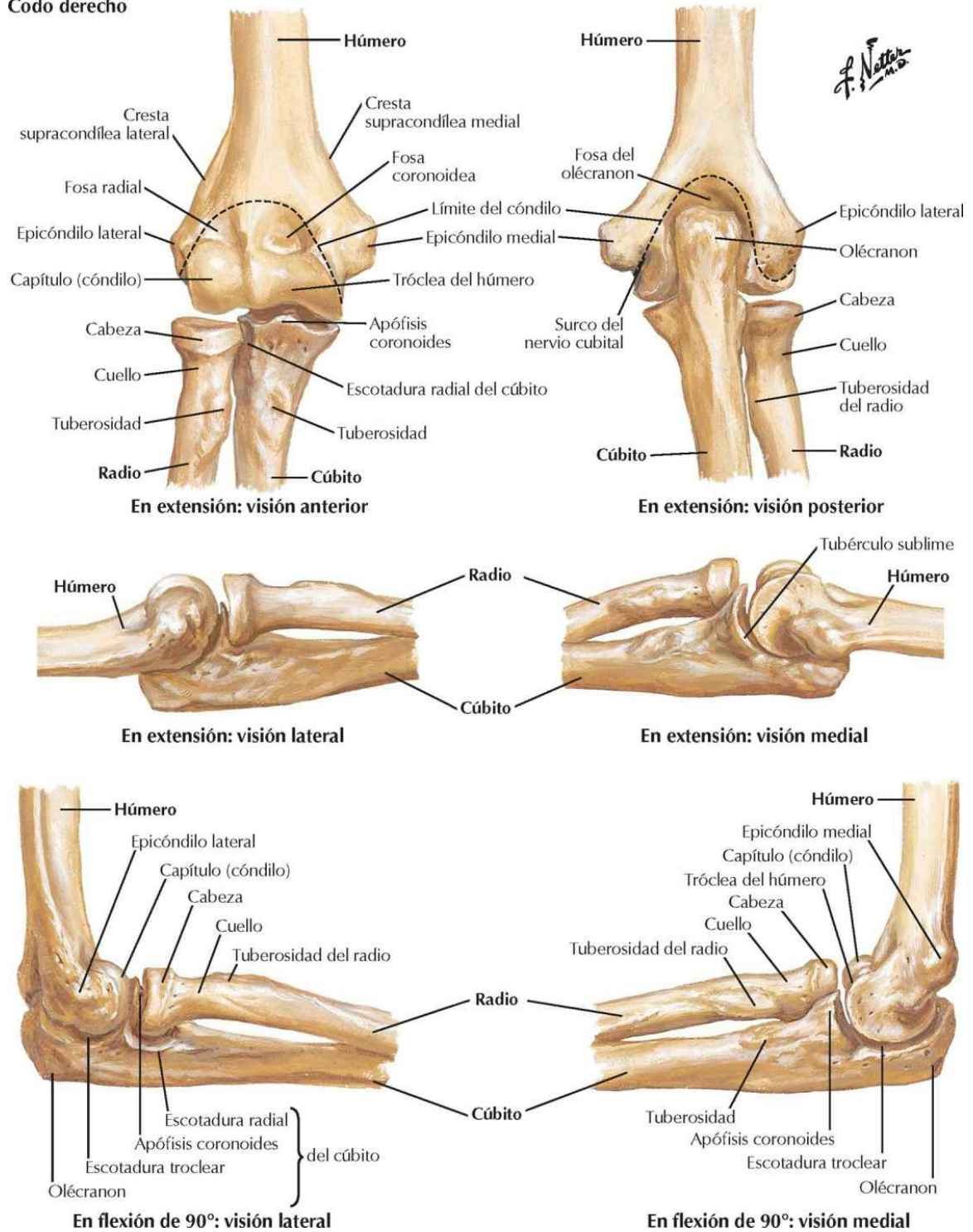


Codo y antebrazo

Huesos del codo

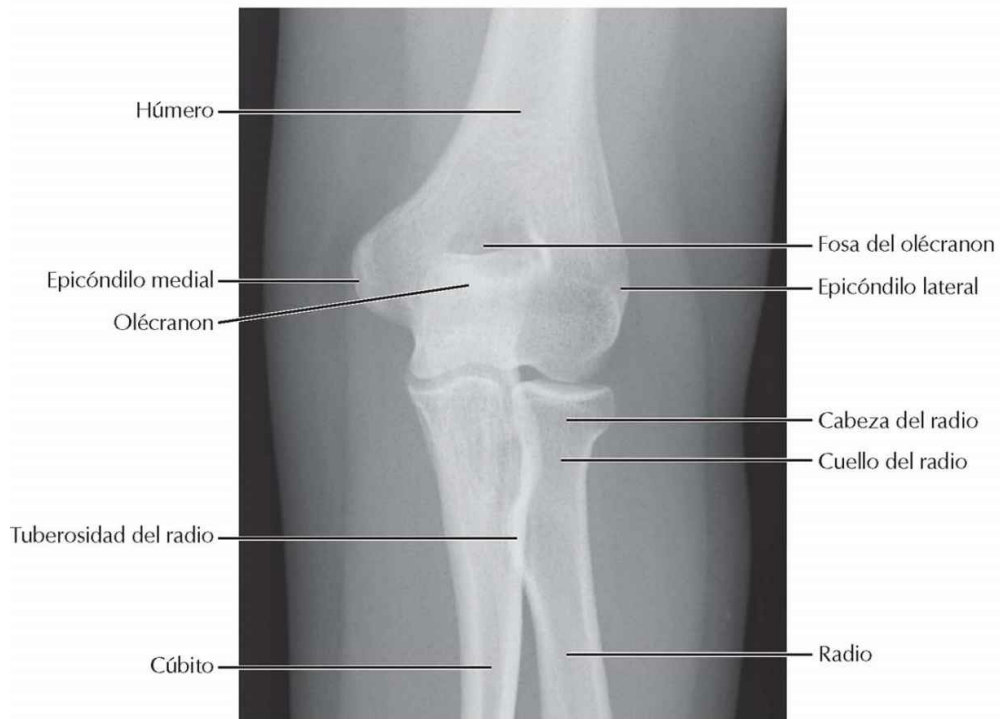
Véase también lámina 429

Codo derecho

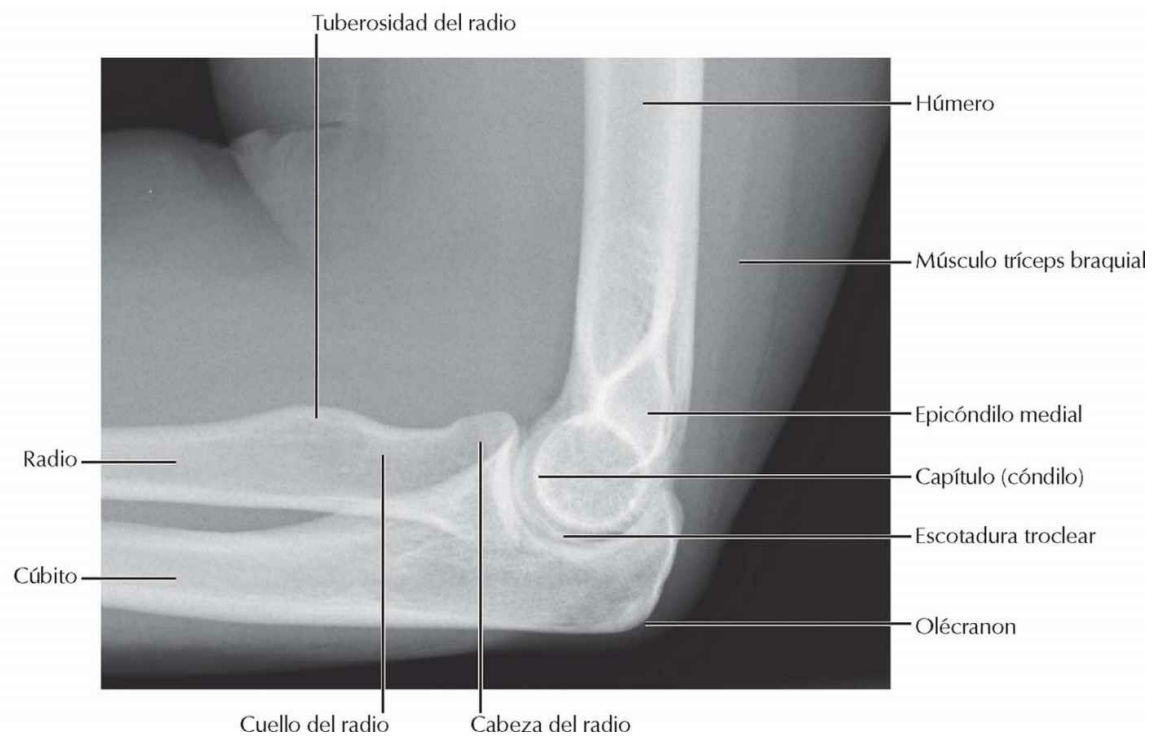


Codo: radiografías

Proyección anteroposterior



Proyección lateral

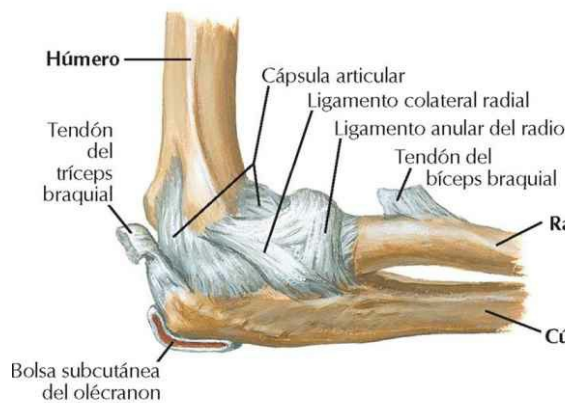


Ligamentos del codo

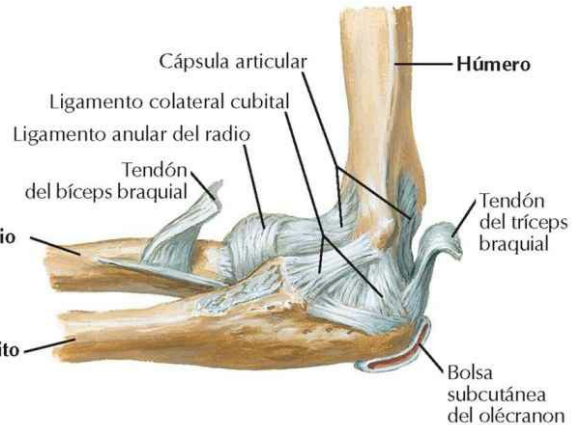
Codo derecho: visión anterior



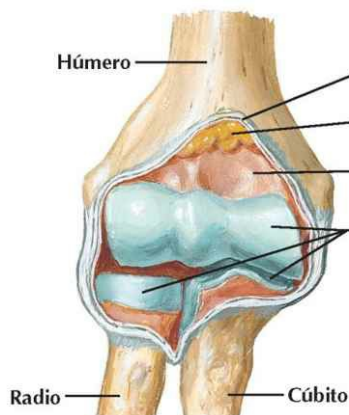
En flexión de 90°: visión lateral



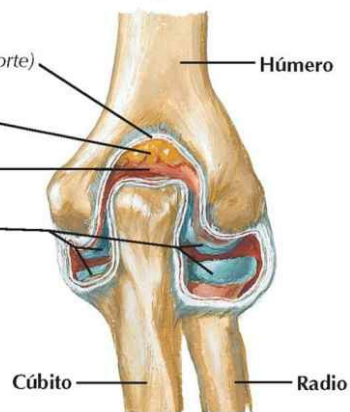
En flexión de 90°: visión medial



Articulación abierta: visión anterior

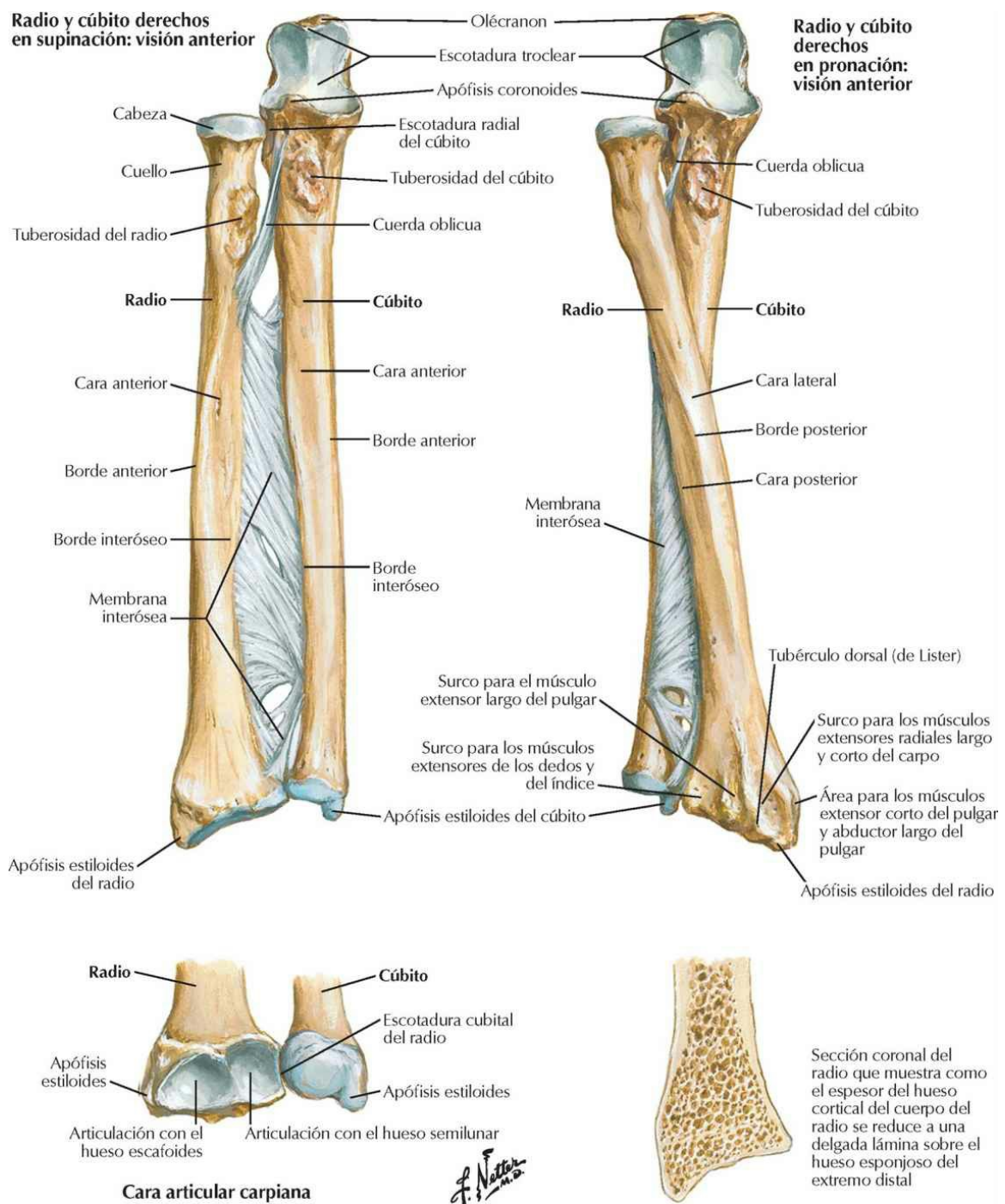


Articulación abierta: visión posterior



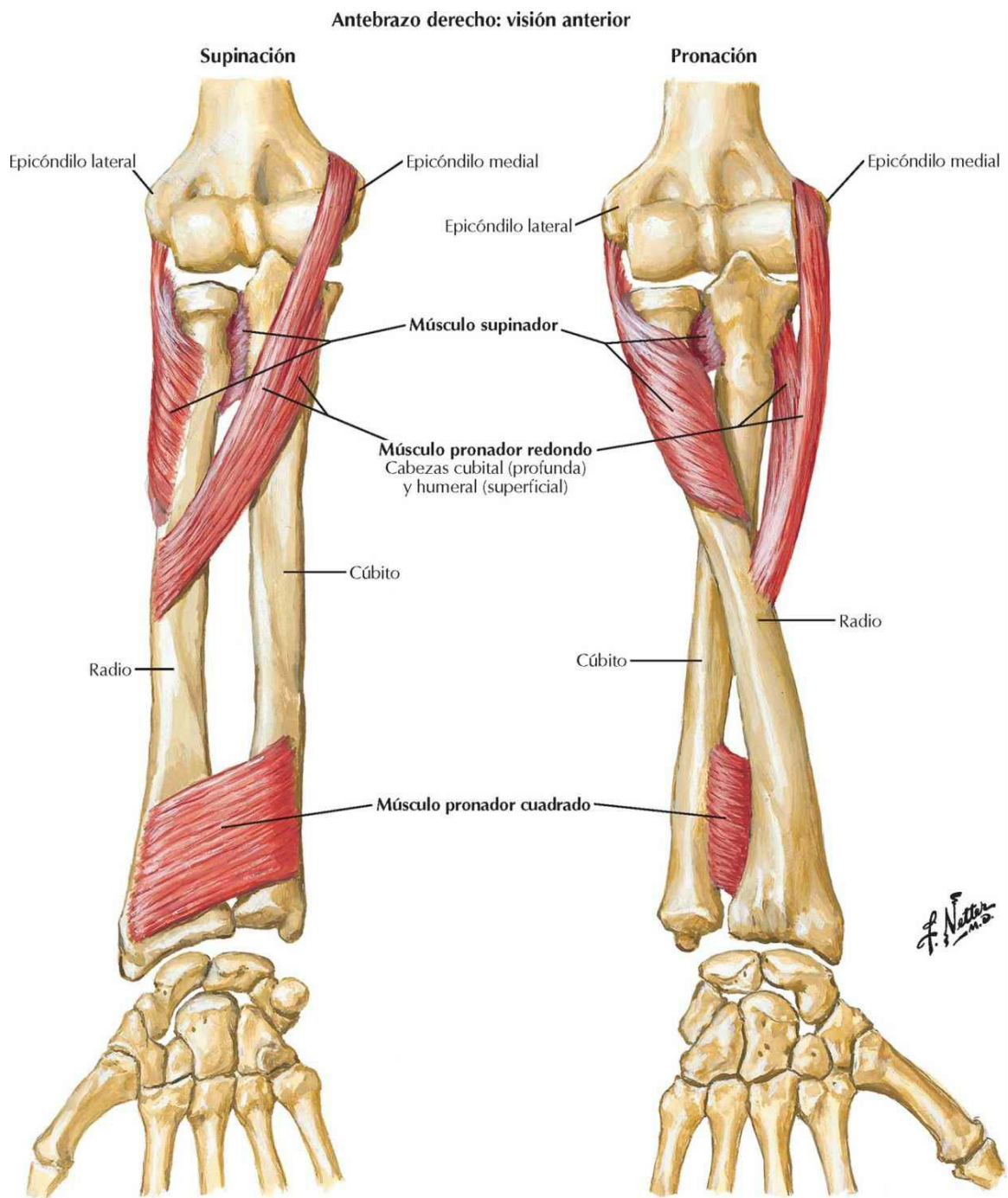
Huesos del antebrazo

Véase también lámina 440



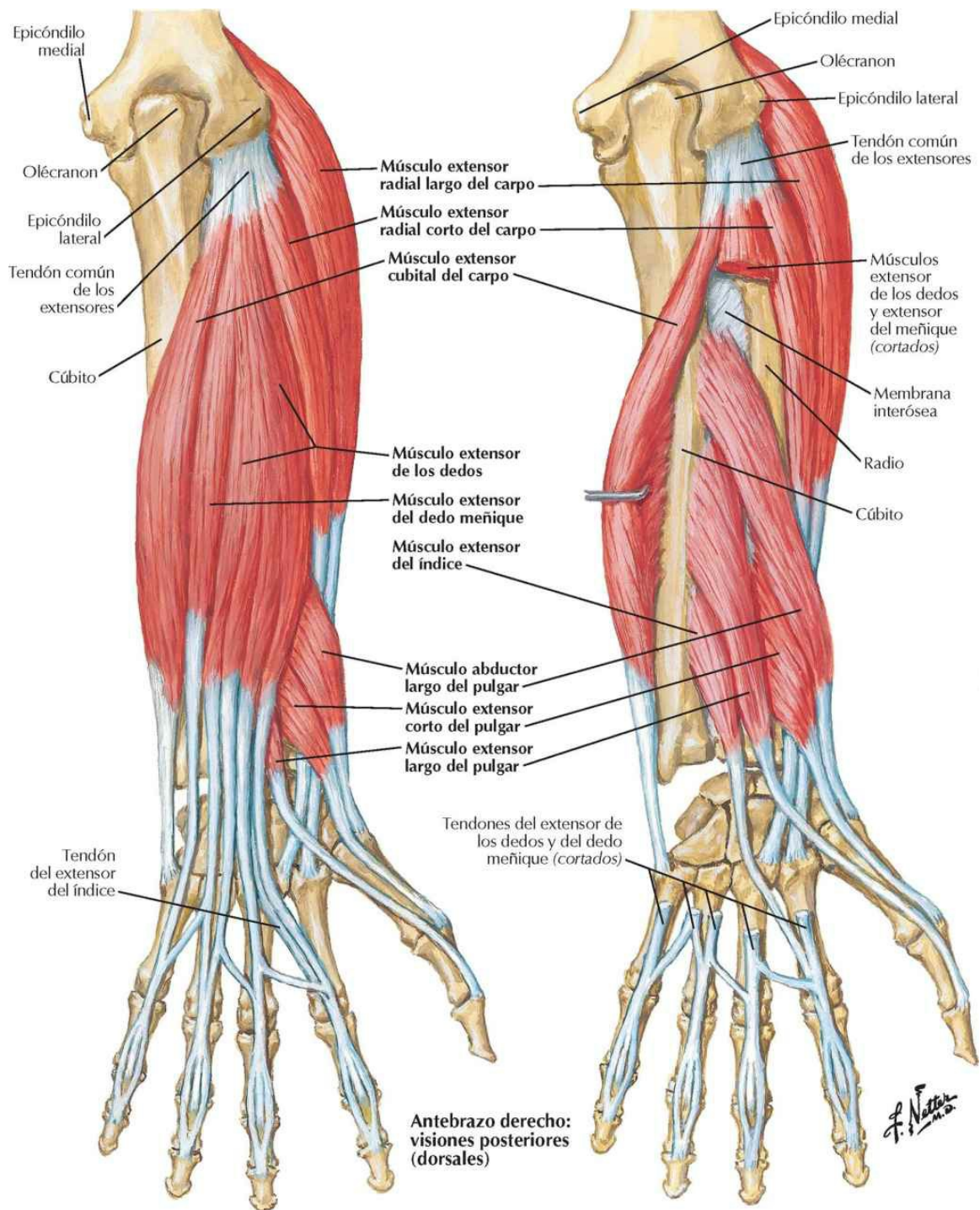
Músculos individualizados del antebrazo: rotadores del radio

Véase también lámina 438

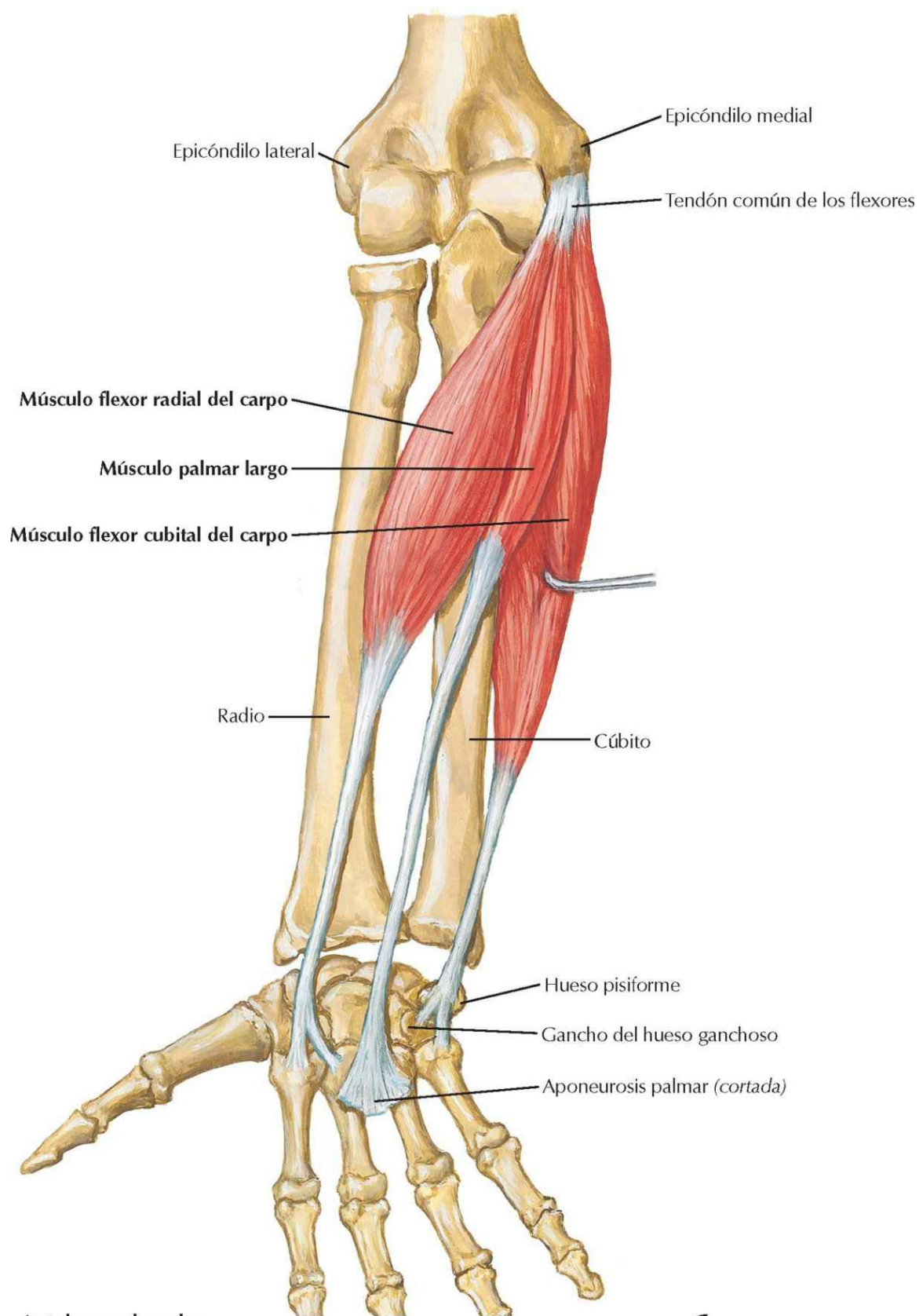


**Músculos individualizados del antebrazo:
extensores del carpo y dedos**

Véase también lámina 441



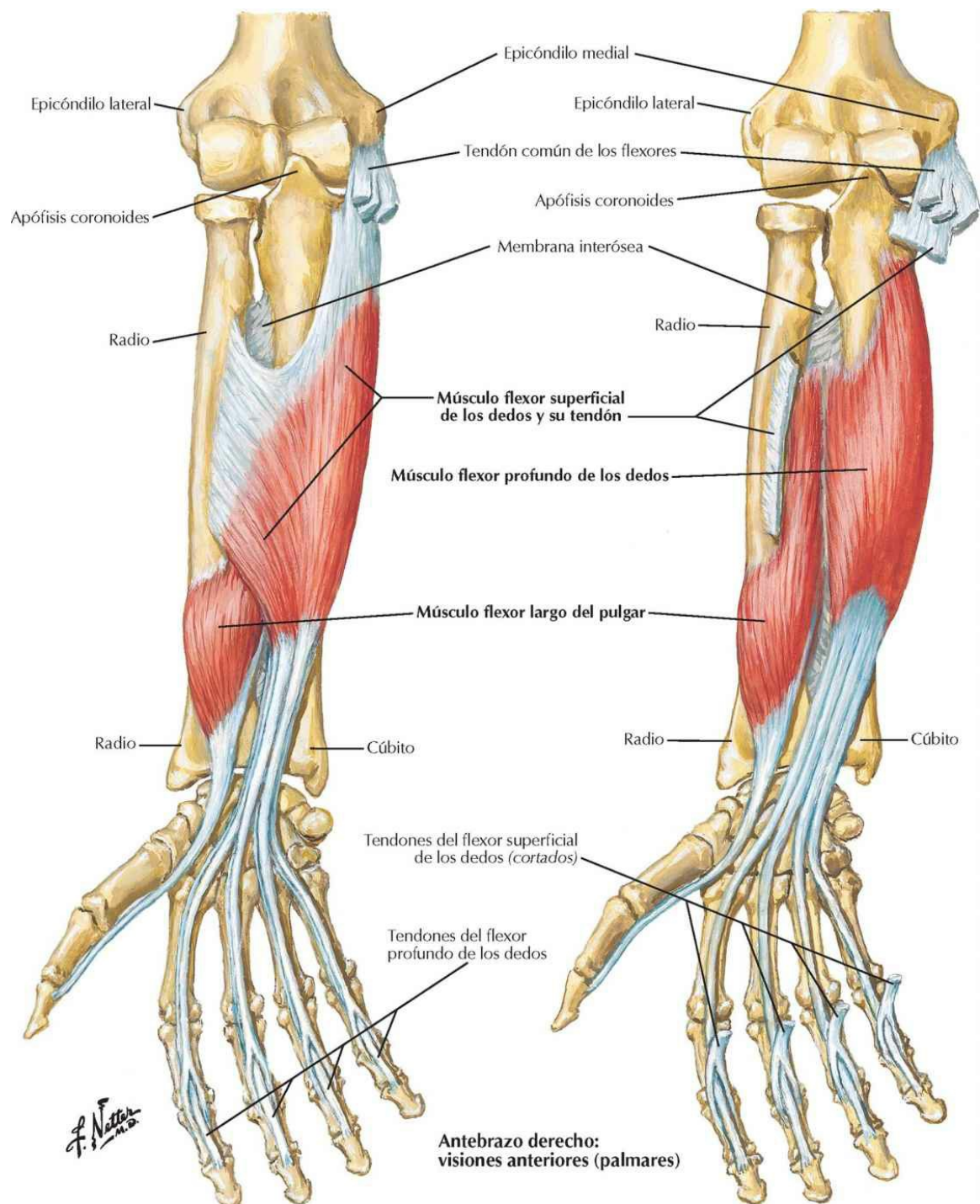
Músculos individualizados del antebrazo: flexores del carpo



Antebrazo derecho:
visión anterior (palmar)

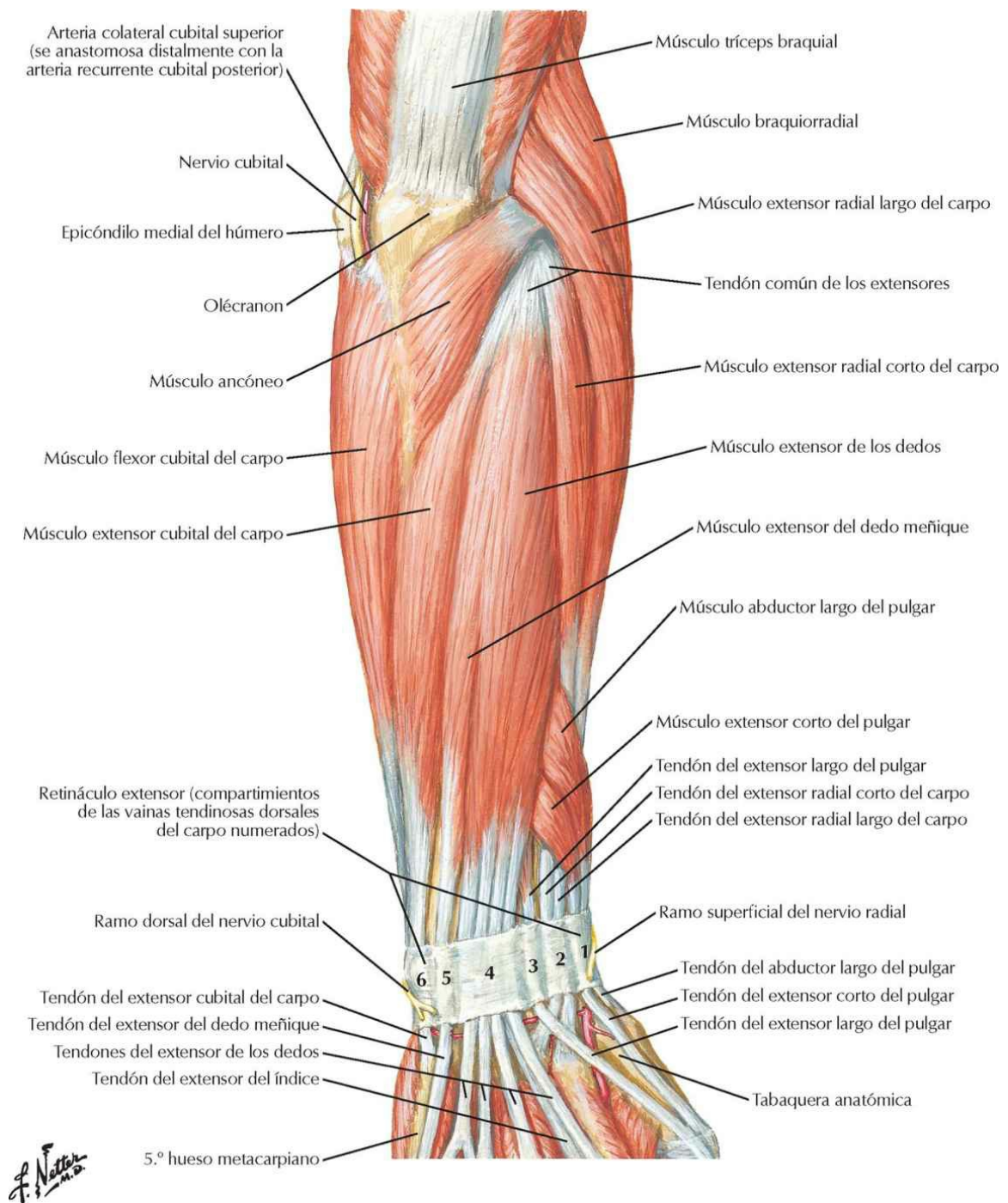
F. Netter M.D.

Músculos individualizados del antebrazo: flexores de los dedos



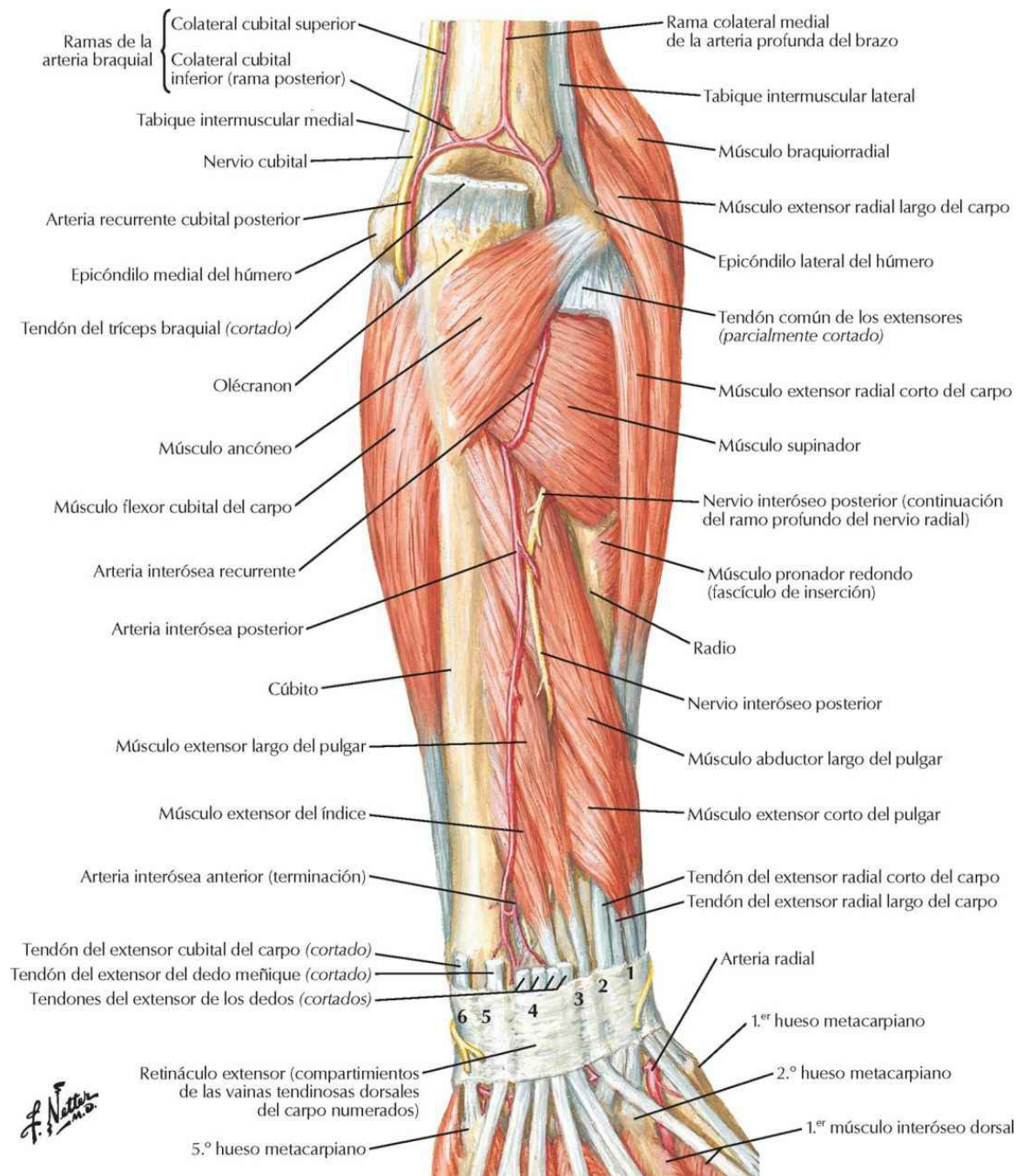
Músculos del antebrazo (plano superficial): visión posterior

Véanse también láminas 460, 469



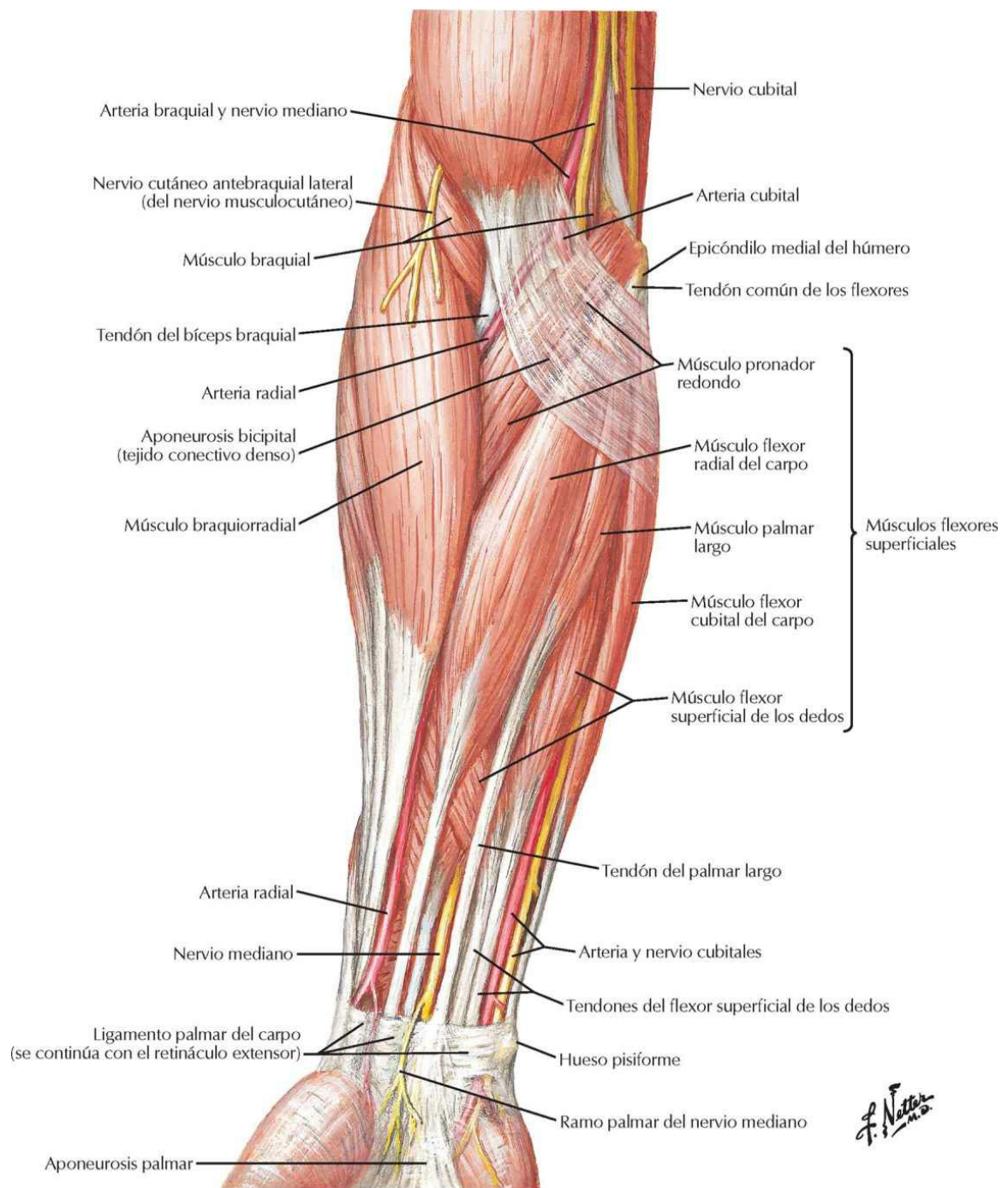
Músculos del antebrazo (plano profundo): visión posterior

Véase también lámina 460



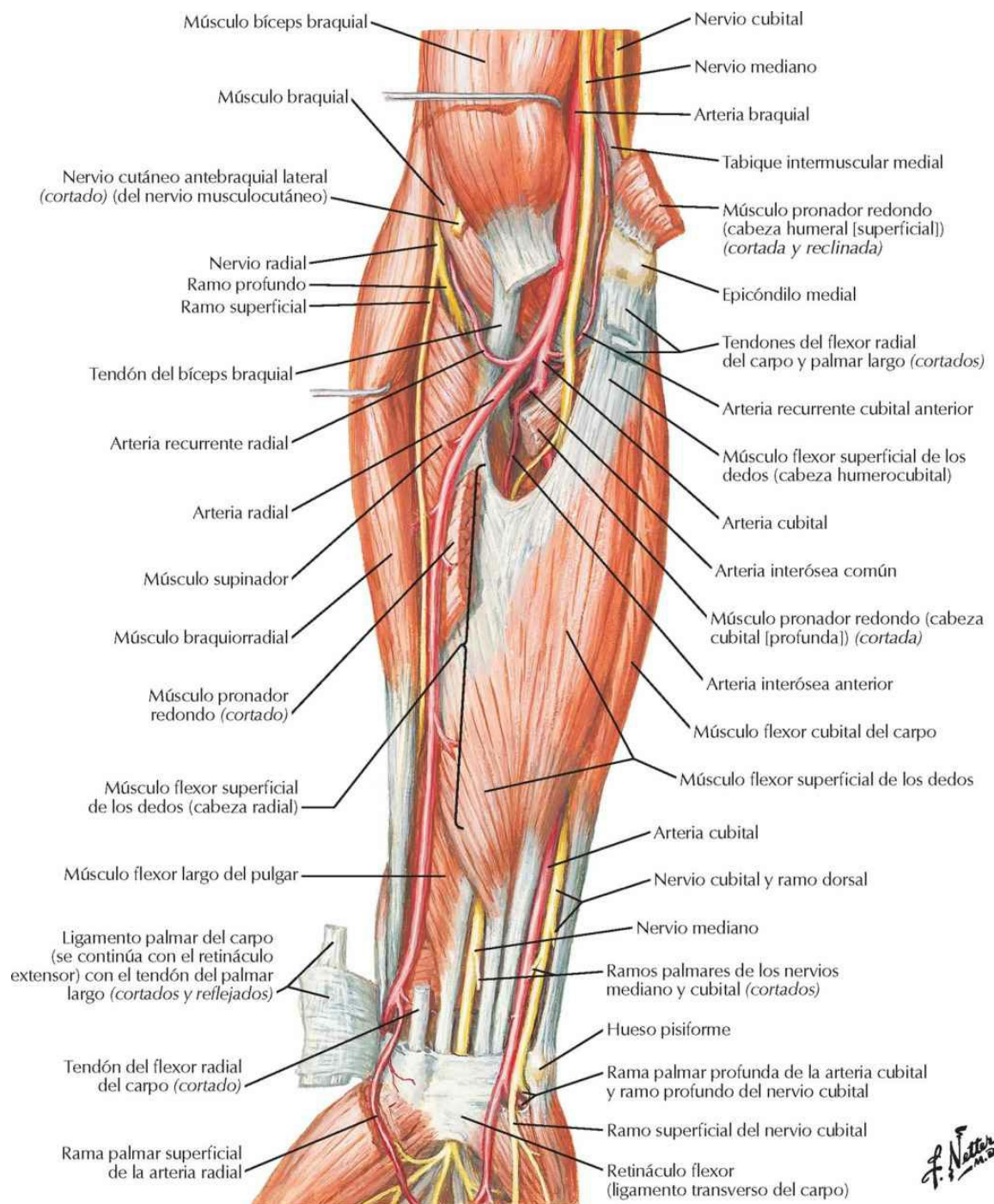
Músculos del antebrazo (plano superficial): visión anterior

Véanse también láminas 466, 467



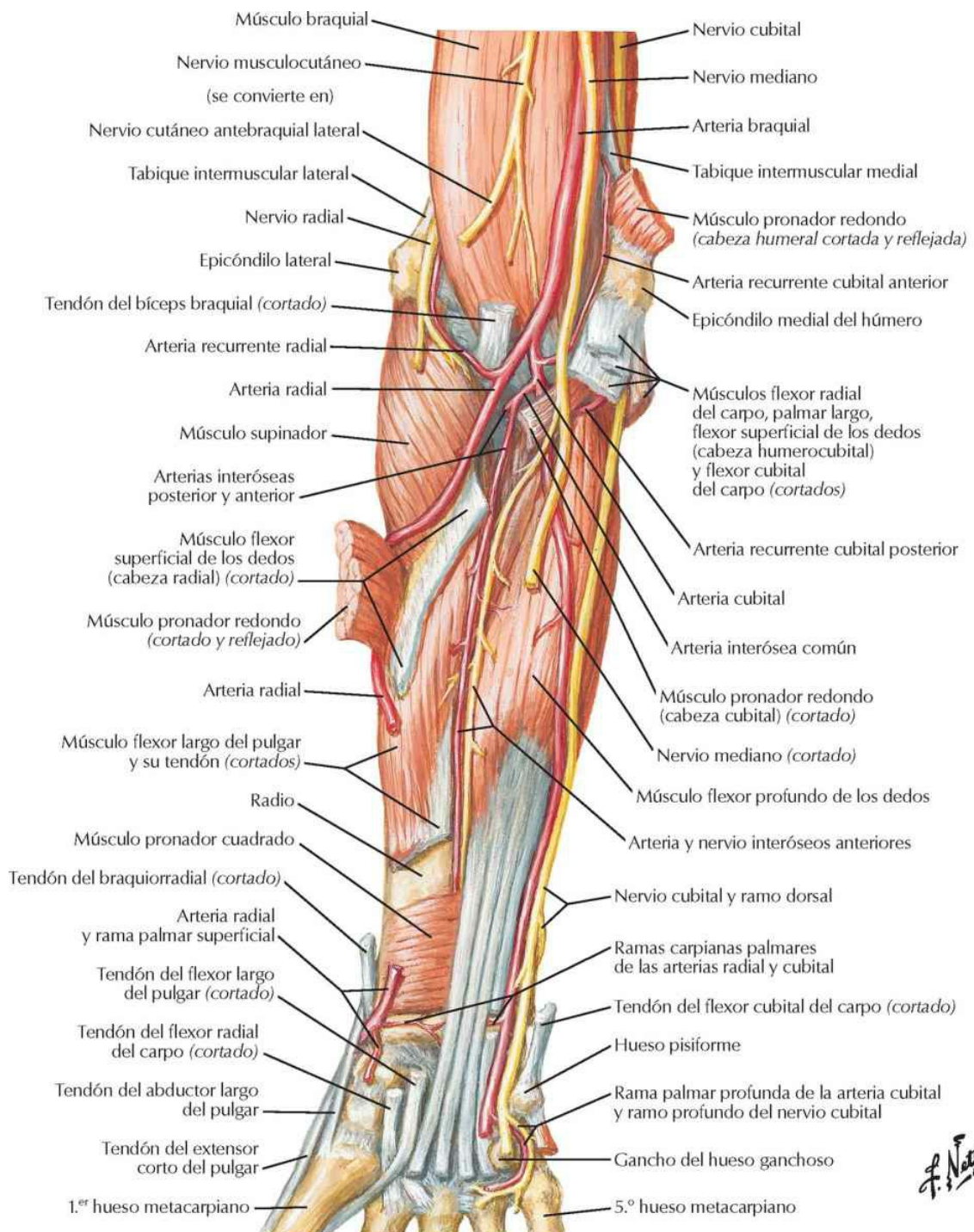
Músculos del antebrazo (plano intermedio): visión anterior

Véanse también láminas 424, 466

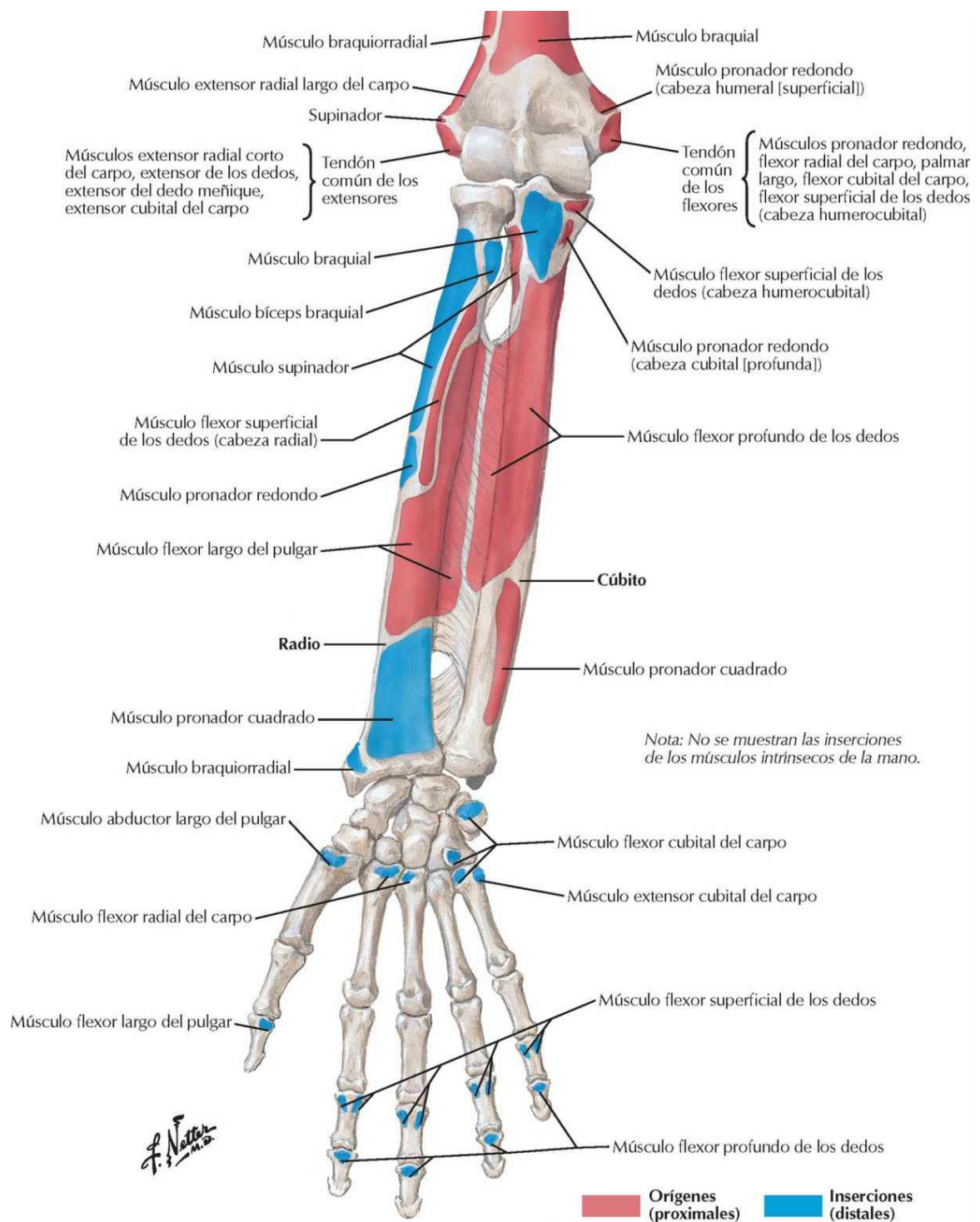


Músculos del antebrazo (plano profundo): visión anterior

Véanse también láminas 421, 467

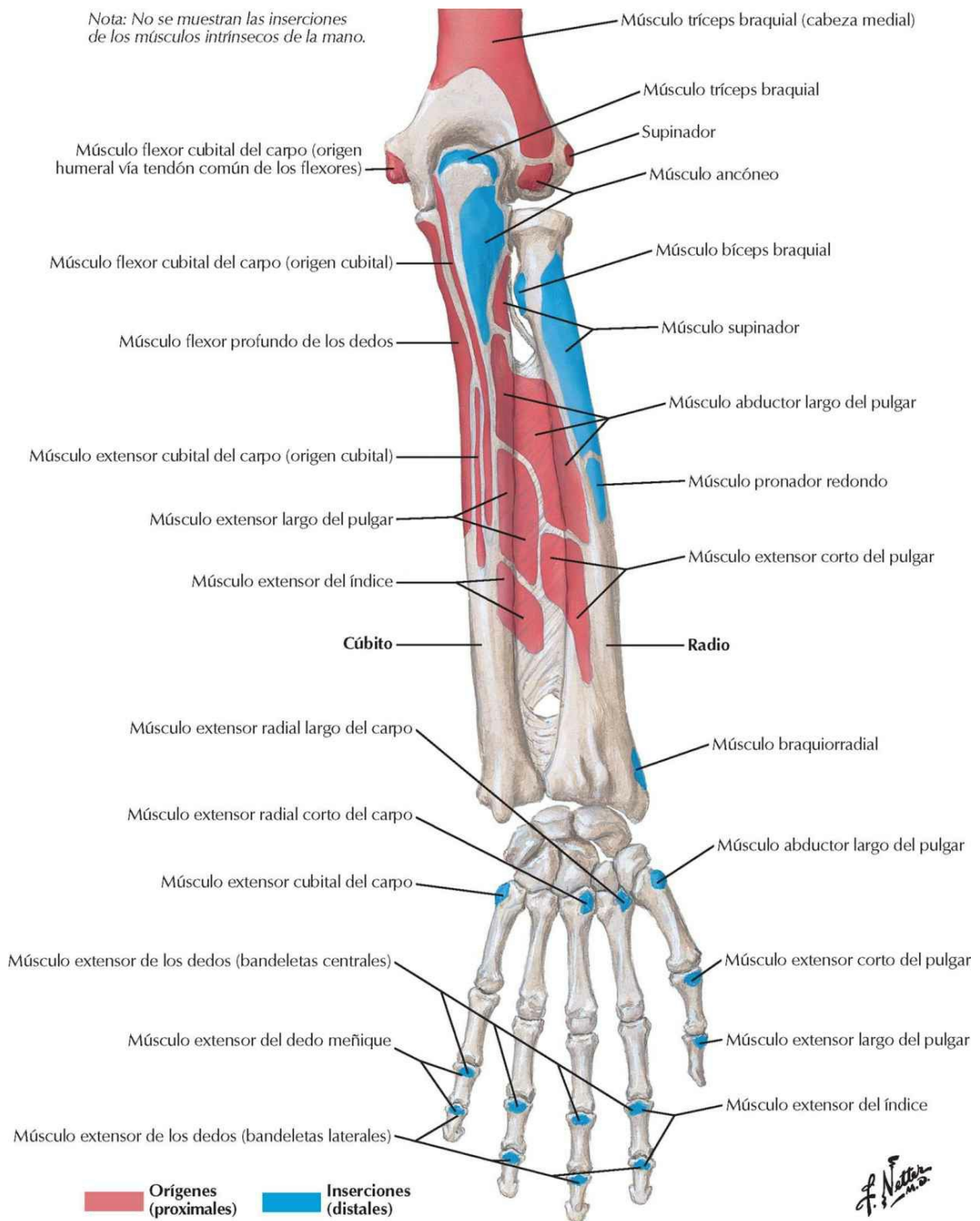


Inserciones de los músculos del antebrazo: visión anterior

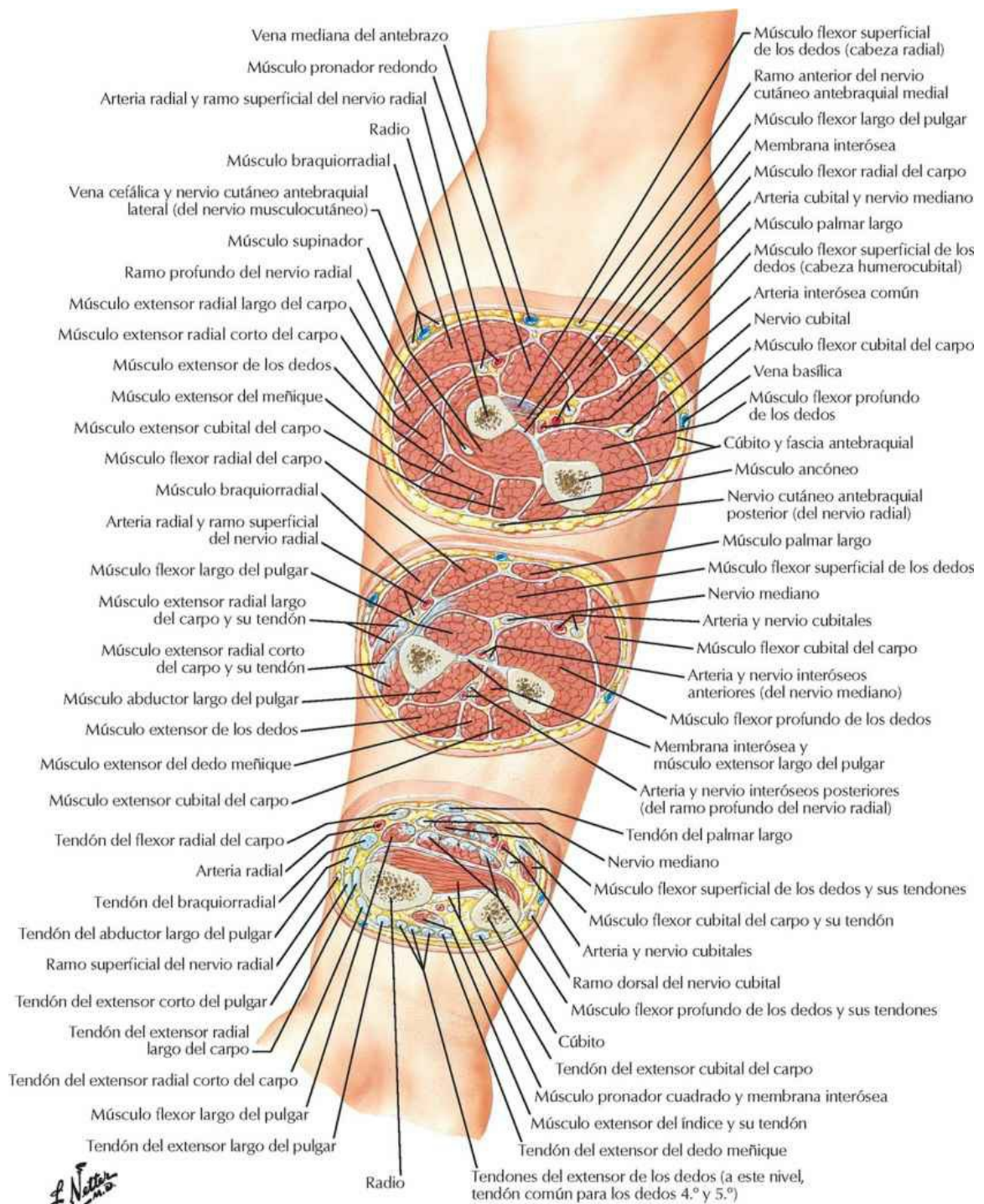


Inserciones de los músculos del antebrazo: visión posterior

Véase también lámina 431



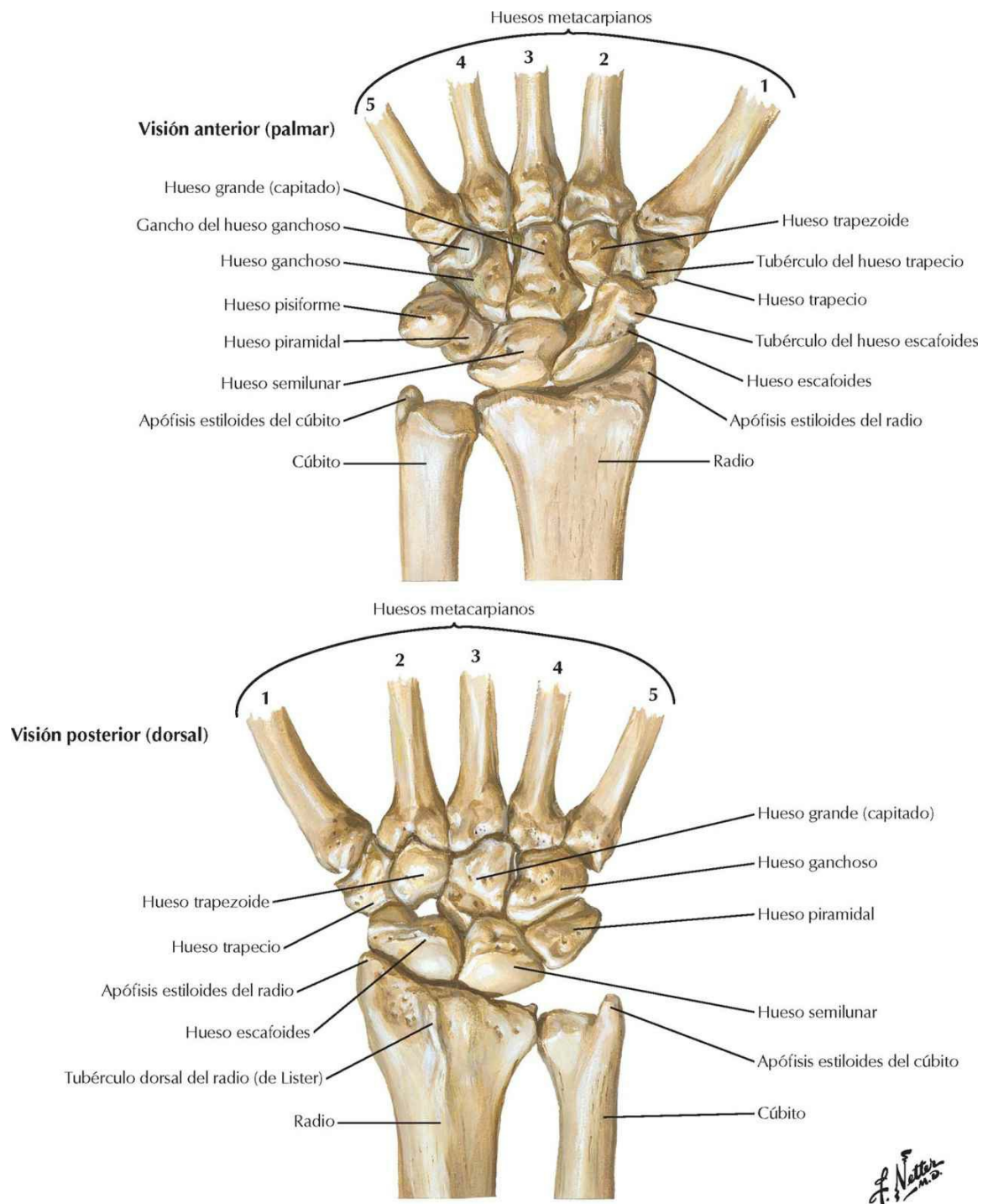
Antebrazo: secciones transversales seriadas, visión anterior



Carpo y mano

Huesos del carpo

Véase también lámina 447



Movimientos del carpo

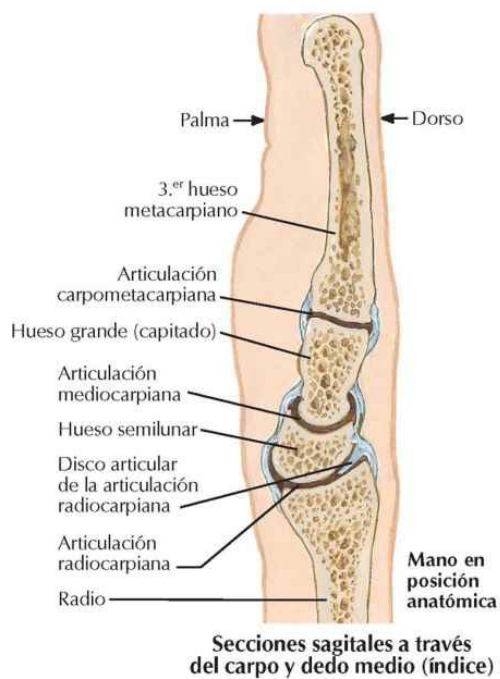
Véanse también láminas 446, 447



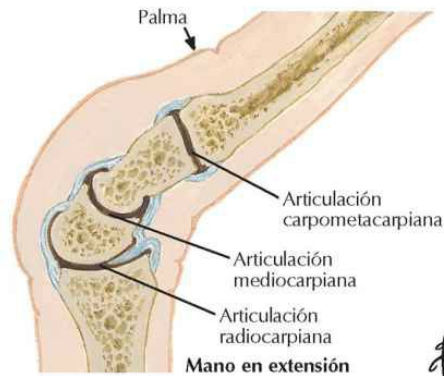
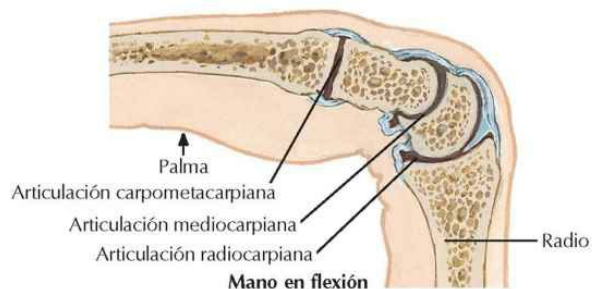
Posición de los huesos del carpo con la mano en abducción: visión anterior (palmar)



Posición de los huesos del carpo con la mano en aducción: visión anterior (palmar)

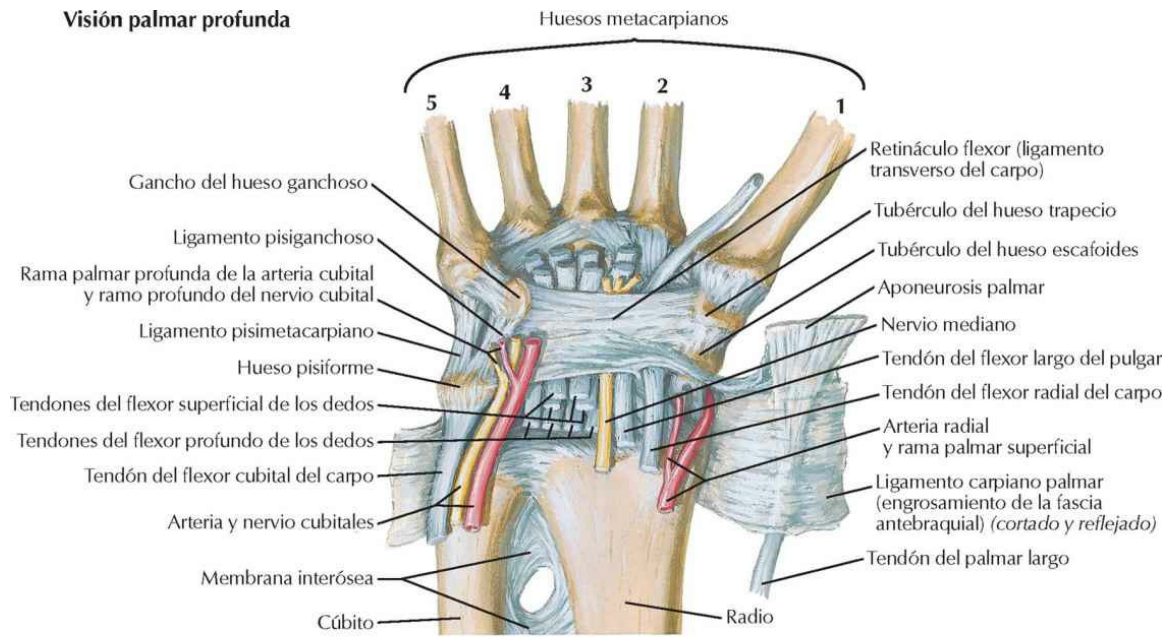


Secciones sagitales a través del carpo y dedo medio (índice)

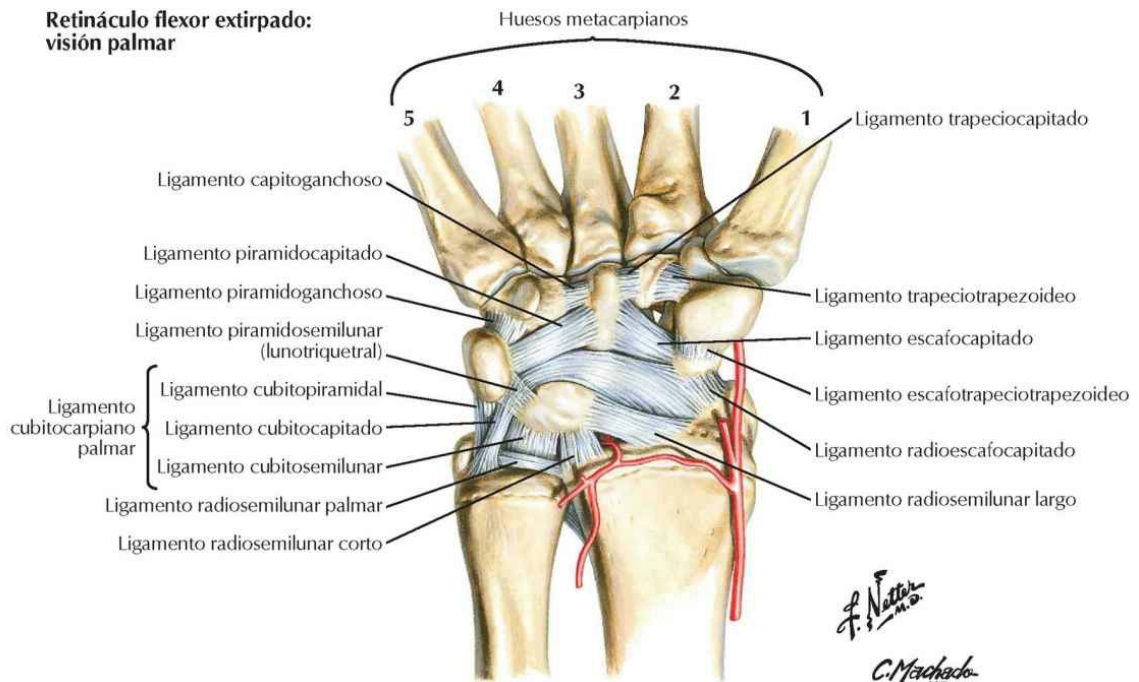


Ligamentos del carpo

Visión palmar profunda

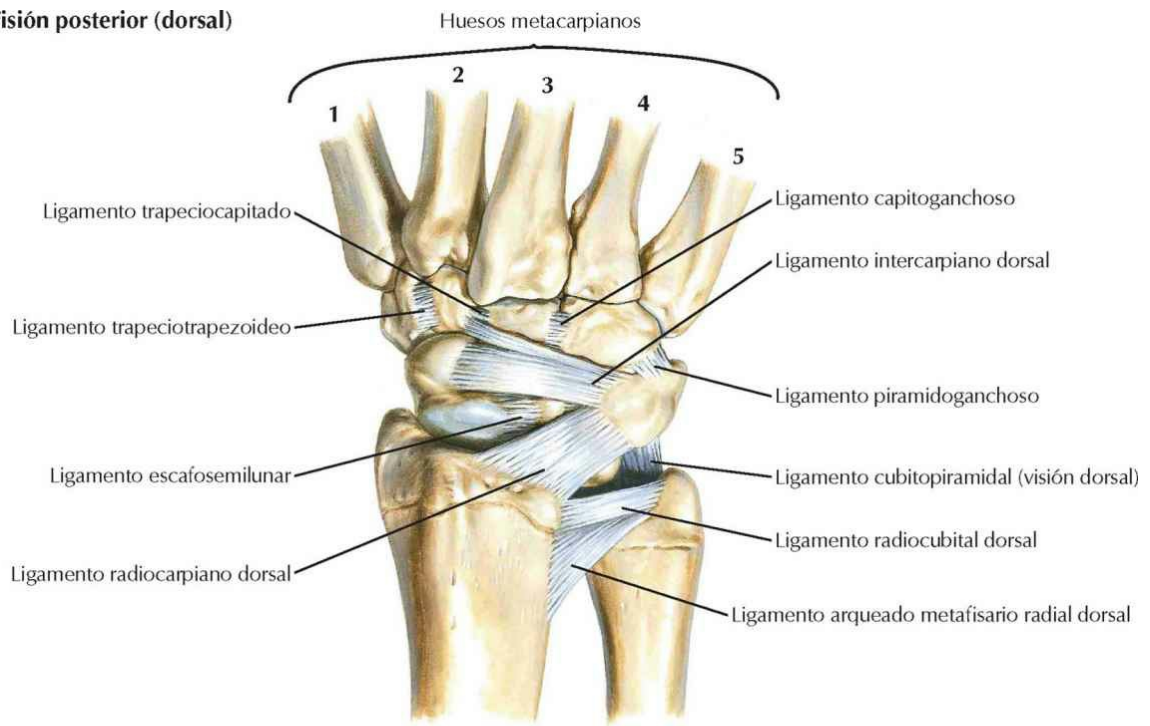


Retináculo flexor extirpado: visión palmar

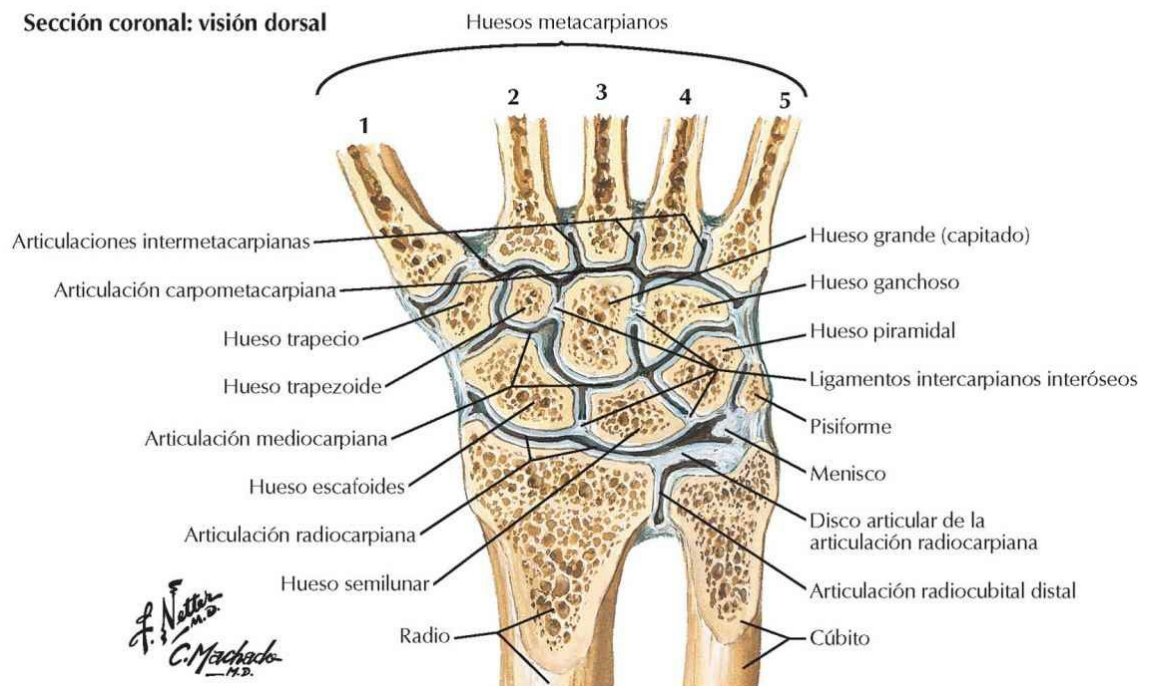


Véase también lámina 447

Visión posterior (dorsal)



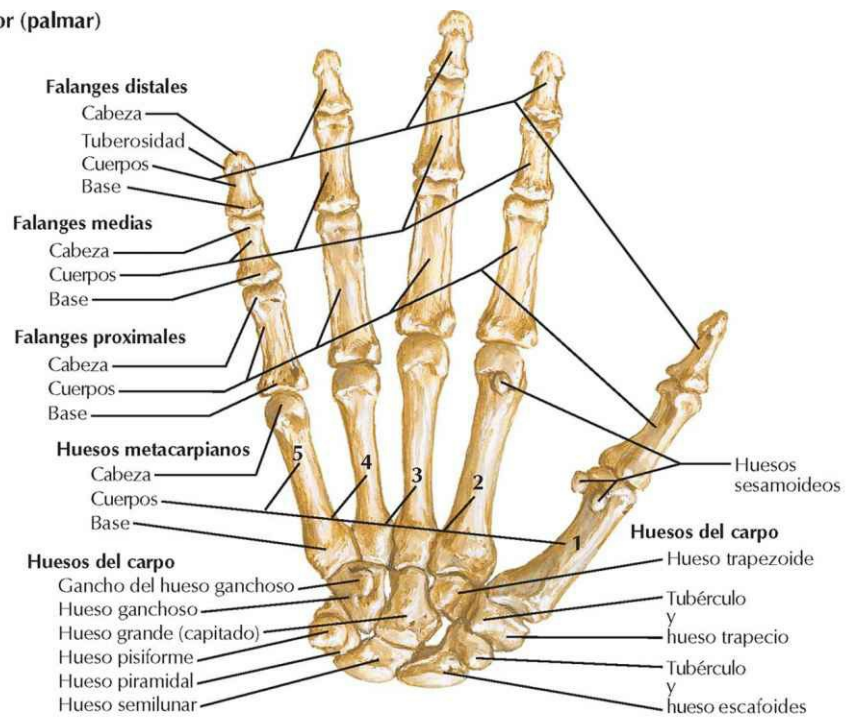
Sección coronal: visión dorsal



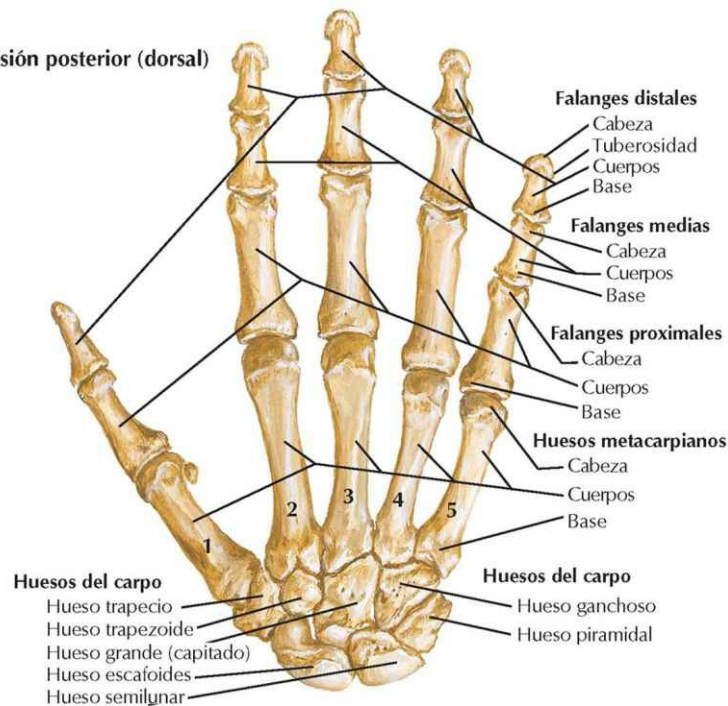
Huesos del carpo y mano

Véase también lámina 447

Mano derecha: visión anterior (palmar)



Mano derecha: visión posterior (dorsal)

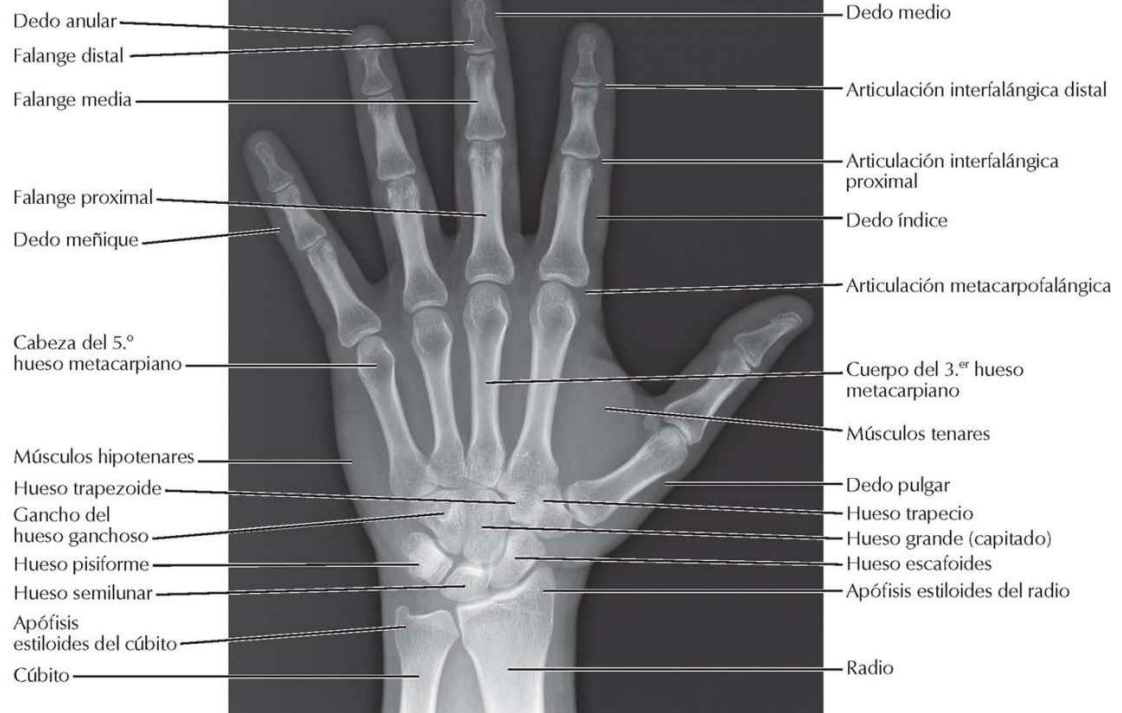


J. Natter

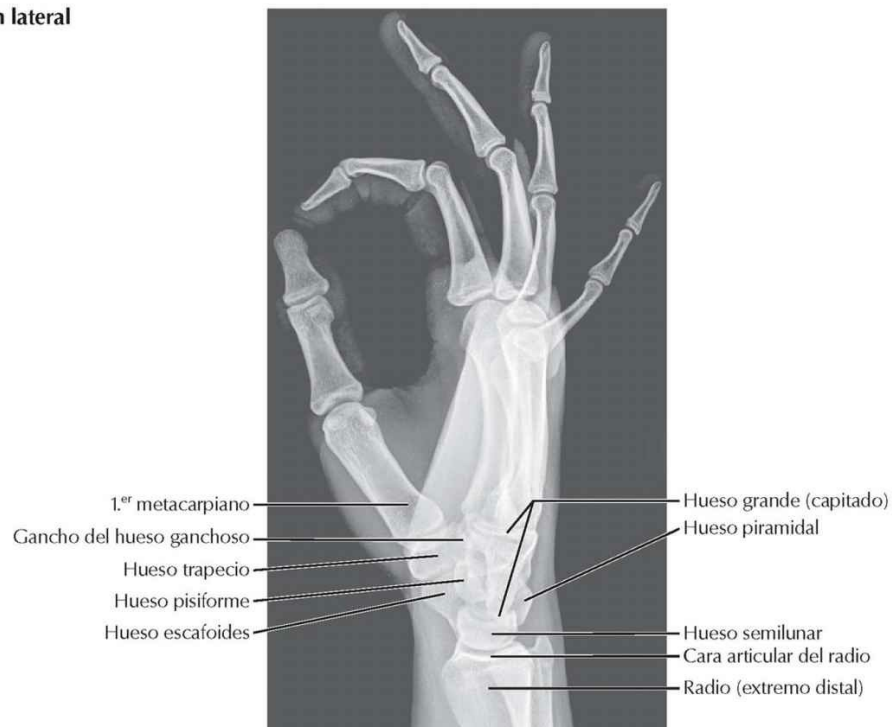
Carpo y mano: radiografías

Véase también lámina 446

Proyección anteroposterior

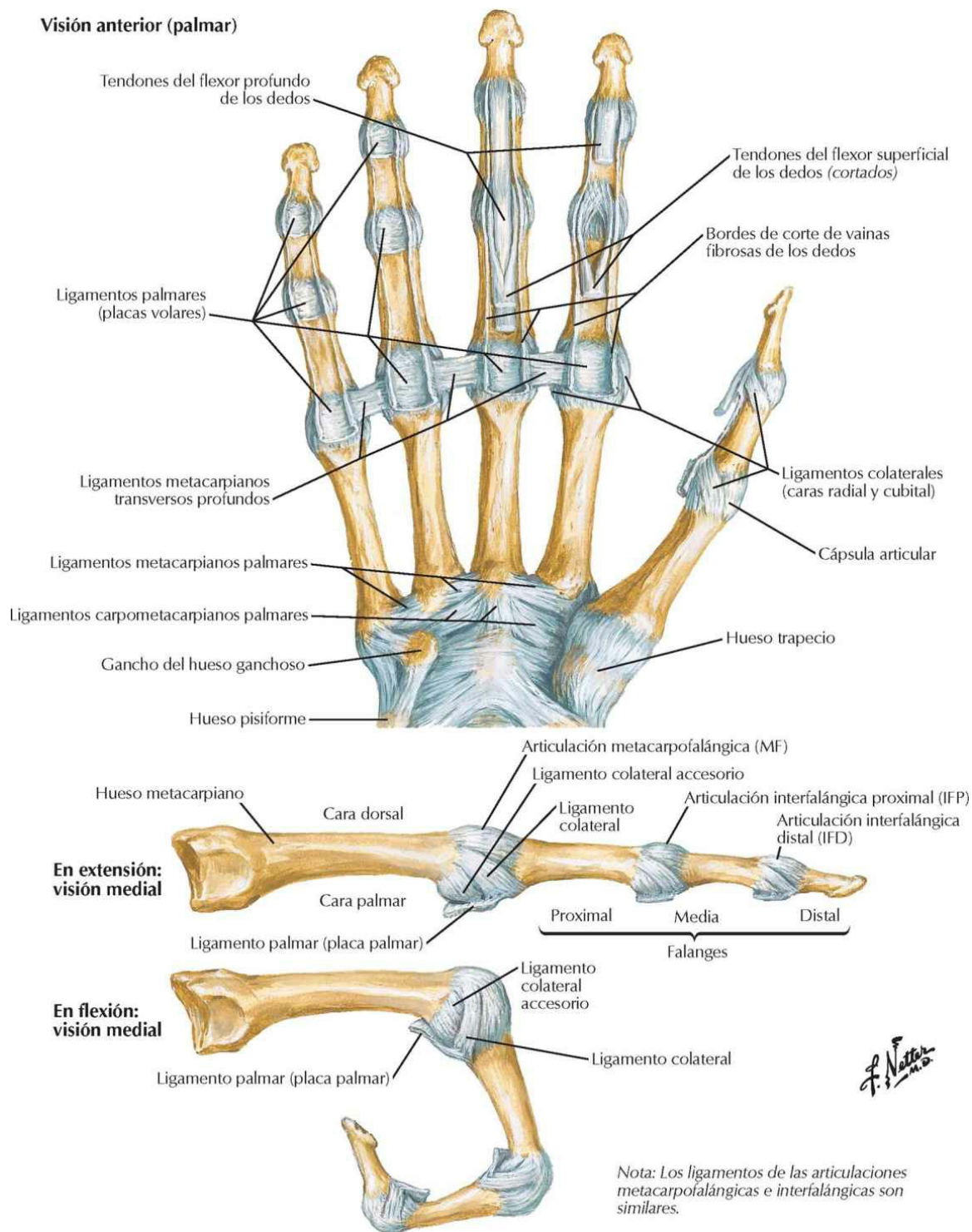


Proyección lateral



Ligamentos metacarpofalángicos e interfalángicos

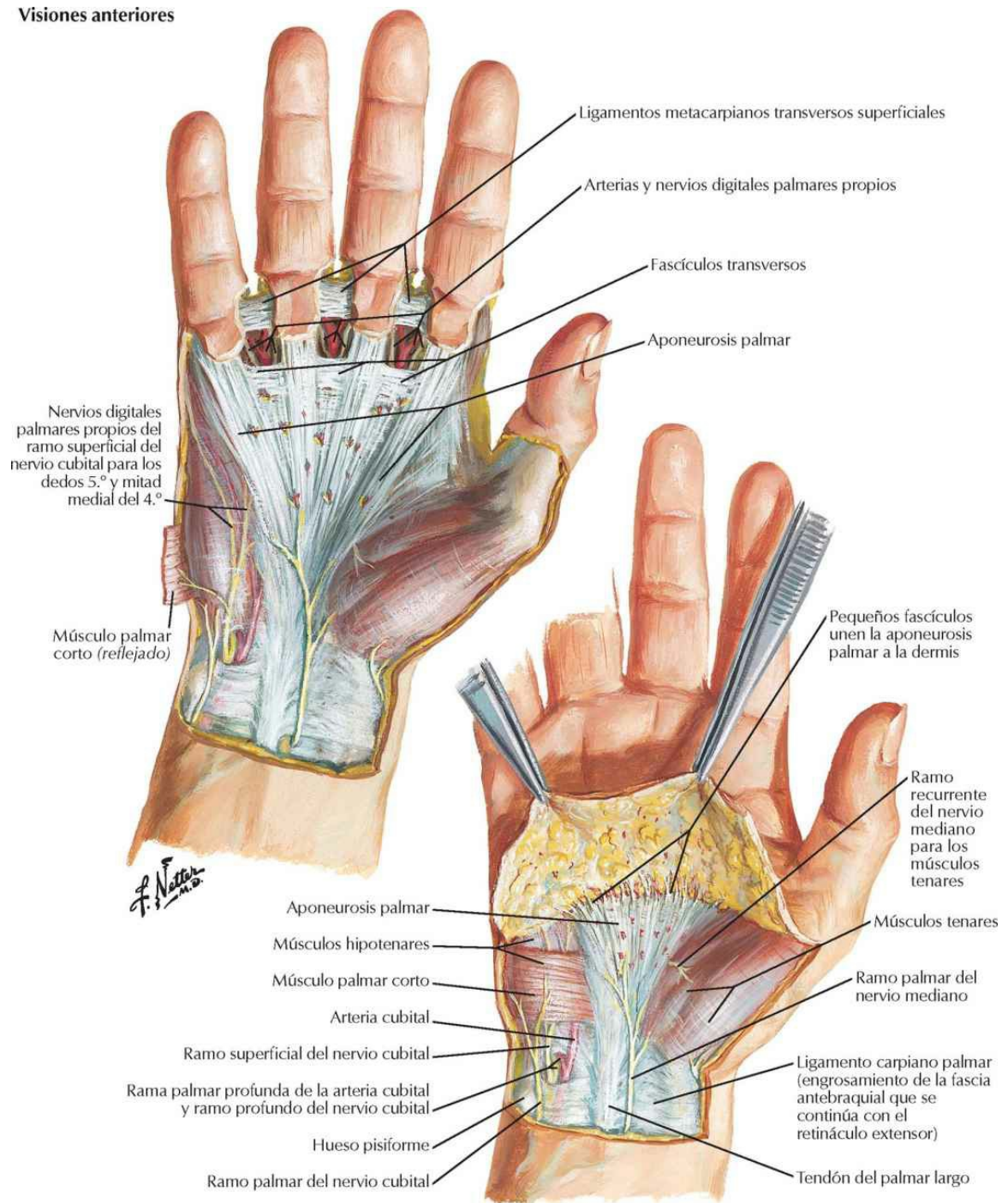
Véase también lámina 451



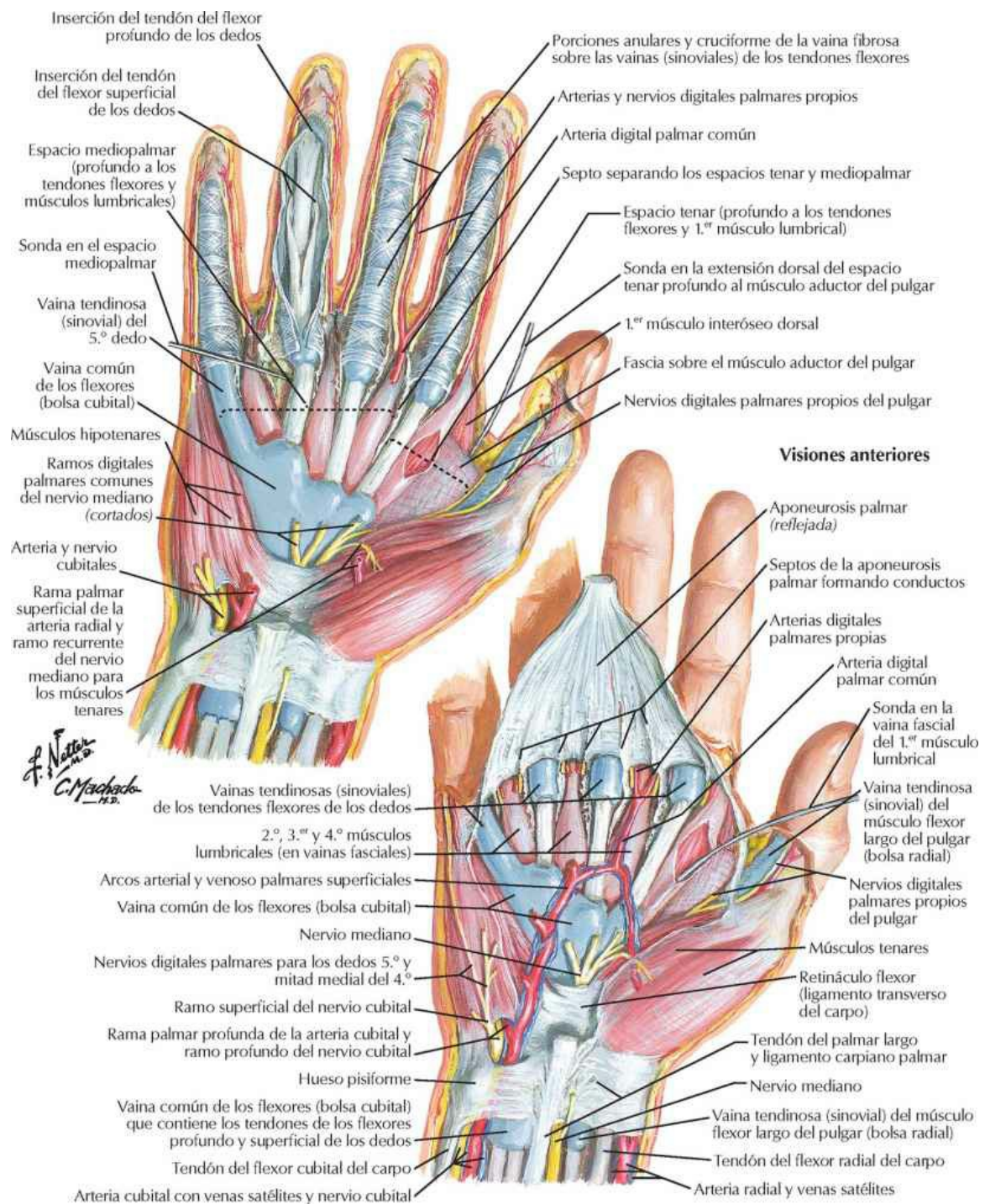
Carpo y mano: disecciones palmares superficiales

Véase también lámina 462

Visiones anteriores



Carpo y mano: disecciones palmares profundas



Músculos lumbricales y bolsas, espacios y vainas: esquema

Véase también lámina 448

Variación común

Bolsa intermedia
(comunicación entre
la vaina común de los
flexores [bolsa cubital] y
vainas tendinosas del
flexor largo del pulgar
[bolsa radial])

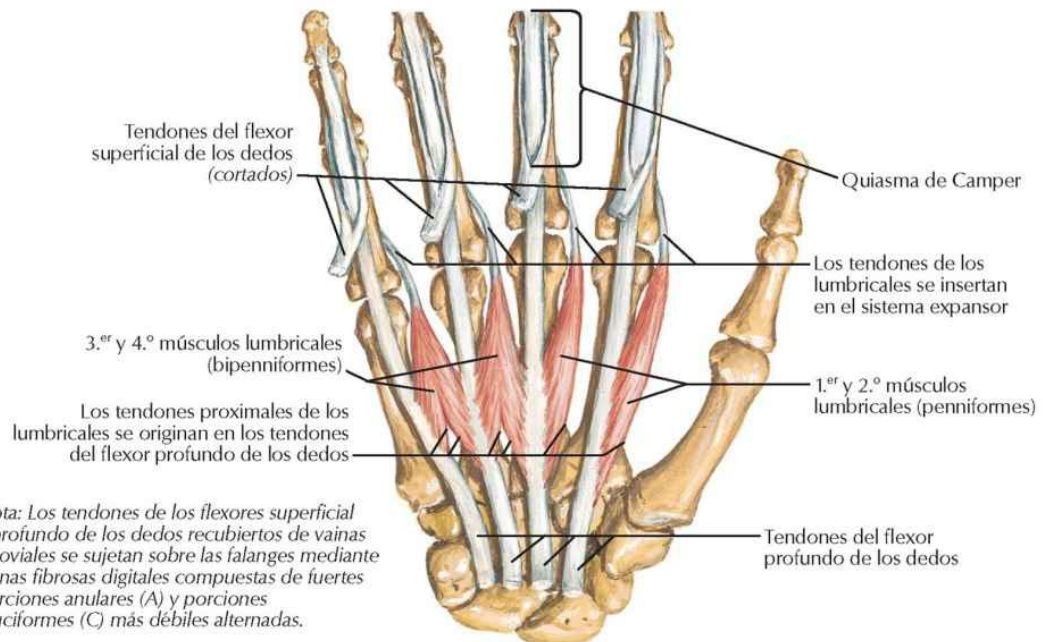


Disposición usual

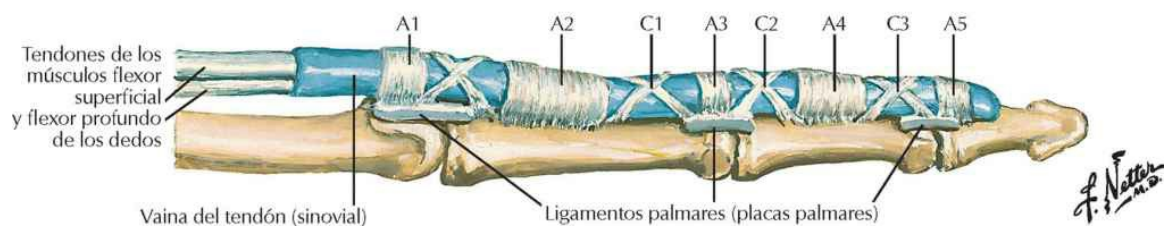
Vainas tendinosas
(sinoviales) de los dedos
Músculos lumbricales
(en vainas fasciales)
Espacio mediopalmar
Espacio tenar
Vaina común
de los flexores
Vaina tendinosa (sinovial) del
músculo flexor largo del pulgar



Músculos lumbricales: esquema

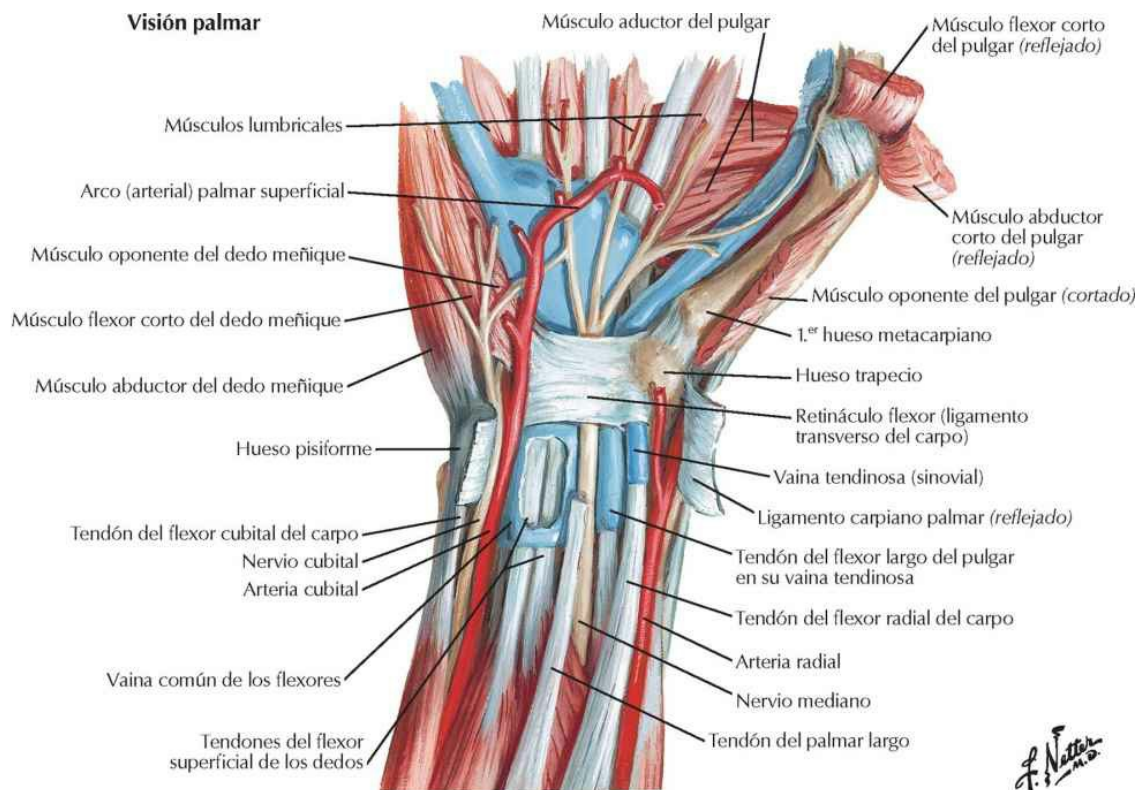


Nota: Los tendones de los flexores superficial y profundo de los dedos recubiertos de vainas sinoviales se sujetan sobre las falanges mediante vainas fibrosas digitales compuestas de fuertes porciones anulares (A) y porciones cruciformes (C) más débiles alternadas.

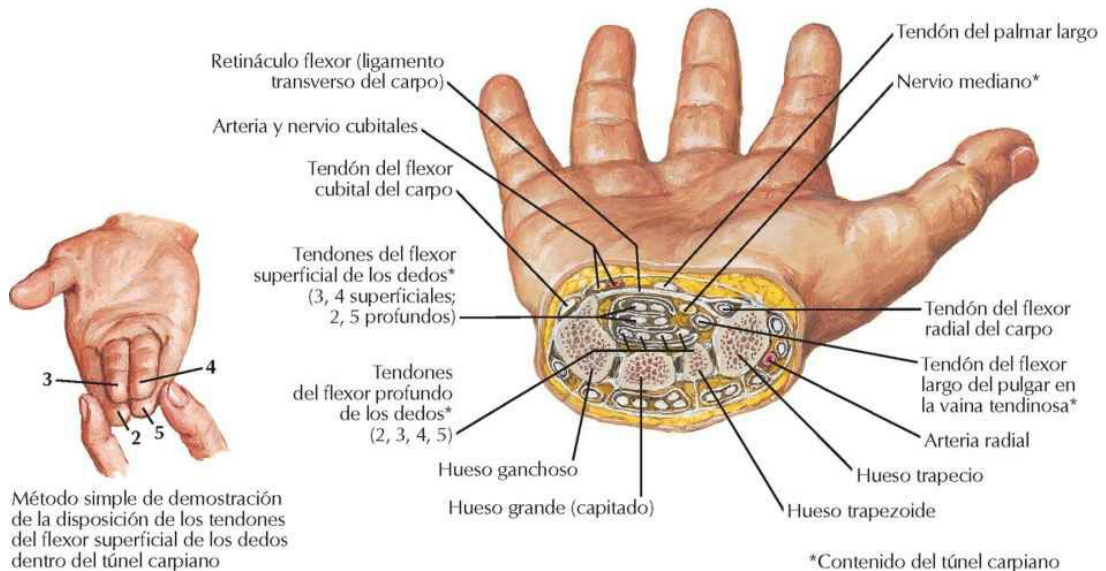


Tendones flexores, arterias y nervios en el carpo

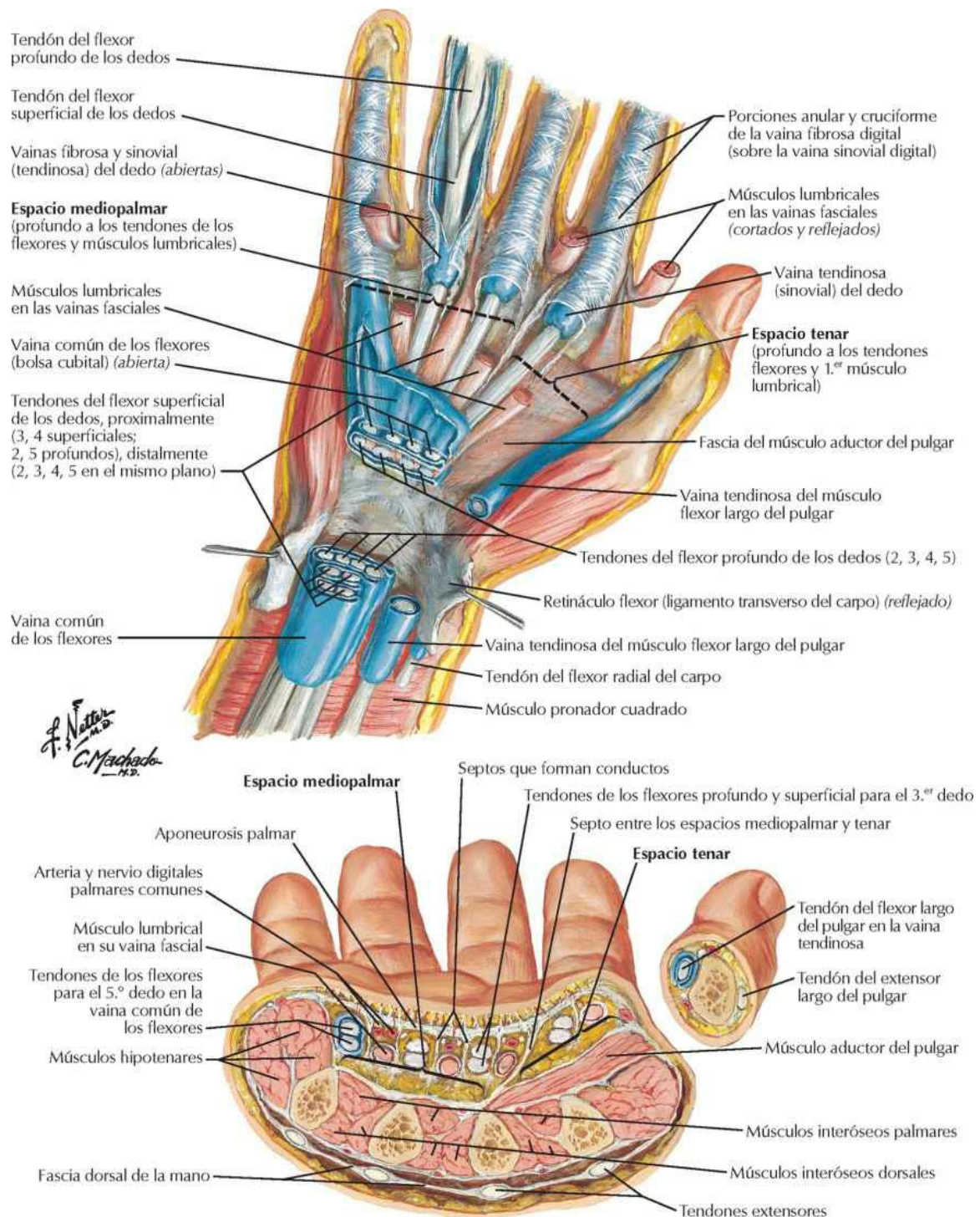
Véanse también láminas 462, 463



Sección transversal del carpo que muestra el túnel carpiano

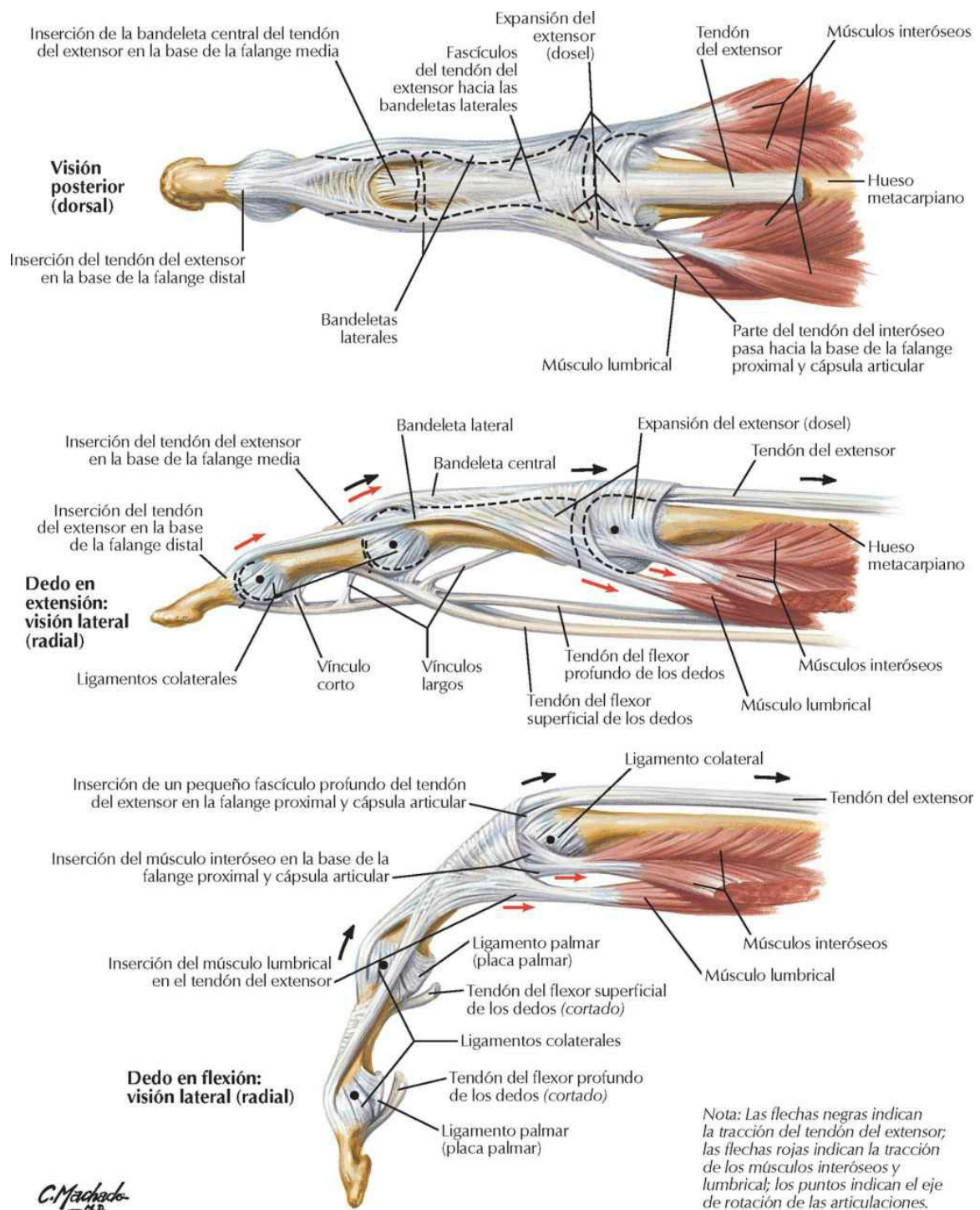


Bolsas, espacios y vainas tendinosas de la mano

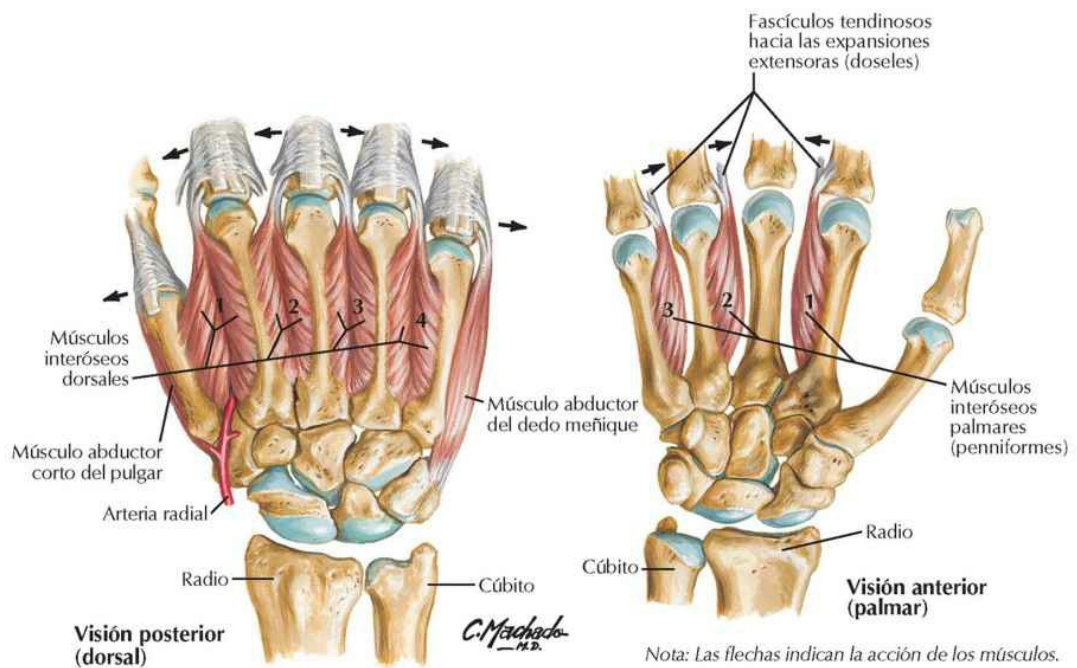
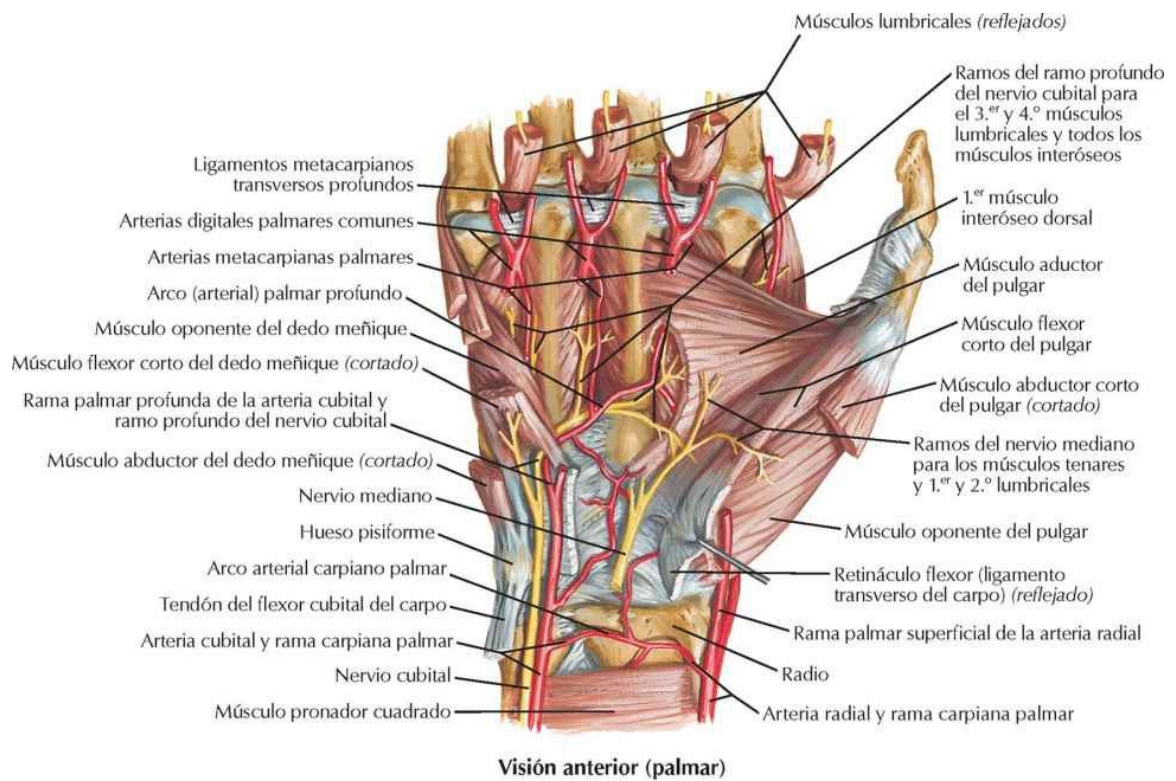


Tendones flexores y extensores en los dedos

Véase también lámina 455

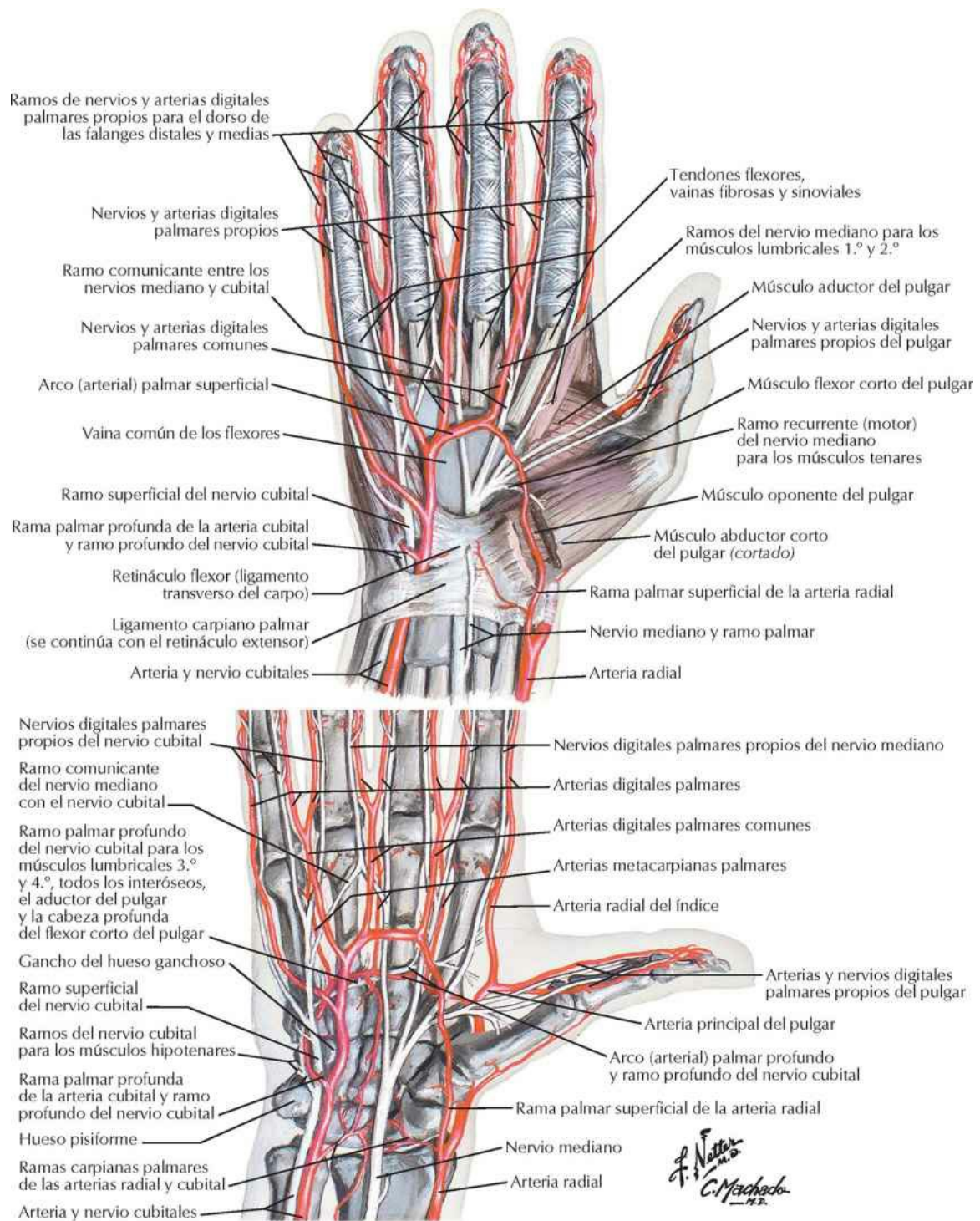


Músculos intrínsecos de la mano



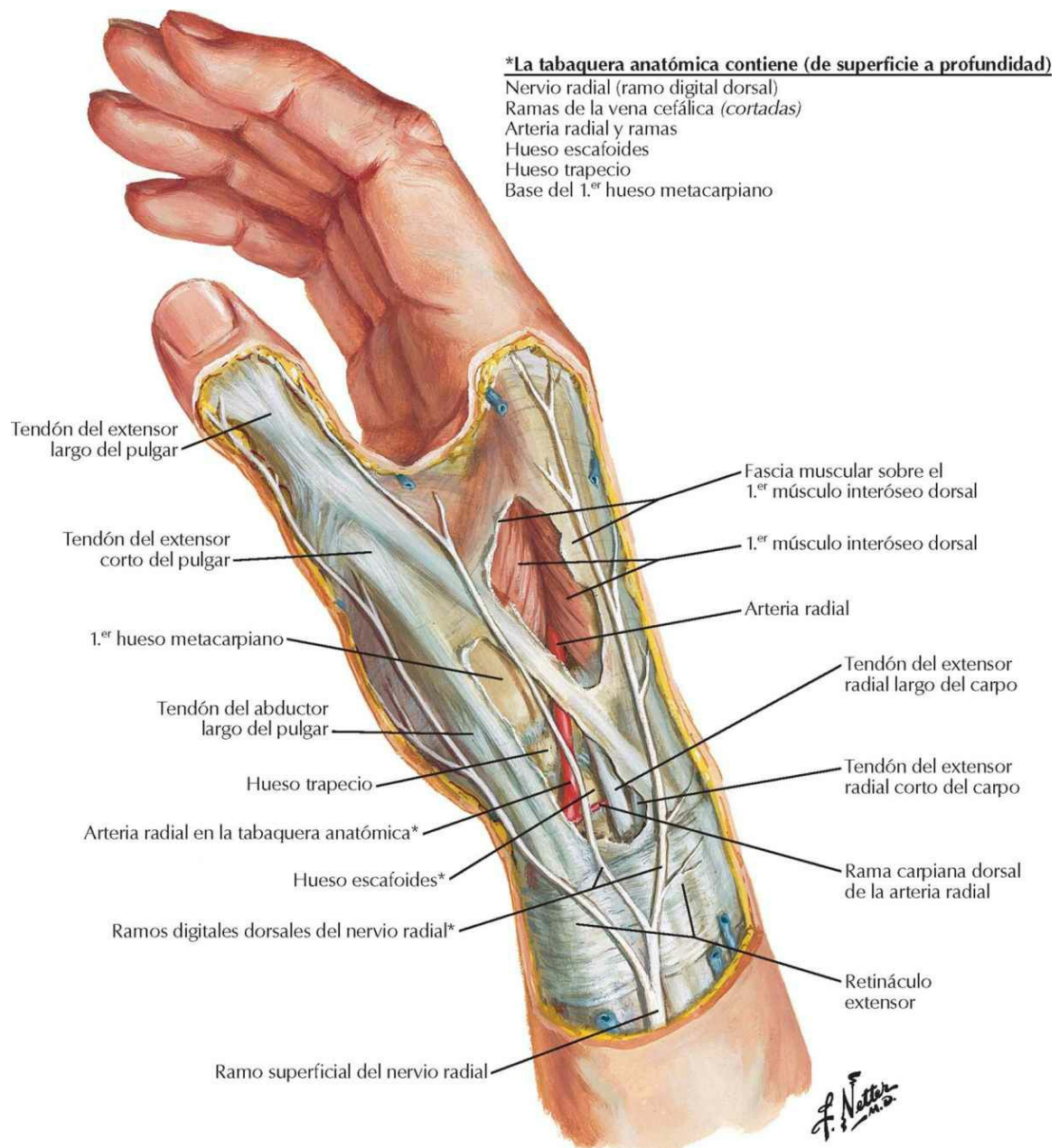
Arterias y nervios de la mano: visiones palmares

Véase también lámina 424



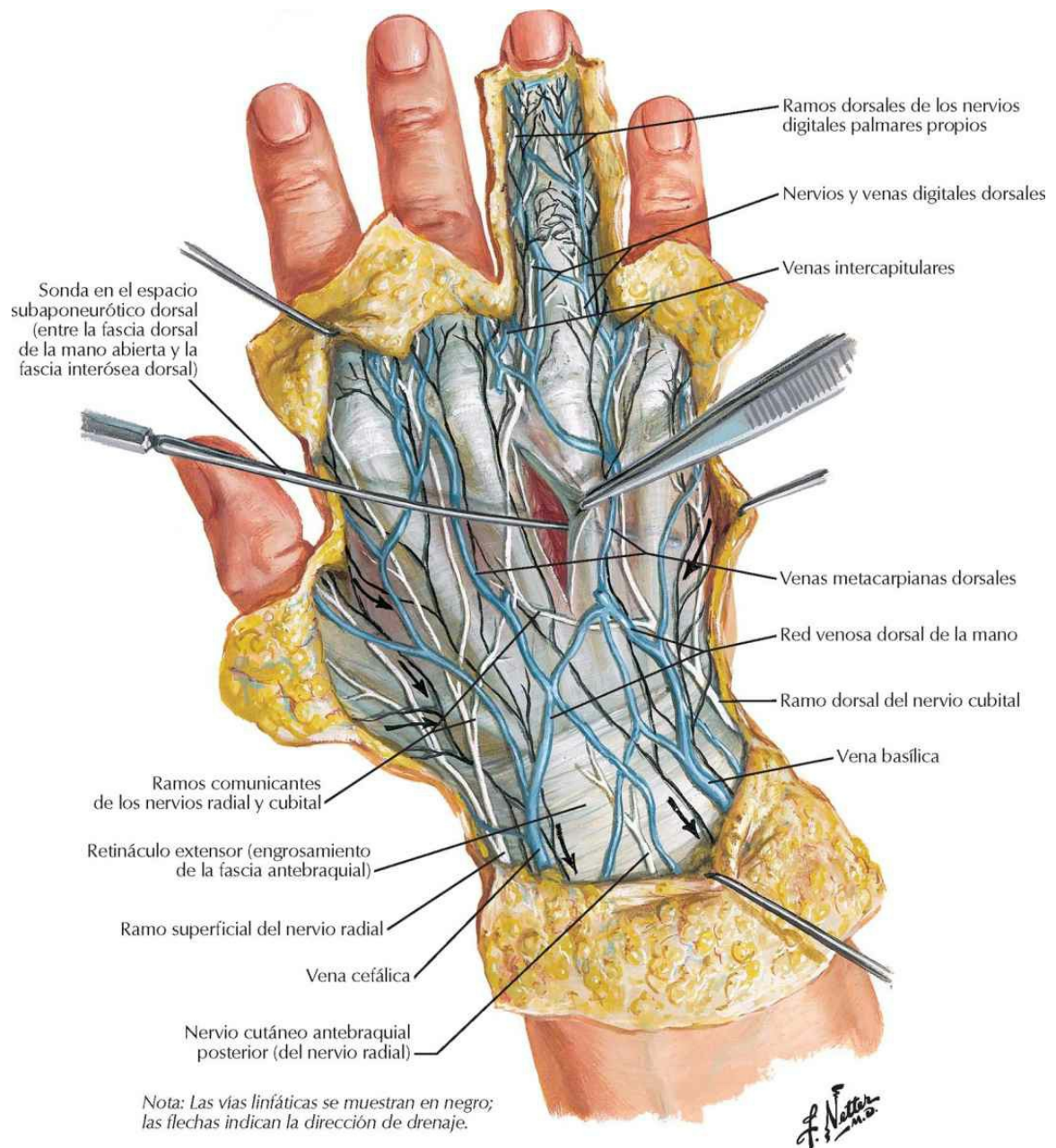
Carpo y mano: disección superficial

Véase también lámina 469



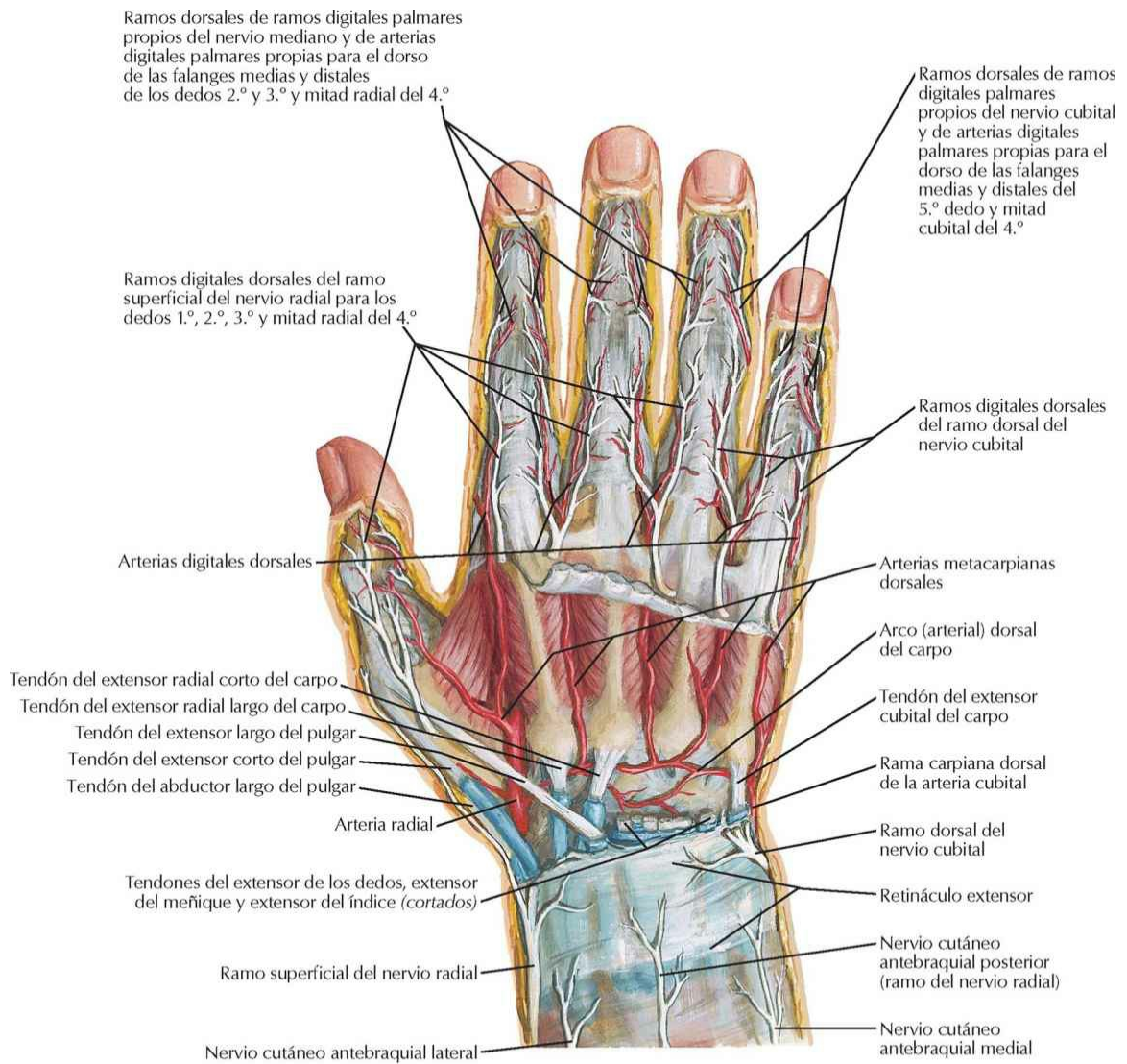
Carpo y mano: disección dorsal superficial

Véase también lámina 406



Nervios y arterias del dorso de la mano y carpo

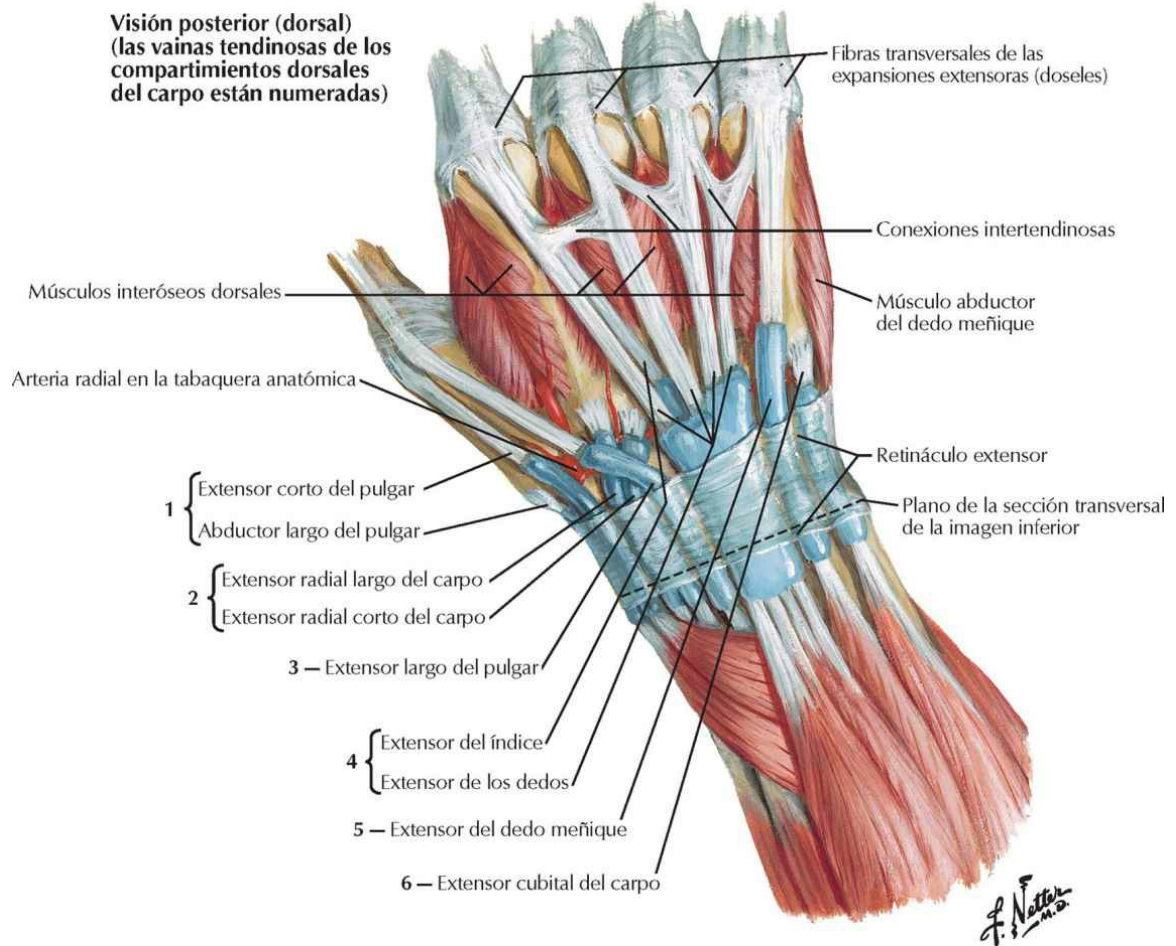
Véase también lámina 460



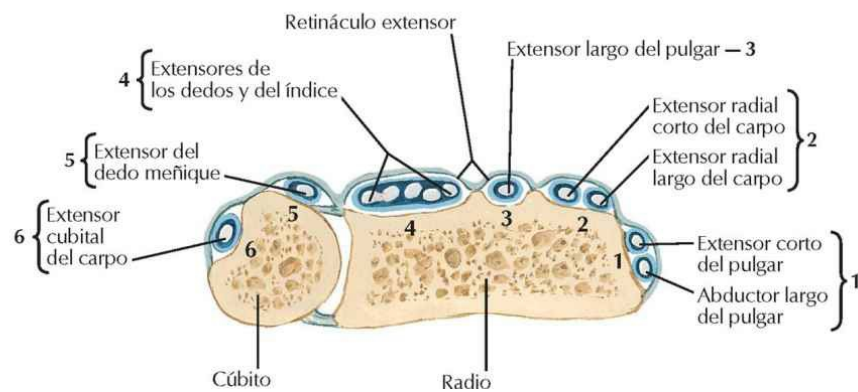
F. Netter M.D.

Tendones de los extensores en el carpo

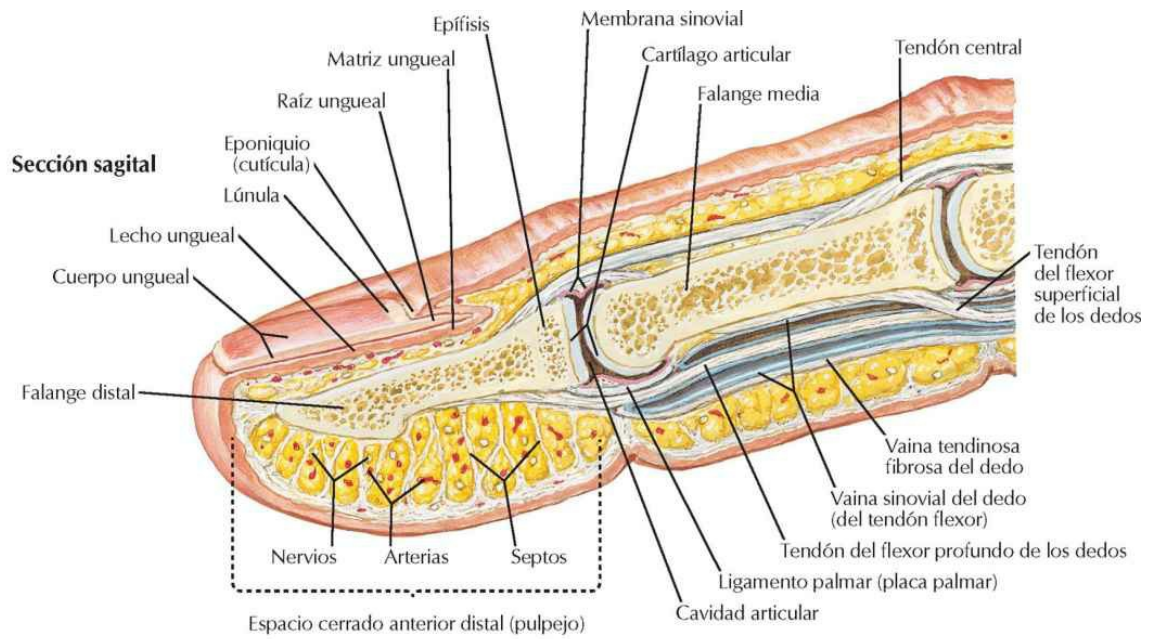
Véanse también láminas 434, 435



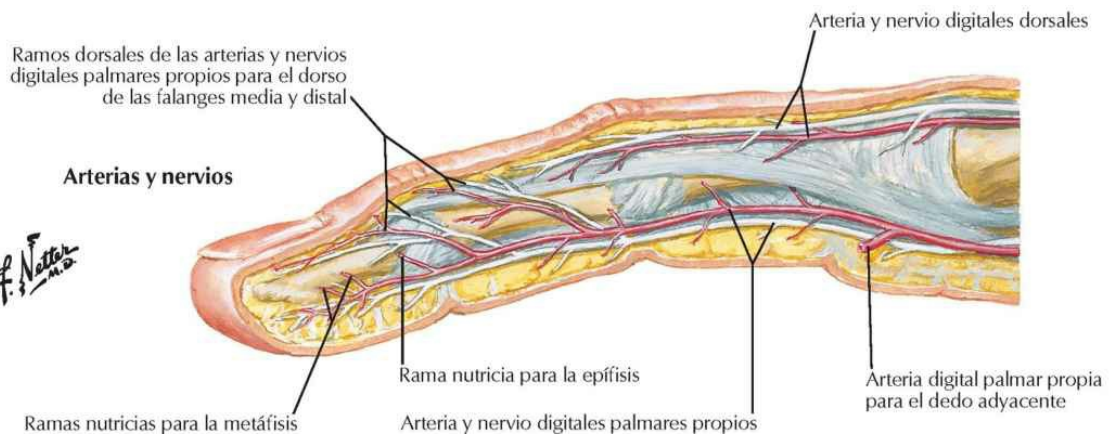
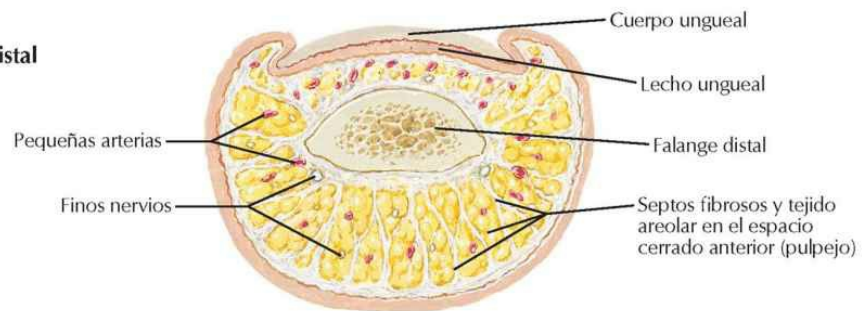
Sección transversal de la porción más distal del antebrazo



Dedos



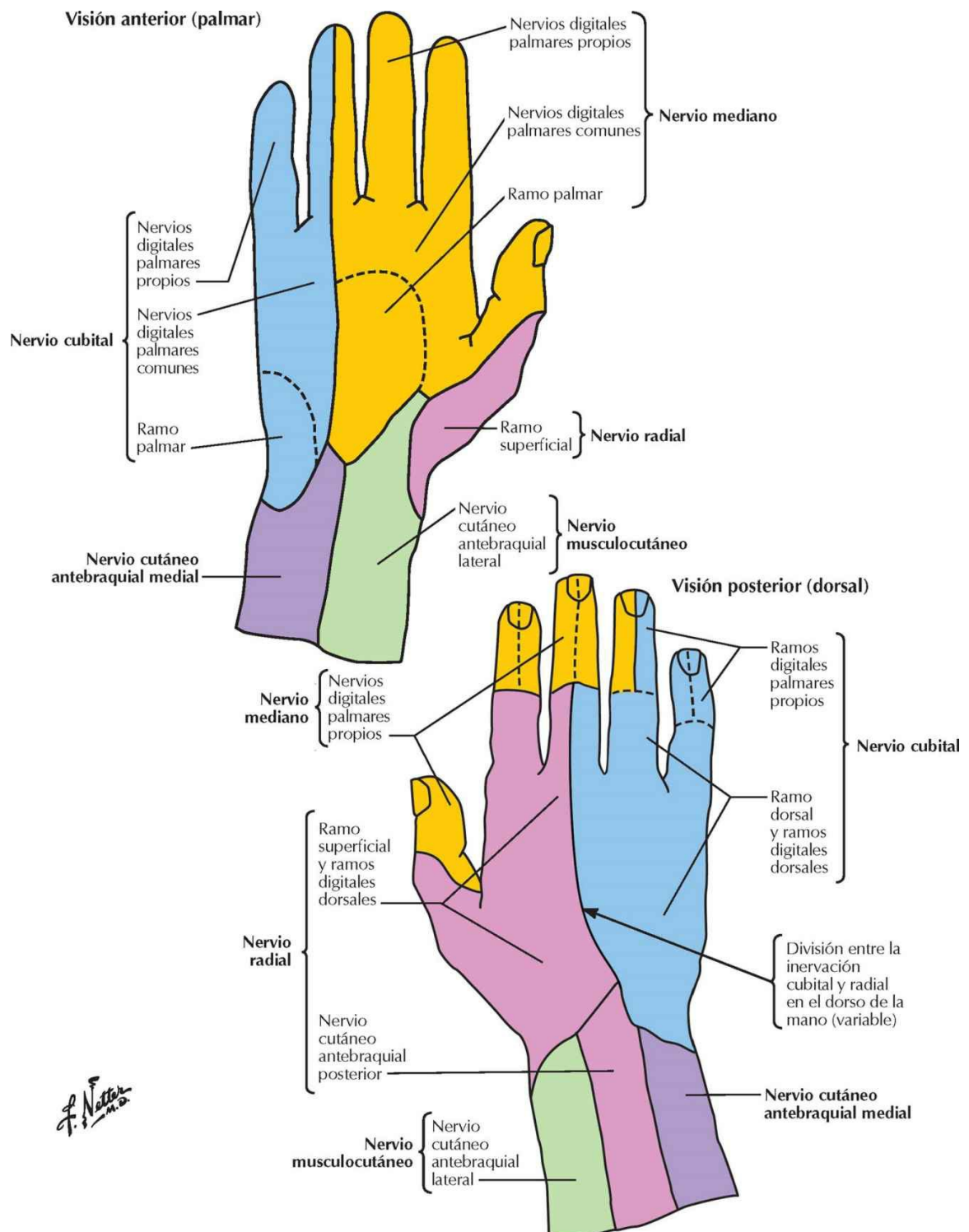
Sección transversal a través de la falange distal



Inervación y vasculatura

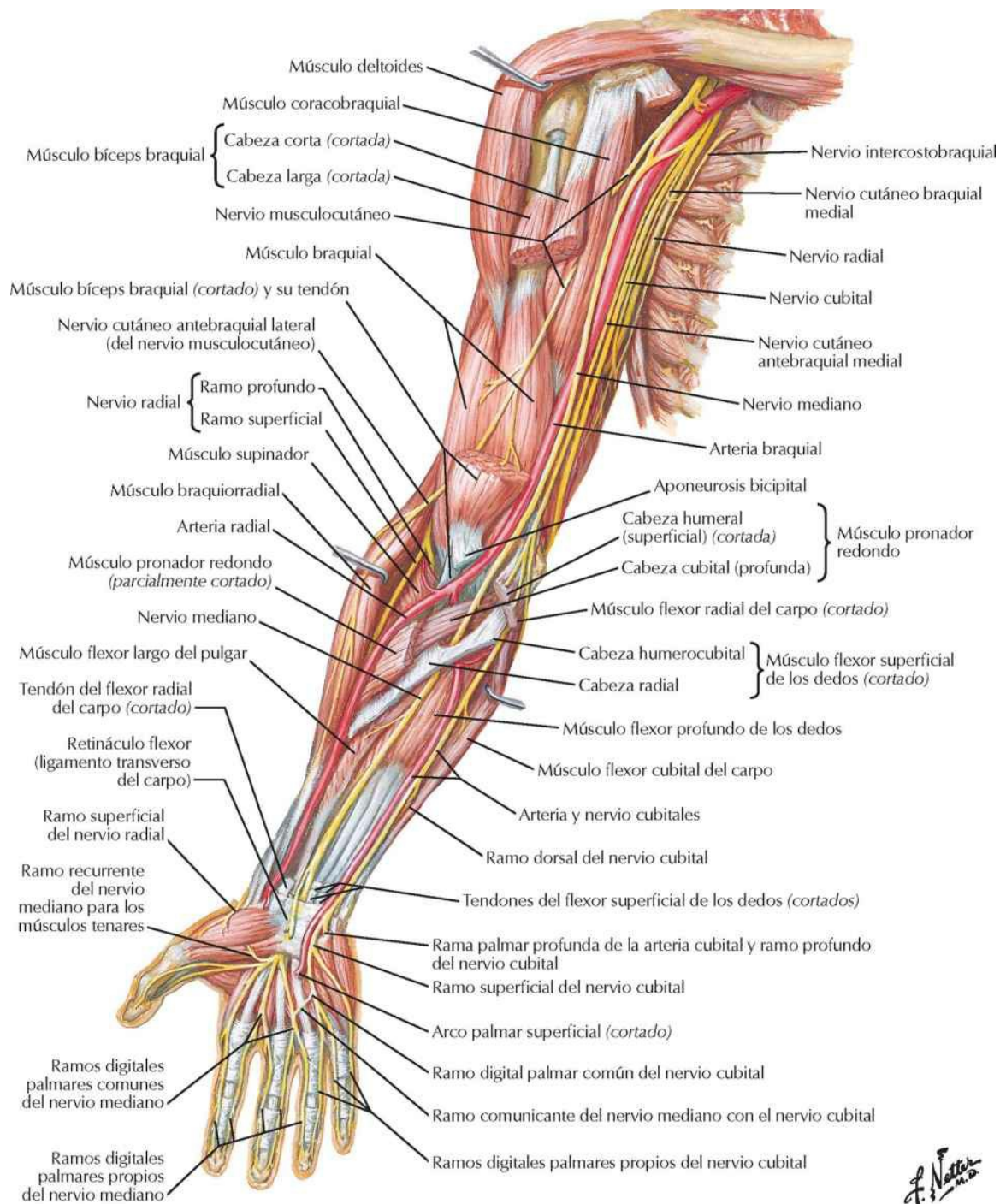
Inervación cutánea del carpo y mano

Véanse también láminas 404, 452



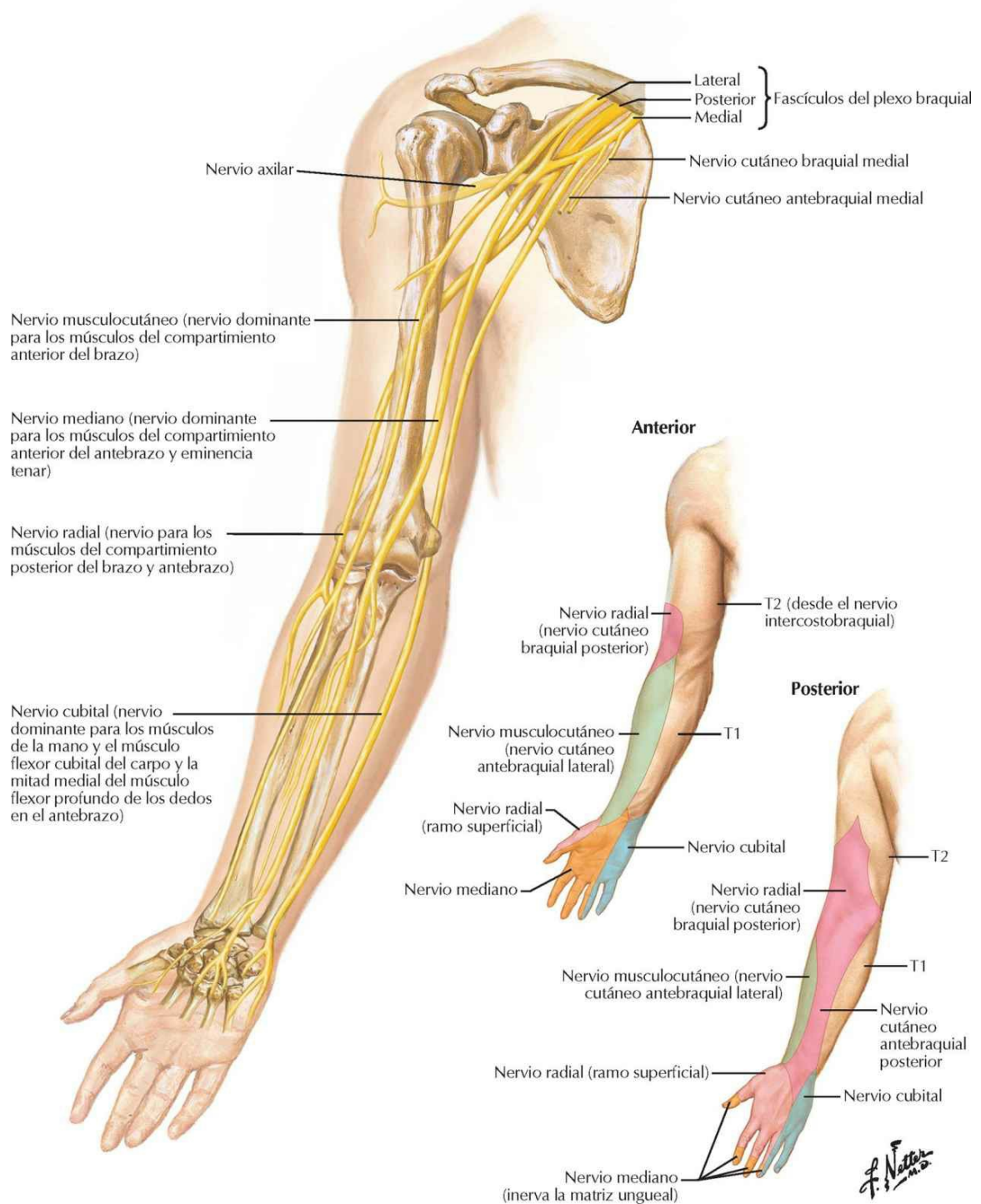
Arterias y nervios del miembro superior: visión anterior

Véanse también láminas 423, 438



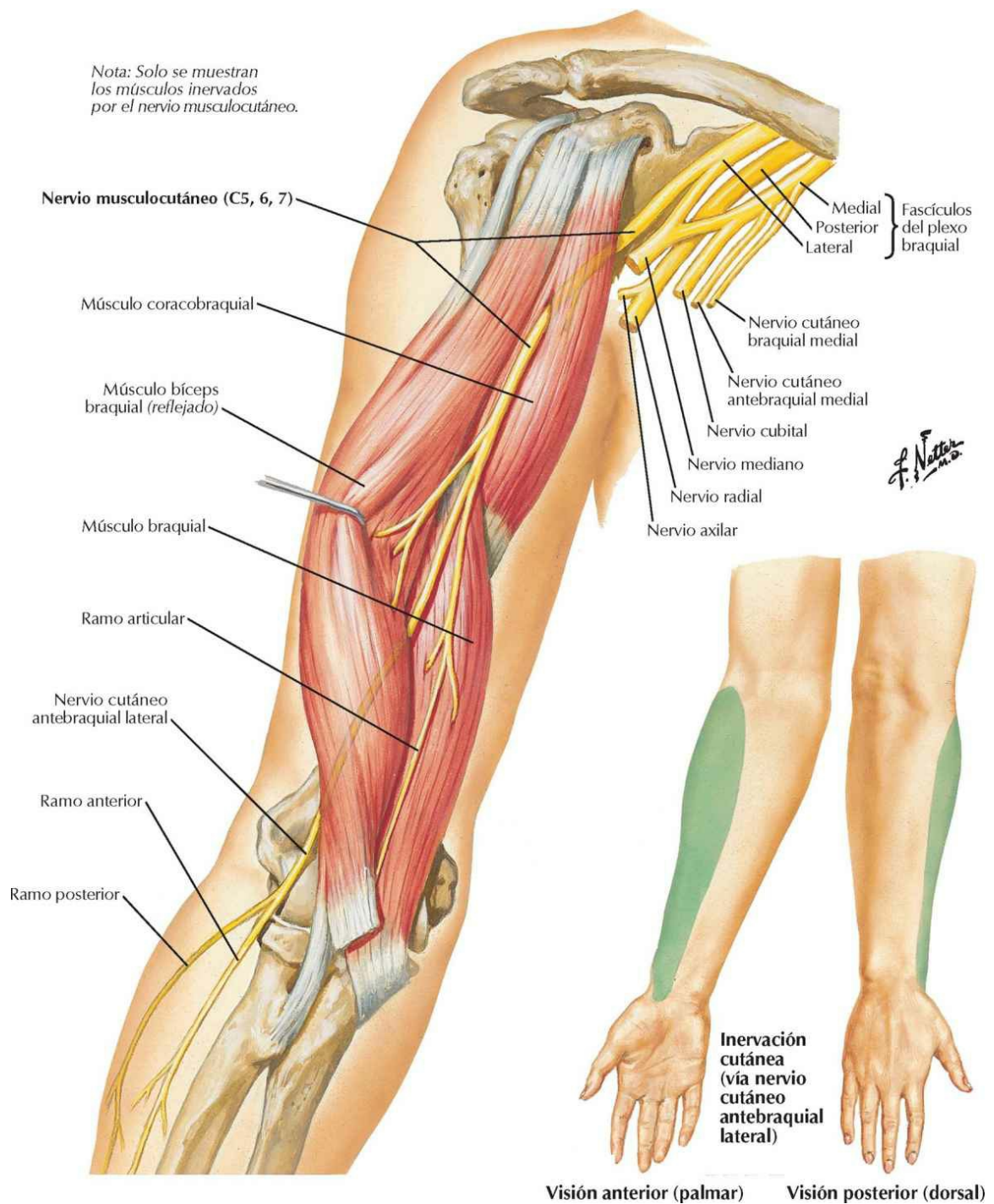
Nervios del miembro superior

Véanse también láminas 404, 414, 420



Nervio musculocutáneo: visión anterior

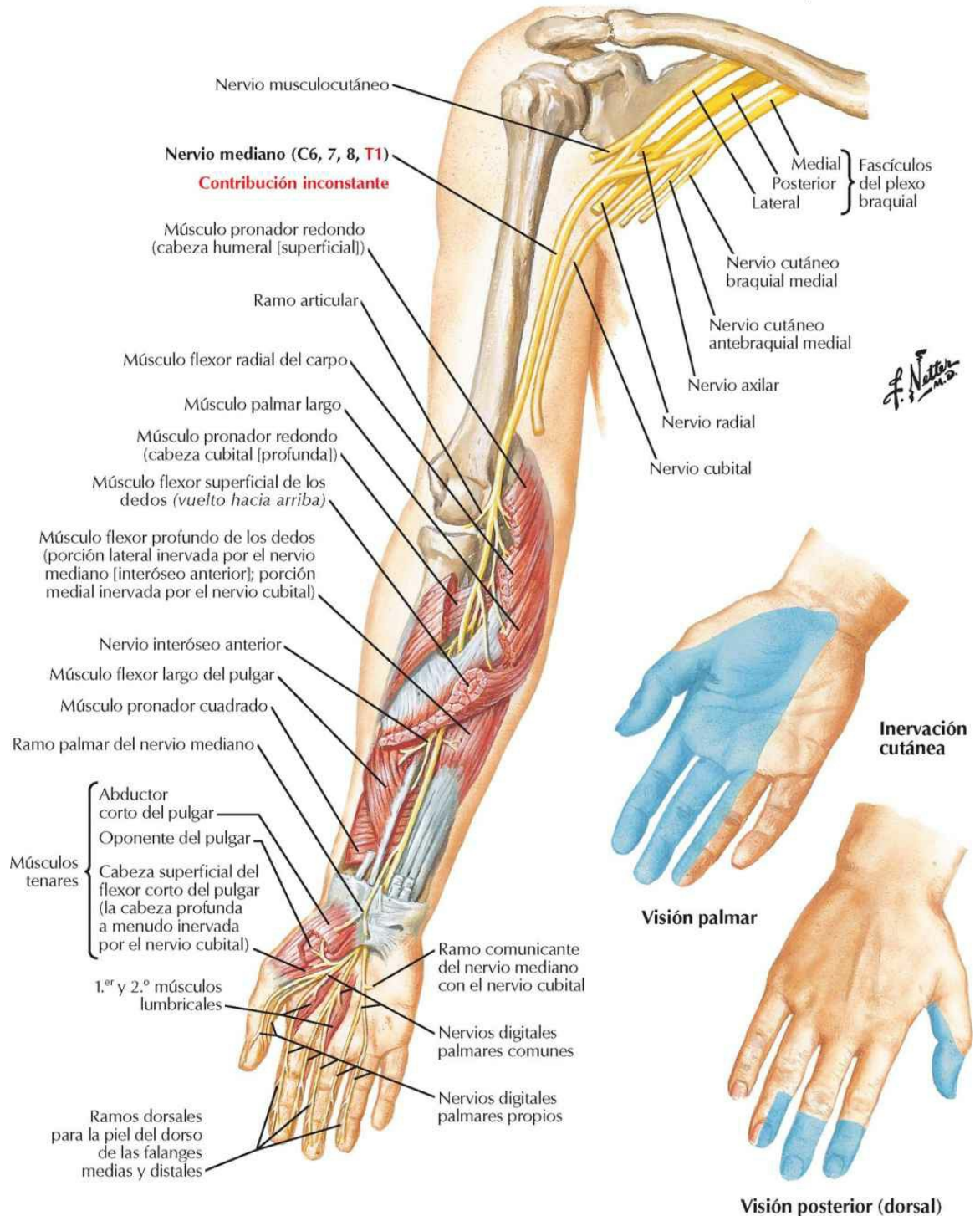
Véase también lámina 421



Nervio mediano

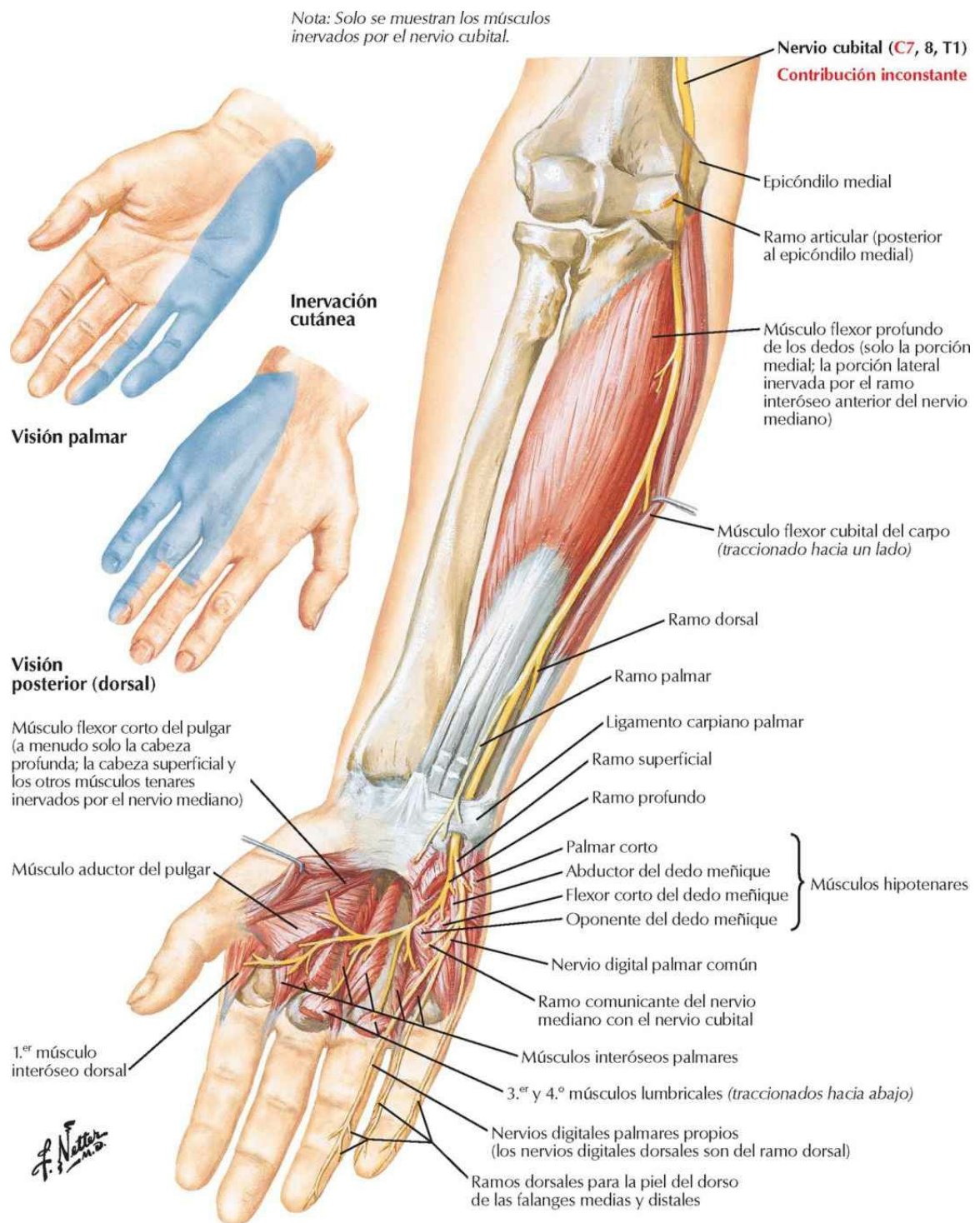
Véanse también láminas 404, 436, 437

Nota: Solo se muestran los músculos inervados por el nervio mediano.



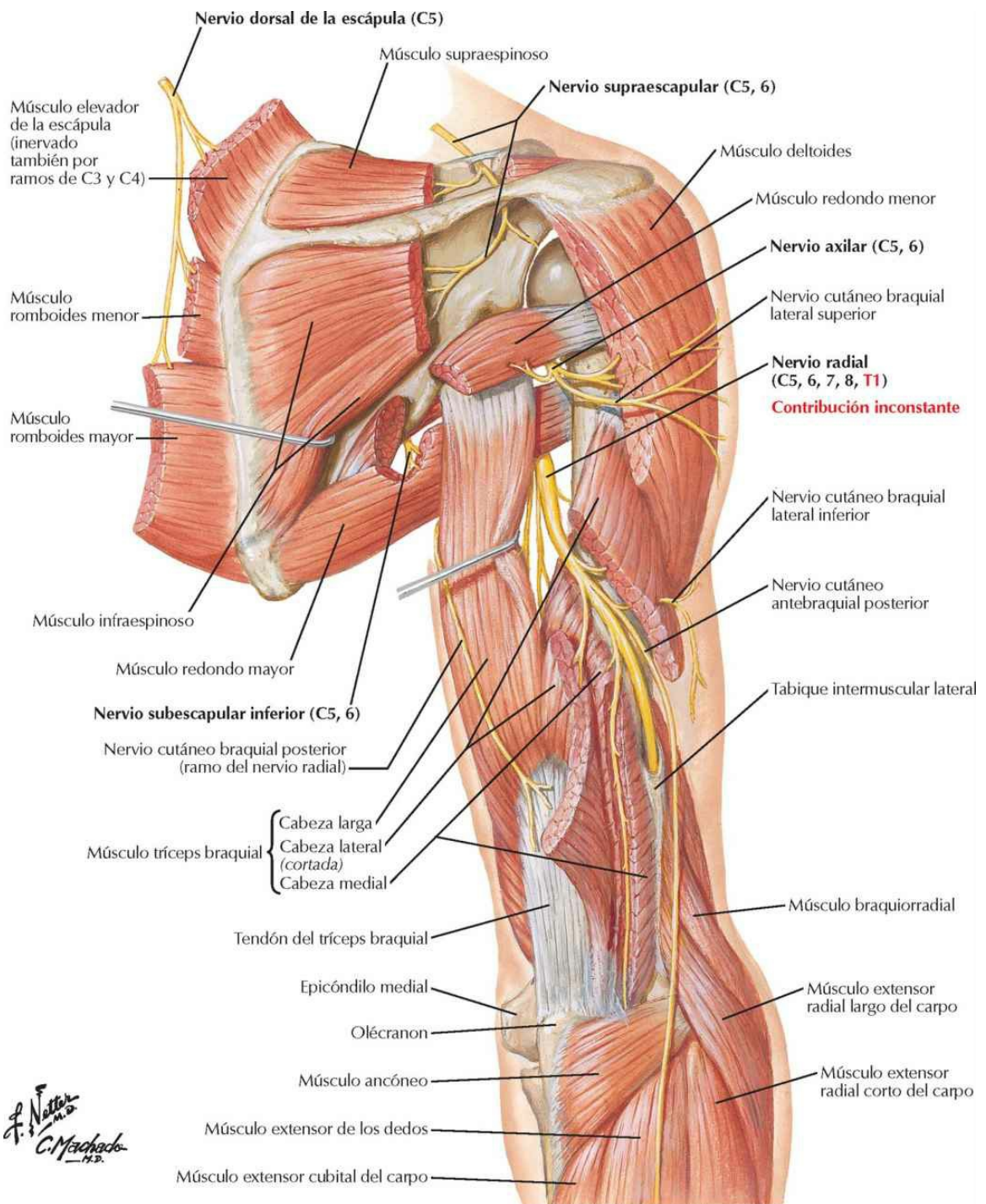
Nervio cubital

Véanse también láminas 436, 438



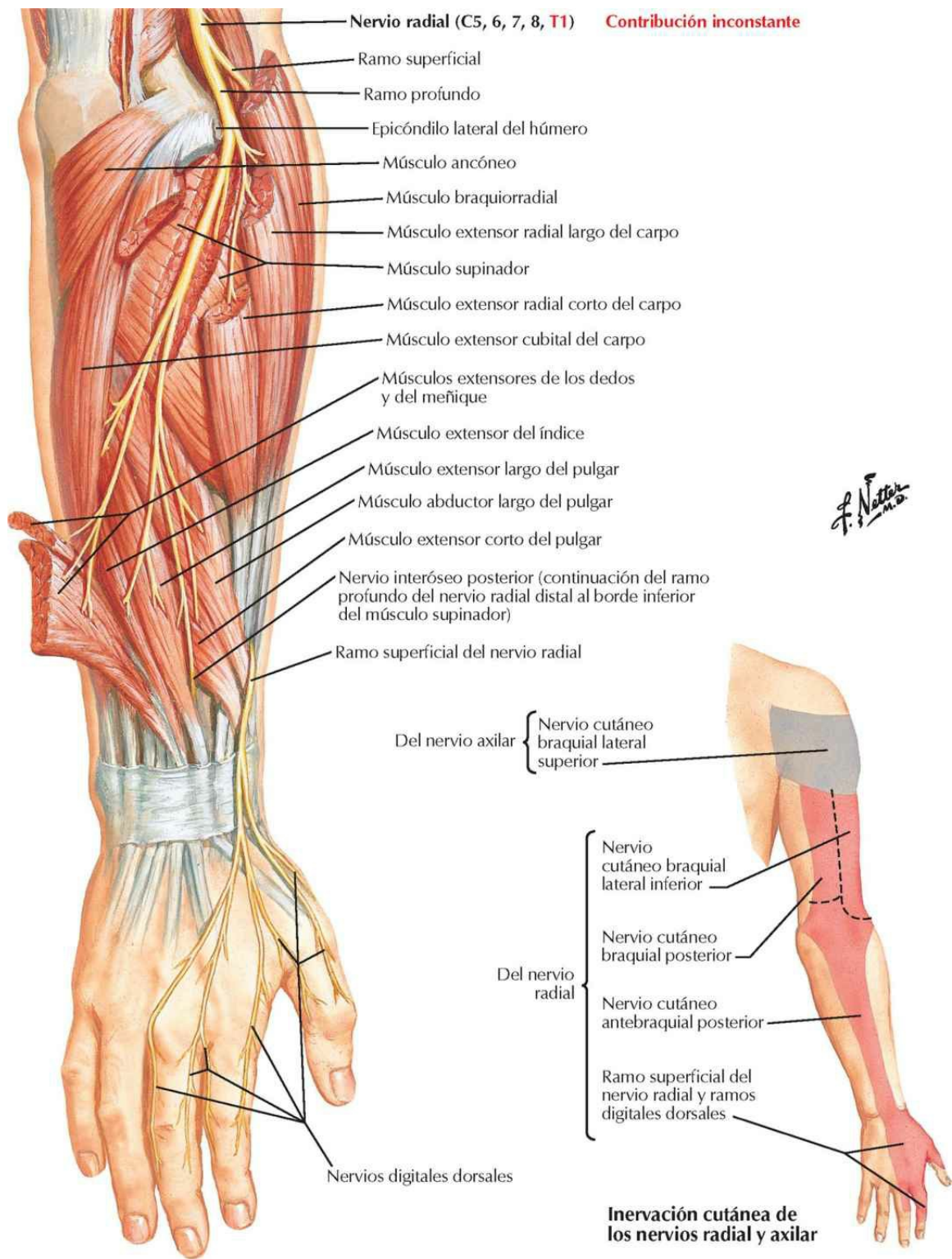
Nervio radial en el brazo y nervios de la región posterior del hombro: visión posterior

Véanse también láminas 417, 422



Nervio radial en el antebrazo y la mano

Véanse también láminas 434, 457



Exploraciones regionales

RM y TC del hombro

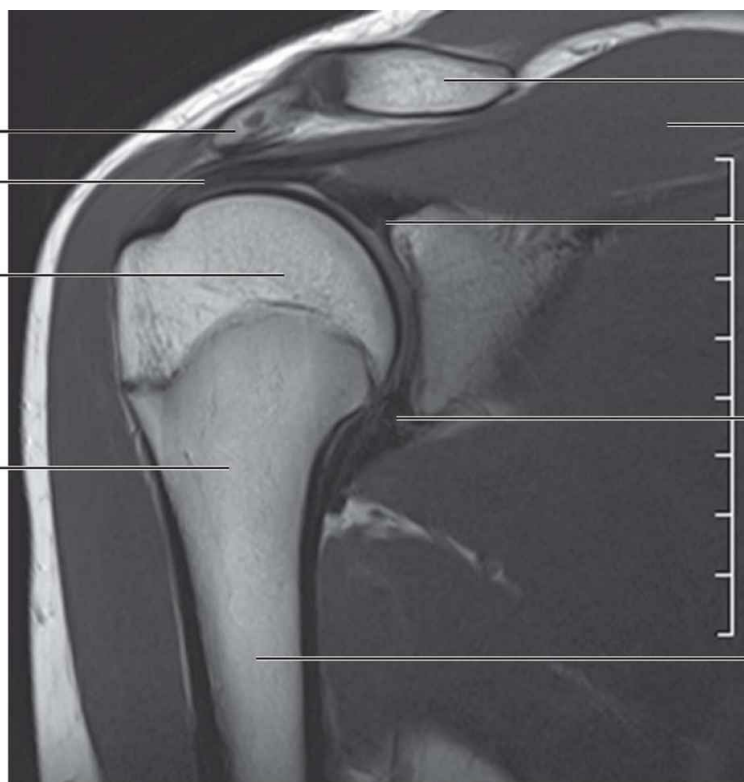
Véanse también láminas 245, 412

RM coronal potenciada en densidad protónica de la articulación del hombro

Acromion
Tendón del supraespinoso

Cabeza del húmero

Cuello quirúrgico



Clavícula
Músculo supraespinoso

Rodete glenoideo

Rodete glenoideo

Húmero

TC axial (transversal) de la articulación del hombro

Músculo deltoides

Cabeza del húmero

Cavidad (fosa) glenoidea






Apófisis coracoides


Músculo supraespinoso

Espina de la escápula

Tabla clínica

**Estructuras con gran* significación
clínica**

ESTRUCTURAS ANATÓMICAS	IMPORTANCIA CLÍNICA	NÚMEROS DE LÁMINAS
 SISTEMA ESQUELÉTICO		
Clavícula	La mayoría de fracturas de la clavícula son causadas por una caída sobre el miembro superior extendido o por un traumatismo directo sobre la cara lateral del hombro. El tercio medio de la clavícula es el más frecuentemente fracturado debido al cambio de morfología ósea de la clavícula, su función semejante a un puntal y las inserciones ligamentosas.	408, 409
Húmero	La porción proximal del húmero, especialmente el cuello quirúrgico, se fractura en el anciano debido a caídas de baja energía y en el joven a traumatismos de alta energía. El nervio axilar se encuentra en el lugar de la lesión y las arterias circunflejas humerales pueden lesionarse. Las fracturas del tercio medio del cuerpo del húmero también son relativamente frecuentes y encuentran al nervio radial en la zona de lesión.	409-411
Cúbito	La localización subcutánea del olécranon lo hace vulnerable a las fracturas por traumatismo directo, especialmente cuando el codo está flexionado; la apófisis estiloides del cúbito puede también fracturarse en las fracturas de la porción distal del radio	426, 429
Radio	Las fracturas de la porción distal del radio son las fracturas más frecuentes del miembro superior, causadas típicamente por una caída sobre la mano extendida	429
Hueso escafoides	El hueso del carpo más frecuentemente fracturado; la fractura se debe a menudo a una caída sobre la mano extendida	439, 440, 442
 SISTEMA MUSCULAR		
Músculos del manguito de los rotadores (compresor)	Las lesiones de este grupo de músculos pueden ser por una lesión aguda o una lesión crónica por uso repetitivo que conducen a causas comunes de dolor e incapacidad del hombro	412, 415, 422
Tendón del supraespinoso	El tendón del músculo del manguito de los rotadores (compresor) más habitualmente lesionado. A menudo se desgarró bajo el acromion.	415-417, 422
Tendón del bíceps braquial	En el anciano, el tendón de la cabeza larga del bíceps braquial se rompe proximalmente por una caída sobre el miembro superior extendido; distalmente el tendón del bíceps braquial se usa para explorar el reflejo bicipital (compartimiento flexor del brazo) y evaluar los nervios espinales C5 y C6	421, 423
Cabeza larga del bíceps braquial	Cuando se ha roto la cabeza larga del bíceps braquial, se arranca del tubérculo supraglenoideo y se retrae distalmente en el brazo; aparece una protuberancia muscular (deformidad/signo de Popeye) en el tercio medio del húmero	421
Músculos posteriores del antebrazo	El uso repetitivo de los músculos que se originan en el origen común de los extensores del carpo y dedos puede lesionar los tendones y produce dolor a nivel del epicóndilo lateral del húmero, asociado con el codo de tenista	431
Músculos anteriores del antebrazo	El uso repetitivo de los músculos que se originan en el origen común de los flexores del carpo y dedos puede lesionar los tendones y produce dolor a nivel del epicóndilo medial del húmero, asociado con el codo de golfista	432, 433
 SISTEMA NERVIOSO		
Nervio torácico largo	Su lesión puede producir una «escápula alada» causada por la deservación del serrato anterior	417, 419
Nervio axilar	La posición del nervio junto a la cara medial de la cabeza del húmero lo hace vulnerable a las lesiones en las fracturas del cuello quirúrgico del húmero o en las luxaciones del hombro	422
Tabla 7.1		Tablas clínicas
Nervio mediano	Comprimido frecuentemente en el túnel carpiano, lo que produce dolor y parestesia en los tres y medio dedos laterales	450, 466
Ramo recurrente del nervio mediano	Puede lesionarse en heridas superficiales de la palma de la mano sobre la eminencia tenar	449
Nervio cubital	Vulnerable a la compresión o lesión cuando pasa posterior al epicóndilo medial del húmero, y en el carpo a nivel del túnel cubital (canal de Guyon)	463, 467

ESTRUCTURAS ANATÓMICAS	IMPORTANCIA CLÍNICA	NÚMEROS DE LÁMINAS
Nervio radial	Vulnerable a la compresión o lesión cuando descansa sobre el húmero en el surco del nervio radial (p. ej., en una fractura del húmero); el síntoma común es una «mano péndula» debido a la debilidad de los extensores del carpo y dedos	468, 469
 SISTEMA CARDIOVASCULAR		
Vena mediana del codo	Accesible en la fosa del codo para la venopunción	405
Arterias supraescapular, dorsal de la escápula y circunfleja de la escápula	Proporcionan circulación colateral alrededor de la escápula, permitiendo a la sangre alcanzar la porción distal del miembro superior si se bloquea o comprime la arteria axilar	418
Arteria braquial	Palpable en la fosa del codo para evaluar el pulso braquial antes de medir la presión arterial	423, 424
Arteria radial	Palpable en la parte anterolateral del carpo para evaluar el pulso radial	424
*La selección se basa en general en datos clínicos y en correlaciones clínicas discutidas frecuentemente en cursos de anatomía macroscópica.		
Tablas clínicas		Tabla 7.2

Tablas de músculos

Tabla 7.3

MÚSCULO	GRUPO MUSCULAR	INSERCIÓN PROXIMAL (ORIGEN)	INSERCIÓN DISTAL (INSERCIÓN)	INERVACIÓN	IRRIGACIÓN	ACCIONES PRINCIPALES
Abductor corto del pulgar	De la mano	Retináculo flexor, tubérculos de los huesos escafoides y trapecio	Cara lateral de la base de la falange proximal del pulgar	Nervio mediano (ramo recurrente)	Rama palmar superficial de la arteria radial	Abduce el pulgar
Abductor del dedo meñique	De la mano	Hueso pisiforme y tendón del flexor cubital del carpo	Base de la falange proximal del dedo meñique (5.º dedo)	Nervio cubital (ramo profundo)	Rama palmar profunda de la arteria cubital	Abduce el dedo meñique
Abductor largo del pulgar	Posterior del antebrazo	Caras posteriores del cúbito, radio y membrana interósea	Base del 1.º metacarpiano	Nervio radial (interóseo posterior)	Arteria interósea posterior	Abduce y extiende el pulgar a nivel de la articulación carpometacarpiana
Aductor del pulgar	De la mano	<i>Cabeza oblicua:</i> bases del 2.º y 3.º metacarpiano y huesos grande y adyacentes <i>Cabeza transversa:</i> cara anterior del 3.º metacarpiano	Base de la falange proximal del pulgar	Nervio cubital (ramo profundo)	Arco palmar profundo	Aduce el pulgar
Ancóneo	Del brazo	Cara posterior del epicóndilo lateral del húmero	Cara lateral del olécranon y porción posterior proximal del cúbito	Nervio radial	Arteria braquial profunda	Ayuda al tríceps braquial en la extensión del codo, abduce el cúbito en la pronación
Biceps braquial	Del brazo	<i>Cabeza larga:</i> tubérculo supraglenoideo de la escápula <i>Cabeza corta:</i> apófisis coracoides de la escápula	Tuberosidad del radio, fascia del antebrazo a través de la aponeurosis bicipital	Nervio musculocutáneo	Ramas musculares de la arteria braquial	Flexiona y supina el antebrazo a nivel del codo
Braquial	Del brazo	Mitad distal de la cara anterior del húmero	Apófisis coronoides y tuberosidad del cúbito	Nervio musculocutáneo y nervio radial	Arteria recurrente radial, ramas musculares de la arteria braquial	Flexiona el antebrazo a nivel del codo
Braquiorradial	Posterior del antebrazo	2/3 proximales de la cresta supracondílea lateral del húmero	Cara lateral del extremo distal del radio	Nervio radial	Arteria recurrente radial	Flexiona débilmente el antebrazo cuando está semipronado
Coracobraquial	Del brazo	Apófisis coracoides de la escápula	Tercio medio de la cara medial del húmero	Nervio musculocutáneo	Ramas musculares de la arteria braquial	Flexiona y aduce el brazo a nivel del hombro
Deltoides	Del hombro	Tercio lateral de la clavícula, el acromion, la espina de la escápula	Tuberosidad deltoidea del húmero	Nervio axilar	Arteria circunfleja humeral posterior, rama deltoidea de la arteria toracoacromial	<i>Porción clavicular:</i> flexiona y rota medialmente el brazo <i>Porción acromial:</i> abduce el brazo más allá de los 15 grados realizados por el supraespinoso <i>Porción espinal:</i> extiende y rota lateralmente el brazo

MÚSCULO	GRUPO MUSCULAR	INSERCIÓN PROXIMAL (ORIGEN)	INSERCIÓN DISTAL (INSERCIÓN)	INERVACIÓN	IRRIGACIÓN	ACCIONES PRINCIPALES
Dorsal ancho	Del hombro	Apófisis espinosas de T7-L5, fascia toracolumbar, cresta iliaca y tres últimas costillas	Surco intertubercular del húmero	Nervio toracodorsal	Arteria toracodorsal, ramas perforantes dorsales de las arterias intercostales posteriores 9. ^a , 10. ^a y 11. ^a , subcostal y tres primeras lumbares	Extiende, aduce y rota medialmente el húmero a nivel del hombro
Elevador de la escápula	Superficial del dorso	Tubérculos posteriores de las apófisis transversas de C1-C4	Borde medial de la escápula desde el ángulo superior hasta la espina	Ramos anteriores de C3-C4 y nervio dorsal de la escápula	Arteria dorsal de la escápula, arteria cervical transversa, arteria cervical ascendente	Eleva la escápula medialmente, rota inferiormente la cavidad (fosa) glenoidea
Extensor corto del pulgar	Posterior del antebrazo	Caras posteriores del radio y membrana interósea	Dorso de la base de la falange proximal del pulgar	Nervio radial (nervio interóseo posterior)	Arteria interósea posterior	Extiende la falange proximal del pulgar a nivel de la articulación metacarpofalángica

En la anatomía humana son frecuentes las variaciones en la contribución de los nervios espinales a la inervación de los músculos, en su irrigación arterial, sus inserciones y sus acciones. Por tanto, existen diferencias entre los distintos textos y hay que entender que las variaciones anatómicas son normales.

Tabla 7.4

MÚSCULO	GRUPO MUSCULAR	INSERCIÓN PROXIMAL (ORIGEN)	INSERCIÓN DISTAL (INSERCIÓN)	INERVACIÓN	IRRIGACIÓN	ACCIONES PRINCIPALES
Extensor cubital del carpo	Posterior del antebrazo	Epicóndilo lateral del húmero y borde posterior del cúbito	Base del 5.º metacarpiano	Nervio radial (nervio interóseo posterior)	Arteria interósea posterior	Extiende y aduce la mano a nivel del carpo
Extensor del dedo meñique	Posterior del antebrazo	Epicóndilo lateral del húmero	Expansión extensora del 5.º dedo	Nervio radial (nervio interóseo posterior)	Arteria interósea posterior	Extiende el 5.º dedo
Extensor de los dedos	Posterior del antebrazo	Epicóndilo lateral del húmero	Expansiones extensoras de los cuatro dedos mediales	Nervio radial (nervio interóseo posterior)	Arteria interósea posterior	Extiende los cuatro dedos mediales, ayuda a la extensión del carpo
Extensor del índice	Posterior del antebrazo	Caras posteriores del cúbito y membrana interósea	Expansión extensora del 2.º dedo	Nervio radial (nervio interóseo posterior)	Arteria interósea posterior	Extiende el 2.º dedo y ayuda a la extensión de la mano a nivel del carpo
Extensor largo del pulgar	Posterior del antebrazo	Cara posterior del tercio medio del cúbito, membrana interósea	Dorso de la base de la falange distal del pulgar	Nervio radial (nervio interóseo posterior)	Arteria interósea posterior	Extiende la falange distal del pulgar a nivel de las articulaciones interfalángica y metacarpofalángica
Extensor radial corto del carpo	Posterior del antebrazo	Epicóndilo lateral del húmero	Base del 3.º metacarpiano y fascículo tendinoso para el 2.º metacarpiano	Nervio radial (ramo profundo)	Arteria radial, arteria recurrente radial	Extiende y abduce la mano a nivel del carpo
Extensor radial largo del carpo	Posterior del antebrazo	Tercio distal de la cresta supracondílea lateral del húmero	Base del 2.º metacarpiano y fascículo tendinoso para el 3.º metacarpiano	Nervio radial	Arteria radial, arteria recurrente radial	Extiende y abduce la mano a nivel del carpo
Flexor corto del dedo meñique	De la mano	Retináculo flexor y gancho del hueso ganchoso	Lado medial de la base de la falange proximal del dedo meñique	Nervio cubital (ramo profundo)	Rama palmar profunda de la arteria cubital	Flexiona la falange proximal del dedo meñique
Flexor corto del pulgar	De la mano	Retináculo flexor y tubérculo del hueso trapecio	Cara lateral de la base de la falange proximal del pulgar	Nervio mediano (ramo recurrente)	Rama palmar superficial de la arteria radial	Flexiona la falange proximal del pulgar
Flexor cubital del carpo	Anterior del antebrazo	<i>Cabeza superficial:</i> epicóndilo medial del húmero <i>Cabeza profunda:</i> olécranon y borde posterior del cúbito	Hueso pisiforme, gancho del hueso ganchoso, base del 5.º metacarpiano	Nervio cubital	Arteria recurrente cubital posterior	Flexiona y aduce la mano a nivel del carpo
Flexor largo del pulgar	Anterior del antebrazo	Caras anteriores del radio y membrana interósea	Cara palmar de la falange distal del pulgar	Nervio mediano (nervio interóseo anterior)	Arteria interósea anterior	Flexiona las falanges del pulgar
Flexor profundo de los dedos	Anterior del antebrazo	Caras medial y anterior de los 3/4 proximales del cúbito y membrana interósea	Parte palmar de la base de las falanges distales de los cuatro dedos mediales	<i>Porción medial:</i> nervio cubital <i>Porción lateral:</i> nervio mediano	Arteria interósea anterior, ramas musculares de la arteria cubital	Flexiona las falanges distales de los cuatro dedos mediales, ayuda en la flexión de la mano a nivel del carpo
Flexor radial del carpo	Anterior del antebrazo	Epicóndilo medial del húmero	Base del 2.º metacarpiano	Nervio mediano	Arteria radial	Flexiona y abduce la mano a nivel del carpo

MÚSCULO	GRUPO MUSCULAR	INSERCIÓN PROXIMAL (ORIGEN)	INSERCIÓN DISTAL (INSERCIÓN)	INERVACIÓN	IRRIGACIÓN	ACCIONES PRINCIPALES
Flexor superficial de los dedos	Anterior del antebrazo	<i>Cabeza humerocubital:</i> epicóndilo medial del húmero, apófisis coronoideas del cúbito, ligamento colateral cubital <i>Cabeza radial:</i> mitad superior de la cara anterior del radio	Cuerpos de las falanges medias de los cuatro dedos mediales	Nervio mediano	Arterias cubital y radial	Flexiona las falanges medias y proximales de los cuatro dedos mediales, flexiona la mano a nivel del carpo
Infraespinoso	Del hombro	Fosa infraespinosa de la escápula y fascia infraespinosa	Tubérculo mayor del húmero	Nervio supraescapular	Arteria supraescapular	Rotación lateral del brazo

Tabla 7.5

MÚSCULO	GRUPO MUSCULAR	INSERCIÓN PROXIMAL (ORIGEN)	INSERCIÓN DISTAL (INSERCIÓN)	INERVACIÓN	IRRIGACIÓN	ACCIONES PRINCIPALES
Interóseos dorsales	De la mano	Lados de dos huesos metacarpianos	Base de las falanges proximales, expansión extensora de los dedos 2-4	Nervio cubital (ramo profundo)	Arco palmar profundo	Abducen los dedos; flexionan los dedos a nivel de la articulación metacarpofalángica y extienden las articulaciones interfalángicas
Interóseos palmares	De la mano	Lados de los metacarpianos 2, 4 y 5	Bases de las falanges proximales y expansiones extensoras de los dedos 2, 4 y 5	Nervio cubital (ramo profundo)	Arco palmar profundo	Aducen los dedos; flexionan los dedos y extienden las articulaciones interfalángicas
Lumbricales, primer y segundo dedos	De la mano	Dos tendones laterales del flexor profundo de los dedos	Lados laterales de la expansión extensora de los dedos 2 y 3	Nervio mediano (ramos digitales)	Arcos palmares superficial y profundo	Extienden los dedos a nivel de las articulaciones interfalángicas, flexionan las articulaciones metacarpofalángicas
Lumbricales, tercer y cuarto dedos	De la mano	Tres tendones mediales del flexor profundo de los dedos	Lados laterales de la expansión extensora de los dedos 4 y 5	Nervio cubital (ramo profundo)	Arcos palmares superficial y profundo	Extienden los dedos a nivel de las articulaciones interfalángicas, flexionan las articulaciones metacarpofalángicas
Oponente del dedo meñique	De la mano	Retináculo flexor y gancho del hueso ganchoso	Cara palmar del 5.º metacarpiano	Nervio cubital (ramo profundo)	Rama palmar profunda de la arteria cubital	Tracciona el 5.º metacarpiano anteriormente y lo rota para enfrentarlo al pulgar
Oponente del pulgar	De la mano	Retináculo flexor y tubérculo del hueso trapecio	Cara lateral del 1.º metacarpiano	Nervio mediano (ramo recurrente)	Rama palmar superficial de la arteria radial	Tracciona el 1.º metacarpiano hacia delante y lo rota medialmente
Palmar corto	De la mano	Aponeurosis palmar y retináculo flexor	Piel del borde medial de la palma	Ramo superficial del nervio cubital	Arco palmar superficial	Profundiza el hueco de la mano, ayuda a la prensión
Palmar largo	Anterior del antebrazo	Epicóndilo medial del húmero	Mitad distal del retináculo flexor y aponeurosis palmar	Nervio mediano	Arteria recurrente cubital posterior	Flexiona la mano a nivel del carpo y tensa la aponeurosis palmar
Pectoral mayor	De la región pectoral/axila	Mitad esternal de la clavícula, esternón hasta la 7.ª costilla, cartílagos costales de las costillas verdaderas, aponeurosis del músculo oblicuo externo del abdomen	Labio lateral del surco intertubercular del húmero	Nervios pectorales medial y lateral	Rama pectoral de la arteria toracoacromial, ramas perforantes de la arteria torácica interna	Flexiona, aduce y rota medialmente el brazo
Pectoral menor	De la región pectoral/axila	Cara externa del borde superior de las costillas 3-5	Apófisis coracoides de la escápula	Nervio pectoral medial	Rama pectoral de la arteria toracoacromial y arterias torácicas superior y lateral	Desciende el ángulo inferior de la escápula y lleva hacia delante la escápula

MÚSCULO	GRUPO MUSCULAR	INSERCIÓN PROXIMAL (ORIGEN)	INSERCIÓN DISTAL (INSERCIÓN)	INERVACIÓN	IRRIGACIÓN	ACCIONES PRINCIPALES
Pronador cuadrado	Anterior del antebrazo	Cuarto distal de la cara anterior del cúbito	Cuarto distal de la cara anterior del radio	Nervio mediano (nervio interóseo anterior)	Arteria interósea anterior	Prona el antebrazo
Pronador redondo	Anterior del antebrazo	Dos cabezas: epicóndilo medial del húmero y apófisis coronoides del cúbito	Porción media de la cara lateral del radio	Nervio mediano	Arteria recurrente cubital anterior	Prona el antebrazo y flexiona débilmente el codo
Redondo mayor	Del hombro	Cara posterior del ángulo inferior de la escápula	Labio medial del surco intertubercular del húmero	Nervio subescapular inferior	Arteria circunfleja de la escápula	Aduce y rota medialmente el brazo

Tabla 7.6

MÚSCULO	GRUPO MUSCULAR	INSERCIÓN PROXIMAL (ORIGEN)	INSERCIÓN DISTAL (INSERCIÓN)	INERVAÇÃO	IRRIGACIÓN	ACCIONES PRINCIPALES
Redondo menor	Del hombro	2/3 superiores de la cara posterior del borde lateral de la escápula	Carilla inferior del tubérculo mayor del húmero	Nervio axilar	Arteria circunfleja de la escápula	Rota lateralmente el brazo
Romboides mayor	Superficial del dorso	Apófisis espinosas de las vértebras T2-T5	Borde medial de la escápula por debajo de la base de la espina de la escápula	Nervio dorsal de la escápula	Arteria dorsal de la escápula O rama profunda de la cervical transversa, ramas perforantes dorsales de las cinco o seis arterias intercostales posteriores superiores	Fija la escápula a la pared torácica y la retrae y rota para descender la cavidad glenoidea
Romboides menor	Superficial del dorso	Ligamento nuchal, apófisis espinosas de las vértebras C7 y T1	Borde medial de la escápula a nivel de la espina de la escápula	Nervio dorsal de la escápula	Arteria dorsal de la escápula O rama profunda de la cervical transversa, ramas perforantes dorsales de las cinco o seis arterias intercostales posteriores superiores	Fija la escápula a la pared torácica y la retrae y rota para descender la cavidad glenoidea
Serrato anterior	Del hombro	Caras laterales de las 8-9 costillas superiores	Cara costal del borde medial de la escápula	Nervio torácico largo	Arteria torácica lateral	Lleva hacia delante y rota la escápula y la mantiene contra la pared torácica
Subclavio	Del hombro	Borde superior de la 1. ^a costilla y su cartilago	Cara inferior del tercio medio de la clavícula	Nervio subclavio	Rama clavicular de la arteria toracoacromial	Ancla y desciende la clavícula
Subescapular	Del hombro	Fosa subescapular	Tubérculo menor del húmero	Nervios subescapulares superior e inferior	Arteria subescapular, arteria torácica lateral	Rota medialmente y aduce el brazo, ayuda a mantener la cabeza del húmero en la cavidad (fosa) glenoidea
Supinador	Posterior del antebrazo	Epicóndilo lateral del húmero, ligamentos colateral radial y anular, fosa y cresta del músculo supinador del cúbito	Caras lateral, posterior y anterior del tercio proximal del radio	Nervio radial (ramo profundo)	Arteria recurrente radial, arteria interósea posterior	Supina el antebrazo
Supraespinoso	Del hombro	Fosa supraespinosa de la escápula y fascia supraespinosa	Tubérculo mayor del húmero	Nervio supraescapular	Arteria supraescapular	Inicia la abducción del brazo
Trapezio	Superficial del dorso	Línea nuchal superior, protuberancia occipital externa, ligamento nuchal, apófisis espinosas de C7-T12	Tercio lateral de la clavícula, acromion y espina de la escápula	Nervio accesorio (nervio craneal XI)	Arteria cervical transversa, ramas perforantes dorsales de arterias intercostales posteriores	Eleva, retrae y rota la escápula; las fibras inferiores descenden la escápula
Triceps braquial	Del brazo	<i>Cabeza larga:</i> tubérculo infraglenoideo de la escápula <i>Cabeza lateral:</i> mitad superior de la cara posterior del húmero <i>Cabeza medial:</i> 2/3 distales de las caras medial y posterior del húmero	Cara posterior del olécranon del cúbito	Nervio radial	Rama de la arteria braquial profunda	Extiende el antebrazo a nivel del codo; la cabeza larga estabiliza la cabeza del húmero abducida y extiende y aduce el brazo

MIEMBRO INFERIOR

Anatomía de superficie [471](#)

Anatomía de la piel [472-475](#)

Cadera y muslo [476-496](#)

Rodilla [497-503](#)

Pierna [504-514](#)

Tarso y pie [515-528](#)

Inervación y vasculatura [529-533](#)

Exploraciones regionales [534-535](#)

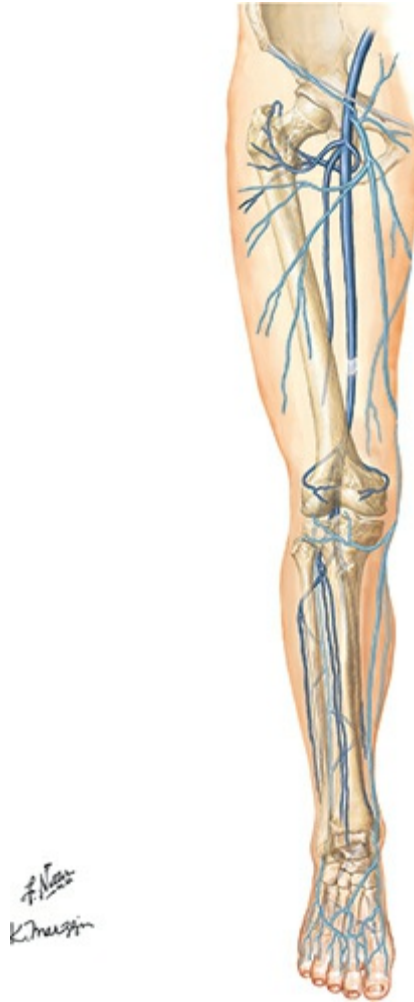
Estructuras con gran significación clínica

[Tablas 8.1-8.2](#)

Tablas de músculos [Tablas 8.3-8.6](#)

Láminas electrónicas extra [BP107-BP117](#)

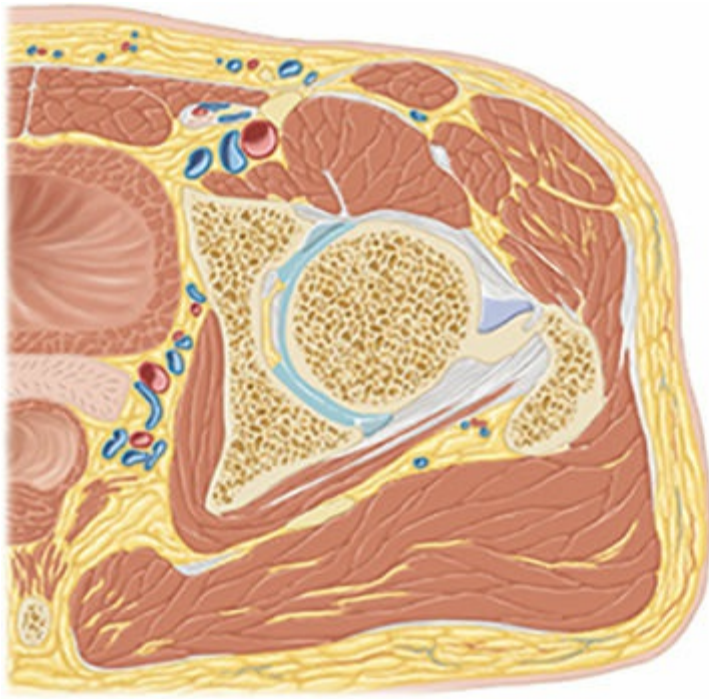
LÁMINAS ELECTRÓNICAS EXTRA



BP107 Venas del miembro inferior



BP108 Arterias del muslo y rodilla



Handwritten signature: K. Muzgin

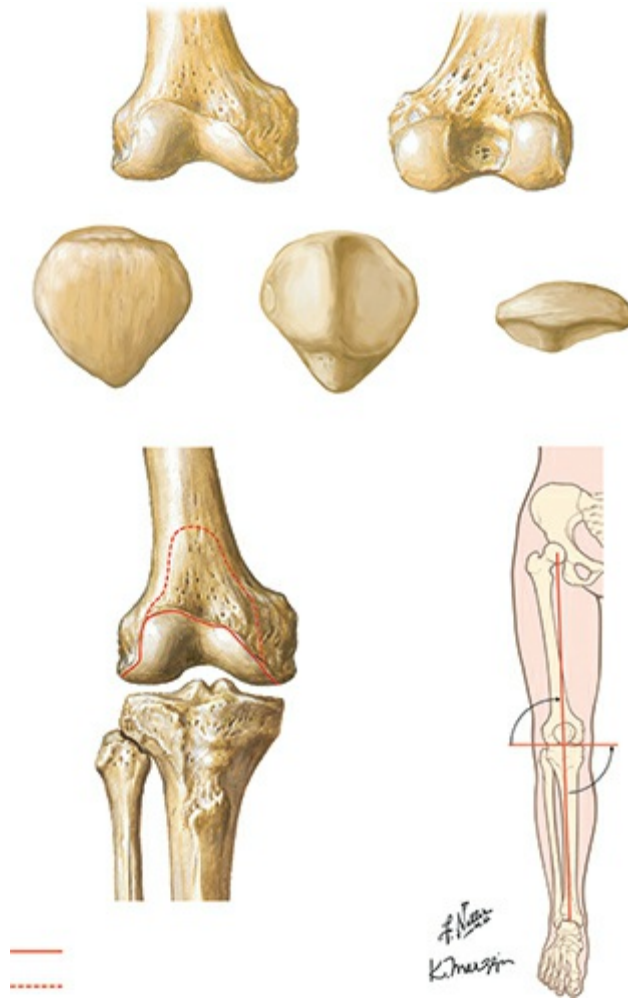
BP109 Sección transversal de la cadera



BP110 Arterias de la rodilla y pie



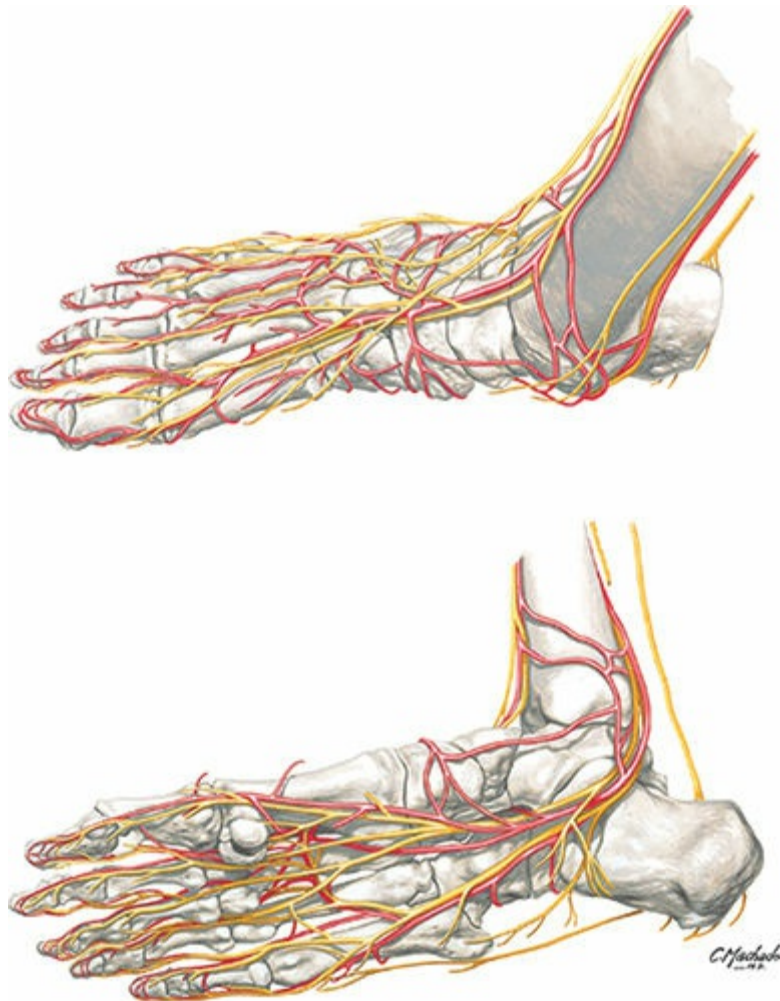
BP111 Pierna: secciones transversales seriadas



BP112 Osteología de la rodilla



BP113 Radiografía de la rodilla: proyección lateral



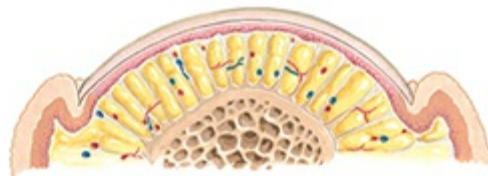
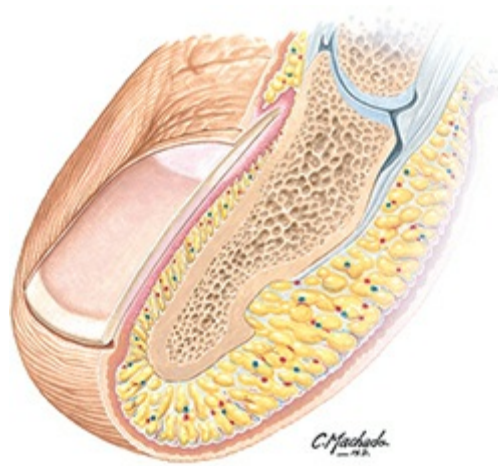
BP114 Anatomía del pie: arterias y nervios



BP115 Sección transversal del tobillo y pie



BP116 Sección transversal del tobillo y pie



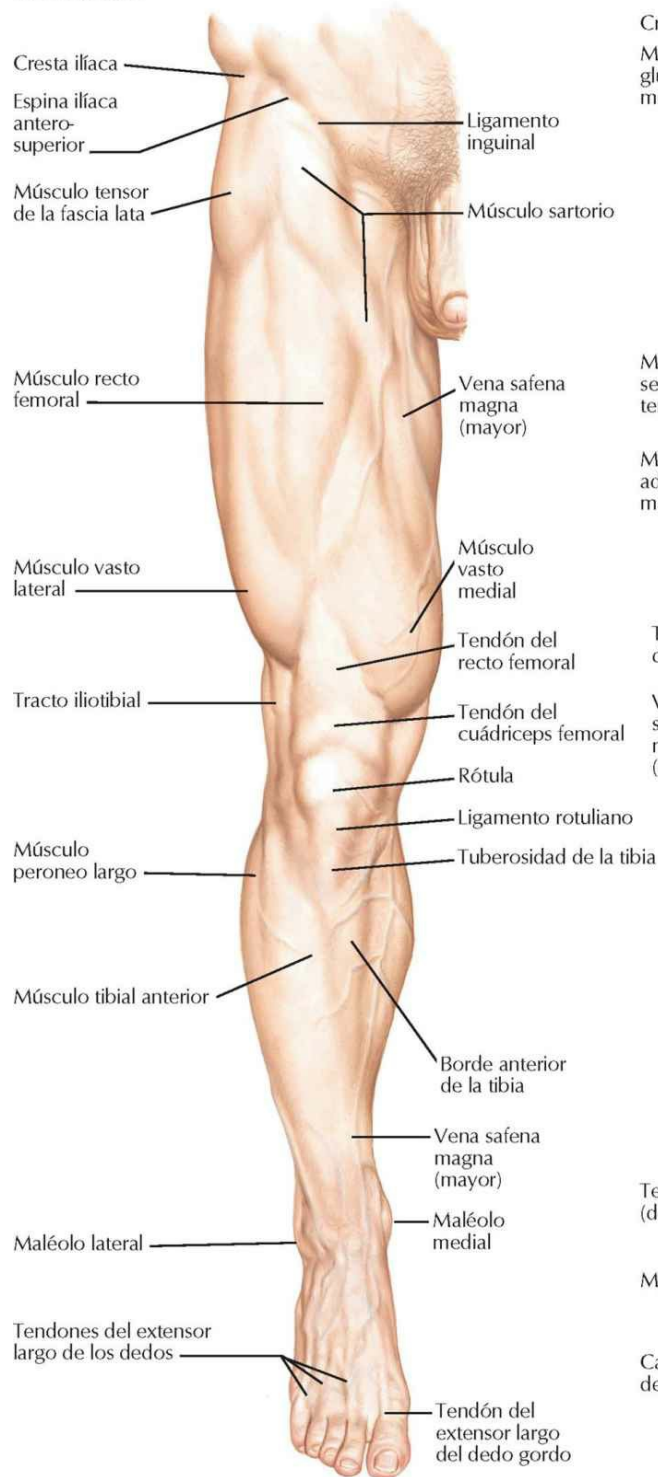
BP117 Anatomía de la uña de un dedo del pie

Anatomía de superficie

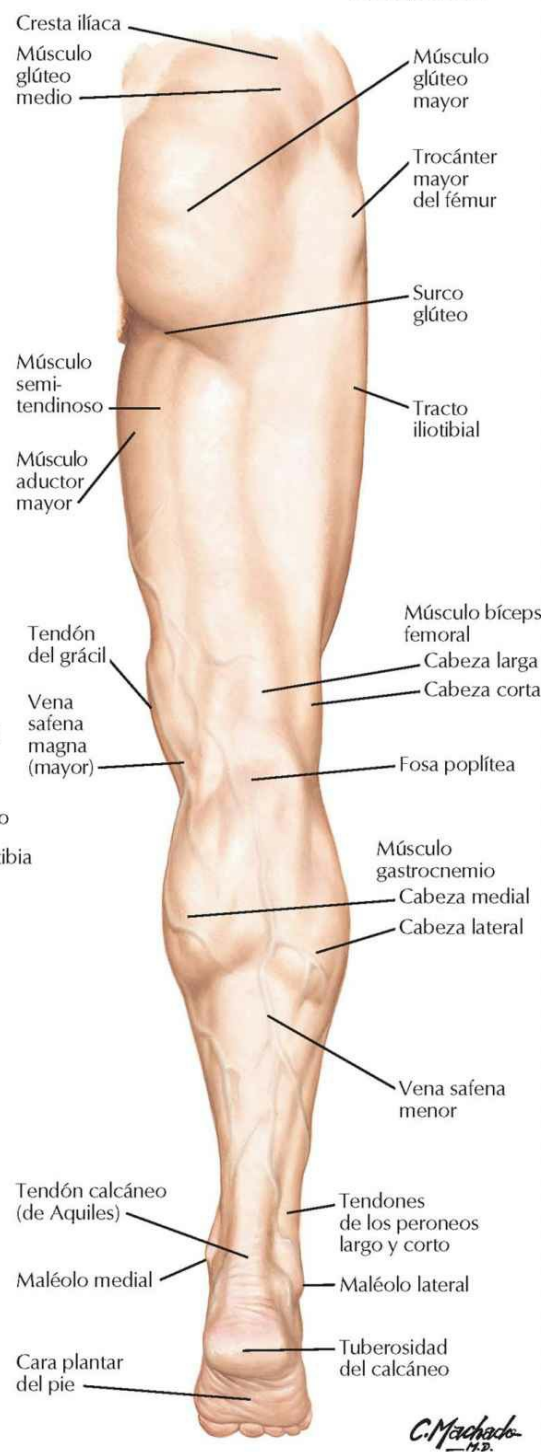
Miembro inferior: anatomía de superficie

Véanse también láminas 472-474

Visión anterior



Visión posterior



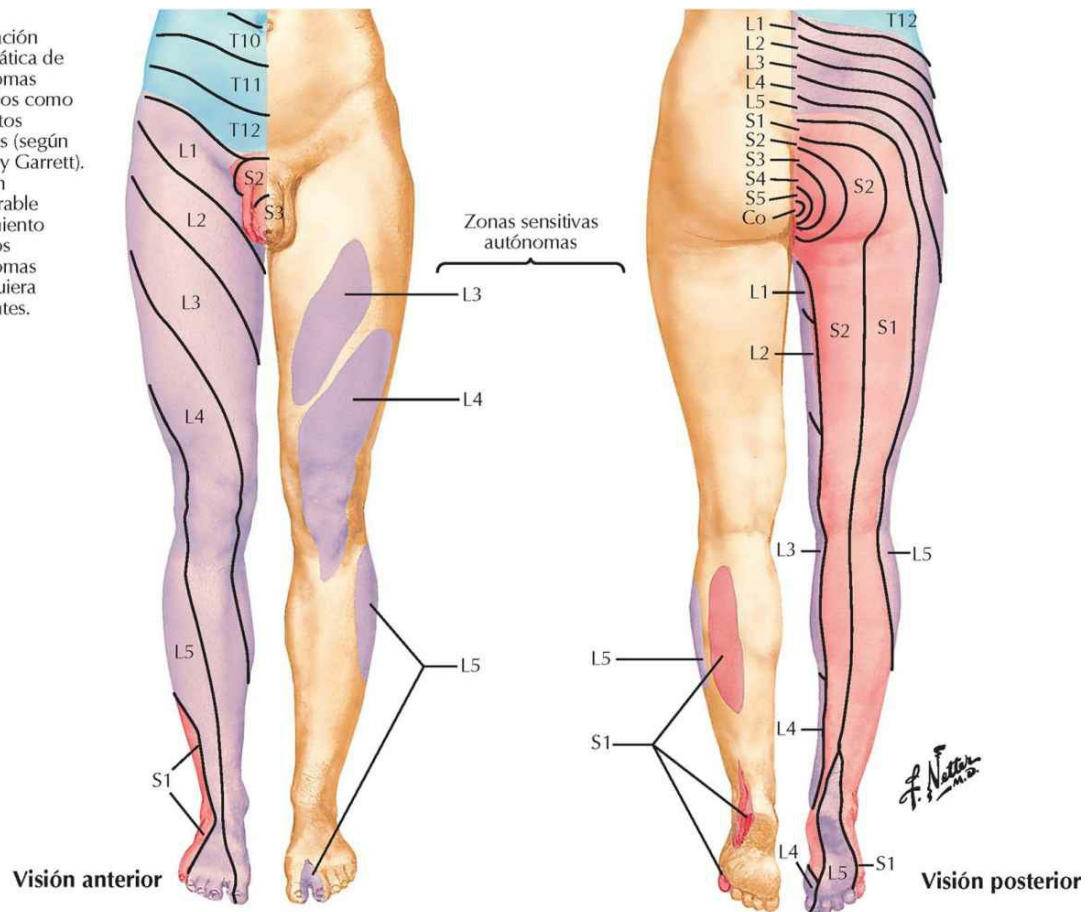
C. Machado
—M.D.

Anatomía de la piel

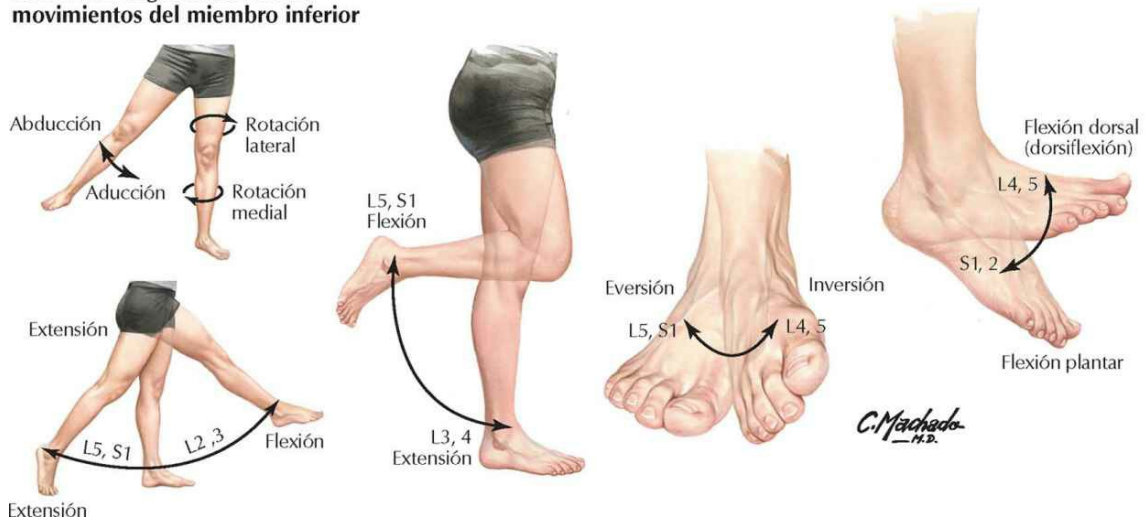
**Dermatomas del miembro inferior y
función nerviosa segmentaria**

Véase también lámina 171

Delimitación esquemática de dermatomas mostrados como segmentos definidos (según Keegan y Garrett). Existe un considerable solapamiento entre dos dermatomas cualesquiera adyacentes.

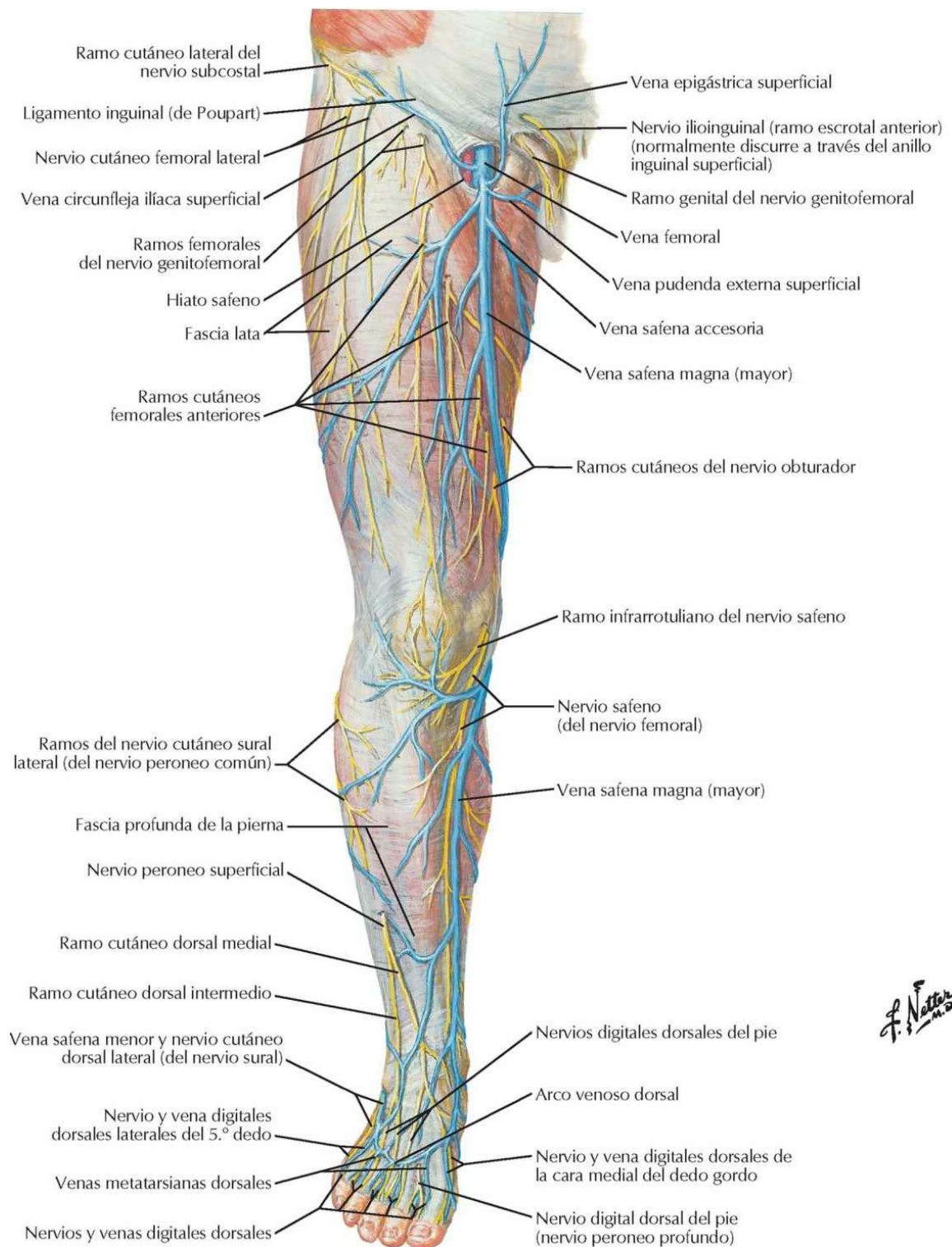


Inervación segmentaria de los movimientos del miembro inferior



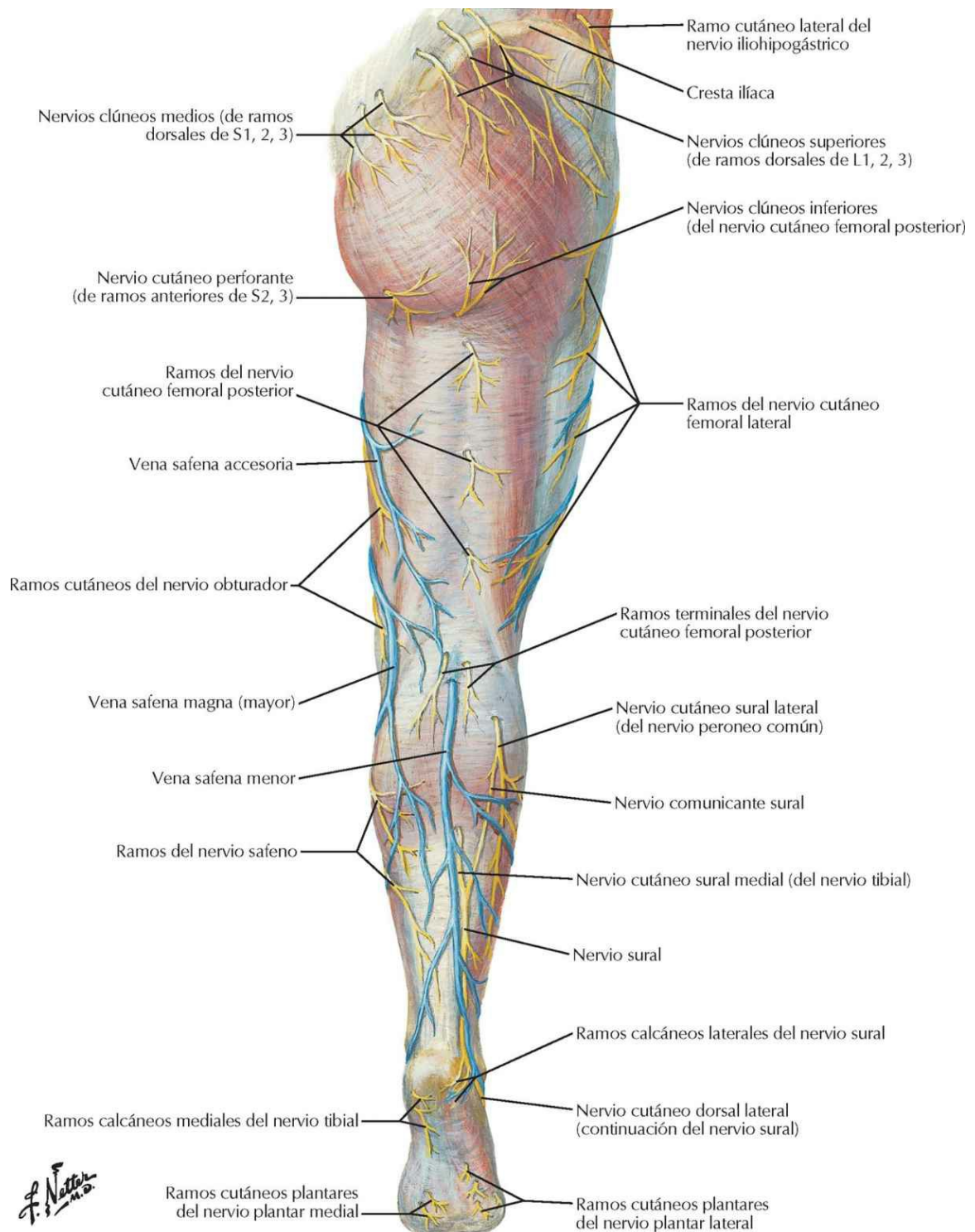
Nervios y venas superficiales del miembro inferior: visión anterior

Véanse también láminas 529, 530, 533



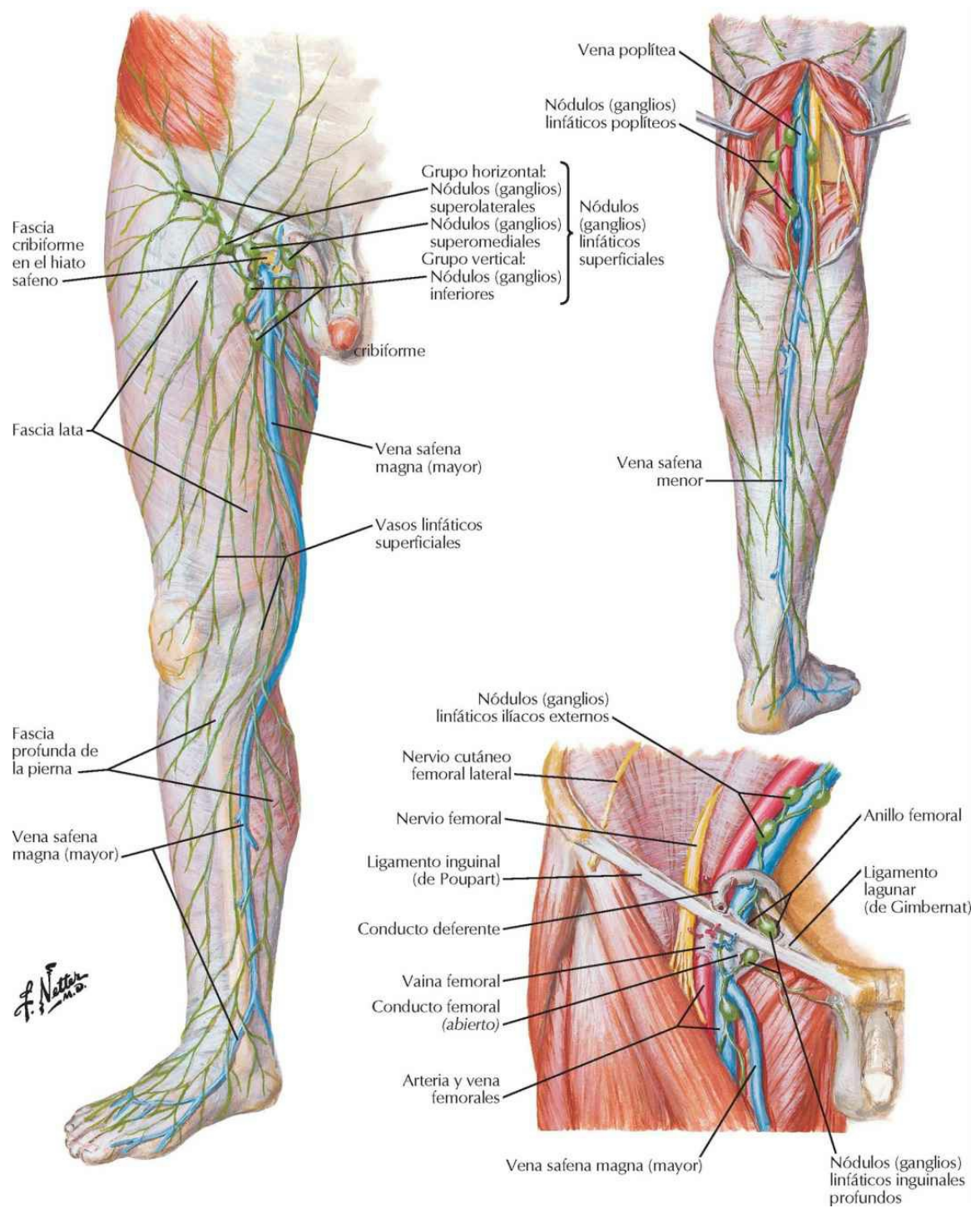
Nervios y venas superficiales del miembro inferior: visión posterior

Véanse también láminas 531, 532



Vasos y nódulos (ganglios) linfáticos del miembro inferior

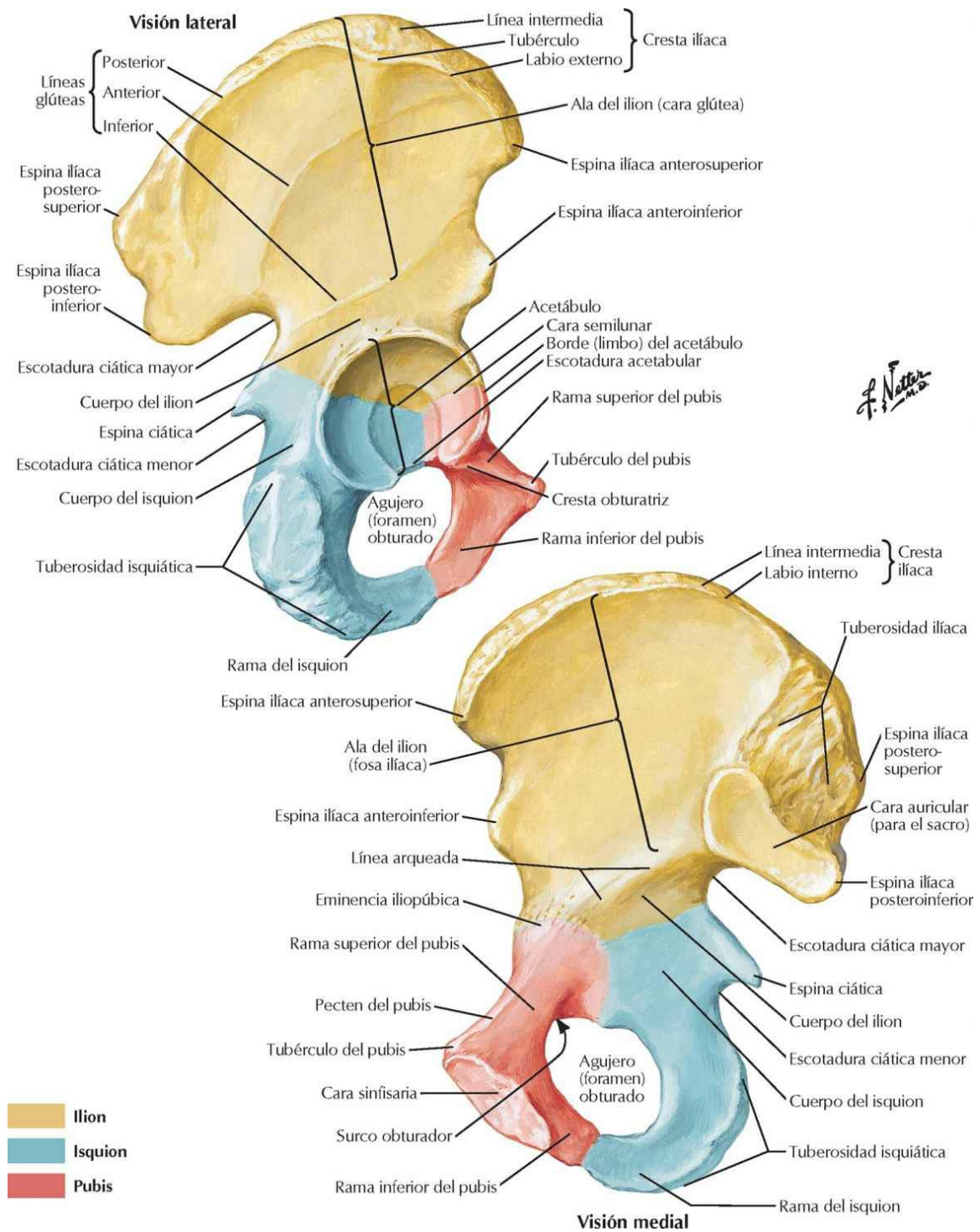
Véanse también láminas 389, 390



Cadera y muslo

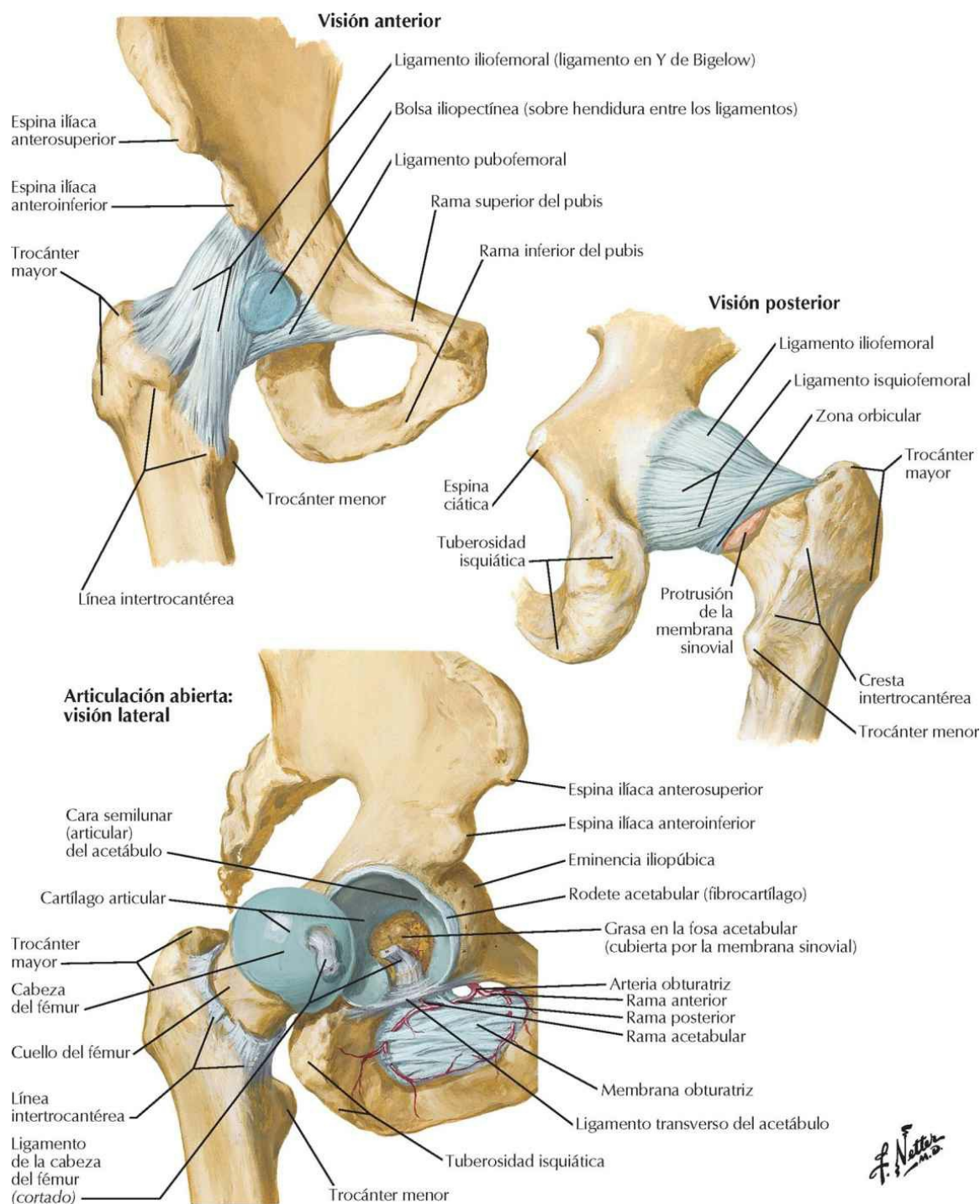
Hueso coxal

Véanse también láminas 250, 337, 338



Articulación de la cadera

Véanse también láminas 334, 338



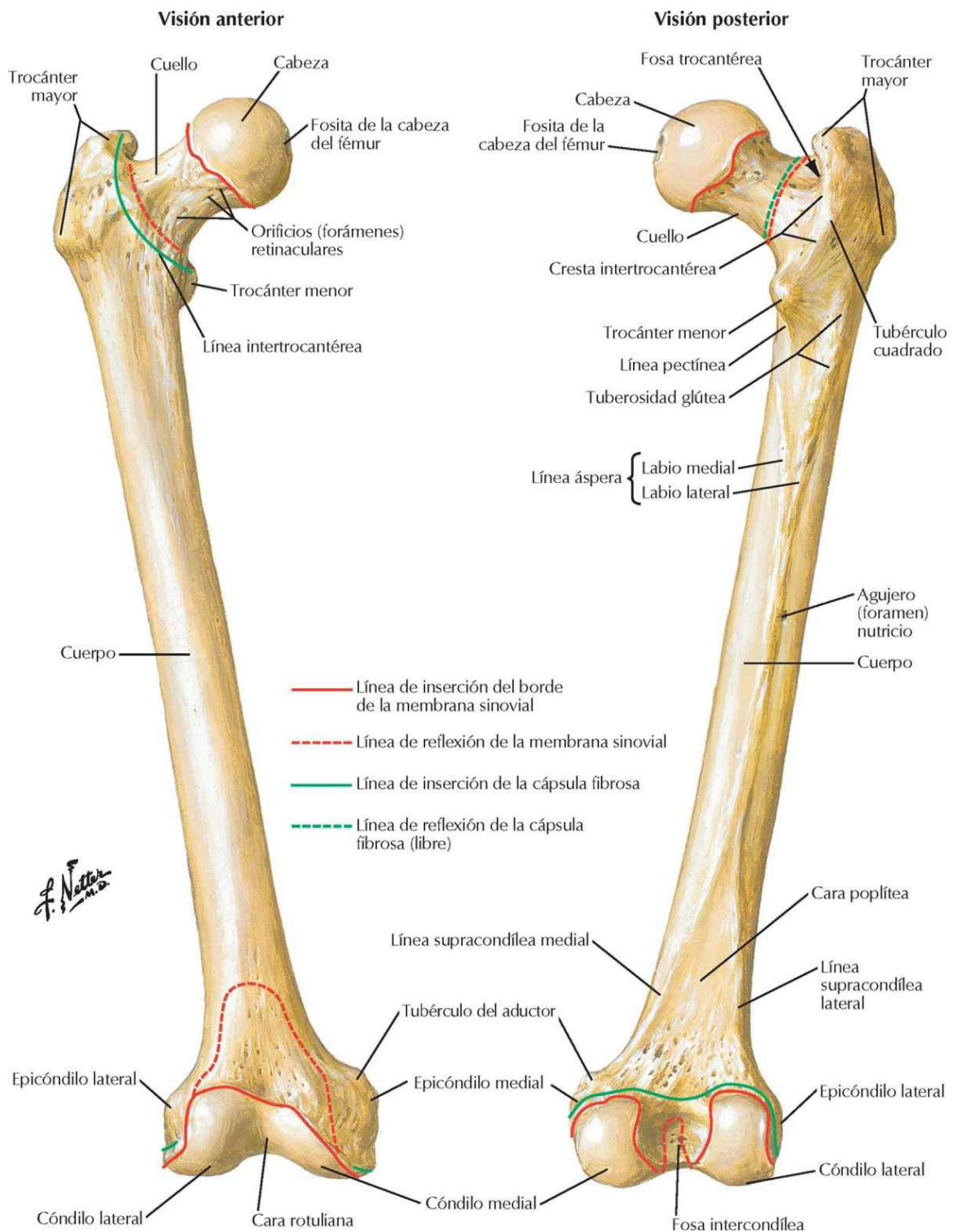
Articulación de la cadera: radiografía anteroposterior

Véanse también láminas 335, 477, 480



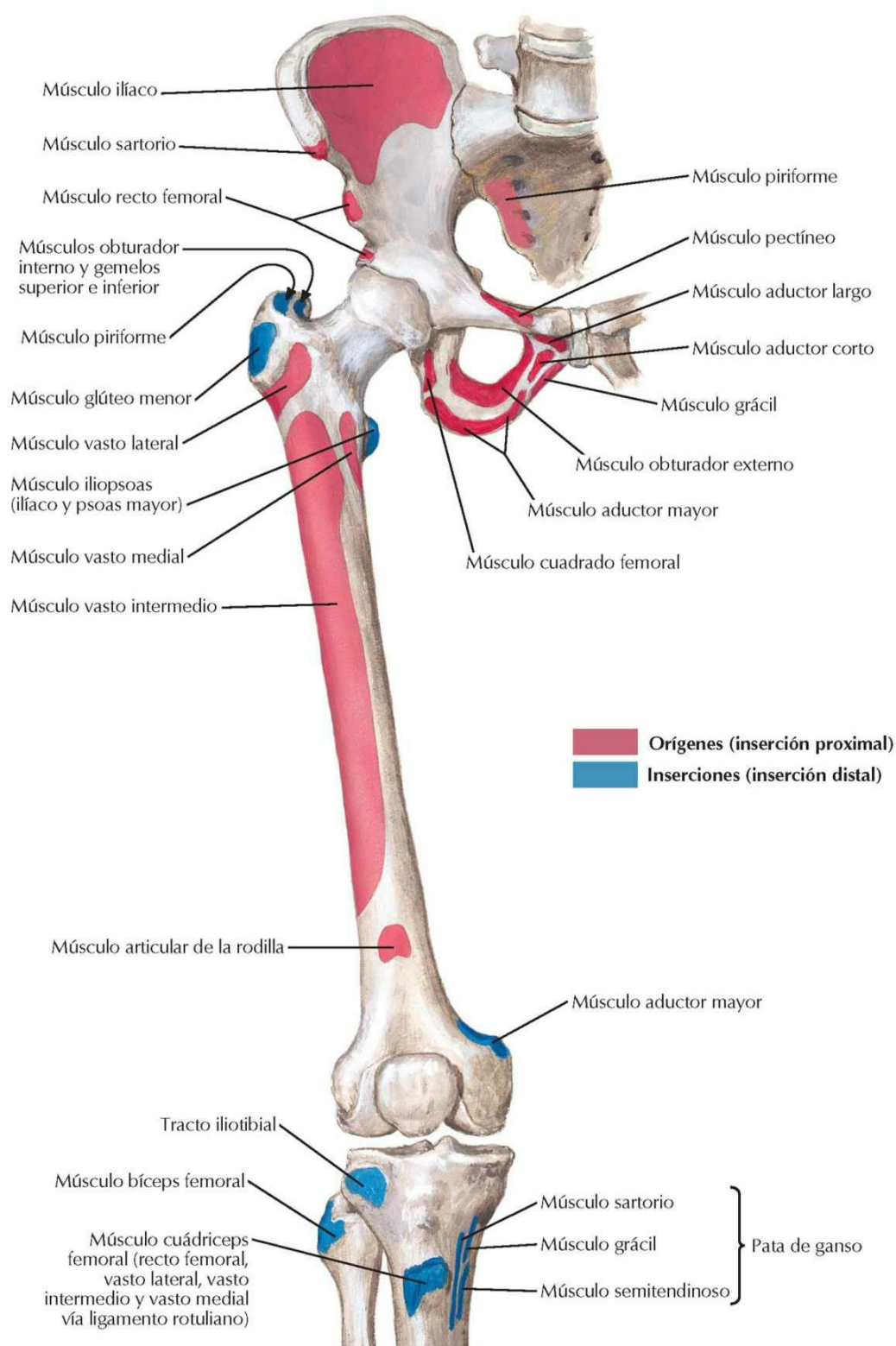
Fémur

Véase también lámina 495



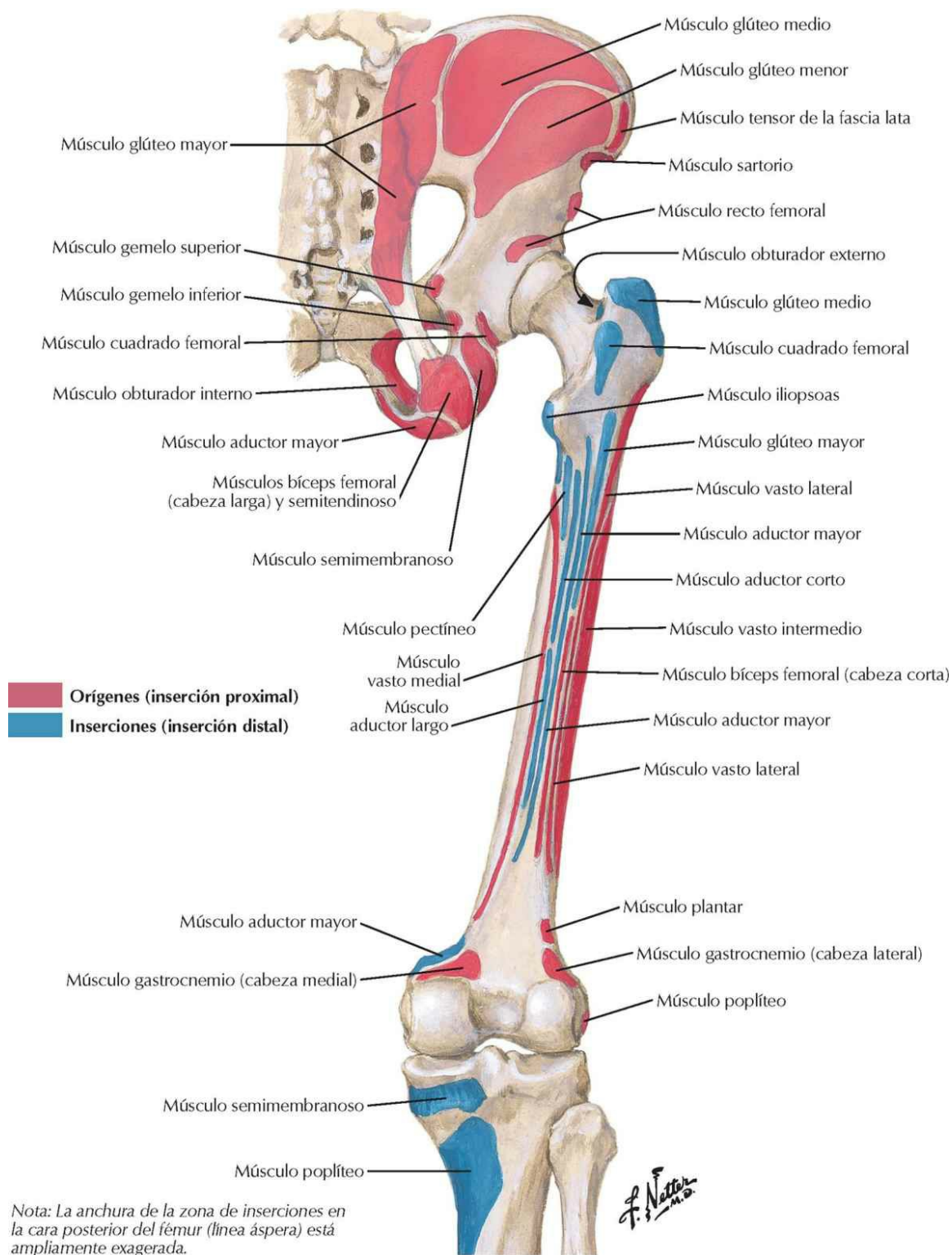
Inserciones óseas de los músculos de cadera y muslo: visión anterior

Véanse también láminas 478, 534



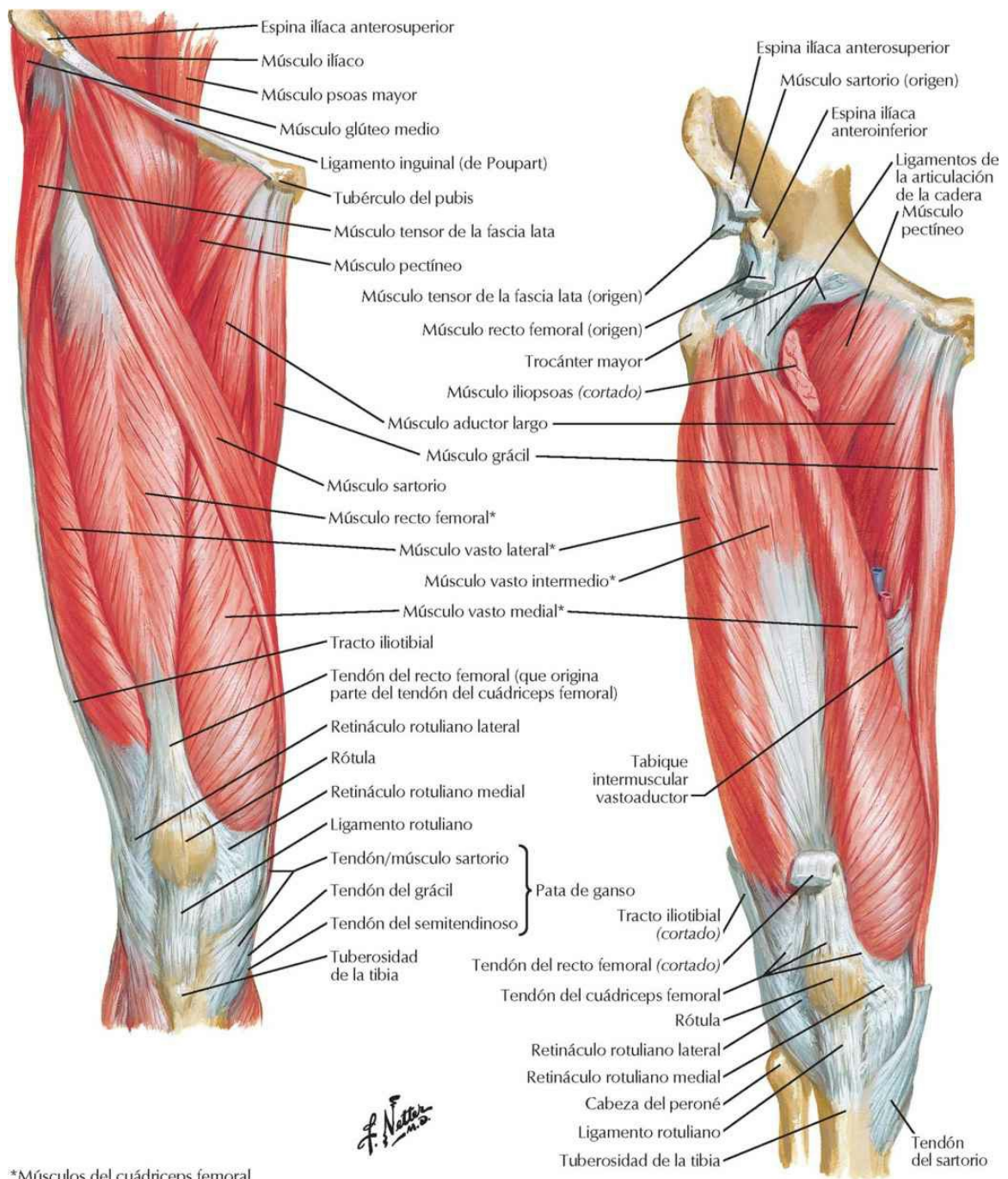
Inserciones óseas de los músculos de cadera y muslo: visión posterior

Véase también lámina 478

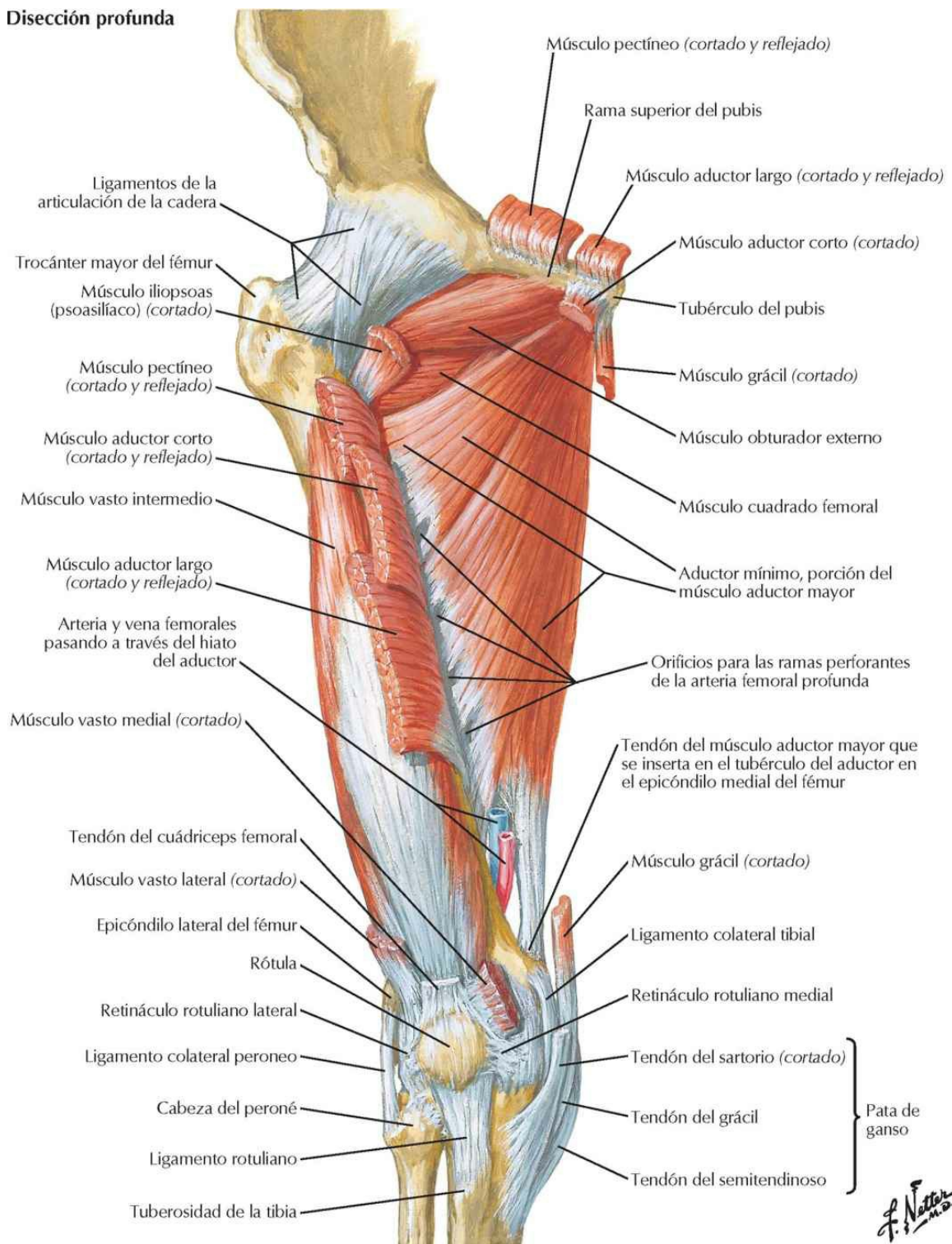


Músculos del muslo: visiones anteriores

Véase también lámina 265

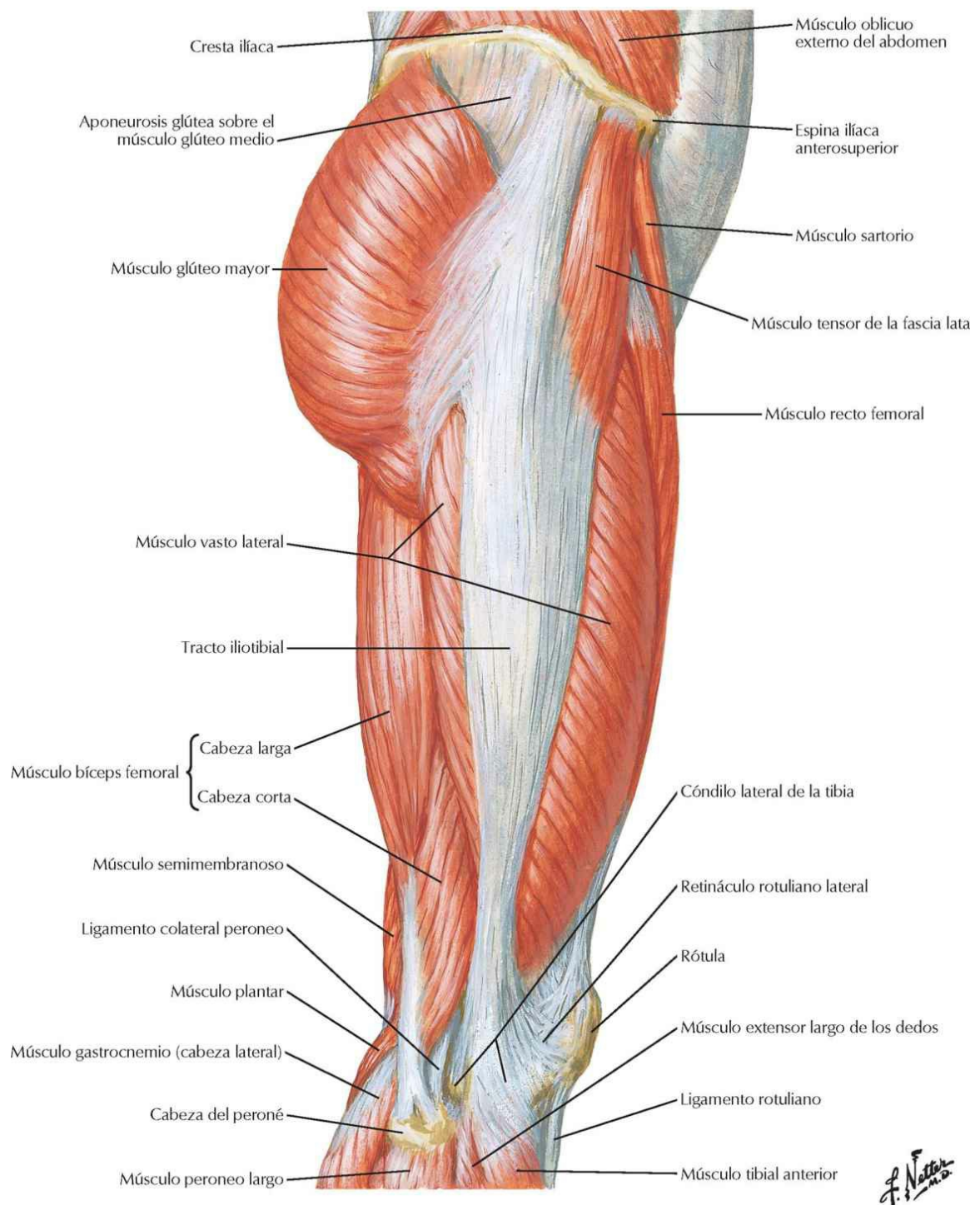


Disección profunda



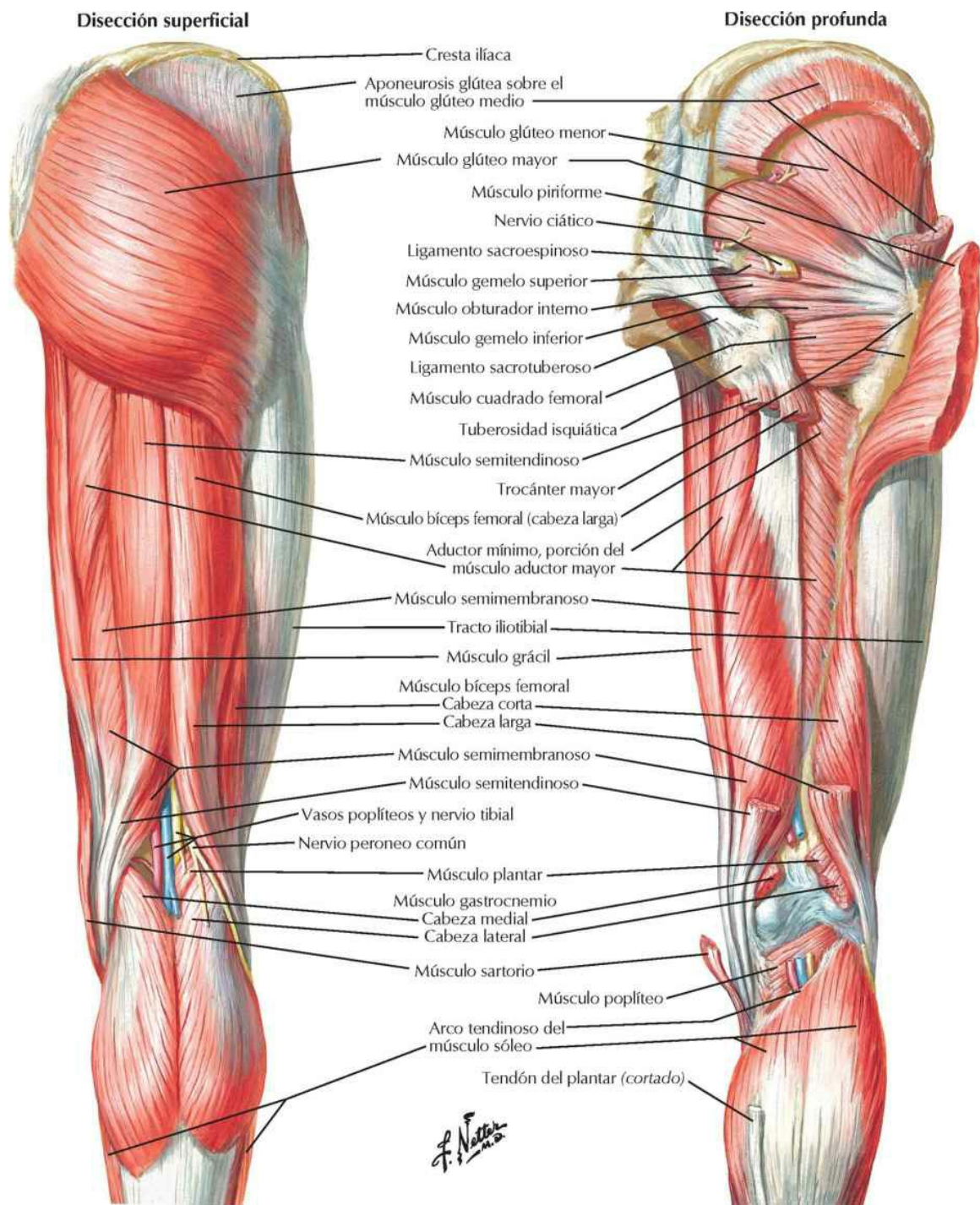
Músculos de la cadera y muslo: visión lateral

Véase también lámina 496



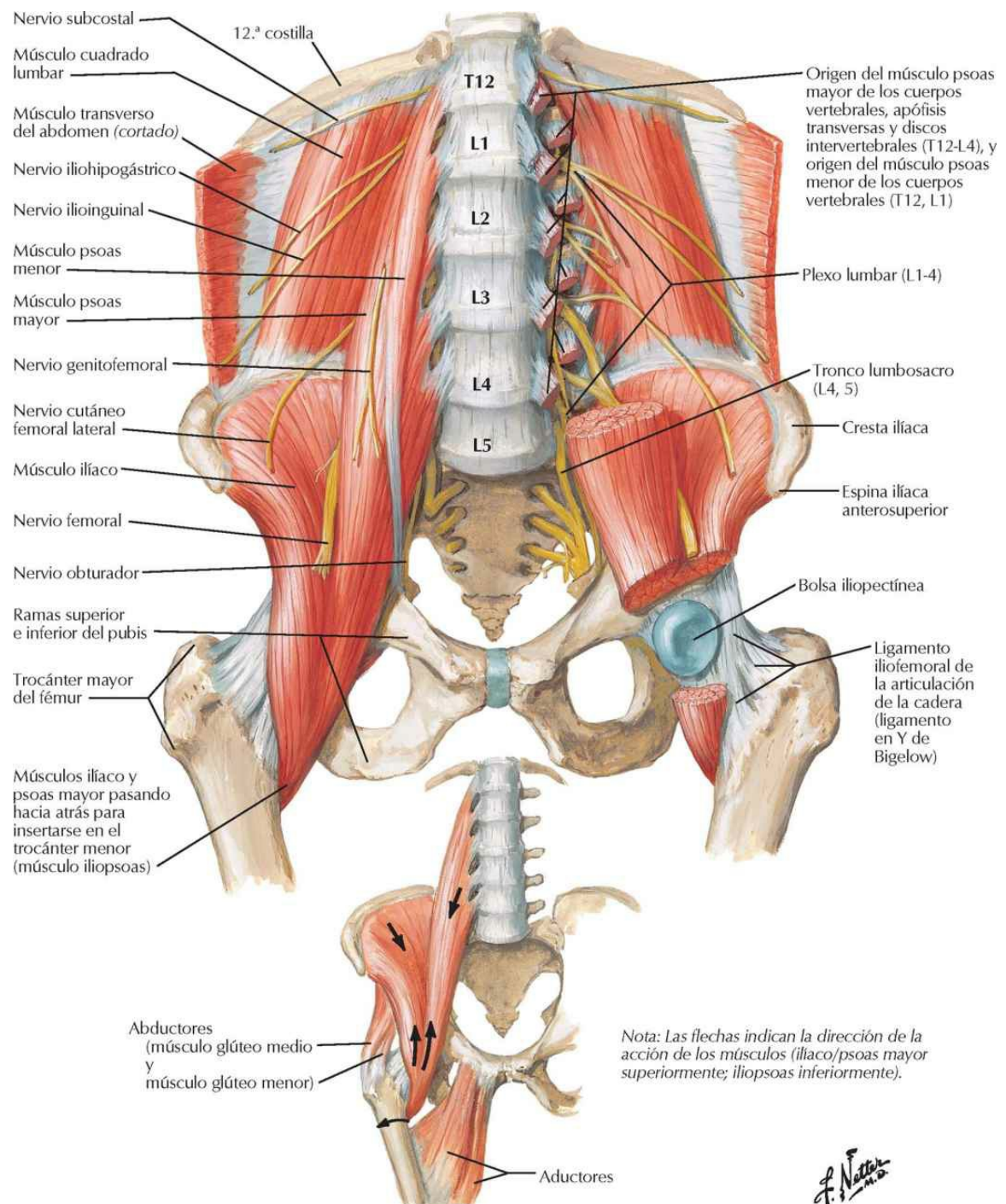
Músculos de la cadera y muslo: visiones posteriores

Véanse también láminas 342, 343, 491



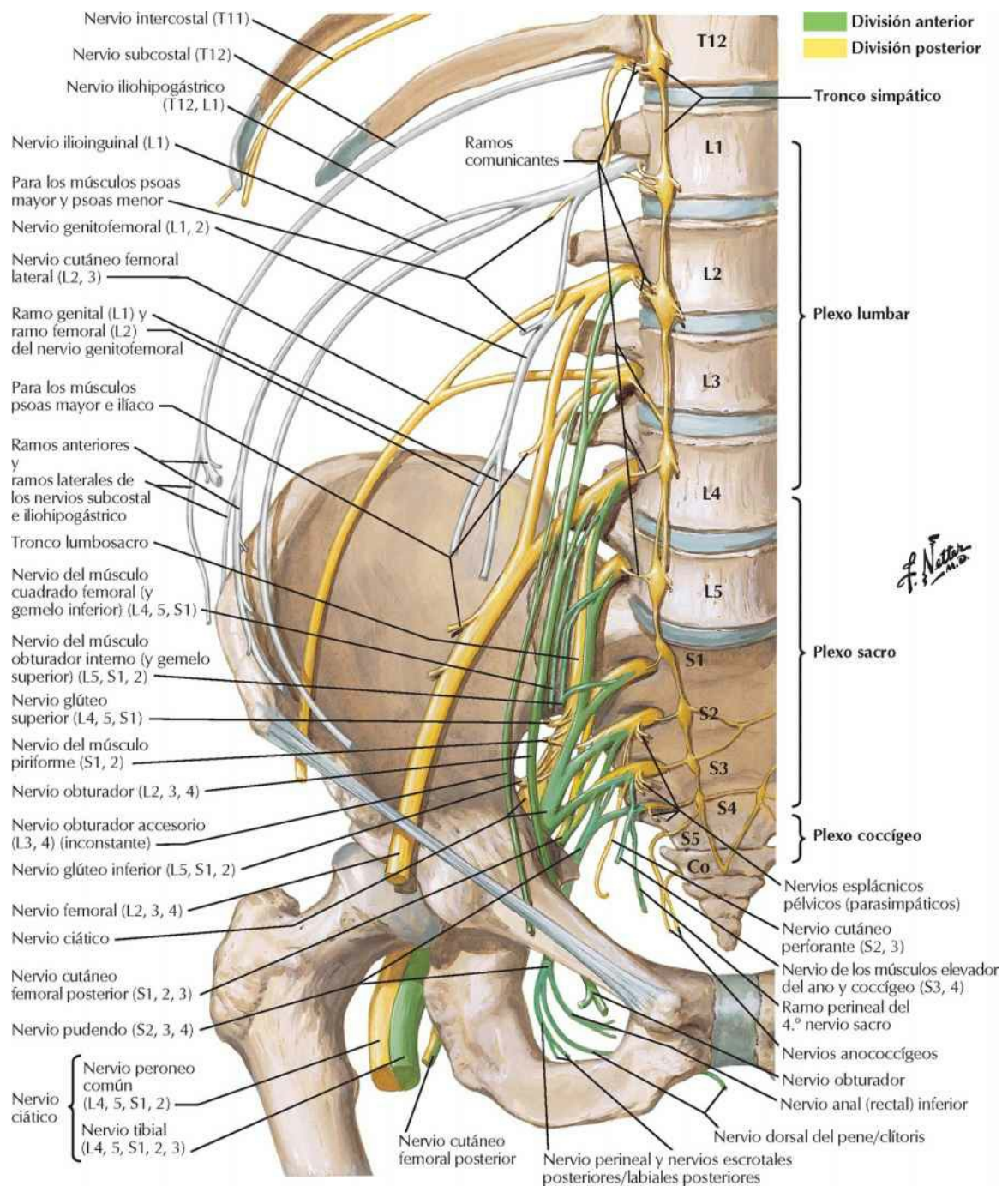
Músculos psoas e ilíaco

Véanse también láminas 265, 269



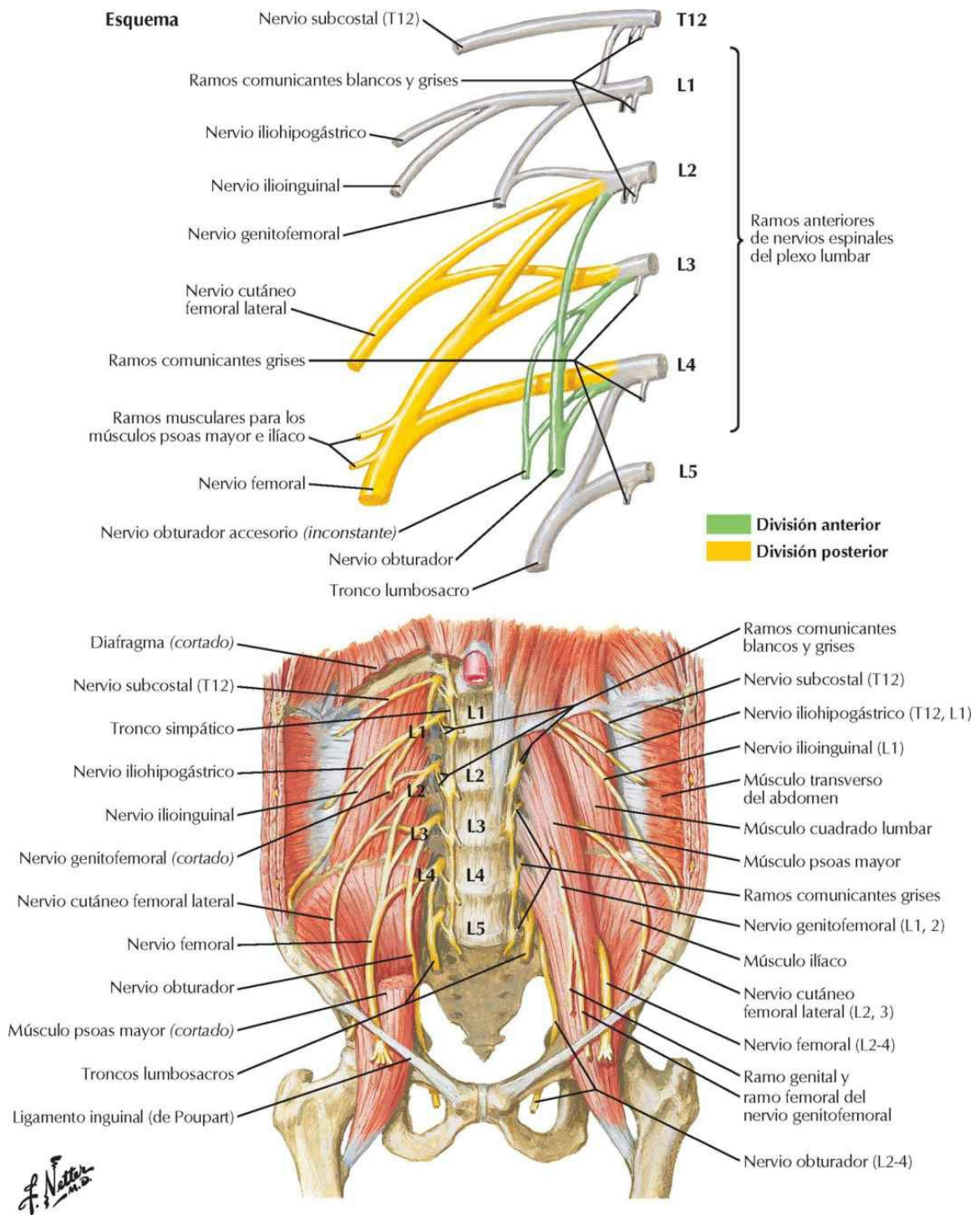
Plexos lumbosacro y coccígeo

Véase también lámina 269



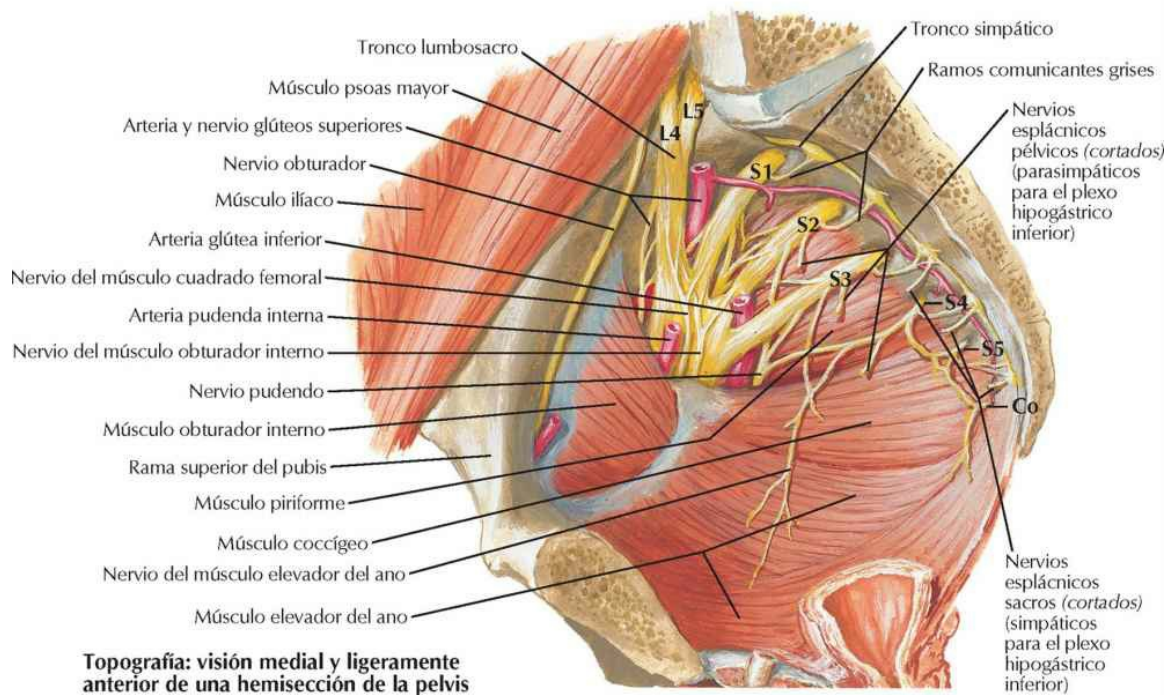
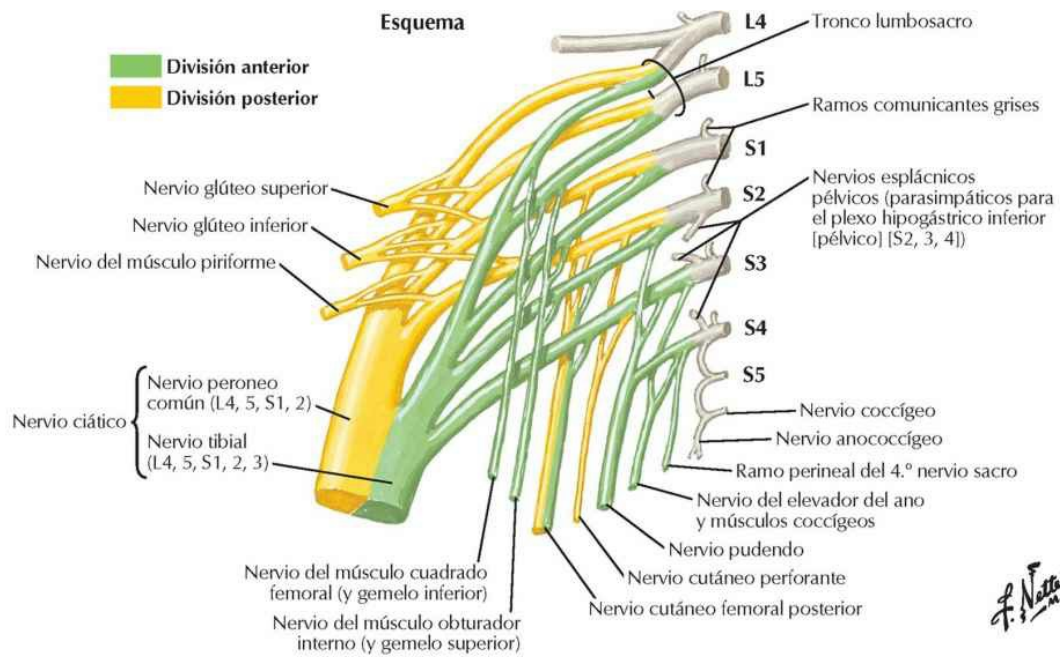
Plexo lumbar

Véase también lámina 269



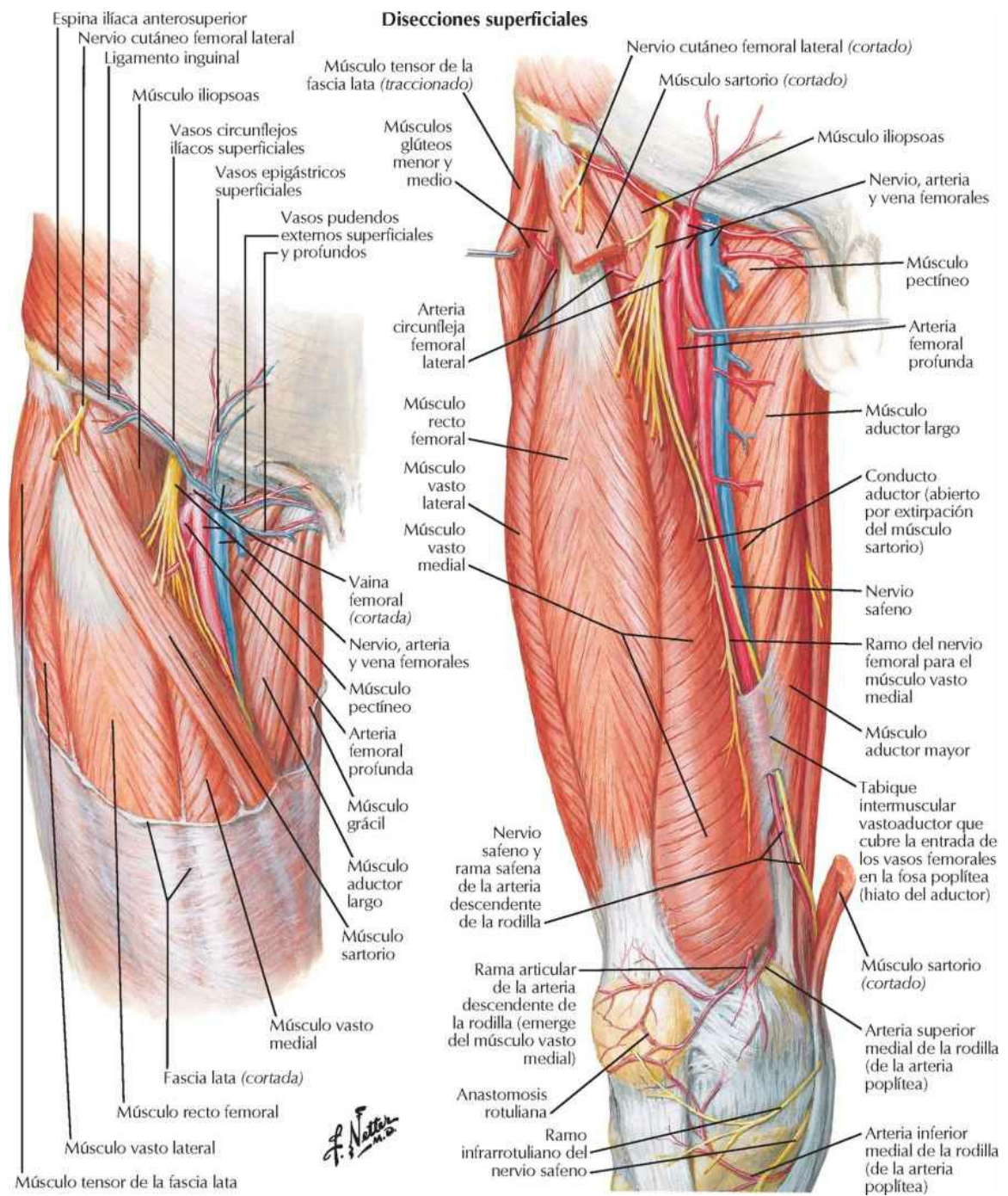
Plexos sacro y coccígeo

Véase también lámina 269

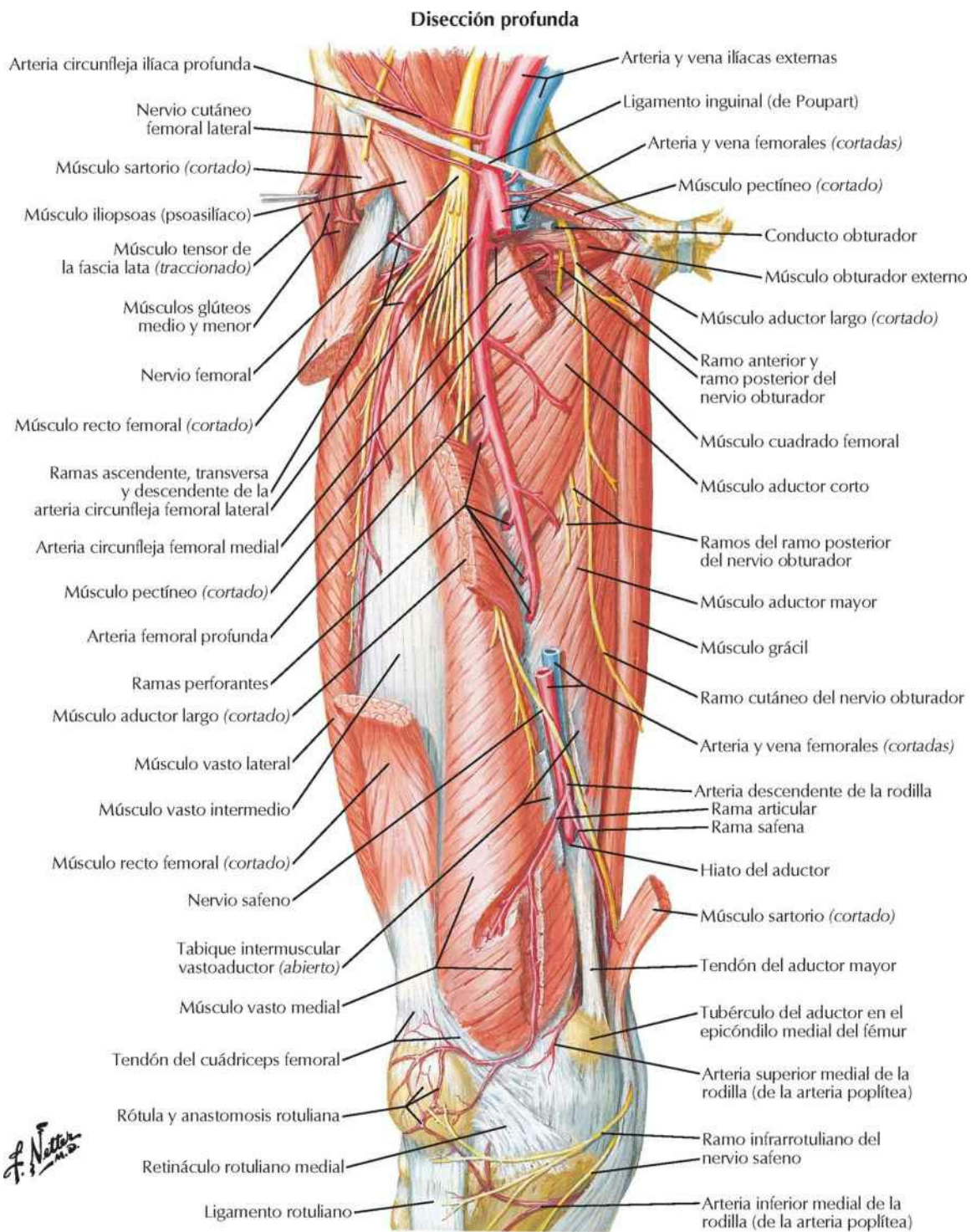


Arterias y nervios del muslo: visiones anteriores

Véanse también láminas 503, 529

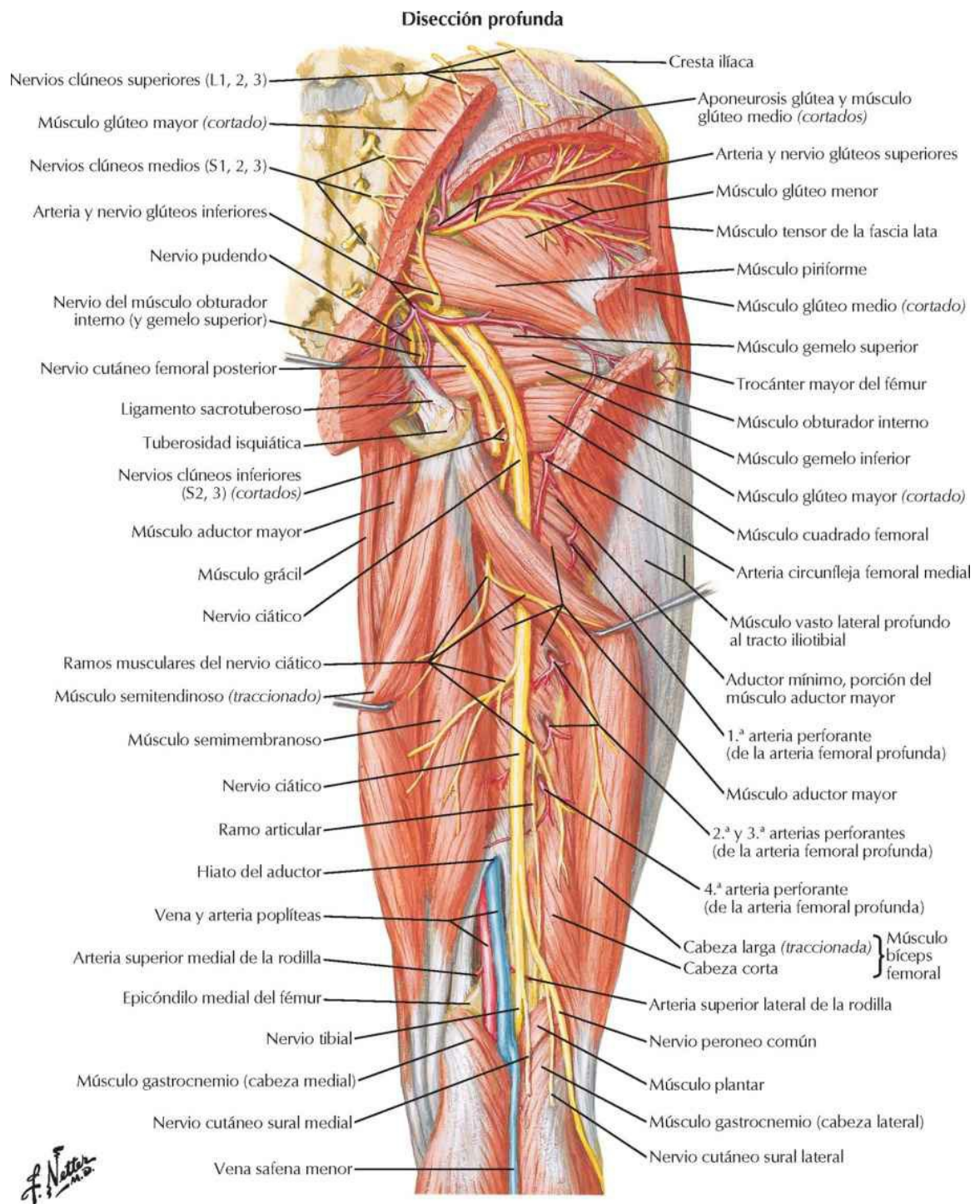


Véanse también láminas 529, 530



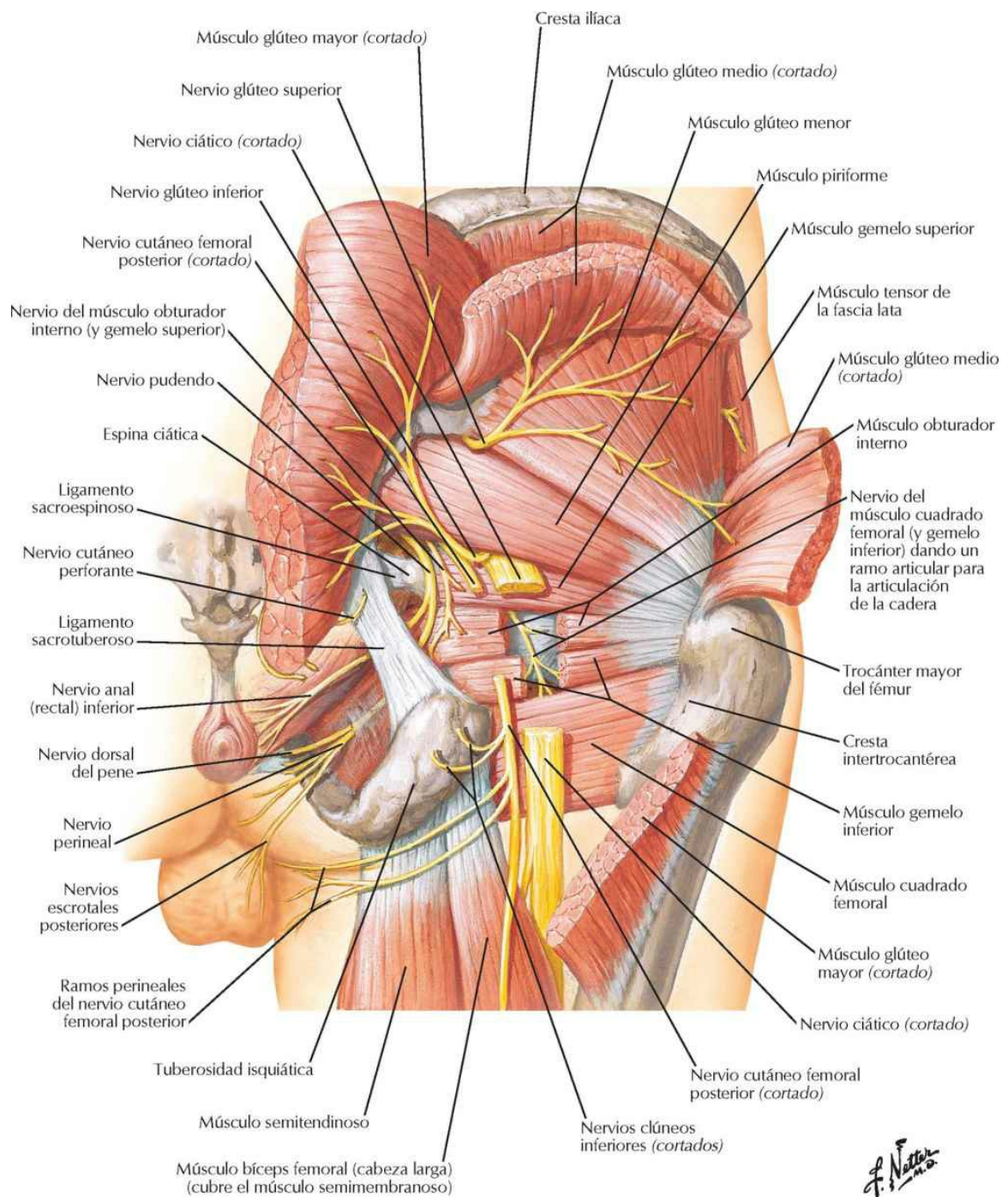
Arterias y nervios del muslo: visión posterior

Véase también lámina 531

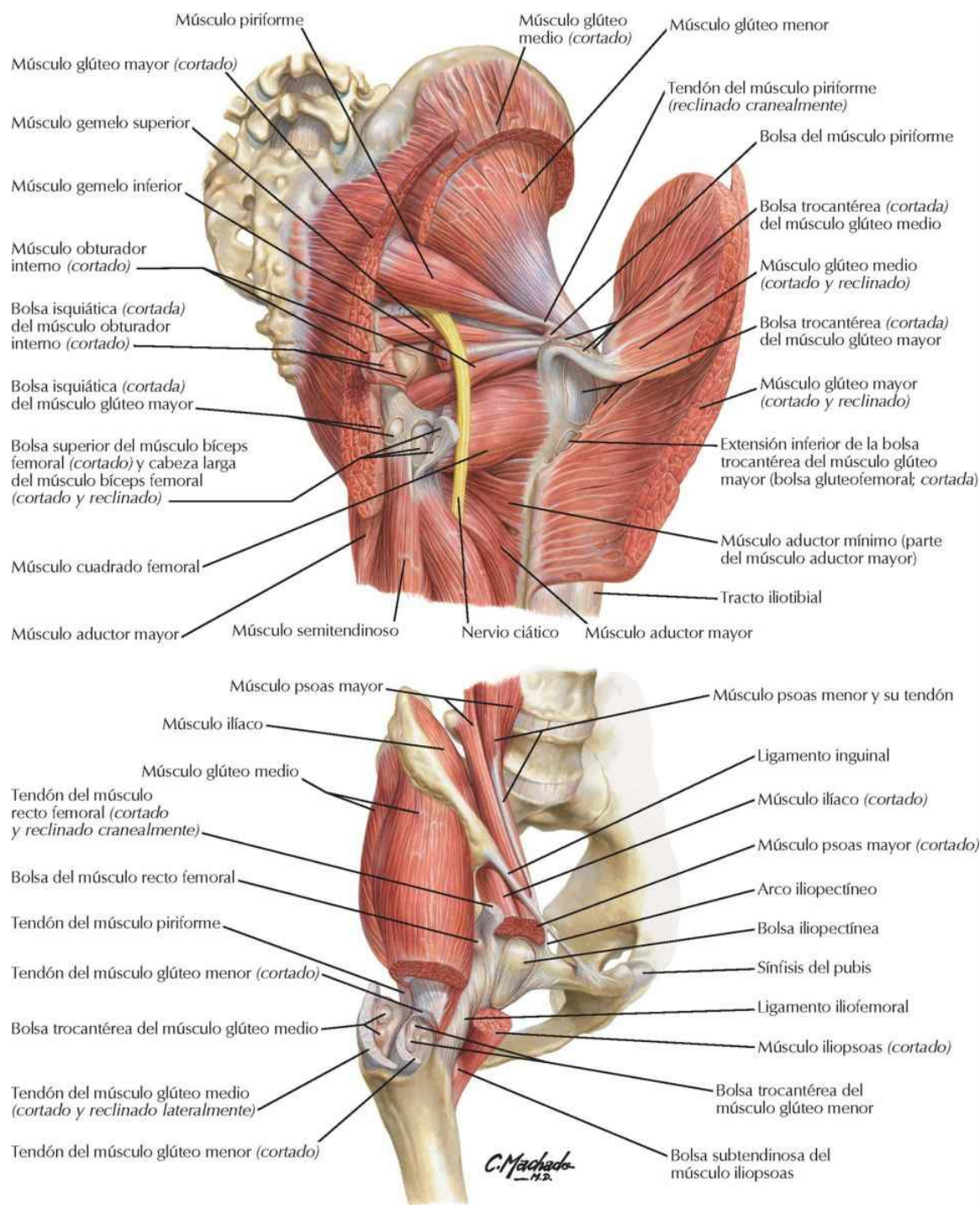


Nervios de la cadera y nalga

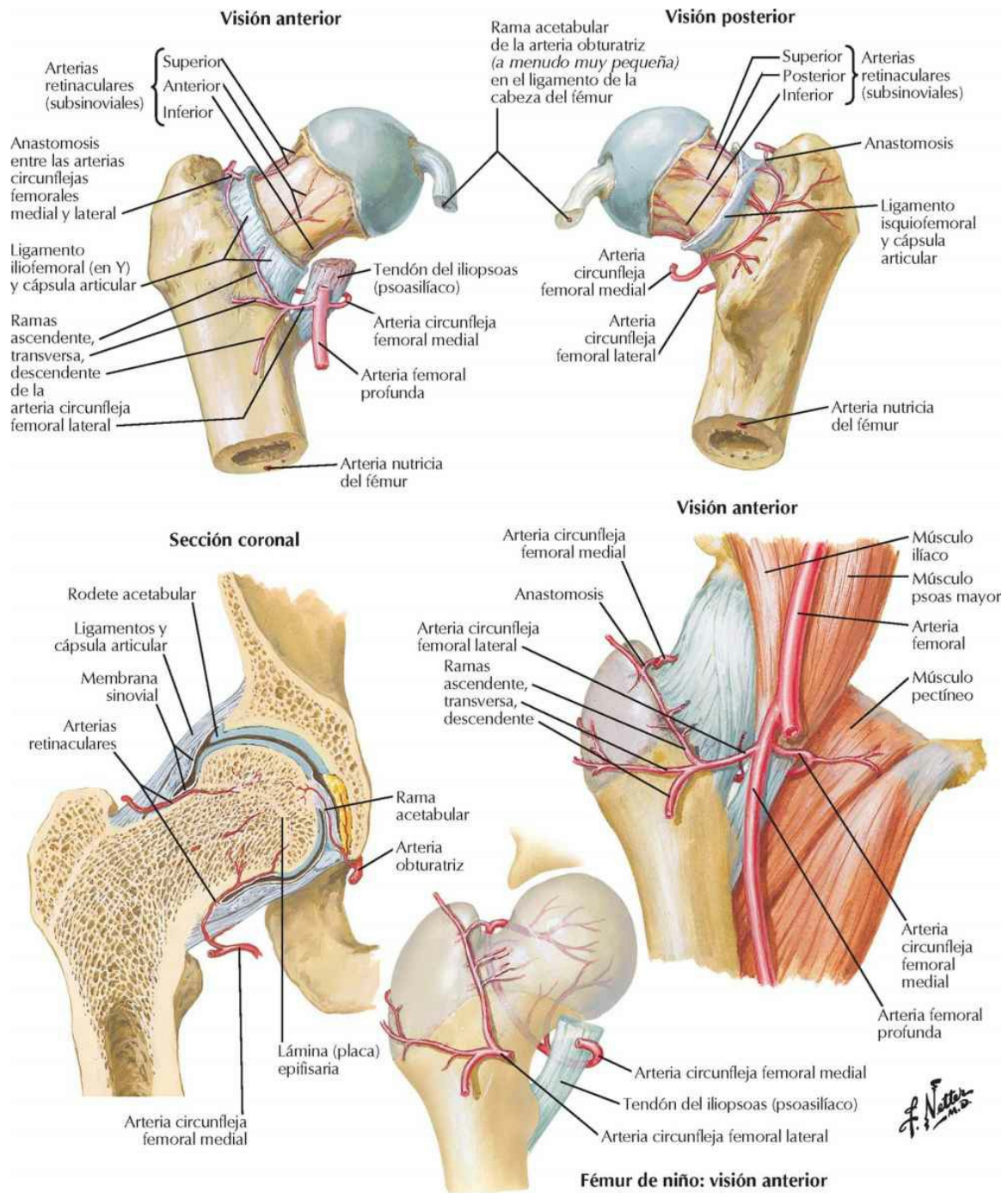
Véase también lámina 337



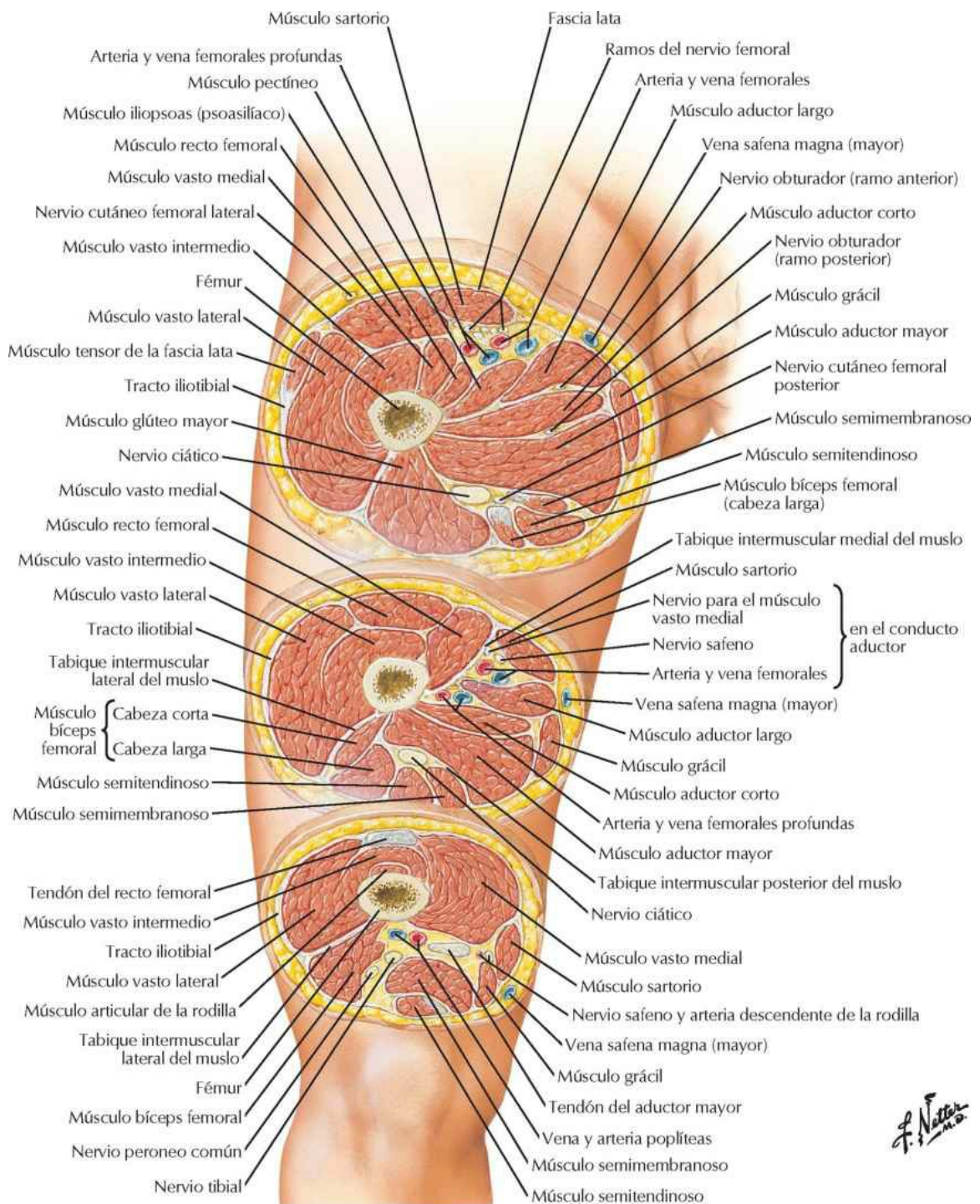
Bolsas (sinoviales) de la cadera: visiones posterior y anterolateral



Arterias de la cabeza y cuello femorales
Véanse también láminas 477, 503



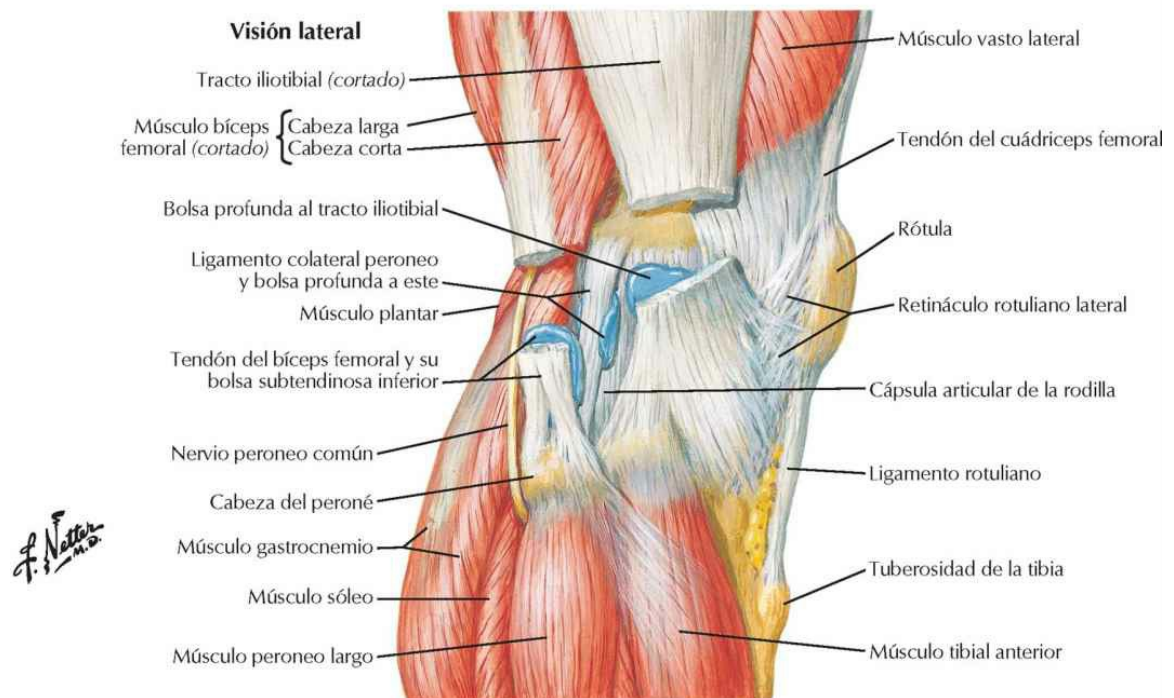
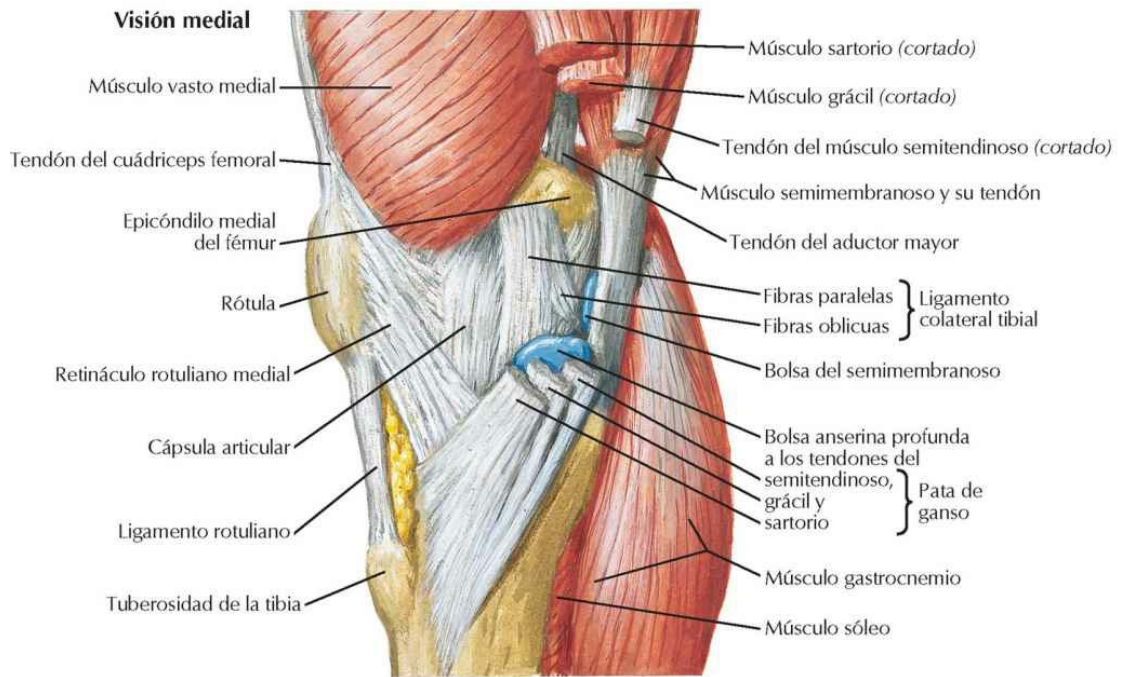
Muslo: secciones transversales seriadas



F. Netter M.D.

Rodilla

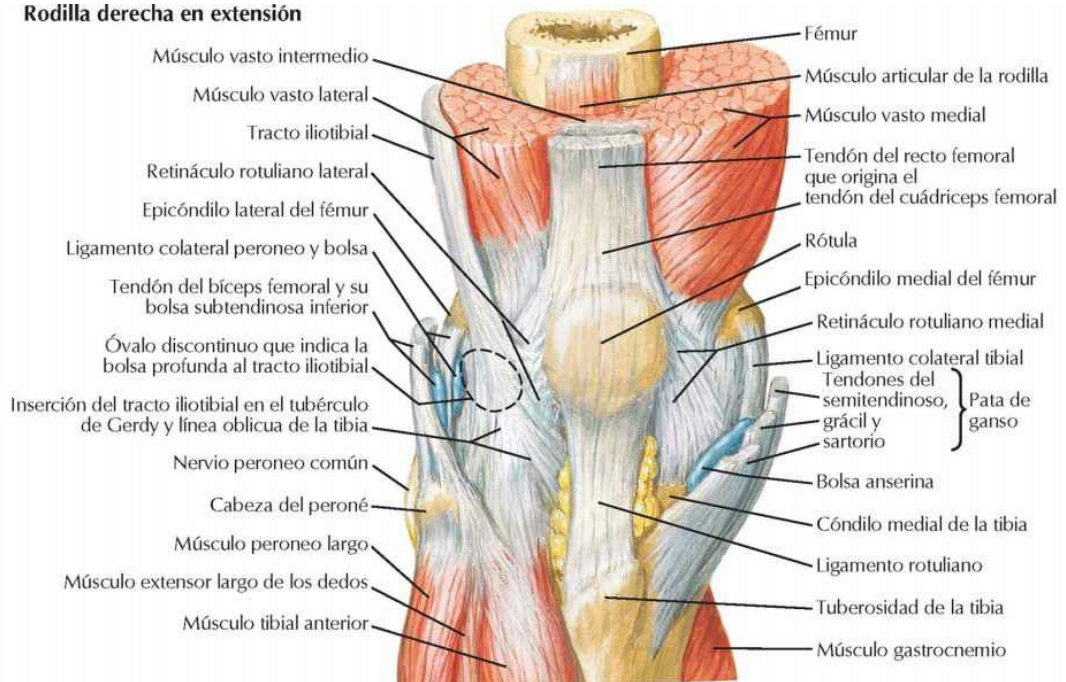
Rodilla: visiones medial y lateral



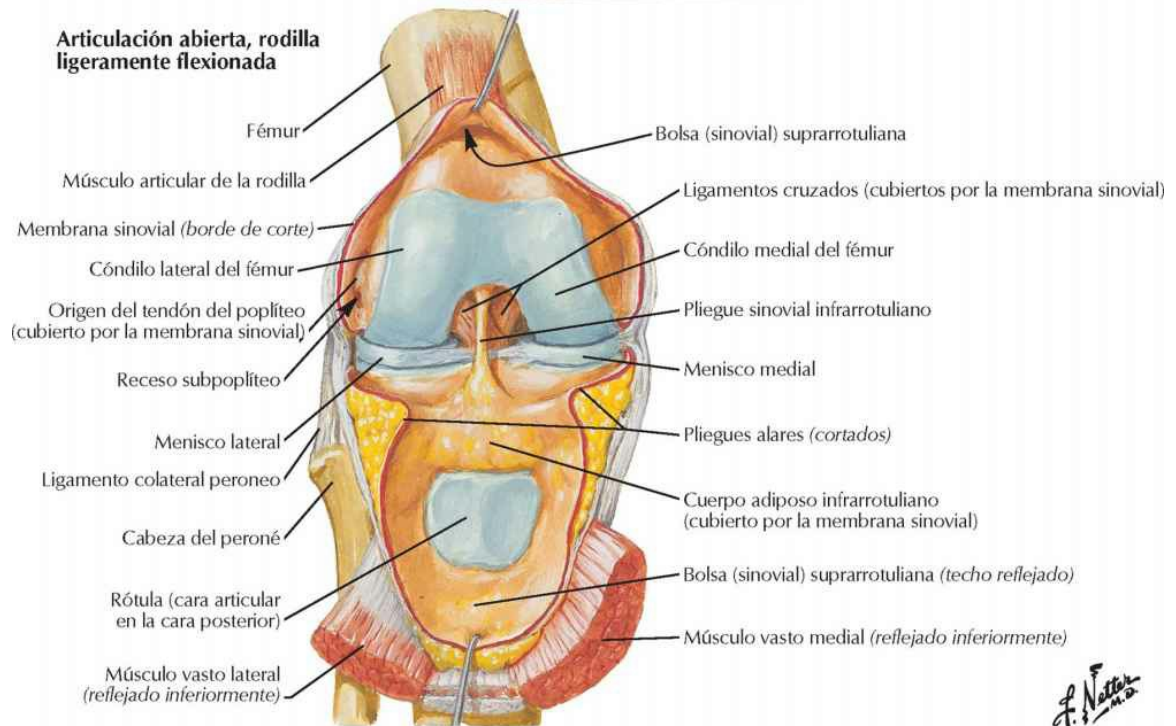
Rodilla: visiones anteriores

Véase también lámina 501

Rodilla derecha en extensión

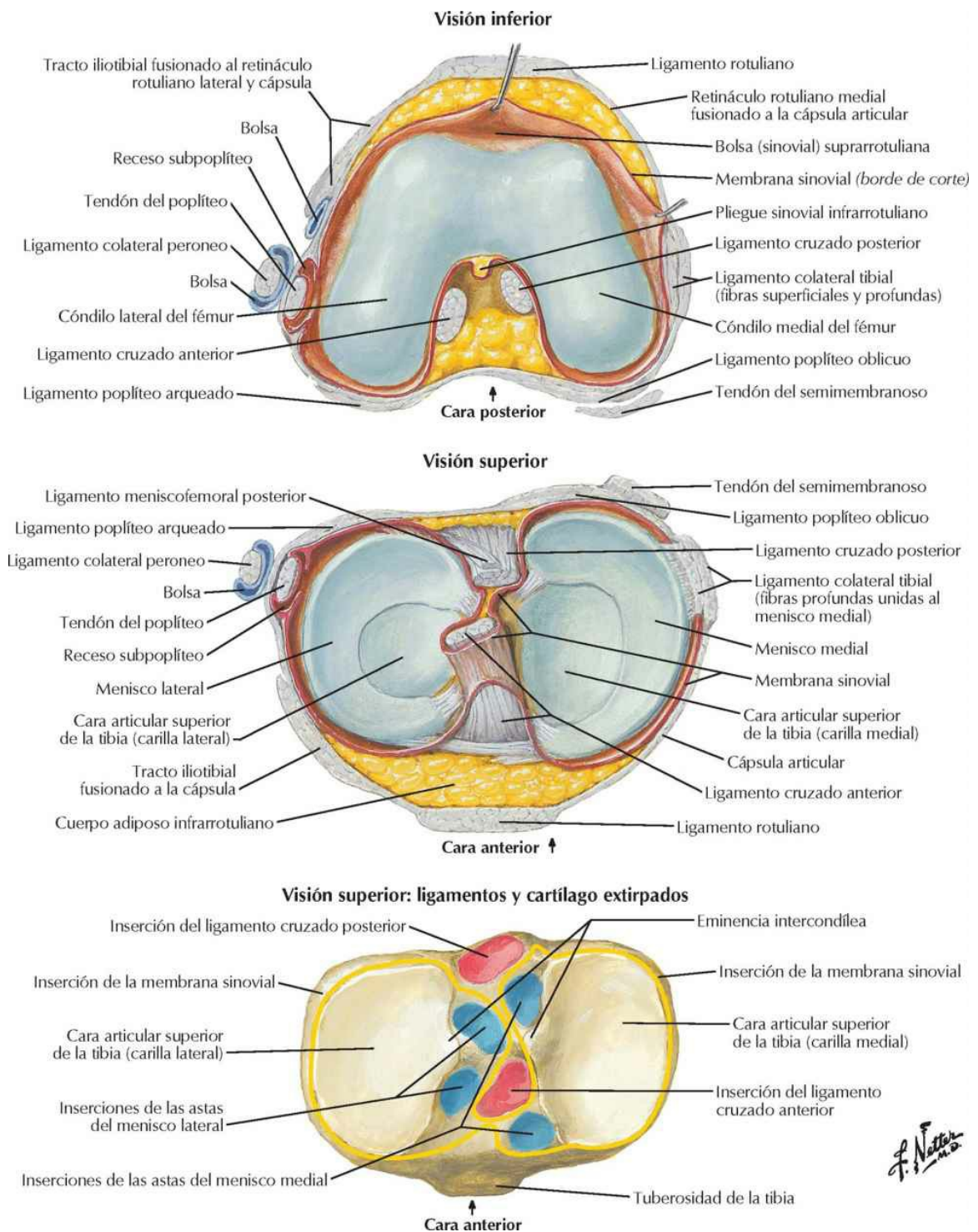


Articulación abierta, rodilla ligeramente flexionada



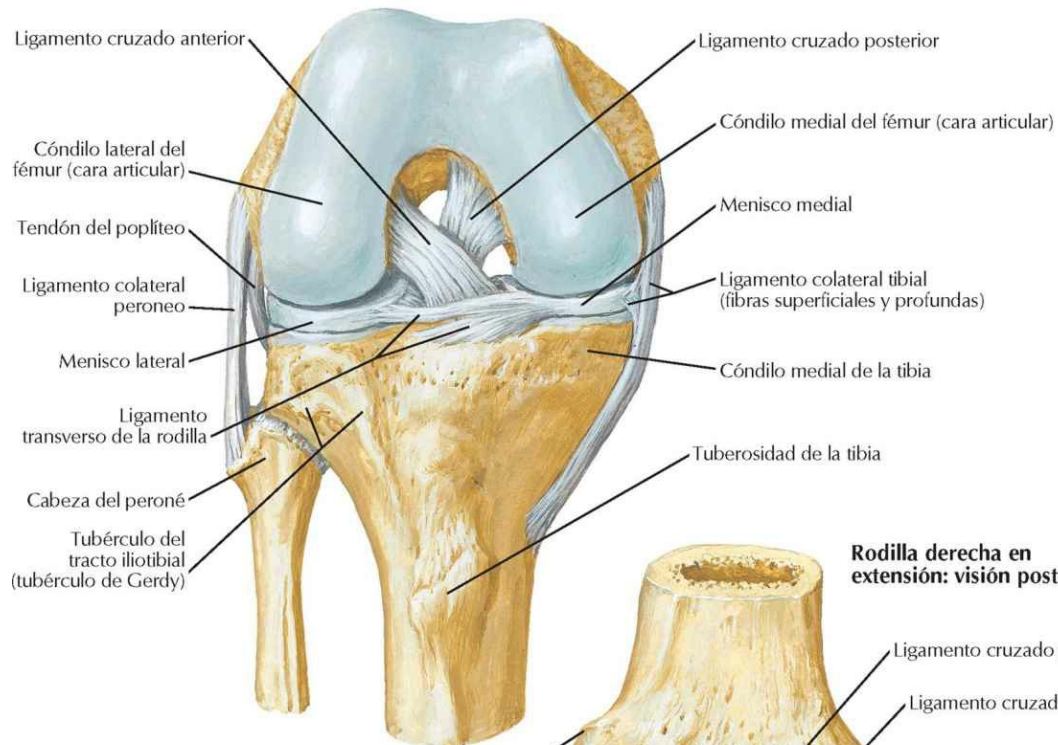
Rodilla: visiones internas

Véase también lámina 505

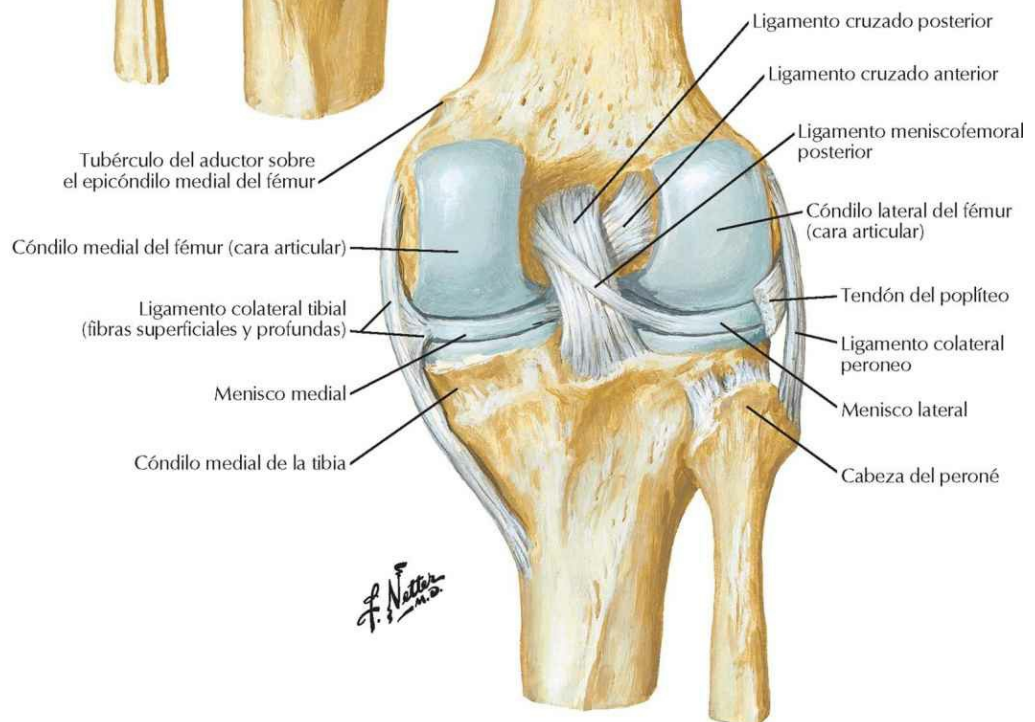


Rodilla: ligamentos cruzados y colaterales

Rodilla derecha en flexión: visión anterior

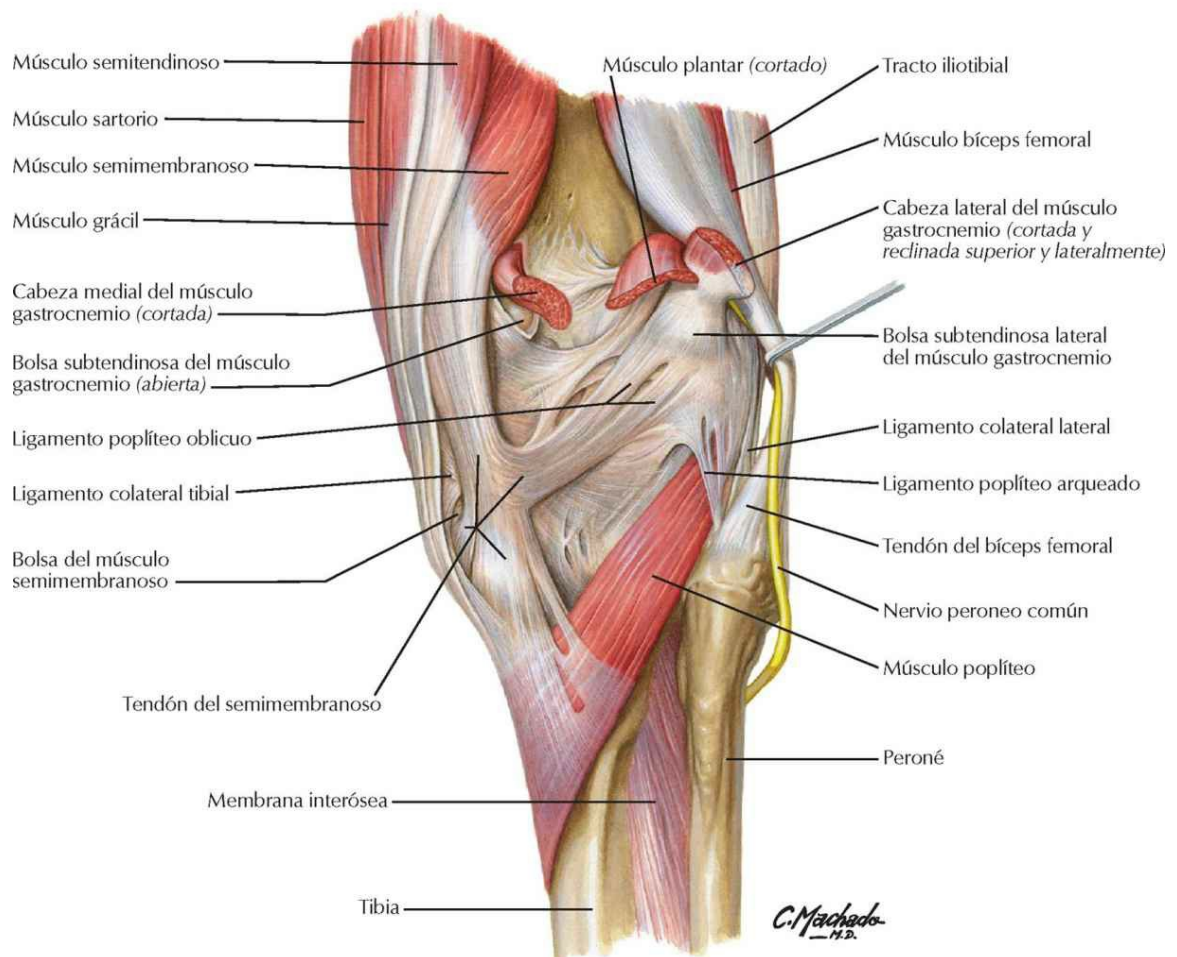
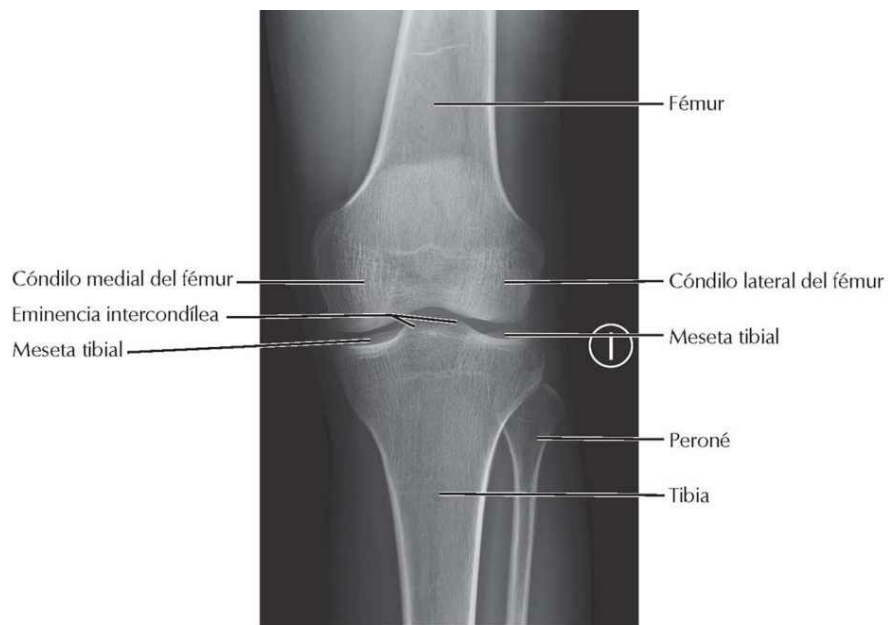


Rodilla derecha en extensión: visión posterior

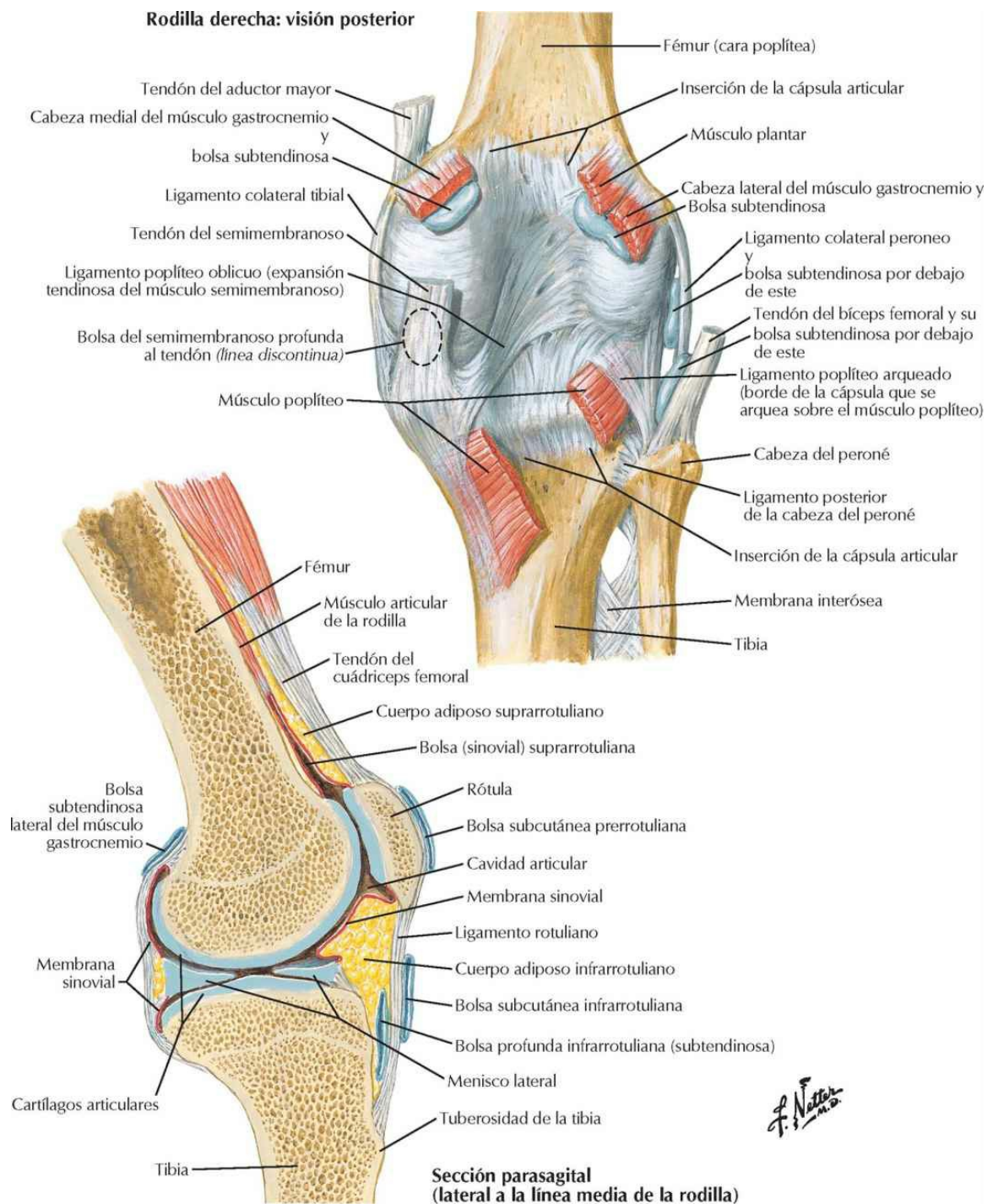


Rodilla: radiografía anteroposterior y visión posterior

Véase también lámina 498

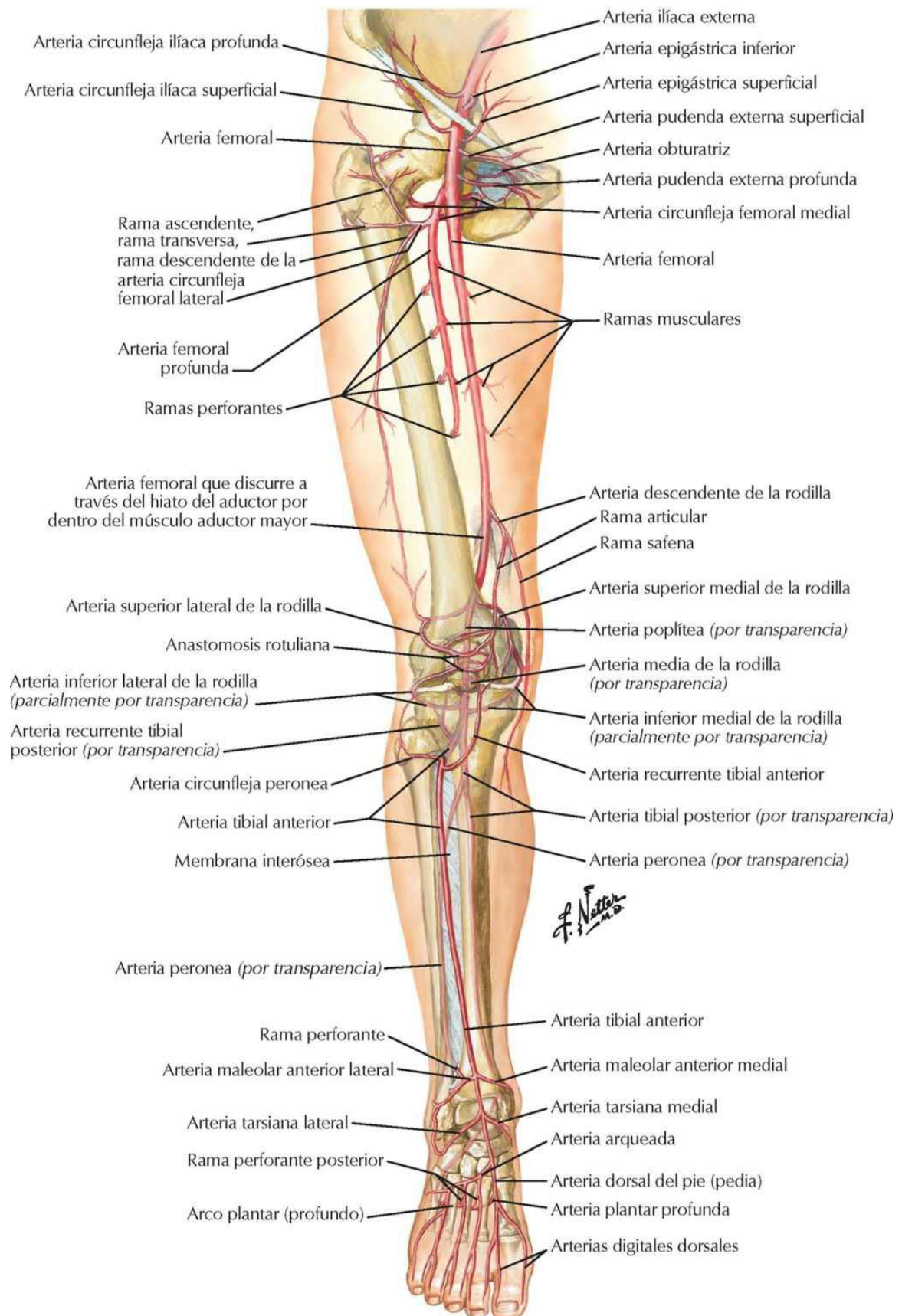


Rodilla: visiones posterior y sagital



Arterias del miembro inferior: esquema

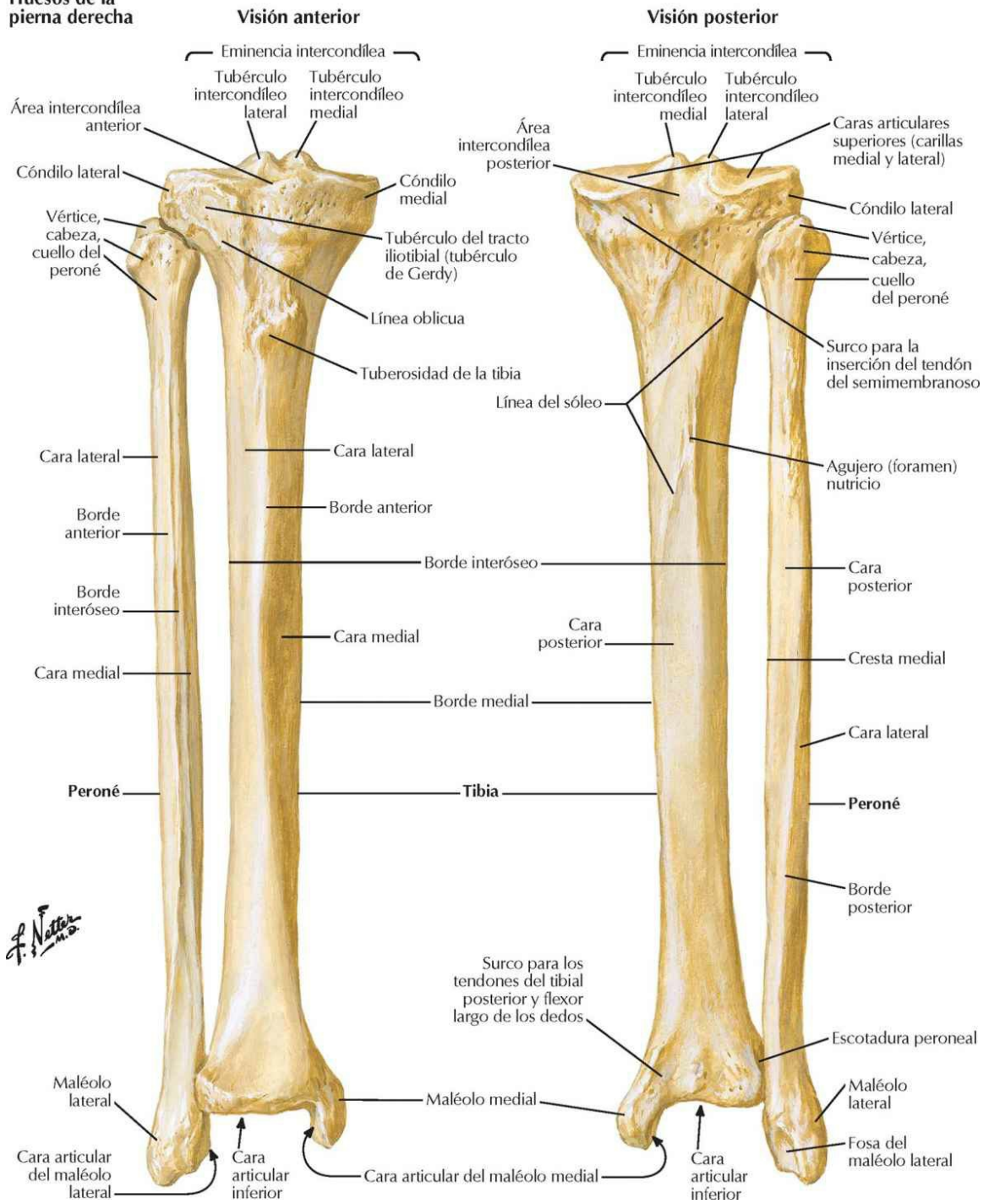
Véanse también láminas 495, 512



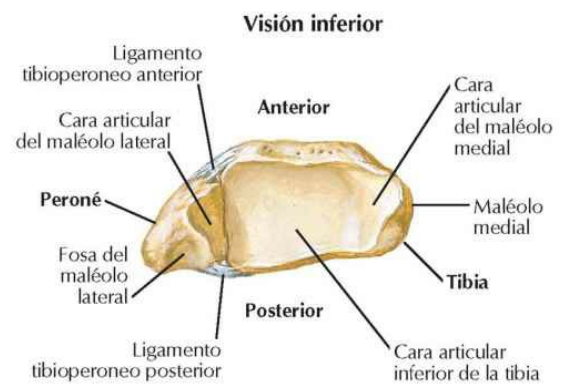
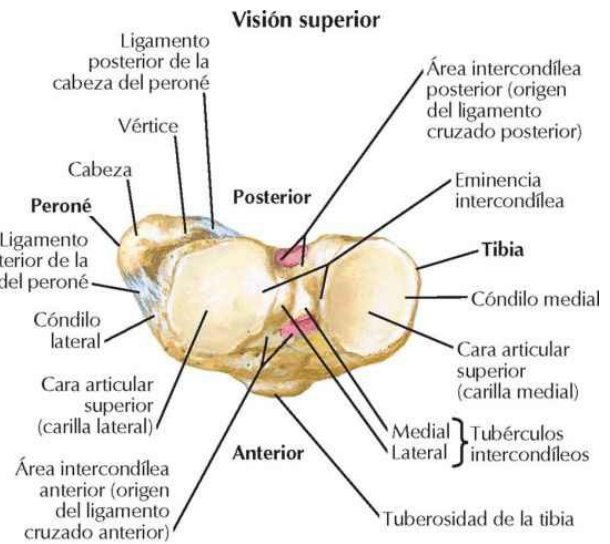
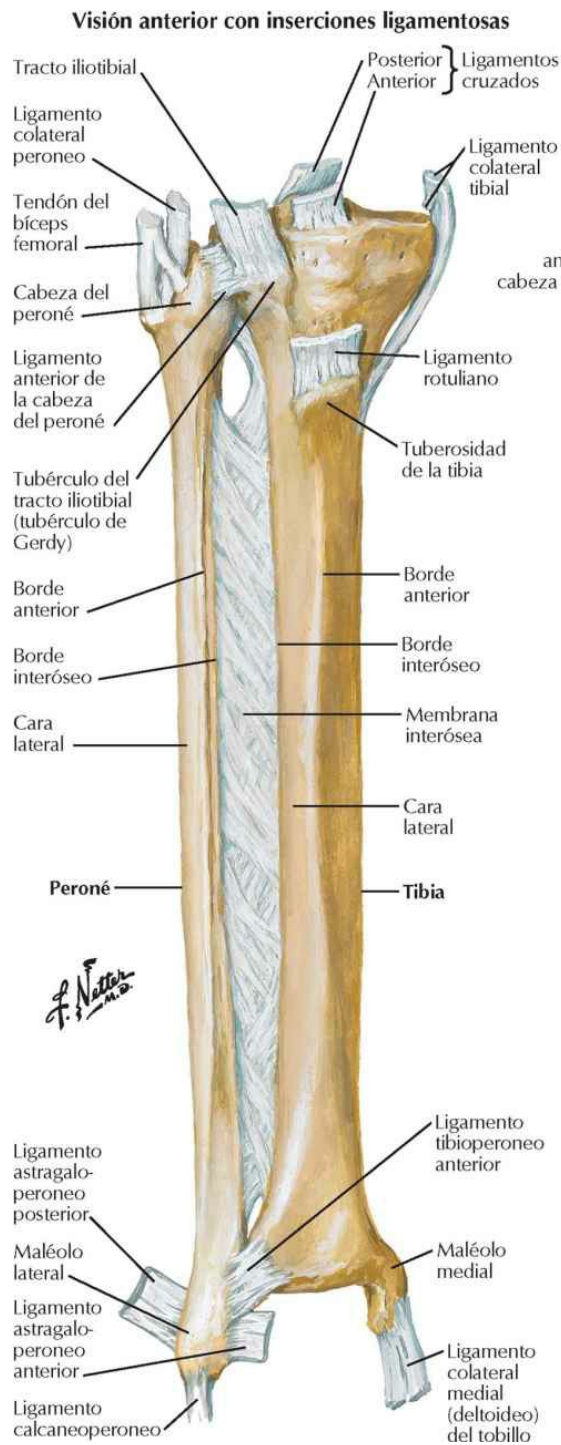
Pierna

Tibia y peroné

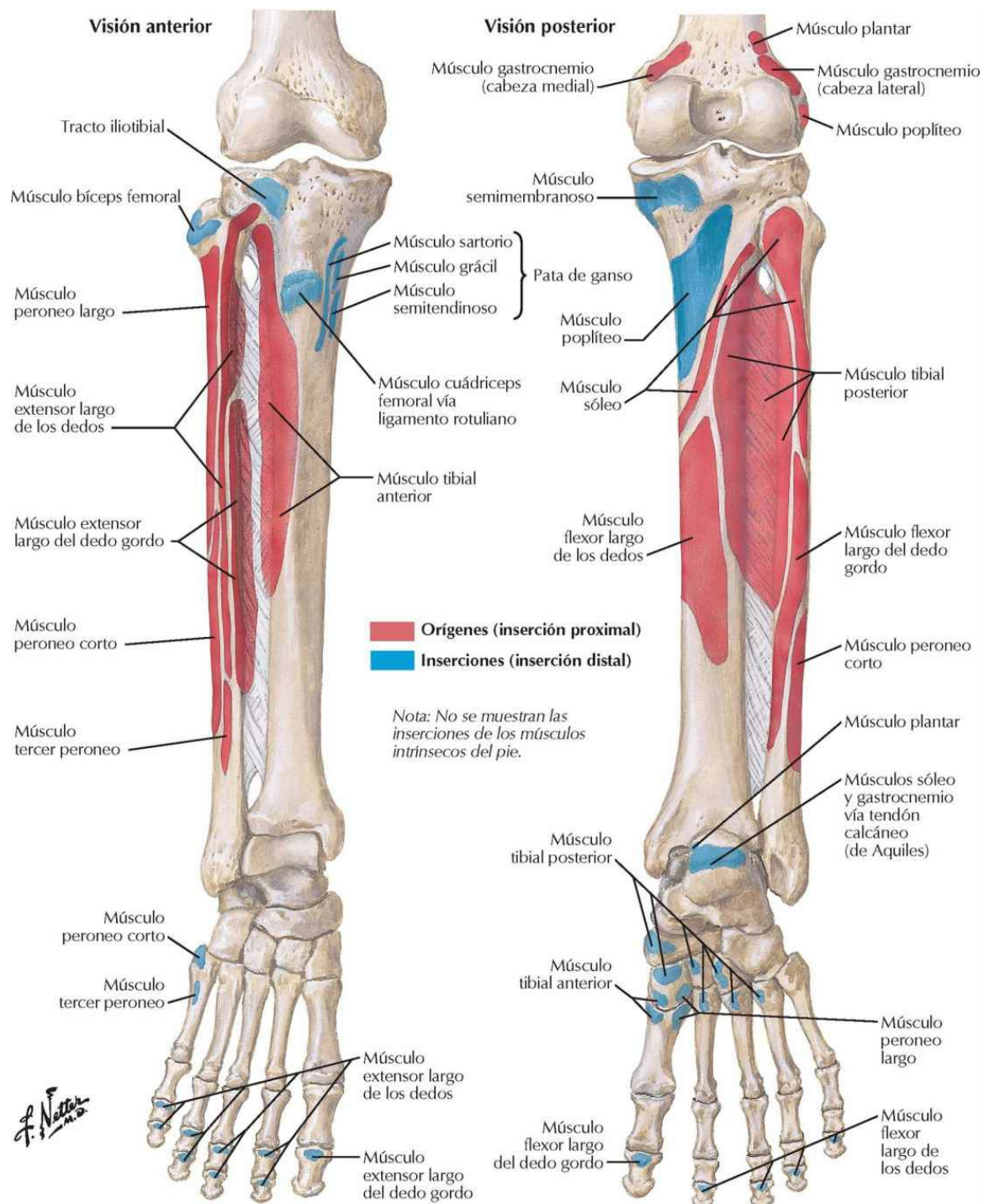
**Huesos de la
pierna derecha**



Véase también lámina 499



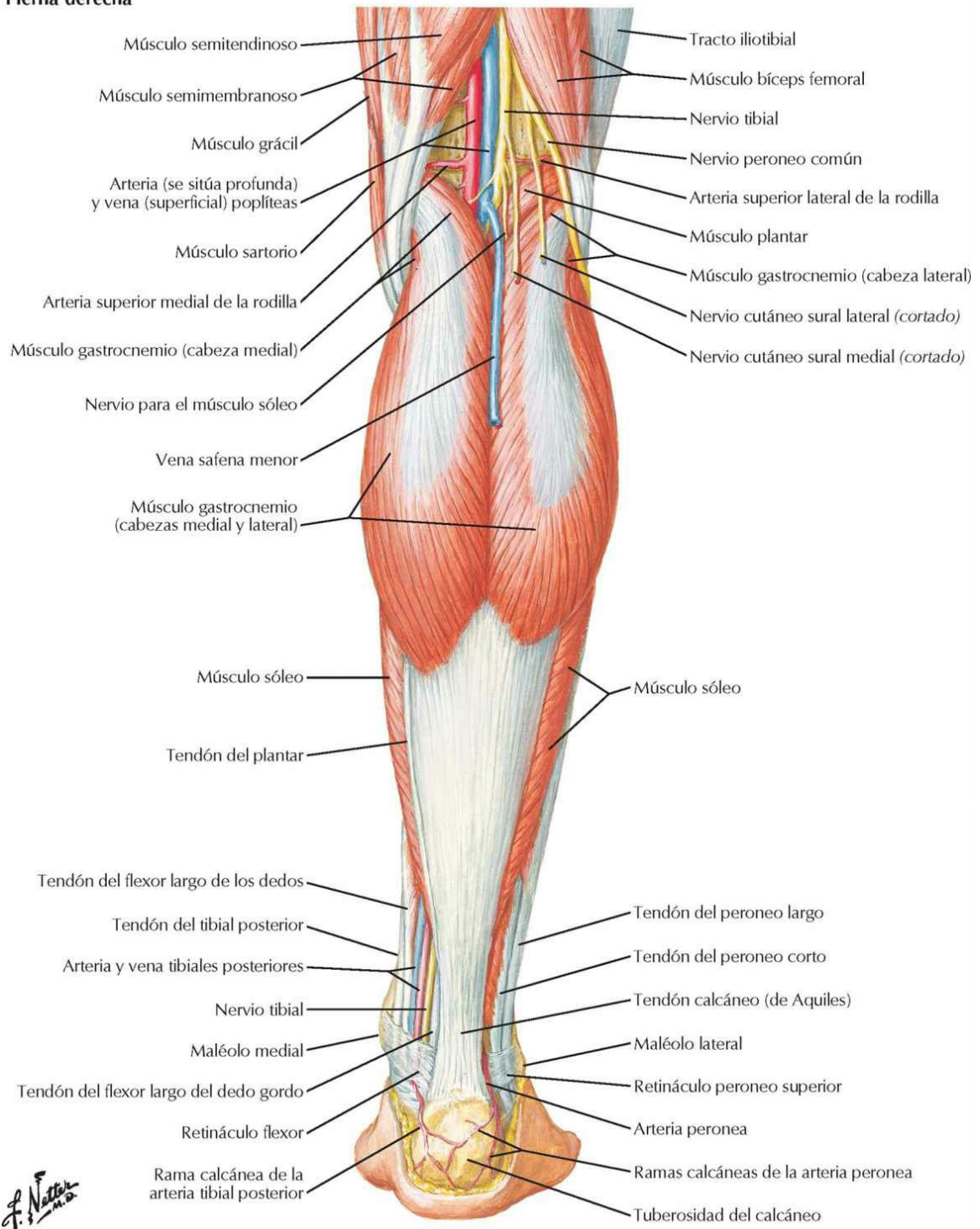
Inserciones de los músculos de la pierna
Véanse también láminas 509, 512



Músculos de la pierna (disección superficial): visión posterior

Véase también lámina 532

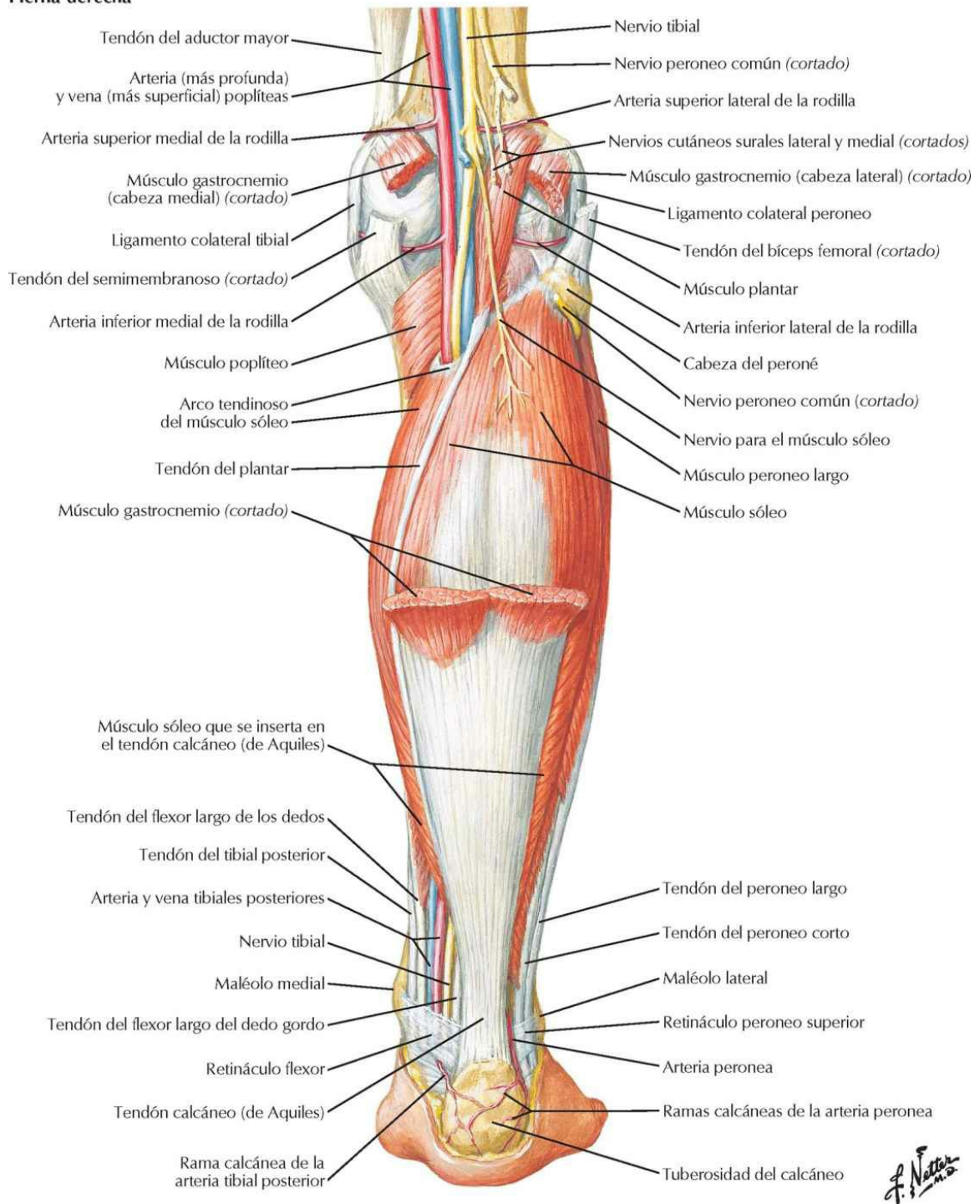
Pierna derecha



Músculos de la pierna (disección intermedia): visión posterior

Véase también lámina 532

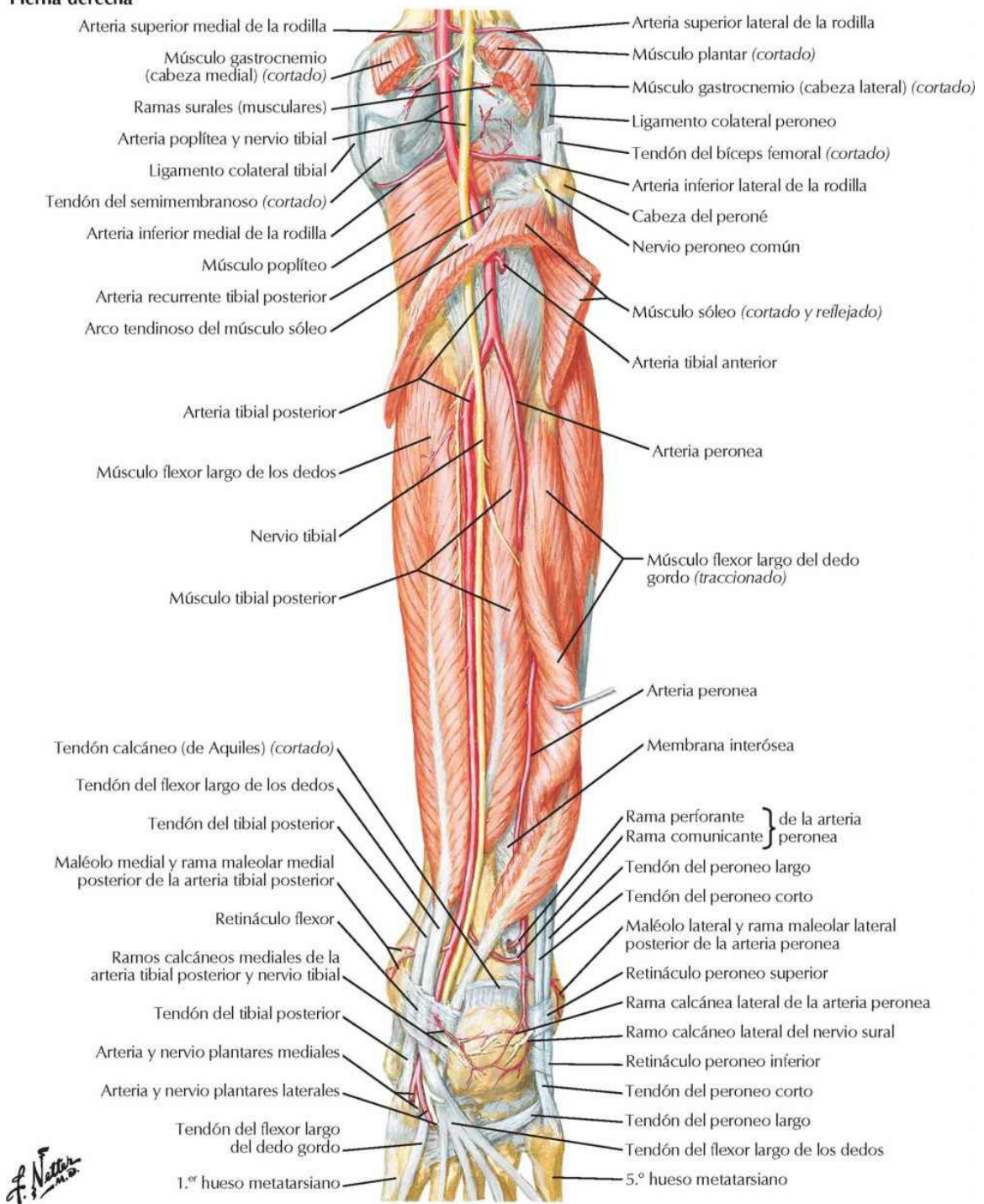
Pierna derecha



Músculos de la pierna (disección profunda): visión posterior

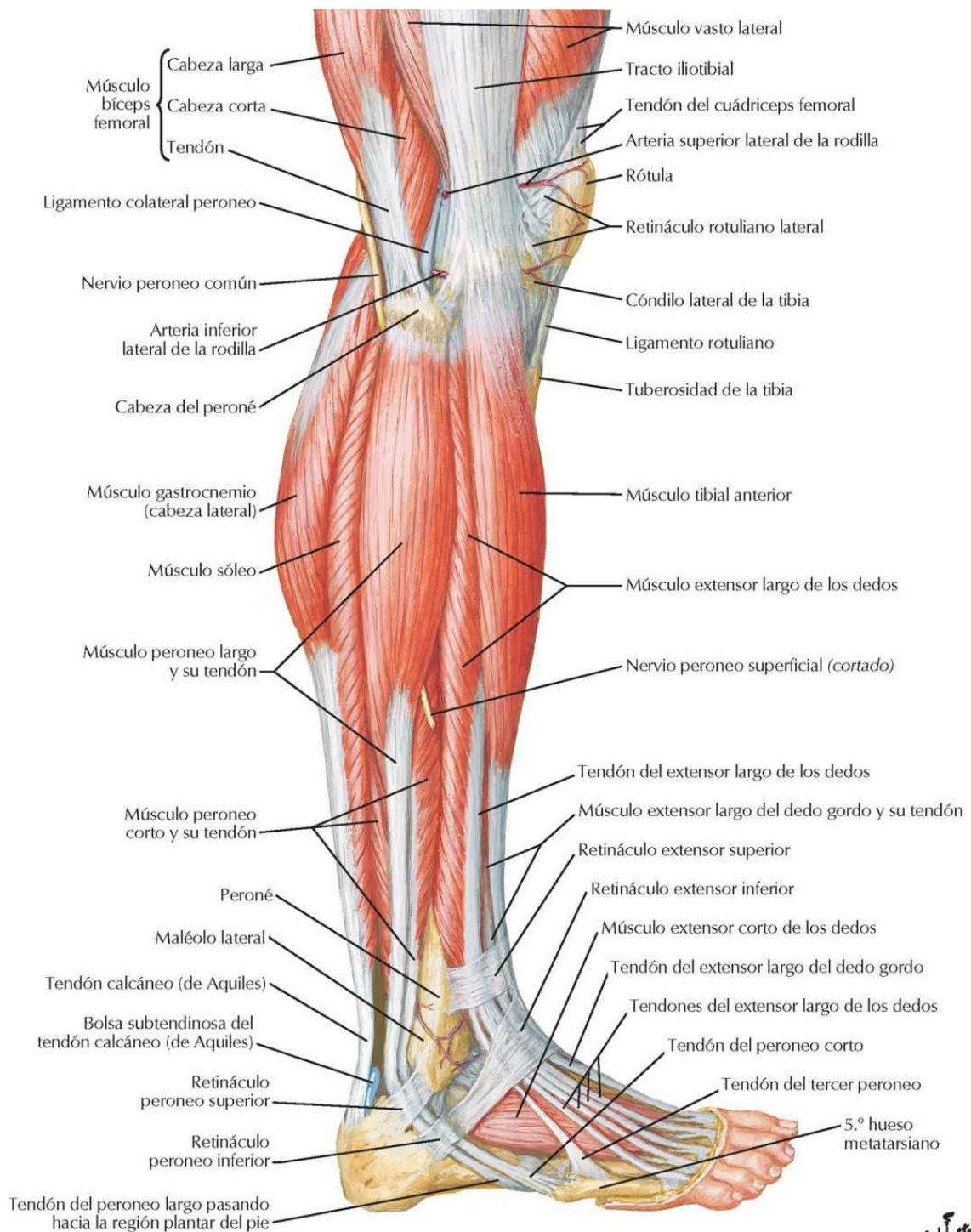
Véase también lámina 532

Pierna derecha



Músculos de la pierna: visión lateral

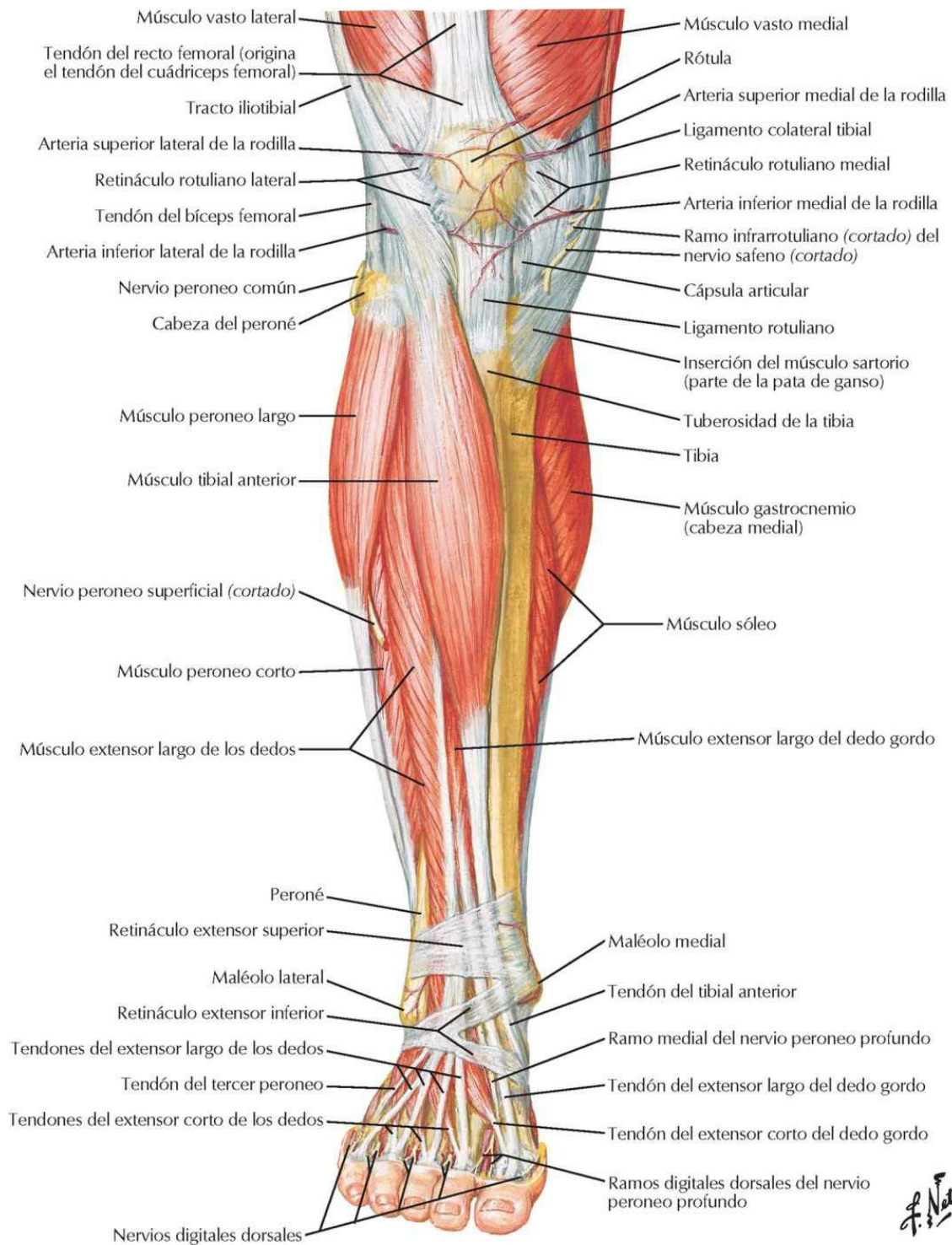
Véanse también láminas 520, 533



F. Netter M.D.

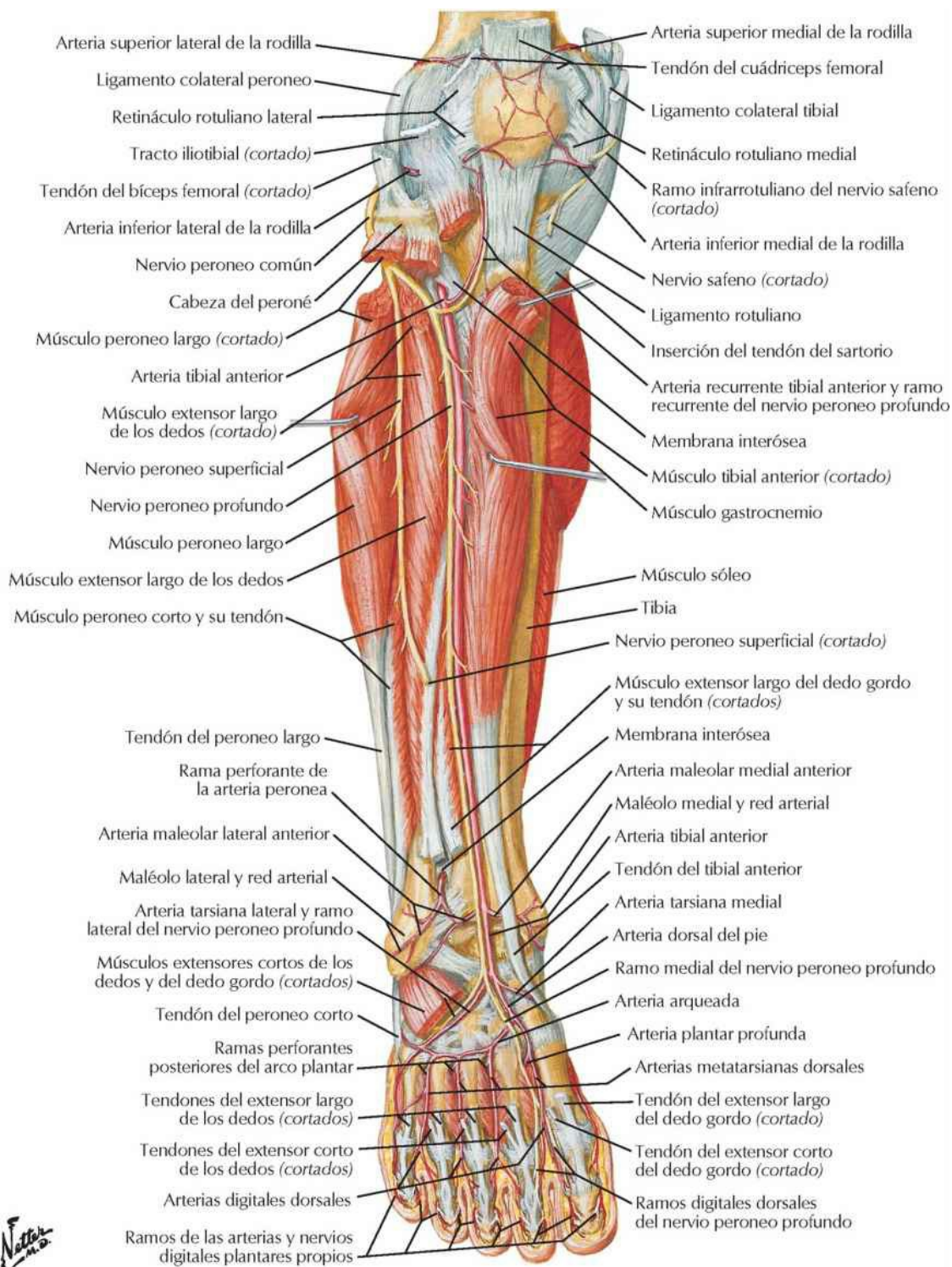
Músculos de la pierna (disección superficial): visión anterior

Véase también lámina 533

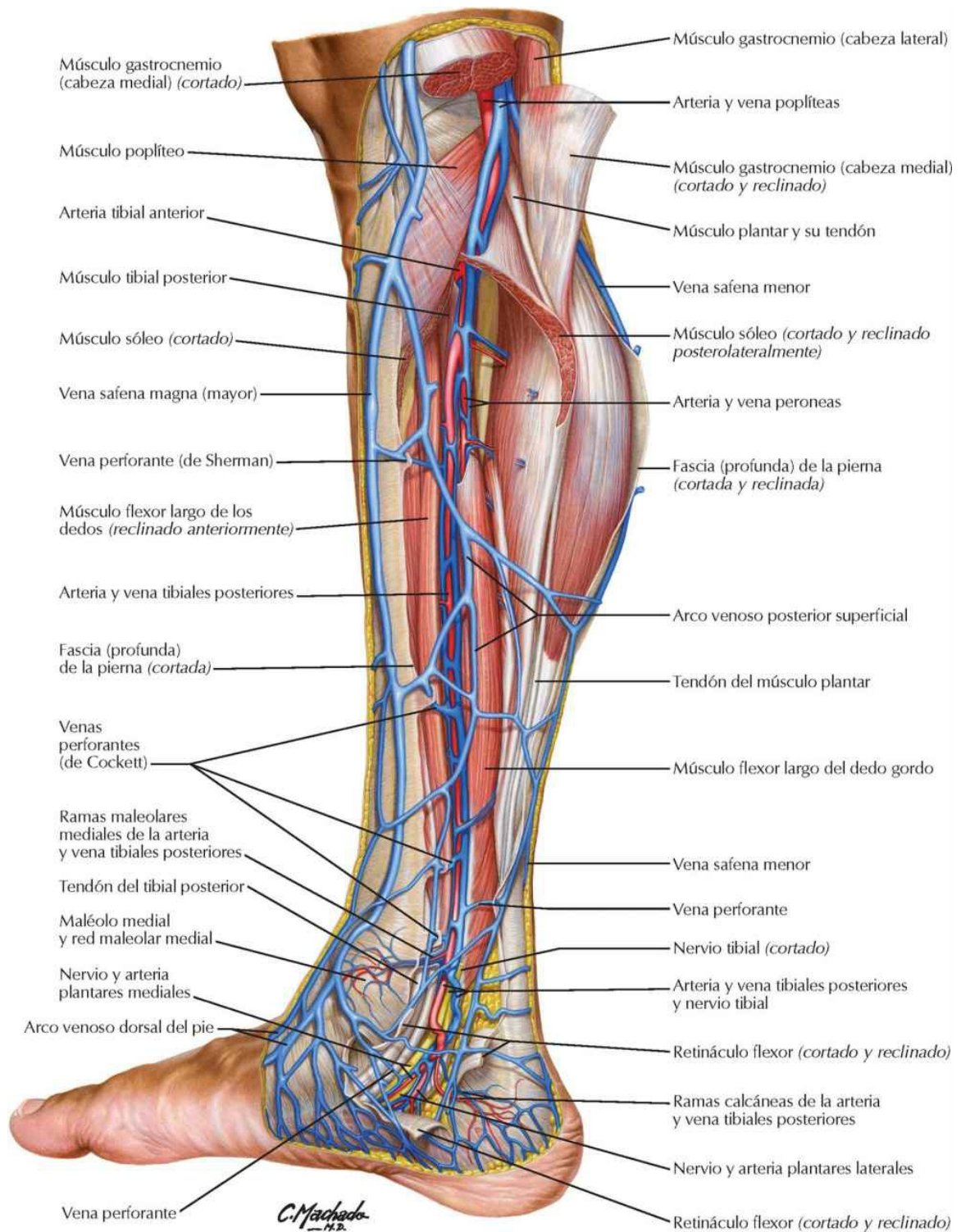


Músculos de la pierna (disección profunda): visión anterior

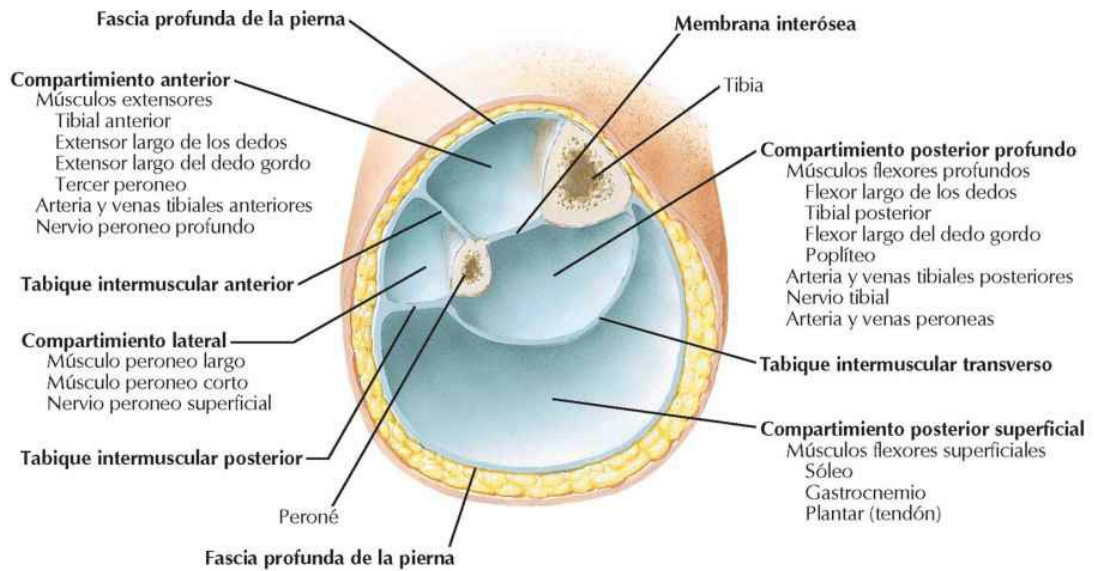
Véanse también láminas 521, 533



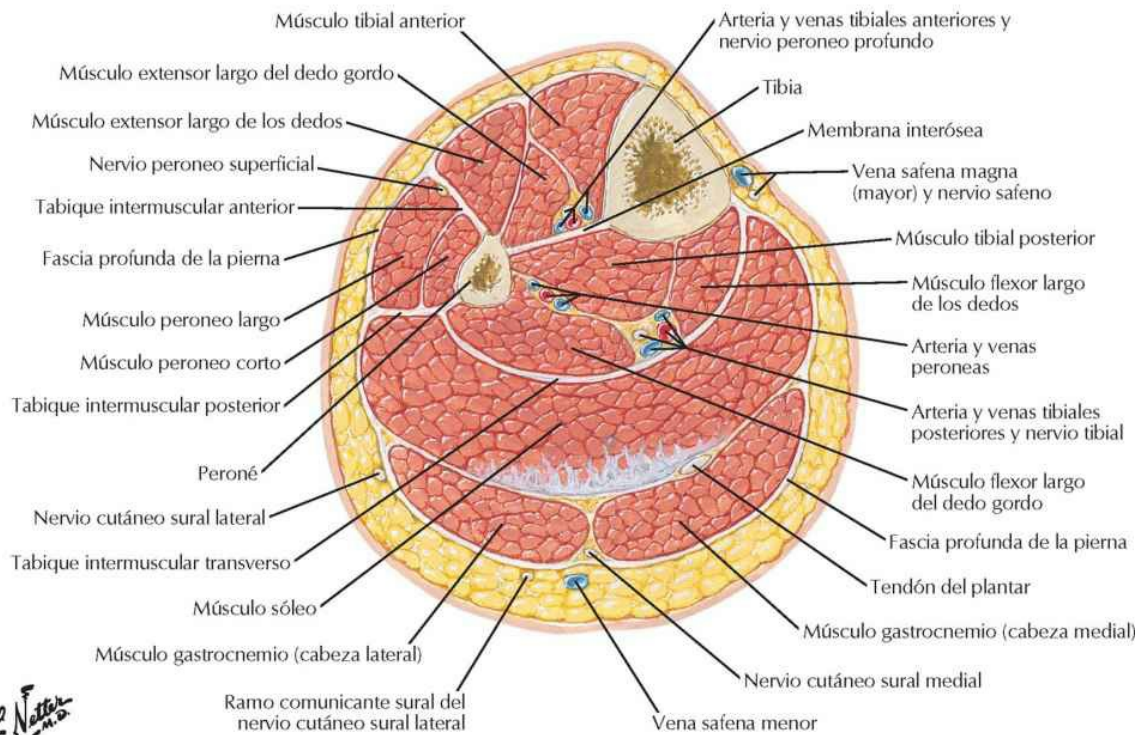
Drenaje venoso de la pierna



Pierna: secciones transversales y compartimientos fasciales



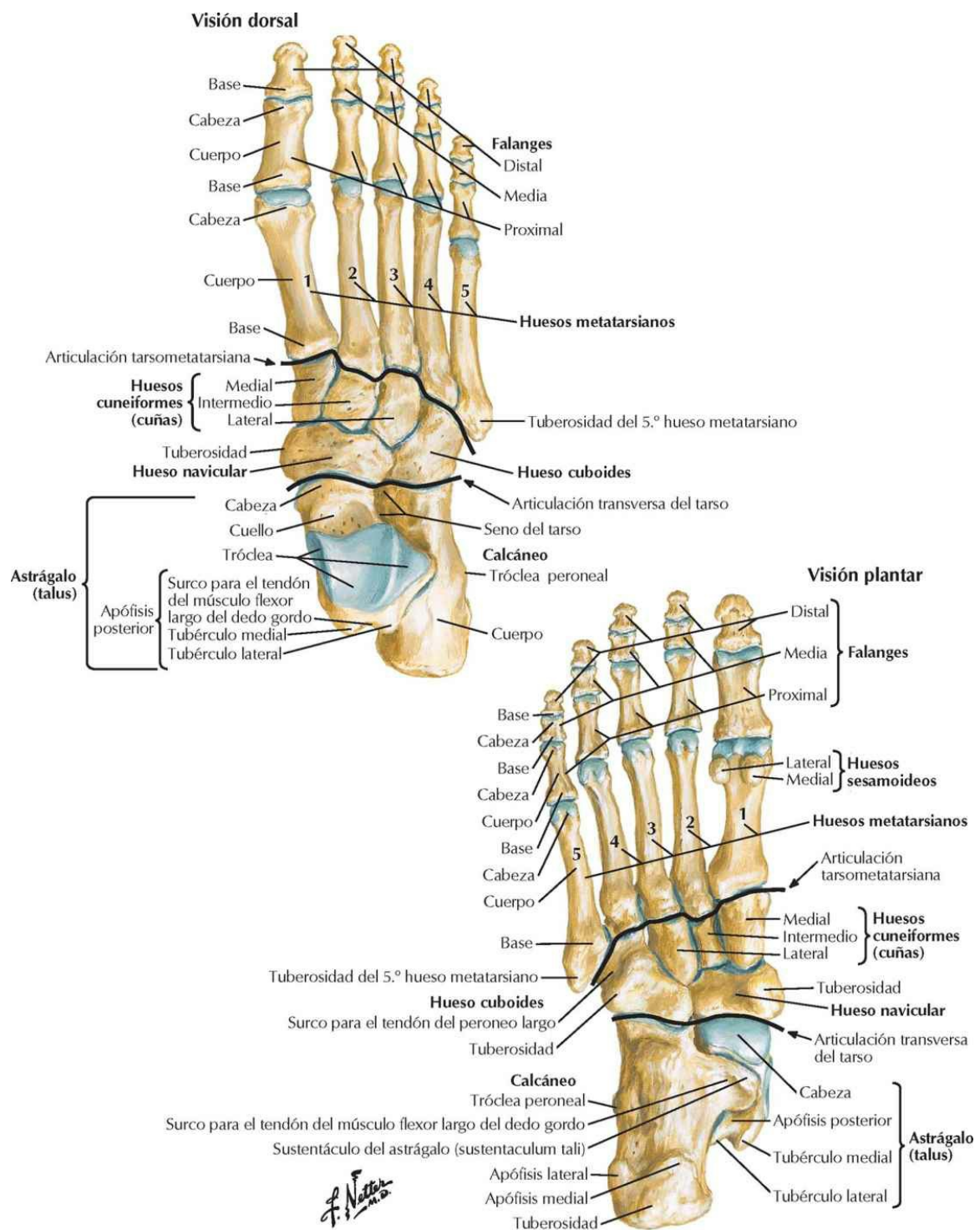
Sección transversal justo por encima de la mitad de la pierna



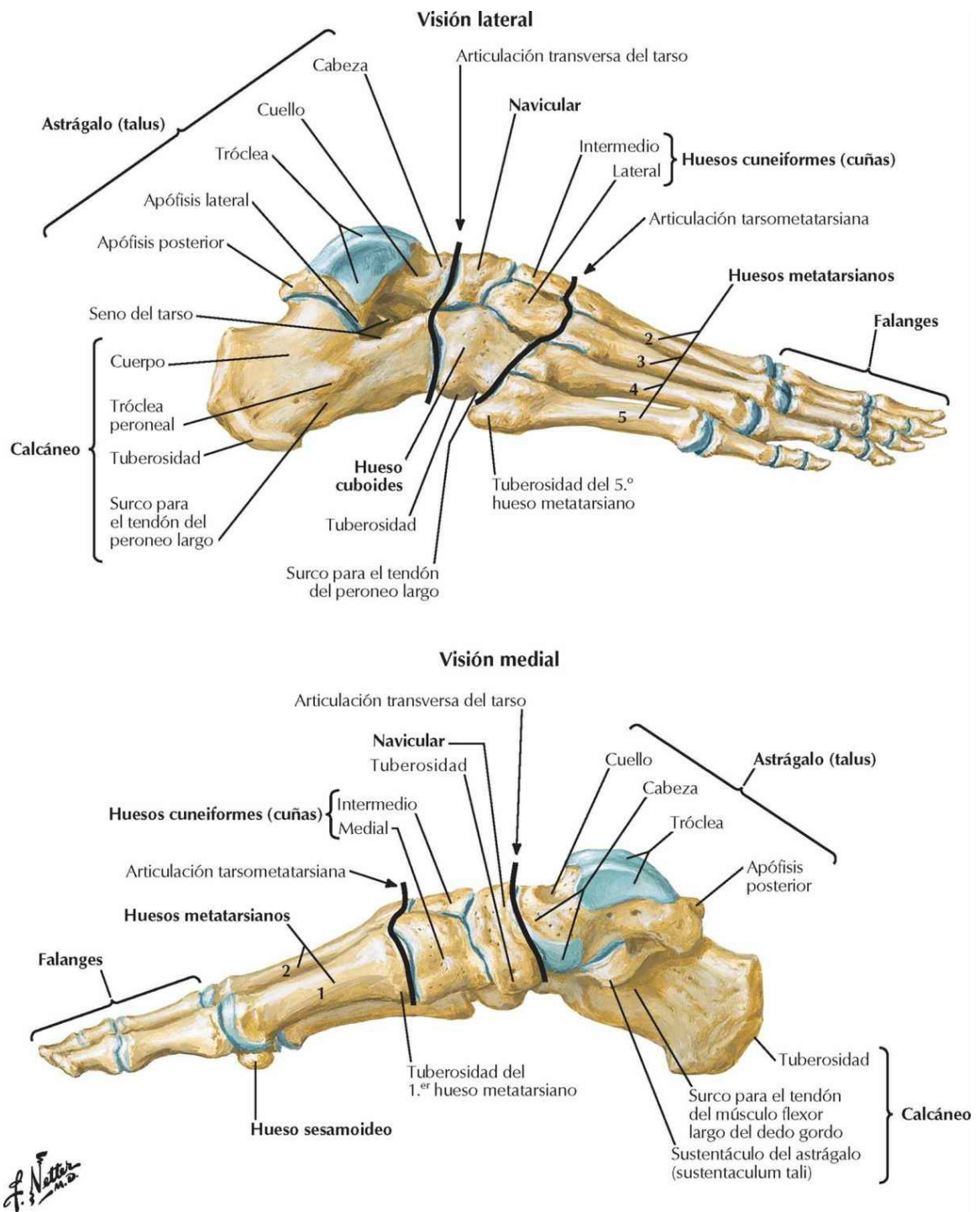
F. Netter M.D.

Tarso y pie

Huesos del pie

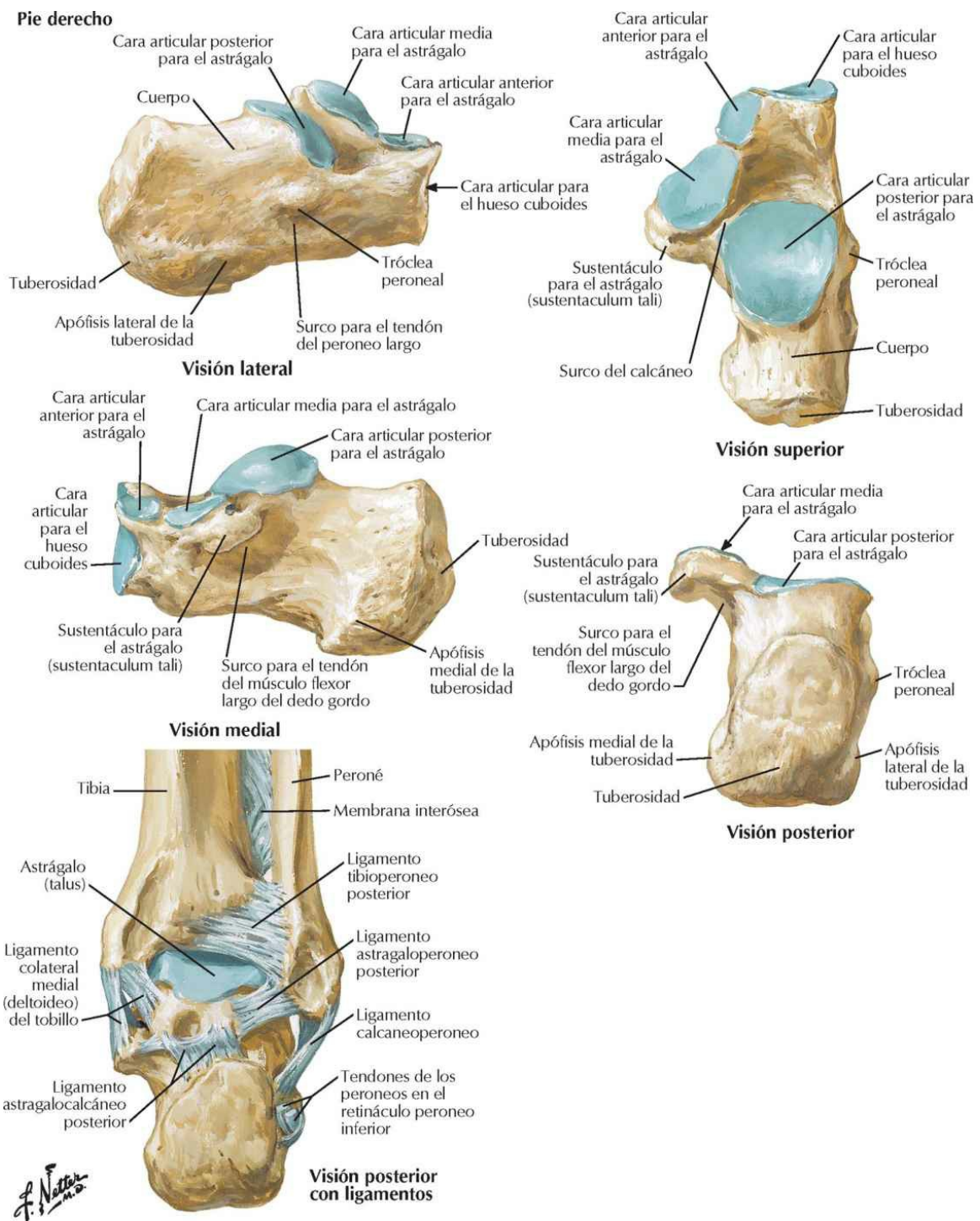


Véase también lámina 535



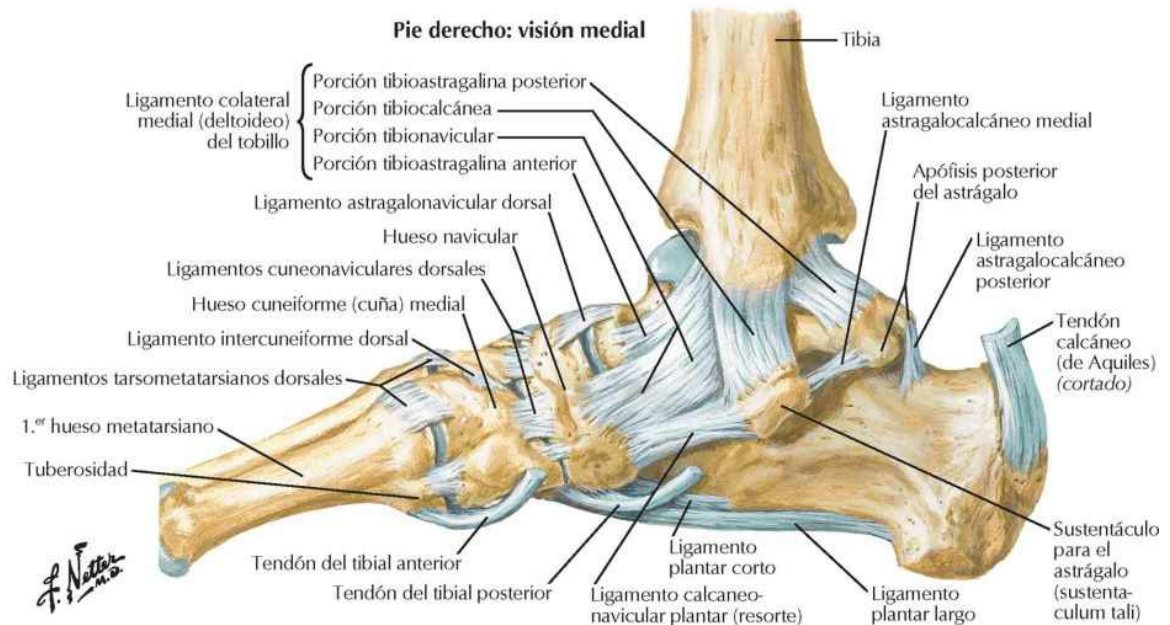
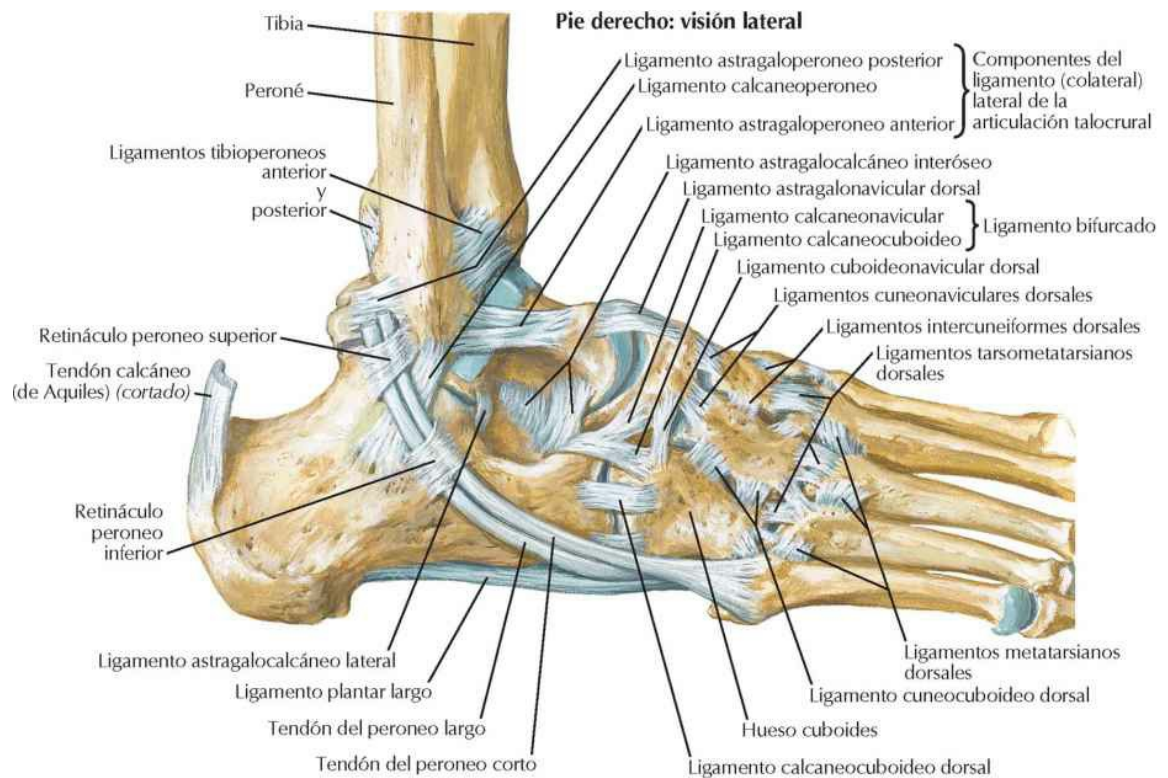
Calcáneo

Véase también lámina 535



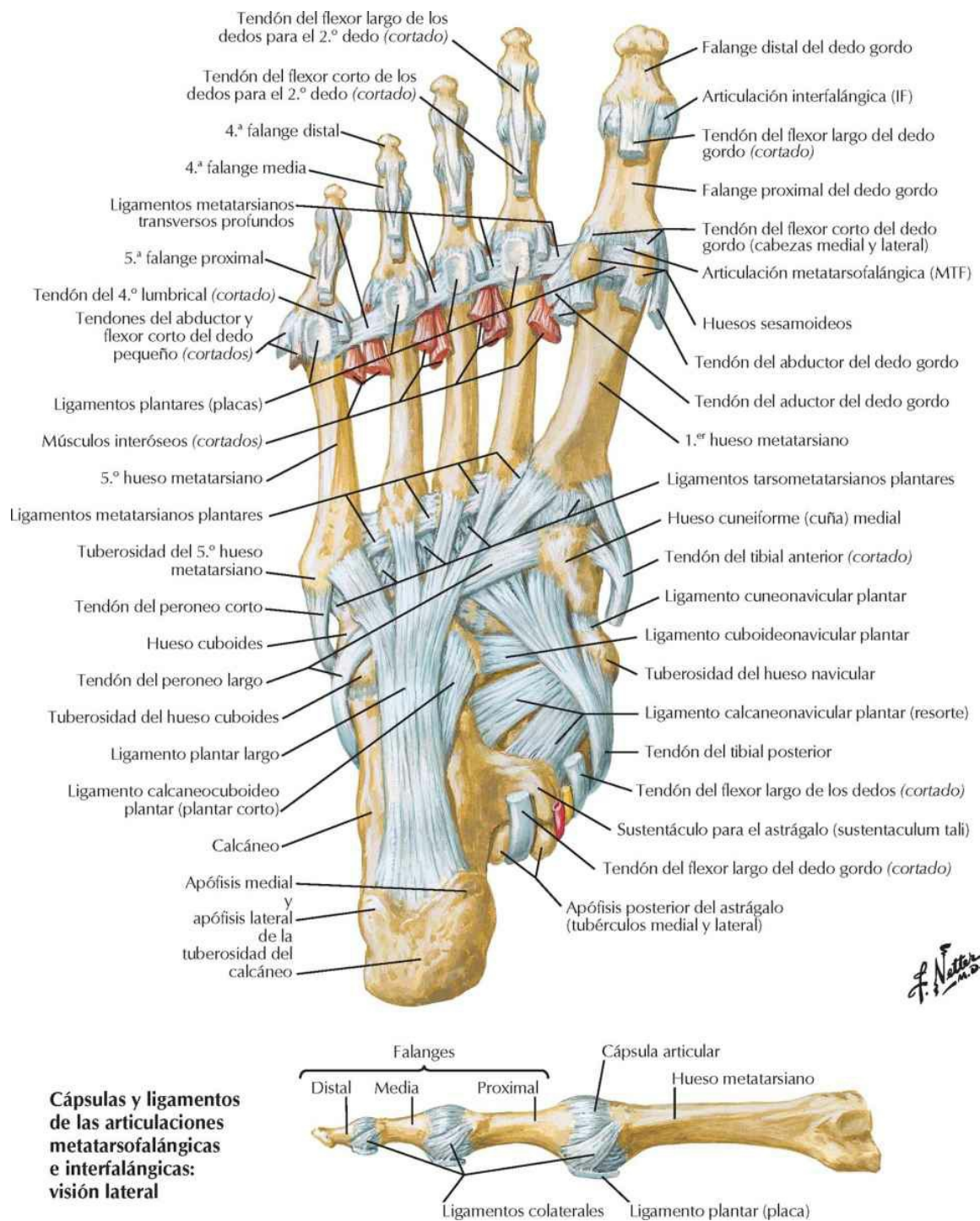
Ligamentos y tendones del tobillo y tarso

Véase también lámina 535



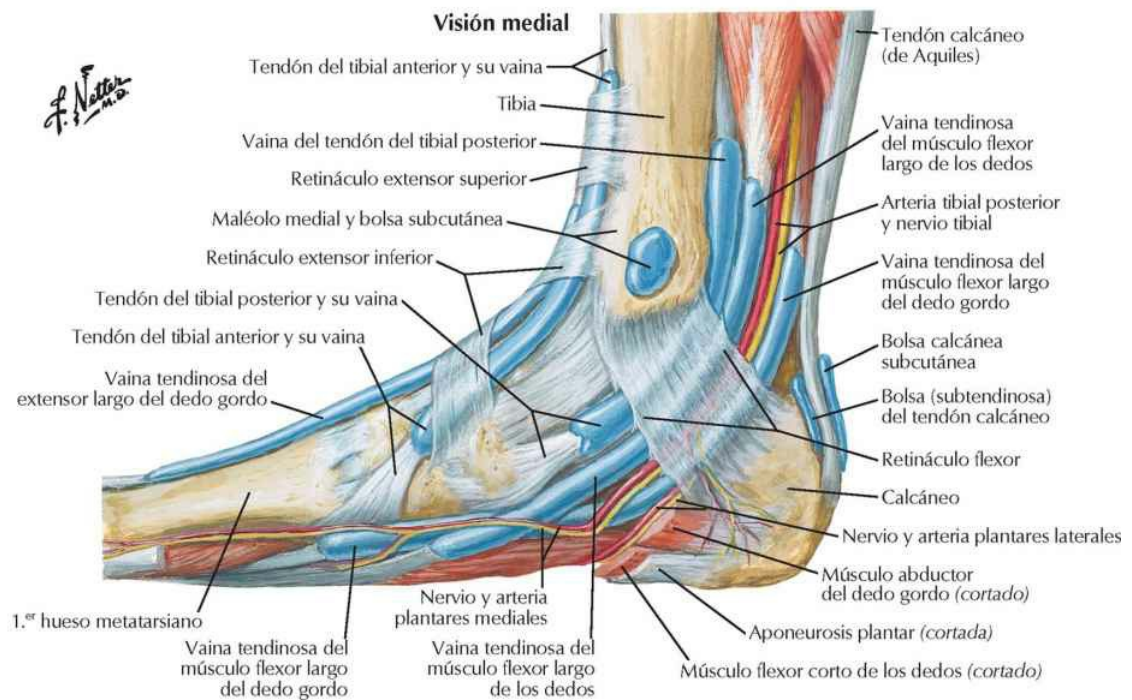
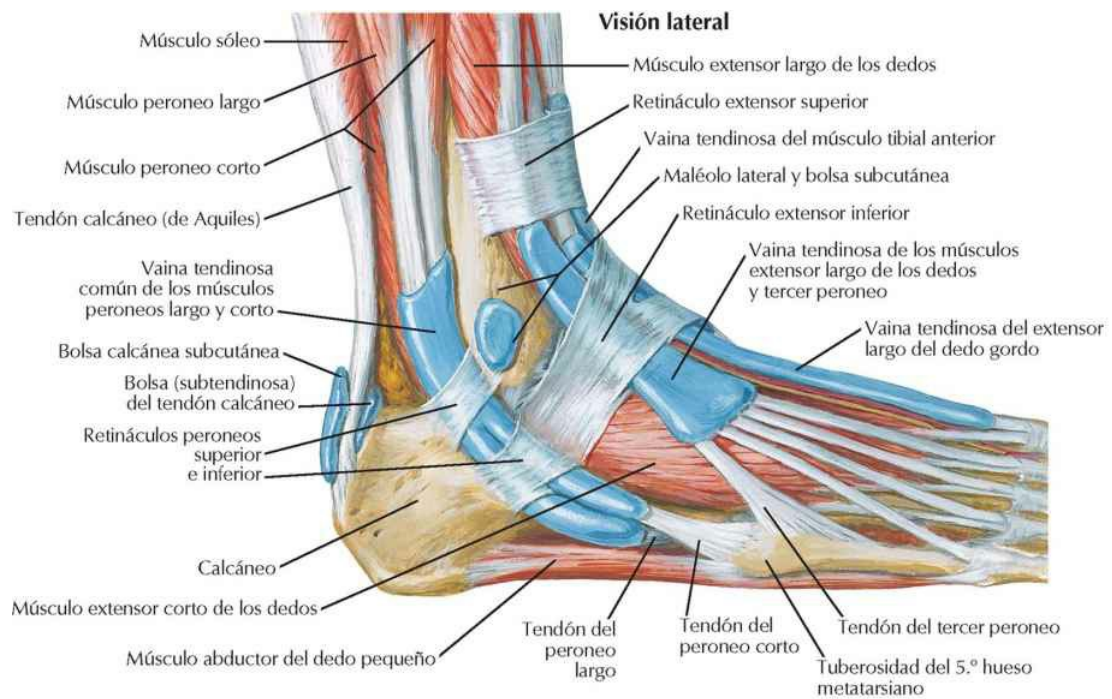
Ligamentos y tendones del pie: visión plantar

Véanse también láminas 526, 527



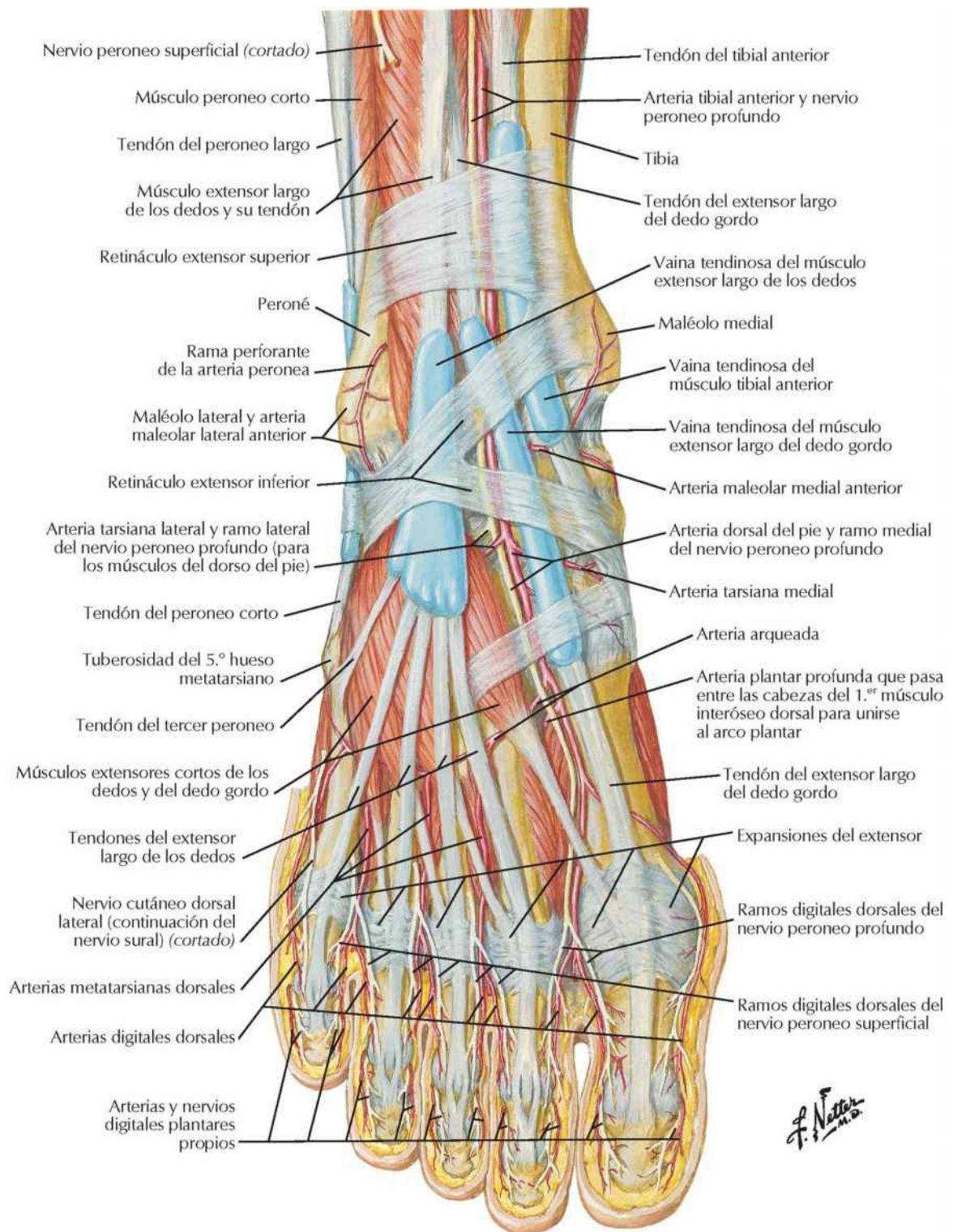
Vainas tendinosas del tobillo

Véase también lámina 510



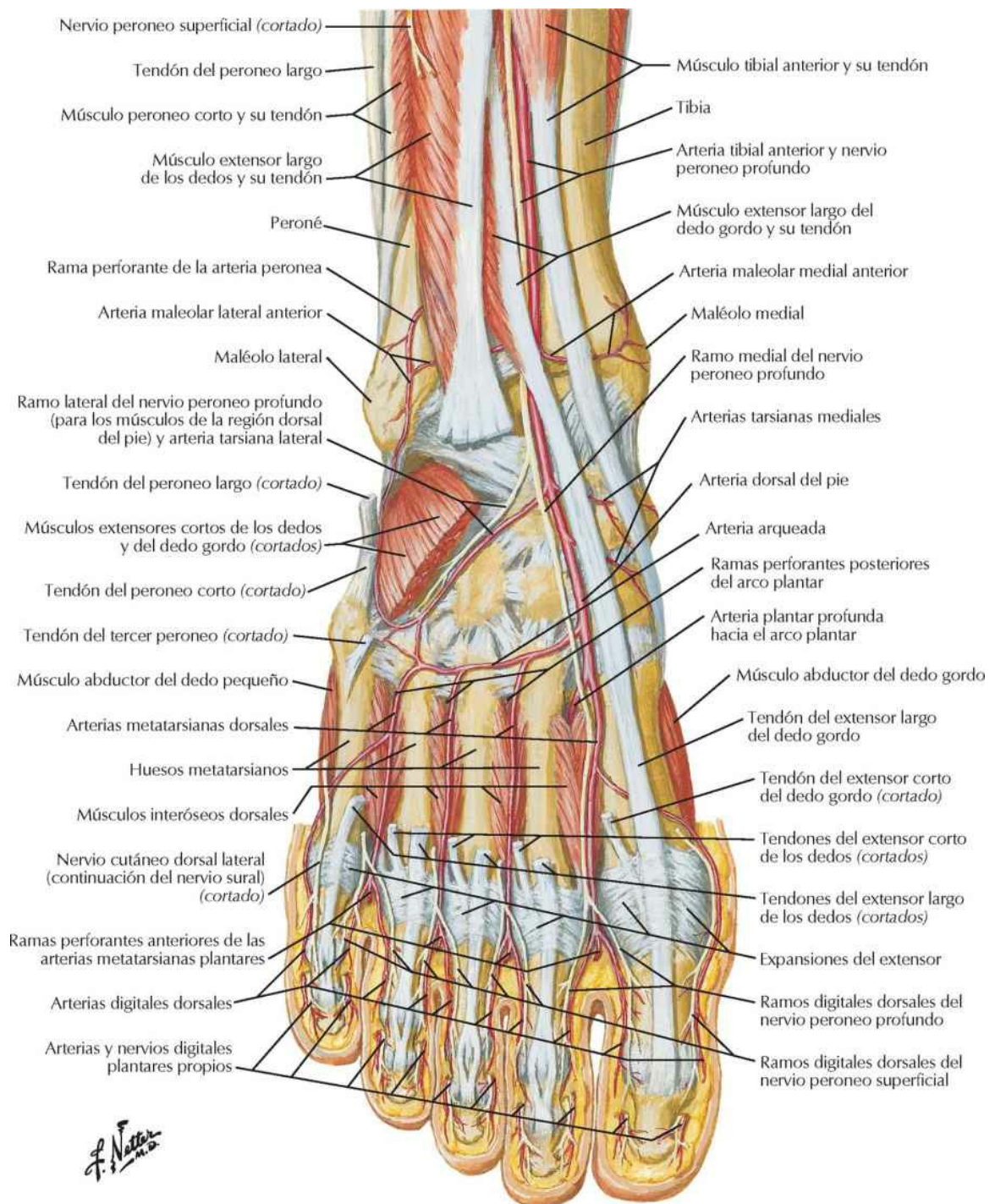
Músculos del dorso del pie: disección superficial

Véase también lámina 533

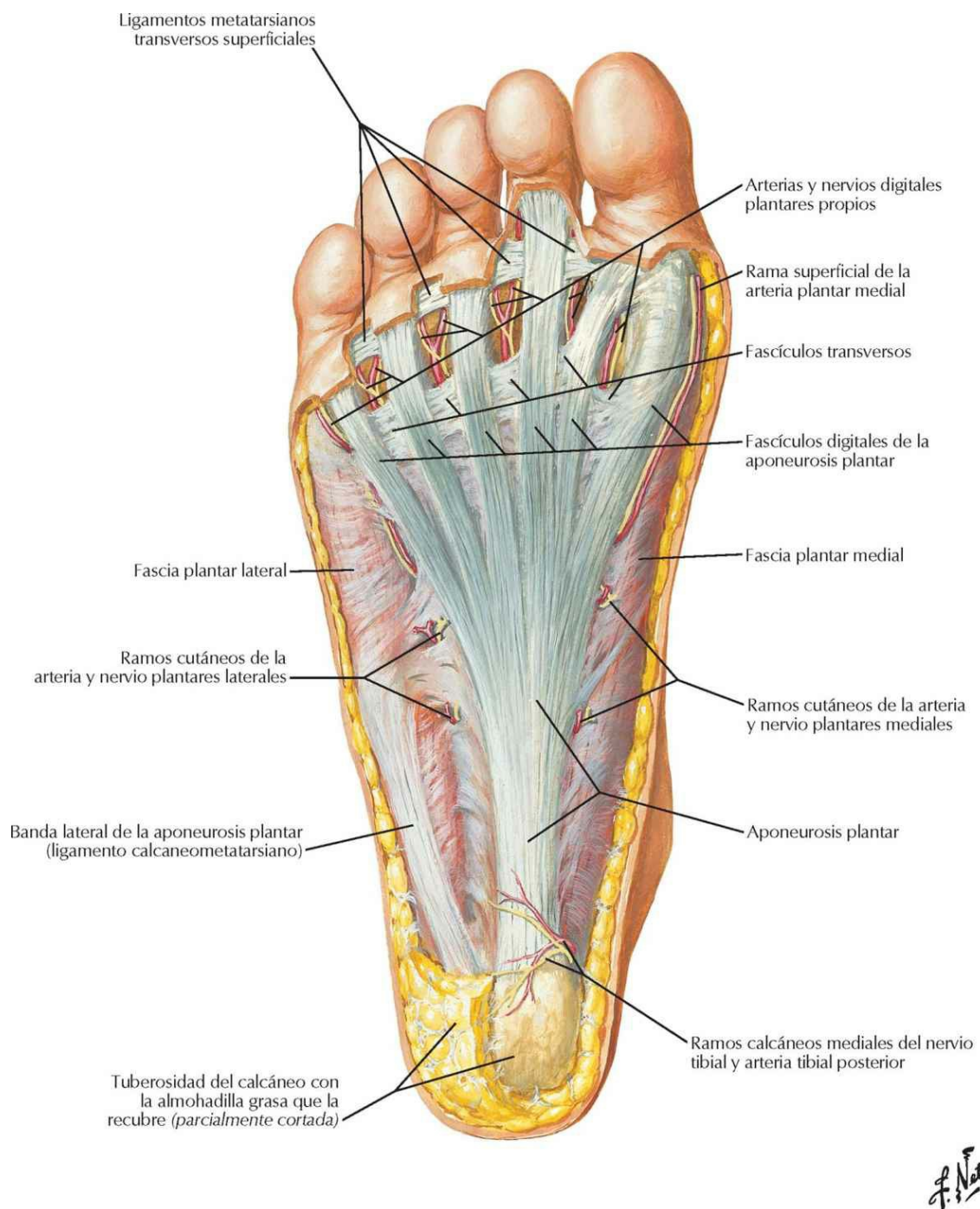


Dorso del pie: disección profunda

Véase también lámina 527



Región plantar del pie: disección superficial



Músculos de la región plantar del pie: primer plano

Véase también lámina 532

Músculos del primer plano en negrita

Nervios digitales plantares propios

Nervios digitales plantares propios

Arterias digitales plantares propias

Arterias digitales plantares comunes de las arterias metatarsianas plantares

Músculos lumbricales

Rama superficial de la arteria plantar medial

Cabeza lateral y cabeza medial del músculo flexor corto del dedo gordo

Tendón del flexor largo del dedo gordo

Músculo abductor del dedo gordo y su tendón

Músculo flexor corto de los dedos

Aponeurosis plantar (cortada)

Ramos calcáneos mediales del nervio tibial y arteria tibial posterior

Apófisis medial y apófisis lateral de la tuberosidad del calcáneo

Músculo abductor del dedo pequeño (profundo a la fascia plantar lateral)

Músculo flexor corto del dedo pequeño

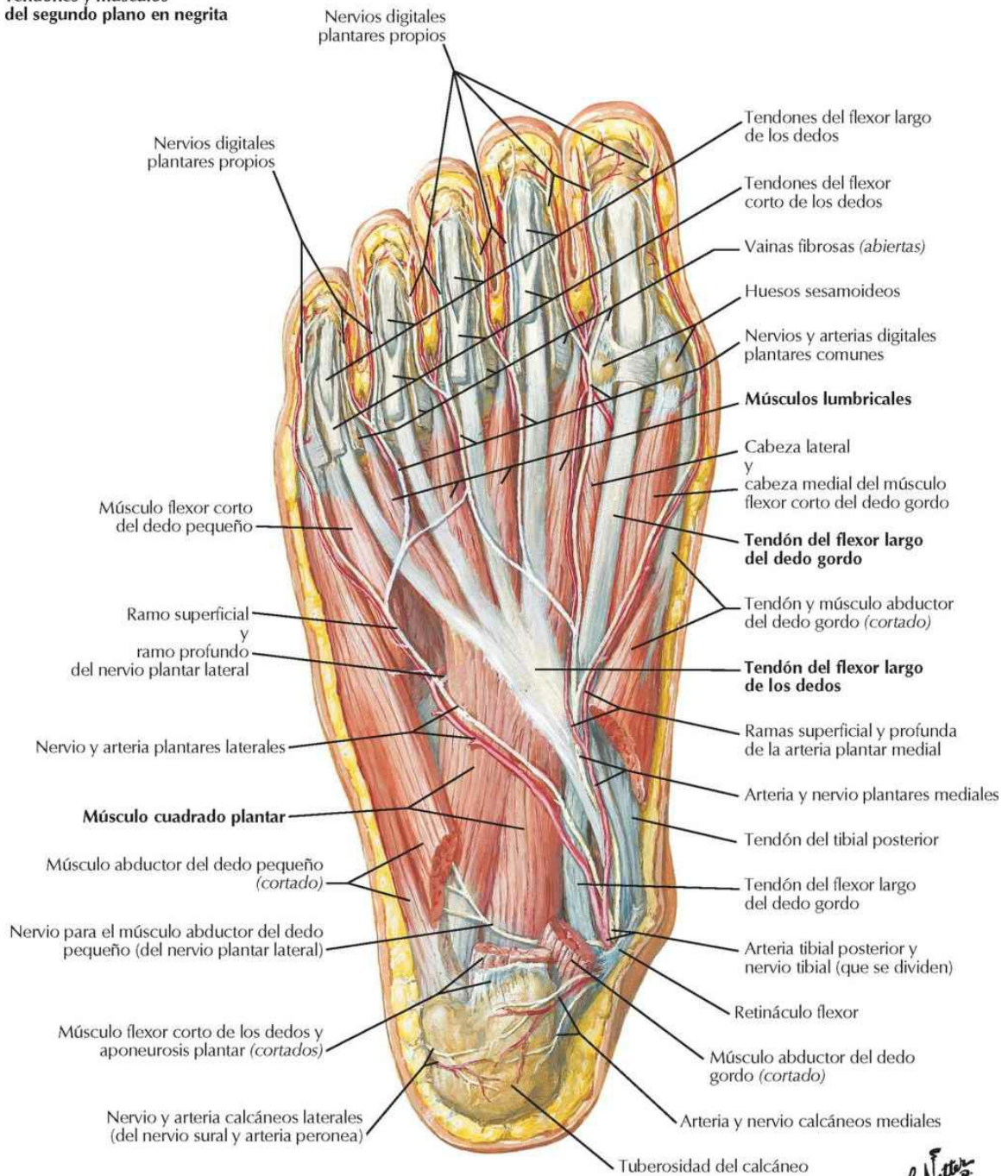
Rama metatarsiana plantar de la arteria plantar lateral

Tendones del flexor corto de los dedos superpuestos a los tendones del flexor largo de los dedos

Vainas fibrosas de los tendones flexores

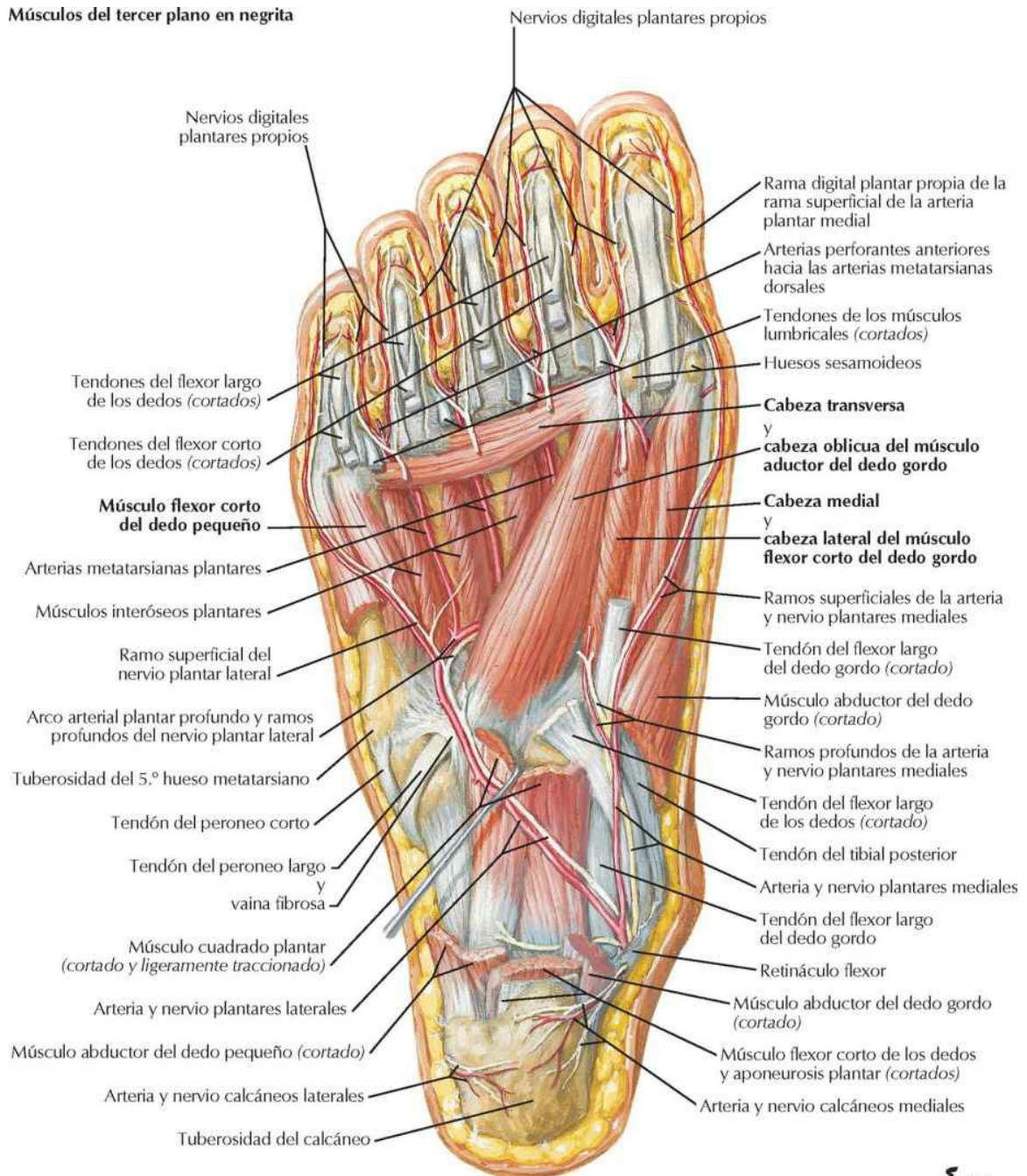
Véase también lámina 532

**Tendones y músculos
del segundo plano en negrita**



Músculos de la región plantar del pie: tercer plano

Músculos del tercer plano en negrita

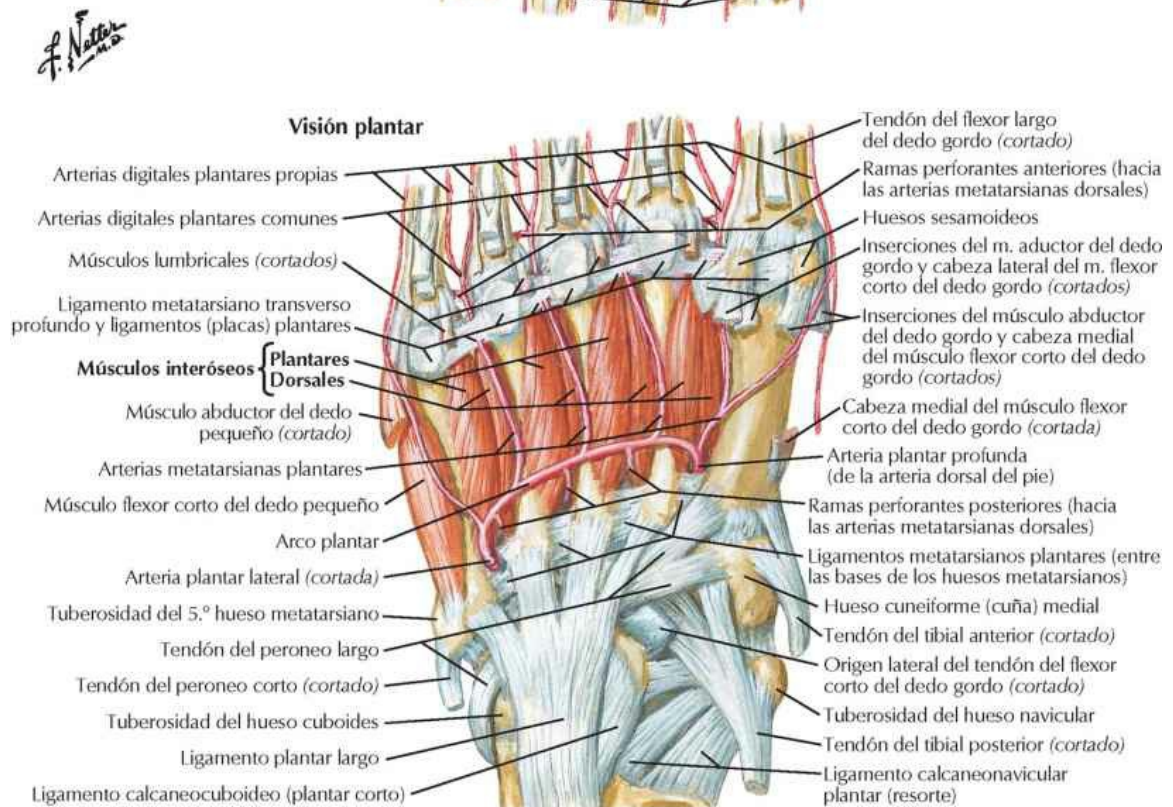
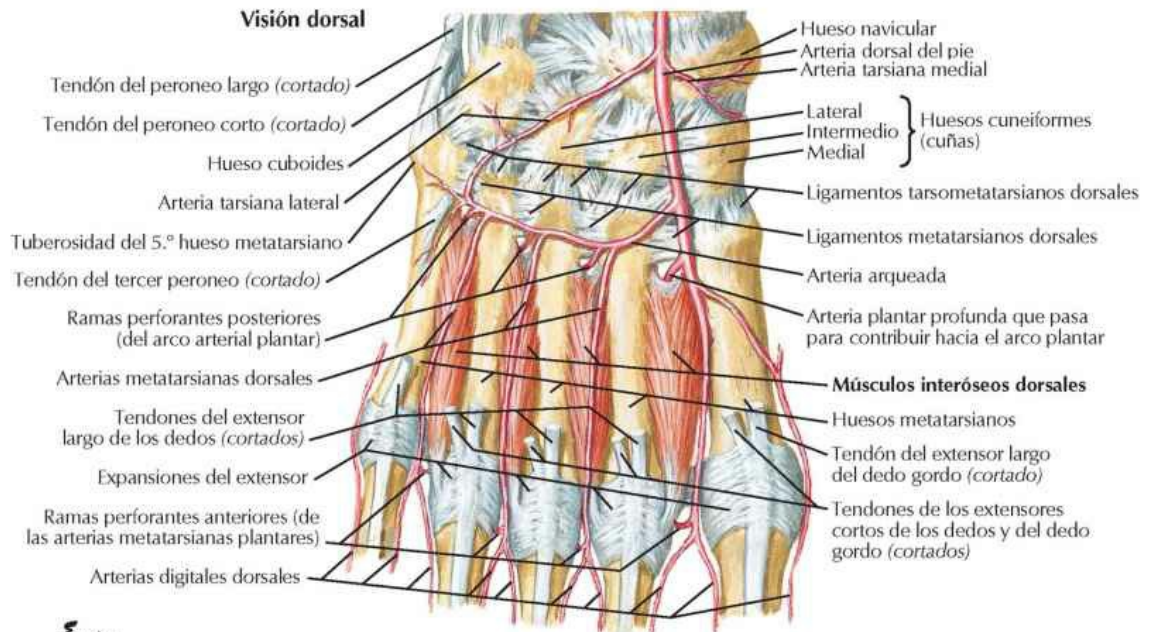


F. Netter M.D.

Músculos interóseos y arterias profundas del pie

Véanse también láminas 512, 522, 526

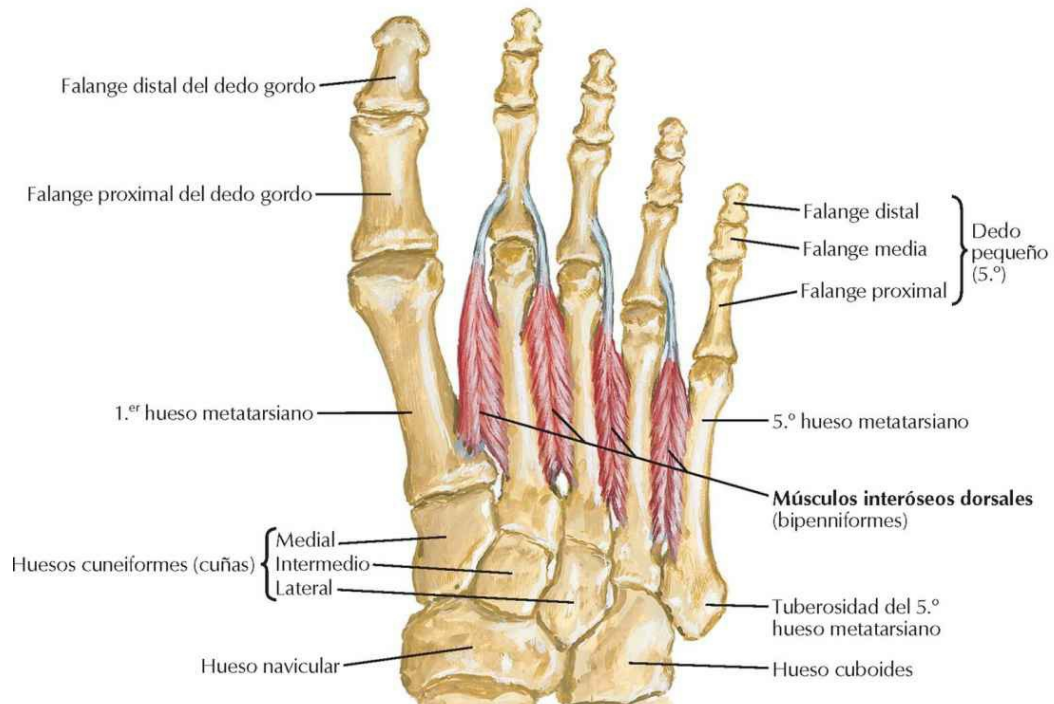
Músculos del cuarto plano en negrita



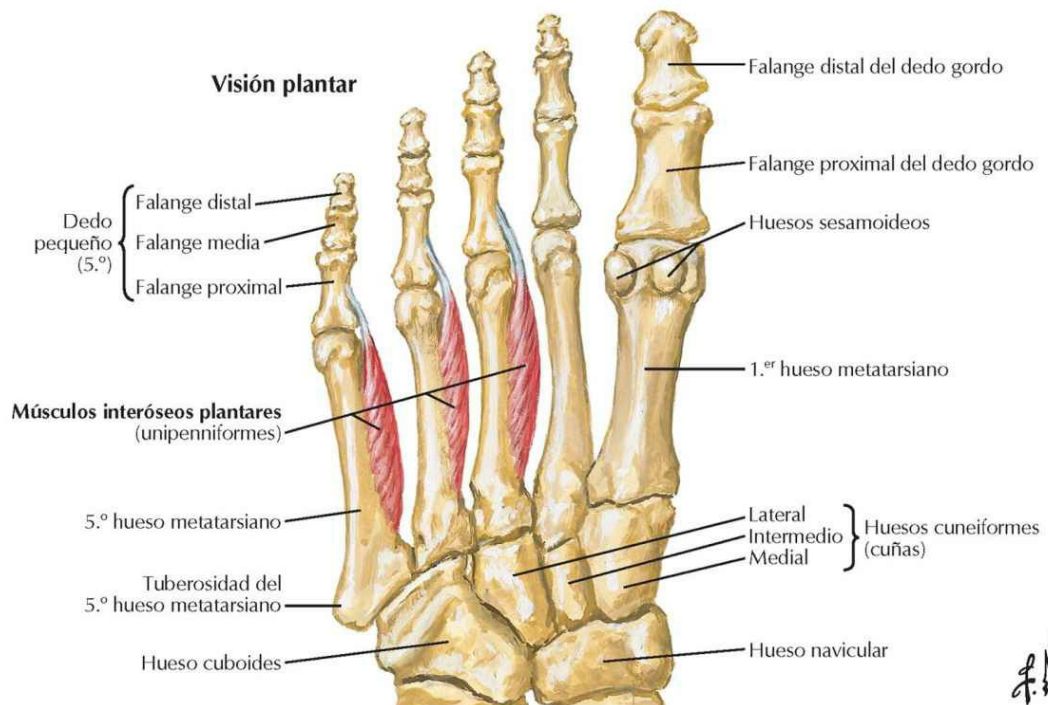
Músculos interóseos del pie

Véase también lámina 527

Visión dorsal



Visión plantar

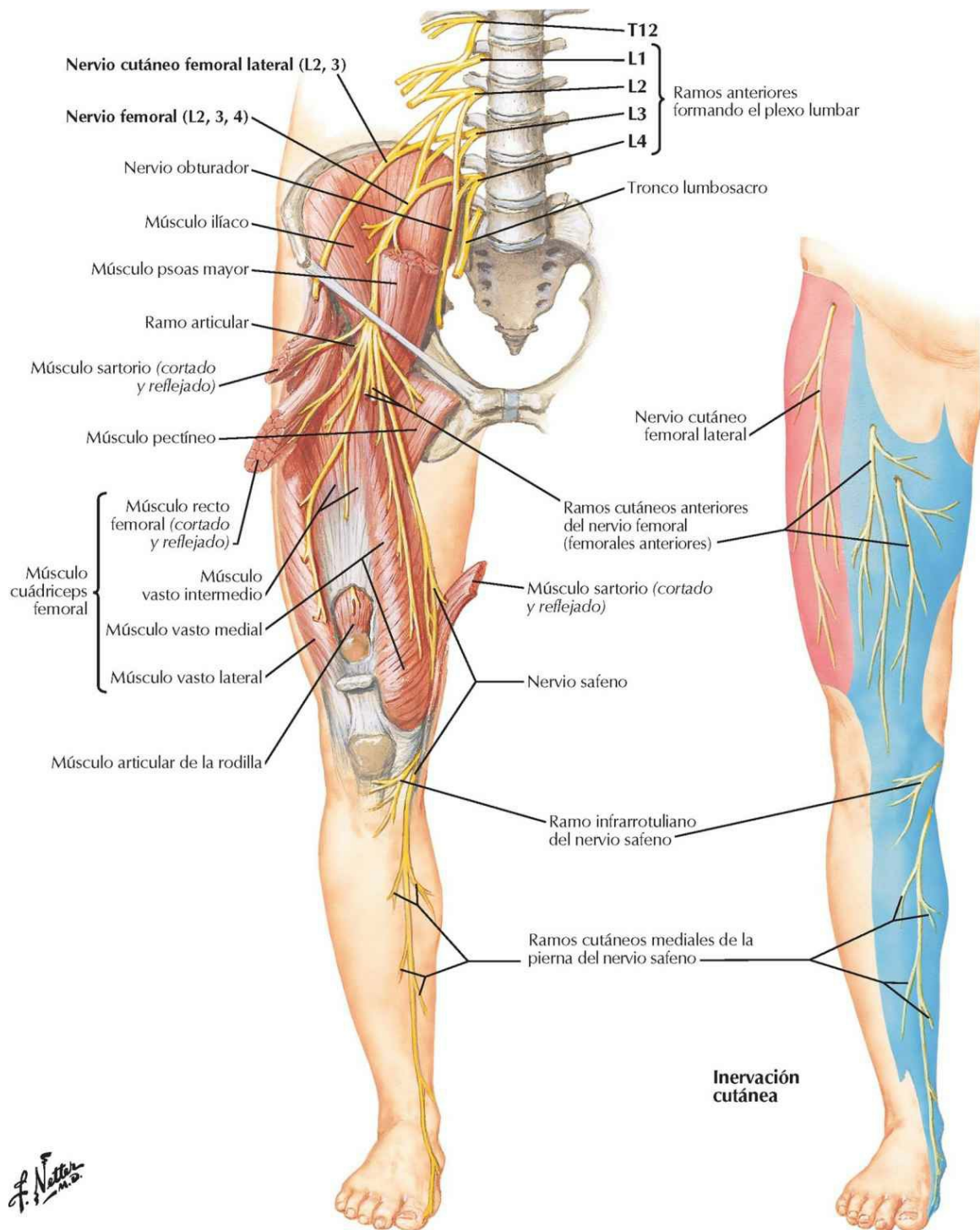


F. Netter M.D.

Inervación y vasculatura

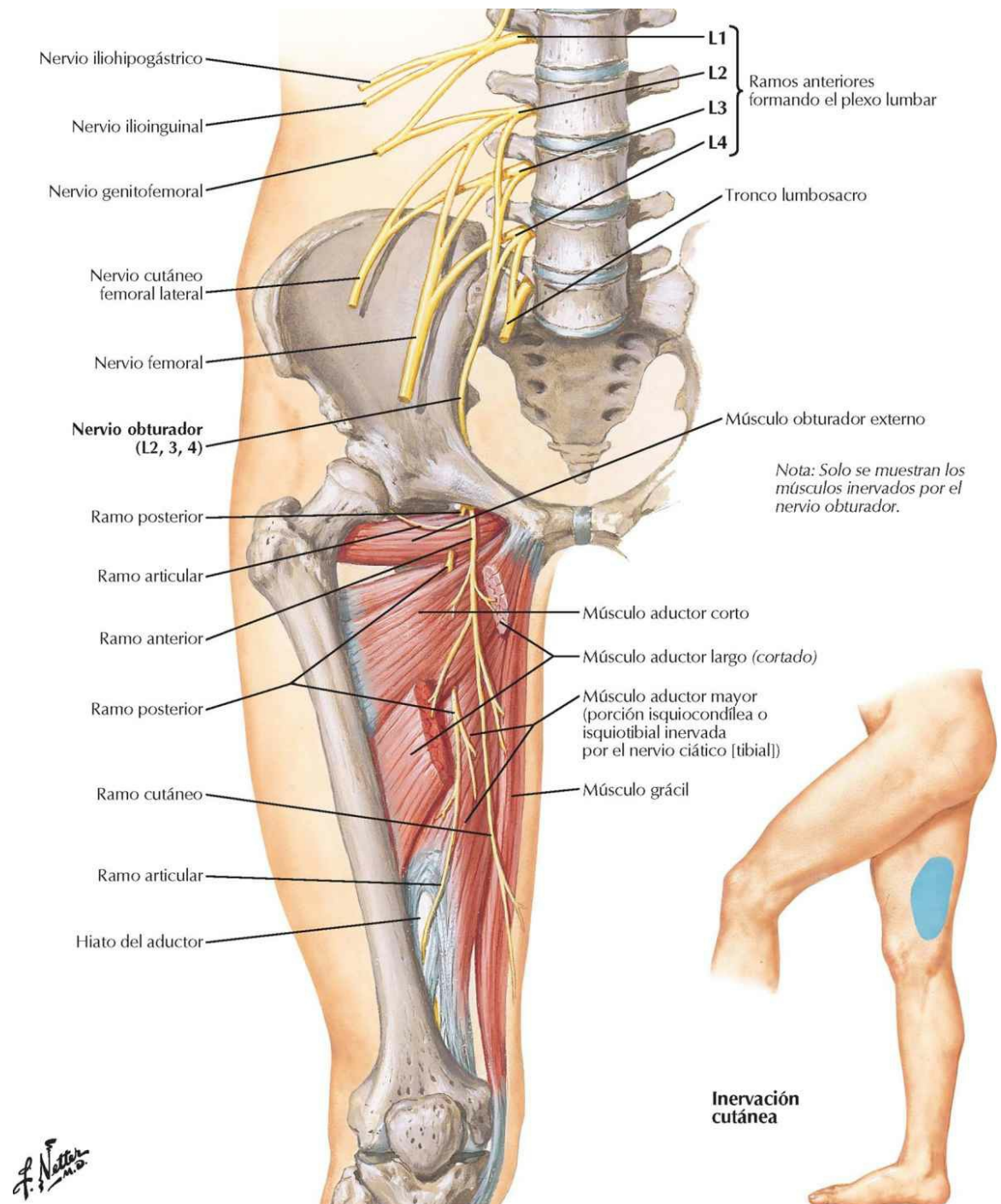
Nervios femoral y cutáneo femoral lateral

Véanse también láminas 269, 490, 491



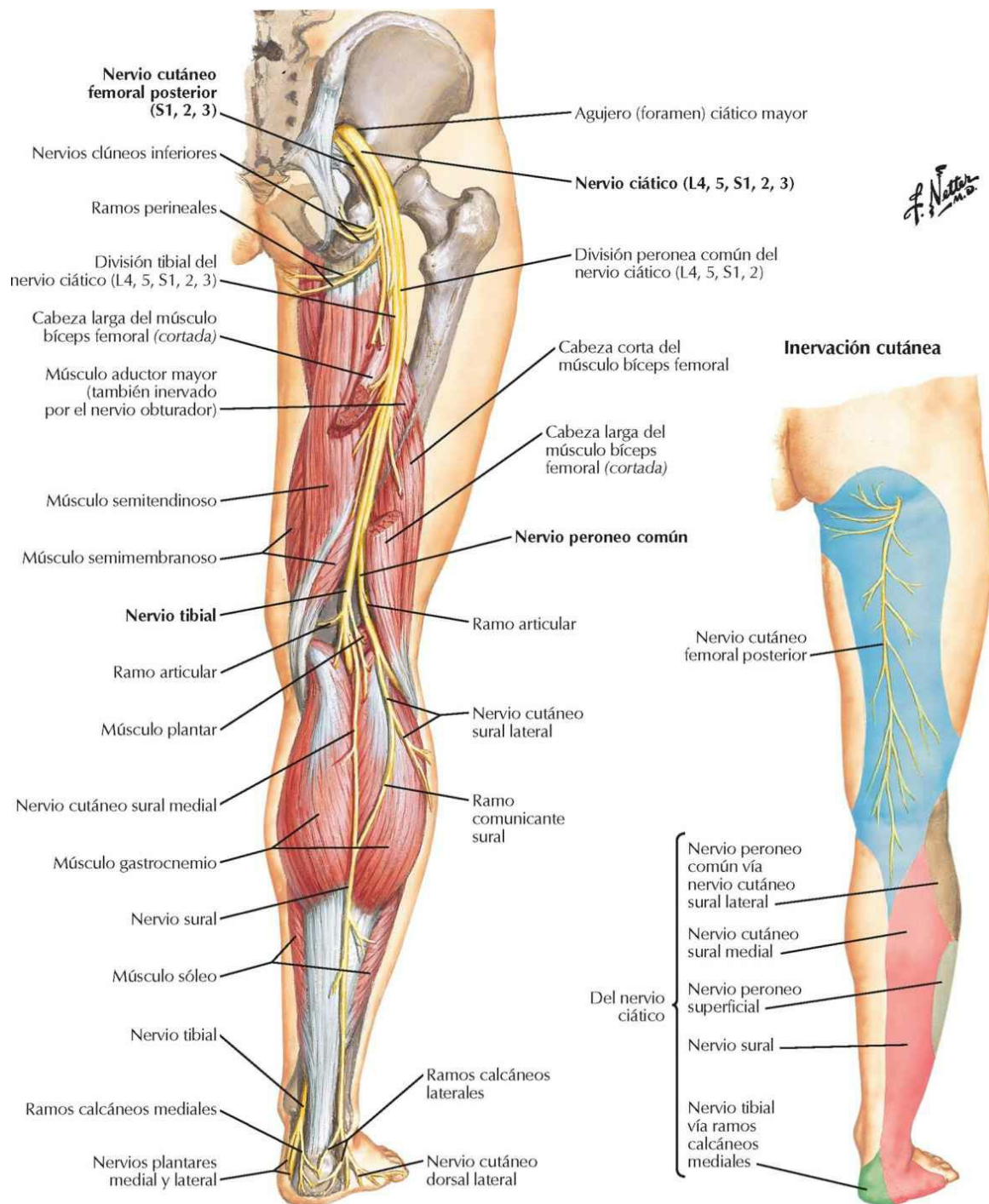
Nervio obturador

Véase también lámina 491



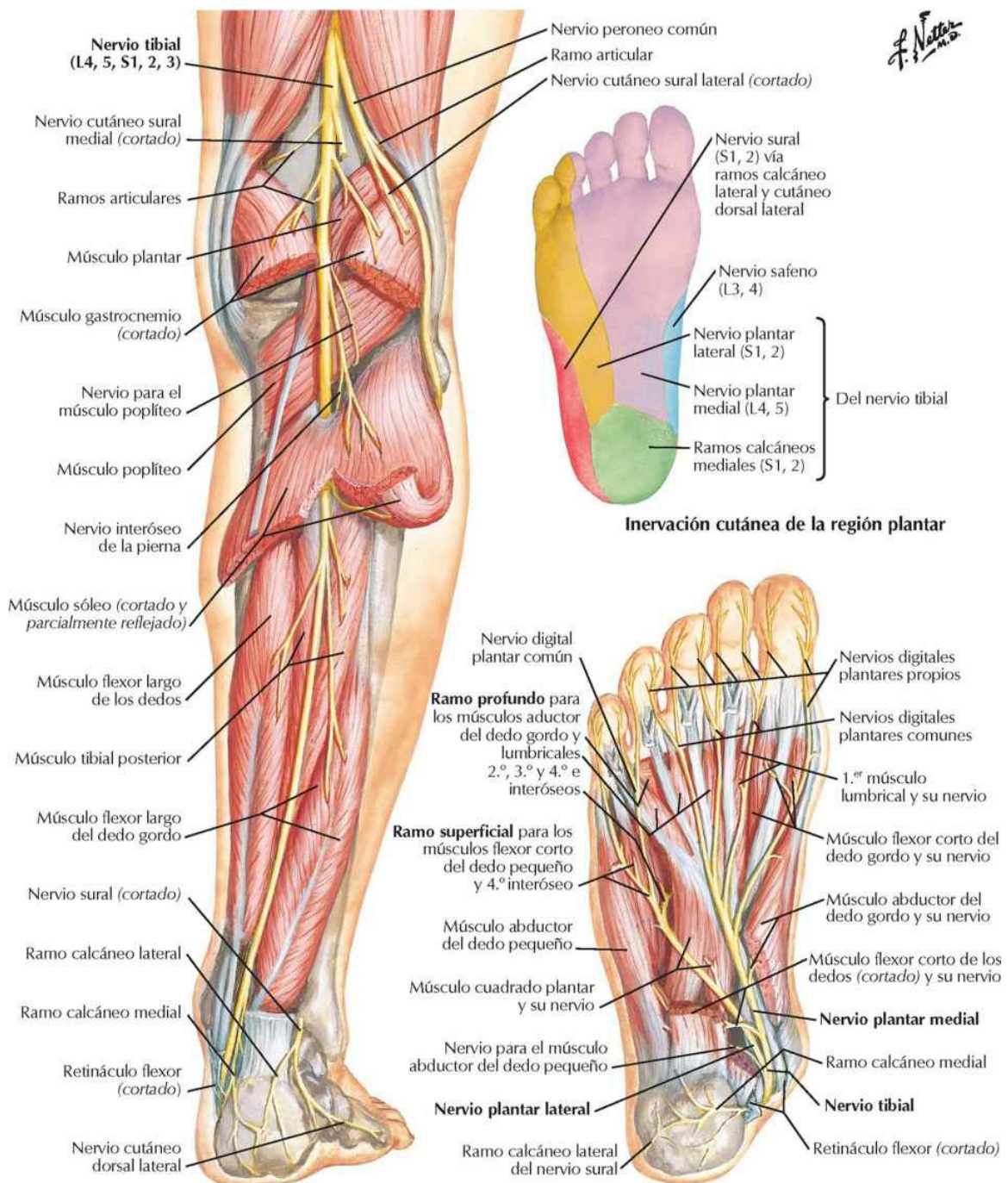
Nervio ciático y nervio cutáneo femoral posterior

Véase también lámina 492



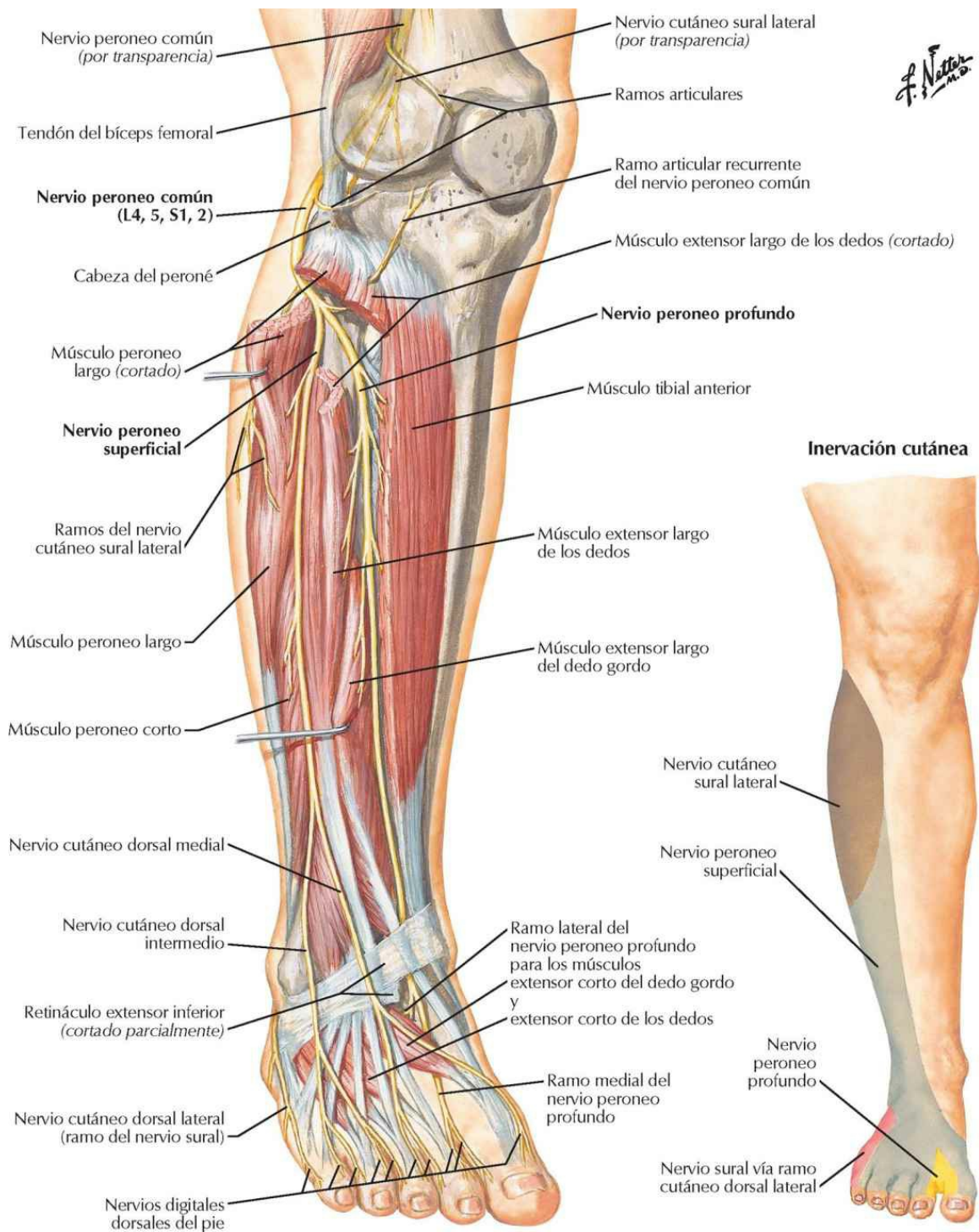
Nervio tibial

Véanse también láminas 507, 524, 525



Nervio peroneo común

Véanse también láminas 510, 512



Exploraciones regionales

RM y TC 3D de la cadera

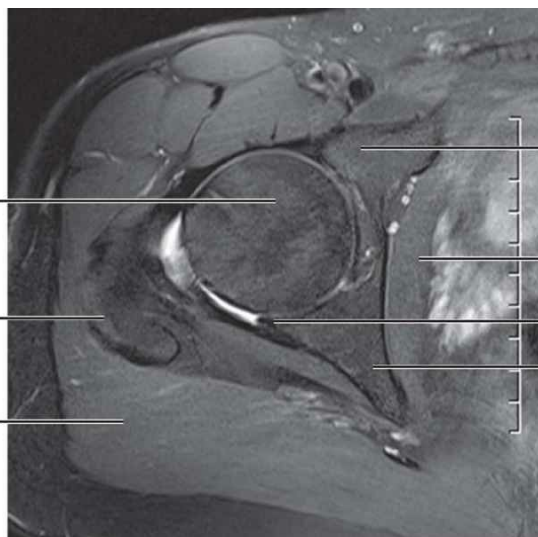
Véanse también láminas 334, 400, 495

**RM axial (transversal)
potenciada en T2**

Cabeza del fémur

Trocánter mayor

Músculo glúteo mayor



Rodete acetabular

Músculo obturador interno

Porción posterior
del rodete acetabular

Acetábulo

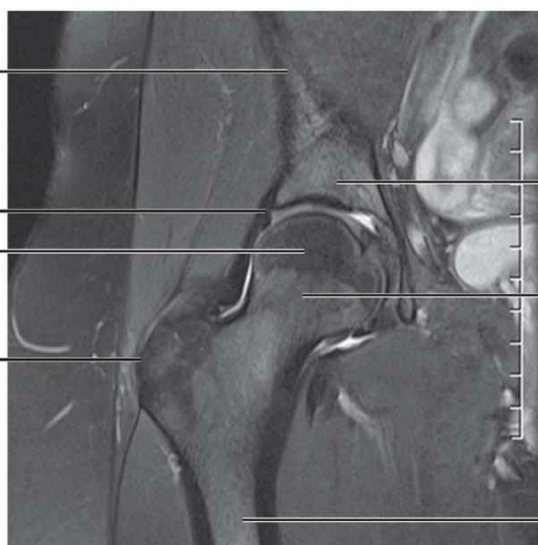
**RM coronal
potenciada en T2**

Ala del ilion

Rodete acetabular

Cabeza del fémur

Trocánter mayor



Acetábulo

Cuello del fémur

Fémur

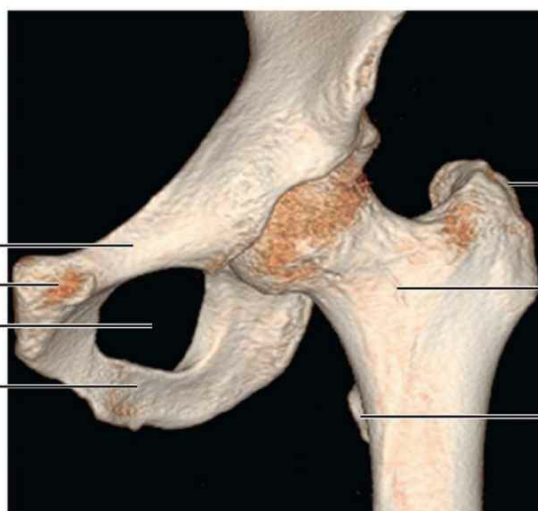
TC 3D de la cadera

Rama superior del pubis

Tubérculo del pubis

Agujero (foramen) obturado

Rama inferior del pubis



Trocánter mayor

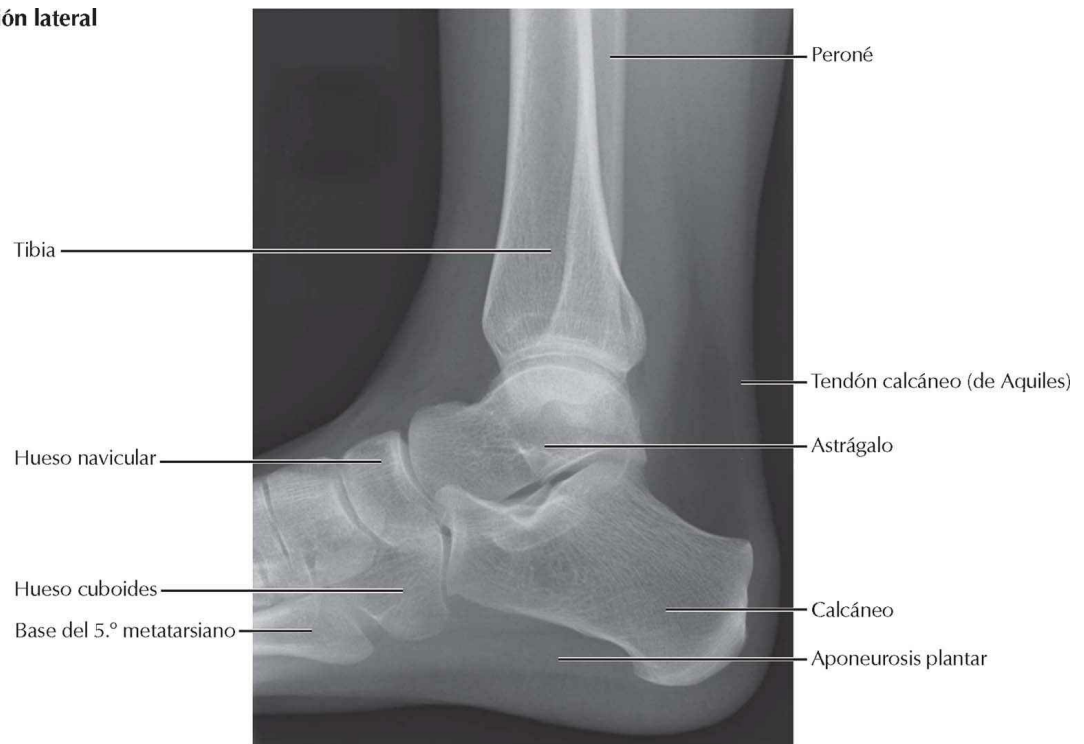
Cuello del fémur

Trocánter menor

Tobillo: radiografías

Véanse también láminas 510, 517, 518

Proyección lateral








Proyección anteroposterior



Tabla clínica

**Estructuras con gran* significación
clínica**

ESTRUCTURAS ANATÓMICAS	IMPORTANCIA CLÍNICA	NÚMEROS DE LÁMINAS
 SISTEMA ESQUELÉTICO		
Cuello del fémur	Su fractura es frecuente en las personas ancianas y puede producir la necrosis avascular de la cabeza del fémur	478, 479, 495
Cuerpo del fémur	El tercio medio del cuerpo del fémur es una localización habitual de fracturas en los traumatismos de alta energía (accidentes con vehículos a motor)	479
Articulación de la cadera	Potencial necrosis avascular de la cabeza del fémur en las luxaciones o fracturas de la cadera	477, 495
Ligamento colateral tibial, ligamento cruzado anterior y menisco medial	La «triada desgraciada» es una lesión de los ligamentos colateral tibial y cruzado anterior junto con el menisco medial a causa de un golpe en la cara lateral de la articulación de la rodilla en extensión	498, 499, 500
Tibia y peroné	Fracturas de alta energía del cuerpo de tibia y peroné (fractura en el borde superior de la bota de esquí) a causa de caer hacia delante a alta velocidad	504
Primera articulación metatarsofalángica	La desalineación de la articulación provoca un hallux valgus (bunio), a menudo como resultado de llevar zapatos que son demasiado estrechos; también, fuerte componente genético	515
Calcáneo	El hueso más frecuentemente fracturado del tarso, generalmente causado por un aterrizaje forzado sobre el talón después de caídas de altura	517
Articulación del tobillo (talocrural)	La mayoría de esguinces son lesiones por inversión que ocurren cuando el pie está en flexión plantar; asiento de estrés sobre los ligamentos colaterales del tobillo	518
 SISTEMA MUSCULAR		
Músculos grácil, aductor largo, aductor corto y aductor mayor	El estiramiento excesivo o la ruptura de los músculos aductores del muslo es frecuente en deportes que requieren sprints repetidos o cambios rápidos de dirección (p. ej., fútbol, hockey)	482, 483
Ligamento rotuliano	La percusión del ligamento rotuliano con un martillo de reflejos explora el reflejo rotuliano para valorar los niveles medulares L3 y L4 (inervación del músculo cuádriceps femoral por el nervio femoral)	482, 498
Tracto iliotibial	Se lesiona comúnmente en corredores, ya que el tracto iliotibial se desliza sobre el epicondilo lateral del fémur	484, 497
Músculos semitendinoso, semimembranoso y bíceps femoral (cabeza larga)	El estiramiento excesivo o la ruptura de los músculos isquiotibiales se produce muy a menudo durante carreras de velocidad o actividades con patadas altas	485
Músculo piriforme	La distensión muscular o variaciones estructurales del músculo piriforme (p. ej., división del músculo piriforme) pueden producir la compresión del nervio ciático	492
Músculos glúteos medio y menor (nervio glúteo superior)	La parálisis de estos músculos provoca la caída contralateral de la pelvis debido a la abducción debilitada de la cadera al apoyarse sobre el miembro afectado (signo o marcha de Trendelenburg)	493
Tendón calcáneo (de Aquiles)	La inflamación es el resultado de estrés repetitivo sobre el tendón, a menudo por correr sobre superficies irregulares; el estrés extremo puede provocar la ruptura del tendón	507, 508, 518
Tendón calcáneo (de Aquiles)	La percusión del tendón calcáneo (de Aquiles) con un martillo de reflejos explora el reflejo aquileo para valorar los niveles medulares S1 y S2 (inervación de los músculos superficiales de la pantorrilla por el nervio tibial)	507, 508, 531
Compartimiento anterior de la pierna	Los síndromes compartimentales de esfuerzo (dolor en el tercio medio de la tibia, síndrome de estrés medial de la tibia) generalmente son el resultado de un entrenamiento excesivo (se producen hinchazón, periostitis o fracturas por estrés debido a los estrechos límites fasciales de los compartimientos musculares)	514
Tabla 8.1		Tablas clínicas

ESTRUCTURAS ANATÓMICAS	IMPORTANCIA CLÍNICA	NÚMEROS DE LÁMINAS
Aponeurosis plantar	La inflamación es el resultado de un aumento de la tensión, el peso o el uso excesivo, que causa dolor en el talón y el pie (fascitis plantar; síndrome de espón calcáneo)	523
 SISTEMA NERVIOSO		
Nervio sural	El nervio se biopsia habitualmente en las neuropatías periféricas y se utiliza frecuentemente como injerto de donante en la técnica de neurotización	474, 531
Nervio peroneo común	La lesión de este nervio por un traumatismo cerrado o por la compresión de un yeso en una pierna debilita la dorsiflexión del pie y provoca un «pie caído»	529, 531, 533
Nervio obturador	El nervio se bloquea o transecciona para aliviar la espasticidad de los músculos aductores en la parálisis cerebral; puede lesionarse durante las fracturas pélvicas o en procedimientos quirúrgicos pélvicos como una linfadenectomía	530
Nervio femoral	Puede ser comprimido por un hematoma femoral y puede anesthesiarse para procedimientos quirúrgicos del miembro inferior	488, 490, 529
Nervio safeno	Puede anesthesiarse en el conducto del aductor para aliviar el dolor después de una artroplastia de rodilla	473, 490, 529
 SISTEMA CARDIOVASCULAR		
Venas profundas de la pierna	La trombosis venosa profunda de las venas profundas de la pierna es debida a estasis venosa, lesión vascular y/o trastornos de la coagulación; puede conducir a la formación de trombos y tromboembolia	513
Vena safena magna (mayor)	A menudo se usa como derivación (<i>bypass</i>) aortocoronaria	473
Venas superficiales	Venas varicosas (venas superficiales tortuosas dilatadas conectadas por venas perforantes a las venas profundas con válvulas venosas incompetentes)	473, 513
Arteria femoral en el triángulo femoral; arteria poplitea en la región poplitea profunda de la rodilla; arteria dorsal del pie (pedia) en el dorso del pie; arteria tibial posterior en el túnel tarsiano posterior al maléolo medial	Localizaciones del pulso en el miembro inferior	490, 503, 508, 513
Arterias principales del miembro inferior (arteria femoral, arteria poplitea, arteria tibial y arteria peronea)	La enfermedad arterial periférica debida a aterosclerosis puede ocurrir en las arterias principales del miembro inferior, provocando una reducción del flujo sanguíneo; los pacientes experimentan claudicación (dolor espasmódico en el muslo o pantorrilla), especialmente durante el ejercicio	503
 SISTEMA LINFÁTICO		
Nódulos (ganglios) linfáticos inguinales superficiales	Los nódulos (ganglios) linfáticos inguinales superficiales drenan el miembro inferior, la región glútea, la región inferior del abdomen y el periné; cuando están aumentados de tamaño son palpables	475
Vasos linfáticos	Linfoedema (estasis del flujo linfático en los vasos linfáticos obstruidos por inflamación, fibrosis, tumor o diámetro anormalmente pequeño)	475
*La selección se basa en general en datos clínicos y en correlaciones clínicas discutidas frecuentemente en cursos de anatomía macroscópica.		
Tablas clínicas		Tabla 8.2

Tablas de músculos

Tabla 8.3

MÚSCULO	GRUPO MUSCULAR	INSERCIÓN PROXIMAL (ORIGEN)	INSERCIÓN DISTAL (INSERCIÓN)	INERVACIÓN	IRRIGACIÓN	ACCIONES PRINCIPALES
Abductor del dedo gordo	Del pie	Apófisis medial de la tuberosidad del calcáneo, retináculo flexor y aponeurosis plantar	Cara medial de la base de la falange proximal del 1.º dedo	Nervio plantar medial	Arterias plantar medial y 1.ª metatarsiana plantar	Abduce y flexiona el 1.º dedo
Abductor del dedo pequeño	Del pie	Apófisis medial y lateral de la tuberosidad del calcáneo, aponeurosis plantar y tabique intermuscular	Cara lateral de la base de la falange proximal del 5.º dedo	Nervio plantar lateral	Arteria plantar lateral, arterias metatarsiana plantar y digital plantar del 5.º dedo	Abduce y flexiona el 5.º dedo
Aductor corto	Medial del muslo	Cuerpo y rama inferior del pubis	Línea pectínea y porción proximal de la línea áspera del fémur	Nervio obturador	Arterias femoral profunda, circunfleja femoral medial y obturatriz	Aduce el muslo a nivel de la cadera, flexor débil de la cadera
Aductor del dedo gordo	Del pie	<i>Cabeza oblicua:</i> bases del 2.º al 4.º metatarsianos <i>Cabeza transversa:</i> ligamentos de las articulaciones metatarsofalángicas de los dedos 3-5	Los tendones de ambas cabezas lateralmente en la base de la falange proximal del 1.º dedo	Ramo profundo del nervio plantar lateral	Arterias plantares medial y lateral y arco plantar, arterias metatarsianas plantares	Aduce el 1.º dedo, mantiene el arco transversal del pie
Aductor largo	Medial del muslo	Cuerpo del pubis inferior a la cresta del pubis	Tercio medio de la línea áspera del fémur	Nervio obturador (ramo anterior)	Arterias femoral profunda y circunfleja femoral medial	Aduce el muslo a nivel de la cadera
Aductor mayor	Medial del muslo	<i>Porción aductor:</i> rama inferior del pubis <i>Porción isquiotibial:</i> rama del isquion	<i>Porción aductor:</i> tuberosidad glútea, línea áspera, línea supracondílea medial <i>Porción isquiotibial:</i> tubérculo del aductor del fémur	<i>Porción aductor:</i> nervio obturador <i>Porción isquiotibial:</i> nervio ciático (nervio tibial)	Arterias femoral, femoral profunda y obturatriz	<i>Porción aductor:</i> aduce y flexiona el muslo <i>Porción isquiotibial:</i> extiende el muslo
Articular de la rodilla	Anterior del muslo	Porción distal del fémur en la cara anterior	Bolsa suprarrotuliana	Nervio femoral	Arteria femoral	Tracciona superiormente la bolsa suprarrotuliana con extensión de la rodilla
Biceps femoral	Posterior del muslo	<i>Cabeza larga:</i> tuberosidad isquiática <i>Cabeza corta:</i> línea áspera y línea supracondílea lateral del fémur	Cara lateral de la cabeza del peroné	<i>Cabeza larga:</i> nervio ciático (nervio tibial) (L5-S2) <i>Cabeza corta:</i> nervio ciático (nervio peroneo común)	Ramas perforantes de las arterias femoral profunda, glútea inferior y circunfleja femoral medial	Flexiona y rota lateralmente la pierna, extiende el muslo a nivel de la cadera
Cuadrado femoral	De la región glútea	Borde lateral de la tuberosidad isquiática	Tubérculo cuadrado en la cresta intertrocanterea del fémur	Nervio del músculo cuadrado femoral	Arteria circunfleja femoral medial	Rota lateralmente el muslo a nivel de la cadera

MÚSCULO	GRUPO MUSCULAR	INSERCIÓN PROXIMAL (ORIGEN)	INSERCIÓN DISTAL (INSERCIÓN)	INERVACIÓN	IRRIGACIÓN	ACCIONES PRINCIPALES
Cuadrado plantar	Del pie	Lados medial y lateral de la cara plantar del calcáneo	Borde posterolateral del tendón del flexor largo de los dedos	Nervio plantar lateral	Arterias plantares medial y lateral y arco plantar profundo	Corrige la tracción oblicua del tendón del flexor largo de los dedos, ayudando de este modo a la flexión de los dedos del pie
Extensor corto de los dedos y extensor corto del dedo gordo	Anterior del muslo	Cara superolateral del calcáneo, ligamento astragalocalcáneo lateral, cara profunda del retináculo extensor inferior	Primer tendón en la cara dorsal de la base de la falange proximal del dedo gordo; los otros tres tendones en los lados laterales de los tendones del extensor largo de los dedos para los dedos 2-4	Nervio peroneo profundo	Arterias dorsal del pie, tarsiana lateral, arqueada y peronea	Ayudan al extensor largo de los dedos en la extensión de los 4 dedos mediales a nivel de las articulaciones metatarsofalángicas e interfalángicas
Extensor largo del dedo gordo	Anterior de la pierna	Porción media de la cara anterior del peroné y membrana interósea	Cara dorsal de la base de la falange distal del dedo gordo	Nervio peroneo profundo	Arteria tibial anterior	Extiende el dedo gordo, flexiona dorsalmente el pie a nivel de la articulación talocrural

En la anatomía humana son frecuentes las variaciones en la contribución de los nervios espinales a la inervación de los músculos, en su irrigación arterial, sus inserciones y sus acciones. Por tanto, existen diferencias entre los distintos textos y hay que entender que las variaciones anatómicas son normales.

Tabla 8.4

MÚSCULO	GRUPO MUSCULAR	INSERCIÓN PROXIMAL (ORIGEN)	INSERCIÓN DISTAL (INSERCIÓN)	INERVACIÓN	IRRIGACIÓN	ACCIONES PRINCIPALES
Extensor largo de los dedos	Anterior de la pierna	Cóndilo lateral de la tibia, 3/4 proximales de la cara anterior de la membrana interósea y peroné	Falanges medias y distales de los cuatro dedos laterales	Nervio peroneo profundo	Arteria tibial anterior	Extiende los cuatro dedos laterales y flexiona dorsalmente el pie a nivel de la articulación talocrural
Flexor corto del dedo gordo	Del pie	Caras plantares de los huesos cuboideos y cuneiforme lateral	Ambos lados de la base de la falange proximal del 1.º dedo	Nervio plantar medial	Arteria plantar medial, primera arteria metatarsiana plantar	Flexiona la falange proximal del 1.º dedo
Flexor corto del dedo pequeño	Del pie	Base del 5.º metatarsiano	Cara lateral de la base de la falange proximal del 5.º dedo	Ramo superficial del nervio plantar lateral	Arteria plantar lateral, arteria digital plantar del 5.º dedo, arteria arqueada	Flexiona la falange proximal del 5.º dedo
Flexor corto de los dedos	Del pie	Apófisis medial de la tuberosidad del calcáneo, aponeurosis plantar y tabique intermuscular	Ambos lados de las falanges medias de los cuatro dedos laterales	Nervio plantar medial	Arterias plantares medial y lateral y arco plantar profundo, arterias metatarsianas plantares y digitales plantares	Flexiona del 2.º al 5.º dedos
Flexor largo del dedo gordo	Posterior de la pierna	2/3 distales de la cara posterior del peroné y membrana interósea	Base de la falange distal del dedo gordo	Nervio tibial	Arteria peronea	Flexiona todas las articulaciones del dedo gordo; débilmente, flexiona plantarmente el pie a nivel de la articulación talocrural
Flexor largo de los dedos	Posterior de la pierna	Parte medial de la cara posterior de la tibia, inferior a la línea del sóleo	Caras plantares de las falanges distales de los cuatro dedos laterales	Nervio tibial	Arteria tibial posterior	Flexiona los cuatro dedos laterales, flexiona plantarmente el pie a nivel de la articulación talocrural; sostiene los arcos longitudinales del pie
Gastrocnemio	Posterior de la pierna	<i>Cabeza lateral:</i> cara lateral del cóndilo lateral del fémur <i>Cabeza medial:</i> cara poplitea por encima del cóndilo medial del fémur	Cara posterior del calcáneo por medio del tendón calcáneo	Nervio tibial	Arterias poplitea y tibial posterior	Flexiona plantarmente el pie a nivel de la articulación talocrural, ayuda a la flexión de la articulación de la rodilla
Gemelo inferior	De la región glútea	Tuberosidad isquiática	Cara medial del trocánter mayor del fémur	Nervio del músculo cuadrado femoral	Arteria circunfleja femoral medial	Rota lateralmente el muslo extendido y abduce el muslo flexionado
Gemelo superior	De la región glútea	Cara externa de la espina ciática	Cara medial del trocánter mayor del fémur	Nervio del músculo obturador interno	Arterias glútea inferior y pudenda interna	Rota lateralmente el muslo extendido y abduce el muslo flexionado

MÚSCULO	GRUPO MUSCULAR	INSERCIÓN PROXIMAL (ORIGEN)	INSERCIÓN DISTAL (INSERCIÓN)	INERVACIÓN	IRRIGACIÓN	ACCIONES PRINCIPALES
Glúteo mayor	De la región glútea	Porción posterior del ilion, posterior a la línea glútea posterior, cara dorsal del sacro y cóccix, ligamento sacrotuberoso	La mayoría de las fibras terminan en el tracto iliotibial que se inserta en el cóndilo lateral de la tibia, algunas fibras se insertan en la tuberosidad glútea del fémur	Nervio glúteo inferior	Principalmente, arteria glútea inferior, ocasionalmente, arteria glútea superior	Extiende el muslo flexionado, ayuda a la rotación lateral y abduce el muslo
Glúteo medio	De la región glútea	Cara lateral del ilion entre las líneas glúteas anterior y posterior	Cara lateral del trocánter mayor del fémur	Nervio glúteo superior	Arteria glútea superior	Abduce y rota medialmente el muslo a nivel de la cadera; equilibra la pelvis sobre el miembro cuando el miembro opuesto está levantado
Glúteo menor	De la región glútea	Cara lateral del ilion entre las líneas glúteas anterior e inferior	Cara anterior del trocánter mayor del fémur	Nervio glúteo superior	Tronco principal y rama profunda de la arteria glútea superior	Abduce y rota medialmente el muslo a nivel de la cadera; equilibra la pelvis sobre el miembro cuando el miembro opuesto está levantado
Grácil	Medial del muslo	Cuerpo y rama inferior del pubis	Porción superior de la cara medial de la tibia	Nervio obturador	Arteria femoral profunda, arteria circunfleja femoral medial	Aduce el muslo, flexiona y rota medialmente la pierna

Tabla 8.5

MÚSCULO	GRUPO MUSCULAR	INSERCIÓN PROXIMAL (ORIGEN)	INSERCIÓN DISTAL (INSERCIÓN)	INERVACIÓN	IRRIGACIÓN	ACCIONES PRINCIPALES
Iliaco (iliopsoas)	Anterior del muslo	2/3 superiores de la fosa iliaca, cresta iliaca, ala del sacro, ligamentos sacroiliacos anteriores	Trocánter menor del fémur y porción inferior a este del cuerpo, con el tendón del psoas mayor	Nervio femoral	Ramas ilíacas de la arteria iliolumbar	Flexiona el muslo a nivel de la cadera y estabiliza la articulación de la cadera, actúa junto con el psoas mayor
Interóseos dorsales (cuatro músculos)	Del pie	Lados adyacentes del 1.º al 5.º metatarsianos	1.º: cara medial de la falange proximal del 2.º dedo 2.º a 4.º: caras laterales de los dedos 2.º a 4.º	Nervio plantar lateral	Arteria arqueada, arterias metatarsianas plantares dorsal y plantar	Abducen del 2.º al 4.º dedos del pie, flexionan las articulaciones metatarsofalángicas y extienden las falanges
Interóseos plantares (tres músculos)	Del pie	Bases y caras mediales del 3.º al 5.º metatarsiano	Lado medial de las bases de las falanges proximales de los dedos 3.º a 5.º	Nervio plantar lateral	Arteria plantar lateral y arco plantar, arterias metatarsianas plantares y digitales plantares	Aducen los dedos (3-5) y flexionan las articulaciones metatarsofalángicas y extienden las falanges
Lumbricales	Del pie	Tendones del flexor profundo de los dedos	Lado medial de las expansiones dorsales de los cuatro dedos laterales	<i>El más medial:</i> nervio plantar medial <i>Los tres laterales:</i> nervio plantar lateral	Arteria plantar lateral y arterias metatarsianas plantares	Flexionan las falanges proximales a nivel de las articulaciones metatarsofalángicas, extienden las falanges a nivel de las articulaciones interfalángicas proximales y distales
Obturator externo	Medial del muslo	Bordes del agujero (foramen) obturado, membrana obturatriz	Fosa trocantérea del fémur	Nervio obturador	Arteria circunfleja femoral medial, arteria obturatriz	Rota lateralmente el muslo; estabiliza la cabeza del fémur en el acetábulo
Obturator interno	De la región glútea	Cara pélvica de la membrana obturatriz y hueso circundante	Cara medial del trocánter mayor del fémur	Nervio del músculo obturador interno	Arterias pudenda interna y obturatriz	Rota lateralmente el muslo extendido, abduce el muslo flexionado a nivel de la cadera
Pectíneo	Medial del muslo	Rama superior del pubis	Línea pectínea del fémur	Nervio femoral y a veces nervio obturador	Arteria circunfleja femoral medial, arteria obturatriz	Aduce y flexiona el muslo a nivel de la cadera
Peroneo corto	Lateral de la pierna	2/3 distales de la cara lateral del peroné	Cara dorsal de la tuberosidad del 5.º hueso metatarsiano	Nervio peroneo superficial	Arterias tibial anterior y peronea	Evierde el pie y débilmente, flexiona plantarmente el pie a nivel de la articulación talocrural
Peroneo largo	Lateral de la pierna	Cabeza y 2/3 proximales de la cara lateral del peroné	Caras plantares de la base del 1.º metatarsiano y hueso cuneiforme medial	Nervio peroneo superficial	Arterias tibial anterior y peronea	Evierde el pie y débilmente, flexiona plantarmente el pie a nivel de la articulación talocrural

MÚSCULO	GRUPO MUSCULAR	INSERCIÓN PROXIMAL (ORIGEN)	INSERCIÓN DISTAL (INSERCIÓN)	INERVACIÓN	IRRIGACIÓN	ACCIONES PRINCIPALES
Piriforme	De la región glútea	Cara anterior de los segmentos sacros 2-4, ligamento sacrotuberoso (inconstante)	Borde superior del trocánter mayor del fémur	Ramos ventrales de L5, S1, S2	Arterias glúteas superior e inferior, arteria pudenda interna	Rota lateralmente el muslo extendido, abduce el muslo flexionado a nivel de la cadera
Plantar	Posterior de la pierna	Extremo inferior de la línea supracondílea lateral del fémur y ligamento poplíteo oblicuo	Cara posterior del calcáneo por medio del tendón calcáneo	Nervio tibial	Arteria poplítea	Ayuda débilmente al gastrocnemio
Poplíteo	Posterior de la pierna	Cara lateral del cóndilo lateral del fémur, menisco lateral	Porción posterior de la tibia superior a la línea del sóleo	Nervio tibial (L4-S1)	Arterias inferiores medial y lateral de la rodilla	Flexiona débilmente la rodilla y la bloquea rotando el fémur sobre la tibia fijada
Psoas mayor (iliopsoas)	Anterior del muslo	Apófisis transversas de las vértebras lumbares, lados de los cuerpos de las vértebras T12-L5, discos intervertebrales correspondientes	Trocánter menor del fémur	Ramos anteriores de los tres primeros nervios lumbares	Ramas lumbares de la arteria iliolumbar	Actuando superiormente con el iliaco, flexiona la cadera; actuando inferiormente, flexiona lateralmente la columna vertebral; se usa para equilibrar el tronco cuando se está sentado; actuando inferiormente con el iliaco, flexiona el tronco

Tabla 8.6

MÚSCULO	GRUPO MUSCULAR	INSERCIÓN PROXIMAL (ORIGEN)	INSERCIÓN DISTAL (INSERCIÓN)	INERVACIÓN	IRRIGACIÓN	ACCIONES PRINCIPALES
Recto femoral (cuádriceps)	Anterior del muslo	Espina iliaca anterior inferior y porción superior al acetábulo del ilion	Base de la rótula y tuberosidad de la tibia a través del ligamento rotuliano	Nervio femoral	Arterias femoral profunda y circunfleja femoral lateral	Extiende la pierna a nivel de la articulación de la rodilla y flexiona el muslo a nivel de la articulación de la cadera
Sartorio	Anterior del muslo	Espina iliaca anterior superior y por debajo de la porción superior de la escotadura	Porción superior de la cara medial de la tibia	Nervio femoral	Arteria femoral	Abduce, rota lateralmente y flexiona el muslo; flexiona la articulación de la rodilla
Semimembranoso	Posterior del muslo	Tuberosidad isquiática	Porción posterior del cóndilo medial de la tibia	Nervio ciático (nervio tibial)	Rama perforante de la femoral profunda y arteria circunfleja femoral medial	Flexiona la pierna, extiende el muslo
Semitendinoso	Posterior del muslo	Tuberosidad isquiática	Porción superior de la cara medial de la tibia	Nervio ciático (nervio tibial)	Rama perforante de la femoral profunda y arteria circunfleja femoral medial	Flexiona la pierna, extiende el muslo
Sóleo	Posterior de la pierna	Cara posterior de la cabeza del peroné, 1/4 proximal de la cara posterior del peroné, línea del sóleo de la tibia	Cara posterior del calcáneo por medio del tendón calcáneo	Nervio tibial	Arterias poplitea, tibial posterior y peronea	Flexiona plantarmente el pie a nivel de la articulación talocrural, estabiliza la pierna sobre el pie
Tensor de la fascia lata	De la región glútea	Espina iliaca anterior superior y porción anterior de la cresta iliaca	Tracto iliotibial que se une al cóndilo lateral de la tibia	Nervio glúteo superior	Rama ascendente de la arteria circunfleja femoral lateral	Abduce, rota medialmente y flexiona el muslo a nivel de la cadera; ayuda a mantener la rodilla extendida
Tercer peroneo	Anterior de la pierna	Tercio distal de la cara anterior del peroné y membrana interósea	Dorso de la base del 5.º metatarsiano	Nervio peroneo profundo	Arteria tibial anterior	Flexiona dorsalmente el pie a nivel de la articulación talocrural y ayuda a la eversion del pie
Tibial anterior	Anterior de la pierna	Cóndilo lateral, mitad proximal de la cara lateral de la tibia, membrana interósea	Caras plantares mediales del hueso cuneiforme medial y base del 1.º metatarsiano	Nervio peroneo profundo	Arteria tibial anterior	Flexiona dorsalmente el pie a nivel de la articulación talocrural e invierte el pie
Tibial posterior	Posterior de la pierna	Cara posterior de la tibia por debajo de la línea del sóleo, membrana interósea, mitad proximal de la cara posterior del peroné	Tuberosidad del hueso navicular, todos los cuneiformes, cuboides y bases del 2.º al 4.º metatarsianos	Nervio tibial	Arteria peronea	Flexiona plantarmente el pie a nivel de la articulación talocrural e invierte el pie

MÚSCULO	GRUPO MUSCULAR	INSERCIÓN PROXIMAL (ORIGEN)	INSERCIÓN DISTAL (INSERCIÓN)	INERVACIÓN	IRRIGACIÓN	ACCIONES PRINCIPALES
Vasto intermedio (cuádriceps)	Anterior del muslo	Caras anterior y lateral del cuerpo del fémur	Base de la rótula y tuberosidad de la tibia por medio del ligamento rotuliano	Nervio femoral	Arterias circunfleja femoral lateral y femoral profunda	Extiende la pierna a nivel de la articulación de la rodilla
Vasto lateral (cuádriceps)	Anterior del muslo	Trocánter mayor, labio lateral de la tuberosidad glútea, labio lateral de la línea áspera	Base de la rótula y tuberosidad de la tibia por medio del ligamento rotuliano	Nervio femoral	Arterias circunfleja femoral lateral y femoral profunda	Extiende la pierna a nivel de la articulación de la rodilla
Vasto medial (cuádriceps)	Anterior del muslo	Línea intertrocanterea, labio medial de la línea áspera	Base de la rótula y tuberosidad de la tibia por medio del ligamento rotuliano	Nervio femoral	Arterias femoral y femoral profunda	Extiende la pierna a nivel de la articulación de la rodilla

BIBLIOGRAFÍA

Láminas 15, 43-45, 50-52

Lang, J. *Clinical Anatomy of the Nose, Nasal Cavity, and Paranasal Sinuses*. New York: Thieme; 1989.

Láminas 26-28

Baccetti, T, Franchi, L, McNamara, J, Jr. The cervical vertebral maturation (CVM) method for the assessment of optimal treatment timing in dentofacial orthopedics. *Semin Orthod*. 2005; 11:119–129.

Roman, PS. Skeletal maturation determined by cervical vertebrae development. *Eur J Orthod*. 2002; 24:303–311.

Lámina 30

Tubbs, RS, Kelly, DR, Humphrey, ER, et al. The tectorial membrane: anatomical, biomechanical, and histological analysis. *Clin Anat*. 2007; 20:382–386.

Láminas 31-36, 55, 56, 69, 75, 81

Noden, DM, Francis-West, P. The differentiation and morphogenesis of craniofacial muscles. *Dev Dyn*. 2006; 235:1194–1218.

Lámina 34

Feigl, G. Fascia and spaces on the neck: myths and reality. *Medicina Fluminensis*. 2015; 51(4):430–439.

Jain, M, Dhall, U. Morphometry of the thyroid and cricoid cartilages in adults. *J Anat Soc India*. 2008; 57(2):119–123.

Láminas 39, 41, 136-142

Chang, KV, Lin, CP, Hung, CY, et al. Sonographic nerve tracking in

the cervical region: a pictorial essay and video demonstration. *Am J Phys Med Rehabil*. 2016; 95:862–870.

Tubbs, RS, Salter, EG, Oakes, WJ. Anatomic landmarks for nerves of the neck: a vade mecum for neurosurgeons. *Neurosurgery*. 2005; 56(2 suppl):256–260.

Lámina 50

de Miranda, CMNR, Maranhão, CPM, Arraes, FMNR, et al.

Anatomical variations of paranasal sinuses at multislice computed tomography: what to look for. *Radiol Bras*. 2011; 44(4):256–262.

Souza, SA, de Souza, MMA, Idagawa, M, et al. Computed tomography assessment of the ethmoid roof: a relevant region at risk in endoscopic sinus surgery. *Radiol Bras*. 2008; 41(3):143–147.

Lámina 55

Benninger, B, Lee, BI. Clinical importance of morphology and nomenclature of distal attachment of temporalis tendon. *J Oral Maxillofac Surg*. 2012; 70:557–561.

Lámina 58

Alomar, X, Medrano, J, Cabratosa, J, et al. Anatomy of the temporomandibular joint. *Semin Ultrasound CT MRI*. 2007; 28(3):170–183.

Campos, PSF, Reis, FP, Aragão, JA. Morphofunctional features of the temporomandibular joint. *Int J*. 2011; 29(4):1394–1397.

Cristo, JA, Townsend, GC. Discal attachments of the human temporomandibular joint. *Aust Dent J*. 2005; 50(3):152–160.

Cuccia, AM, Caradonna, C, Caradonna, D, et al. The arterial blood supply of the temporomandibular joint: an anatomical study and clinical implications. *Imaging Sci Dent*. 2013; 43(1):37–44.

Langdon, JD, Berkovitz, BKV, Moxham, BJ. *Surgical Anatomy of the Infratemporal Fossa*. London: Martin Dunitz; 2005.

Schmolke, C. The relationship between the temporomandibular joint capsule, articular disc and jaw muscles. *J Anat*. 1994; 184:335–345.

Siéssere, S, Vitti, M, de Sousa, LG, et al. Bilaminar zone: anatomical

aspects, irrigation, and innervation. *Braz J Morphol Sci.* 2004; 21(4):217–220.

Láminas 59, 69

Benninger, B, Kloenne, J, Horn, JL. Clinical anatomy of the lingual nerve and identification with ultrasonography. *Br J Oral Maxillofac Surg.* 2013; 51:541–544.

Lámina 60

Joo, W, Yoshioka, F, Funaki, T, et al. Microsurgical anatomy of the trigeminal nerve. *Clin Anat.* 2004; 27:61–88.

Joo, W, Yoshioka, F, Funaki, T, Rhoton, AL, Jr. Microsurgical anatomy of the infratemporal fossa. *Clin Anat.* 2013; 26:455–469.

Lámina 66

Fawcett, E, Edin, MB. The structure of the inferior maxilla, with special reference to the position of the inferior dental canal. *J Anat Physiol.* 1895; 29(Pt 3):355–366.

He, P, Truong, MK, Adeeb, N, et al. Clinical anatomy and surgical significance of the lingual foramina and their canals. *Clin Anat.* 2017; 30:194–204.

Iwanaga, J. The clinical view for dissection of the lingual nerve with application to minimizing iatrogenic injury. *Clin Anat.* 2017; 30:467–469.

Otake, I, Kageyama, I, Mataga, I. Clinical anatomy of the maxillary artery. *Okajimas Folia Anat Jpn.* 2011; 87(4):155–164.

Siéssere, S. Anatomic variation of cranial parasympathetic ganglia. *Braz Oral Res.* 2008; 22(2):101–105.

Láminas 67, 73

Benninger, B, Andrews, K, Carter, W. Clinical measurements of hard palate and implications for subepithelial connective tissue grafts with suggestions for palatal nomenclature. *J Oral Maxillofac Surg.* 2012; 70:149–153.

Láminas 78, 106, 107

Kierner, AC, Mayer, R, v Kirschhofer, K. Do the tensor tympani and tensor veli palatini muscles of man form a functional unit? A histochemical investigation of their putative connections. *Hear Res.* 2002; 165:48–52.

Láminas 85, 86

Benninger, B, Barrett, R. A head and neck lymph node classification using an anatomical grid system while maintaining clinical relevance. *J Oral Maxillofac Surg.* 2011; 69:2670–2673.

Láminas 91-93

Ludlow, CL. Central nervous system control of the laryngeal muscles in humans. *Respir Physiol Neurobiol.* 2005; 147:205–222.

Lámina 98

Cornelius, CP, Mayer, P, Ehrenfeld, M, Metzger, MC. The orbits— anatomical features in view of innovative surgical methods. *Facial Plast Surg.* 2014; 30:487–508.

Sherman, DD, Burkat, CN, Lemke, BN. Orbital anatomy and its clinical applications. In: Tasman W, Jaeger EA, eds. *Duane's Ophthalmology*. Philadelphia: Lippincott Williams & Wilkins, 2006.

Láminas 112-125

Rhoton AL Jr. *Cranial Anatomy and Surgical Approaches*. Schaumburg, IL: Congress of Neurological Surgeons; 2003.

Láminas 115, 151

Tubbs, RS, Hansasuta, A, Loukas, M, et al. Branches of the petrous and cavernous segments of the internal carotid artery. *Clin Anat.* 2007; 20:596–601.

Láminas 127-129, 135

Schrott-Fischer, A, Kammen-Jolly, K, Scholtz, AW, et al. Patterns of GABA-like immunoreactivity in efferent fibers of the human cochlea. *Hear Res.* 2002; 174:75–85.

Láminas 169, 184

Tubbs, RS, Loukas, M, Slappey, JB, et al. Clinical anatomy of the C1 dorsal root, ganglion, and ramus: a review and anatomical study. *Clin Anat.* 2007; 20:624–627.

Lámina 171

Forester, O. The dermatomes in man. *Brain.* 1933; 56:1–39.

Láminas 171, 403

Keegan, JJ, Garrett, FD. The segmental distribution of the cutaneous nerves in the limbs of man. *Anat Rec.* 1948; 102:409–437.

Láminas 171, 403, 472, 517

Lee, MW, McPhee, RW, Stringer, MD. An evidence-based approach to human dermatomes. *Clin Anat.* 2008; 21:363–373.

Lámina 177

Bosmia, AN, Hogan, E, Loukas, M, et al. Blood supply to the human spinal cord: part I. Anatomy and hemodynamics. *Clin Anat.* 2015; 28:52–64.

Lámina 178

Stringer, MD, Restieaux, M, Fisher, AL, Crosado, B. The vertebral venous plexuses: the internal veins are muscular and external veins have valves. *Clin Anat.* 2012; 25:609–618.

Láminas 183, 184

Tubbs, RS, Mortazavi, MM, Loukas, M, et al. Anatomical study of the third occipital nerve and its potential role in occipital

headache/neck pain following midline dissections of the craniocervical junction. *J Neurosurg Spine*. 2011; 15:71–75.

Vanderhoek, MD, Hoang, HT, Goff, B. Ultrasound-guided greater occipital nerve blocks and pulsed radiofrequency ablation for diagnosis and treatment of occipital neuralgia. *Anesth Pain Med*. 2013; 3:256–259.

Láminas 188-190

Hassiotou, F, Geddes, D. Anatomy of the human mammary gland: current status of knowledge. *Clin Anat*. 2013; 26:29–48.

Lámina 206, 207

Hyde, DM, Hamid, Q, Irvin, CG. Anatomy, pathology, and physiology of the tracheobronchial tree: emphasis on the distal airways. *J Allergy Clin Immunol*. 2009; 124(6 suppl):S72–S77.

Lámina 209

Ikeda, S, Ono, Y, Miyazawa, S, et al. Flexible broncho-fiberscope. *Otolaryngology (Tokyo)*. 1970; 42:855.

Lámina 222

Angelini, P, Velasco, JA, Flamm, S. Coronary anomalies: incidence, pathophysiology, and clinical relevance. *Circulation*. 2002; 105:2449–2454.

Láminas 222, 223

Chiu, IS, Anderson, RH. Can we better understand the known variations in coronary arterial anatomy? *Ann Thorac Surg*. 2012; 94:1751–1760.

Lámina 229

James, TN. The internodal pathways of the human heart. *Prog Cardiovasc Dis*. 2001; 43:495–535.

Láminas 229-231

Hildreth, V, Anderson, RH, Henderson, DJ. Autonomic innervation of the developing heart: origins and function. *Clin Anat.* 2009; 22:36–46.

Lámina 243

Yang, HJ, Gill, YC, Lee, WJ, et al. Anatomy of thoracic splanchnic nerves for surgical resection. *Clin Anat.* 2008; 21:171–177.

Lámina 286

MacSween RNM, Anthony PP, Scheuer PJ, et al, eds. Pathology of the Liver. London: Churchill Livingstone, 2002.

Robinson, PJA, Ward, J. *MRI of the Liver: A Practical Guide*. Boca Raton, FL: CRC Press; 2006.

Láminas 290, 291

Odze, RD. *Surgical Pathology of the GI Tract, Liver, Biliary Tract, and Pancreas*. Philadelphia: Saunders; 2004.

Lámina 308

Thomas, MD, The Ciba Collection of Medical Illustrations. Vol. 3 part 2: Digestive System: Lower Digestive Tract. CIBA, Summit, NJ, 1970. 78.

Láminas 324, 349, 366, 378, 396

Stormont, TJ, Cahill, DR, King, BF, Myers, RP. Fascias of the male external genitalia and perineum. *Clin Anat.* 1994; 7:115–124.

Láminas 339, 345, 350, 353, 359, 360

Oelrich, TM. The striated urogenital sphincter muscle in the female. *Anat Rec.* 1983; 205:223–232.

Plochocki, JH, Rodriguez-Sosa, JR, Adrian, B, et al. A functional and clinical reinterpretation of human perineal neuromuscular

anatomy: application to sexual function and continence. *Clin Anat.* 2016; 29:1053–1058.

Láminas 343, 349

Myers, RP, Goellner, JR, Cahill, DR. Prostate shape, external striated urethral sphincter, and radical prostatectomy: the apical dissection. *J Urol.* 1987; 138:543–550.

Láminas 343, 349, 365, 366

Oelrich, TM. The urethral sphincter muscle in the male. *Am J Anat.* 1980; 158:229–246.

Lámina 356

Feil, P, Sora, MC. A 3D reconstruction model of the female pelvic floor by using plastinated cross sections. *Austin J Anat.* 2014; 1(5):1022.

Shin, DS, Jang, HG, Hwang, SB, et al. Two-dimensional sectioned images and three-dimensional surface models for learning the anatomy of the female pelvis. *Anat Sci Educ.* 2013; 6(5):316–323.

Lámina 385

Cahill, D, Raychaudhuri, B. Pelvic fasciae in urology. *Ann R Coll Surg Engl.* 2008; 90:633–637.

Lee, SE. A comprehensive review of neuroanatomy of the prostate. *Prostate Int.* 2013; 1(4):139–145.

Nathoo, N, Caris, EC, Wiener, JA, Mendel, E. History of the vertebral venous plexus and the significant contributions of Breschet and Batson. *Neurosurgery.* 2011; 69(5):1007–1014.

Pai, MM, Krishnamurthy, A, Prabhu, LV, et al. Variability in the origin of the obturator artery. *Clinics (Sao Paulo).* 2009; 64(9):897–901.

Stoney, RA. The anatomy of the visceral pelvic fascia. *J Anat Physiol.* 1904; 38(4):438–447.

Walz, J. A critical analysis of the current knowledge of surgical anatomy related to optimization of cancer control and preservation

of continence and erection in candidates for radical prostatectomy. *Eur Urol.* 2010; 57:179–192.

Lámina 472

Keegan, JJ. Neurological interpretation of dermatome hypalgesia with herniation of the lumbar intervertebral disc. *J Bone Joint Surg Am.* 1944; 26:238–248.

Last, RJ. Innervation of the limbs. *J Bone Joint Surg Br.* 1949; 31:452–464.

Lámina 494

Beck, M, Sledge, JB, Gautier, E, et al. The anatomy and function of the gluteus minimus muscle. *J Bone Joint Surg Br.* 2000; 82(3):358–363.

Woodley, SJ, Mercer, SR, Nicholson, HD. Morphology of the bursae associated with the greater trochanter of the femur. *J Bone Joint Surg Am.* 2008; 90(2):284–294.

Lámina 513

Aragão, JA, Reis, FP, de Figueiredo, LFP, et al. The anatomy of the gastrocnemius veins and trunks in adult human cadavers. *J Vasc Br.* 2004; 3(4):297–303.

ÍNDICE ALFABÉTICO

Las referencias indican los números de las láminas.

A

Abdomen, [249–332](#)

anatomía de superficie, [249](#)

cuadrante

inferior

derecho, [251](#)

izquierdo, [251](#)

superior

derecho, [251](#)

izquierdo, [251](#)

esqueleto óseo, [250](#)

nervios y ganglios autónomos, [300](#)

regiones y planos, [251](#)

sección transversal, BP84, [85–86](#)

TC axiales (transversales), BP87, [326–327](#)

tejido subcutáneo, [252](#)

Abducción, movimientos miembro inferior, [472](#)

Abertura

inferior de la pelvis, mediciones, [336](#)

lateral, [120](#)

izquierda, [117](#)

media, [117](#), [120](#), [125](#), [128](#)

Acetábulo, BP5, BP109, [338](#), [476](#), [478](#)

borde, [476](#)

cara (articular) semilunar, [400](#), [477](#)

radiografía, [335](#)

Ácino, BP48

Acromion, BP5, BP23, [36](#), [194](#), [402](#), [409–413](#), [415](#), [417–419](#), [421](#), [470](#)

escápula, [192](#)

Acueducto

coclear, [109](#)

mesencefálico (cerebral), T2.2, [50](#), [117–118](#), [120](#), [125](#), [128](#), [157–158](#)

radiología, [160](#)

vestibular

abertura, [15](#), [20](#), [110](#)

orificio interno, [108](#)

Adhesión intertalámica, [117](#), [121–122](#), [125](#), [157–158](#)

Adipocitos, BP6

Aducción, movimientos miembro inferior, [472](#)

Adventicia, BP16

Agujero(s) (foramen[es])

alveolares, [13](#)

ciático

mayor, [167](#), [337–339](#), [531](#)

menor, [167](#), [337–338](#)

ciego, [18](#), [20](#), [71](#), [77](#)

cigomaticofacial, [11](#), [13](#), [21](#)

emisario esfenoidal (de Vesalio), [20](#)

esfenopalatino, [13](#), [15](#), [23](#), [44](#), [47–48](#), [57](#)

espinoso, BP29, [17](#), [19–20](#), [23](#), [59](#)

rama, [148](#)

estilomastoideo, BP29, [17](#), [19](#), [134](#), [136](#)

etmoidal

anterior, [20](#)

posterior, [20](#)

infraorbitario, BP17, [11–13](#), [42](#)

recién nacido, [21](#)

interventricular (de Monro), [117](#), [119–120](#), [125](#), [156–157](#)

 izquierdo, [117](#)

 radiología, [160](#)

intervertebral, BP37, T3.1, BP36, BP34, [28](#), [164](#), [166–168](#), [186](#)

 estrechamiento, BP18

intervertebral (neural), BP34

 salida raíz nerviosa L4, BP38

de Luschka, [119–120](#)

de Magendie, [117](#), [120](#), [125](#), [128](#)

magno, BP29, [15](#), [19–20](#), [23](#), [138](#)

 borde posterior, BP19

mandibular, [24](#), [69](#)

mastoideo, [17](#), [19–20](#), [23](#)

mentoniano, [11](#), [13](#), [24](#)

nasolagrimal, recién nacido, [52](#)

nutricio fémur, [479](#)

obturado, [250](#), [334](#), [476](#), [478](#), [534](#)

 radiografía, [335](#)

omental, [273–274](#), [276](#), [285](#), [324](#)

oval, BP29, [13](#), [17](#), [19–20](#), [23](#), [56](#), [59–60](#), [233](#)

 rama, [148](#)

 válvula, [225](#)

palatino

 mayor, [19](#), [44](#), [47](#), [67](#), [73](#)

 menor, [19](#), [44](#), [47](#), [67](#), [73](#)

parietal, [16](#)

rasgado, BP29, [17](#), [19–20](#)

 arteria recurrente, [148](#)

redondo, [12](#), [20](#), [61](#)

 rama, [148](#)

sacros, BP37

- anterior, [166](#), [337](#), [342](#)
 - radiografía, [335](#)
 - pélvicos. Véase Agujeros (forámenes) sacros (pélvicos) anteriores
 - posterior, BP86, [166](#), [337](#)
- sacros (pélvicos) anteriores, [342](#)
- sección transversal, S2, [166](#)
- supraescapular, [412](#), [415](#), [417–418](#)
- transverso, [26](#)
 - espícula ósea, [27](#)
 - tabicado, [27](#)
- vertebral, T3.1
 - cervical, [26–27](#)
 - lumbar, [164](#)
 - torácico, [163](#)
- yugular, [15](#), [20](#), [115](#), [136–138](#)
- Ala**, [17](#), [166](#)
 - ilion, [250](#), [334](#), [338](#), [342](#)
 - nariz, [8](#)
 - sacro, radiografía, [335](#)
- Almohadilla grasa**, [235](#), [428](#)
 - infrarrotuliana, [498–499](#), [502](#)
- Alvéolos**, BP48, BP50
- Amígdala**. Véase Tonsila(s)
- Ampolla**, [355](#)
 - conducto deferente, BP93, [366](#)
 - hepatopancreática, esfínter, [309](#)
 - membranosa, [109](#)
 - anterior, [108](#)
 - lateral, [108](#)
 - posterior, [108](#)
 - recta, [350](#)
 - trompa uterina, [357](#)

Anastomosis

- acromial, [418](#)
- arterias circunflejas femorales medial y lateral, [495](#)
- paravertebral, [177](#)
- portacava, [299](#)
- prevertebral, [177](#)
- rotuliana, BP110, BP108, [490–491](#), [503](#)

Anatomía de superficie

- mujer, [2](#)
- varón, [3](#)

Anexos, [355](#)

Ángulo

- cardiofrénico, [217](#)
- de Bohler, [517](#)
- esternón (de Louis), T4.1
- iridocorneal, [100–101](#), [103](#)
- mandíbula, [8](#), [12](#), [22](#), [24](#), [76](#), [79](#)
- mastoideo, [18](#)
- subpubiano, radiografía, [335](#)

Anillo

- adiposo subhiatal, [239](#)
- femoral, T5.1, [262](#), [264](#), [344](#), [347–348](#), [475](#)
- fibroso, [164](#), [168](#)
- inguinal
 - pilar
 - lateral, [262](#)
 - medial, [262](#)
 - profundo, BP59, T5.1, [254](#), [256](#), [262](#), [344](#), [346–348](#), [368](#)
 - superficial, BP58, [252](#), [262–263](#), [359](#), [363](#), [368–369](#)
- tendinoso común (de Zinn), BP26, [96–97](#), [132](#)
- trígono, [351](#)

Ano, [341](#), [345](#), [358](#), [362](#), [364](#), [370](#), [377](#)

Antebrazo

arterias, BP101

proximales, BP100, [424](#)

huesos, [429](#)

músculos

anteriores, T7.1

extensores del carpo y dedos, [431](#)

flexores

carpo, [432](#)

dedos, [433](#)

inserciones, [439–440](#)

plano

intermedio, [437](#)

profundo, [435](#), [438](#)

superficial, [434](#), [436](#)

posterior, T7.1

rotadores radio, [430](#)

nervio(s)

cutáneos, [406](#)

radial, [469](#)

secciones transversales seriadas, [441](#)

venas superficiales, [406](#)

Antihélix, [8](#), [106](#)

ramas, [106](#)

Antitrigo, [8](#), [106](#)

Antro mastoideo, BP27, [107](#)

Aorta, BP44, BP38, BP87, [33](#), [149](#), [177](#), [211](#), [217](#), [223–224](#), [233](#), [244](#), [309](#), [323](#), [325](#), [327](#), [385](#)

abdominal, BP56, BP84, BP98, T5.2, [185](#), [201](#), [217](#), [236](#), [266](#), [271](#), [274](#), [276](#), [278](#), [291](#), [295](#), [306](#), [311](#), [313](#), [317](#), [324](#), [330–332](#), [344](#), [346](#), [348](#), [380](#), [382–384](#), [394](#)

ascendente, BP57, [149](#), [219](#), [221](#), [224](#), [227–229](#), [244](#), [247](#)

descendente, [149](#). Véase también Aorta torácica

rama ureteral, [317](#)

torácica, [4](#), [41–42](#), [177](#), [197](#), [200](#), [220](#), [235–236](#), [240](#)

descendente, BP57, [244](#), [247–248](#)

surco pulmón, [205](#)

Aparato lagrimal, [95](#)

Apéndice(s), BP62, T5.1, [137](#), [282](#)

epidídimo, [369](#), [371](#)

epiploicos. *Véase* Apéndices omentales (epiploicos)

epitelial, [370](#)

fibroso hígado, [284](#)

omentales (epiploicos), [272](#), [283](#)

retrocecal fijado, [282](#)

testicular, [369](#), [371](#)

vermiforme, BP86, [272](#), [280–281](#), [283](#)

orificio, [281](#)

vesicular, [355](#), [371](#)

Apófisis

accesoria, [164](#)

alveolar maxilar, BP22, [11](#), [13](#), [15](#), [23](#), [44](#), [50](#)

articular

cervical

inferior, [26–28](#)

superior, BP18, [27–28](#)

inferior, [163–164](#)

L1, BP37

L2, [165](#)

L3, BP37

lumbar

inferior, [164](#), [167–168](#)

superior, [164](#), [167–168](#)

sacra superior, [166](#)

superior, [164](#), [167](#)

- carillas, [166](#)
 - L1, BP37
 - L2, [165](#)
 - L4, BP37
- torácica
 - inferior, [163](#)
 - superior, [163](#)
- cigomática, [21](#)
 - hueso temporal, [13](#), [17](#)
 - maxilar, [11](#), [17](#)
- clinoides
 - anterior, [14–15](#), [18](#), [98](#)
 - posterior, [18](#)
- condilar
 - cabeza, BP24
 - mandíbula, [24](#)
 - cabeza, [13](#)
- coracoides, [194–195](#), [409–412](#), [414–419](#), [421](#), [423](#), [470](#)
 - escápula, [192](#)
- coronoides, [60](#), [429](#), [433](#)
 - mandíbula, [13–14](#), [24](#)
- espinosa, BP38, BP18, T3.1, [163–164](#), [167–168](#)
 - bífida, [27](#)
 - C2, BP34
 - C7, BP35, T3.1, BP34, [181–182](#)
 - cervical, [27](#), [29](#)
 - L1, [165](#), [185](#)
 - L2, radiología, [165](#)
 - L3, BP37, [164](#)
 - L4, BP37
 - lumbar, [163](#)
 - T12, [161](#), [180–181](#), [183](#)

torácica, 163

esternón, 187, 194

estiloides, BP24, 13, 17, 21–23, 25, 36–37, 41, 49, 69–70, 75, 79, 81, 107

 cúbito, 442

 radial, 442

mamilar, 164

mastoides, BP29, BP24, 12–13, 17, 22–23, 32, 36–37, 69–70, 182

odontoides, C2, BP35

orbitaria hueso palatino, 11

palatina, 15, 23

piramidal, 17, 21, 23

pterigoides, 17, 23

 fosa

 escafoidea, 17

 pterigoidea, 17

gancho, 13, 17, 23

lámina

 lateral, 13, 15, 17, 23

 medial, 15, 17, 23

 recién nacido, 52

transversa, 163–164, 167–168, 185, 193

 C6, BP34

 cóccix, 166

 vértebra

 cervical, 26, 29

 lumbar, 163, 167, 334

 L1, 165

 L3, BP37

 torácica, 163

unciforme, 28, 43–44, 51

 cervical, 27

 derecho, cara articular, 27

izquierdo, área articular, [27](#)

xifoides, [193](#), [196](#), [202](#), [204](#), [249–250](#), [252](#), [328](#)

Aponeurosis

bicipital, [406](#), [421](#), [423](#), [436](#), [463](#)

epicraneal, BP20, [10](#), [31](#), [113](#), [184](#)

faríngea, [75](#), [78](#), [80](#)

glútea, [492](#)

músculo glúteo medio, [257](#), [312](#), [484–485](#)

músculo oblicuo externo del abdomen, [359](#), [363](#)

palatina, [67](#), [78](#)

palmar, [406](#), [432](#), [436](#), [444](#), [449–450](#), [453](#)

plantar, T8.2, [520](#), [523](#), [525](#), [535](#)

banda lateral, [523](#)

fascículos digitales, [523](#)

origen, BP116

triangular, [454](#)

Aracnoides, [111](#), [113](#), [120](#), [174](#), [177](#)

Árbol traqueobronquial, inervación, esquema, [214](#)

Arco(s)

aorta, BP23, BP51, 4, BP56, BP57, [87–88](#), [149](#), [202](#), [210](#), [214–216](#), [217–219](#),
[225](#), [229](#), [235–237](#), [240](#), [246](#)

surco pulmón, [205](#)

arterial

palmar superficial, [450](#)

palpebral

inferior, [99](#)

superior, [99](#)

plantar profundo, [526](#)

carpiano palmar, [455](#)

cigomático, BP17, [12–13](#), [22–23](#), [55](#)

dorsal del carpo, [459](#)

palatofaríngeo, [65](#), [71–72](#), [79](#)

palatogloso, [65](#), [71–72](#)

palmar, [4](#)

profundo, BP101, BP99, [424](#), [455](#)

superficial, BP101, BP99, [424](#), [452](#), [456](#), [463](#)

plantar, BP110, BP115, [503](#), [527](#)

profundo, [522](#)

ramos perforantes, posterior, [512](#)

pubis, [250](#), [334](#)

mediciones, [336](#)

superciliar, [8](#)

tendinoso, [81](#)

fascia pélvica, [347](#), [352](#), [354](#)

músculo elevador del ano, [339](#), [342–343](#), [347](#), [350](#), [352–353](#), [360](#), [374](#)

venoso

dorsal, BP107, [5](#), [473](#)

palmar, [5](#)

superficial, [450](#)

plantar, BP107

posterior, superficial, [513](#)

Área

hipotalámica, lateral, [146](#)

intercondílea

anterior, [504–505](#)

posterior, [505](#)

subcallosa, [117](#), [130](#)

vestibular, [125](#)

Aréola, [188](#)

Arteria(s)

de Adamkiewicz, [176](#)

alveolar

inferior, [47](#), [57–58](#), [69](#), [84](#)

rama

- lingual, [83](#)
- mentoniana, [57](#), [83](#)
- milohioidea, [25](#), [83](#)
- superior, [57](#)
 - anterior, [57](#), [63](#)
 - media, [57](#), [63](#)
 - posterior, [57](#), [60](#), [63](#), [83](#)
- angular, [10](#), [42](#), [57](#), [83](#), [99](#), [149](#)
- apendicular, [280](#), [294–295](#), [305](#)
- arqueada, BP110, BP115, [314](#), [503](#), [512](#), [521](#), [527](#)
- auricular
 - anterior, [10](#)
 - posterior, [10](#), [41](#), [57](#), [60](#), [83](#), [107](#), [112](#), [147](#), [149](#), [184](#)
 - profunda, [57–58](#), [107](#)
- axilar, BP23, BP56, BP100, [4](#), [189](#), [195](#), [204](#), [258](#), [416](#), [418–419](#), [423–424](#)
 - derecha, [199](#)
 - izquierda, [199](#)
 - rama
 - acromial, BP100
 - clavicular, BP100
 - pectoral, BP100
- basilar, [147](#), [149–152](#), [154](#), [176](#)
 - radiología, [31–32](#), [159–160](#)
- bazo, [290–291](#)
- braquial, T7.2, [4](#), [100–101](#), [189](#), [418–419](#), [421](#), [424–425](#), [436–438](#), [463](#)
 - fascículo
 - lateral plexo braquial, [423](#)
 - medial plexo braquial, [423](#)
 - in situ*, , [423](#)
 - profunda, BP100, [417](#), [419](#), [422–425](#)
 - pulsos, [4](#)
 - rama(s), [435](#)

- colateral media, 435
- muscular, 423
- braquiocefálica, 217
- bronquial, BP49, 211, 234–235
 - derecha, 205, 211, 240
 - izquierda, 205
 - inferior, 211, 240
 - superior, 211, 240
 - rama esofágica, 211
- bucal, 57, 83
- calcánea
 - lateral, 525–526
 - medial, 525–526
- callosomarginal, 152–153
- carótida, 41
 - común, T2.2, 10, 33, 38, 40–41, 64, 76, 82–84, 87–89, 136, 139, 141–142, 144–145, 147, 149, 196, 204, 236, 240
 - derecha, BP23, 4, 37, 179, 199, 210, 217
 - izquierda, BP51, 4, 179, 199, 210, 215–218, 221, 245
 - externa, 10, 32, 35, 38, 41, 47, 53, 57, 60, 63–64, 68, 70, 76, 82–84, 87–89, 107, 112, 136, 141–142, 145, 147, 149
 - derecha, BP23, 58
 - esquema, 41
 - izquierda, 58
 - interna, BP27, 10, 41, 49, 56, 60, 62, 64, 76, 82–83, 87–89, 99, 107, 112, 115, 136, 139, 141–145, 147, 149–152
 - conducto carotídeo, 19–20
 - derecha, BP23, 153
 - izquierda, 153–154
 - porción
 - cavernosa, 148
 - cerebral, 148
 - cervical, 148

- petrosa, 148
- petrosa del temporal, 148
- radiología, 31–32, 159–160
- rama carotidotimpánica, 149
- segmento cavernoso, 115
- tronco meningohipofisario, 112
- pulsos, 4
- carotidotimpánica, 148
- cavidad nasal, 47
- cecal, 305
 - anterior, 280, 294–295
 - posterior, 280, 294–295
- central
 - anterolateral, 148, 150–152, 154
 - anteromedial, 151
 - posteromedial, 151
 - retina, 99–100, 103–104
- cerebelosa
 - inferior
 - anterior, 147, 149–152, 154, 159, 176
 - posterior, 147, 149–150, 152, 154, 176
 - rama amígdala cerebelosa, 154
 - superior, 147, 149–152, 154, 176
 - radiología, BP32, 159
- cerebrales, 113
 - anterior, 147–152, 154, 156
 - izquierda, 153
 - radiología, 31–32, 159
 - ramas
 - cingulares, 153
 - frontales mediales, 152–153
 - terminales, 153

- media, [147–152](#), [154](#)
 - izquierda, [153](#)
 - radiología, [31–32](#), [159](#)
 - ramas, [148](#)
 - occipitotemporales, [153](#)
 - temporales, [152](#)
- posterior, [147–152](#), [154](#)
 - derecha, [153](#)
 - radiología, [31–32](#), [159](#)
 - rama(s)
 - calcarina, [153–154](#)
 - parietooccipital, [153–154](#)
 - temporales, [154](#)
 - terminales, [153](#)
- cervical
 - ascendente, BP23, [40](#), [82–83](#), [87–89](#), [149](#), [176](#), [418](#)
 - profunda, BP23, [149](#), [176](#)
 - superficial, [183](#)
 - transversa. *Véase* Arteria transversa del cuello
- cigomaticofacial, [10](#), [99](#)
- cigomaticoorbitaria, [10](#), [99](#)
- cigomaticotemporal, [10](#)
- ciliares
 - anterior, [103–104](#)
 - rama recurrente, [104](#)
 - posterior, [99](#)
 - corta, [103–104](#)
 - larga, [103–104](#)
- circunfleja
 - escápula, BP23, BP100, T7.2, [417–419](#), [421](#), [424](#)
 - humeral
 - anterior, BP100, [417–419](#), [421](#), [423–424](#)

- posterior, BP100, [417–419](#), [422–424](#)
- ilíaca
 - profunda, BP108, [491](#), [503](#)
 - rama ascendente, [258](#), [266](#)
 - superficial, BP108, [254](#), [266](#), [503](#)
- císticas, T5.2, [287](#), [290–291](#)
 - variaciones, BP69
- clítoris, [361](#)
 - interna, [386](#)
- colateral
 - cubital
 - inferior, [100–101](#), [423](#), [435](#)
 - superior, [100–101](#), [423](#), [425](#), [434–435](#)
 - media, BP100, [422](#), [424–425](#)
 - radial, BP100, [422](#), [424–425](#)
- cólica
 - derecha, [294–295](#), [316](#)
 - izquierda, [266](#), [294–295](#), [300](#), [305](#), [316](#), [380](#)
 - media, [288](#), [291](#), [294–295](#), [304](#), [324](#)
 - rama
 - ascendente, [380](#)
 - descendente, [380](#)
 - variaciones, [73–74](#)
- comunicante
 - anterior, [147–153](#)
 - radiología, [31–32](#), [159](#)
 - posterior, [115](#), [147–154](#)
 - radiología, [31–32](#), [159](#)
- conducto
 - anal, [380](#)
 - deferente, BP98, [380](#), [383](#)
- coroidea

- anterior, [148](#), [150–152](#), [154](#)
- posterior
 - lateral, [150](#), [154](#)
 - medial, [150](#)
- coronarias, [41–42](#), [222](#)
 - derecha, BP51, [216](#), [218](#), [222–223](#), [226](#)
 - arteriografías oblicuas anteriores, BP52
 - orificio, [227](#)
 - rama(s)
 - atrial, [222](#)
 - interventricular posterior (arteria descendente posterior), [223](#), [226](#)
 - marginal derecha (aguda), BP52, [223](#)
 - nódulo AV, BP52, [223](#), [226](#)
 - nódulo SA, BP52, [223](#)
 - septales interventriculares, [218](#), [222–223](#)
 - izquierda, [222–223](#)
 - orificio, [227](#)
 - rama(s)
 - circunfleja, BP52, [222–223](#), [226](#)
 - interventricular anterior, BP52, [216](#), [222](#)
 - interventricular posterior, [222](#)
 - marginal izquierda (obtusa), BP52, [223](#)
 - posterolaterales, [227](#)
 - septales interventriculares, BP52, [223](#)
 - surco interventricular anterior, BP51, [216](#)
 - orificio, [228](#)
 - radiología, [223](#)
 - variaciones, BP53
- cremastérica, [258](#), [264](#)
- cricotiroidea, [83](#), [87](#)
- cubital, [4](#), [100–101](#), [423](#), [436–438](#), [441](#), [444](#), [449–450](#), [452](#), [456](#), [463](#)
 - pulsos, [4](#)

- rama
 - carpiana
 - dorsal, [459](#)
 - palmar, [438](#), [455](#)
 - palmar profunda, BP101, [424](#), [437](#), [444](#), [449–450](#), [455–456](#), [463](#)
 - profunda, [444](#)
- cuero cabelludo, T2.3
- descendente de la rodilla, BP110, BP108, [491](#), [503](#)
 - rama
 - articular, BP110, BP108, [490](#)
 - safena, BP108, BP110, [490](#)
- digitales
 - dorsales, BP110, BP115, [459–461](#), [503](#), [512](#), [521](#), [527](#)
 - palmares, BP101, [424](#), [449](#)
 - comunes, BP101, [424](#), [450](#), [453](#), [455–456](#)
 - propias, BP101, [450](#), [456](#), [459–461](#)
 - plantares, [521–523](#), [527](#)
 - común, BP115, [525](#), [527](#)
 - propias, [424](#)
 - ramas plantares, [512](#)
- dorsal(es)
 - carpo, BP101, [424](#)
 - clítoris, [386](#)
 - escápula, BP23, T7.2, [39–40](#), [179](#), [418–419](#)
 - pene, [363](#), [365](#), [383](#)
 - profunda, BP98
 - pie, BP110, BP115, BP117, [4](#), [503](#), [512](#), [521–522](#), [527](#)
 - pie, porción proximal, T8.2
 - pulsos, [4](#)
 - rama tarsiana medial, BP110
- duodeno, [291](#), [293](#)
- encéfalo

- sección frontal, [152](#)
- visión
 - frontal, [152](#)
 - inferior, [150](#)
 - lateral, [153](#)
 - medial, [153](#)
- epiescleral, [103](#)
- epigástrica
 - inferior, BP59, BP108, [266–268](#), [317](#), [347](#), [380](#), [382](#), [503](#)
 - ramas
 - cremastéricas, [256](#), [266](#)
 - púbicas, [256](#), [266](#), [348](#)
 - superficial, BP108, [254](#), [258](#), [266](#), [503](#)
 - superior, [194–197](#), [215](#), [258–259](#)
- escrotales posteriores, BP98, [385](#), [387](#)
- esfenopalatina, [47](#), [57](#), [63](#), [83](#)
 - ramas
 - nasales posteriores laterales, [47](#), [63](#)
 - septales posteriores, [47](#), [57](#)
- esofágica, [211](#)
- esófago, BP55, [240](#)
- espinal
 - anterior, [149–150](#), [152](#), [154](#), [176–177](#)
 - asas anastomóticas, [176](#)
 - posterior, [150](#), [152](#), [176–177](#)
 - asas anastomóticas, [176](#)
 - derecha, [177](#)
 - izquierda, [154](#), [177](#)
 - ramas medulares segmentarias, [149](#)
- esplénica, [217](#), [289–291](#), [293–294](#), [300–301](#), [303](#), [309–310](#), [329](#)
 - ramas esplénicas, [290](#)
- estilomastoidea, [76](#), [107](#)

- rama
 - estapedial, 107
 - timpánica posterior, 107
- estómago, 290
- estría maleolar, 107
- estriada medial larga, 148, 150–153
- etmoidal
 - anterior, 20, 99
 - rama meníngea anterior, 112
 - posterior, 20, 99, 112
 - rama nasal
 - lateral, 47
 - septal, 47
- facial, 10, 38, 41–42, 49, 53, 57–58, 68, 76, 83–84, 88, 99, 142, 144, 147, 149
 - pulsos, 4
 - rama tonsilar, 72
 - transversa, 10, 41–42, 53, 58, 83, 99
- faríngea, 57, 63
 - ascendente, 41, 57, 64, 76, 83, 107, 147, 149
 - rama
 - faríngea, 72
 - meníngea, 20, 112, 147
 - tonsilar, 72
- femoral, BP110, BP108, 4, 258, 266, 362, 400–401, 475, 483, 490, 495–496, 503
 - circunfleja femoral
 - lateral, BP108, 490–491, 495, 503
 - medial, BP108, 491–492, 495, 503
 - profunda, BP108, 4, 401, 483, 490–491, 495–496, 503
 - ramas perforantes, BP108
 - pulsos, 4
 - rama(s)
 - ascendente, BP108

- musculares, BP108, 503
- perforantes, 503
- transversal, BP108
- triángulo femoral, T8.2
- fosa craneal posterior, 154
- frénicas, inferior, 236, 240, 266, 273, 290, 300–301, 322–323, 392
 - izquierda, 243
- frontal, 10
- frontobasal
 - lateral, 150, 153
 - medial, 148, 150, 152–153
- frontopolar, 152–153
- gástrica
 - corta, 290
 - derecha, 279, 287, 290–291, 301–303
 - izquierda, 240, 273, 290, 300–301, 303, 392
 - rama esofágica, 240, 290
- gastroduodenal, 279, 287, 291–293, 303–304, 309
- gastroepiploica. Véase Arteria gastrointestinal (gastroepiploica)
- gastrointestinal (gastroepiploica), 273, 290–291
 - anastomosis, 273
 - izquierda, 291
 - plexo, 301–302
- glándula mamaria, 189
- glútea
 - inferior, BP98, 266, 317, 380, 384–385, 492
 - superior, BP98, 266, 317, 380, 384–385, 489, 492
- hepáticas, 287
 - común, 273, 275, 279, 287, 290–291, 293–294, 300, 303, 309
 - derecha, 290
 - intermedia, 291
 - izquierda, 290–291

propia, [274](#), [278–279](#), [284–285](#), [288](#), [290–293](#), [303](#), [324](#), [329](#)
ramas, [286](#)
ramos nervios, BP63
variaciones, BP70
hígado, [290–291](#)
hipofisaria
 inferior, [148](#), [151](#)
 superior, [148](#), [151](#)
hipotalámica, [151](#)
hipotálamo e hipófisis, BP30
ileales, [294–295](#)
ileocólica, [280](#), [294](#), [305](#), [316](#)
ilíaca
 común, BP38, BP85, [4](#), [300](#), [311](#), [316–317](#), [380](#), [382](#), [384–385](#), [394](#)
 derecha, [384](#)
 izquierda, [384](#)
 externa, [4](#), [108–109](#), [266](#), [300](#), [311](#), [316](#), [353](#), [380](#), [382](#), [384](#), [394](#), [491](#), [503](#)
interna, BP86, [4](#), [266](#), [293](#), [295](#), [300](#), [311](#), [316–317](#), [356](#), [380](#), [382](#), [384](#), [394](#)
iliolumbar, BP98, [266](#), [317](#), [384–385](#)
inferior
 lateral de la rodilla, BP110, BP108, [503](#), [508–512](#)
 medial de la rodilla, BP110, BP108, [490–491](#), [503](#), [508–509](#), [511–512](#)
infrahioidea, [87](#)
infraorbitaria, [10](#), [42](#), [57](#), [63](#), [83](#), [94](#), [99](#)
intercostal, [197](#), [258](#)
 anterior, [196–197](#)
 inferior, anastomosis, [258](#)
 posterior, [176](#), [194–195](#), [197](#), [234–235](#), [417](#)
 derecha, [197](#), [211](#), [240](#)
 rama(s)
 dorsal, [177](#), [197](#)
 espinal, [197](#)

- mamarias laterales, ramas cutáneas laterales, [189](#), [197](#)
- ramas
 - colaterales, [196](#)
 - cutáneas
 - anterior, [260](#)
 - lateral, [260](#)
 - suprema, BP23, [147](#), [149](#)
- interlobulares, [314](#)
- interósea
 - anterior, [100–101](#), [424](#), [435](#), [437–438](#), [441](#)
 - común, [100–101](#), [424](#), [437–438](#), [441](#)
 - posterior, [100–101](#), [424](#), [435](#), [438](#), [441](#)
 - recurrente, [100–101](#), [424](#), [435](#)
- interventricular anterior, rama diagonal, [222](#)
- intestinales, T5.2
- intestino
 - delgado, [294](#)
 - grueso, [295](#)
- intrarrenales, [315](#)
- laberíntica, [20](#), [107](#), [150–152](#), [154](#)
 - izquierda, [147](#)
- labial
 - inferior, [42](#), [83](#)
 - posterior, [361](#), [386](#)
 - superior, [42](#), [83](#)
- lagrimal, [99](#), [149](#)
 - rama meníngea recurrente, [112](#)
- laríngea
 - inferior, [92](#)
 - superior, [41](#), [80](#), [83](#), [87–89](#), [92](#), [147](#)
- ligamento redondo, [382](#)
- lingual, [10](#), [41](#), [57–58](#), [68](#), [70](#), [83](#), [88](#), [144](#), [147](#), [149](#)

- dorsal, [70](#)
 - rama tonsilar, [72](#)
- profunda, [65](#)
- lumbar, [176](#), [266](#)
- maleolares, anterior
 - lateral, BP110, BP115, [503](#), [512](#), [521–522](#)
 - medial, BP110, [503](#), [512](#), [521–522](#)
- marginal, T5.2, [294–295](#), [380](#)
 - derecha, [222–223](#)
 - izquierda, [222](#)
- masetérica, [55–58](#), [60](#), [83](#)
- maxilar, [25](#), [41](#), [47](#), [55–60](#), [63](#), [82–83](#), [107](#), [112](#), [142](#), [144–145](#), [147](#), [149](#)
 - proximal, [58](#)
 - rama nasal posterior lateral, [57](#)
- media de la rodilla, BP110, BP108, [503](#)
- médula espinal
 - distribución intrínseca, [177](#)
 - esquema, [176](#)
- medulares segmentarias, T3.1, [176–178](#)
- meníngea, [112](#)
 - accesoria, [19–20](#), [57](#), [60](#), [112](#)
 - anterior, [99](#)
 - dorsal, [148](#)
 - media, T2.3, [20](#), [25](#), [56–60](#), [82–83](#), [107](#), [111–113](#), [115](#), [142](#), [147–149](#)
 - izquierda, [147](#)
 - rama(s), [113](#)
 - accesoria, [107](#)
 - frontal (anterior) y parietal (posterior), [112](#)
 - posterior, [20](#)
 - agujero (foramen) mastoideo, [19](#)
- mesentérica
 - inferior, [4](#), [271](#), [295](#), [311](#), [313](#), [316–317](#), [380](#), [382–383](#), [392](#)

superior, T5.2, BP57, [4](#), [185](#), [233](#), [271](#), [276](#), [279–280](#), [291–295](#), [297](#), [303–304](#), [311](#), [313](#), [316–317](#), [324](#), [327](#), [331](#), [392](#)

metacarpianas

dorsal, [459](#)

palmar, BP101, [424](#), [455](#)

metatarsianas

dorsales, BP110, BP115, [512](#), [521–522](#), [527](#)

ramas perforantes anteriores, [526](#)

plantares, BP115, [524](#), [526–527](#)

ramas perforantes, [522](#)

milohioidea, [57](#)

nervio, [69](#)

muscular, [103–104](#)

musculofrénicas, [195–196](#), [204](#), [215](#), [258](#)

nasal

externa, [10](#), [42](#), [57](#), [83](#), [99](#), [149](#)

lateral, [42](#)

nódulo sinoatrial (SA), [229](#)

nutricia fémur, [495](#)

obturatriz, BP98, BP108, [266](#), [317](#), [346–347](#), [380](#), [382](#), [384–385](#), [392](#), [400](#), [477](#), [495](#), [503](#)

accesoria, [380](#), [384](#)

rama

acetabular, [477](#), [495](#)

anterior, [477](#)

posterior, [477](#)

occipital, [10](#), [41](#), [76](#), [83–84](#), [112](#), [147](#), [149](#), [184](#)

medial, [153](#)

rama

descendente, [41](#), [184](#)

esternocleidomastoidea, [41](#)

mastoidea, [112](#), [147](#)

- menínea, [10](#)
- surco, [17](#)
- oftálmica, [T2.3](#), [20](#), [57](#), [64](#), [99](#), [143](#), [147–149](#), [151](#), [154](#)
 - conducto óptico, [BP26](#)
 - continuación, [99](#)
- órbita, [99](#)
- órganos de la pelvis femenina, [382](#)
- ovárica, [382](#), [394](#), [397](#). Véase también Arteria testicular
- uterina, [386](#)
- palatina
 - ascendente, [57](#), [72](#), [83](#)
 - rama tonsilar, [72](#)
 - descendente, [63–64](#), [83](#)
 - mayor, [47](#), [57](#), [63–64](#), [67](#)
 - menor, [47](#), [57](#), [63–64](#), [67](#), [72](#)
 - rama tonsilar, [72](#)
- palpebral
 - lateral, [99](#)
 - inferior, [99](#)
 - superior, [99](#)
 - medial, [99](#)
 - inferior, [99](#)
 - superior, [99](#)
- páncreas, [291](#), [293](#)
- pancreática(s), [291](#)
 - dorsal, [290–291](#), [294](#)
 - inferior, [291](#), [293–294](#)
 - mayor, [291](#)
- pancreatoduodenal
 - anterior
 - inferior, [291](#), [293](#), [303](#)
 - superior, [273](#), [290–291](#), [293–294](#), [303](#)

- inferior, [291](#), [293–295](#), [304](#)
- posterior
 - inferior, [291](#), [293](#), [303](#)
 - superior, [290–291](#), [293](#), [303](#)
- paracentral, [152–153](#)
- parietal, [10](#)
 - anterior, [152–153](#)
 - posterior, [152–153](#)
- párpados, [99](#)
- pedia. Véase Arteria dorsal del pie
- pelvis
 - femenina, [383](#)
 - masculina, BP98, [385](#)
- pene, T6.2
- perforante
 - cuarta, [492](#)
 - primera, [492](#)
 - segunda, [492](#)
 - tercera, [492](#)
- pericallosa, [152–153](#)
- pericardiofrénica, [196](#), [210](#), [215–216](#), [220](#), [234–235](#), [258](#)
 - derecha, [199](#)
 - izquierda, [199–200](#)
- periféricas, BP41
- periné, [386](#)
 - masculino, [387](#)
- perineal, BP98, [353](#), [361](#), [385–387](#)
 - transversa del periné, [387](#)
- peronea, BP108, [4](#), [110–111](#), [503](#), [507–509](#), [513–514](#)
 - rama
 - calcánea, [508](#)
 - lateral, [509](#)

- comunicante, [509](#)
- maleolar posterior lateral, [509](#)
- perforante, BP110, [503](#), [509](#), [512](#), [521–522](#)
 - posterior, BP110
 - tarsiana lateral, BP110
- petrosa superficial, rama descendente, [107](#)
- plantar
 - lateral, BP116, [509](#), [513](#), [520](#), [525–527](#)
 - rama
 - metatarsiana plantar, [524](#)
 - profunda, BP117
 - superficial, BP117
 - medial, BP116, [509](#), [513](#), [520](#), [523](#), [525–526](#)
 - rama
 - profunda, BP117, [525–526](#)
 - superficial, [523–526](#)
 - profunda, BP110, [503](#), [512](#), [521](#), [527](#)
- pontinas, [150–151](#), [154](#)
 - basilar, [152](#)
- poplítea, BP110, BP108, [4](#), [492](#), [503](#), [507–509](#), [513](#)
 - pulsos, [4](#)
 - rodilla, región poplítea profunda, T8.2
- precuneal, [153](#)
- prefrontal, [150](#), [152](#)
- principal del pulgar, BP101, [424](#)
- profunda(s)
 - cara, [63](#)
 - clítoris, [386](#)
 - pene, [363](#), [365](#), [387](#)
- ptergoidea, [57](#)
 - lateral, [57](#)
 - medial, [57](#)

pudenda

externa

profunda, BP108, 258, 266, 503

superficial, BP108, 258, 266, 503

interna, BP98, 266, 317, 361, 365, 380, 384–387, 400, 489

conducto pudendo (de Alcock), 386

pulmonares, BP50, T4.2, BP49, T4.1

derecha, 56–57, 205, 210, 216, 218, 224–225, 233–234, 244, 247–248

izquierda, 56–57, 205, 210, 216–217, 225, 233, 235, 244, 247

radiada perforante, 315

radial, BP100, T7.2, BP101, 4, 423–424, 435–438, 441, 444, 450, 452, 455–457, 459–460

índice, BP101, 424

pulsos, 4

rama

carpiana

dorsal, 457

palmar, 438, 455

palmar superficial, BP101, 424, 437–438, 444, 450, 455–456

radicular

anterior, 176–177

posterior, 177

rectal

inferior, BP98, 295, 380, 384–387

media, BP98, 266, 295, 316, 347, 380, 382, 384–385

superior, 266, 295, 300, 305–306, 316, 347, 380, 382, 392

rectas, 279, 294–295

recto, 380

rectosigmoideas, 380

recurrente

cubital

anterior, 100–101, 424, 437–438

- posterior, 100–101, 424, 434–435, 438
- de Heubner, 150–153
- radial, 100–101, 423, 437–438
- tibial
 - anterior, BP110, BP108, 503, 512
 - posterior, BP108, BP110, 503, 509
- regiones bucal y faríngea, 83
- renal, 4, 317, 321, 382, 399
 - derecha, 266, 292, 300, 303, 310, 313
 - in situ*, , 313
 - izquierda, 266, 292, 305, 323, 392
 - variaciones, BP75
- retina, 103
- retinaculares, 495
- sacra
 - lateral, BP98, 176, 266, 317, 384–385
 - ramas espinales, 176
 - media, 266, 293, 295, 317, 347, 380, 384–385
- sigmoideas, 266, 293, 295, 305, 316, 380
- subclavia, BP23, 4, 37, 39–40, 76, 82–84, 87, 89, 141, 147, 149, 176, 189, 195–196, 204, 215–216, 236, 240, 258, 266, 417–419
 - derecha, BP23, 88, 137, 179, 210, 234
 - izquierda, 88, 179, 210, 217–218, 235, 245
 - surco(s), BP46
 - pulmonar, 205
- subcutánea, BP1
- subescapular, BP23, BP100, 417–419, 424
- sublingual, 53, 70
- submentoniana, 57, 83
- subsinoviales. Véase Arterias retinaculares
- superior
 - lateral de la rodilla, BP110, BP108, 492, 503, 507–510, 511–512

medial de la rodilla, BP110, BP108, 490–492, 503, 507–509, 511–512

supraduodenal, 290–291, 293–294

supraescapular, BP23, T7.2, 39–40, 87–89, 149, 417–419

 rama infraespinosa, 418

suprahioidea, 70, 83

supraorbitaria, 10, 42, 57, 94, 99, 149

suprarrenal

 inferior, 266, 323

 media, 266, 313, 323

 superior, 266, 313, 323

 izquierda, 201

supratroclear, 10, 42, 57, 94, 99, 149

surco

 central, 153

 precentral, 153

 prefrontal, 153

talamogeniculadas, 154

talamoperforantes, 151, 154

talamotuberal, 151

tarsiana

 lateral, 503, 512, 521, 527

 medial, BP115, 503, 512, 521–522, 527

temporal

 anterior, 153

 media, 10, 111, 153

 polar, 153

 posterior, 153

 profunda, 58, 83, 111

 anterior, 57, 60

 posterior, 13, 57, 60

 superficial, 41–42, 49, 53, 57–58, 60, 63, 76, 82–84, 107, 111–112, 145, 147, 149

- rama(s)
 - frontal, [10](#), [99](#)
 - frontales y parietales, [111](#)
 - parietal, [10](#)
- tentorial, [115](#)
- testicular, BP98, BP109, [266](#), [300](#), [311](#), [313](#), [369](#), [385](#), [391](#), [398](#)
- testículo, [383](#)
- tibial, [514](#)
 - anterior, BP108, BP110, BP111, BP116, [4](#), [115–116](#), [503](#), [509](#), [512–514](#), [521–522](#)
 - posterior, BP110, BP111, BP108, [4](#), [115–116](#), [503](#), [507–509](#), [513–514](#), [520](#), [524–525](#)
 - pulsos, [4](#)
 - rama(s)
 - calcáneas mediales, [523](#)
 - maleolar medial posterior, [509](#)
 - maleolares mediales, [513](#)
 - túnel tarsiano, posterior maléolo medial, T8.2
- timpánica
 - anterior, [57–58](#), [60](#), [107](#), [149](#)
 - inferior, [64](#), [107](#)
 - posterior, [107](#)
 - superior, [60](#)
- tiroidea
 - inferior, [22–23](#), [40–41](#), [76](#), [87–89](#), [147](#), [149](#), [230](#), [418](#)
 - superior, [38](#), [41](#), [76](#), [83](#), [87–89](#), [147](#), [149](#)
 - rama laríngea, [41](#)
- tonsilar, [57](#), [83](#)
- torácica
 - inferior, rama esofágica, [240](#)
 - interna, BP23, [41–42](#), [88](#), [149](#), [189](#), [196–197](#), [204](#), [210](#), [215–216](#), [220](#), [236](#), [246–248](#), [258](#), [418](#)
 - derecha, [199–200](#), [234](#)

- izquierda, [199–200](#), [235](#)
- ramas
 - intercostales anteriores, [195](#)
 - mamarias mediales, [189](#)
 - perforantes, [189](#), [194](#), [196](#), [417](#)
- lateral, BP100, [189](#), [194–195](#), [258](#), [417–419](#), [424](#)
- superior, BP100, [195](#), [418–419](#), [424](#)
- toracoacromial, BP100, [194–195](#), [416](#), [418–419](#), [424](#)
- rama
 - acromial, [418–419](#), [424](#)
 - clavicular, [418–419](#), [424](#)
 - deltoidea, [413](#), [418–419](#), [424](#)
 - pectoral, [418–419](#), [424](#)
- toracodorsal, BP23, BP100, [417–419](#), [424](#)
- transversa del cuello, BP23, [39–40](#), [89](#), [418–419](#)
- rama
 - profunda, BP23
 - superficial, BP23, [183](#)
- tubárica, [107](#)
- umbilical, BP98, [233](#), [256](#), [317](#), [380](#), [382](#), [384–385](#)
 - derecha, BP98
 - obliterada, [357](#)
 - izquierda, [256](#)
 - porción
 - distal ocluida, [384](#)
 - obliterada fibrosa, [344](#), [347–348](#), [384](#)
 - permeable, [266](#)
- uretral, [365](#), [387](#)
- uterina, T6.2, [316–317](#), [356–357](#), [382](#), [384](#)
 - ligamento cardinal (de Mackenrodt), [347](#)
 - ramas, [386](#)
 - vaginales, [386](#)

vaginales, [353](#), [357](#), [382](#), [384](#), [386](#)

inferior, [350](#)

interna, [347](#)

izquierda, [356](#)

vermiana inferior, [154](#)

vertebral, BP23, [19–20](#), [29](#), [39–40](#), [76](#), [82](#), [88–89](#), [141](#), [149–152](#), [176](#), [179](#), [184](#),
[230](#), [240](#), [418](#)

agujero (foramen) magno, [19](#)

derecha, BP42, [147](#), [179](#)

izquierda, [147](#), [154](#), [179](#)

plexo venoso, BP42, [179](#)

porción cervical, [147](#)

radiología, [31–32](#)

ramas meníngeas, [20](#)

anterior, [147](#), [154](#)

y posterior, [112](#)

posterior, [147](#), [154](#)

vesicales

inferior, BP98, [266](#), [316](#), [350](#), [380](#), [382–385](#)

ramas posteriores, [385](#)

interna, [347](#)

superior, BP98, [256](#), [317](#), [347](#), [380](#), [382](#), [384–385](#)

viscerales, BP41

yeyunales, [294–295](#)

asa anastomótica (arcada), [279](#), [294](#)

Arteria (rama) interventricular

anterior, [223](#)

ramas diagonales, [223](#)

posterior, [223](#)

Arteriola

intralobular, [286](#)

macular

inferior, [103](#)

superior, [103](#)

nasal

inferior de la retina, [103](#)

superior de la retina, [103](#)

periportal, [286](#)

portal, [286](#)

temporal

inferior de la retina, [103](#)

superior de la retina, [103](#)

Articulación(es)

acromioclavicular, [412](#), [415](#)

cápsula, [412](#)

atlantoaxial. *Véase* Articulación atlantoaxoidea

atlantoaxoidea, BP34, BP35

lateral, [29](#)

cápsula, [29–30](#)

media, [30](#)

atlantooccipital, BP19

cápsula, [29–30](#)

cadera, T8.1, [477](#)

ligamento(s), [483](#)

iliofemoral, [486](#)

radiografía anteroposterior, [478](#)

cápsula, [422](#)

carpometacarpiana, [443](#), [445](#)

1.^a, BP102

cigapofisaria, BP34, [29](#), [248](#)

cápsula, [29–30](#), [168](#)

costocondrales, [193](#)

costotransversa, [245](#)

cricotiroidea, [90](#), [93](#)

esferoidea, BP5
esternoclavicular, 202, 245, 408
esternocostal(es), 408
visión
 anterior, 193
 anterolateral izquierda, 193
 posterolateral derecha, 193
gínglimo (tróclea), BP5
glenohumeral. *Véase* Articulación del hombro
hombro, BP57, 470
intercondrales, 193
interfalángica (IF), 519
 distal (IFD), BP102, 402, 447–448
 proximal (IFP), BP102, 402, 447–448
intermetacarpianas, 445
manubrioesternal, 193, 247
mediocarpiana, 443, 445
metacarpofalángica (MF), BP102, 448
metatarsofalángica (MTF), 519
 primera, T8.1
plana, BP5
radiocarpiana, 443, 445
 disco articular, 443, 445
radiocubital distal, 445
sacroilíaca, BP86, 342, 478
 mediciones, 336
 radiografía, 335
 radiología, 165
silla de montar, BP5
sinoviales, BP114, BP5
tarsometatarsiana, 515
tejidos conectivos y cartílago, BP6

temporomandibular, T2.1, [25](#), [56](#)

 cápsula, [58](#), [60](#)

 articular, [24–25](#)

 disco articular, [55–56](#)

tipos, BP5

trocoide, BP5

uncovertebral, BP34, [28](#)

Asa(s)

anastomóticas

 arteria espinal

 anterior, [176](#)

 posterior, [176](#)

 íleon, [279](#)

 yeyuno, [279](#)

cervical, [38–41](#), [139–140](#)

 raíz

 inferior, [39–41](#), [82](#), [87](#), [139–140](#)

 superior, [39–41](#), [82](#), [87](#), [139–140](#)

de Galeno, [92](#)

de Heiss, [351](#)

pectoral, [419](#)

subclavia, [141](#), [213](#), [230–231](#), [243](#)

Asta

anterior, BP43

coccígea, [166](#)

occipital (posterior), [120](#)

posterior, BP43, [174](#)

sacro, [166](#)

Asterión, [13](#)

Astrágalo, BP116, [515–517](#), [535](#)

 apófisis posterior, [518](#)

Atlas (C1), BP5, BP18, [22](#), [28–30](#), [169](#)

agujero (foramen)

transverso, 26

vertebral, 26

apófisis transversa, 26, 29, 37, 182

arco

anterior, BP17, BP19, BP34, BP35, BP42, 14, 26, 28, 77

radiología, 160

posterior, BP35, BP19, BP17, BP34, 26, 184

carilla articular

diente, 26

inferior, BP35

superior, 26

fascículo longitudinal

inferior, BP19

superior, BP19

ligamento transverso, BP19, 30

tubérculo, 26

masa lateral, 12, 26

surco arteria vertebral, 26

tubérculo

anterior, 26, 28, 30

posterior, 26, 181, 182

visión

anterior, 162

inferior, 26

lateral izquierda, 162

posterior, 162

superior, 26

Atrio, 228

derecho, BP51, 216, 218–221, 227–228, 234, 244, 248

izquierdo, BP56, BP51, 217–220, 224–225, 227–228, 244, 248

vena oblicua (de Marshall), 218–219, 222, 225

Aurícula. Véase Atrio

Auscultación

áreas precordiales, [217](#)

corazón, [217](#)

Axila

pared posterior, [414](#)

visión anterior, [419](#)

Axis (C2), BP18, [22](#), [28–30](#), [169](#)

apófisis

articular inferior, [26](#)

espinosa, BP19, [26](#), [180](#), [182](#)

transversa, [26](#)

tubérculo posterior, [37](#)

carilla articular

inferior masa lateral, [26](#)

superior, BP35

cuerpo, [26](#), [29](#)

vertebral, radiología, [160](#)

diente, BP19, BP34, [12](#), [14](#), [26](#), [28](#), [77](#)

pedículo, [26](#)

porción interarticular, [26](#)

visión

anterior, [26](#), [162](#)

lateral izquierda, [162](#)

posterior, [162](#)

posterosuperior, [26](#)

Axolema, BP11

Axones, BP11

mielinizados, membrana celular, BP12

B

Base cráneo

nervios, [64](#)

orificios y conductos

visión

inferior, [19](#)

superior, [20](#)

vasos, [64](#)

visión

inferior, [17](#)

superior, [18](#)

Bastones, [131](#)

Bazo, BP38, BP87, BP56, T5.2, BP84, BP57, [202–203](#), [217](#), [273–274](#), [285](#), [289](#),
[323](#), [326–327](#), [330](#)

área, [311](#)

borde(s)

inferior, [289](#)

superiores, [289](#)

dolor referido visceral, BP13

extremidad

anterior, [289](#)

posterior, [289](#)

in situ, , [289](#)

Bifurcación. Véase también Tronco pulmonar

traqueal, [41–42](#)

Bolsa

anserina, [498](#)

semitendinoso, [497](#)

cadera, [494](#)

iliopectínea, [477](#), [486](#)

infrarrotuliana

profunda, [502](#)

subcutánea, [502](#)

isquiática, músculo

- glúteo mayor, [494](#)
- obturador interno, [494](#)
- de Morison. *Véase* Receso hepatorenal (de Morison)
- omental, [274](#), [324](#)
 - estómago reclinado, [273](#)
 - receso superior, [284](#), [324](#)
 - sección transversal, [274](#)
- perineal
 - profunda, fascia endopélvica, BP88
 - superficial, BP88
- de Rathke, resto vestigial, [52](#)
- semimembranosa, [497](#), [502](#)
- sinovial. *Véase* Bolsa suprarrotuliana
- subacromial, [412](#), [421](#)
- subcutánea, [520](#)
 - calcánea, [520](#)
 - maléolo lateral, [520](#)
 - olécranon, [428](#)
 - prerrotuliana, [502](#)
- subdeltoidea, [412](#)
- subtendinosa, [502](#), [520](#)
 - músculo subescapular, [412](#)
- suprarrotuliana, [498](#), [499](#), [502](#)
- tendón calcáneo, [510](#)
- trocantérea, músculo glúteo
 - mayor, [494](#)
 - extensión inferior, [494](#)
 - medio, [494](#)

Borde

- anal, [375](#)
- bermellón, [8](#)
- infraorbitario, [8](#)

supraorbitario, BP17, [12](#)

Borde (limbo) acetabular, [337–338](#), [342](#)

Botón(es)

gustativos, [71](#)

sináptico, BP11

Brazo

arterias, BP100, [424](#)

músculos, visión

anterior, [421](#)

posterior, [422](#)

nervio radial, [468](#)

secciones transversales seriadas, [425](#)

Bregma, [16](#)

Bronquio(s), BP41, [173](#), [208–209](#)

división superior, [208](#)

anterior, [209](#)

apicoposterior, [209](#)

extrapulmonares, [208](#)

inervación, [172](#)

intermedio, BP57, [205](#)

derecho, BP56

intrapulmonares, [208](#)

lingular, [208–209](#)

inferior, [209](#)

superior, [209](#)

lobular

inferior, [208](#)

basal

anterior, [209](#)

anteromedial, [209](#)

lateral, [209](#)

medial, [209](#)

- posterior, 209
- medio, 208
 - lateral, 209
 - medial, 209
- superior, 208
 - anterior, 209
 - apical, 209
- derecho, 210
 - posterior, 209
- nomenclatura, esquema, 209
- principal
 - derecho, BP44, BP57, 208, 211, 217, 220, 234, 236, 244, 247
 - izquierdo, BP44, BP57, 205, 208, 210–211, 220, 235–238, 247

Bronquíolo(s)

- respiratorios, 48–49
- terminal, BP48, BP49
 - fibras elásticas, BP48
 - músculo liso, BP48

Bulbo

- duodenal, 277, 279
- olfatorio, BP22, 46, 50, 118, 130
 - contralateral, 130
- superior, fosa yugular, 19

Bulla etmoidal, 43–44

C

Cabeza, 8–160

- anatomía de superficie, 8
- carilla articular superior, BP33
- estructura ósea, 22
- ligamento radiado, BP33
- nervios, 82

autónomos, [142](#)

cutáneos, [9](#)

vasos y nódulos (ganglios) linfáticos, [85](#)

Cadena linfática cervical profunda, T2.3

Cadera

anatomía seccional, BP109

artrografía, [534](#)

músculo, [484–485](#)

inserciones óseas, [480–481](#)

nervios, [493](#)

radiografías, [534](#)

RM, [534](#)

Caja torácica, BP4

Calcáneo, T8.1, BP116, [515–516](#), [519](#), [535](#)

tuberosidad, [519](#), [525–526](#)

Calcar avis, [122–123](#)

Calvaria, [113](#)

visión inferior y superior, [16](#)

Cámara

anterior

globo ocular, [101](#)

ojo, [94](#), [100](#), [102–103](#)

posterior

globo ocular, [101](#)

ojo, [94](#), [100](#), [102–103](#)

vítrea, [103](#)

Capa

adiposa (de Camper), [252](#), [324](#), [359](#)

tejido subcutáneo, [362](#)

de Henle, BP2

de Huxley, BP2

membranosa

profunda, [359](#)

tejido subcutáneo del periné, BP90, [349](#), [352–353](#), [359–365](#), [373](#), [377–378](#),
[386–387](#), [393](#)

Capilares, BP6

alveolares, BP50

conducto de Havers, BP7

luz, BP50

subpleurales, BP49

Capítulo (cóndilo) húmero, [409](#), [426–427](#)

Cápsula

adiposa riñón, [185](#)

articular, BP6, BP117, [428](#), [448](#), [497](#), [499](#), [511](#)

iliofemoral, [495](#)

inserción, [502](#)

límite sinovial, BP114

pie, [519](#)

externa, [121](#)

radiología, [160](#)

fibrosa, BP114, BP5, [289](#)

perivascular (de Glisson), [285](#)

de Glisson. Véase Cápsula fibrosa perivascular (de Glisson)

interna, [119](#), [121](#), [152](#)

brazo

anterior, [121](#)

radiología, [160](#)

posterior, [121](#)

radiología, [160](#)

hendidura, [121](#)

porción retrolenticular, [121](#)

rodilla, [121](#)

radiología, [160](#)

isquiofemoral, [495](#)

ótica, [109](#)

de Tenon, BP26, [100](#)

Cara, BP4

aporte arterial, [10](#)

arterias

profundas, [63](#)

y venas superficiales, [10](#)

auricular, [166](#)

astragalina, [517](#)

carpo, [429](#)

sacro, [167](#), [476](#)

superior, [505](#)

tiroidea, [91–92](#)

endosteal, BP7

glútea. Véase Ala del ilion

musculatura, BP21

nervios profundos, [63](#)

pélvica, [166](#)

semilunar, [476](#)

sinfisaria, [338](#), [476](#)

Cara (articular) semilunar, [338](#)

Carilla articular

cervical, [26](#)

inferior, [27](#)

superior, [26](#)

inferior, [168](#)

L4, BP36

posterior diente, [30](#)

sacro, [164](#)

superior, L5, BP36

torácica superior, [163](#)

Carina, [217](#)

Carpó

- arterias, [452](#), [459](#)
- disección(es)
 - palmares profundas, [450](#)
 - superficial(es)
 - dorsal, [458](#)
 - palmares, [449](#)
 - radial, [457](#)
- extensores, [431](#)
- flexores, [432](#)
- huesos, [446](#)
- inervación cutánea, [462](#)
- ligamentos, BP102, [444–445](#)
- movimientos, [443](#)
- nervios, [452](#), [459](#)
- radiografías, [447](#)
- tendones
 - extensores, [460](#)
 - flexores, [452](#)

Cartílago(s), BP6

- alar
 - mayor, [42](#), [44–45](#), [49](#)
 - pilar
 - lateral, [42](#)
 - medial, [42](#), [45](#)
 - menor, [42](#)
- aritenoides, [90](#)
- apófisis
 - muscular, [90–91](#)
 - vocal, [90–91](#)
- articular, BP5, BP6, BP106, BP114, [428](#), [460–461](#), [477](#)
- auricular, [49](#)

corniculado, 90
costales, 191, 193, 202, 250, 328, 408
 quinto, 200
 izquierdo, 220
 segundo, 247
 séptimo, BP44, 204
 sexto, BP44, 413
cricoides, 21–22, 32, 35, 77–78, 81, 87, 90–92, 202, 208, 210, 237–238
 arco, 90
 cara
 articular aritenoides, 90
 posterolateral, 238
 lámina, 80, 90–91
 prominencia sobre lámina, 79
laringe, 90
nasal accesorio, 42
tabique nasal, 42, 45, 49
 apófisis lateral, 42, 44–45
tiroides, T2.1, 8, 22, 32, 35, 38, 77–78, 80–81, 87, 92, 202, 208, 210, 237–238
 asta inferior, 90
 asta superior, 75, 80–81, 90
 lámina, 90–91
 borde posterior, 75
 línea oblicua, 35
traqueales, 208
tritíceo, 90

Carúncula

 himeneal, 353, 358
 lagrimal, 95

Caudal, término relación, 1

Cavidad(es)

 abdominal, BP3

- abdominopélvica, BP3
- articular, BP19, [193](#), [460–461](#), [502](#)
 - articulación esternoclavicular, [408](#)
- bucal, BP22, BP44, BP9, [45](#), [50](#), [77](#)
 - inervación aferente, BP25, [66](#)
 - inspección, [65](#)
 - suelo, [69](#)
 - techo, [67](#)
- corporales, BP3
 - dorsal, BP3
 - ventral, BP3
- craneal, BP3
- folicular llena de líquido, BP95
- glenoidea de la escápula, [192](#), [409](#), [411–412](#), [470](#)
- infraglótica, [92](#)
- nasal, BP26, BP22, BP44, [52](#), [95](#)
 - arterias, [47](#)
 - fibras postsinápticas, [62](#)
 - huesos, [52](#)
 - inervación autónoma, [62](#)
 - nervios, [46](#), [48](#)
 - pared
 - lateral, [43–44](#), [46](#)
 - medial, [45](#)
 - suelo, [43](#)
- pélvica, BP3
 - medio contraste, [357](#)
- pericárdica, BP3, [220](#)
- peritoneal, [271–272](#)
- pleural, BP3, [220](#)
 - receso
 - costodiafragmático, [202–203](#), [234–235](#)

costomediastínico

derecho, [200](#)

izquierdo, [200](#)

de Retzius, [324](#)

sinoviales, BP33, [30](#)

timpánica, [27–28](#), [62](#), [105–107](#), [109](#), [135–136](#)

pared

laberíntica, BP27

lateral, BP27

torácica, BP3

trigeminal, radiología, [160](#)

uterina, medio de contraste, [357](#)

vertebral, BP3

Celdilla(s)

etmoidal(es), BP26, BP22, [12](#), [50–51](#)

anterior, [98](#)

medias, abertura, [43–44](#)

posteriores, aberturas, [44](#)

radiología, [160](#)

mastoideas, BP27, BP34, [12](#), [14](#), [49](#), [64](#), [107](#)

Célula(s)

amacrinas, [131](#)

bipolares, [131](#)

bulbo olfatorio, [130](#)

cuboidales, BP95

endotelial, BP6

ganglionares, [131](#)

glomerular, [130](#)

hematopoyéticas, BP7

horizontales, [131](#)

luteínicas, BP95

mitral, [130](#)

- músculo liso, BP16
- neuroendocrina G, BP60
- olfatorias, [130](#)
- periglomerular, [130](#)
- pigmentarias, [131](#)
- pilares (bastones), [109](#)
- pilosas
 - externa, [109](#)
 - interna, [109](#)
- plasmáticas, BP6
- postsinápticas, BP11
- satélite, BP8
- de Sertoli, BP93
- timpánicas, BP27

Cerebelo, BP35, [110](#), [117](#), [122](#), [125–126](#), [157](#)

- amígdala, [126](#)
- cuarto ventrículo, [126](#)
- fisura
 - cuadrangular, [126](#)
 - horizontal, [126](#)
 - posterior superior, [126](#)
 - posterolateral, [126](#)
 - primaria, [126](#)
 - retrotonsilar, [126](#)
 - secundaria, [126](#)
- flóculo, [124](#), [126](#)
- lobulillo
 - digástrico, [126](#)
 - semilunar
 - inferior, [126](#)
 - superior, [126](#)
 - simple, [126](#)

lóbulo

anterior, 126

floculonodular, 126

posterior, 126

radiología, BP32, 160

velo medular

inferior, 126

superior, 126

vermis, 125

culmen, 125

declive, 125

folium, 125

lígula, 125

lobulillo central, 125

nodulillo, 125

pirámide, 125

túber, 125

úvula, 125

Cerebro

borde inferior (inferolateral), 118

lóbulo

frontal, 116

occipital, 116

parietal, 116

temporal, 116

polo

frontal, 116, 118

occipital, 116, 118

temporal, 116, 118

Ciclo

menstrual, BP92

ovárico, BP92

Ciclo menstrual (uterino), BP92

Ciego, BP62, BP66, [85–86](#), [137](#), [270](#), [272](#), [282–283](#), [344](#), [348](#)

dolor referido visceral, BP13

inserción peritoneal, BP66

pliegue vascular, [280](#)

Cifosis

sacra, [162](#)

torácica, [162](#)

Cintura

escapular, BP4

pélvica, BP4

Circulación

posnatal, [233](#)

prenatal, [233](#)

y posnatal, [233](#)

sanguínea intrapulmonar, esquema, BP49

Círculo arterial cerebral (de Willis), T2.3, [150–151](#)

Circunvolución. Véase Giro(s)

Cisterna

cerebelomedular posterior, [120](#)

cuadrigémina, [120](#)

radiología, BP32

interpeduncular, [120](#)

radiología, BP32

prepontina, [120](#)

quiasmática, [120](#)

quilo, [7](#), [268](#), [300](#), [325](#)

Cistouretrografías, BP89

Citoplasma, desecho, BP93

Claustro, [121](#)

Clavícula, BP34, BP57, T7.1, [4–5](#), [8](#), [31–32](#), [34–36](#), [38](#), [187–188](#), [191](#), [193–196](#), [202–204](#), [217](#), [221](#), [234–235](#), [245](#), [402](#), [408–416](#), [418–419](#), [470](#)

cara articular

acromial, 408

esternal, 408

extremidad

acromial, 408

esternal, 408

tubérculo conoideo, 408

Clítoris, 360–361, 377

arteria

dorsal, 386

profunda, 361, 386

cuerpo, 345, 370

frenillo, 358

glande, 358, 370

ligamento suspensorio, 359–361

nervio

dorsal, 395–396, 487

profundo, 361

pilar, 345, 352–353, 356, 360–361

prepucio, 356, 358

vena dorsal profunda, 339–341, 345, 347, 350, 361

Clivus, BP35, 18, 30

radiología, 160

Coanas, BP29, 17, 23, 43, 45, 56, 67, 75, 79

Cóccix, BP4, BP109, 166–167, 169–170, 250, 334, 337–340, 360, 373

apófisis transversa, 166

medidas, 336

vértice, 341, 343, 362, 364, 377, 400

visión

anterior, 162

lateral, 162

posterior, 162

Cóclea, BP28, [64](#), [108](#), [110](#)

conducto, BP28

helicotrema, BP28, [105](#), [108–109](#)

modíolo, [109](#)

ósea, [109](#)

rampa

 timpánica, BP28, [105](#)

 vestibular, BP28, [105](#)

sección espiral, [109](#)

trayectoria sonido, [105](#)

Codo

huesos, [426–441](#)

ligamentos, [428](#)

radiografías, [427](#)

región

 anterior, [2](#)

 posterior, [3](#)

Cola

de caballo, T3.1, [169–170](#), [185](#)

radiología, [165](#)

raíces

 anteriores, [177](#)

 nerviosas, saco tecal, BP38

 posteriores, [177](#)

páncreas, BP87, [273](#), [289](#), [291](#)

Colágeno

fibras tejidos conectivos y cartílago, BP6

laminillas anillo fibroso, [168](#)

pared arterial, BP16

Colículo

facial, [125](#)

inferior, [117](#), [122](#), [124–125](#)

brazo, [122](#)

izquierdo, [155](#)

seminal, BP97, [352](#), [366](#)

superior, T2.2, [117–118](#), [122](#), [124–125](#), [127](#), [143](#), [154](#)

brazo, [122](#)

izquierdo, [155](#)

Colon, T5.1

aire, [217](#)

área, [311](#)

ascendente, [137](#), [270](#), [272](#), [278](#), [311](#), [330](#), [344](#), [348](#)

dolor referido visceral, BP13

descendente, BP85, [173](#), [271](#), [278](#), [283](#), [311](#), [327](#), [330–331](#), [344](#), [348](#), [392](#)

inervación, [172](#)

flexura cólica izquierda, [282](#)

músculo circular, [281](#)

sigmoide, BP65, [173](#), [270](#), [272](#), [283](#), [344](#), [346](#), [348](#), [356](#), [373–376](#), [392](#), [394](#)

dolor referido visceral, BP13

inervación, [172](#)

transverso, [270–272](#), [274](#), [278](#), [283](#), [287–289](#), [295](#), [297](#), [330–331](#)

Columna(s)

aérea de la tráquea, BP34

anales de Morgagni, [375](#)

celular intermediolateral, [322](#)

cervical, radiografías, BP34

boca abierta, BP35

RM, BP35

lumbar

radiografías, RM, BP38

RM, BP38

sagital potenciada T2, [165](#)

renal (de Bertin), [314](#)

vertebral, BP4, [162](#)

toracolumbar

L3, placa terminal

inferior, BP36

superior, BP36

radiografía(s), BP36

anteroposterior, 165

lateral, BP36

venas, 178–179

Comisura, BP43

anterior, 117, 125, 130, 157–158

blanca anterior, BP43

habenular, 117, 122, 125

labios, 8

posterior, 117, 122, 125, 370

valvas (cúspides) semilunares, 227

Compartimiento(s)

aductor, BP104

hipotenar, BP104

interóseos

dorsales, BP104

palmares, BP104

perineal superficial, 378

vasculonervioso, 425

Complejo olivar inferior, 128

Comunicaciones venosas, cuerpo C3, BP42

Cóndilo

fémur

lateral, 479, 498–501

medial, 479, 499–501

mandibular, 14

occipital, BP29, 15, 17–18, 23, 37, 139

carilla articular superior, 26

masa lateral, carilla articular superior, [26](#)

peroné

lateral, [505](#)

medial, [505](#)

rodilla

lateral, BP112

medial, BP112

tibia

lateral, [484](#), [504](#), [510](#)

medial, [498](#)

Conducción antidrómica, BP41

Conductillo(s)

aberrante, [372](#)

biliar(es)

intralobulillares, [286](#)

periportal, [286](#)

eferentes, [371–372](#)

testículo, BP93

lagrimales, [95](#)

mastoideo, [17](#), [19](#)

timpánico inferior, [17](#), [19](#)

Conducto(s)

aductor, BP107, [490](#)

alveolares, BP48

orificio, BP48

anal, [375](#)

arterias, [380](#)

muscular mucosa, [375–376](#)

venas, [381](#)

arterioso, [233](#)

auditivo

externo, BP28, BP24, [13](#), [17](#), [22](#), [105–106](#), [109](#)

interno, BP28, 15, 20, 105, 134–135
radiología, BP32
bilíares, 137, 173, 286
extrahepáticos, 287
inervación, 172
bulbouretrales, 366–367
carotídeo, 17, 19–20
central, 128
médula espinal, 120, 125
cístico, 284, 287–288, 290–291
variaciones, BP68
coclear, 108–110
colédoco, BP62, BP87, 274, 278–279, 284–285, 287, 290–293, 329
esfínter, 287
condíleo, 17, 20
deferente, BP93, T6.2, BP98, BP59, BP109, 256, 262, 264, 266, 348–349, 352, 366, 368–369, 371–373, 385, 391–392, 398, 475
ampolla, BP93, 366
arterias, BP98, 266, 369, 380, 383, 385
peritoneo, 263
endolinfático, 20, 108
epididimario, 372
eyaculadores, BP97, 366–367, 371
uretra prostática, 400
facial, 135
prominencia, BP27, 106
femoral, 475
nódulo (ganglio) linfático (de Cloquet), 264
frontonasal, abertura, 44, 51
galactóforos, 188
de Gartner, 371. Véase también Conducto mesonéfrico craneal (de Gartner)
glandular, 71

de Havers, capilares, BP7
hepático, 287
 común, BP62, 284, 287, 291
 derecho, 288
 izquierdo, 288
 variaciones, BP68
hialoideo, 100
hipogloso, BP19, 15, 17, 19–20
incisivo, 15, 43, 45–46, 48, 77
 anastomosis, 57
inguinal, BP109, 263–264
linfático derecho, 7, 191, 212
mesonéfrico
 craneal (de Gartner), 371
 caudal, residuos, 371
mesonéfrico (de Wolff), 368, 371
de Müller, 371. Véase también Conducto paramesonéfrico (de Müller)
nasolagrimal, 95
 abertura, 43, 44, 95
obturador, 338–340, 342, 346–347, 350, 384, 491
óptico, 11, 15, 20
pancreático, BP62, BP87, BP67, 287–288
 accesorio (de Santorini), 279, 288
 esfínter, 287
 variaciones, 67–68
 de Wirsung, 279
paramesonéfrico (de Müller), 371
parauretrales (de Skene), BP90
 orificios, 358
parotídeo (de Stenon), 53–56, 83
pilórico, 329
prostáticos, 366–367

ptérigoideo

arteria, 57, 63–64, 107, 148

nervio (vidiano), 46, 48, 61–62, 64, 107, 133–134, 136, 142, 144, 146

pubendo (de Alcock), 374, 380–381, 387, 393

arteria pubenda interna, 384, 386

nervio pubendo, 395

interno, 387

vasos pubendos internos, 387

rectal, 375

reuniens, 109

sacro, 166, 342

de Schlemm, 101, 103–104

semicircular

membranoso

anterior, 108–110

lateral, 108–110

ampolla, 135

posterior, 108–110

ampolla, 135

superior, ampolla, 135

óseo

anterior, 64, 108–109

plano, 110

lateral, 108–110

prominencia, BP27, 105

posterior, 108–109

plano, 110

de Skene, BP90. Véase también Conductos parauretrales (de Skene)

orificios, 358

submandibular (de Wharton), 53, 65, 68–70

torácico, BP56, BP84, T2.3, 7, 85, 195, 200, 204, 210, 212–213, 215, 220, 235–236, 241–242, 245–248, 268, 300, 324, 328

venoso, [233](#)

vertebral, [163–164](#), [326](#)

de Wolff, [368](#), [371.](#), *Véase también* Conducto mesonéfrico (de Wolff)

Conexiones intertendinosas, [460](#)

Confluencia de los senos, [110](#), [114–115](#), [155–156](#)

radiología, [159](#)

Conjugado diagonal, [336](#)

Conjuntiva, [104](#)

bulbar, BP26, [94](#), [100–101](#)

palpebral, BP26, [94](#)

inferior, [94](#)

superior, [94](#)

Cono(s), [131](#)

arterioso, BP51, [216](#), [224–226](#)

elástico, [91–92](#)

de luz, [106](#)

medular, T3.1, [169–170](#)

radiología, [165](#)

Corazón, BP41, BP10, [137](#), [173](#)

angiografía TC, [217](#)

auscultación, [217](#)

base y cara diafragmática, [218](#)

borde

derecho, [202](#)

inferior, [216](#)

izquierdo, [202](#), [216](#)

cara anterior, BP51

in situ, , [215–233](#)

inervación, [172](#), [231](#)

radiografías, [217](#)

sistema conducción, [229](#)

válvulas y esqueleto fibroso, [226–227](#)

vértice, BP51, [216](#), [218](#), [248](#)

visión anterior, [216](#)

Corbata suiza, [239](#)

Cordón

epitelial, BP95

espermático, [256](#), [263](#), [363–364](#), [400](#)

fascia espermática externa, [262](#), [387](#)

vasos testiculares, [383](#)

genital, [371](#)

Córnea, BP26, [94](#), [100–101](#), [103–104](#)

Cornete nasal, BP44

inferior, BP22, [11–12](#), [15](#), [23](#), [43–44](#), [49](#), [50](#), [51](#), [79](#), [95](#)

apófisis etmoidal, [44](#)

crecimiento, [52](#)

medio, BP22, [11](#), [15](#), [43–44](#), [50](#), [51](#), [95](#)

crecimiento, [52](#)

superior, [43–44](#)

Coroides, [100](#), [103](#)

Corona radiada, BP95

Corpúsculo

de Meissner, BP1

de Pacini, BP1

polar, BP91

renal, histología, BP76

Corteza, BP95

piriforme, [130](#)

renal, [278](#), [330](#)

riñón, [314](#)

sensorial, [146](#)

Costilla(s), BP4, T4.1, [246–247](#), [274](#)

ángulo, [192–193](#)

articulaciones asociadas, [193](#)

cabeza, [192–193](#)
 ligamento
 intraarticular, [193](#)
 radiado, [193](#)
carilla articular superior, BP33
cervicales, anomalías, BP45
cuarta, [192](#)
cuello, [192–193](#)
cuerpo, [192](#)
décima, [192](#)
duodécima, [169](#), [180](#), [192](#), [201](#), [486](#)
 radiología, [165](#)
falsa, [192](#)
flotante, [192](#)
inserción músculos, BP46
izquierda, T4.1
ligamento radiado, BP33
novena, [192](#)
 posterior, BP36
octava, [192](#), [220](#)
primera, BP34, BP57, [22](#), [28](#), [37](#), [87](#), [169](#), [192](#), [198](#), [202–203](#), [215](#), [234–236](#),
 [408](#), [419–420](#)
 cartílago costal, [245](#)
 pulmón, surco, [205](#)
quinta, [192](#), [217](#)
segunda, [34](#), [188](#), [192](#), [408](#)
séptima, [163](#), [192](#), [248](#)
sexta, [188](#), [192](#)
 visión posterior, [193](#)
surco costal, [193](#)
tercera, [192](#), [217](#)
tubérculo, [192–193](#)

undécima, [192](#)

verdadera, [192](#)

Craneal, término relación, [1](#)

Cráneo, BP4

base, [79](#)

línea nuchal superior, [181](#), [182](#)

orientación laberinto, [110](#)

radiografías, proyección

lateral, [14](#)

posterior, [12](#)

de Waters, [12](#)

recién nacido, [21](#)

reconstrucción, BP17

visión

anterior, [11](#)

lateral, [13](#)

sagital media, [15](#)

Cresta

frontal, [16](#), [18](#), [45](#)

ilíaca, BP85, [161](#), [167](#), [180–183](#), [249–250](#), [257](#), [311–312](#), [333–334](#), [337–338](#),
[471](#), [474](#), [476](#), [484–486](#), [492–493](#)

labio

externo, [250](#), [334](#), [338](#), [476](#)

interno, [250](#), [334](#), [338](#), [476](#)

tubérculo, [250](#), [334](#), [476](#)

ilíaco, [338](#)

zona intermedia, [250](#), [334](#), [338](#), [476](#)

infratemporal, [13](#)

intertrocantérea, [477](#), [493](#)

interuretérica, [352](#)

obturadora, [338](#), [476](#)

occipital

- externa, [17](#), [23](#)
- interna, [18](#)
- palatofaríngea, [78](#)
- de Passavant, [78](#)
- pubis, [262](#)
- sacra
 - intermedia, [166](#)
 - lateral, [166](#)
 - media, [166](#), [339](#)
- supracondílea
 - lateral, [409–410](#), [426](#)
 - medial, [409–410](#), [426](#)
- supramastoidea, [13](#)
- supraventricular, [224](#), [228](#)
- terminal, [224](#), [229](#)
- transversa, [166](#)
- uretral, [366–367](#)
- Cripta(s)**, [71](#)
 - anal, [375](#)
 - de Lieberkühn, BP62
- Crista galli**, [15](#), [18](#)
 - radiología, [160](#)
- Cristalino**. Véase Lente
- Cromátides recombinantes**, BP91
- Cromosomas homólogos**, BP91
- Cúbito**, BP102, T7.1, [4–5](#), [426–433](#), [435](#), [439–445](#), [447](#), [455](#), [460](#)
 - apófisis
 - coronoides, [426](#)
 - estiloides, [429](#), [447](#)
 - borde
 - anterior, [429](#)
 - interóseo, [429](#)

cara anterior, [429](#)
escotadura radial, [426](#), [429](#)
olécranon, [402](#), [422](#), [426–427](#), [429](#), [431](#), [434–435](#), [468](#)
tuberosidad, [426](#)

Cuello, [8–160](#)

anatomía de superficie, [8](#)
escápula, [192](#)
esqueleto óseo, [22](#)
láminas fasciales, [33](#)
músculos
 infrahioideos y suprahioideos, [35](#)
 visión
 anterior, [32](#)
 lateral, [36](#)
nervios, [39–40](#), [82](#)
 autónomos, [141](#)
 cutáneos, [9](#), [38](#)
triángulo, [184](#)
 posterior, [180](#), [194](#)
del útero, T6.1, [345–347](#), [353](#), [354–356](#), [397](#)
vasos, [39–40](#)
 y nódulos linfáticos, [85](#)
venas superficiales, [38](#)

Cuerda(s)

oblicua, [429](#)
tendinosas, [224–225](#), [227](#)
tímpano, BP27, [59–60](#), [82](#), [106–107](#), [133](#), [135](#), [142](#), [144–145](#)

Cuero cabelludo, [10](#), [31](#)

arterias, T2.3
 y venas superficiales, [10](#)
fascia superficial, [31](#)
piel, [31](#)

Cuerpo(s)

adiposo

órbita, BP22, BP26

pararrenal, [185](#)

suprarrotuliano, [502](#)

albicans, BP95, [355](#)

amigdalino, [121](#), [123](#), [130](#), [146](#)

anococcígeo, [341](#), [359–360](#), [377–378](#)

calloso, [117](#), [122](#), [152](#), [154](#)

cuerpo, radiología, BP32, [160](#)

esplenio, [117–118](#), [121](#), [123](#), [125](#), [154–157](#)

radiología, [160](#)

pico, [117](#), [152](#), [156](#)

radiología, [160](#)

rama dorsal derecha, [154](#)

rodilla, [117–118](#), [121](#), [123](#), [157](#)

radiología, [160](#)

surco, [117](#)

tronco, [117](#), [152](#)

vena dorsal, [155](#), [157](#)

carotídeo, [41](#), [136](#), [141](#), [147](#), [214](#)

cavernoso, [349](#), [363](#), [365](#), [367](#)

del pene, [364](#)

ciliar, [100–103](#)

orbículo ciliar, [102](#)

vasos sanguíneos, [103](#)

esponjoso, BP93, [349](#), [352](#), [363–364](#), [367](#)

estriado, [152](#)

geniculado

lateral, [118](#), [121–122](#), [124](#), [127](#), [131](#), [143](#), [150](#), [154–156](#)

medial, [118](#), [121–122](#), [124](#), [150](#), [154–156](#)

hemorrágico, BP95

lúteo, BP95, BP92, [355](#)

mamilares, BP30, [50](#), [117–119](#), [123–124](#), [158](#)

radiología, BP32, [160](#)

perineal, BP88, T6.1, [343](#), [349–351](#), [359–360](#), [364–366](#), [373](#), [377](#), [387](#)

uña, [461](#)

vértebra lumbar, [168](#)

vertebral, BP38, [177](#)

C2, [34–35](#)

cara posterior, BP33

fosita costal, [193](#)

inferior, [193](#)

superior, [193](#)

L2, [185](#)

L3, BP37

rama, [177](#)

arteria intercostal posterior, [177](#)

S1, [165](#)

T12, [165](#)

vértebra

cervical, BP18, [27–28](#)

lumbar, [164](#)

torácica, [176](#)

cuarta, [234](#)

vítreo, [100](#)

Cúmulo oóforo, BP95

Cuña, [117](#)

vértice, [118](#)

Cúpula cóclea, [108](#)

Cutícula, BP1

D

Dedo(s), [461](#)

anular, [447](#)

índice, [447](#)

medio, [447](#)

meñique, [447](#)

músculos

extensores, [431](#)

flexores, [433](#)

pie

falange del dedo gordo, [519](#), [528](#)

nervios digitales dorsales, [473](#)

quinto, vena, [473](#)

tendón

extensor, [454](#)

flexor, [454](#), [460](#)

vaina

fibrosa tendón, [453](#), [460–461](#)

tendinosa, [450–451](#), [453](#)

flexor, [450](#), [461](#)

Dendrita, BP11

Dentina, diente, [74](#)

Dermatomas, [171](#)

delimitación esquemática, [171](#), [472](#)

miembro superior, [403](#)

niveles, [171](#)

Dermis, BP1

anal, [375](#)

Desarrollo uterino, BP94

Desmosoma, BP16

Diafragma, BP62, BP56, BP57, T4.3, BP47, BP44, T4.1, BP3, T5.3, [196](#), [204](#), [210](#), [213](#), [215](#), [217](#), [221](#), [234](#), [236–237](#), [239–241](#), [255](#), [258](#), [265](#), [267](#), [273–274](#), [276](#), [284](#), [289](#), [311–312](#), [325](#), [328](#), [392](#), [488](#)

cara

- abdominal, [201](#)
- torácica, [200](#)
- centro tendinoso, [200](#), [201](#), [235](#), [265](#)
- cúpula
 - derecha, [202–203](#)
 - izquierda, [202–203](#)
- hiato esofágico, T5.1
- origen costal, fascículos, [196](#)
- pélvico, [349](#)
 - fascia, [378](#)
 - inferior, [359–360](#), [364](#), [374](#), [376](#), [387](#)
 - superior, [347](#), [350](#), [359](#), [374](#), [376](#)
 - mujer, [339–341](#)
 - músculo elevador del ano, [345](#), [364](#), [373–374](#), [378](#)
 - varón, [342–343](#)
- pilar(es), [185](#)
 - derecho, [201](#), [236](#), [271](#)
 - izquierdo, [201](#), [236](#), [265](#), [271](#)
- porción
 - costal, [201](#)
 - esternal, [196](#), [201](#)
 - lumbar, [201](#)
- silueta, BP36
- urogenital, [385](#)
- Diente(s)**, BP5, BP9, BP42, [30](#), [73–74](#)
 - agujeros (forámenes) apicales, [74](#)
 - anomalías, BP19
 - atlas, [26](#)
 - axis, [12](#), [14](#), [26](#), [28](#)
 - canino, [73–74](#)
 - capa odontoblastos, [74](#)
 - carilla articular posterior, [30](#)

- cemento, [74](#)
- corona, [74](#)
- cuello, [74](#)
- dentina, [74](#)
- esmalte, [74](#)
- espacios
 - interglobulares, [74](#)
 - interproximales, [74](#)
- hueso, [74](#)
- incisivo, [73–74](#)
- ligamento del vértice, BP19, [30](#), [77–78](#)
- molar, [73–74](#)
 - crecimiento, [52](#)
- permanente, [73–74](#)
- premolar, [73–74](#)
- pulpa dental, [74](#)
- raíz, [51](#), [74](#)
- túbulos de dentina, [74](#)

Díploe, [16](#)

Disco(s)

- articular, BP102, [24–25](#), [60](#), [193](#)
 - articulación esternoclavicular, [408](#)
- intervertebrales, T3.1, BP33, [164](#), [168](#)
 - C6-C7, BP35
 - cervicales, [28–29](#)
 - L1–2, sección transversal, [331](#)
 - lumbares, [167](#)
 - L2-L3, [165](#)
 - lumbosacro, [338](#)
 - T12-L1, sección transversal, [330](#)
 - torácicos, T8–9, [200](#)
- óptico, BP26, [103](#)

Dissección

escapulohumeral, [417](#)

escapulotorácica, [417](#)

Distal, término relación, 1

División

cervicofacial, [54](#)

temporofacial, [54](#)

Dolor

pancreático, áreas de dolor referido, [310](#)

referido visceral, localizaciones, BP13

Dorsiflexión, movimientos miembro inferior, [472](#)

Dorso, [161–186](#), [443](#)

anatomía de superficie, [161](#)

mano, [3](#)

músculos planos

intermedios, [181](#)

profundos, [182](#)

superficiales, [180](#)

nervios, [183](#)

pie, [3](#), [522](#)

región lumbar, [185](#)

Drenaje linfático

faringe, [86](#)

lengua, [86](#)

mama, [191](#)

próstata, [390](#)

pulmones, [212](#)

Duodeno, BP62, T5.1, [137](#), [271](#), [274–276](#), [284–285](#), [311](#), [316](#), [318](#), [323](#), [326–327](#)

arterias, [291](#), [293](#)

dolor referido visceral, BP13

in situ, , [278](#)

inervación autónoma, [301–303](#)

músculo

longitudinal, [278](#), [287](#)

suspensorio, [271](#)

porción

ascendente, [271](#), [278](#)

descendente, [185](#), [271](#), [273](#), [278–279](#)

inferior, [271](#), [278](#)

superior, [278](#), [287](#), [329](#)

venas, [296](#)

Duramadre, BP35, BP42, [45](#), [106](#), [109](#), [111–112](#), [120](#), [130](#), [177](#), [179](#)

espinal, [169](#), [185](#)

hoja

endosteal, [113](#)

meníngea, [113](#)

radiología, [165](#)

terminación, [170](#)

E

Eminencia

arqueada, [18](#), [105](#)

colateral, [122](#)

(cono) axónica, BP11

hipotenar, [402](#)

iliopúbica, [250](#), [334](#), [337–338](#), [342](#), [476–477](#)

intercondílea, [499](#), [501](#), [504–505](#)

medial, [125](#)

nasal, [43–44](#)

piramidal, BP27, [106–107](#)

tenar, [402](#)

Encéfalo, BP22, [6](#), [50](#)

arterias, [147](#)

esquema, [149](#)

sección frontal, [152](#)

visión

frontal, [152](#)

inferior, [150](#)

lateral, [153](#)

medial, [153](#)

RM axial (transversal) y coronal, BP32

venas

profundas, [156](#)

subependimarias, [157](#)

ventrículos, [119](#)

visión

inferior, [118](#)

lateral, [116](#)

medial, [117](#)

Encía, lámina propia, [74](#)

Endometrio, útero, [379](#)

Endomisio, BP8

Endoneuro, BP12

Endotelio, pared arterial, BP16

Enfermedad biliar, áreas dolor referido, [309](#)

Entrada de laringe, [77](#), [79–80](#)

Entrecruzamiento cromosómico, BP91

Eosinófilos, BP15, BP6

Epicóndilos

fémur

lateral, [479](#), [483](#), [498](#)

medial, [479](#), [492](#), [497–498](#)

rodilla, medial, BP112

Epidermis, [1–2](#)

Epidídimo, BP93, [368–369](#), [371–372](#), [398](#)

apéndice, [369](#), [371](#)

cabeza, [372](#)

cola, [372](#)

cuerpo, [372](#)

seno, [369](#)

Epífisis, [460–461](#)

rama nutricia, [460–461](#)

Epiglottis, BP44, [22](#), [71–72](#), [75](#), [77](#), [79–80](#), [89–92](#), [146](#), [237](#)

Epimisio, BP8

Epineuro

externo, BP12

interno, BP12

Epiplón. Véase Omento

Epitelio

germinal superficial, BP95

gingival, [74](#)

seminífero, BP93

Eponiquio, [460–461](#)

Epoóforo, [371](#)

Escápula, BP4, [186](#), [197](#), [217](#), [245–247](#), [409](#), [416–417](#)

acromion, [192](#)

anastomosis, [418](#)

ángulo

acromial, [409–410](#)

inferior, [161](#), [248](#), [409–410](#)

superior, [409–410](#)

apófisis coracoides, [192](#), [217](#), [409–411](#)

borde

lateral, [409–411](#)

medial, [161](#), [409–410](#)

superior, [409–410](#), [415](#)

cavidad (fosa) glenoidea, [192](#), [409](#), [411–412](#)

cuello, [192](#), [409–410](#)

- cuerpo, [416](#)
- escotadura, [192](#)
- espina, [161](#), [180](#), [183](#), [192](#), [203](#), [217](#), [410](#), [413](#), [415–418](#), [470](#)
- fosa
 - infraespinosa, [192](#)
 - subescapular, [192](#)
 - supraespinosa, [192](#)
- tubérculo infraglenoideo, [409–410](#)
- visión
 - anterior, [409](#)
 - posterior, [410](#)

Esclera, BP26, [94](#), [100–103](#)

- lámina cribosa, [100](#)

Escotadura

- acetabular, [338](#), [476](#)
- cardíaca, [239](#), [276](#)
 - pulmón izquierdo, [202](#), [205](#)
- cerebelosa
 - anterior, [126](#)
 - posterior, [126](#)
- ciática
 - mayor, [250](#), [334](#), [476](#)
 - menor, [250](#), [334](#), [476](#)
- escápula, [192](#), [409–410](#), [417](#)
- esplénica, [290](#)
- interaritennoidea, [79](#)
- intertrágica, [106](#)
- mandibular, BP24, [13](#), [22](#), [24](#)
- preoccipital, [116](#)
- supraorbitaria, [8](#), [11](#), [13](#)
 - recién nacido, [21](#)
- tiroidea superior, [90](#)

trocLEAR, [426–427](#), [429](#)

vertebral

inferior, BP36, [163–164](#)

vértebra L2, BP37

superior, [163](#), [164](#)

vértebra L3, BP37

yugular, [8](#), [32](#), [187](#), [202](#)

esternón, [192](#)

Escroto, [333](#), [368–370](#)

piel, [369](#), [372](#)

tabique, [349](#), [369](#), [372](#), [377](#), [387](#)

tejido subcutáneo, [253–254](#)

túnica dartos, BP88, [349](#), [362](#), [369](#), [372](#), [377](#), [387](#)

Esmalte diente, [74](#)

Esófago, BP56, BP44, BP9, [33–34](#), [76–77](#), [79](#), [81](#), [89](#), [91](#), [137](#), [200](#), [210–211](#), [220–221](#), [234–235](#), [237](#), [241](#), [243–248](#), [265](#), [267–268](#), [271](#), [305](#), [311](#), [324](#)

aire, BP36

área pulmonar

derecha, [205](#)

izquierda, [205](#)

arterias, [240](#)

variaciones, BP55

cara ventral, área desnuda, [238](#)

in situ, , [236](#)

inervación autónoma, [303](#)

musculatura, [238](#)

músculo longitudinal, [277](#)

nervios, [243](#)

variaciones, BP54

porción

abdominal, [236–237](#), [240](#), [276](#)

cervical, [236](#), [240](#)

- torácica, [236](#), [240](#)
- rama recurrente, [201](#), [266](#)
- surco pulmonar
 - derecha, [205](#)
 - izquierda, [205](#)
- topografía y estrechamientos, [237](#)
- vasos y nódulos (ganglios) linfáticos, [242](#)
- venas, [241](#)

Espacio(s)

- costomediastínico, [204](#)
- cuadrangular, [417](#)
- disco intervertebral, BP37
 - C6-C7, BP34
 - L4-L5, BP36
- epidural, grasa, [177](#)
- epiescleral, BP26, [100](#)
- extraperitoneal, [374](#)
- hepatorrenal (de Morison), [278](#)
- mediopalmar, [450–451](#), [453](#)
- parotídeo, [41](#)
- perianal, [374–375](#), [378](#)
- pericoroidal, [100–101](#)
- perineales
 - profundo, [361](#)
 - superficial, [349](#), [353](#), [359–361](#), [363–364](#), [386–387](#)
 - varón, [365](#)
- perineopélvicos, [378](#)
- periportal, [286](#)
- perisinusoidales, [286](#)
- de Poirier, BP102
- portal, lámina limitante, [286](#)
- postanal

- profundo, [378](#)
- superficial, [378](#)
- presacro, [347](#), [378](#)
- pretraqueal, [34](#)
- prevesical, [349–350](#). Véase también Espacio retropúbico (prevesical)
 - grasa, [343](#)
 - de Retzius, [378](#)
- rectocervical, [346](#)
- rectovaginal, [346–347](#)
- rectovesical, [378](#)
- retrofaríngeo, [33–34](#), [77–78](#)
- retroperitoneal, [356](#)
- retropúbico (prevesical), [324](#), [347](#), [349–350](#)
 - grasa, [254](#), [343](#)
 - de Retzius, [254](#), [350](#), [378](#)
- subaponeurótico dorsal, [453](#)
- subaracnoideo, [100](#), [111](#), [113](#), [120](#), [177](#)
- subcutáneo dorsal, [453](#)
- submucosos, [374–375](#), [378](#)
- subungueal, [460–461](#)
- supraelevador, [374](#)
- supraesternal (de Burns), [32–34](#), [77](#)
- tenar, [450–451](#), [453](#)
- triangular, [417](#)
- vesicocervical, [347](#)
- vesicovaginal, [347](#)

Espalda. Véase Dorso

Espermátides, BP93, BP91

Espermatocitos

- primarios, BP93, BP91

- secundarios, BP93, BP91

Espermatogénesis, BP93, BP91

Espematogonia, BP93, BP91

Espermatozoo, BP93, BP91

Espícula ósea, 27

Espina

ciática, T6.1, 167, 250, 265, 334, 337–342, 380, 393, 395, 476–477, 493

mediciones, 336

radiografía, 335

ilíaca

anterior

inferior, 250, 265, 334, 337–338, 342, 476–477

superior, BP58, T5.1, 249–250, 252–253, 262–263, 265, 333–334, 337–338, 359, 362, 471, 476–477, 482, 484, 486, 490

posterior

inferior, 167, 476

superior, 161, 167, 337–338, 476

mentoniana superior, 69

nasal

anterior, BP17, 11, 13, 15, 42, 45

posterior, 17

Espolón escleral, 100–101

Esternón, BP44, BP4, 186, 197, 200, 217, 220, 244, 413

ángulo, 192

apófisis xifoides, 187, 192, 194

cuerpo, 187, 192, 194, 196, 198, 248–250

escotadura yugular, 192

manubrio, 31–34, 34–35, 36, 77, 196, 204

Estómago, BP87, BP56, T5.1, BP9, 173, 202, 221, 236, 240, 270, 274, 282, 284, 287, 289, 324, 326

aire, 217

arterias, 290

atónico, BP60

capa músculo

- longitudinal, [278](#)
 - externa, [239](#)
 - oblicuo, interna, [239](#)
- cara posterior, [273](#)
- cuerpo, [276](#)
- curvatura mayor, [276](#)
- dolor referido visceral, BP13
- fundus, BP57, [237](#), [239](#), [276](#), [328](#)
- hipertónico, BP60
- hipotónico, BP60
- in situ*, , [276–283](#)
- inervación, [172](#)
 - autónoma, [301–303](#)
- mucosa, [277](#)
- ortotónico, BP60
- porción
 - cardíaca, [237](#), [239](#), [276](#)
 - pilórica, [276](#)
- variaciones de posición y contorno, BP60
- vasos y nódulos (ganglios) linfáticos, BP79
- venas, [296](#)

Estrato

- basal, BP1
- córneo, BP1
- espinoso, BP1
- granuloso, BP1
- lúcido, BP1

Estrechamiento

- diafragmático, [237](#)
- faringoesofágico, [237](#)
- torácico, [237](#)

Estría

martillo, arterias, [107](#)

medular, [125](#)

tálamo, [117](#)

olfatoria

lateral, [130](#)

medial, [130](#)

terminal, [117](#), [122–123](#)

Estribo, [106–107](#)

base, [106](#)

ramas, [27–28](#), [105](#)

Estrógenos, BP92

Estroma, BP97

fibromuscular, [366](#)

intermuscular, [308](#)

Eversión, movimientos del miembro inferior, [472](#)

Expansión extensor, [105–106](#), [454](#), [460](#)

sistema, [521](#), [527](#)

Exploraciones tórax, TC axiales (transversales), [244](#)

Extensión

fibromuscular, BP90

movimientos del miembro inferior, [472](#)

F

Falanges, [448](#)

mano

distal, BP4, [446–448](#), [460–461](#), [466](#)

media, BP102, BP4, [446–448](#), [460–461](#)

proximal, BP102, BP105, BP4, BP106, [446–448](#)

pie, BP4, [516](#)

distal, [515](#), [519](#)

media, [515](#), [519](#)

proximal, [515](#), [519](#)

Faringe, BP44, BP9

- drenaje linfático, 86
- inervación aferente, BP25, 66
- músculos, visión
 - lateral, 81
 - medial, 78
 - posterior parcialmente abierta, 75
- pared posterior, 65
- vasos y nódulos linfáticos, 86
- visión
 - medial, 77
 - posterior, 76, 88
 - abierta, 79
- zona escasas fibras musculares, 80–81, 88

Fascia(s)

- alar, 33–34
- antebraquial, 441
- axilares, 416
- braquial, 416, 425
- de Buck, 364. *Véase también* Fascia (profunda) del pene (de Buck)
 - tabique intercavernoso, 367
 - (profunda) pene, BP88, BP98, 349, 362–365, 369, 377–378, 387
- bucofaríngea, 33, 68, 77–78
- de Camper, BP88. *Véase también* Capa adiposa (de Camper)
- cervical (profunda), 34, 194
 - lámina
 - prevertebral, 33
 - superficial, 31–33, 77, 413
- clavipectores, 194, 416
- de Colles, BP88, BP90, 352–353, 359–365, 373, 377–378, 386–387, 393
- cremastérica, BP59, 263, 369, 372
- cribiforme, orificio safeno, 475

cuadrado lumbar, [185](#)

de Denonvilliers, [343](#), [349](#), [366](#), [373](#), [378](#). Véase también Fascia rectoprostática (de Denonvilliers)

dorsal ancho, [416](#)

elevador del ano, porción superior, [347](#)

endopélvica, T6.1, [347](#)

 fondos de saco perineales profundos, BP88

 paravesical, [352](#)

espermática

 externa, BP59, [253–254](#), [260](#), [262](#), [349](#), [362–364](#), [369](#), [372](#)

 cordón espermático, [264](#), [387](#)

 testículo, [387](#)

 interna, BP59, [254](#), [369](#), [372](#)

 origen, [263](#)

extraperitoneal, BP59, [254](#), [263–264](#), [394](#)

faringobasilar, [67](#), [70](#), [75](#), [78](#), [81](#), [86](#)

de Gallaudet, BP90, [349](#), [352–353](#), [359–360](#), [363–365](#), [373](#), [377–378](#)

genihioidea, [33](#)

de Gerota. Véase Fascia renal (de Gerota)

ilíaca, [264](#), [347](#)

inferior, [349](#)

 diafragma pélvico, [359](#)

infradiafragmática, [239](#)

infraespinosa, [180](#), [183](#), [257](#), [413](#)

infrahioidea, [33](#)

interósea

 dorsal, [453](#)

 palmar, [453](#)

lata, [252–253](#), [389](#), [473](#), [475](#), [490](#), [496](#)

 lámina de Scarpa, [252](#)

 muslo, [353](#), [359](#), [362–363](#)

mano, [453](#), [457](#)

masetérica, [31](#)

músculo transverso del periné, [366](#)

obturatriz, [339–340](#), [342](#), [346](#), [353](#), [360](#), [384](#), [393](#)

 interna, [347](#), [374](#)

 músculo obturador interno, [350](#)

órbita y globo ocular, BP26

parotídea, [31](#)

pectínea, [254](#)

pectorales, [188](#), [416](#)

pélvica, arco tendinoso, [347](#), [352](#)

periné, BP90, [349](#), [352–353](#), [359–360](#), [363–365](#), [373](#), [377–378](#)

perineal, BP88

 profunda. *Véase* Fascia del periné

 superficial, [349](#). *Véase también* Capa membranosa, tejido subcutáneo del periné

pierna, [473](#), [475](#), [513–514](#)

plantar

 lateral, [523](#)

 medial, [523](#)

presacra, [347](#), [378](#)

pretraqueal, [77](#)

 lámina visceral, [208](#)

pretraqueal (visceral), [33](#)

prevertebral, [68](#), [77](#)

prevesical, umbilical, [350](#)

pubocervical, porción

 distal, [354](#)

 horizontal, [354](#)

rectal, BP88, [346–347](#), [359](#), [366](#), [373–376](#), [378](#)

rectoprostática (de Denonvilliers), [324](#), [343](#), [349](#), [366](#), [373](#), [378](#)

rectovesical, [366](#), [378](#)

renal (de Gerota), [185](#), [318](#), [323](#), [331](#)

- lámina
 - anterior, [318](#)
 - posterior, [318](#)
 - sección transversal, [318](#)
- revestimiento, BP90, [353](#), [359–360](#), [363–365](#), [373](#), [377](#)
 - profunda, [349](#), [352](#)
- de Scarpa, BP88, [324](#), [362](#). *Véase también* Lámina de Scarpa (capa membranosa)
- serrato anterior, [416](#)
- de Sibson. *Véase* Membrana suprapleural (fascia de Sibson)
- subclavio, [416](#)
- subserosa, [394](#)
- superior diafragma pélvico, [350](#), [359](#)
- supradiafragmática, [239](#)
- temporal, [31](#), [34](#), [55](#), [59](#)
 - lámina
 - profunda, [55](#)
 - superficial, [55](#)
- toracolumbar, [180](#), [182–183](#), [185](#), [257](#), [312](#)
 - lámina
 - anterior, [182](#), [185](#)
 - media, [185](#)
 - posterior, [181](#), [185](#)
- transversal, BP59, [185](#), [254–256](#), [262–264](#), [266](#), [324](#), [344](#), [347–348](#), [350](#), [359](#)
- umbilical prevesical, [256](#), [262](#), [347](#), [349](#)
- uterina, [347](#)
- uterovaginal, BP88, [346](#), [353](#), [359](#)
- vaginal, [373](#)
- vesical, BP88, [346–347](#), [349](#), [352](#), [359](#), [373](#), [378](#)
- vesícula urinaria, [349](#)
- visceral. *Véase* Fascia pretraqueal (visceral)

Fascia (profunda) del pene (de Buck), [252–254](#), [324](#), [349](#)

Fascículo(s), BP12

- atrioventricular (AV) (de His), [229](#)
- cuneiforme, BP43, [125](#)
- dorsolateral. *Véase* Tracto posterolateral
- grácil, BP43, [124](#), [125](#)
- interfascicular, BP43
- lateral, [125](#)
- longitudinal
 - dorsal, [158](#)
 - medial, BP43, [125–126](#)
- mamilotalámico, [117](#)
- pequeños, [449](#)
- posterior, [414](#)
- propio, BP43
- septomarginal, BP43
- transversos, [449](#), [523](#)

Fauces, [72](#)

Fémur, BP113, BP4, [479](#), [496](#), [498](#), [501–502](#), [534](#)

- agujero (foramen)
 - nutricio, [479](#)
 - retinacular, [479](#)
- arteria nutricia, [495](#)
- cabeza, BP109, [400](#), [477–479](#), [534](#)
 - arterias, [495](#)
 - fosita del ligamento, [479](#)
 - ligamento, BP109, [477](#)
 - radiografía, [335](#)
- cara
 - articular, BP114
 - poplítea, [479](#)
- cóndilo
 - lateral, [479](#), [498–501](#)

- medial, [479](#), [499–501](#)
- cresta intertrocantérea, [479](#)
- cuello, T8.1, [400–401](#), [477–479](#), [534](#)
 - arterias, [495](#)
- cuerpo, [479](#)
- epicóndilos
 - lateral, [479](#), [483](#), [498](#)
 - medial, [479](#), [492](#), [497–498](#)
- fosa
 - intercondílea, [479](#)
 - trocantérea, [479](#)
- línea
 - áspera, [479](#)
 - intertrocantérea, [479](#)
 - pectínea, [479](#)
 - supracondílea
 - lateral, [479](#)
 - medial, [479](#)
- radiografía, [335](#)
- tercio medio cuerpo, T8.1
- trocánter
 - mayor, BP109, [161](#), [334](#), [401](#), [471](#), [477–479](#), [483](#), [485–486](#), [492–493](#), [534](#)
 - menor, [265](#), [334](#), [477–479](#), [534](#)
 - radiografía, [335](#)
- tubérculo
 - aductor, [479](#)
 - cuadrado, [479](#)
- tuberosidad glútea, [479](#)

Fibras

- aferentes, [309](#)
 - árbol traqueobronquial, [214](#)
 - órganos reproductores, [397](#)

- varón, [398](#)
- porción inferior del uréter, [399](#)
- riñones y porción superior de los uréteres, [321](#)
- vejiga urinaria, [399](#)
- vías reflejas autónomas, [307](#)
- ascendentes, [321](#), [399](#)
- descendentes, [321](#), [399](#)
- elásticas, BP1, BP6
- espinohipotálamicas, BP43
- espinomesencefálicas, BP43
- espinorreticulares, BP43
- espinotalámicas, BP43
- fascia
 - vaginorrectal, [347](#)
 - vesicocervical, [347](#)
- intercraurales, BP58, [252](#), [262–263](#)
- interdigitales del periné, [341](#)
- meridionales, [101](#)
- nerviosas, [109](#)
- oblicuas, [497](#)
- paralelas, [497](#)
- parasimpáticas, [309](#)
 - árbol traqueobronquial, [214](#)
 - órganos de la reproducción, [397](#)
 - varón, [398](#)
 - porción inferior del uréter, [399](#)
- postsinápticas, BP41
- presinápticas, BP41
- riñones y porción superior de los uréteres, [321](#)
- vejiga urinaria, [399](#)
- vías reflejas autónomas, [307](#)
- de la polea A1, BP106

posganglionares

órganos reproductores, [397](#)

varón, [398](#)

porción inferior del uréter, [399](#)

vejiga urinaria, [399](#)

preganglionares

órganos reproductores, [397](#)

varón, [398](#)

porción inferior uréter, [399](#)

vejiga urinaria, [399](#)

de Purkinje, rama

derecha, [229](#)

izquierda, [229](#)

refuerzo, [287](#)

reticulares, BP6

pared arterial, BP16

simpáticas, [309](#)

árbol traqueobronquial, [214](#)

arteria renal, T5.2

órganos reproducción, [397](#)

varón, [398](#)

porción inferior uréter, [399](#)

posganglionares, [232](#)

postsinápticas, BP41

presinápticas, BP41

riñones y porción superior de los uréteres, [321](#)

vejiga urinaria, [399](#)

vías reflejas autónomas, [307](#)

somáticas, BP41

superficiales. Véase Ligamento colateral tibial

transversas, BP6

vagales, [137](#)

- zonulares, [100–103](#)
 - ecuatoriales, [102](#)
 - postecuatoriales, [102](#)
 - preecuatoriales, [102](#)

Fibrina, BP95

Fibroblasto, BP6

- núcleos, BP6
- pared arterial, BP16

Filtro (filtrum), [8](#), [65](#)

Filum terminal

- externo, [169–170](#)
- interno, [169–170](#), [177](#)

Fimbrias. Véase *Franjas*

Fístula carótida-seno cavernoso, T2.3

Fisura

- horizontal, pulmón derecho, [205](#)
- longitudinal del cerebro, [118](#), [154](#), [156](#)
 - radiología, [160](#)
- media anterior, BP43
- oblicua, pulmones, [204](#)
 - derecha, [205](#)
 - izquierda, [205](#)
- orbitaria
 - inferior, BP26, BP17, [11](#), [13](#), [23](#)
 - superior, BP26, BP17, [11–12](#), [20](#)
- petroescamosa, [21](#)
- petrotimpánica, [17](#), [19](#)
- pterigomaxilar, [13](#)

Flexión

- movimientos del miembro inferior, [472](#)
- plantar, movimientos del miembro inferior, [472](#)

Flexura

anorrectal, [400](#)

cólica

derecha (hepática), [270](#), [272–273](#), [276](#), [278](#), [283](#), [285](#), [318](#)

izquierda (esplénica), [270](#), [272–273](#), [276](#), [278](#), [283](#), [323](#)

duodenal

inferior, [279](#)

superior, [279](#)

duodenoyeyunal, [271](#), [278–279](#), [288](#), [318](#), [323](#)

esplénica colon, [282](#)

Folículo(s)

de De Graaf, BP95

desarrollo, BP95, BP92

estadios, BP95

linfoides, [71](#)

maduro, BP95, BP92

piloso, BP41, BP1

papila, BP1

vaina

externa, BP1

interna, BP1

primordiales, BP95

roto, BP95, BP92

Fondo

de saco

conjuntival

inferior, [94](#)

superior, [94](#)

rectouterino de Douglas, T6.1, [345–346](#), [355–356](#), [373](#)

rectovesical, [324](#), [348–349](#), [373](#)

uterovesical, [357](#). Véase también Fondo de saco vesicouterino (uterovesical)

vesicouterino (uterovesical), [345–346](#), [350](#), [356–357](#), [373](#)

útero, [345](#), [355](#), [379](#)

vejiga urinaria, [349–350](#), [352](#)

Fontanela

anterior, BP17, [21](#)

esfenoidal, recién nacido, [21](#)

mastoidea, [21](#)

posterior, [21](#)

Foramen. Véase Agujero(s) (foramen[es])

Fórnix, [117](#), [123](#), [158](#)

columnas, [117](#), [121–123](#), [154](#), [156](#)

comisura, [123](#)

cuerpo, [117](#), [123](#), [125](#)

pilar, [117](#), [121](#), [123](#)

porción anterior, [354](#)

vaginal, [345](#)

porción

anterior, [345](#), [356](#)

posterior, [356](#)

Fosa

acetabular, [400](#)

grasa, [477](#)

axilar, [245–247](#)

codo, [402](#)

condílea, [17](#)

coronoidea, [409](#), [426](#)

craneal

anterior, [18](#)

media, [18](#)

suelo, BP24

posterior, [18](#)

arterias, [154](#)

venas, [155](#)

digástrica, [24](#)
duodenal
 inferior, [271](#)
 superior, [271](#)
escafoidea, BP29, [106](#)
hipofisaria, recién nacido, [52](#)
ilíaca, [337–338](#), [344](#). Véase también Ala del ilion
incisiva, [17](#), [19](#), [23](#), [67](#), [73](#)
infraclavicular, [2](#)
infraespinosa, [410](#)
 escápula, [192](#)
infratemporal, [13](#), [23](#)
 visión superior, [60](#)
intercondílea, [479](#)
interpeduncular, [50](#)
isquioanal, [360](#), [374](#)
 cuerpo adiposo, [359](#), [362](#), [374](#), [400](#)
 músculo elevador del ano, techo, [363](#)
 receso anterior, [256](#), [352–353](#)
 tabique fibroso transverso, [374](#), [376–377](#)
mandibular, BP29, [13](#), [17](#), [21](#), [25](#)
nasal, [8](#)
navicular, [349](#), [367](#)
olécranon, [410](#), [426–427](#)
oval, [221](#), [224](#), [233](#)
 limbo, [224](#)
paraduodenal, [271](#)
pararrectal, [344](#), [346](#), [348](#), [374](#)
paravesical, [346](#)
poplítea, [3](#), [471](#)
pterigoidea, [23](#)
pterigopalatina, [13](#), [23](#), [51](#)

radial, 409, 426
retromolar, 24
subescapular, 409
 escápula, 192
sublingual, 24
submandibular, 24
supraespinosa, 410
 escápula, 192
supratonsilar, 72
supravesical, 256
temporal, 13, 22
triangular, 106
trocantérea, 479
vestibular, 358
yugular, BP27, 17, 19

Fosita(s)

anal, 370
costal, 163, 193
 apófisis transversa, 163, 193
 inferior, 163, 193
 cuerpo vertebral, 193
 superior, 163, 193
 cuerpo vertebral, 193
granulares, 16, 111, 113
inferior, 125
pterigoidea, 24
superior, 125

Fóvea central, 103

Franjas, 355

trompa uterina, 357

Frenillo, 281

arteria, 70

clítoris, [358](#)

labio(s)

inferior, [65](#)

menores, [358](#)

superior, [65](#)

lengua, [53](#), [65](#)

pene, [364](#)

Fundus del estómago, BP57, [237](#), [239](#), [276](#), [328](#)

G

Gancho

hueso ganchoso, BP102, [432](#), [438](#), [442](#), [444](#), [446–448](#)

pterrigoides, BP29, [13](#), [15](#), [23](#), [56](#), [59](#), [67](#), [72](#), [78](#)

recién nacido, [52](#)

Ganglio, [243](#)

aorticorrenal, BP39, [172](#), [269](#), [303–304](#), [306](#), [320–322](#), [391](#), [396–397](#), [399](#)

derecho, [300](#), [305](#)

izquierdo, [299](#), [305](#), [392](#), [398](#)

celíaco, BP39, BP41, BP84, T5.2, [172–173](#), [300–301](#), [303–306](#), [309–310](#), [320–322](#), [391–392](#), [396–399](#)

cervical

medio, [39–40](#), [76](#), [139](#), [141](#), [230–231](#), [243](#)

superior, BP39, [62](#), [64](#), [76](#), [136](#), [139](#), [141–145](#), [172](#), [230–231](#), [243](#)

cervicotorácico (estrellado), BP39, [141](#), [213](#), [230–231](#), [243](#)

ciliar, BP40, [61](#), [64](#), [97–98](#), [132–133](#), [142–143](#), [173](#)

esquema, [143](#)

raíz

oculomotora, [143](#)

parasimpática, [97](#), [132](#), [142](#)

sensitiva, [97](#), [142](#)

simpática, [97](#), [132](#), [142–143](#)

ramo, [132–133](#), [143](#)

coclear (espiral), [135](#)
espiral. Véase Ganglio coclear (espiral)
 de Corti, [109](#)
estrellado, [213](#), [230–231](#), [243](#). Véase también Ganglio cervicotorácico
 (estrellado)
frénico, [201](#)
geniculado, [59–60](#), [62](#), [107](#), [110](#), [134–136](#), [146](#)
inferior, [136](#), [145](#)
linfático. Véase Nódulo(s) (ganglio[s]) linfático(s)
lumbar, primero, [172](#)
mesentérico
 celíaco, [269](#)
 inferior, BP41, BP39, [172](#), [300](#), [305](#), [320](#), [391–392](#), [396–399](#)
 superior, BP41, BP39, [172–173](#), [269](#), [300](#), [303](#), [305](#), [320–321](#), [391–392](#), [396](#),
 [398–399](#)
nervio
 espinal, [399](#)
 trigémino, [142](#)
ótico, [25](#), [56](#), [59–60](#), [107](#), [133–134](#), [136](#), [142](#), [144–146](#), [173](#)
 esquema, [145](#)
pterigopalatino, BP40, [46](#), [48](#), [61–64](#), [82](#), [132–134](#), [136](#), [142](#), [144](#), [146](#), [173](#)
 esquema, [144](#)
 ramo(s), [61](#)
 faríngeo, [46](#)
 nasales posteriores superiores laterales, [46](#), [142](#)
raíz posterior, [197](#), [399](#). Véase también Ganglio sensitivo, nervio espinal
 (raíz posterior)
renal, [320–322](#), [398–399](#)
sacro, primero, [172](#)
sensitivo nervio espinal (raíz posterior), [139](#), [143](#), [174](#), [177](#), [186](#), [303](#), [306](#),
 [309–310](#), [321](#)
simpático, [177](#), [186](#), [197](#), [391–392](#), [396–398](#)
 cervical, BP41

- superior, [68](#)
- sacro
 - derecho, [394](#)
 - izquierdo, [394](#)
- torácico, cuarto, [231](#)
- submandibular, BP40, [53](#), [59](#), [70](#), [82](#), [133–134](#), [142](#), [144](#), [173](#)
 - esquema, [144](#)
- superior, [136](#)
- torácico
 - cuarto, [230](#)
 - primero, [172](#)
 - sección, [177](#)
 - segundo, [231](#)
 - sexto, [213](#)
 - tercero, [230](#), [243](#)
- trigémino, [59](#), [61](#), [66](#), [97–98](#), [115](#), [128](#), [143–146](#)
- tronco
 - lumbar
 - inferior, [232](#)
 - superior, [232](#)
 - simpático
 - cervical, [232](#)
 - torácico
 - inferior, [232](#)
 - primero, [143](#)
 - superior, [232](#)
- vertebral, [141](#), [230–231](#), [243](#)
- vestibular (de Scarpa), [108](#), [135](#)
- Generación parental**, BP91
- Genitales**
 - externos, [173](#), [358](#), [362–363](#)
 - homólogos, [370](#)

inervación, [172](#)

mujer, [395](#)

nervios, [391](#)

varón, [391](#)

internos, homólogos, [371](#)

nódulos (ganglios) linfáticos

mujer, [388](#)

varón, [390](#)

vasos linfáticos

mujer, [388](#)

varón, [390](#)

Gínglimo (tróclea), BP5

Giro(s)

angular, [116](#)

arteria, [152–153](#)

cíngulo, [117](#)

istmo, [117–118](#)

dentado, [117](#), [119](#), [122–123](#), [130](#)

frontal

inferior, porción

opercular, [116](#)

orbitaria, [116](#)

triangular, [116](#)

medial, [117](#)

medio, [116](#)

superior, [116](#)

lingual, [117](#)

occipitotemporal

lateral, [117–118](#)

medial, [117–118](#)

orbitarios, [118](#)

parahipocampal, [117–119](#), [130](#)

- poscentral, [116](#)
- precentral, [116](#)
- recto, [118](#)
- subcalloso, [117](#)
- supramarginal, [116](#)
- temporal
 - inferior, [116](#), [118](#)
 - medio, [116](#)
 - superior, [116](#)

Glabela, [8](#), [11](#), [13](#)

Glande

- clítoris, [370](#)
- pene, [333](#), [364](#), [367](#), [370](#)
 - corona, [364](#)
 - cuello, [364](#)

Glándula(s)

- anales, [375](#)
- areolares (de Montgomery), [188](#)
- de Bartholin, [360–361](#), [371](#), [386](#)
 - orificio, [358](#)
 - primordio, [371](#)
- bulbouretral (de Cowper), [256](#), [324](#), [349](#), [352](#), [365–367](#), [371](#)
 - conducto, [365](#)
 - primordio, [371](#)
- de Cowper, BP93, [349](#), [352](#), [365–367](#), [371](#). Véase también Glándula bulbouretral (de Cowper)
 - primordio, [371](#)
- gástricas (fúndicas), BP60
- lagrimal, BP26, BP40, [50](#), [97–99](#), [144](#), [173](#)
 - conductos excretores, [95](#)
 - inervación, [172](#)
 - porción

- orbitaria, 95
- palpebral, 95
- linguales, 71
- mamaria, T4.1
 - arterias, 189
 - disección anterolateral, 188
 - nódulos (ganglios) linfáticos, 7, 190
 - sección sagital, 188
 - vasos linfáticos, 190
- mucosas, 71
 - inervación, 173
- palatina, 67, 72, 77
- paratiroides, BP10, 76, 89
 - inferior, 88–89
 - superior, 88–89
- parauretral (de Skene), 371
- parauretrales, primordio, 371
- parótida, BP41, T2.2, BP40, 32, 36, 38, 49, 53–54, 60, 68, 79, 105, 136, 145, 173
 - accesoria, 53
 - inervación, 172
- pilóricas, BP60
- pineal, BP10, 117, 121, 122, 124–125
- prepucial, 364
- salivar, BP9, 53, 68
 - lingual menor, 65
 - molar menor, 67
 - sublingual, 68
 - submandibular, lóbulo
 - profundo, 68
 - superficial, 68
- sebáceas, 1–2, 94

serosas de von Ebner, [71](#)
 de Skene, [371](#). Véase también Glándula parauretral (de Skene)
 primordio, [371](#)
 sublingual, BP22, BP40, [50](#), [53](#), [59](#), [65](#), [69](#), [134](#), [144](#), [172](#)
 inervación, [173](#)
 submandibulares, BP40, [8](#), [32](#), [34](#), [36](#), [38](#), [53](#), [59](#), [69](#), [79](#), [83–84](#), [134](#), [144](#), [172](#)
 inervación, [173](#)
 submucosas, [308](#)
 sudoríparas, BP41, BP1
 inervación, [172](#)
 piel perianal, [375](#)
 poro, BP1
 suprarrenales, BP10, BP38, BP41, BP57, [278](#), [284](#), [288](#), [311–324](#), [368](#)
 arterias, [323](#)
 derecha, BP56, [203](#), [275](#), [311](#), [322](#)
 inervación, [172](#)
 izquierda, [203](#), [273](#), [311](#), [330](#)
 nervios autónomos, [322](#)
 sección transversal, [323](#)
 venas, [323](#)
 tarsales, [94](#)
 orificios, [94](#)
 tiroides, T2.2, BP10, [33](#), [35](#), [38](#), [40](#), [76–77](#), [84](#), [89](#), [92](#), [202](#), [204](#), [210](#), [221](#)
 cápsula fibrosa, [89](#)
 istmo, [87](#)
 lóbulo
 derecho, [87–89](#)
 izquierdo, [87](#), [89](#)
 piramidal, [87](#)
 visión
 anterior, [87](#)
 posterior, [88](#)

de Tyson, [364](#)
uretrales, BP90
 de Littré, [367](#)
vestibular mayor, [360–361](#), [371](#), [386](#)
 orificio, [358](#)
 primordio, [371](#)

Globo ocular, BP22, [50](#)
 cámara posterior, [101](#)
 fascias, BP26
 radiología, [160](#)
 sección transversal, [100](#)

Glomérulo, [130](#)

Gónadas, [371](#)
 retroperitoneales, [368](#)

Granulaciones aracnoideas, [111–113](#), [120](#)

Granulosa, BP95

Grasa, BP10
 epidural, BP42
 radiología, [165](#)
 retrobulbar, BP26, [50](#)
 subcutánea, radiología, [165](#)

Gubernáculo, [368](#), [371](#)

H

Habénula, [121](#)

Haces de las fibras nerviosas, BP12

Haustra, [280](#), [283](#)

Helicotrema, cóclea, BP28, [105](#), [108–109](#)

Hélix, [8](#), [106](#)

 pilar, [106](#)

Hematíes, BP15, BP6

Hemidiafragma derecho, [217](#)

Hemisferio cerebral, [113](#)

Hendidura, [71](#)

interglútea (anal), [161](#)

nasal, [20](#)

sináptica, BP11

vulvar, [358](#)

Herencia mendeliana, BP91

Hernia inguinal indirecta, BP59

Hiato

aductor, [491–492](#), [503](#)

anorrectal, [342](#)

aórtico, [201](#)

basílico, BP99

esofágico, [201](#)

maxilar, [64](#)

sacro, T3.1, [166](#)

safeno, BP58, [253](#), [259](#), [359](#), [362](#), [473](#)

borde falciforme, [264](#)

fascia cribiforme, BP58, [259](#), [475](#)

semilunar, [51](#)

recién nacido, [52](#)

urogenital, [351](#)

Hidátide de Morgagni, [355](#)

Hidrocele, [369](#)

Hígado, BP62, BP38, T5.1, BP9, [56–57](#), [137](#), [173](#), [202–203](#), [217](#), [221](#), [233](#), [241](#), [273](#), [278](#), [287](#), [318](#), [324](#), [326](#), [328–329](#)

apéndice fibroso, [284](#)

área, [311](#)

arterias, [290–291](#)

borde inferior, [276](#)

caras y lecho, [284](#)

dolor referido visceral, BP13

- estructura, 286
- inervación, 172
 - autónoma, 309
- lecho, 284
- ligamento
 - coronario, 275
 - falciforme, 258
 - redondo, 256, 284, 299
- lóbulo
 - caudado, 273, 276, 284–285
 - cuadrado, 276, 284
 - derecho, BP87, 270, 276, 285
 - izquierdo, 270, 276, 285
- sistemas vasculares, 285
- topografía, BP63
- variaciones forma, BP62, BP64
- vasos y nódulos (ganglios) linfáticos, BP83
- vías, 190

Hilio, 205, 289

Himen

- anular, BP96
- cribiforme, BP96
- septado (tabicado), BP96
- variaciones, BP96

Hipocampo, 119, 122–123

- álveo, 123
- fimbria, 117, 119, 121–123, 130
- pie, 122–123

Hipófisis, BP10, 115, 117–118, 158

- arterias y venas, BP30
- hendidura, 158
- lóbulo

anterior (adenohipófisis), BP30, [151](#), [158](#)
posterior (neurohipófisis), BP30, [151](#), [158](#)
radiología, [160](#)
silla turca, [43](#)

Hipotálamo, BP10, [119](#), [158](#)

arterias y venas, BP30
núcleos principales, [158](#)
 arqueado (infundibular), [158](#)
 cuerpo mamilar, [158](#)
 dorsomedial, [158](#)
 paraventricular, [158](#)
 posterior, [158](#)
 supraóptico, [158](#)
 ventromedial, [158](#)

Hombro

articulación, [412](#)
artrografía, [470](#)
cápsula articular, [417](#)
músculos, [413](#)
nervios, [468](#)
radiografía anteroposterior, [411](#)
resonancia magnética, [470](#)
tomografía computarizada, [470](#)

Hormona(s)

foliculoestimulante, BP92
gonadotrópica, BP92
luteinizante, BP92
ováricas, BP92

Hoz

cerebro, BP22, [45](#), [50](#), [113–115](#), [155](#)
inguinal, BP58, [253–254](#), [256](#), [262–263](#)

Huesecillos oído, BP4, T2.1

Hueso(s)

- arquitectura, BP7
- carpo, BP4, 442–461
- cavidad nasal, 52
- cigomático, BP17, 8, 11–13, 17, 50, 94
 - agujero (foramen) cigomaticofacial, 11, 13, 21
- apófisis
 - frontal, 11
 - temporal, 11, 13
- cara orbitaria, 11
- recién nacido, 21
- cortical, BP7
- coxal, BP4, 476
- cuboides, 515–516, 518, 527–528, 535
 - cara articular, 517
 - tuberosidad, 519, 527
- cuneiformes, 515–516, 527–528
 - medial, BP117, 518, 527
- escafoides, BP102, T7.1, 442–443, 445–447, 457
 - articulación, 429
- esfenoides, 11, 13, 15, 17–18, 22, 44–45, 49
 - agujero (foramen)
 - espinoso, 17
 - oval, 17
- ala
 - mayor, BP17, 11, 13–15, 17–18, 21
 - surco vasos meníngeos medios, 18
 - menor, 11–12, 15, 18
- apófisis
 - clinoides anterior, 15, 18
 - pterigoides, 17, 23, 44
 - fosa escafoidea, 17

- fosa pterigoidea, 17
 - gancho, 13, 15, 17, 23, 44
 - lámina lateral, 13, 15, 17, 21, 23, 44–45
 - lámina medial, 15, 17, 21, 23, 44–45
- cara orbitaria, 11
- clivus, 18
- conducto óptico, 15
- cresta, 45
 - infratemporal, 13
- cuerpo, 15, 18, 45
 - silla turca, 18
 - surco prequiasmático, 18
 - yugo, 18
- espina, 17, 23
- recién nacido, 21, 52
- seno esfenoidal, 15, 44–45
- silla turca, 15, 18
 - apófisis clinoides posterior, 18
 - dorso silla, 18
 - fosa hipofisaria, 18
 - tubérculo silla, 18
- surco carotídeo, 18
- etmoides, 11, 13, 15, 18, 44–45
 - agujero (foramen) etmoidal anterior, 21
 - apófisis unciforme, 44, 52
 - cornete nasal
 - medio, 11, 15, 44
 - superior, 15, 44
 - supremo, 44
- crista galli, 15, 18, 45
- lámina
 - cribosa, 15, 18, 43–45, 130

- orbitaria, [11](#), [13](#), [21](#)
- perpendicular, [11](#), [15](#), [45](#)
- recién nacido, [21](#)
- frontal, BP17, [8](#), [11](#), [13–18](#), [42](#), [44–45](#), [94–95](#)
- agujero (foramen) ciego, [18](#)
- cara orbitaria, [11](#)
- cresta frontal, [18](#)
- escotadura supraorbitaria, [11](#), [13](#), [21](#)
- espinas nasales, [44–45](#)
- glabella, [11](#), [13](#)
- porción
 - escamosa, [21](#), [44–45](#)
 - orbitaria, cara superior, [18](#)
- recién nacido, [21](#)
- seno, [15](#), [44–45](#)
- surco
 - seno sagital superior, [18](#)
 - vasos meníngeos anteriores, [18](#)
- ganchoso, BP102, [442–443](#), [445–446](#), [452](#)
- grande (capitado), BP102, [442–443](#), [445–447](#), [452](#)
- hioides, BP34, BP4, [22](#), [32](#), [35–36](#), [38](#), [41](#), [53](#), [68](#), [70](#), [75](#), [77–78](#), [81](#), [87](#), [89–90](#), [92](#)
- asta
 - mayor, [22](#), [69](#), [81](#)
 - punta, [88](#)
 - menor, [22](#), [69](#)
- cuerpo, [22](#), [69](#)
- lagrimal, [11](#), [13](#), [44](#), [50](#)
- recién nacido, [21](#), [52](#)
- metacarpianos, BP102, BP104, BP4, [442–446](#), [448](#), [454](#)
- cuarto, [105–106](#)
- primero, [435](#), [438](#), [447](#), [452](#), [457](#)

quinto, BP105, 434–435, 438, 447
segundo, 105–106, 435
tercero, 105–106, 443, 447
metafisario, BP114, BP5
metatarsianos, BP117, BP4, 515–516, 519, 527
 primero, 509, 518, 528
 quinto, 509–510, 528
 tuberosidad, 526–528
 tuberosidad, 520
nasal, BP17, 8, 11–13, 15, 42, 44–45, 50
 recién nacido, 21, 52
navicular, 515–516, 518, 527, 535
 tuberosidad, 519, 522, 527
occipital, BP17, 13–18, 29, 169–170
 agujero (foramen)
 magno, 15, 17
 yugular, 15
 apófisis yugular, 37
 clivus, 18
 cóndilo, 18
 conducto
 condíleo y fosa condílea, 17
 nervio hipogloso, 15, 17
 cresta occipital
 externa, 17
 interna, 18
 línea nuchal
 inferior, 17
 superior, 17
 porción basilar, 15, 17–18, 29, 37, 43–45, 67, 72, 75, 78–79
 protuberancia occipital
 externa, 15, 17

- interna, 18
- recién nacido, 21
- seno
 - sagital superior, surco, 18
 - transverso, surco, 15, 18
- surco, seno
 - occipital, 18
 - petroso inferior, 15, 18
- tubérculo faríngeo, 17, 77
- vasos meníngeos posteriores, surco, 18
- palatino, 15, 17, 44
 - agujero (foramen) palatino
 - mayor, 17, 45
 - menor, 17, 45
 - apófisis
 - esfenoidal, 44
 - orbitaria, 11, 44
 - piramidal, 17, 21, 23
 - cresta nasal, 45
 - espinas nasales posteriores, 17, 44–45
 - lámina
 - horizontal, BP29, 11, 17, 23, 43–45, 67, 73
 - perpendicular, 11, 44–45
 - recién nacido, 21, 52
- parietal, BP17, 11, 13–18
 - ángulo mastoideo, 18
 - recién nacido, 21
 - surco vasos meníngeos medios, 18
 - tuberosidad (eminencia), 21
- pie, 515
- piramidal, BP102, 442–443, 445–447
- pisiforme, BP102, 432, 436–438, 442–450, 452, 455

semilunar, BP102, [442–443](#), [445–447](#)
 articulación, [429](#)
senos paranasales, [52](#)
sesamoideos, BP4, [443](#), [446](#), [515–516](#), [525–528](#)
 pie, [519](#)
subcondral, BP114, BP5
sutural (wormiano), [13](#), [16](#)
tarso, BP4
temporal, BP17, [11](#), [13](#), [15](#), [17–18](#), [22](#)
 acueducto vestibular, orificio, [15](#)
 agujero (foramen)
 estilomastoideo, [17](#)
 mastoideo, [17](#)
 apófisis
 cigomática, [13](#), [17](#), [21](#), [58](#)
 estiloides, [13](#), [17](#), [21](#)
 mastoides, [13](#), [17](#)
 arteria
 occipital, surco, [17](#)
 temporal profunda posterior, surco, [13](#)
 asterión, [13](#)
 conductillo
 mastoideo, [17](#)
 timpánico inferior, [17](#)
 conducto
 auditivo
 externo, BP17, [13](#), [17](#)
 interno, [15](#)
 carotídeo, [17](#)
 cresta supramastoidea, [13](#)
 escotadura mastoidea, [17](#)
 fisura

- petroescamosa, [21](#)
- petrotimpánica, [17](#)
- fosa
 - mandibular, [13](#), [17](#), [21](#)
 - yugular, [17](#)
- porción
 - escamosa, [13](#), [15](#), [18](#), [21](#)
 - petrosa, BP29, [12](#), [15](#), [17–18](#), [21](#), [110](#)
 - arteria carótida interna, [148](#)
 - eminencia arqueada, [18](#)
 - impresión trigeminal, [18](#)
 - nervio petroso mayor, surco, [18](#)
 - nervio petroso menor, surco, [18](#)
 - seno petroso superior, surco, [18](#)
 - seno sigmoideo, surco, [18](#)
 - timpánica, [21](#)
- protuberancia occipital externa, [13](#)
- recién nacido, [21](#)
- seno
 - petroso superior, surco, [15](#)
 - sigmoideo, surco, [15](#)
- sutura lambdoidea, [13](#)
- tubérculo articular, [13](#), [17](#)
- ventana
 - coclear, [21](#)
 - oval, [21](#)
- tórax, [192](#)
- trabecular, BP7
- trapecio, BP102, BP5, [442–448](#), [452](#), [457](#)
- trapezoide, BP102, [442–443](#), [445–447](#), [452](#)
- wormiano, [13](#), [16](#). Véase también Hueso sutural (wormiano)

Húmero, T7.1, [4–5](#), [217](#), [409](#), [411](#), [423](#), [425–428](#)

- cabeza, [409–411](#), [470](#)
- capítulo (cóndilo), [409](#)
- cresta supracondílea
 - lateral, [409–410](#)
 - medial, [409–410](#)
- cuello
 - anatómico, [409–410](#)
 - quirúrgico, [409–410](#), [470](#)
 - derecho, [245](#)
- cuerpo, [246](#), [247](#)
- epicóndilo
 - lateral, [409–410](#), [421–422](#), [426–428](#), [430–433](#), [435](#), [438](#), [469](#)
 - medial, [409–410](#), [421–423](#), [426–428](#), [430–438](#), [467–468](#)
- fosa
 - coronoidea, [409](#)
 - radial, [409](#)
- izquierdo
 - cabeza, [217](#)
 - cuerpo, [245](#)
- surco intertubercular, [409](#)
- tróclea, [409](#)
- tubérculo mayor, [409–412](#), [417](#), [421](#)
 - cresta, [409](#)
- visión
 - anterior, [409](#)
 - posterior, [410](#)

I

- Íleon**, [85–86](#), [270](#), [279](#), [283](#), [297](#), [331](#)
 - capa del músculo circular, [279](#)
 - porción terminal, [272](#), [280–281](#), [344](#), [348](#)
- Ilion**, [476](#), [478](#)

ala, [250](#), [334](#), [338](#), [342](#), [476](#), [534](#)

cuerpo, [338](#), [476](#)

línea arqueada, [340](#)

radiología, [165](#), [335](#)

Impresión(es)

cardíaca, [205](#)

cólica, [284](#)

costales, [284](#)

duodenal, [284](#)

esofágica, [284](#)

gástrica, [284](#), [289](#)

renal, [284](#), [289](#)

suprarrenal, [284](#)

trigeminal, [18](#)

Inferior, término de relación, 1

Infundíbulo, [124](#), [158](#), [355](#)

trompa uterina, [357](#)

Inhibina, BP92

Inión, [13–15](#), [17](#), [23](#)

Ínsula (de Reil), [116](#), [121](#), [152](#)

giro

corto, [116](#)

largo, [116](#)

limen, [116](#)

surco

central, [116](#)

circular, [116](#)

Intercambio gaseoso, BP50

Interfase

dura-aracnoides, [113](#)

duramadre-cráneo, [111](#), [113](#)

Intersección tendinosa, [187](#), [249](#), [253–254](#), [333](#)

Intestino(s), [173](#), [233](#)

delgado, BP9, [137](#), [270](#), [282](#), [324](#)

área, [311](#)

arterias, [294](#)

dolor referido visceral, BP13

inervación autónoma, [304](#)

mucosa y musculatura, [279](#)

vasos y nódulos (ganglios) linfáticos, BP81

venas, [297](#)

grueso, BP9, [283](#)

arterias, [295](#)

inervación autónoma, [305](#)

vasos y nódulos (ganglios) linfáticos, BP82

venas, [298](#)

inervación autónoma, [306](#)

nodulillos linfoides, [7](#)

plexo entérico, [308](#)

relaciones mesentéricas, [271](#)

superior, [172](#)

Íntima, pared arterial, BP16

Introito vaginal, múltipara, BP96

Inversión, movimientos del miembro inferior, [472](#)

Iris, [94](#), [100](#), [102–103](#)

arterias y venas, [104](#)

círculo arterial

mayor, [101](#), [103–104](#)

menor, [101](#), [103–104](#)

pliegues, [101](#)

Islotes pancreáticos, BP10

Isquion. Véase Tuberosidad isquiática

Istmo, [355](#)

útero, [355](#)

L

Laberinto

membranoso, [108–109](#)

óseo, [108–109](#)

Labio(s)

borde bermellón, [8](#)

comisura, [8](#)

filtrum (filtro), [8](#)

frenillo inferior, [65](#)

ileocecales, [281](#)

mayores, BP90, [345](#), [350](#), [353](#), [358](#), [370](#)

comisura

anterior, [358](#)

posterior, [358](#)

menores, BP90, [345](#), [350](#), [353](#), [356](#), [358](#), [361](#), [370](#)

frenillo, [358](#)

superior

frenillo, [65](#)

tubérculo, [65](#)

tubérculo superior, [8](#)

Laguna(s)

lateral (venosa) (de Trolard), [111–112](#)

magna, [367](#)

uretrales, de Morgagni, [367](#)

Lambda, [16](#)

Lámina, BP38, T3.1, [164](#), [167–168](#)

adiposa (de Camper), BP88

affixa, [122](#)

anterior, ligamento ancho, [357](#)

cribosa, [15](#), [18](#), [46](#)

agujeros (forámenes), [20](#)

espiral

- gancho, [108](#)
- ósea, [108–109](#)
- horizontal hueso palatino, BP29, [11](#), [17](#), [23](#), [43–45](#), [67](#), [73](#)
- lateral pterigoides, BP29, [22–23](#), [49](#), [56](#), [81](#)
- lumbar, [167](#)
- medial pterigoides, BP29, [23](#), [56](#), [67](#), [72](#), [78](#)
 - derecha, [64](#)
 - gancho, [22](#)
- medular
 - externa, [122](#)
 - interna, [122](#)
- membranosa (de Scarpa), BP88
- mesoovario, [357](#)
- mesosálpinx, [357](#)
- orbitaria, recién nacido, [21](#)
- palmar, BP106
- perpendicular, [11](#), [15](#)
- posterior, ligamento ancho, [357](#)
- propia pared arterial, BP16
- de Scarpa (capa membranosa), [359](#)
 - tejido subcutáneo, [362–363](#)
- tectal, [117](#), [125](#)
- terminal, [117–118](#), [125](#), [158](#)
- torácica, [163](#)
- vértebra
 - C6, BP34
 - L1, [165](#)
 - L4, BP37
- Laminillas subperiósticas circunferenciales**, BP7
- Laringe**, BP41, BP44, [146](#), [173](#), [214](#)
 - cartílagos, [90](#)
 - inervación, [172](#)

músculos intrínsecos, 91

acción, 93

nervios, 92

sección coronal, 92

Laringofaringe, BP44, 77, 79

Lateral, término de relación, 1

Lecho de la uña, 460–461

Lengua, BP35, BP9, 45, 53, 68, 70–72

cuerpo, BP22, 50, 71, 77

dorso, 71

drenaje linfático, 86

frenillo, 53, 65

músculo(s)

intrínsecos, 71, 139

longitudinal

inferior, 139

superior, 139

transverso y vertical, 139

longitudinal lengua

inferior, 68

superior, 68

transverso, T2.9

lengua, 68

vertical, T2.9

lengua, 68

radiología, 160

raíz, 71, 75, 77, 79–80, 91

vasos y nódulos (ganglios) linfáticos, 86

vértice, 71

Lente, BP26, 94, 100–103

cápsula, 100–102

corteza, 102

ecuador, [102](#)

eje, [102](#)

estructuras de soporte, [102](#)

núcleo, [101–102](#)

Leucocitos, BP15

Ligamento(s)

acromioclavicular, [412](#)

alares, [30](#)

amarillo, BP19, [29](#), [167–168](#)

radiología, [165](#)

ancho, [344–346](#), [353](#), [371](#)

lámina

anterior, [357](#)

posterior, [357](#)

anococcígeo, [364](#), [378](#)

anulares, [208](#)

arqueado

inferior, [343](#)

lateral, [201](#), [265](#)

medial, [201](#), [265](#)

metafisario radial dorsal, [445](#)

pubis, [359](#), [365](#)

arterioso, [41–42](#), [210](#), [216](#), [225](#), [233](#), [235](#)

nódulo (ganglio) linfático arco aorta, [212](#)

astragalocalcáneo, [517](#)

lateral, [518](#)

medial, [518](#)

posterior, BP116, [517–518](#)

astragalonavicular dorsal, [518](#)

astragaloperoneo

anterior, BP116, [505](#), [518](#)

posterior, [505](#), [517–518](#)

atlantoaxial. Véase Ligamento atlantoaxoideo
atlantoaxoideo, [30](#)
atlantooccipital anterior, [30](#)
bifurcado, [518](#)
calcaneocuboideo, [518](#), [527](#)
 dorsal, [518](#)
 plantar, [519](#)
calcaneonavicular, [518](#)
 plantar, [518](#), [527](#)
calcaneoperoneo, [505](#), [517](#)
capitoganchoso, [444–445](#)
capitopiramidal, BP102
capsulares, [412](#)
cardinal (de Mackenrodt), [346](#), [353–354](#)
 arteria uterina, [347](#)
carpo, BP102, [444–445](#)
carpometacarpianos
 dorsal, BP102
 palmar, BP102, [448](#)
codo, [428](#)
colateral, BP106, [448](#), [454](#)
 accesorio, [448](#)
 cubital, BP102, [428](#)
 medial, T8.1
 tobillo, [505](#)
 peroneo, [483–484](#), [497–502](#), [505](#), [508–510](#), [512](#)
 pie, [519](#)
 radial, BP102, [428](#)
 tibial, [483](#), [497–502](#), [505](#), [508–509](#), [511–512](#)
conoideo, [408](#), [412](#), [415](#)
de Cooper, [188](#). Véase también Ligamento pectíneo (de Cooper)
coracoacromial, [412](#), [415](#), [417](#), [421](#)

- coracoclavicular, [408](#), [412](#), [415](#)
- coracohumeral, [412](#)
- coronario
 - hígado, [275](#), [284](#), [324](#)
 - porción hepatorenal, [284](#)
- costoclavicular, [193](#), [408](#), [416](#)
- costocoracoideo, [416](#)
- costotransverso, BP33, [193](#)
 - lateral, BP33, [193](#)
 - superior, BP33, [193](#)
- costoxifoideo, [193](#)
- craneocervicales
 - externos, [29](#)
 - internos, [30](#)
- cricotiroideo, [87](#)
 - lateral, [90](#)
 - medio, [35](#), [78](#), [81](#), [87](#), [90](#), [208](#)
- cruzados, [30](#), [498](#), [505](#)
 - anterior, T8.1, [499–500](#)
 - cubierto por sinovial, BP114
 - posterior, [499–500](#)
- cuadrado, [428](#)
- cubitocapitado, [444](#)
- cubitocarpiano
 - dorsal, BP102
 - palmar, BP102, [444](#)
- cubitopiramidal, [444–445](#)
- cubitosemilunar, [444](#)
- cuboideonavicular
 - dorsal, [518](#)
 - plantar, [519](#)
- cuneocuboideo dorsal, [518](#)

cuneonaviculares
 dorsal, [518](#)
 plantar, [519](#)
deltoideo. *Véase también* Ligamento colateral
 porción tibiocalcánea, BP116
dentado, [174](#), [177](#)
diafragmático, [368](#), [371](#). *Véase también* Ligamento suspensorio
 (diafragmático)
escafocapitado, [444](#)
escafolunar, [445](#)
escafotrapeciotrapezoideo, [444](#)
escrotal, [371](#)
esfenomandibular, [25](#), [56–58](#), [60](#)
espiral, [109](#)
esplenorrenal, [273](#), [289](#)
esternoclavicular anterior, [408](#)
esternocostal intraarticular, [193](#)
estilohioideo, [22](#), [70](#), [72](#), [78](#), [81](#)
estilomandibular, [22](#), [25](#), [60](#)
falciforme, [255–256](#), [270](#), [276](#), [284](#), [299](#), [327](#)
frenocólico, [273](#)
frenoesofágico, [239](#)
fundiforme, [252](#)
 pene, [262](#), [349](#)
gastrocólico, [273](#)
 hoja
 anterior, [273](#)
 posterior, [273](#)
gastroesplénico, [273–274](#)
gastrofrénico, [273](#)
de Gimbernat. *Véase* Ligamento lagunar (de Gimbernat)
glenohumeral

- inferior, [412](#)
- medio, [412](#)
- superior, [412](#)
- glosoepiglótico medio, [91](#)
- hepatoduodenal, [273](#), [276](#), [279](#), [329](#)
- hepatogástrico, [276](#), [285](#)
- hioepiglótico, [77](#), [90](#)
- humeral transverso, [412](#)
- iliofemoral, BP109, [477](#), [495](#)
 - articulación de la cadera, [486](#)
- iliolumbar, [167](#), [312](#), [337](#)
- inferior del pubis (arqueado), [334](#), [340–343](#), [347](#), [349–350](#), [359](#), [365](#)
- inguinal (de Poupart), BP107, BP58, T5.1, [249](#), [252–254](#), [262–265](#), [333](#), [340](#), [356](#), [359](#), [362–363](#), [389](#), [471](#), [473](#), [475](#), [482](#), [488](#), [491](#)
 - reflejado, [253–254](#), [262](#)
- intercarpiano(s)
 - dorsal, [445](#)
 - interóseos, [445](#)
- intercartilaginosos, [208](#). Véase también Ligamentos anulares
- interclavicular, [193](#)
- intercuneiformes dorsales, [518](#)
- interespinoso, [167–168](#)
- interfalángicos, [448](#)
- interfoveolar, [256](#)
- intertransverso, [193](#)
- intraarticular, BP33
 - cabeza de la costilla, [193](#)
- isquiofemoral, BP109, [477](#), [495](#)
- lagunar (de Gimbernat), [253–254](#), [256](#), [262](#), [264–265](#)
- lateral del tobillo, [518](#)
- longitudinal
 - anterior, BP35, BP19, [29](#), [77–78](#), [167–168](#), [185](#), [193](#), [337](#), [344](#), [348](#)

posterior, BP35, BP19, BP33, [30](#), [167–168](#)
lumbocostal, [312](#)
de Mackenrodt, [346](#), [353–354](#). Véase también Ligamento cardinal (de Mackenrodt)
arteria uterina, [347](#)
medial del tobillo, [518](#)
meniscefemoral posterior, [499–500](#)
metacarpianos
dorsal, BP102
palmar, BP102, [448](#)
transverso
profundo, BP106, [448](#), [455](#)
superficial, [406](#), [449](#)
metacarpofalángicos, [448](#)
metatarsianos
dorsal, [518](#), [527](#)
plantares, [519](#), [527](#)
transverso
profundo, [519](#), [527](#)
superficial, [523](#)
nucal, BP19, [29](#), [161](#)
palmar, [448](#), [451](#), [454](#), [460–461](#)
carpo, [406](#), [436–437](#), [444](#), [449–450](#), [452](#), [456](#), [467](#)
palpebral
lateral, BP26
medial, BP26, [94](#)
pectíneo, [101](#)
pectíneo (de Cooper), [253–254](#), [256](#), [262](#), [264–265](#)
pelvis, [357](#)
pie, [519](#)
piel, BP1
piramidocapitado, [444](#)

- piramidoganchoso, [444–445](#)
- piramidosemilunar (lunotriquetral), [444](#)
- pisiganchoso, BP102, [444](#)
- pisimetacarpiano, BP102, [444](#)
- plantares, [519](#), [527](#)
 - corto, [518](#)
 - largo, [518](#), [527](#)
 - pie, [519](#)
- poplíteo
 - arqueado, [499](#), [501–502](#)
 - oblicuo, [499](#), [501–502](#)
- de Poupart, [249](#), [252–254](#), [262–265](#), [333](#), [340](#). Véase también Ligamento inguinal (de Poupart)
- pubis inferior, [250](#)
- pubofemoral, BP109, [477](#)
- puboprostático medial, [347](#), [350](#)
- pubovesical
 - lateral, [347](#)
 - medio, [350](#)
- pulmonar, [205](#), [212](#), [234–235](#)
- radiado
 - cabeza de la costilla, [193](#)
 - esternocostal, [193](#), [408](#)
- radiocarpiano
 - dorsal, BP102, [445](#)
 - palmar, BP102
- radiocubital
 - dorsal, BP102, [445](#)
 - palmar, BP102
- radioescafocapitado, [444](#)
- radiosemilunar
 - corto, [444](#)

largo, [444](#)
palmar, [444](#)
rectouterino (sacrouterino), [346](#)
redondo, [357](#)
arteria, [382](#)
uterina, [386](#)
hígado, [233](#), [256](#), [276](#), [284](#), [285](#), [299](#)
fisura, [284](#)
útero, BP90, [344–346](#), [352–354](#), [356](#), [359](#), [371](#), [382](#)
rotuliano, T8.1, [471](#), [482–484](#), [491](#), [497–499](#), [502](#), [505](#), [510–512](#)
inserción, BP111
sacroccígeos
anterior, [337](#), [340](#), [342](#), [347](#)
lateral, [167](#), [337–338](#)
posterior, [167](#), [337–338](#)
sacroespinoso, [167](#), [337–339](#), [341](#), [343](#), [392](#), [395](#), [485](#), [493](#)
sacroilíacos
anterior, [337](#)
posterior, [167](#), [337–338](#)
sacrotuberoso, BP109, [167](#), [337–339](#), [341](#), [343](#), [360](#), [377](#), [384](#), [392–393](#), [395](#),
[400](#), [485](#), [492–493](#)
sacrouterino, [346](#). Véase también Ligamento rectouterino (sacrouterino)
supraespinoso, [29](#), [167–168](#), [185](#), [337–338](#)
radiología, [165](#)
suspensorio (diafragmático), [368](#)
axila, [416](#)
clítoris, [359](#), [361](#)
ovario, [345–346](#), [355–357](#), [371](#), [382](#)
pene, [253](#), [349](#)
tarsometatarsianos
dorsal, [518](#), [527](#)
plantar, [519](#)

temporomandibular lateral, [25](#)

tibioperoneo

- anterior, [505](#), [518](#)
- posterior, [517–518](#)

tiroepiglótico, [90](#)

tiroideo posterior, [89](#)

tobillo, [518](#)

transverso, [412](#)

- acetábulo, BP109, [338](#), [477](#)
- atlas, [30](#)
- carpo, BP104
- inferior de la escápula, BP23
- periné, [340](#), [342](#), [347](#), [349–350](#), [359](#), [365](#), [387](#)
- superior de la escápula, BP23, [414–415](#), [417–418](#)

trapeciocapitado, [444–445](#)

trapeciotrapezoideo, [444–445](#)

trapezoideo, [408](#), [412](#), [415](#)

de Treitz, [271](#)

triangular

- derecho, [275](#), [283–284](#)
- izquierdo, [284](#)

umbilical

- medial, BP98, [233](#), [254–256](#), [262–264](#), [266](#), [316–317](#), [344](#), [347–348](#), [356](#), [382](#), [384](#)
- medio, BP98, [255–256](#), [264](#), [324](#), [344](#), [347–348](#), [350](#), [356](#), [382](#)

útero

- fascial, [354](#)
- redondo, BP90, [344–346](#), [352–354](#), [356](#), [359](#), [371](#), [382](#)

uterosacro, [345](#), [347](#), [354–355](#)

venoso, [233](#)

- fisura, [284](#)

vertebrales, BP33

región

lumbar, 168

lumbosacra, 167

vértice del diente, BP19, 30, 77–78

vocal, 90–91

en Y de Bigelow. Véase Ligamento iliofemoral

Ligamentos (retináculos) suspensorios de la mama, 188

Limbo acetabular. Véase Borde (limbo) acetabular

Línea(s)

alba, BP86, BP84, BP58, T5.1, 187, 194, 249, 252–255, 261–262, 333, 344, 348

anorrectal, 375

arqueada, 250, 254, 256, 258, 262, 334, 338–339, 342, 476

ilion, 340

dentada, 375. Véase también Línea pectinada (dentada)

glúteas, 476

anterior, 338, 476

inferior, 338, 476

posterior, 338, 476

iliopectínea, 374

intertrocantérea, 477

de McGregor, BP19

milohioidea, 24

nucal

inferior, 17, 23

superior, 17, 23, 180

oblicua, 24, 90

pectinada (dentada), 375

de Schwalbe, 101

semilunar, 249, 333

temporal

inferior, 13

superior, 13

terminal, [166](#), [353](#)
pelvis, [347–348](#)
porción sacra, [166](#)
translúcida, [101](#)
zigzag, [239](#), [277](#)

Linfocitos, [BP15](#)

Língula, [24](#), [69](#), [126](#), [205](#)

Líquido

cefalorraquídeo
circulación, [120](#)
radiología, [165](#)
saco tecal, [BP35](#)
sinovial, [BP109](#)

Lobulillo(s), [8](#), [372](#)

glandulares, [188](#)
paracentral, [117](#)
parietal superior, [116](#)
prostáticos, [BP93](#)

Lóbulo

inferolateral, [BP97](#)
inferoposterior, [BP97](#)
lateral hiperplásico, [BP98](#)
medio, [BP97](#)
hiperplásico, [BP98](#)
temporal, [50](#), [124](#), [152](#)
radiología, [160](#)
medial, [BP32](#)

Locus ceruleus, [125](#)

Lordosis

cervical, [162](#)
lumbar, [162](#)

Lúnula, [227](#), [460–461](#)

Luz, [308](#)

M

Macrófago, BP6

alveolar, BP50

Mácula, [103](#)

Maduración, BP91

Maléolo

lateral, [471](#), [505](#), [507–512](#), [521–522](#)

medial, BP116, [471](#), [505](#), [507](#), [509](#), [511–513](#), [520–522](#)

Malla trabecular y espacios del ángulo iridocorneal (de Fontana), [101](#)

Mama, [217](#)

drenaje linfático, [191](#)

ligamentos suspensorios, [188](#)

vías hacia/desde mama opuesta, [190](#)

Mandíbula, [11–13](#), [22](#), [24](#), [33](#), [77](#)

agujero (foramen)

mandibular, [24](#)

mentoniano, [11](#), [13](#), [24](#)

anciano, [24](#)

ángulo, [8](#), [12](#), [22](#), [24](#), [76](#), [79](#)

apertura, BP24

apófisis

condilar, [22](#), [24](#)

cabeza, [13](#)

coronoides, BP17, [13–14](#), [22](#), [24](#), [49](#)

base, [24](#)

cabeza, [24](#)

cóndilo, BP17, [12](#), [14](#)

cresta buccinadora, [81](#)

cuello, [24](#), [49](#)

cuerpo, BP22, [11–13](#), [22](#), [24](#), [36](#), [50](#)

- escotadura mandibular, [13](#)
- espinas mentonianas, [24](#)
- fosa
 - retromolar, [24](#)
 - sublingual, [24](#)
 - submandibular, [24](#)
- fosita pterigoidea, [24](#)
- línea
 - milohioidea, [24](#)
 - oblicua, [13](#), [24](#), [81](#)
- porción alveolar, [24](#)
- protuberancia mentoniana, [8](#), [11](#), [24](#)
- rama, BP24, [11–13](#), [22](#), [24](#), [36](#), [68](#)
- surco milohioideo, [24](#)
- tubérculo mentoniano, [11](#), [24](#)

Mano

- arterias, [456](#), [459](#)
- bolsas, [453](#)
- disección(es)
 - palmares superficiales, [449](#)
 - radial superficial, [457](#)
- dorso, [3](#)
- espacios, [453](#)
- fascia dorsal, [453](#)
- huesos, [446](#)
- inervación cutánea, [462](#)
- músculos intrínsecos, [455](#)
- nervio(s), [456](#), [459](#)
 - cutáneos, [406](#)
 - radial, [469](#)
- radiografías, [447](#)
- sección transversal, [105–106](#)

vainas tendinosas, [453](#)

venas superficiales, [406](#)

zonas

extensoras, BP103

flexoras, BP103

Manubrio, [245–246](#), [408](#)

esternón, [32–34](#), [36](#), [77](#), [192](#), [196](#), [204](#)

Martillo, [60](#), [106](#), [109](#)

apófisis

anterior, BP27

lateral, [106](#)

cabeza, [27–28](#), [105–106](#), [135](#)

ligamento

anterior, [106](#)

superior, BP27, [106](#)

manubrio, BP27, [106–107](#)

Masticación, músculos implicados, T2.1, [55–56](#)

Mastocito, BP6

Matriz

amorfa, BP6

ungueal, [460–461](#)

Maxilar, BP17, [11](#), [13](#), [15](#), [17](#), [44–45](#), [49](#)

agujero (foramen) infraorbitario, [11](#), [13](#)

apófisis

alveolar, BP22, [11](#), [13](#), [15](#), [23](#), [44](#), [50](#)

cigomática, [11](#), [17](#)

frontal, [11](#), [13](#), [42](#), [44](#), [94](#)

palatina, BP29, [15](#), [17](#), [23](#), [43–45](#), [50](#), [67](#), [73](#)

cara

infratemporal, [13](#)

nasal, [15](#)

orbitaria, [11](#)

conducto incisivo, [15](#), [44–45](#)
cresta nasal, [45](#)
espina nasal anterior, [11](#), [13](#), [15](#), [42](#), [44–45](#)
fosa incisiva, [17](#)
recién nacido, [21](#), [52](#)
sutura intermaxilar, [17](#)
tuberosidad, [13](#), [23](#)

Meato nasal

inferior, BP22, [43](#), [50](#), [95](#)
medio, BP22, [50](#)
 abertura, [51](#)
 atrio, [43](#)
superior, [43](#), [52](#)
 borde inferior, [52](#)
 rama inferior, [52](#)

Medial, término relación, [1](#)

Mediastino

anterior, área pulmonar, [205](#)
sección transversal, [220](#)
 anterior, [200](#)
superior, BP3
testicular, [369](#), [372](#)
visión lateral
 derecha, [234](#)
 izquierda, [235](#)

Médula

espinal, BP38, [6](#), [62](#), [169](#), [245–246](#)
arterias
 distribución intrínseca, [177](#)
 esquema, [176](#)
asta lateral, [174](#)
cervical, BP35

- conducto central, [120](#), [125](#)
- piamadre, [174](#)
- porción
 - lumbar, [399](#)
 - superior, BP41
 - sacra, BP41, [399](#)
 - torácica, BP41, [143–145](#), [214](#)
- radiología, [160](#)
- ramas surco (central), [177](#)
- ramos anteriores, [169](#)
- secciones, BP43
 - transversales, BP43
 - tractos fibras, BP43
- segmentos, [321](#)
- sustancia
 - blanca, [174](#)
 - gris, [174](#)
- terminación, [170](#)
- torácica, [214](#)
- toracolumbar, [306](#)
- tractos
 - descendentes, [214](#)
 - fibras principales, BP43
- venas, [178](#)
- oblongada, BP35, BP41, [20](#), [49](#), [62](#), [117](#), [125](#), [135](#), [145–146](#), [173](#), [306](#), [321](#)
 - agujero (foramen) magno, [19](#)
 - radiología, [160](#)
- ósea, [7](#)
- Meiosis**, BP91
- Melanocito**, BP1
- Membrana**
 - atlantooccipital

- anterior, BP19, [29](#), [77–78](#)
- posterior, BP19, [29](#)
- basal, BP8, BP93, BP16
- basilar, [109](#)
- costocoracoidea, [416](#)
- de Descemet, [101](#)
- elástica, pared arterial
 - externa, BP16
 - interna, BP16
- fibroelásticas, esófago, [238](#)
- intercostal
 - externa, [186](#), [197](#), [417](#)
 - interna, [186](#), [197](#)
 - íntima, [186](#)
- interósea, BP102, BP110, BP116, BP111, BP108, [429](#), [431](#), [433](#), [441](#), [444](#), [501–503](#), [509](#), [512](#), [514](#), [517](#)
- obturatriz, [338](#), [353](#), [477](#)
- perineal, BP88, BP98, BP90, [256](#), [265](#), [324](#), [339](#), [343](#), [345](#), [349–350](#), [352–353](#), [359–361](#), [363–366](#), [373](#), [377](#), [386–387](#), [393](#), [395](#), [399](#)
 - engrosamiento anterior, [350](#), [365](#)
- postsináptica, BP11
- presináptica, BP11
- de Reissner. Véase Membrana vestibular (de Reissner)
- sinovial, BP114, BP5, BP6, [412](#), [428](#), [460–461](#), [498–499](#), [502](#)
 - borde de corte, BP114
 - fémur, BP114
 - inserción, [499](#)
 - protrusión, [477](#)
- suprapleural (fascia de Sibson), [234](#)
- tectoria, BP19, [30](#), [109](#)
 - porción profunda (accesoria), [30](#)
- timpánica, [27–28](#), [59](#), [105–107](#), [109](#)

tiroides, [35](#), [75](#), [77–78](#), [80–81](#), [87](#), [89–90](#), [92](#)
vestibular (de Reissner), [109](#)
vítrea, BP1

Meninges, [20](#), [111](#), [113](#)

arterias, [147](#)
espinales, T3.1
raíces nerviosas, [174](#)

Menisco, BP114, BP5, [445](#)

caras articulares, BP114
lateral, [498–500](#), [502](#)
medial, T8.1, [498–499](#)

Mesencéfalo, radiología, [160](#)

Mesenterio, [185](#), [271](#), [279](#), [308](#)

raíz, [288](#), [316](#), [344](#), [348](#)

Meseta tibial, [501](#)

Mesoapéndice, BP62, [280](#), [304](#)

Mesocolon

sigmoide, [272](#), [283](#), [294–295](#), [310](#), [316](#), [373](#)
transverso, [270–271](#), [273–274](#), [278](#), [283](#), [297](#)
inserción, [275](#)

Mesocolon transverso, [270](#), [273–274](#), [278](#), [283](#), [297](#)

inserción, [275](#)

Mesometrio, [355](#)

Mesoovario, [353](#), [355](#)

láminas, [357](#)

Mesosálpinx, [346](#), [355](#)

láminas, [357](#)

Metáfisis, ramas nutricias, [460–461](#)

Miembro

inferior, [471–535](#)
anatomía
cutánea, [473–475](#)

- de superficie, [471](#)
- arterias, T8.2
- linfáticos, [7](#)
- venas, BP107
- superior, BP4, [402–470](#)
 - anatomía de superficie, [402](#)
 - arterias, [463](#)
 - dermatomas, [403](#)
 - inervación cutánea, [404](#)
 - linfáticos, [7](#)
 - nervios, [463–464](#)
 - cutáneos, [405](#)
 - vasos y nódulos (ganglios) linfáticos, [407](#)
 - venas, BP99
 - superficiales, [405](#)
- Miofibrilla**, BP8
- Miofilamentos**, BP8
- Miometrio, útero**, [379](#)
- Mitocondria**, [11–12](#)
- Modiolo**, [31](#)
- Monocitos**, BP15, BP6
- Monte pubis**, [358](#)
- Mucosa**
 - esófago, [80](#), [239](#)
 - íleon, [279](#)
 - intestino, [308](#)
 - olfatoria, [130](#)
 - distribución, [46](#)
 - yeyuno, [279](#)
- Mujer, visión anterior**, [2](#)
- Muscular mucosa**, [308](#), [375](#)
 - conducto anal, [375–376](#)

recto, [376](#)

Musculatura anorrectal, [376](#)

Músculo(s), BP8

abdomen, [344](#), [348](#)

abdominales

recto del abdomen, [344](#), [347–349](#), [359](#), [379](#)

transverso del abdomen, BP109, [181](#), [185](#)

tendón de origen, [181–182](#)

abductor

corto, T8.3, T8.1, [480–481](#), [483](#), [491](#), [496](#), [530](#)

pulgar, T7.3, [452](#), [455–456](#), [466](#)

dedo

gordo, BP117, T8.3, BP116, [520](#), [522](#), [524–526](#), [532](#)

cabeza oblicua, [526](#)

cabeza transversa, [526](#)

inserción, [527](#)

nervio, [532](#)

ramo profundo, [532](#)

tendón, BP117, [519](#), [524–525](#)

meñique, T7.3, [452](#), [455](#), [460](#), [467](#)

pequeño, BP117, T8.3, [520](#), [522](#), [524–527](#), [532](#)

nervio, [525](#)

tendón, BP117, [519](#)

largo, T8.3, T8.1, BP109, [400](#), [480–483](#), [490–491](#), [496](#), [530](#)

pulgar, T7.3, [431](#), [434–435](#), [439–441](#), [469](#)

tendón, [434](#), [438](#), [441](#), [457](#), [459–460](#)

mayor, T8.3, T8.1, [395](#), [471](#), [480–481](#), [483](#), [485](#), [490–492](#), [494](#), [496](#), [503](#),
[530–531](#)

aductor mínimo, [483](#), [485](#), [492](#), [494](#)

arteria femoral pasando por el hiato del aductor, BP108, BP110

tendón, [483](#), [491](#), [497](#), [502](#), [508](#)

mínimo, [395](#)

- pulgar, T7.3, BP105, [452–453](#), [455–456](#), [467](#)
- aductores, T8.1
- ancóneo, T7.3, [410](#), [422](#), [434–435](#), [440–441](#), [468–469](#)
- antebrazo
 - anterior, T7.1
 - extensores del carpo y dedos, [431](#)
 - flexores
 - carpo, [432](#)
 - dedos, [433](#)
 - inserciones, [439–440](#)
 - plano
 - intermedio, [437](#)
 - profundo, [435](#), [438](#)
 - superficial, [434](#), [436](#)
 - posterior, T7.1
 - rotadores radio, [430](#)
- aritenoides
 - oblicuo, T2.4, [75](#), [80](#), [91–92](#)
 - acción, [93](#)
 - porción aritenoepiglótica, [91–92](#)
 - transverso, T2.4, [75](#), [77](#), [80](#), [91–92](#)
 - acción, [93](#)
- articular de la rodilla, T8.3, [480](#), [498](#), [502](#), [529](#)
- auricular
 - anterior, BP20, T2.4, [31](#)
 - posterior, T2.4, [31](#)
 - ramos, [134](#)
 - superior, T2.4, [31](#)
- bíceps
 - braquial, T7.3, T7.1, [187](#), [402](#), [409](#), [413–414](#), [416](#), [419](#), [421](#), [423](#), [425](#), [439–440](#), [463](#), [465](#)
 - cabeza larga, [245](#)

tendón, T7.1, 246–247, 412, 415, 417, 421, 423, 428, 436–438

femoral, T8.3, T8.1, 471, 480–481, 484–485, 492–493, 496–497, 501, 506–507, 510

bolsa superior, 494

cabeza corta, 395, 471, 510, 531

cabeza larga, 395, 471, 510, 531

tendón, 494, 497–498, 501–502, 505, 508–512, 533

braquial, T7.3, 409–410, 419, 421, 423, 425, 436, 438–439, 463, 465

braquiorradial, T7.3, 402, 409, 421–423, 425, 434–437, 439–441, 463, 468–469

tendón, 438, 441

brazo, visiones

anteriores, 421

posteriores, 422

buccinador, T2.4, BP22, 20–21, 31, 34, 50, 53, 55–56, 59, 67–68, 78, 81, 83, 134

bulboesponjoso, BP90, T6.3, 324, 349, 352–353, 356, 359–361, 363, 365, 377–378, 386–387, 399

cadera, 484–485

cervicales profundos, 33

cigomático

mayor, T2.4, 20–21, 31, 55, 134

menor, T2.4, 20–21, 31, 55, 134

ciliar, T2.4, 100, 132, 143

fibras

circulares, 101

meridionales, 101

circular, BP54, 375–376

esófago, 239

coccígeo, T6.1, T6.3, 265, 339–343, 384–385, 392–394

nervio, 487, 489

compresor de la uretra, T6.3, 339, 351, 353, 360–361, 386

constrictor, 77, 92

inferior de la faringe, T2.4, 36, 75, 78, 80–81, 88–89, 92, 137, 237–238

- porción cricofaríngea, 80, 237–238
- medio de la faringe T2.4, 36, 70, 72, 75, 78, 80–81, 88, 137
- superior de la faringe, T2.4, 56–57, 67–68, 70, 72, 75, 78, 80–81, 83, 88, 137
 - porción glossofaríngea, 70, 78
- contracción, BP8
- coracobraquial, T7.3, 246–247, 409, 414, 417, 419, 421, 423, 425, 463, 465
 - tendón, 414, 417
- corrugador
 - ceja, T2.4, BP20, 31, 42, 134
 - piel del ano, 375–376
- cremáster, BP59, T6.3, 254, 260, 263, 369
 - origen
 - lateral, BP58, 253
 - medial, BP58, 253, 262
- cricoaritenoideo
 - lateral, T2.4, 91–92
 - acción, 93
 - posterior, T2.4, 75, 80, 91–92
 - acción, 93
- cricofaríngea, 34, 75, 78, 81, 88–89, 92
- cricotiroideo, T2.5, 35, 81, 87, 91–92, 137
 - acción, 93
 - porción
 - oblicua, 91
 - recta, 91
- cuadrado
 - femoral, T8.3, 395, 480–481, 483, 485, 491–494
 - nervio, 487, 489, 493
 - lumbar, T5.3, 182, 185, 201, 265–267, 269, 311–312, 344, 348, 486, 488
 - plantar, T8.3, 116–117, 525–526, 532
- cuádriceps femoral, 480, 529
 - tendón, BP113, 471, 482, 491, 497–498, 502, 510, 512

cuello

escalenos y prevertebrales, 37

infrahioideos y suprahioideos, 35

visión

anterior, 32

lateral, 36

deltoides, T7.3, 32, 36, 161, 180, 183, 187, 221, 245–247, 402, 408–410, 413–414, 416–417, 419, 421–423, 425, 463, 468, 470

depresor

ángulo de la boca, T2.5, 20–21, 31, 55, 134

labio inferior, T2.5, 20–21, 31, 55, 134

tabique nasal, T2.5, BP20, 31, 42, 134

detrusor de la pared de la vejiga urinaria, BP90

digástrico, T2.5, 75

escotadura mastoidea, 17

tendón intermedio, 68, 70

asa fibrosa, 32, 35, 69–70

por transparencia, 41

vientre

anterior, BP22, 34–36, 38, 41, 50, 53, 59, 69, 81

posterior, 32, 35–36, 41, 53, 57, 59, 68–70, 75, 81, 86, 134

dilatador pupila, T2.1, T2.5, 101, 132, 143

dorsal ancho, T7.3, T3.2, 161, 180, 183, 185–187, 194, 248, 252–253, 257, 260–261, 312, 328, 409–410, 413–414, 416–417, 419, 421, 423

digitaciones, origen costal, 257

izquierdo, 246

tendón, 246–247, 423, 425

dorso

plano(s)

intermedios, 181

profundo, 182

superficiales, 180

pie, [521](#)

elevador

- ángulo de la boca, BP20, T2.5, [55](#), [134](#)
- ano, BP90, T6.1, BP109, T6.3, [256](#), [265](#), [283](#), [299](#), [306](#), [324](#), [340–341](#), [345](#), [351–353](#), [359–360](#), [365](#), [375–376](#), [380](#), [384–386](#), [392–393](#), [489](#)
- arco tendinoso, [339–343](#), [347](#), [350](#), [352–353](#), [360](#), [374](#)
- borde medial, [343](#)
- diafragma pélvico, [345](#), [349](#), [364](#), [373–374](#), [378](#)
- extensiones fibromusculares, [343](#)
- fibras
 - musculares, [342–343](#)
 - músculo prerrectal, [343](#)
- iliococcígeo, [341–343](#), [377](#)
- izquierdo, [339](#)
- nervio, [487](#), [489](#)
- placa del elevador, [340](#)
- puboanal (puborrectal), [341](#), [377](#), [400–401](#)
- pubococcígeo, [341–343](#), [377](#)
- rafe medio, [341](#)
- techo de la fosa isquioanal, [363](#)
- tróclea muscular, [265](#)

costillas, T4.3, [182](#)

- corto, [182](#)
- largo, [182](#)

escápula, T7.3, [32–33](#), [36](#), [39](#), [180](#), [183](#), [410](#), [413](#), [417–418](#), [468](#)

labio superior, T2.5, [20–21](#), [31](#), [55](#), [134](#)

- y ala nariz, BP21, T2.5, [31](#), [55](#), [134](#)

párpado superior, BP26, T2.1, T2.5, [94](#), [96–98](#), [132](#)

- inserción, [94](#)

velo paladar, T2.1, T2.5, BP27, [49](#), [56](#), [67](#), [72](#), [75](#), [78](#), [81](#), [137](#)

- fibras interdigitales, [67](#)

epicraneano, vientre

frontal, [20–21](#)
occipital, [T2.9](#)

erector

columna, [T3.2](#), [BP85](#), [161](#), [180](#), [182](#), [186](#), [197](#), [245](#), [261](#), [312](#)
pelo, [1–2](#)
inervación, [172](#)

escaleno, [32](#), [35–37](#), [417](#)
anterior, [BP56](#), [T2.5](#), [33](#), [36–40](#), [46–47](#), [82–84](#), [87](#), [195–196](#), [199](#), [204](#), [210](#),
[215](#), [221](#), [234–236](#), [417–419](#)
inervación, [420](#)
medio, [T2.5](#), [33](#), [36–37](#), [39](#), [46–47](#), [82–84](#), [195](#), [417](#)
posterior, [BP56](#), [T2.6](#), [33](#), [36–37](#), [46–47](#), [195](#), [236](#), [417](#)

esfínter

externo

ano, [T6.3](#), [283](#), [306](#), [339](#), [345](#), [349–350](#), [359–360](#), [363–364](#), [373–374](#), [376–377](#), [380](#), [386](#)
inserción, [341](#)
profundo, [324](#), [349](#), [373](#), [376–378](#)
subcutáneo, [324](#), [349](#), [373](#), [376–378](#)
superficial, [324](#), [349](#), [373](#), [376–378](#)

porción

profunda, [375](#)
subcutánea, [375](#)
superficial, [375](#)

uretra, [BP88](#), [BP98](#), [256](#), [349](#), [351](#), [365–367](#), [399](#)

interno, [375](#)
ano, [374](#), [376](#)
uretra, [351–352](#), [367](#)
anillo del triángulo, [351](#)
asa posterior, [351](#)
Heiss, asa, [351](#)

mujer, [351](#)

pupila, T2.1, T2.6, [101](#), [132](#), [143](#)
uretra, BP90, BP97, T6.3, [339](#), [343](#), [345](#), [350](#), [351–352](#), [359](#), [360](#), [378](#)
uretrovaginal, T6.3, [339](#), [350–351](#), [353](#), [359–361](#)
esófago, [77](#), [208](#)
 circular, [75](#), [78](#), [80](#), [239](#)
 longitudinal, [75](#), [78](#), [80](#), [88](#), [239](#)
 inserción cricoidea, [75](#), [78](#)
espinoso, [181](#)
 cervical, [181](#)
 torácico, [181](#)
esplenio
 cabeza, T3.2, [36](#), [180](#), [184](#)
 cervical, T3.2, [180–181](#), [184](#)
estapedio, T2.6, [107](#)
 nervio, [134](#)
 tendón, BP27, [106](#)
esternal, [194](#)
esternocleidomastoideo, T2.1, BP47, T2.6, [32–33](#), [36](#), [38–39](#), [41](#), [53](#), [68](#), [86](#),
 [138](#), [140](#), [180](#), [184](#), [187](#), [194](#), [204](#), [408](#), [413–414](#), [419](#)
 borde medial, [87](#)
 cabeza
 clavicular, [8](#), [32](#), [36](#), [187](#)
 esternal, [8](#), [32](#), [36](#), [187](#)
esternohioideo, T2.6, [32–33](#), [35–36](#), [38](#), [69](#), [92](#), [139–140](#), [194](#), [196](#), [204](#), [408](#)
estilofaríngeo, T2.6, [68](#), [70](#), [72](#), [75–76](#), [78](#), [80–81](#), [136–137](#)
estilogloso, T2.6, [49](#), [57](#), [68](#), [70](#), [78](#), [81](#), [139](#)
estilohioideo, T2.6, [32](#), [35–36](#), [41](#), [49](#), [53](#), [57](#), [59](#), [68–70](#), [75](#), [81](#), [134](#)
estriado, BP41
extensor
 corto
 dedo gordo, BP117, T8.3, [512](#), [521](#), [533](#)
 tendón, BP117, [511–512](#), [522](#), [527](#)

dedos, T8.3, 510, 512, 520, 527, 533
tendón, 511–512, 522
pulgar, T7.3, 431, 434–435, 440, 469
tendón, 434, 438, 441, 457, 459–460
cubital del carpo, T7.4, 402, 422, 431, 434, 439–441, 468–469
tendón, 434–435, 441, 459–460
dedo meñique, T7.4, 431, 434, 439–441, 469
tendón, 434–435, 441, 459–460
dedos, T7.4, 422, 431, 434, 439–441, 468–469
tendón, 105–106, 402, 434–435, 441, 459–460
índice, T7.4, 431, 435, 440–441, 469
tendón, 105–106, 402, 431, 434, 441, 459–460
largo
dedo gordo, BP116, BP111, T8.3, 506, 510–512, 514, 522, 533
tendón, 116–117, 471, 510–512, 521, 527
vaina tendinosa, 520
dedos, BP116, BP111, T8.4, 484, 498, 506, 510–512, 514, 520, 533
tendón, 116–117, 471, 510–512, 521, 527
vaina tendinosa, 521
pulgar, T7.4, 431, 435, 440–441, 469
tendón, 402, 434, 441, 453, 457, 459–460
radial
corto del carpo, T7.4, 402, 422, 431, 434–435, 439–441, 468–469
tendón, 434–435, 441, 457, 459–460
largo del carpo, T7.4, 402, 409, 422, 425, 431, 434–435, 439–441, 468–469
tendón, 434–435, 441, 457, 459–460
extraocular (extrínseco) del ojo, 96
inervación, 96
faciales (mímica), T2.1, 31, 68, 134
visión anterior, BP20
faringe, visión

lateral, [81](#)

medial, [78](#)

posterior parcialmente abierta, [75](#)

fascículos, BP8

fibras, BP8

flexor

corto del dedo

gordo, T8.4, [524–525](#), [532](#)

cabeza lateral, BP117, [525–527](#)

cabeza medial, BP117, [525–527](#)

nervio, [532](#)

origen medial, [527](#)

tendón de origen lateral, [527](#)

meñique, T7.4, [452](#), [467](#)

corto del dedo pequeño BP117, T8.4, [524–527](#), [532](#)

tendón, BP117

plantar, [519](#)

corto de los dedos, BP117, T8.4, [520](#), [524–525](#)

nervio, [532](#)

tendón, BP117, [524–526](#)

corto del pulgar, T7.4, [452](#), [455–456](#), [466–467](#)

cubital del carpo, T7.4, [402](#), [422](#), [432](#), [434–437](#), [439–441](#), [463](#), [467](#)

tendón, BP102, [402](#), [438](#), [441](#), [444](#), [450](#), [452](#), [455](#)

largo del dedo gordo, BP116, BP111, T8.4, [506](#), [509](#), [513–514](#), [532](#)

tendón, [116–117](#), [507–509](#), [524–527](#)

plantar, [519](#)

surco, [517](#)

vaina tendinosa, [520](#)

largo de los dedos, BP111, T8.4, [506](#), [509](#), [513–514](#), [532](#)

tendón, [116–117](#), [507–509](#), [524–526](#)

plantar, [519](#)

vaina tendinosa, [520](#)

largo del pulgar, T7.4, [409](#), [433](#), [437–439](#), [441](#), [450](#), [453](#), [463](#), [466](#)
 tendón, [105–106](#), [438](#), [444](#), [452–453](#)
 profundo de los dedos, T7.4, [433](#), [438–441](#), [463](#), [466–467](#)
 tendón, [105–106](#), [433](#), [441](#), [444](#), [448](#), [450–454](#), [460–461](#)
 radial del carpo, T7.4, [421](#), [423](#), [432](#), [436](#), [438–439](#), [441](#), [463](#), [466](#)
 tendón, [402](#), [437–438](#), [441](#), [444](#), [450](#), [452–453](#), [463](#)
 superficial, [436](#), [514](#)
 dedos, T7.4, [409](#), [433](#), [436–439](#), [441](#), [463](#), [466](#)
 tendón, [105–106](#), [402](#), [433](#), [436](#), [441](#), [444](#), [448](#), [450–454](#), [460–461](#), [463](#)
 gastrocnemio, BP111, T8.4, [471](#), [481](#), [484–485](#), [492](#), [497–498](#), [506–514](#), [531–532](#)
 bolsa subtendinosa
 lateral, [501](#)
 medial, [501](#)
 cabeza
 lateral, [471](#), [501–502](#)
 medial, [471](#), [501–502](#)
 tendón, BP116
 gemelo
 inferior, T8.4, [395](#), [400–401](#), [480–481](#), [485](#), [492–494](#)
 nervio, [487](#), [489](#)
 superior, T8.4, T8.4, BP109, [395](#), [480–481](#), [485](#), [492–494](#)
 nervio, [487](#), [489](#), [492](#)
 tendón, gemelo superior, BP109
 genihioideo, BP22, T2.6, [33](#), [50](#), [69–70](#), [77–78](#), [139–140](#)
 geniogloso, T2.1, T2.6, BP22, [45](#), [50](#), [68](#), [70](#), [77](#), [139](#)
 glúteo
 mayor, BP86, T8.4, BP109, [161](#), [180](#), [183](#), [257](#), [312](#), [343](#), [360](#), [363–364](#), [377](#),
 [392–393](#), [395](#), [400–401](#), [471](#), [481](#), [484–485](#), [492–494](#), [496](#), [534](#)
 bolsa
 isquiática, [494](#)
 trocantérea, [494](#)

tendón, BP109

medio, T8.1, T8.4, BP109, [161](#), [395](#), [400–401](#), [471](#), [481–482](#), [486](#), [490–494](#)

aponeurosis glútea, [484–485](#)

bolsa trocantérea, [494](#)

menor, BP86, T8.1, T8.4, BP109, [480–481](#), [485–486](#), [490–494](#)

tendón, [400](#)

grácil, T8.1, T8.4, [395](#), [480](#), [482–483](#), [485](#), [490–492](#), [496–498](#), [501](#), [507](#), [530](#)

tendón, [471](#), [482–483](#)

hiogloso, T2.6, [34–36](#), [41](#), [68–70](#), [72](#), [78](#), [81](#), [139](#)

hipotenares, BP105, [447](#), [449–450](#), [453](#), [467](#)

ilíaco, T8.5, T5.3, T6.3, [262](#), [265](#), [311](#), [347](#), [374](#), [400](#), [480](#), [482](#), [486](#), [488–489](#), [495](#), [529](#)

nervio, [487](#)

ramos musculares, [488](#)

iliococcígeo, T6.3, [339–343](#), [353](#), [377](#)

iliocostal, [181](#)

cervical, [181](#)

lumbar, [181](#)

torácico, [181](#)

iliopsoas, BP109, [256](#), [400–401](#), [480–481](#), [483](#), [490–491](#), [496](#). *Véase también*
Músculo ilíaco

tendón, [495](#)

infraespinoso, T7.4, [161](#), [186](#), [197](#), [245–247](#), [410](#), [413](#), [415–418](#), [422](#), [468](#)

tendón, [412](#), [415](#), [417](#), [422](#)

infrahioideo, fascia, [32–33](#)

intercostales, BP56, [188](#), [204](#), [221](#), [245–247](#), [258](#)

externos, T4.3, [182](#), [186](#), [194–195](#), [197](#), [253](#), [258](#), [261](#), [417](#)

membrana intercostal interna, [197](#), [234–235](#)

internos, T4.3, BP47, [186](#), [194–197](#), [258](#), [261](#), [417](#)

íntimos, T4.3, [196–197](#), [234–235](#), [258](#), [261](#)

interespinoso, T3.2

cervical, [182](#)

- lumbar, [182](#)
- interóseo, BP105, BP117, [454](#), [519](#), [527](#)
 - dorsal, T7.5, T8.5, BP106, [453](#), [455](#), [460](#), [522](#), [527–528](#)
 - primero, BP105, [435](#), [450](#), [455](#), [457](#), [467](#)
 - palmar, T7.5, [453](#), [455](#), [467](#)
 - plantar, T8.5, [526](#)
- intertransverso, T3.2
 - lateral lumbar, [182](#)
- intrínseco
 - laringe, [91](#)
 - acción, [93](#)
 - lengua, [71](#)
- intrínsecos (proprios) dorso, T3.1
- isquiocavernoso, T6.4, [345](#), [352–353](#), [359–361](#), [363–365](#), [373](#), [377](#), [386–387](#)
- isquiotibial, T8.1
- largo
 - cabeza, T2.6, [36–37](#), [49](#), [68](#)
 - cuello, T2.7, [33](#), [37](#), [236](#)
 - inervación, [420](#)
- lingual longitudinal
 - inferior, T2.7, [70](#)
 - superior, T2.7
- liso vascular, inervación, [172](#)
- longísimo, [181](#)
 - cabeza, [181](#), [184](#)
 - cervical, [181](#)
 - torácico, [181](#)
- longitudinal, BP54, [375](#)
 - conducto anal, [343](#), [376](#)
 - conjunto, [374–376](#)
 - esófago, [239](#)
 - faringe, [75](#), [78](#), [80](#)

- masa lateral, [238](#)
- lumbricales, T8.5, T7.5, [105–106](#), [450–455](#), [466–467](#), [524–525](#), [527](#)
 - tendón, [451](#), [519](#), [526](#)
 - distal, [451](#)
- manguito de los rotadores, T7.1, [415](#)
- masetero, T2.7, [32](#), [36](#), [49](#), [53](#), [55](#), [60](#), [68](#)
 - inserción, [55](#)
 - porción
 - profunda, [55](#)
 - superficial, [55](#)
- masticadores, T2.1, [55–56](#)
- mentoniano, BP20, T2.7, [31](#), [55](#), [134](#)
- milohioideo, BP22, T2.7, [32](#), [34–36](#), [38](#), [41](#), [50](#), [53](#), [59](#), [68–70](#), [77–78](#), [81](#)
 - nervio, [56](#), [59](#), [68–69](#), [82](#), [133](#)
- de Müller. Véase Músculo tarsal superior (de Müller)
- multífido, T3.3, [185](#)
 - lumbar, [182](#)
 - torácico, [182](#)
- nasal, BP21, T2.7, [31](#), [134](#)
 - porción
 - alar, BP20, [31](#), [42](#)
 - transversa, BP20, [31](#), [42](#)
- oblicuo
 - externo del abdomen, BP47, BP58, BP109, T5.3, [85–86](#), [180–181](#), [183](#), [185](#), [187–188](#), [194](#), [197](#), [249](#), [252–258](#), [260–263](#), [265](#), [312](#), [330](#), [333](#), [359](#), [362–363](#), [413–414](#), [344](#), [348](#), [484](#)
 - aponeurosis, BP58, [253–255](#), [260](#), [262](#), [264](#), [312](#)
 - porción
 - aponeurótica, [252](#)
 - muscular, [252](#)
 - inferior, T2.7, [96](#), [98](#), [132](#)
 - cabeza, T3.3, [181–182](#), [184](#)

- tendón, 98
- interno del abdomen, BP47, BP86, BP109, T5.3, 180–181, 185, 194, 253–258, 260, 262–263, 265, 344, 348
 - aponeurosis, 254–255, 260
 - tendón de origen, 185
 - triángulo lumbar (de Petit), 180
- superior, BP26, T2.7, 96–98, 132
 - cabeza, T3.3, 181–182, 184
- obturador
 - externo, T8.5, 401, 480–481, 483, 491, 530
 - interno, T8.5, BP109, T6.4, 256, 265, 339–343, 350, 352–353, 365, 374, 380, 384, 393, 395, 400–401, 480–481, 485, 489, 492–494, 534
 - bolsa isquiática, 494
 - nervio, 487, 489, 492–493
 - tendón, BP109, 341, 343
- occipitofrontal, vientre
 - frontal, T2.9, 31, 42, 98, 134
 - occipital, 31, 134, 184
- ojo, T2.1
- omohioideo, T2.7, 33, 35, 38, 69, 194, 204, 409, 413, 416, 419
 - transparencia, 41
- vientre
 - inferior, 8, 35–36, 39, 139–140
 - superior, 32, 35–36, 38, 139–140
- oponente
 - dedo meñique, T7.5, 452, 455, 467
 - pulgar, T7.5, 452, 455–456, 466
- orbicular
 - boca, T2.7, 20–21, 31, 42, 55, 68, 134
 - ojo, T2.7, BP21, 31, 134
 - porción
 - orbitaria, 20–21, 31

- palpebral, 20–21, 31, 94
- órbita, BP22
- palatofaríngeo, T2.8, 67, 70–72, 75, 78, 80, 137
- palatogloso, T2.8, 67, 70–72, 137
- palmar
 - corto, T7.5, 449, 467
 - largo, T7.5, 432, 436, 438–439, 441, 466
 - tendón, 402, 436–437, 441, 444, 449–450, 452
- papilar, 220, 248
 - inferior, 224–225, 227
 - anterior, 229
 - derecho, 228
 - izquierdo, 228
 - septal, 224, 227–228
 - superoposterior, 224–225, 227
 - anterior, 229
 - derecho, 228
 - izquierdo, 228
- paraespinal, BP38
- pectinados, 224
- pectíneo, T8.5, BP109, 400–401, 480–483, 490–491, 495–496, 529
- pectoral
 - mayor, T4.3, T7.5, 32, 36, 38, 187–188, 191, 194–195, 197, 204, 220–221, 244–249, 252–254, 402, 408–409, 414, 416, 419, 421, 423, 425
 - cabeza
 - clavicular, 187, 413
 - esternal, 187
 - esternocostal, 413
 - fascias pectorales, 188
 - porción abdominal, 413
 - tendón, 423, 425
 - menor, T4.3, T7.5, 194–195, 204, 221, 245–247, 409, 414, 416, 419, 423

tendón, [414](#), [417](#), [419](#), [421](#)

periné

profundo, [373](#)

fascia, [340](#)

transverso

profundo, [339](#), [345](#), [349](#), [360–361](#), [365–366](#), [378](#), [385–386](#)

superficial, T6.4, [339](#), [359–361](#), [363–365](#), [373](#), [377–378](#), [386–387](#)

superior, [387](#)

peroneo

corto, BP111, BP116, T8.5, [506](#), [510–512](#), [514](#), [520](#), [522](#), [533](#)

tendón, BP116, [507–510](#), [512](#), [522](#), [526–527](#)

vaina tendinosa común, [520](#)

largo, BP111, T8.5, [471](#), [484](#), [497–498](#), [506](#), [508](#), [510–512](#), [514](#), [520](#), [533](#)

tendón, [507–510](#), [512](#), [522](#), [526–527](#)

pasando por la región plantar del pie, [510](#)

vaina tendinosa común, [520](#)

petrofaríngeo, [75](#)

piramidal, T5.3, [254](#), [262](#)

piriforme, T8.1, T8.5, T6.4, [265](#), [339–342](#), [384](#), [392–395](#), [480](#), [485](#), [489](#), [492–494](#)

bolsa, [494](#)

izquierdo, [385](#)

nervio, [487](#), [489](#)

tendón, [494](#)

planta del pie

segundo plano, [525–526](#)

plantar, T8.5, [481](#), [484–485](#), [492](#), [497](#), [501–502](#), [506–509](#), [513](#), [531–532](#)

tendón, BP116, BP111, [485](#), [507–508](#), [513–514](#)

platisma, T2.8, [20–21](#), [31–33](#), [38](#), [134](#)

poplíteo, T8.5, BP111, [481](#), [485](#), [501–502](#), [506](#), [508–509](#), [513–514](#), [532](#)

nervio, [532](#)

tendón, [499–500](#)

origen, 498

prócer, T2.8, 20–21, 31, 42, 134

pronador

- cuadrado, T7.5, 430, 438–439, 441, 453, 455, 466
- redondo, T7.5, 409, 421, 423, 430, 435–441, 463, 466

psoas, BP38, 400, 486, 495

- mayor, T5.3, 85–86, 185, 201, 262, 265–267, 269, 278, 311–312, 344, 347–348, 382, 482, 486, 488–489, 529
- nervios, 487
- menor, T5.3, 265, 344, 348, 486
- nervios, 487
- tendón, 265
- ramos musculares, 488
- tendón, 400

ptorigoideo

- lateral, T2.8, 24–25, 49, 55–59
- cabeza

 - inferior, BP24, 34, 60
 - superior, BP24, 60

- nervio, 82, 133
- medial, T2.8, 49, 56–57, 59–60, 67–68, 75, 82
- nervios, 133

puboanal (puborrectal), T6.3, 324, 341–343, 373, 377

- izquierdo, 339

pubococcígeo, T6.3, 339–341, 343, 353, 377

puborrectal, 341–343, 373. Véase también Músculo puboanal (puborrectal)

- izquierdo, 339

rectal, 377

recto

- abdomen, BP47, BP109, T5.3, 187, 194–195, 197, 249, 253–256, 258, 261–262, 324, 333, 344, 347–349, 359, 379
- anterior de la cabeza, T2.8, 37, 49, 86

femoral, T8.6, BP109, 400–401, 471, 480–482, 484, 490–491, 496, 529. Véase también Músculo cuádriceps femoral

tendón, 471, 482–483, 498, 511

inferior, T2.8, 25–26, 96, 98, 132

ramos, 97

lateral, T2.8, 25–26, 50, 96–98

cabeza, T2.8, 37

expansión, BP26

tendón, 100

medial, BP26, T2.8, 50, 96–98, 132

expansión, BP26

ramos, 97

tendón, 100

posterior

mayor de la cabeza, T3.3, 181–182, 184

menor de la cabeza, T3.3, 181–182, 184

superior, BP26, T2.8, 96–98, 132

tendón, 104

rectococcígeo, 265

rectouretral superior, 343

redondo

mayor, T7.5, BP100, 161, 180, 183, 186, 246–247, 409–410, 413–414, 416–419, 421–423, 425, 468

tendón, 422

menor, T7.6, 180, 183, 197, 245–246, 410, 413–418, 422, 468

tendón, 412, 415, 422

relajación, BP8

risorio, T2.9, 20–21, 31

romboides, 246

mayor, T3.3, T7.6, 180, 183, 186, 197, 245, 247, 257, 410, 413, 468

menor, T3.3, T7.6, 180, 183, 410, 413, 468

rotadores, T3.3

- cuello, [182](#)
 - corto, [182](#)
 - largo, [182](#)
- torácicos, [182](#)
 - corto, [182](#)
 - largo, [182](#)
- salpingofaríngeo, T2.9, [72](#), [75](#), [78](#), [137](#)
- sartorio, T8.6, BP109, [400–401](#), [471](#), [480–482](#), [484–485](#), [490–491](#), [496–497](#), [501](#), [507](#), [529](#)
 - inserción, [511](#)
 - tendón, [482–483](#), [497–498](#)
 - inserción, BP111, [512](#)
- semiespinoso, T3.3
 - cabeza, [180–182](#), [184](#)
 - cuello, [182](#), [184](#)
 - torácico, [182](#)
- semimembranoso, T8.1, T8.6, [395](#), [481](#), [484–485](#), [492](#), [496–497](#), [501](#), [506–507](#), [531](#)
 - bolsa, [501](#)
 - tendón, [497](#), [499](#), [501–502](#), [508–509](#)
 - surco, [504](#)
- semitendinoso, T8.1, [85–86](#), [395](#), [471](#), [480–481](#), [485](#), [492–494](#), [496–498](#), [501](#), [507](#), [531](#)
 - tendón, [482–483](#), [497](#)
- serrato
 - anterior, T4.3, T7.6, BP46, [180](#), [186–188](#), [197](#), [221](#), [245–249](#), [252–253](#), [257](#), [260–261](#), [333](#), [402](#), [409](#), [413–414](#), [417](#), [419](#)
 - digitaciones, [194–195](#)
 - posterior, T4.3
 - inferior, T3.3, T4.3, [180–181](#), [185](#), [257](#), [312](#)
 - superior, T3.3, T4.3, [180–181](#)
- sóleo, BP116, BP111, [85–86](#), [497](#), [506–514](#), [520](#), [522](#), [531–532](#)
 - arco, [485](#)

tendinoso, [508–509](#)

nervio, [507–508](#)

tendón, BP116

calcáneo, [508](#)

subclavio, T7.6, T2.9, BP46, [188](#), [195](#), [221](#), [234–235](#), [408](#), [414](#), [416](#), [419](#)

fascia revestimiento, [416](#)

surco, [408](#)

subcostales, T4.3, [261](#)

subescapular, BP56, T7.6, [186](#), [197](#), [245–247](#), [409](#), [412](#), [414–417](#), [421](#), [423](#)

tendón, [412](#), [415](#), [417](#)

supinador, T7.6, [409](#), [430](#), [435](#), [437–441](#), [463](#), [469](#)

supraespinoso, BP56, T7.6, [180](#), [183](#), [409–410](#), [412–418](#), [422](#), [468](#), [470](#)

tendón, T7.1, [412](#), [415](#), [417](#), [422](#), [470](#)

tabla, [32–33](#)

tarsal superior (de Müller), T2.1, [94](#)

temporal, T2.9, [34](#), [50](#), [55](#), [59–60](#), [111](#), [113](#)

tendón, [53](#)

tenares, [447](#), [449–450](#), [466](#)

tensor

fascia lata, BP109, [85–86](#), [400–401](#), [471](#), [481–482](#), [484](#), [490–493](#), [496](#)

tímpano, T2.9, BP27, [59](#), [106–107](#)

nervio, [133](#)

tendón, [107](#)

velo del paladar, T2.9, [56](#), [59](#), [67](#), [72](#), [78](#), [81](#), [106](#)

nervios, [60](#), [133](#)

tendón, [67](#), [72](#), [78](#)

tercer peroneo, BP111, T8.6, [506](#), [514](#)

tendón, [510–511](#), [520](#), [522](#), [527](#)

tibial

anterior, BP116, BP111, [85–86](#), [471](#), [484](#), [497–498](#), [506](#), [510–512](#), [514](#), [522](#), [533](#)

tendón, BP116, BP111, BP117, [511–512](#), [522](#), [527](#)

vaina tendinosa, 521
 posterior, BP111, 85–86, 506, 509, 513–514, 532
 tendón, BP116, 507–509, 513, 518, 525–527
 tiroaritenoides, T2.9, 91–92
 acción, 93
 porción tiroepiglótica, 91–92
 tirofaríngeo, 80
 tirohioideo, T2.9, 32, 35–36, 38, 69, 92, 139–140
 nervio, 82, 140
 rama, 41
 transverso
 abdomen, BP47, BP85, T5.3, 181, 195–196, 254, 256, 258–259, 261–262, 265, 269, 283, 311–312, 344, 348, 486, 488
 aponeurosis, 255, 258
 tendón de origen, 181, 185
 tórax, T4.3, 186, 195–197, 220
 transversoespinoso, 245
 trapecio, T3.3, T2.1, BP56, T3.1, T7.6, 8, 32–36, 38, 138, 194–195, 197, 245–248, 257, 402, 408–410, 413–414, 416, 419
 espina, 161, 180, 183–184, 186
 traqueal, 208
 tríceps braquial, T7.6, 161, 187, 402, 409–410, 413–414, 418–419, 422–423, 425, 427, 440, 468
 cabeza
 larga, 161, 245–247, 402, 410, 413
 lateral, 161, 246–247, 402, 413
 tendón, 161, 402, 425, 428, 434–435, 468
 úvula, T2.1, 67
 vasto
 intermedio, 85–86, 480–483, 498, 529. *Véase también* Músculo cuádriceps femoral
 tendón, 491
 lateral, 85–86, 401, 471, 480–484, 490–491, 496–498, 510–511, 529. *Véase*

también Músculo cuádriceps femoral
profundo tracto iliotibial, [492](#)
medial, [85–86](#), [471](#), [480–483](#), [490–491](#), [496–498](#), [511](#), [529](#). *Véase también*
Músculo cuádriceps femoral
nervio, [490](#)
vocal, T2.9, [91–92](#)
acción, [93](#)

Muslo

arterias, BP108, [490](#), [492](#)
fascia lata, [353](#), [359](#), [362–363](#)
medial, [2](#)
músculo, [482](#), [484–485](#)
inserciones óseas, [480–481](#)
nervios, [490](#), [492](#)
secciones transversales seriadas, [496](#)
vena profunda, BP107

N

Narina, [8](#)

anterior, [8](#)

Nariz, [42](#)

ala, [8](#)

inervación, [173](#)

sección transversal, [49](#)

Nación, BP17, [11](#)

Nasofaringe, BP44, BP28, [77](#), [79](#), [105](#), [115](#)

vía aérea, [43](#)

NC I. *Véase* Nervio olfatorio (NC I)

NC II. *Véase* Nervio óptico (NC II)

NC III. *Véase* Nervio oculomotor (NC III)

NC IV. *Véase* Nervio troclear (NC IV)

NC V. *Véase* Nervio trigémino (NC V)

NC VI. Véase Nervio abducens (NC VI)

NC VII. Véase Nervio facial (NC VII)

NC VIII. Véase Nervio vestibulococlear (NC VIII)

NC IX. Véase Nervio glosofaríngeo (NC IX)

NC X. Véase Nervio vago (NC X)

NC XI. Véase Nervio accesorio (NC XI)

NC XII. Véase Nervio hipogloso (NC XII)

Nefrona, BP77

Nervio(s)

abducens (NC VI), BP26, T2.2, [60](#), [64](#), [96–98](#), [115](#), [124](#), [128](#)

distribución, [129](#)

esquema, [132](#)

fisura orbitaria superior, [20](#)

radiología, BP32

accesorio (NC XI), T2.2, [39–41](#), [49](#), [64](#), [76](#), [82](#), [85–86](#), [115](#), [124](#), [127–128](#), [138](#),
[140](#), [183](#), [417](#)

agujero (foramen) yugular, [20](#)

distribución, [129](#)

esquema, [138](#)

fosa yugular, [19](#)

raíz(es)

craneal, [138](#)

espinales, [20](#), [138](#)

agujero (foramen) magno, [19](#)

alveolar

inferior, [25](#), [56–57](#), [59–60](#), [66](#), [69](#), [82](#), [133](#), [142](#), [145](#)

superior

infraorbitario, [60](#)

medio, [66](#)

posterior, [60](#)

ramos

dentarios, [63](#)

- gingivales, 63
- anales inferiores, 306, 361, 392–393, 395–396, 487, 493
- anococcígeos, 393, 395, 487, 489
- articular recurrente, 533
- auricular
 - mayor, 9, 38–40, 140, 183, 184
 - posterior, BP21, 54, 59, 134
 - ramo occipital, 134
- auriculotemporal, 9, 25, 53, 56–57, 59–60, 82–83, 133, 136, 145
 - raíces, 60
- autónomos. *Véase también* Nervio motor (autónomo)
 - cabeza, 142
 - cuello, 141
 - tórax, 213
- axilar, T7.1, 404, 414, 417, 419–420, 422, 464–466, 468–469
 - nervio cutáneo braquial superior lateral, 183, 404
 - ramos, 414
- base cráneo, 64
- bucal, 9, 57, 59–60, 66, 68, 82, 133
- cabeza, 82
 - regiones, 82
- cadera, 493
- calcáneo
 - lateral, 525–526
 - medial, 525–526
- cardíaco
 - cervical, BP39, 213, 232
 - inferior, 141, 231
 - medio, 141, 230–231
 - superior, 76, 83, 141, 230–231
 - simpático, 142
 - torácicos, 199

carotídeo
 externo, BP39, 172
 interno, BP41, BP39, 62, 64, 141–142, 144, 172, 232
carotidotimpánico, 134
cavernosos, BP40, T6.2
 pene, 392, 398
cavidad nasal, 46, 48
cervical transverso. *Véase* Nervio transverso del cuello
ciático, BP109, 169, 395, 401, 485, 487, 489, 492–494, 496, 531
 derecho, 400
 división tibial, 531
 izquierdo, 400
 ramos musculares, 492
cigomático, 61, 63, 98, 132–133
 ramo
 cigomaticofacial, 82
 cigomaticotemporal, 82
cigomaticofacial, 9, 61, 63, 98
cigomaticotemporal, 9, 61, 63, 98
ciliares
 corto, 61, 97–98, 132–133, 142–143
 largo, 61, 97–98, 132–133, 142–143
clúneo(s)
 inferior, 183, 393, 395, 474, 492–493, 531
 medial, 474, 492
 medio, 183
 superior(es), 183, 257, 474, 492
coccígeo, 169–170, 489
coclear, BP28, 105, 108–110, 135
craneales
 distribución motora y sensitiva, 129
 núcleos del tronco del encéfalo, 127–128

cuadrado plantar, 532

cubital, T7.2, 404, 419–420, 422–423, 425, 434–438, 441, 444, 450, 452, 455–456, 459, 462–467

ramo(s)

- articular, 467
- comunicantes, 458
- digital palmar, 404, 462–463
 - común, 463
- dorsal, 404, 406, 434, 437–438, 441, 458–459, 463, 467
- palmar, 404, 406, 437, 449, 462, 467
- profundo, 437–438, 449–450, 455–456, 463, 467
- superficial, 437, 449–450, 456, 463, 467

surco, 410, 426

cuello, 39–40

- regiones, 39–40, 82

cutáneo(s), BP1

antebraquial

- lateral, 404–406, 421, 425, 436, 438, 441, 459, 462–465
- medial, 404–405, 419–420, 423, 425, 441, 459, 462–466
- posterior, 404–406, 422, 425, 441, 458–459, 462, 464, 468–469

braquial

- inferior lateral, 405, 422, 468–469
- medial, 259, 405, 419–420, 423, 425, 463–466
- posterior, 405, 422, 464, 468–469
- superior lateral, 183, 405, 414, 417, 422, 468–469

cabeza, 9

cuello, 9, 38

dorsal

- intermedio, BP115, 533
- lateral, BP115, 473–474, 521, 531–533
- medial, BP115, 533

femoral

- anterior, 529
- lateral, 260, 264, 269, 311, 391, 473–475, 486–488, 490–491, 496, 529–530
- posterior, 169, 183, 393, 395, 474, 487, 489, 492–493, 496, 531
 - ramo perineal, 395
- perforantes, 393, 395, 474, 487, 489, 493
- sural
 - lateral, 473–474, 492, 507–508, 514, 531–533
 - medial, BP111, 474, 492, 507–508, 514, 531–532
- digital(es)
 - dorsal, 406, 458, 460–461, 473, 511
 - lateral, 473
 - pie, 533
 - palmar, 406, 449–450
 - común, 456, 466–467
 - propio, 450, 456, 458–460, 466–467
 - plantares
 - común, 525, 532
 - propio, 532
 - ramos plantares propios, 512
- dorsal(es)
 - clítoris, 395
 - escápula, 419, 420, 468
 - pene, 363, 365, 387, 391–393, 395, 398
- dorso, 183
- escrotales posteriores, 392–393, 493
- esófago, 243
- espinal(es), 174, 177, 186, 232
 - C8, 169
 - L5, ramo posterior, 167
 - origen, 175
 - sección transversal, 175
 - raíz anterior, 174, 303

- ramo
 - anterior, [174](#), [261](#)
 - meníngeo, [177](#)
 - posterior, [174](#), [177](#)
 - lateral, [177](#)
 - medial, [177](#)
- T1, [169](#)
- espinales cervicales, [33](#)
 - C1, [82](#), [138](#), [169–170](#)
 - filetes radiculares
 - anteriores, [82](#), [124](#)
 - posteriores, [124](#)
 - relación vértebras, [182](#)
 - C2, [82](#), [138](#), [170](#)
 - dermatoma, [171](#)
 - ramo anterior, [39](#)
 - relación vértebras, [182](#)
 - C3, [138](#), [170](#)
 - dermatoma, [171](#)
 - ramo anterior, [39](#)
 - C4, [82](#), [138](#), [170](#)
 - dermatoma, [171](#)
 - relación vértebras, [184](#)
 - C5, [170](#)
 - dermatoma, [171](#)
 - ramo anterior, [39](#)
 - relación vértebras, [184](#)
 - C6, [170](#)
 - dermatoma, [171](#)
 - relación vértebras, [184](#)
 - C7, [170](#)
 - C8, [169–170](#)

- intumescencia, [170](#)
- ramos posteriores, [9](#)
- surco, [27–28](#)
- espinales lumbares, [185](#)
 - intumescencia, [170](#)
 - L1, [164–165](#), [169](#)
 - dermatoma, [171](#)
 - ramo anterior, [392](#)
 - relación vértebras, [170](#)
 - visión
 - anterior, [162](#)
 - lateral izquierda, [162](#)
 - posterior, [162](#)
 - L2, [164](#)
 - dermatoma, [171](#)
 - ganglio, [394](#)
 - ramo anterior, [167](#), [399](#)
 - relación vértebras, [170](#)
 - visión superior, [164](#)
 - L3, [164](#)
 - dermatoma, [171](#)
 - ramo anterior, [397](#)
 - relación vértebras, [170](#)
 - visión
 - posterior, [164](#)
 - superior, [164](#)
 - L4, [164](#), [167](#)
 - dermatoma, [171](#)
 - relación vértebras, [170](#)
 - visión posterior, [164](#)
 - L5, [164](#), [169](#), [394](#)
 - cuerpo vertebral, [167](#)

- dermatoma, [171](#)
- ramo anterior, [392](#)
- relación vértebras, [170](#)
- visión
 - anterior, [162](#)
 - lateral izquierda, [162](#)
 - posterior, [162](#)
- espinales sacros
 - S1, [169](#)
 - cuerpo vertebral, [379](#)
 - dermatoma, [171](#)
 - ramo anterior, [392](#), [396](#)
 - S2, dermatoma, [171](#)
 - S3, dermatoma, [171](#)
 - S4, dermatoma, [171](#)
 - S5, [169](#)
 - dermatoma, [171](#)
- espinales torácicos
 - T1, [143–145](#), [169](#)
 - dermatoma, [171](#)
 - relación vértebras, [170](#)
 - T10
 - dermatoma, [171](#)
 - ramo anterior, [392](#)
 - relación vértebras, [170](#)
 - T11
 - dermatoma, [171](#)
 - ramo anterior, [396](#)
 - T12, [169](#)
 - dermatoma, [171](#)
 - filetes radiculares posteriores, [169](#)
 - relación vértebras, [170](#)

T2, [144–145](#)
dermatoma, [171](#)
relación vértebras, [170](#)

T3
dermatoma, [171](#)
relación vértebras, [170](#)

T4
dermatoma, [171](#)
relación vértebras, [170](#)

T5
dermatoma, [171](#)
relación vértebras, [170](#)

T6
dermatoma, [171](#)
relación vértebras, [170](#)

T7
dermatoma, [171](#)
filetes radiculares posteriores, [169](#)
ramo anterior, [396](#)
relación vértebras, [170](#)

T8
dermatoma, [171](#)
filetes radiculares posteriores, [169](#)
relación vértebras, [170](#)

T9
dermatoma, [171](#)
relación vértebras, [170](#)
típico, [186](#)

esplácnico(s), [305](#), [396](#)
lumbares, BP39, [172](#), [306](#), [320](#), [322](#), [391–392](#), [394](#), [396–397](#), [399](#)
primero, [321–322](#)
quinto, [392](#)

- superior, 398
- pélvicos, BP41, 173, 305–306, 321, 392, 394, 396–399, 487, 489
 - S2–4, BP40
- sacros, BP39, 172, 306, 320, 392, 394, 399, 489
- simpático, T5.2
- torácicos, 232, 392
 - imo, 172, 213, 391, 396, 398
 - mayor, BP39, 172, 201, 213, 234–235, 261, 269, 300–301, 303–304, 309–310, 320, 322, 391, 396–398
 - derecho, 200, 243
 - izquierdo, 200, 220, 243, 305
 - menor, BP39, 172, 201, 213, 261, 269, 391, 300–301, 303–304, 320–322, 396–398
- etmoidal
 - anterior, 20, 61, 97–98, 132–133
 - ramo nasal
 - externo, 9, 46, 48, 61
 - interno lateral, 46
 - interno medial, 46, 98
 - posterior, 20, 61, 97–98, 132–133
- facial (NC VII), T2.2, BP40, 20, 27–28, 41, 49, 57, 59–60, 62, 64, 66, 68, 76, 82, 105, 107, 110, 115, 124, 128, 133–134, 142, 145–146
- agujero (foramen) estilomastoideo, 19
- comunicación, 136
- distribución, 129
- esquema, 134
- ganglio geniculado, BP27, 127, 142
- núcleo motor, 134
- propiamente dicho, 54
- radiología, BP32
- raíz motora, 135
- ramos, 53–54, 173
 - bucal, BP21, 54

- cervical, BP21, [54](#)
- cigomático, BP21, [54](#)
- digástrico, [54](#)
- estilohioideo, [54](#)
- marginal mandíbula, BP21, [38](#), [54](#)
- nasal lateral, [47](#)
- temporal, BP21, [54](#)
- rodilla interna, [128](#)
- faríngeo, [144](#)
- femoral, BP86, BP109, [169](#), [256](#), [262](#), [264](#), [269](#), [389](#), [391](#), [400–401](#), [475](#), [486–488](#), [490–491](#), [529–530](#)
- ramo(s), [496](#)
 - cutáneos
 - anteriores, [473](#)
 - femorales anteriores, [391](#)
 - terminal. Véase Nervio safeno
- frénico, T4.1, [33](#), [37–40](#), [82–83](#), [87](#), [141](#), [195–196](#), [199](#), [204](#), [210](#), [215–216](#), [220](#), [230](#), [234–236](#), [299](#), [417](#), [419–420](#)
- derecho, [199–200](#), [219](#), [246](#), [322](#)
 - inferior, [201](#)
- izquierdo, [199–201](#), [219](#), [235](#)
 - inferior, [201](#)
- ramo(s)
 - anterior, [201](#)
 - frenicoabdominales, [199](#)
 - pericárdico, [199](#)
- frontal, BP26, [61](#), [97–98](#), [132–133](#), [142](#)
- genitales externos
 - mujer, [395](#)
 - varón, [391](#)
- genitofemoral, T5.2, [264](#), [269](#), [311](#), [316](#), [391](#), [486–488](#), [530](#)
 - ramo(s)

- femorales, 260, 264, 269, 391, 473, 487
- genital, 260, 262, 264, 269, 369, 391, 473, 487
- glossofaríngeo (NC IX), 40–41, 49, 64, 66, 72, 76, 83, 115, 124, 127–128, 134, 137, 141–142, 144–146, 214
- agujero (foramen) yugular, 20
- distribución, 129
- esquema, 136
- fosa yugular, 19
- ganglio inferior (petroso), 64, 146
- nervio seno carotídeo, 41
- ramo, 173
 - lingual, 146
 - timpánico, 19
- glúteos
 - inferior, 169, 487, 489, 492–493
 - superior, 169, 487, 489, 492–493
- hipogástrico, BP39, 305, 320–321, 391–392, 396–399
 - derecho, 394
 - izquierdo, 394
- hipogloso (NC XII), 39–41, 49, 59, 64, 68, 76, 82–84, 86, 115, 124, 128, 139–140
 - conducto hipogloso, 19–20
 - distribución, 129
 - esquema, 139
 - núcleo, 127–128, 139
 - ramo meníngeo, 139
 - vena satélite, 70, 84
- iliohipogástrico, T5.2, 169, 183, 269, 311–312, 391, 396, 486–488, 530
 - ramo
 - anterior, 487
 - cutáneo
 - anterior, 260, 269, 391

- lateral, [257](#), [260](#), [474](#), [487](#)
- ilioinguinal, T5.2, [169](#), [263](#), [269](#), [311](#), [391](#), [396](#), [486–488](#), [530](#)
 - ramo(s)
 - escrotales anteriores, [269](#), [391](#), [473](#)
 - labial anterior, [395](#)
- inferior de la escápula, [419](#)
- infraorbitario, BP26, [9](#), [42](#), [61–64](#), [66](#), [82](#), [94](#), [98](#), [132–133](#)
 - ramos
 - alveolares superiores, [133](#)
 - nasales internos, [48](#)
- infratroclear, [9](#), [42](#), [61](#), [97](#), [133](#)
 - derecho, [98](#)
 - izquierdo, [98](#)
- inguinal, [260](#)
 - ramo escrotal anterior, [260](#)
- intercostales, T5.2, T4.1, [169](#), [188](#), [195–197](#), [232](#), [234–235](#), [487](#)
 - inferiores, [199](#)
 - octavo, [213](#)
 - primero, [231](#)
 - ramo
 - anterior, [177](#), [186](#)
 - colaterales, [196](#)
 - cutáneos
 - anteriores, [194](#), [196–197](#), [417](#)
 - laterales, [183](#), [194–195](#), [197](#), [417](#)
 - posteriores, [183](#)
 - sexto, [213](#)
 - tercero, [243](#)
- intercostobraquial, [195](#), [260](#), [404–405](#), [417](#), [419](#), [463](#)
- intermedio
 - nervio facial (NC VII), [144](#)
 - cuerda del tímpano, [19](#)

de Wrisberg, 107, 134, 142, 146
 raíz motora, 135

interóseo
 anterior, 438, 441, 466
 pierna, 532
 posterior, 435, 441, 469

labiales
 posterior, 395–396

lagrimal, BP26, 61, 63, 97–98, 132–133, 142
 ramo palpebral, 9, 61

laringe, 92

laríngeo
 recurrente, T2.2, 33, 40, 76, 82, 92, 141, 236, 243
 derecho, 34, 80, 87–89, 92, 137, 230, 243
 izquierdo, 87–89, 137, 199, 210, 213–214, 216, 230, 235–236, 243, 245–246
 superior, 76, 137, 141–142, 146, 214, 243
 ramo
 externo, 82, 87–89, 92, 137
 interno, 75, 78, 80, 82, 87–89, 92, 137, 146

lingual, 25, 53, 56–57, 59, 65–66, 68–70, 82, 133–134, 142, 144–146

mandibular, 9, 19–20, 25, 59–60, 66, 82, 97–98, 115, 132–133, 136, 142, 144–146

división
 anterior, 59
 posterior, 59

raíz
 motora, 59
 sensitiva, 59

ramo(s)
 auriculares, 133
 meníngeo, 19–20, 59, 97, 133

- parotídeos, [133](#)
- temporales superficiales, [133](#)
- masetérico, [55–57](#), [59–60](#), [82](#)
- nervio, [133](#)
- maxilar, [9](#), [20](#), [46](#), [59–61](#), [63–64](#), [66](#), [82](#), [97–98](#), [115](#), [132–133](#), [142](#), [144–146](#)
 - ramo
 - cigomaticofacial, [133](#)
 - cigomaticotemporal, [133](#)
 - meníngeo, [97](#), [133](#)
 - nasal
 - posterior superior lateral, [48](#)
 - ramo alveolar superior anterior, [48](#)
- mediano, T7.2, [404](#), [419–421](#), [423](#), [425](#), [436–438](#), [441](#), [444](#), [450](#), [452](#), [455](#), [462–466](#)
- ramo(s), [455–456](#)
 - articular, [466](#)
 - comunicante, [456](#)
 - digital(es) palmar(es), [404](#)
 - común, [463](#)
 - proprios, [462–463](#)
 - palmar, [404](#), [406](#), [436–437](#), [449](#), [456](#), [462](#), [466](#)
 - recurrente, T7.2, [456](#), [463](#)
- mentoniano, [9](#), [59](#), [66](#), [82](#), [133](#)
- milohioideo, [25](#), [57](#)
- motor (autónomo), BP1
- musculocutáneo, [419–421](#), [423](#), [425](#), [438](#), [462–466](#)
 - porción terminal, [404](#)
 - ramo
 - anterior, [465](#)
 - articular, [465](#)
 - posterior, [465](#)
- nalga, [493](#)

- nasal
 - externo, [42](#)
 - posterior, [144](#)
- nasociliar, BP26, [61](#), [97–98](#), [132–133](#), [142–143](#)
- nasopalatino, [46](#), [48](#), [62–63](#), [66](#)
 - fosa incisiva, [19](#)
 - surco, [45](#)
- obturador, T8.2, [256](#), [264](#), [269](#), [382](#), [392](#), [400](#), [486–488](#), [496](#), [529–530](#)
 - accesorio, [269](#), [487–488](#)
 - hiato aductor, [530](#)
 - ramo
 - anterior, [491](#), [530](#)
 - articular, [530](#)
 - cutáneo, [473–474](#), [491](#), [530](#)
 - posterior, [491](#), [530](#)
- occipital
 - mayor, [9](#), [140](#), [183–184](#)
 - menor, [9](#), [39–40](#), [140](#), [183–184](#)
 - tercero, [9](#), [183–184](#)
- oculomotor (NC III), T2.2, BP40, [60](#), [96–98](#), [115](#), [124](#), [127–128](#), [142](#), [155](#)
 - distribución, [129](#)
 - esquema, [132](#)
 - fisura orbitaria superior, [20](#)
 - inervación, [173](#)
 - ramo
 - inferior, BP26, [97](#), [132](#)
 - superior, BP26, [97](#), [132](#)
- oftálmico, [9](#), [59–61](#), [64](#), [66](#), [97–98](#), [115](#), [132](#), [142–146](#)
 - ramo
 - frontal, [20](#)
 - lagrimal, [20](#)
 - nasociliar, [20](#)

- tentorial (meníngeo recurrente), [97](#), [133](#)
- olfatorio (NC I), T2.2, [20](#), [46](#), [48](#)
 - distribución, [129](#)
 - esquema, [130](#)
 - fibras, [130](#)
- óptico (NC II), BP22, [20](#), [50](#), [64](#), [96–98](#), [100](#), [103](#), [115](#), [117–118](#), [143](#), [154–155](#)
 - conducto óptico, BP26
 - derecho, [148](#)
 - distribución, [129](#)
 - esquema, [131](#)
 - izquierdo, [148](#)
 - vaina
 - interna, vasos, [104](#)
 - meníngea, [97](#), [100](#), [104](#)
- órbita, [97](#)
- palatino, [46](#), [144](#)
 - descendente, [144](#)
 - mayor, [46](#), [48](#), [62–64](#), [67](#), [82](#), [133](#), [142](#), [144](#)
 - agujero (foramen) palatino mayor, [19](#)
 - ramo nasal posterior inferior lateral, [46](#), [48](#), [142](#)
 - menor, [46](#), [48](#), [62–64](#), [67](#), [82](#), [133](#), [142](#), [144](#)
 - agujero (foramen) palatino menor, [19](#)
- pared
 - anterior del abdomen, [260](#)
 - posterior del abdomen, [269](#)
- pectoral
 - lateral, [194](#), [416](#), [419–420](#)
 - medial, [194](#), [419–420](#)
- periférico, características, BP12
- periné
 - mujer, [395](#)
 - varón, [393](#)

perineales, [361](#), [374](#), [392–393](#), [395](#), [487](#), [493](#)
profundo, [393](#)
ramos, [361](#), [393](#), [395](#)
superficial, [393](#)
ramos, [361](#), [393](#), [395](#)
peroneo
común, BP111, T8.2, [485](#), [487](#), [489](#), [492](#), [497–498](#), [501](#), [507–512](#), [531–533](#)
ramo comunicante nervio sural, [474](#)
profundo, BP111, BP116, [115–116](#), [512](#), [514](#), [521–522](#), [533](#)
ramo
digital dorsal, [511–512](#), [521–522](#)
lateral, [521–522](#), [533](#)
medial, BP117, [511–512](#), [521–522](#), [533](#)
recurrente, [512](#)
superficial, BP111, BP115, [473](#), [510–512](#), [514](#), [521–522](#), [531](#), [533](#)
ramo cutáneo
intermedio dorsal, [473](#)
medial dorsal, [473](#)
ramos digitales dorsales, [521–522](#)
petroso
mayor, BP27, [19–20](#), [60](#), [62](#), [64](#), [97](#), [136](#), [142](#), [144](#)
agujero (foramen) rasgado, [19](#)
hiato, [20](#)
nervio intermedio, [134](#)
surco, [18](#), [110](#)
menor, [19–20](#), [59–60](#), [97](#), [106](#), [133–134](#), [136](#), [145](#)
hiato, [20](#)
surco, [18](#)
profundo, [46](#), [62](#), [134](#), [136](#), [142](#), [144](#)
plantar
lateral, [115–117](#), [513](#), [520](#), [525–526](#), [531–532](#)
ramo(s)

- cutáneos plantares, [474](#)
- digitales plantares, [524](#)
- digitales plantares propios, [525–526](#)
- profundo, [525–526](#)
- superficial, [525–526](#)
- medial, BP116, [509](#), [513](#), [520](#), [523](#), [525–526](#), [531–532](#)
- ramos
 - cutáneos plantares, [474](#)
 - digitales plantares, [524](#)
 - digitales plantares propios, [525–526](#)
 - profundos, BP117, [526](#)
 - superficiales, [526](#)
- profundos de la cara, [63](#)
- ptorigoideo medial, [56](#)
- pudendo, T6.2, [169](#), [269](#), [306](#), [361](#), [374](#), [392–400](#), [487](#), [489](#), [492–493](#)
 - conducto pudendo, [395](#)
 - interno, [401](#)
 - nervio, [489](#)
- radial, T7.2, [404](#), [414](#), [417](#), [419–420](#), [422](#), [425](#), [437–438](#), [462–466](#), [468–469](#)
- nervio(s)
 - cutáneo braquial
 - lateral inferior, [404](#)
 - posterior, [404](#)
 - digitales dorsales, [404](#)
- ramo(s)
 - comunicantes, [458](#)
 - digitales dorsales, [457](#), [462](#), [469](#)
 - lateral, [457](#)
 - medial, [457](#)
 - profundo, [437](#), [441](#), [463](#), [469](#)
 - superficial, [404](#), [406](#), [434](#), [437](#), [441](#), [458–459](#), [462–464](#), [469](#)
- rectales inferiores, T6.2, [361](#), [392–393](#), [395–396](#)

sacro, ramo perineal, [487](#), [489](#)

safeno, BP115, BP111, [473](#), [490–491](#), [512](#), [529](#), [532](#)

 cutáneo medial de la pierna, [529](#)

 mayor, [496](#), [514](#)

 menor, [492](#)

 ramo(s), [474](#)

 infrarrotuliano, [473](#), [490–491](#), [511–512](#), [529](#)

seno carotídeo (de Hering), [136](#), [141–142](#)

sensitivos, BP1

simpáticos, BP16, [214](#)

subcostal, T5.2, [169](#), [269](#), [311–312](#), [391](#), [396](#), [486–488](#)

 ramo

 anterior, [487](#)

 cutáneo

 anterior, [260](#)

 lateral, [257](#), [269](#), [473](#)

 lateral, [487](#)

subescapular

 inferior, [414](#), [417](#), [420](#), [468](#)

 superior, [414](#), [419–420](#)

sublingual, [59](#)

suboccipital, [29](#), [184](#)

supraclaviculares, [9](#), [38–40](#), [140](#), [404–405](#)

 intermedio, [404–405](#)

 lateral, [404–405](#)

 medial, [404–405](#)

supraescapular, [417](#), [419–420](#), [468](#)

supraorbitario, [9](#), [42](#), [61](#), [94](#), [133](#)

 izquierdo, [98](#)

 ramo

 lateral, [97–98](#)

 medial, [97–98](#)

- supratroclear, [9](#), [42](#), [61](#), [94](#), [97–98](#), [133](#)
- sural, BP111, T8.2, [115–116](#), [474](#), [531–533](#)
 - ramos calcáneos laterales, [474](#), [509](#)
- temporal profundo, [82](#), [133](#)
 - anterior, [57](#), [59–60](#)
 - posterior, [57](#), [59–60](#)
- tibial, BP111, [115–116](#), [485](#), [487](#), [489](#), [492](#), [507–509](#), [513–514](#), [531–532](#)
 - posterior, [520](#), [525](#)
- ramo
 - articular, [531–532](#)
 - calcáneo
 - lateral, [532](#)
 - medial, [474](#), [523](#), [531–532](#)
- timpánico, [64](#), [106](#), [134](#), [136](#), [145](#)
 - inferior, [107](#)
- torácico(s), [417](#)
 - interno, [258](#)
 - largo, T7.1, T4.1, [189](#), [194–195](#), [260](#), [417](#)
 - lateral, [419](#)
 - ramo posterior, [197](#)
 - superior, [417](#)
 - viscerales, BP39
- toracoabdominales, [261](#)
 - raíz
 - anterior, [261](#)
 - posterior, [261](#)
 - ramo
 - colateral, [261](#)
 - comunicante, [261](#)
 - cutáneo, [194](#)
 - anterior, [261](#)
 - lateral, [261](#)

- lateral, [261](#)
- medial, [261](#)
- meníngeo, [261](#)
- posterior, [261](#)
- toracodorsal, [414](#), [417](#), [419–420](#)
- transverso del cuello, [9](#), [38–40](#), [140](#)
- trigémino (NC V), T2.2, [60–61](#), [64](#), [66](#), [110](#), [124](#), [128](#), [142](#), [144–146](#), [155](#), [171](#)
 - distribución, [129](#)
 - división
 - mandibular, [9](#)
 - maxilar, [9](#)
 - oftálmica, [9](#)
 - esquema, [133](#)
 - ganglio, [133](#), [142](#)
 - núcleo
 - espinal, [137](#)
 - mesencefálico, [127–128](#), [146](#)
 - motor, [127–128](#), [146](#)
 - sensitivo principal, [127–128](#), [133](#)
 - radiología, [160](#)
 - raíz
 - motora, [142](#)
 - sensitiva, [142](#)
- trocLEAR (NC IV), BP26, T2.2, [60](#), [64](#), [96–98](#), [115](#), [124–125](#), [127–128](#), [155](#)
 - distribución, [129](#)
 - esquema, [132](#)
 - fisura orbitaria superior, [20](#)
- vago (NC X), [33](#), [39–41](#), [40–41](#), [49](#), [64](#), [66](#), [76](#), [83](#), [87–89](#), [115](#), [124](#), [127–128](#), [136](#), [138](#), [141–142](#), [146](#), [173](#), [210](#), [213–215](#), [231](#), [236](#), [243](#), [306](#), [321](#)
 - agujero (foramen) yugular, [20](#)
 - derecho, [88](#), [199](#), [210](#), [216](#), [230](#), [234](#), [243](#), [245](#)
 - distribución, [129](#)

- esquema, 137
- fosa yugular, 19
- ganglio
 - inferior, 64, 76, 137–139, 146, 243
 - superior, 76, 137–138, 243
- izquierdo, BP51, 88, 199, 210, 216, 230, 235, 245–246
- núcleo posterior (dorsal), 127, 128, 137, 231, 306, 321
- ramo
 - auricular, 9, 19, 137
 - comunicación, 136
 - cardíaco cervical
 - inferior, 137, 230
 - superior, 137, 141–142, 230
 - cardíaco torácico, 137, 230–231
 - faríngeo, 76, 136–137, 141–142, 243
 - laríngeo recurrente, T4.1
 - laringofaríngeo, 141
 - meníngeo, 137
- vestibular, BP28, 105, 108, 110, 135
 - porción
 - inferior, 108, 110, 135
 - superior, 108, 110, 135
- vestibulococlear (NC VIII), BP28, 20, 60, 76, 105, 108, 110, 124, 127–128, 142
 - distribución, 129
 - esquema, 135
 - radiología, BP32
- yugular, 141
- Neurofilamentos**, BP11
- Neuronas**, BP11
 - autónomas posganglionares, BP11
- Neurotúbulos**, BP11
- Neutrófilos**, BP15

Nivel carina, BP36

Nodulillo(s) linfoide(s)

agregados, [279](#). Véase también Placas de Peyer (nodulillos linfoides agregados)

solitario, [279](#)

Nódulo

atrioventricular (AV), [229](#)

de Ranvier, BP12

sinoatrial (SA), [41–42](#), [229](#)

Nódulo(s) (ganglio[s]) linfático(s), [401](#)

aórticos laterales, [268](#)

axilares, [7](#), [41–42](#), [416](#)

anteriores, [190](#)

apicales, [190–191](#)

centrales, [190–191](#), [416](#)

laterales, [190–191](#), [407](#)

pectorales, [416](#)

posteriores, [190–191](#)

broncopulmonares (hiliares), [193](#), [234–235](#)

buccinador, [85](#)

cabeza, [85](#)

carina, traqueobronquiales inferiores, [212](#)

celíacos, [242](#), [268](#)

cervicales, [7](#)

anteriores

profundos, [85](#)

superficiales, [85](#)

laterales

profundos, [86](#)

inferiores, [85](#)

superiores, [85](#)

superficiales

- posteriores, [85](#)
- superiores, [85](#)
- profundos inferiores, [212](#), [242](#)
- cólicos
 - derechos, BP82
 - medios, BP82
- de Cloquet/Rosenmüller, [268](#)
- conducto femoral, [264](#)
- cuello, [85](#)
- epicólicos, BP82
- epigástrico inferior, [268](#)
- escalenos inferiores, [212](#)
- esófago, [242](#)
- esternocleidomastoideos, [85](#)
- faciales, [85](#)
- faringe, [86](#)
- frénicos
 - inferiores, [268](#)
 - vías, [190](#)
 - superiores, [242](#)
- gástricos izquierdos, [242](#)
- genitales
 - mujer, [388](#)
 - varón, [390](#)
- glándula mamaria, [7](#), [190](#)
- hiliares, [205](#). Véase también Nódulos (ganglios) linfáticos
 broncopulmonares (hiliares)
- humerales, [190–191](#)
- ileocólicos, BP82
- ilíacos, [7](#)
 - comunes, [268](#), [319](#), [388](#), [390](#)
 - externos, [268](#), [319](#), [390](#), [475](#)

- inferiores, 388
- superiores, 388
- internos, 268, 319, 388, 390
- inferiores, 389
- inframamarios, 191
- inguinales, 7
 - profundos, 268, 388–390, 475
 - proximal profundo, de Cloquet, 388–390
 - superficiales, T8.2, 268, 388–390, 475
 - inferiores, 475
 - superolaterales, 475
 - superomediales, 475
- intercostales, 242
- interpectorales (de Rotter), 190–191
- intraclavicular, 407
- intrapulmonares. Véase Nódulos (ganglios) linfáticos pulmonares (intrapulmonares)
- laterales, 388, 390
- lengua, 86
- del ligamento arterioso (arco aorta), 212
- lumbares, 7, 268
 - laterales, 388
- mandibulares, 85
- mastoideos, 85
- mediastínicos, 7, 245
 - anteriores, 190
 - posteriores, 242
- mesentéricos
 - inferior, 266, 268
 - superior, BP82, 268
- nasolabiales, 85
- obturador, 388

occipitales, [85](#)
paraaórticos, T6.2
paracólicos, BP82
paraesternales, [190–191](#)
paratraqueales, [242](#)
 derecho, [212](#)
 izquierdo, [212](#)
parietales posteriores, [242](#)
parotídeo superficial, [85](#)
pectorales, [190–191](#)
pelvis, T6.2
 femenina, [388–389](#)
 masculina, [390](#)
poplíteos, [475](#)
preaórticos, T6.2, [388](#), [390](#)
presinfisario, [390](#)
pretraqueales, [87](#)
promontorio, [319](#), [388](#), [390](#)
pulmonares (intrapulmonares), [212](#)
pulmones, [212](#)
retrofaríngeos, [86](#)
de Rotter, [190–191](#). Véase también Nódulos (ganglios) linfáticos
 interpectorales (de Rotter)
sacros
 lateral, [268](#), [388](#), [390](#)
 medio, [268](#), [388](#), [390](#). Véase también Nódulo (ganglio) linfático
 promontorio
subclavios, [85](#), [190–191](#)
subdiafragmáticos, vías, [190](#)
subescapulares, [190–191](#)
submandibular, [68](#), [85–86](#)
submentoniano, [85–86](#)

- subparotídeo, [85](#)
- superolaterales, [389](#)
- superomediales, [389](#)
- supraclaviculares, [85](#)
- suprahioideo, [85](#)
- supratroclear, [407](#)
- tiroideos superiores, [85](#)
- traqueobronquiales, T6.2, [268](#)
 - inferior, [212](#), [242](#), [247](#)
 - superior, [242](#), [246](#)
 - derecho, [212](#)
 - izquierdo, [212](#)
- vesicales
 - laterales, [319](#)
 - prevesicales, [319](#)
- viscerales, [268](#)
- yugulodigástrico, [85–86](#)
- yuguloomohioideo, [85–86](#)

Núcleo(s)

- abducens, [127–128](#), [132](#)
- accesorio nervio oculomotor, [127–128](#), [132](#), [143](#)
- ambiguo, [127–128](#), [136–138](#)
- arqueado, [158](#)
- basales, [121](#)
- caudado, [121](#)
 - cabeza, [121–123](#), [154](#), [156](#)
 - radiología, BP32, [160](#)
- cola, [119](#), [121](#), [123](#)
- cuerpo, [117](#), [121](#)
- vena(s)
 - anterior, [156–157](#)
 - posterior, [156](#)

- terminal posterior, [157](#)
- transversas, [156–157](#)
- cerebelosos, [126](#)
 - dentado, [126](#)
 - emboliforme, [126](#)
 - fastigio, [126](#)
 - globoso, [126](#)
- coclear, [135](#)
 - anterior, [127–128](#), [135](#)
 - posterior, [127–128](#), [135](#)
- dentado, [125](#)
- de Edinger-Westphal. *Véase* Núcleo accesorio nervio oculomotor
- espinal, [133](#)
- facial, [127–128](#)
- hipotalámico
 - paraventricular, [158](#)
 - supraóptico, [158](#)
- intermediolateral, BP43
- intralaminares, [122](#)
- lentiforme, [121](#)
 - globo pálido, [119](#), [121](#)
 - putamen, [119](#), [121](#)
 - radiología, [160](#)
- medianos, [122](#)
- mesencefálico nervio trigémino, [133](#), [146](#)
- motor, [133](#)
 - nervio trigémino, [146](#)
- nervio
 - accesorio, [127–128](#)
 - trocLEAR, [127–128](#), [132](#)
- oculomotor, [127–128](#), [132](#)
- olfatorio anterior, [130](#)

- parabraquial, [146](#)
- pulposo, [28](#), [164](#), [168](#)
- reticulares, [122](#)
- rojo, [118](#), [127–128](#)
- salivatorio
 - inferior, [127–128](#), [136](#), [145](#)
 - superior, [62](#), [127–128](#), [134](#), [144](#)
- tracto olfatorio, lateral, [130](#)
- vestibular, [127–128](#)
 - inferior, [135](#)
 - lateral, [135](#)
 - medial, [135](#)
 - superior, [135](#)

O

Óbex, [125](#)

Oído

- ampolla, [108–109](#)
- externo, [106](#)
- laberintos óseo y membranoso, [108–109](#)
- pediátrico, anatomía, BP28
- vía de recepción del sonido en la cóclea, [105](#)
- vestíbulo, [108–109](#)

Ojo, [173](#)

- arterias y venas intrínsecas, [103](#)
- cámara
 - anterior, [94](#), [100](#), [102–103](#)
 - posterior, [94](#), [100](#), [102–103](#)
- inervación, [172](#)
- músculos, T2.1
 - extraoculares (extrínsecos), [96](#), [103](#)
 - inervación, [96](#)

vascularización, [104](#)

Oligodendrocito, cuerpo celular, BP12

Oliva, [124](#)

Ombigo, T5.1, [106](#), [109](#), [249](#), [256](#), [299](#), [333](#), [379](#)

Omento

mayor, [270](#), [272](#), [283](#), [285](#), [331](#)

menor, [285](#), [324](#)

borde derecho libre, [278](#)

lámina

anterior, [287–288](#), [301](#)

posterior, [301](#)

ventana, [285](#)

Opérculo

frontal, [116](#)

parietal, [116](#)

temporal, [116](#)

Ora serrata, [100](#), [102–103](#)

Órbita, T2.1, [51](#)

arterias, [99](#)

crecimiento, [52](#)

derecha, visión frontal ligeramente lateral, [11](#)

fascias, BP26

nervios, [97](#)

pared medial, BP22, [50](#)

superficie, [11](#)

venas, [99](#)

visión

anterior, [98](#)

superior, [98](#)

Oreja, BP28, [14](#), [105](#), [110](#)

concha, [106](#)

izquierda, [56–57](#)

lobulillo, [106](#)

Orejuela, [216](#), [218–219](#), [222–223](#), [225](#), [228–229](#)

derecha, BP51, [216](#), [224](#), [228](#)

Órgano(s)

reproducción, inervación

mujer, [397](#)

varón, [398](#)

vomeronasal, [43](#)

Orificio

abdominal trompa uterina, [355](#)

auditivo interno, [110](#)

cardias, [277](#)

externo de la uretra, BP90, [333](#), [345](#), [349](#), [358](#), [361](#), [364](#), [367](#), [370](#), [377](#)

ileal, [283](#)

interno del útero, [355](#)

pilórico, [279](#)

trompa auditiva, BP44

ureteral, BP90, [356](#), [366](#)

derecho, [352](#)

izquierdo, [352](#)

útero, [355](#)

vaginal, BP90, [345](#), [358](#), [361](#), [370](#)

Orificio (externo) del útero, [355](#), [357](#)

Orificio (foramen) de la vena cava, [201](#), [265](#)

Orofaringe, BP44, [33](#), [72](#), [77](#), [79](#), [237](#)

Osteoblastos activos, BP7

Osteocitos, BP7

Osteoide, BP7

Ovarios, BP95, T6.2, BP10, [316](#), [344–346](#), [353](#), [355](#), [371](#), [382](#), [394](#), [397](#)

cuerpo

albicans, [355](#)

lúteo, [355](#)

derecho, [356–357](#)
folículo (de De Graaf), [355](#)
izquierdo, [356](#)
ligamentos, [344](#), [356](#), [371](#)
 propio, [345–346](#), [353–355](#)
 suspensorio, [344–347](#), [355–357](#), [371](#), [382](#)
niño, BP95
vasos sanguíneos, BP95

Ovocito, BP95, [91–92](#)

 estadios, BP95
 primario, BP91, BP95
 secundario, BP91

Ovogénesis, BP91

Ovogonia, BP91

P

Paladar

 blando, [43](#), [45](#), [65](#), [72](#), [77](#), [79](#)
 músculos, [78](#)
 radiología, [160](#)
desarrollo, [52](#)
duro, BP22, [72](#), [77](#)
 espina nasal posterior, BP19
 radiología, [160](#)
fibras postsinápticas, [62](#)
inervación, [173](#)
úvula, [65](#), [72](#), [75](#), [79](#)

Palma, [443](#)

Páncreas, BP38, BP56, T5.1, BP9, [137](#), [173](#), [185](#), [274](#), [276](#), [323–324](#), [329](#)

 cabeza, [273](#), [276](#), [278–279](#), [287](#), [327](#)
 arterias, [293](#)
 dolor referido visceral, BP13

cuerpo, [273](#), [276](#), [288](#)

in situ, , [288](#)

inervación, [172](#)

autónoma, [310](#)

vasos y nódulos (ganglios) linfáticos, BP80

Papila(s), [74](#)

circunvalada, [71](#), [146](#)

dérmica, [1–2](#)

duodenal

mayor, [287](#)

menor, [279](#), [287](#)

filiformes, [71](#)

foliadas, [71](#), [146](#)

fungiformes, [71](#), [146](#)

ileal, [281](#)

incisiva, [67](#)

lagrimal

inferior, [94–95](#)

superior, [94–95](#)

vértice queratinizado, [71](#)

Paradídimo, [371](#)

Paroóforo, [371](#)

Pared

alveolar

lecho capilar, BP49

plexos capilares, BP49

anterior

abdomen, [266–267](#), [317](#)

anastomosis

arteriales, T5.2

venosas, T5.2

arterias, [258](#)

- disección
 - intermedia, [253](#)
 - profunda, [254](#)
 - superficial, [252](#)
- nervios, [260](#)
- venas, [259](#)
- visión interna, [256](#)
- tórax, [194–195](#)
 - visión interna, [196](#)
- tráquea, [208](#)
- arterial, BP16
- matriz, BP16
- zona
 - avascular, BP16
 - vascular, BP16
- duodeno, capas, BP61
- interna tórax, venas, [198](#)
- posterior
 - abdomen
 - arterias, [266](#)
 - nervios, [269](#)
 - peritoneo, [275](#)
 - vasos y nódulos (ganglios) linfáticos, [268](#)
 - venas, [267](#)
 - visión interna, [265](#)
 - tráquea, [208](#)
 - mucosa, [208](#)
- posterolateral del abdomen, [257](#)
- sección paramediana (parasagital), [324](#)
- vagina, [353–354](#)
- Párpados, [94](#)**
 - arterias y venas, [99](#)

tarsos, BP26

Parto, vías nerviosas, [396](#)

Pata ganso, [480](#), [482–483](#), [497–498](#)

Pecten, [375](#)

pubis, [250](#), [334](#), [338](#), [476](#)

Pedículo, BP33, [163](#), [167–168](#)

C5, BP34

L1, BP36

L3, BP37

L4, [165](#)

vértebra

cervical, [27](#)

lumbar, [164](#)

torácica, [163](#)

Pedúnculo

cerebeloso, [125](#)

inferior, [124–126](#), [135](#)

medio, [124–126](#)

radiología, BP32, [160](#)

superior, [124–126](#)

decusación, [126](#)

cerebral, [50](#), [117](#), [125](#)

Pelo

bulbo, BP2

corteza, BP2

cutícula, [1–2](#)

matriz, BP1

médula, BP2

tallo, BP2

vaina radicular

externa, BP2

interna, BP2

Pelvis, 333–401

anatomía de superficie, 333

estructura ósea, 334

fascias arco tendinoso, 354

huesos y ligamentos, 337–338

láminas electrónicas, BP97, BP92, BP93, BP96, 88–89

ligamentos, 357

línea terminal, 347–348

mayor, 338

menor, 338

mujer

arterias, 382–383

contenido, 344

diafragma, 339–341

fascias, BP88

mediciones, 336

nódulos (ganglios) linfáticos, 388

radiografía, 335

relaciones, 356

uretra, 401

vagina, 401

vasos linfáticos, 388

venas, 382

vísceras, 345

RM sagital potenciada T2, 379

varón

arterias, BP98, 385

contenido, 348

diafragma, 342–343

fascias, BP88

mediciones, 336

nódulos (ganglios) linfáticos, 390

radiografía, 335
unión vesicoprostática, 400
vasos linfáticos, 390
venas, BP98, 385
vísceras, 349

Pene, 364, 379

arterias, T6.2
 dorsales, 363, 365, 383, 387
 izquierda, 385
 profunda, BP98, 387
 profundas, 363, 365, 367, 387
bulbo, 364–365, 367
 arteria, 365, 387
cuerpo(s), 333, 370
 cavernosos, 364–365
fascia (profunda) (de Buck), BP88, BP98, 252–254, 324, 349, 362–365, 369, 377–378, 387
glande, 333, 349, 364, 370
 corona, 364
 cuello, 364
ligamento
 fundiforme, 262
 suspensorio, BP58, 253, 349
nervios
 cavernosos, 392, 398
 dorsales, 363, 365, 387, 391–393, 395, 398, 487, 493
piel, 362–364, 369
pilar, 352, 363–364, 367
rafe, 370
tejido subcutáneo, 253–254
túnica dartos, 349, 362–364, 369
venas dorsales

profunda, BP98, [342–343](#), [349](#), [363](#), [365](#), [383](#), [385](#)

superficial, BP98, [252](#), [259](#), [333](#), [363](#), [385](#)

Pericardio, T4.2, BP44, T4.1, [33](#), [200](#), [210](#), [215–216](#), [219](#), [236](#)

área desnuda, [202](#)

centro tendinoso, [200](#)

fibroso, [204](#), [219](#), [235](#)

porción

diafragmática, [219](#)

esternocostal, [219](#)

Pericito, BP6

Pericráneo, [113](#)

Perimisio, BP8

Periné, [333–401](#)

anatomía de superficie, [333](#)

arterias, [386](#)

fibras interdigitales, [341](#)

láminas electrónicas, BP88, BP95, BP98, BP94, [90–91](#)

mujer, [345](#), [358](#), [360](#)

disección superficial, [359](#)

fascias, BP88

nervios, [395](#)

nódulos (ganglios) linfáticos, [389](#)

vasos linfáticos, [389](#)

profundo, [360](#)

varón, [348](#), [362–363](#)

arterias, [387](#)

fascias, BP88

nervios, [393](#)

venas, [387](#)

venas, [386](#)

Perineuro, BP12

Periodonto, [74](#)

Periórbita, BP26

Periostio, BP7

Peritoneo, BP88, BP59, T6.1, [185](#), [239](#), [255–256](#), [263](#), [283](#), [304](#), [311](#), [323](#), [345](#), [359](#), [374](#), [382](#), [394](#)

extensión inferior, [397–398](#)

fondo de saco paravesical, [353](#)

parietal, BP84, [264](#), [272](#), [274–275](#), [309](#), [324](#), [332](#), [344](#), [348–350](#), [352](#)

útero, [356](#)

visceral, [274](#), [279](#), [378](#). Véase también Serosa (peritoneo visceral)

Peroné, T8.1, BP113, BP116, BP111, BP4, [501](#), [504–505](#), [510–511](#), [514](#), [517–518](#), [521–522](#), [535](#)

agujero (foramen) nutricio, [504](#)

borde

anterior, [504–505](#)

interóseo, [504–505](#)

cabeza, [482–484](#), [498](#), [500](#), [502](#), [504–505](#), [508–512](#), [533](#)

ligamento, [505](#)

posterior, [502](#)

cara

articular inferior, [504](#)

lateral, [504–505](#)

medial, [504](#)

cóndilo

lateral, [505](#)

medial, [505](#)

cresta medial, [504](#)

cuello, BP112, [504](#)

escotadura peronea, [504](#)

maléolo lateral, [504](#), [520–522](#)

nervio peroneo común, [497](#)

ramas calcáneas, [507](#)

vértice, [504](#)

Pestañas, 94

Pezón, 187–188, 333

Piamadre, 111, 113, 177

médula espinal, 174

Pie

anatomía seccional, 115–116

arco venoso dorsal, 513

arterias, 114–115, 527

cara plantar, 471

dorso, 3, 522

músculo, 521

huesos, 515

ligamentos, 519

músculo(s)

interóseo, 527–528

planta

segundo plano, 525–526

nervios, 114–115

digitales dorsales, 473

pedúnculo cerebral, 118, 124, 126, 150

red venosa dorsal, BP107

región plantar, tendón peroneo largo, 510

tendón, 519

Piel, 33, 113

cuero cabelludo, 10, 31

perianal, 376

glándulas sudoríparas, 375

radiología, 165

sección transversal, BP1

Pierna

arterias, BP110

compartimiento anterior, T8.1

drenaje venoso, [513](#)

músculo, [507–512](#)

inserciones, [506](#)

región

anterior, [2](#)

posterior, [2–3](#)

secciones transversales seriadas, BP111

venas profundas, T8.2

Pilar diafragma, BP38

Píloro, [276](#), [278](#), [329](#)

Pirámides, [124](#)

decusación, [124–125](#)

Placa(s)

epifisaria, [495](#)

de Peyer (nodulillos linfoides agregados), [279](#)

terminal cartilaginosa, [168](#)

Plano(s)

anterior, [1](#)

borde lateral del recto del abdomen (línea semilunar), BP62

coronal, [1](#)

corporales, términos y relaciones, [1](#)

dorsal, [1](#)

interespinoso, [251](#)

intertubercular, [251](#)

posterior, [1](#)

sagital, [1](#)

subcostal, [251](#)

transpilórico, [251](#)

transverso, [1](#)

ventral, [1](#)

Plaquetas, BP15

Plasma, composición, BP15

Pleura, 177, 205

cervical, BP44, T4.1, 87

costal, 235–236

mediastínica, 200, 216

parietal

cervical, 202–203, 234

pleura costal, 234

porción

costal, 199–200, 204, 210, 215, 235

borde derecho, 203

borde izquierdo, 203

diafragmática, BP44, 199–200, 204, 210, 215, 236

mediastínica, BP44, 199–200, 204, 210, 215–216, 219–220, 235–236

visceral, BP49

Plexo

acromial, 418

aórtico

abdominal, 303, 392, 394, 396–399. *Véase también* Plexo intermesentérico (aórtico abdominal)

torácico, 213

de Auerbach, BP54. *Véase también* Plexo mientérico (de Auerbach)

braquial, 8, 36, 38–40, 82, 169, 189, 195, 199, 204, 210, 215, 232, 234–236, 416–417, 419

divisiones

anteriores, 420

posteriores, 420

esquema, 420

fascículo

lateral, 221, 416, 420, 464–466

medial, 416, 420, 464–466

posterior, 416, 420, 464–466

raíces, 420

- ramos terminales, 420
- tronco(s), 37, 414
 - inferior, 414, 420
 - medio, 414, 420
 - superior, 414, 420
- capilar, BP50
- cardíaco, 39–40, 137, 213, 230–231, 243
- carotídeo, 107, 142
 - común, 141–142
 - externo, 141–142, 144
 - interno, BP39, 19, 20, 97, 134, 142–143, 172
- cavernoso, 132
- celíaco, 301, 304–305, 321, 392, 397
 - tronco vagal posterior, 243
- cervical, T2.2, 169, 183
 - esquema, 40, 140
 - ramos, 9
- coccígeo, 487, 489
- coroideo, 122–123, 125
 - tercer ventrículo, 117
- dental inferior, 133
- esofágico, 39–40, 137, 210, 213, 220, 234–236, 243, 303
 - ramo simpático, 213
- esplénico, 301
- faríngeo, 136–137, 141–142
- frénico, 300–301, 322
- gástrico, 392
- gastroduodenal, 304
- hepático, 137, 301–302, 304
- hipogástrico, 392
 - inferior, 39–40, 172, 306, 320–321, 391–392, 394, 396–399
 - superior, BP39, 172, 299, 305–306, 320, 344, 348, 392, 394, 396–399

- uterovaginal, 397
- ileocólico, 305
- ilíaco
 - común, 394
 - externo, 394
 - interno, 394
- intermesentérico (aórtico abdominal), 269, 300, 304–305, 321, 392, 394, 396–399
- intramuscular circular, 308
- linfático
 - subcapsular, 319
 - subpleural, 212
- lumbar, 169, 486, 488, 529–530
 - ramos anteriores, 488
- lumbosacro, 269, 487
- de Meissner, BP54. *Véase también* Plexo submucoso (de Meissner)
- mesentérico
 - inferior, BP39, 392
 - superior, 39–40
- mientérico (de Auerbach), 308
- nervioso
 - faríngeo, 76
 - rotuliano, 473
 - subseroso, 308
- ovárico, 394, 397
- pélvico
 - inferior, 391–392, 394, 396–399
 - superior, 391
 - uterovaginal, 397
- periglandular, 308
- pial, 176
 - arterial, 177

- ramas periféricas, 177
- venoso, 178
- prevesical, 390
- prostático, T6.2, 320, 392, 398–399
- ptéricoideo, 60, 84, 99
 - vena facial profunda, 10
- pulmonar, 39–40, 137, 214, 243
 - anterior, 213
 - posterior, 213
- rectal, 305, 320, 322, 392, 394
 - externo, 381
 - interno, 381
 - perimuscular, 381
 - superior, 392
- renal, 320–322, 399
 - izquierdo, 392
- sacro, 169, 321, 392, 397–399, 489
- simpático, 64
- submucoso (de Meissner), 308
- suprarrenal
 - derecho, 300
 - izquierdo, 305
- testicular, 391, 398
- timánico, 107, 134, 136, 143, 145
 - ramo tubárico, 136
- uretérico, 392
- uterovaginal, 394, 396
- venoso, BP98, 64, 350, 357, 369
 - agujero (foramen) magno, 19
 - areolar, 259
 - arteria vertebral, BP42, 179
 - basilar, 114–115

cavernoso de la uretra, BP90

epidural. Véase Plexo venoso vertebral interno anterior

externo, 374, 381

faríngeo, 76

interno, 374

pampiniforme, T6.2, 383

prostático, BP98, 349, 385

pterigoideo, T2.3

rectal, 267

 externo, 298, 375–376

 espacio perianal, 375

 interno, 375–376

 perimuscular, 298, 381

retropúbico. Véase Plexo venoso vesical (retropúbico)

uterovaginal, 267

vaginal, 401

vertebral, T3.1

 anterior, BP42

 epidural. Véase Plexo venoso vertebral interno anterior

 externo, 178

 anterior, BP42, 179

 interno, 178

 anterior, BP42, 179

 de Batson, 177–178

vertebral (de Batson), 114

 interno, 177

 vesical (retropúbico), BP98, 267, 349, 352, 385

vertebral, 20, 141

vesical, 305, 320, 392, 394, 396, 398–399

Plexo (venoso) pampiniforme, T6.2, BP98, 259, 369

Pliegue(s)

 alares, 498

aritenoepliglótico, [75](#), [79](#), [91](#)
avascular de Treves, [280](#). Véase también Pliegue ileocecal (pliegue avascular de Treves)
axilar
 anterior, [187](#)
 posterior, [187](#)
cecales, [280](#), [344](#), [348](#)
circulares (válvulas de Kerckring), [279](#), [287](#)
duodenomesocólico, [271](#), [278](#)
duodenoyeyunal, [271](#)
faringoepliglótico, [75](#), [80](#)
 fibras, [78](#)
fimbriado, [65](#)
gástricos, [239](#), [277](#), [328](#)
glosoepiglótico
 lateral, [71](#)
 medio, [71](#)
glúteo, [161](#), [471](#)
ileocecal (pliegue avascular de Treves), [280](#)
inguinal, [371](#)
longitudinal, [287](#)
maleolar
 anterior, BP27, [106](#)
 posterior, BP27, [106](#)
palatino transverso, [67](#)
palmar proximal, [402](#)
rectouterino, [346](#)
sacrogenital, [348](#), [374](#). Véase también Pliegue vesicosacro (sacrogenital)
salpingofaríngeo, [72](#), [79](#)
semilunares, [72](#), [94–95](#), [283](#)
sinovial infrarrotuliano, [498–499](#)
triangular, [72](#)

umbilical

lateral, [344](#), [348](#)

derecho, [256](#)

medial, [344](#), [348](#), [356](#), [382](#)

derecho, [256](#)

medio, [344](#), [348](#)

ungueal

ureteral, [344](#), [346](#), [348](#)

urogenital, [370](#)

uterosacro, [316](#), [344](#)

derecho, [356](#)

ventriculares, [91](#)

vesical transverso, [256](#), [344](#), [348](#), [356–357](#)

vesicosacro (sacrogenital), [348](#)

vestibular, [92](#)

vocal, BP44, [77](#), [91–92](#)

Polo

frontal del cerebro, [116](#), [118](#)

occipital del cerebro, [116](#), [118](#)

temporal del cerebro, [116](#), [118](#)

Porción

distal, [158](#)

flácida, [106](#)

interarticular, [164](#)

intermedia, [158](#)

tensa, BP27, [106](#)

tuberal, [158](#)

Poros alveolares (de Kohn), BP48

Porta hepático, [284](#)

Precuña, [117](#)

Prepucio, [349](#), [370](#)

Proceso

axilar (de Spence), [189](#)

ciliar, [100–102](#)

glial, BP11

infundibular, [158](#)

plexo capilar, BP30

recurrente, [130](#)

vaginal, [368](#)

Progesterona, BP92

Prominencia

esofágica, [219](#)

laríngea, [90](#)

Promontorio, BP28, [105](#)

sacro, BP86, [166](#), [250](#), [334](#), [337–338](#), [340](#), [345–346](#), [348](#), [394](#)

mediciones, [336](#)

Próstata, BP41, BP97, T6.2, BP109, [173](#), [256](#), [349](#), [379](#), [352](#), [365–367](#), [371](#), [373](#), [385](#), [400](#)

base, [366](#)

cápsula, BP97, [352](#)

drenaje linfático, [390](#)

inervación, [172](#)

primordio, [371](#)

rama, BP98

vértice, [366](#)

zona

central, [366](#)

periférica, [366](#)

transicional, [366](#)

Proteínas plasmáticas, BP15

Protuberancia

mentoniana, [8](#), [11](#), [24](#)

occipital

externa, [13–15](#), [17](#), [23](#), [161](#)

interna, [18](#)

Proximal, término de relación, [1](#)

Pterión, T2.1, [13](#)

Pubis, [324](#), [339–340](#), [351](#), [365](#), [379](#), [401](#), [476](#)

 cara sinfisaria, [394](#)

 cuerpo, [400](#)

 radiografía, [335](#)

 rama superior, [342](#), [483](#)

Puente, BP35, [117](#), [124–125](#), [145–146](#)

 radiología, BP32, [160](#)

Pulgar, [447](#)

Pulmones, BP41, [173](#), [177](#), [188](#)

 derecho, [205](#), [215](#), [220–221](#), [245–247](#)

 área

 esofágica, [205](#)

 traqueal, [205](#)

 borde

 anterior, [205](#)

 inferior, [202](#)

 cara diafragmática, [205](#)

 fisura

 horizontal, BP56, [202–205](#)

 oblicua, BP56, [202](#), [205](#)

 hilio, BP44, [216](#)

 impresión cardíaca, [205](#)

 lóbulo

 inferior, [204–205](#)

 medio, BP56, [204–205](#)

 superior, [204–205](#)

 raíz, [199](#)

 segmentos broncopulmonares, [206–207](#)

 vasos y nódulos (ganglios) linfáticos, [212](#)

- vértice, [205](#)
- inervación, [172](#)
- izquierdo, [205](#), [215](#), [219–221](#), [244–247](#)
 - área
 - esofágica, [205](#)
 - traqueal, [205](#)
 - borde
 - anterior, [205](#)
 - inferior, [202–203](#)
 - cara diafragmática, [205](#)
 - escotadura cardíaca, [202](#), [204](#)
 - fisura oblicua, [202–203](#), [205](#), [246](#)
 - hilio, [216](#)
 - impresión cardíaca, [205](#)
 - lóbulo
 - inferior, BP57, [204–205](#)
 - superior, BP56, BP57, [204–205](#)
 - raíz, [199](#)
 - segmentos broncopulmonares, [206–207](#)
 - vasos y nódulos (ganglios) linfáticos, [212](#)
 - vértice, [203](#), [205](#)
- nódulos (ganglios) linfáticos, [212](#)
- rutas de drenaje linfático, [212](#)
- topografía, visión
 - anterior, [202](#)
 - posterior, [203](#)
- vasos linfáticos, [212](#)
- vértice, T4.1, [202](#), [217](#)
- visión(es)
 - anterior *in situ*, , [204](#)
 - mediales, [205](#)

Pulpa

blanca del bazo, [289](#)

dental, [74](#)

roja del bazo, [289](#)

Pulsos, [4](#)

arteria

braquial, [4](#)

carotídeo, [4](#)

cubital, [4](#)

facial, [4](#)

femoral, [4](#)

pedio, [4](#)

poplíteo, [4](#)

radial, [4](#)

tibial posterior, [4](#)

Pulvinar, [118](#), [121–122](#), [124–125](#)

derecho, [155](#)

izquierdo, [155](#)

tálamo, [150](#), [154](#), [156](#)

Punto

lagrimal

inferior, [94–95](#)

superior, [94–95](#)

de McBurney, [281](#)

Pupila, [94](#)

Q

Quiasma, BP91

de Camper, [451](#)

óptico, BP22, BP30, [50](#), [115](#), [117–118](#), [124](#), [131](#), [148](#), [151–152](#), [156–158](#)

radiología, [160](#)

R

Radiación óptica, 131

Radio, BP102, BP4, T7.1, 426–433, 435, 438–445, 447, 455, 460

apófisis estiloides, 429, 447

borde

anterior, 429

interóseo, 429

posterior, 429

cabeza, 421, 426–427, 429

cara

anterior, 429

articular, 447

lateral, 429

posterior, 429

cuello, 426–427, 429

ligamento anular, 428

rotadores, 430

tuberosidad, 426

Radiología craneal, BP31, 159–160

Rafe

faríngeo, 43, 72, 75, 77–78, 88, 238

medio del músculo elevador del ano, 341

palatino, 67

perineal, 358, 370

pterigomandibular, 22, 56–57, 67–68, 72, 78, 81

uretral, 370

Raíz(es)

anterior, BP38, 177

filetes radicales, 174

craneal, 137

nervio espinal

raíz

anterior, 174

- posterior, [174](#)
- relación vértebras, [170](#)
- S1, [170](#)
- S2, [170](#)
- S3, [170](#)
- S4, [170](#)
- S5, [170](#)
- posterior, BP38, [144](#)
 - filetes radiculares, [174](#)
- ungueal, [460–461](#)

Rama(s)

- acetabular, [495](#)
- anterior, [177](#)
- articular, [492](#)
- capsulares, BP98
- circunfleja peronea, BP108, BP110, [503](#)
- derecha
 - fibras Purkinje, [229](#)
 - ramos subendocárdicos, [229](#)
- espinal, [177](#)
- inferior pubis, [250](#), [334](#), [341](#), [345](#), [352](#), [476–478](#), [486](#), [534](#)
- isquiática, [478](#)
- isquiopubiana, [337–338](#), [343](#), [349](#), [353](#), [359–360](#), [362](#), [364–366](#), [377](#)
- izquierda fascículo atrioventricular
 - fibras de Purkinje, [229](#)
 - ramos subendocárdicos, [229](#)
- membranosa común, [108–109](#)
- ósea común, [109](#)
- perforantes, [491](#)
 - anterior, [527](#)
 - posterior, [527](#)
- púbica, [347](#)

- pubis, T6.1
- septales interventriculares, [222](#)
- superior pubis, [250](#), [334](#), [337–338](#), [345](#), [349](#), [364](#), [476–478](#), [486](#), [489](#), [534](#)
 - radiografía, [335](#)
- tonsilares, [57](#)
- tubáricas
 - arteria uterina, [386](#)
 - vasos ováricos, [386](#)
- uretrales, BP98

Ramo(s)

- articular, [529](#)
- cardíaco(s), [172](#)
 - cervical, BP40
 - torácicos, [213](#), [231](#), [243](#)
- celíaco, [392](#)
- comunicantes, BP41, BP39, [141](#), [143–145](#), [172](#), [174](#), [177](#), [197](#), [213](#), [231–232](#), [234–235](#), [243](#), [269](#), [300](#), [303](#), [320–321](#), [392](#), [394](#), [396–399](#), [487–489](#)
 - blancos, BP41, BP39, [141](#), [143–145](#), [172](#), [174](#), [186](#), [197](#), [213](#), [231–232](#), [234–235](#), [243](#), [269](#), [300](#), [303](#), [306](#), [321](#), [392](#), [394](#), [397–399](#), [488](#)
- cutáneos posteriores, [183](#)
- escrotales posteriores, [395](#)
- espinales posteriores, [174](#)
- meníngeo nervio mandibular, [60](#)
- posterior, [177](#)
- surales, [509](#)
- uretérico medio, [320](#)

Rampa

- timpánica, [108–109](#)
- vestibular, [109](#)

Receptores

- estiramiento (reflejo de Hering-Breuer), [214](#)
- irritantes, [214](#)

tos, [214](#)

Receso

coclear, [108](#)

costodiafragmático, BP56, [204](#), [221](#)

diafragmático, derecho, [217](#)

elíptico, [108](#)

epitimpánico, [27–28](#), [105–106](#)

esfenoetmoidal, [43–44](#)

esférico, [108](#)

faríngeo, [43](#), [49](#), [72](#), [79](#)

hepatorrenal (bolsa de Morison), BP84

ileocecal

inferior, [280](#)

superior, [280](#)

infundibular, [117](#)

intersigmoideo, [272](#), [316](#)

lateral, [125](#)

izquierdo, [117](#)

mesentericoparietal, [271](#)

pineal, [117](#)

piriforme, [79](#), [91](#)

retrocecal, [272](#), [280](#)

subpoplíteo, [498–499](#)

supraóptico, [117](#)

suprapineal, [117](#)

Recto, BP88, T6.1, BP109, [173](#), [265](#), [272](#), [283](#), [311](#), [324](#), [339–341](#), [344–345](#), [347–350](#), [356](#), [359](#), [366](#), [373](#), [379](#), [382](#), [394](#), [401](#)

ampolla, [350](#)

arterias, [380](#)

in situ

mujer, [373](#)

varón, [373](#)

- inervación, [172](#)
- muscular mucosa, [376](#)
- músculo
 - circular, [376](#)
 - longitudinal, [376](#)
- pliegues transversos, [375](#)
- radiología, [165](#)
- venas, [381](#)

Red

- arterial marginal, [107](#)
- testicular, BP93
- venosa dorsal, [406](#)

Reflejo de Hering-Breuer, [214](#). Véase también Receptores de estiramiento (Reflejo de Hering-Breuer)

Reflexión

- pericárdica, [218](#), [224–225](#)
- peritoneal, [373](#), [375](#)
- pleural, T4.1, [202–204](#)

Región

- anal, [3](#)
- antebraquial
 - anterior, [2](#)
 - posterior, [2–3](#)
- anterior brazo, [2](#)
- axilar, [2](#)
- cervical
 - anterior, [2](#)
 - lateral, [2](#)
 - posterior, [3](#)
- codo, [2](#)
- deltoidea, [3](#)
 - anterior, [2](#)

- epigástrica, [251](#)
- escapular, [3](#)
- esternocleidomastoidea, [3](#)
 - anterior, [2](#)
- faríngea
 - arterias, [83](#)
 - venas, [84](#)
- frontal, [2](#)
- glútea, [3](#)
- hipocondríaca
 - anterior, [2](#)
 - derecha, [251](#)
 - izquierda, [251](#)
 - posterior, [3](#)
- hipogástrica, [2](#), [251](#)
- ileocecal, [279–281](#), [304](#)
- infraescapular, [3](#)
- inframamaria, [2](#)
- inguinal, BP58, [2](#)
 - derecha, [251](#)
 - disecciones, [262](#)
 - izquierda, [251](#)
- interescapular, [3](#)
- labial, [2](#)
 - arterias, [83](#)
 - venas, [84](#)
- lateral
 - derecha, [251](#)
 - izquierda, [251](#)
- lumbar
 - anterior, [2](#)
 - posterior, [3](#)

lumbosacra, ligamentos vertebrales, [167](#)

mamaria, [2](#)

mentoniana, [2](#)

muslo o femoral, BP58

 anterior, [2](#)

 posterior, [3](#)

nasal, [2](#)

occipital, [3](#)

orbitaria, [2](#)

palmar, [2](#)

parietal, [3](#)

pectoral

 anterior, [2](#)

 lateral, [3](#)

perineal, [2](#)

posterior brazo, [2–3](#)

preesternal, [2](#)

sacra, [3](#)

subclavia, [2](#)

supraescapular, [3](#)

temporal, [3](#)

 anterior, [2](#)

torácica lateral, [2](#)

trocantérea, [2](#)

umbilical, [2](#), [251](#)

vertebral, [3](#)

Relieve labioescrotal, [370](#)

Reproducción, genética, BP91

Respiración

 inserción músculo, BP46

 músculos, BP47

Retina

estructura, [131](#)

porción

ciliar, [100–101](#)

óptica (visual), [100](#), [102](#)

Retináculo

extensor, [406](#), [434–435](#), [457–460](#)

inferior, [510–511](#), [520](#), [533](#)

superior, BP116, [510–511](#), [520](#)

flexor, BP116, [437](#), [444](#), [450](#), [452–453](#), [455–456](#), [463](#), [507–509](#), [513](#), [520](#), [525–526](#), [532](#)

peroneo, [518](#)

inferior, [509–510](#), [518](#), [520](#)

tendón peroneo, [517](#)

superior, [507–510](#), [518](#), [520](#)

piel, BP1

rotuliano

lateral, [482](#), [484](#), [497–498](#), [510–512](#)

medial, [482–483](#), [491](#), [497–499](#), [511–512](#)

Riñones, BP38, BP57, T5.1, BP10, [173](#), [185](#), [233](#), [273](#), [278](#), [285](#), [368](#), [382](#)

borde

lateral, [314](#)

medial, [314](#)

cálices

mayores, [314](#)

menores, [314](#)

cápsula renal, [314](#)

columna renal (de Bertin), [314](#)

derecho, [203](#), [274–276](#), [284](#), [310–311](#), [316](#), [318](#), [323](#), [326–327](#)

visión sagital, [278](#)

dolor referido visceral, BP13

estructura macroscópica, [314](#)

in situ

- polo superior, [314](#)
- visión
 - anterior, [311](#)
 - posterior, [312](#)
- inervación, [172](#)
 - autónoma, [321](#)
- izquierdo, BP87, BP84, [203](#), [274](#), [289](#), [316](#), [323](#)
- médula (pirámides), [314](#), [330](#)
- nervios autónomos, [320](#)
- parénquima, vasos sanguíneos, BP78
- polo, [278](#)
 - inferior, [314](#)
 - superior, [314](#)
- seno renal, [314](#)
- vaso y nódulos linfáticos, [319](#)

Rodete

- acetabular, [338](#), [477](#), [495](#), [534](#)
 - porción
 - anterior, [534](#)
 - posterior, [534](#)
 - superior, [534](#)
- fibrocartilaginoso. *Véase* Rodete acetabular
- glenoideo, [412](#)
 - inferior, [470](#)
 - superior, [470](#)
- porción
 - anterior, BP109, [534](#)
 - posterior, BP109, [534](#)
- tubárico, [43](#), [45](#), [72](#), [79](#)

Rodilla, [497–503](#)

- arterias, BP108
- bolsas, [499](#)

cápsula articular, [497](#)

cóndilo

lateral, BP112

medial, BP112

epicóndilo medial, BP112

ligamento transverso, [500](#)

osteología, BP112

radiografía, BP113, [501](#)

región

anterior, [2](#)

posterior, [3](#)

Rotación, movimientos miembro inferior, [472](#)

Rótula, BP4, [113–114](#), [471](#), [482–484](#), [491](#), [497–498](#), [502](#), [510–511](#)

cara articular, BP114

S

Saco

alveolar, BP48

dural, terminación, [165](#)

endolinfático, [109](#)

herniario, BP59

cuello, BP59

lagrimal, [94–95](#)

fosa, [11](#), [13](#)

pericárdico, [219](#)

oblicuo, [219](#)

Sacro, BP4, [161–162](#), [166–167](#), [169–170](#), [250](#), [334](#), [341–342](#), [379](#)

ala, radiografía, [335](#)

arterias, [176](#)

base, [166](#)

cara auricular, [167](#), [476](#)

carilla articular, [164](#)

radiología, [165](#)

vértice, [166](#)

Sáculo, [108–109](#), [135](#)

Sangre, composición, BP15

Sarcolema, BP8

Sarcómero, BP8

Sarcoplasma, BP8

Segmento(s)

broncopulmonares, [206–207](#)

anterior, [206–207](#)

apical, [206–207](#)

apicoposterior, [206–207](#)

basal

anterior, [206–207](#)

anteromedial, [206–207](#)

lateral, [206–207](#)

medial, [206–207](#)

posterior, [206–207](#)

lateral, [206–207](#)

lingular

inferior, [206–207](#)

superior, [206–207](#)

medial, [206–207](#)

posterior, [206–207](#)

superior, [206–207](#)

inicial, BP11

renales, [315](#)

Seno(s)

anal, [375](#)

aórticos (de Valsalva), [227](#)

carotídeo, T2.3, [136](#), [141](#), [147](#), [214](#)

cavernoso, [99](#), [115](#), [147](#), [151](#)

confluencia, [110](#), [114–115](#), [155–156](#)
coronario, BP56, [218–220](#), [222](#), [225](#), [248](#)
 orificio, [221](#), [224](#), [227](#)
 válvula (de Tebesio), [224](#)
esfenoidal, BP26, BP22, BP34, BP44, [14–15](#), [43](#), [45](#), [50–51](#), [64](#), [72](#), [77](#), [98](#), [115](#),
 [148](#)
 abertura, [43–44](#), [51](#)
 radiología, [160](#)
esfenoparietal, [114–115](#)
frontal, BP22, BP44, [12](#), [14](#), [43–45](#), [50–51](#), [77](#)
 crecimiento, [52](#)
galactóforo, [188](#)
intercavernoso
 anterior, [114–115](#)
 posterior, [114–115](#)
maxilar, BP22, [12](#), [14](#), [49–51](#), [62](#), [64](#), [96](#)
 abertura, BP22, [43–44](#), [50–51](#)
 crecimiento, [52](#)
 fibras postsinápticas, [62](#)
 pared, [63](#)
 radiología, BP32
 receso(s), [50](#)
 alveolar, BP22
 cigomático, BP22
 infraorbitario, BP22
 sección transversal, [49](#)
oblicuo pericardio, [219–220](#), [248](#)
occipital, [114](#)
 surco, [18](#)
paranasales, [21–22](#)
 cambios con la edad, [52](#)
 huesos, [52](#)

- inervación, [173](#)
- sección
 - coronal, [50](#)
 - transversal, [50](#)
- visión sagital, [51](#)
- petroso
 - inferior, [20](#), [114–115](#)
 - surco, [15](#), [18](#)
 - superior, [64](#), [110](#), [114–115](#)
 - surco, [15](#), [18](#)
- prostáticos, BP97, [366–367](#)
- recto, [110](#), [114–115](#), [117](#), [120](#), [155–157](#)
 - radiología, BP31, [159](#)
- sagital
 - inferior, [111](#), [114–115](#), [155–157](#)
 - superior, [111–115](#), [117](#), [120](#), [155–156](#)
 - radiología, [31–32](#), [159](#)
 - surco, [16](#), [18](#)
 - vena emisaria, [20](#)
- sigmoideo, [64](#), [76](#), [110](#), [114–115](#)
 - agujero (foramen) yugular, [20](#)
 - radiología, BP31, [159](#)
 - surco, [15](#), [18](#)
- transverso, [110](#), [114–115](#), [156](#)
 - izquierdo, [155](#)
 - pericardio, BP51, [216](#), [219](#), [224–225](#)
 - radiología, BP31, [159](#)
 - surco, [15](#), [18](#)
- urogenital, [371](#)
- venoso(s)
 - duramadre, T2.3
 - sección sagital, [114](#)

visión superior, 115

esclera, 100–101, 103–104

Septo pelúcido, 117, 121–122, 152, 154, 156, 158

cavidad, 111

venas, 156–157

posteriores, 157

Septo (tabique)

fibroso, 376

transverso, 375

fosa isquioanal, 374, 376–377

interatrial, 224, 248

intercavernoso, fascia, 363–364, 367

interventricular, 228, 248

porción

membranosa, 224

muscular, 224–225, 227–229

membranoso, 225–229

porción

atrioventricular, 220, 224–229

interventricular, 220, 225–229

Serosa (peritoneo visceral), BP62, 279, 289

Silla turca, BP34, 14–15, 18, 45, 77

apófisis clinoides posterior, 18

dorso silla, 18

fosa hipofisaria, 18

hipófisis, 43

tubérculo de la silla, 18

Sinapsis, BP11

adrenérgica, BP42

esquema, BP41

colinérgicas, BP41

esquema, BP41

Sincondrosis

esfenooccipital, [77](#)

manubrioesternal, [408](#)

1.^a costilla, [408](#)

Sínfisis pubis, T6.1, [249–250](#), [262](#), [265](#), [333–334](#), [337](#), [340–341](#), [343](#), [345](#), [347](#), [349–350](#), [356](#), [359](#), [361–362](#), [365](#), [384](#), [401](#)

mediciones, [336](#)

porción superior, [400](#)

radiografía, [335](#)

Sinusoides, [285–286](#)

Sistema

anterolateral (SAL), BP43

cardiovascular, T6.2, T3.1, T5.2, [41–42](#)

composición de la sangre, BP15

organización general, BP14

conductos del hígado, [285](#)

cordón posterior, BP43

digestivo, T6.1, T5.1

endocrino, T4.1, T5.1, BP10

esquelético, T3.1, T6.1, T4.1, T5.1

axial y apendicular, BP4

gastrointestinal, BP9

linfático, T6.2, T4.2, T5.2, T4.1, [7](#)

muscular, T3.1, T6.1, T4.1, BP8, T5.1

nervioso, T6.2, T3.1, T5.2, T4.1

central, [6](#)

organización general, [6](#)

parasimpático, BP40

esquema, [173](#)

topografía general, BP40

periférico, [6](#)

simpático, BP39

esquema, [172](#)

topografía general, BP39

porta hipofisario, plexo primario, BP30

reproductor, T6.1

varón, BP93

respiratorio, BP44, T4.1

tegumentario, T5.1

urinario, T6.1, T5.1

Submucosa

esofágica, [239](#)

esófago, [80](#)

íleon, [279](#)

intestino, [308](#)

yeyuno, [279](#)

Suelo pélvico, T6.1

Superior, término de relación, [1](#)

Surco

bicipital, [409](#)

calcáneo, [517](#)

calcarino, [116–118](#), [122](#), [131](#)

carotídeo, [18](#)

central

 ínsula, [116](#)

 de Rolando, [116–117](#)

cingular, [117](#)

cíngulo, [117](#)

colateral, [117–118](#)

coronal, [370](#)

coronario, BP51, [216](#), [218](#)

costal, [193](#)

cuerpo calloso, [117](#)

deltopectoral, [402](#)

- frontal
 - inferior, [116](#)
 - superior, [116](#)
- gingival, [74](#)
- hipocampal, [123](#)
- hipotalámico, [117](#), [125](#), [158](#)
- infraorbitario, [11](#)
- interesfinteriano, [374–376](#)
- intermedio posterior, BP43
- intertubercular, [409](#)
- interventricular
 - anterior, BP51, [248](#)
 - posterior, [218–219](#)
- intraparietal, [116](#)
- lateral
 - anterior, BP43
 - cerebro, [152](#)
 - posterior, BP43
- lateral (de Silvio), [116](#), [118](#)
 - ramo
 - anterior, [116](#)
 - ascendente, [116](#)
 - posterior, [116](#)
- limitante, [125](#)
- línea media, [71](#)
- marginal, [117](#)
- medio, [71](#), [125](#)
 - posterior, BP43, [125](#)
- milohioideo, [24](#)
- nasolabial, [8](#)
- obturador, [476](#)
- occipital transverso, [116](#)

- occipitotemporal, [117–118](#)
- olfatorio, [118](#)
- orbitario, [118](#)
- paracentral, [117](#)
- paracólico
 - derecho, [272](#), [280](#), [344](#), [348](#)
 - izquierdo, [272](#), [344](#), [348](#)
- parietooccipital, [116–117](#)
- poscentral, [116](#)
- precentral, [116](#)
- prequiasmático, [18](#)
- radial, [410](#)
- rinal, [117–118](#)
- semilunar, [116](#)
- temporal
 - inferior, [116](#), [118](#)
 - superior, [116](#)
- terminal, [71](#), [218](#)
- traqueoesofágico, [81](#)
- urogenital, [370](#)

Sustancia

- blanca, BP43
 - nervios espinales, [174](#)
 - radiología, BP32, [160](#)
- gelatinosa, BP43
- gris, BP43
 - asta lateral, [174](#), [322](#)
 - médula espinal, [174](#)
 - nervios espinales, [174](#)
 - radiología, BP32, [160](#)
- negra, [118](#), [128](#)
- perforada

anterior, 118, 124, 130

posterior, 118

Sustentáculo del astrágalo, BP116, 516–517

Sutura

cigomaticofrontal, BP17, 12

coronal, BP17, 11–16, 21

escamosa, BP17, 21

frontal (metópica), BP17, 21

intermaxilar, 17, 42

lambdoidea, BP17, 12, 14–16, 21

metópica. Véase Sutura frontal (metópica)

occipitomastoidea, 23

palatomaxilar, 17

sagital, BP17, 12, 16, 21

T

Tabaquera anatómica, 402, 434

Tabique(s), 372

abombado, 43

escrotal, 387

interalveolares, 24

intermuscular

anterior, 514

lateral, 421–422, 425, 435, 438, 468

medial, 421–422, 425, 435, 437–438

posterior, 514

transverso, 514

vastoaductor, 482, 491

vasos femorales hacia fosa poplítea, 490

nasal, BP22, 12, 23, 45–48, 50, 77, 79

crecimiento, 52

eje de giro esquemático, 47–48

orbitario, 94

Tálamo, 119, 121–125, 156, 158, 303

cuerpos geniculados, 154

estría medular, 117, 122

izquierdo, 155

núcleo ventral posteromedial, 146

pulvinar, 150, 154, 156

radiología, 160

Tallo

hipofisario, radiología, 160

infundibular, 158

Talón, 2

Tarso

inferior, 94

superior, 94, 96

Teca

externa, BP95

interna, BP95

Techo

mesencéfalo, radiología, 160

tímpano, BP28, 105–106

Tejido(s)

adiposo, 188, 401

areolar, 185, 349

laxo, 113

blando prevertebral, BP34

capsular superficial, BP102

cavernoso, T6.2

conectivos, BP6

capa, folículo piloso, BP1

cráneo, 113

denso, BP6

fibroadiposo, [374](#)

 alar, [42](#), [44](#)

perianales, [370](#)

retrodiscal (zona bilaminar), BP24

 lámina

 inferior, BP24

 superior, BP24

subcutáneo, BP88, BP1, [33](#), [255](#), [349](#), [359](#)

 capa

 adiposa, [324](#)

 adiposa (de Camper), [359](#), [362](#)

 membranosa profunda, [324](#), [362](#), [363](#)

 cuero cabelludo, [10](#)

 pene, BP88, [252–253](#)

Tendón(es), BP8

 calcáneo (de Aquiles), BP111, T8.1, [471](#), [507–510](#), [518](#), [520](#), [535](#)

 músculo sóleo, [508](#)

conjunto, [262–263](#)

cricoesofágico, [80](#)

extensor, [453–454](#)

 común, [409–410](#), [431](#), [434–435](#), [439](#)

 largo, [454](#)

flexores, [453](#), [456](#)

 carpo, [452](#)

 común, [409–410](#), [432–433](#), [436](#), [439](#)

 vainas, [450](#)

 fibrosas, [524](#)

pie, [519](#)

rotuliano, BP113

tobillo, [518](#)

Tenia

 fibras, [376](#)

libre, [272](#), [280–281](#), [283](#), [373](#), [376](#)

mesocólica, [280](#), [283](#)

omental, [280](#), [283](#)

Terminaciones

nerviosas libres, BP1

sinápticas, esquema, BP11

Testículo, BP93, BP10, [324](#), [349](#), [368–369](#), [371–372](#), [390](#), [398](#)

apéndice, [371](#)

arterias, [383](#)

descenso, [368](#)

fascia espermática externa, [387](#)

lobulillo, [372](#)

mediastino, [369](#), [372](#)

red testicular, [372](#)

túnica

albugínea, [369](#)

vaginal, [369](#)

capa

parietal, [372](#)

visceral, [372](#)

venas, [383](#)

Tibia, T8.1, BP113, BP116, BP111, BP4, [501–502](#), [504–505](#), [511–512](#), [514](#), [517–518](#), [520](#), [522](#), [535](#)

borde anterior, [471](#)

cara articular, BP114

superior, [499](#)

cóndilo

lateral, [484](#), [510](#)

medial, [498](#)

maléolo medial, [520](#), [522](#)

sinovial, BP114

Tienda del cerebelo, [97](#), [114–115](#), [155–156](#)

Timo, BP10, [7](#), [215](#), [234–235](#), [244](#), [246](#)

 área del pulmón, [205](#)

Tobillo, T8.1

 ligamentos, [518](#)

 radiografías, [535](#)

 sección transversal, [115–116](#)

 tendón, [518](#)

 vainas tendinosas, [520](#)

Tonsila(s), [7](#), [125](#)

 faríngea, [43](#), [45](#), [72](#), [75](#), [77](#), [79](#)

 lingual, [71–72](#), [77](#)

 nasofaríngeas (adenoides), [34–35](#)

 radiología, [160](#)

 palatina, [65](#), [67–68](#), [71–72](#), [77](#), [79](#)

Tórax, [187–248](#)

 anatomía de superficie, [187](#)

 estructura ósea, [192](#)

 nervios, [230](#)

 autónomos, [213](#)

 sección

 coronal corazón y aorta ascendente, BP56, [221](#)

 transversal, nivel

 disco

 T3–4, [246](#)

 T4–5, [247](#)

 T3, [245–248](#)

 T7, [248](#)

 TC coronales, BP57

Trabécula(s), BP7, BP30

 apicales, [224](#)

 arteria, BP30

 esplénicas, [289](#)

fibrosa, [158](#)

septomarginal, [224](#), [228–229](#)

Tracto

bulborreticuloespinal, BP43

corticoespinal

 anterior, BP43

 lateral, BP43

digestivo, BP10

espinal, [133](#), [137](#)

espinocerebeloso

 anterior, BP43

 posterior, BP43

espinoolivario, BP43

gastrointestinal, BP41

hipotalamohipofisario, [158](#)

iliopúbico, [262](#), [344](#), [347–348](#)

iliotibial, T8.1, [395](#), [471](#), [480](#), [482](#), [484–485](#), [496–499](#), [501](#), [505–507](#), [510–512](#)

 bolsa profunda, [497–498](#)

 músculo vasto lateral, [492](#)

 tubérculo de Gerdy, [498](#)

mamilotalámico (de Vicq d'Azyr), [158](#)

nervio óptico, radiología, BP32

olfatorio, [46](#), [117–118](#), [124](#), [130](#)

óptico, [50](#), [118–119](#), [123–124](#), [131](#), [150](#), [155](#)

piramidal. Véase Tracto corticoespinal lateral

pontorreticuloespinal, BP43

posterolateral, BP43

rubroespinal, BP43

solitario, núcleos, [127–128](#), [134](#), [136–137](#), [146](#), [231](#), [321](#)

supraópticohipofisario, [158](#)

tectoespinal, BP43, [143](#)

tuberohipofisario, [158](#)

vestibuloespinal, BP43

Trago, 8, 106

Tráquea, BP41, BP56, BP34, BP44, BP57, 22, 33, 35, 77–79, 81, 87–91, 137, 173, 202, 204, 208, 210–211, 215, 217, 221, 234, 236–238, 240, 245–246

aire, BP36

área pulmón

derecho, 205

izquierdo, 205

arteria pequeña, 208

epitelio, 208

fibras elásticas, 208

glándula, 208

inervación, 172

nervio, 208

sección transversal, 208

vaina tejido conectivo, 208

vasos linfáticos, 208

Tríada portal, 285, 288, 329

Triángulo. Véase también Trígono

anal, 362

auscultación, 161, 257, 413

de Calot, 287

deltopectoral, 413

esternocostal, 196

de Hesselbach. Véase Triángulo inguinal (de Hesselbach)

inguinal (de Hesselbach), T5.1, 256, 262

fascia transversal, 262

lumbar de Petit, 161, 180

músculo oblicuo interno, 180

lumbocostal, 201

suboccipital, 184

urogenital, 362

Trígono

cistohepático (de Calot), [287](#), [291](#)

colateral, [122](#)

fibroso

derecho, [226](#)

izquierdo, [226](#)

habénula, [122](#)

hipogloso, [125](#)

olfatorio, [130](#)

vago, [125](#)

Trocánter

mayor del fémur, BP109, [161](#), [250](#), [334](#), [400–401](#), [477–478](#), [483](#), [485–486](#), [492–493](#), [534](#)

radiografía, [335](#)

menor del fémur, [250](#), [334](#), [477–478](#), [534](#)

radiografía, [335](#)

Tróclea, [96](#), [409](#), [426](#)

Trompa

auditiva, [27–29](#), [105–107](#), [109](#), [137](#)

orificio faríngeo, [43](#), [72](#), [77](#), [79](#)

porción cartilaginosa, BP29, [49](#), [56](#), [67](#), [72](#), [75](#), [78](#)

lámina

lateral, BP29

medial, BP29

surco, [17](#)

de Eustaquio. Véase Trompa auditiva

de Falopio, [344–346](#), [353–356](#), [371](#), [382](#), [394](#), [397](#). Véase también Trompa uterina (de Falopio)

derecha, [356](#)

izquierda, [356](#)

uterina (de Falopio), [344–346](#), [353–356](#), [371](#), [382](#), [394](#), [397](#)

ampolla, [357](#)

derecha, [356](#)
franjias (fimbrias), [357](#)
infundíbulo, [357](#)
izquierda, [356](#)
medio de contraste, [357](#)
pliegues, [355](#)

Tronco(s)

braquiocefálico, BP23, [40](#), [87–89](#), [147](#), [149](#), [196](#), [199](#), [210](#), [215–216](#), [218](#), [221](#),
[236](#), [240](#), [245](#)
celíaco, BP57, [4](#), [201](#), [233](#), [236](#), [240](#), [266](#), [271](#), [288](#), [292–293](#), [303](#), [310](#), [324](#), [392](#)
arteriografía, [292](#)
variaciones, BP72
costocervical, BP23, [40](#), [147](#), [149](#), [179](#)
encéfalo, [124](#)
núcleos nervios craneales, [127–128](#)
intestinal, [268](#)
linfático(s)
broncomediastínico, [212](#)
lumbares, [319](#)
subclavio, [85](#), [212](#)
derecho, [268](#)
yugular, [212](#)
lumbar
derecho, [268](#)
izquierdo, [268](#)
lumbosacro, [269](#), [320](#), [392](#), [486–489](#), [529–530](#)
meningohipofisario, [148](#)
ramo tentorial, [148](#)
nervio espinal, [261](#), [276](#)
pulmonar, BP57, [210](#), [216–217](#), [219](#), [221](#), [224](#), [228–229](#), [233](#), [244](#), [247](#)
salida, [228](#)
simpático(s), [33](#), [49](#), [62](#), [76](#), [83](#), [136](#), [142](#), [144–145](#), [197](#), [201](#), [213–214](#), [234–](#)

235, 243, 261, 265, 269, 299–300, 309, 320, 322, 344, 348, 391–392, 394, 396–399, 488–489

cervical, BP39, 243

derecho, 200, 310, 322, 394

ganglios, 320

izquierdo, 200, 220, 310, 322

sacro, 305, 399

derecho, 394

izquierdo, 394

subclavio, 85

derecho, 268

tirocervical, BP23, 39–41, 76, 82–83, 87–89, 147, 149, 236, 240, 418

derecho, 179

izquierdo, 179

vagal, 265

anterior, BP40, 137, 213, 236, 243, 300–301, 304–305, 309–310, 320, 322, 392

ramo(s)

gástricos, 137

hepático, 137

posterior, BP40, 243, 300–301, 304–305, 309–310, 320, 392

yugular, 85

Tuber cinereum, 117–118, 124

eminencia media, 158

Tubérculo(s)

aductor, 479

epicóndilo medial fémur, 491, 500

anal, 370

anterior, 122

articular, 13, 17, 25, 56

auricular (de Darwin), 106

carotídeo (de Chassaignac), 28

conoideo, 408
corniculado, 75, 79, 91
cuadrado, 479
cuneiforme, 75, 79, 91, 124–125
dorsal radio, 442
faríngeo, 17, 29, 45, 72, 75, 78
genital, 370
de Gerdy, BP112, 484, 500, 504–505
 tracto iliotibial, 498
grácil, 124–125
ilíaco, 337
infraglenoideo, 409–410
intercondíleos, 505
de Lister, 429
menor, 409, 411–412, 421
 cresta, 409
mentoniano, 24
olfatorio, 130
porción lateral, 370
pubis, BP58, 249–250, 253–254, 262, 265, 333–334, 337–338, 343, 359, 364,
 476, 482–483, 534
sublime, 426
supraglenoideo, 409
trigeminal, 125

Tuberosidad, 517

calcáneo, 471, 507–508
 apófisis medial, BP116
cúbito, 421, 429
deltoidea, 409–410
ilíaca, 250, 334, 476
isquiática, T6.1, 167, 250, 334, 337–338, 341, 343, 359–360, 362–365, 374, 377,
 401, 476–478, 485, 492–493

radiografía, [335](#)

rama, [476](#)

mediciones, [336](#)

radio, [421](#), [427](#)

sacro, [166](#)

tibia, [482–483](#), [497–500](#), [502](#), [505](#), [510–511](#)

tibial, [504](#)

Túbulo(s)

mesonéfrico(s), [371](#)

caudales, [371](#)

craneales, [371](#)

vestigial, [372](#)

seminíferos contorneados, BP93, [372](#)

Túnel carpiano, liberación, BP104

Túnica

albugínea, BP95, [363](#), [367](#), [372](#)

testículo, [369](#)

dartos

escroto, BP88, [349](#), [362](#), [369](#), [372](#), [377](#), [387](#)

pene, [349](#), [362–364](#), [369](#)

media pared arterial, BP16

vaginal

cavidad, [368](#)

testículo, [324](#), [369](#), [372](#)

lámina

parietal, [369](#)

visceral, [369](#)

U

Uncus, [117–118](#), [130](#)

Unidad pilosebácea, BP2

Unión

- anorrectal, [343](#)
- corneoescleral, [94](#)
- duodenoyeyunal, [185](#)
- faringoesofágica, [80](#)
- gastroesofágica, T5.1, [221](#), [239](#), [328–332](#)
 - anatomía seccional, [328–332](#)
- ileocecal, BP85
- rectosigmoidea, [283](#), [373](#), [375–376](#)
- ureteropélvica, [331](#)
- ureterovesical, fascia pubocervical, [354](#)
- vesicoprostática, [400](#)

Uña del dedo del pie, anatomía, BP117

Uraco, [344](#), [349](#), [359](#), [382](#)

- medio, BP98, [350](#)

- restos, [356](#)

Uréter, BP98, T6.1, BP85, [256](#), [264](#), [267](#), [272](#), [299](#), [311](#), [314](#), [316](#), [344–350](#), [353](#), [355](#), [366](#), [373–374](#), [382–386](#), [392](#), [394](#), [399](#)

- abdomen y pelvis, [316](#)

- arterias, [317](#)

- izquierdo, [356](#)

- derecho, [316](#), [357](#)

- dolor referido visceral, BP13

- espacio retroperitoneal, [356](#)

- nervios autónomos, [320](#)

- porción inferior, inervación, [399](#)

Uretra, BP41, [89–90](#), [265](#), [339–341](#), [343](#), [345](#), [350–352](#), [354](#), [356](#), [360](#), [363](#), [365–367](#), [371](#), [401](#)

- esponjosa, BP89

- porción

- bulbosa, [352](#), [367](#)

- péndula, [367](#)

- fascia pubocervical, [354](#)

femenina, BP90

pelvis, 401

hiato, 342

inicio, 400

membranosa, BP93, BP89, 367

peniana, BP93

plexo venoso cavernoso, BP90

prolongaciones musculofasciales, 341

prostática, BP97, BP93, BP89, 352, 367, 400

suelo, 367

techo, 367

Útero, BP88, T6.1, 353, 355, 359, 371, 373, 394, 397

arterias, 386

cuello, 345–347, 353, 355–356

cuerpo, 345–346, 355

endometrio, 379

estructuras soporte, 353

fondo, 344–346, 350, 355, 379

istmo, 355

ligamento

fasciales, 354

redondo, BP90, 267, 344–346, 352–354, 356, 359, 371, 382

miometrio, 379

orificio (externo), 357

peritoneo, 356

venas, 386

Utrículo, 108–109, 135

prostático, BP97, 366–367, 371

Úvula

paladar, 65, 72, 75, 79

vejiga urinaria, 366–367

vermis, 125

V

Vagina, BP90, T6.2, [339–341](#), [345](#), [350–353](#), [356](#), [359–360](#), [371](#), [373](#), [377](#), [379](#), [382](#), [397](#), [401](#)

estructuras de sostén, [353](#)

fascia pubocervical, [354](#)

porción

horizontal, [354](#)

vertical, [354](#)

prolongaciones musculofasciales, [341](#)

vestíbulo, [353](#), [358](#), [371](#)

Vaina(s)

carotídea, [32–33](#)

común de los flexores, [450–453](#), [456](#)

fascial, lumbrical, [450](#)

femoral, [254](#), [256](#), [264](#), [490](#)

vena femoral, [253](#), [264](#)

fibrosas, [525–526](#)

dedos, [448](#)

mielina, BP11

neurovascular, [347](#). Véase también Vaina hipogástrica (neurovascular)

recto del abdomen, [252–253](#), [359](#)

lámina

anterior, BP58, [194](#), [253–255](#), [260](#), [262](#), [349](#)

posterior, [254–255](#), [258](#), [260](#), [262](#)

sección transversal, [255](#)

tendinosa, [452](#)

dedo, [450–451](#), [453](#)

intertubercular, [412](#), [417](#), [421](#)

mano, [453](#)

tobillo, [520](#)

Vaina hipogástrica (neurovascular), [347](#)

Valécula, [71–72](#)

Válvula(s)

anal, [375](#)

aórtica, BP57, [41–42](#), [217](#), [221](#), [225–229](#)

valva (cúspide) semilunar

derecha, [225–229](#)

izquierda, [225–229](#)

posterior, [225–229](#)

atrioventricular

derecha, [220–221](#), [224](#), [226–228](#)

anillo fibroso derecho, [226](#), [229](#)

orificio, [248](#)

valva (cúspide)

anterosuperior, [224](#), [226–228](#)

inferior (posterior), [224](#), [226–228](#)

septal, [224](#), [226–228](#)

izquierda, [220–221](#), [225–229](#), [248](#)

anillo fibroso izquierdo, [226](#)

valva (cúspide)

anterior, [225–228](#)

posterior, [225–228](#)

cardíacas

aórtica, T4.2, BP57, T4.1, [217](#), [221](#), [225–229](#)

mitral, [217](#), [220–221](#), [225–229](#), [248](#)

pulmonar, [217](#)

tricúspide, [217](#), [220–221](#), [224](#), [226–228](#)

de Houston, [375](#)

de Kerckring, [279](#), [287](#). Véase también Pliegues circulares (válvulas de Kerckring)

mitral. Véase Válvula atrioventricular izquierda

pulmonar cardíaca, [224](#), [229](#)

valva (cúspide) semilunar

anterior, [224](#), [226](#)

derecha, [224](#), [226](#)

izquierda, [224](#), [226](#)

tricúspide. Véase Válvula atrioventricular derecha

Vasa vasorum, BP16

Vasos

colectores

apical, [86](#)

basal, [86](#)

central, [86](#)

marginal, [86](#)

cremastéricos, [263](#), [383](#)

cuello, [39–40](#)

epigástricos

circunflejos superficiales, [490](#)

inferiores, BP98, [254](#), [256](#), [262](#), [264](#), [344](#), [348](#), [356](#), [383](#), [385](#)

ramas púbicas, [262](#)

superficiales, BP58, [252](#), [254](#)

escrotales anteriores, [385](#)

esfenopalatinos, fosa incisiva, [19](#)

femorales, [383](#), [389](#)

fibras directas, [232](#)

gastroepiploicos. Véase Vasos gastromentales (gastroepiploicos)

gastromentales (gastroepiploicos), [275](#), [289](#)

derechos, [296](#), [298](#)

izquierdos, [296](#)

hipotalámicos, BP30

ilíacos

circunflejos ilíacos

profundos, BP98, [256](#), [264](#), [347](#)

superficiales, BP58, [252](#), [490](#)

comunes, BP98, [272](#), [383](#), [394](#)

externos, BP98, [256](#), [262](#), [264](#), [280](#), [344–349](#), [356–357](#), [374](#), [383](#), [385](#)

- cubiertos por el peritoneo, [263](#)
 - izquierdos, [385](#)
 - internos, BP98, [347](#), [383](#)
 - derechos, [385](#)
- linfáticos, T8.2, [286](#)
 - arterias, [319](#)
 - arqueadas, [319](#)
- cabeza, [85](#)
- corticales, [319](#)
- cuello, [85](#)
- esófago, [242](#)
- faringe, [86](#)
- genitales
 - mujer, [388](#)
 - varón, [390](#)
- glándula mamaria, [190](#)
- interlobulares, [212](#), [319](#)
- lengua, [86](#)
- medulares, [319](#)
- pelvis
 - femenina, [388–389](#)
 - masculina, [390](#)
- pulmones, [212](#)
- superficiales, [475](#)
- longitudinales, BP12
- meníngeos
 - anteriores, surco, [18](#)
 - medios, [19](#)
 - surco, [18](#)
 - ramas, [15–16](#)
 - posteriores, surco, [18](#)
- nasopalatinos, surco, [45](#)

- obturadores, 256
 - accesorios, 262, 264
 - derechos, BP98
- ováricos, 316, 344, 347, 386
 - ramas tubáricas, 386
- palatinos
 - mayor, 19
 - menor, 19
- pericardiofrénicos, 219
- periósticos, BP7
- peritoneales, vasos testiculares, 348
- poplíteos, 485
- principales del mediastino superior, 210
- pudendos
 - externos, 385
 - profundos, 383, 490
 - superficiales, 252, 254, 267, 383
 - internos, 374, 401
 - superficiales, 490
- renales, 383
- sacros medios, BP98, 346, 382
- sanguíneos, inervación, 214, 232
- testiculares, 348, 383, 390
 - cordón espermático, 383
- uterinos, 346, 353, 386
 - ramas ováricas, 357
- vesicales inferiores, 390
- Vejiga urinaria**, BP9, BP41, BP62, BP87, BP88, BP89, BP109, T5.1, T6.1, 137, 165, 173, 202, 256, 263, 270, 273, 276, 282, 284, 287–288, 291, 305, 311, 324, 327, 329, 344–350, 351, 356, 359, 365–366, 368, 373, 379, 382, 385, 394, 399
 - cuello, BP90, 349–350, 352
 - cuerpo, 349–350

dolor referido visceral, BP13
fascia pubocervical, 354
fondo, 349–350, 352
inervación, 172, 399
interior, 400
ligamento lateral, 347
mujer, 352
nervios autónomos, 320
orientación y soportes, 350
orificio ureteral, 350
traccionada arriba y atrás, 350
trígono, BP90, 349–350, 352, 356, 366–367
úvula, 352, 366–367
varón, 352
vértice, 349–350

Velo medular

inferior, 117, 125
superior, 117, 124–125

Vena(s)

ácigos, BP84, BP57, 198, 200, 210–211, 213, 220, 234, 241, 247–248, 328
 arco, 236
 surco pulmón, 205
alveolares
 inferior, 84
 superior posterior, 84
anastomótica
 inferior (de Labbé), 113, 156
 obturatriz, 267
 superior (de Trolard), 113
angular, 10, 84, 99
antebrazo, 406
apendicular, 298–299

- auricular posterior, [10](#), [39](#), [84](#)
- axilar, BP56, BP99, [5](#), [195](#), [204](#), [259](#), [407](#), [416](#)
 - derecha, [217](#)
 - tributarias intercostales, [259](#)
- basal (de Rosenthal), [155–157](#)
- basílica, BP99, [5](#), [402](#), [405–407](#), [419](#), [425](#), [441](#), [458](#)
- basivertebral, BP42, [178](#)
- bazo, [296](#)
- braquial, BP99, [5](#), [419](#), [425](#)
- braquiocefálica, [5](#), [87](#), [196](#), [212](#)
 - derecha, BP51, BP57, [88](#), [179](#), [198](#), [210](#), [215–217](#), [234](#), [237](#), [241](#), [245](#)
 - izquierda, BP51, BP57, [84](#), [88](#), [179](#), [198](#), [210](#), [215–216](#), [221](#), [234–236](#), [241](#), [245](#)
 - surco del pulmón, [205](#)
- bronquiales, [211](#)
 - derecha, [211](#)
 - izquierda, [211](#)
- cara, [10](#)
- cardíacas, BP52
 - anterior, [222](#)
 - magna, [222](#)
 - media, [218](#), [222](#)
 - menor, [222](#)
 - variaciones, BP53
- cava
 - inferior, BP38, BP87, BP84, BP98, [5](#), [185](#), [200](#), [210](#), [213](#), [217–219](#), [221](#), [225](#), [229](#), [233–234](#), [236](#), [241](#), [267](#), [267](#), [273–276](#), [278](#), [284](#), [288](#), [293](#), [296](#), [311–313](#), [323](#), [326–332](#), [344](#), [347–348](#), [381–384](#), [394](#)
 - orificio, [227](#)
 - surco pulmón, [205](#)
 - válvula, [224](#)
 - superior, BP51, [5](#), [87–88](#), [210](#), [215–221](#), [224](#), [228–229](#), [233–234](#), [241](#), [244](#), [246–248](#), [325](#)

- superior, [198–199](#)
- surco pulmón, [205](#)
- surco, [284](#)
- cavernosa, [385](#)
- cecal
 - anterior, [299](#)
 - posterior, [298–299](#)
- cefálica, BP99, [187](#), [194–195](#), [221](#), [259](#), [402](#), [405–407](#), [413](#), [416](#), [419](#), [425](#), [441](#), [458](#)
 - accesoria, [405–406](#)
- central, [285–286](#)
 - retina, [100](#), [103–104](#)
- cerebelosa
 - precentral, [155](#)
 - superior, [155](#)
- cerebrales
 - anterior, [155–157](#)
 - inferior, [113](#), [115](#)
 - interna, [117](#), [122](#), [155–157](#)
 - derecha, [157](#)
 - izquierda, [157](#)
 - radiología, BP31, [159](#)
- magna (de Galeno), [114–115](#), [117](#), [125](#), [155–157](#)
 - radiología, BP31, [159](#)
- media
 - profunda, [111](#), [155–157](#)
 - superficial, [111](#), [113](#), [115](#), [156](#)
- superficial, [113](#)
- superior, [113](#)
 - orificio, [112](#)
- cervical profunda, BP42
 - derecha, [179](#)

- izquierda, [179](#)
- cigomaticofacial, [10](#)
- cigomaticotemporal, [10](#)
- ciliar anterior, [101](#), [103–104](#)
- circunfleja
 - femoral
 - lateral, BP107
 - medial, BP107
 - humeral posterior, [405](#)
 - ilíaca
 - profunda, [267](#)
 - tributarias, [259](#)
 - superficial, BP107, [249](#), [259](#), [267](#), [333](#), [473](#)
- de Cockett. Véase Venas perforantes
- cólica, [297](#)
 - derecha, [298–299](#)
 - izquierda, [298–299](#)
 - media, [298–299](#)
- columna vertebral, [178](#)
- comunicante, BP42, [38](#), [179](#)
- conducto anal, [381](#)
- coroidea superior, [156–157](#)
- cubital, BP99, [5](#)
- cuero cabelludo, [10](#)
- cutánea femoral anterior, BP107
- digital
 - dorsal, [406](#), [473](#)
 - palmar, BP99, [5](#), [406](#)
 - dorsal, [458](#)
- diploica, [111](#), [113](#)
 - frontal, [111](#)
 - occipital, [111](#)

- temporal
 - anterior, [111](#)
 - posterior, [111](#)
- directa, lateral, [156–157](#)
- dorsales
 - profunda
 - clítoris, [339–341](#), [345](#), [347](#), [350](#), [361](#)
 - pene, BP98, [342–343](#), [349](#), [365](#), [383](#), [385](#), [387](#)
 - superficial del pene, BP98, [333](#), [363](#), [385](#)
- duodeno, [296](#)
- emisaria, [20](#), [111](#), [113](#)
 - condilar, [179](#)
 - mastoidea, [10](#), [111](#), [179](#)
 - agujero (foramen) mastoideo, [19](#)
 - occipital, [111](#)
 - parietal, [10](#), [111](#)
- epiescleral, [103–104](#)
 - segmento, [104](#)
- epigástricas
 - inferior, [259](#), [267](#), [382](#)
 - superficial, BP107, [249](#), [259](#), [267](#), [333](#), [473](#)
 - superior, [196](#), [198](#)
- escrotales anteriores, [259](#)
- esofágicas, T5.2, [241](#), [299](#)
- esófago, [241](#)
- espinal
 - anterior, [155](#), [178](#)
 - posterior, [155](#), [178](#)
- esplénica, [217](#), [241](#), [274](#), [294](#), [296–299](#), [323–324](#), [326](#)
- estómago, [296](#)
- etmoidal
 - anterior, [20](#)

- posterior, 20
- facial, 10, 38–39, 49, 53, 68, 70, 84, 99
 - común, 10, 39
 - profunda, 10, 84, 99, 496
 - transversa, 10, 84
- femoral, BP86, BP107, BP58, 259, 263, 267, 362, 400, 401, 473, 475, 483, 490, 496
 - circunfleja femoral
 - lateral, BP107
 - medial, BP107
 - orificio, 265
 - profunda, 5
 - vaina femoral, 253, 264
- fosa craneal posterior, 155
- frénicas, inferior, 267, 311
 - izquierda, 241
- frontal, 10
- gástricas
 - corta, 241, 296, 299
 - derecha, 241, 296–297, 299
 - izquierda, 241, 296–298
 - tributaria esofágica, 241
- gastrointestinal
 - derecha, 241
 - izquierda, 241
- geniculares (rodilla), BP107
- glútea
 - inferior, 267
 - superior, 267, 298
- hemiácigos, 198, 200, 220
 - accesoria, 198, 211, 235, 241, 247
- hemisféricas cerebelosas inferiores, 155

hepáticas, [236](#), [241](#), [267](#), [284–285](#), [296](#)
hipofisarias eferentes, [151](#)
hipotálamo e hipófisis, BP30
ileales, [297](#)
 interna, [298](#)
ileocólica, [297–299](#)
ilíaca
 común, BP86, [5](#), [267](#), [381](#)
 externa, BP107, BP109, [5](#), [267](#), [353](#), [381](#), [491](#)
 interna, T6.2, [5](#), [267](#), [381](#)
iliolumbar, [267](#)
infraorbitaria, [10](#), [84](#)
intercapitulares, BP99, [406](#), [458](#)
intercostales, [5](#)
 anteriores, [196](#), [198](#)
 posteriores, [198](#), [234–235](#)
 derechas, [241](#)
 ramos colaterales, [196](#)
 superiores
 derechas, [198](#), [234](#), [241](#)
 izquierdas, [235](#), [241](#)
interóseas anteriores, BP99
intervertebral, BP42, [178](#)
intestino
 delgado, [297](#)
 grueso, [298](#)
intraculminar, [155](#)
iris, [104](#)
labial
 inferior, [84](#)
 superior, [84](#)
laríngea superior, [80](#), [84](#)

- lateral directa, [157](#)
- lingual, [10](#), [70](#), [84](#)
 - dorsal, [70](#)
 - profunda, [65](#)
- lumbares
 - ascendente, [267](#)
 - derecha, [267](#)
- maxilar, [84](#), [99](#)
- mediana
 - antebrazo, BP99, [402](#), [405–406](#), [441](#)
 - basílica, BP99
 - cefálica, [406](#)
 - codo, T7.2, BP99, [405](#), [407](#)
- médula espinal, [178](#)
- medular anteromediana, [155](#)
- meníngea media, [20](#), [111](#), [113](#)
- mentoniana, [84](#)
- mesencefálica
 - lateral, [155](#)
 - posterior, [155](#), [157](#)
- mesentérica
 - inferior, [241](#), [271](#), [288](#), [298–299](#), [381](#)
 - superior, [241](#), [278–279](#), [294](#), [296–299](#), [318](#), [330](#)
- metacarpianas
 - dorsal, [406](#), [458](#)
 - palmar, BP99
- metatarsianas dorsales, [473](#)
- miembro inferior, BP107
- muscular, [103](#)
- musculofrénica, [195–196](#), [259](#)
- nasal externa, [10](#), [84](#)
- nasofrontal, [10](#), [84](#), [99](#)

- obturatriz, [267](#), [298](#), [381](#), [400](#)
- occipital, [10](#), [84](#)
 - interna, [157](#)
- oftálmica
 - inferior, [99](#), [104](#)
 - superior, BP26, [20](#), [84](#), [99](#), [104](#), [115](#)
- oméntales, [241](#)
- ovárica, [267](#), [382](#). Véase también Vena testicular
- palatina, [84](#)
 - externa, [84](#)
- páncreas, [296](#)
- pancreáticas, [296](#), [298](#)
 - mayor, [296](#)
- pancreatoduodenal
 - anterior
 - inferior, [296](#), [298](#)
 - superior, [296](#), [299](#)
 - posterior
 - inferior, [296](#), [298](#)
 - superior, [296](#), [299](#)
- paraumbilicales, T5.2, [299](#)
 - ligamento redondo hígado, [259](#)
 - tributarias, [259](#)
- pared
 - anterior del abdomen, [259](#)
 - posterior del abdomen, [267](#)
 - tórax, [198](#)
- parietal, [10](#)
- párpados, [99](#)
- pelvis
 - mujer, [382](#)
 - varón, BP98, [385](#)

perforantes, BP99, [405–406](#), [513](#)
 anterior, [198](#)
pericardiofrénica, [196](#), [210](#), [215–216](#), [220](#), [234–235](#)
 derecha, [200](#)
 izquierda, [200](#)
periné, varón, [387](#)
perineal, [387](#)
peronea, BP107, [513–514](#)
petrosa, [115](#), [155](#)
pierna, T8.2
plantar
 lateral, BP107
 medial, BP107
pontina
 lateral, [155](#)
 transversa, [155](#)
pontomesencefálica anterior, [155](#)
poplítea, BP107, [5](#), [475](#), [492](#), [507–508](#), [513](#)
porta
 hepática, BP57, T5.2, [221](#), [233](#), [241](#), [274](#), [276](#), [278–279](#), [284](#), [287–288](#), [296–299](#), [324](#), [326](#), [329](#)
 rama, [286](#)
 tributarias, [299](#)
 variaciones y anomalías, BP71
 hipofisarias
 corta, BP30
 larga, BP30
preculminar, [155](#)
prepilórica, [296](#), [298](#)
profunda del muslo, BP107
púbica, [267](#)
pudenda

- externa, BP107, 259
 - superficial, 473
- interna, 298, 381, 385, 400
- puente, T2.2, 111, 113–114, 120
 - radiología, BP31, 159
- pulmonares, 217
 - derecha, BP50, BP57, 210, 219, 225, 229, 233–234, 244
 - inferior
 - derecha, 205, 218, 220, 224
 - izquierda, 205, 218, 220
 - izquierda, 210, 218–219, 225, 228, 233, 235
 - septo, BP49
 - superior
 - derecha, 205, 216, 218, 224, 228
 - izquierda, 205, 216, 218, 225
- radial, BP99, 5
- radicular, 178
 - segmentaria
 - anterior, 178
 - posterior, 178
- rectales, T6.2
 - inferior, 298–299, 381
 - media, 267, 298–299, 381
 - superior, T5.2, 298–299, 381
- rectas, 297
- recto, 381
- regiones labial y faríngea, 84
- renal, 5, 317, 324, 382
 - derecha, 241, 267, 310, 313
 - in situ*, , 313
 - izquierda, 241, 267, 323, 327
 - variaciones, BP75

retina, 103

retromandibular, 10, 38–39, 49, 53, 68, 70, 84, 99

rama

- anterior, 39
- posterior, 39

retrotonsilar superior, 155

sacras

- lateral, 267
- media, 298, 381, 385

safena(s), T8.2

- accesoria, BP107, 473–474
- magna (mayor), BP107, 5, BP116, BP111, BP58, 116–117, 252–253, 259, 267, 362, 401, 471, 473–475, 513–514
- menor, BP107, BP116, 471, 473–475, 507, 513–514

satélites, 450

sigmoideas, 298–299, 381

subclavia, T2.2, 5, 37, 39–40, 84, 87, 195–196, 204, 212, 215–216, 236, 241, 259, 417, 419

- derecha, 88, 179, 210, 234
- izquierda, 88, 179, 210, 235

surcos, BP46

subcostal, 267

subcutánea, BP1

sublingual, 53, 70

sublobulillares, 285–286

submentoniana, 38, 84

superficial, T8.2

- antebrazo, 406
- cuello, 38
- lateral del pene, 363

supraorbitaria, 10, 84, 99

suprarrenal, 323

- derecha inferior, 267
- izquierda, 241
 - inferior, 267, 313
- supratroclear, 10, 84
- surco central
 - anterior, 178
 - posterior, 178
- talámicas superiores, 157
- talamoestriadas
 - inferiores, 155, 157
 - superiores, 117, 122, 156–157
- temporal
 - media, 10, 111
 - profunda, 111
 - superficial, 53, 60, 84, 111
 - rama
 - frontal, 10
 - parietal, 10
 - tributarias, 113
 - frontal y parietal, 111
- testicular, 256, 262, 264, 298, 311, 313, 316
 - peritoneo, 263
- testículo, 383
- tibial(es), 507, 514
 - anterior(es), BP107, 5, 514
 - posterior(es), BP107, BP111, 5, 507, 509, 513–514
 - ramas maleolares mediales, 513
- tiroidea
 - inferior, 38, 84, 87–89, 204, 215
 - interna, 241
 - media, 38, 84, 87, 89
 - superior, 38, 84, 87, 89, 92

torácica

interna, [88](#), [195–196](#), [198](#), [204](#), [216](#), [220](#), [246–248](#), [259](#)

derecha, [200](#)

izquierda, [200](#)

ramas perforantes, [196](#)

tributarias perforantes, [259](#)

lateral, [259](#)

rama perforante, [197](#)

toracoacromial, rama acromial, [405](#)

toracodorsal, BP99

toracoepigástrica, [252](#), [259](#)

umbilical, T5.2, [233](#)

uncus, [156](#)

uterinas, [267](#)

superior, [381](#)

útero, [386](#)

vaginal, [381](#)

ventriculares

hipocampal, [157](#)

inferior, [157](#)

vermiana

inferior, [155](#)

superior, [155](#), [157](#)

vertebrales, BP42, [241](#)

accesoria, [179](#)

anterior, [179](#)

derecha, [179](#)

izquierda, [179](#)

vesicales

inferior, [381](#)

ramas posteriores, [385](#)

superior, [267](#), [381](#)

vorticosa, 99, 103–104

bulbo, 104

tributarias

anteriores, 104

posteriores, 104

yeyunales, 297

yugular

anterior, 38, 87

terminación, 84

externa, T2.2, 5, 8, 10, 38–39, 53, 84, 87, 204, 210, 215, 241

interna, 5, 10, 32–33, 35, 37–38, 40–41, 49, 53, 64, 70, 76, 84, 86–89, 105, 107, 110, 139, 191, 195–196, 204, 212, 215, 236, 241

bulbo

inferior, 88, 179

superior, 179

derecha, T2.2, 210, 217

fosa yugular, 19

izquierda, 179, 216, 221

radiología, BP31, 159

Ventana

coclear (redonda), BP28, 21, 105, 108

fosa, BP27, 106

vestibular (oval), 21, 108

Ventrículos (corazón), 228

derecho, BP51, 216–221, 228, 244, 248

izquierdo, BP51, BP57, 216, 218–221, 223–225, 228, 244, 248

ramas cara posterior, 223

vena posterior, 222

Ventrículos (encéfalo), 119, 125

cuarto, 117, 125, 157

aberturas lateral y media, 157

contorno, 154

- fosa romboidea, [124](#)
- plexo coroideo, [120](#), [125](#)
- radiología, [160](#)
- rama coroidea, [154](#)
- tenia, [125](#)
- vena receso lateral, [155](#)
- lateral, [117](#), [121](#), [123](#), [150](#), [157](#)
 - asta
 - frontal (anterior), [117](#), [160](#)
 - occipital (posterior), [117](#), [121–123](#), [154](#), [157](#), [160](#)
 - temporal (inferior), [117](#), [119](#), [122](#), [157](#)
 - plexo coroideo, [117](#), [120–121](#), [150](#), [154](#), [156](#)
 - porción central, [117](#)
 - radiología, BP32
 - vena
 - lateral, [157](#)
 - medial, [157](#)
- tercer, [117](#), [121–122](#), [125](#), [157](#)
 - plexo coroideo, [117](#), [119–120](#)
 - radiología, BP32, [160](#)
 - receso infundibular, [50](#)
 - tela coroidea, [119](#), [122](#), [156](#)

Vénula

- macular
 - inferior, [103](#)
 - superior, [103](#)
- nasal
 - inferior de la retina, [103](#)
 - superior de la retina, [103](#)
- temporal
 - inferior de la retina, [103](#)
 - superior de la retina, [103](#)

Vermis, 50, 126

inferior

nódulo, 126

pirámide, 126

túber, 126

úvula, 126

radiología, BP32

superior

culmen, 126

declive, 126

folium, 126

lobulillo central, 126

Vértebras, BP4

cervicales, T2.1, 162, 217

agujero (foramen) transverso, 28

anillo fibroso, 28

apófisis

transversa, 28

unciformes, 28

arterias, 176

articulaciones uncovertebrales, 28

C3, 22, 26

agujero (foramen)

transverso, 27

vertebral, 27

apófisis articular

inferior, 27–28

superior, 28

apófisis espinosa bífida, 27

apófisis transversa, 27

tubérculos, 37

cara inferior, 27

- carilla articular inferior, [26–27](#)
- cuerpo vertebral, BP18, [27](#)
- lámina, [27](#)
- laminilla costal, [27](#)
- pedículo, [27](#)
- C4, [26–27](#)
 - agujero (foramen) transverso, [27](#)
 - apófisis
 - articular inferior, [27](#)
 - articular superior, [27](#)
 - espinosa, [27](#)
 - transversa, [27](#)
 - unciforme, [27](#)
 - unciforme izquierda, [27](#)
 - cara superior, [27](#)
 - carilla articular
 - inferior, [27](#)
 - superior, [27](#)
 - cuerpo, [27](#)
 - vertebral, [27](#)
 - lámina, [27](#)
 - superficie articular, [27](#)
 - surco nervio espinal, [27](#)
 - visión anterior, [27](#)
- C6
 - apófisis transversa, [147](#)
 - tubérculo anterior, [29](#)
- C7, BP18, [22](#), [27](#), [169](#)
 - agujero (foramen)
 - transverso tabicado, [27](#)
 - vertebral, [27](#)
 - apófisis

- articular inferior, [27](#)
- y carilla articular superior, [27](#)
- espinosa, [27](#), [29](#), [161](#), [180](#), [413](#)
- apófisis transversa, [27](#)
 - tubérculo posterior, [37](#)
- apófisis unciforme, [27](#)
 - superficie articular, [27](#)
- cuerpo, [27](#)
 - vertebral, [27](#)
- lámina, [27](#)
- laminilla costal, [27](#)
- pedículo, [27](#)
- superficie articular, [27](#)
- surco nervio espinal, [27](#)
- visión
 - anterior, [27](#), [162](#)
 - lateral, [162](#)
 - posterior, [162](#)
 - superior, [27](#)
- cambios degenerativos, BP18
- cuerpo, [27–28](#)
- disco intervertebral, [28](#)
- núcleo pulposo, [28](#)
- superiores, [26](#)
- L5/S1, T3.1
- lámina, [244](#)
- lumbares, BP37, [162](#), [164](#), [176](#)
 - apófisis transversa, [250](#), [334](#)
 - articuladas, visión lateral, [164](#)
 - cuerpo, [164](#)
- L1
 - apófisis transversa, [201](#)

- cuerpo, [167](#)
- relación nervio espinal, [170](#)
- L2, relación nervio espinal, [170](#)
- L3
 - cuerpo, [344](#), [348](#)
 - relación nervio espinal, [170](#)
- L4, [379](#)
 - cuerpo, [338](#)
 - disco intervertebral, [379](#)
 - radiografía, [335](#)
 - relación nervio espinal, [170](#)
- L5, BP37, T3.1
 - cuerpo, [338](#), [379](#)
 - disco intervertebral, [379](#)
 - radiografía, [335](#)
 - relación nervio espinal, [170](#)
- radiografías, BP37
- sección, [177](#)
- pedículo, [244](#)
- radiología, [165](#)
- torácicas, [162–163](#)
- T1, [22](#), [29](#)
 - apófisis espinosa, [203](#)
 - carilla articular inferior, [22](#)
 - relación nervio espinal, [170](#)
 - visión
 - anterior, [162](#)
 - lateral, [162](#)
 - posterior, [162](#)
- T2, relación nervio espinal, [170](#)
- T3, relación nervio espinal, [170](#)
- T4, relación nervio espinal, [170](#)

T5, relación nervio espinal, [170](#)

T6

relación nervio espinal, [170](#)

visión

lateral, [163](#)

superior, [163](#)

T7

relación nervio espinal, [170](#)

visión posterior, [163](#)

T8, [220](#)

relación nervio espinal, [170](#)

visión posterior, [163](#)

T9, [165](#)

relación nervio espinal, [170](#)

visión posterior, [163](#)

T10, relación nervio espinal, [170](#)

T11, relación nervio espinal, [170](#)

T12, [217](#)

apófisis espinosa, [413](#)

relación nervio espinal, [170](#)

vértebra, BP36

visión

lateral, [162–163](#)

posterior, [162](#)

Vesículas

seminales, BP93, [256](#), [348–349](#), [366](#), [371](#), [373](#), [385](#)

sinápticas, BP11

Vestíbulo, BP28, [92](#), [105](#)

bulbo, BP90, [352](#), [359–361](#), [386](#)

arteria, [353](#), [361](#), [386](#)

nasal, [43–45](#), [49](#)

oído, [108–109](#)

vagina, [353](#), [358](#), [371](#)

Vías

aéreas intrapulmonares, [209](#)

esquema, BP48

gustativas, esquema, [146](#)

linfáticas del abdomen y pelvis, [325](#)

reflejas autónomas, [307](#)

Vínculo(s)

corto, [454](#)

largos, [454](#)

Vísceras

abdominales, [270](#)

pélvicas

mujer, [345–346](#)

nervios, [394](#)

varón, [349](#)

nervios, [392](#)

Vómer, [11](#), [15](#), [17](#), [45](#), [49](#)

Vulva, [358](#)

Y

Yeyuno, [270–271](#), [278–279](#), [297](#), [327](#), [330–331](#)

capa muscular

circular, [279](#)

longitudinal, [279](#)

submucosa, [279](#)

Yugo esfenoidal, [18](#)

Yunque, BP28, [60](#), [105–106](#), [109](#), [135](#)

apófisis lenticular, BP27, [106](#)

ligamento

posterior, BP27

superior, BP27

rama

corta, BP27, [106](#)

larga, BP27, [106](#)

Z

Zona

cardíaca, [277](#)

escasas fibras musculares, [238](#)

fúndica, [277](#)

gástrica, [277](#)

orbicular, [477](#)

pelúcida, BP95

pilórica, [277](#)

Index

Instrucciones para el acceso en línea	1156
Portada	2
Índice de capítulos	3
Página de créditos	10
DIRECTORES	13
DIRECTORES DE EDICIONES ANTERIORES	15
COMITÉ EDITORIAL INTERNACIONAL	17
NOVEDADES DE ESTA EDICIÓN	20
PRÓLOGO A LA SÉPTIMA EDICIÓN EN ESPAÑOL	30
PREFACIO A LA PRIMERA EDICIÓN	33
Dedicatoria	36
FRANK H. NETTER, MD	37
AGRADECIMIENTOS	40
Capítulo 1: INTRODUCCIÓN	51
LÁMINAS ELECTRÓNICAS EXTRA	52
Introducción	66
Capítulo 2: CABEZA Y CUELLO	78
LÁMINAS ELECTRÓNICAS EXTRA	79
Anatomía de superficie	95
Cabeza y cuello, plano superficial	97
Huesos y ligamentos	100
Cuello	122
Región nasal	135
Región bucal	159
Faringe	170
Glándula tiroides y laringe	183
Órbita y contenido	193
Oído	205
Meninges y encéfalo	212
Nervios craneales y cervicales	231
Vasculatura cerebral	252
Exploraciones regionales	265
Tablas clínicas	268

Capítulo 3: DORSO Y MÉDULA ESPINAL	284
LÁMINAS ELECTRÓNICAS EXTRA	285
Anatomía de superficie	296
Huesos y ligamentos	298
Médula espinal	307
Músculos y nervios	319
Anatomía seccional	325
Tabla clínica	328
Capítulo 4: TÓRAX	335
LÁMINAS ELECTRÓNICAS EXTRA	336
Anatomía de superficie	350
Glándula mamaria	352
Pared corporal	357
Pulmones	368
Corazón	382
Mediastino	402
Exploraciones regionales	413
Anatomía seccional	415
Tabla clínica	420
Capítulo 5: ABDOMEN	425
LÁMINAS ELECTRÓNICAS EXTRA	426
Anatomía de superficie	455
Pared corporal	457
Cavidad peritoneal	478
Vísceras (intestino)	485
Vísceras (órganos accesorios)	495
Vasculatura visceral	504
Inervación	515
Riñones y glándulas suprarrenales	528
Linfáticos	543
Exploraciones regionales	545
Anatomía seccional	548
Tabla clínica	554
Capítulo 6: PELVIS Y PERINÉ	561
LÁMINAS ELECTRÓNICAS EXTRA	562
Anatomía de superficie	572
Huesos y ligamentos	574
Suelo de la pelvis y contenido	580

Vejiga urinaria	592
Útero, vagina y estructuras de sostén	596
Periné y genitales externos: mujer	602
Periné y genitales externos: varón	607
Estructuras homólogas de los genitales	616
Testículo, epidídimo y conducto deferente	619
Recto	621
Exploraciones regionales	628
Vasculatura	630
Inervación	642
Anatomía seccional	652
Tabla clínica	655
Capítulo 7: MIEMBRO SUPERIOR	663
LÁMINAS ELECTRÓNICAS EXTRA	664
Anatomía de superficie	670
Anatomía de la piel	672
Hombro y axila	678
Brazo	693
Codo y antebrazo	699
Carpó y mano	718
Inervación y vasculatura	742
Exploraciones regionales	753
Tabla clínica	755
Capítulo 8: MIEMBRO INFERIOR	765
LÁMINAS ELECTRÓNICAS EXTRA	766
Anatomía de superficie	777
Anatomía de la piel	779
Cadera y muslo	787
Rodilla	812
Pierna	820
Tarso y pie	835
Inervación y vasculatura	850
Exploraciones regionales	856
Tabla clínica	860
BIBLIOGRAFÍA	872
ÍNDICE ALFABÉTICO	881